# EL PROYECTO RÍO VERDE

Informe Técnico de la Temporada de 2022

Entregado al Consejo de Arqueología
y el Centro INAH Oaxaca
del Instituto Nacional de Antropología e Historia

Febrero de 2023

Arthur A. Joyce y Akira Ichikawa (editores)

Con contribuciones por:

Elaine M. Aguayo Ortiz[1]
Nobuhiko Aiba[2]
Abilene Ayala[1]
Éloi Bérubé[3]
Saúl Rancaño Castillo[4]
Zachery Clow[1]
Akira Ichikawa[5]
Arthur A. Joyce[5]
Arion T. Mayes[1]
Raymond G. Mueller[6]
Andrea Nayely Nava Esparza[4]
Gilberto Pérez Roldán[4]
Gabrielle Perry[5]
Nicholas A. Puente[5]
Pamela Garcia Ramírez[7]
Jacklyn D. Rumberger[8]
Ishbel Michelle Torres Lopez[9]

[1]San Diego State University, Department of Anthropology, San Diego, CA 92182-6040, EUA
[2]Universidad de Nagoya, Facultad de Humanidades y Letras, Furo-cho, Chikusa-ku, Nagoya, Aichi, 466-8601, Japón
[3]McMaster University, Department of Anthropology, Chester New Hall Rm. 524, 1280 Main Street West, Hamilton, Ontario, Canada L8S 4L9
[4]Universidad Autónoma de San Luis Potosí, Coordinación de Ciencias Sociales y Humanidades, Av. Industrias 101-A, Fracc. Industrias, Zona Universitaria Oriente, San Luis Potosí, C.P. 78494, México
[5]University of Colorado at Boulder, Department of Anthropology, 1350 Pleasant St. Hale Science 350, Campus Box 233 UCB, Boulder, CO 80309-0233
[6]Department of Environmental Studies, Stockton University, Galloway, NJ 08205 EUA
[7]Universidad Nacional Autonoma de México, Posgrado en Ciencias de la Tierra, Instituto de Gelogía, Avenida Universidad No. 3000. UNAM CU, Coyoacán, Ciudad de México, C.P. 054510, México
[8]Department of Anthropology, Washington State University, Pullman, WA 99164-4910
[9]Universidad de las Américas Puebla, Departamento de Antropología. Ex hacienda Sta. Catarina Mártir S/N. San Andrés Cholula, Puebla. C.P. 72810.

CULTU.RA @INAH

**Consejo de Arqueología**

Ciudad de México a 75 de septiembre de 2021
No. de Oficio 407.1S.3-2021/7286

**Dr. Arthur A. Joyce**
**Dr. Akira Ichikawa**
**Universidad de Colorado Boulder**
**Presente**

En seguimiento al oficio 407.7S.3-2021/1237 relacionado con el **Proyecto Río Verde: temporada 2022,** agradecemos el envío de la ampliación de información, así como los planos con los lugares donde realizará las excavaciones, por lo cual queda aprobado.

Le recomendamos comunicarse con el Centro INAH Oaxaca, con el fin de obtener una carta de presentación ante lasautoridades civiles y militares.

Sin otro particular.

**Dra. Laura Ledesma Gallegos**
**Presidente**

C.c.p. Diego Prieto Hernández.- Director General del INAH.
Aída Castilleja González.- Secretaria Técnica del INAH.
Pedro Francisco Sánchez Nava.- Coordinador Nacional de Arqueología.
Colette Almanza Caudillo. - Directora de Planeación, Evaluación y Coordinación de Proyectos-CNA
Joel Ornar Vázquez Herrera. -Director del Centro INAH Oaxaca.
Sección de Arqueología del Centro INAH Oaxaca.
Archivo
LLG/aos

# RESUMEN

El Proyecto Río Verde 2022 (PRV-2022) fue la sexta fase de un programa de investigación arqueológico plurianual diseñado con el propósito de examinar el orígen, el desarrollo, y el colapso del estado de Río Viejo en el valle del bajo Río Verde en la costa oeste de Oaxaca. El PRV-2022 se enfoca en el colapso de la unidad política de Río Viejo entre el Clásico Tardío y el Posclásico Temprano a través de excavaciones en áreas domésticas en el sitio Rio Viejo y el estudio de la gemorfologia de la planicie aluvial del Río Verde. Mediante la excavación de dos áreas domésticas, designadas como Operación A y B, se recolectaron datos que nos permitirán entender mejor la economía doméstica, la dieta y salud de la gente común de Rio Viejo, así como refinar nuestra hipótesis acerca del colapso. Las excavaciones exploraron tres residencias del Clásico Tardío (fase Yuta Tiyoo) y ocho residencias de Posclásico Temprano (fase Yugüe). Alrededor de ellas, se localizaron hornos de tierra, una tubería de drenaje, basureros y depósitos de artefactos. Debido a su tamaño, los hornos de tierra del Clásico Tardío podrían haber sido utilizados de manera comunitaria en ese periodo. Más adelante, durante el Posclásico Temprano el mismo espacio se utilizaría para actividades domésticas. Es posible que la tubería de drenaje estuviera asociada a actividades rituales, puesto que se encontraron depósitos de ofrenda en directa asociación con esta estructura. Otros contextos importantes para la comprensión de la transición social entre ambos periodos incluyen depósitos masivos de artefactos asociados a ceremonias de clausura que marcan los estratos del final del Clásico Tardío en ambas áreas de excavación.

Adicionalmente, se excavó un total de 23 entierros humanos, la mayoría asociados con las plataformas residenciales. Uno de estos entierros presentó deformación craneal y el conjunto de sus ofrendas incluyó vasijas cerámicas muy elaboradas, así como herramientas utilizadas para hilar y tejer. Futuros estudios sobre restos óseos humanos y animales nos permitirán entender las dietas y la salud humana durante los perídos Clásico Tardío y Posclásico Temprano. El estudio arqueobotánico preliminar de las muestras repueradas por flotación detectó una cantidad considerable de maíz en el contexto de

horno. Los resultados del PRV-2022 proporcionan datos importantes sobre los cuales se pueden basar investigaciones futuras sobre el ocaso del centro urbano de Río Viejo.

# ÍNDICE GENERAL

OFICIO DEL CONSEJO……ii

RESUMEN……iii

ÍNDICE GENERAL……v

ÍNDICE DE FIGURAS……vi

ÍNDICE DE TABLAS……xvii

AGRADECIMIENTOS……xxii

CAPÍTULO 1 - INTRODUCCIÓN……1

CAPÍTULO 2 - EXCAVACIONES DE LA OPERACIÓN A……19

CAPÍTULO 3 - EXCAVACIONES DE LA OPERACIÓN B……181

CAPÍTULO 4 - ESTUDIO GEOMORFOLÓGICO……297

CAPÍTULO 5 - ANÁLISIS CERÁMICO Y LÍTICO PRV-2022……355

CAPÍTULO 6 - DESCRIPCIÓN DEL REGISTRO DE FIGURILLAS PRV-2022……455

CAPÍTULO 7 - ANÁLISIS BIOARQUEOLÓGICO DE ENTIERROS……575

CAPÍTULO 8 – ANÁLISIS DE LOS VESTIGIOS FAUNÍSTICOS EXCAVADOS EN CONTEXTOS DE BASURERO……587

CAPÍTULO 9 - ANÁLISIS DE MACRORESTOS PALEOBOTÁNICOS……619

CAPÍTULO 10 - CONCLUSIONES……629

BIBLIOGRAFÍA……639

APÉNDICE A - OFICIOS RELEVANTES……653

APÉNDICE B - VASIJAS ENTERAS RECUPERADAS POR EL PRV-2022……673

APÉNDICE C - DATOS BÁSICOS DE LOS ARTEFACTOS DEL PRV-2022……685

APÉNDICE D - ANÁLISIS CERÁMICO Y LÍTICO PRV-2022……819

APÉNDICE E: ANÁLISIS MICROMORFOLÓGICO……869

# ÍNDICE DE FIGURAS


Figura 1.1 Mapa del valle del bajo Río Verde mostrando la ubicación de Río Viejo…… 12
Figura 1.2 Patrones de asentamiento del período Clásico Tardío en el valle inferior del Río Verde (de Hedgepeth Balkin 2020: figura 7.14)……..13
Figura 1.3 Patrones de asentamiento del período Posclásico Temprano en el valle inferior del Río Verde (de Hedgepeth Balkin 2020: figura 7.16)……14
Figura 1.4 Cuenca de drenaje del Río Verde…… 15
Figura 1.5 Mapa de Río Viejo mostrando la acrópolis (Montículo 1), y el área de unidades domésticas del Posclásico Temprano visibles en superficie……..15
Figura 1.6 Mapa de la acrópolis de Río Viejo y el área de Operaciones A y B……..16
Figura 1.7 Mapa de Río Viejo mostrando la acrópolis (Montículo 1), el área de Operaciones A y B, y el cauce C.20……..17
Figura 1.8 Fotografía por dron de Operaciones A y B de Río Viejo……18
Figura 2.1 Fotografía aérea. Operación A después de excavaciones en relación con el área excavada por King en 2000……...78
Figura 2.2 Fotografía de operación A antes de excavaciones……79
Figura 2.3 Excavaciones arqueológicas en operación A del PRV-2022, Rio Viejo……79
Figura 2.4 Fotografía aérea. Foto de Operación A después de excavaciones con la retícula demarcada……80
Figura 2.5 Fotografía aérea de Operación A después de excavaciones……80
Figura 2.6 Plano del área de Operación A mostrando los Bloques de excavación descritos en el texto……81
Figura 2.7 Perfiles de las unidades Y10, Y11, X10, X11……82
Figura 2.8 Perfiles de las unidades Y15, Y16, X15, X16……84
Figura 2.9 Perfiles de las unidades U19 y W19: (A) U19; (B) W19……86
Figura 2.10 Perfiles de las unidades U12 y U14. (A) U12; (B) U14……87
Figura 2.11 Perfiles de las unidades U16, U17, T16, T17. MU30, MU31……88
Figura 2.12 Perfiles de las unidades R10 y R11……89
Figura 2.13 Perfiles este de las unidades R11 y Q11……90
Figura 2.14 Perfiles de la unidad Q12……91
Figura 2.15 Perfiles norte de las unidades P12, y P13……92
Figura 2.16 Perfiles de las unidades P12, y P13……93
Figura 2.17 Perfiles de las unidades P11, O11, y N11……94
Figura 2.18 Perfiles de unidades N11, M10, y N10……95
Figura 2.19 Perfiles de las unidades N10, O10, y P10……95
Figura 2.20 Perfiles de las unidades N10, O10, y P10……96
Figura 2.21 Perfiles de las unidades (sección norte) P10, y P11……97
Figura 2.22 Perfiles de las unidades M12, M13, M14 (sección norte); y MU23 adentro de M13 y M14 (sección este)……98
Figura 2.23 Perfiles de la unidad M14 (sección este y sur)……99
Figura 2.24 Perfiles de la unidad L13 y M13 (sección oeste)……100

Figura 2.25 Perfiles de las unidades M11 y M12……101
Figura 2.26 Perfiles de la unidad J13……102
Figura 2.27 Perfiles de las unidades L15 y L16 (multi-unidad MU1, secciones norte y este)……103
Figura 2.28 Perfiles de las unidades L15 y L16 (secciones sur, oeste prima, sur prima, e oeste de la multi-unidad MU1)……104
Figura 2.29 Perfiles de las unidades R16 y R17 (sección norte)……105
Figura 2.30 Perfiles de las unidades R17, Q17, y P17 (sección este)……106
Figura 2.31 Perfiles de las unidades P17, y O16……106
Figura 2.32 Perfiles de las unidades O16, y P16……107
Figura 2.33 Perfiles de las unidades Q17, y R17 (sección oeste)……108
Figura 2.34 Perfiles de la unidad R16……109
Figura 2.35 Perfiles de las unidades P20, O20, y N20 (sección este)……110
Figura 2.36 Perfil 3D del drenaje de cerámica y su extensión de piedra: E34, E121, y E122. Unidades P20, O20, y N20 (sección este)……110
Figura 2.37 Perfiles de las unidades M20, y N19……111
Figura 2.38 Perfiles de las unidades N19, y O19……111
Figura 2.39 Perfiles de la unidad P19……112
Figura 2.40 Perfiles de la unidad P20 (secciones oeste y norte)……112
Figura 2.41 Perfiles de las unidades R19, y R20……113
Figura 2.42 Perfiles de la unidad Q19……114
Figura 2.43 Perfiles norte de las unidades Q20, Q21, Q23, Q24……115
Figura 2.44 Perfiles de las unidades Q24, y P24 (sección este)……116
Figura 2.45 Perfiles de las unidades P24, P23, P22, y P21 (sección sur)……117
Figura 2.46 Perfiles de las unidades I15 y I16……118
Figura 2.47 Perfil norte de K17……119
Figura 2.48 Perfiles este de las unidades K17, J17, y I17……120
Figura 2.49 Perfiles de la unidad I17 (secciones sur y sur prima)……121
Figura 2.50 Perfiles de la unidad I16, y I17 (sección oeste de la multi-unidad MU2)……122
Figura 2.51 Perfiles de las unidades J17, y K17 (sección oeste)……123
Figura 2.52 Perfiles de las unidades L22 y L23, MU16. ……124
Figura 2.53 Perfil de las unidades J21, J22, y J23……125
Figura 2.54 Perfiles de la unidad K21 (sección norte y norte prima)……127
Figura 2.55 Perfil de K22 (sección norte prima)……127
Figura 2.56 Perfiles de las unidades K23, y K24 (sección norte)……128
Figura 2.57 Perfiles de las unidades L17, L18, y L19 (secciones norte y sur)……129
Figura 2.58 Perfil de la unidad L20 (sección este)……130
Figura 2.59 Perfiles de las unidades J19, K19, y L19 (sección oeste)……131
Figura 2.60 Perfiles de la unidad I19……132
Figura 2.61 Perfiles de las unidades I20, I21, I22, I23, y I24 (sección sur)……133
Figura 2.62 Perfiles de las unidades I24, J24, y K24 (sección este)……134
Figura 2.63 Perfiles de las unidades F23 y F24 (MU11)……135

Figura 2.64 Perfiles de las unidades F19, y F20……136
Figura 2.65 Perfiles de la unidad F16……137
Figura 2.66 Plano del entierro 127, individuo 140……138
Figura 2.67 Plano de estructura 22-1……139
Figura 2.68 Plano del entierro 134, individuo 147……140
Figura 2.69 Plano del entierro 131, individuo 144……141
Figura 2.70 Plano del entierro 132, individuo 145……142
Figura 2.71 Plano de E9. Una porción de piso quemado en la unidad P17 (A) Plano de E9; (B) Fotografía del piso quemado en las unidades P17 y su extensión a Q17; (C) Fotografía del piso quemado y endurecido (E9-s1)……143
Figura 2.72 Plano de alineamientos de piedras E110, E111, y E113 con la concentración de cerámica E32……144
Figura 2.73 Plano de horno complejo de tierra (E61, E49, E119, E120)……145
Figura 2.74 Plano de E6. Una ofrenda de piedras de rio con tiestos de cerámica. (A) Plano de E6; (B) Fotografía de E6 in situ……146
Figura 2.75 Plano de la porción cerámica de la tubería de drenaje (E34, E121 y E122)……147
Figura 2.76 Plano de la tubería de drenaje. La porción de cerámica con una extensión hecho de lajas de piedras……148
Figura 2.77 Plano de una porción de la tubería de drenaje. El dibujo demuestra E35 donde se sustentó la base de la tubería de cerámica dentro de la porción de piedras E125. Aquí continuo sólo la construcción de lajas de piedra (E126) y pasó por el medio de E113……149
Figura 2.78 Plano del horno de tierra en bloque norte……150
Figura 2.79 Plano del depósito de terminación E15: (A) L13; (B) L15, y L 16 (MU1); (C) Q11……151
Figura 2.80 Plano del entierro 120, individuo 133 y sus elementos asociados. (A) Límite superior del elemento E116; (B) Elemento E116 parcialmente expuesto; (C) El entierro expuesto en relación con los objectos 1 a 10 de su ofrenda asociada……152
Figura 2.81 Plano de plataformas residenciales y entierros del Clásico Temprano en el bloque central……155
Figura 2.82 Plano del entierro 136, individuo 149……156
Figura 2.83 Plano del entierro 121, individuo 134……157
Figura 2.84 Plano del entierro 122, individuo 135……158
Figura 2.85 Plano del entierro 123, individuo 136……159
Figura 2.86 Plano del entierro 124, individuo 137……160
Figura 2.87 Plano del entierro 125, individuo 138……161
Figura 2.88 Plano del entierro 126, individuo 139……162
Figura 2.89 Plan de operación A con la distribución de las ofrendas excavadas (E6, E15, E99)……163
Figura 2.90 Plano de operación A mostrando la extensión de los basureros excavados……164

Figura 2.91 Plano de Operación A, mostrando las estructuras, entierros y elementos excavados, así como el área intervenida por S. King durante la temporada del 2000……165
Figura 2.92 Fotografía de 7 esferas de arcilla secada en E78-s1……166
Figura 2.93 Fotografía del entierro 127, individuo 140……167
Figura 2.94 Fotografía de la concentración de cerámica, E22-s2, adentro de estructura E22-s1……168
Figura 2.95 Fotografía del entierro 134, individuo 147……168
Figura 2.96 Fotografía del horno de tierra complejo. (A) El horno antes de excavar; (B) El horno con las lajas del canal (E120) y las primeras piedras de E61 removidas; (C) Cerámica integrada en la construcción del lado oeste (E119) del canal del horno; (D) Las piedras del horno (E61) y su perfil……169
Figura 2.97 Fotografía del drenaje incluyendo a sus tres secciones. (A) El drenaje de cerámica (E34, E121, E122) con la primera extensión de piedras de lajas (E125); (B) El drenaje con la sección de lajas de piedras expuesto. E125 se removió para ver sus lados (E123 al este y E124 al oeste); (C) El drenaje con la seccione de lajas y piedras expuesto. E123 fue removido para exponer el base (E35); (D) La tercera extensión del drenaje donde pasa por E113……170
Figura 2.98 Fotografía de E31 en perfil, unidades N20 y O20……171
Figura 2.99 Fotografía de la ofrenda de incensarios antropomorfos, E99, adentro de alineamiento de E108 y E109, en la unidad P19. (A) la unidad completa con (B), (C), y (D); (B) una vasija complete y volteada; (C) Un incensario Incensarios antropomorfos con que estaba adentro de la vasija en (B); (D) Un incensario incensarios antropomorfos en la esquina suroeste……172
Figura 2.100 Fotografía de la ofrenda de incensarios antropomorfos, E99, alrededor del drenaje de cerámica. (A) El drenaje de cerámica con tres depósitos de incensarios antropomorfos (B) y (C); (B) Un depósito de un incensario antropomorfo quebrado con E34; (C) Un depósito de un incensario antropomorfo quebrado al oeste de E121……173
Figura 2.101 Muestras de fotografías de unidades con depósitos de terminación (E15). (A) Las unidades L15, y L16, (MU1); (B) La unidad M14; (C) La unidad L13; (D) La unidad Q11……174
Figura 2.102 Fotografías del Entierro 120, Individuo 133 in situ. (A) Relación de los Objetos 1-5, el individuo y E116-s1; (B) Individuo expuesto en relación con los Objetos 7 a 8; (C) Detalle de los Objetos 1-5……175
Figura 2.103 Fotografía de los Objectos 1-4 de las ofrendas del Entierro 120, Individuo 133. (A) Objectos 1 y 4. (B) Objectos 2 y 3……177
Figura 2.104 Fotografía de los objectos 6-10 asociados con el Entierro 120, Individuo 133……178
Figura 2.105 Fotografía de la aguja de cobre en elemento E54. (A) E54 en la superficie de la unidad Q10, lote 6; (B) La aguja de cobre……179

Figura 2.106 Fotografía del objecto 2 del entierro 120.....180
Figura 2.107 Fotografía del objecto 3 del entierro 120.....180
Figura 3.1 Esquema de ubicación de las unidades excavadas en la Operación B.....240
Figura 3.2 Fotografía aérea de Operación B tomado por el drone.....241
Figura 3.3 Planta de la Operación B Sur.....242
Figura 3.4 Perfiles de las Unidades M16 y M17.....243
Figura 3.5 Fotografía de vista general de las Unidades M16 y M17 indicando el Muro 4 (E18).....244
Figura 3.6 Perfiles de la Unidad MU2 (A18, A19, B18 y B19).....245
Figura 3.7 Fotografía de vista general del Muro 5 (E19).....246
Figura 3.8 Perfiles de las unidades D10, D11 y D12.....246
Figura 3.9 Fotografía del Muro 6 (E16).....247
Figura 3.10 Fotografía del Muro 3 (E16).....247
Figura 3.11 Perfiles de las unidades A17, D17, F17, G17, H17, I17 y J17.....248
Figura 3.12 Perfiles de las unidades H12 y H13.....249
Figura 3.13 Perfiles de las unidades H18, H19, H20 y H21.....250
Figura 3.14 Fotografía del Muro 1 (E23).....251
Figura 3.15 Planta de Ent. 133 I146 (Op. B Sur).....252
Figura 3.16 Fotografía de Ent. 133 I146.....252
Figura 3.17 Planta del círculo de rocas (E3).....253
Figura 3.18 Fotografía del círculo de rocas (E3).....253
Figura 3.19 Plano de Op. B Norte (elementos registrados en excavación).....254
Figura 3.20 Dibujo de planta de los entierros del Clásico Tardío.....255
Figura 3.21 Fotografía de entierros del Clásico Tardío, con correlación a Muro 5 (E29).....255
Figura 3.22 Dibujo de planta Ent. 115 I127.....256
Figura 3.23 Fotografía de Ent. 115 I127.....256
Figura 3.24 Dibujo de perfil del Muro 5 (E29) de Est. 22-11.....257
Figura 3.25 Dibujo de planta del Muro 5 (E29) Est. 22-11.....257
Figura 3.26 Fotografía del Muro 5 (E29) de Est. 22-11.....258
Figura 3.27 Perfil de las unidades MM36, MM37, NN36 y NN37.....259
Figura 3.28 Perfiles de las unidades QQ38, PP38, OO38, y NN38.....260
Figura 3.29 Fotografía de huella de quema (E28).....261
Figura 3.30 Perfiles de las unidades KK44 y NN44.....262
Figura 3.31 Dibujo de planta de entierro doble en la unidad KK44.....263
Figura 3.32 Fotografía de entierro doble en la unidad KK44.....263
Figura 3.33 Dibujo de planta de entierro de perro.....264
Figura 3.34 Fotografía de entierro de perro.....264
Figura 3.35 Perfiles de las unidades GG34, HH34, II34, JJ34, KK34, KK35, KK36, KK37 y KK38.....265
Figura 3.36 Fotografía de depósito de materiales E25-s1.....265
Figura 3.37 Fotografía de depósito de materiales E25-s1, el Muro 4 (E23) y E22-s1.....266
Figura 3.38 Perfiles de unidades GG34, GG35, HH35, II36, II37, y II38.....267

Figura 3.39 Dibujo de planta del Muro 4 (E23) de Est.22-10……268
Figura 3.40 Dibujo de perfil del Muro 4 (E23) de Est.22-10……268
Figura 3.41 Fotografía del Muro 4 (E23) de Est.22-10……269
Figura 3.42 Perfiles de la unidad HH37……270
Figura 3.43 Perfiles de las unidades HH39, II39, JJ39, JJ40, KK40 y LL40……271
Figura 3.44 Depósito de artefactos en HH37 (E22-s2)……272
Figura 3.45 Mano de metate en pared Oeste de HH37 (E22-s2)……272
Figura 3.46 Punta de proyectil recuperado dentro de E22-s2……273
Figura 3.47 Perfiles de las unidades HH39, II39, JJ39, KK39, LL39 y LL40……274
Figura 3.48 Ejemplos de depósitos de cerámica (E20-s2)……275
Figura 3.49 Fotografía de E20-s5……275
Figura 3.50 Fotografía de cajete con soportes zoomorfos encontrado en OO38……276
Figura 3.51 Fotografía de cajete recuperado en PP38 (E20-s5)……276
Figura 3.52 Fotografía de vasija recuperada de NN38 (E20-s5)……277
Figura 3.53 Perfiles de las unidades PP43, PP44, QQ43 y QQ44……277
Figura 3.54 Dibujo de planta de depósito de cerámica (E14-E15)……278
Figura 3.55 Fotografía de depósito de cerámica E14-E15……279
Figura 3.56 Perfiles de la unidad NN33, Muro 3 (E9)……279
Figura 3.57 Dibujo de planta Ent. 119 I132……280
Figura 3.58 Fotografía de planta Ent. 119 I132……281
Figura 3.59 Fotografía de ofrenda funeraria de Ent. 119 I132-1……281
Figura 3.60 Dibujo de planta Ent. 118 I131……282
Figura 3.61 Fotografía de planta Ent. 118 I131……283
Figura 3.62 Fotografía de ofrenda funeraria Ent. 118 I131……283
Figura 3.63 Fotografía de Ent. 119 I132 y Ent. 118 I131, enterados uno al lado del otro……284
Figura 3.64 Dibujo de planta Ent. 117 I130……285
Figura 3.65 Fotografía de Ent. 117 I130……286
Figura 3.66 Dibujo de planta Ent. 135 I148……287
Figura 3.67 Fotografía de planta Ent. 135 I148……288
Figura 3.68 Fotografía de ofrenda funeraria Ent. 135 I148……288
Figura 3.69 Perfiles de unidades KK31 y LL31……289
Figura 3.70 Perfiles de Unidad FF38……289
Figura 3.71 Dibujo de Planta Muro 1 (E36) de Est. 22-9……290
Figura 3.72 Dibujo de Planta de Estructura 22-7 formado por los Muros 2-1 (E37), 2-2 (E38) y 2-3 (E39)……291
Figura 3.73 Fotografía de Muros 1 (E36)……292
Figura 3.74 Fotografía de Muros 2-1 (E37), 2-2 (E38) y 2-3 (E39)……292
Figura 3.75 Perfiles de las unidades OO34 y QQ34……293
Figura 3.76 Dibujo de planta de horno (E5)……294
Figura 3.77 Fotografía de horno (E5)……295
Figura 3.78 Perfiles de unidades QQ31, QQ32, PP31 y PP32……295
Figura 4.1 Ubicación de paleocanales identificados……337

Figura 4.2 Ubicación de transectos de barreno en el lado oeste del Río Verde con sus núcleos de barreno……..338
Figura 4.3 Ubicación de los Transectos 13 y 16 con sus núcleos de barreno……..339
Figura 4.4 Ubicación de los Transectos 14 y 15 con sus núcleos de barreno……..340
Figura 4.5 Árbol aislado a unos 3 m por encima de la elevación general del área de la planicie de inundación donde las excavaciones habían removido sedimentos superficiales……341
Figura 4.6 Lado oeste del Transecto 15 con un cambio mínimo en la elevación desde C.20……342
Figura 4.7 Perfiles de barreno LRV22-24 y LRV22-28. Los estratos están sombreados con el color Munsell identificado y la textura del sedimento listada. Notese la correlación entre la secuencia de horizontes A enterrados (estratos 4 y 8 en LRV22-24 y estratos 4 y 10 en LRV22-28)……..343
Figura 4.8 Ubicación de transectos de barreno en el lado este del Río Verde……344
Figura 4.9 Ubicación del Transecto 2 con sus núcleos de barreno……345
Figura 4.10 Ubicación del Transecto 4 con sus núcleos de barreno……346
Figura 4.11 Perfil transversal del Transecto 4. Las áreas sombreadas indican la correlación de estratos de episodios de depósito similares entre barrenos. Es importante mencionar que los barrenos 5 y 6 de los estratos más bajos son arenas más gruesas con una diferente historia de deposición……347
Figura 4.12 Ubicación del Transecto 5 con sus núcleos de barreno……348
Figura 4.13 Ubicación del Transecto 6 con sus núcleos de barreno……349
Figura 4.14 Área de drenaje cerca de C.38 que muestra una diferencia de la vegetación en un área con una diferencia menor en el relieve……350
Figura 4.15 Ubicación de los Transectos 7 y 8 con sus núcleos de barreno……351
Figura 4.16 Ubicación de los Transectos 7 y 8 con ubicación de núcleos del barreno en Transecto EST-9 rodeado por vegetación. Nótese la diferencia en la elevación topográfica. Estos son de los estrechos meandros en las cercanías de El Tlacuache……352
Figura 4.17 Ubicación del Transecto 9 con sus núcleos de barreno……353
Figura 5.1 Distribución de las formas primarias en las pastas (E34, E121, E122)……362
Figura 5.2 Distribución de los tipos identificados (E34, E121, E122)……363
Figura 5.3 Ejemplo de la cerámica recuperada en el contexto E34, E121, E122: a. T517, b. sin identificado (parte de tubería)……363
Figura 5.4 Distribución de las formas primarias en las pastas (E16, E38, E37)……365
Figura 5.5 Distribución de los tipos identificados (E16, E38, E37)……366
Figura 5.6 Ejemplo de la cerámica recuperada en el contexto E16, E38, E37: a. T308, b. T422, c. T509……367
Figura 5.7 Distribución de las formas primarias en las pastas (E9)……368
Figura 5.8 Distribución de las formas primarias en las pastas (E6)……371
Figura 5.9 Distribución de los tipos identificados (E6)……372
Figura 5.10 Distribución de las formas primarias en las pastas (E22-s2)……374

Figura 5.11 Distribución de los tipos identificados (E22-s2)……375
Figura 5.12 Ejemplo de la cerámica recuperada en el contexto E22-s2: a. T301, b. T402….376
Figura 5.13 Distribución de las formas primarias en las pastas
(E15 - E16, E21, E27 y E38)……378
Figura 5.14 Distribución de los tipos identificados (E15 - E16, E21, E27 y E38)……..379
Figura 5.15 Ejemplo de la cerámica recuperada en el contexto E15 (E16, E21, E27 y E38):
a. T307, b. T308, c. T405, d. T409, e. T410, f. T412, g. T424, h. T425……..381
Figura 5.16 Ejemplo de la cerámica recuperada en el contexto (E15 - E16, E21, E27 y E38):
a. T508, b. T508, c. T531, d. T532……382
Figura 5.17 Distribución de las formas primarias en las pastas (E54)……..384
Figura 5.18 Distribución de los tipos identificados (E54)……..385
Figura 5.19 Distribución de las formas primarias en las pastas (E93)……..388
Figura 5.20 Distribución de los tipos identificados (E93)……..389
Figura 5.21 Distribución de las formas primarias en las pastas (E84 – E11 y E85)……..391
Figura 5.22 Distribución de los tipos identificados (E84 – E11 y E85)……..392
Figura 5.23 Ejemplo de la cerámica recuperada en el contexto (E84 – E11 y E85):
a. T4, b. T5, c. T104, d. T112, e. T202, f. T403, g. T509, h. T524, i. T524……394
Figura 5.24 Distribución de las formas primarias en las pastas (E11)……..396
Figura 5.25 Distribución de los tipos identificados (E11)……..397
Figura 5.26 Ejemplo de la cerámica recuperada en el contexto E11:
a. T402, b. T408, c. T409, d. T412, e. T508, f. T523……399
Figura 5.27 Distribución de las formas primarias en las pastas (E20-s1)……400
Figura 5.28 Distribución de los tipos identificados (E20-s1)……401
Figura 5.29 Ejemplo de la cerámica recuperada en el contexto E20-1: a. T408, b. 409,
c. T425, d. T501, e. s/i (cajete semiesférico de pasta Anaranjada)……..402
Figura 5.30 Distribución de las formas primarias en las pastas (E20-s3)……404
Figura 5.31 Distribución de los tipos identificados (E20-s3)……405
Figura 5.32 Ejemplo de la cerámica recuperada en el contexto E20-s3: a. T308, b. T402,
c. T402, d. T425, e. T525, f. T531, g. s/i (Botellón/Cántaro de pasta gris)……406
Figura 5.33 Distribución de las formas primarias en las pastas (E20-s5)……408
Figura 5.34 Distribución de los tipos identificados (E20-s5)……409
Figura 5.35 Ejemplo de la cerámica recuperada en el contexto E20-s5: a. T307,
b. T308, c. T404, d. T409, e. T412, f. T501, g. T507, h. 508……..411
Figura 5.36 Distribución de las formas primarias en las pastas (E22-s1 y s2)……413
Figura 5.37 Distribución de los tipos identificados (E22-s1 y s2)……414
Figura 5.38 Ejemplo de la cerámica recuperada en el contexto E22-2: a. T307,
b. T308, c. T310, d. T410, e. T412, f. T424, g. T507, h. T522, i. T528……415
Figura 5.39 Distribución de las formas primarias en las pastas (E22-s4)……417
Figura 5.40 Distribución de los tipos identificados (E22-s4)……418
Figura 5.41 Distribución de las formas primarias en las pastas (E11/16)……..421
Figura 5.42 Distribución de los tipos identificados (E11/16)……..422
Figura 5.43 Ejemplo de la cerámica recuperada en el contexto E11/16: a. T308,

b. T402, c. T409, d. T508, e. T526……..423
Figura 5.44 Distribución de las formas primarias en las pastas (E25-s5)……...425
Figura 5.45 Distribución de los tipos identificados (E25-s5)……426
Figura 5.46 Distribución de las formas primarias en las pastas (E3)……429
Figura 5.47 Distribución de los tipos identificados (E3)……430
Figura 5.48 Ejemplo de la cerámica recuperada en el contexto E3: a. T112, b. T112……431
Figura 5.49 Distribución de las pastas en los diferentes contextos……432
Figura 5.50 Distribución de Cuenta y Peso de la obsidiana en los contextos……..433
Figura 5.51 Dibujos de algunos ejemplares de líticas encontradas: a) Op. A MU16-7 (FS 22-3352); b) Op. A. M13-4 (FS 22-2562); c) Op. A. MU9-13 (FS 22-2964); d) Op. B HH37-5 (FS 22-9935); e) Op. B MU11-4 (FS 22-9911); y f) Op. A MU30-1 (FS 22-3804)……..446
Figura 6.1 Basado en las cifras de la Tabla 6.1 se presenta la frecuencia porcentual de las figurillas……457
Figura 9.1 Maquina de flotación……626
Figura 9.2 Grano de maíz……627
Figura 9.3 Semillas de verdolagas……..627
Figura D.1 Mapa topográfico de Rio Viejo con la ubicación de las distintas operaciones (Tomado de Joyce y Barber, 2021)……..820
Figura D.2 Ejemplo de la cerámica analizada (FS 19-4422)……821
Figura D.3 Ejemplo de registro de atributos cerámicos……..822
Figura D.4 Porcentajes de cuenta y peso de los bordes analizados en Ofrenda E34……..824
Figura D.5 Cuenta y porcentaje de forma general en Ofrenda E34……825
Figura D.6 Ejemplo de la cerámica recuperada en Ofrenda E34. 19-1069: cajete cilíndrico pasta gris; 19-1162 cajete cónico pasta gris; 19-1094: 1) olla pasta gris, 2) cajete cilíndrico pasta gris, 3) cajete cilíndrico pasta gris, 4) cajete silueta compuesta pasta gris……826
Figura D.7 Cajete cilíndrico pasta café grueso (FS-19-1122)……826
Figura D.8 Porcentajes de cuenta y peso de los bordes analizados en Ofrenda E37 y E38……827
Figura D.9 Cuenta y porcentaje de forma general en Ofrenda E37 y E38……..828
Figura D.10 Ejemplo de la cerámica recuperada en Ofrenda E37 y E38: 19-286: 1) comal pasta café grueso, 2) cajete cónico pasta gris; 19-269: 1) olla cuello corto pasta café grueso, 2) cajete cónico pasta gris; 19-296: 2) cajete cónico pasta gris; 19-308: 1) olla cuello corto pasta café grueso, 5) cajete curvo-convergente pasta gris, 6) cajete cónico pasta gris……..830
Figura D.11 Porcentajes de cuenta y peso de los bordes analizados en Ofrenda E44……..831
Figura D.12 Cuenta y porcentaje de forma general en Ofrenda E44……831
Figura D.13 Cerámica recuperada. 19-698: 1) botellón/cántaro pasta gris, 2) cajete cónico pasta gris con un escalón en la pared interior, 3) cajete cónico pasta gris; 19-732: 1) cajete cónico pasta gris (borde evertido), 2) cajete cónico pasta gris con un escalón en la pared interior; 19-739: 1) olla cuello

corto pasta café grueso, 2) cajete cónico pasta gris, 3) cajete cónico pasta gris con un escalón en la pared interior……832
Figura D.14 Porcentajes de cuenta y peso de los bordes analizados en Ofrenda E49…….833
Figura D.15 Cuenta y porcentaje de forma general en Ofrenda E49……834
Figura D.16 Illustración de las principales formas en Ofrenda E49. 19-228: 1) Olla cuello corto pasta café grueso; 19-258: 1) Ollas cuello corto pasta café grueso, 6) Cajete silueta compuesta pasta gris 7) Cajete semiesférico pasta gris, 9) Cajete cónico pasta gris, 11) Cajete semiesférico pasta gris; 19-231: 1) Cajete semiesférico pasta gris, 3) Cajete cónico pasta gris; 19-293: 2) Olla Botellón/Cántaro pasta gris; 19-300: Cajete cónico pasta gris……835
Figura D.17 Distribución de forma general en Ofrenda E56……836
Figura D.18 Cerámica del contexto E56……836
Figura D.19 Porcentaje de pastas y distribución en forma general en Ofrenda E7 y E8…….837
Figura D.20 Cuenta y porcentaje de forma general en Ofrenda E7 y E8……838
Figura D.21 Ilustración de las principales formas en ofrenda E7 y E8. 19-3066: 1) Olla cuello alto pasta café grueso; 19-3102: 1) Olla cuello corto pasta café grueso, 5) Cajete cilíndrico pasta gris; 19-3059: 1) Olla cuello corto pasta café grueso, 2) Cajete cónico pasta café grueso, 4) Cajete cónico pasta gris; 19-3124: 4) Cajete semiesférico pasta gris, 5) Cajete curvo-convergente pasta gris, 6) Cajete cónico pasta gris; 19-3106: 4) Cajete cónico pasta gris, 5) Cajete cilíndrico pasta gris; 19-3093: 4) Cajete curvo-convergente pasta gris; 19-3038: 4) Cajete cónico pasta gris……840
Figura D.22 Porcentaje de pastas y distribución en forma general en Basurero E3……..841
Figura D.23 Cuenta y porcentaje de forma general en Basurero E3……842
Figura D.24 Ilustración de las principales formas en Basurero E3. 19-3110: 1) Olla cuello alto pasta café grueso, 2) Cajete cónico pasta café grueso ; 19-3116: 2) Cajete semiesférico pasta café grueso, 3) Olla Tecomate pasta café grueso, 8) Cajete silueta compuesta pasta gris, 9) Cajete silueta compuesta pasta gris; 19-3159: 2) Cajete semiesférico pasta gris; 19-3125: 7) Cajete semiesférico pasta gris (boca restringida); 19-3142: Cajete semiesférico pasta gris; 19-3187: Olla Botellón/Cántaro pasta gris; 19-3168: Cajete semiesférico pasta gris; 19-3190: 1) Cajete cónico pasta gris (fondo peinado)……843
Figura D.25 Porcentaje de pastas y distribución en forma general en Basurero E21……844
Figura D.26 Cuenta y porcentaje de forma general en Basurero E21……..845
Figura D.27 Ilustración de las principales formas en Basurero E21. 19-4369: 1) Olla cuello corto pasta café grueso, 3) Cajete cónico pasta gris; 19-4422: 1) Olla cuello corto pasta café grueso; 19-4387: 2) Cajete curvo convergente pasta gris, 3) Cajete cónico pasta gris, 4) Cajete cilíndrico pasta gris; 19-4430: 3) Cajete cónico pasta gris; 19-4416: 1) Olla Botellón/Cántaro pasta gris; 19-4335: 1) Cajete cónico pasta gris; 19-4405: Cajete cónico pasta gris; 19-4374: 4) Cajete cilíndrico pasta gris……846

Figura D.28 Distribución de las pastas en los diferentes contextos. Las siglas OF indican que el contexto es una ofrenda y BA que es un basurero……..847
Figura D.29 Ejemplo de registro atributos obsidiana……848
Figura D.30 Cuenta, peso y distribución de la obsidiana analizada en los contextos……..849
Figura D.31 Ejemplos de Obsidiana analizada de la unidad 5LMU1, 1) Navajilla prismática proximal verde (5LMU1-4, 19-288); 2) Lasca verde (5LMU1-4, 19-288); 3) Navajilla prismática verde (5LMU1-5, 19-301), 4) Navajilla prismática verde (5LMU1-5, 19-301); 5) Navajilla prismática proximal verde, con desgaste (5LMU1-6, 19-312); 6) Navajilla prismática medial verde (5LMU1-6, 19-312)…851
Figura D.32 Ejemplos de Obsidiana analizada de la unidad MU3: 1) Navajilla prismática gris (MU3-1, 19-373); 2) Navajilla prismática proximal, gris (MU3-1, 19-373); 3) Navajilla prismática gris (MU3-3, 19-390); 4) Navajilla prismática gris (MU3-3, 19-390)……853
Figura D.33 Ejemplos de Obsidiana analizada de la unidad 5L99-27 (19-233): 1) Navajilla retocada a raspador; 2) Lasca gris……..854
Figura E.1 Ejemplo de toma de muestra en campo: a) Área general de interés, en este caso se trata de la Unidad KK37 en la Operación B. donde se identificó una superficie blanca más dura, que pudiese ser un piso; b) excavación del bloque, nótese la alineación de tepalcates horizontales en la zona, posiblemente marcando una preparación para la superficie blanca; c) Área después de la toma de muestra; y d) Bloques finales con información de orientación y procedencia marcada sobre el bloque……..870
Figura E.2 Ejemplo del procedimiento de elaboración de láminas delgadas: a) secado de las muestras; b) secado de bloques impregnados; c) Corte de los bloques impregnados; y d) desbaste de los bloques y primer acercamiento a la mesomorfología……871

# ÍNDICE DE TABLAS


Tabla 2.1 Datum establecidos en la Operación A……20
Tabla 2.2 Multi-unidades de la Operación A……21
Tabla 2.3 Descripción de los elementos estratigráficos encontrados en la Operación A……..27
Tabla 3.1 Multi-unidades de la Operación B Sur……183
Tabla 3.2 Multi unidades de la Operación B Norte……..183
Tabla 3.3 Datum establecidos en la Operación B……..187
Tabla 3.4 Descripción de los elementos estratigráficos encontrados en la Operación B Sur….188
Tabla 3.5 Descripción de los elementos estratigráficos encontrados en la Operación B Norte……..201
Tabla 4.1 Registro de datos de núcleos de barreno en la planicie aluvial del Río Verde inferior……305
Tabla 4.2 Tabla de tipos de corriente……335
Tabla 4.3 Análisis estadístico de tipo de corriente para normalizar el tamaño muestreo……..335
Tabla 5.1 Contextos análisis detallado……355
Tabla 5.2 Relación Bordes Muestrados vs Bordes Presentes en el contexto, con su Porcentaje (% Bordes analizados). Se presenta la cuenta y peso de la cerámica total del contexto y sus porcentajes comparando con la muestra analizada……360
Tabla 5.3 Porcentaje de cuenta y peso en forma general por pasta (E34, E121, E122)……..361
Tabla 5.4 Porcentaje de cerámica por pastas del contexto (E34, E121, E122)……362
Tabla 5.5 Cuenta y porcentaje de formas especificas en los cajetes y ollas……..363
Tabla 5.6 Porcentaje de Cuenta y Peso de la Forma General en pastas (E16, E38, E37)……..364
Tabla 5.7 Porcentaje de cerámica por pastas del contexto (E16, E38, E37)……..365
Tabla 5.8 Cuenta y porcentaje de formas especificas en los cajetes y ollas (E16, E38, E37)……366
Tabla 5.9 Porcentaje de Cuenta y Peso de la Forma General en pastas (E9)……..367
Tabla 5.10. Porcentaje de cerámica por pastas del contexto (E9)……368
Tabla 5.11 Cuenta y porcentaje de formas especificas en los cajetes (E9)……369
Tabla 5.12 Porcentaje de Cuenta y Peso de la Forma General en pastas (E6)……370
Tabla 5.13 Porcentaje de cerámica por pastas del contexto (E6)……371
Tabla 5.14 Cuenta y porcentaje de formas especificas en los cajetes y ollas (E6)……373
Tabla 5.15 Porcentaje de Cuenta y Peso de la Forma General en pastas (E22-s2)……374
Tabla 5.16 Porcentaje de cerámica por pastas del contexto (E22-s2)……375
Tabla 5.17 Cuenta y porcentaje de formas especificas en los cajetes y ollas (E22-s2)……376
Tabla 5.18 Porcentaje de Cuenta y Peso de la Forma General en pastas (E15 - E16, E21, E27 y E38)……..377
Tabla 5.19 Porcentaje de cerámica por pastas del contexto (E15 - E16, E21, E27 y E38)……378
Tabla 5.20 Cuenta y porcentaje de formas especificas en los cajetes y ollas (E15 - E16, E21, E27 y E38)……..380

Tabla 5.21 Porcentaje de Cuenta y Peso de la Forma General en pastas (E54)……383
Tabla 5.22 Porcentaje de cerámica por pastas del contexto (E54)……384
Tabla 5.23 Cuenta y porcentaje de formas especificas en los cajetes y ollas (E54)……386
Tabla 5.24 Porcentaje de Cuenta y Peso de la Forma General en pastas (E93)……387
Tabla 5.25 Porcentaje de cerámica por pastas del contexto (E93)……388
Tabla 5.26 Cuenta y porcentaje de formas especificas en los cajetes y ollas (E93)……389
Tabla 5.27 Porcentaje de Cuenta y Peso de la Forma General en pastas (E84 – E11 y E85)……390
Tabla 5.28 Porcentaje de cerámica por pastas del contexto (E84 – E11 y E85)……391
Tabla 5.29 Cuenta y porcentaje de formas especificas en los cajetes y ollas (E84 – E11 y E85)……393
Tabla 5.30 Porcentaje de Cuenta y Peso de la Forma General en pastas (E11)……395
Tabla 5.31 Porcentaje de cerámica por pastas del contexto (E11)……396
Tabla 5.32 Cuenta y porcentaje de formas especificas en los cajetes y ollas (E11)……398
Tabla 5.33 Porcentaje de Cuenta y Peso de la Forma General en pastas (E20-s1)……400
Tabla 5.34 Porcentaje de cerámica por pastas del contexto (E20-s1)……401
Tabla 5.35 Cuenta y porcentaje de formas especificas en los cajetes y ollas (E20-s1)……402
Tabla 5.36 Porcentaje de Cuenta y Peso de la Forma General en pastas E20-s3……403
Tabla 5.37 Porcentaje de cerámica por pastas del contexto (E20-s3)……404
Tabla 5.38 Cuenta y porcentaje de formas especificas en los cajetes y ollas (E20-s3)……405
Tabla 5.39 Porcentaje de Cuenta y Peso de la Forma General en pastas (E20-s5)……407
Tabla 5.40 Porcentaje de cerámica por pastas del contexto (E20-s5)……408
Tabla 5.41 Cuenta y porcentaje de formas especificas en los cajetes y ollas (E20-s5)……410
Tabla 5.42 Porcentaje de Cuenta y Peso de la Forma General en pastas (E22-s1 y s2)……412
Tabla 5.43 Porcentaje de cerámica por pastas del contexto (E22-s1 y s2)……413
Tabla 5.44 Cuenta y porcentaje de formas especificas en los cajetes y ollas (E22-s1 y s2)……415
Tabla 5.45 Porcentaje de Cuenta y Peso de la Forma General en pastas (E22-s4)……416
Tabla 5.46 Porcentaje de cerámica por pastas del contexto (E22-s4)……417
Tabla 5.47 Cuenta y porcentaje de formas especificas en los cajetes y ollas (E22-s4)……419
Tabla 5.48 Porcentaje de Cuenta y Peso de la Forma General en pastas (E11/16)……420
Tabla 5.49 Porcentaje de cerámica por pastas del contexto (E11/16)……421
Tabla 5.50 Cuenta y porcentaje de formas especificas en los cajetes y ollas (E11/16)……423
Tabla 5.51 Porcentaje de Cuenta y Peso de la Forma General en pastas (E25-s5)……424
Tabla 5.52 Porcentaje de cerámica por pastas del contexto (E25-s5)……425
Tabla 5.53 Cuenta y porcentaje de formas especificas en los cajetes y ollas (E25-s5)……427
Tabla 5.54 Porcentaje de Cuenta y Peso de la Forma General en pastas (E3)……428
Tabla 5.55 Porcentaje de cerámica por pastas del contexto (E3)……429
Tabla 5.56 Cuenta y porcentaje de formas especificas en los cajetes y ollas (E3)……431
Tabla 5.57 Descripción general de obsidiana (E34, E121, E122)……434
Tabla 5.58 Descripción general de obsidiana (E6)……434
Tabla 5.59 Descripción general de obsidiana (E15)……435
Tabla 5.60 Descripción general de obsidiana (E54)……436
Tabla 5.61 Descripción general de obsidiana (E93)……436

Tabla 5.62 Descripción general de obsidiana (E84)……437
Tabla 5.63 Descripción general de obsidiana (E11)……438
Tabla 5.64 Descripción general de obsidiana (E20-s5)……439
Tabla 5.65 Descripción general de obsidiana (E22-s1 y s2)……440
Tabla 5.66 Descripción general de obsidiana (E22-s4)……441
Tabla 5.67 Descripción general de obsidiana (E11/16)……442
Tabla 5.68 Descripción general de obsidiana (E25-s5)……443
Tabla 5.69 Descripción general de obsidiana (E3)……443
Tabla 5.70 Cuenta obsidiana por contexto y forma……444
Tabla 5.71 Cuenta obsidiana por contexto y color……445
Tabla 6.1 Codigos de descripción de figurillas……456
Tabla 6.2 Clasificación de categorías generales de figurillas y su frecuencia……456
Tabla 6.3 Figurillas de E3, E31, y E36……458
Tabla 6.4 Figurillas de E4, E7, E9, y el Entierro 131 (lotes P17-2 a 8 / Q17-3 a 9)……459
Tabla 6.5 Figurillas de E6, E4, E7; lotes P16-11 a 18……459
Tabla 6.6 Figurillas de E54; lotes Q10-5 a 6……460
Tabla 6.7 Figurillas de E38, E40, E42, E43, E48, E49, E61, E119, E120; lotes O10-6 / MU8-4 y 5 / MU14-1 a 3 / N10-1 a 9 / MU27-3……460
Tabla 6.8 Figurillas de E15-s1 y E15-s2; lotes L13-5 a 11 / MU1-7 a 11 / M13-1 a 3 / M14-4 a 6 / MU20-6 y 9 / MU21-5 y 6 / MU22-3 y 4 / MU8-3 / O10-3 y 4 / O11-3 a 8 / P11-2 a 6 / Q11-3 a 7 / P10-5 / Q10-2 a 4……461
Tabla 6.9 Figurillas de E11, E84, E85, E88; lotes F24-8 A 19 / F23-5 A 19 / MU11-1 a 12……464
Tabla 6.10 Figurillas de E11, E12, E13, E33; lotes I17-4 / MU2-1 a 18 / J17-4 a 16 / K17-4 a 15 / MU4-1 a 6 / MU16-3 a 17 / I19-3 a 9 / I20-3 a 5 / I21-3 a 5 / I22-3 a 7 / I24-1 y 2 / J19-6 a 10 / J22-4 a 11 / K19-3 y 4 / MU36-1 / MU17-2 a 6 / F23-2 a 4 / F24-2 a 6……467
Tabla 6.11 Figurillas de E20-s5; lotes PP38-8 a 12 / OO38-6 a 13 / QQ38-7 a 10……473
Tabla 6.12 Figurillas de E22-s3; lotes II38-9 y 10 / HH39-6 a 8 / II39-6 y 7……475
Tabla 6.13 Figurillas de E20-s1; lote LL40-5……476
Tabla 6.14 Figurillas de E20-s5; lote JJ39-7 y 8 / JJ40-5 y 6 / KK39-5 / MU6-2……477
Tabla 6.15 Figurillas de E20-s3; lote GG35-6……478
Tabla 6.16 Figurillas del basurero del clásico tardío (E22-s2; lotes HH37-5 / MU13-1 / II38-11 a 13……479
Tabla 6.17 Figurillas de E2, E3 y E4; lotes QQ44-2 a 3/ QQ43-2 a 3/ PP44-2 a 3/ PP43 2 a 4……480
Tabla 6.18 Figurillas de E11, E12, E13, E14, E15, E16; lotes QQ44-4 a 7/ QQ43-4 a 6/ PP44-4 a 9……481
Tabla 6.19 Figurillas de E20-s5; lotes NN38-6 a 10……482
Tabla 6.20 Figurillas de E25-s1; lote MU11-1 a 4 / MU12-1 a 3……484
Tabla 6.21 Rostros detallados de diferentes tipos……486
Tabla 6.22 Maquetas……494
Tabla 6.23 Instrumentos musicales……496
Tabla 6.24 Figurillas con forma de Guajolote……502

Tabla 6.25 Figurillas planas……507
Tabla 6.26 Tabla completa de figurillas……523
Tabla 8.1 Procedencia de la muestra osteológica examinada……590
Tabla 8.2 Procedencia de la muestra malacológica examinada……594
Tabla 8.3 Frecuencia de los taxones identificados en la muestra osteológica recuperada de los basureros excavados en las operaciones A y B del PRV-2022, en Rio Viejo, Oaxaca……601
Tabla 8.4 Frecuencia de los taxones identificados en la muestra malacológica recuperada de los basureros excavados en las operaciones A y B del PRV-2022, en Rio Viejo, Oaxaca……602
Tabla 8.5 Frecuencia de los taxones identificados en la muestra osteológica recuperada de los basureros de la Fase Yuta Tiyoo excavados en la Operación B del PRV-2022, en Rio Viejo, Oaxaca……604
Tabla 8.6 Frecuencia de los taxones identificados en la muestra osteológica recuperada de los basureros de la Fase Yugüe excavados en la Operación A del PRV22 en Rio Viejo, Oaxaca……606
Tabla 8.7 Frecuencia de los taxones identificados en la muestra malacológica recuperada de los basureros de la Fase Yuta Tiyoo excavados en la Operación B del PRV22 en Rio Viejo, Oaxaca……609
Tabla 8.8 Frecuencia de los taxones identificados en la muestra malacológica recuperada de los basureros de la Fase Yugüe excavados en la Operación A del PRV22 en Rio Viejo, Oaxaca……611
Tabla 8.9 Procedencia del hueso humano desarticulado recuperado en las operaciones A y B del PRV-2022 en Rio Viejo, Oaxaca, e identificada por el Laboratorio de Arqueozoología de la UASLP……613
Tabla 8.10 Procedencia de la fauna con modificaciones culturales recuperada en las operaciones A y B del PRV-2022 en Rio Viejo, Oaxaca, e identificada por el Laboratorio de Arqueozoología de la UASLP……614
Tabla 9.1 Muestras examinadas……619
Tabla 9.2 Resultados del estudio (cf. significa potencial identificación)……623
Tabla B.1 Vasijas Enteras de Proyecto Rio Verde-2022……674
Tabla C.1 Formato de registro de material en laboratorio de campo……688
Tabla C.2 Cantidad y peso por categoría de pasta cerámica, PRV-2022……689
Tabla C.3 Porcentaje de cerámica diagnóstica por período para cada contexto……734
Tabla C.4 Porcentaje de cerámica diagnóstica por período para cada contexto de las muestras de flotación……792
Tabla C.5 Materiales especiales excavados por el PRV-2022……795
Tabla C.6 Bajareque recuperado por el PRV-2022……810
Tabla D.1 Contextos analizados del PRV-2019……820
Tabla D.2 Bordes analizados vs Total cerámica de cada contexto y su porcentaje representativo. O = Ofrenda, B = Basurero. La cuenta y peso total se obtuvieron del Informe PRV2019. El porcentaje de la cuenta y peso

de los bordes analizados es a partir del total de la cerámica del contexto……823
Tabla D.3 Cuenta y porcentaje de formas especificas en los cajetes ofrenda E34……825
Tabla D.4 Cuenta y porcentaje de formas específicas en cajetes en Ofrenda E37 y E38……..829
Tabla D.5 Cuenta y porcentaje de formas específicas en ollas en Ofrenda E37 y E38……829
Tabla D.6 Cuenta y porcentaje de formas específicas en cajetes y ollas en Ofrenda E44……832
Tabla D.7 Cuenta y porcentaje de formas específicas en Ofrenda E49……835
Tabla D.8 Cuenta y porcentaje de formas específicas en cajetes en Ofrenda E7 y E8……839
Tabla D.9 Cuenta y porcentaje de formas específicas en ollas en Ofrenda E7 y E8……..839
Tabla D.10 Cuenta y porcentaje de formas específicas en Basurero E3……..840
Tabla D.11 Cuenta y porcentaje de formas específicas en cajetes y ollas en Basurero E21……..846
Tabla D.12 Descripción general de obsidiana contexto E34……850
Tabla D.13 Descripción general de obsidiana contexto E37/38……851
Tabla D.14 Descripción general de obsidiana contexto E44……852
Tabla D.15 Descripción general de obsidiana contexto E49……854
Tabla D.16 Descripción general de obsidiana contexto E7 y E8……855
Tabla D.17 Cuenta obsidiana por contexto y forma……856
Tabla D.18 Cuenta obsidiana por contexto y color……856
Tabla E.1 Listado de muestras tomadas para el análisis micromorfológico……872

# AGRADECIMIENTOS

Muchos individuos e instituciones facilitaron la realización del Proyecto Río Verde 2022 (PRV22) que se llevó a cabo bajo los auspicios del Consejo de Arqueología del Instituto Nacional de Antropología e Historia. Agradecemos especialmente la cooperación de la Dra. Laura Ledesma Gallegos, presidenta del Consejo de Arqueología, y al Dr. Joel Omar Vázquez Herrera, director del Centro INAH Oaxaca, así como al Arqlga. Cira Martínez López del Centro INAH Oaxaca para toda su ayuda. Los fondos y apoyos para el PRV-2022 vinieron de la Fundación Nacional de Ciencia de los Estados Unidos y de la Sociedad Japonesa para la Promoción de la Ciencia. Muchas personas en la costa de Oaxaca nos ayudaron durante el proyecto. Agradecemos el apoyo de los presidentes municipales de Santiago Jamiltepec y de Villa de Tututepec de Melchor Ocampo, los miembros del Comité del Museo Comunitario de Tututepec, los agentes de policía de Río Viejo y San José del Progreso, Don Roberto Iglesia, Don Domingo Rodríguez, Don Sergio Uvaldo Olmedo Vielma, y Doña Natalia Gonzales. Entre todos nuestros amigos en la costa de Oaxaca, queremos agradecer en especial la amistad y apoyo de Demetrio Herrera, y toda la familia Herrera; Doña Chica, Maribel, y Pilar Barroso; y especialmente Doña Victoria López Quijano y Doña Inés Martínez Santiago. También queremos agradecer a los habitantes de Río Viejo y San José del Progreso quienes trabajaron con nosotros durante la temporada de campo: Cesar Alarcón Guillen, Alexander Alegre, Arturo Arellanes, Luis Arturo Arellanes, Anna Alicia Arellano Peñaloza, Aldair Alvarado, Alfredo Bacho, Gabriela Bernal Quiroz, Norma Bernal Aragón, Miriam Betancourt, Olivia Calderón Carrillo, Yamilet Calderón Mata, Jorge Miguel Camacho Rodríguez, Alberto Canseco, Cristofer Canseco, José Delarea Camacho, Bruno Domínguez, Marco Domínguez Gúzman, Ricardo Domínguez, Cristina Estrada Martínez, Alan Gonzáles, Beto Gonzáles, Adalberto Gutiérrez, Ángel Gutiérrez, Brayan Gutiérrez Rodríguez, Jesus Gutiérrez, Vicente Gutiérrez, Maribel Guzman Rojas, Mario Hernández, Rosa López Villa, Victoria López Quijano, Uriel Luevano Figueroa, Floriberto Marcial Garciniega, Alfredo Mariche, Edgar Mariche Domínguez, Gustavo Francisco Mariche Canseco, Leobardo

Mariche Gonzáles, Inés Martínez Santiago, Gorgonio Morga, Alan Olmedo, Ubaldo Marcelino Olmedo Castellanos, Minerva Quiroz Pérez, Aron Rodríguez Arcinego, Brayan Rodríguez Domínguez, William Rodríguez Díaz, José Ronquillo, Petra Ruíz, Fermín Santiago Abana, Juan Carlos Santiago, Diego Silva Cruz, Yesenia Soto, y Julio Zavaleta Gonzáles. Queremos agradecer especialmente a Natalie Festa, quien ilustró artefactos cerámicos y líticos con el apoyo de una beca de investigación estudiantil Wagoner de la Universidad de Rice. Además, agradecemos la entrega por parte de los estudiantes que fungieron como auxiliares en el Laboratorio de Arqueozoología de la Universidad Autónoma de San Luis Potosí: Eric Tlacaelel Guerrero Salazar, Uriel Rodrigo Nava Esparza, Xóchil Citlali Guzmán Gudiño, Victor Eduardo Robledo Hernández, Ikram de Loera Torres, Daniel Coronado Lozano, Jesus Isaí Silva Aranda y Jonathan Antonio Loredo Rodríguez.

# CAPÍTULO 1 – Introducción

## Arthur A. Joyce y Akira Ichikawa

## 1.1 Introducción

Este informe presenta los resultados del Proyecto Río Verde 2022 (PRV-2022) que se llevó a cabo en el valle inferior del Río Verde, en la costa Pacífica de Oaxaca (Figura 1.1). El PRV-2022 consistió en excavaciones arqueológicas y análisis de artefactos, ecofactos, y entierros humanos. La investigación de campo se llevó a cabo durante un periodo de tiempo de 28 semanas (entre enero y agosto del 2022) con la aprobación del Consejo de Arqueología del Instituto Nacional de Antropología e Historia (Apéndice A). El PRV-2022 se trató de la sexta fase de un proyecto multi-anual, el cual fue diseñado para examinar la formación, desarrollo, organización, y caída del sistema estatal en la parte inferior del valle del Río Verde. Esta etapa de investigación se enfoca en el colapso de la unidad política de Río Viejo entre el Clásico Tardío y el Posclásico Temprano a través de excavaciones en áreas domésticas en el sitio de Río Viejo y el estudio de la geomorfología de la planicie aluvial del Río Verde. Investigaciones anteriores han demostrado que las instituciones gubernamentales y la dinastía gobernante en el centro político regional de Río Viejo declinaron alrededor de 800 d.C. (Joyce 2009, 2010; Joyce y Forde 2014; Joyce y Levine 2009; King 2003). A lo largo de Mesoamérica, el colapso del período Clásico se ha relacionado con el cambio climático y el impacto humano en el medio ambiente (p.e., Douglas et al. 2015; Iannone 2014; Lachniet et al. 2012) y algunos datos sugieren que estos fueron factores causales en Oaxaca (Borejsza y Joyce 2017; Goman et al. 2018; Mueller et al. 2012). Sin embargo, pocos estudios han logrado demostrar vínculos causales directos entre el cambio ambiental y los componentes humanos de los sistemas socioambientales, lo que ha dado lugar a un debate considerable.

El objetivo del PRV-2022 fue probar la hipótesis de que los cambios climáticos, así como los impactos antropogénicos en el medioambiente, afectaron la economía doméstica, la dieta y la salud de la población humana. La economía doméstica se investigó a través de excavaciones de residencias de la gente común en Río Viejo durante los períodos Clásico Tardío y Posclásico Temprano. Nos enfocamos en la gente común porque eran la gran mayoría de la población y los principales productores de alimentos. Además del análisis de los artefactos recuperados durante las excavaciones del PRV-2022, se realizó estudios adicionales de artefactos líticos y cerámicos recuperados durante el PRV-2019 atendiendo a las observaciones del Informe Final del PRV-2019 (Joyce y Barber 2021) por el Consejo de Arqueología del INAH (No. de Oficio 401.1S.3-2021/953).

El proyecto también examinó los cambios medioambientales en la planicie aluvial del valle inferior del Río Verde que podrían haber afectado la productividad agrícola de la región. Esta investigación implicó investigaciones geomorfológicas de cauces de ríos abandonados a través de la excavación de núcleos de barreno en la planicie aluvial fuera de los sitios arqueológicos.

## 1.2 Análisis de Antecedentes

El Proyecto Río Verde ha sido diseñado para examinar los orígenes y los colapsos de sociedades complejas en el valle inferior del Río Verde a través de investigaciones arqueológicas y paleoambientales. El presente proyecto tiene antecedentes en los resultados de los varios proyectos anteriores en la región inferior del Río Verde, incluyendo el *Proyecto Patrones de Asentamiento del Río Verde 1994-95; Proyecto Río Verde, Temporada 2000; Proyecto Río Verde, Temporada 2009; Proyecto Río Verde, Temporada 2012; Proyecto Río Verde, Temporada 2013, y el Proyecto Río Verde, Temporada 2019* (ver Barber y Joyce 2011, 2012; Joyce 1999, 2011; Joyce y Barber 2011, 2015a, 2021; Joyce y Levine 2009; Joyce et al. 1998).

Investigaciones anteriores en el valle del bajo Río Verde muestran que la región pasó por tres ciclos de centralización política y de colapso (Barber y Joyce 2007; Joyce 1991, 2005, 2010, 2013; Joyce y Forde 2014; Joyce et al. 1998). El período más temprano empezó con la aparición de la complejidad social durante la fase Minizundo del período Formativo Tardío (400-150 a.C.) y culminó con el breve auge del estado de Río Viejo durante la fase Chacahua del período Formativo Terminal (100-250 d.C.; Barber 2011; Barber y Joyce 2007; Joyce 2005, 2010; 2013; Joyce y Barber 2015b, 2017; Joyce y Forde 2014; Joyce et al. 1998). El segundo ciclo de centralización y caída ocurrió con la reaparición del estado de Río Viejo durante la fase Yuta Tiyoo del Clásico Tardío (500-800 d.C.) seguido por su caída durante la fase Yugüe del Posclásico Temprano (800-1100 d.C.; Joyce y Forde 2014; Joyce et al. 2001, 2014; King 2003; Meehan 2019; Urcid y Joyce 1999). El período final de centralización ocurrió durante el Posclásico Tardío con la fundación del centro imperial de Tututepec por el Señor 8 Venado, Garra de Jaguar (Joyce et al. 2004; Joyce y Levine 2009; Levine 2007; 2011; Levine y Joyce 2014), el cual terminó con la Conquista Española en el año 1522. Los proyectos anteriores se han enfocado en el origen inicial y el colapso de una unidad política centralizada en la región al final del período Formativo. Estos proyectos también han producido datos sobre períodos posteriores en la región a través de la excavación de depósitos que se superponen a los del Formativo. El PRV-2022 traslada el foco de estudio al segundo período de centralización y colapso político durante el periodo Clásico Tardío y Posclásico Temprano. El colapso político alrededor del año 800 d.C. en el valle del bajo Río Verde, fue parte de un proceso más amplio que impactó a la mayoría de las unidades políticas del período Clásico de Oaxaca y Mesoamérica en general (ej., Faulseit 2012; Feinman y Nicholas 2016; Matadamas Díaz y Ramírez Barrera 2010, 2011; Pérez Rodríguez 2013; Robles García 2009, 2011; Winter 1989).

Investigaciones previas en el valle del bajo Río Verde han incluido excavaciones en varios sitios y un recorrido regional de cobertura completa sobre 224 $km^2$ (Hedgepeth Balkin 2020; Joyce 1991, 2010, 2013; Joyce & Barber 2011, 2015a; Joyce et al 1998, 2001, 2004, 2014). Las investigaciones

paleoecológicas y geomorfológicas han proporcionados datos sobre los cambios medioambientales en los entornos de las planicies aluviales y costeros (Goman et al 2005, 2010, 2014; Joyce y Goman 2012; Joyce y Mueller 1992; Mueller et al 2013). La población regional, medida por el área ocupacional en el recorrido regional, disminuyó de 1054 hectáreas en el Clásico Tardío (Figura 1.2) a 621 hectáreas en el Posclásico Temprano (Figura 1.3); el foco de asentamiento se trasladó de la planicie de inundación al pie de monte y la población fue más nucleada (Hedgepeth Balkin 2020). La construcción de la arquitectura monumental cesó, los monumentos de piedra grabada que representan a los gobernantes fueron dañados de manera intencional, y la jerarquía social declinó significativamente (Joyce 2008; Joyce et al. 2001; King 2003; Urcid y Joyce 1999). Por otra parte, la vida doméstica durante el período Clásico Tardío sólo se conoce por entierros de no elite y algunas características domésticas expuestas en excavaciones de sondeo (Barber y Joyce 2012; Joyce 1999; Joyce & Levine 2009). La vida posclásica temprana es mejor entendida, ya que se cuenta con excavaciones residenciales en Río Viejo (Arnaud et al. 2009; Joyce et al. 2001, 2014; King 2003) y en el sitio rural de Monte El Santo, ubicado unos 11 km al norte de Rio Viejo (Meehan 2019). Pocos datos están disponibles para comprender los cambios geomorfológicos en el río y su planicie de inundación en este momento, aunque un cauce del Río Verde fue abandonado aproximadamente en el año 1280 d.C. (Goman et al 2014), lo que plantea la posibilidad de que pueda proporcionar datos sobre los cambios en la planicie aluvial, durante el período de colapso.

## 1.3 Objetivos e Hipótesis del Estudio

Este proyecto se enfoca en el colapso de la unidad política regional controlada por Río Viejo en el valle del bajo Río Verde aproximadamente en el año 800 d.C. En esta sección presentamos tanto los objetivos más amplios, relacionados con la comprensión del colapso del período Clásico en Mesoamérica, como los objetivos más específicos, centrados en el colapso en la costa de Oaxaca.

### 1.3.1 Objetivos generales

Siguiendo a diversos investigadores (Faulseit 2016; Middleton 2017a, 2017b, 2018; Webster 2002), definimos el colapso como una ruptura relativamente rápida, de las instituciones y relaciones políticas de las dinastías reales e ideologías que las apoyan. El colapso puede limitarse en gran medida a la organización política, pero a menudo se origina y se ramifica a través de otros aspectos del sistema, incluidos los componentes humanos y naturales. Por lo tanto, el colapso puede ser desencadenado por factores humanos (ej. revolución, sobrepoblación), o naturales (ej. cambio climático), o ambos (ej. degradación antropogénica del paisaje), con efectos en cascada que, además del rápido cambio político, pueden incluir alteraciones en economía, tradiciones culturales, uso de la tierra y demografía. Las investigaciones en diversas regiones de Mesoamérica sugieren una correlación entre picos de climas más secos, mayores impactos antropogénicos y el colapso de instituciones gubernamentales y centros urbanos, llegando al despoblamiento en algunos casos (Douglas et al. 2015; Kennett & Hodell 2017; Lachniet et al 2012; Manzanilla 2003; Vargas Pacheco 2012). La investigación ha sido más intensiva en las tierras bajas mayas en Mesoamérica, donde los primeros estudios posaron una relación causal directa de cambios climáticos y/o de cambios en el paisaje antropogénico con el colapso (Abrams & Rue 1988; Brenner et al. 2002; Curtis et al. 1996; Deevey et al. 1979; Hodell et al. 1995). En las tierras bajas mayas la investigación hoy en día ha alcanzado una masa crítica suficiente para reconocer una variabilidad considerable en el momento y la naturaleza del cambio climático y cultural (Aimers 2007; Chase et al 2014; Douglas et al. 2015; Dunning et al. 2013; Iannone 2014; Kennett & Hodell 2017), así como en el grado de modificación antropogénica del paisaje (Beach et al 2015; Dunning et al. 2013; Ford & Nigh 2014; McNeill et al. 2010). La mayoría de los investigadores que trabajan en el colapso maya identifican un papel importante para el cambio climático y la degradación del paisaje, aunque con mucha variabilidad y debate en cómo se deben considerar estos factores ambientales (Iannone 2014). El

impacto humano y el colapso también han sido un foco de investigación en la frontera árida norte de Mesoamérica (Armillas 1964; Beekman 2010; Weigand 1990).

En el occidente mesoamericano, el colapso del período Clásico en general y el papel del cambio ambiental en particular, han recibido menos atención que en la región maya. Datos paleoclimáticos de las tierras altas del centro de México (Bhattacharya et al. 2015; Lachniet y Bernal-Uruchurtu 2017; Lachniet et al. 2012; Metcalfe y Davis 2007), Oaxaca (Goman et al. 2018), y Occidente de México (Park et al. 2018; Rodríguez-Ramírez et al. 2015), indican tendencias de sequía en el Clásico Tardío. Asimismo, el cambio antropogénico del paisaje se indica en muchos registros paleolimnológicos y geológicos (Berrio et al 2006; Borejsza y Joyce 2017; Lachniet et al 2012; McClung de Tapia 2012; Mueller et al 2012; Park et al 2018). Sin embargo, pocos estudios han demostrado que los cambios culturales vinculados directamente al clima y al impacto humano se produjeron al final del período Clásico, como la disminución de la economía doméstica, la dieta y la salud humana. El PRV-2022 investigará el colapso del Período Clásico en el valle del bajo Río Verde de Oaxaca con un enfoque en el estudio de los cambios en la economía doméstica, la dieta y la salud durante los períodos Clásico Tardío y Posclásico Temprano.

### 1.3.2 Objetivos particulares

El PRV-2022 está diseñado como la sexta fase de un proyecto multianual, el cual pondrá a prueba de manera más completa las hipótesis referentes a la formación, organización y colapso del estado en el valle del bajo Río Verde. El PRV-2022 traslada el foco de estudio al segundo período de centralización y colapso político durante la transición entre el Clásico Tardío y el Posclásico Temprano. Se presume que los cambios climáticos y la transformación del medioambiente por procesos antropogénicos afectaron más directamente a los sistemas agrícolas del valle bajo del Río Verde, lo que a su vez afectó a la economía doméstica, la dieta y la salud de la gente. Por lo tanto, proponemos la hipótesis de que la economía doméstica, la salud y la dieta humana disminuyeron su calidad al final del

Clásico, seguidas de mejoras durante el período Posclásico Temprano (**Hipótesis 1**). También hipotetizamos cambios en la geomorfología del valle del bajo Río Verde que pueden haber impactado sistemas agrícolas y la economía doméstica (**Hipótesis 2**). Una tendencia de sequía posiblemente agravada por la degradación acumulada de la tierra en la cuenca superior de drenaje de Río Verde (Figura 1.4; Borejsza y Joyce 2017; Joyce et al. 2012; Mueller et al. 2012), habría conducido a un aumento tanto de la entrega de sedimentos como de la escorrentía de las pendientes, seguido de un período de menor carga de sedimentos y mayor escorrentía. En el valle del Río Verde inferior estos cambios hidrológicos habrían desencadenado un cambio inicial relativamente breve hacia una condición del río más trenzado, seguido por un retorno a condiciones más típicas de las anteriores al pico de aridez y al colapso político. Debido a que los ríos trenzados son menos estables y tienden a migrar más rápidamente a través de sus planicies aluviales, los cambios hipotetizados en la geomorfología podrían haber perturbado aún más los sistemas agrícolas y la vida doméstica.

El proyecto tiene cuatro objetivos que refieren a nuestras hipótesis así como un quinto objetivo que implica el análisis continuo de los artefactos recuperados en PRV-2019: 1) examinar cambios en la economía doméstica a través del Clásico Tardío al Posclásico Temprano; 2) examinar cambios en la salud humana a través del Clásico Tardío al Posclásico Temprano; 3) examinar cambios en la dieta humana a través del Clásico Tardío al Posclásico Temprano; 4) examinar cambios en la geomorfología del valle del bajo Río Verde a través del Clásico Tardío al Posclásico Temprano; 5) Análisis de artefactos líticos y cerámicos recuperados en 2019. Los objetivos 1 a 3 se llevaron a cabo mediante el análisis de los artefactos, ecofactos y entierros humanos recuperados por medio de excavaciones arqueológicas en dos áreas domésticas del sitio Río Viejo (Operaciones A y B). El objetivo 4 se llevó a cabo mediante el estudio de núcleos de barreno y pozos sedimentológicos excavados en la planicie aluvial fuera de los sitios arqueológicos.

## 1.4 Metodología

El PRV-2022 constó de una temporada de campo que consistió en 6 meses de estudios arqueológicos (31/1/22 – 12/8/22), incluyendo 13 semanas de excavaciones arqueológicas e investigaciones geomorfológicas, así como 15 semanas de análisis de artefactos en el laboratorio de campo y en los laboratorios-bodegas del INAH Oaxaca ubicadas en el Ex-convento de Cuilapan. El director del proyecto es el Dr. Arthur Joyce y el codirector es el Dr. Akira Ichikawa, quienes supervisaron el proyecto en todos los aspectos. En colaboración con los directores del proyecto, otros participantes han escrito los capítulos de este informe. Los métodos utilizados incluyen excavaciones arqueológicas en unidades domésticas al este de la acrópolis de Río Viejo, excavaciones sedimentológicas en cauces abandonados, la elaboración de mapas de la ubicación de las excavaciones con un Sistema Global de Navegación por Satélite (SGNS), y análisis de laboratorio de artefactos, esqueletos humanos, fauna y restos botánicos.

. Río Viejo (RV20) es un sitio arqueológico ubicado a 500 m al oeste del Río Verde (Figura 1.5). El sitio tiene una extensión de 250 hectáreas y ha sido estudiado durante varios proyectos arqueológicos anteriores (Barber 2009; Barber y Joyce 2011, 2012; Joyce 1991, 1999, 2005, 2009; Joyce y Barber 2015a, 2021; Joyce y Levine 2009; Joyce et al. 1998). Recorridos y excavaciones anteriores han demostrado que Río Viejo fue ocupado de manera continua desde por lo menos el período Formativo Medio (700-400 a.C.), hasta el Posclásico Temprano (800-1100 d.C.). Sin embargo, Río Viejo solo fue el sitio más grande del valle durante los períodos Formativo Terminal y Clásico Tardío.

### 1.4.1 Excavaciones de unidades domésticas de Río Viejo

Para probar la hipótesis relativa al impacto del cambio climático y la degradación antropogénica del paisaje en la economía doméstica, la dieta y la salud humana de los habitantes no-élite de Río Viejo, enfocamos en un área de Río Viejo donde investigaciones previas indicaron la presencia de casas de

gente no-élite, bien conservadas, del Posclásico Temprano directamente sobre las del Clásico Tardío (King 2003). Esta área cubre aproximadamente 10 hectáreas al este de la acrópolis central del sitio. Lamentablemente recientes plantaciones de papaya probablemente han destruido los restos arqueológicos en la superficie sobre aproximadamente la mitad de esta área. Debido a que las áreas no impactadas por las plantaciones contienen secuencias de residencias que abarcan desde el Clásico Tardío hasta el Posclásico Temprano, fue posible rastrear cambios en la vida doméstica durante el colapso, tal vez aun dentro de familias individuales y sus descendientes. Excavamos dos concentraciones de unidades domésticas dentro de esta parte del sitio durante el PRV-2022 (Operaciones A y B; Figuras 1.6-1.8). Nos aseguramos de que estas zonas se encontraran alejadas unas de otras, para minimizar la posibilidad de que se tratase de hogares relacionados, lo que nos permitió muestrear una variedad de respuestas al cambio climático y antropogénico del paisaje. La Operación A se ubicó aproximadamente a 160 m al este de la acrópolis de Río Viejo (Montículo 1) en la zona de alta densidad de asentamientos residenciales mencionada anteriormente. Esta área se localiza adyacente al área excavada por King (2003), en las coordenadas aproximadas N 16°06' 37.1''/W 97°44' 34.4'' a una elevación de 19 metros sobre el nivel del mar (msnm). La Operación B se ubicará aproximadamente 150 m al sur de la Op. A y a 250 m al sureste de la acrópolis de Río Viejo, en la misma zona amplia con la alta densidad de asentamientos residenciales como Op. A. Esta área se localiza aproximadamente en las coordenadas N 16°06’ 31.9’’/W 97°44’ 33.7’’ a una elevación de 18 msnm. Una descripción detallada de los métodos de excavación se proporciona en Capítulos 2 (para Op. A) y 3 (para Op. B) de este informe.

### 1.4.2 Análisis de laboratorio

Todos los materiales encontrados durante el PRV-2022 se registraron y llevaron al laboratorio de campo en San José del Progreso para ser lavados, procesados y analizados. Los procesamientos preliminares de los artefactos (limpieza, inventario, documentación básica, y preparación para

almacenamiento prolongado), y captura de datos fueron conducidos en un laboratorio de campo por la directora del laboratorio, Mtra. Pamela García Ramírez (ver García Ramírez et al. 2021). Los materiales procesados en el laboratorio del campo incluyeron:

- Objetos de cerámica: vasijas, figurillas, instrumentos musicales, estampas
- Objetos de lítica trabajada: lascas y navajillas prismáticas de obsidiana
- Piedras para la molienda: manos, metates, hachas
- Artefactos de hueso: agujas, cuentas
- Materiales arquitectónicos: bajareque quemado
- Materiales de esqueleto humano
- Ecofactos de hueso: restos faunísticos
- Restos paleoetnobotánicos
- micromorfología de secciones estratigráficas
- Otros ecofactos: carbón

Durante la temporada de campo se realizaron análisis más detallados de artefactos cerámicos y líticos, así como la identificación de restos macrobotánicos recuperados de muestras de flotación. Los restos óseos humanos de los entierros fueron analizados por la Dra. Arion Mayes, profesora asociada de la Universidad Estatal de San Diego. Siguiendo la conclusión del proyecto, los entierros humanos fueron entregados a la osteoteca en los laboratorios-bodegas del INAH Oaxaca ubicadas en el Ex-convento de Cuilapan y los artefactos fueron entregados a la bodega también ubicada en Cuilapan (ver apéndice A). Análisis más detallados de cerámica y lítica, así como el análisis de artefactos del PRV-2019 continuaron en Cuilapan después de la temporada de campo. Los restos de fauna fueron transportados al laboratorio de arqueozoología del Dr. Gilberto Pérez Roldán, en la Universidad Autónoma de San Luis Potosí, para su

análisis con el permiso del INAH (ver Apéndice A). Las muestras micromorfológicas fueron transportadas al Laboratorio de Suelos y Sedimentos, Escuela Nacional de Antropología e Historia para su análisis con el permiso del INAH (ver Apéndice A). Los detalles del análisis de materiales específicos se describen en los capítulos y apéndices siguientes.

### 1.4.3 Geomorfología de la planicie aluvial

Para probar la hipótesis dos sobre el impacto por los cambios en la erosión y escorrentía desde las tierras altas en la planicie aluvial del bajo Río Verde, los cauces abandonados tentativamente identificados, por su morfología superficial y su posición topográfica, como pertenecientes a los períodos Clásico y Posclásico fueron examinados (Joyce et al 1998; Mueller et al 2013). La investigación geomorfológica fue realizada por el Dr. Raymond Mueller. Sólo se sondearon cauces abandonados en áreas fuera de sitios arqueológicos según lo documentado por el recorrido arqueológico regional (Hedgepeth Balkin 2020). Una descripción detallada de los métodos geomorfológicos se proporciona en Capítulo 4.

## 1.5 Resumen

Los capítulos y apéndices siguientes describen las excavaciones en Río Viejo, los análisis de artefactos y ecofactos, y el estudio geomorfológico del PRV-2022. Los capítulos del 2 y 3 presentan los resultados de las excavaciones de operaciones A y B, respectivamente. El capítulo 4 presenta los resultados del estudio geomorfológico. El capítulo 5 presenta el análisis de los artefactos cerámicos y líticos del PRV-2022. El capítulo 6 presenta el análisis de las figurillas recuperadas en PRV-2022. El estudio bioarqueológico se presenta en Capítulo 7. El análisis de fauna y restos macrobotánicos se discuten en los capítulos 8 y 9, respectivamente. Las conclusiones del PRV-2022 se presentan en el capítulo 10. El apéndice A contiene copias de los oficios relevantes incluyendo la Acta Entrega-Recepción

y el inventario de material arqueológico los cuales incluyen los materiales arqueológicos para resguardo, los restos óseos para resguardo, y los materiales arqueológicos para confinamiento. El apéndice B presenta el fechado de la cerámica basado en la cronología de la cerámica regional (Baillie 2012; Barber 2009; Hedgepeth 2009; Joyce et al. 1998), así como los recuentos y pesos de la cerámica según la categoría de pasta, para todos los contextos excavados. El apéndice C provee una descripción de las vasijas enteras. El apéndice D presenta los resultados del análisis de artefactos cerámicos y líticos del PRV-2019.

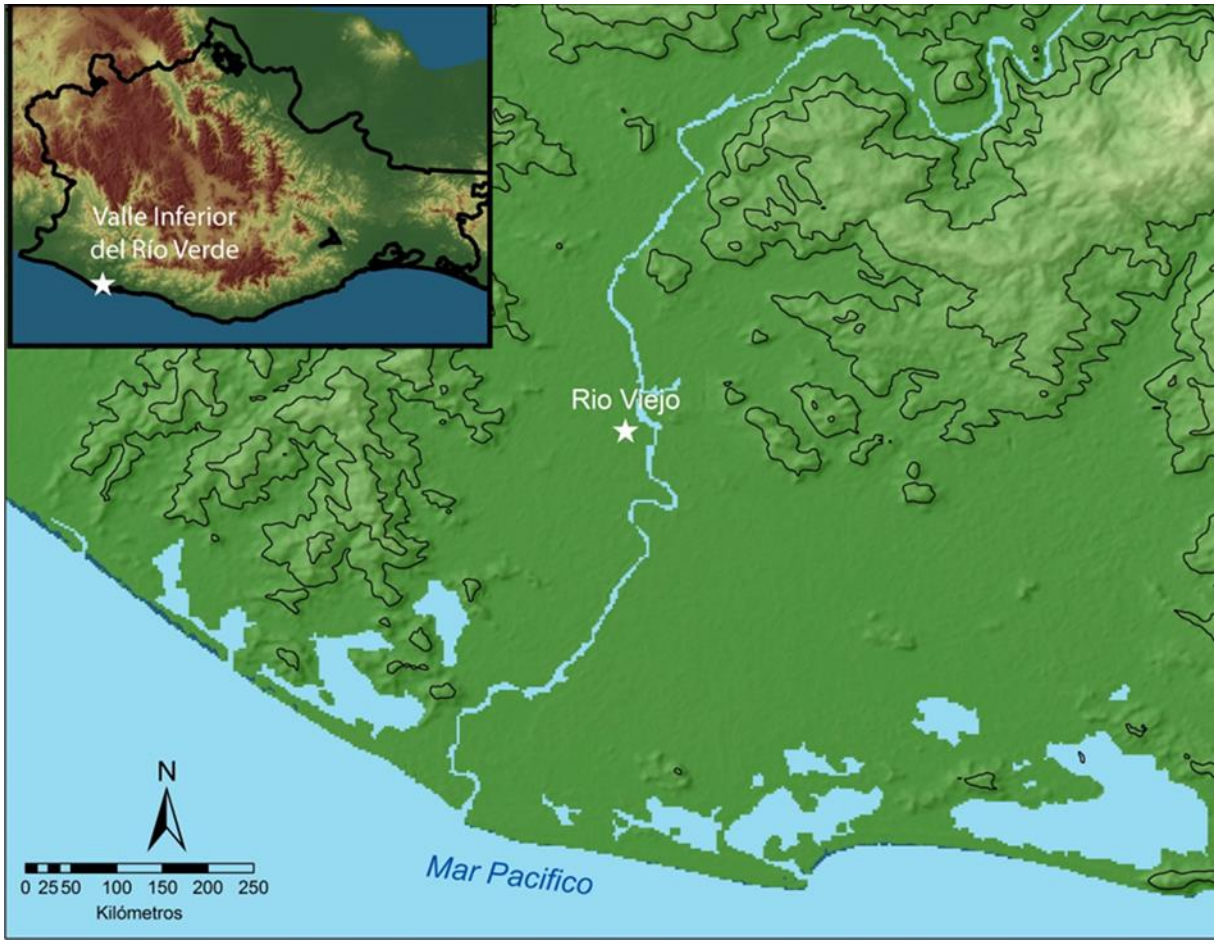



**Figura 1.1. Mapa del valle del bajo Río Verde mostrando la ubicación de Río Viejo**

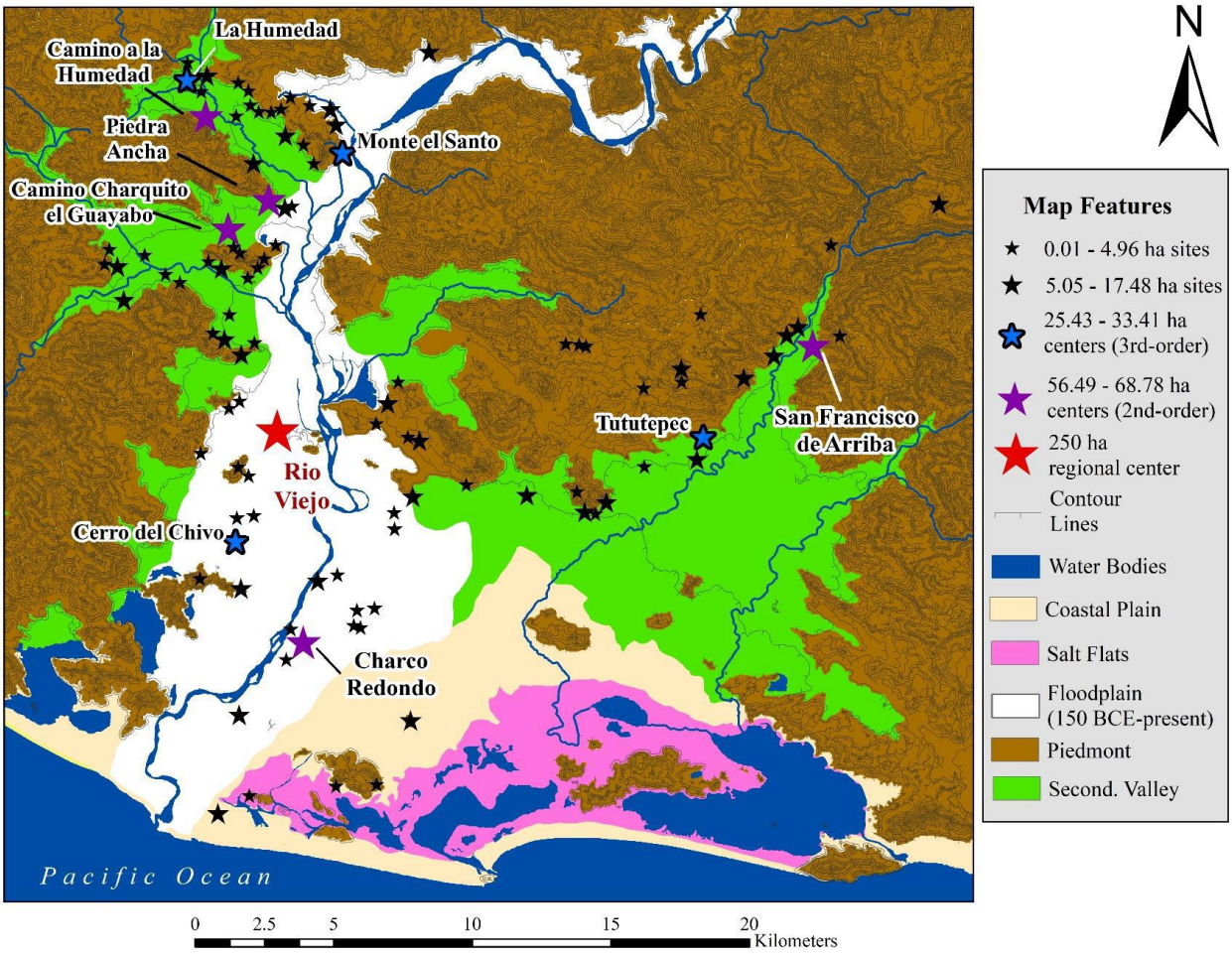



**Figura 1.2. Patrones de asentamiento del período Clásico Tardío en el valle inferior del Río Verde (de Hedgepeth Balkin 2020: figura 7.14)**

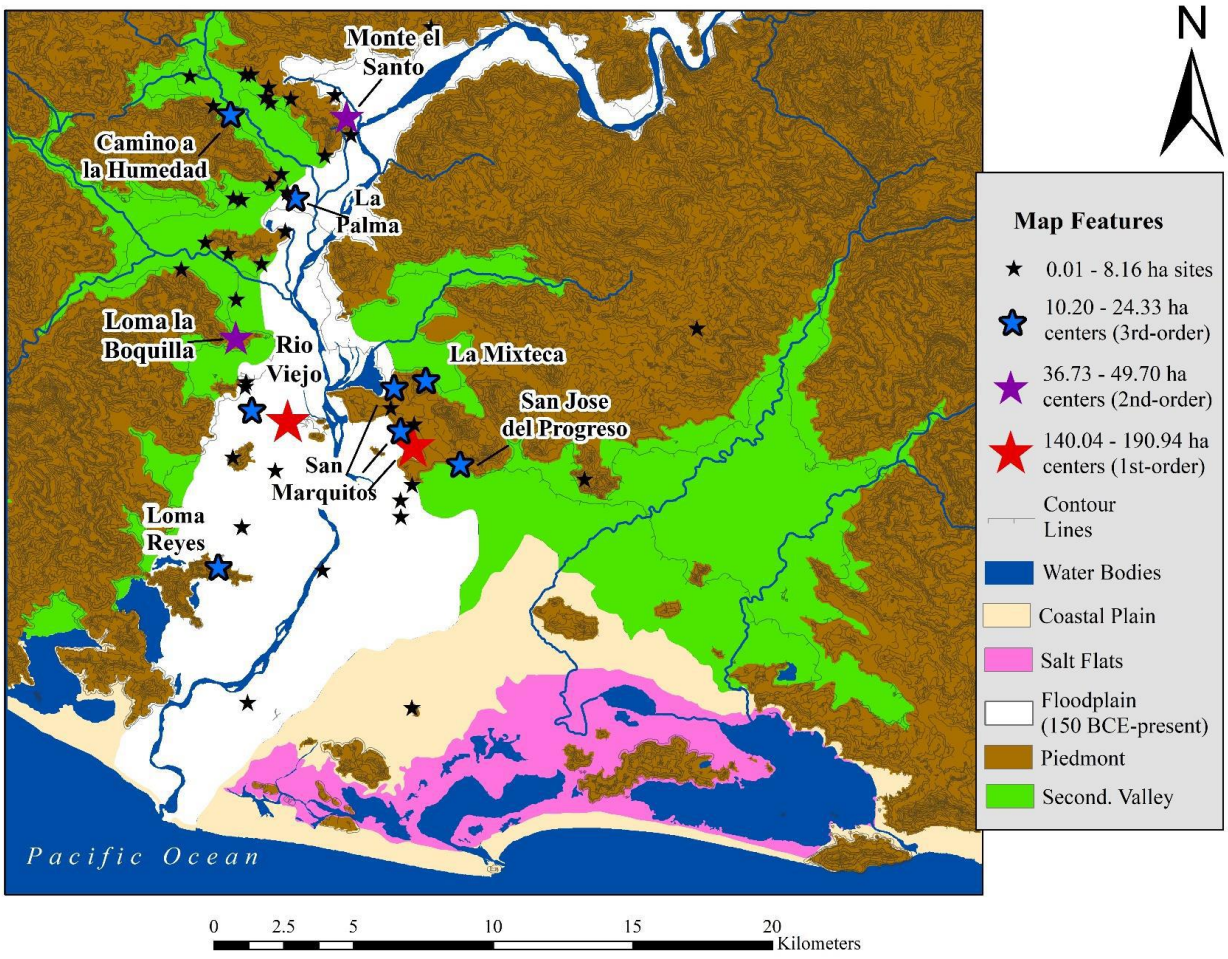



**Figura 1.3. Patrones de asentamiento del período Posclásico Temprano en el valle inferior del Río Verde (de Hedgepeth Balkin 2020: figura 7.16)**

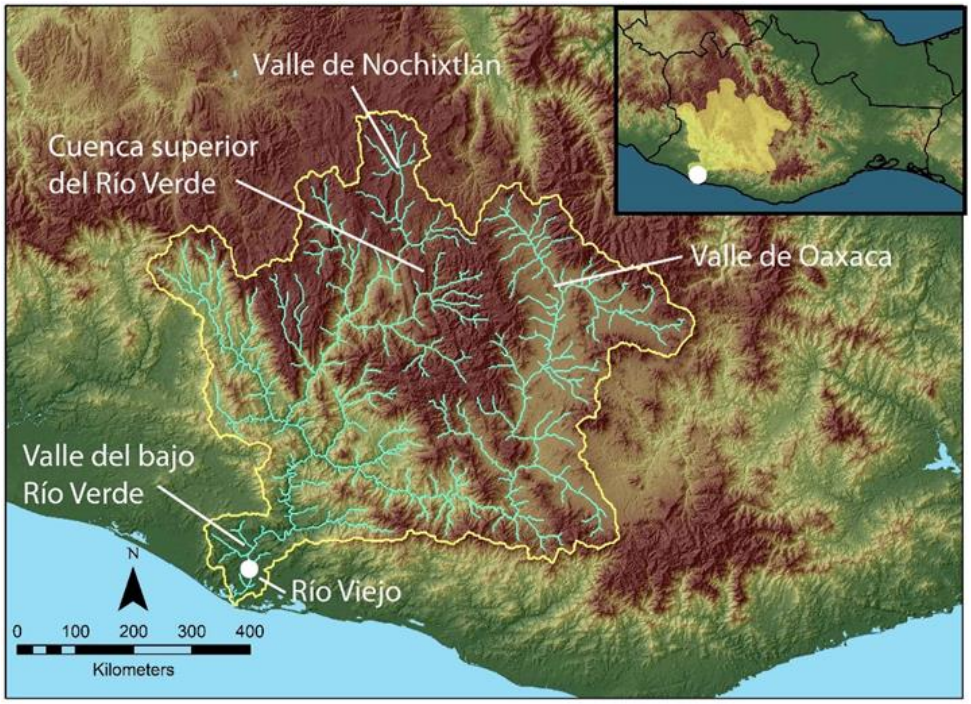



**Figura 1.4. Cuenca de drenaje del Río Verde**

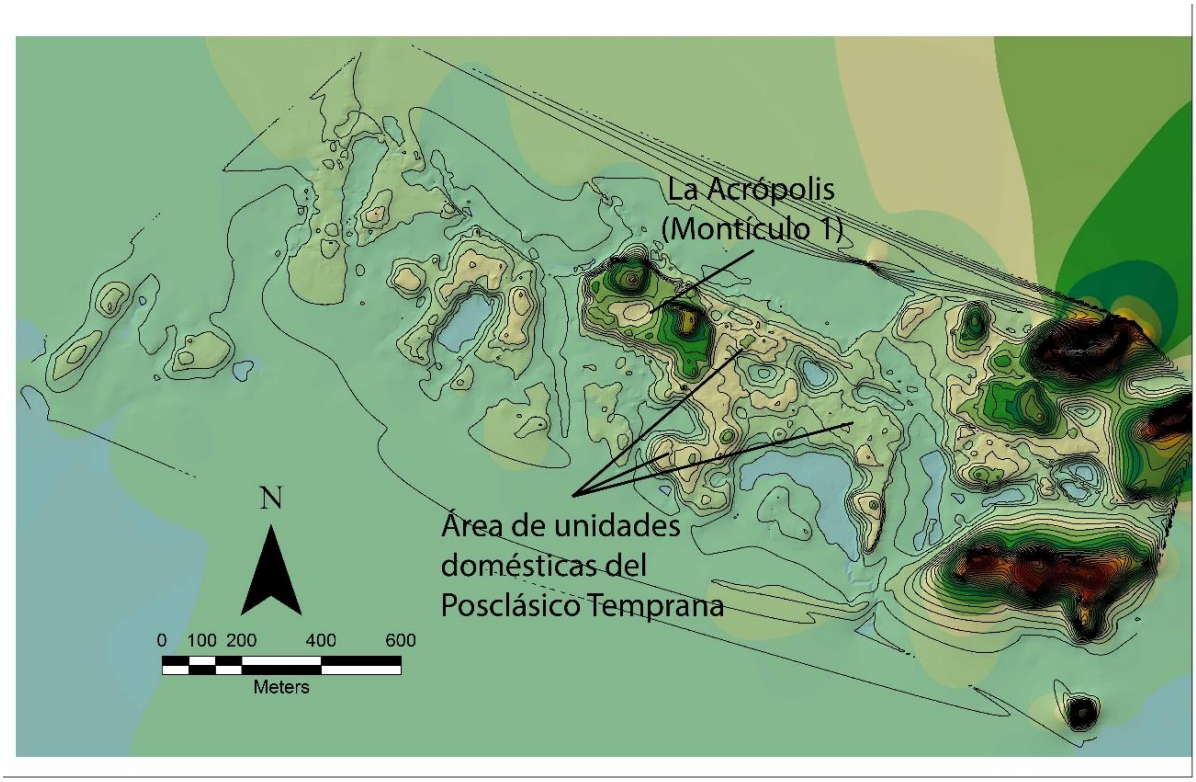



**Figura 1.5. Mapa de Río Viejo mostrando la acrópolis (Montículo 1), y el área de unidades domésticas del Posclásico Temprano visibles en superficie**

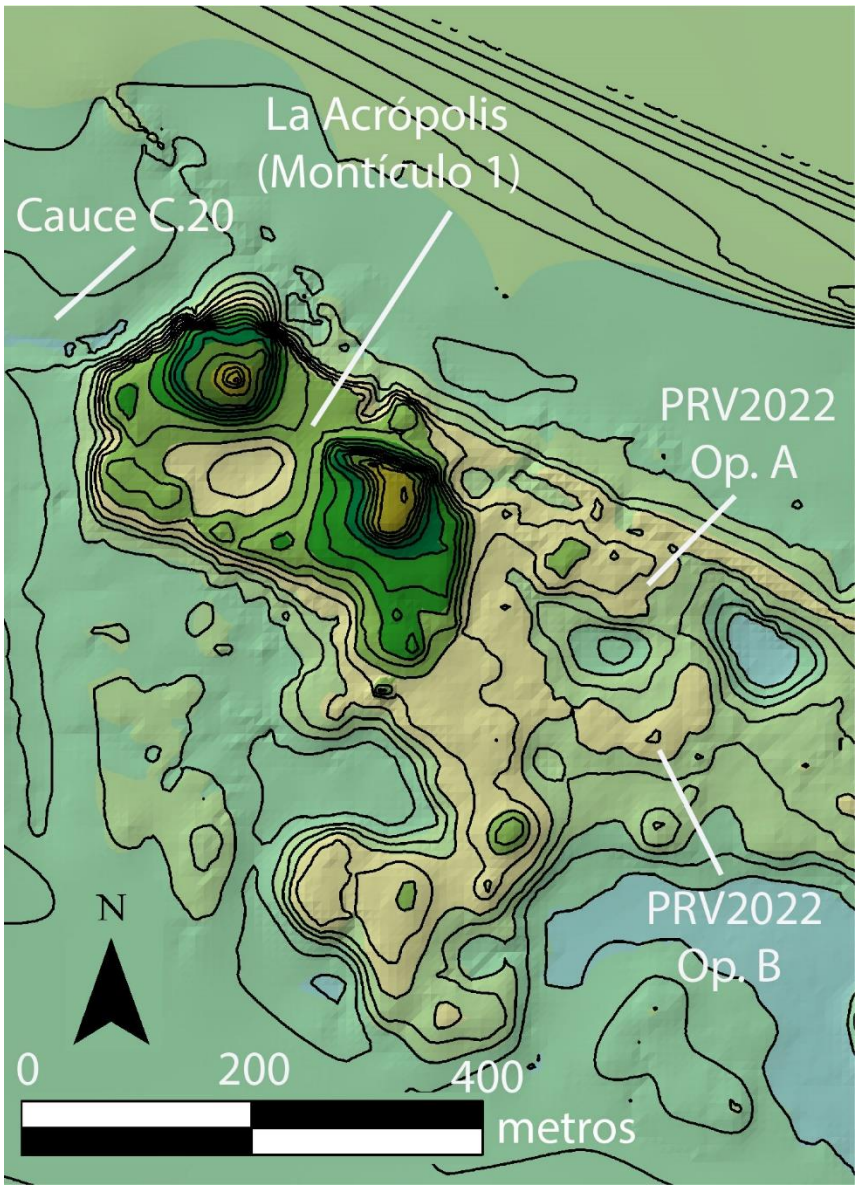



**Figura 1.6. Mapa de la acrópolis de Río Viejo y el área de Operaciones A y B**

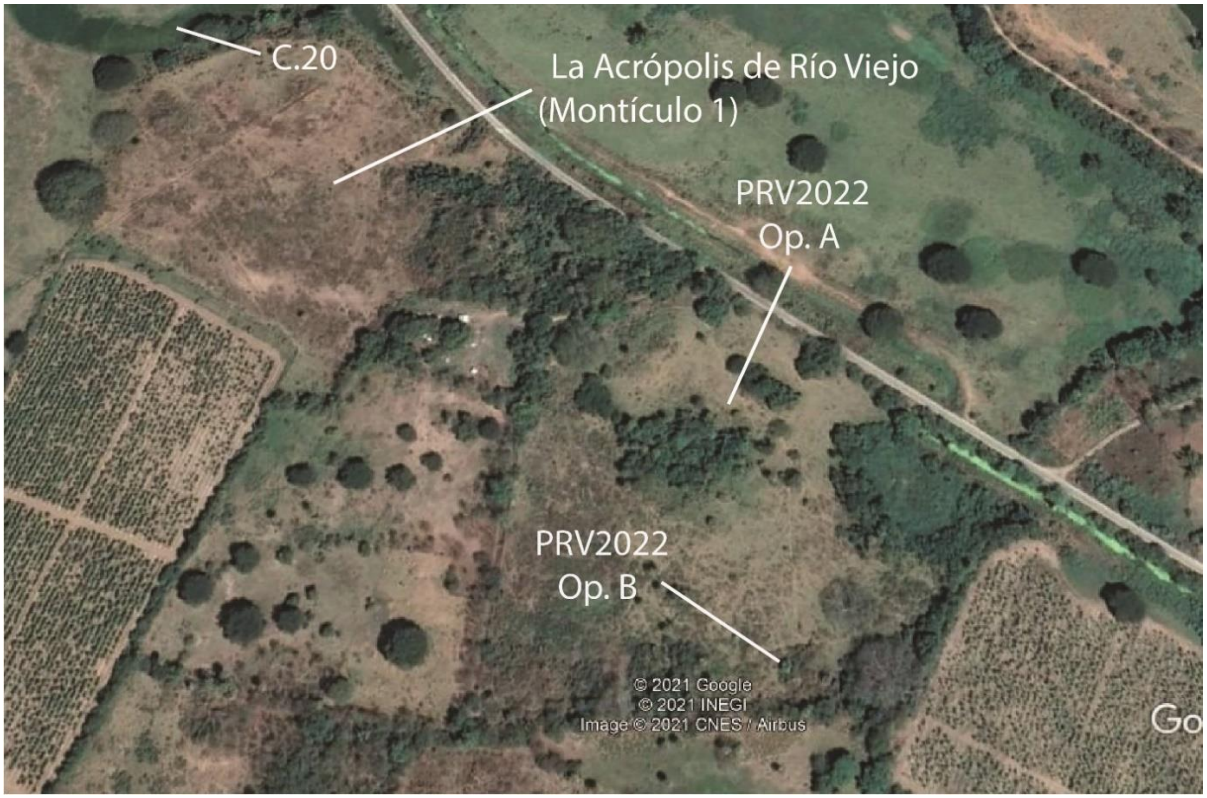



**Figura 1.7. Mapa de Río Viejo mostrando la acrópolis (Montículo 1), el área de Operaciones A y B, y el cauce C.20**

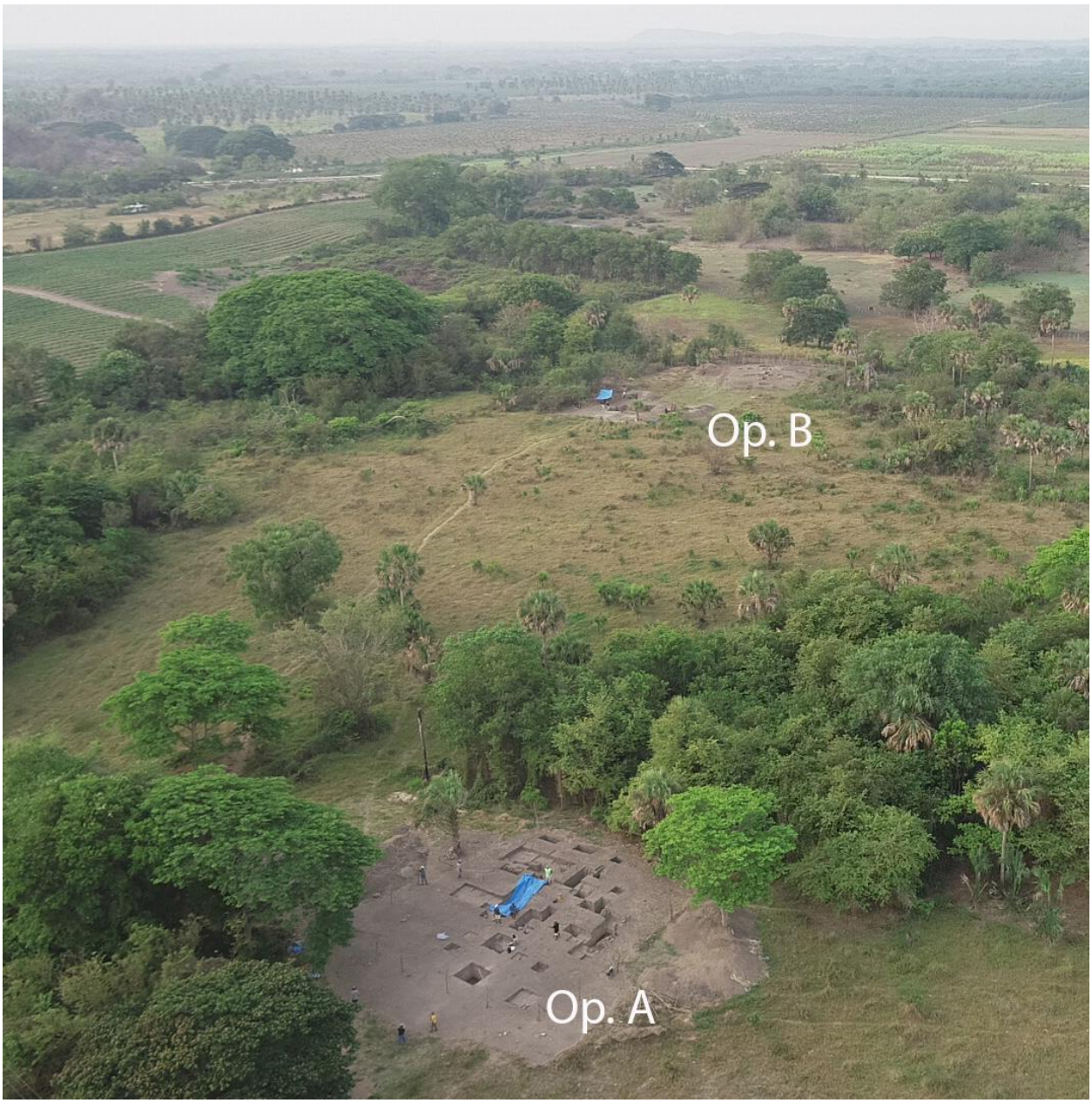



**Figura 1.8. Fotografía por dron de Operaciones A y B de Río Viejo**

# CAPÍTULO 2 – Excavaciones de la Operación A

**Saúl Rancaño Castillo**
**Nicholas A. Puente**
**Arthur A. Joyce**
**Elaine M. Aguayo Ortiz**
**Jacklyn D. Rumberger**

## 2.1 Introducción

La Operación A (Op. A) se ubicó aproximadamente a 160 m al este de la acrópolis de Río Viejo (Montículo 1) en una zona de alta densidad de asentamientos residenciales del Posclásico Temprano en las coordenadas aproximadas N 16°06' 37.1''/W 97°44' 34.4''. El datum de Op. A está ubicado en UTM 634 425.014 E/1 781 560.303 N en una elevación de 19.0 metros sobre el nivel del mar (msnm; ver Tabla 2.1 y figura 2.1). El recorrido arqueológico en esta área del sitio registró cerámica doméstica correspondiente a los periodos Clásico Tardío y Posclásico Temprano, así como tres metates fragmentados en la superficie. En conjunto estos materiales y estructuras nos permitieron identificar el área como doméstica (Joyce 1999). Durante la planeación de proyecto fue difícil ubicar nuestra retícula en relación con las excavaciones realizadas por King (2003) durante el año 2000 debido a la densidad de la vegetación (figura 2.2). Una vez despejada el área de Op. A, fue evidente que la esquina noreste de la retícula propuesta para excavaciones del 2022 se traslapaba ligeramente con las excavaciones de King (ver figuras 2.1). De acuerdo con las mediciones efectuadas durante la temporada de campo en 2022, el datum de Op. A se colocó 28 cm más alto que el datum utilizado por King (2003), lo que sitúa su datum en una elevación de 18.72 msnm.

Las excavaciones de la Op. A (figura 2.3) fueron dirigidas por Dr. Arthur Joyce y supervisados por el estudiante doctoral, Nicholas Puente (University of Colorado Boulder), y el estudiante de licenciatura, Saúl Rancaño Castillo (Universidad Autónoma de San Luis Potosí). La Mtra. Jacklyn Rumberger

(Washington State University) ayudó algunas ocasiones con la supervisión del trabajo. La Lic. Elaine Aguayo, estudiante de

**Tabla 2.1. Datum establecidos en la Operación A**

| Estaca | Metros Sobre el Nivel del Mar (m.s.n.m) |
|---|---|
| Datum Base | 19.007 |
| A | 18.807 |
| B | 18.807 |
| C | 18.857 |
| D | 18.657 |
| E | 18.707 |
| F | 19.107 |
| G | 18.807 |
| H | 18.807 |
| I | 18.707 |

maestría en bioarqueología de la Universidad Estatal de San Diego, excavó todos los entierros humanos. Se ocupó un equipo de doce trabajadores locales para excavar. Los objetivos de las excavaciones de Op. A fueron obtener datos para evaluar si la economía doméstica, la salud y la dieta humana disminuyeron su calidad al final del Clásico y posteriormente fueron seguidas de mejoras durante el Posclásico Temprano. Atribuiremos la causa de estos cambios en la vida doméstica al efecto que tuvieron los cambios climáticos y la transformación del ambiente por procesos antropogénicos sobre los sistemas agrícolas del valle del bajo Río Verde.

## 2.2 Metodología

La metodología utilizada para la Op. A siguió los protocolos establecidos durante proyectos anteriores en el valle del bajo Río Verde (Barber y Joyce 2011, 2012; Joyce 1991, 1999; Joyce y Barber

2015a, 2021; Joyce et al. 1998). Cada operación se consideró como un área de excavación que compartía la misma retícula de coordenadas cartesianas. La retícula fue orientada con respecto a las orientaciones de las estructuras prehispánicas visibles en la superficie como se hizo durante las excavaciones de residencias del Posclásico Temprano en 2000 (Joyce y Levine 2009). Cuadros de 1 x 1 metro dentro de cada retícula fueron nombrados con números y letras específicos de identificación (designación de unidad; figura 2.4). Para proveer flexibilidad, iniciamos la nomenclatura de la retícula en su esquina suroeste como F10. La intersección en la esquina suroeste de cada unidad fue usada para designar la "dirección" de cada cuadro de 1 x 1 m dentro de la retícula. Por lo tanto, la unidad ubicada a un metro al este de la unidad F10 sería F11 y la unidad un metro hacia el norte sería G10. En casos donde un elemento abarcaba más de una unidad arbitraria 1 m x 1 m, el área excavada fue llamada "multi-unidad". En total, se excavaron 37 multi-unidades en Op. A (las descripciones de cada una de estas aparecen en la Tabla 2.2).

**Tabla 2.2. Multi-unidades de la Operación A**

| Número de Multi-unidad (MU) | Unidades abarcadas | Dimensiones horizontales aproximadas (E-O x N-S) | Dimensiones verticales aproximadas (msnm) | Razonamiento detrás de la creación de MU |
|---|---|---|---|---|
| MU1 | L15/L16 | 1.30 x 1 m | 18.45 – 17.05 | Se creó con la intención de encontrar basureros como los de la Op. A en PRV00, en el espacio entre la Est. 22-3 y Est. 22-5 (E17 y E18). Permitió exponer una sección del depósito de terminación (E15-s2). |
| MU2 | I16/I17 | 1.15 x 1 m | 18.30 – 17.70 | Se creó para exponer más del Basurero (E11). |
| MU3 | P20/O20 | 1 x 2 m | 18.15 – 17.9 | La primera multi unidad para cubrir la extensión de un segmento de tubería (E34), que se había descubierto en ese momento. |
| MU4 | I17/J17 | 1.15 x 2 x 1 m | 17.70 – 17.30 | Se buscó exponer más del Basurero (E11). |

| | | | | |
|---|---|---|---|---|
| MU5 | X15/X16 | 2 x 1 m | 18.50 – 18.00 | Concentración de cerámica fina del Posclásico Temprano. Después permitió exponer la sección sur del Entierro 120, Individuo 133. |
| MU6 | R19/R20 | 2 x 1 m | 18.61 – 18.14 | Área al norte de la tubería (E34). Se excavó para averiguar si seguía un muro de retención (E108), que podía servir como colector de agua relacionado a la tubería (E34). |
| MU7 | Y15/Y16 | 2 x 1 m | 19.10 – 17.85 | Sección norte del Entierro 120, Individuo 133. |
| MU8 | N10/N11 | 0.5 x 2 m | 18.57 – 17.85 | Excavado para averiguar si seguía una porción del horno (E48). |
| MU9 | N19/O19 | 1 x 2 m | 18.64 – 17.66 | Un área al oeste de la tubería (E34). Se excavó para buscar incensarios en relación con la tubería (E34). Se encontraron al norte y este. |
| MU10 | L19/L20 | 2 x 1m | 18.37 – 18.18 | La investigación de un área dentro de un muro (E50) de retención Posclásico. |
| MU11 | F23/F24 | 1.5 x 0.8 m | 16.65 – 15.95 | Se creó para exponer más del Basurero (E84). |
| MU12 | J20/J21 | 2 x 1 m | 18.20 – 18.08 | Área excavada para liberar el pedestal de extracción del Entierro 121, Individuo 134. |
| MU13 | K20/K21 | 2 x 1 m | 18.60 – 18.10 | Área excavada para liberar el pedestal de extracción del Entierro 121, Individuo 134. |
| MU14 | N11/O11 | 1 x 2 m | 17.75 – 17.40 | Área dedicada a la búsqueda de un canal de ventilación del horno complejo (E48). La multiunidad se empezó cuando se descubrió una porción del canal de ventilación (E48-s2). |
| MU15 | X11/Y11 | 1 x 2 m | 18.60 – 18.38 | Transecto para averiguar si la acumulación de rocas (E104) fue producto de la erosión de una estructura al noroeste, fuera del área de excavación. |
| MU16 | L22/L23 | 2 x 1 m | 18.50 – 17.27 | Se creó para buscar basureros. Permitió exponer más del basurero (E11). |
| MU17 | F19/F20 | 2 x 1 m | 18.05 – 16.87 | Trinchera de sondeo para localizar más del Basurero (E11) en la pendiente al sur de Op. A. |

| | | | | |
|---|---|---|---|---|
| MU18 | M12/M13 | 2 x 1 m | 18.66 – 18.40 | Transecto para entender la relación entre el canal de ventilación del horno (E48) al norte, y el depósito de terminación (E15-s2) al sur. |
| MU19 | X15/X16/Y15/Y16 | 2 x 2 m | 18.00 – 17.35 | Área excavada para liberar el pedestal de extracción del Entierro 120, Individuo 133. Expuso al Entierro 127, Individuo 140. |
| MU20 | M11/M12 | 2 x 1 m | 18.40 – 17.80 | Trinchera que conectó la estratigrafía del depósito de terminación (E15-s2) con el Horno de Tierra (E48, E120, E61). |
| MU21 | R10/R11 | 2 x 1 m | 18.60 – 17.97 | Trinchera para exponer la estratigrafía alrededor del Horno de Tierra (E48, E120, E61). |
| MU22 | O12/P12 | 1 x 2 m | 18.55 – 18.10 | Trinchera para exponer la estratigrafía alrededor del alrededor del Horno de Tierra (E48, E120, E61). |
| MU23 | M13/M14 | 1.4 x 0.5 m | 17.90 – 17.40 | Interior de una estructura del Clásico Tardío (E25 y E26). |
| MU24 | K20/J20/J21 | 2 x 1.20 m | 18.30 – 17.95 | Área excavada para liberar el pedestal de extracción del Entierro #121 Individuo #134. |
| MU25 | I24/J24 | 1 x 2 m | 18.34 – 17.95 | Área excavada para liberar el pedestal de extracción del pedestal de entierro #125, Individuo 138. Truncado por el descubrimiento del Entierro #126, Individuo 139. |
| MU26 | Q17/R17 | 1 x 1 m | 17.60 – 17.37 | Área excavada para liberar el pedestal de extracción del pedestal de entierro, #131, Individuo 144. |
| MU27 | P10/P11 | 2 x 1 m | 17.92 – 17.31 | Transecto dedicado a la excavación del componente de rocas alteradas térmicamente del horno de tierra (E48). |
| MU28 | I23/J23/K23 | 1 x 2 m | 18.03 – 17.83 | Área excavada para liberar el pedestal de extracción del pedestal de entierro #125, individuo 138. |
| MU29 | N20/O20/P20 | 1 x 3 m | 18.04 – 17.59 | Se extendió el área de unidad para cubrir la extensión total de la tubería (que incluyó E34 y E35). |
| MU30 | T16/T17 | 1.1 x 0.4 m | 18.25 – 18.05 | Expuso la sección sur del Horno de Tierra pequeño (E93). |
| MU31 | T16/T17/U16/U17 | 1.35 x 0.55 m | 18.05 – 17.65 | Corte para revelar la estratigrafía del Horno de Tierra (E93). |

| | | | | |
|---|---|---|---|---|
| MU32 | I20/J20/J19 | 0.70 m x 1.8 m | 18.05 – 17.86 | Área excavada para liberar el pedestal de extracción del pedestal de entierro #122, individuo #135. |
| MU33 | N10/N11 | 2 x 1 m | 17.44 – 17.18 | Área excavada para liberar el pedestal de extracción del pedestal de entierro #134, individual #147. |
| MU34 | I20/J20/I21/ J21 | 0.80 x 1.8 m | 18.15 – 17.80 | Área excavada para liberar el pedestal de extracción del pedestal de entierro #123, individuo #136. |
| MU35 | I21/J21/K21 /K20 | 1.2 x 1.85 m | 18.13 – 17.89 | Área excavada para liberar el pedestal de extracción del pedestal de entierro #124, individuo #137. |
| MU36 | I23/J23 | 0.5 x 1.5 m | 17.95 – 17.80 | Área excavada para liberar el pedestal de extracción del pedestal del Entierro #125, Individuo #138. |
| MU37 | J24/K24 | 0.7 x 1.1 m | 18.20 – 17.80 | Área excavada para liberar el pedestal de extracción del pedestal del Entierro #126, Individuo #139. |

Las excavaciones iniciaron el lunes 31 de enero y se dieron por terminadas el miércoles 4 de mayo del año 2022. Un datum local para la operación fue establecido y agregado al mapa topográfico del sitio de Río Viejo usando un Sistema Satélite de Navegación Global (SSNG). Todos los depósitos localizados en la Op. A resultaron ser culturales, por lo que fueron identificados como elementos (E). Para la ubicación horizontal se creó una cuadrícula de unidades de $1m^2$ mientras que los datos verticales fueron registrados siguiendo estratos culturales. Estratos gruesos fueron excavados en niveles de 5 o 10 cm adentro de estratos culturales para mantener el control vertical. El lote estándar consistió en la remoción de la tierra dentro de la unidad de 1 x 1 metro o la multi-unidad y fue siguiendo los elementos observados o subdivisiones de estos. Cada lote fue excavado de manera individual para cada unidad o multi-unidad y fue registrado con un número único (ejemplo Unidad F24, lote 3). Las excavaciones fueron llevadas a cabo usando barretas, palas, y cucharas. Todos los sedimentos excavados fueron pasados por una criba con malla de 5 mm. Los artefactos recolectados por lote fueron registrados como cerámica, obsidiana, otra lítica, hueso de animal, concha, o especial, y fueron catalogados usando un sistema de numeración de *Field Specimen* (FS). Muestras de sedimento de 5 a 10 litros fueron llevados al

laboratorio para ser procesados con flotación y recuperar restos botánicos, zoológicos, y micro-artefactos. Se cortaron bloques de sedimentos de aproximadamente 10 cm x 10 cm x 20 cm de transiciones estratigráficas seleccionadas para un estudio micromorfológico. Elementos y hallazgos importantes se fotografiaron con una cámara digital y dibujados a una escala de 1:10. Todas las excavaciones fueron rellenadas al termino de los trabajos. Las paredes de piedra fueron cubiertas con una capa de arena y de tierra compactada.

## 2.3 Historia Ocupacional

Las excavaciones en Op. A abarcaron un área de 102 $m^2$ (figura 2.5). Los transectos iniciales expusieron unidades a lo largo de toda la operación, sin embargo, la mayor parte de las excavaciones se enfocaron en exponer elementos importantes, incluyendo plataformas residenciales, entierros, hornos de tierra, depósitos de terminación y un elemento de drenaje.

Esta estrategia propició la excavación de múltiples unidades de 1 x 1 m y multi-unidades, contiguas o cercanas, en áreas extensas a las que nos referimos como “bloques de excavación”. A su vez, esto implicó que otras áreas de Op. A no fueran estudiadas con la misma intensidad. Para facilitar las descripciones nos referiremos a los siguientes bloques de excavación y las unidades que abarcan (para la ubicación de multi-unidades dentro de cada bloque véase la Tabla 2.2; figura 2.6); para facilitar la localización de los elementos discutidos abajo sólo nos referimos a las designaciones individuales de las unidades, omitiendo multi-unidades): 1) Bloque Norte (Unidades Y10, Y11, X10, X11, Y15, Y16, X15, X16, W19, U12, U14, U16, U17, T16, T17, U19). 2) Bloque Este (Unidades R16, R17, Q17, P16, P17, O16, R19, R20, Q19, Q20, Q21, Q22, Q23, Q24, P19, P20, P21, P22, P23, P24, O19, O20, N19, N20, M20). 3) Bloque Oeste (Unidades R10, R11, Q10, Q11, Q12, P10, P11, P12, P13, O10, O11, N10, N11, M10, M11, M12, M13, M14, L13, J13). 4) Bloque Central (Unidades L15, L16, K15, K16, K17, J17, I17, I15, I16, H16, L17, L18, L19, L20, L22, L23, K19, K20, K21, K22, K23, K24, J19, J20, J21, J22, J23, J24, I19, I20, I21, I22, I23,

I24, H21, H24). 5) Bloque Sur (Unidades F16, F19, F20, F23, F24). En algunas ocasiones, la distancia entre bloques dificultó el entendimiento preciso de las relaciones temporales entre los estratos. La historia ocupacional de Op. A, presentada a continuación, especificará cuando la secuencia temporal de los estratos es conocida con precisión, cuando es sospechada o cuando simplemente podemos asociarla a una misma fase cerámica. La Tabla 2.3 presenta las descripciones estratigráficas de todos los elementos excavados en Op. A, ordenadas del más reciente al más temprano. Las figuras 2.7 a 2.65 presentan los perfiles estratigráficos de cada unidad y multi-unidad, mientras que las figuras 2.66 a 2.91 muestran planos de elementos importantes y las figuras 2.92 a 2.107 presentan fotografías de los elementos excavados en Op. A.

Las excavaciones de Op. A tuvieron éxito en la recolección de evidencia correspondiente a la época del colapso del periodo Clásico. Nuestras excavaciones descubrieron evidencia de actividades domésticas correspondientes al Posclásico Temprano, incluyendo plataformas residenciales, entierros y basureros. Los datos colectados son generalmente consistentes con los patrones de prácticas domésticas registrados durante excavaciones previas en residencias del Posclásico Temprano (Arnaud et al. 2009; Joyce et al. 2001, 2014; King 2003; Meehan 2020). Nuestras excavaciones sobre el Clásico Tardío fueron menos exitosas en localizar residencias, no obstante, conseguimos exponer parte de un área que, sospechamos, pudo ser un espacio doméstico durante un momento temprano en el Clásico Tardío, pero más tarde se convirtió en el foco de actividades supra-domésticas, incluyendo espacios rituales y de preparación de alimentos que involucraron a múltiples familias, posiblemente a escala de barrio. La evidencia indica que un cambio significativo tuvo lugar en el uso de esta área de Rio Viejo durante la transición entre los periodos Clásico Tardío y Posclásico Temprano. Esta época debió ser significativa para los habitantes de Rio Viejo, puesto que estuvo marcada por la realización de ceremonias de terminación e involucró una transición de prácticas comunales (finales del Clásico Tardío) a domésticas (Posclásico Temprano). En adición a los datos correspondientes a la transición Clásico

Tardío-Posclásico Temprano, también recuperamos artefactos que datan del Formativo Tardío hasta el Clásico Temprano, lo cual nos indica que esta área de Rio Viejo fue ocupada durante periodos más tempranos. Ningún artefacto del Posclásico Tardío fue recuperado durante las excavaciones. Este es un hecho consistente con la investigación previa, que sostiene que el sitio estuvo abandonado para ese periodo. Las siguientes secciones de este capítulo resumen la historia ocupacional de esta área de Río Viejo conforme con los datos de la Operación A.

**Tabla 2.3. Descripción de los elementos estratigráficos encontrados en la Operación A**

| Número de estrato | Unidades | Textura y Munsell | Fecha probable | Proceso de formación | Comentarios |
|---|---|---|---|---|---|
| E71 | J13 | N/A | Moderno | Acumulación de rocas | |
| E45 | MU6, R19 | N/A | Moderno | Acumulación de rocas | |
| E133 | M20, R16, R17 | | Moderno | Erosión | Mezcla de E2 y E132 |
| E100 | M12, M13 | N/A | Moderno | Acumulación de rocas | |
| E29 | M11, M12, M13 | Arcilla limosa, 2.5 Y 5/2 | Moderno | Relleno perturbado y re depositado | Sedimento de relleno mezclado por perturbación. Contiene algunos manchones de sedimento quemado. |
| E1 | Todas | Marga arcillo-limosa, 10 YR 4/2 | Moderno | Suelo moderno en formación | Superficie erosionada con contenido orgánico significativo; contiene pocas inclusiones de cerámica y rocas. Posee un alto grado de compactación. |
| E2 | MU3, MU9, M20, N19, N20, O16, O19, O20. P16, P17, P19, P21, P22, | Arcilla Limosa, 7.5YR 5/3, 10YR 4/2 | Posclásico Temprano | Relleno erosionado | Un poco más orgánico que E1 con más inclusiones. Inclusiones de tiestos, bajareque, y piedra. E2 es un poco más fino y no tan orgánico como E132. |

| Número de estrato | Unidades | Textura y Munsell | Fecha probable | Proceso de formación | Comentarios |
|---|---|---|---|---|---|
| | P23, P24, Q17, Q19, Q20, Q21, Q22, Q23, Q24, U19, R16, R19, R20 | | | | |
| E44 | P21, P22 | Arcilla limosa, 10YR 4/2 | Posclásico Temprano | Relleno de pozo | Relleno de pozo dentro de E132. Menos compacto sedimento con pocos artefactos, y una densidad más alta de bajareque. |
| E41 | P23 | Arcilla arenosa, 10YR 4/2, 2.5Y 5/2 | Posclásico Temprano | Relleno de pozo | Relleno de un pozo cortado dentro de E132. Inclusiones de piedras grandes, con bajareque. Muy pocos tiestos, y no tan orgánico como 132. |
| E132 | MU3, MU9, M20, N19, N20, O16, O19, O20, P16, P17, P19, P20, P21, P22, P23, P24, Q17, Q19, Q20, Q21, Q22, Q23, Q24, R19, R20 | Arcilla limosa 10YR 4/2, 7.5YR 5/3 | Posclásico Temprano | Relleno erosionado | Más grueso que E2 y más orgánico. Es posible que este subestrato sea una mezcla de E2 y E3. |
| E69 | M20 | Arcilla Limosa 10YR 4/2 | Posclásico Temprano | Relleno redepositado | Sedimento erosionado del relleno de Estructura 22-5. Inclusiones de cerámica, piedras, y bajareque. |
| 112 | M20 | N/A | Posclásico Temprano | Sección del muro E50 colapsado | No aparece en el perfil. |
| E57 | K24, MU16 | Arcilla limosa, 10 YR 4/2 y 7.5 YR 5/3 | Posclásico Temprano | Relleno erosionado y mezclado con E1 | Posible relleno perturbado de plataforma residencial retenida por E58 (Estructura 22-6) o relleno erosionado que cubrió E58, |

| Número de estrato | Unidades | Textura y Munsell | Fecha probable | Proceso de formación | Comentarios |
|---|---|---|---|---|---|
| | | | | | dependiendo de la dirección en que retenga la plataforma. Inclusiones de tiestos y sedimento quemado. Menos inclusiones y un contenido orgánico similar o más alto que E1. |
| E58 | MU16, MU13 | N/A | Posclásico Temprano | Muro de piedra, retiene la Estructura 22-6 | Muro simple de una sola hilera de piedras. Muy perturbado. Orientación 100°/280°. No queda claro si el muro retenía hacia el norte o sur. |
| Ent. 121, I.134 | MU24 | N/A | Posclásico Temprano | Entierro | Entierro 121, Individuo 134. Entierro simple de un adulto extendido con una vasija de ofrenda. A diferencia de los otros entierros posclásicos excavados por nosotros, y por King (2003), este se encontró orientado al norte y con la vasija de ofrenda boca abajo, a su costado izquierdo. No aparece en el perfil. |
| Ent. 126, I.139 | MU37 | N/A | Posclásico Temprano | Entierro 126, Individuo 139. | Entierro simple extendido sin ofrendas identificadas. Muy mal preservado. |
| Ent. 125, I.138 | MU28 | N/A | Posclásico Temprano | Entierro 125, Individuo 138. | Entierro simple de un adulto extendido con una vasija de ofrenda junto a los pies y dos malacates. Los pies y la ofrenda están justo encima del muro E55. |
| Ent. 124, I.137 | MU35 | N/A | Posclásico Temprano | Entierro 124, Individuo 137. | Entierro simple de un adulto extendido con dos vasijas de ofrenda. No aparece en el perfil. |
| Ent. 123, I.136 | MU34 | N/A | Posclásico Temprano | Entierro 123, Individuo 136. | Entierro simple de un adulto extendido con una vasija de ofrenda. Orientado al sur. |

| Número de estrato | Unidades | Textura y Munsell | Fecha probable | Proceso de formación | Comentarios |
|---|---|---|---|---|---|
| | | | | | Perturbado por el Entierro 121, Individuo 134. |
| Ent. 122, I.135 | MU32 | N/A | Posclásico Temprano | Entierro 122, Individuo 135. | Entierro simple de un adulto extendido con dos vasijas de ofrenda junto sus pies. Orientado al sur. No aparece en el perfil. |
| E10 | I15, I16, I17, I19, I20, I21, I22, I23, I24, J17, J19, J21, J24, K17, K19, K21, K22, K24, L15, L16, L17 L18, L19, L20 | Arcilla limosa, 10 YR 4/2. | Posclásico Temprano - Moderno | Relleno de Estructura 22-5 mezclado con E1 | Sedimento compacto con inclusiones de cerámica, rocas, concha en polvo, sedimento quemado. |
| E98 | I24, J24, K24 | Arcilla limosa, 10 YR 4/2 | Posclásico Temprano | Relleno de Estructura 22-5, E11 redepositado | Relleno de la Estructura 22-5, cubre E55. Redepositado de E11. Comparte las mismas inclusiones que E11, pero se presentan más erosionadas y en menor densidad. |
| E101 | H21, H24 | N/A | Posclásico Temprano | Muro de piedra, retiene la Estructura 22-5 | Muro sur de la Estructura 22-5. Conecta con E18 y es paralelo a E50. Orientación: 112°E/292°. Condición poco favorable, rocas colapsadas. No es visible en perfil. |
| E50 | L16, L17, L18, L19, L20 | N/A | Posclásico Temprano | Muro de piedra, retiene la Estructura 22-5 | Muro norte de Estructura 22-5. Orientación 102° E/ 282°. |
| E18 | H15, I15, I16, L15 | N/A | Posclásico Temprano | Muro de piedra, retiene la Estructura 22-5 | Muro oeste de la Estructura 22-5. Conecta con E50. Orientación 09° E/189°, Preservación favorable. |
| Ent. 136 – I.149 | K21, M20 | N/A | Posclásico Temprano | Entierro | Entierro 136, Individuo 149. No excavado. |

| Número de estrato | Unidades | Textura y Munsell | Fecha probable | Proceso de formación | Comentarios |
|---|---|---|---|---|---|
| | | | | | Retiramos dos vasijas cerámicas de ofrenda en M20. |
| E60 | K20, K21 | N/A | Posclásico temprano | lajas de roca que delimitan la sección sur de E70 | Lajas de piedra en posición vertical. |
| E70 | M20 | Arcilla Limosa 7.5YR 5/3 | Posclásico Temprano | Pozo de entierro 136, I. 149 | Un pozo cubierto por bajareque termina debajo del muro de retención E50. El Pozo probablemente fue hecho para depositar el entierro 136, individuo 149. |
| E59 | K22 | Arcilla limosa, 10 YR 4/2 | Posclásico Temprano | Relleno de Estructura 22-4 | Sedimento compacto con mínimas inclusiones. Relleno contenido por E55, distinto a E33. |
| E33-s1 | MU16 | Arcilla limosa, 10YR 4/2 | Posclásico Temprano | Relleno de Estructura 22-4, posiblemente redepositado de E11 | Relleno de la Estructura 22-4. Posee más inclusiones que E57, pero menos que E11. Contiene mayormente pequeñas inclusiones de tiestos muy erosionados, rocas, sedimento quemado y polvo de concha. Posiblemente redepositado de E11. |
| E33-s2 | K22 | Arcilla arenosa, 7.5 YR 3/1 | Posclásico Tardío | Relleno de Estructura 22-4, posiblemente redepositado de E11 | Zona donde se concentran pedazos de bajareque en asociación con una roca careada en una matriz de sedimento oscuro y más grueso que E33-s1 o E11. |
| E72 | J21, J22, J23, U14 | Arcilla, 7.5 YR 5/3 y 2.5 Y 5/2 | Posclásico Temprano | Argamasa de lodo | Argamasa que sostiene el muro E55. Es compacto y no contiene inclusiones macroscópicas más allá de las rocas utilizadas para erigir el muro. |
| E56 | K24 | N/A | Posclásico Temprano | Muro de piedra, retiene la Estructura 22-4 | Muro de contención este de la Estructura 22-4. |

| Número de estrato | Unidades | Textura y Munsell | Fecha probable | Proceso de formación | Comentarios |
|---|---|---|---|---|---|
| | | | | | Muy poco del muro fue expuesto, por lo que no es posible orientarlo. |
| EE55 | I17, I19, J21, J22, J23, K23, K24 | N/A | Posclásico Temprano | Muro de piedra, retiene la Estructura 22-4 | Muro de contención sur de Estructura 22-4 de una plataforma residencial con dos secciones, una simple con una sola hilera de piedras visible en I17 e I19 y otra compleja con hasta cuatro hileras de piedras visibles en J21, J22, J23. También presente en K23 y K24. Orientación 92°/ 272° |
| E46 | N10, O10, P10 | 10YR 5/3 | Posclásico temprano a moderno | Intrusión de sedimento erosionado dentro de relleno de una plataforma. | Una mezcla de relleno de plataforma con sedimento moderno, y sedimento erosionado adentro desde afuera de la plataforma. Inclusiones de tiestos y piedras. |
| E64 | J13 | Arcilla limosa, 7.5 YR 5/3 | Posclásico Temprano - Moderno | Desecho ocupacional | Mezcla de relleno de plataforma y materiales erosionados en la superficie. inclusiones: tiestos, roca, sedimento quemado, algo de polvo de concha y polvo de roca. |
| E65-s1 | J13 | Arcilla arenosa, 10 YR 4/2 | Posclásico Temprano | Relleno de pozo | Relleno de pozo en E15-s1 posiblemente rellenado con desecho doméstico. Sedimento más burdo y orgánico que E64 o E15-s1 y con gran densidad de inclusiones de roca, tiestos, carbón y sedimento quemado. No está vinculado al Depósito de Terminación. |

| Número de estrato | Unidades | Textura y Munsell | Fecha probable | Proceso de formación | Comentarios |
|---|---|---|---|---|---|
| E65-s2 | J13 | N/A | Posclásico Temprano | Concentración de materiales resultado de actividades que perturbaron dentro de E15-s1. | Depósito de desechos domésticos sobre la superficie de E15-s1 |
| E20-s1 | L13, M10, M11, M12, M13, M14, N10, N11, O11, P12, P13, Q12 | Arcilla limosa, 10 YR 5/3 | Posclásico Temprano | Relleno de plataforma (Estructura 22-3) | Sedimento de relleno con alta densidad de inclusiones de tiestos, sedimento quemado, roca y algunos fragmentos de concha. |
| E20-s2 | M12, N11, P13 | Arcilla limosa, 7.5 YR 4/3 | Posclásico Temprano | Relleno de plataforma (Estructura 22-3) | Un poco más oscuro y con más inclusiones que 20-s1 |
| E20-s3 | P13 | Arcilla limosa, 10YR 2/2 | Posclásico Temprano | Relleno de plataforma (Estructura 22-3) | Capa de sedimento orgánico con textura de ceniza. |
| E131 | P10 | N/A | Posclásico Temprano | Posible muro de piedra que retiene la Estructura 22-2 | Posible muro norte de la Estructura 22-3. Muy incompleto. Posible muro de contención de una plataforma residencial |
| E39 | M10, N10, O10, P10, Q10 | N/A | Posclásico Temprano | Muro de piedra, retiene la Estructura 22-3 | Paralelo a E17. Conforman la estructura 22-3 junto con E17. Orientación de 15°/195°. Buena condición en M10. Posible muro de contención de una plataforma residencial |
| E17 | H16, I16, L16 | N/A | Posclásico Temprano | Muro de piedra, retiene la Estructura 22-3 | Muro Este de la Estructura 22-3. Paralelo a E39. Orientación 05° /185°. Preservación favorable. Posible muro de contención de una plataforma residencial |

| Número de estrato | Unidades | Textura y Munsell | Fecha probable | Proceso de formación | Comentarios |
|---|---|---|---|---|---|
| E67 | I16 | Arcilla limosa, 10YR 6/3 | Posclásico Temprano | Relleno | Relleno que cubre E68. Es sedimento compacto con inclusiones de tiestos y rocas. Menos inclusiones que E10. |
| E68 | I16 | N/A | Posclásico Temprano | Muro de piedra | Muro de una sola hilera. Sólo se expuso una pequeña parte del elemento. La sección visible posee una orientación muy similar a E17, que fue instalado justo encima. |
| E11 | MU1, MU2, MU16, MU17, F16, F23, F24, I15, I16, I19, I20, I21, I22, I23, I24, J19, J21, J22, J23, J24, K17, K19, K21, K22. | Diversos tamaños de grano. 10 YR 4/2, 7.5 YR 5/3, 10 YR 5/3. | Posclásico Temprano | Basurero formado por deposición gradual durante un periodo de tiempo significativo. | Estrato complejo con múltiples subcapas sutiles que representan eventos de deposición de desechos. Los substratos también incluyen depósitos delgados de sedimentos que probablemente fueron colocados con la intención de cubrir los desechos. Estos depósitos "limpios" introdujeron la cerámica del Clásico Tardío en E11. Incluye cerámica de diversos tamaños y estados de preservación, rocas pequeñas, sedimento quemado, carbón, escasos trozos de concha y la mayor concentración de hueso animal en Op. A |
| E84-s1 | MU11 | Arcilla limosa, 2.5 Y 5/2 | Posclásico Temprano, posiblemente transicional de Clásico Tardío a Posclásico Temprano en sus pro-fundidades. | Basurero | Basurero. Menor densidad de inclusiones y menor contenido orgánico que E84-s2. Sin embargo, aún mayor densidad en todos los elementos en comparación a los depósitos típicos de E11. |

| Número de estrato | Unidades | Textura y Munsell | Fecha probable | Proceso de formación | Comentarios |
|---|---|---|---|---|---|
| E84-s2 | MU11 | Arcilla arenosa, 10 YR 5/3 | Posclásico Temprano, posiblemente transicional de Clásico Tardío a Posclásico Temprano en sus pro-fundidades. | Basurero | Basurero con alto contenido de ceniza y materia orgánica. Inclusiones de tiestos, hueso, rocas y la mayor concentración de concha pulverizada en Op. A, aunque inferior si se compara con las concentraciones de concha en basureros formativos. |
| E91 | W19 | Arcilla Limosa 10YR 4/2 | Posclásico Temprano | Relleno de pozo | Relleno de un pozo intrusivo en E89. Menos inclusiones y no tan oscuro como E89 y E90. |
| E105 | Y10 | N/A | Posclásico Temprano - Moderno | Erosión | Acumulación de piedras posiblemente erosionadas desde una estructura al norte. |
| E89 | W19 | Arcilloso 10YR 5/3, 2.5Y 5/2 | Posclásico Temprano | Relleno | Sedimento erosionado y muy empacado, cerca de la superficie moderna. Densidad muy alta de artefactos incluyendo tiestos, manchas de bajareque, y piedras chicas. |
| E52 | X10, X11, Y10, Y11 | Arcilla Limosa 10YR 4/2 | Posclásico Temprano | Relleno erosionado | Sedimento orgánico y muy empacado con una mezcla de tiestos pequeños de cerámica, bajareque, y algunas piedras. Este sedimento está cerca de la superficie y se coloca en una bajada, resultando en un estrato erosionado. |
| E107 | R16, R17 | N/A | Posclásico Temprano | Muro de piedra, retiene la Estructura 22-2 | Muro sur de la Estructura 22-2. Conecta con E103 y E106. Orientación 109°/289°. Condición poco favorable, rocas colapsadas. |
| E106 | R19 | N/A | Posclásico Temprano | Muro de piedra, retiene | Muro este de la Estructura 22-2. Conecta con E103 y E107. Orientación |

| Número de estrato | Unidades | Textura y Munsell | Fecha probable | Proceso de formación | Comentarios |
|---|---|---|---|---|---|
| | | | | la Estructura 22-2 | 5°E/185°. Condición poco favorable, rocas colapsadas. |
| E103 | U14 | N/A | Posclásico Temprano | Muro de piedra, retiene la Estructura 22-2 | Muro oeste de la Estructura 22-2. Conecta con E106 y E107. Orientación 358°/178°. Condición favorable. |
| E73 | R16, R17, T16, T17, U16, U17 | Arcilla limosa, 5 YR 5/3 | Posclásico Temprano | Mezcla de relleno de la plataforma 22-2 con materiales erosionados en superficie | Capa compacta de sedimento mezclado con desechos ocupacionales y materiales de superficie. Incluye tiestos, sedimento quemado, roca y concha. |
| E104 | Y11 | N/A | Posclásico Temprano | Acumulación de rocas | Consiste en varias piedras juntadas en forma de un rectángulo. Es posible que es una construcción intencional, pero es difícil saber por lo poco que se excavo. No aparece en el perfil. |
| E102 | W19 | N/A | Posclásico Temprano | Muro de piedra de una estructura excavada por Stacie King (2003) | Muro noroeste de la Estructura 8-4 excavada por Stacie King durante el PRV00, (King, 2003). En su retícula este elemento hubiera aparecido en la unidad 7B-40, sin embargo, no fue excavada en ese entonces. No fue posible obtener orientación, dado que sólo se expuso una pequeña sección. No aparece en el perfil. |
| E90 | W19 | Arcilla Limosa 10YR 5/3, 7.5YR 5/3 | Posclásico Temprano | Relleno | Sedimento erosionado, pero menos empacado que E89. La densidad de inclusiones es menor. La superficie donde se construyó el muro E102. |

| Número de estrato | Unidades | Textura y Munsell | Fecha probable | Proceso de formación | Comentarios |
|---|---|---|---|---|---|
| E53 | X11, Y11 | Arcilla Limosa 10YR 4/2 | Posclásico Temprano | Relleno erosionado | Sedimento orgánico y más oscuro que E52. Tiene una concentración de artefactos similar a E52, pero con una densidad más grande. El sedimento es un poco menos empacado que E52. Este sedimento esta cera de la superficie y se coloca en una bajada resultando en un estrato erosionado. |
| E62 | MU21, Q12, U14 | Arcilla limosa, 7.5 YR 5/3 | Posclásico Temprano | Desecho de ocupación erosionado | Sedimento muy compacto con inclusiones de tiestos, roca, sedimento quemado, hueso y pequeñas cantidades de manchones de concha. |
| E74-s1 | R16, R17, T16, T17, U16, U17 | Marga limosa, 7.5 YR 6/3 | Posclásico Temprano | Relleno | Sedimento suelto con inclusiones de tiestos, roca, sedimento quemado, algo de hueso y alta densidad de concha pulverizada. Estrato muy perturbado en T17, U16, U17 |
| E74-s2 | R16, R17, T16, T17, U16, U17 | Marga limosa, 7.5 YR 6/3 | Posclásico Temprano | Relleno | Menor cantidad de concha pulverizada. |
| E74-s3 | R17 | | Posclásico Temprano | Relleno | Área de tierra quemada. |
| E54 | P10, Q10 | Arcilla Arenosa 5YR 4/1 | Transición entre Clásico Tardío y Posclásico Temprano | Relleno dentro de un pozo | Relleno arenoso dentro de un pozo que perturba la parte de arriba del horno complejo del bloque oeste. Una concentración densa de cerámica consistiendo en inclusiones de piedra, hueso, carbón, y un poco de ceniza. El pozo se extiende hasta E21.<br>El pozo penetró E15 y E21 hasta la parte superior del horno. |

| Número de estrato | Unidades | Textura y Munsell | Fecha probable | Proceso de formación | Comentarios |
|---|---|---|---|---|---|
| E116-s1 | MU5, MU7 | N/A | Transición entre Clásico Tardío y Posclásico Temprano | Asociado Entierro 120, Individuo 133 | Rocas encontradas sobre el entierro. Muchas de estas están careadas por lo que pudieron ser parte de un elemento arquitectónico antes de su último uso. No aparece en el perfil. |
| E116-s2 | MU7 | N/A | Transición entre Clásico Tardío y Posclásico Temprano | Asociado con Entierro 120, Individuo 133 | Dos grandes bloques de bajareque quemado con silueta similar a la de un ladrillo, encontrados sobre el entierro el entierro. La cara interna de los bloques presenta impresiones de poste. No aparece en el perfil. |
| Ent. 120, I.133 | MU5 (ex-puesto), MU7 (ex-puesto), MU19 (extraído) | N/A | Transición entre Clásico Tardío y Posclásico Temprano | Entierro 120, Individuo 133 | Entierro primario de un adulto femenino con modificación craneal (aplanamiento frontal-occipital). Fue acompañado por 10 objetos de ofrenda: Cuatro vasijas, tres peines de hueso, una mano de mortero y dos malacates. El tipo de ofrendas asociadas sugieren que este individuo estaba relacionado con el oficio textil. No aparece en el perfil. |
| E95 | U16 | Arcilla limosa, 5 Y 3/1 | Transición entre Clásico Tardío y Posclásico Temprano | Posible extracción de combustible gastado del horno | Pequeño bloque de sedimento con alto contenido de ceniza y un gran trozo de carbón. El estrato parece ser resultado de una extracción del contenido del horno. |
| E115 | U17 | Marga arenosa, 7.5 YR 5/3, 7.5 YR 5/4 | Transición entre Clásico Tardío y Posclásico Temprano | Pared quemada del interior del horno | Sedimento oxidado, ha sido endurecido y enrojecido por el estrés térmico. En ocasiones posee una cubierta de color ceniza de |

| Número de estrato | Unidades | Textura y Munsell | Fecha probable | Proceso de formación | Comentarios |
|---|---|---|---|---|---|
| | | | | | espesor variado. No es tan común (dentro del elemento) como 93, por lo que es muy probable que sea la pared interna del horno. |
| E93 | U16, U17, MU31 | Arcilla limosa, 10 YR 5/3 | Transición entre Clásico Tardío y Posclásico Temprano | Cubierta de tierra sobre el elemento de calor de un horno de tierra | Horno de tierra compuesto por E51, E93 Y E115. Cubierta de sedimento mezclado con ceniza y fragmentos pequeños de rocas fracturadas por calor, pequeños trozos de concha, pedazos de carbón y algo de contenido orgánico. Con una cantidad significativa de raíces (camotitos). En algunas áreas está mezclado con E115. |
| E51 | U17, MU31 | N/A | Transición entre Clásico Tardío y Posclásico Temprano | Rocas fracturadas por calor | Capa de rocas de diversos tamaños y formas que presentan distintas marcas de estrés térmico (oxidación, enrojecimiento, pulverización, fractura angular).<br>Forma parte del mismo horno de tierra que E93 y E115. |
| E5-s1 | P19 | 10Yr 4/2 | Transición entre Clásico Tardío y Posclásico Temprano | Huella de poste | Huela de poste. Es más orgánico que el sedimento alrededor. Aunque los estratos E3, E4, y E7 si continúan sobre 5. Este estrato y sus subestratos solo es más orgánico como si más material orgánico fue incorporado al sedimento. |
| E5 -s2 | P19 | 10Yr 4/3 | Transición entre Clásico Tardío y | Huella de poste | Parte de la huella de poste donde continua la estratigrafía de E4-s1. El |

| Número de estrato | Unidades | Textura y Munsell | Fecha probable | Proceso de formación | Comentarios |
|---|---|---|---|---|---|
| | | | Posclásico Temprano | | sedimento solo es más orgánico. |
| E5-s3 | P19 | 5YR 3/3 | Transición entre Clásico Tardío y Posclásico Temprano | Huella de poste | Parte de la huella de poste donde continua la estratigrafía alrededor. Aquí se ve una transición de E4-s2 al E7. El sedimento es más orgánico. |
| E118 | O19 | | Transición entre Clásico Tardío y Posclásico Temprano | Huella de poste | Huella de poste asociada con los muros E108, E109. |
| E109 | MU9, O19, O20, P19 | N/A | Transición entre Clásico Tardío y Posclásico Temprano | Muro de piedra | Muro sur de retención de una posible plataforma baja. Se conecta con muro E108. |
| E108 | P19, P20, Q19, Q20 | N/A | Transición entre Clásico Tardío y Posclásico Temprano | Muro de piedra | Muro este de retención de una posible plataforma baja. Se conecta con muro E109. |
| E15-s3 | MU21, P12 | Arcilla limosa, sin Munsell. | Clásico Tardío | 15-s1 muy intemperizado | Subestrato altamente intemperizado de E15. Posee más perturbaciones y áreas con mayor contenido orgánico y grano más burdo. |
| E15-s2 | L13, MU1, M10, M11, M12, M13, M14 | N/A | Clásico Tardío | Relleno con Depósito de Terminación. | Concentración más densa de tiestos cerámicos, incluyendo vasijas completas quebradas in situ. |
| E15-s1 | J13, L13, MU1, M10, M11, M12, M13, M14, N10, N11, | Arcilla limosa más fina que E11, E16. 10 YR 6/3 | Clásico Tardío | Relleno del Clásico Tardío con Depósito de Terminación. | Sedimento aluvial muy compacto que contiene una concentración de tiestos, e incluye vasijas quebradas in situ. interpretado como un Depósito de Terminación del Clásico Tardío. |

| Número de estrato | Unidades | Textura y Munsell | Fecha probable | Proceso de formación | Comentarios |
|---|---|---|---|---|---|
| | O10, O11, P10, P12, P13 | | | | Inclusiones de rocas pequeñas y pequeños fragmentos de hueso. E15-s1 es un subestrato con poca cerámica. |
| E75-s2 | MU31 | Arcilla arenosa, 5 YR 5/6 | Clásico Tardío | Superficie del pozo de horno, enrojecido por estrés térmico | Borde del pozo cavado en E75-s1 que fue alterada por estrés térmico al instalar y utilizar el horno. |
| E75-s3 | U17 | Arcilla limosa, 10 YR 6/4 | Clásico Tardío | Posible intrusión de bajareque quemado | Sedimento quemado fuera y encima del nivel del horno de tierra E93 |
| E75-s1 | U16, U17, T16, T17, MU5, MU7 | Arcilla arenosa, 10 YR 5/3 | Clásico Tardío | Relleno | Sedimento aluvial con inclusiones de sedimento quemado, tiestos, rocas y pocas manchas de concha pulverizada (menos que E74-s1). Más inclusiones que E76. |
| E83 | U16 | Arcilla limosa más fina que E94, 2.5 YR 5/2. | Clásico Tardío | Relleno | Sedimento con alto contenido de ceniza. Contiene rocas, tiestos del clásico tardío de tamaño variado, fragmentos de concha, sedimento quemado y algo de carbón. Probablemente de origen aluvial. Anterior al horno E93. |
| E94-s2 | MU31 | Arcilla limosa más gruesa que E75-s2, 5 YR 4/4 | Clásico Tardío | Superficie del pozo de horno, enrojecido por estrés térmico | Lo mismo que E75-s2, pero aplicado a E94. |
| E94-s1 | U16 | Arcilla limosa más gruesa que E83, 2.5 YR 6/3, 10 YR 6/3 | Clásico Tardío | Relleno | Sedimento aluvial muy uniforme, más suave al tacto que E75. Posee muy pocas inclusiones de tiestos muy erosionados. |

| Número de estrato | Unidades | Textura y Munsell | Fecha probable | Proceso de formación | Comentarios |
|---|---|---|---|---|---|
| E76 | MU16 | Arcilla limosa, 10 YR 5/3 | Clásico Tardío | Relleno | Sedimento aluvial ligeramente más fino que E75, con menor cantidad de inclusiones de tiestos y sedimento quemado. |
| E85 | MU11 | Arcilla limosa, 2.5 Y 6/3 | Probable-mente Clásico Tardío | Relleno | Sedimento aluvial muy compacto con relativamente pocas inclusiones de tiestos y sedimento quemado. Podría estar relacionado con 66-s1. |
| E87-s1 | MU11 | Marga limosa, 10 YR 5/4 | Probable-mente Clásico Tardío | Relleno | Sedimento aluvial con pocas inclusiones, muy anaranjado en estado fresco. Similar en color a E13. |
| E87-s2 | MU11 | Marga limosa, 10 YR 4/2 | Probable-mente Clásico Tardío | Relleno | Concentración ceniza |
| E88 | MU11 | Marga limosa, 7.5 YR 5/6 | Probable-mente Clásico Tardío | Relleno | Sedimento aluvial de color anaranjado en estado fresco, aunque sólo fue expuesto en un área pequeña. Similar a E87, aunque posiblemente de grano más grueso. |
| E66-s1 | F16, MU17 | Arcilla limosa, 10 YR 5/3 | Clásico Tardío | Relleno | Sedimento aluvial con inclusiones de tiestos y sedimento quemado. Estrato muy compacto. Quizá se relacione con E12 |
| E66-s2 | F16, MU17 | Arcilla limosa, 7.5 YR | Clásico Tardío | Relleno | Concentración de tiestos |
| E66-s3 | F16, MU17 | Arcilla limosa, 10 YR 5/4 | Clásico Tardío | Relleno | Ligeramente más fino y con menor cantidad de inclusiones de tiestos que el E66-s1 |
| E12 | I15, I16, K17, J22, MU2, MU16 | Arcilla limosa, 7.5 YR 5/3 | Clásico Tardío | Relleno | Sedimento compacto con inclusiones de cerámica (generalmente pequeña), roca y sedimento quemado. Es más fino y |

| Número de estrato | Unidades | Textura y Munsell | Fecha probable | Proceso de formación | Comentarios |
|---|---|---|---|---|---|
| | | | | | mucho más uniforme que E11. Probablemente de origen aluvial. Contiene concentraciones periódicas de material similar al de un basurero, probablemente redepositado. |
| E8 | MU23 | Arcilla limosa, 7.5 YR 3/2 | Clásico Tardío | Huella de poste | Sedimento orgánico muy oscuro y de silueta cónica en perfil. |
| E27 | MU12, M13 | Limo arcilloso, 2.5 Y 6/3 | Clásico Tardío | Relleno | Sedimento aluvial con alta densidad de fragmentos de concha y pocos tiestos. Más orgánico que E15. |
| E16 | M13, M14, MU1, MU20 (M12), MU23, N11 | Arcilla Limosa, 2.5 Y 6/3 | Clásico Tardío | Relleno | Estrato uniforme de sedimento aluvial con inclusiones cerámicas, fragmentos de concha y rocas. Contiene más inclusiones que E13 y quizá se relacione con E12. |
| E63 | MU21 | Marga arcillo limosa, 2.5 Y 5/2 | Clásico Tardío | Relleno | Relleno con inclusiones de pocos tiestos. |
| E21-s1 | L13, MU20, M10, M11, M13, N10, N11, O11, P12, P13, Q12 | Arcilla limosa, 10 YR 5/3 | Clásico Tardío | Relleno | Sedimento con más contenido orgánico que E15 y menor densidad de inclusiones, entre ellas tiestos, rocas y fragmentos de concha y mica. |
| E21-s2 | N10, N11, O10, P10 | Arcilla limosa, 10 YR 5/3 | Clásico Tardío | Relleno | Ligeramente menos orgánico. Más uniforme que E21-s1. |
| E23 | L13 | Arcilla limosa, 7.5 YR 5/2 | Clásico Tardío | Relleno | Sedimento con mayor contenido de limo que E21. Contiene tiestos, fragmentos de mica y concha. |
| E99 | MU9, O20, P19, P20 | N/A | Clásico Tardío | Ofrenda | Ofrenda de al menos siete incensarios antropomorfos quebrados in situ, |

| Número de estrato | Unidades | Textura y Munsell | Fecha probable | Proceso de formación | Comentarios |
|---|---|---|---|---|---|
| | | | | | probablemente durante una ceremonia de terminación para el complejo de drenaje. Enterrados en dos áreas: aprox. tres en la parte superior de E3 cerca de los muros E108, E109 en P19; y cuatro en E3 justo encima de la sección cerámica del drenaje (E34, E121, E122). No aparece en el perfil. |
| E36 | MU9, MU29, N20, O20, P20 | N/A | Clásico Tardío | Material de construcción | Tiestos de cerámica asociados con la sección cerámica del drenaje E34, E121, E122. |
| E129 | M20, N20 | N/A | Clásico Tardío | Sección de drenaje de piedra | Este estrato es la última extensión de un drenaje compuesto por tres secciones de construcciones distintas, probablemente construidas de manera simultánea. La primera sección consiste en un drenaje cerámico de silueta cilíndrica compuesto de tres piezas (E34, E121, E122) que encajan una dentro de la otra. Durante la construcción de la (1era) sección de cerámica, una de las piedras de E110 fue relocalizado para instalar el drenaje. La sección cerámica luego fue instalada dentro de una segunda sección del drenaje montada con lajas de piedra (E35, E123, E124, E125). En donde se conectan estas dos secciones hay una piedra muy alta, que penetra E7, que interrumpió el flujo de |

| Número de estrato | Unidades | Textura y Munsell | Fecha probable | Proceso de formación | Comentarios |
|---|---|---|---|---|---|
| | | | | | agua parcialmente. Es posible que fuera para prevenir la fuga rápida del agua. Después de esta construcción hubo una pequeña cascada y luego una continuación del drenaje en forma de lajas de piedras con cerámica. Esta (3era) sección fue construida encima de E113, reutilizando dicho elemento. Las tres secciones fueron cubiertas por E31 para sellarlas. E129 es una serie de lajas de piedras que cubrieron a la tercera extensión del drenaje, incluye a E126, E127, E128. |
| E128 | M20, N20 | N/A | Clásico Tardío | Sección de drenaje de piedra | La sección oeste del drenaje hecho de lajas de piedras. Se conecta con el base, E126, y la capa de lajas, E129. E128 luego fue sellado con E31 y tiestos de cerámica, E36. |
| E127 | M20, N20 | N/A | Clásico Tardío | Sección de drenaje de piedra | La sección este del drenaje hecho de lajas de piedras. Se conecta con el base, E126, y la capa de lajas, E129. E127 luego fue sellado con E31 y tiestos de cerámica, E36. |
| E126 | M20, N20 | N/A | Clásico Tardío | Sección de drenaje de piedra | La base de una porción del drenaje hecho de lajas de piedras. Sostiene a E127, E128, y está cubierto por E129. |
| E125 | N20, O20 | N/A | Clásico Tardío | Sección de drenaje de piedra | Una extensión del drenaje de cerámica que está hecha de piedras grandes, y cerámica grande, E36. Esta porción del drenaje se |

| Número de estrato | Unidades | Textura y Munsell | Fecha probable | Proceso de formación | Comentarios |
|---|---|---|---|---|---|
| | | | | | extiende a E113, en donde E113 se abre y forma un canal para dejar pasar el agua. |
| E124 | N20, O20 | N/A | Clásico Tardío | Sección de drenaje de piedra | La sección oeste del drenaje hecho de lajas de piedras. Se conecta con el base, E35, y la capa de lajas, E125. E124 luego fue sellado con E31 y tiestos de cerámica, E36. |
| E123 | N20, O20 | N/A | Clásico Tardío | Sección de drenaje de piedra | La sección este del drenaje hecho de lajas de piedras. Se conecta con el base, E35, y la capa de lajas, E125. E123 luego fue sellado con E31 y tiestos de cerámica, E36. |
| E35 | N20, O20 | N/A | Clásico Tardío | Extensión de E34, una sección del drenaje hecho de piedras con cerámica empacada | La base de una porción del drenaje hecho de lajas de piedras. Sostiene a E123, E124, y está cubierto por E125. |
| E34 | MU9, MU29, P20 | N/A | Clásico Tardío | Drenaje compuesto de cerámica. | Una tubería de drenaje hecho de cerámica. Es ~2m que consiste en por lo menos tres segmentos de cerámica cilíndrica que se metió una dentro de otra. La construcción empieza en P20 y sigue al sur hasta N20 donde se encuentra con una continuación del drenaje hecha de lajas de piedra con cerámica, y al último se descubrió otra extensión en M20 de piedra. E34 es la sección cerámica más alta, más al norte del conjunto, y más fracturada. |

| Número de estrato | Unidades | Textura y Munsell | Fecha probable | Proceso de formación | Comentarios |
|---|---|---|---|---|---|
| E121 | MU9, MU29, M20, O20, P20 | N/A | Clásico Tardío | Drenaje compuesto de cerámica. | Sección central del conjunto de segmentos cerámicos de la tubería. |
| E122 | MU9, MU29, O20 | N/A | Clásico Tardío | Drenaje compuesto de cerámica. | Sección sur del conjunto de segmentos cerámicos de la tubería. Es el más profundo. |
| E3-s1 | MU9, MU29, N19, O19, O16, O19, O20, P16, P17, P19, P20, Q17, Q19, Q20, Q21, R17, R19, R20 | Arcilla Limosa 10YR 4/2 | Clásico Tardío | Relleno | Sedimento aluvial muy compacto. E3-s1 esta erosionado y no se distingue fácilmente de E2 en algunos lugares. Es posible que este relleno fue una combinación de varias fuentes. |
| E3-s2 | MU3, MU9, MU29, M20, N19, N20, O19, P19 | Arcilla Limosa 10YR 6/3 | Clásico Tardío | Relleno | Un poco más arcilloso y oscuro que E3-s1 con más inclusiones de tiestos, bajareque, y concha. |
| E3-s3 | P19 | Arcilla 10YR 6/3 | Clásico Tardío | Relleno | Arcilla con alto grado de compactación. |
| E3-s4 | P19 | 7.5YR 5/4 | Clásico Tardío | Relleno | Capa delgada de sedimento quemado. |
| E3-s5 | MU9, O20, P19, P20 | Arcilla 10YR 5/3 | Clásico Tardío | Relleno | Mas limosa que E3-s1, y localizado alrededor de piedras de una posible plataforma E108, E109. |
| E3-s6 | N19, O20, P20 | Arcilla Limosa 10 YR 5/3 | Clásico Tardío | Relleno | Mas orgánico con inclusiones de grava. |
| E3-s7 | MU9, M20, O20 | Arcilla Limosa 10YR 5/3 | Clásico Tardío | Relleno | Concentración de cerámica con algunos tiestos grandes, y bajareque. Esta colocado encima del muro E109. |
| E3-s8 | MU9, O20 | Arcilla Limosa 10 YR 5/3 | Clásico Tardío | Relleno | Mas arenoso con menos inclusiones que otros subestratos de E3. También |

| Número de estrato | Unidades | Textura y Munsell | Fecha probable | Proceso de formación | Comentarios |
|---|---|---|---|---|---|
| | | | | | es más oscuro y orgánico, posible perturbación. |
| E31-s1 | MU9, MU29, M20, N19, N20, O20 | Marga Arcilla Limosa 10YR 4/2 | Clásico Tardío | Suelo redepositado como relleno | Un probable suelo no formado in situ, y utilizado para sostener, y sellar el drenaje. Es muy orgánico con inclusiones de cerámica. |
| E31-s2 | MU3, MU29, M20, N20, O20 | Arcilla Limosa 10YR 4/3 | Clásico Tardío | Relleno mezclado de E31-s1, y E3. | Mezcla de E31 y E3. Tiene inclusiones de cerámica y piedra. |
| E31-s3 | MU9, N19, O19 | 7.5YR 4/3 Arcilla Limosa | Clásico Tardío | Relleno mezclado con E31-s1 y E4 | Mezcla de E31 y E4. Tiene inclusiones de cerámica y piedra. |
| E6 | P16 | N/A | Clásico Tardío | Ofrenda | Ofrenda de piedras de rio colocadas en medio circulo dentro de E4. La mayoría de las piedras están enrojecidas tenían cerámica empacada sobre y debajo de ellos. El sedimento alrededor fue un poco más oscuro y orgánico entre el circulo de piedras. Debajo de la ofrenda principal había una extensión hacia el noreste consistiendo en cerámica con dos piedras, una azul y una roja. Es posible que esta extensión de las piedras de rio fue el resultado de una posible ofrenda de animación. |
| E4 | MU9, MU29, M20, N19, N20, O16, O19, O20, P16, P17, P19, P20, Q17, R17, | Arcilla Limosa 2.5Y 6/3 | Clásico Tardío | Relleno | Sedimento aluvial, fino y uniforme con inclusiones de concha que varía en cantidad. Pocas otras inclusiones, solo un poco de cerámica y bajareque. Depositado al mismo tiempo que E31 y E3, |

| Número de estrato | Unidades | Textura y Munsell | Fecha probable | Proceso de formación | Comentarios |
|---|---|---|---|---|---|
| | | | | | durante la instalación de la tubería/drenaje. |
| E37 | MU20, M10, M11 | Marga Limosa 2.5Y 5/2 | Clásico Tardío | Pozo | Pozo relleno con sedimento de textura de ceniza. Inclusiones de tiestos, ceniza, y poca concha. La cantidad de ceniza varía. Probablemente un elemento asociado con el horno. |
| E42-s1 | MU27, P11 | Arcilla Arenosa 7.5YR 4/3 | Clásico Tardío | Intrusión | Intrusión de ceniza penetrando debajo del horno complejo. El sedimento tiene textura de ceniza con inclusiones de tierra quemada, tiestos, ceniza, y carbón. |
| E42-s2 | MU27, P11 | Arcilla Arenosa 10YR 4/2 | Clásico Tardío | Intrusión | Concentración más densa de ceniza y carbón con pedazos grandes de carbón. |
| E120 | N10, N11, O10, O11 | N/A | Clásico Tardío | Construcción de canal de ventilación del horno | Componente de un horno de tierra de uso comunal. Fue instalado en un pozo que corta E38 y E40, en donde se realizaron eventos de combustión, resultando en la creación de E43. E61 consiste en rocas dentro del horno que fundieron como elemento de calor para cocinar. E120 consiste en lajas de piedra planas alineadas y conectadas con la porción sur del horno. Es probable que este espacio forma un canal que fue utilizado como ventilación para el horno. |
| E49 | O10, O11 | N/A | Clásico Tardío | Construcción de canal de | Piedras al lado este del canal de ventilación. Consiste en piedras |

| Número de estrato | Unidades | Textura y Munsell | Fecha probable | Proceso de formación | Comentarios |
|---|---|---|---|---|---|
| | | | | ventilación del horno | grandes y cerámica compactada entre las piedras. Cubierto por E120. |
| E119 | O1O, O11 | N/A | Clásico Tardío | Construcción de canal de ventilación del horno | Piedras al lado oeste del canal de ventilación. Consiste en piedras grandes y cerámica compactada entre las piedras. Cubierto por E120. |
| E48 | N10, N11, O10, O11 | N/A | Clásico Tardío | Construcción de canal de ventilación del horno | El piso de un canal de ventilación formado por E48-s2 encima y E48-s4 al lado. |
| E61 | MU27 | N/A | Clásico Tardío | Rocas térmicamente alteradas | Capa de rocas de granito de diversos tamaños y formas que presentan distintas marcas de estrés térmico (enrojecimiento, pulverización, fractura angular).<br>Forma parte del mismo horno que E49, E119, E120, E48, E43. |
| E43-s1 | MU27, O10, P10, P11 | Franco Arenosa 5YR 4/1 | Clásico Tardío | Relleno | Sedimento con alto contenido de ceniza dentro del horno. Inclusiones de ceniza, carbón, cerámica, piedras, y piedra pulverizada. |
| E43-s2 | MU27, P10, P11 | 5YR 3/2 | Clásico Tardío | Relleno | Una concentración de ceniza y carbón más intensa. |
| E43-s3 | MU27, P10, P11 | 7.5YR 2.5/1 | Clásico Tardío | Relleno | Depósito muy denso de carbón y ceniza. |
| E130 | N10 | N/A | Clásico Tardío | Posible ofrenda dedicada al horno complejo | |
| E38-s1 | MU14, MU27, M10, M11, M12, | Arcilla Limosa 10YR 6/3 | Clásico Tardío | Relleno | Relleno de Clásico Tardío con inclusiones de tiestos, concha pulverizada, piedra, y ceniza. |

| Número de estrato | Unidades | Textura y Munsell | Fecha probable | Proceso de formación | Comentarios |
|---|---|---|---|---|---|
| | N10, N11, O10, O11, P10, P11, P12, P13 | | | | |
| E38 -s2 | MU14, MU27, M10, M11, N11, O11, P11 | Arcilla Limosa 7.5 YR 5/3 | Clásico Tardío | Relleno | Tiene más ceniza. |
| E38-s3 | M12 | Marga arcillo-limosa 2.5Y 5/2 | Clásico Tardío | Relleno | Depósito de ceniza. |
| E38-s4 | MU14, MU27, O10, O11, P11 | Arcilla Limosa | Clásico Tardío | Superficie quemada del pozo del horno | Corte en el pozo del horno complejo. Alterado por estrés térmico durante el uso del horno. |
| E47 | MU14, O11, P11 | Marga Arcillo-arenosa 10YR 5/4 | Clásico Tardío | Relleno | Sedimento aluvial muy uniforme. Pocas inclusiones, sólo un poco de tiestos de cerámica. |
| E40-s1 | MU14, MU27, N10, N11, O11, P10, P11, P12, P13, Q10, Q11 | Arcilla Limosa 7.5 YR 6/4 | Clásico Tardío | Relleno | Sedimento aluvial depositado en el Clásico Tardío con pocas inclusiones además de unos tiestos de cerámica y pedazos de concha. |
| E40-s2 | MU27, P10, P11 | Franco Arenoso 7.5YR 4/2 | Clásico Tardío | Superficie quemada del pozo del horno | Superficie de la base del horno complejo, posteriormente alterada por estrés térmico durante su uso. |
| E40-s3 | N10, N11 | 10YR 5/3 | Clásico Tardío | Relleno | Un subestrato de E40 con una concentración densa de tiestos grandes y una capa de piedras sobre ellos. |
| E113 | M20 MU9, MU29, N19, N20 | N/A | Clásico Tardío | Alineamiento de rocas | Alineamiento de rocas sin asociación clara. Es posible que estuviera asociado con E110, E111 y E32. Previo a la tubería y drenaje, pero |

| Número de estrato | Unidades | Textura y Munsell | Fecha probable | Proceso de formación | Comentarios |
|---|---|---|---|---|---|
| | | | | | posiblemente aprovechado durante su construcción. Tiene un espacio donde tiene la forma de otro canal de agua sugiriendo que es parte de E34 y E35. |
| E32 | MU9, N19, O19 | N/A | Clásico Tardío | Construcción intencional asociada con E110 y E111 | Este estrato es una construcción intencional de varios bloques de cerámica plana y muy gruesa empacados encima uno del otro. Esta concentración se coloca por en medio, y conecta, a E110 y E111. Depositado en E7. Cubierto por la deposición de E3, E31 y E4. |
| E111 | MU9, N19, O19 | N/A | Clásico Tardío | Posible alineamiento de rocas | Estas piedras consisten en un metate muy grande y piedras chicas conectado con E110 por E32. Estos tiestos son gruesos y tienen forma de rectángulos. La cerámica, E32, se usó para conectar E111 con E110. |
| E110 | MU9, MU29, O19, O20 | N/A | Clásico Tardío | Alineamiento de rocas | Orientación 100° /280°. Un alineamiento de rocas delgadas y posicionadas verticalmente. Una de estas rocas en O20 fue puesta horizontalmente y E34 fue puesto sobre ella. Es posible que este alineamiento esté relacionado con E113. Previo a la tubería y drenaje, pero posiblemente aprovechado durante su construcción. |
| E30 | O16 | Arcilla limosa 2.5 Y 6/3 | Clásico Tardío | Relleno de pozo de E4 | Un pozo que corta E7 y está lleno de material de E4. Fue cortado durante la |

| Número de estrato | Unidades | Textura y Munsell | Fecha probable | Proceso de formación | Comentarios |
|---|---|---|---|---|---|
| | | | | | ocupación de la superficie E7. |
| E9-s1 | P17 | 5YR 4/4 | Clásico Tardío | Piso quemado | Piso quemado. E9 se ve como una superficie de concentraciones mezcladas de arcilla y arcilla limosa. E9-s1 es muy rojo e incluye sedimento sin quemar y bajareque. |
| E9-s2 | P17 | Arcilla cosida 7.5YR 3/2 | Clásico Tardío | Piso quemado | Este subestrato es una capa de arcilla cocida de color café oscuro y endurecida. |
| E9-s3 | P17 | Arcilla Limosa 2.5YR 4/6, 5YR 4/4, 10YR 4/3 | Clásico Tardío | Piso quemado | 9-s3 consiste en áreas circulares de 3cm que están quemados por fuera y rodeado por un área roja. |
| E9-s4 | P17 | Arcilla Limosa 10YR 4/3 | Clásico Tardío | Piso quemado | Relleno arcilloso, parecido a E9-s3, pero no está quemado. |
| E9 -s5 | P17 | Arcilla limosa, 10YR 4/3 | Clásico Tardío | Piso quemado | Área sin quemadura. |
| E86 | R16, R17 | Arcilla Limosa 10YR 4/3 | Clásico Tardío | Relleno del pozo del Entierro 132, Individuo 145. | Un pozo que corta E7. El sedimento es muy parecido a E7, pero es más orgánico, y oscuro. Muy pocas inclusiones y casi no artefactos, solo un poco de cerámica. |
| Ent. 132, I.145 | R17 (perfil norte) | N/A | Clásico Tardío | Entierro 132, Individuo 145. | Infante. Una vasija de ofrenda. Sólo se excavó el cráneo, el resto del individuo está bajo la unidad S17 |
| Ent. 131, I.144 | Q17 (expuesto), MU26 (extraído) | N/A | Clásico Tardío | Entierro 131, Individuo 144 | Infante. Mal estado de preservación, sólo se localizó el cráneo y algunos otros huesos. Difícil precisar su posición. Una vasija de ofrenda. |

| Número de estrato | Unidades | Textura y Munsell | Fecha probable | Proceso de formación | Comentarios |
|---|---|---|---|---|---|
| E92 | I16 | N/A | Clásico Tardío | Posible área de actividad | Depósito denso de tiestos del Clásico Tardío en la superficie de E13. |
| E14 | MU2 (J17) | Sin análisis de textura, 10 YR 4/3 | Clásico Tardío | Perturbación o intrusión cultural | Sedimento orgánico. |
| Ent. 134, I. 147 | MU33 | N/A | Clásico Tardío | Entierro 134, Individuo 147. | Adulto flexionado con una vasija de ofrenda. |
| E117-s1 | L13 | Limo, 2.5 Y 6/4 | Clásico Tardío | Desecho ocupacional | Bloque de adobe de tacto suave y de textura homogénea. Distinción clara con el estrato circundante. |
| E117-s2 | L13 | Arcilla limosa, 2.5 Y 5/2, 10 YR 6/3 | Clásico Tardío | Desecho ocupacional | Sedimento de aspecto cenizo y tacto suave; con pocas inclusiones de tiestos y fragmentos de concha. División interna distinguible por su Munsell. |
| E22-s2 | M13 | Arcilla limosa, 2.5 YR 4/4 | Clásico Tardío | Depósito cerámico | Concentración de tiestos grandes sobre E22-s1 |
| E22-s1 | M10, M13, M14 | Arcilla limosa, 2.5 YR 4/4 | Clásico Tardío | Desecho ocupacional | Desecho ocupacional sobre E13 dentro de la Estructura 22-1. Posiblemente el remanente de un piso mezclado con escombro. Contiene tiestos, fragmentos de concha y algo de ceniza. Es más orgánico que E16 o E13. |
| E28 | M14 | Sin análisis de textura, sin Munsell. | Clásico Tardío | Argamasa entre rocas de muros E25 y E26 | Posible argamasa de lodo. Es uniforme y contiene fragmentos de concha. |
| E26 | MU23 | N/A | Clásico Tardío | Muro de piedra de la Estructura 22-1 | Muro sur de la Estructura 22-1. Orientación de 115° E/295°. La orientación no es tan fiable dado que se usaron sólo 5 rocas de referencia. Posible residencia. |

| Número de estrato | Unidades | Textura y Munsell | Fecha probable | Proceso de formación | Comentarios |
|---|---|---|---|---|---|
| E25 | MU23 | NA | Clásico Tardío | Muro de piedra de la Estructura 22-1 | Muro este de Estructura 22-1. Posible residencia. Parcialmente expuesto. |
| E24-s2 | MU23 | Sin análisis de textura, 5 YR 6/6 | Clásico Tardío | Base de pozo quemado | Sedimento quemado a lo largo de la base del pozo. |
| E24-s1 | MU23 | Sin análisis de textura,7.5 YR 3/4 | Clásico Tardío | Relleno de pozo quemado | Pozo quemado intrusivo en E13 al interior de una estructura del Clásico Tardío (E25 + E26). E24-s1 Contiene sedimento orgánico con tiestos y rocas. |
| E96 | M20 | Arcilla Limosa 10YR 4/3 | Clásico Tardío | Relleno | Sedimento aluvial y más orgánico con muchas inclusiones de bajareque. |
| E7 | MU9, MU29, N20, O16, O19, O20, P16, P19, P20, Q17, R17 | Arcilla, 10YR 6/4 | Clásico Tardío | Relleno | Sedimento de origen aluvial. Más grueso y con menos inclusiones que E4. |
| E13 | I16, L13, MU1, MU2, MU4, MU23, MU27, N10, N11, O10, O11, P10, P11 | 7.5 YR 4/4 | Clásico Tardío | Relleno | Sedimento de origen aluvial. Muy uniforme, con pocas inclusiones, la mayoría de cerámica. Puede relacionarse con E7. Es de grano más grueso y de tono más rojizo que E12. |
| E81 | MU16 | Arcilla limosa, 2.5 YR 5/3, 10 YR 5/3 | Clásico Tardío | Relleno | Sedimento aluvial con pocas inclusiones, algo de tiestos muy erosionados y fragmentos de concha. Es muy uniforme y suave. Posiblemente relacionado a E7 o E13. |
| E19 | MU1 | Marga arenosa, 2.5 YR 5/4 | Clásico Tardío | Pozo intrusivo | Remanente de un pozo con sedimento orgánico de |

| Número de estrato | Unidades | Textura y Munsell | Fecha probable | Proceso de formación | Comentarios |
|---|---|---|---|---|---|
| | | | | | color oscuro, contiene fragmentos de concha. |
| E97-s1 | M20 | Arcilla Limosa 10YR 3/4 | Clásico Tardío | Relleno | Sedimento aluvial con pocas o ninguna inclusión. Sólo unas piedras chicas y pocos tiestos. Es similar a E7, E13, y E81 y probablemente se obtuvo de la misma área. La división en sub- estratos fue decidido por las diferencias claras de color. Pero la condición para análisis fue mala por ser un perfil solo expuesto por media unidad. |
| E97-s2 | M20 | Arcilla Limosa 5YR 3/3 | Clásico Tardío | Relleno | Relleno aluvial con pocas a no inclusiones, solo el color se diferencia. |
| E97-sE3 | M20 | Arcilla Limosa 7.5YR 4/4 | Clásico Tardío | Relleno | Relleno con pocas a no inclusiones, solo el color se diferencia. |
| E97 – S4 | M20 | Arcilla Limosa 7.5YR 4/3 | Clásico Tardío | Relleno | Relleno con pocas a no inclusiones, solo el color se diferencia. |
| E97 – S5 | M20 | Arcilla Limosa 10YR 4/3 | Clásico Tardío | Relleno | Algunas inclusiones de grava. Termina sobre una piedra grande. |
| E82 | MU19 (Y15) | Marga arenosa, 10 YR 6/2 | Transición entre Clásico Temprano y Clásico Tardío | Pozo u otro tipo de intrusión | Pozo u otro tipo de intrusión, relleno de sedimento cenizo y pocos tiestos. |
| E80 | MU19 (X16, Y16) | Marga Arenosa, 10 YR 5/3 | Transición entre Clásico Temprano y Clásico Tardío | Pozo | Intrusión en E77. Relleno de sedimento cenizo con inclusiones de roca y tiestos. |
| E77 | MU19 | Marga limosa, 2.5 Y 6/3 | Transición entre Clásico Temprano y Clásico Tardío | Relleno | Sedimento aluvial con inclusiones de tiestos, sedimento quemado y carbón. Posee más inclusiones que E76 y es ligeramente más fino que este. Posiblemente la superficie creada por este |

| Número de estrato | Unidades | Textura y Munsell | Fecha probable | Proceso de formación | Comentarios |
|---|---|---|---|---|---|
| | | | | | elemento fue una superficie de ocupación. |
| E114-s1 | MU19 | Sin análisis de textura, sin Munsell | Transición entre Clásico Temprano y Clásico Tardío | Elemento asociado con Entierro 127 | Sedimento quemado que cubre al Entierro 127, Individuo 140. No aparece en el perfil. |
| E114-s2 | MU19 | N/A | Transición entre Clásico Temprano y Clásico Tardío | Elemento asociado con Entierro 127 | Rocas alteradas por calor, asociadas con el Entierro 127, Individuo 140. No aparece en el perfil. |
| Ent. 127, I140 | MU19 | N/A | Transición entre Clásico Temprano y Clásico Tardío | Entierro 127, Individuo 140 | Entierro extendido con tres vasijas semi-completas de ofrenda depositadas sobre su costado derecho y otra a un lado de su pierna izquierda. |
| E79 | MU19 (Y15) | Sin análisis de textura, 5 YR 4/2 | Transición entre Clásico Temprano y Clásico Tardío | Capa de ceniza | Capa delgada de ceniza, depositada en la superficie de E78. |
| E78-s2 | MU19 | N/A | Transición entre Clásico Temprano y Clásico Tardío | Depositado en el relleno | Depósito alineado de siete esferas de arcilla sin cocer con una depresión somera, posiblemente malacates cuyo proceso de manufactura fue interrumpido. |
| E78-s1 | MU19 | Marga Arenosa, 10 YR 5/4 | Transición entre Clásico Temprano y Clásico Tardío | Relleno | Sedimento aluvial, más burdo y oscuro que E77. Inclusiones de ceniza tiestos, y piedras. |

### 2.3.1. Ocupaciones anteriores al Clásico Tardío

En adición a los datos sobre el Clásico Tardío y el Posclásico Temprano, la presencia de vestigios cerámicos redepositados a lo largo de las excavaciones de Op. A muestran que el área fue un centro de asentamientos desde la fase Minizundo-Formativo Tardío hasta la fase Coyuche-Clásico Temprano. Sin lugar a duda, existen depósitos de estos periodos debajo de las excavaciones de Op. A.

Los estratos más tempranos que expusimos en Op. A fueron encontrados en MU19, al interior de las Unidades X15, X16, Y15 e Y16 en el Bloque Norte, y se fecharon en la transición entre el Clásico Temprano y el Clásico Tardío con base en la presencia de un alto porcentaje de tiestos del Clásico Temprano junto a una cantidad menor correspondiente al Clásico Tardío (figura 2.8). El estrato más temprano fue una capa de relleno constructivo (E78-s1) sobre el que se depositó ceniza (E79). Al interior de E78-s1 encontramos una concentración de siete esferas de arcilla secadas (no cocidas; E78-s2), todas ellas con perforaciones parciales, dado que el orificio sólo penetraba hasta la mitad. Estos artefactos poseen un tamaño y forma similar al de malacates, sin embargo, ninguno estuvo perforado completamente (figura 2.92). Si estos artefactos fueran malacates dañados durante su producción, esto sugeriría que los malacates del Clásico Tardío pueden haber sido productos menos duraderos debido a las propiedades de los materiales con los que se elaboraban, lo que podría explicar su escasa visibilidad arqueológica en periodos anteriores al Posclásico Temprano, periodo en que fueron elaborados en cerámica por primera vez. Un entierro (Ent. 127-I140) penetró E78-s1 de manera intrusiva (figuras 2.66 y 2.93). El entierro consistió en un solo individuo supino extendido con la cabeza orientada al sur y una ofrenda compuesta por tres vasijas cerámicas (ver Capítulo 7 y Apéndice B,). Si bien, no pudimos distinguir el relleno del pozo del entierro, es probable que algunas rocas enrojecidas por estrés térmico (E114-s2) y sedimento quemado (E114-s1) encontrados alrededor del esqueleto formaran parte de tal relleno. E78 y E79 fueron cubiertos por una segunda capa de relleno constructivo (E77) en la que se cavaron dos pozos (E80, E82) cuyo relleno contuvo de sedimento cenizo. La presencia de depósitos de ceniza, quizá resultado de la preparación de alimentos, y el entierro sugiere que esta pudo haber sido un área de actividades domésticas durante la transición entre los periodos Clásico Temprano y Clásico Tardío.

### 2.3.2. Periodo Clásico Tardío: Actividades Domésticas y Supra-Domésticas

Elementos del Clásico Tardío fueron encontrados en todos los bloques de excavación de Op. A. Los depósitos más tempranos de este periodo se encontraron en los bloques Este y Oeste, e incluyen pequeñas áreas expuestas de un depósito de relleno (E97) en la Unidad M20 (figura 2.37) y un elemento intrusivo, probablemente un pozo (E19) en la Unidad L16 (figura 2.27).

Enseguida de estos elementos tempranos, nuestras excavaciones expusieron extensos depósitos de relleno constructivo con características similares en unidades profundas a lo largo de los bloques Este, Oeste y Central (E7, E13, E81, E96). Si bien, no podemos estar seguros de si estos elementos fueron contemporáneos, fueron encontrados entre 17.3 y 17.9 msnm y estuvieron compuestos de sedimento aluvial, generalmente con pocas inclusiones. Estos datos sugieren que el área de Op. A fue nivelada en algún momento durante el periodo Clásico Tardío. Elementos intrusivos o depositados sobre estas capas de relleno demuestran que las superficies construidas fueron un foco de actividades, probablemente domésticas. En las Unidades M13 y M14, en el Bloque Oeste, excavamos parcialmente un pozo (E24) con evidencia de quema, relleno de sedimento orgánico con tiestos y rocas (figura 2.22). E24 fue cubierto por una estructura, posiblemente residencial (Estructura 22-1; figuras 2.22, 2.24). Expusimos la esquina sureste de la estructura, la cual se compuso con partes de los muros de piedra sur (E26) y este (E25), unidos con una argamasa de lodo (E28). Al igual que en otros muros del Clásico Tardío excavados en PRV22 Op. B (ver Capítulo 3), encontramos tiestos grandes depositados en la argamasa entre las rocas. Los muros parecieron ser parte de los cimientos de una estructura, posiblemente una casa (figuras 2.67, 2.91). Al interior de la estructura, nuestras excavaciones revelaron una concentración de tiestos (E22-s2) sobre un depósito orgánico con inclusiones de concha y ceniza (E22-s1; figura 2.94). Este elemento podría haber sido un piso erosionado con los residuos de actividades de cocina o el resultado de procesos de abandono o post-abandono, que podrían involucrar el uso del espacio para la acumulación de desechos y/o quizá, la quema de la estructura. Un bloque de adobe (E117-s1) y un depósito de ceniza

(E117-s2) fueron encontrados fuera del edificio, sobre E13. Consideramos que estos elementos podrían estar relacionados con el uso, abandono o decaída de la estructura (figura 2.24). Al noroeste de la Estructura 22-1, en la Unidades N1O y N11, localizamos un entierro que penetró E13 (Ent. 134-I147). El entierro consistió en un sólo individuo adulto, flexionado y con una vasija cerámica de ofrenda (figuras 2.68 y 2.95; ver Capítulo 7).

Otras evidencias de actividades asociadas con E13 y E7 fueron encontradas en los bloques Central y Este. En el primero, las excavaciones en la Unidad J17 expusieron un posible elemento de pozo (E14; figura 2.48), mientras que en la Unidad I16, E13 fue cubierto por una concentración de cerámica (E92, figura 2.46). Mientras que, en el Bloque Este, dos infantes fueron enterrados en E7, cada uno tuvo una vasija cerámica de ofrenda (Ent. 131-I144, Ent. 132-I145; figuras 2.69 y 2.70; véase también el Capítulo 7); En estos casos el relleno del pozo de entierro pudo ser identificado (E86; figuras 2.29 y 2.33). Otros elementos fueron encontrados sobre la misma superficie en donde se cavaron los pozos de los entierros. En la Unidad P17, localizamos un piso quemado en una pequeña área (E9; figuras 2.30 y 2.71), posiblemente resultado de la preparación de alimentos; además, identificamos un pozo somero en la Unidad O16 (E30; figura 2.31). Tres alineamientos de rocas (E110, E111, E113) fueron expuestos en las Unidades N19 y O19, estos parecieron haber sido empotrados en E7 (figuras 2.35, 2.37-2.38). Un conjunto de lajas cerámicas (E32) fueron apiladas entre E111 y E110 (figura 2.72). Es incierto si estos elementos fueron muros u otra clase de elemento. Es posible que fueran parcialmente desmantelados para que las rocas que lo componían pudieran ser utilizadas durante la instalación de un elemento de drenaje posterior (ver abajo).

El uso del área de Op. A parece haber sido modificado más adelante en el Clásico Tardío, posiblemente debido a actividades supra-domésticas, o supra-familiares, que involucraron prácticas de preparación de alimentos y rituales comunales. Retomando las posibles actividades domésticas identificadas sobre la superficie de E7 y E13, estos elementos fueron cubiertos por una serie de

depósitos de relleno. Aún no es claro si los depósitos que se superponen a E13 y sus elementos asociados en diferentes bloques de excavación fueron depositados al mismo tiempo. En el Bloque Oeste, distintos depósitos de relleno (E40, E47 y E38) elevaron la superficie de esta parte de Op. A, a aproximadamente 18.1 msnm, aunque la superficie parece inclinarse hacia el sur en las Unidades M11 y M12 (ver perfiles del Bloque Oeste). Más adelante en el Clásico Tardío, en las unidades del Bloque Oeste (MU27, N10, N11, O10, O11, P10, P11), se construyó un horno de tierra grande (figuras 2.19-2.21, figura 2.91). La instalación del horno dio inicio al cavar un pozo de aproximadamente 1.5 metros de diámetro al interior de E38 y E40. El pozo fue posteriormente rellenado con desechos originados por el uso del horno, estos incluyeron ceniza, carbón, tiestos cerámicos, rocas y rocas pulverizadas (E43). Rocas con evidencia de alteración térmica como enrojecimiento, y en algunos casos fracturadas (E61) fueron generalmente localizadas en superposición con E43. Estas rocas podrían haber sido utilizadas para mantener el calor durante el proceso de cocción (figura 2.96). Otra sección de este horno fue identificada tentativamente como un canal de ventilación (E48, E49, E119, E120; figuras 2.20, y 2.73), y fue localizada extendiéndose desde la parte superior del horno hacia el sur. El canal de ventilación consistió en un pasadizo de piedra, de 10 cm de alto y 25 cm de ancho. Probablemente justo antes de, o durante su construcción, un cajete de pasta naranja fue depositado a un costado del canal de ventilación, posiblemente como una ofrenda designada para animar el horno (E130); el sedimento al interior del cajete incluyó pequeños fragmentos de concha. Este ducto podría haber sido utilizado para brindar oxígeno al fuego dentro de la sección profunda del horno. Múltiples eventos de cocción ocasionaron la oxidación y enrojecimiento del borde del pozo en donde se instaló el horno (E40-s2, E38-s4). Durante su uso, y probablemente debido al calor, algunas grietas se abrieron bajo su base y fueron rellenadas con ceniza y carbón (E42). El relleno con alto contenido de ceniza de un pozo (E37), expuesto en las Unidades M10 y M11 (figura 2.25), podría estar asociado con el uso del horno.

En el Bloque Este las actividades asociadas con E7 fueron cubiertas con las capas de relleno E4, E31 y E3, en las que se construyó un elaborado drenaje de piedra y cerámica (figuras 2.35, 2.36, 2.91). E4 incluyó una ofrenda compuesta de doce piedras de río, dispuestas en un acomodo con forma de medialuna con grandes tiestos cerámicos sobre y debajo de las piedras (E6; figura 2.74). Es posible que esta ofrenda tuviera la intención de animar el elemento de drenaje, aunque fue localizada aproximadamente 4 m al oeste. El drenaje estuvo compuesto por segmentos de tubería cerámica y de piedra (figuras 2.75-2.77, 2.97). Los segmentos cerámicos midieron aproximadamente 60 cm de largo, con un diámetro de 18 a 24 cm (E34, E121, E122), mientras que el segmento de piedra más al norte midió aproximadamente 100 cm de largo, 18 cm de ancho y 15 cm de alto, finalmente, el segmento de piedra al sur midió aproximadamente 50 cm de largo, 15 cm de ancho y 13 cm de alto (E35, E123-E129). La tubería pareció abrirse sobre la superficie de E3 para así drenar el agua de lluvia en esta área, aunque el extremo más elevado del primer segmento cerámico (E34) estuvo roto y no fue localizado. E31 parece haber sido más que simple relleno constructivo que revistió el drenaje (figura 2.98). Este estrato contuvo lo que pareció ser un suelo re-depositado, debido a la presencia de una estructura de migajón y un contenido orgánico más alto que la mayoría de los estratos en Op. A. El estrato se concentró alrededor de las secciones de cerámica y de piedra de la tubería. E31 podría haber ayudado a sellar las diferentes secciones de la tubería, aunque otras explicaciones son posibles. Grandes tiestos (E36) con rasgos similares a los de los segmentos cerámicos de la tubería fueron encontrados alrededor del drenaje. La tubería decreció en elevación hacia el sur de manera gradual a lo largo de tres segmentos cerámicos, conectando el último de estos (E122) dentro del primer segmento de tubería de piedra (E35, E123-E125). E35 tuvo una pendiente gradual hacia el sur, hasta que se conectó con la segunda sección de tubería de piedra (E126-E129), que continuó con una leve inclinación en la misma dirección. El tiempo no nos permitió la investigación completa del área en la que drenaba la tubería, aunque parecía estar en un área al sur que era al menos 60 cm más baja en elevación que la superficie drenada por E35.

En la superficie drenada por la tubería en las Unidades O19, P19, Q19, P20 y Q20 se localizaron los muros este (E108) y sur (E109) de una posible plataforma baja de aproximadamente 20 cm de altura (figuras 2.38 y 2.39). E5 y E118 fueron, probablemente, huellas de poste asociados con la plataforma. El uso de esta plataforma es incierto, aunque su proximidad con el complejo de drenaje sugiere que pudo haber tenido algo que ver con actividades asociadas.

Cerca del límite superior de las capas de relleno que crearon la superficie drenada por la tubería, las excavaciones expusieron una ofrenda, probablemente depositada como parte de una ceremonia de terminación (ver más abajo para una discusión más detallada de la evidencia en Op. A para las ceremonias de terminación al final del periodo Clásico Tardío). La ofrenda consistió en siete incensarios antropomorfos rotos, estos fueron expuestos cerca de la parte superior de las capas de relleno E3-s1 y E3-s5. Tres fueron encontrados en la parte superior de la posible plataforma baja (E108, E109; figura 2.99) en la Unidad P19 y cuatro estuvieron encima de las secciones cerámicas de la tubería en las Unidades O20 y P20 (figura 2.100). Un sello hecho de cerámica también podría haber formado parte de la ofrenda en P19. Aunque estos artefactos cerámicos podrían ser ofrendas depositadas en un periodo breve tras la construcción del drenaje para animarlo (ver Joyce 2020), consideramos más probable que estos hayan sido depósitos de terminación según la prevalencia de estas ofrendas en otras áreas de Op. A.

En la Unidad L13 del Bloque Central, una capa de relleno (E23) fue depositada sobre E13 en algún momento antes de o durante el uso del horno grande (E43, E61, E48, E49, E119, E120; figura 2.24). Una vez que dejó de ser usado, el horno, así como la capa de relleno E23, la Estructura 22-1, E38, y E37 fueron sepultados por múltiples capas de relleno (E21, E63, E16, E27) a lo largo de la mayor parte del Bloque Oeste (figuras 2.12, 2.13, 2.15-2.17, 2.19, 2.22-2.25). Una huella de poste se introdujo al interior de E6 en la Unidad M14, aunque la superficie desde la que penetró no fue registrada. En otros bloques de Op. A, encontramos depósitos de relleno del Clásico Tardío que podrían ser comparables con

aquellos en los Bloques Este (E4, E31, E3) y Oeste (E40, E47, E38, E21, E63, E16, E27), pero no podemos relacionarlos entre sí con suficiente precisión. Estos incluyen E12, que cubrió E13 en el Bloque Central (figuras 2.46-2.53) junto con E66 en el Bloque Sur (figuras 2.64-2.65). Es probable que E88, E87 y E85 también se remonten a este periodo (figura 2.63), sin embargo, estos estratos no fueron suficientemente explorados para tener la certeza. En el Bloque Norte, E76, E94 y E83 fueron fechados en el Clásico Tardío (figuras 2.8 y 2.11), pero no podemos relacionarlos con los depósitos en otras partes de Op. A.

Las últimas dos capas de relleno constructivo que se remontan al Clásico Tardío están asociadas con elementos complejos que son importantes para el entendimiento del uso del área de Op. A durante la transición entre el Clásico y el Posclásico hace ca. 800 d.C. En las Unidades U12, T16, T17, U16, U17, X15, X16, Y15 e Y16 del Bloque Norte, la capa de relleno E75 elevó la superficie a aproximadamente 18.3-18.5 msnm (figuras 2.8-2.11). Excavamos dos elementos intrusivos en E75 que corresponden a la transición del Clásico Tardío al Posclásico Temprano. El primero fue horno de tierra ligeramente más pequeño y menos complejo que el del Bloque Oeste (figura 2.78, 2.91), este elemento fue expuesto en las Unidades T16, T17, U16, U17. Este horno fue similar al anterior en el proceso de su construcción, puesto que involucró la preparación de un pozo, que en este caso penetró al interior de E75 y E94. Midió al menos 60 cm en profundidad y aproximadamente 110 cm en diámetro; en el perfil este de T17 y U17, el horno parece haber socavado la parte inferior de E75 (figura 2.11). En su interior encontramos rocas utilizadas como elementos de calor (E51), así como sedimento con alto contenido de ceniza e inclusiones de roca pulverizada y carbón (E93), y un posible muro interno de tierra que fue oxidado y endurecido a causa del fuego (E115). Al igual que en el horno del Bloque Oeste, el borde del pozo fue enrojecido por oxidación (E75-s2, E94-s2). Un bloque de sedimento oxidado con ceniza y carbón (E95) localizado en la Unidad U16 podría ser resultado de la limpieza del horno. El horno en el Bloque Norte

indica que este tipo de preparación de alimentos continuó en el área de Op. A hasta la transición del Clásico-Posclásico.

Otro elemento que proporcionó información importante sobre la transición Clásico-Posclásico fue localizada extendiéndose a lo largo de todo el Bloque Oeste, así como en las Unidades L15 y L16 del Bloque Central. Este elemento fue la última capa de relleno constructivo fechado en el Clásico Tardío (E15; figuras 2.12-2.19, 2.22-2.28, 2.89). Dentro de la capa de relleno encontramos densas concentraciones de tiestos cerámicos junto con lo que parecieron ser vasijas completas quebradas in situ, estas incluyeron vasijas de servicio de pasta anaranjada y pasta gris registradas para la fase Clásico Tardío-Yuta Tiyoo (E15-s2; figuras 2.79 y 2.101). Las concentraciones de tiestos y las probables vasijas completas variaron en términos de su posición al interior de E15, en ocasiones aparecieron cerca del límite superior del elemento y en el resto de los casos se localizaron cerca de su base. Interpretamos E15 como el resultado de una ceremonia de terminación llevada a cabo en esta parte de Op. A basándonos en su posición estratigráfica como el depósito final del Clásico Tardío y su similitud con los extensos depósitos de terminación del Formativo Terminal Tardío excavados en la acrópolis de Rio Viejo y el sitio Cerro de la Virgen (Barber y Joyce 2012; Brzezinski 2019; Joyce y Barber 2015). A su vez, es probable que la ofrenda de incensarios antropomorfos (E99) en el Bloque Este también corresponda a la misma temporalidad que E15-s2 y plausiblemente forma parte de la misma ceremonia de terminación (ver arriba).

Ambos hornos de tierra en los Bloques Norte y Oeste, al igual que los depósitos de terminación E15 y E99, son consistentes con actividades supra-domésticas, quizá llevadas a cabo por miembros de los hogares cercanos a escala de barrio. Los hornos podrían haber sido utilizados para cocina comunal, quizá involucrando festines rituales, y la cerámica en E15 y E99 (figura 2.91) es probablemente el resultado de rituales de terminación designados para clausurar esta área. Dado que el área de Op. A parece haber sido un espacio comunal, y en ocasiones espacio ritual, durante la última parte del Clásico

Tardío, pero se trató de un foco de actividades domésticas durante el Posclásico Temprano, es posible que E15 y E99 fueron diseñados para terminar su anterior uso comunitario y permitir la transición del área hacia un espacio doméstico.

En adición a los depósitos de terminación, encontramos otro elemento que sugiere que la transición Clásico-Posclásico pudo haber sido marcada por los habitantes de esta parte de Rio Viejo como un momento significativo. Este elemento fue descubierto en la capa de relleno E75 en las Unidades X15, X16, Y15 y Y16 en el Bloque Norte. Consistió en un entierro (Ent. 120-I133), probablemente femenino, estrechamente flexionado y posiblemente atado, acompañado de numerosas ofrendas, de las que varias indican el hilado y tejido de algodón (figura 2.80; ver Capítulo 7). No es claro si el entierro y los objetos de su ofrenda fueron depositados en un pozo que penetró en E75 y el límite superior de E76 o si fueron dispuestos en E75 cuando el relleno fue depositado puesto que no observamos ningún pozo de entierro. Sin embargo, los objetos asociados estuvieron agrupados en un área aproximadamente circular de cerca de 120 cm de diámetro a los costados y sobre el entierro. También sobre el entierro, cerca de la parte superior de E75, expusimos un apilamiento de rocas (E116-s1) y bajareque quemado (E116-s2), estos podrían haber sido parte de una estructura desmantelada. Alrededor de la sepultura encontramos 10 objetos enterrados como ofrendas (figura 2.102). Las ofrendas incluyeron cuatro vasijas cerámicas de sofisticada elaboración con características tanto del Clásico Tardío como del Posclásico Temprano (Objetos 1 a 4; figura 2.103). Las vasijas cerámicas, y la situación estratigráfica del Ent. 120 en la última capa de relleno del Clásico Tardío en el Bloque Norte, indican que este corresponde a la transición entre el Clásico Tardío y el Posclásico Temprano. Las otras ofrendas consistieron principalmente en herramientas utilizadas en el hilado y tejido de textiles de algodón (figura 2.104). Estos incluyeron tres peines de hueso (Objetos 6, 7 y 9), dos malacates (Objetos 9 y 10), y una mano de mortero de piedra que quizá fue utilizada para moler pigmento usado para teñir hilos (Objeto 5). El Ent. 120 es inusual si consideramos que la mayoría de los entierros del Posclásico

Temprano y el Clásico Tardío que se han recuperado en el valle del bajo Río Verde han sido encontrados en posición extendida. En adición, el individuo enterrado exhibió modificación craneal (ver Capítulo 7). El fechamiento de este entierro en la transición Clásico-Posclásico hace que las herramientas de hilado y tejido sean especialmente significativas, puesto que probablemente serían los ejemplos más tempranos conocidos para la región. Si bien, otros entierros excavados durante el PRV-2022 incluyeron una baja cantidad de malacates, ningún entierro registrado para esta región ha exhibido una concentración y diversidad de implementos para el hilado y tejido comparables con los que se recuperaron en la ofrenda del Ent. 120. Estos datos sugieren que la mujer sepultada en este entierro fue una especialista en el hilado y la fabricación de textiles de algodón. Las ofrendas, y quizá la modificación craneal, también indican que ella ostentó un estatus más elevado que cualquier otro individuo enterrado en el Posclásico Temprano que haya sido descubierto hasta la fecha en esta región. El Ent. 120 también fue más sofisticado que todos los entierros del Clásico Tardío descubiertos en la región, con la excepción de una posible tumba del Clásico Tardío que fue excavada en el sitio Cerro de los Tepalcates (Joyce et al. 2001).

Otro elemento fechado en la transición Clásico-Posclásico fue un pozo (E54) identificado en las Unidades P10 y Q10 del Bloque Oeste. Tal pozo penetró a través de E15 y E21 hasta el límite superior del horno de Clásico Tardío (figura 2.19). El pozo estaba contenía una densa concentración de tiestos del Clásico Tardío y Posclásico Temprano, rocas, roca pulverizada, hueso animal, carbón, ceniza y una aguja de cobre (figura 2.105). El relleno podría haber sido una combinación de materiales de E15 y E21, así como desecho del horno (E43). Es incierto si el material cerámico en E54 fue transicional, involucrando una mezcla de tipos correspondientes a ambos periodos, o si se trató de un depósito del Posclásico Temprano con cerámica redepositada del Clásico Tardío. Fechamientos por radiocarbono de este elemento podrán ayudar a resolver esta pregunta.

### 2.3.3. Periodo Posclásico Temprano: Actividades Domésticas

La evidencia de contextos del Posclásico Temprano en PRV22 Op. A, tales como basureros, residencias y entierros asociados a ellas, demuestran que el área se convirtió nuevamente en un foco de actividades domésticas. Así como con los depósitos de Clásico Tardío, es difícil asociar el Bloque Norte con los estratos de otros bloques, por lo que lo será considerado de manera separada.

Durante el Posclásico Temprano la superficie del Bloque Norte fue elevada por múltiples depósitos de relleno constructivo y se convirtió en la base de una plataforma residencial (Estructura 22-2; figura 2.91). El más temprano de los depósitos del Posclásico Temprano en este bloque consiste en una serie de capas delgadas que elevaron la superficie aproximadamente 20 cm a una elevación de 18.6-18.8 msnm. Estos depósitos de relleno incluyen E74, que también se extendió a las Unidades R16 y R17 en el Bloque Este (figura 2,8, 2.11, 2.29-2.30), E62, que se extendió a la Unidades R10, R11 y Q12 del Bloque Oeste (figura 2.10, 2.12-2.14), junto con E53 y E90 que se restringen al Bloque Norte (figuras 2.7, 2.9b, 2.10). E90 dio soporte a la esquina noroeste de la estructura 8-4 (E102) excavada por King (2003) en su Op. B durante el PRV-2000. E104 fue una concentración de rocas en la superficie de E53. E74 fue un estrato distintivo porque exhibió fragmentos de concha con densidades heterogéneas y pareció haber sido la base sobre la que una plataforma residencial (Estructura 22-2) fue construida. La plataforma consistió en relleno constructivo (E73) retenido por muros de piedra (E103, E106, E107; figuras 2.8, 2.10b, 2.11, 2.29-2.30, 2.91) y fue orientada en su eje largo de norte a sur; E73 fue una superficie erosionada y mezclada con materiales más recientes. Las superficies en la base de la Estructura 22-2 que hemos discutido más arriba estaban a su vez cubiertas por depósitos de relleno que datan de más tarde en el Posclásico Temprano, y que probablemente, también colapsaron y se mezclaron con materiales más recientes (E52, E89, E2; figuras 2.7, 2.9). Un pozo (E91) fue identificado penetrando la superficie de E89. Además, una acumulación de rocas (E105) fue expuesta sobre E53, posiblemente fue erosionado desde una estructura al noroeste.

Al igual que el Bloque Norte, las demás áreas de Op. A también fueron focos de actividades domésticas en el Posclásico Temprano. Los depósitos más tempranos de este periodo fueron dos basureros localizados en los Bloques Central y Sur de Op. A. (figura 2.90). Al final del Clásico Tardío esta área de Op. A parece haber tenido una superficie irregular con una pendiente marcada desde una elevación de aproximadamente 18.2 msnm en el norte hasta 17.4 msnm en el sur. El más temprano de los basureros en esta área fue E84 (figura 2.63), el cual fue depositado en un pozo que abarcó parte de las Unidades F23 y F24 en la esquina sureste de Op. A. E84 exhibió mayor contenido orgánico que el basurero posterior (E11) y contuvo densas concentraciones de tiestos cerámicos, ceniza, hueso animal, roca y pequeños fragmentos de concha. Los niveles más profundos de E84 incluyeron cerámica con características transicionales en estilo entre el Clásico Tardío y el Posclásico Temprano, sugiriendo que la acumulación de desechos en este espacio fue comenzada temprano en el Posclásico. Estos vestigios cerámicos estuvieron caracterizados por una mezcla de estilos del Clásico Tardío y el Posclásico Temprano. Incluyeron pocos ejemplos de cerámica de cocción diferencial, típicamente presentes en contextos del Posclásico, mientras que algunas pastas fueron más finas, más intensamente cocidas, y con similitudes en forma y acabado a la cerámica típica del Clásico Tardío. Varios ejemplos de vajillas grises y anaranjadas ostentaron decoración pintada con diseños más similares a los del Posclásico Temprano, pero con pintura que tendía a ser más gruesa, una característica consistente con la pintura típica del Clásico Tardío. También encontramos elementos que se han descrito tipológicamente como típicos del Posclásico Temprano o Clásico Tardío, presentes en la misma vasija.

E11 se sobrepuso directamente sobre E84 en la Unidades F23 y F24, así como a E66 en el resto del Bloque Sur (figuras 2.63-2.65); a E12 en las Unidades I15, I16, I17, J17, J22, K17, L22, L23 del Bloque Central (figuras 2.46-2.53); y a E15 en la Unidad M14 del Bloque Oeste (figura 2.22 y 2.23). E11 también estuvo presente en la mayoría de las unidades en el Bloque Central. E11 presentó un menor contenido orgánico que E84, pero aun así contuvo densos depósitos de grandes tiestos cerámicos, hueso animal,

carbón, rocas, malacates, sellos y puntas de proyectil. La única residencia que podría ser anterior a la deposición de E11 y E84 es la Estructura 22-2 del Bloque Norte (figura 2.91), aunque es probable que se encuentren otras residencias del Posclásico Temprano de esta época en el área de excavaciones de King (2003). Especulamos que fue la basura de estas casas la que se depositó en los basureros.

Después de la deposición de los basureros E84 y E11, se construyeron residencias sobre E11 y E15 en los Bloques Oeste y Central, mientras que el Boque Este parece haber sido un espacio abierto, tal vez un área común para los hogares circundantes. La primera plataforma residencial construida puede haber estado asociada con el muro E68 en las Unidades I15 e I16 del Bloque Central (figura 2.46), que se construyó directamente sobre E11. E68 fue cubierto por un depósito de relleno posterior (E67) en el que se construyó el muro este (E18) de la Estructura 22-5 (ver más abajo). Sin embargo, sólo se excavó una pequeña sección del muro, por lo que podemos decir muy poco sobre la naturaleza de esta estructura. En el Bloque Oeste se construyó una plataforma residencial encima de E15 (Estructura 22-3; figura 2.91). La Estructura 22-3 sólo fue parcialmente excavada. Expusimos los muros de retención este (E17) y oeste (E39), así como el relleno de la plataforma (E20). No es muy claro, pero consideramos posible que una roca aislada en la Unidad P10 puede ser parte del muro de retención norte, y quizá forma una esquina con E39 (E131; figura 2.21). Una pequeña área de E11 en la Unidad M14 también apareció debajo del relleno de la plataforma (E20) de la Estructura 22-3 (figura 2.23). Es posible que, en el momento de la construcción del edificio, el basurero E11 estuviera en una elevación considerablemente más baja hacia el este, de modo que la conveniente deposición de desechos domésticos de la Estructura 22-3 pudo contribuir a la acumulación del material que lo compone. También es posible que una serie de pozos cavados en el área al sur de la Estructura 22-3 en la Unidad J13 (figura 2.26), que se llenaron de basura (E65-s1), estuvieran relacionados con actividades realizadas en asociación con la residencia. La basura también se depositó en la superficie cerca de los pozos (E65-s2). A finales del Posclásico Temprano, esta área estaba cubierta con una capa de relleno de 10 cm a 15 cm de espesor (E64). En algún momento,

probablemente después del abandono de la Estructura 22-3, el área alrededor del muro oeste (E39) en las Unidades N10, O10 y P10 colapsó y fue perturbada al grado que el sedimento se acumuló alrededor de las rocas (E46; figura 2.19).

En el Bloque Central se construyeron varias plataformas residenciales superpuestas secuencialmente sobre E11 (Estructuras 22-4, 22-5 y 22-6; figura 2.91). Estas residencias contenían sepulturas enterradas dentro de su relleno y fue difícil diferenciar entre sí dado que fueron construidas directamente una sobre la otra. Antes de la construcción de estas residencias, el área del Bloque Central habría sido más baja en elevación por aproximadamente 30-40 cm y la construcción de estas plataformas llevó la superficie a aproximadamente la misma elevación que en los Bloques Este y Oeste.

La primera de las residencias del Posclásico Temprano en el Bloque Central fue la Estructura 22-4, la cual fue construida directamente sobre el basurero E11 (figuras 2.81). Las excavaciones expusieron partes de los muros de contención sur (E55) y este (E56) de la Estructura 22-4 y el relleno de construcción que retuvieron (E33 y E59; figuras 2.58-2.49, 2.53, 2.55-2.56, 2.60, 2.62). Las rocas del muro E55 fueron sostenidas por una argamasa de lodo (E72). La parte superior de E55 estaba aproximadamente a 18.5 msnm, aunque la base variaba en elevación, oscilando entre 17.8 y 18.1 msnm, probablemente siguiendo el contorno desigual de la parte superior de E11. La Estructura 22-4 sólo puede relacionarse con un entierro individual (Ent. 136-I149) que fue parcialmente expuesto, pero no excavado (figuras 2.37, 2.54, 2.82). El entierro era probablemente un adulto y fue sepultado dentro del relleno de la plataforma y en los depósitos subyacentes de E11 (ver Capítulo 7). El pozo de entierro (E70) estaba delineado con lajas de piedra (E60). Se recuperaron dos vasijas de cerámica cerca de los pies del individuo, un cajete de pasta cocida diferencialmente con diseños pintados en el exterior (Objeto 1) y una pequeña copa o cajete de pasta anaranjada con líneas incisas en el exterior (Objeto 2). Este último cuenco es de un estilo típico del Clásico Tardío, sugiriendo que el Ent. 136 fue sepultado muy temprano en el Posclásico Temprano.

La siguiente plataforma residencial en ser construida sobre la Estructura 22-4 fue probablemente la Estructura 22-5 (figuras 2.81 y 2.91). Excavamos los muros de contención norte (E50), oeste (E18), y sur (E101) de esta plataforma (figuras 2.27-2.28, 2.46, 2.59). Esta estructura fue expuesta por la erosión en la superficie del sitio, y el relleno de la plataforma que contenían los muros fue removido y muy probablemente mezclado con sedimento más reciente (E10; encontrado en gran parte del Bloque Central). La capa de relleno E98 en las Unidades K24, I24 y J24 puede haber sido una porción más intacta del relleno de la Estructura 22-5 (figura 2.62). Localizamos y excavamos seis entierros (Ent. 121-I134, Ent. 122-I135, Ent. 123- I136, Ent. 124-I137, Ent. 125-I138, Ent. 126- I139; figuras 2.81, 2.83-2.88) dentro del relleno de la plataforma, aunque algunas veces también penetraron depósitos subyacentes de E11 (ver Capítulo 7). La mayoría de los entierros fueron colocados extendidos sobre su espalda con la cabeza orientada hacia el sur y una o dos vasijas asentadas sobre su base cerca de los pies del individuo. El Ent. 121 fue una excepción a este patrón, puesto que su cabeza estuvo orientada al norte y su vasija de ofrenda fue localizada boca abajo, cerca de su codo izquierdo. Relacionamos todos los entierros tentativamente con la Estructura 22-5, y todos menos Ent. 126 fueron acompañados de ofrendas. Ent. 121 y Ent. 123 tuvieron una sola vasija de ofrenda, Ent. 125 tenía una vasija cerámica y dos malacates, y Ent. 122 y 124 fueron enterrados con dos vasijas de cerámica cada uno. Los entierros parecían estar por encima de la base de la Estructura 22-3, la excavación de los pozos para tres de los entierros (Ent. 122, Ent. 123 y Ent. 124) removió piedras de E55, y los pies del Ent. 125 fueron encontrados encima de E55. Ninguno de estos datos excluye la posibilidad de que los entierros hayan sido sepultados en la Estructura 22-6, que es posterior a la Estructura 22-5. Sólo E58, un remanente de un muro de contención de la Estructura 22-6, fue expuesto durante las excavaciones y gran parte de la plataforma y su relleno parecieron haber sido removidos por la erosión, y tal vez el robo de rocas (figuras 2.52, 2.54, 2.56, 2.91). La Estructura 22-6 fue construida sobre el relleno anterior retenido por la Estructura 22-3. (E33). E58 retuvo o fue enterrado por una capa de relleno muy erosionado (E57). Tal

vez cuando se construyó la Estructura 22-6, se extrajeron piedras de la Estructura 22-5 y una parte de su muro norte (E50) se derrumbó (E112).

El área al norte de las Estructuras 22-4, 22-5 y 22.6, en el Bloque Este, parece haber sido un espacio abierto, posiblemente más público para los residentes de esta parte de Río Viejo, aunque contamos con muy poca información directa sobre las actividades llevadas a cabo en esta zona. Los elementos del Posclásico Temprano en el Bloque Central consistieron en sedimento erosionado del relleno de la Estructura 22-5 en la Unidad M20 (E69), así como una capa de relleno (E132) invadida por dos pozos (E41, E44). Sobre E132 había una capa de relleno (E2) con evidencia de deflación (figura 2.45).

Los últimos elementos de Op. A fueron probablemente depositados después del abandono del sitio más adelante en el Posclásico Temprano. En adición, estos incluyeron elementos formados en los últimos siglos. E1, presente en toda la extensión de Op. A, fue la superficie moderna ligeramente orgánica y comúnmente erosionada. E29 parece ser el resultado de la erosión alrededor de una concentración de rocas (E100) en la superficie de las Unidades M13 y M12 en el Bloque Oeste; E133 también es un depósito moderno originado por la erosión. E71 fue otra concentración de rocas en la superficie de Op. A. Estas acumulaciones de rocas podrían haber sido el resultado de una colecta en la superficie del sitio con la intención de transportarlas y aprovecharlas en otro lugar.

## 2.4 Conclusiones

Las excavaciones en Op. A fueron exitosas en rastrear la vida doméstica durante el colapso del periodo Clásico. Conseguimos exponer evidencia de probables actividades domésticas durante el Clásico Tardío, aunque la mayor parte de los depósitos de este periodo contenían evidencia de prácticas supra-domésticas que involucraron prácticas de preparación de alimentos y rituales comunitarios. La evidencia en Op. A sugiere que la transición del Clásico Tardío al Posclásico Temprano fue vista por los habitantes

como un parteaguas que requirió de rituales para clausurar la época anterior y que permitiera nuevos usos del área. El uso posterior del espacio se centró en las prácticas domésticas, incluida la construcción de viviendas, la deposición de desechos y el entierro de los muertos.

Los contextos del Clásico Tardío que fueron encontrados en asociación con la superficie de E7 y E13 sugieren que esta área del sitio fue un foco de actividades domésticas. La presencia de la Estructura 22-1 y los elementos asociados con ella son consistentes con un contexto residencial, aunque tal inferencia está limitada por nuestra restringida excavación de esta área. Asimismo, la presencia de pozos, depósitos orgánicos y cenizos, y un área de intensa quema sobre la superficie de E7 son consistentes con prácticas domésticas como la preparación de alimentos y áreas destinadas a la deposición de desechos. Dicho esto, es importante notar que la evidencia de este periodo no sugiere la misma densidad de residencias e intensidad de actividades domésticas que es señalada para el Posclásico Temprano (figura 2.91).

El cambio hacia contextos supra-domésticos como la preparación de alimentos y rituales comunales durante la parte final del Clásico Tardío puede ser simplemente el resultado de un cambio en el uso del espacio, o tal vez algo más significativo que aún no es evidente. El elaborado horno de tierra en el Bloque Oeste y el horno de tierra en el Bloque Norte sugieren actividades de cocina comunal que quizá se asocien con banquetes rituales. Los hornos de tierra y los grandes fogones encontrados en Río Viejo, Cerro de la Virgen y Cerro de la Cruz durante el Formativo Tardío y Terminal estuvieron asociados con evidencia de banquetes rituales a escala supra-doméstica (Barber y Joyce 2012; Brzezinski 2019; Joyce et al. 1998, 2016). Una muestra paleobotánica del gran horno en el Bloque Oeste produjo 98 granos de maíz, lo que tal vez indica que el maíz era uno de los alimentos cocinados en el horno (ver Capítulo 9). Esperamos que el análisis zooarqueológico proporcione pistas sobre lo que estaba preparando en este y otros hornos excavados por el PRV-2022.

El elemento de drenaje en el Bloque Este es aún más difícil de interpretar en comparación con los hornos. La construcción del drenaje requirió de habilidad y esfuerzo significativos. Drenó un área que no arrojó datos relacionados con el uso de este espacio que no fuera el desagüe en sí. Con la excepción de una posible plataforma baja (E108, E109) que no se entiende bien, el Bloque Este no mostró evidencia de casas o estructuras ceremoniales que podrían haber sido amenazadas por las fuertes lluvias durante esta temporalidad. En contraste, un drenaje cerámico del Formativo Tardío en Cerro de la Cruz drenaba una posible residencia, así como almacenes asociados con un espacio ceremonial donde se realizaban fiestas rituales y prácticas mortuorias (Joyce et al. 1998). Del mismo modo, un drenaje de piedra del Formativo Terminal removió el agua del centro ceremonial de Río Viejo ubicado en la enorme acrópolis del sitio (Barber y Joyce 2012; Joyce y Barber 2015a). Como ambos de estos ejemplos anteriores estuvieron relacionados con prácticas rituales de escala comunitaria, podríamos especular que el drenaje excavado en esta temporada no era simplemente para la eliminación utilitaria del agua de un área amenazada por inundaciones, sino que también puede haber tenido un papel ceremonial. Esta posibilidad parece más probable dados los hornos de tierra en las cercanías, que pueden haber sido utilizados para banquetes rituales. La ofrenda (E6) de piedras de río, colocada en el relleno (E4) en el que se incrustó el drenaje, probablemente está asociada con el agua y quizá estuvo involucrada con la animación de esta área, mientras que la evidencia de rituales de terminación al final del periodo Clásico cerca del horno (E15) y el drenaje (E99) sugiere la clausura ceremonial del área. En otras partes del Río Verde, tales ofrendas se han asociado típicamente con espacios y edificios ceremoniales públicos (Joyce 2020).

Si el drenaje en el Bloque Este de Op. A tuvo un rol en las ceremonias relacionadas con el agua, entonces es posible que se inspiraran en problemas con la sequía en este momento, como se argumenta para otras regiones de Mesoamérica (por ejemplo, Iannone 2014). Los datos preliminares sugieren que la reducción de las precipitaciones también pudo haber afectado al actual territorio de Oaxaca (Goman

et al. 2018), y próximos análisis paleoecológicos y paleoclimatológicos impulsados por el Proyecto Río Verde prometen proporcionar evidencias adicionales. La evidencia de la clausura ritual en Op. A a finales del periodo Clásico es especialmente intrigante porque indica que los habitantes locales vieron este momento como una transición significativa, cualesquiera que fueran sus motivos. La manera en que estos datos se relacionan con el generalizado colapso político en el Valle del bajo Río Verde y más allá es un tema mucho más amplio y complejo.

Aproximadamente al mismo tiempo que el área de Op. A estaba siendo ritualmente clausurada, una mujer importante fue enterrada en el Bloque Norte (Ent. 120-I133). Este entierro data de la transición entre el Clásico Tardío y el Posclásico Temprano y apoya la evidencia más amplia sobre que esta fue una época de cambios significativos en esta zona del sitio. El Ent. 120-I133 exhibió varias características inusuales. El individuo fue una mujer adulta con modificación craneal, enterrada en una posición marcadamente flexionada y posiblemente atada. Esta persona fue enterrada con una elaborada ofrenda que consistía en vasijas de cerámica finamente decoradas e implementos utilizados en el hilado y tejido de textiles a base de algodón. Los diseños pintados en las dos vasijas más elaboradas incluían imágenes de un animal, probablemente un perro, un ciervo o un coyote junto con representaciones de manos humanas (figuras 2.106 y 2.207). En el caso de una de las vasijas (figura 2.106), los motivos representaban a un ser híbrido con cabeza de animal, brazos y manos humanas, y patas y cola de animales. Las imágenes sugieren la práctica del nahualismo por el cual una persona se fusiona con un animal a través de actos rituales. La ofrenda también contenía al que es por mucho el conjunto más grande y diverso de herramientas de hilado y tejido jamás encontrado en un entierro en esta región, lo que indica que la persona estaba involucrada en la producción textil de algodón. Probablemente tenía un estatus relativamente alto, particularmente si las ofrendas asociadas se comparan con otros entierros del Clásico Tardío y Posclásico Temprano en la región. La modificación craneal también puede indicar un aspecto de la identidad que era poco común. Aún no se han encontrado herramientas

inequívocas de hilado y tejido antes del Posclásico en el Valle del bajo Río Verde. Si bien es muy probable que el algodón se hilara y tejiera en la región antes del Posclásico si nos basamos en el análisis de imágenes en figurillas (ver Capítulo 6), la presencia de tantos de los componentes del conjunto de herramientas de fabricación textil del Posclásico en un entierro, que también exhibe otras características inusuales, sugiere que las prácticas emergentes de hilado y tejido pueden haber tenido un significado especial.

Durante el Posclásico Temprano el área de Op. A se convirtió en un foco de actividades domésticas, como lo indica la presencia de numerosas plataformas residenciales y entierros y basureros asociados. Los datos de Op. A son generalmente consistentes con las excavaciones anteriores de King (2003) en el área adyacente a Op. A., con la excepción del tratamiento mortuorio que se le dio al Ent. 121. Los artefactos recuperados de las excavaciones de 2022 indican una variedad de formas de producción doméstica, incluyendo el hilado de hilo de algodón y el tejido de textiles, así como la agricultura, la caza, y la producción de cerámica. La gente participaba en el comercio a larga distancia importando obsidiana y pequeñas cantidades de piedra verde, cerámica y tal vez sílex. Las distinciones de estatus basadas en la variación en el tamaño y la elaboración de la arquitectura de las residencias junto con los datos provenientes de entierros fueron mínimos.

El centro de la vida doméstica al comienzo del Posclásico Temprano parece haberse localizado en las áreas de los Bloques Norte y Oeste (Estructuras 22-2 y 22-3) junto con el área de las excavaciones de King (2003). En este momento, el área de los bloques Central y Sur se utilizó para la deposición de desechos domésticos, lo que resultó en la acumulación de los basureros E84 y E11. Más tarde en el Posclásico Temprano, el Bloque Central se convirtió en el foco de las viviendas con al menos tres plataformas residenciales construidas sucesivamente (Estructuras 22-4, 22-5 y 22-6). Al igual que en el trabajo de King, las evidencias de esta temporada indican que el entierro de adultos fallecidos se concentró en ciertas plataformas residenciales. En el caso de Op. A, la Estructura 22-5 contenía todos

menos uno de los entierros posclásicos tempranos; no encontramos entierros de niños o bebés fechados en este periodo. Los datos mortuorios para el Posclásico Temprano contrastan con los del Clásico Tardío, donde dos de los tres entierros excavados fueron bebés (excluyendo el Ent. 127 y el Ent. 120, que estaban fechados en la transición del Clásico Temprano al Clásico Tardío y del Clásico Tardío al Posclásico Temprano, respectivamente), un patrón similar fue identificado en Op. B (ver Capítulo 3). Las ofrendas funerarias fueron modestas, generalmente consistieron en no más de dos vasijas de cerámica y, en un caso, dos malacates. La evidencia de Op. A apoya los datos del patrón de asentamiento que muestran que al final del periodo Posclásico Temprano la comunidad de Río Viejo fue abandonada (Hedgepeth Balkin 2020; Joyce et al. 2004, 2021).



**Figura 2.1 Fotografía aérea. Operación A después de excavaciones en relación con el área excavada por King en 2000.**



**Figura 2.2 Fotografía de operación A antes de excavaciones.**



**Figura 2.3 Excavaciones arqueológicas en Operación A del PRV-2022, Rio Viejo.**

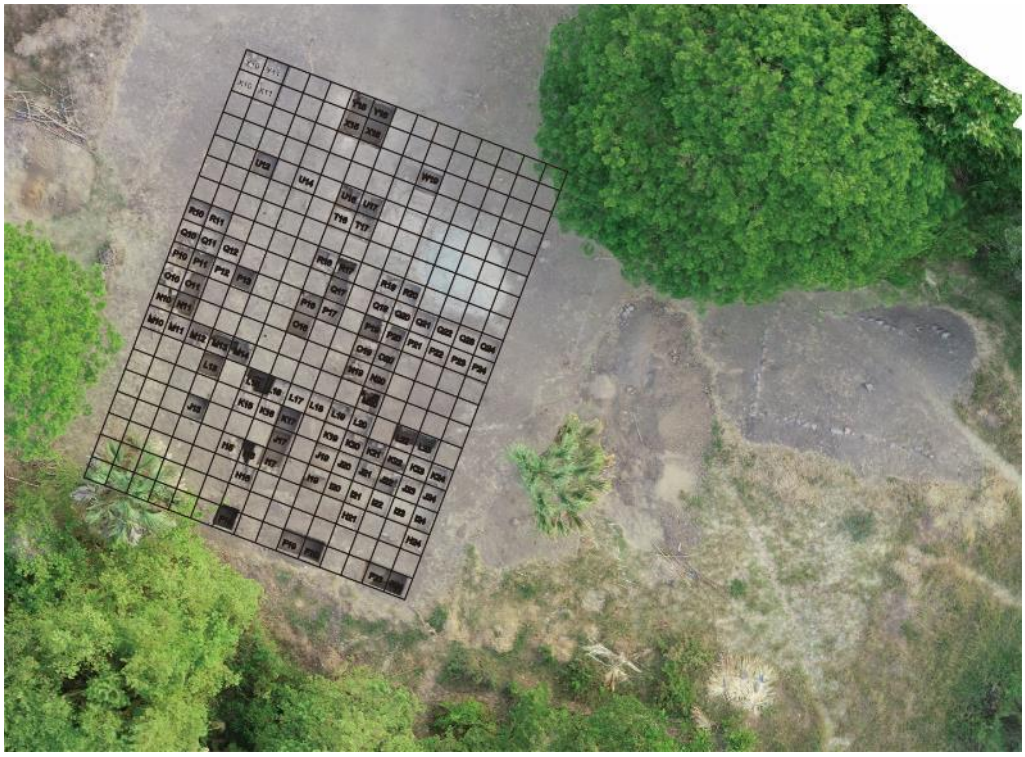


**Figura 2.4 Fotografía aérea de Operación A después de las excavaciones con la retícula superpuesta demarcada.**



**Figura 2.5 Fotografía aérea de Operación A después de las excavaciones.**

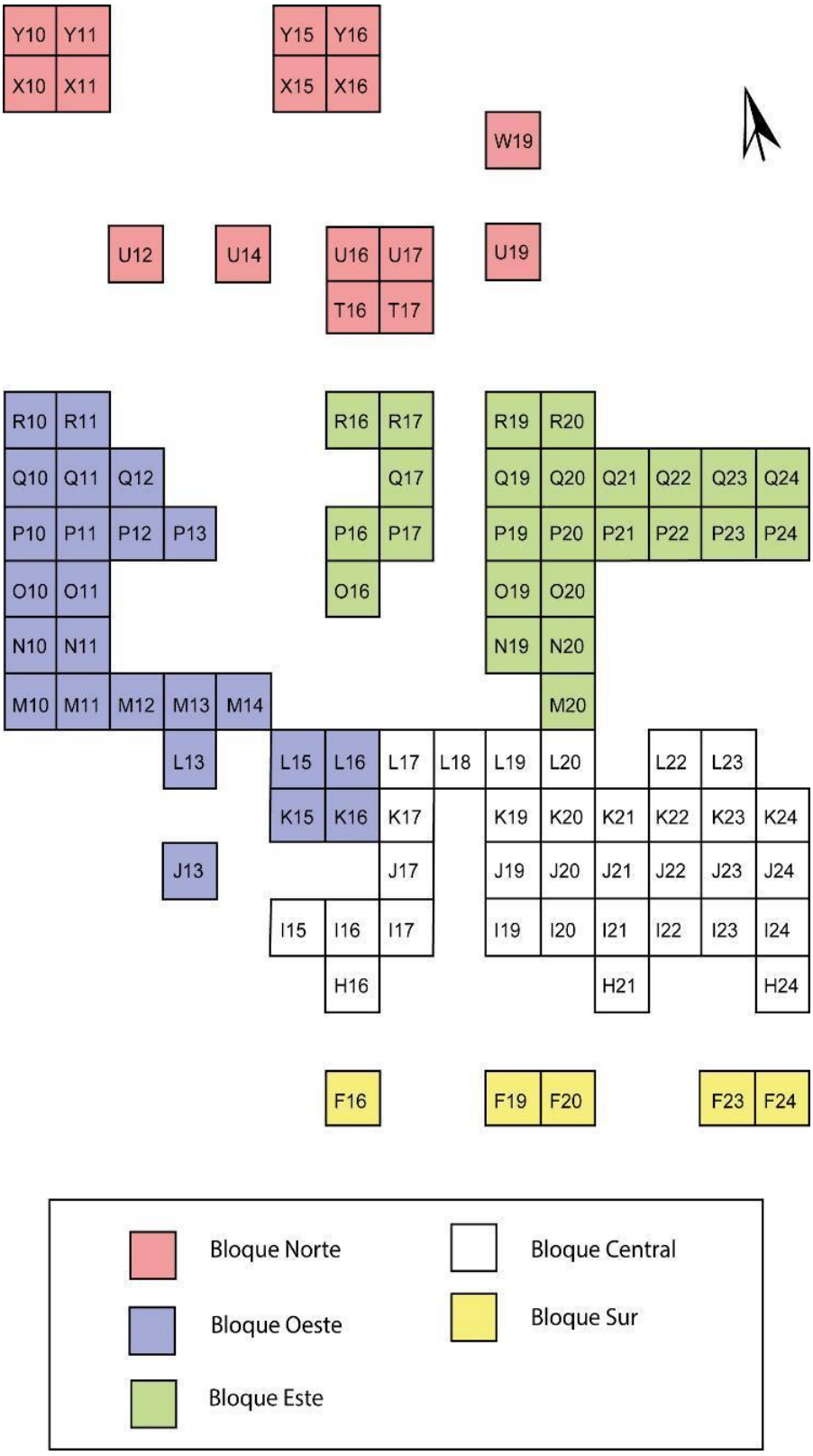



**Figura 2.6 Plano del área de Operación A mostrando los Bloques de excavación descritos en el texto.**

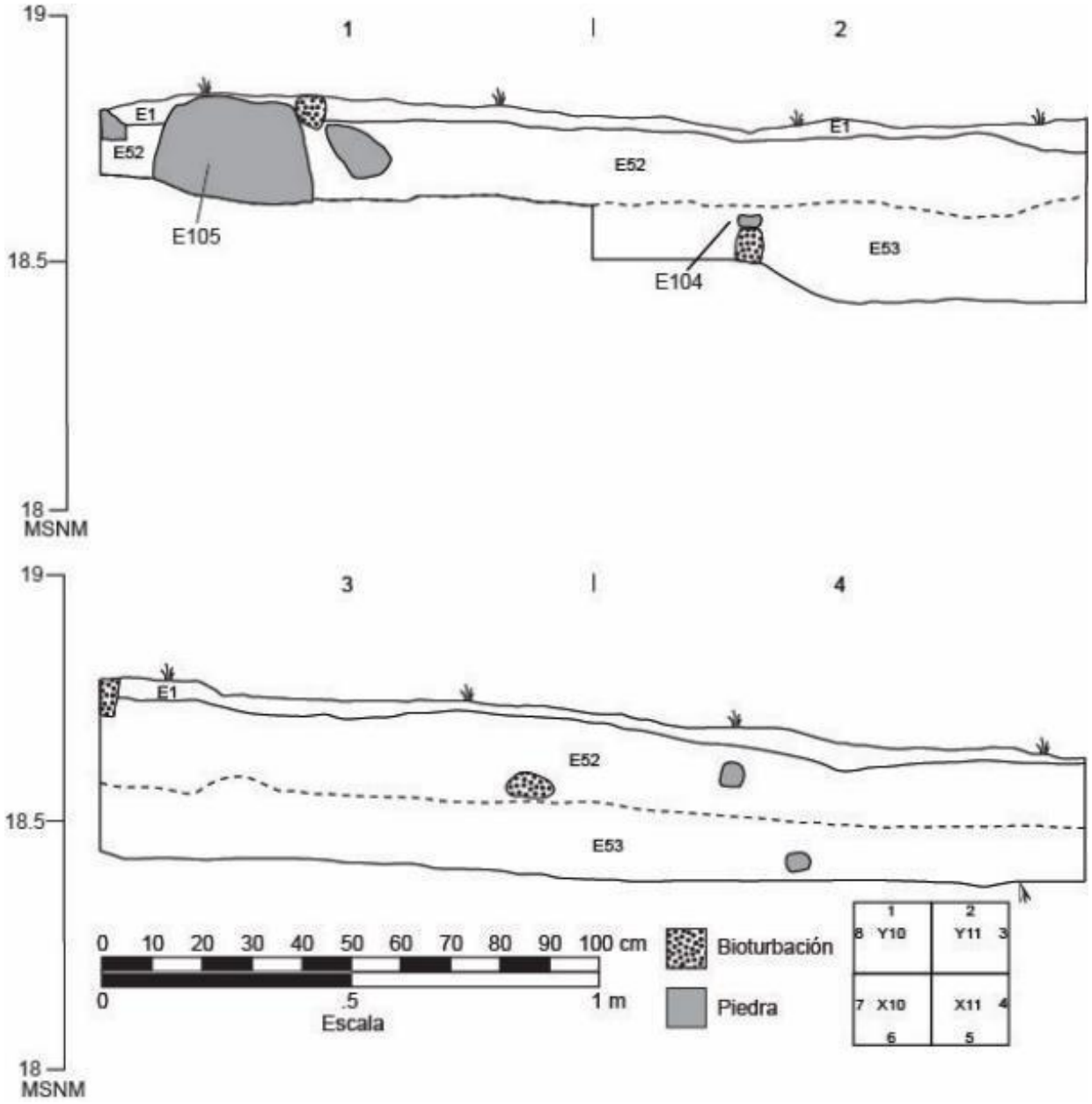



**Figura 2.7 Perfiles de las unidades Y10, Y11, X10, X11.**

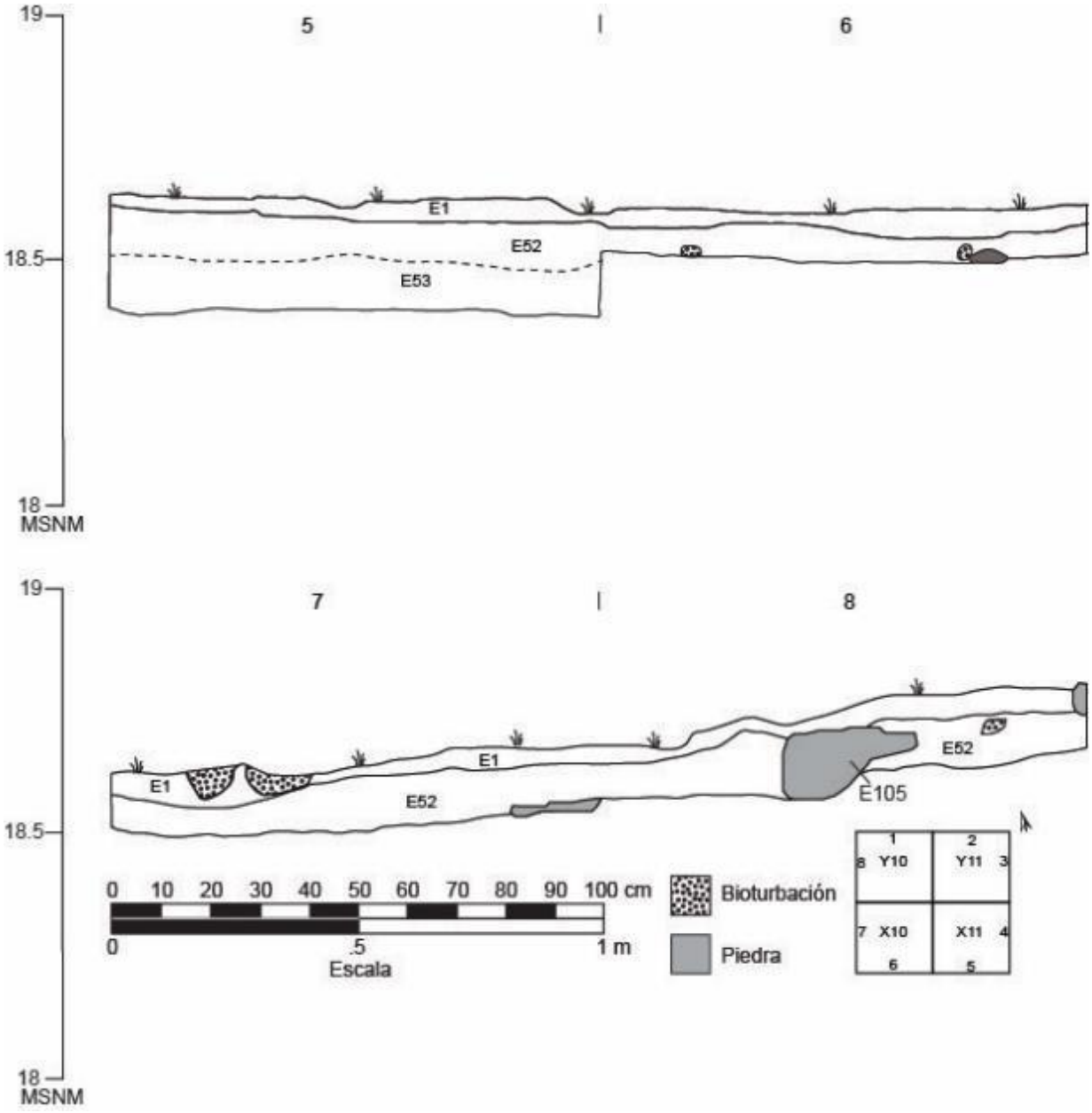



**Figura 2.7 Perfiles de las unidades Y10, Y11, X10, X11 (continuación).**

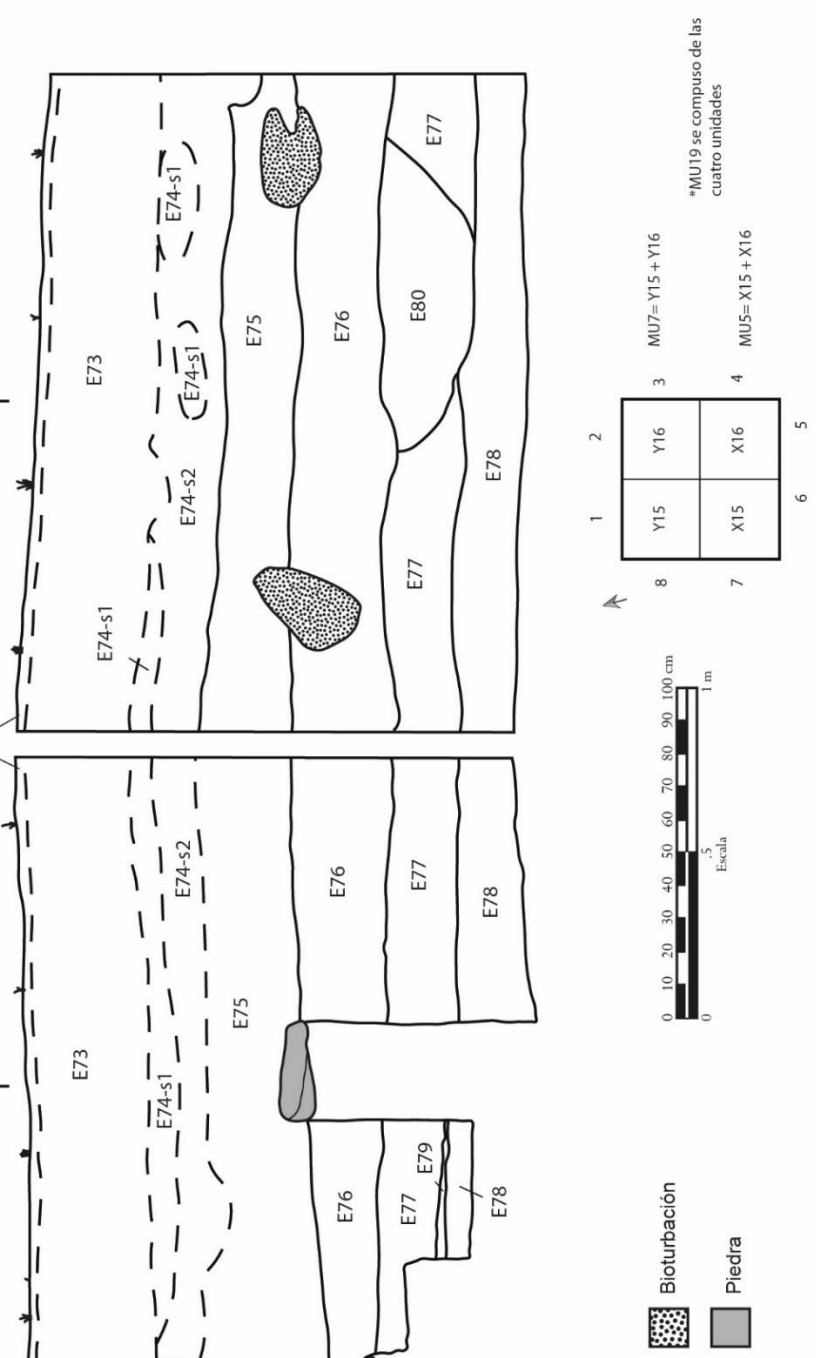



**Figura 2.8 Perfiles de las unidades Y15, Y16, X15, X16.**

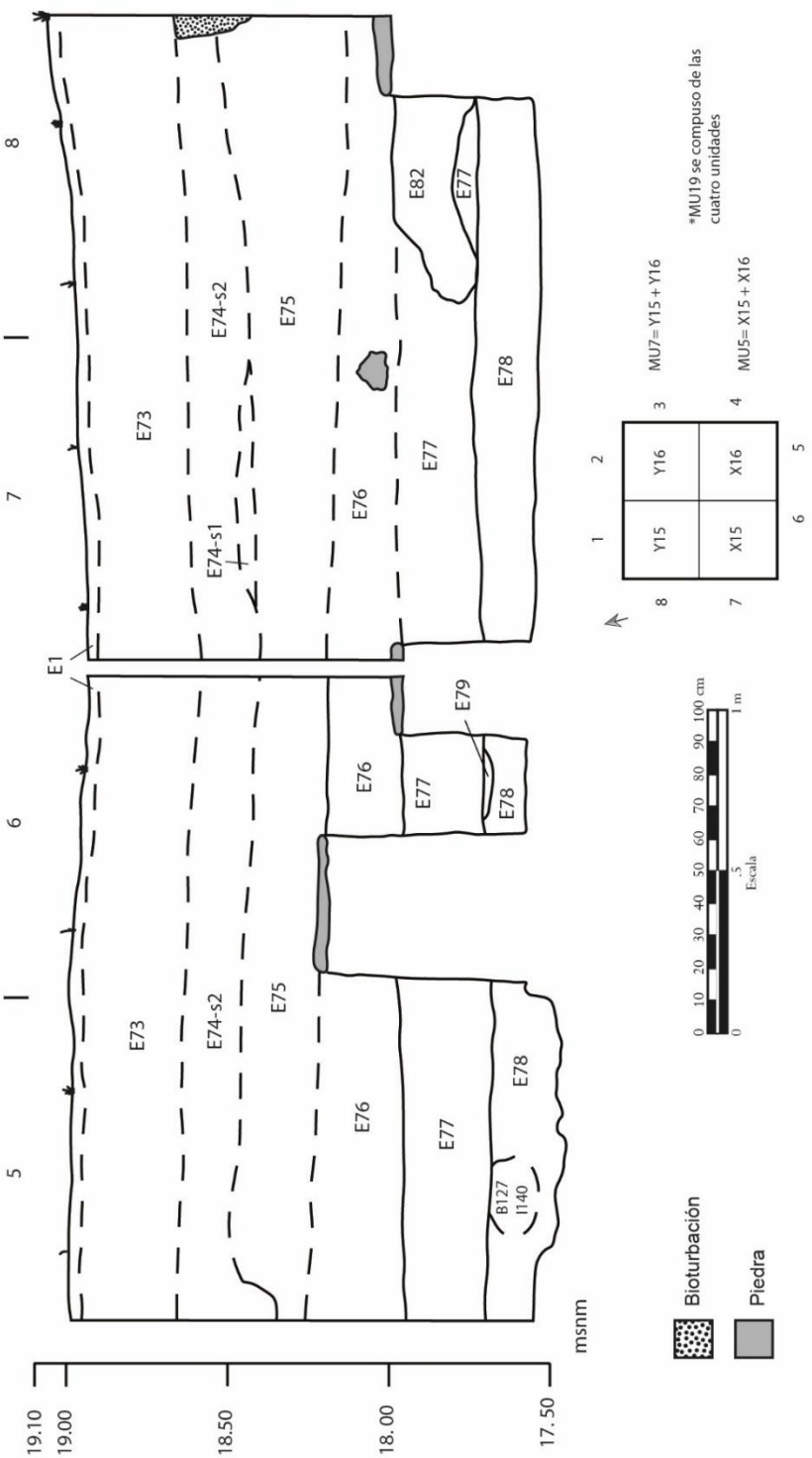



**Figura 2.8 Perfiles de las unidades Y15, Y16, X15, X16 (continuación).**

Figura 2.9 A. Unidad U19

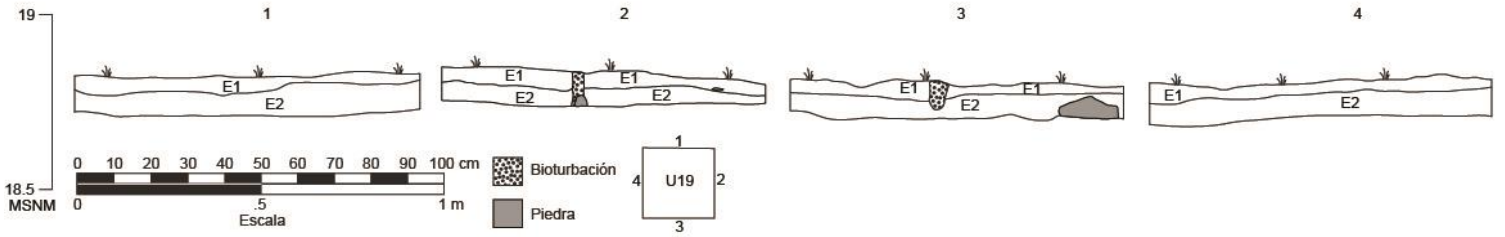



Figura 2.9 B. Unidad W19

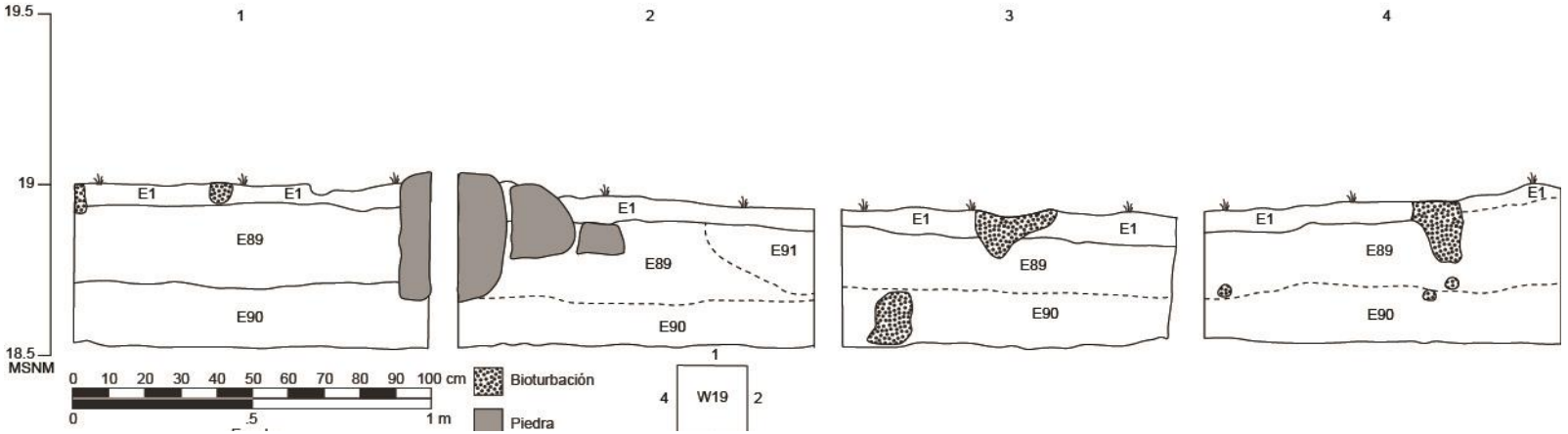



**Figura 2.9 Perfiles de las unidades U19 y W19: (A) U19; (B) W19.**

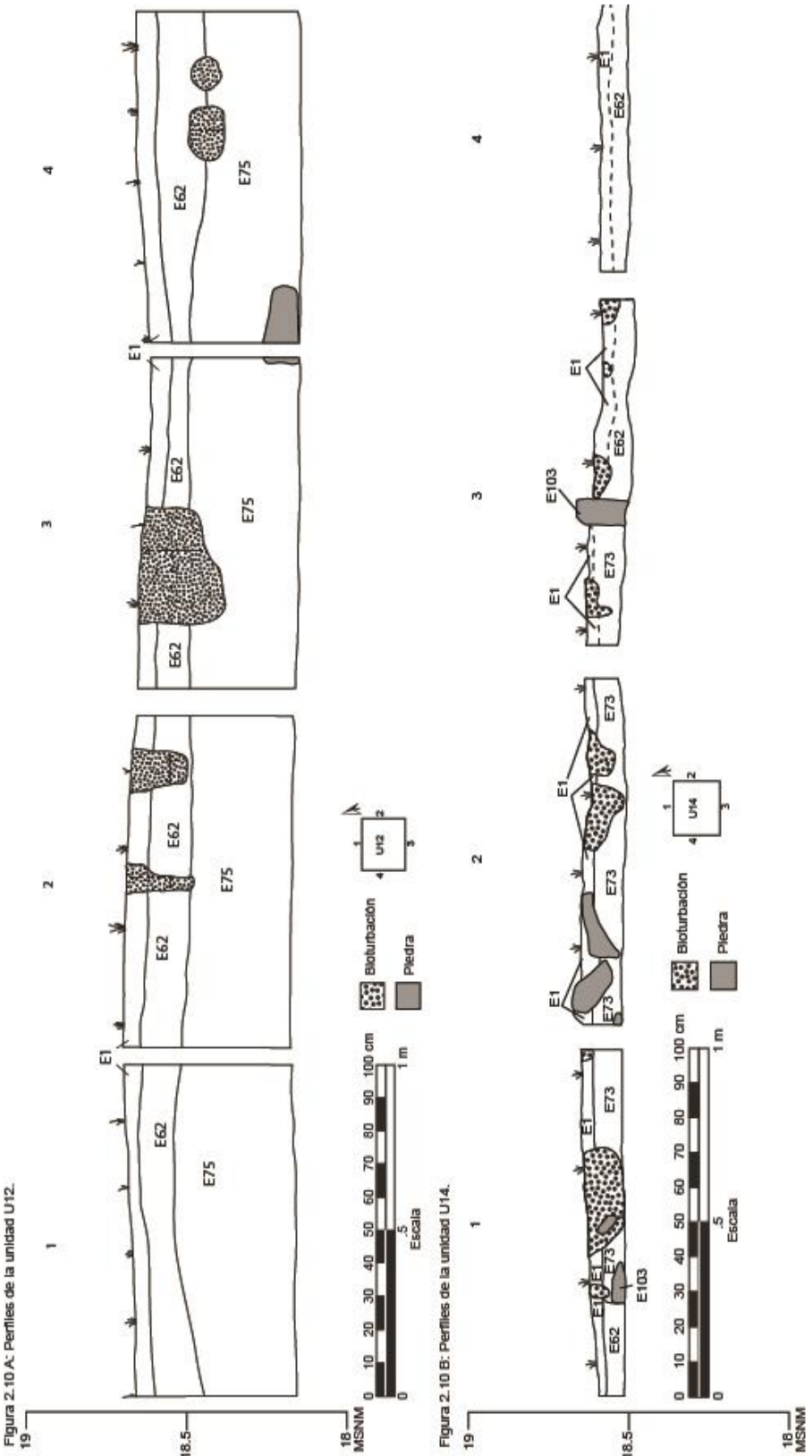



**Figura 2.10 Perfiles de las unidades U12 y U14. (A) U12; (B) U14.**

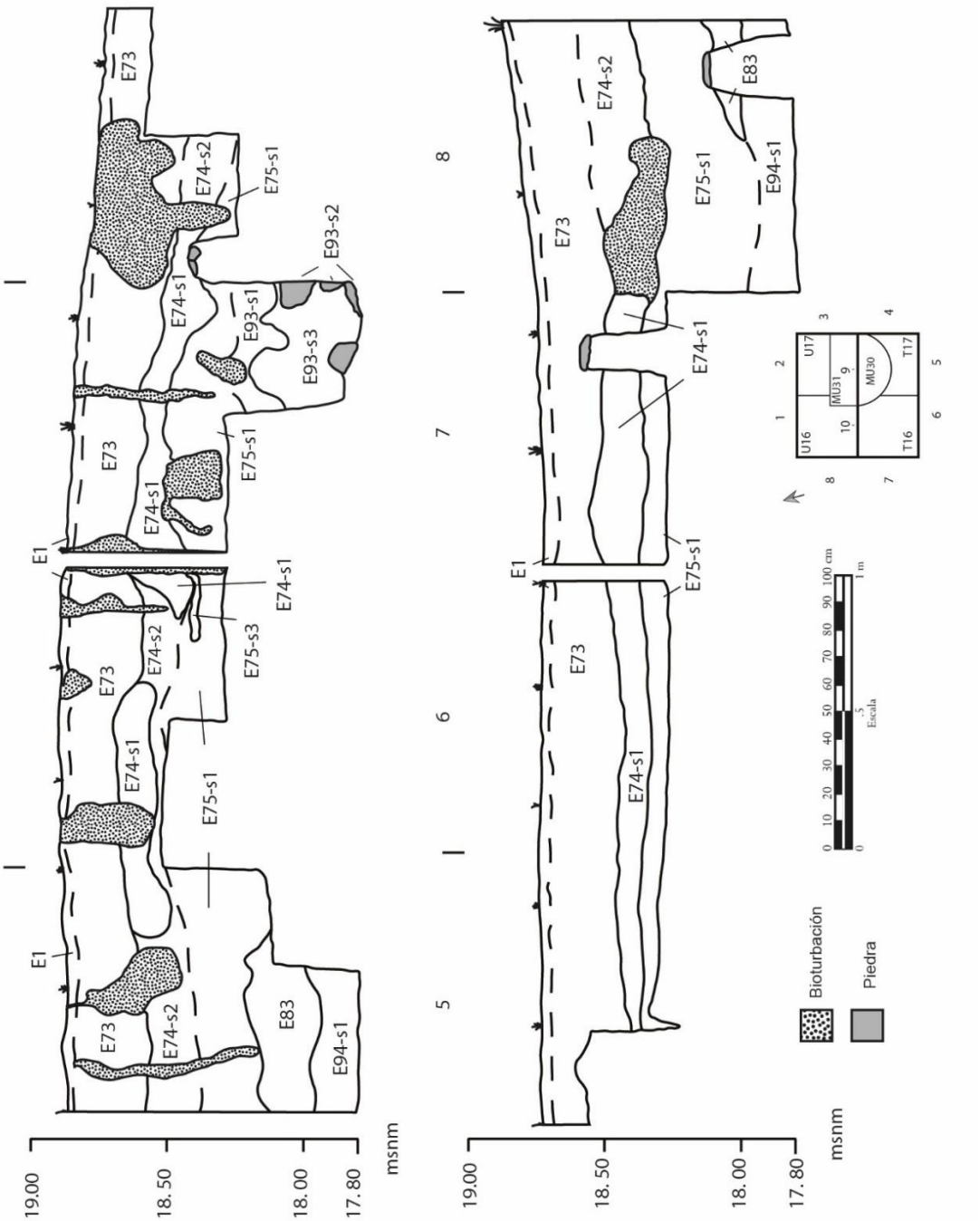



**Figura 2.11 Perfiles de las unidades U16, U17, T16, T17, MU30, MU31.**

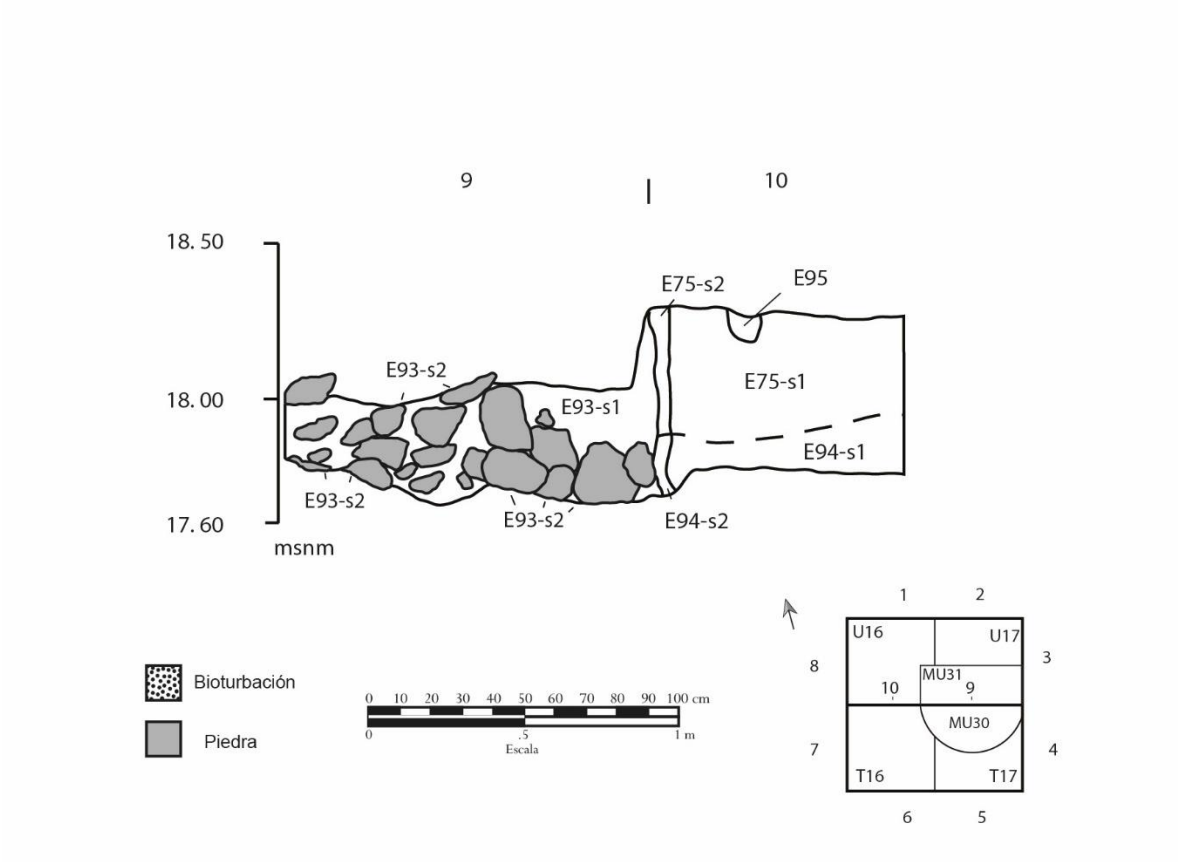



**Figura 2.11 Perfiles de las unidades U16, U17, T16, T17, MU30, MU31 (continuación).**

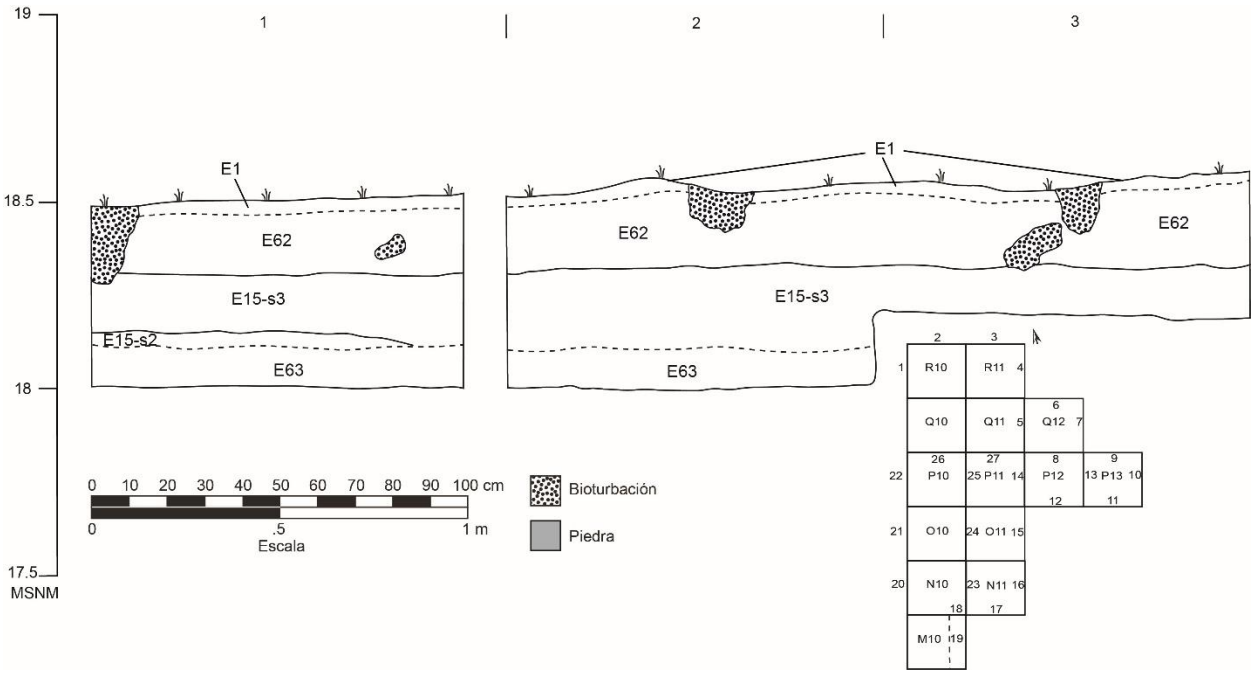



**Figura 2.12 Perfiles de las unidades R10 y R11.**

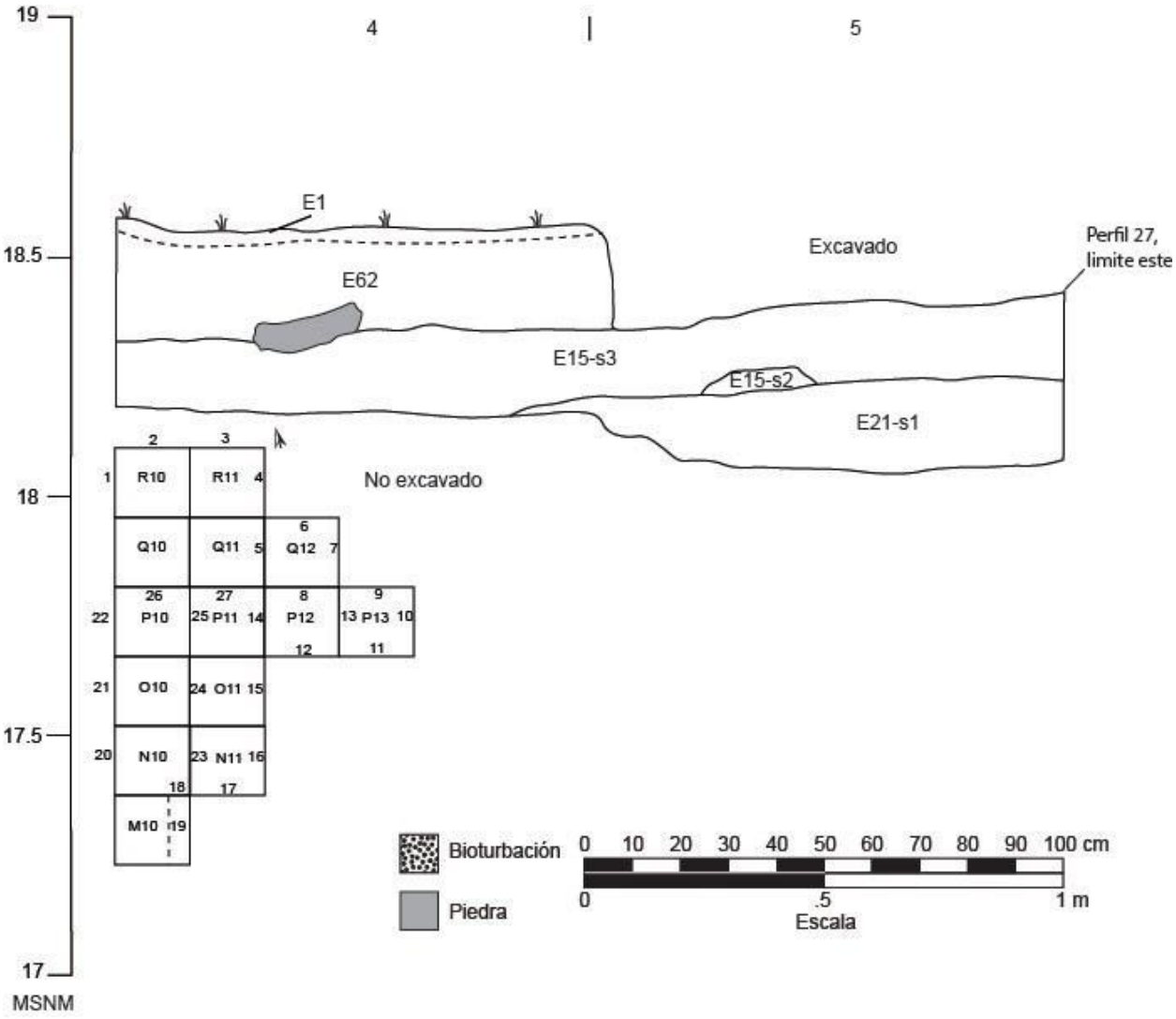



**Figura 2.13 Perfiles este de las unidades R11 y Q11.**

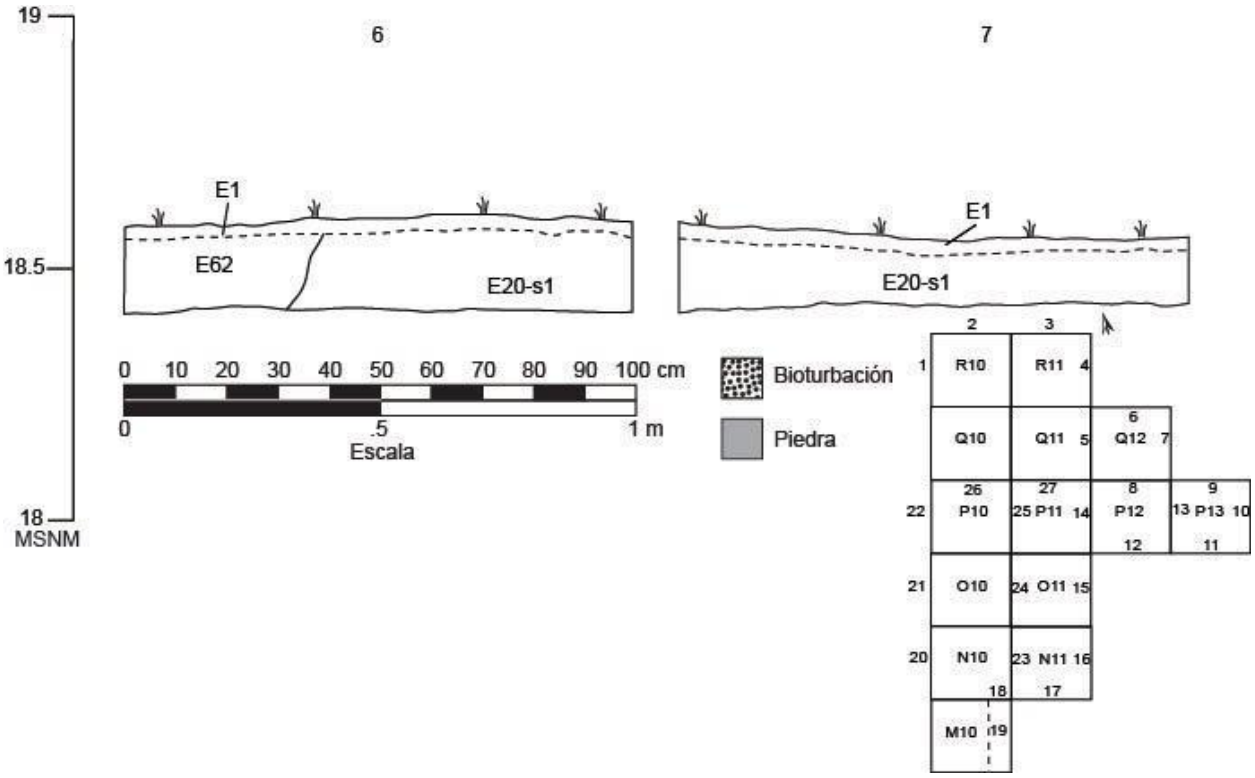



**Figura 2.14 Perfiles de la unidad Q12.**

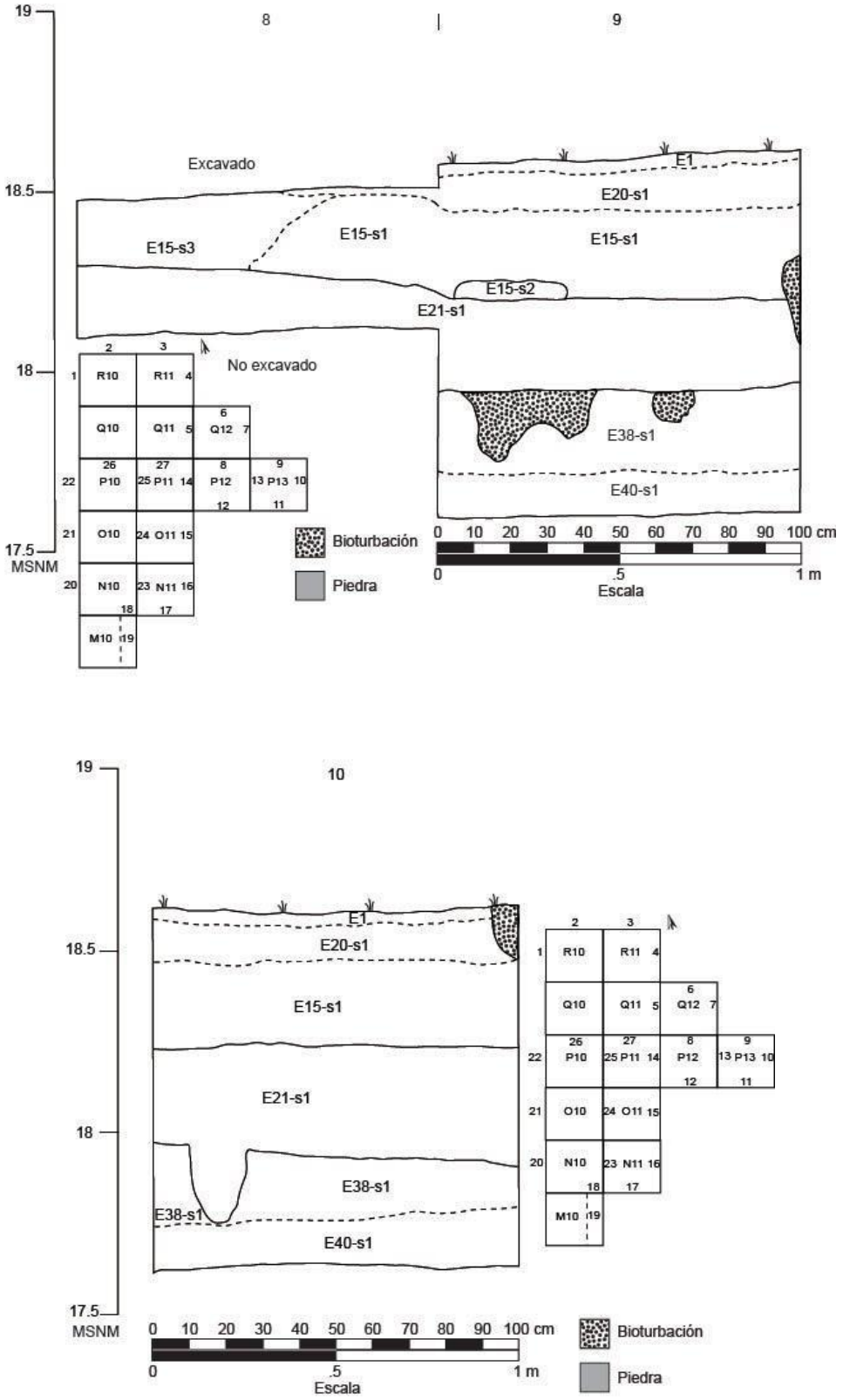



**Figura 2.15 Perfiles norte de las unidades P12, y P13.**

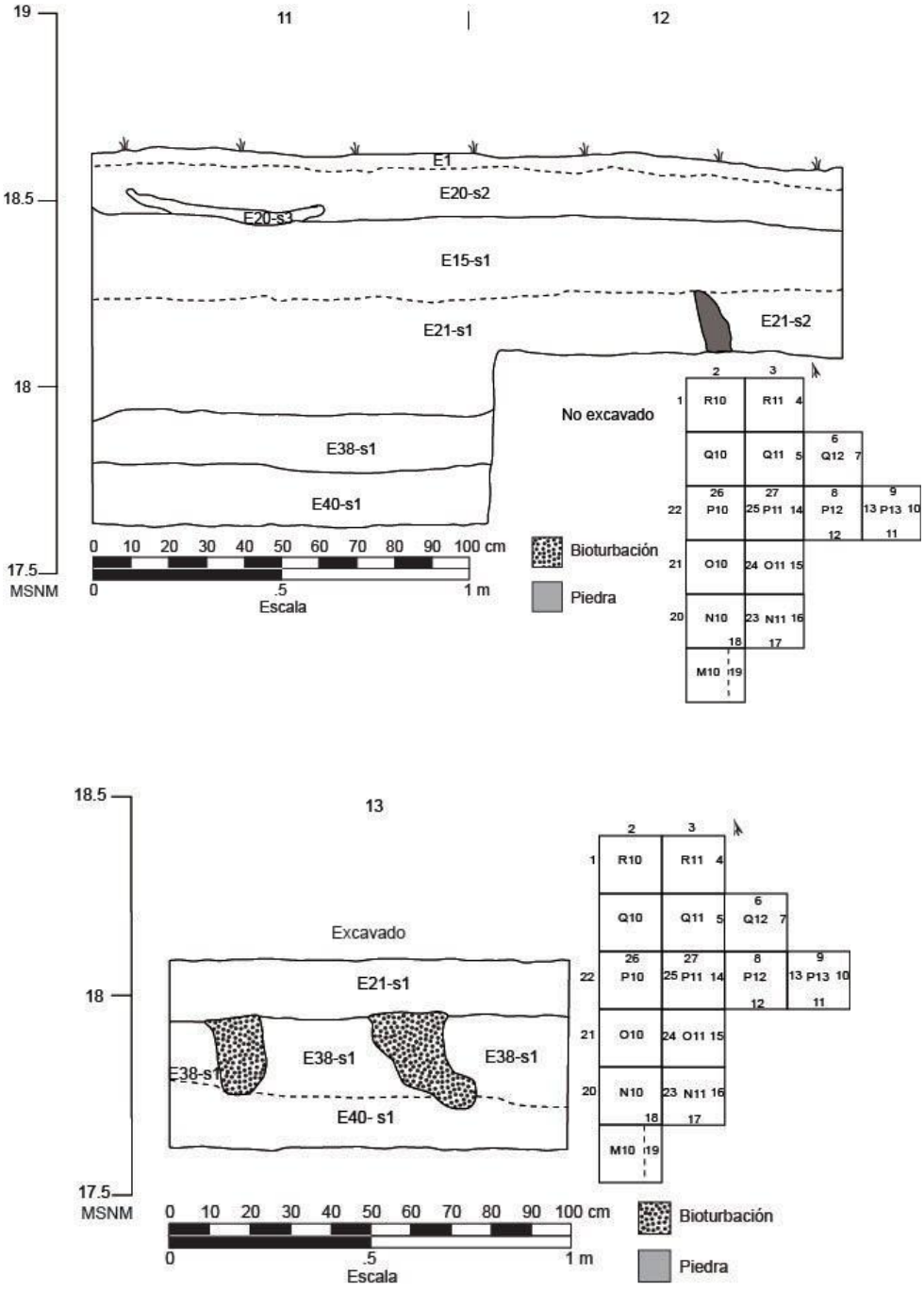



**Figura 2.16 Perfiles de las unidades P12, y P13.**

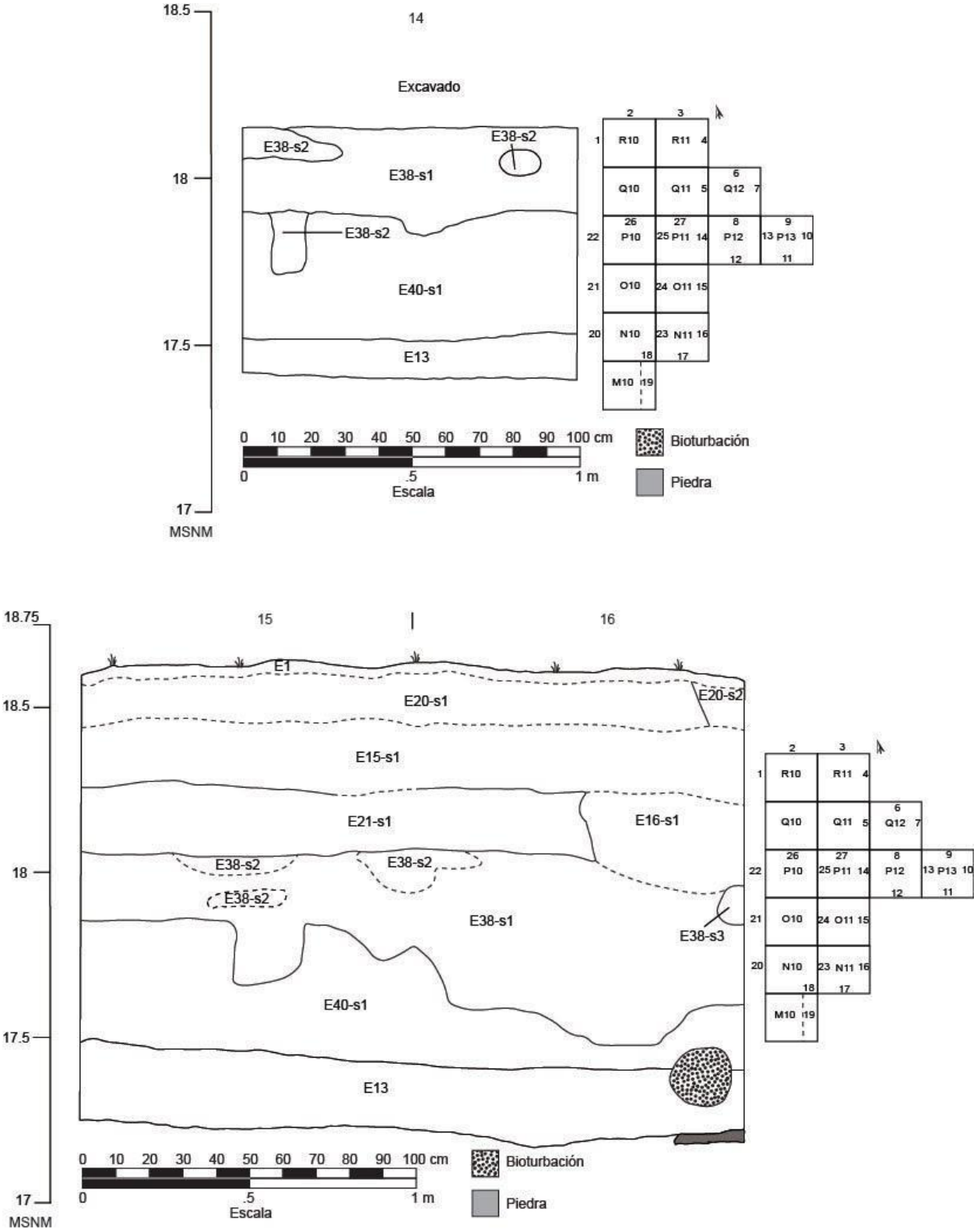



**Figura 2.17 Perfiles de las unidades P11, O11, y N11.**

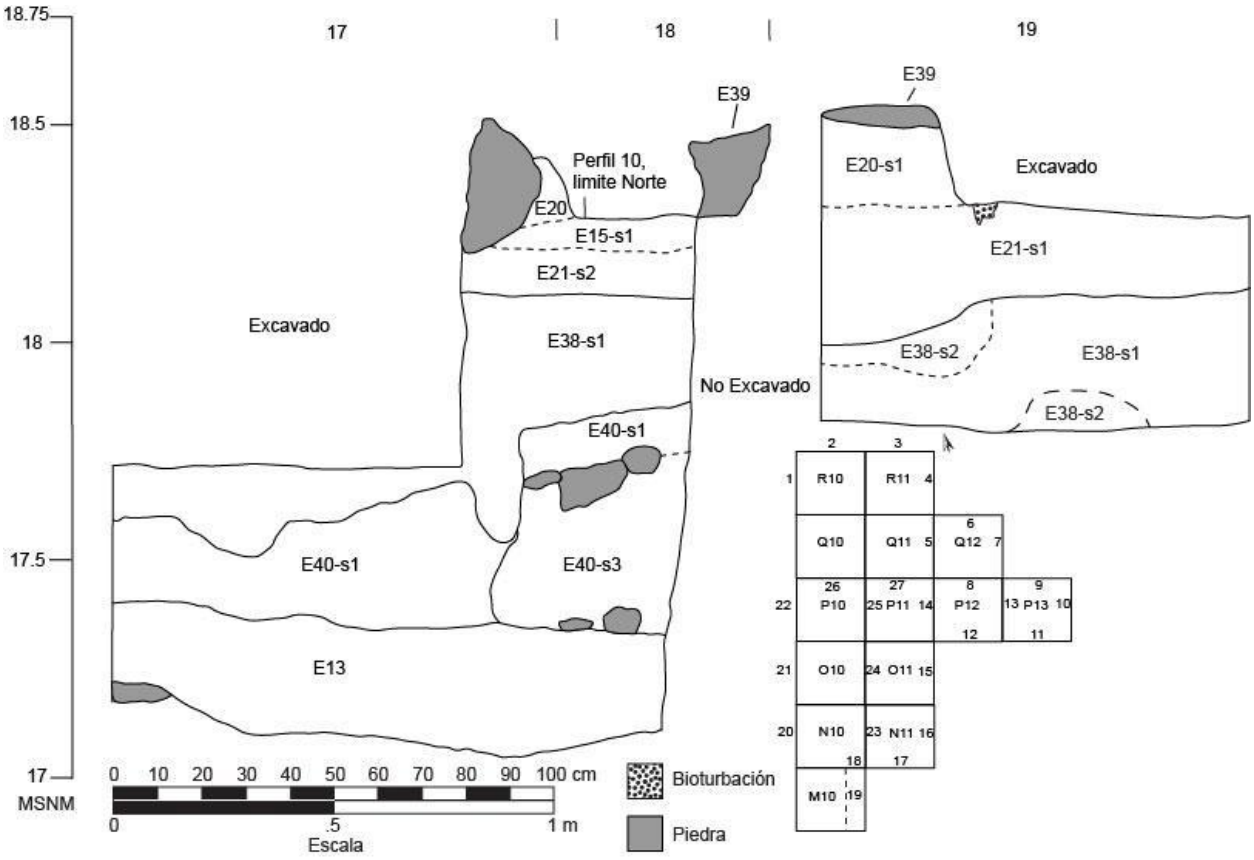



**Figura 2.18 Perfiles de unidades N11, M10, y N10.**

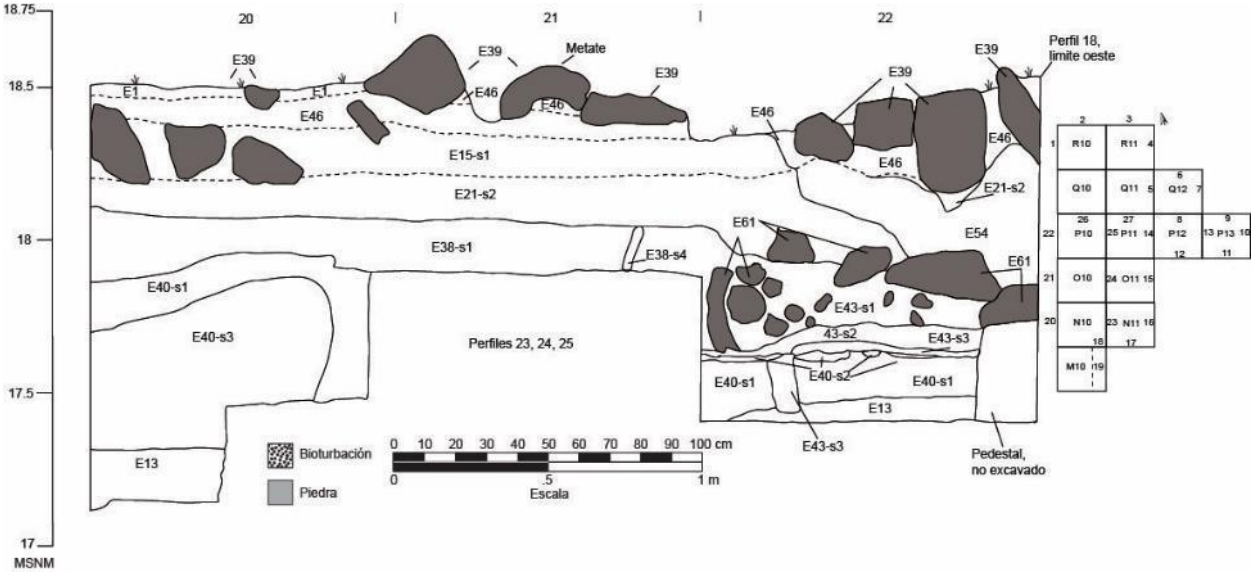



**Figura 2.19 Perfiles de las unidades N10, O10, y P10.**

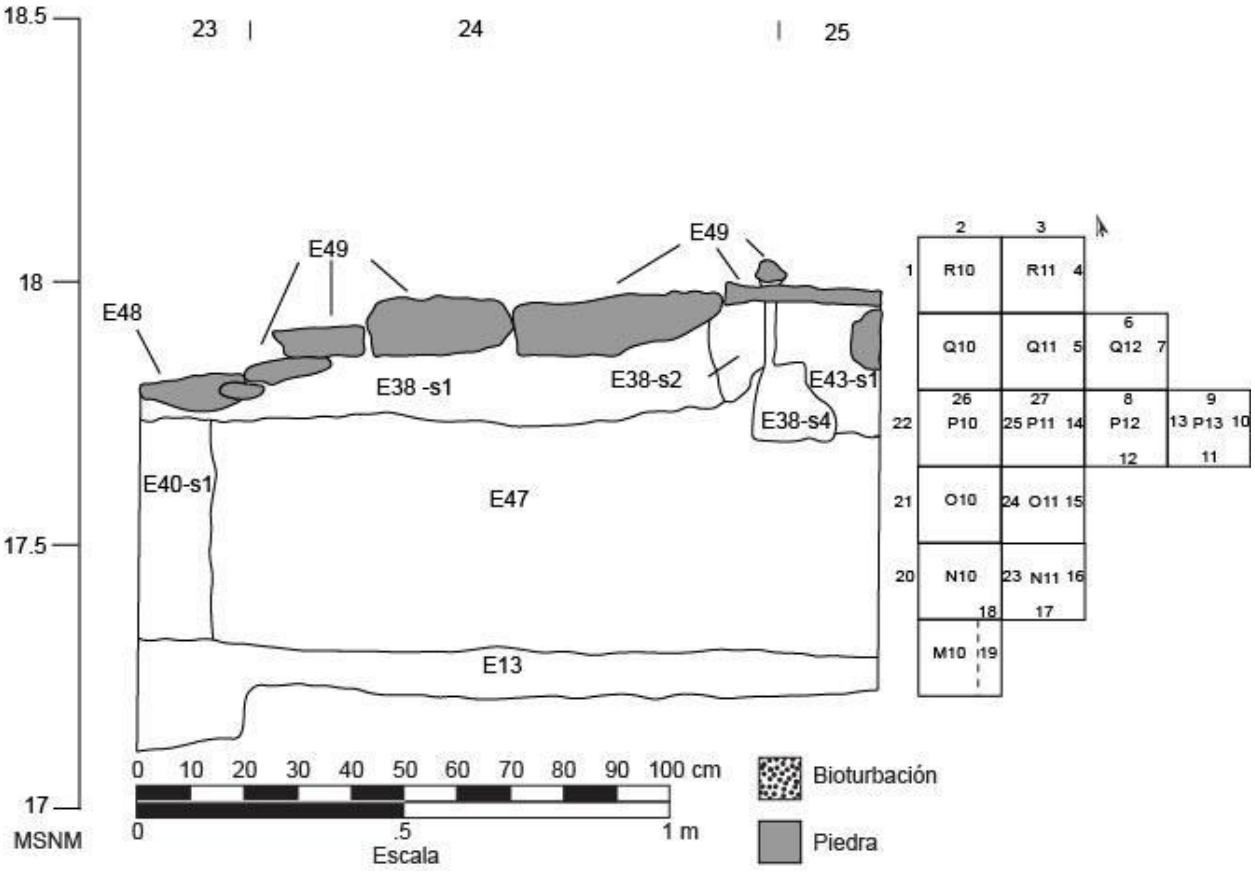



**Figura 2.20 Perfiles de las unidades N10, O10, y P10.**

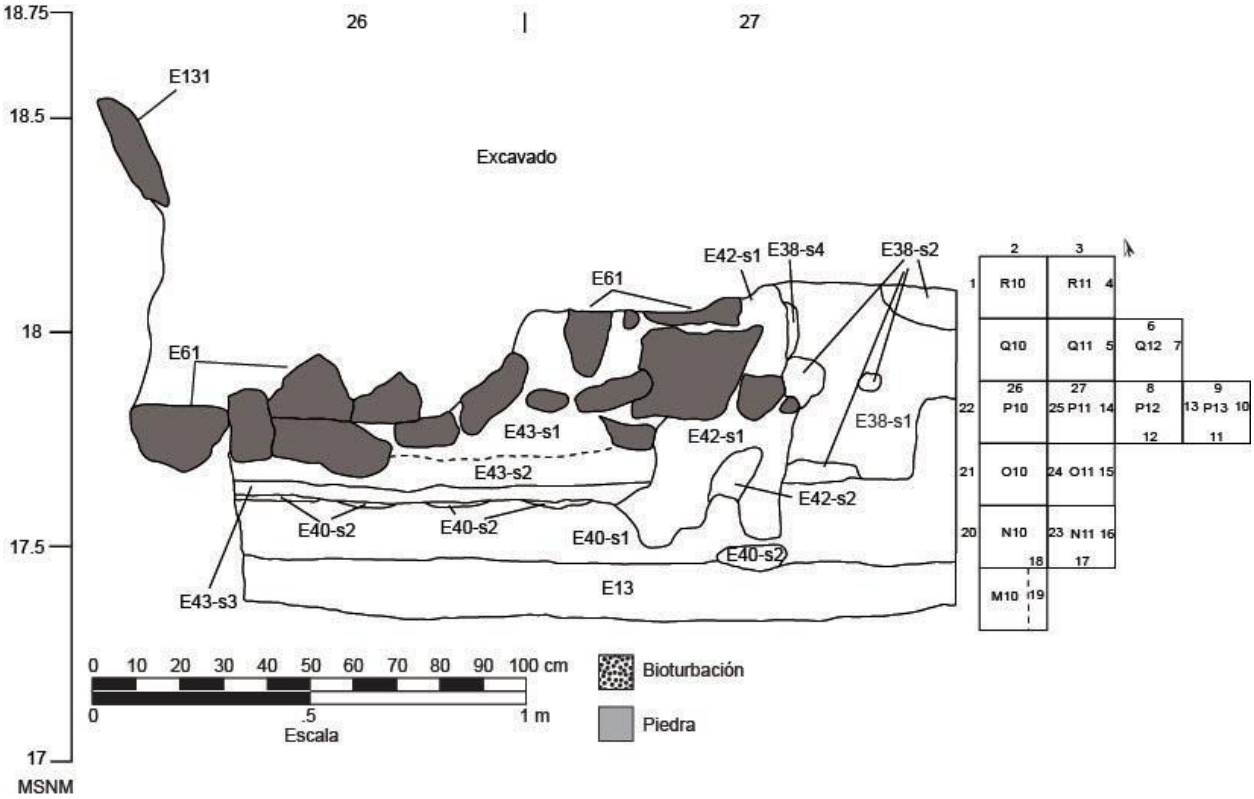



**Figura 2.21 Perfiles de las unidades (sección norte) P10, y P11.**

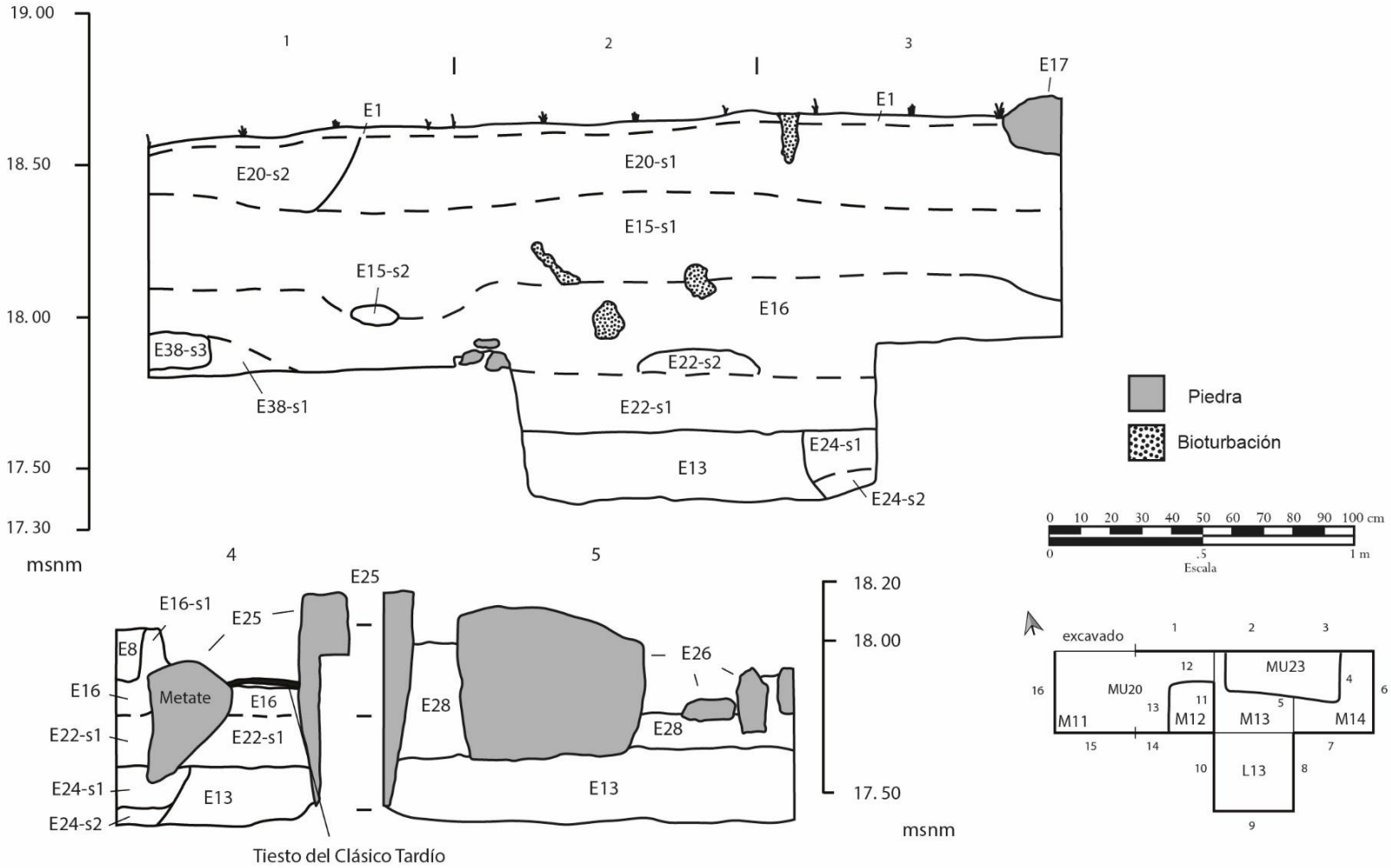



**Figura 2.22 Perfiles de las unidades M12, M13, M14 (sección norte); y MU23 adentro de M13 y M14 (sección este).**

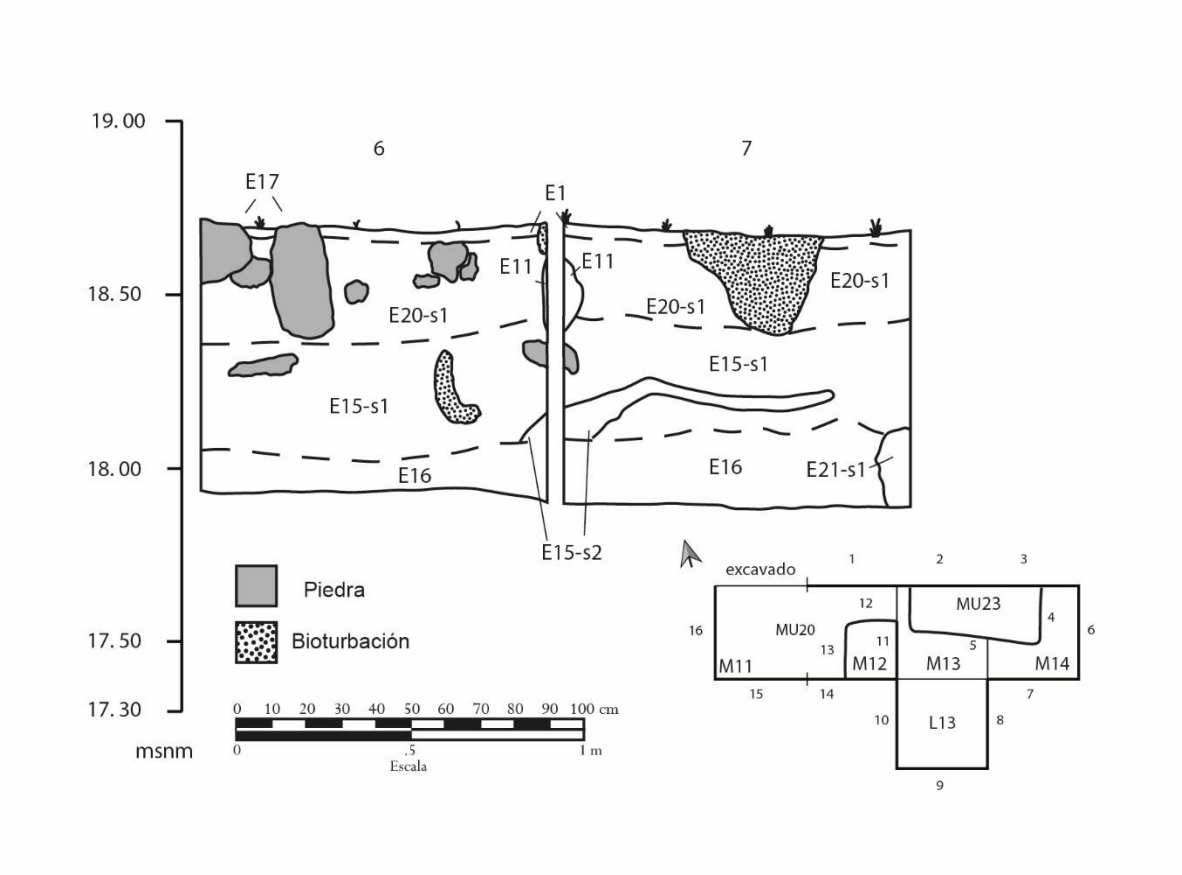



**Figura 2.23 Perfiles de la unidad M14 (sección este y sur).**

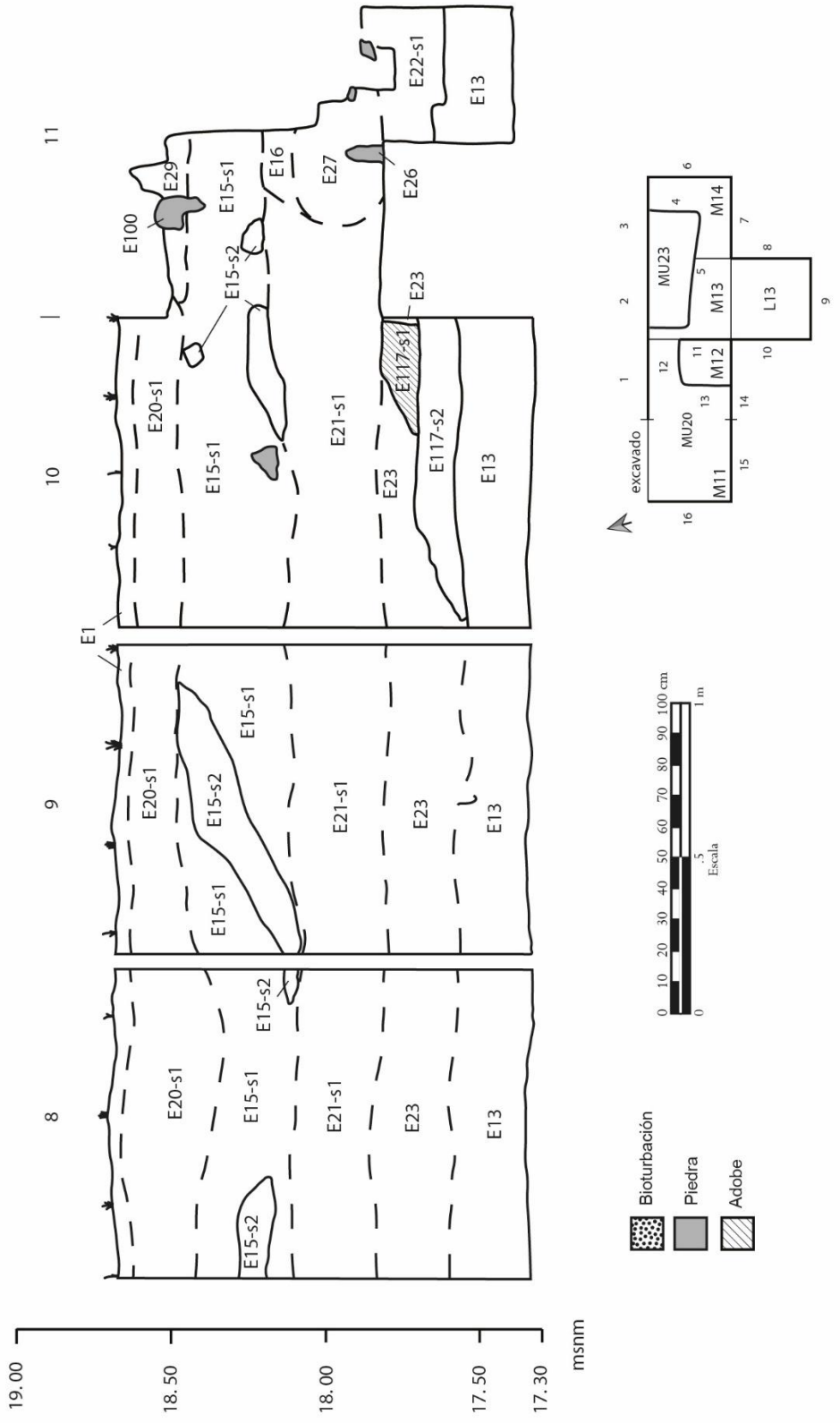



**Figura 2.24 Perfiles de la unidad L13 y M13 (sección oeste).**

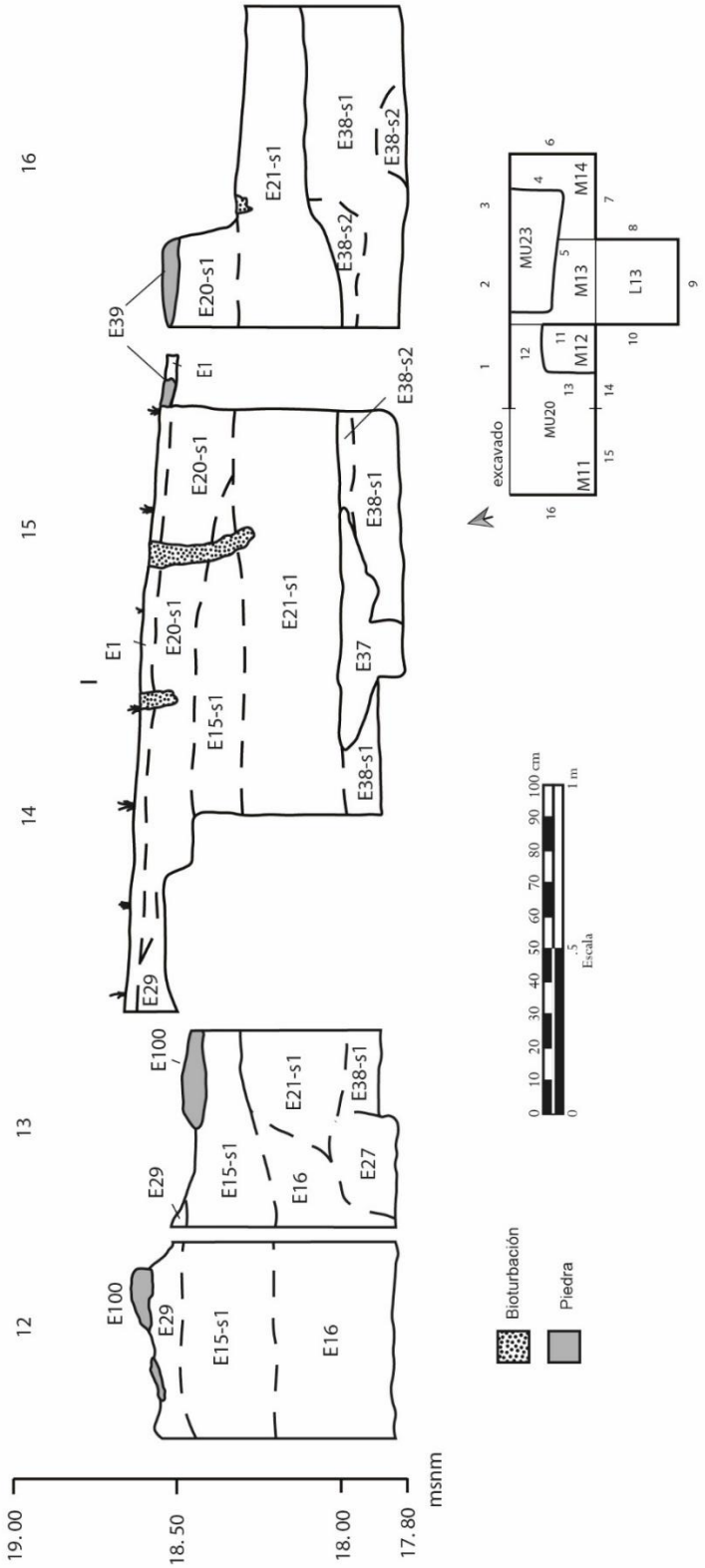



**Figura 2.25 Perfiles de las unidades M11 y M12 (MU20)**

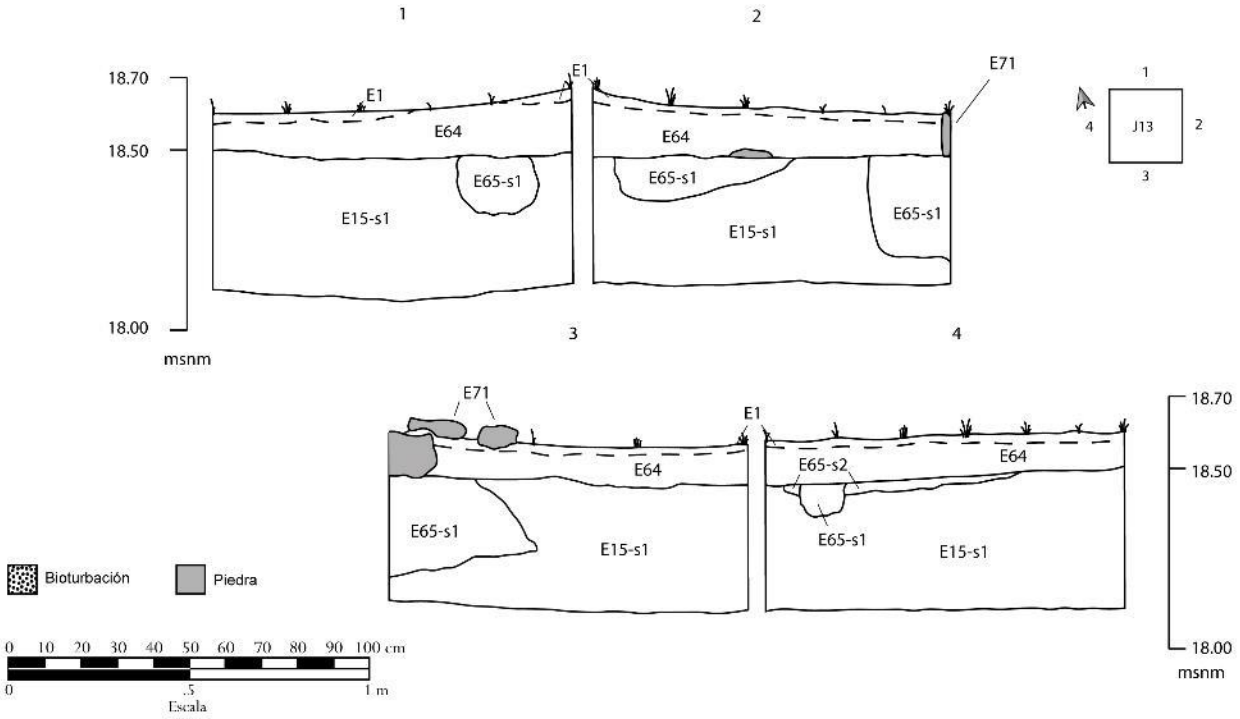



**Figura 2.26 Perfiles de la unidad J13.**

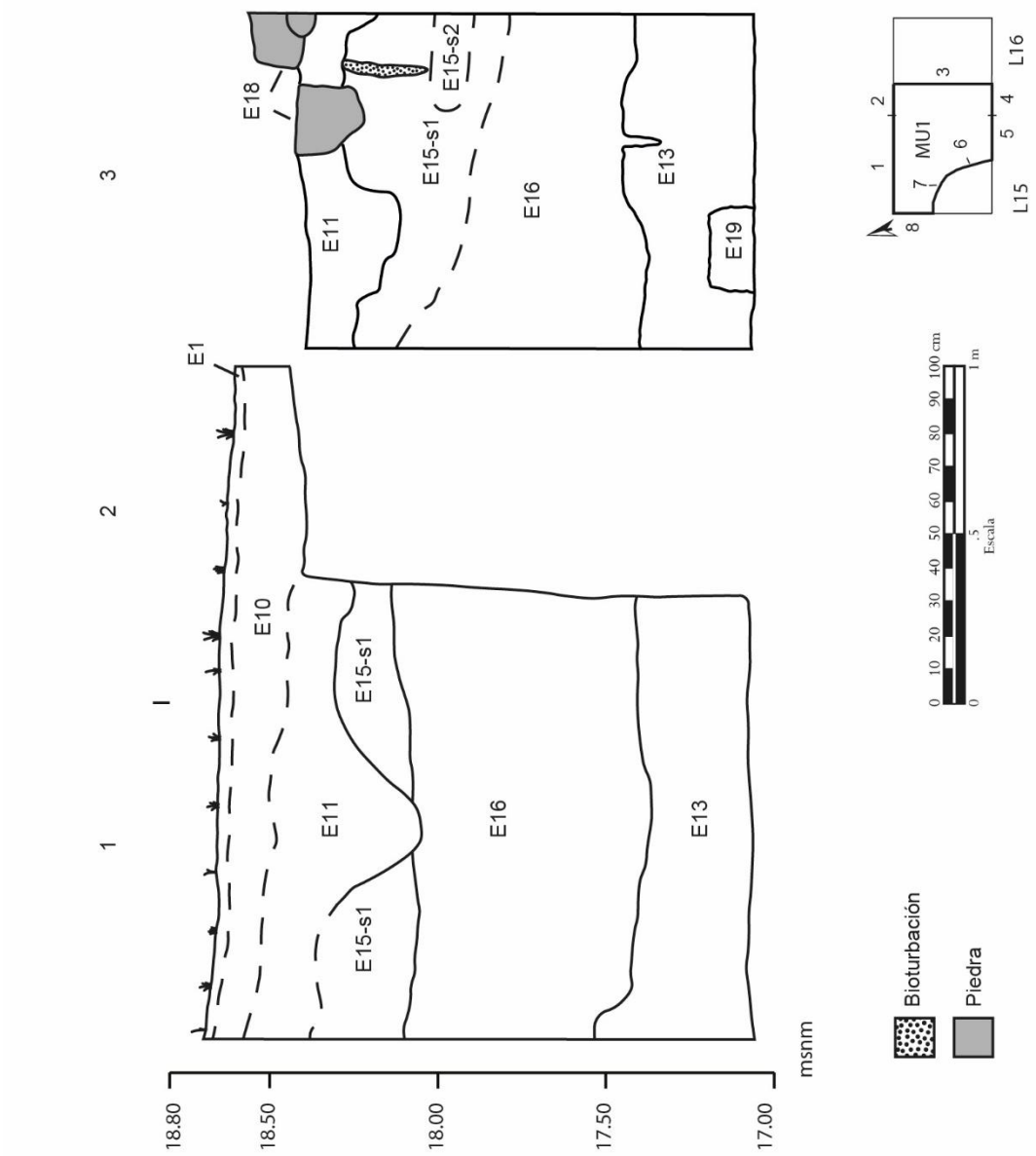



**Figura 2.27 Perfiles de las unidades L15 y L16 (multi-unidad MU1, secciones norte y este).**

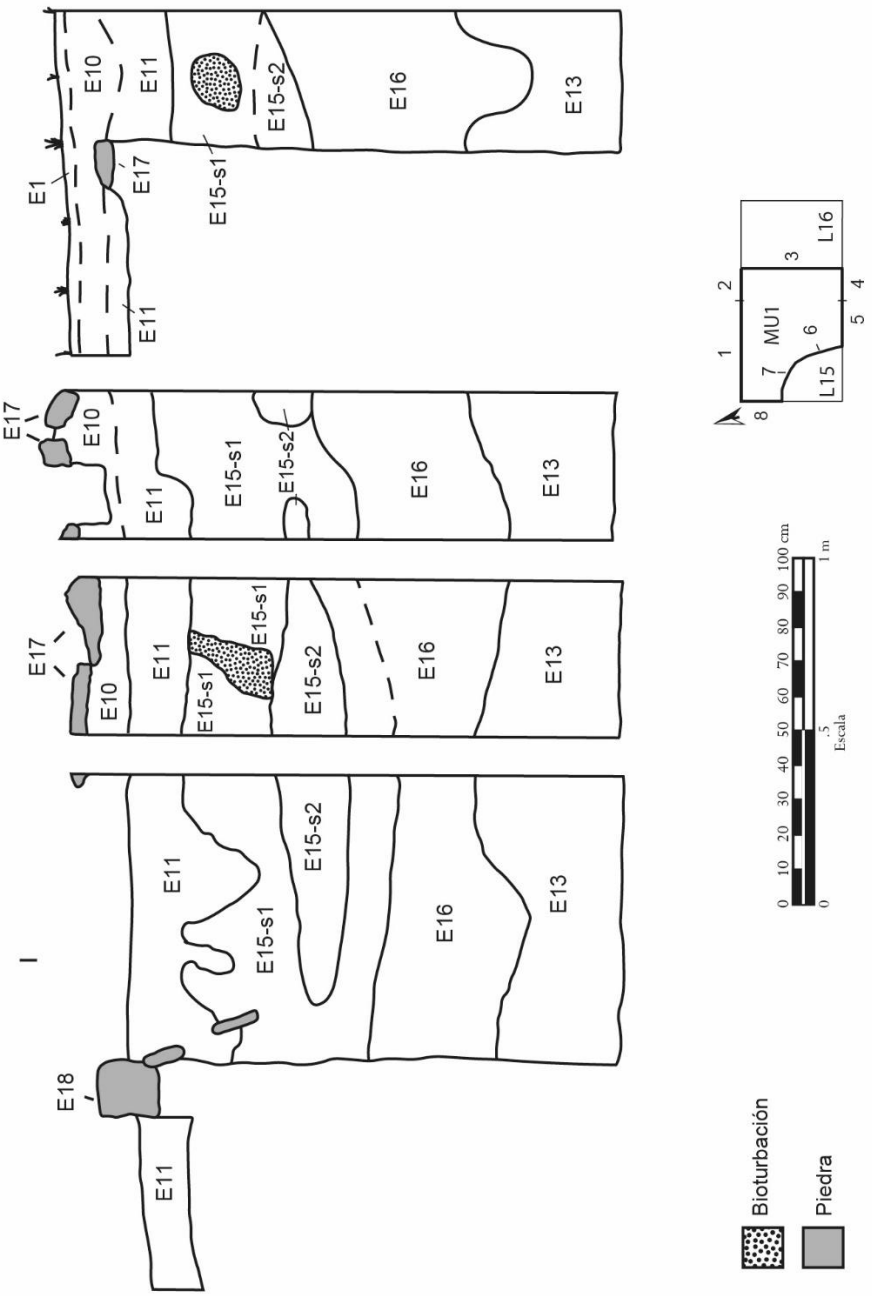



**Figura 2.28 Perfiles de las unidades L15 y L16 (secciones sur, oeste prima, sur prima, y oeste de la multi-unidad MU1).**

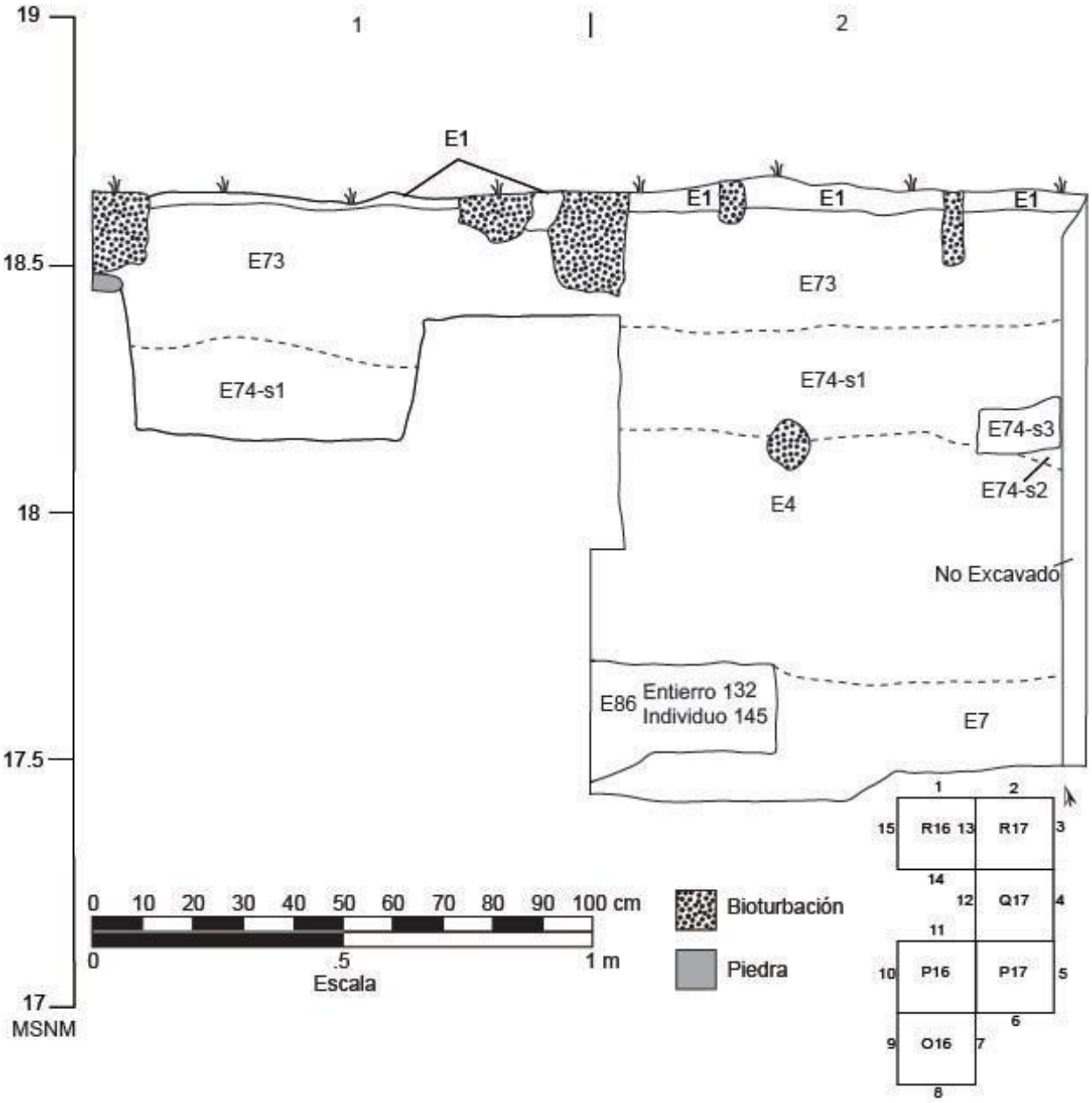



**Figura 2.29 Perfiles de las unidades R16 y R17 (sección norte).**

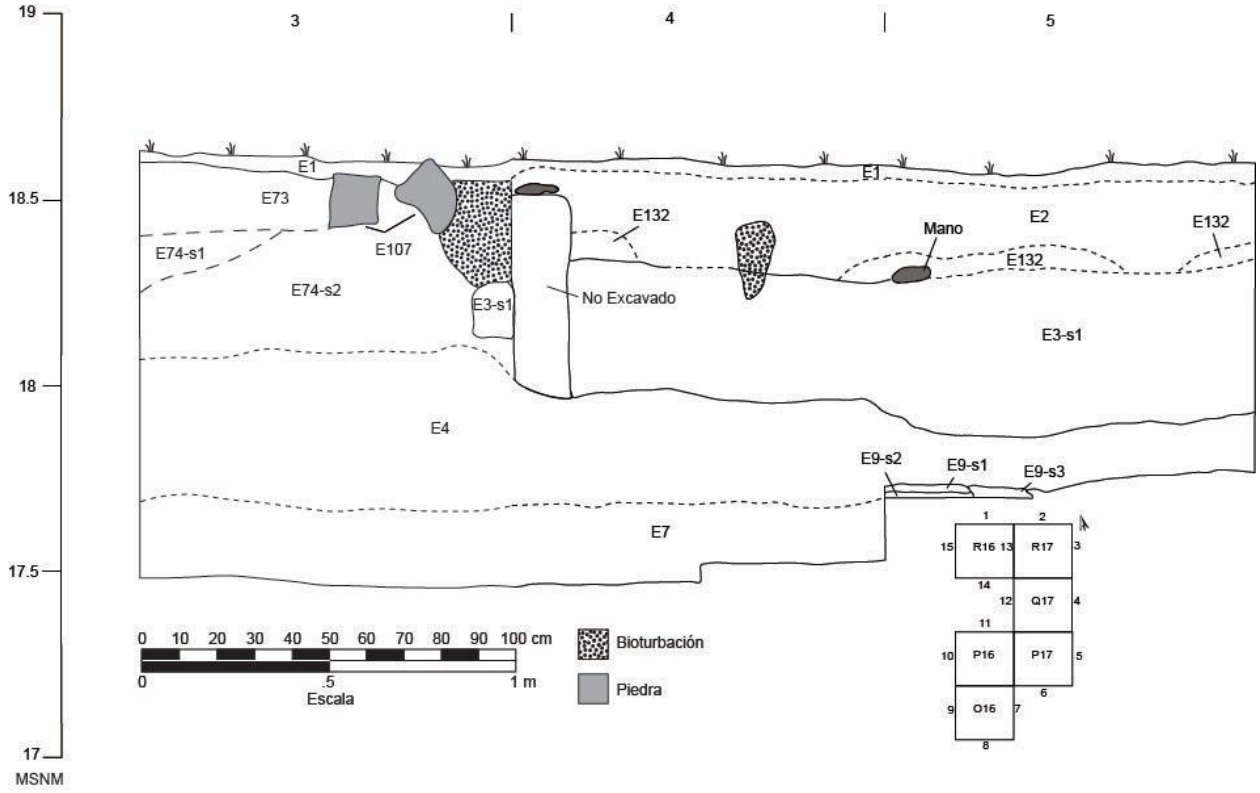



**Figura 2.30 Perfiles de las unidades R17, Q17, y P17 (sección este).**

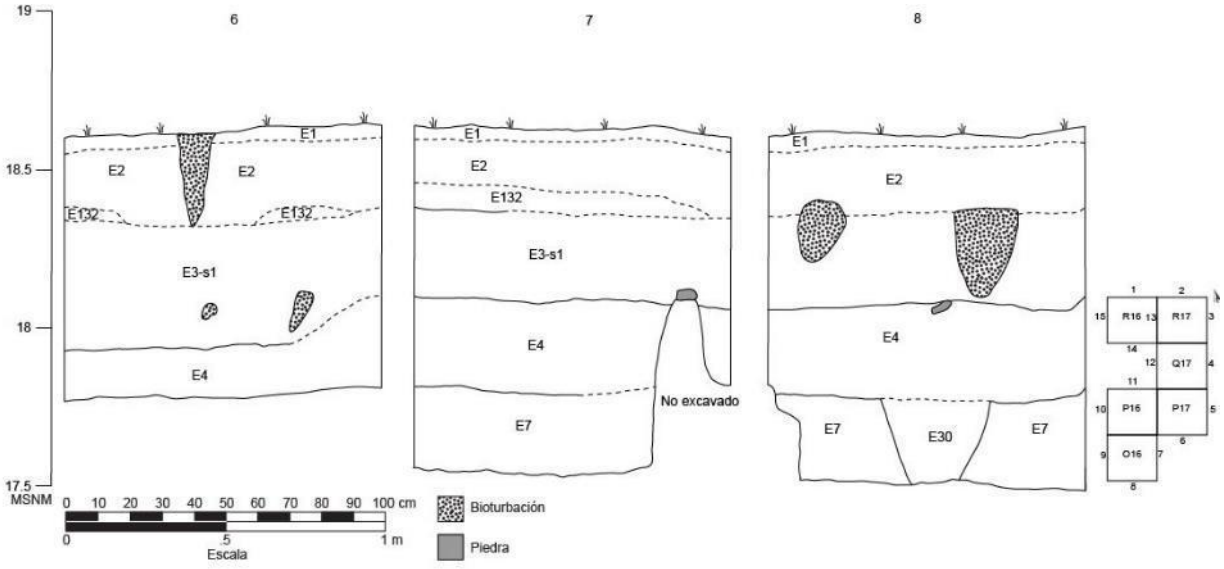



**Figura 2.31 Perfiles de las unidades P17, y O16.**

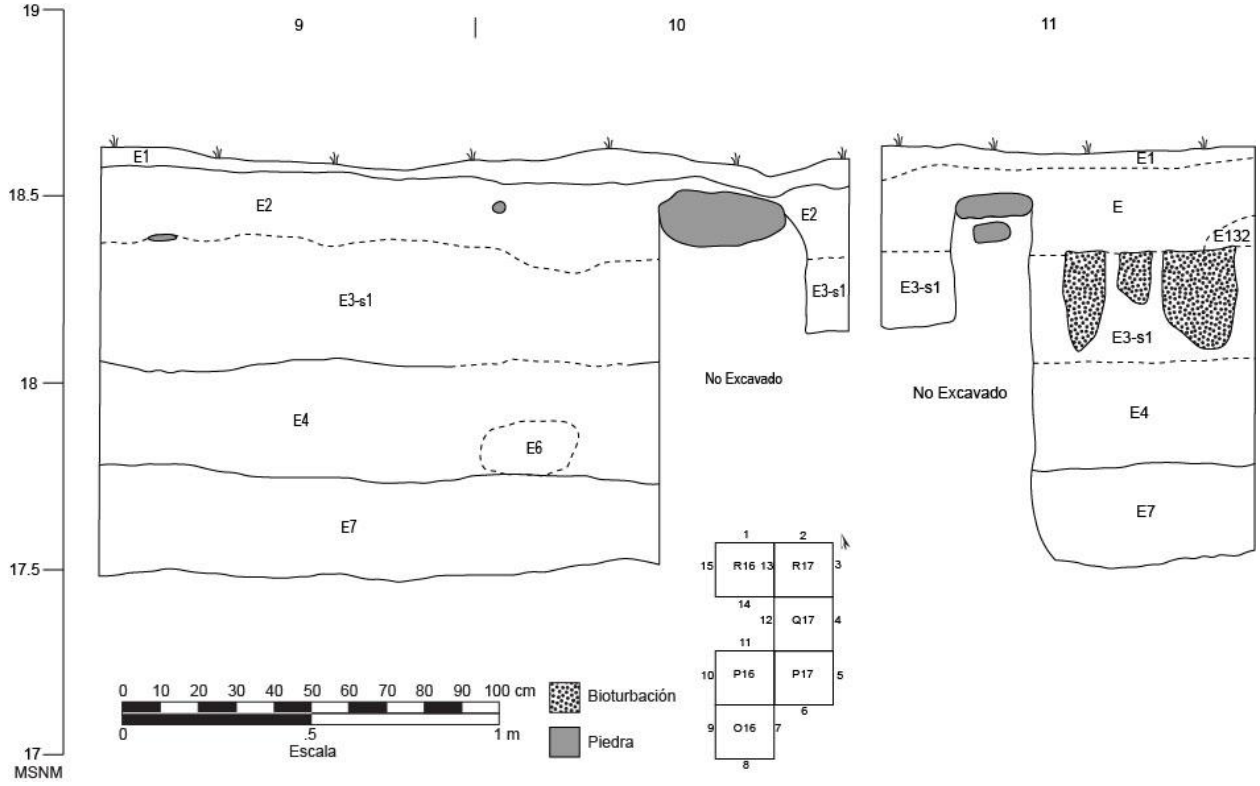



**Figura 2.32 Perfiles de las unidades O16, y P16.**

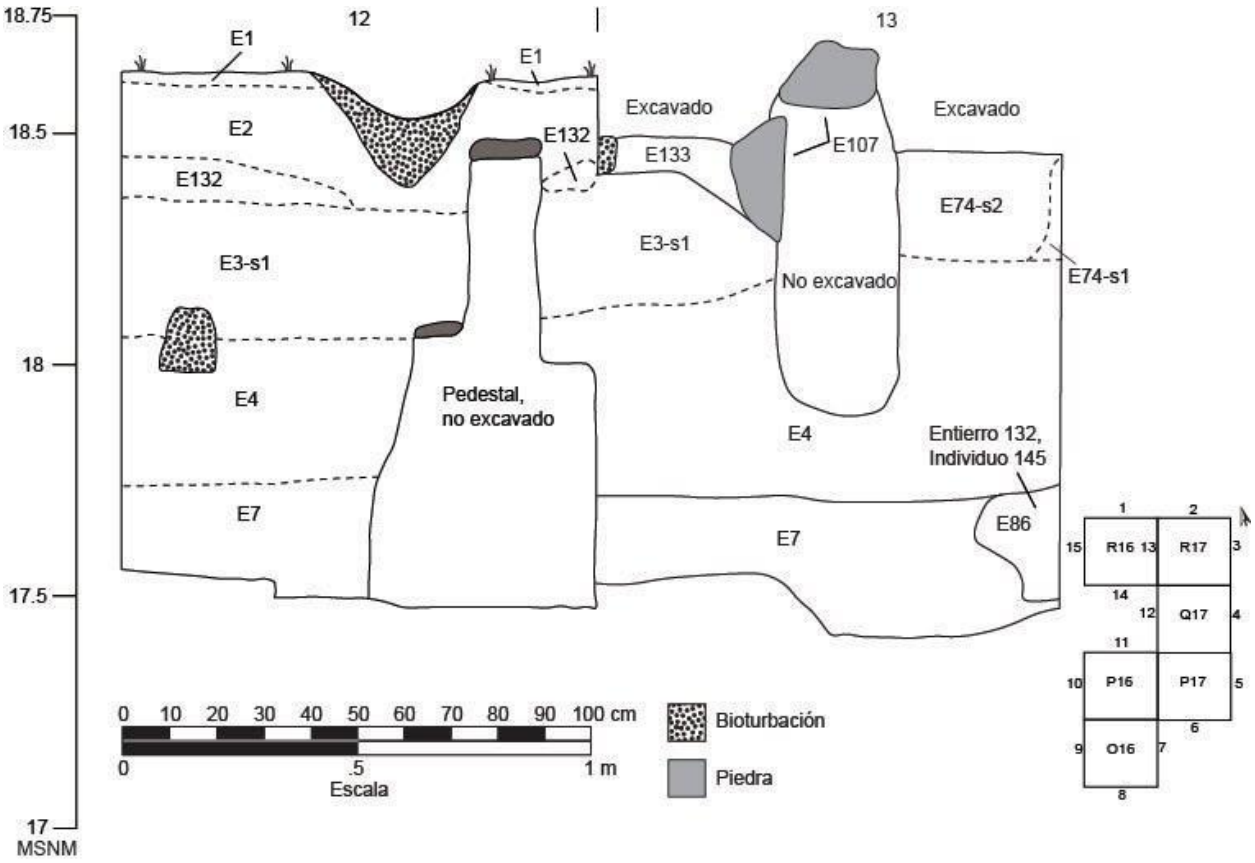



**Figura 2.33 Perfiles de las unidades Q17, y R17 (sección oeste).**

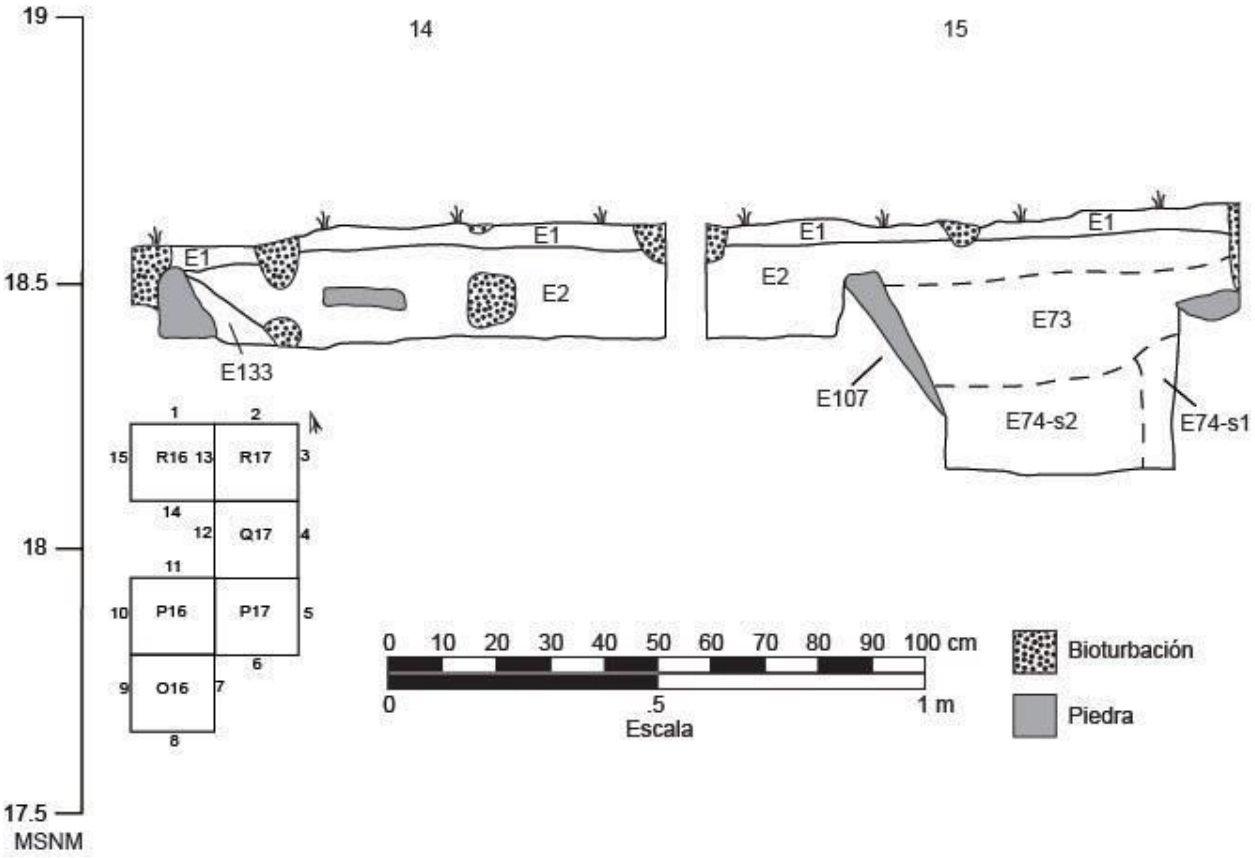



**Figura 2.34 Perfiles de la unidad R16.**

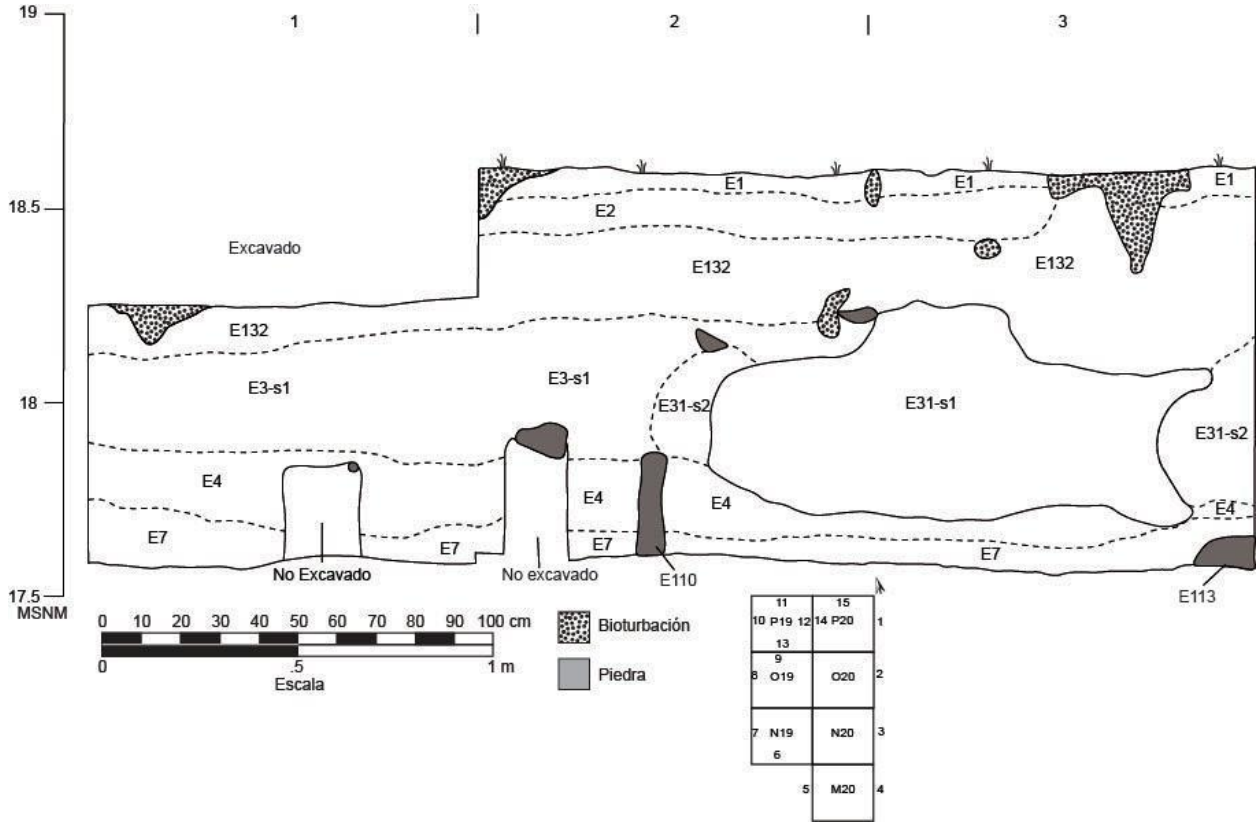



**Figura 2.35 Perfiles de las unidades P20, O20, y N20 (sección este).**

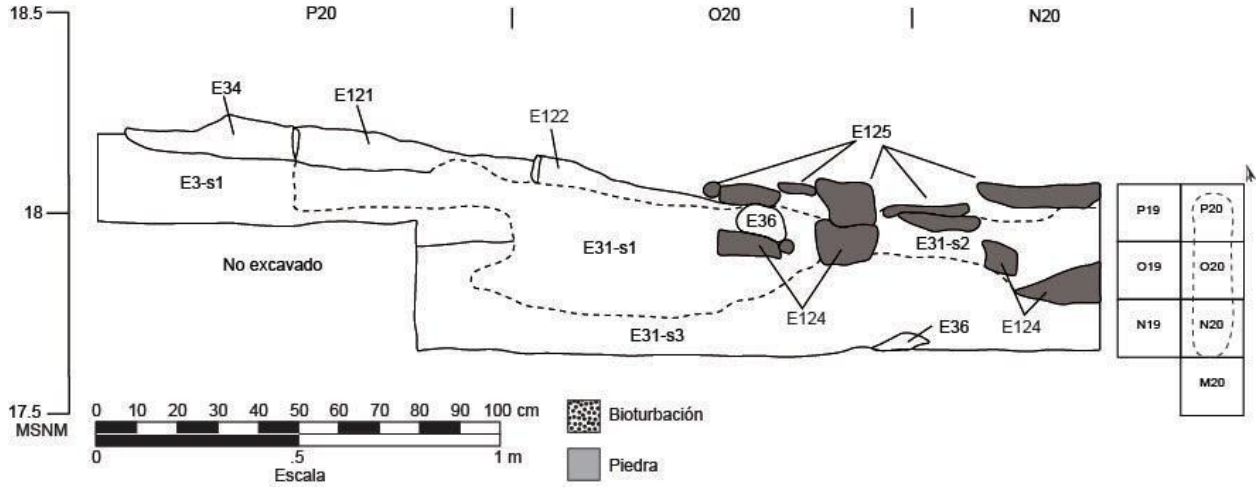



**Figura 2.36 Perfil 3D del drenaje de cerámica y su extensión de piedra: E34, E121, y E122. Unidades P20, O20, y N20 (sección este).**

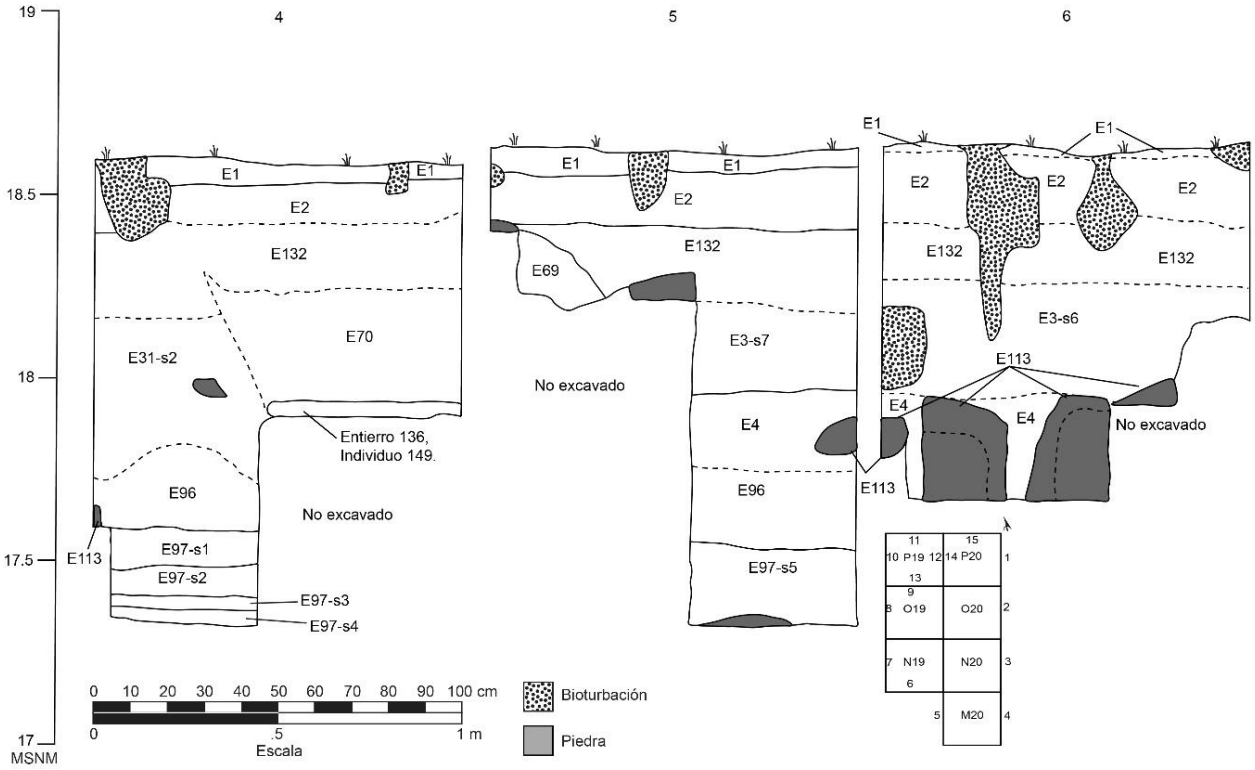



**Figura 2.37 Perfiles de las unidades M20, y N19.**

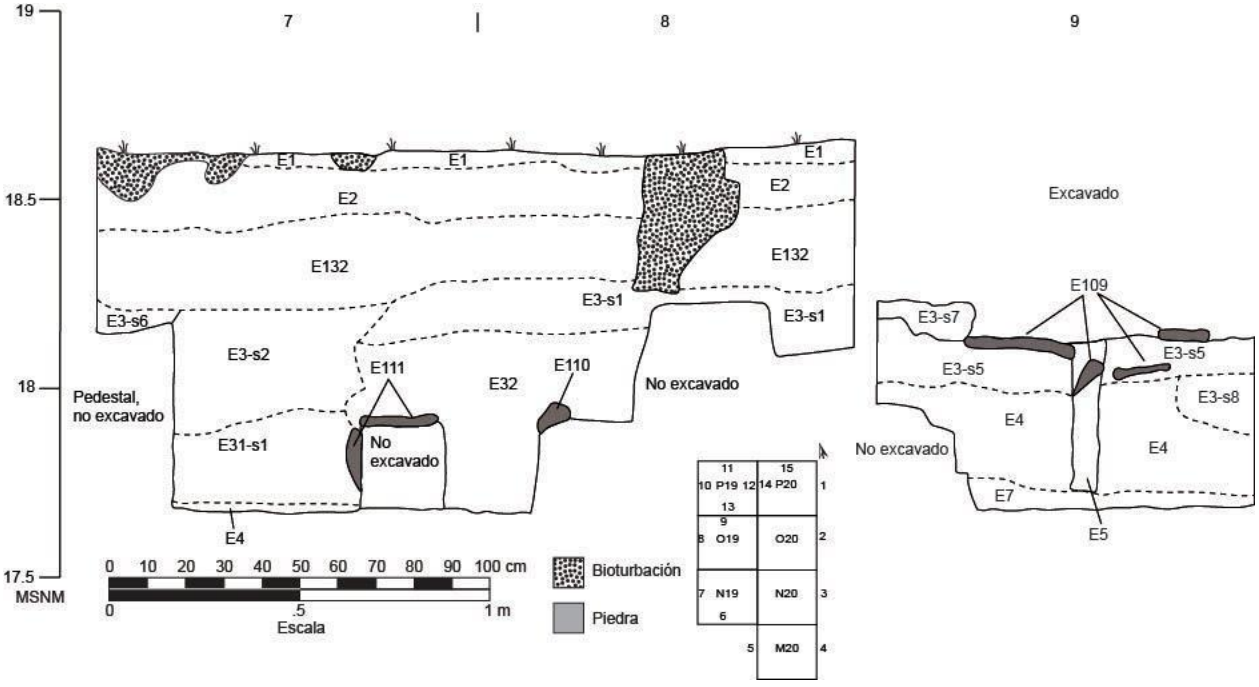



**Figura 2.38 Perfiles de las unidades N19, y O19.**

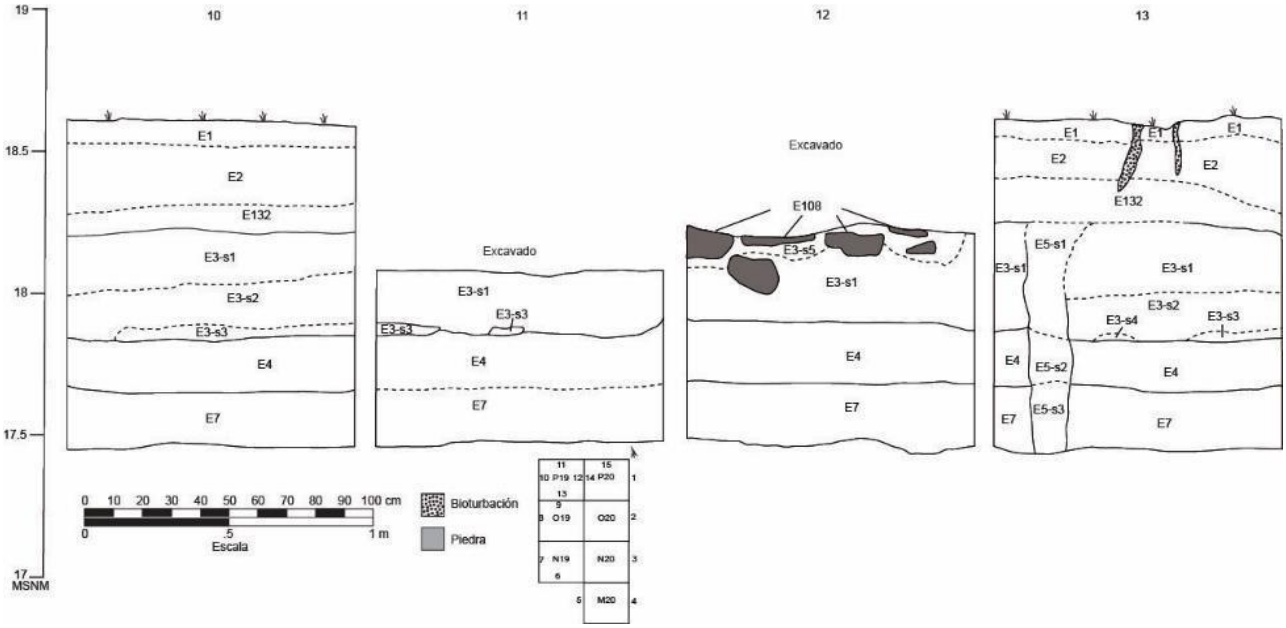



**Figura 2.39 Perfiles de la unidad P19.**

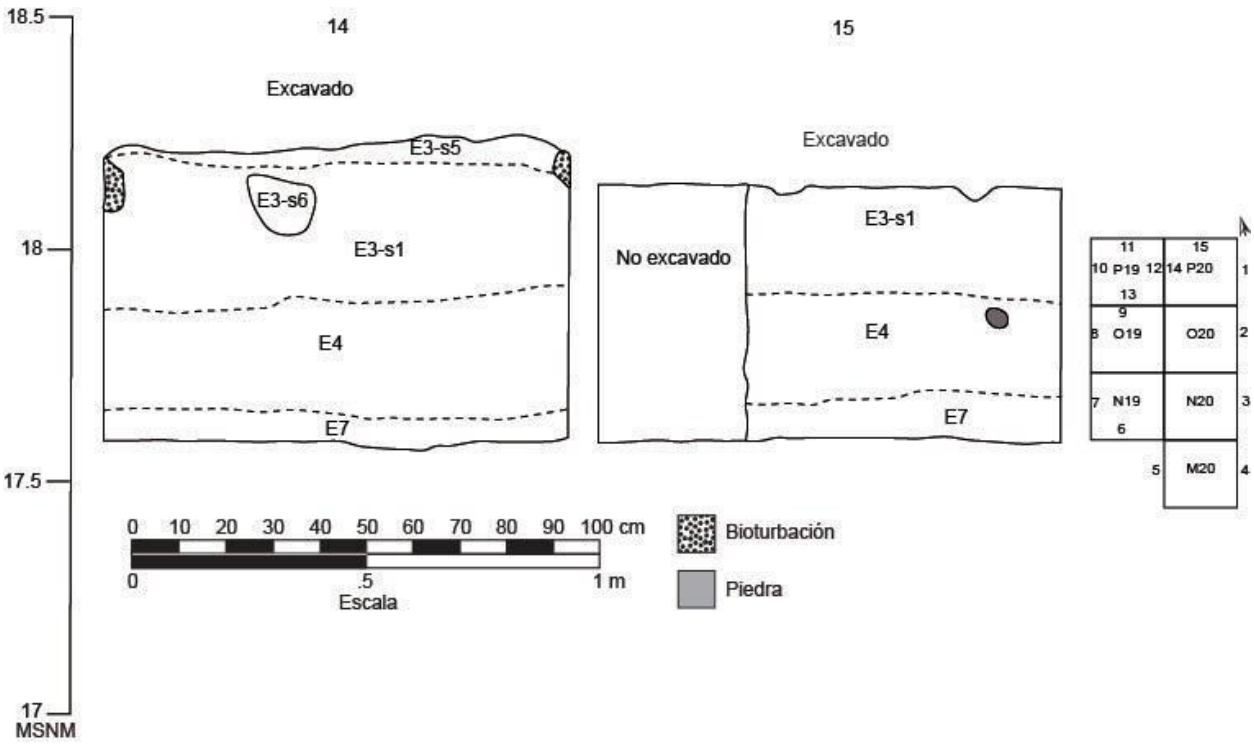



**Figura 2.40 Perfiles de la unidad P20 (secciones oeste y norte).**

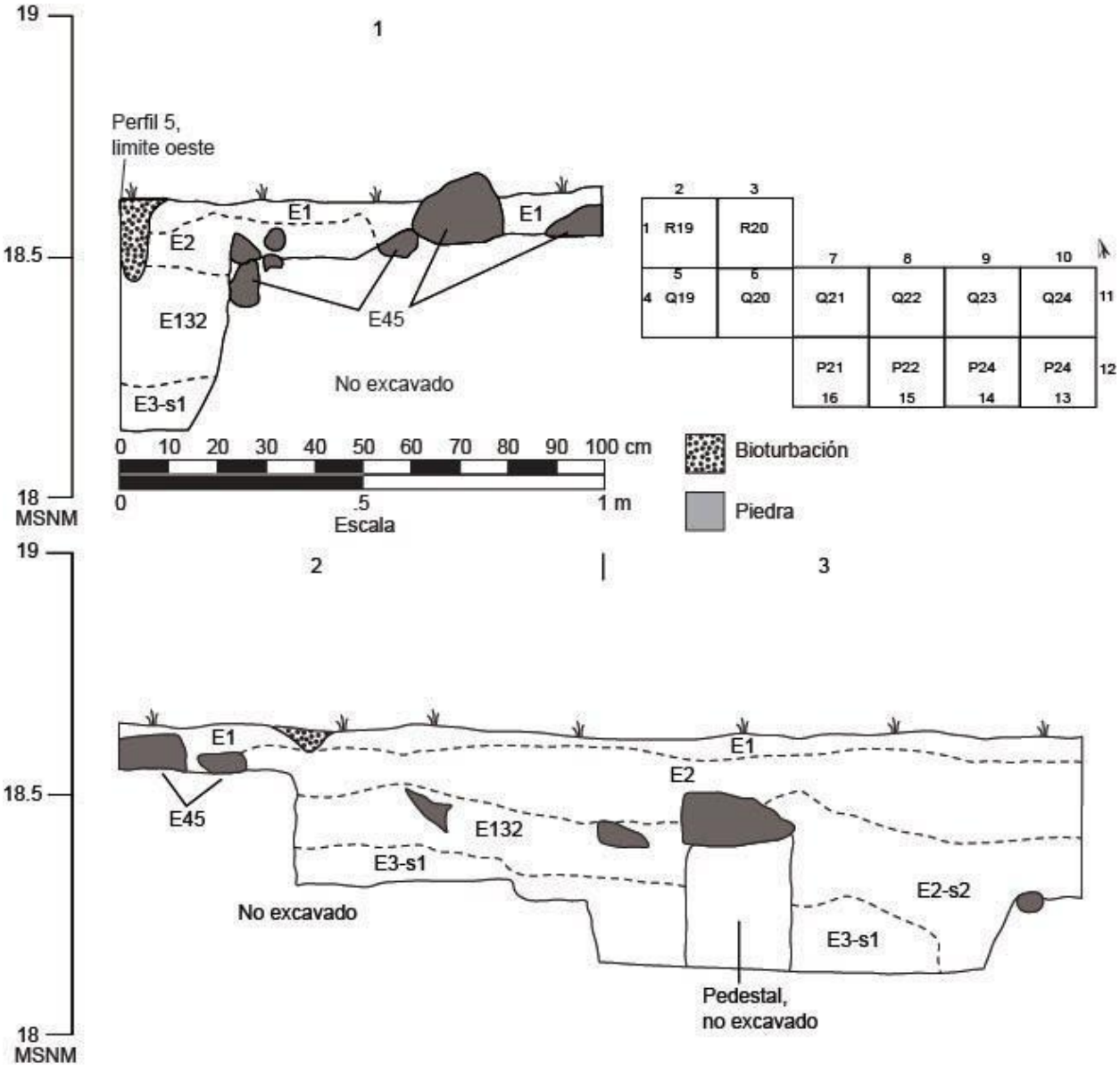



**Figura 2.41 Perfiles de las unidades R19, y R20.**

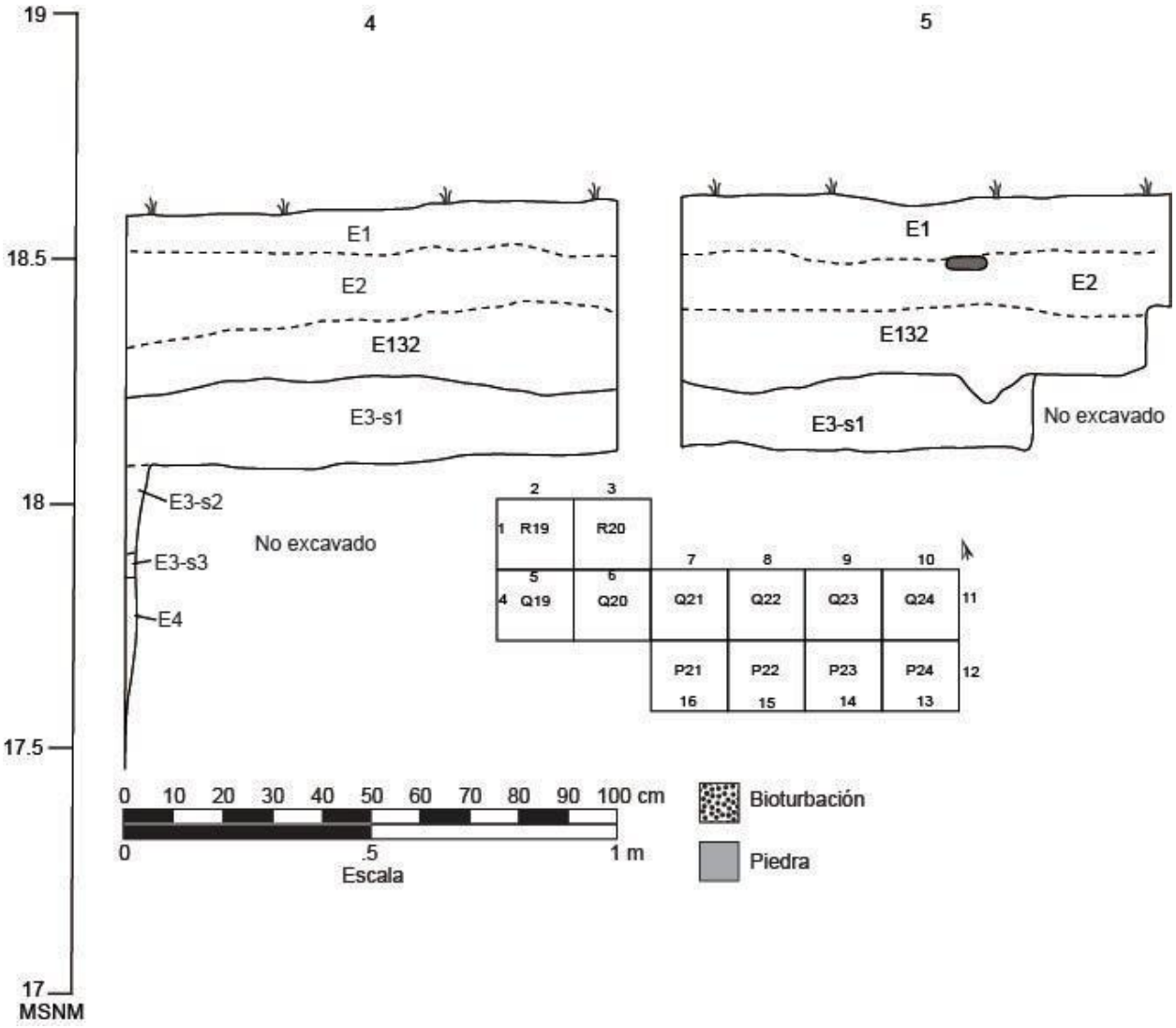



**Figura 2.42 Perfiles de la unidad Q19.**

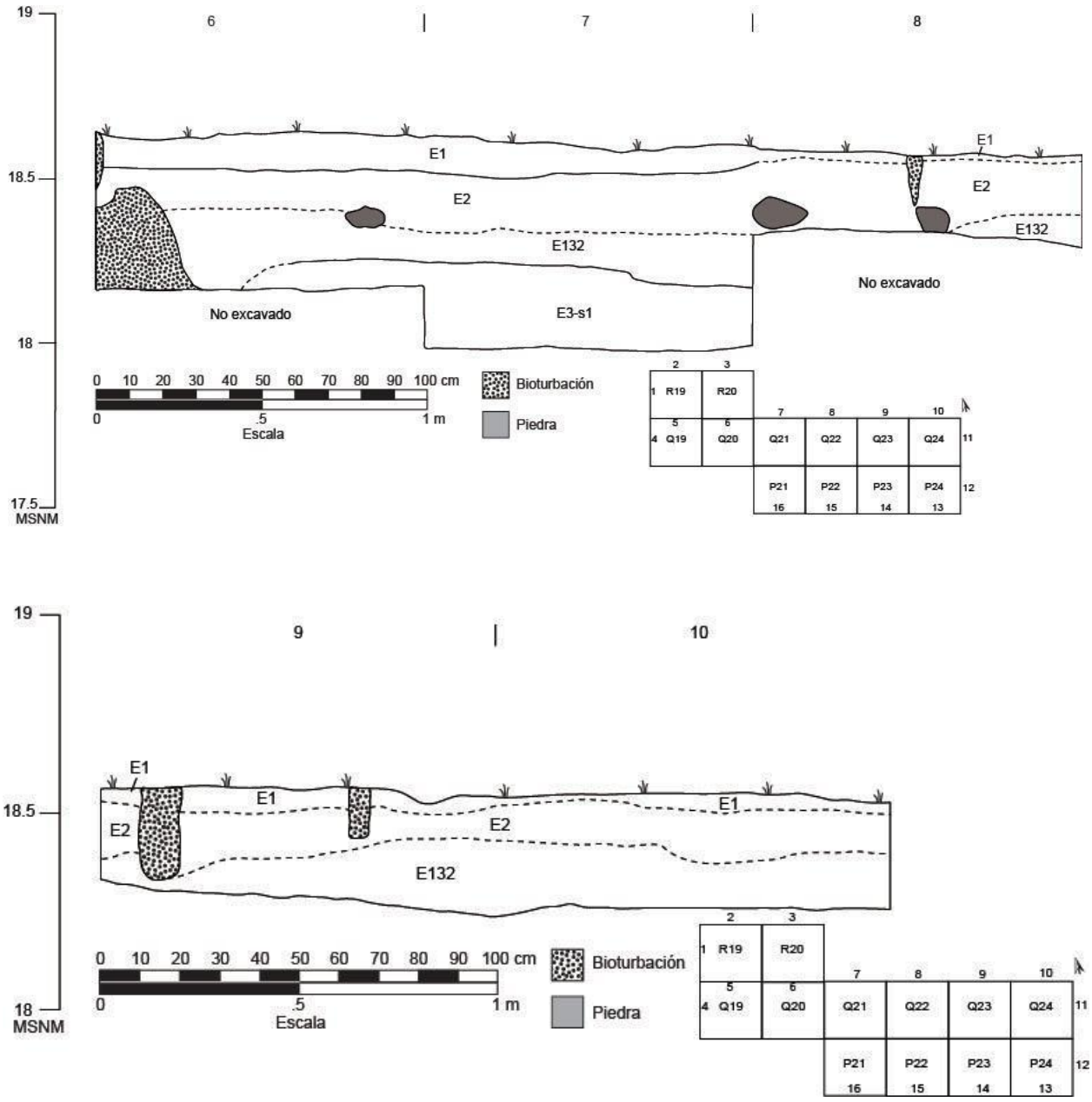



**Figura 2.43 Perfiles norte de las unidades Q20, Q21, Q23, Q24.**

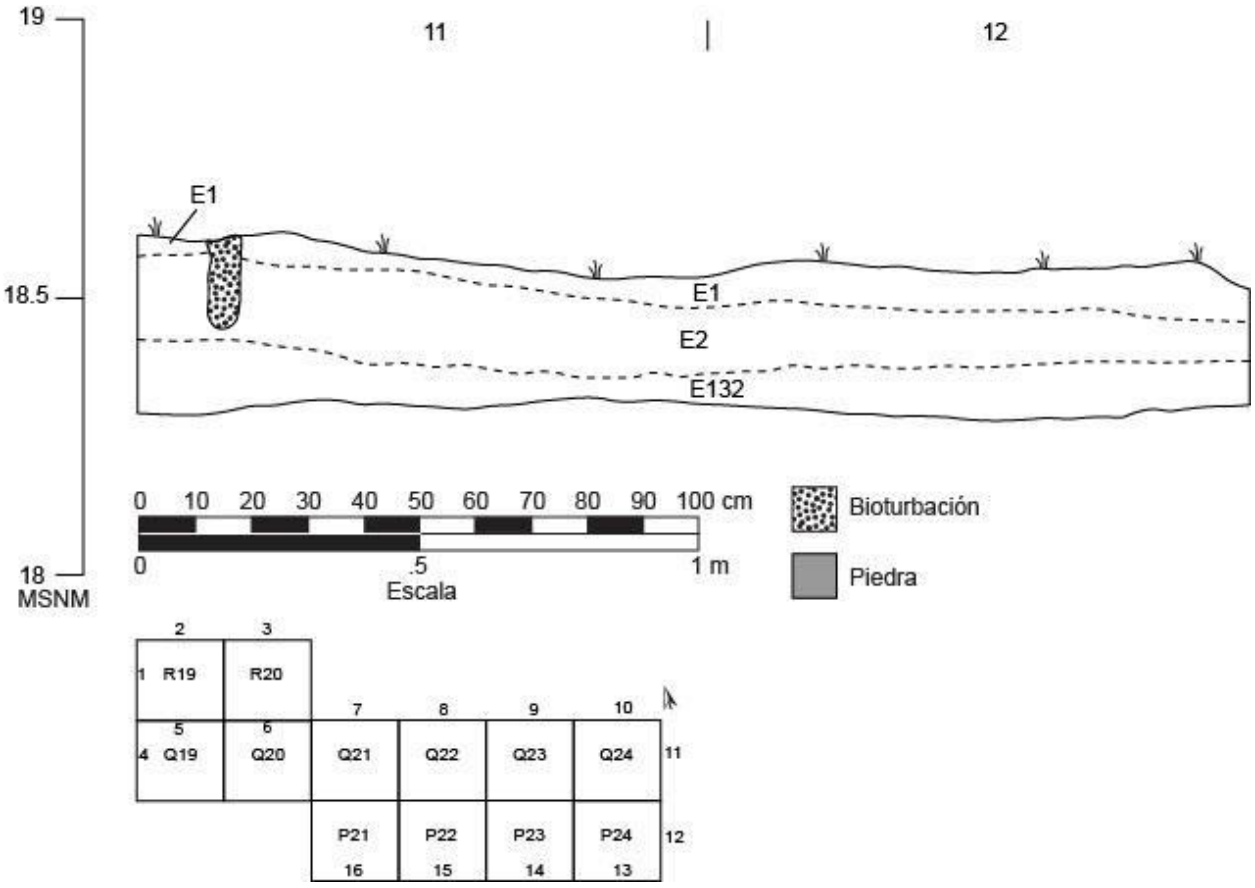



**Figura 2.44 Perfiles de las unidades Q24, y P24 (sección este).**

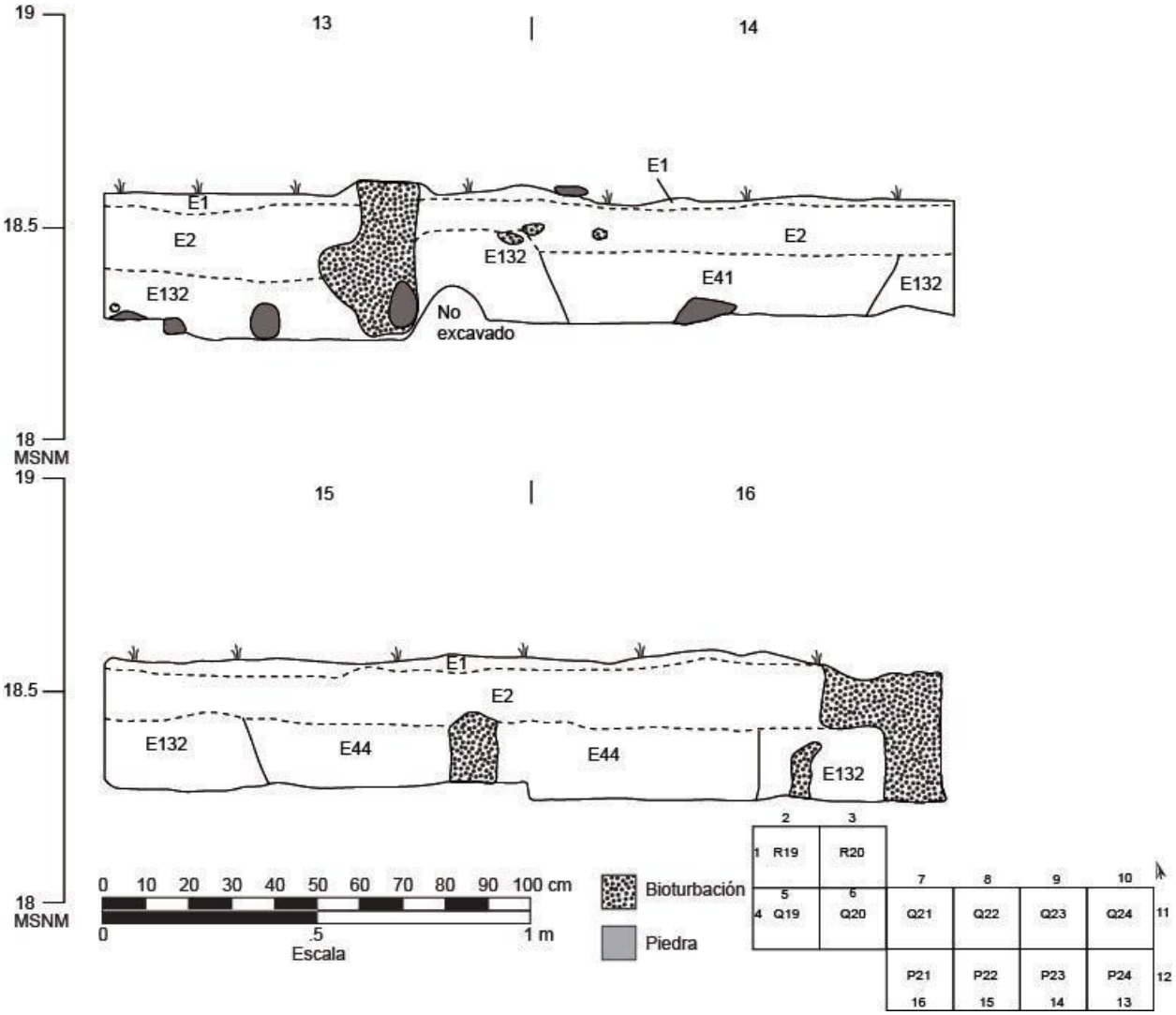



**Figura 2.45 Perfiles de las unidades P24, P23, P22, y P21 (sección sur).**

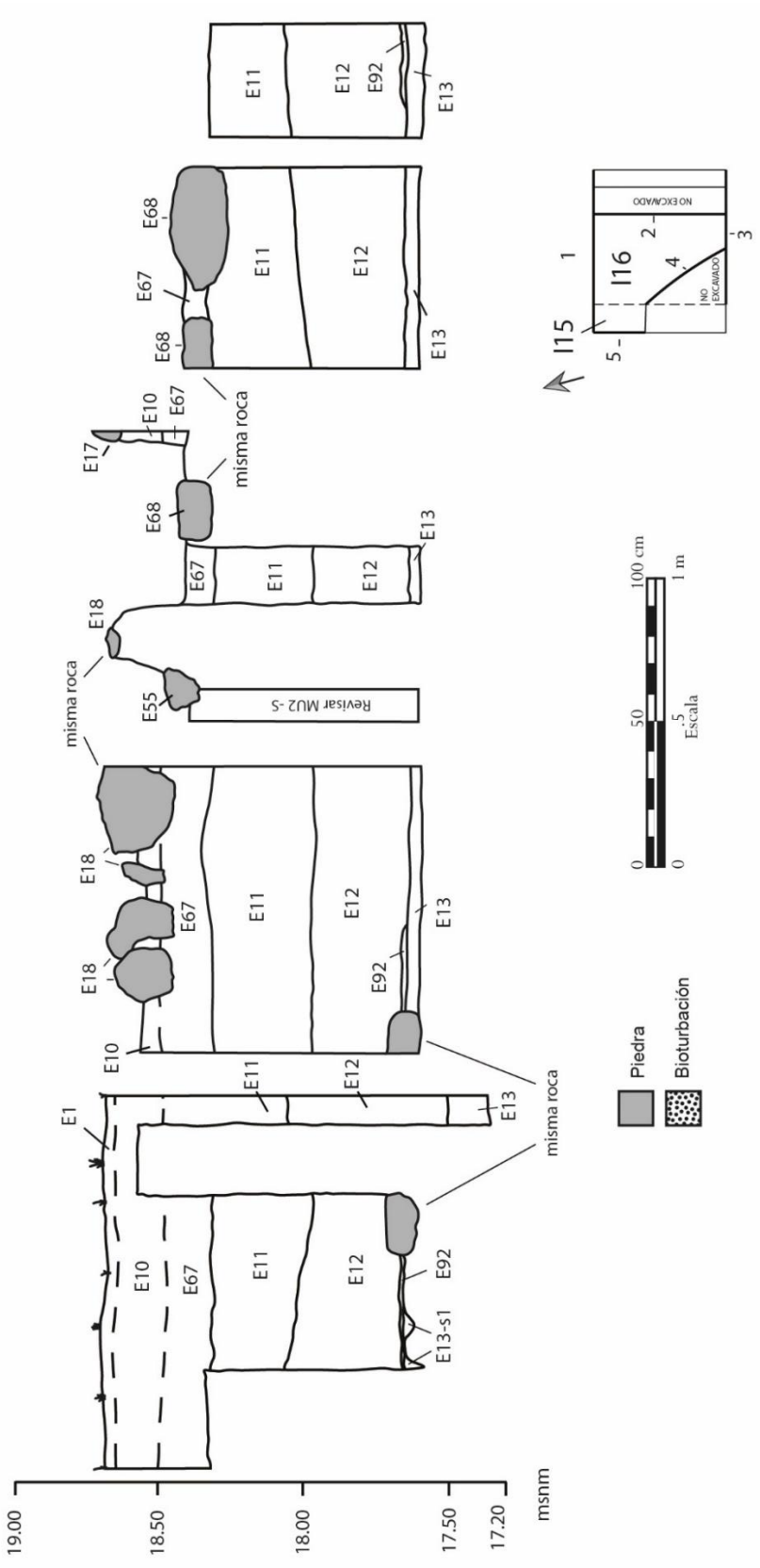



**Figura 2.46 Perfiles de las unidades I15 y I16.**

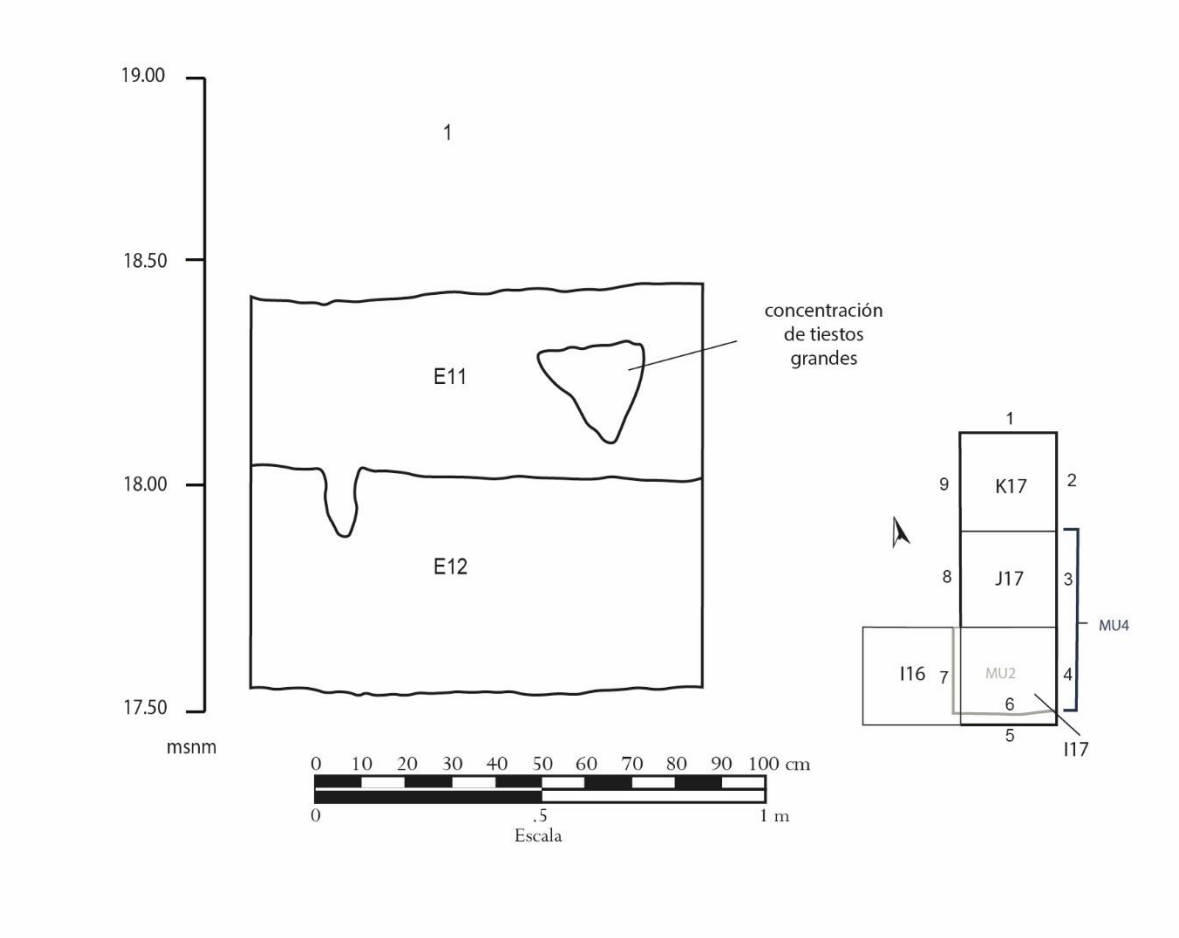



**Figura 2.47 Perfil norte de la unidad K17.**

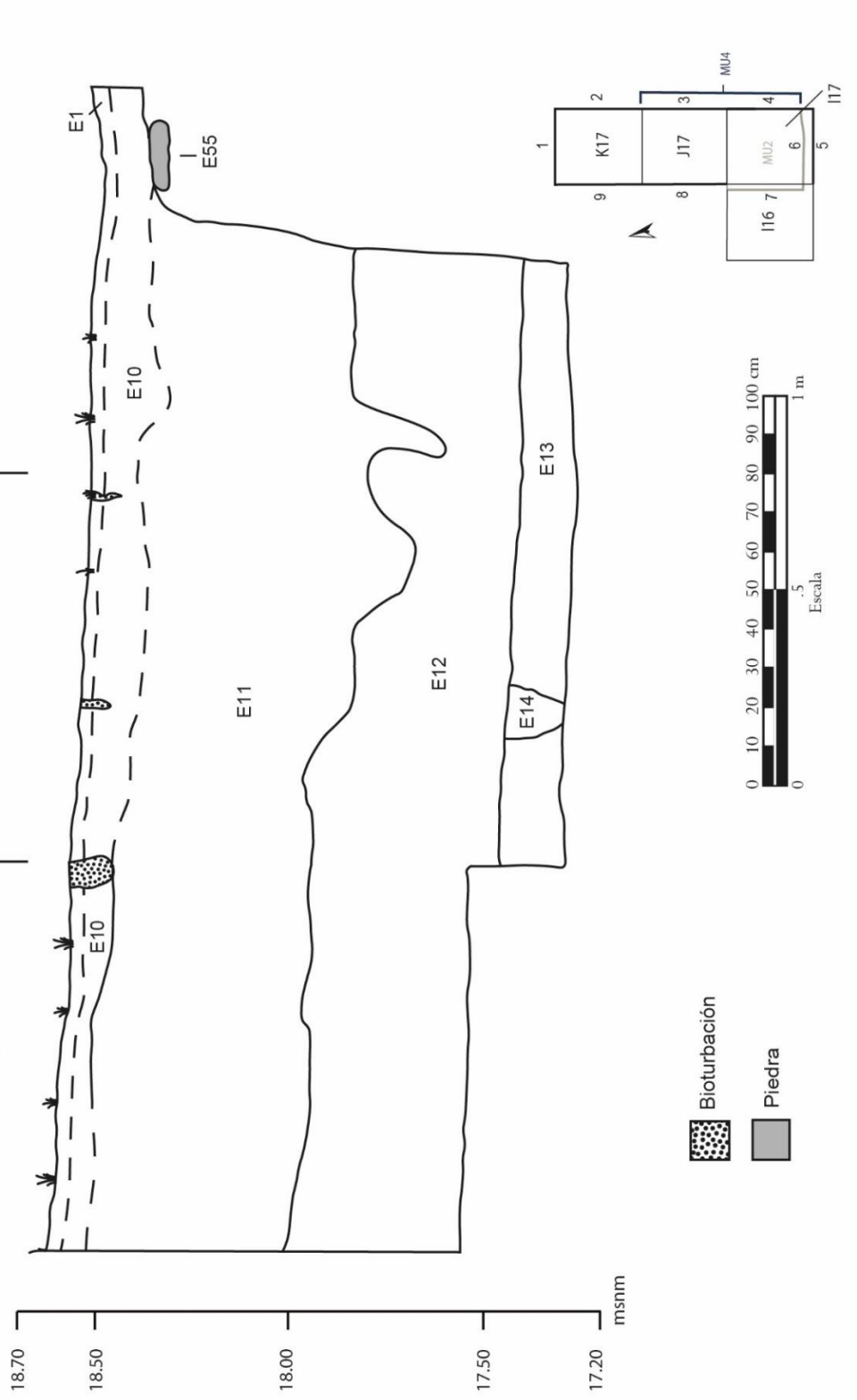



**Figura 2.48 Perfiles este de las unidades K17, J17, y I17.**

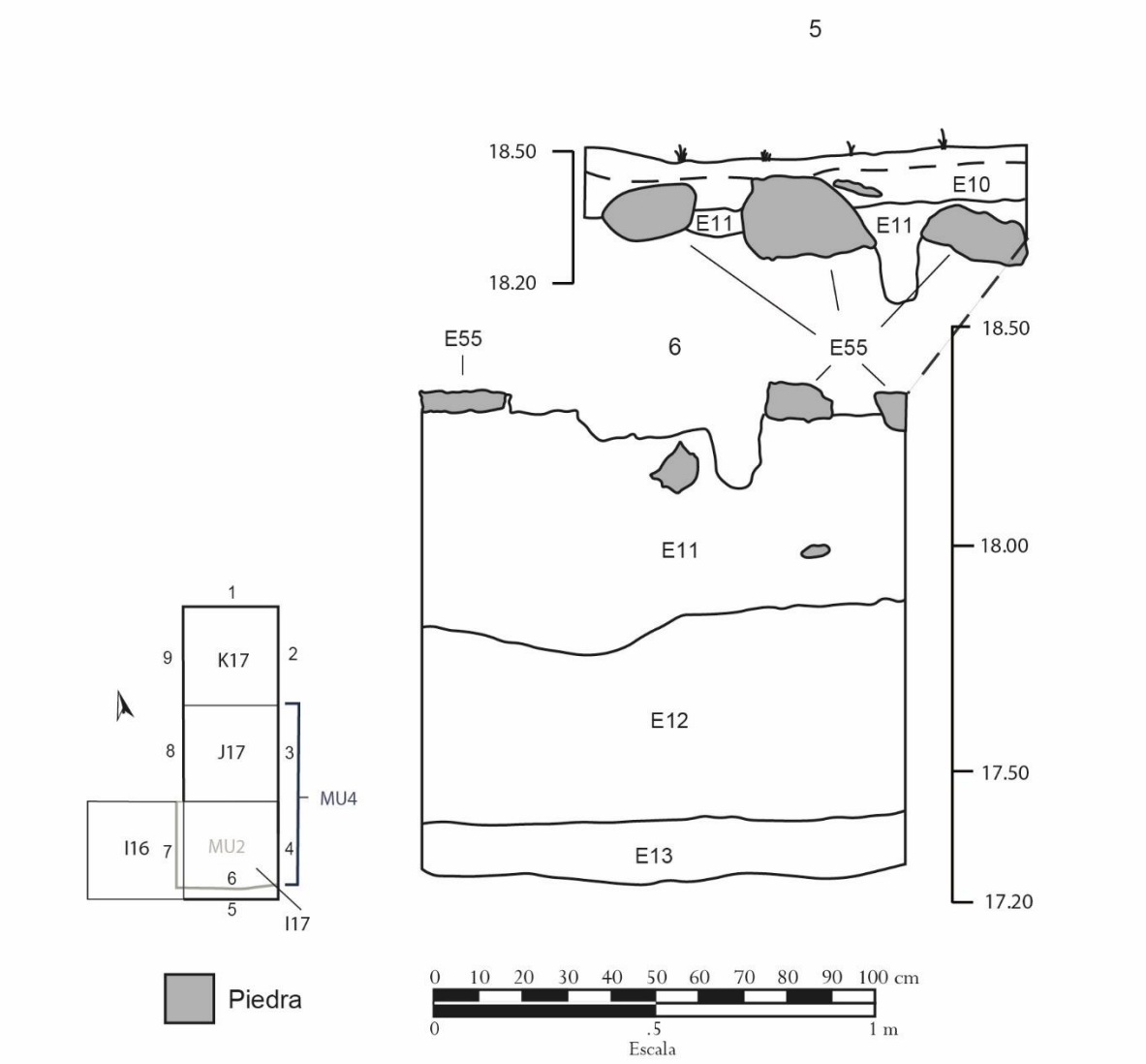



**Figura 2.49 Perfiles de la unidad I17 (secciones sur y sur prima).**

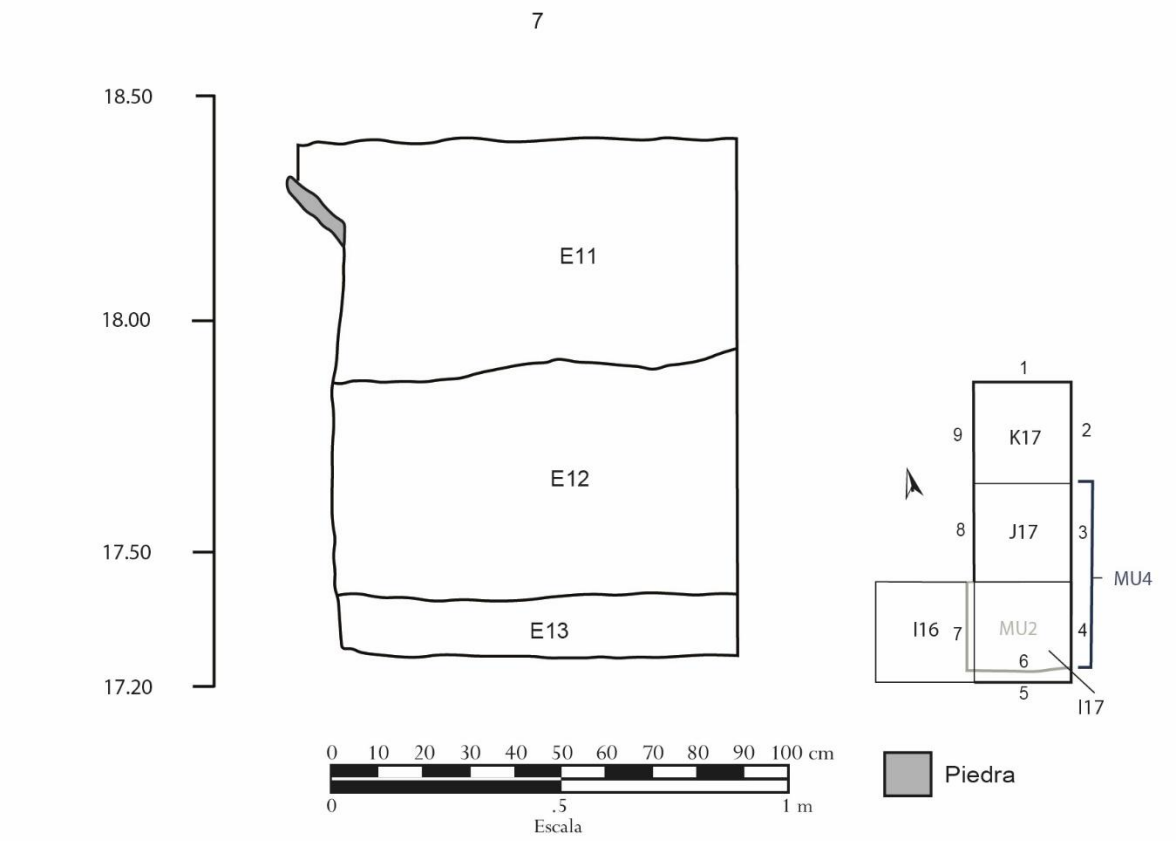



**Figura 2.50 Perfiles de la unidad I16, y I17 (sección oeste de la multi-unidad MU2).**

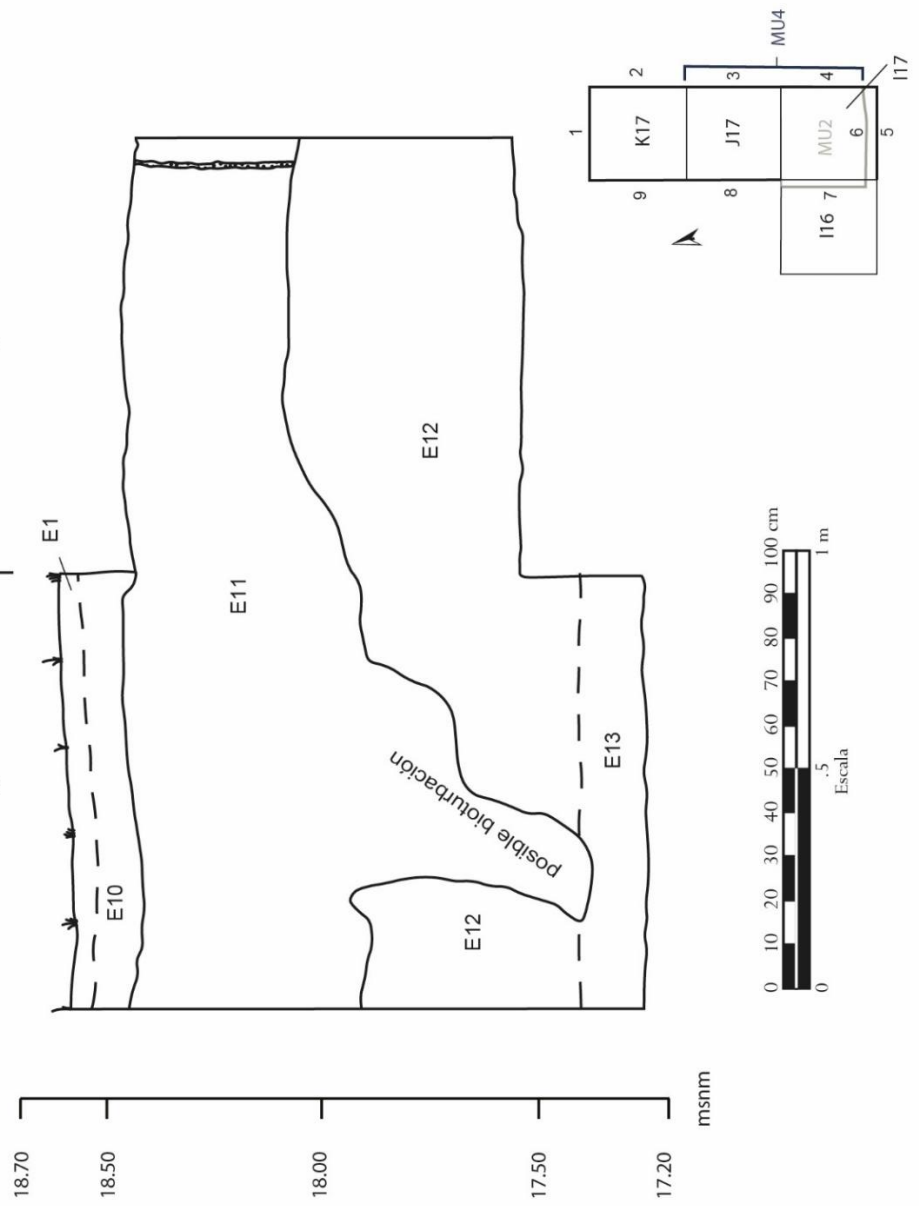



**Figura 2.51 Perfiles de las unidades J17, y K17 (sección oeste).**

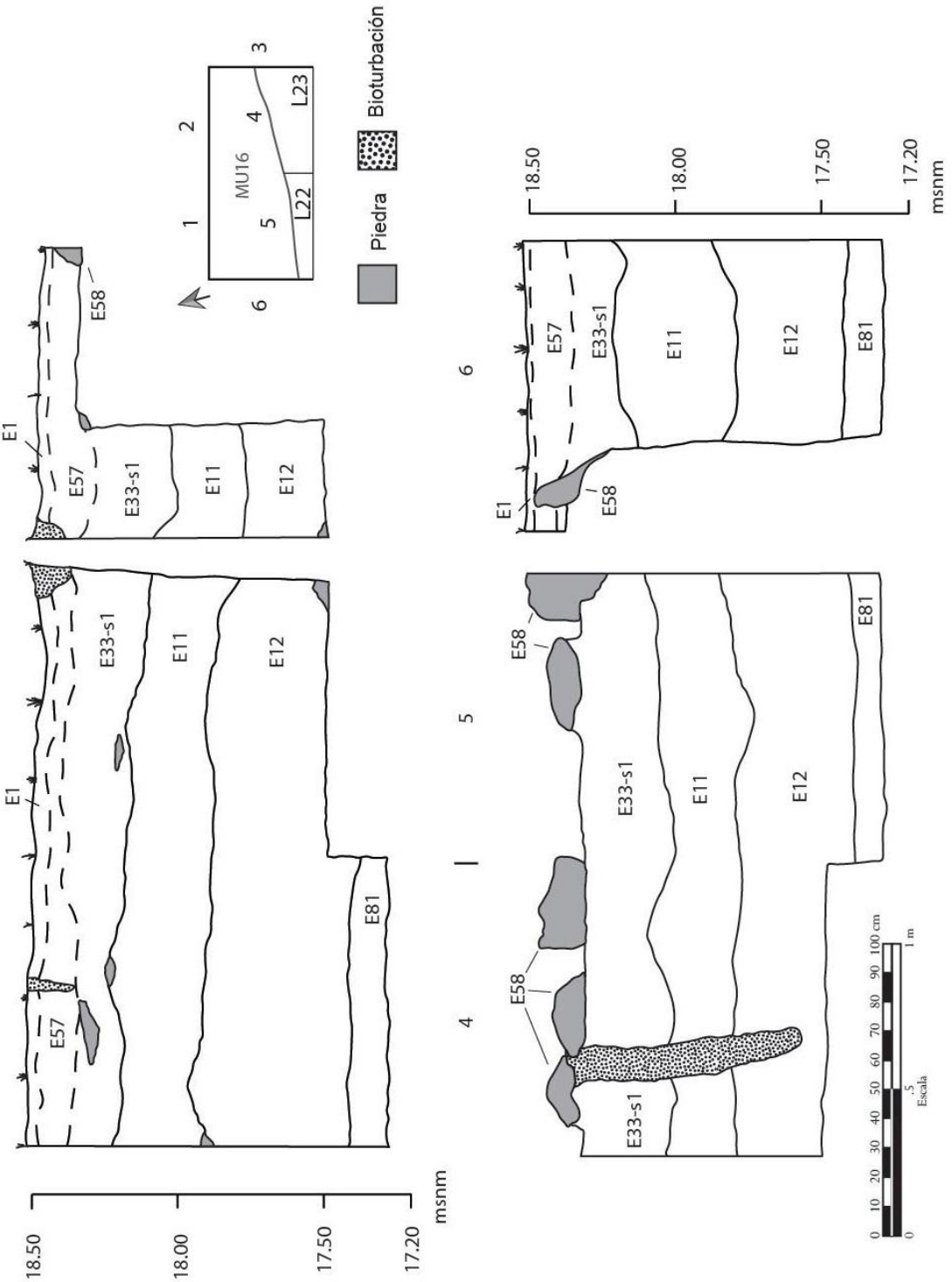



**Figura 2.52 Perfiles de las unidades L22 y L23, MU16.**

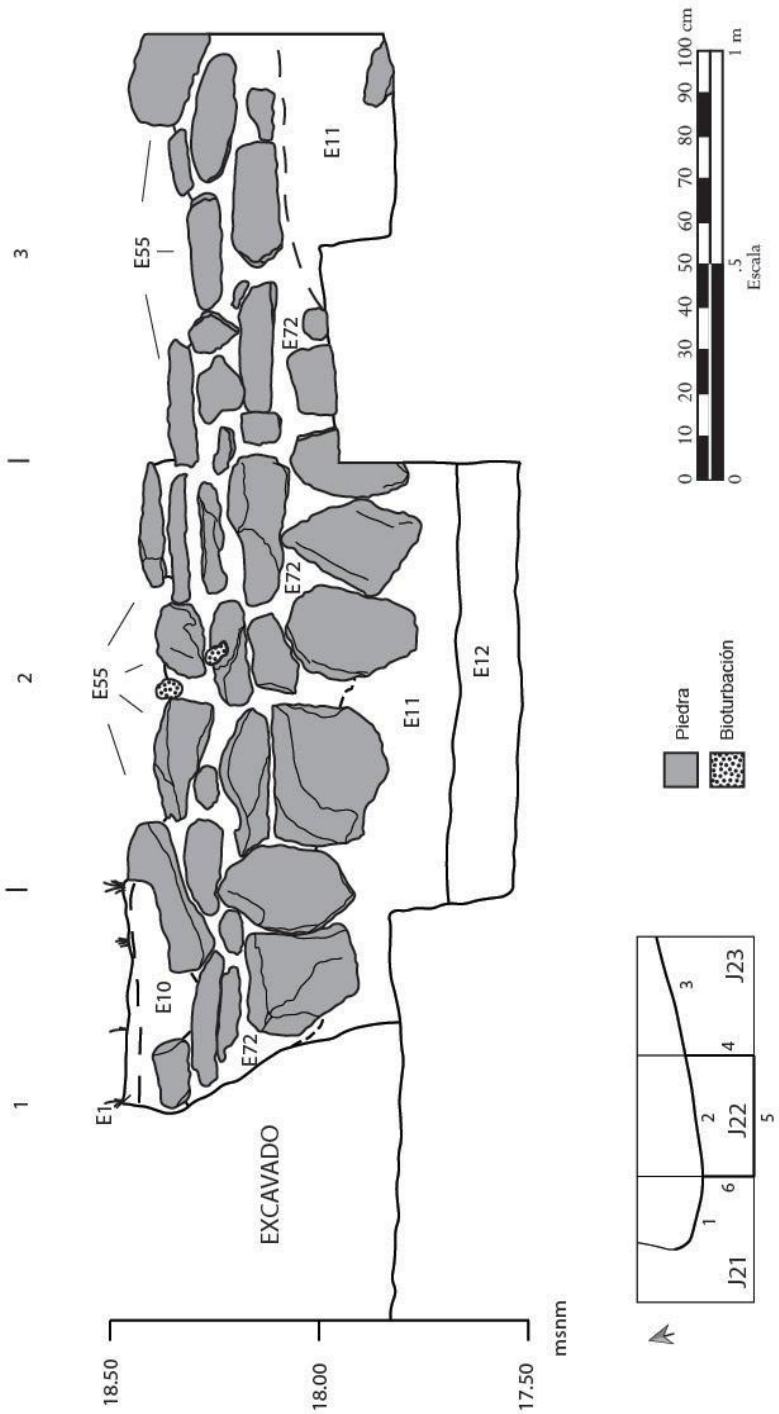



**Figura 2.53 Perfiles de las unidades J21, J22, y J23.**

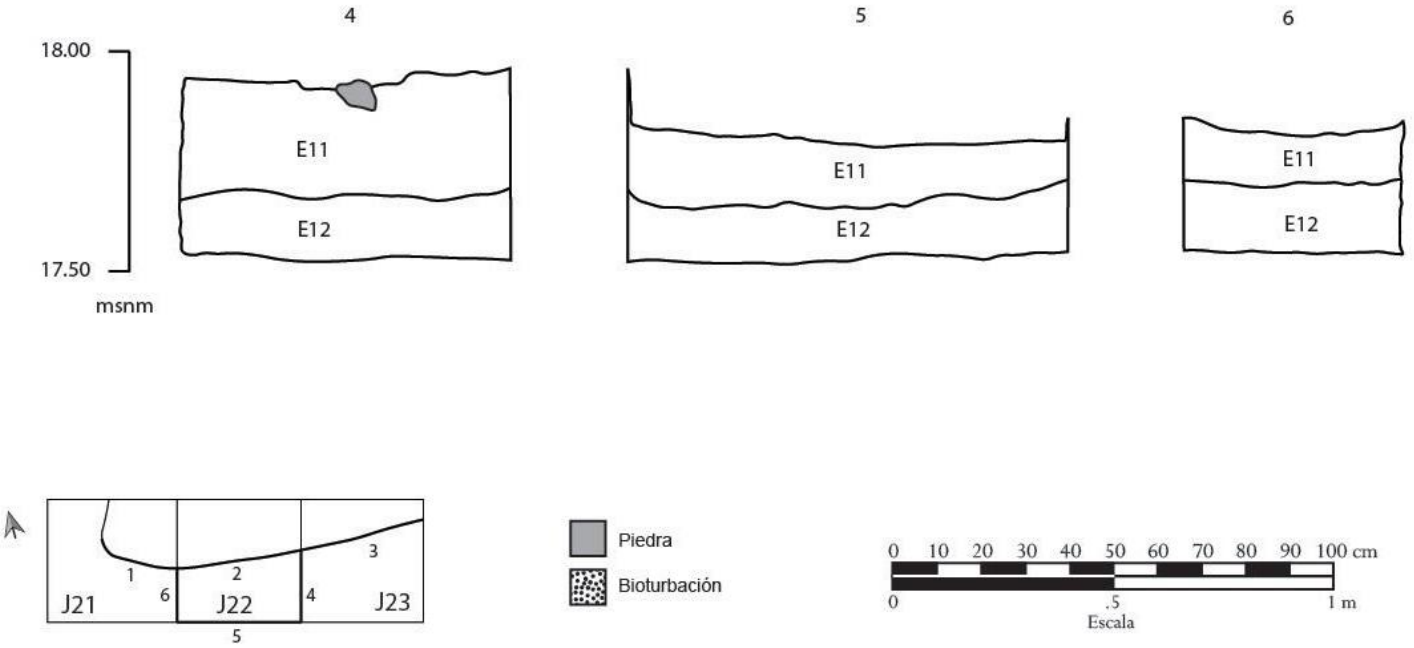



**Figura 2.53 Perfiles de las unidades J21, J22, y J23 (continuación)**

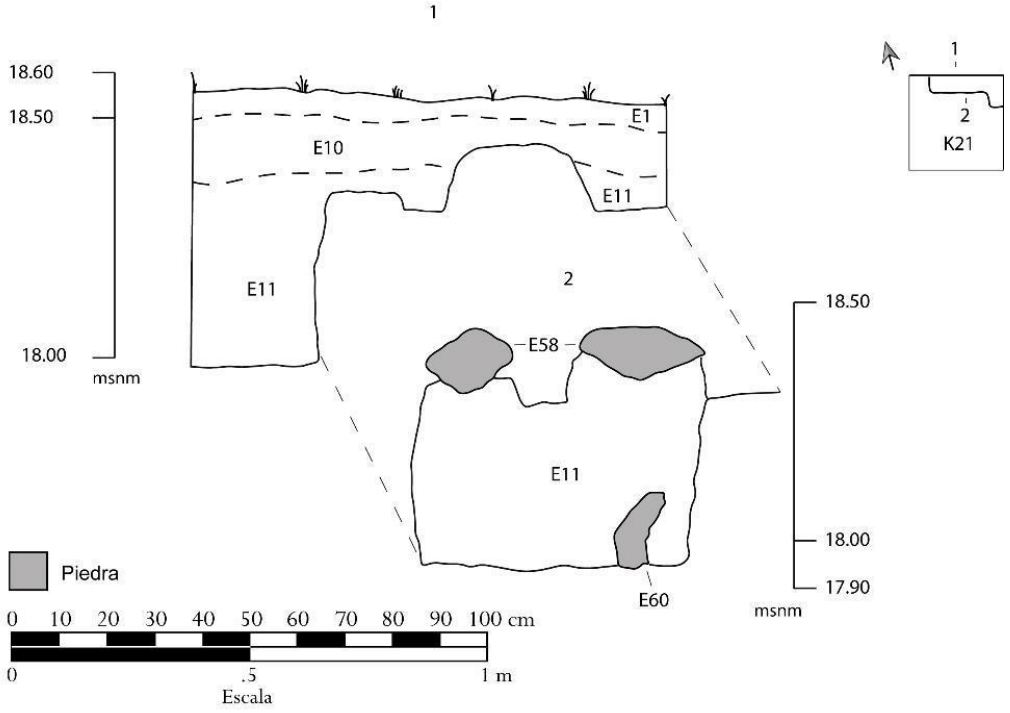



**Figura 2.54 Perfiles de la unidad K21 (sección norte y norte prima).**

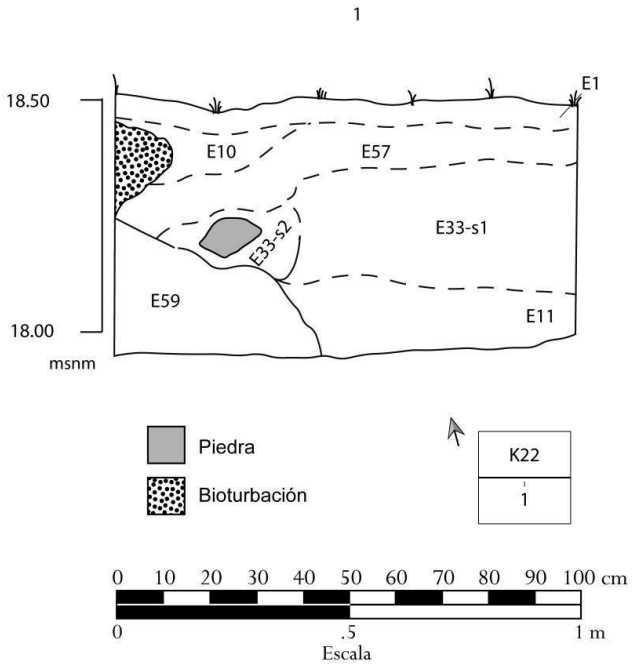



**Figura 2.55 Perfil de K22 (sección norte prima).**

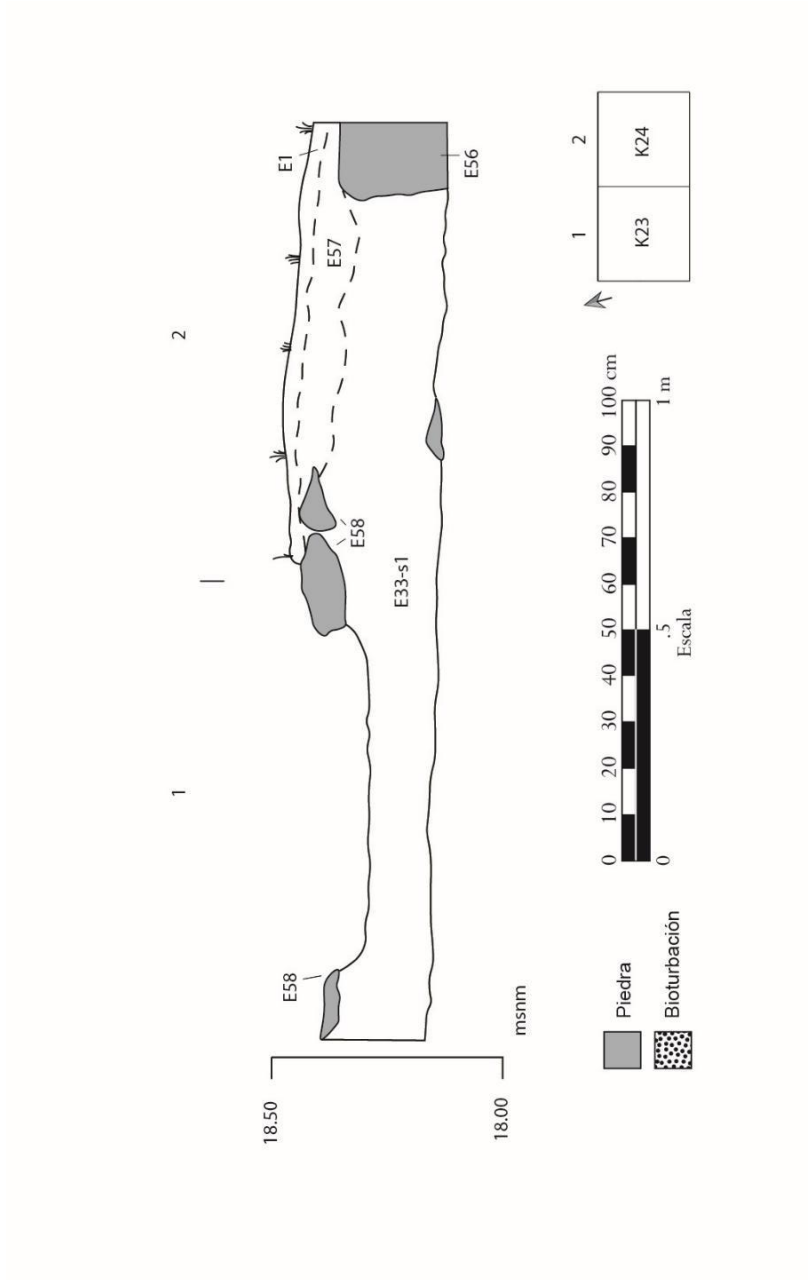



**Figura 2.56 Perfiles de las unidades K23, y K24 (sección norte).**

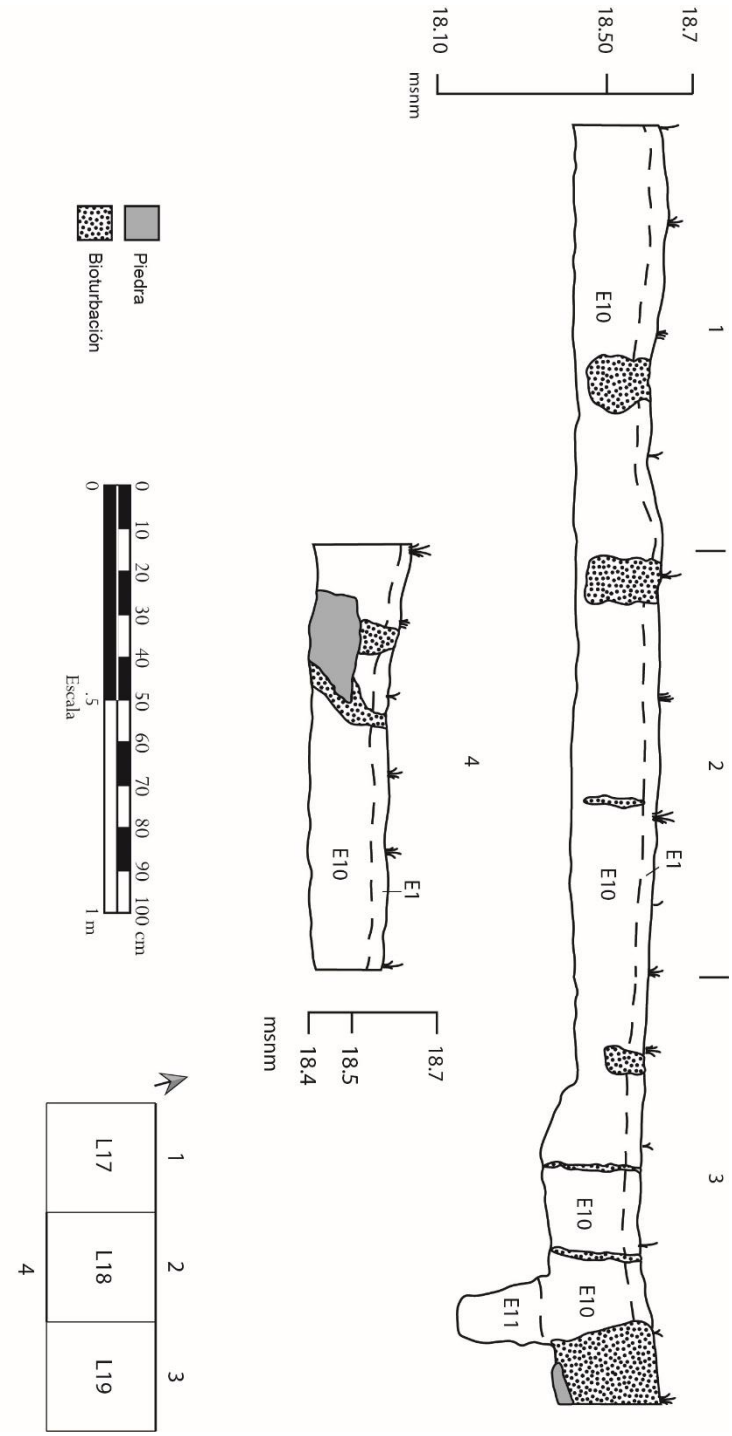



**Figura 2.57 Perfiles de las unidades L17, L18, y L19 (secciones norte y sur).**

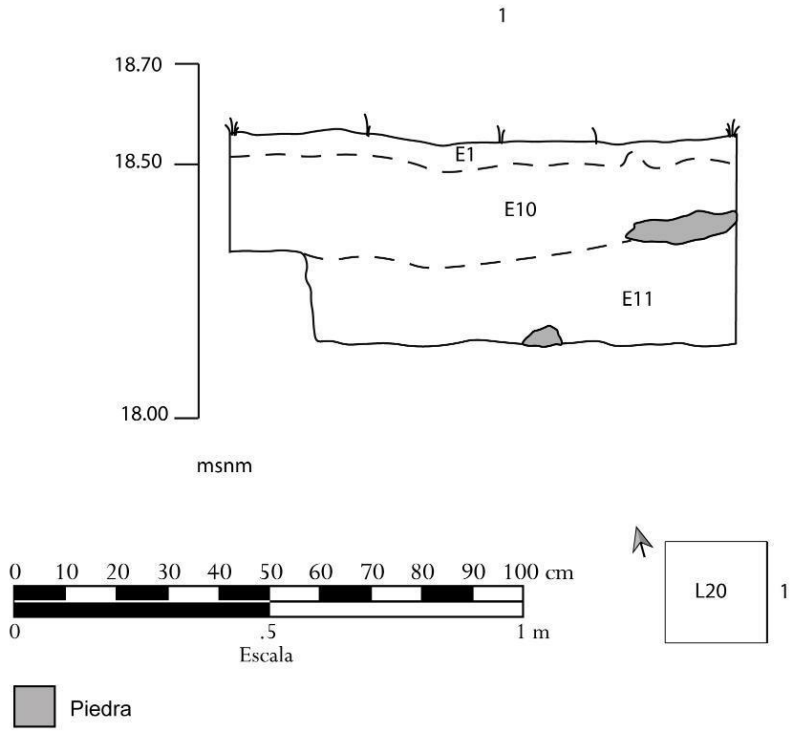



**Figura 2.58 Perfil de la unidad L20 (sección este).**

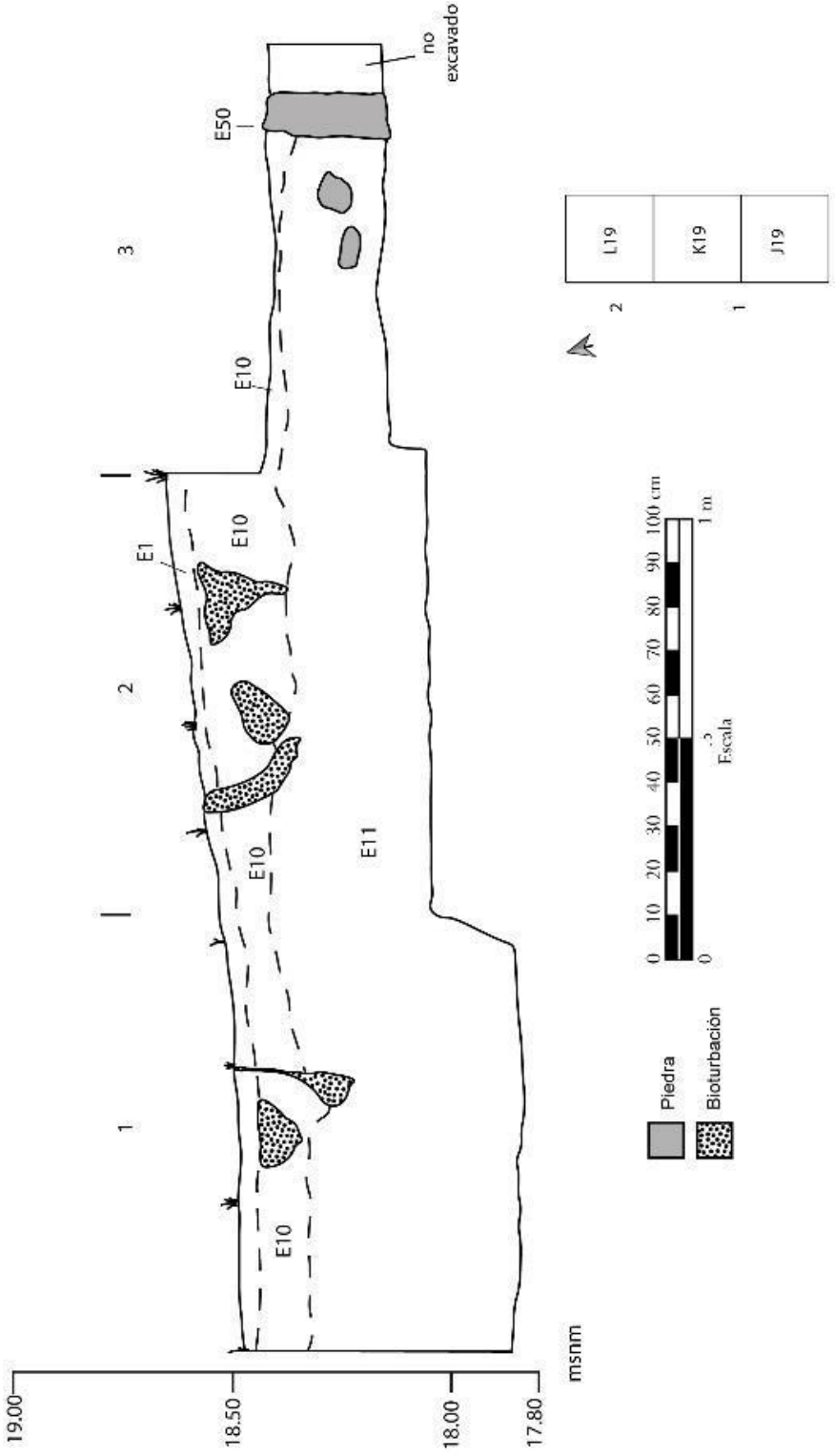



**Figura 2.59 Perfiles de las unidades J19, K19, y L19 (sección oeste).**

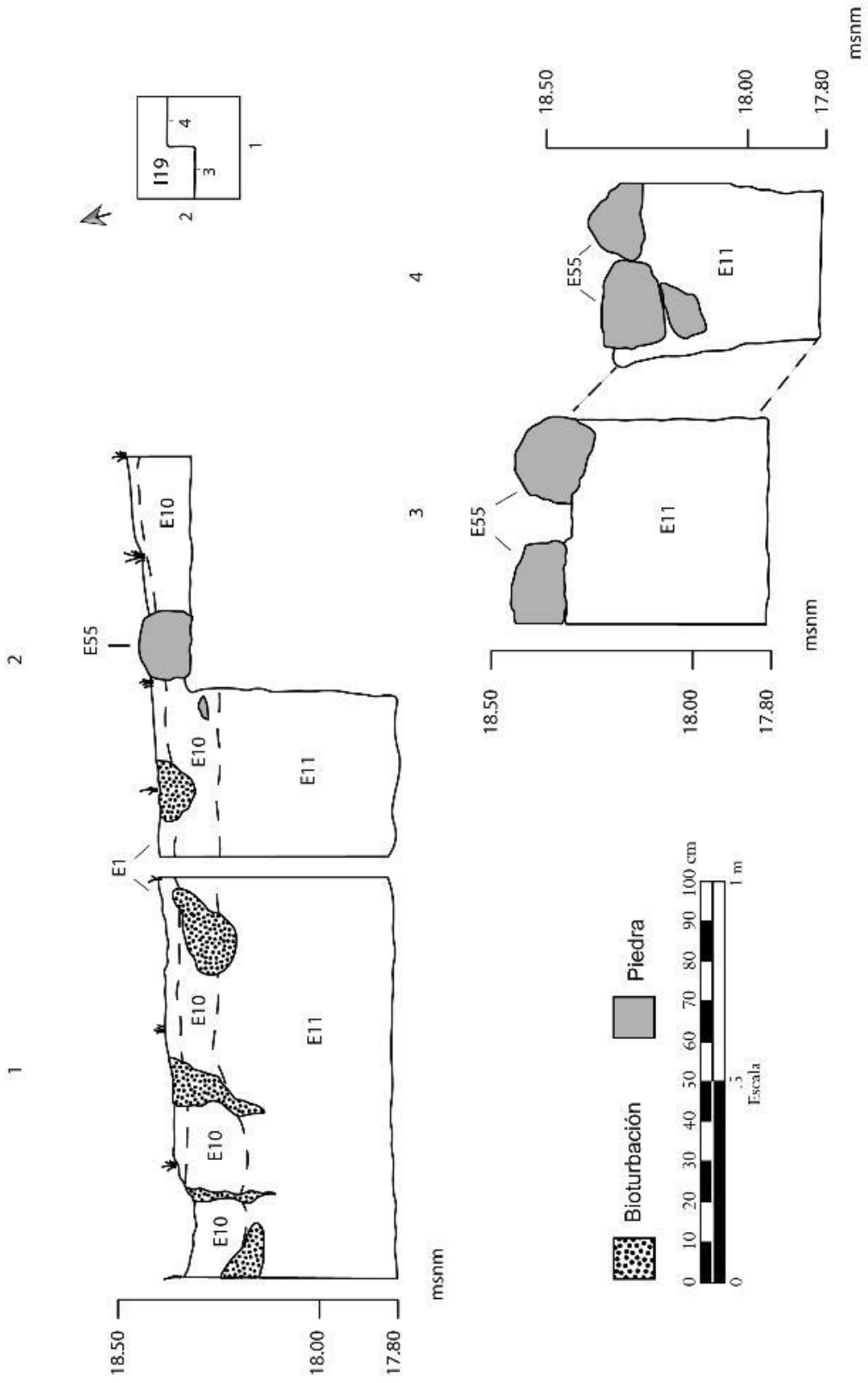



**Figura 2.60 Perfiles de la unidad I19.**

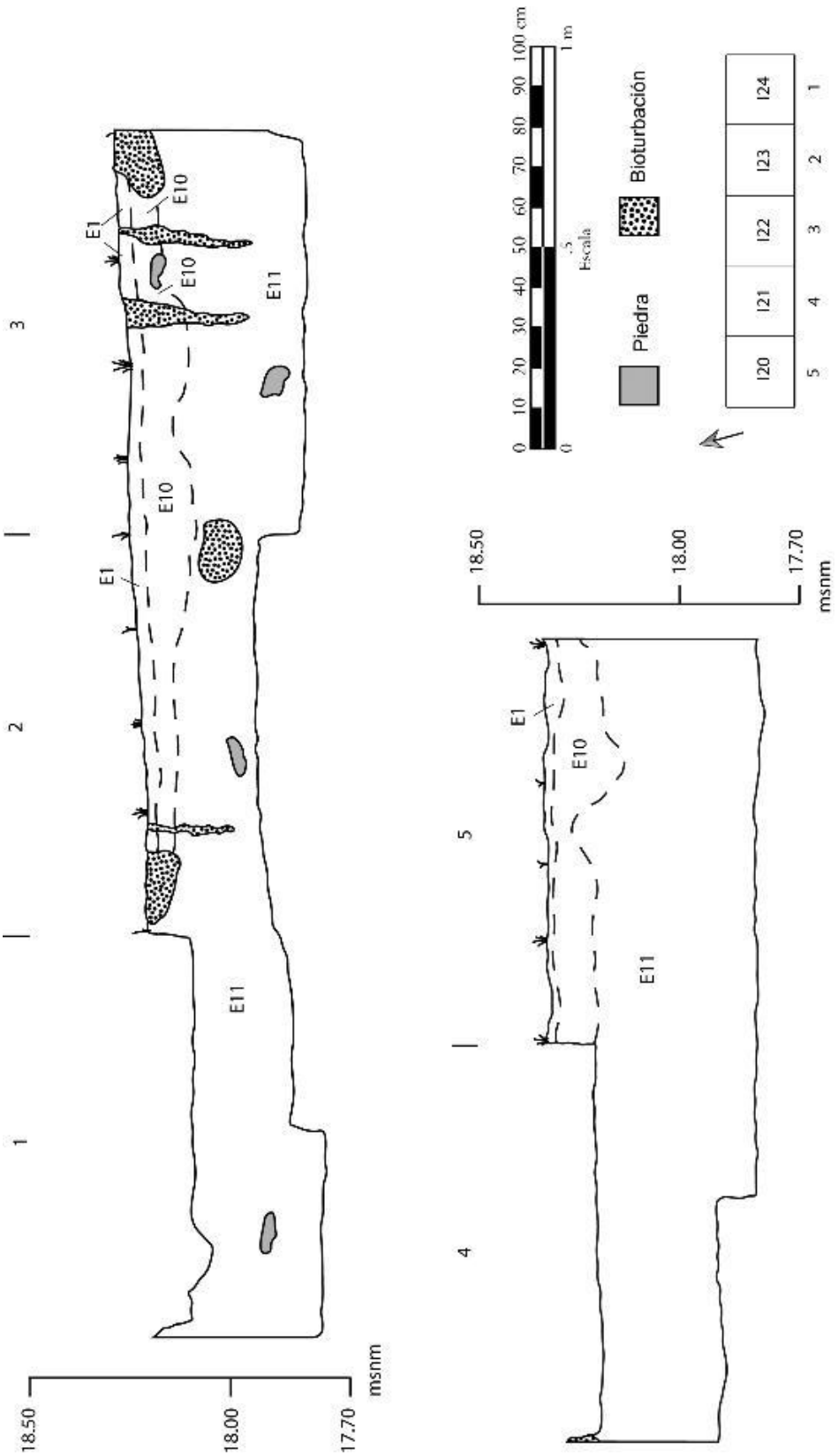



**Figura 2.61 Perfiles de las unidades I20, I21, I22, I23, y I24 (sección sur).**

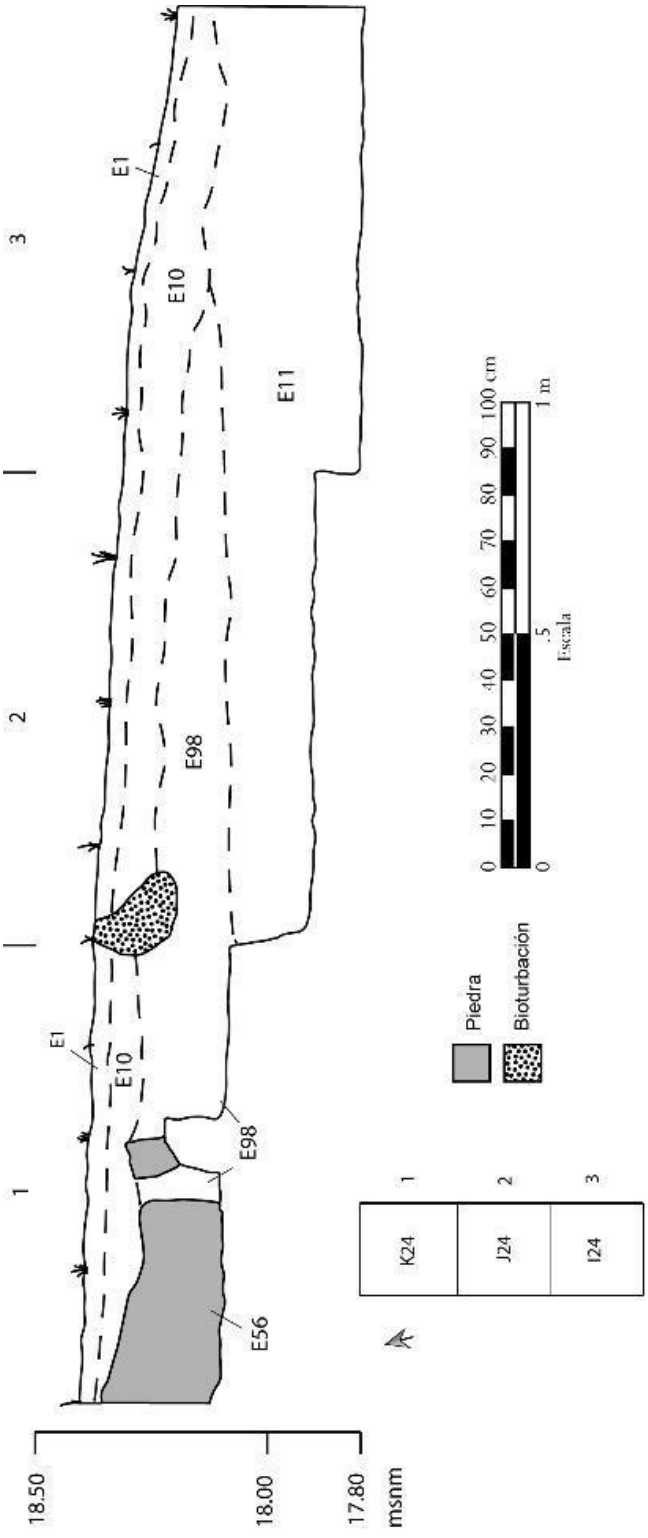



**Figura 2.62 Perfiles de las unidades I24, J24, y K24 (sección este).**

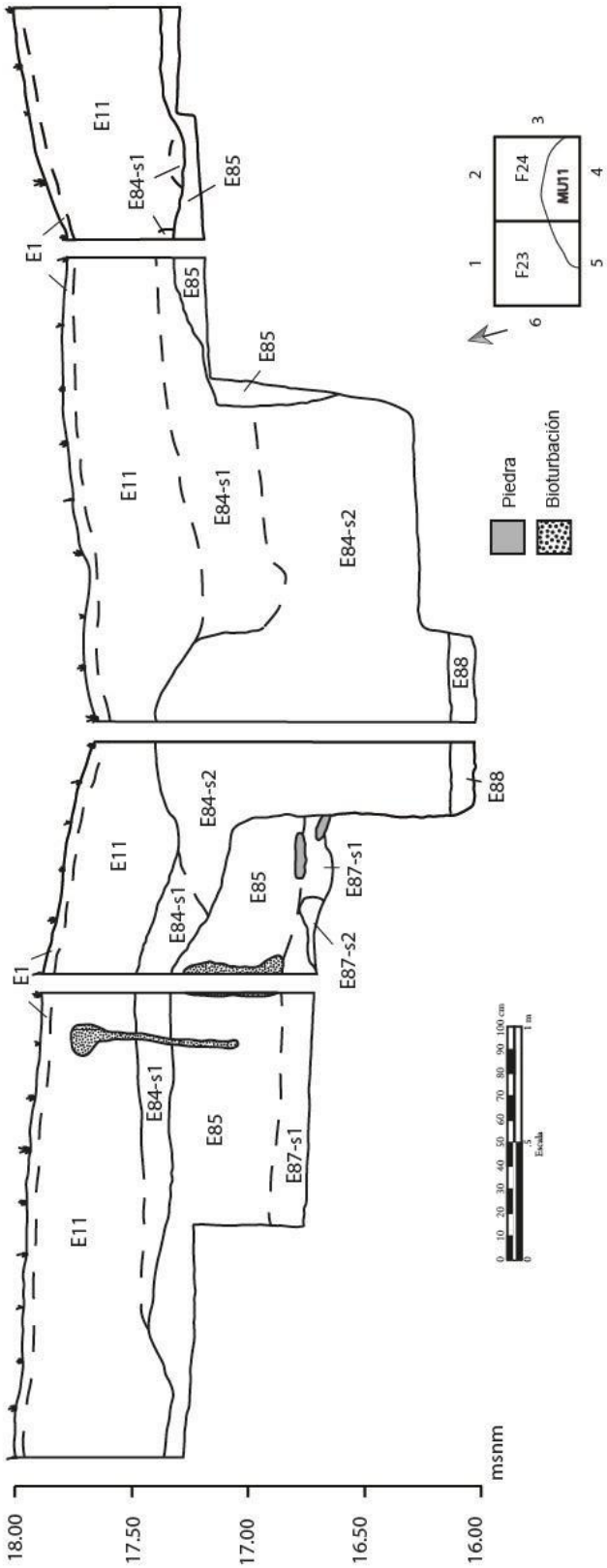



**Figura 2.63 Perfiles de las unidades F23 y F24 (MU11).**

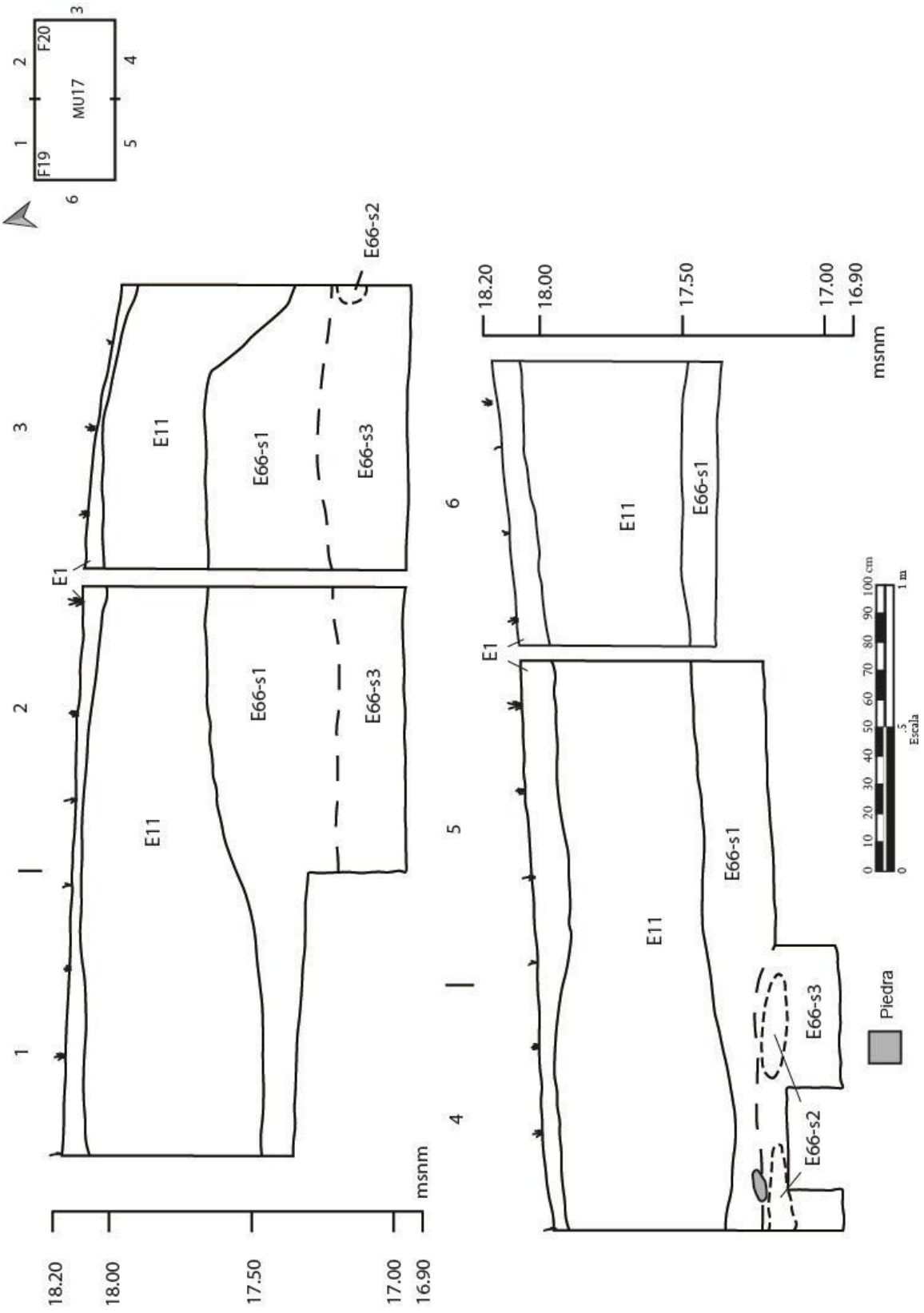



**Figura 2.64 Perfiles de las unidades F19, y F20.**

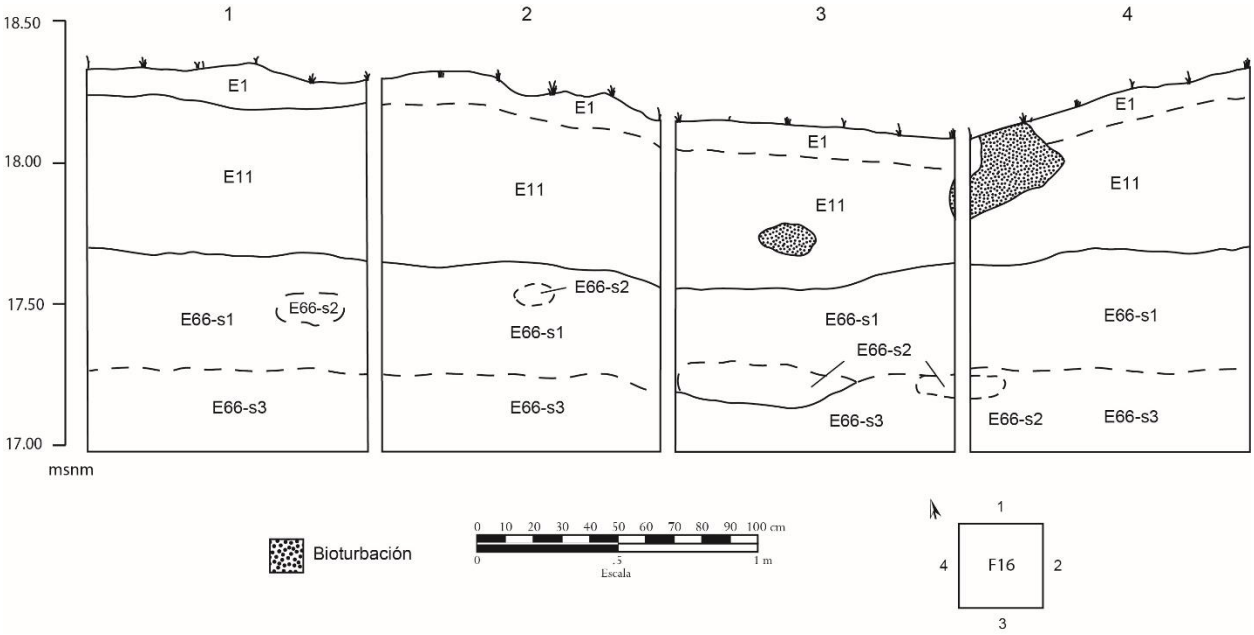



**Figura 2.65 Perfiles de la unidad F16**

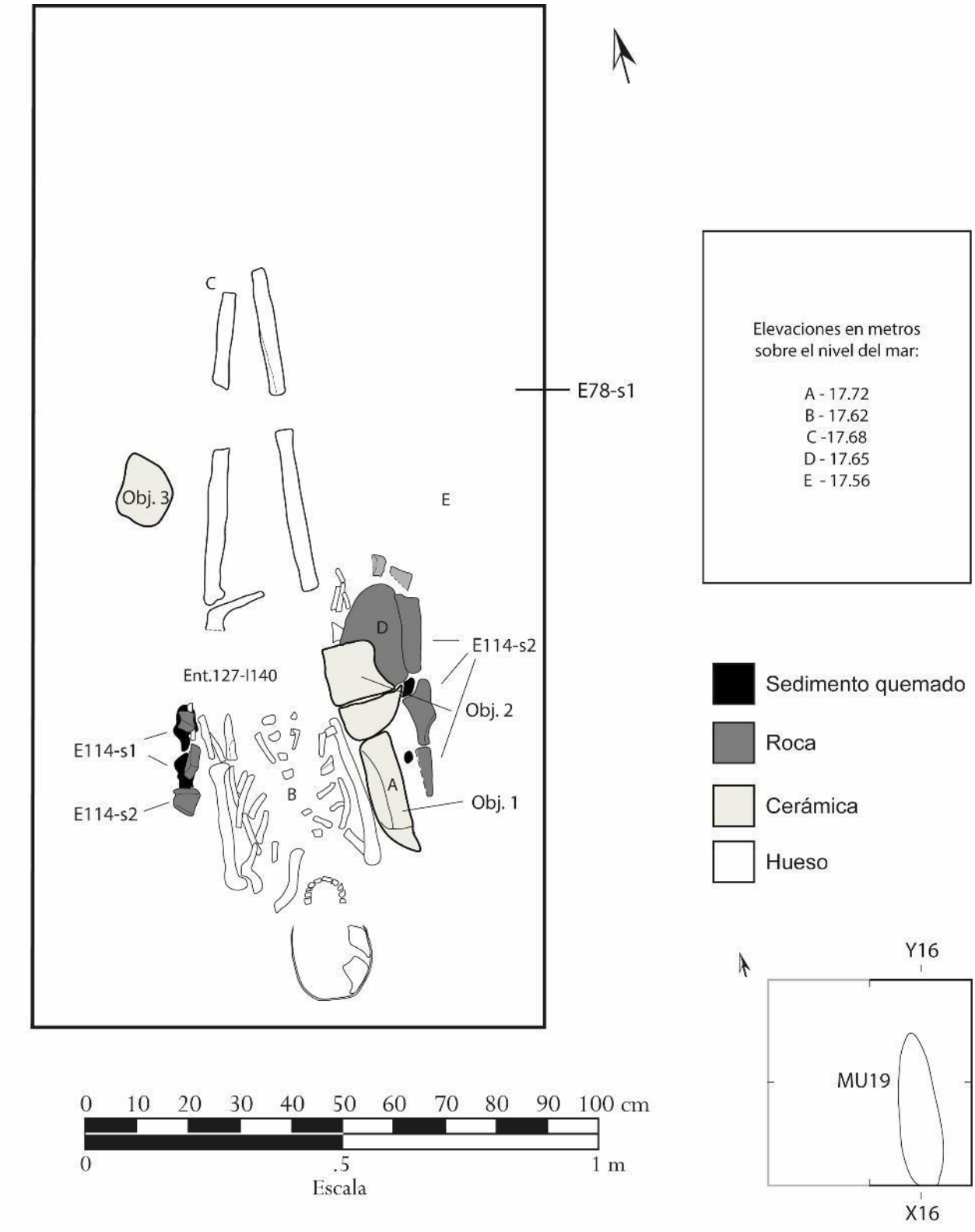



**Figura 2.66 Plano del Entierro 127, Individuo 140.**

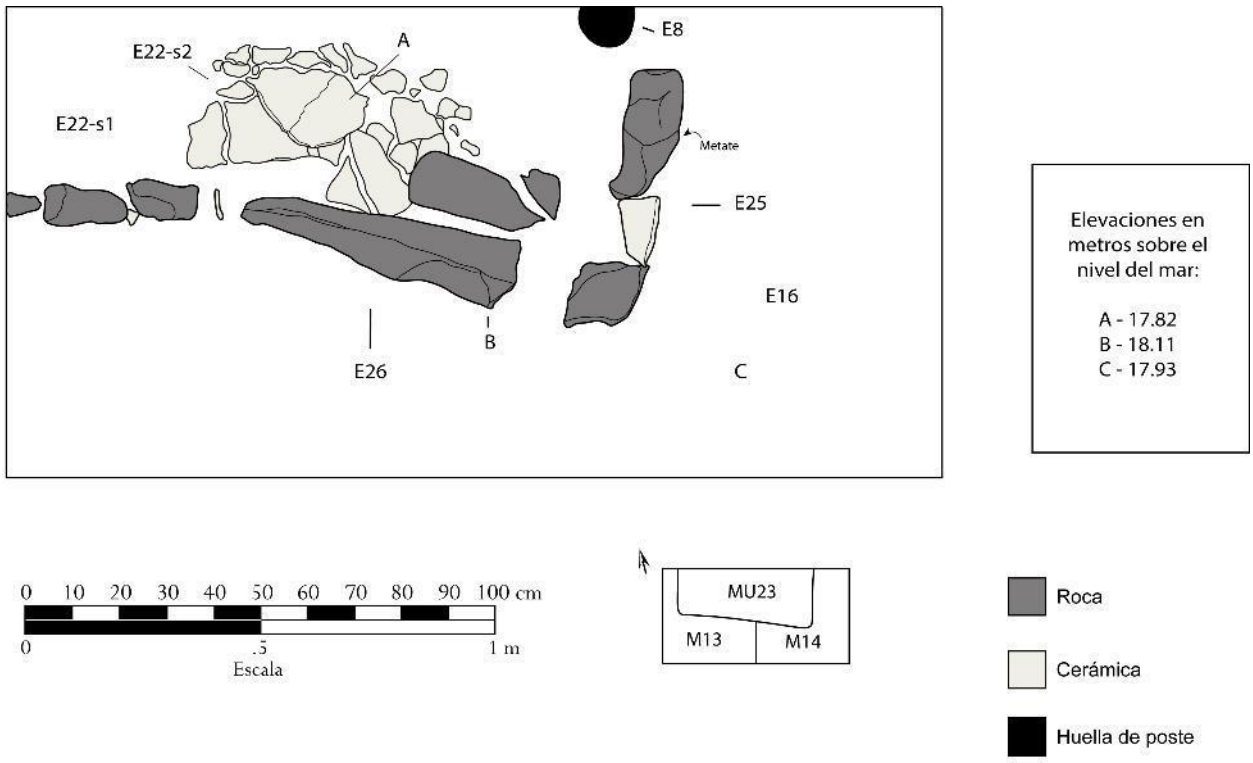



**Figura 2.67 Plano de Estructura 22-1.**

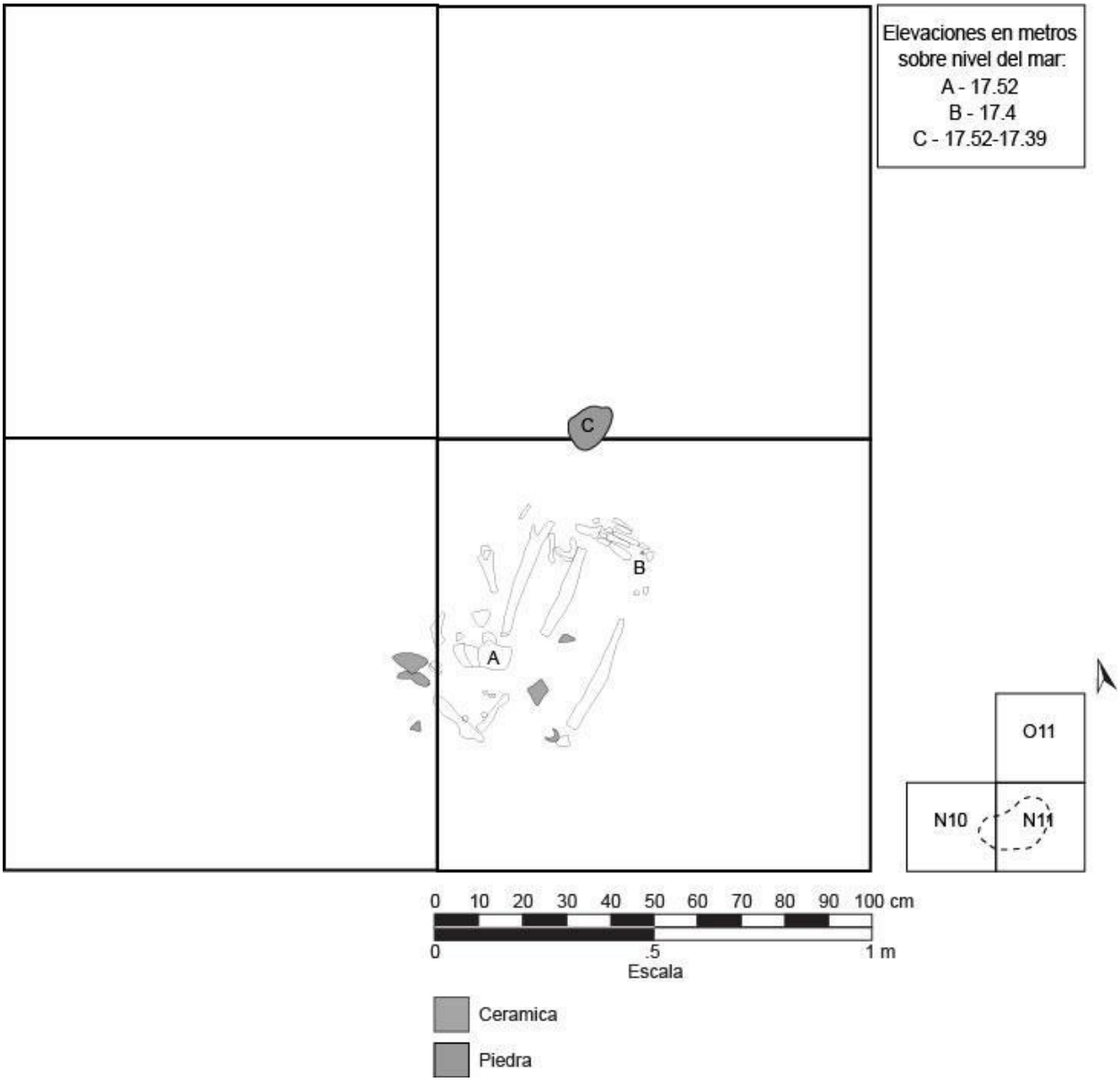



**Figura 2.68 Plano del Entierro 134, Individuo 147.**

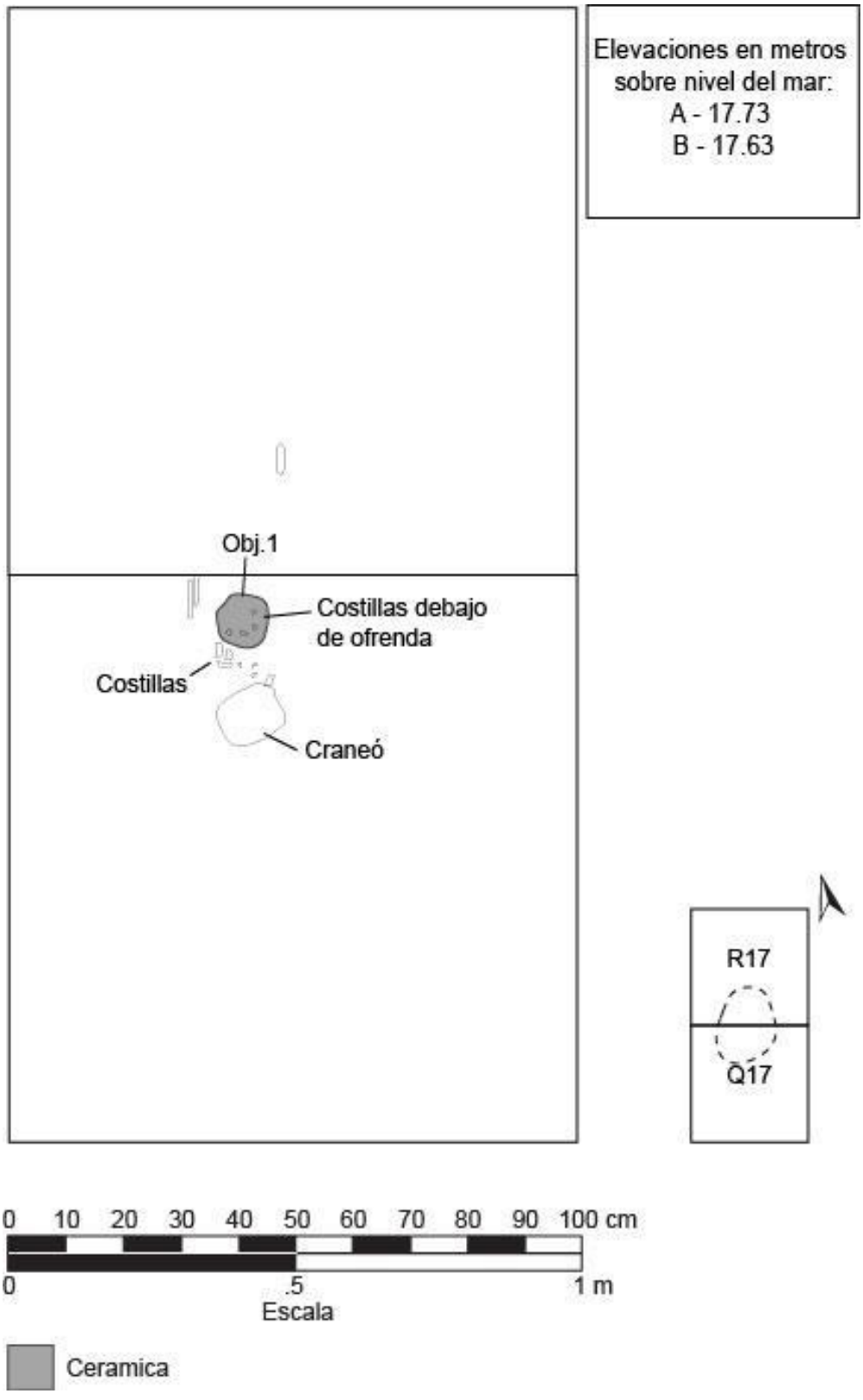



**Figura 2.69 Plano del Entierro 131, Individuo 144.**

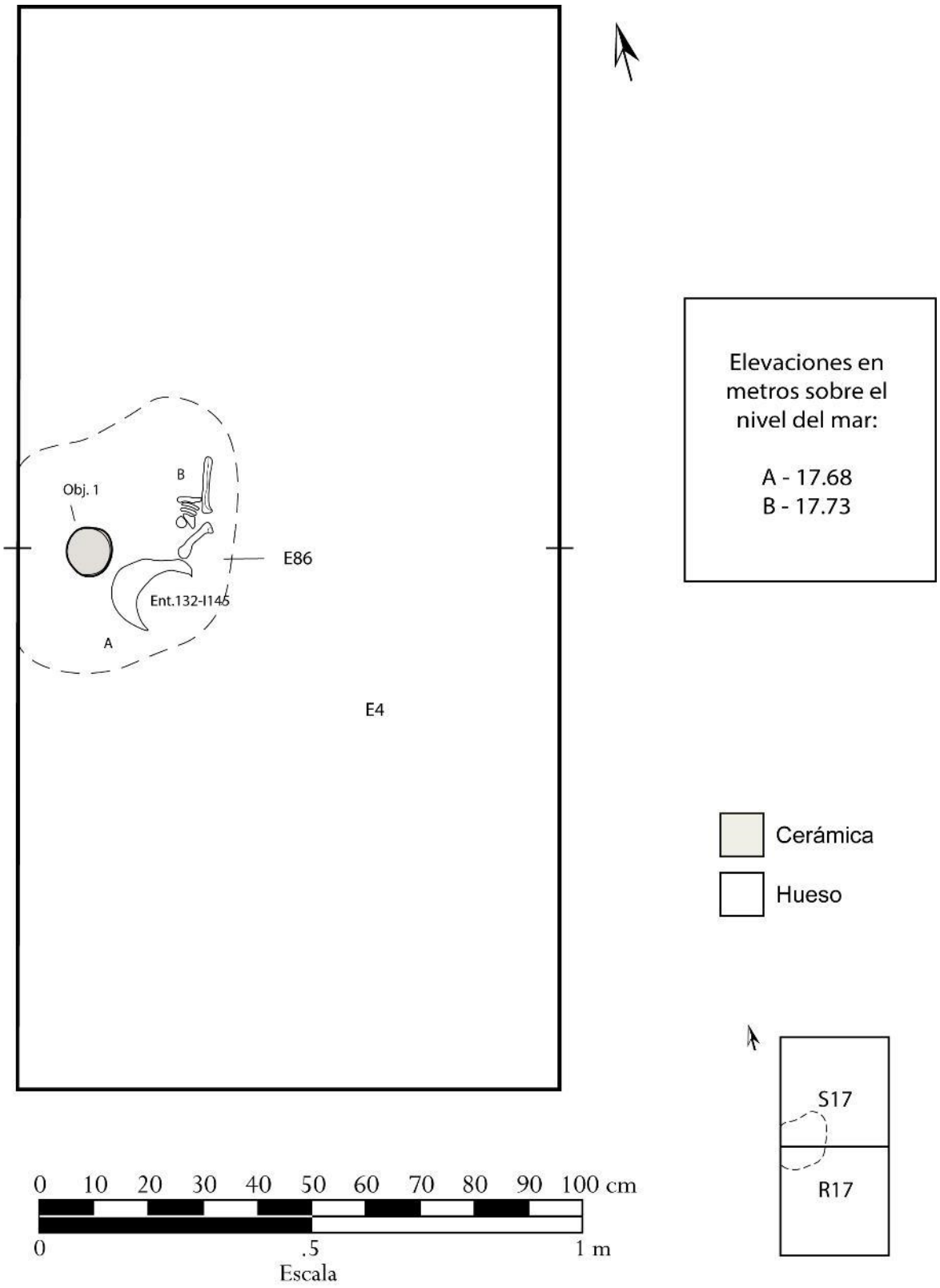



**Figura 2.70 Plano del Entierro 132, Individuo 145.**

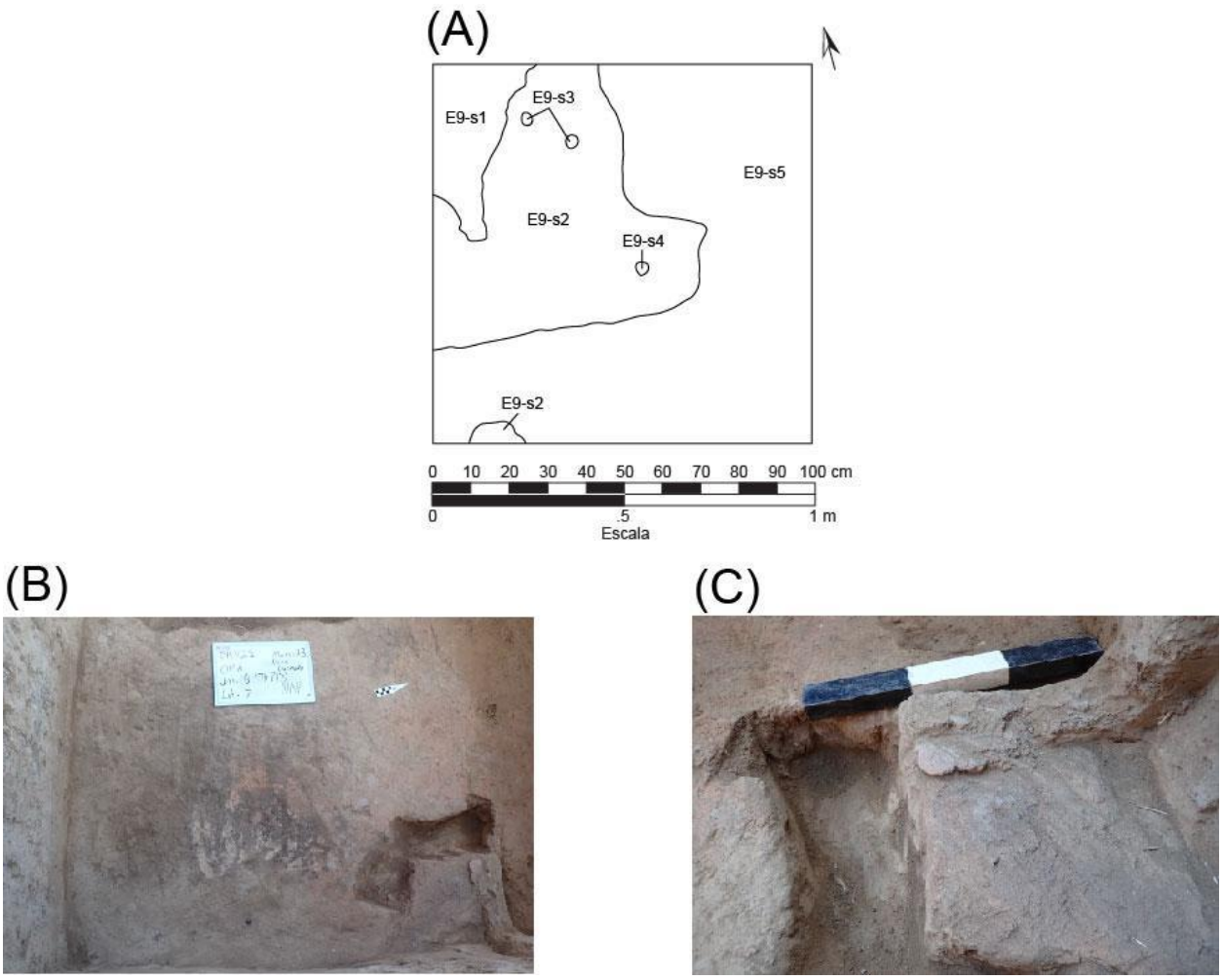



**Figura 2.71 Plano de E9. Una porción de piso quemado en la unidad P17. (A) Plano de E9; (B) Fotografía del piso quemado en las unidades P17 y su extensión a Q17; (C) Fotografía del piso quemado y endurecido (E9-s1).**

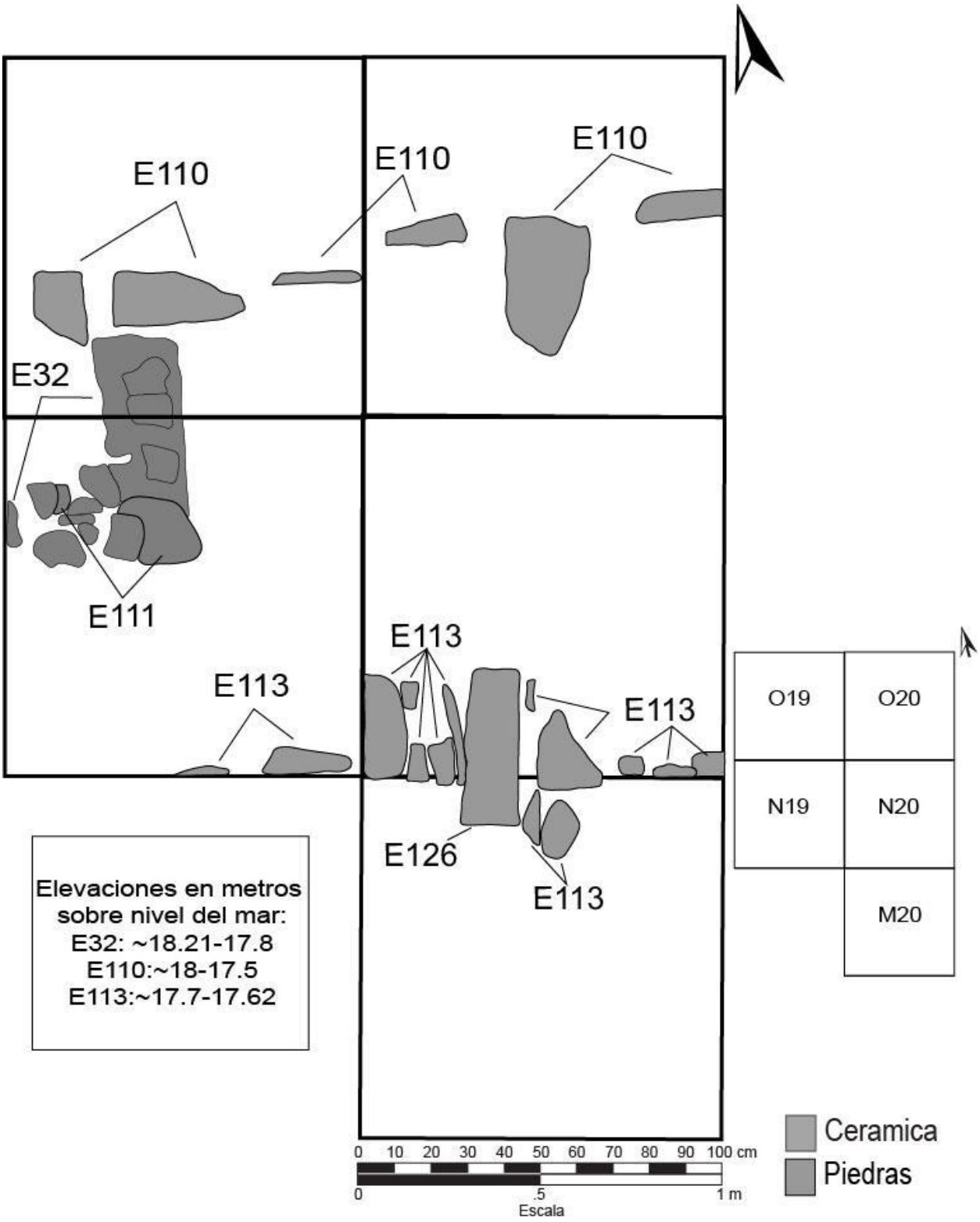



**Figura 2.72 Plano de alineamientos de piedras E110, E111, y E113 con la concentración de cerámica E32.**




**Figura 2.73 Plano de horno complejo de tierra (E61, E49, E119 y E120).**

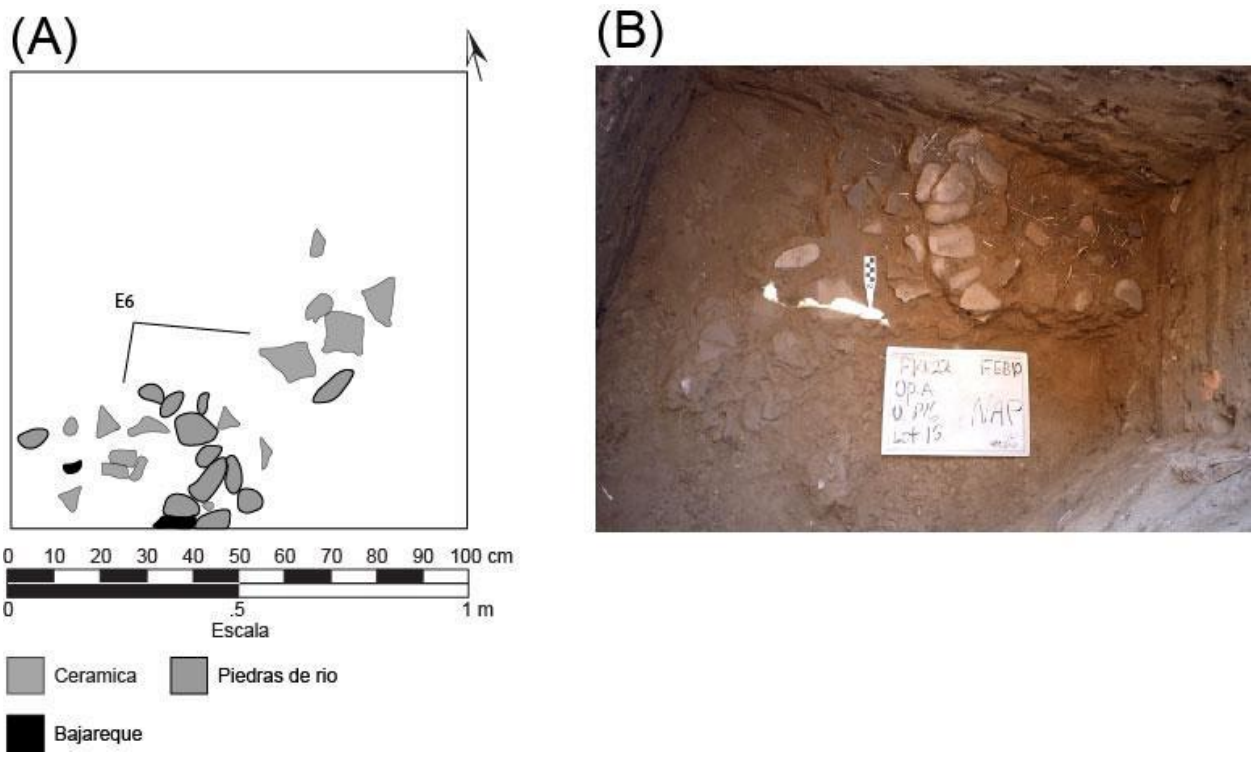



**Figura 2.74 Plano de E6. Una ofrenda de piedras de río con tiestos de cerámica. (A) Plano de E6; (B) Fotografía de E6 in situ.**




**Figura 2.75 Plano de la porción cerámica de la tubería de drenaje (E34, E121 y E122).**

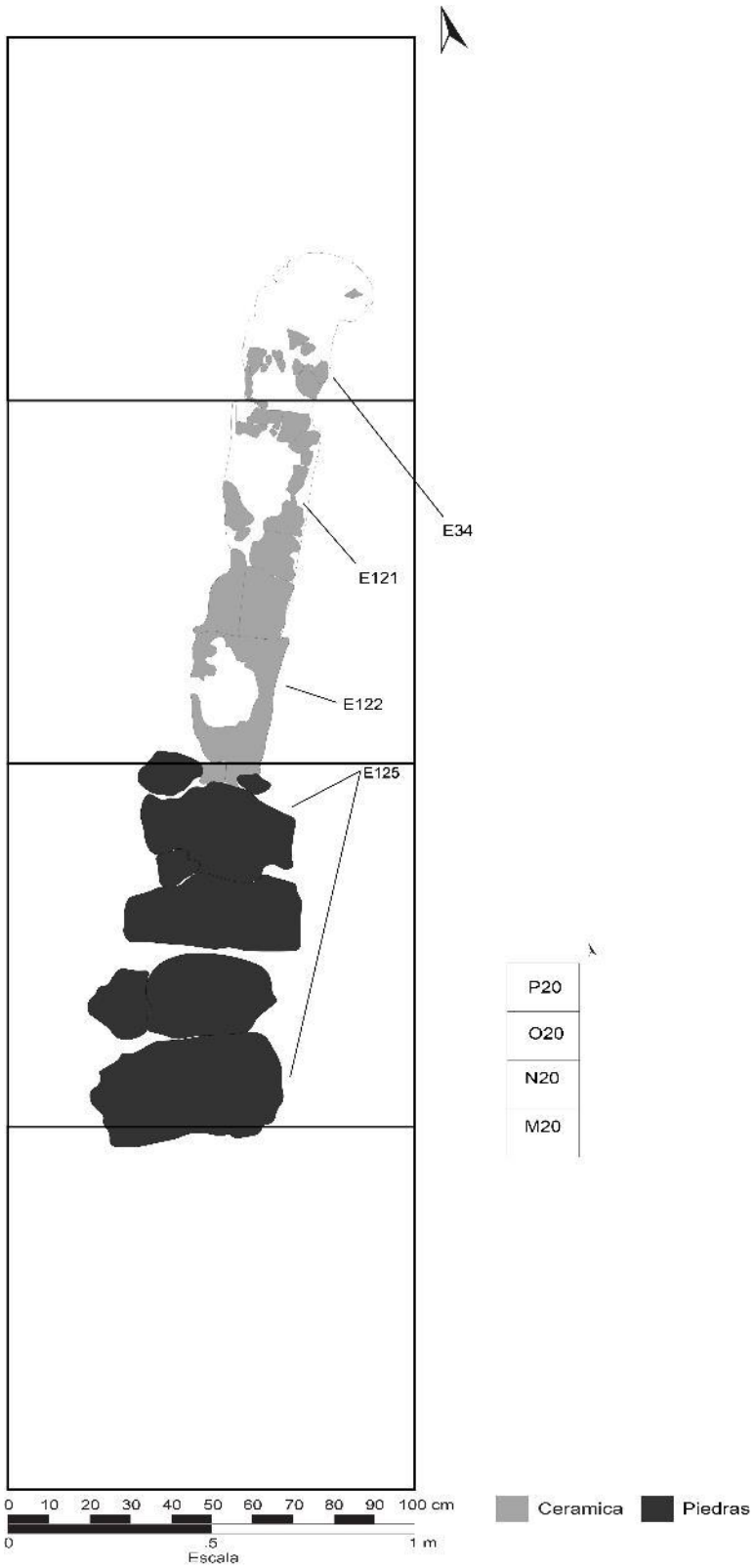



**Figura 2.76 Plano de la tubería de drenaje. La porción de cerámica con una extensión hecho de lajas de piedra (E125).**

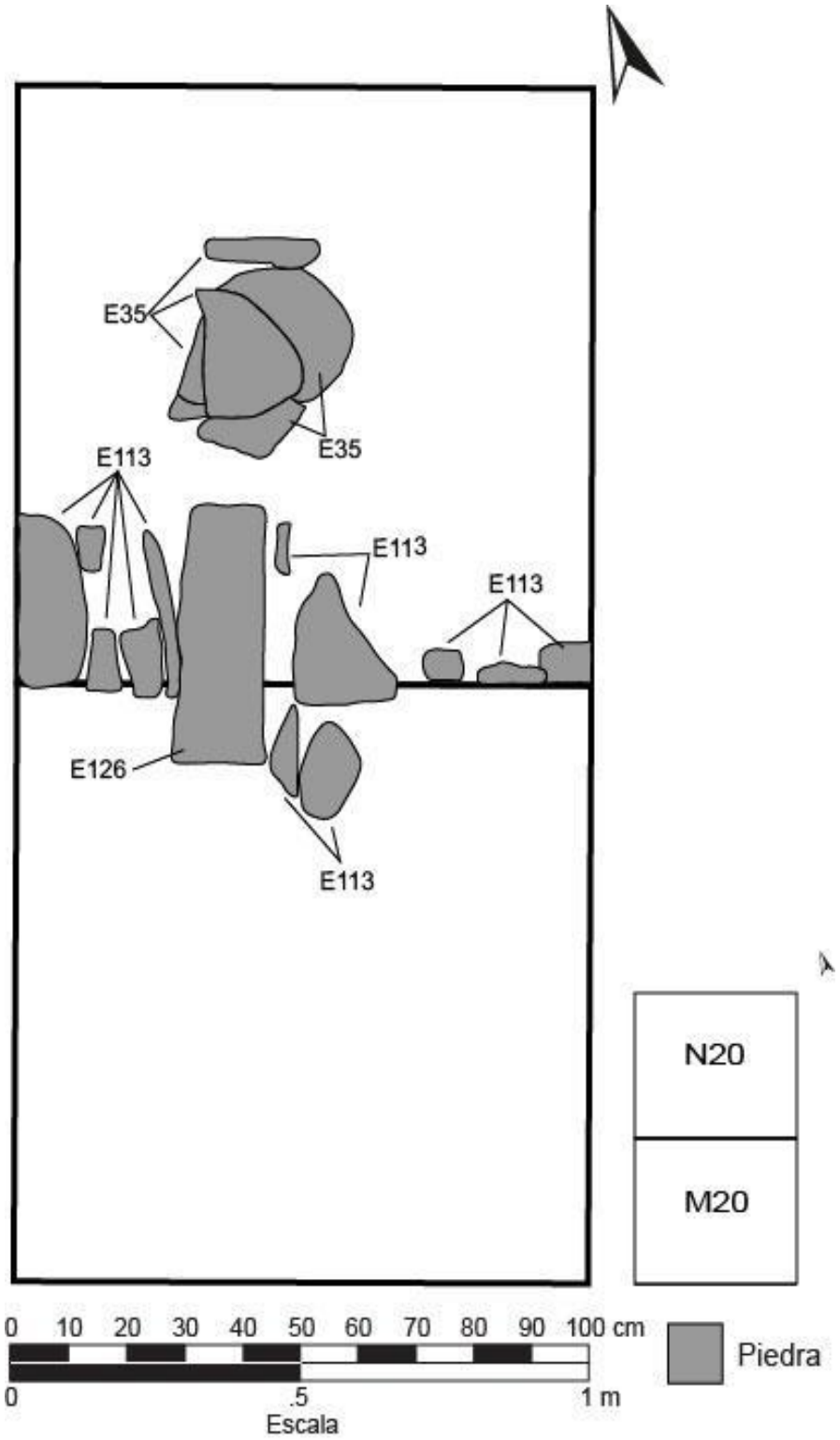



**Figura 2.77 Plano de una porción de la tubería de drenaje. El dibujo demuestra E35 donde se sustentó la base de la tubería de cerámica dentro de la porción de piedras E125. Aquí continuo sólo la construcción de lajas de piedra (E126) y pasó por en medio de E113.**

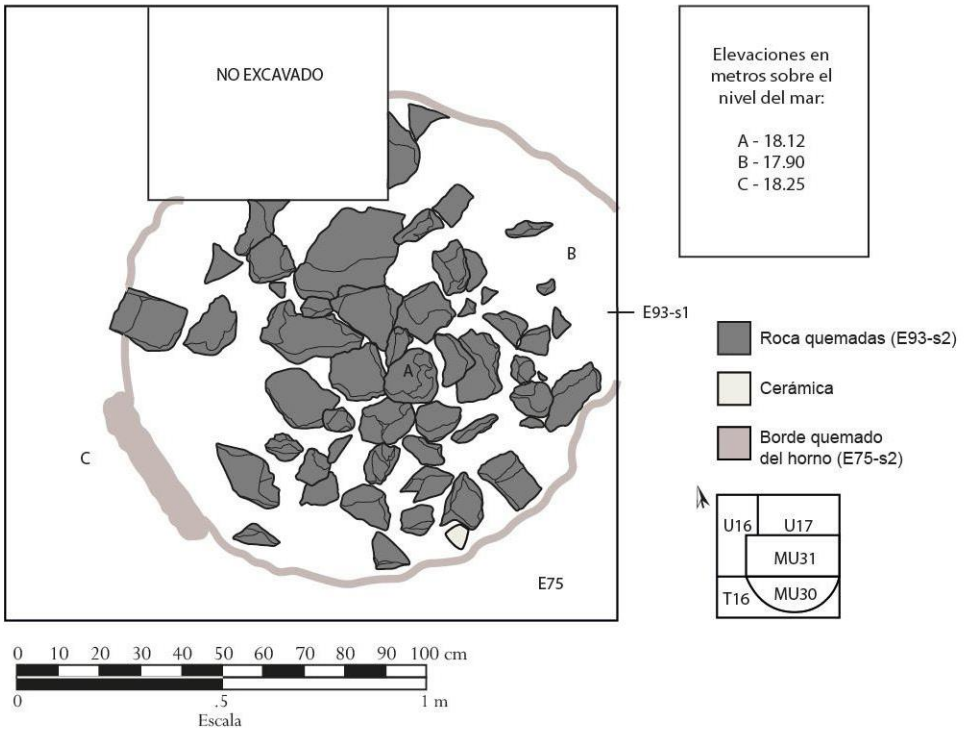






**Figura 2.78 Plano y fotografía del horno de tierra (E93-s1, E93-s2) en Bloque Norte.**

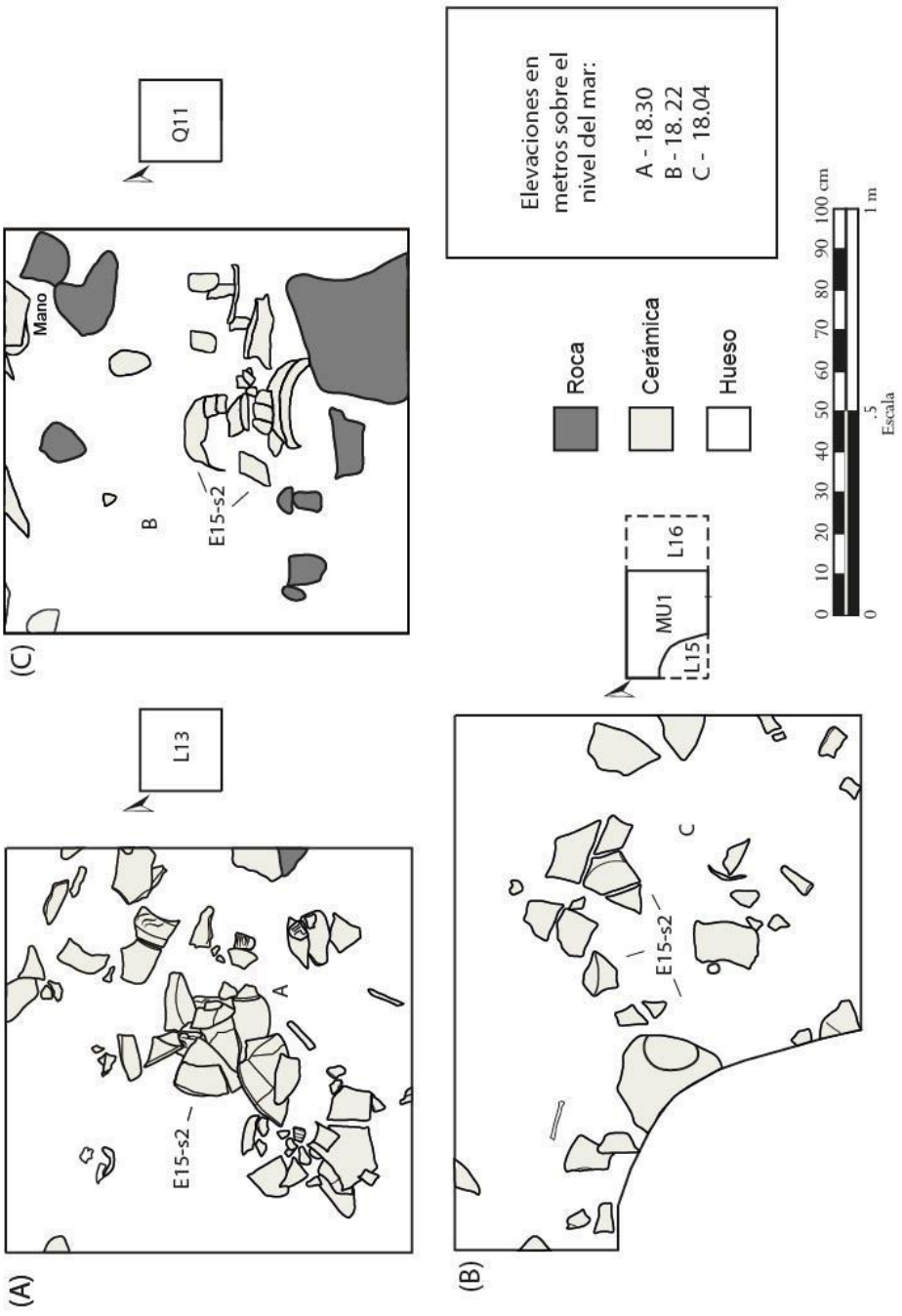



**Figura 2.79 Plano del depósito de terminación E15: (A) L13; (B) L15, y L 16 (MU1); (C) Q11.**

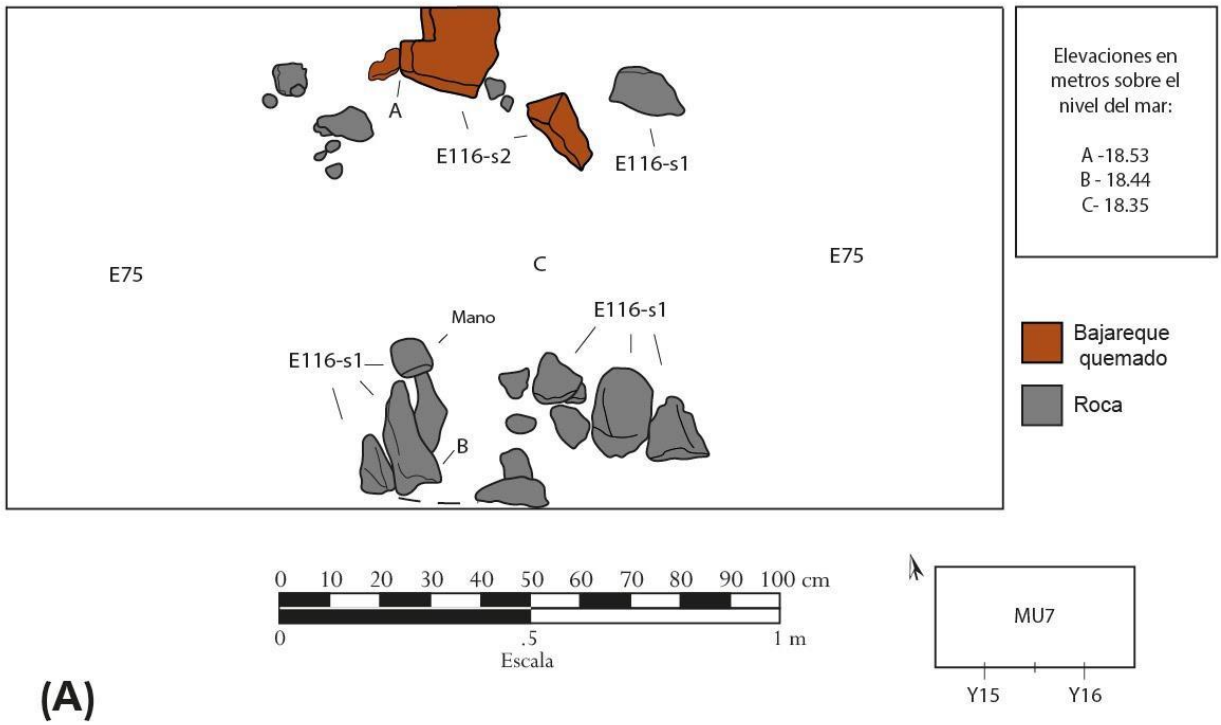



**Figura 2.80 Planos del Entierro 120, Individuo 133 y sus elementos asociados. (A) Límite superior del elemento E116; (B) Elemento E116 parcialmente expuesto; (C) El entierro expuesto en relación con los Objetos 1 a 10 de su ofrenda asociada.**

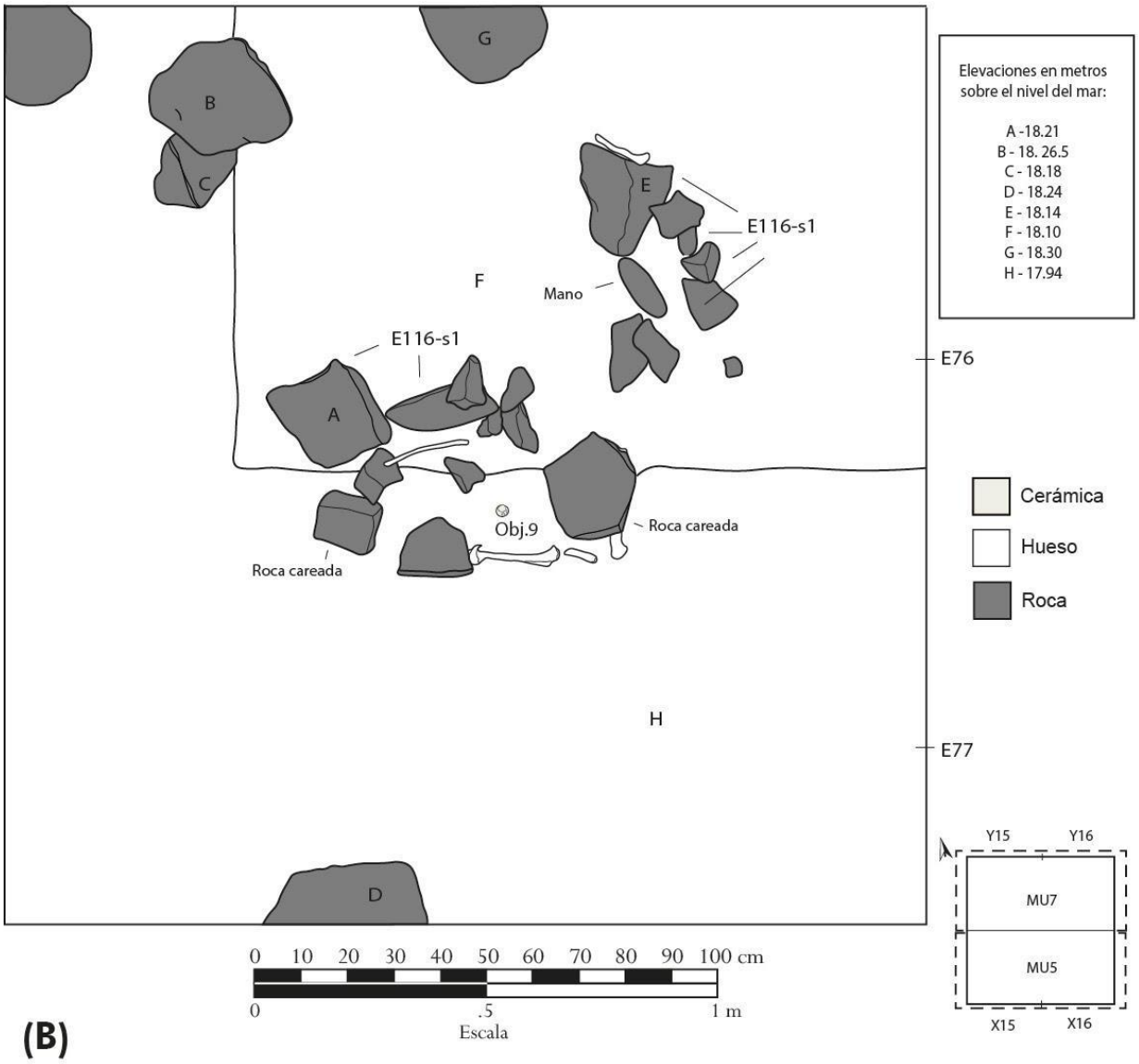



**Figura 2.80 Planos del Entierro 120, Individuo 133 y sus elementos asociados. (A) Límite superior del elemento E116; (B) Elemento E116 parcialmente expuesto; (C) El entierro expuesto en relación con los Objetos 1 a 10 de su ofrenda asociada (continuación).**

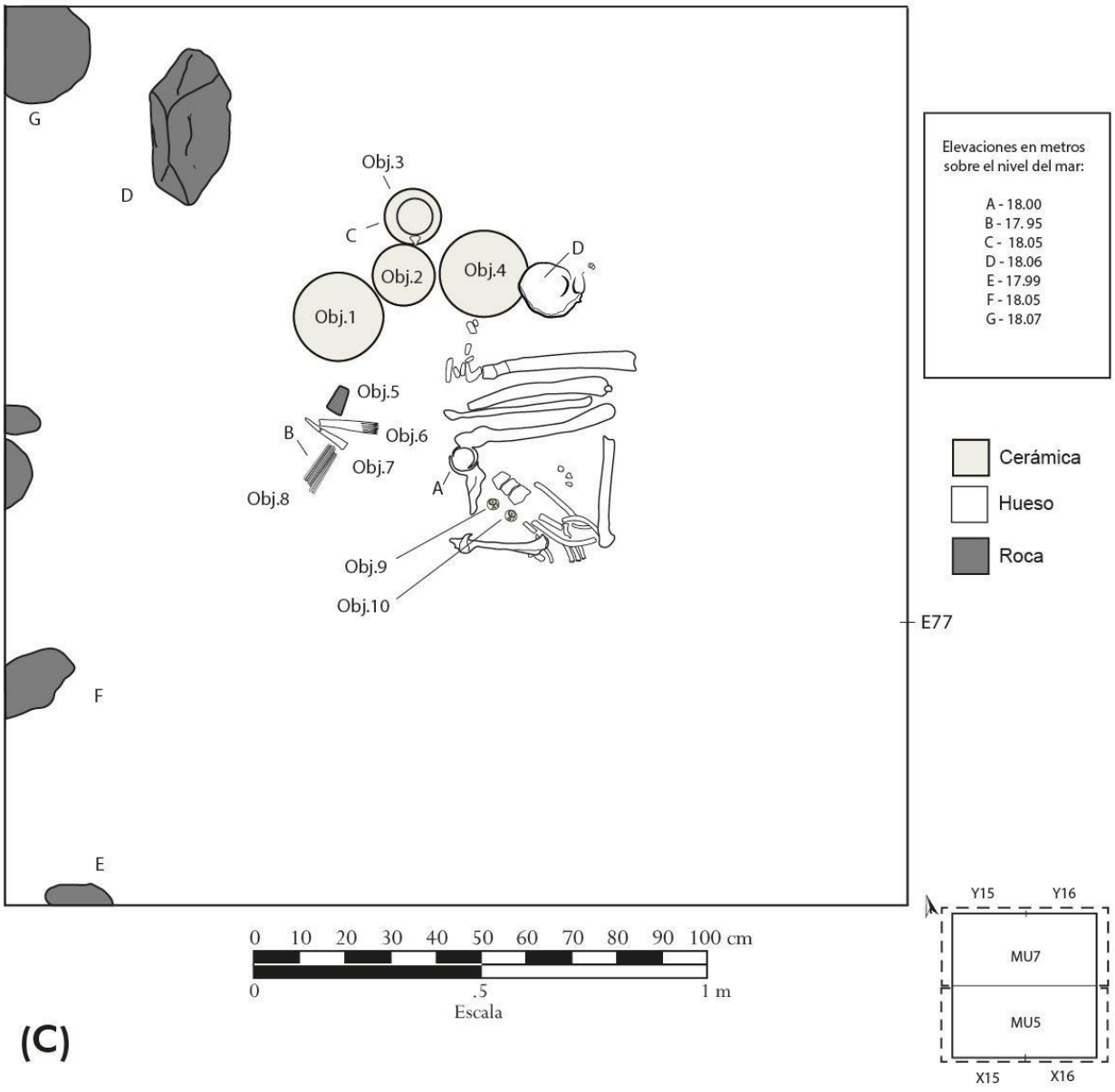



**Figura 2.80 Planos del Entierro 120, Individuo 133 y sus elementos asociados. (A) Límite superior del elemento E116; (B) Elemento E116 parcialmente expuesto; (C) El entierro expuesto en relación con los Objetos 1 a 10 de su ofrenda asociada (continuación).**

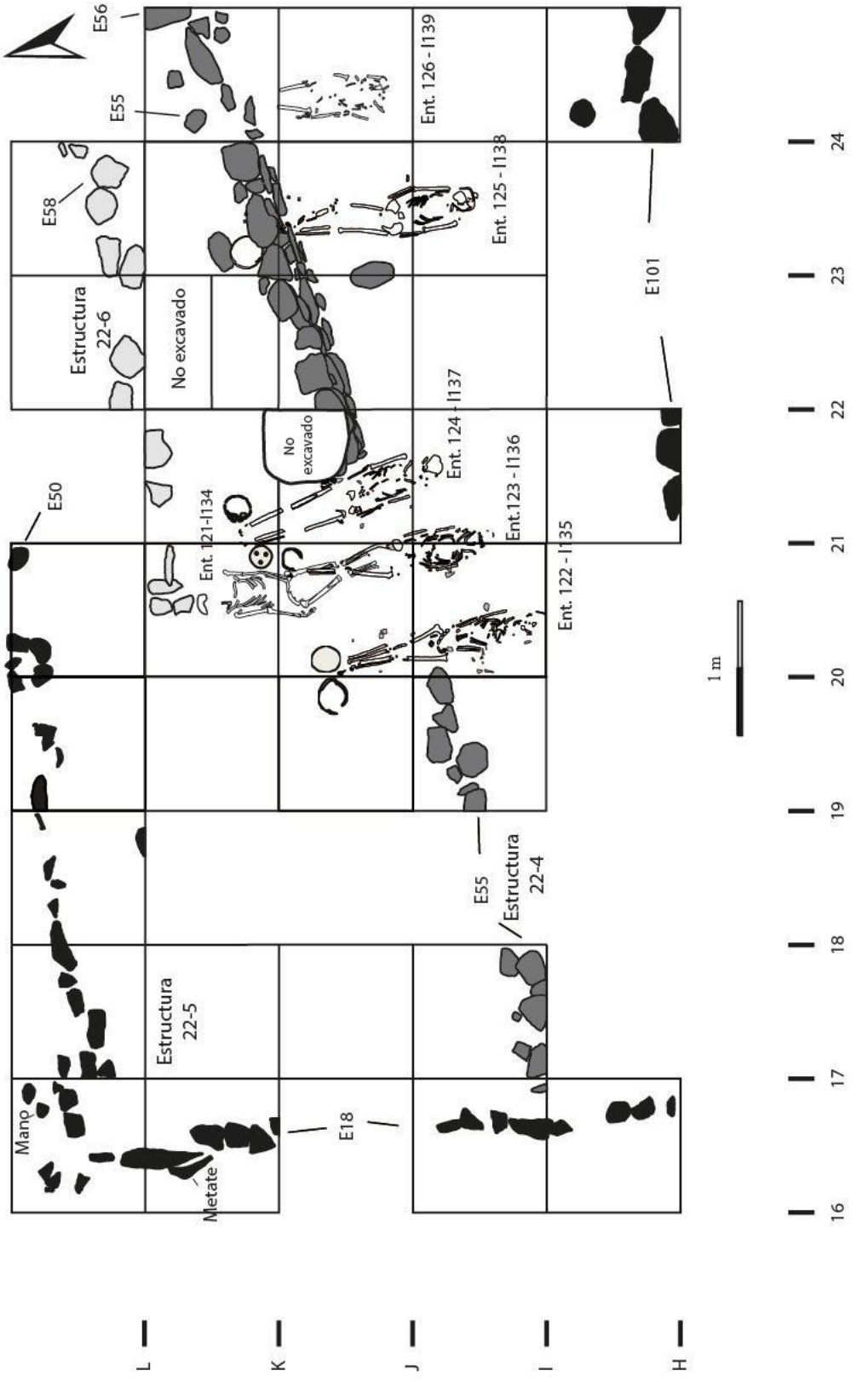



**Figura 2.81 Plano de plataformas residenciales y entierros del Posclásico Temprano en el Bloque central.**

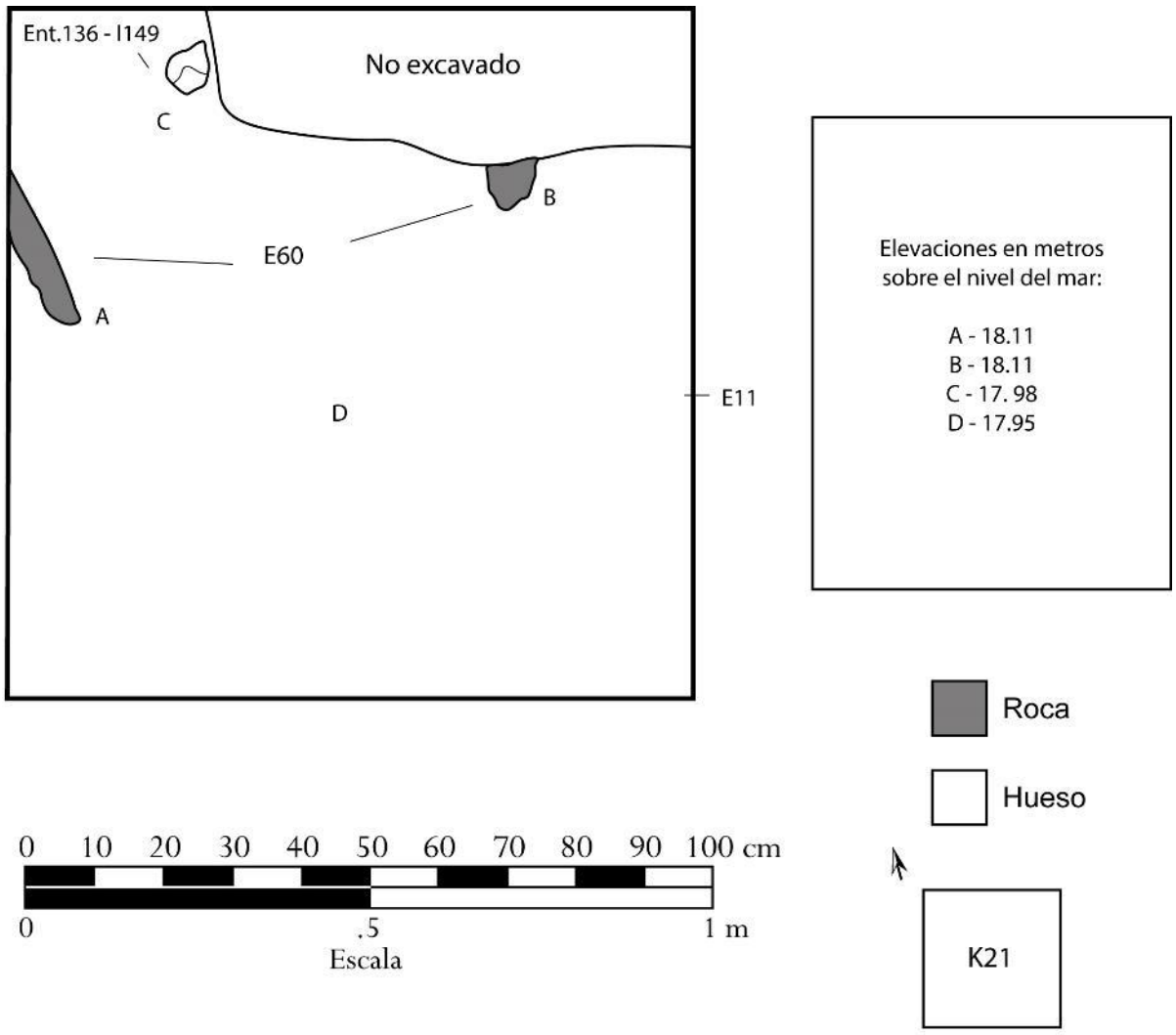



**Figura 2.82 Plano del Entierro 136, Individuo 149.**

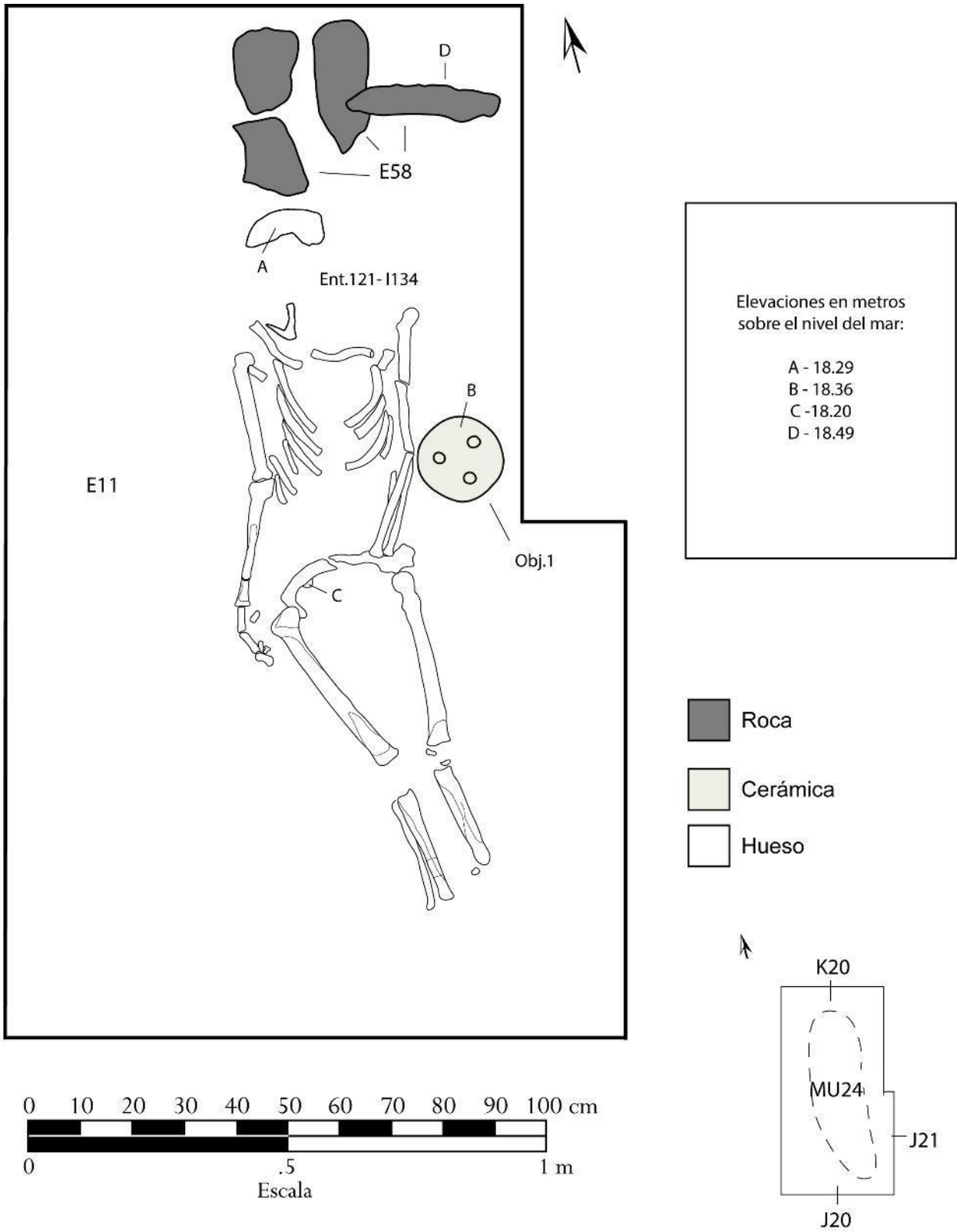



**Figura 2.83 Plano del Entierro 121, Individuo 134.**

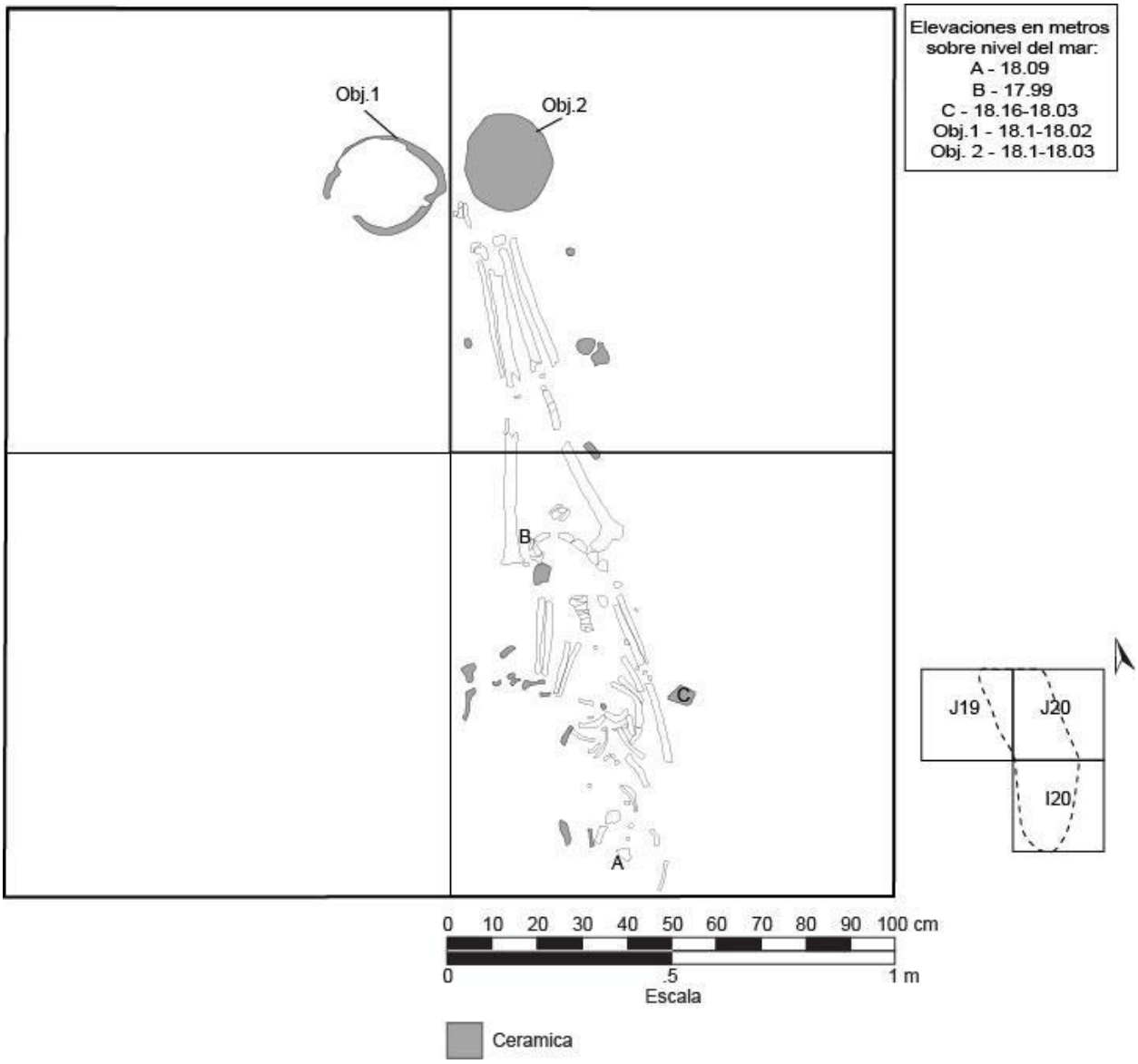



**Figura 2.84 Plano del Entierro 122, Individuo 135.**

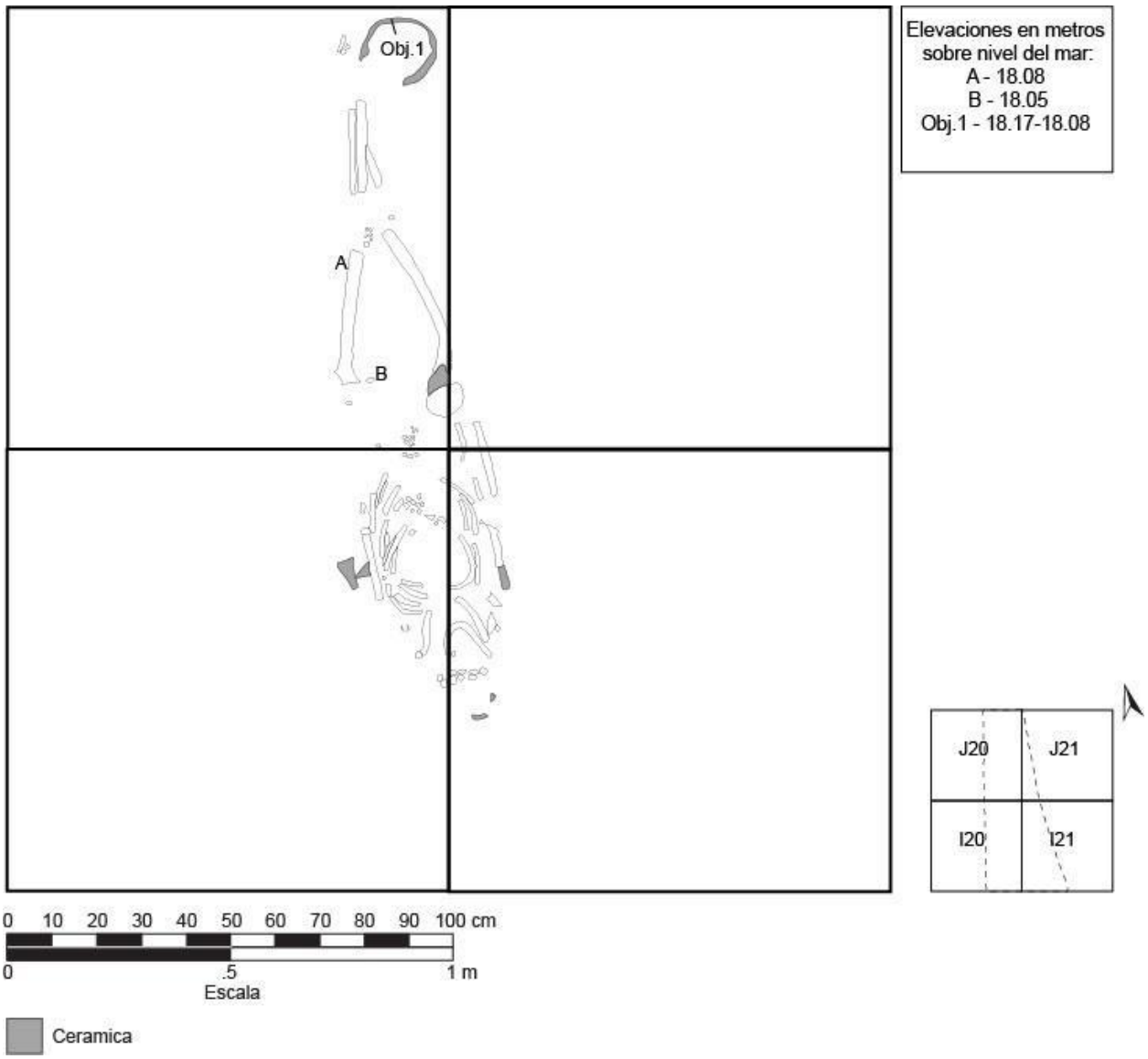



**Figura 2.85 Plano del Entierro 123, Individuo 136.**

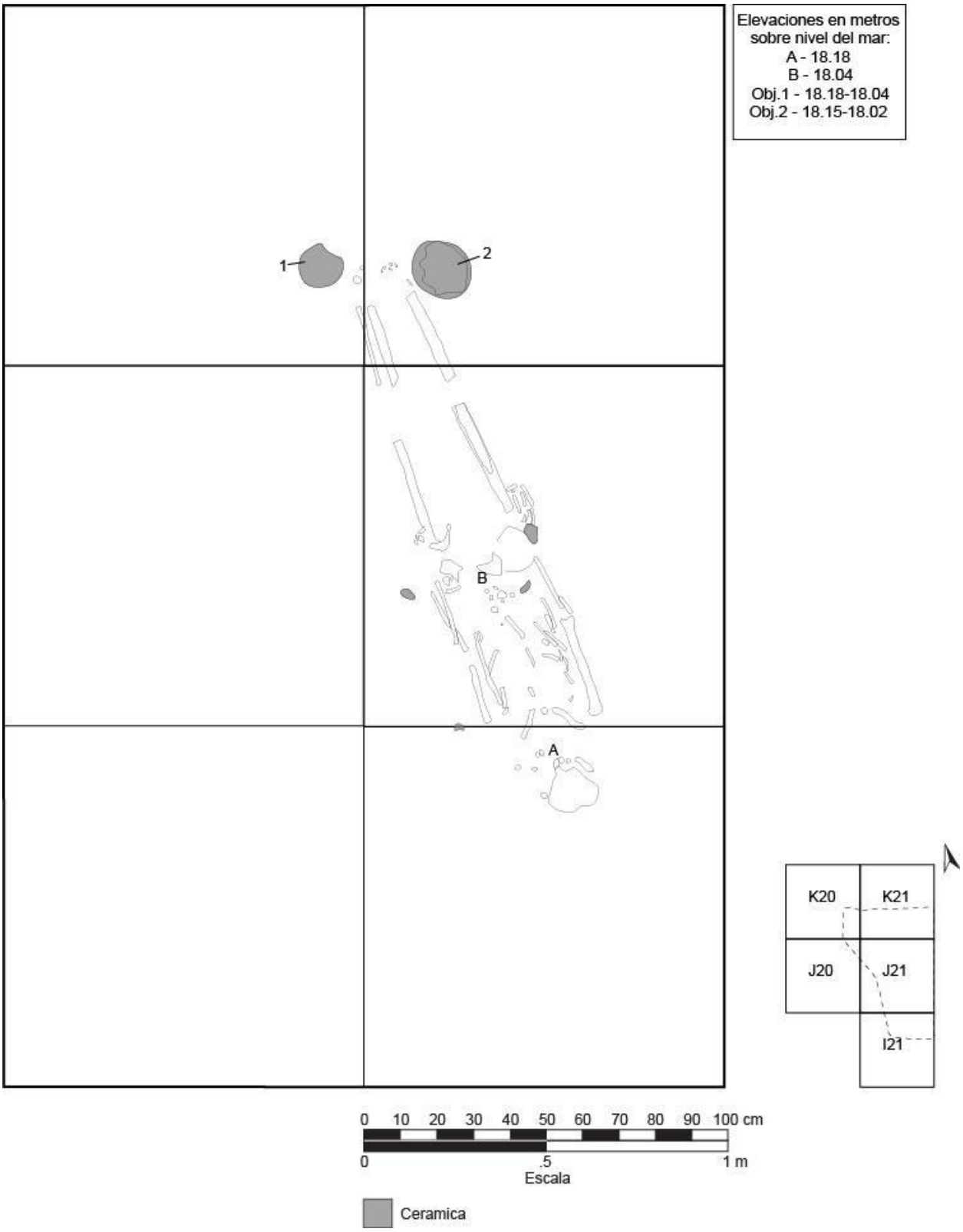



**Figura 2.86 Plano del Entierro 124, Individuo 137.**




**Figura 2.87 Plano del Entierro 125, Individuo 138.**

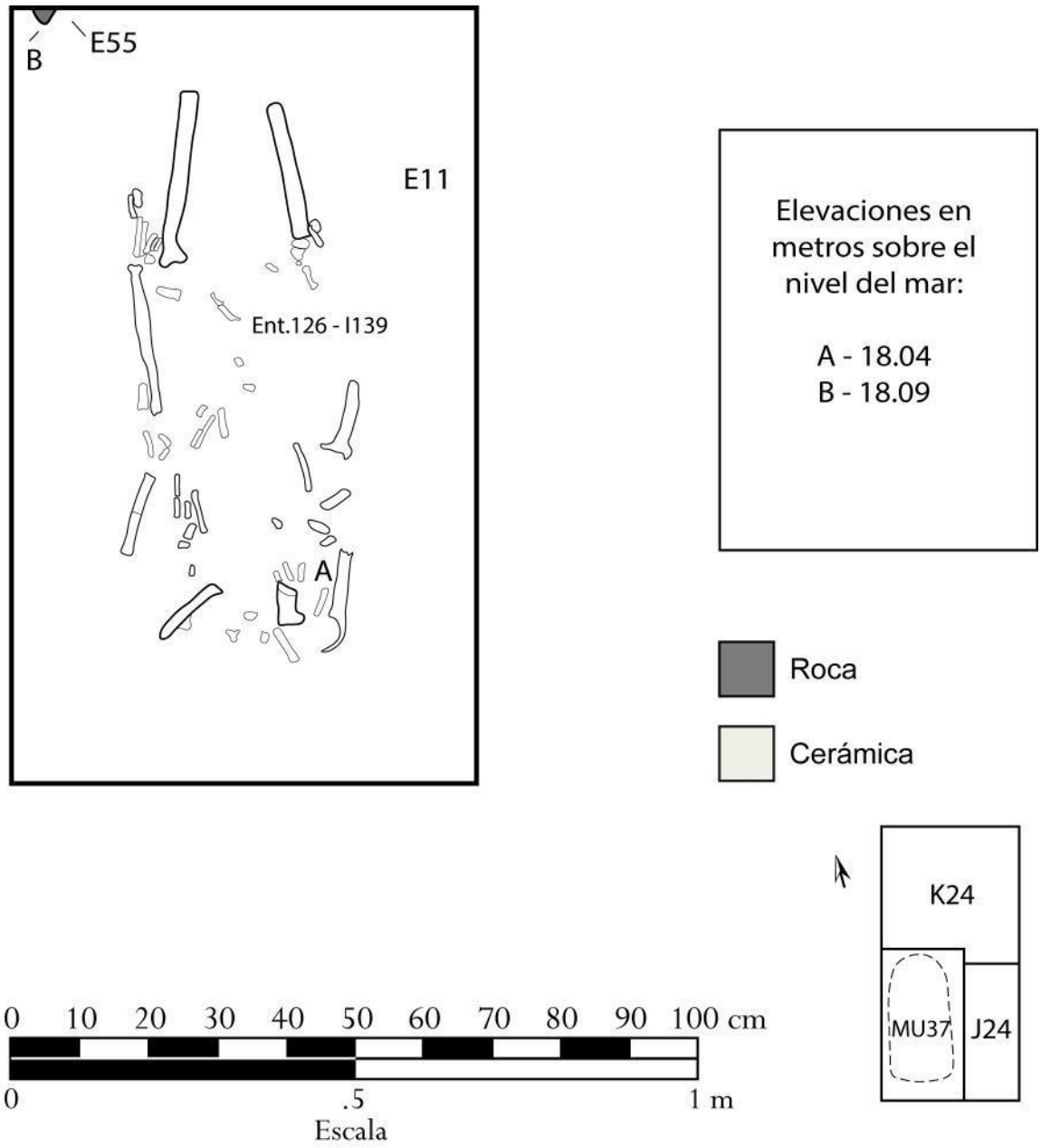



**Figura 2.88 Plano del Entierro 126, Individuo 139.**

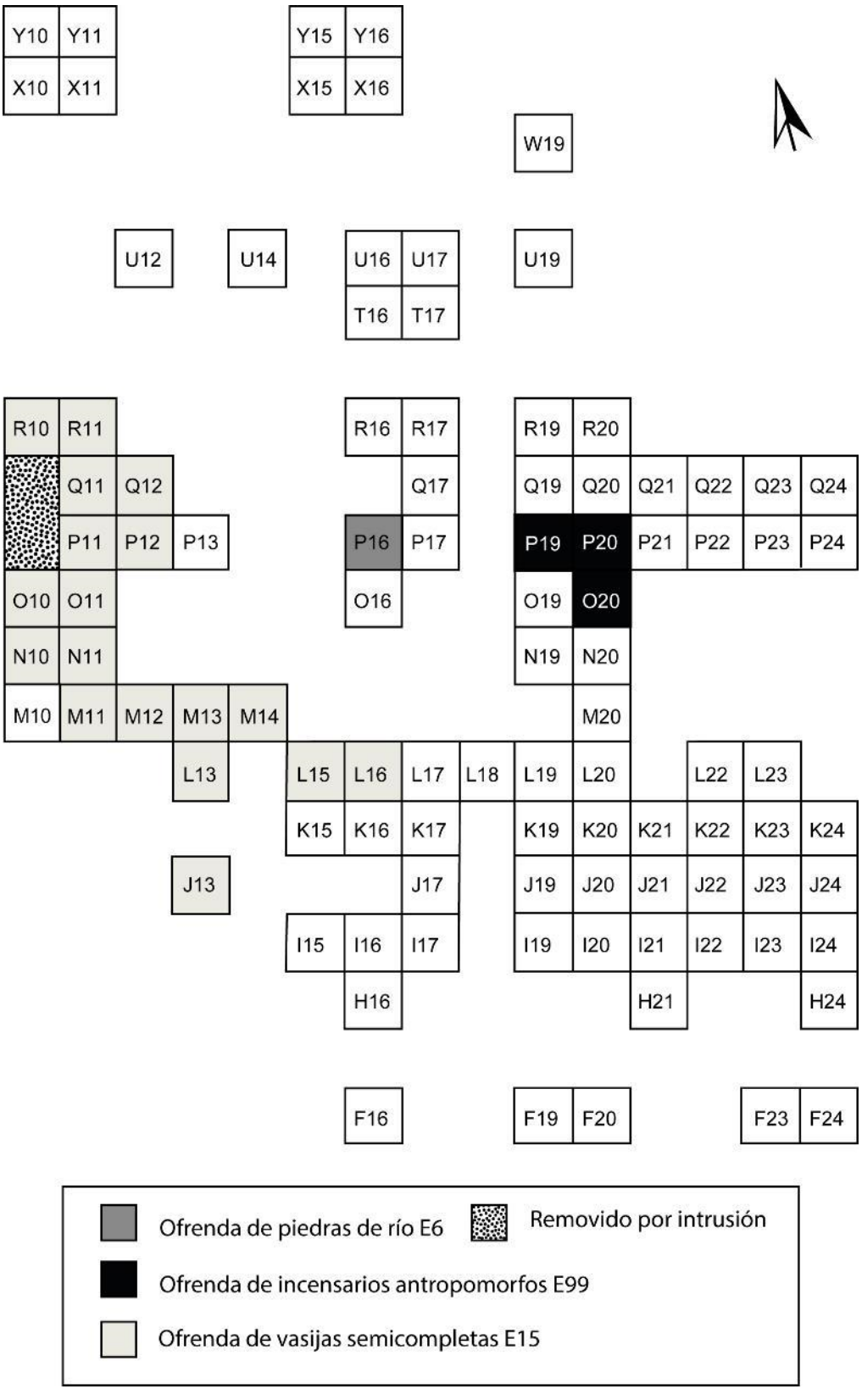



**Figura 2.89 Plano de Operación A con la distribución de las ofrendas excavadas (E6, E15, E99).**

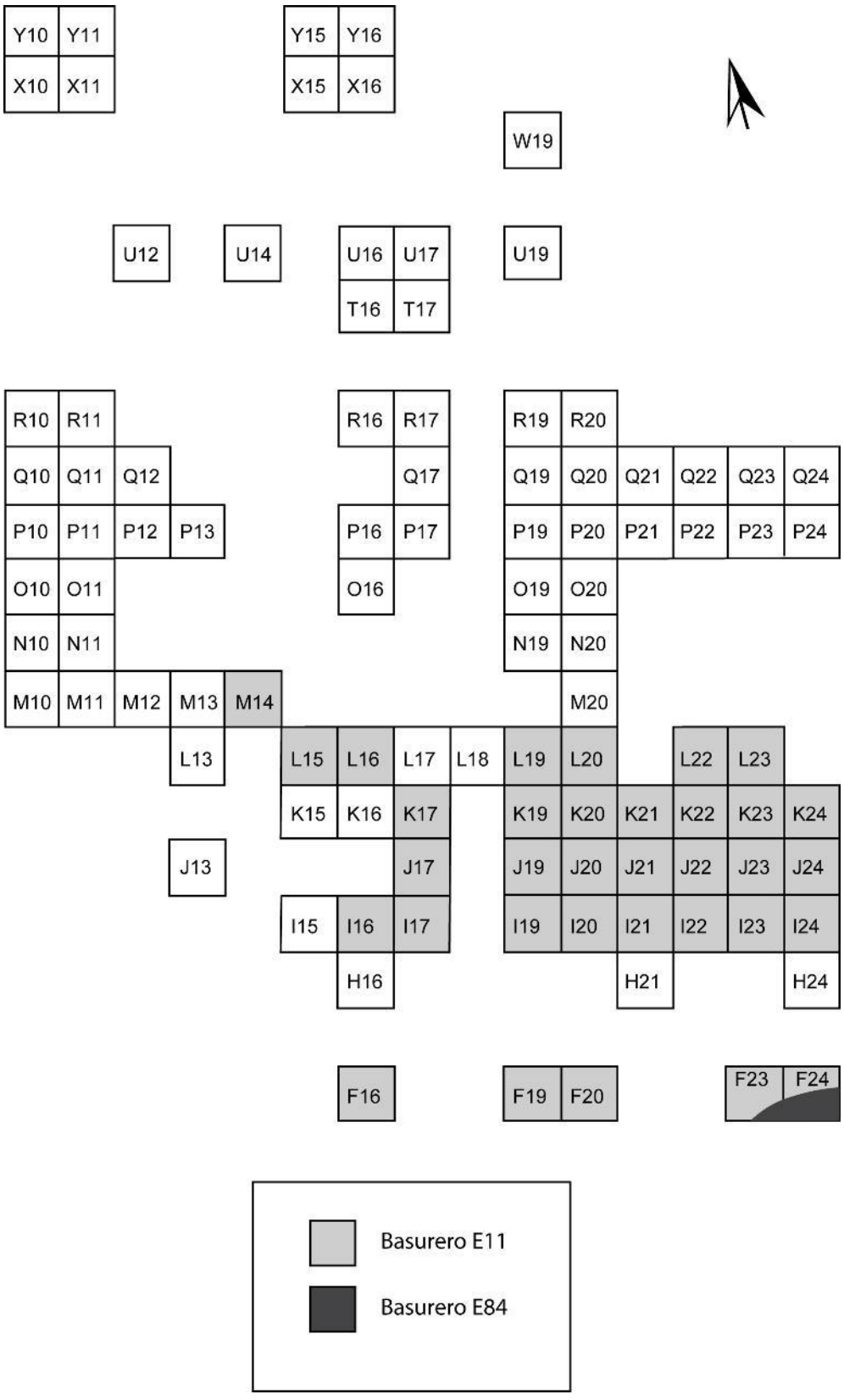



**Figura 2.90 Plano de Operación A mostrando la extensión de los basureros excavados.**

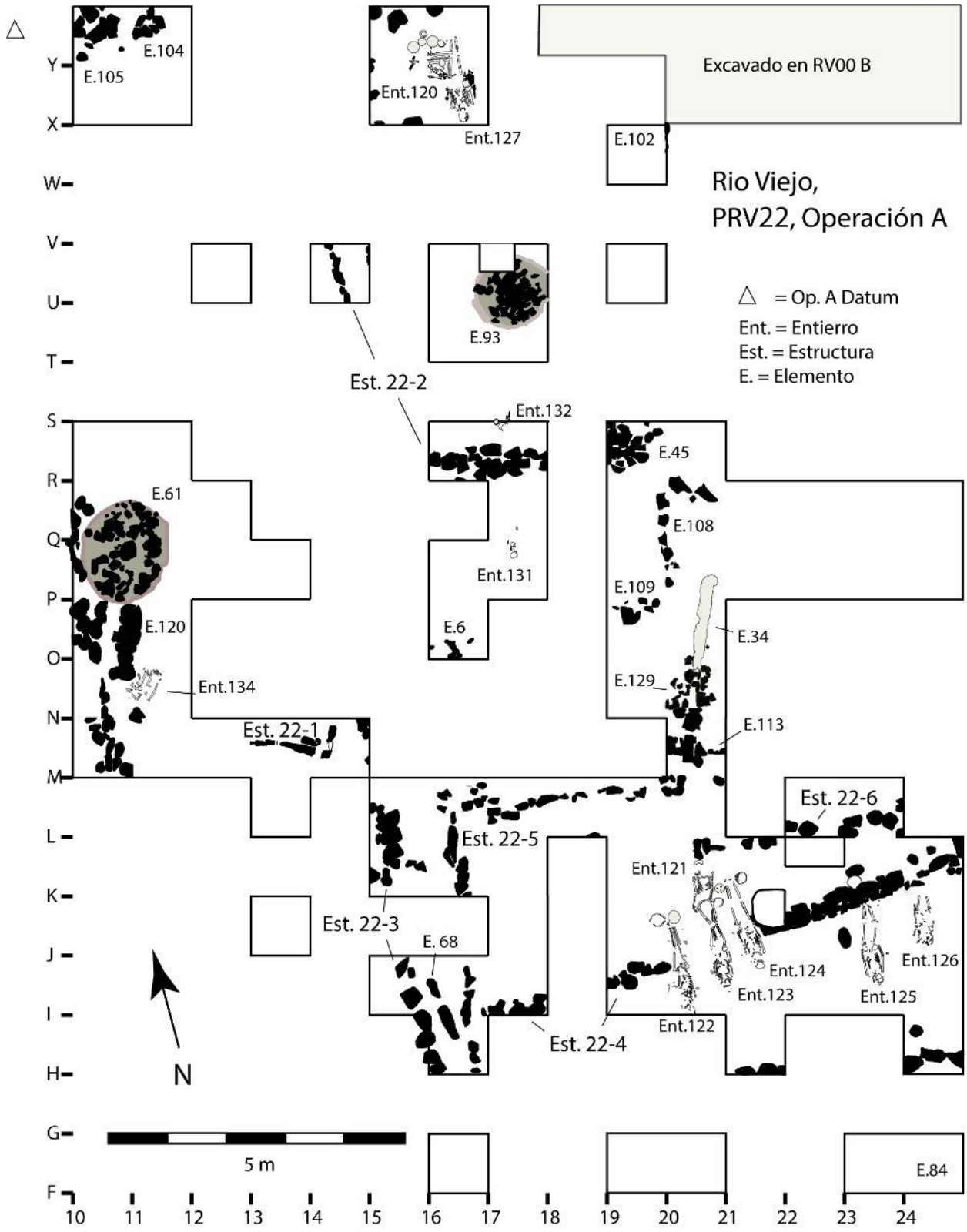



**Figura 2.91 Plano de Operación A, mostrando las estructuras, entierros y elementos excavados, así como el área intervenida por S. King durante la temporada del 2000.**



**Figura 2.92 Fotografía de 7 esferas de arcilla secada en E78-s1.**




**Figura 2.93 Fotografía del Entierro 127, Individuo 140.**




**Figura 2.94 Fotografía de la concentración de cerámica, E22-s2, Al interior de la Estructura E22-s1.**




**Figura 2.95 Fotografía del Entierro 134, Individuo 147.**




**Figura 2.96 Fotografía del horno de tierra complejo. (A) El horno antes de excavar; (B) El horno con las lajas del canal (E120) y las primeras piedras de E61 removidas; (C) Cerámica integrada en la construcción del lado oeste (E119) del canal del horno; (D) Las piedras del horno (E61) y su perfil.**

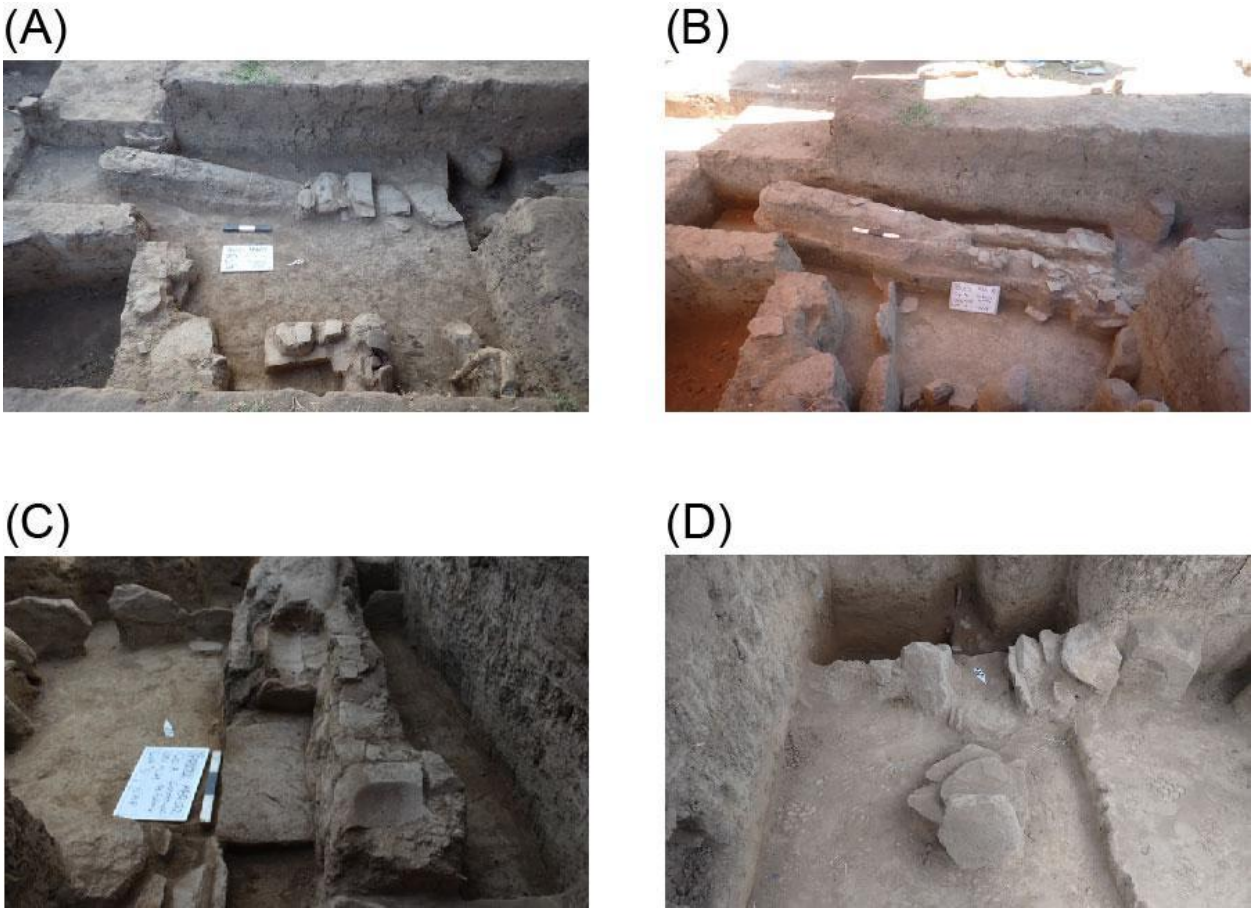



**Figura 2.97 Fotografía del drenaje incluyendo a sus tres secciones. (A) El drenaje de cerámica (E34, E121, E122) con la primera extensión de piedras de lajas (E125); (B) El drenaje con la sección de lajas de piedras expuesto. E125 se removió para ver sus lados (E123 al este y E124 al oeste); (C) El drenaje con la sección de lajas y piedras expuesto. E123 fue removido para exponer el base (E35); (D) La tercera extensión del drenaje donde pasa por E113.**




**Figura 2.98 Fotografía de E31 en perfil, unidades N20 y O20.**

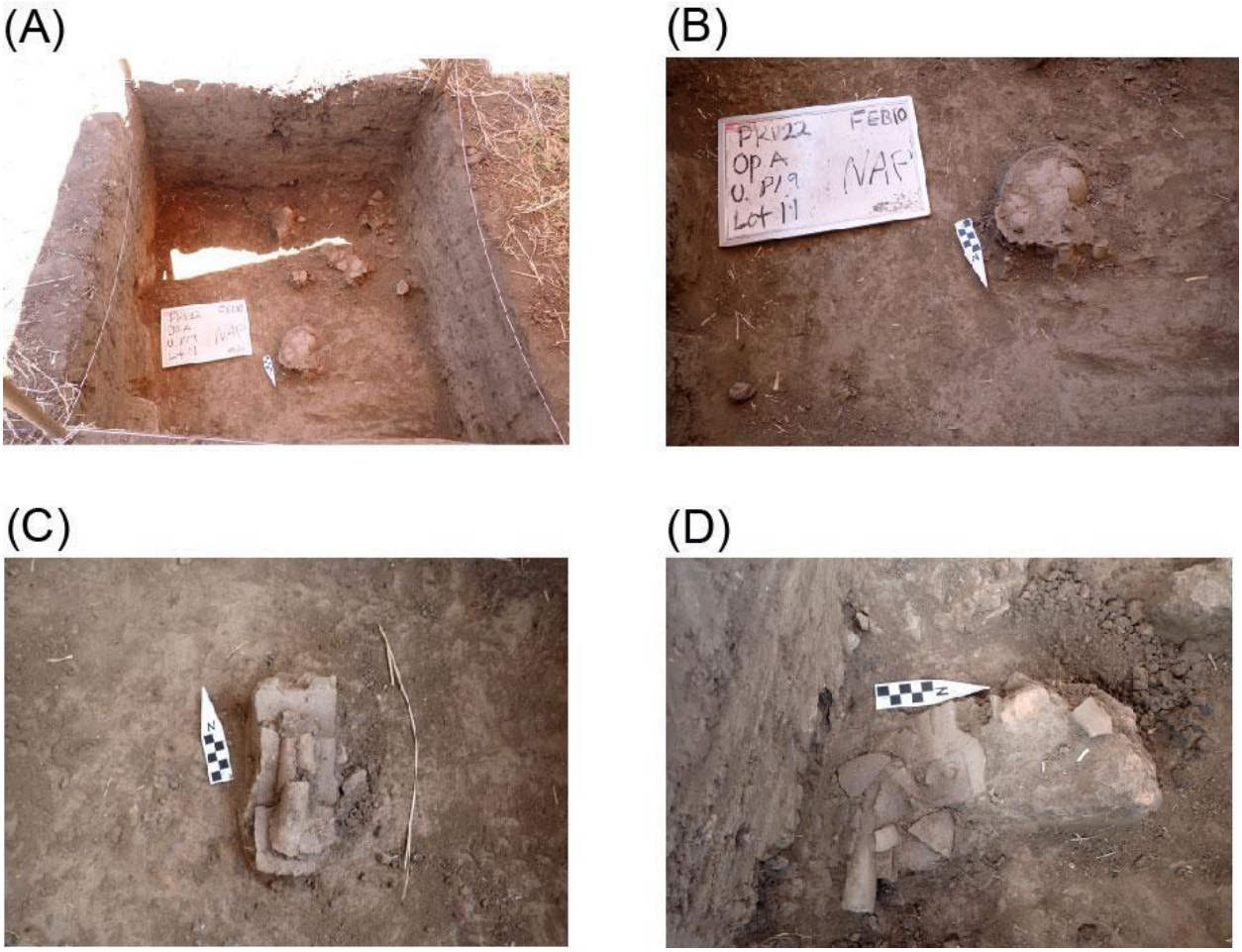



**Figura 2.99 Fotografía de la ofrenda de incensarios antropomorfos, E99, adentro de alineamiento de E108 y E109, en la unidad P19. (A) la unidad completa con (B), (C), y (D); (B) una vasija complete y volteada; (C) Un incensario antropomorfo con que estaba adentro de la vasija en (B); (D) Un incensario antropomorfo en la esquina suroeste.**




**Figura 2.100 Fotografía de la ofrenda de incensarios antropomorfos, E99, alrededor del drenaje de cerámica. (A) El drenaje de cerámica con tres depósitos de incensarios antropomorfos (B) y (C); (B) Un depósito de un incensario antropomorfo quebrado con E34; (C) Un depósito de un incensario antropomorfo quebrado al oeste de E121.**




**Figura 2.101 Muestras de fotografías de unidades con depósitos de terminación (E15). (A) Las unidades L15, y L16, (MU1); (B) La unidad M14; (C) La unidad L13; (D) La unidad Q11.**

A



B



**Figura 2.102 Fotografías del Entierro 120, Individuo 133 *in situ*. (A) Relación de los Objetos 1-5, el individuo y E116-s1; (B) Individuo expuesto en relación con los Objetos 7 a 8; (C) Detalle de los Objetos 1-5.**

**C**



**Figura 2.102 Fotografías del Entierro 120, Individuo 133 in situ. (A) Relación de los Objetos 1-5, el individuo y E116-s1; (B) Individuo expuesto en relación con los Objetos 7-8; (C) Detalle de los Objetos 1-5. (continuación).**




**Figura 2.103 Fotografía de los Objetos 1-4 de las ofrendas del Entierro 120, Individuo 133. (A) Objetos 1 y 4. (B) Objetos 2 y 3.**



**Figura 2.104 Fotografía de los objetos 6-10 asociados con el Entierro 120, Individuo 133.**

(A)




(B)




**Figura 2.105 Fotografía de la aguja de cobre en elemento E54. (A) E54 en la superficie de la unidad Q10 lote 6; (B) La aguja de cobre.**

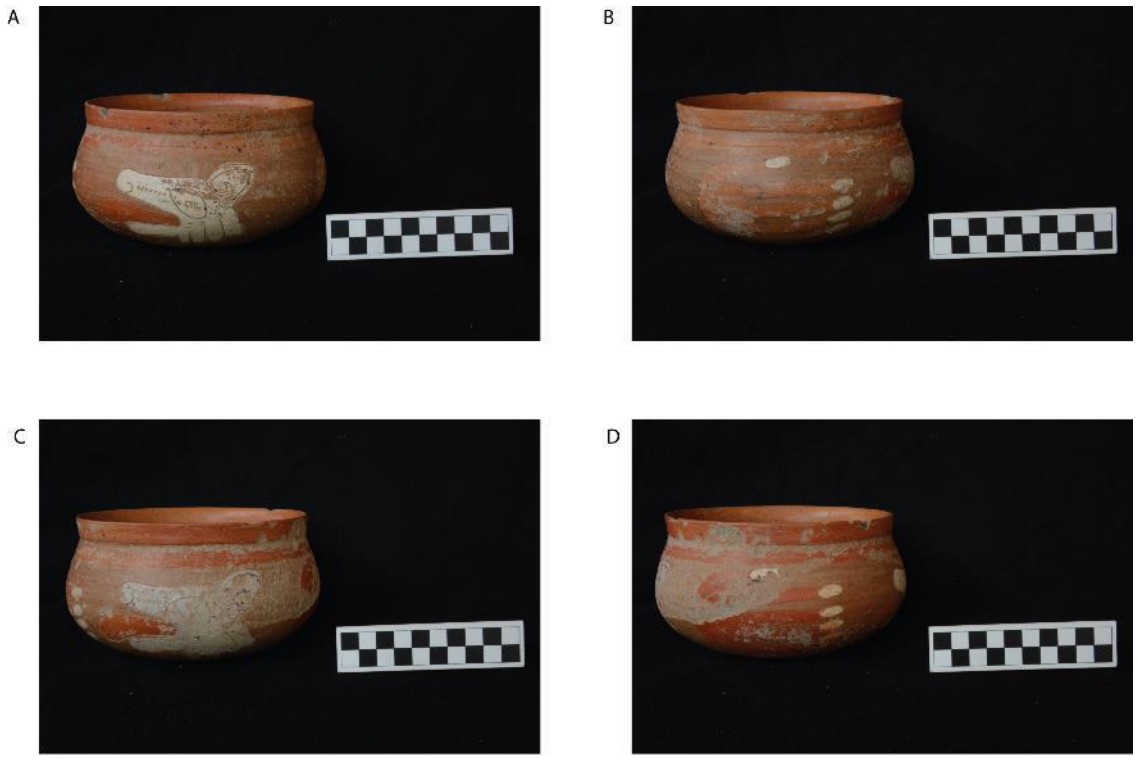



**Figura 2.106 Fotografías del objeto 2 del Entierro 120, Individuo 133.**

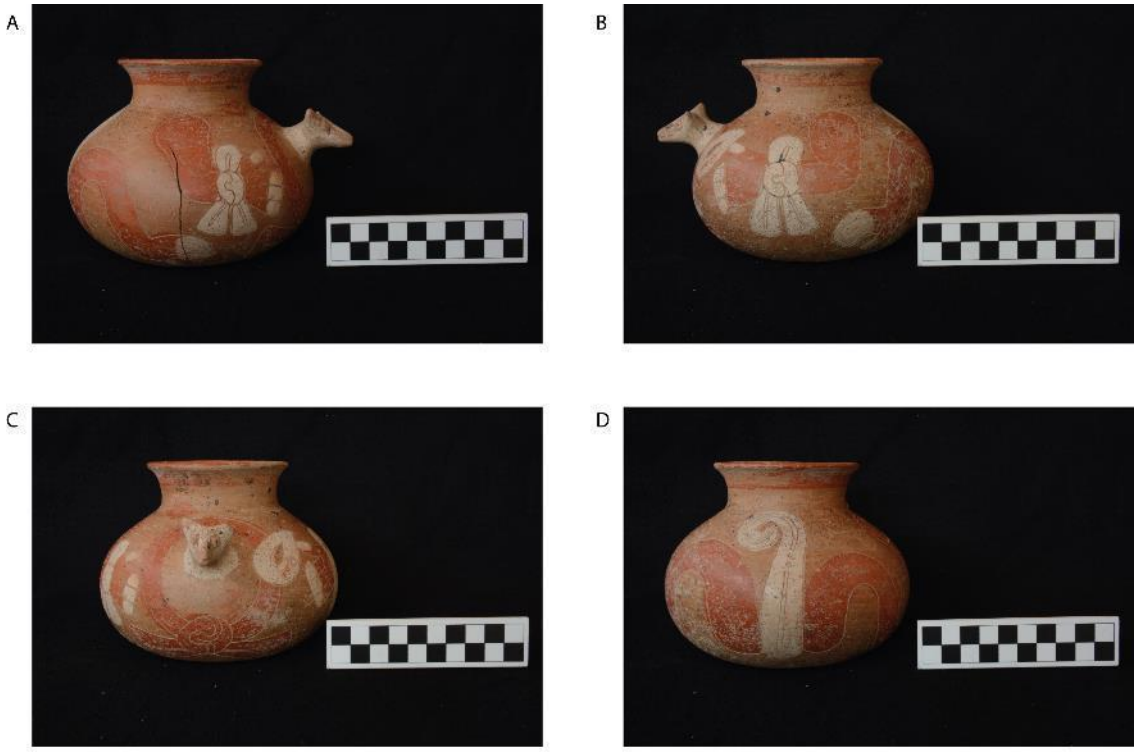



**Figura 2.107 Fotografías del objeto 3 del Entierro 120, Individuo 133.**

# CAPÍTULO 3 – Excavaciones de la Operación B

**Nobuhiko Aiba**
**Andrea Nayely Nava Esparza**
**Akira Ichikawa**

## 3.1. Introducción

Durante el Proyecto Río Verde 2022 (PRV-22) a cargo del Dr. Arthur Joyce y el Dr. Akira Ichikawa, se realizaron excavaciones en dos áreas pertenecientes al sitio arqueológico Río Viejo, las cuales, fueron designadas como Operación A (Op. A) y Operación B (Op. B), y forman parte del proyecto multianual y multidisciplinario para la comprensión y estudio de los cambios sociopolíticos ocurridos en la costa de Oaxaca, durante los periodos del Clásico Tardío al Posclásico Temprano (Figura X.1). El presente capítulo se enfocará en la descripción y entendimiento de las excavaciones realizadas en la Operación B, la cual se localiza aproximadamente a 250 m al Suroeste de la acrópolis central de Río Viejo y a 150 m al Sur de la Operación A, específicamente en las coordenadas N 16°06’ 31.9’’/W 97°44’ 33.7’’ a una elevación de alrededor de 17 m.s.n.m. en la superficie actual. Forma parte de la misma zona de los asentamientos residenciales del sitio, el cual ha sido mapeado y registrado con anterioridad, por lo que en Operación B se realizaron meramente excavaciones de sitio y registro de los hallazgos en campo.

La Operación B (Op. B) consistió en un área de excavación de aproximadamente 400 m², la cual se dividió en dos áreas: Op. B Sur con un área de 210 m² (15m x 14m) y Op. B Norte de 168 m² (12m x 14m) (Figura 3.1). La separación del área excavada se dio en función de lo observado durante los recorridos de superficie y estudios preliminares, los cuales arrojaron alineaciones de rocas visibles en superficie, semejantes en forma a las plataformas bajas de las casas del Posclásico Temprano, identificadas en las investigaciones realizadas en proyectos anteriores (e.g. Joyce et al. 2001; King 2003).

Con la finalidad de conocer los cambios sociopolíticos y de vida doméstica del periodo Clásico Tardío al Posclásico Temprano, se realizaron excavaciones en ambas áreas, de manera intensiva y extensiva, las cuales ayudaron a obtener información, como lo esclarecido en los objetivos del proyecto, sobre la fase Yuta Tiyoo (500-800 d.C.), Yugüe (800-1100 d.C.) y el periodo transicional entre ambas. Lo anterior se puede apreciar en la estratigrafía propia del lugar, cuyo objetivo fue proporcionar datos para la interpretación sobre las etapas constructivas y de ocupación dentro y fuera de las casas, además, de los elementos, concentraciones de diversos artefactos y entierros asociados, localizados dentro de la excavación.

## 3.2. Metodología

Para las excavaciones de los espacios domésticos en la Op. B, se hizo uso de la metodología estandarizada de los proyectos pasados del bajo Río Verde (Barber y Joyce 2011, 2012; Joyce 1999, 2009; Joyce y Barber 2015a, 2021; Joyce y Levine 2009; Joyce et al. 1998). Se comenzó con trabajos de limpieza en el área para dejar al descubierto las alineaciones visibles en superficie, las cuales fueron tomadas a consideración para el trazado de las retículas de excavación y dado que, dichas alineaciones contaban con una inclinación cercana a 90° al Norte, se les dio estos grados de orientación a las líneas guía de la retícula. Cada retícula contaba con cuadros de excavación de 1 m x 1 m, para el sistema de identificación se utilizó un código Alpha numérico y se insertó todo dentro de una misma área, por lo que el nombramiento de las unidades era de manera compartida entre ambas estructuras, comenzando los números de manera creciente desde el Oeste al Este (1,2,3…) y las letras de Sur a Norte (A, B, C…), así la primera unidad en el sistema de Op. B iniciaba con A10 manteniendo la letra hacía el Este por ejemplo A11, A12, A13, etc. Y al Norte cambiando la letra, A11, B11, C11, etc. Al compartir un mismo sistema al terminarse las letras se utilizaron dobles, es decir, AA, BB, CC, etc. Es así que el área Sur comenzaba en A10 y el área Norte en FF23 (Figura 3.1). Como parte de la nomenclatura implementada en las excavaciones, contamos con los

siguientes términos: Ent. para referirnos a Entierro y "I" para individuo, ambos con un número consecutivo en relación con los proyectos anteriores. En caso de existir más de un individuo el número de entierro se mantiene y se contará con diferente número de individuo. Para la lectura de las tablas estratigráficas a cada uno de los elementos (E) se asignó un número respectivo con su relación a los estratos y periodos, comenzando desde lo más cercano a la superficie, y al tener estratos que formarán parte del mismo contexto o elemento se mantuvo el elemento y se añadió un número de subestrato (s), por ejemplo, E1-s3. En casos donde un elemento abarcaba más de una unidad arbitraria, el área excavada fue llamada "multi unidad". Durante la excavación de la Operación B se asignaron dos multi unidades en la Op. B Sur y 16 multi unidades en la Op. B Norte (Tabla 3.1 y 3.2).

**Tabla 3.1: Multi-unidades de la Operación B Sur**

| Número de Multi-unidad (MU) | Unidades Incluidas | Dimensiones horizontales aproximadas (E-O x N-S) | Razonamiento detrás de la creación de MU |
|---|---|---|---|
| MU-1 | C18, C19, D18, D19 | 2m x 2m | Los investigadores establecieron la MU para poder tener un mejor entendimiento sobre la arquitectura de la formación de rocas dispuesta en forma circular, además de poder conocer con exactitud las dimensiones y unidades que abarcaba. |
| MU-2 | A18, A19, B18, B19 | 2m x 2m | Creada con la finalidad de la excavación, registro y extracción en bloque del Ent. 133 I146, además del manejo de los materiales en nivel. Y al excavar se localizó Muro 5 (E19) por lo que se manejó su registro dentro de la misma. |

**Tabla 3.2: Multi unidades de la Operación B Norte**

| Número de Multi-unidad (MU) | Unidades incluidas | Dimensiones horizontales aproximadas (E-O x N-S) | Razonamiento detrás de la creación de MU |
|---|---|---|---|
| MU-1 | KK40, KK41, JJ40, LL41 | 1m x 2m | La apertura de esta MU se realizó para la excavación, registro y extracción del Ent. 117 I130. |

| | | | |
|---|---|---|---|
| MU-2 | LL38, MM38 | 1m x 2m | Se estableció para la exploración de la parte inferior de un entierro que después de identificaría como Ent. 135 I148. Además, como parte de la exploración en busca de la continuación del Muro 4. |
| MU-3 | LL37, MM37 | 1m x 2m | El establecimiento de esta MU, fue con relación directa al Ent. 135 I148, ya que se realizó con el fin de colocarlo sobre un pedestal para su futura extracción, esto debido a que se encontraba debajo del Muro 1. |
| MU-4 | LL39, LL40, KK39, KK40, JJ39, JJ40 | 2m x 3m | Creada con la finalidad de la excavación, registro y extracción en bloque del Ent. 118 I131, además del manejo de los materiales en nivel. |
| MU-5 | KK38, KK39, LL38, LL39 | 2m x 2m | Creada con la finalidad de la excavación, registro y extracción en bloque del Ent. 119 I132, además del manejo de los materiales en nivel. |
| MU-6 | KK40, LL40 | 1m x 2m | Creada para el manejo y registro de los materiales recuperados al bajar nivel para poder colocar en pedestal Ent.118 I131. Debido a la ubicación del individuo se tuvo que extraer comenzando desde el Este. |
| MU-7 | PP31, PP32, QQ31, QQ32 | 2m x 2m | Apertura de MU para exponer la forma y dimensiones del horno. Además, para la excavación y registro de materiales recuperados al realizar trinchera al interior del mismo. |
| MU-8 | II37, II36, JJ37, JJ36, KK37 | 2m x 3m | Creada para la excavación y registro de los materiales que se encuentran sobre una concentración correspondiente al Clásico Tardío. Además, para alcanzar nivel y descubrir el límite vertical del Muro 4. |
| MU-9 | GG35, HH35 | 1m x 2m | Se estableció para descubrir los límites verticales y la profundidad del Muro 4. Y para el registró de los materiales recuperados. |

| | | | |
|---|---|---|---|
| MU-10 | MM36, MM37, NN36, NN37 | 2m x 2m | Se creó con la finalidad de la excavación, registro y extracción en bloque de los Ent. 128 I141, 129 I142 y 130 I143, además del manejo de los materiales recuperados en el nivel. |
| MU-11 | HH34, HH35 | 2m x 1m | Los investigadores establecieron la apertura de esta MU con el fin de conocer los materiales y estratos, dentro y debajo del Muro 4 para nivelar con las demás unidades dentro del Muro 4. |
| MU-12 | II34, II35 | 2m x 1m | Se estableció la apertura de esta MU con el fin de conocer los materiales y estratos, dentro y debajo del Muro 4. Además, para nivelar al piso con las demás unidades dentro del Muro 4. |
| MU-13 | II36, II37 | 2m x 1m | Los investigadores establecieron la apertura de esta MU con el fin de conocer los materiales y estratos, fuera y debajo del Muro 4. |
| MU-14 | HH34, II34 | 1m x 2 m | Apertura de MU, con la finalidad de conocer materiales fuera del Muro 4. Dado en razón por la identificación de una concentración de materiales. |
| MU-15 | JJ40, KK40, JJ41, KK41 | 2m x 2m | Establecimiento de MU, por el descubrimiento de un entierro de fauna, colocado en los límites de cuatro unidades. Se abrió con la finalidad de exponer, registrar y retirar entierro en bloque. Aunque se estableció como multi unidad, JJ41 y KK40 no fue excavado. |
| MU-16 | KK37, LL37 | 1m x 2m | Creada con la finalidad de la excavación, registro y extracción en bloque del Ent. 135 I148, además del manejo de los materiales en nivel. |

Las excavaciones se comenzaron trazando una cala en dirección Sur - Norte y Oeste - Este, alrededor de los elementos visibles en superficie, las cuales se extendieron de extremo a extremo de las retículas trazadas, para así conocer la estratigrafía del sitio. Se comenzó excavando en niveles arbitrarios de 5 y 10 cm, y una vez identificada la estratigrafía se bajó por estratos culturales y/o naturales. Los sedimentos extraídos de las unidades de cribaron con mallas de 0.5 cm, con el fin de recolectar los artefactos contenidos en el estrato, los cuales fueron separados por materia prima o tipo de artefactos y a los que se les dio un *Field Specimen* (FS) único, para el caso de Op. B se manejaron dos secuencias numéricas, de 5000 en adelante para lo recolectado en la Op. B Sur y a partir de 8000 para la Op. Norte. Una vez realizadas las excavaciones en las calas, estas se expandieron de manera horizontal siguiendo los elementos descubiertos, como alineaciones de rocas, entierros, hornos, concentraciones de materiales, etc. De este modo fue factible conocer las superficies ocupacionales y elementos contemporáneos entre sí. Adicional a esto se realizaron dibujos *in situ*, en escala 1:10 de los elementos en superficie y aquellos hallazgos considerados relevantes para la investigación, además de complementarse con fotografías digitales de planta y perfil. En adición, se fotografiaron con drone (DJI Phantom 4) las áreas de excavación a fin de registrar y comprender mejor las relaciones de cada elemento registrado (Figura 3.2). El área total de las unidades excavadas es de 130 m² totales, para Sur 48 m² y Norte 82 m². Todas las unidades excavadas fueron rellenadas al terminarse los trabajos de campo.

El control de profundidad de los elementos, estratos y elevaciones registrados en campo se realizó a partir de un Datum colocado para Op. B y a partir de este, diversos puntos de control colocados al exterior de la retícula a partir del Datum base, los cuales se muestran a continuación (Tabla 3.3).

**Tabla 3.3. Datum establecidos en la Operación B.**

| **Sur** | |
|---|---|
| **Estaca** | **Metros Sobre el Nivel del Mar (m.s.n.m)** |
| Base | 17.832 |
| A1 | 18.382 |
| B1 | 17.862 |
| C1 | 17.712 |
| D1 | 17.542 |
| AB | 18.342 |
| AC | 18.172 |
| BD | 17.872 |
| CD | 17.802 |
| **Norte** | |
| Base | 17.477 |
| A | 17.377 |
| B | 17.357 |
| C | 17.267 |
| D | 17.387 |

## 3.3. Operación B Sur

Para las excavaciones en la Operación B Sur (Op. B Sur) se consideró la existencia de una elevación en el área, aproximadamente a un metro de mayor altitud que la Operación B Norte (Op. B Norte), además se observó una alineación de rocas de aproximadamente siete metros de longitud con orientación Oeste-Este visible en superficie, a partir de la cual se hizo el trazado de la cala de excavación inicial. Para Sur-Norte se realizó sobre las unidades A17 hasta M17, intercalando entre cada dos unidades y para Oeste-Este sobre las unidades H12-H21, de la misma manera intercalada. Con la finalidad de conocer y entender la distribución espacial de elementos y artefactos, se realizaron excavaciones más amplias.

En resumen, como se mencionará más adelante, por medio de la excavación de Op. Sur se registraron elementos correspondientes a los períodos Yuta Tiyoo de Clásico Tardío y Yugüe de Posclásico Temprano, los cuales forman parte principal de los objetivos para este proyecto (Figura 3.3 y Tabla 3.4).

A continuación, se presentan las tablas que explican y describen los estratos y elementos encontrados en el área de excavación.

**Tabla 3.4. Descripción de los elementos estratigráficos encontrados en la Operación B Sur**

| Número de Estrato | Unidades | Descripciones Munsell y Sedimento | Fecha probable | Proceso de Formación | Comentario |
|---|---|---|---|---|---|
| E1 | Todas las unidades | 10YR 5/1; Arcilla limosa de color gris | Yugüe o más reciente | Suelo moderno | Nivel de superficie actual. Muy afectado por la vegetación. Con presencia de bajareque y baja cantidad de cerámica erosionada. Perturbación causada por roedores y raíces. |
| E2 | A19, B18, D10, D11, D12, D17, F17, G17, H12, H13, H17, H18, H19, H20, H21, I17, J17, M16, M17 | 10YR 6/3; Marga arcillo-limosa de color café claro | Yugüe | Coluvión y desecho ocupacional | Contiene una cantidad relativamente alta de tiestos de cerámica y fragmentos de bajareque. Inclusiones de gravilla. |
| E3 | MU1 | N/A | Yugüe | Círculo formado por rocas | Círculo formado de rocas, de aproximadamente dos metros de diámetro, que incluye fragmentos de metates en su composición. Fue construido después de E23 |
| E23 | B20, B21, C17, C18, C19, D14, D15, D16, D17 | N/A | Yugüe | Muro 1 | Alineación de rocas con orientación Oeste – Este (aproximadamente de 7m de longitud con inclinación de 20°), que formaba parte de una plataforma de residencia, denominado como Est. 22-8. |

| | | | | | |
|---|---|---|---|---|---|
| E4 | A17, D17 | 10YR 5/3; Arcilla limosa de color café | Yugüe o Yuta Tiyoo | Relleno de construcción | Capa muy homogénea y compacta, sin inclusiones Posiblemente es una tierra seleccionada con la finalidad de formar el piso de una residencia. |
| E5 | A17, B19, C15, C16 | 10YR 6/2; Arcilla limosa de color café grisáceo claro | Yugüe | Relleno de construcción | Estrato con presencia alta de barro quemado color amarillo rojizo (5YR 6/6). Contiene una gran cantidad de tiestos de cerámica. Posiblemente parte de la preparación de un suelo para una construcción residencial (E23). |
| Ent. 133-I146 | MU2 | N/A | Yugüe | Entierro | Entierro con posición de decúbito lateral izquierdo flexionado sin ofrenda. Fue encontrado dentro del relleno de construcción (E23). Con orientación céfalo caudal Este-Oeste. |
| E6 | A17, A18, A19, B18, B20, D17 | 10YR 5/3; Arcilla limosa de color café | Yugüe o Yuta Tiyoo | Relleno de construcción | Relleno de construcción asociada con E23. Contiene fragmentos de cerámica, bajareque y concha; con presencia de gravilla. Perturbación causada por raíces. |
| E7 | H18, H19, H20, H21 | N/A | Yugüe | Muro 2 | Alineamiento de rocas en el eje Oeste-Este (aproximadamente de 4 m de longitud con una inclinación de 15°) localizado aproximadamente a cinco metros al Norte del Muro 1, se encuentra muy deteriorado. Probablemente sirvió como muro de contención para crear un espacio de terraza. |
| E8-s1 | D17, F17, G17, D12, D11, D10, D18 | 10YR 7/4; Arcilla limosa de color café muy pálido (claro) | Yuta Tiyoo o Yugüe | Relleno de construcción | Relleno con tiestos de cerámica, fragmentos de concha y bajareque, con presencia de gravilla. |

| | | | | | |
|---|---|---|---|---|---|
| E8-s2 | H13 | 10YR 6/4; Arcilla limosa de color café amarillento claro | Yuta Tiyoo o Yugüe | Relleno de construcción | Contiene inclusiones de fragmentos de concha y bajareque. |
| E8-s3 | G17, H12, H13, H16, H18, H19, H20, H21, H22, I17, J17, M16, M17, O14, O19 | 10YR 6/3; Arcilla limosa de color café claro | Yuta Tiyoo o Yugüe | Relleno de construcción | Contiene inclusiones de fragmentos de concha, cerámica y bajareque. Con presencia de gravilla. Perturbación causada por raíces. |
| E9-s1 | M16, M17 | 10YR 7/3; Arcilla limosa de color café muy pálido | Yuta Tiyoo o Yugüe | Relleno de construcción | Contiene inclusiones de cerámica, concha, gravilla y bajareque. |
| E9-s2 | M16, M17 | 10YR 7/2; Arcilla limosa de color gris claro | Yuta Tiyoo o Yugüe | Relleno de construcción | Contienen inclusiones de cerámica, concha y gravilla. Perturbación causada por raíces. |
| E10 | D10, D11, D12 | 10YR 6/4; Arcilla limosa de color café amarillento claro | Yuta Tiyoo | Relleno de construcción | Contiene inclusiones de cerámica y bajareque. |
| E11-s1 | M16, M17 | 10YR 6/2; Arcilla limosa de color gris café claro | Yuta Tiyoo | Relleno de construcción | Capa que contiene una parte densa de conchas muy fragmentadas. |
| E11-s2 | A17, B18 | 10YR 6/2; Arcilla limosa de color gris cafesoso | Yuta Tiyoo | Relleno de construcción | Contiene inclusiones de cerámica, bajareque, y gravillas. Perturbaciones causadas por raíces. |
| E11-s3 | D11, D12 | 10YR 6/2; Arcilla limosa de color gris parduzco claro | Yuta Tiyoo | Relleno de construcción | Capa con fragmentos de bajareque. |
| E12-s1 | M16, M17 | 10YR 8/2; Arcilla de color café muy pálido | Yuta Tiyoo | Relleno de construcción | Estrato con inclusiones de cerámica, bajareque, concha y gravilla. |
| E12-s2 | A17, B18, B19 | 2.5Y 6/3; Arcilla limosa de color café | Yuta Tiyoo | Relleno de construcción | Capa con inclusiones de concha y gravilla. Perturbaciones causadas por raíces. |

| | | | | | |
|---|---|---|---|---|---|
| | | amarillento claro | | | |
| E12-s3 | D11, D12 | 10YR 6/1; Marga arcilla-limosa de color gris | Yuta Tiyoo | Relleno de construcción | Capa con inclusiones de gravilla. |
| E13-s1 | M16, M17 | 10YR 7/3; Arcilla limosa de color café muy pálido | Yuta Tiyoo | Relleno de construcción | Capa con inclusiones de cerámica, bajareque y gravilla. |
| E13-s2 | A17, B18, B19 | 10YR 6/3; Arcilla limosa de color café claro | Yuta Tiyoo | Relleno de construcción | Capa con inclusiones de cerámica, concha y bajareque, incluye carbones. |
| E14 | M16, M17 | 10YR 8/2; Arcilla limosa de color café muy pálido | Yuta Tiyoo | Relleno de construcción | Capa con presencia de cerámica y gravilla. |
| E15-s1 | G17, H16, I17 | 10YR 5/4; Arcilla arenosa de color café amarillento | Yuta Tiyoo | Relleno de construcción | Capa con inclusión de gravilla. Perturbaciones causadas por raíces. |
| E15-s2 | G17 | 10YR 6/2; Marga arenosa de color gris café claro | Yuta Tiyoo | Relleno de construcción | Estrato con inclusión de gravilla. Perturbaciones causadas por raíces. Se observa solamente en los perfiles Norte y Este de la Unidad G17. |
| E15-s3 | G17, H12, H13, J17, I17 | 10YR 7/3; Arcilla limosa de color café muy pálido | Yuta Tiyoo | Relleno de construcción | Estrato con inclusiones de concha, cerámica y gravilla. |
| E15-s4 | H12, H13 | 10YR 6/3; Marga arcilla-limosa de color café claro | Yuta Tiyoo | Relleno de construcción | Estrato con inclusiones de gravilla y concha. |
| E15-s5 | H12, H13 | 7.5YR 6/1; Marga limosa de color gris | Yuta Tiyoo | Relleno de construcción | Sin inclusión. |
| E15-s6 | H13 | 10YR 7/3; Arcilla limosa de color café muy pálido | Yuta Tiyoo | Relleno de construcción | Sin inclusión. |
| E15-s7 | H12, H13, H14 | 10YR 6/3; Arcilla limosa | Yuta Tiyoo | Relleno de construcción | Sin inclusión. |

| | | | | | |
|---|---|---|---|---|---|
| | | de color café claro | | | |
| E15-s8 | G17, H12, H13, H16, H21, H22 | 10YR 6/4; Marga arcillo-limosa de color café amarillento claro | Yuta Tiyoo o anterior | Relleno de construcción | Estrato con presencia de tiestos de cerámica. |
| E15-s9 | G17, H13, H16 | 10YR 6/3; Franco arenosa de color café claro | Yuta Tiyoo | Relleno de construcción | Estrato con muy alta cantidad de gravillas. Se encuentra parcialmente intercalado con otras capas. |
| E15-s10 | H13 | 10YR 7/4; Marga arcillo-arenosa de color café muy pálido | Yuta Tiyoo | Relleno de construcción | Sin inclusión. |
| E15-s11 | H13 | 10YR 7/3; Arcilla limosa de color café muy pálido | Yuta Tiyoo | Relleno de construcción | Sin inclusión. |
| E15-s12 | I17, J12 | 10YR 8/2; Arcilla limosa de color café muy pálido | Yuta Tiyoo | Relleno de construcción | Corresponde a una capa muy compactada. Sin inclusiones. |
| E15-s13 | I17 | 2.5Y 6/4; Arcilla limosa de color café amarillento claro | Yuta Tiyoo | Relleno de construcción | Estrato con inclusión de bajareque. |
| E16 | G17. H12, H17 | N/A | Yuta Tiyoo | Muro 3 | Alineamiento de rocas con orientación Este-Oeste. Abarca las unidades G17, H12 y H13. Posiblemente un muro de contención para tener una terraza. |
| E17-s1 | D17, D18, D21, D23, F17 | 10YR 6/4; Arcilla limosa de color café amarillento claro | Yuta Tiyoo | Relleno de construcción | Estrato con inclusiones de cerámica y gravilla. Con presencia de tierra color rosa (7.5YR 7/4) lo que sugiere alguna actividad asociada con fuego. |
| E17-s2 | D17, D18, F17 | 10YR 6/3; Arcilla limosa de color café claro | Yuta Tiyoo | Relleno de construcción | Estrato con baja cantidad de inclusiones de concha y gravilla. |

| | | | | | |
|---|---|---|---|---|---|
| E17-s3 | D17, D18 | 10YR 7/2; Arcilla limosa de color gris claro | Yuta Tiyoo | Relleno de construcción | Estrato con baja cantidad de inclusiones de cerámica y concha. |
| E17-s4 | D17, D18 | 10YR 7/3; Arcilla limosa de color café amarillento claro | Yuta Tiyoo | Relleno de construcción | Es una capa muy homogénea. Sin inclusiones. |
| E17-s5 | F17 | 10YR 6/4; Arcilla limosa de color café amarillento claro | Yuta Tiyoo | Relleno de construcción | Capa con inclusión de gravilla. |
| E17-s6 | F17 | 10YR 4/4; Arcilla limosa de color café amarillento oscuro | Yuta Tiyoo | Relleno de construcción | Es una capa muy homogénea. Sin inclusiones. |
| E18 | M16, M17 | N/A | Yuta Tiyoo | Muro 4 | Probable muro de contención, el cual consiste en una roca de grandes dimensiones (aproximadamente 60 cm de altura) y rocas de menores dimensiones (aproximadamente 20 a 30 cm de largo) alineadas al Este de la roca grande. |
| E19 | MU2 | N/A | Yuta Tiyoo | Muro 5 | Probable muro de contención, que abarca las unidades D12, B18 y B19, con orientación Oeste-Este. El muro consiste en rocas trabajadas de varios tamaños, (las cuales miden aproximadamente de 20 a 60 cm de ancho y de 20 a 60 cm de largo) |
| E20 | B18, B19 | 10YR 4/4; Arcilla de color café amarillento oscuro | Yuta Tiyoo | Relleno de construcción | Capa con inclusiones de carbón, bajareque, cerámica y gravilla. |
| E21 | M16, M17 | 10YR 5/4; Arcilla de color café amarillento | N/A | Relleno de construcción o coluvión | Estrato con inclusión de concha. Sin datos para fechar por escaso material cerámico. |

| | | | | | |
|---|---|---|---|---|---|
| E22 | D11, D12 | N/A | Yuta Tiyoo | Muro 6 | Muro de contención. No concuerda con ningún otro muro. |

### 3.3.1 Secuencia Histórica de la Operación B Sur

Los datos recuperados en la excavación de la Op. B Sur nos indican que la ocupación del área continuó durante el periodo Yuta Tiyoo del Clásico Tardío (500-800 d.C.) y Yugüe del Posclásico Temprano (800-1100 d.C.). La Op. B Sur está elevada aproximadamente un metro más que la Operación B Norte y sobre la cual están establecidas las construcciones de diferentes períodos, en algunos casos sobre puestos entre sí o muy cercanos en nivel, a diferencia de Op. B Norte las cuales se encuentran claramente distinguibles en sus niveles de profundidad.

Las evidencias arquitectónicas más tempranas en Op. B Sur corresponden a la fase Yuta Tiyoo del Clásico Tardío y consisten en cuatro diferentes alineaciones de rocas, las cuales fueron asignadas como: Muro 3 (E16), Muro 4 (E18), Muro 5 (E19) y Muro 6 (E22). Estos muros podrían haber creado una plataforma o una terraza.

Para la fase posterior, es decir, Yugüe del Posclásico Temprano, se hallaron dos evidencias arquitectónicas, el Muro 1 (E23) y Muro 2 (E7). El Muro 1 (E23) contó con las características típicas descritas con anterioridad en los proyectos pasados. Siendo una plataforma baja para casa doméstica en el período Posclásico, las cuales consisten en una alineación compuesta por lajas, cantos rodados y fragmentos de metates reutilizados. Por lo tanto, fue designada como la Estructura 22-8 siguiendo el orden de numeración de estructuras en el PRV-22.

El Ent. 133 I146 fue el único entierro recuperado durante la excavación del área, posiblemente asociado a la casa domestica conformada por el Muro 1 (E23). Cuenta con una posición notablemente diferente del resto de los recuperados en la Op. B, además del cambio en la orientación del cuerpo. Para

finalizar con la presencia ocupacional del espacio, al último momento de la fase Yugüe los habitantes del Rio Viejo construyeron un círculo de rocas (E3-1s) con un diámetro de aproximadamente dos metros.

A continuación, discutiremos a detalle la secuencia estratigráfica de la Operación B Sur, empezando con los contextos más tempranos que fueron confirmados durante las excavaciones.

### 3.3.2 La Fase Yuta Tiyoo de Clásico Tardío

Los datos recuperados mediante la excavación de la Op. B Sur demuestran que las evidencias arquitectónicas más tempranas corresponden a la fase Yuta Tiyoo del Clásico Tardío, y se encuentran conformadas por el Muro 3 (E16), Muro 4 (E18), Muro 5 (E19) y Muro 6 (E22). Dichos muros están establecidos sobre las capas E20 y E21, las cuales serían tierras depositadas durante un largo periodo de tiempo, ya que en los materiales registrados dentro de los estratos se identifican algunas cerámicas pertenecientes a la fase Chacahua del Formativo Terminal Tardío (100-250 d.C.).

El Muro 4 (E18) abarca las unidades M16 y M17, y consiste en una roca grande de poco más 60 cm de altura alineada con otras rocas pequeñas de alrededor de 20-30 cm de largo, colocadas al Este de esta, con una orientación Oeste-Este, iniciando con la roca de mayor tamaño en la cual se aprecia que los bordes se encuentran redondeados, dando una apariencia de bloques a las rocas (Figura 3.4 y 3.5). Continuando con los muros registrados en el área, se localizó el Muro 5 (E19) registrado en las unidades A18, A19, B18 y B19 (MU2) consiste en un muro arquitectónicamente diferente a todo los registrados durante las excavaciones. Está conformado por hiladas de rocas cortadas de forma cuadrangular, de entre 30-40 cm de largo y 20-30 cm de ancho, las rocas cuentan con caras talladas, de manera similar a un bloque, gracias a esto se logró establecer que forma parte de la cara externa de la estructura. Como parte principal dentro de las actividades constructivas de la fase Yuta Tiyoo, los constructores colocaron tiestos de cerámicas entre las rocas con el fin de poder mantener a un mismo nivel las rocas y para mantener la forma inclinada del muro. Se puede apreciar tal vez el uso de algún cementante entre las rocas para

mantener la forma inclinada de las hiladas de roca (Figura 3.6 y 3.7). Desafortunadamente no se logró exponer más que una fracción del Muro 5 (E19), pero se puede apreciar que corre hacia las unidades contiguas, con una orientación Oeste-Este.

El Muro 6 (E22) ubicado en las unidades D11 y D12 consiste en cuatros hiladas de rocas de formas redondeadas con tamaños aproximados de entre 20 y 30 cm de largo, a diferencia del Muro 5 (E19) este sólo cuenta con la colocación de las hiladas de rocas sin presencia de tiestos (Figura 3.8 y 3.9). De manera general se puede apreciar la preferencia por una orientación Noroeste-Sureste en los muros. La desnivelación entre el Muro 4 (E18) al Muro 5 y 6 (E19 y E22) es de aproximadamente 85 cm. En base a la técnica de colocación de roca se considera que los Muros arriba mencionados estaban funcionando como muros de contención a fin de tener un área estable de ocupación.

El Muro 3 (E16) fue establecido encima de los muros de contención antes mencionados y consiste en una hilada de rocas de forma irregular, que varían entre 20-40 cm de largo, cuenta con una colocación de rocas diferente a lo observado con anterioridad en los Muros 4, 5 y 6 (Figura 3.10). El Muro 3 (E16) se extiende por lo menos desde la Unidad G17 a H12 midiendo 6 m de largo, esto si se conectarán los elementos encontrados en ambas unidades. Aunque no tenemos suficientes datos para corroborarlo, debido a la excavación limitada, podría ser que el Muro 3 (E16) formaba parte de un muro de contención correspondiente a la fase Yuta Tiyoo del Clásico Tardío. Los rellenos de construcción relacionados con el Muro 3 (E16) son E17-s1, E17-s2, E17-s3, E17-s4, E17-s5, E17-s6, los cuales se pueden encontrar en las unidades A17, D17 y F17 (Figura 3.11). A pesar de que se observan gravillas y conchas erosionadas en los rellenos, las tierras depositadas para el Muro 3 (E16) tienen muy poca cantidad de artefactos y se encuentran depositados de manera muy homogénea. Además, E17-s1 se encuentra inserto en una matriz de arcilla limosa de color café amarillento claro con presencia de tierra de color rosa, lo cual sugiere el uso de fuego. Con estas evidencias, se podría inferir que los materiales para el relleno de construcción

fueron depositados de manera cuidadosa y selectiva. La superficie expuesta de estas capas de relleno sirvió como espacios ocupacionales, sobre los cuales los habitantes establecieron el Muro 3 (E16).

El Muro 3 (E16) fue cubierto directamente por los siguientes rellenos E15-s1, E15-s2, E15-s3, E15-s3, E15-s4, E15-s5, E15-s6, E15-s7, E15-s8, E15-s9, E15-s10, E15-s11, E15-s12, E15-s13, registrados en las Unidades G17, H12, H13, H14, H16, H21, H22, I17, J17 (Figuras 3.12). Dichos rellenos, cuentan de igual manera con muy poca cantidad de material arqueológico, pero varían más que los rellenos de construcción anteriores. Por ejemplo, E15-s9 es una matriz franco-arenosa y parcialmente intercalada con otras capas. En adición E15-s5 es un relleno de marga limosa de color gris, la cual parece ser un sedimento transportado por agua durante las temporadas de lluvia. Al final de los rellenos se localiza E15-s4 en donde se concentran fragmentos de conchas muy erosionadas, los cuales serían depositadas por algún motivo aún desconocido.

Los estratos E13, E12, E11, E10, E9 y E8 forman también parte de los rellenos de construcción correspondientes a la fase Yuta Tiyoo del Clásico Tardío o al periodo transicional entre la fase Yuta Tiyoo del Clásico Tardío a la fase Yugüe de Posclásico Temprano, esto en base a los análisis cerámicos y la datación relativa realizada en laboratorio. Los rellenos incluyen más fragmentos de bajareques y tiestos cerámicos relativamente grandes. Estas evidencias nos indicarían que había una casa y actividad doméstica en esta área. En los estratos E8 y E9 se recuperaron muchos tiestos de cerámica correspondientes al período Yugüe de Posclásico Temprano junto con tiestos cerámicos de la fase Yuta Tiyoo de Clásico Tardío. Esto indicaría que los estratos E8 y E9 serían las capas transicionales entre ambos períodos.

### 3.3.3 La Fase Yugüe de Posclásico Temprano

El primer elemento significativo de la Fase Yugüe observado en la Op. B Sur es el Muro 2 (E7), el cual es un alineamiento de rocas de formas irregulares que miden aproximadamente de 30-40 cm de largo

(Figura 3.13). En su proceso de construcción se incluyeron metates reutilizados. Aunque no se puede determinar su función debido a lo limitado de la excavación, es posible que haya servido como muro de contención para crear una terraza, la cual posiblemente habría estado asociada con la plataforma residencial construida por el Muro 1 (E23).

El Muro 1 (E23) es una alineación de rocas de siete metros de largo, con orientación Oeste-Este e inclinado 20° al Norte (Figura 3.14). Las rocas utilizadas para el Muro 1 (E23) son lajas y metates reutilizados, las cuales son materiales típicos de plataforma baja para la casa doméstica de la fase Yugüe del Posclásico Temprano del sitio (King 2003). Por lo tanto, se designó como la Est. 22-8. Los rellenos de construcción asociados al Muro 1 (E23) son E6, E5 y E4. Es interesante mencionar que E5 es un estrato nivelado con presencia muy alta de barro quemado color amarillo rojizo (5YR 6/6) y tiestos cerámicos (Figura 3.12). Esta capa se encuentra presente de igual manera en la Op. B Norte (E6-s1 de Op. B Norte) posiblemente formó parte de la preparación de un suelo con el fin de establecer una plataforma baja para casa doméstica.

En el estrato E6 de MU2 se recuperó un entierro asignado como Ent. 133 I146 (Figura 3.15 y 3.16). A pesar de que no se ha identificado claramente la fosa asociada al entierro, podría ser una fosa informal, la cual injirió dentro de la plataforma residencial Est. 22-8 formada por el Muro 1 y fue rellenada con el mismo sedimento. El individuo se encontró en la posición decúbito lateral izquierdo flexionado, con orientación céfalo-caudal Este-Oeste y con la cabeza orientada hacia el Norte, sin ninguna ofrenda asociada. Aunque la mayoría de los individuos enterrados en la fase Yugüe del Posclásico Temprano se localizan en una posición decúbito dorsal extendido, con orientación céfalo-caudal Sur-Norte (King 2003), hay ejemplos singulares de individuos que cuentan con posición decúbito lateral flexionado del Posclásico Temprano tal como el Entierro 36, Individuo 44 (Joyce y Levine 2000: 48), el cual también se localizó cercano a un círculo de rocas con función desconocida.

En las unidades C18, C19, D18, D19 (MU1) se localizó un círculo de rocas (E3) por encima del Muro 1 (E23), lo cual hace inferir que el círculo de rocas definitivamente fue construido posterior al Muro 1 (Figura 3.17 y 3.18). Este círculo de rocas mide aproximadamente dos metros de diámetro y en su forma se encuentra construido por lajas de rocas de diferentes tamaños, fragmentos de metates reutilizados y algunas manos de metate. Aunque era semejante a un horno por la forma, hubo muy poca evidencia material (e.g. ceniza, carbón, material quemado) para soportar esta interpretación. En las excavaciones anteriores realizados en la Operación A que se localiza en la Estructura 2 de Montículo 2, un hallazgo semejante fue recuperado y sugirió la posibilidad de algún tipo de almacenamiento (Joyce y Levine 2000: 45). Sin embargo, tampoco se logró obtener datos para comprobar dicha hipótesis debido a los escasos materiales arqueológicos recuperados durante la excavación, por lo que su función sigue siendo desconocida.

### 3.3.4 Resumen de la Op. B Sur

En resumen, los datos estratigráficos recuperados durante la excavación de Op. B Sur nos indican que hay ocupaciones correspondientes a las fases Yuta Tiyoo del Clásico Tardío (500-800 d.C.) y Yugüe del Posclásico Temprano (800-1100 d.C.). Durante la fase Yuta Tiyoo se inició la elevación del terreno con muros de contención y sobre dicha área de elevación se estableció posiblemente una plataforma baja para casa doméstica. Este uso del espacio continua durante la fase Yugüe. Aprovechando la elevación establecida por las construcciones anteriores, los habitantes rellenaron nuevamente el área para posteriormente, encima del nuevo terreno elevado establecer una terraza o plataforma baja para casa doméstica.

Los usos de rocas para muros entre las dos fases son diferentes, ya que los muros asociados a la fase Yuta Tiyoo utiliza rocas de canto rodado, así como, rocas trabajadas o con lados planos de formas rectangulares, colocadas de manera vertical y en más de una hilera, con rocas trabajadas como base para

colocar sobre ellas bloques de manera horizontal y en algunos casos siendo la cerámica parte formal de su construcción. Mientras que las pertenecientes a la fase Yugüe fueron colocadas en una sola hilera compuesto por rocas trabajadas y metates reutilizados, sin el uso de cerámicas en su construcción y con una preferencia Oeste-Este en su orientación. Con esto, se puede inferir que al parecer el uso de espacio y técnicas de construcción son semejantes, pero hay un leve cambio de usos y técnicas de construcción a través de tiempo.

Es notorio mencionar, que durante la excavación de Op. B Sur se recuperó una extremadamente baja cantidad de artefactos a lo largo del tiempo, en comparativa con la Op. B Norte y la Op. A de PRV 2022. Aunque en la fase Yugüe se registró un entierro y un círculo de rocas, no se registraron concentraciones de artefactos ni posibles indicios de basurero alrededor de las plataformas bajas en ambas fases. Dichas evidencias nos sugieren que el uso de espacio en la Op. B Sur era diferente que otras áreas investigadas en PRV 2022. Considerando la Op. B Norte, localizada justo en el mismo espacio con sólo unos escasos metros de separación, la cual fue identificada para un uso doméstico; el uso y funciones de Op. B Sur podría indicar un espacio de utilidad más especial. quizás para alguna actividad especifica. Aunque aún se requiere indagar en mayor profundidad en investigaciones futuras.

En los alrededores de la Op. B Sur se encuentran varias partes elevadas en conjunto con partes planas, en las cuales se registraron mayormente alineaciones de roca, lo cual podría ser un indicativo de la presencia de plataformas bajas de casa residencial correspondiente al Posclásico Temprano. Investigaciones futuras en dichos conjuntos podrían contribuirán a tener un mejor entendimiento sobre el uso del espacio en la Op. B Sur.

## 3.4. Operación B Norte

Para las excavaciones en la Operación B Norte (Op. B Norte) se consideró la existencia de una alineación de rocas de aproximadamente 5 m de largo con orientación Oeste-Este visible en superficie, a partir de la cual se hizo el trazado de la cala de excavación, para Sur-Norte se realizó sobre las unidades FF38-QQ38, intercalando entre cada dos unidades, y para Oeste-Este sobre las unidades KK31-KK44, de la misma manera intercalada. Con la finalidad de conocer y entender la distribución espacial de elementos y artefactos, se realizaron excavaciones estratigráficas y horizontales.

En consecuencia, exitosamente se recolectaron datos relacionados con la vida doméstica durante las fases de Yuta Tiyoo de Clásico Tardío y Yugüe de Posclásico Temprano, está información incluyen, los muros de plataforma baja para casa doméstica, un horno, entierros humanos y de fauna, así como presencia y diversidad de artefactos, los cuales se encontraron en mayor densidad y mejor estado de conservación para la fase Yuta Tiyoo, esto debido a la profundidad y las características propias del estrato. Dichos elementos se verán descritos con mayor detalle en los siguientes apartados (Figura 3. 19. y Tabla 3.5)

**Tabla 3.5. Descripción de los elementos estratigráficos encontrados en la Operación B Norte**

| Número de Estrato | Unidades | Descripciones Munsell y Sedimento | Fecha probable | Proceso de Formación | Comentarios |
|---|---|---|---|---|---|
| E1 | Todas las unidades | 10YR 4/2; Marga limosa de color café grisáceo obscuro | Yugüe o más reciente | Suelo moderno | Nivel de superficie actual muy afectado por la vegetación; con presencia de bajareque y baja cantidad de cerámica erosionada. Perturbación causada por roedores y raíces. |
| E2 | Todas las unidades | 7.5 YR 5/3; Marga arenosa de color café | Yugüe o más reciente | Desechos ocupacionales | Sedimento semi compacto con una leve formación de suelo, que se aprecia muy afectada por la vegetación. Presencia |

| | | | | | |
|---|---|---|---|---|---|
| | | | | | de concentración media de artefactos y fragmentos de bajareque erosionados. Inclusiones de gravillas. Perturbación causada por raíces. |
| E3 | QQ43, QQ44 PP43 Y PP44 | 10 YR 6/2; Marga limosa de color gris pardusco claro | Yugüe | Basurero | Estrato con alta concentración de tiestos cerámicos. Contiene fragmentos de barro quemado. Se observa una afectación por raíces. |
| E4 | FF38, GG34, 35, HH34, 35, 37, 39, II34, 35,36, 37, 38, 39, KK31, 34, 35, 36, 37, 38, 39, 40, 41, 42, 43, 44, JJ34, 35, 36, 37, 38, 39, 40, NN31, 32, 33, LL32, NN31, OO32, PP31, PP32, QQ31, PP32 | 7.5 YR 4/3; Marga arcillo-arenosa de color café | Yugüe | Desechos ocupacionales | Capa con densidad relativamente alta de tiestos, se localiza fuera de los Muros de la fase Yugüe (E5-s1 y E5-s2). Depositado probablemente durante el final, y/o después de la fase ocupacional de los Muros 1 y 2 (E5-s1 y E5-s2). Con presencia de artefactos, bajareques y gravillas. Algunas partes se encuentran afectadas por raíces. |
| E5 | PP31, PP32, QQ31, QQ32 (MU7) | N/A | Yugüe | Horno | E5 es un elemento de la segunda fase ocupacional Posclásica, de las dos que se pudieron observar en Op. B. E5 es un horno formado de piedras dispuestas en forma de “U” o herradura. En la parte central del horno se distingue un círculo interno de aproximadamente 80 cm de diámetro, que se encuentra compuesto de barro quemado |

| | | | | | |
|---|---|---|---|---|---|
| | | | | | y cenizas (E5-s1-1, E5-s1-2). Está asociado con E5-s2 (Muro 1). |
| E35-s1 | PP31, PP32, QQ31, QQ32 (MU7) | 5YR 5/6; Escombros de barro quemado de color rojo amarillento | Yugüe | Horno | Escombro de barro quemado. Podrían ser residuos de la construcción externa del horno, existiendo un posible colapso, o del desuso del mismo. |
| E35-s2 | PP31, PP32, QQ31, QQ32 (MU7) | 7.5YR 5/1; ceniza de color gris | Yugüe | Horno | Ceniza. No hay ningún material. |
| E35-s3 | PP31, PP32, QQ31, QQ32 (MU7) | 5YR 5/6; Barro quemado de color rojo amarillento | Yugüe | Horno | Barro quemado muy compacto y pegado al interior de horno. Recubre los bordes internos del horno, dispuesto a manera de contención. |
| E36 | LL33, LL34, LL35, LL36, LL37, LL38 | N/A | Yugüe | Muro 1 | Alineación de piedras en el eje Oeste-Este, con una inclinación de 89°, mide 6 m de largo. Algunas piedras son lajas y metates reutilizados. Este muro forma parte de la plataforma de casa (Estructura 22-9). |
| E37 | JJ42, JJ43, JJ44 | N/A | Yugüe | Muro 2-1 | El muro sur de la plataforma de casa (Estructura 22-7) formada por piedras con la orientación 110°. Algunas piedras son lajas y metates reutilizados. |
| E38 | KK43, LL43, MM43, NN43, OO43 | N/A | Yugüe | Muro 2-2 | El muro oeste de la plataforma de casa (Estructura 22-7) formada por piedras con la orientación 110°. Tiene aproximadamente 5 m de largo. Algunas piedras son lajas y metates reutilizados. |

| | | | | | |
|---|---|---|---|---|---|
| E39 | OO43, OO44 | N/A | Yugüe | Muro 2-3 | El muro norte de la plataforma de casa (Estructura 22-7) formada por piedras con la orientación 110°. Algunas piedras son lajas y metates reutilizados. |
| E6-s1 | KK44, LL38, LL39, LL40, LL41, NN36, NN37, NN38, NN40, NN44, OO34, OO38, OO41, PP38, QQ34, QQ36, QQ38, QQ41 | 7.5 YR 4/3; Marga arcillo-arenosa de color café | Yugüe | Relleno de construcción | Relleno de construcción compacto, al interior de los Muros 1 y 2 (E5-s2 y E5-s3). Es posiblemente, una capa de preparación de suelo para plataformas. Cuenta con alta densidad de tiestos cerámicos erosionados y bajareques. |
| E6-s2 | OO34 | 10 YR 6/1; Marga arcillo-arenosa de color gris | Yugüe | Relleno de construcción | Estrato con concentración media de conchas erosionadas. Posiblemente mezclado durante la construcción de la plataforma, Muro 1 (E5-s1). |
| E7 | OO31, OO34, OO32 | 10YR 4/2; Arcilla limosa de color café grisáceo obscuro | Yugüe | Desecho ocupacional o relleno | Capa con densidad media de concha erosionada, con muy baja concentración de artefactos. El estrato penetró en E8. |
| E8 | Todas las unidades a excepción de JJ43, JJ44, KK43, LL43, MM43, NN43, OO43, OO44, PP43, PP44, QQ43, QQ44. | 7.5 YR 4/2; Marga arcillo-arenosa de color café | Yugüe | Desecho ocupacional o relleno | Estrato asociado con la segunda fase ocupacional Posclásica, de las dos observadas en Op.B. Se pudo apreciar la existencia de artefactos cerámicos, gravillas y carbones. En la parte del fondo de E8 se observan cerámicas al mismo nivel del inicio de E10, con lo cual se puede identificar la separación entre ambos. |

| | | | | | |
|---|---|---|---|---|---|
| E9 | NN33, MM36 | N/A | Yugüe | Muro 3 | Alineación formada por piedras, en el eje Este-Oeste con una inclinación de 100°. Su formación consiste en lajas y cantos rodados, de un tamaño aproximado de entre 30-40 cm. Del muro se conserva solamente una parte de su extensión original, aproximadamente 3 m de largo. Corresponde a la primera fase de ocupación Posclásico observada en Op.B. |
| E10-s1 | Todas las unidades a excepción de JJ42, JJ43, JJ44, KK42, KK43, LL43, MM43, NN43, OO44, PP43, PP44, QQ43, QQ44 | 10 YR 4/2; Marga de color café grisáceo obscuro | Yugüe o Yuta Tiyoo | Desecho ocupacional o relleno | Nivel de ocupación asociado al Muro 3. Concentración media de artefactos cerámicos. Incluye bajareques, carbones y gravillas. |
| Ent. 135 I148 | MU16 | N/A | Yugüe | Entierro | Entierro decúbito dorsal extendido, con orientación céfalo-caudal Sur-Norte. Individuo con ofrenda funeraria completa, colocada en las extremidades inferiores (Sur). Sobre su cráneo se encontraron tiestos cerámicos, cubriéndolo. Se localizó debajo del Muro 1, sin correlación directa. |
| E10-s2 | QQ38 | 10 YR 4/2; Marga de color café grisáceo obscuro | Yugüe | Desecho ocupacional o relleno | Mayor densidad de artefactos cerámicos en comparación con E10-s1. |

| | | | | | |
|---|---|---|---|---|---|
| Ent. 117 I130 | MU1 | N/A | Yugüe | Entierro | Entierro decúbito dorsal extendido, con orientación céfalo-caudal Sur-Norte. Sin ofrendas funerarias asociadas. |
| Ent. 118 I131 | MU4 | N/A | Yugüe | Entierro | Entierro decúbito dorsal extendido, con orientación céfalo-caudal Sur-Norte. Individuo con dos ofrendas funerarias asociadas en las extremidades inferiores (Sur). |
| Ent.119 I132 | MU5 | N/A | Yugüe | Entierro | Entierro decúbito dorsal extendido, con orientación céfalo-caudal Sur-Norte. Individuo con dos ofrendas funerarias asociadas colocadas en las extremidades inferiores (Sur) ambas completas. Con la extremidad inferior derecha colocada sobre la izquierda (cruzados). |
| E11 | PP44, QQ44 | 10YR 5/2; Arcilla limosa de color café grisáceo | Yuta Tiyoo | Depósito de cerámica (Basurero) | Fue depositado durante la transición del Clásico Tardío al Posclásico Temprano con pequeños tiestos cerámicos. E11 a E16 fueron un mismo contexto y considerado como basurero por su característica. |
| E12 | QQ43, QQ44 | 10YR 6/2; Arcilla limosa de color gris parduzco claro | Yuta Tiyoo | Depósito de cerámica (Basurero) | Estrato con alta concentración de tiestos cerámicos, incluyendo restos óseos. Perturbación causada por raíces |
| E13 | PP43, PP44, QQ43, QQ44 | 10YR 5/2; Arcilla limosa de color café grisáceo | Yuta Tiyoo | Depósito de cerámica (Basurero) | Capa con alta concentración cerámica, en la cual se identifican algunos restos óseos. Perturbación causada por raíz. |

| | | | | | |
|---|---|---|---|---|---|
| E14 | PP44, QQ44 | 10YR 4/2; Arcilla limosa de color café grisáceo obscuro | Yuta Tiyoo | Depósito de cerámica (Basurero) | Alta concentración de cerámicas de tamaños varios, algunas relativamente grandes, contiene fragmentos de conchas dentro del estrato. Además, perturbación causada por raíces. |
| E15 | QQ43, QQ44 | 10YR 6/2; Arcilla limosa de color gris parduzco claro | Yuta Tiyoo | Depósito de cerámica (Basurero) | Alta concentración de cerámicas, el estrato incluye fragmentos de conchas y restos óseos. Perturbación causada por raíces. |
| E16 | QQ44 | 10YR 5/3; Arcilla limosa de color café | Yuta Tiyoo | Depósito de cerámica (Basurero) | Alta concentración de tiestos cerámicos, el estrato incluye fragmentos de conchas y restos óseos. Perturbación causada por raíces. |
| E17 | PP43, PP44, QQ43, QQ44 | 10YR 5/2; Arcilla limosa de color café grisáceo | Yuta Tiyoo | Desecho ocupacional | Estrato con presencia de cerámicas, incluye fragmentos de conchas. Se observa perturbado por la existencia de raíces. |
| E18 | PP43, PP44, QQ43, QQ44 | 10YR 6/3; Arcilla limosa de color café claro | Yuta Tiyoo | Desecho ocupacional | Tierra suave al tacto. Presenta tiestos cerámicos de diversos tamaños. Incluye variedad de materiales como conchas, carbones y gravilla. Perturbación causada por raíces. |
| E19 | PP43, PP44, QQ43, QQ44 | 10YR 6/4; Arcilla limosa de color café amarillento claro | Yuta Tiyoo | Desecho ocupacional | Estrato compuesto de tierra suave al tacto. Con presencia de cerámica, incluye conchas y bajareques. Perturbación por raíces. |
| E20-s1 | LL39, LL40 | 10 YR 7/2; Arcilla | Yuta Tiyoo | Depósito de cerámica (rito | Elemento 20 es un estrato con densidad alta de artefactos |

| | | | | | |
|---|---|---|---|---|---|
| | | limosa de color gris claro | | de terminación) | cerámicos. En él mismo se identificaron variedad de artefactos líticos y algunas figurillas. Se considera que esté fue depositado cierto tiempo después de desocupar la residencia del Clásico Tardío (E23; Muro 4). |
| E20-s2 | II39, JJ39 | 10 YR 4/3; Marga arenosa de color café | Yuta Tiyoo | Depósito de cerámica (rito de terminación) | Capa con alta densidad de cerámica. Incluye conchas, carbón y líticas varias. |
| E20-s3 | GG34, GG35 | 10 YR 5/2; Marga limosa de color café grisáceo | Yuta Tiyoo | Depósito de cerámica (rito de terminación) | Capa con densidad alta de artefactos cerámicos. En comparativa con los depósitos de cerámica descritos con anterioridad esté contiene una mayor cantidad de conchas erosionadas. |
| E20-s4 | KK44 | 10 YR 6/4; Marga arenosa de color café amarillento claro | Yuta Tiyoo | Depósito de cerámica (rito de terminación) | Capa con alta densidad cerámica, con presencia de fragmentos de conchas. |
| E20-s5 | NN38, OO38, PP38, QQ38 | 10 YR 5/3; Marga de color café | Yuta Tiyoo | Depósito de cerámica (rito de terminación) | Capa con una muy alta densidad de artefactos cerámicos. Contiene fragmentos de conchas y restos de carbón. En comparativa con los demás depósitos, los tiestos aquí contenidos son de mayores dimensiones. Además, se incluye una vasija de cerámica gris completa) aunque fragmentada, de soportes zoomorfos y con decoración incisa. |

| | | | | | |
|---|---|---|---|---|---|
| E20-s6 | KK38, KK39, LL38, LL39 | 10 YR 7/3; Arcilla limosa de color café muy pálido | Yuta Tiyoo | Depósito de cerámica (rito de terminación) | Capa con gran cantidad de cerámica, conteniendo tiestos de diversos tamaños, además con una amplia variedad de obsidiana, hueso trabajado, y figurilla. |
| E20-s7 | HH35 | 10 YR 7/2; Marga limosa de color gris claro | Yuta Tiyoo | Depósito de cerámica (rito de terminación) | Capa con gran cantidad de material cerámico. |
| E21 | FF38, GG35, HH35, HH37, HH39, II36, II37, II38, II39, JJ39, JJ40, KK38, KK39, KK40, KK44, LL39, LL40, NN38, NN44, OO38, PP38, QQ38 | 10 YR 5/4; Arcilla limosa de color café amarillenta | Yuta Tiyoo | Relleno de construcción o desecho ocupacional | Estrato que fue depositado después de desocupar la residencia de Clásico Tardío (E23; Muro 4). En él se puede apreciar una gran cantidad de materiales cerámicos, pero en comparativa con los demás depósitos cerámicos su densidad es menor (E20-s1, s2, s3, s4, s5 y s6). |
| E22-s1 | HH37 | 10 YR 3/4; Marga limosa de color café amarillento obscuro | Yuta Tiyoo | Depósito de cerámica (Basurero) | Relleno del depósito de cerámica E22-s2. Menor densidad de material cerámico que los encontrados en E22-s2. |
| E22-s2 | II36, II37, II38 | 5 YR 3/3; Marga de color café rojizo obscuro | Yuta Tiyoo | Depósito de cerámica (Basurero) | Capa con densidad alta de cerámica, contiene amplia variedad de materiales, como, figurillas, artefactos líticos, conchas y cantos rodados los cuales miden alrededor de 10 cm de diámetro. En la parte superior de esta capa se observó una disminución en la densidad de artefactos cerámicos, en comparación con el resto del mismo. E22 |

| | | | | | |
|---|---|---|---|---|---|
| | | | | | fue depositado durante y/o tiempo después de la ocupación asociada con el Muro 4 (E23). Por su característica, Elemento 22 fue considerado como basurero. |
| E22-s3 | HH39, II39, JJ40 | 10YR 4/4; Marga limosa de color café amarillento oscuro | Yuta Tiyoo | Depósito de cerámica (Basurero) | Capa con alta densidad de tiestos relativamente grandes de cerámica. |
| E22-s4 | HH39 | 10YR 3/4; Marga arcillo-limosa de color café amarillento obscuro | Yuta Tiyoo | Depósito de cerámica (Basurero) | Capa con densidad alta de tiestos, los cuales se aprecian de diferentes tamaños, pero sobresale la existencia de grandes cerámicas. Incluye gravillas. |
| E22-s5 | KK40, LL40 | 10 YR 5/4; Marga arcillo-limosa de color café amarillento | Yuta Tiyoo | Depósito de cerámica (Basurero) | Capa con densidad alta de tiestos cerámicos. Incluye gravillas. |
| E23 | GG35, HH35, II35, II36, JJ36, KK37 | N/A | Yuta Tiyoo | Muro 4 | Alineación de piedras con orientación Norte-Sur y una inclinación de 35°, y una longitud de cuatro metros de largo. Corresponde a la segunda fase de ocupación del periodo Clásico Tardío. Su construcción fue realizada con rocas trabajadas y algunos fragmentos de metates reutilizados. Sobre la construcción de piedra se puede apreciar la colocación de fragmentos de cerámica |

| | | | | | |
|---|---|---|---|---|---|
| | | | | | gris, de manera vertical, como un posible elemento decorativo. Se considera una plataforma residencial por lo cual se designó como Estructura 22-10. |
| E24-s1 | GG34, HH34, II34, II35, JJ34, JJ35, MM37, NN36, NN37 | 10 YR 6/2; Marga limosa de color gris parduzco claro | Yuta Tiyoo | Relleno de construcción | Relleno interior de plataforma baja (Est.22-10) de Clásico Tardío (E23 Muro 4). E24-s1 y otras capas de E24 se observan solamente en el lado oeste de E23, es decir, Muro 4. |
| E24-s2 | HH34, II34, II35, JJ34, JJ35, JJ36, KK34, KK35, KK36, KK37, MM36, NN36, NN37 | 10 YR 3/2; Marga de color café grisáceo muy obscuro | Yuta Tiyoo | Relleno de construcción | Relleno interior de plataforma baja (Est.22-10), correlacionado con el Muro 4 (E23). Es una capa orgánica, que contiene poco material cerámico. |
| E24-s3 | II34, HH34 | 10 YR 6/3; Marga limosa de color café claro | Yuta Tiyoo | Relleno de construcción | Relleno interior de plataforma baja (Est.22-10), correlacionado con el Muro 4 (E23). Baja cantidad artefactual, cuenta con inclusiones de conchas, gravillas, cantos rodados y una baja densidad cerámica. |
| E24-s4 | JJ34, KK34, KK35, KK36, KK37 | 10YR 4/3; Marga de color café | Yuta Tiyoo | Relleno de construcción | Relleno interior de plataforma baja (Est.22-10), correlacionado con el Muro 4 (E23). Densidad media-baja de materiales, contiene diversidad de artefactos cerámicos, tiestos de tamaños chicos y medianos, además de hueso y lascas de obsidiana. Contiene concha y gravilla. |
| E24-s5 | KK34 | 10 YR 6/3; Marga | Yuta Tiyoo | Relleno de construcción | Relleno interior de plataforma baja (Est.22-10), |

| | | | | | |
|---|---|---|---|---|---|
| | | arcillo-limosa de color café claro | | | correlacionado con el Muro 4 (E23). Sin materiales ni inclusiones. Estrato de manera vertical que se inserta en E24-s4, E24-s2 y en la parte inferior de E10-s1. |
| E24-s6 | NN36 | 10 YR 3/2; Marga de color café grisáceo muy obscuro | Yuta Tiyoo | Relleno de construcción | Estrato con densidad media de artefactos. Incluye materiales como conchas, carbón, fragmentos de hueso y cerámicas erosionadas. |
| E24-s7 | MM36, NN36 | 10 YR 4/3; Marga de color café | Yuta Tiyoo | Relleno de construcción | Estrato con tiestos cerámicos, gravilla, concha y carbón. |
| E24-s8 | MM36, NN36 | 10 YR 3/3; Marga de color café obscuro | Yuta Tiyoo | Relleno de construcción | Capa con poca cantidad de cerámica y gravilla. |
| E24-s9 | MM36, NN36, OO34 | 7.5 YR 3/2; Marga arcillo-limosa de color café obscuro | Yuta Tiyoo | Relleno de construcción | Capa que semeja una mezcla para construcción, pudiendo ser adobe, ya que esté es de dureza alta y en él se pueden observar huellas de fibras de plantas. Pose una densidad media de una variedad de artefactos, propios de las características de un relleno constructivo. |
| E24-s10 | OO34 | 10YR 5/3; Arcilla limosa de color café | Yuta Tiyoo | Relleno de construcción | Estrato con densidad baja de artefactos, tiestos de tamaño chico, y presencia de fragmentos de bajareque. |
| E24-s11 | OO34 | 10YR 4/4; Arcilla limosa de color café amarillento obscuro | Yuta Tiyoo | Relleno de construcción | Sin inclusión. Pocos materiales. |

| | | | | | |
|---|---|---|---|---|---|
| E25-s1 | GG34, GG35, HH34, HH35, II34, II35, II36, | 10 YR 7/2; Marga limosa de color gris claro | Yuta Tiyoo | Depósito de cerámica (Basurero) | Estrato con una densidad alta de cerámica, compuesto por tiestos relativamente pequeños en comparación con otros depósitos de cerámica. Contiene una amplia variedad de artefactos y materiales, incluyendo figurillas antropomorfas y zoomorfas, huesos de fauna, cantos rodados, lascas de obsidiana, conchas y caracoles. Por la disposición y profundidad se considera que fue depositado previo a la construcción del Est.22-10 formado por el Muro 4 (E23). |
| E25-s2 | II34 | 10 YR 7/2; Marga limosa de color gris claro | Yuta Tiyoo | Depósito de cerámica (Basurero) | Capa similar en composición con E25-s1, pero a diferencia del estrato superior contiene pocos artefactos cerámicos. |
| E26-s1 | FF38, GG34, GG35, HH34, HH35, HH37, HH39, II34, II38, II39, JJ40, KK31, KK32, KK39, KK40, KK44, LL32, MM36, MM37, NN44 | 10 YR 3/3; Marga limosa de color café obscuro | Yuta Tiyoo | Desecho ocupacional | Estrato con poca cantidad de material cerámico, contiene una mezcla de conchas y gravillas. Se observan unas pequeñas manchas de carbón. Depositada después del uso del Muro 5 (E29). |
| Ent. Fauna | MU16 (KK40, KK41, JJ40, JJ41) | <N/A | Yuta Tiyoo | Entierro de fauna (perro) | Entierro de fauna (perro) localizado en el suelo de la primera fase de ocupación del Clásico Tardío (E31). Los restos contaban con relación anatómica, completo, con una |

| | | | | | |
|---|---|---|---|---|---|
| | | | | | orientación céfalo-caudal del Sur-Norte, colocado decúbito lateral derecho, su cráneo apuntando hacia el Este. Sus cuatro extremidades estaban colocadas juntas al centro del entierro. |
| Ent. 116 I129 | KK44 | N/A | Yuta Tiyoo | Entierro | Entierro de infante, primario doble simultáneo, tipo directo, semicompleto, ya que sólo contaba con la mitad superior. Decúbito lateral derecho, con orientación céfalo caudal, Norte-Suroeste. En relación directa con Ent. 116 I128. Sin ofrenda asociada. |
| Ent. 116 I128 | KK44 | N/A | Yuta Tiyoo | Entierro | Entierro de infante, primario doble simultáneo, tipo directo, semicompleto, ya que sólo contaba con la mitad superior. Decúbito lateral derecho, con orientación céfalo caudal, Sur-Noreste. En relación directa con Ent. 116 I129. Sin ofrenda asociada. |
| E26-s2 | NN38 | 7.5 YR 3/3; Arcilla limosa de color café obscuro | Yuta Tiyoo | Relleno | No contiene material. Semeja mezcla utilizada para adobes, ya que se puede observar impresiones de huellas correspondientes a fibras de plantas. |
| E26-s3 | JJ34 | 10 YR 3/3; Marga de color café obscuro | Yuta Tiyoo | Relleno | Estrato con densidad media de artefactos, tiestos de tamaño chico, con diversidad de artefactos cerámicos. |
| E27-s1 | PP38, QQ38 | 10 YR 5/3; Marga arcilla-limosa de color café | Yuta Tiyoo | Relleno | Sin inclusiones. Poco material asociado. |

| | | | | | |
|---|---|---|---|---|---|
| E27-s2 | QQ38 | 10 YR 5/3; Marga arenosa de color café | Yuta Tiyoo | Relleno | Estrato con densidad media de tiestos cerámicos de tamaño chico. |
| E27-s3 | OO38 | 10 YR 4/4; Marga de color café amarillento obscuro | Yuta Tiyoo | Relleno | Estrato con variedad de artefactos cerámicos, tiestos de tamaños chicos y medianos. Diversidad de objetos y materias primas. |
| E28 | PP38 | 10 YR 2/2; Marga de color café muy obscuro | Yuta Tiyoo | Actividades con fuego | Capa de contenido muy orgánico. Sin presencia de materiales. Se puede observar rodeada por huella de quema en los bordes externos del mismo, (7.5 YR 6/8 amarillo rojizo). |
| E29 | MM36 | N/A | Yuta Tiyoo | Muro 5 | Elemento correspondiente a una alineación de rocas de la primera fase de ocupación del Clásico Tardío, con orientación Norte-Sur de 20°. Su construcción se realizó con rocas labradas en los lados que quedan expuestos, dejando las caras de las rocas a la vista, entre las cuales, colocaron fragmentos de cerámica apilados de manera horizontal, se apreciaron tres tiestos entre cada roca, intercalando entre piedra y cerámica. El Muro 5 tiene un largo inferior a 1 m de longitud. Por sus características, se considera como una parte de una plataforma residencial y se designó como Estructura 22-11. |

| | | | | | |
|---|---|---|---|---|---|
| E30-s1 | MM36 | 10 YR 5/4; Arcilla arenosa de color café amarillento | Yuta Tiyoo | Relleno de construcción | Capa delgada de preparación para colocar la plataforma residencial Est.22-11, relacionada directamente con el Muro 5 (E29), en ella se puede apreciar gravilla. |
| E30-s2 | MM36 | 10 YR 5/4; Marga arcillo-limosa de color café amarillento | Yuta Tiyoo | Relleno de construcción | Capa delgada con alta densidad de fragmentos de conchas, forma parte de la preparación para la colocación de la plataforma y se encuentra en relación directa con el Muro 5 (E29) de Est.22-11. |
| E30-s3 | MM36 | 10 YR 6/4; Marga arcillo-limosa de café amarillento claro | Yuta Tiyoo | Relleno de construcción | Capa delgada de preparación para colocar la plataforma y el Muro 5 (E29) de la Est.22-11, es muy compacta y con fragmentos de conchas. |
| E31 | HH34, HH37, HH39, II34, II39, JJ39, JJ40, KK36, MM36, MM37, NN36, NN38, OO38, PP38, QQ38 | 10 YR 3/3, 4/4; Marga limosa de color café obscuro/café amarillento obscuro | Yuta Tiyoo | Desecho ocupacional | Nivel de superficie en relación con el Muro 5 (E29). Contiene fragmentos de cerámica e incluye conchas muy erosionadas. |
| Ent. 115 I127 | QQ38 | N/A | Yuta Tiyoo | Entierro | Entierro primario de infante, decúbito lateral derecho flexionado, con orientación céfalo-caudal Sur-Norte. Al Oeste del individuo se localizó una posible huella de quema. |
| Ent. 128 I141 | MU10 (MM37, MM36, NN37, NN36) | N/A | Yuta Tiyoo | Entierro | Entierro primario de infante, semicompleto, se identificó en relación directa con Ent. 129 I142 y 130 I143. En posición |

| | | | | | |
|---|---|---|---|---|---|
| | | | | | decúbito dorsal extendido, con orientación céfalo caudal, Sur-Norte. No contaba con la extremidad inferior izquierda, pero se pudo apreciar que todas sus extremidades fueron colocadas de manera extendida. Sin ofrendas asociadas, cercano a su cráneo y su extremidad inferior derecha se encontraban colocados fragmentos de cerámica. |
| Ent. 129 I142 | MU10 (MM37, MM36, NN37, NN36) | N/A | Yuta Tiyoo | Entierro | Entierro primario de infante, parcialmente completo, en relación directa con Ent. 128 I141 y 130 I143. Decúbito dorsal extendido, sólo se encontró la mitad izquierda. Con orientación céfalo-caudal, Sur-Norte. Sin ofrendas asociadas. |
| Ent. 130 I143 | MU10 (MM37, MM36, NN37, NN36) | N/A | Yuta Tiyoo | Entierro | Entierro primario de infante, completo, en relación directa con Ent. 128 I141 y 129 I142. Decúbito dorsal extendido, con orientación céfalo-caudal Sur-Norte. Sin ofrendas asociadas. |
| E32 | NN37, MM37 | 10 YR 3/4; Marga limosa de color café amarillento obscuro | Yuta Tiyoo | Fosa de entierro múltiple (Ent. 130 I143, 129 I142 y 128 I141) | Fosa para el entierro múltiple (Ent. 130 I143, 129 I142 y 128 I141). Contiene gravilla y poca densidad de cerámica. (No hay en perfil) |
| E33 | NN36, NN37 | 10 YR 3/4; Marga arcillo limosa de color café | Yuta Tiyoo | Relleno | Estrato con baja densidad cerámica, compuesto de conchas, carbón y gravilla. |

| | | | | | |
|---|---|---|---|---|---|
| | | amarillento obscuro | | | |
| E34 | NN36 | 10 YR 3/2; Marga de color café grisáceo muy obscuro | Yuta Tiyoo | Relleno | Estrato con poca cantidad de cerámica, carbón y conchas. |

### 3.4.1 Secuencia histórica

Como ya se mencionó con anterioridad la Operación B contó con dos áreas de excavación, Op. B Sur y Op. B Norte. Para Op. B Norte, aunque el uso del área se remonta por lo menos desde la fase Chacahua del Formativo Terminal Tardío (100-250 d.C.), las evidencias significativas encontradas mediante las excavaciones corresponden principalmente a los períodos de la Fase Yuta Tiyoo del Clásico Tardío (500-800 d.C.) y la fase Yugüe del Posclásico Temprano (800-1100 d.C.).

Para la fase Yuta Tiyoo del Clásico Tardío se identificaron dos elementos arquitectónicos, los cuales se encontraron asociados a diversos depósitos de artefactos, así como seis entierros de infantes y uno de fauna. En los depósitos de artefactos fue encontrada mayormente cerámica, pero en algunos casos también se contó con la presencia de figurillas, líticas talladas y/o pulidas, conchas, en algunos casos trabajadas, huesos de animales, herramientas de sílex y obsidiana. Algunos de los depósitos tienen una extensión mayor a 3 m de longitud, con fragmentos de cerámicas de gran tamaño. Los datos sugieren que dichas actividades domésticas y/o rituales aún requieren de más análisis y estudios, con el fin de determinar la función de cada uno de los depósitos. Es importante mencionar que los entierros encontrados en el nivel de Clásico Tardío son exclusivamente de infantes, lo cual es totalmente diferente al patrón observado para el Posclásico Temprano.

En continuidad se recabaron datos sobre la Fase Yugüe (800-1100 d.C.), para la cual se contó con el registro de cuatro elementos arquitectónicos. Tres de ellos se identificaron como alineaciones de rocas, las cuales incluyeron en su estructura lajas y fragmentos de metates, que forman parte del material típico utilizado para la construcción de plataforma baja de casa doméstica, observado con anterioridad en los proyectos del sitio, además se observaron metates de grandes dimensiones (fuera del área de excavación) como evidencia de la ocupación del periodo. El otro elemento arquitectónico localizado es un horno y por su profundidad y cercanía se asoció a una plataforma baja. Para esta fase también se contó con una concentración de desechos cerámicos. Además, de cuatro entierros en posición decúbito dorsal extendido con la orientación céfalo caudal de Norte a Sur. Está práctica funeraria es muy común encontrarla en el período Posclásico Temprano del sitio (King 2003). Las evidencias arriba descritas nos brindaran herramientas para un mejor entendimiento de la vida doméstica en el área.

A continuación, se presentará la secuencia histórica y estratigráfica, iniciando desde la ocupación más antigua hasta la más reciente, describiendo de manera detallada los elementos y materiales asociados.

### 3.4.2 La Fase Yuta Tiyoo

El periodo de ocupación observado en el área comenzó con la presencia de cerámica correspondiente a la fase Chacahua, lo que nos indica que la ocupación humana en el área se remonta por lo menos desde el período Formativo Terminal Tardío (100-250 d.C.) pero debido a la poca presencia de dichas cerámicas no se puede realizar una descripción amplia sobre el periodo, ya que no se recuperaron más que algunos tiestos.

La ocupación significativa recuperada durante la excavación es la Fase Yuta Tiyoo del Clásico Tardío. Para esta Fase contamos con la existencia de dos periodos de ocupación, el primero representado por la Estructura 22-11, formada por el Muro 5 (E29), sus rellenos constructivos y desechos ocupacionales,

en el mismo nivel de ocupación se identificaron huellas de quema y cuatro entierros de infantes, dispersos en el área. Para el segundo periodo se localizó la Estructura 22-10, formada por el Muro 4 (E23), rellenos de plataforma, un entierro doble de infantes (KK44) y un entierro de fauna, además de diferentes episodios (al menos tres) de deposición de artefactos que consisten mayormente en cerámicas. Algunos de ellos (E20-s5) son intensivas incluyendo vasijas completas y semi completas fragmentadas. Por la posición estratigráfica podría haber formado parte de depósitos de terminación en el final de Clásico Tardío.

Por siglos en el área ocupacional se había levantado una amplia área residencial, por lo que existió una acumulación de grandes volúmenes de tierra y/o posibles desechos ocupacionales (E34, E33 y E31). Los elementos registrados para la primera ocupación se establecieron sobre o dentro del estrato E31 (HH34, HH37, HH39, II34, II39, JJ39, JJ40, KK36, MM36, MM37, NN36, NN38, OO38, PP38, QQ38), el cual es un estrato depositado de manera uniforme formado como relleno o desechos ocupacionales y era equivalente al nivel de superficie cuando se encontraba en la Estructura 22-11, formada por Muro 5 (E29).

Sobre E31 se registró el elemento arquitectónico de mayor antigüedad identificado en la excavación, correspondiente a la Estructura 22-11, formada por Muro 5 (E29). Además, dentro de E31 se encuentran depositados todos los entierros correspondientes a este primer periodo de ocupación. Al lado Este y fuera del Muro 5 (E29), localizado en las unidades MM37, MM36, NN37 y NN36, se recuperaron tres infantes. E32 es posiblemente una fosa excavada dentro de E31, para colocar a los individuos. Tiene una forma convexa con un contenido de gravilla y muy baja densidad cerámica en una matriz de marga limosa. Los entierros se encuentran descritos a continuación (Figura 3.20 y 3.21):

- Ent. 128 I141 (Figura 3.21): A 15.817 m.s.n.m. es un entierro primario semi completo, se identificó en relación directa con Ent. 129 I142 y 130 I143. En posición decúbito dorsal extendido, con orientación céfalo caudal, Sur-Norte. No contaba con la extremidad inferior izquierda, pero se

pudo determinar que todas sus extremidades fueron colocadas de manera extendida. Sin ofrendas asociadas.

- Ent. 129 I142 (Figura 3.21): Individuo localizado a 15.827 m.s.n.m. es un entierro primario, parcialmente completo, en relación directa con Ent. 128 I141 y 130 I143. En posición decúbito dorsal extendido, sólo se encontró la mitad izquierda. Con orientación céfalo- caudal, Sur-Norte. Sin ofrendas asociadas.
- Ent. 130 I143 (Figura 3.21): Entierro de mayor profundidad localizado en las excavaciones del bloque Norte, se recuperó a 15.707 m.s.n.m. alcanzando un nivel de 15.577 m.s.n.m. Se recupero completo, en posición decúbito dorsal extendido, con orientación céfalo-caudal Sur-Norte. Sin ofrendas asociadas.

Continuando con los entierros contenidos en E31, contamos con Ent. 115 I127 localizado en QQ38 a 15.757 m.s.n.m. es un entierro primario de infante, en posición decúbito lateral derecho flexionado, con orientación céfalo-caudal Sur-Norte (Figura 3.22 y 3.23). Al Oeste del individuo se localizó una posible huella de quema (E28), la cual se depositó de manera intrusiva dentro de E31 que se compuso de un pozo lleno de tierra con alto contenido orgánico sin presencia de ningún material, de aproximadamente 30 cm de diámetro cuenta con una forma circular, se distinguió de la matriz donde estaba, por estar rodeado por una huella circundante de quema (distinguible por su color amarillo rojizo) en los bordes externos. A pesar de no tratarse de un horno en su forma preestablecida, es posible que formara parte de actividades de menor escala que requirieran una fuente de calor, siendo parte de una actividad momentánea.

Mencionado con anterioridad sobre E31 se registró el elemento arquitectónico más temprano recuperado en la excavación, la Estructura 22-11, formada por Muro 5 (E29) en la unidad MM36, siendo un elemento representado por una alineación de rocas, con una orientación Norte-Sur (Figura 3.24, 3.25 y 3.26). Su construcción se realizó con rocas labradas de forma rectangular, por lo que tiene caras, las

cuales están colocadas de manera intercalada con pedazos de cerámica, comenzado con una roca y terminando el alineamiento con un fragmento de cerámica. Los bloques de roca estas colocados a modo en que la cara trabajada queda expuesta, por lo que se conoce el interior y exterior de la estructura. Con respecto a las cerámicas, estás se encontraron dispuestas de manera horizontal y colocadas para alcanzar el nivel de altura de las rocas, por lo que en algunos casos se apreciaron tres tiestos colocados encima uno de otro, pero siempre dejando a la vista el lado decorado, y puestos a manera en que cada uno se siguiera observando de manera individual. Del Muro 5 (E29) sólo queda una fracción de su extensión original, durante las excavaciones se intentó localizar otra parte del mismo, pero por cuestiones de tiempo y la profundidad a la que se localizó no fue posible explorar en más unidades aledañas. Cuenta con una longitud menor a un metro.

El Muro 5 (E29) contó además con una detallada preparación de relleno de suelo para su colocación (Figura 3.27), es así que tenemos tres subestratos delgados en relación directa colocados debajo del Muro (E30-s1, s2 y s3), comenzando desde el más antiguo hasta llegar a la primera capa debajo del Muro 5 (E29), para identificarlos se comenzó con E30-s3, una capa delgada y muy compacta de marga arcillo limosa, con fragmentos de conchas en su interior; continuando con E30-s2 la cual es una capa delgada de marga arcillo limosa, con alta presencia de fragmentos de concha y en ultimo nivel se ubica E30-s1, una capa delgada arcillo limosa, con inclusiones de gravillas. Los tres estratos de un grosor semejante y colocados de una manera uniforme uno sobre otro.

En las unidades PP38, QQ38 y OO38 se vio la disposición de actividades relacionadas con el uso de calor, así como pequeñas concentraciones de cerámica, no ocurridos en un mismo evento simultaneo, pero si correspondiente a un mismo momento (Figura 3.28 y 3.29). Las cuales se pueden apreciar en el perfil representados por E27-s1, E27-s2 y E27-s3 respectivamente, formando parte de posibles desechos ocupacionales o rellenos (Figura 3.28).

Los estratos E26-s1, s2 y s3 fueron depositados como relleno cubriendo las ocupaciones asociadas al Muro 5 (E29). E26-s1 es un estrato depositado de manera homogénea. E26-s2 forma también parte del relleno, pero con la diferencia de no contar con materiales y cuyo contenido se basa en material parecido a adobes, en los que se puede apreciar impresiones de huellas provenientes de fibras de plantas, por lo que es posible que sea una mezcla utilizada para adobes.

En adición a estos sucesos se identificó E26-s1, cuya deposición ocurrió después del periodo de uso del Muro 5(E29), en gran parte de las unidades excavadas como parte del relleno para levantar el área de ocupación doméstica; es un estrato compuesto de poca cantidad de material cerámico, insertó en una matriz de marga limosa mezclado con fragmentos de conchas y gravillas. Por la relación en profundidad añadimos a este estrato el Ent. 116 I129 y 116 I128 ubicado en KK44 (Figura 3.30), a una profundidad de 15.797 m.s.n.m. y a 15.817 m.s.n.m. respectivamente, contando con un entierro doble simultaneo de infantes (Figura 3.31 y 3.32). El individuo 129 de tipo directo, se recuperó semi completo, ya que sólo contaba con la mitad superior. Decúbito lateral derecho, con orientación céfalo caudal, Norte-Suroeste y Ent. 116 I128 de tipo directo, semi completo ya que sólo contaba con la mitad superior. En posición decúbito lateral derecho, con orientación céfalo caudal, Sur-Noreste. Ninguno de ellos contó con ofrenda funeraria asociada. Por la orientación con la que contaban los infantes estos se encontraban dispuestos de manera diagonal, de modo que se apreciaban encontrados. Ent. 116 I129, es el único de los entierros recuperados que no cuenta con una orientación céfalo caudal hacia el Norte.

Inserto en el estrato E26-s1, en el centro de las unidades KK40, KK41, JJ40 y JJ41 se identificó un entierro de fauna, a una profundidad de 15.677 m.s.n.m. Los restos contaban con relación anatómica y se encontró articulado, se recuperó completo y contó con una orientación céfalo-caudal del Sur-Norte (Figura 3.33 y 3.34). Fue colocado decúbito lateral derecho, su cráneo y maxilar apuntando hacia el Este. Sus cuatro extremidades estaban colocadas juntas en el centro anatómico del entierro, por lo que se

sugiere el uso de ataduras para lograr mantenerlas unidas y que no regresaran a su posición original, por la ubicación estratigráfica podría haber sido enterrado al depositar el relleno para E26-s1.

Posterior a la deposición de relleno, se depositaron grandes cantidades de fragmentos de cerámicas (E25-s1 y E25-s2) en las unidades GG34, GG35, HH34, HH35, II34, II35, II36 (Figura 3.35). Entre ellas se encuentra E25-s1 y E25-s2 (Figura 3.36 y 3.37), ambas insertas en una matriz marga limosa, la primera con una densidad alta de cerámica, de tiestos de tamaños varios, con una variedad de artefactos y materiales, incluyendo figurillas antropomorfas y zoomorfas, huesos de fauna, cantos rodados, lascas de obsidiana, conchas y caracoles. En comparativa E25-s2 a pesar de ser una capa con composición similar, su densidad en artefactual es menor y sólo está presente en la unidad II34. Por su disposición y profundidad, dichos depósitos cerámicos tuvieron que haber sido depositados previo a la construcción del Muro 4 (E23) (Figura 3.37). Debido a la amplia diversidad del contenido de los depositos, su alto grado de fragmentación, así como la disparidad entre el tamaño de los materiales, se consideran como un basurero para la primera etapa de ocupación de este periodo. Es importante mencionar que este basurero E25-s1 y s2 anteceden estratigráficamente a la construcción de la Est. 22-10, formada por el Muro 4 (E23).

Para la preparación de la Est. 22-10, es decir, la segunda etapa de ocupación de Clásico Tardío se cuenta con (Figura 3.27, 3.35, y 3.38): E24-s11, elemento con pocos materiales y sin inclusiones; E24-s10 un estrato con densidad baja de tiestos y presencia de bajareque; E24-s9, una capa semejante a una mezcla de construcción, posiblemente adobe, esto se sugiere por la dureza y presencia de huellas de fibras de plantas; E24-s8, E24-s7 y E24-s6 componen capas separadas, pero con características similares en su composición y poca cantidad de artefactos. Lo anterior descrito forma parte de los rellenos de construcción. E24-s5 es una capa inserta de manera vertical en E24-s4, E24-s2 y en la parte inferior de E10-s1. Los elementos E24-s4 a E24-s1 componen parte integral de los rellenos internos de construcción para la colocación de plataforma baja o casa, comparten las características de ser capas con poca densidad

de artefactos, poca cerámica compuesta de tiestos chicos y medianos, además de contener concha y gravilla mezclado en la matriz del estrato. Como parte de esta descripción todas estas capas se ubican en las unidades al Oeste de lo que después sería reconocido como el Muro 4 (E23). Por esto mismo el manejo de los materiales de las unidades directamente relacionadas con el Muro 4 (E23), fueron separados como materiales al interior y exterior de la estructura.

Sobre esta preparación fue colocado Muro 4 (E23) para la Est. 22-10, elemento representativo de la segunda ocupación de la fase Yuta Tiyoo, se localiza en las unidades GG35, HH35, II35, II36, JJ36, KK37, midiendo aproximadamente 4 m de largo con orientación Norte-Sur (35°) (Figura 3.39, 3.40 y 3.41). Fue realizada con rocas trabajadas de las que se puede observar caras planas, por lo que fue factible identificar la parte interna y externa de la estructura, además de la reutilización de fragmentos de metates, los cuales fueron elegidos por su forma alargada y rectangular. Sobre esta alineación, los constructores colocaron fragmentos de cerámica gris de manera vertical, son tiestos posiblemente recortados para poder dar una forma curva en la base, parte que se colocaba sobre las rocas, entre las cuales probablemente se usó algún tipo de cementante para que mantuvieran su posición vertical, esto como un posible elemento decorativo. Lastimosamente, debido a que no se logró identificar la esquina del Muro 4 (E23) u otra alineación de roca asociada, no se pudo conocer la forma ni el tamaño de la construcción original, pero se sugiere que podría ser una plataforma baja para casa doméstica o un cimiento de casa doméstica.

Para el periodo posterior a la construcción y durante el uso del Muro 4 (E23) existió una tendencia por la colocación de depósitos de artefactos que consisten mayormente en cerámicas, pero también con presencia de fragmentos de hueso de fauna y lascas de obsidiana (E22-s1, s2, s3, s4, s5), los cuales se pudieron apreciar de manera dispersa pero exclusivamente al lado Este del Muro 4 (E23), eran identificables ya que la mayoría de ellos se encontraban colocados dentro de un estrato orgánico con presencia de conchas y caracoles erosionados, como parte integral del mismo estrato (Figura 3.35, 3.38,

3.42 y 3.43). Debido a las características propias de estos depósitos, estos elementos se considerarían como basureros correspondientes a esta segunda etapa de ocupación, distinguibles de aquellos posibles depósitos de terminación, los cuales son descritos con mayor detalle en párrafos posteriores.

Comenzando con E22-s5 en la unidad KK40 como parte de estos basureros, contó con una cantidad alta de cerámica, con tiestos de tamaños variados, en su interior existió la presencia de gravillas. En la unidad HH39 se localizó E22-s4 y sobre esta E22-s3, ambos formando depósitos con alta densidad cerámica, con tiestos de gran tamaño, en comparativa con otros depósitos cerámicos, además en esta unidad se localizaron concentraciones cerámicas al Este y Oeste de esta, contando con tamaños diversos entre si, además de estar colocados de manera horizontal.

Continuando con los depósitos cerámicos dispersos en el área se localiza E22-s2 (II36, II37, II38 y HH37), la cual es una capa con densidad alta de cerámica, contiene amplia variedad de materiales, tales como figurillas, artefactos líticos, conchas y cantos rodados (Figura 3.38 y 3.44). Dentro del depósito existió una gran presencia de cantos rodados, así como artefactos de lítica pulida, manos de metate, además de una basta diversidad y cantidad de artefactos cerámicos, tales como silbatos y botones etc. (Figura 3.45). Llama la atención especialmente la presencia de una punta de proyectil de obsidiana (Figura 3.46). En la parte superior de esta capa se observó una disminución en la densidad de artefactos cerámicos, en comparación con el resto del mismo. Estratigráficamente, los depósitos de artefactos arriba mencionados fueron depositados durante y/o tiempo después de la ocupación asociada con el Muro 4 (E23). Por la diversidad de materiales fragmentados, posiblemente se trate de un basurero o alguna manera de deposición especial. Sobre este se colocó E22-s1 (HH37), como una forma de cubrirlo, este fue un estrato con menor densidad de cerámica.

Sobre estos depósitos de cerámica y complementando en toda el área se encontró E21 como parte de un relleno o desecho ocupacional, fue depositado después de desocupar la Est. 22-10 de la Fase

Yuta Tiyoo de Clásico Tardío (E23; Muro 4). En él se puede apreciar una densidad media de materiales cerámicos, es un estrato que fue depositado de manera casi homogénea sobre el área.

En el estrato E21 encontramos otros depósitos de artefactos asignados como E20-s7 (HH35), E20-s6 (LL38, LL39, KK38, KK39), E20-s4 (KK44), E20-s3 (GG43, GG35), E20-s2 (II39, JJ39) y E20-s1(LL39, LL40) (Figura 47 y 48). Los cuales se ubican en unidades diferentes, pero comparten características en su deposición y formación, como estar insertos en una matriz con presencia de concha, una densidad alta de tiestos de diversos tamaños, restos de hueso de fauna, lascas de obsidiana, figurillas y diversidad de objetos cerámicos.

E20-s5 identificado en las unidades NN38, OO38, PP38 y QQ38 (Figura 3.28 y 3.49) es impresionante debido a la alta densidad cerámica, tiestos de grandes tamaños, figurillas y diversidad de objetos cerámicos, incluyendo una vasija de cerámica gris con decoración incisa y soportes zoomorfos (OO38) (Figura 3.50), un cajete de cerámica anaranjada con decoración incisa y un acabado de superficie bruñido (PP38) (Figura 3.51), ambas recuperándose completas aunque fragmentadas, además de una vasija de pasta café grueso con acabado alisado, que aunque no se registró completa si puede asegurar que era una vasija de grandes dimensiones (NN38) (Figura 3.52). Todas colocadas de manera intencional dentro del depósito de cerámica, el cual incluyo en su formación lascas de obsidiana y fragmentos de hueso de fauna. Basándose en la ubicación estratigráfica de dichos depósitos de artefactos y sus características, se considerarían depósitos masivos de terminación al tiempo de abandono de la segunda ocupación, es decir, el final del Clásico Tardío.

E17, E18 y E19, forman parte de los desechos ocupacionales hacia el final del Clásico Tardío, observables solamente en la esquina Noreste de la Op. B Norte (PP43, PP44, QQ43, QQ44), se encuentran insertos en una matriz limo arcillosa con una densidad media de artefactos y con tiestos de tamaño chicos y medianos que se aprecian erosionados (Figura 3.53).

En las unidades PP43, PP44, QQ43 y QQ44, se pudo observar la existencia de un depósito de cerámica que se localiza desde E16 como límite inicial hasta E11 como el límite final de la deposición del elemento, este último depositado durante la transición del Clásico Tardío al Posclásico Temprano (Figura 3.53, 3.54 y 3.55). Este depósito a pesar de ser continuo por aproximadamente 60 cm de grosor, se observa en deposiciones separadas y dispersas dentro de las unidades, y no colocadas de una manera horizontal homogénea y conjunta. Por esto mismo se consideran como perteneciente a un mismo momento, pero con diferentes episodios. Dichos episodios de deposición contienen una alta concentración cerámica, así como artefactos cerámicos, como figurillas y botones además de líticas pulidas, restos de hueso de fauna y lascas obsidiana. Todas las concentraciones estaban entre los 15 cm y 30 cm de grosor. En adición los tiestos cerámicos aquí depositados son de un tamaño pequeño. Este depósito marcaría el final o un periodo transicional entre la ocupación Clásico Tardío y el Posclásico Temprano. Por las características de los materiales recuperados, estos elementos se consideran como un basurero.

Comparando con los depósitos masivos anteriores, los depósitos encontrados en las unidades PP43, PP44, QQ43 y QQ44 son a escalas menores e intermitentes, además de contar con materiales más fragmentados, aunque mantiene esta diversidad de materiales. Con esto, podría sugerirse que, a pesar de ser depósitos masivos de terminación del Clásico Tardío, el área se sigue ocupando en una menor escala de actividad y se continúan depositando artefactos de manera intermitente y esporádica.

### 3.4.3 la Fase Yugüe

Para la Fase Yugüe de Posclásico Temprano en la Op. B Norte, se identificaron dos periodos de ocupación, los cuales se ven representados por diferentes elementos en la superficie ocupacional de cada periodo. Al principio del Posclásico Temprano, se levantó el área de ocupación con un gran volumen de relleno (E10-s1 y s2) hasta aproximadamente los 16.377 m.s.n.m. Comenzando con E10s-1 que es un

estrato inserto en una matriz de marga café grisáceo obscuro, con presencia de cerámica correspondiente a la fase Yugüe y Yuta Tiyoo. Encima de la cual se pudo apreciar el Muro 3 (E9) un alineamiento de rocas conformado por lajas y cantos rodados, y que se puede apreciar en las unidades NN33 y MM36 (Figura 3.56) por cuestiones de tiempo no se logró seguir el rumbo de la alineación y sólo quedó descubierta lo que podría ser parte de una esquina, cuenta con una orientación Noroeste-Este y del mismo sólo se conserva una fracción de su extensión original, siendo aproximadamente de 3 metros de largo lo que se pudo registrar y observar en campo.

Dentro de estrato E10-s1 se localizaron cuatro entierros, los cuales contaban con las características descritas por anterioridad en el sitio (King, 2003), a continuación, explicados:

- Entierro 119 I132 (Figura 3.57., 3.58. y 3.63.): Encontrado a 16.197 m.s.n.m. es un individuo colocado decúbito dorsal extendido, con orientación céfalo-caudal Sur-Norte. Se localizó con dos ofrendas cerámicas funerarias asociadas, colocadas en las extremidades inferiores (Sur), ambas completas, aunque fragmentadas, estás sirvieron para corroborar su fase, correspondiente al Posclásico Temprano, contó con un cajete curvo divergente policromo con un acabado bruñido, colocado en la parte izquierda de las extremidades y a la derecha un plato trípode (Figura 3.59). Con la extremidad inferior derecha colocada sobre la izquierda, es decir, cruzados.
- Entierro 118 I131 (Figura 3.60., 3.61. y 3.63.): A una profundidad de 16.287 m.s.n.m. Individuo con una posición decúbito dorsal extendido, con orientación céfalo-caudal Sur-Norte. Sus extremidades inferiores colocadas de manera recta. Contó con dos ofrendas cerámicas funerarias asociadas en las extremidades inferiores (Sur), ambas correspondientes al Posclásico Temprano, contó con un cajete curvo divergente policromo con un acabado bruñido, colocado en la parte derecha de las extremidades y a la izquierda un plato trípode (Figura 3.62). Ambas completas pero fragmentadas.

- Entierro 117 I130 (Figura 3.64 y 3.65): Localizado a una profundidad de 16.377 m.s.n.m. contó con una posición decúbito dorsal extendido, con orientación céfalo-caudal Sur-Norte. Fue el único de los entierros correspondientes al Posclásico Temprano que no contó con ofrendas funerarias asociadas.
- Entierro 135 I148 (Figura 3.66 y 3.67): Encontrado a una profundidad de 16.307 m.s.n.m. Colocado decúbito dorsal extendido, con orientación céfalo-caudal Sur-Norte. Contó con ofrenda cerámica funeraria en las extremidades inferiores (Sur), la cual estuvo compuesta por un plato trípode colocado en su lado izquierdo y un cajete sobre su lado derecho. Sobre su cráneo se encontraron tiestos cerámicos cubriéndolo (Figura 3.68).

Basándose en la práctica funeraria del Posclásico temprano (King 2003), los entierros arriba mencionados podrían haber sido colocados debajo de una plataforma baja para casa residencial. Sin embargo, durante la excavación no se han confirmado posibles elementos arquitectónicos asociados a los entierros, aunque el Muro 3 (E9) sea candidato para ello. Como otras alineaciones de rocas observadas en el sitio, es posible que las rocas para la plataforma fueran removidas y luego reutilizadas en otras construcciones. Por lo observado en campo todos los entierros forman parte de una misma práctica funeraria, además fueron colocados de manera seguida, en unidades contiguas una a la otra, aunque a diferentes niveles de profundidad.

Otro trabajo de relleno con gran volumen de tierra fue realizado en la fase Yugüe (E8, E7). En la parte del fondo de E8 se observan cerámicas al mismo nivel del inicio de E10-s1 (Figura 3.69 y 3.70), con lo cual se puede identificar la separación entre ambos, la densidad cerámica y la compactación del estrato puede sugerir que E8 fue depositado como relleno para la construcción o colocación de una plataforma o casa residencial. Este estrato se utilizaba como superficie de ocupación. E7 se encontró conformado por

una densidad de fragmentos de conchas con muy baja concentración y artefactos e inserto dentro de E8, esto como parte de un posible desecho ocupacional o de relleno para plataforma.

En los eventos constructivos para la segunda fase ocupacional tenemos la presencia en superficie de Muro 1 (E36) (Figura 3.71 y 3.73) y Muro 2-1 (E37), 2-2 (E38), y 2-3 (E39) (Figura 3.72 y 3.74), aunque al principio se pensaba que formaban parte de una misma construcción al comenzar las excavaciones y dejar al descubierto las alineaciones, se descubrió que eran parte de dos estructuras separadas entre sí (Figura 3.19). Los muros fueron conformados por lajas de roca trabajadas y fragmentos de metates reutilizados.

El Muro 1 estuvo orientado en el eje Oeste-Este con una inclinación de 88° N y midió aproximadamente seis metros de longitud. Este muro se considera parte de una estructura denominada Estructura 22-8 de acuerdo con la nomenclatura del proyecto. Los Muros 2-1, 2-2 y 2-3 conforman una estructura residencial la cual se denominó como Estructura 22-7 con una orientación Sur-Norte, aproximadamente de 5 m de longitud en su lado de mayor dimensión, conserva en su forma parte de las esquinas, por lo que se pudo apreciar mejor los límites de esta. La Estructura 22-7 se ubicó al margen del límite Este de la excavación, por lo que no fue posible apreciar si conservaba mayor parte de su longitud o las dimensiones completas del mismo, en caso de aún conservarse.

En ambos casos nos encontramos ante muros incompletos, probablemente por la reutilización de las rocas en otras construcciones o por factores diversos, como la erosión o afectación por el uso de terreno para la alimentación de ganado. Debajo de los muros contamos con un relleno de construcción y preparación para las plataformas es un sedimento compacto, al interior de los Muros 1, 2-1, 2-2, y 2-3 (E36, E37, E38 y E39). Dichos rellenos de construcción cuentan con alta densidad de tiestos cerámicos erosionados y bajareques.

Asociado a los muros arriba mencionados se contó con la presencia de E6-s1 y E6-s2 (Figura 3.75), un relleno compacto de construcción localizado al interior de los muros, posiblemente una capa de preparación para la colocación de las plataformas, en él existió una mezcla de bajareque y cerámica en alta densidad. Además, en algunas de las unidades (OO31, OO34, OO32) se identificó E7 un estrato de desecho ocupacional inserto en un matriz de arcilla limosa, con presencia media de fragmentos de concha mezcladas con el estrato, el cual contó con una muy baja densidad de tiestos cerámicos muy erosionados.

En este mismo periodo ocupacional localizado en la esquina limite Noroeste de la excavación (PP31, PP32, QQ31, QQ32 o MU7), se puso al descubierto la existencia de E5, un horno completo en su forma (Figura 3.76. y 3.77). E5 está conformado por rocas de diversos tamaños dispuestas en forma de "U" o herradura, al centro del mismo se pudo observar un círculo interior de aproximadamente .85 m de diámetro, que se encuentra compuesto de barro quemado y cenizas (E35-s1, E35-s2 y E35-s3) (Figura 3.78). Probablemente asociado con Muro 1 (E36).

Para una mayor comprensión del mismo se realizó un corte transversal de la mitad del círculo interior hacia el límite Este de la figura del horno, lo cual dio lugar a E35-s1, compuesto por escombro de barro quemado, posiblemente restos de una estructura a forma de horno que colapsó, o como parte de residuos de construcción, siendo evidencia del desuso del mismo. Continuando con los subestratos que componen el interior del horno se localizó la presencia de E35-s2, una capa delgada de cenizas, sin ningún artefacto asociado, esto como evidencia del uso del elemento en actividades relacionadas con calor, debajo de esta existe la presencia de E35-s3, una capa delgada de barro quemado muy compacto colocado al interior de todo el horno, recubriendo las paredes internas, como parte de su forma estructural, dispuesto tal vez como una forma de contención de calor o de la forma interna.

En el caso de las excavaciones de este elemento, se contó con una densidad muy baja de artefactos cerámicos, y en las excavaciones del círculo interno sin rastros de material asociado, a excepción de una

gran cantidad de bajareque quemado, en la parte Este de E5. La existencia del horno, forma parte fundamental para las interpretaciones del área, ya que es un ejemplo claro de la cotidianidad y uso del sitio para actividades para la posible preparación de alimentos.

En los últimos periodos de ocupación se pudo apreciar E4, identificable en las unidades de la parte Centro-Norte de la excavación, en donde se localizó mayor presencia y ocupación del espacio para la fase Yugüe, E4 es un estrato inserto en una matriz de marga arcillo arenosa, forma parte de los desechos ocupacionales, es una capa con densidad relativamente alta de tiestos, se localiza fuera de los Muros de la fase Yugüe (E36, E37, E38 y E39). Fue depositado probablemente durante el final y/o después de la fase ocupacional de los Muros 1, 2-1, 2-2 y 2-3 (E36, E37, E38 y E39). Con presencia de artefactos, bajareques y gravillas.

En las unidades QQ43, QQ44, PP43 y PP44, existe la presencia de E3, un estrato semi compacto, compuesto por una gran densidad de tiestos y de bajareque quemado (Figura 3.53). Por la cantidad de tiestos de tamaños pequeños, dispuestos sin ninguna colocación singular y la presencia de hueso y restos de bajareque, podría ser considerado como un posible basurero de Posclásico Temprano, asociado tal vez a la Estructura 22-7 (E37, E38 y E39), cementado en la existencia de basureros con regularidad localizados en las esquinas exteriores de las estructuras.

### 3.4.4 Resumen de las excavaciones de Operación B Norte

Para la Operación B Norte se pudieron contemplar dos periodos de ocupación para cada Fase, la presencia de estructuras de Posclásico Temprano sobre la misma área de las estructuras correspondientes a Clásico Tardío nos habla de una secuencia temporal de ocupación. Si bien existieron periodos de abandonos, siempre existió una presencia humana continua, y podemos establecer lo siguiente.

Existe una marcada diferencia en los estilos arquitectónicos entre Posclásico Temprano y Clásico Tardío, desde su orientación hasta la forma de disposición de las rocas. Es claro que los factores climáticos y antrópicos han ayudado la poca conservación de las estructuras del Posclásico, pero la evidencia de motivos decorativos con el uso de cerámica cortada y acomodada a manera en que fuera visible desde el exterior, así como un elemento integrado en su construcción, además del uso de rocas con caras trabajadas, se aprecian solamente para la fase Yuta Tiyoo.

Descrito y visto con anterioridad en los proyectos pasados, existe una clara tendencia en las prácticas funerarias del Posclásico Temprano, si bien no se ubicaron colocados directamente debajo de algún muro o estructura, si conservaron la posición, orientación y colocación de ofrendas en las extremidades inferiores. A diferencia de los entierros de la Fase Yugüe los correspondientes a la Fase Yuta Tiyoo, en lo referente al bloque Norte, fueron solamente de infantes, esto pudiendo indicar una tendencia en las gráficas de mortandad infantil, sobre todo por la nula presencia de entierros de adultos, ninguno de los infantes fue encontrado con ofrendas asociadas. En adición se ve una clara tendencia a posicionarlos con una orientación céfalo- caudal Sur- Norte. A excepción del entierro 116 I129. Esto se puede apreciar incluso en el entierro de fauna, posiblemente perro.

La dispersión en las concentraciones cerámicas, no cuenta con un orden especifico de colocación, podrían formar parte de depósitos de terminación al desocupar el espacio, específicamente E20-s1, s2, s3, s4, s5, y s6. Para identificarlos se debe considerar la presencia de la densidad cerámica, así como unos fragmentos de mayor tamaño e incluso tiestos que peguen, tal vez incluso la presencia de alguna vasija completa pero rota con intencionalidad, además de un buen estado de conservación, la mayoría depositados en estratos orgánicos, en algunos casos en la estratigrafía se puede apreciar sobre ellos una capa de menor densidad artefactual como una manera de cubrirlo. Otros depósitos con mayor presencia de artefactos (E25-s1 y s2, E22-s1, s2, s3, s4, s5, E11-16, y E3), tiestos de menores dimensiones, presencia

de hueso y hallados en un estrato orgánico mezclado con conchas y caracoles podrían ser parte de un basurero.

Por lo anterior descrito se puede mencionar una predisposición en las formas constructivas dentro del área para ambos periodos, además de una constante presencia humana en el área, y dada la alta cantidad de materiales recuperados se trata sin duda de un área ocupada para actividades de índole doméstica, en ambos periodos, esto dado por la presencia además de elementos relacionados con el uso de calor, tal vez como parte de procesos de la elaboración y preparación de alimentos, como lo es el horno (E5) correspondiente a la fase Yugüe o las huellas de calor (E28) localizadas en la fase Yuta Tiyoo.

Existe una marcada diferencia entre los hallazgos localizados entre Op. B Sur y Op. B Norte, además de encontrarse en un área de menor elevación y plana, los materiales recuperados en Op. B Norte consisten en una gran densidad y variabilidad de materiales arqueológicos, además de utilizar espacios para la colocación de depósitos de terminación y entierros, cuenta con una función de espacio doméstico bien establecido. Los posteriores análisis de los materiales arqueológicos, los restos óseos de fauna y los entierros ayudarán a tener una mejor visión sobre las personas que aquí habitaron.

## 3.5. Conclusiones

Los datos sobre la vida doméstica de los períodos Clásico Tardío y Posclásico Temprano, los cuales son la parte de interés para el PRV-22, fueron exitosamente recuperados mediante las excavaciones de Operación B Sur y Norte. Comencemos describiendo el notorio contraste existente entre ambas áreas de excavación, si bien es cierto que se ubican dentro de una misma área de ocupación cuentan con marcadas diferencias, las cuales han sido descritas a lo largo de este capítulo, como primer indicativo de estás

excavaciones tenemos que en la Op. B Sur contó con una densidad bastante baja de materiales arqueológicos, en comparativa con la Op. B Norte.

Las casas residenciales existen en ambas áreas, sin embargo, la Op. Sur contó con menor densidad de artefactos y elementos asociados a las actividades de la vida doméstica, en cambio, en la Op. B Norte se puedo recuperar evidencia de que los habitantes practicaban diversas actividades relacionadas con la vida doméstica del sitio. Esto se puede ver por ejemplo en los restos de fauna y conchas recuperados, así como depósitos de artefactos, piezas cerámicas completas, entierros de humanos e incluso de perro, además de áreas indicadas y relacionadas con actividades de preparación y procesamiento de alimento o relacionado con el uso del calor. Este contraste en la distribución de materiales nos brindara información del uso de espacio de áreas domésticos en Rio Viejo.

Es significativo mencionar que al final del período Clásico Tardío fueron colocados masivos depósitos de terminación, dispuestos por toda el área de la Op. B Norte, posiblemente fuera de las estructuras, una vez que estás entraban en desuso, identificadas al final de los dos periodos ocupacionales de la fase Yuta Tiyoo , por la amplia dispersión y en algunos casos no depositada en un mismo momento, estos eventos nos sugieren que, dicho período fue muy importante para los habitantes de aquel tiempo y aunque la organización política del Clásico Tardío colapsó (pj. Joyce et al. 2014), en el período Posclásico Temprano y el periodo transicional entre ambos, las personas siguieron ocupando el área de Op. B Norte de manera constante con el fin de un uso doméstico. Además, estos depósitos separados en el tiempo, pero en el mismo lugar nos indican una memoria colectiva e histórica y una recurrente presencia en el sitio, para poder realizar los depósitos de manera intermitente en el mismo lugar.

Aunque no sabemos la forma ni las dimensiones completas, las alineaciones de rocas identificadas como Muro 4 (Est.22-10) y 5 (Est.22-11) de Op. B Norte, con el uso de tiestos de cerámica como decoración e incluso inserto a manera de equilibrar o nivelar los componentes del muro, como los visto en el Muro 5

de Op. B Sur, indican no solo la presencias de casas domésticas, sino también un uso estandarizado de las tiestos como parte de las construcciones dentro del área, además de contar con una orientación (Sur-Norte o Noreste-Suroeste) similar entre los Muros correspondientes a esta fase y la utilización de rocas con una cara plana y semejante a un bloque, nos indica una práctica constructiva propia, que si bien comparten similitudes con los muros pertenecientes al Posclásico Temprano, podemos observar una lista de pequeñas diferencias arquitectónicas entre ambos periodos como: la orientación, el uso de cerámica, los rellenos constructivos para colocarlos y sobre todo el uso de rocas con un cara plana para indicar el exterior de la residencia. Como similitudes encontramos el uso de lajas y metates reutilizados.

Para la fase Yugüe contamos con la presencia de muros (Muro 1, 2-1, 2-2, 2-3 y 3 de Op. B Norte y Muro 1 y 2 de Op. B Sur) formados de una sola hilada de rocas, colocadas en una orientación Este-Oeste para ambas áreas de Op. B, construidos con rocas trabajadas y partes de metates reutilizados, en algunos casos con cantos rodados, dispuestos para soportar alguna estructura de materiales perecederos, ninguno de ellos se localizó completos, esto podría formar parte de la reutilización de las rocas.

En lo referente a las prácticas funerarias de la Fase Yuta Tiyoo se recuperaron los siguientes datos, alrededor de la primera residencia en el Muro 4 (E23) se localizaron cuatro entierros de infantes, uno de ellos como parte de un entierro múltiple identificados como Ent. 128 I141, 129 I142 y 130 I143 y Ent. 115 I127, único de los entierros de infantes que fue depositado solo, y para la segunda fase de ocupación del Clásico Tardío un entierro doble de infantes Ent. 116 I129 y 128. Ninguno de ellos de ellos conto con ofrenda asociadas, además ninguno fue depositado sólo a excepción del ya mencionado, lo que podría formar parte de una práctica o una relación entre los individuos, todos a excepción del Ent. 116 I129, contaron con una orientación donde sus pies apuntaban al Norte, práctica que se sigue observando hasta el Posclásico temprano (con algunas excepciones). La existencia de estos entierros podría indicar la existencia de unidades domésticas, que, si bien ya no se conservan, normalmente los individuos eran

depositados cerca de las unidades domésticas. Futuros análisis osteológico e isotopos estables nos brindarán la dieta y estado de salud de ellos. Según estudios previos en el sitio Rio Viejo, hay entierros de adultos correspondientes al período Clásico Tardío (e.g. Joyce y Barber, 2015a, 2021) y evidencia de entierros secundarios de infantes, pero no con suficiente evidencia para establecer una constante en la forma deposición. Por tanto, esta concentración de infantes es algo significativo aún desconocido, además de ayudar a establecer parte las practicas correspondientes a este periodo. En la fase Yugüe contamos con las practicas con características ya vistas con anterioridad en el proyecto (King 2003) con ofrendas sencillas, y sólo tres de los cuatro entierros provenientes de esta fase contaron con ofrenda. El entierro de Op. B Sur de posición flexionada y con orientación completamente diferente nos puede indicar parte de esta diferenciación interna observada en el área.

La presencia de entierros múltiples o cercanos unos a otros, como lo observado en el Posclásico Temprano, que estaban separados unos de otros solo por unos cuantos centímetros pero sin sobreponerse o alterar de alguna manera los entierros de los demás individuos, indican una posible memoria colectiva sobre el lugar donde sepultaban a los individuos, ya que de manera arqueológica no existe ninguna marca que indicase donde fueron colocados, además esto era de suma importancia ya que evitaban el alterar o modificar de alguna manera a los individuos ya depositados.

Alrededor de casas domésticas del Posclásico Temprano se localiza un horno (E5). Este horno tiene un área circular el cual mide aproximadamente .85 m de diámetro, sugiriendo tal vez que este podría coincidir con las medidas de un comal. Este tamaño es de una escala menor que los hornos encontrados en la Op. A, los cuales se consideran el uso comunal (vea capítulo 2). Este horno sería para un uso doméstico. Otro elemento interesante es el círculo de piedras encontrado en la Op. B Sur. Hay otro ejemplo en la Estructura 2 de Acrópolis (Joyce y Levine 2009), sin embargo, no se sabe todavía su función exacta. Además de los elementos registrados arriba mencionados, aunque provinieron fuera de contexto,

se encontraron malacates, puntas de proyectiles hechas de sílex y cerámicas elaborado con la técnica de quema diferente, los cuales son materiales representativos del período Posclásico Temprano (Joyce and Levine 2009, King 2003).

La presencia de cerámica como vasijas domésticas, lascas de obsidiana y restos de fauna, indican actividades domésticas, que si bien es cierto contaban con materiales de exportación, las evidencias indican un uso de pequeña escala, posiblemente como parte de las actividades de preparación y consumo doméstico. Además, contamos con una recurrente presencia humana en área, aunque con periodos de abandono parcial o desocupación observable en estratos de desecho ocupacional identificados de manera homogénea en toda el área.

Considerando las características del espacio, la arquitectura, las practicas funerarias y la variedad de artefactos recuperados en excavación, la Op. B Norte fue un área doméstica, además considerando las diferencias entre la Op. B Sur, que, si bien aún no se reconoce por completo su función, la variedad de artefactos, la complejidad de preparación del terreno para la colocación de terrazas, plataformas o muros de mayor altitud que los expuestos en Op. B Norte, y la poca presencia de materiales arqueológicos, podrían sugerir que dentro de un mismo grupo coexistiendo en la misma área, existían diferencias sociales internas o el uso de espacio.

Nos queda pendiente de indagar más sobre el uso del espacio en el área doméstica en un futuro para poder llegar a una descripción de mayor detalle sobre las actividad y uso del área. Aunque una sugerencia de la lectura del espacio podría indicar que la parte plana podría ser el área de actividades cotidianas y la parte Sur que se encuentra más elevada podría ser un área limitada, restringido para algún evento especifico. La investigación futura en el área como el conjunto de Op. B (parte elevada y plano) ayudará a conocer mejor el uso del espacio durante el período Clásico Tardío y Posclásico Temprano, fuera de la Acrópolis.

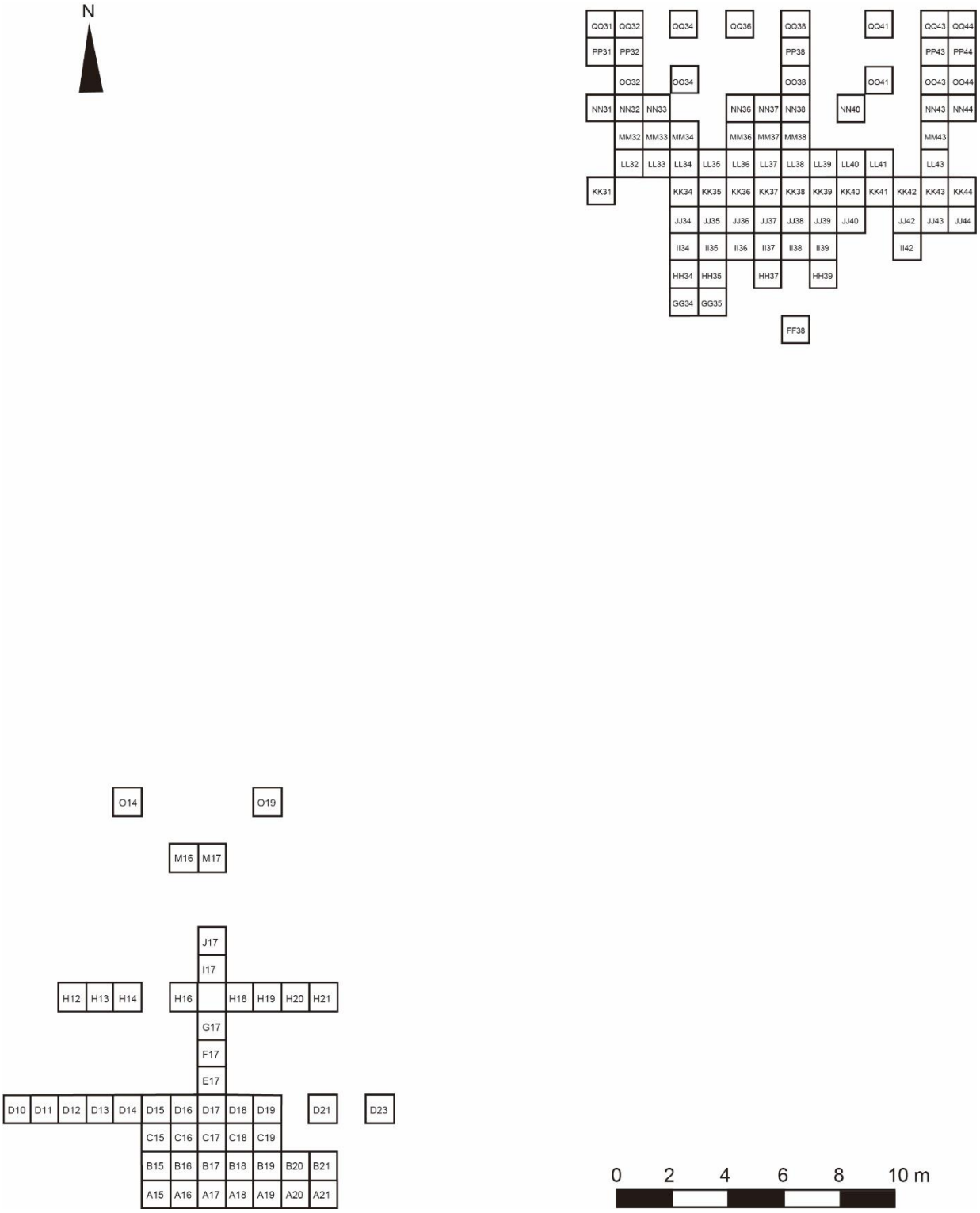



**Figura 3.1. Esquema de ubicación de las unidades excavadas en la Operación B.**



**Figura 3.2. Fotografía aérea de Operación B tomado por el drone**

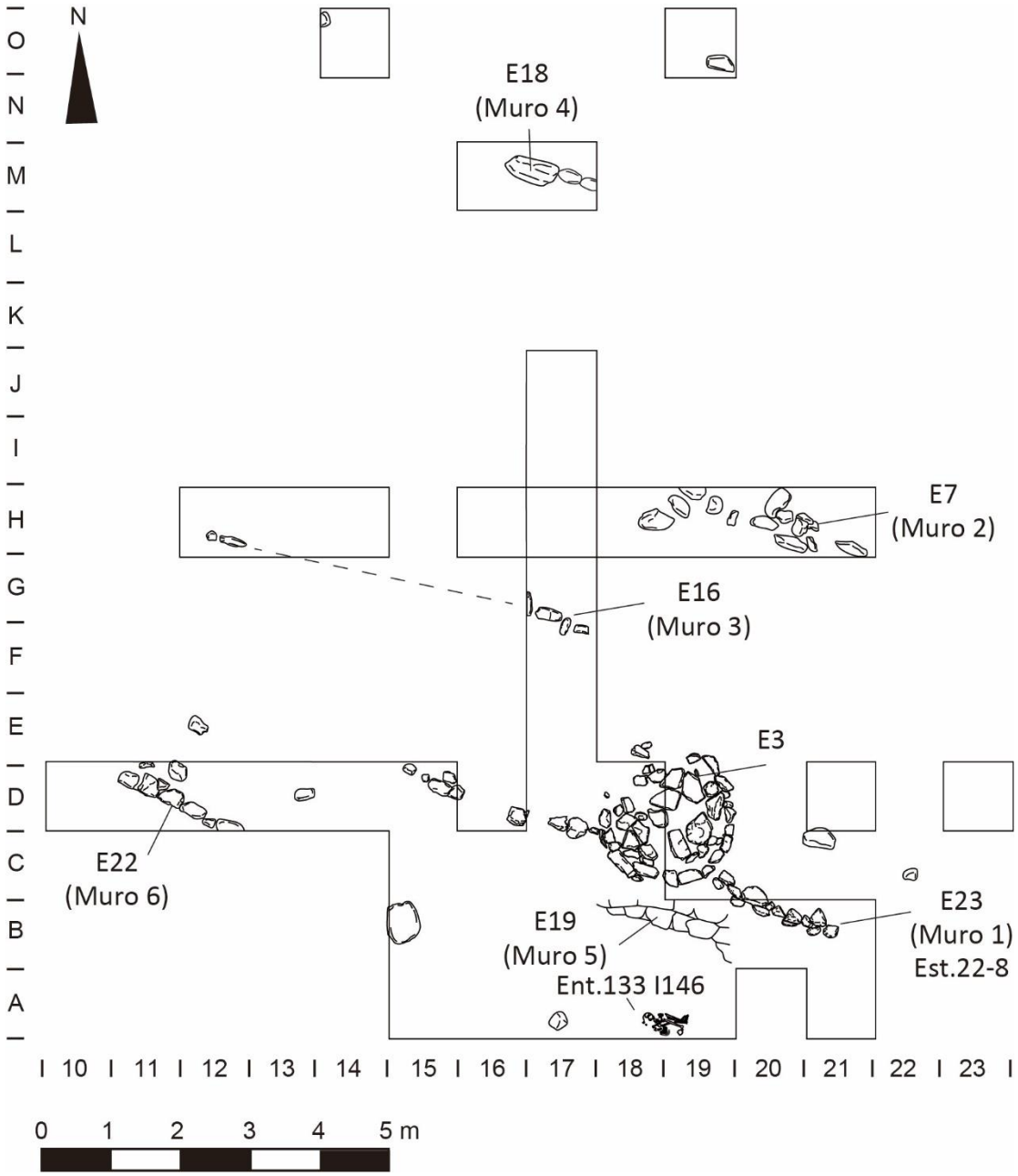



**Figura 3.3. Planta de la Operación B Sur.**

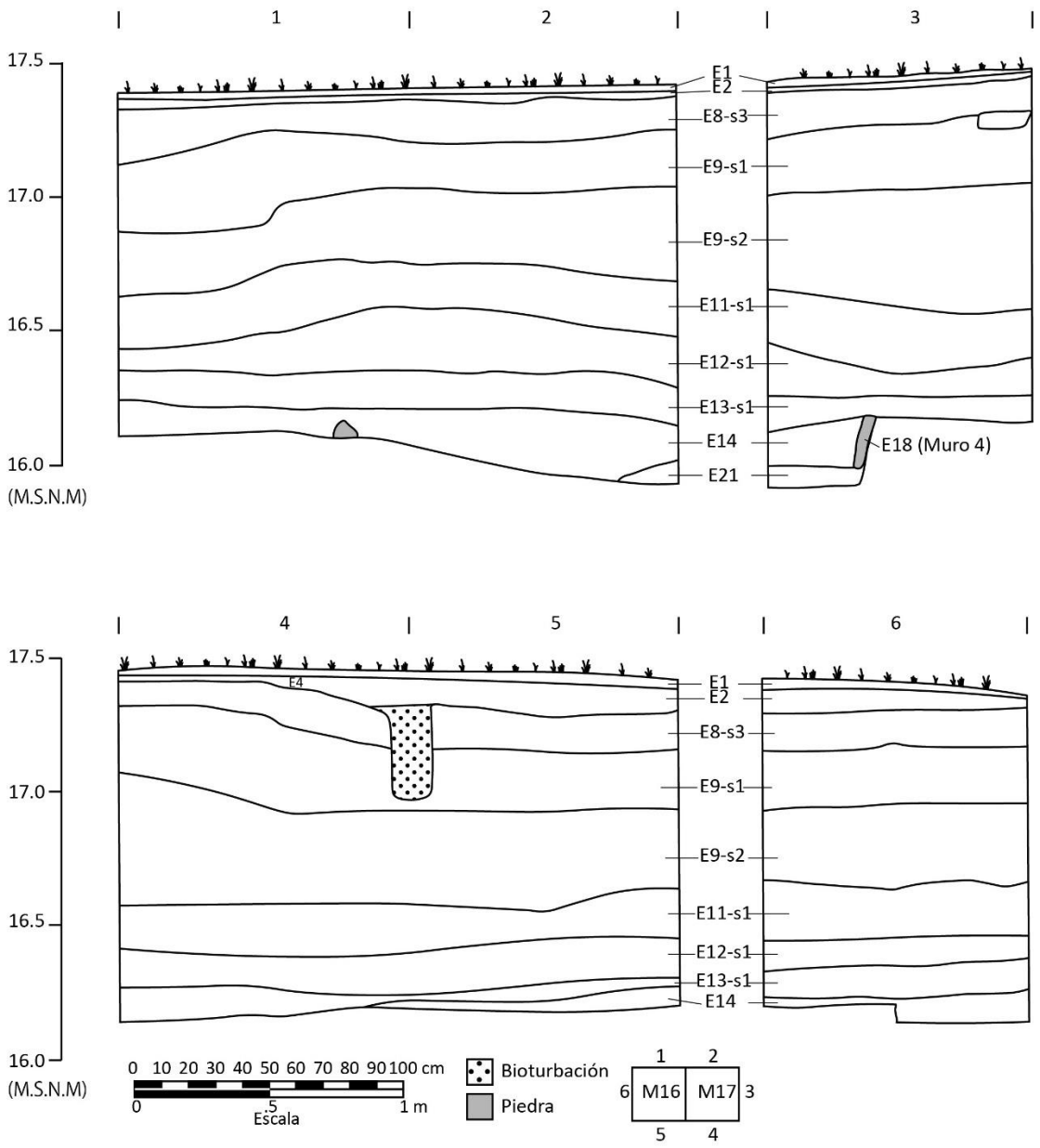



**Figura 3.4. Perfiles de las Unidades M16 y M17.**



**Figura 3.5. Fotografía de vista general de las Unidades M16 y M17 indicando el Muro 4 (E18).**

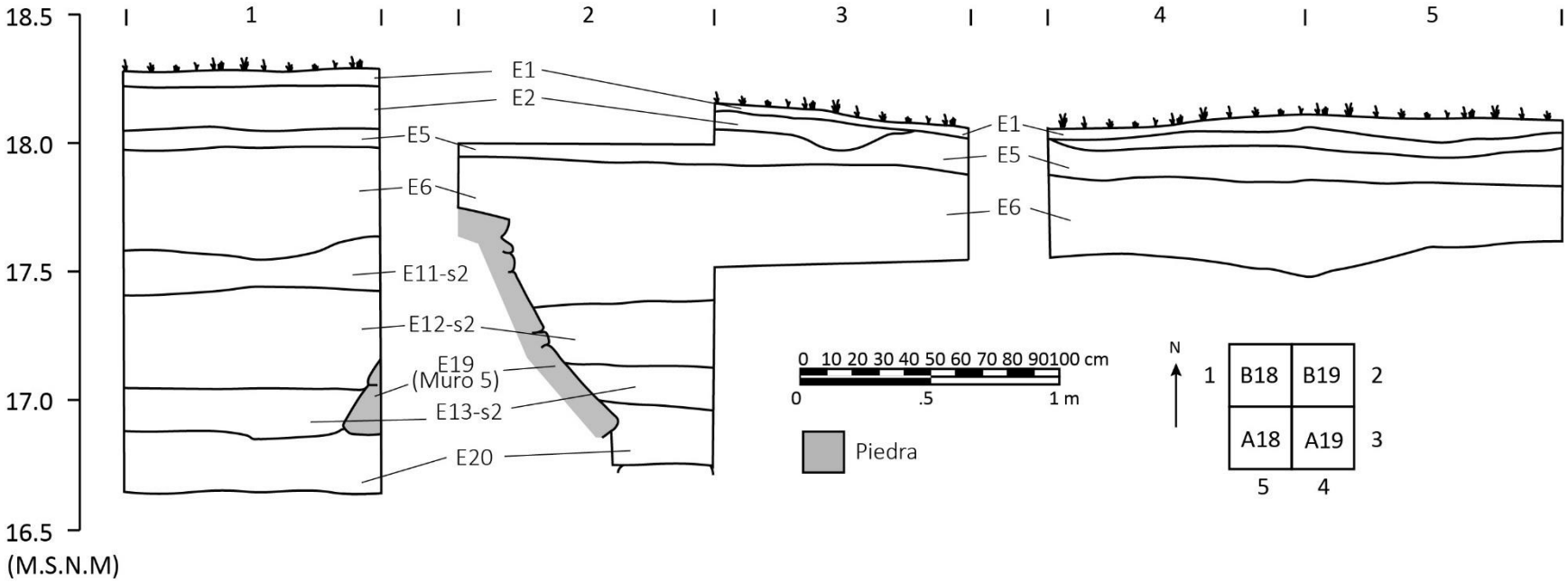



**Figura 3.6. Perfiles de la Unidad MU2 (A18, A19, B18 y B19).**




**Figura 3.7. Fotografía de vista general del Muro 5 (E19).**

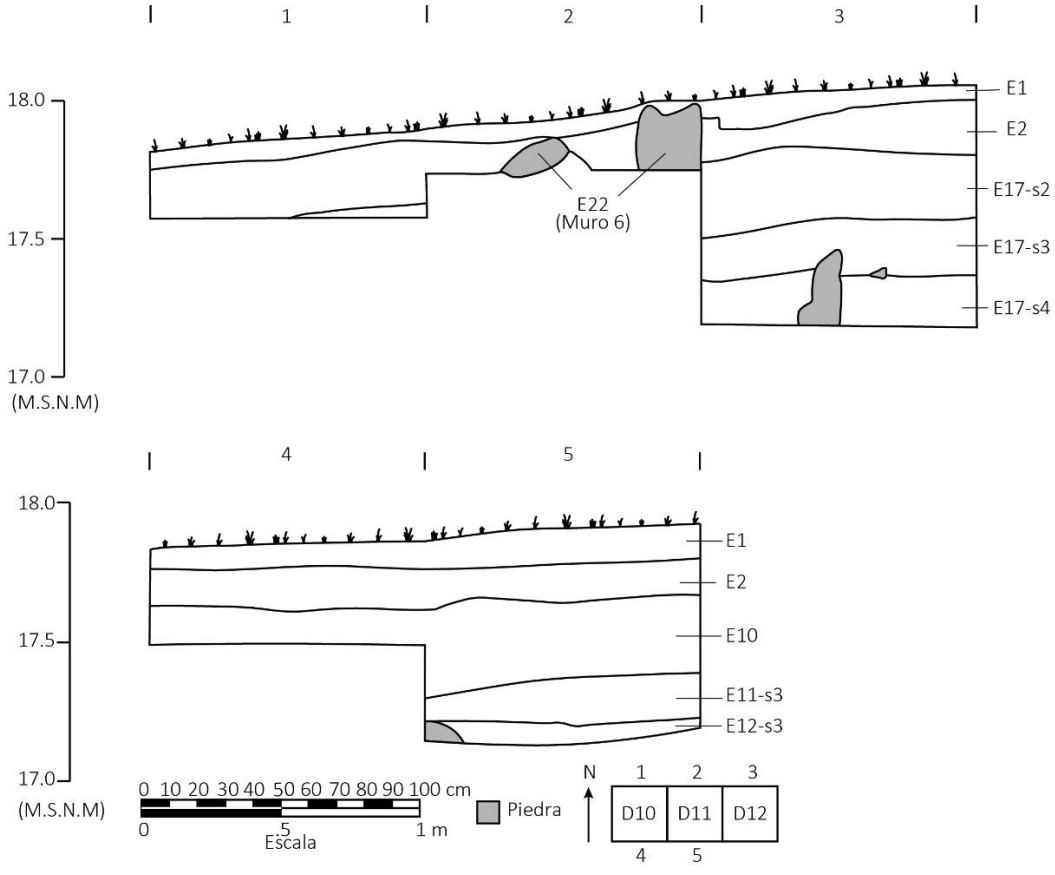



**Figura 3.8. Perfiles de las unidades D10, D11 y D12.**



**Figura 3.9. Fotografía del Muro 6 (E16).**

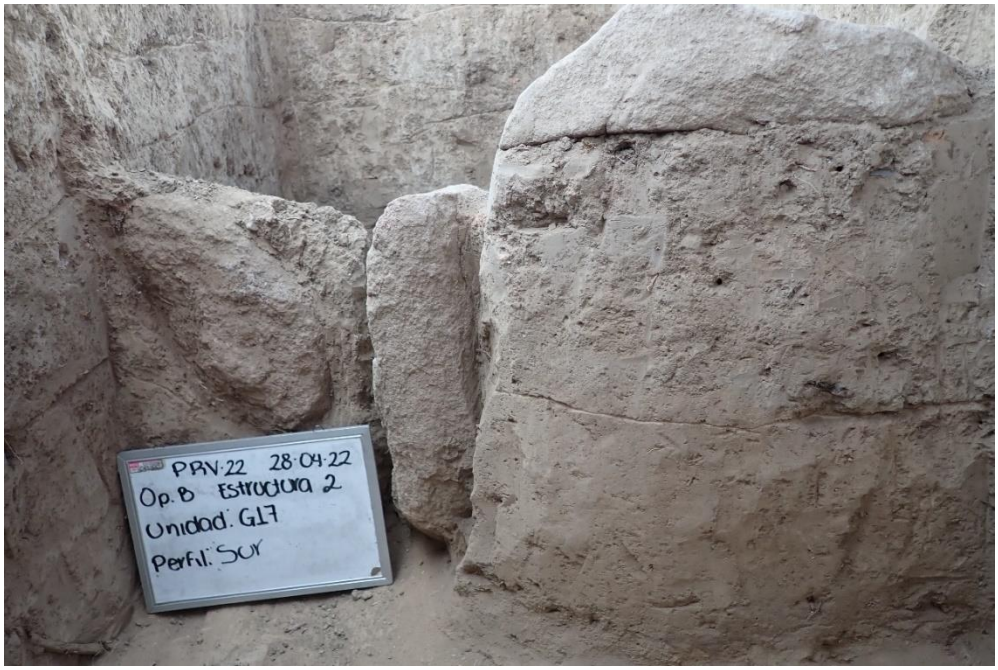



**Figura 3.10. Fotografía del Muro 3 (E16).**

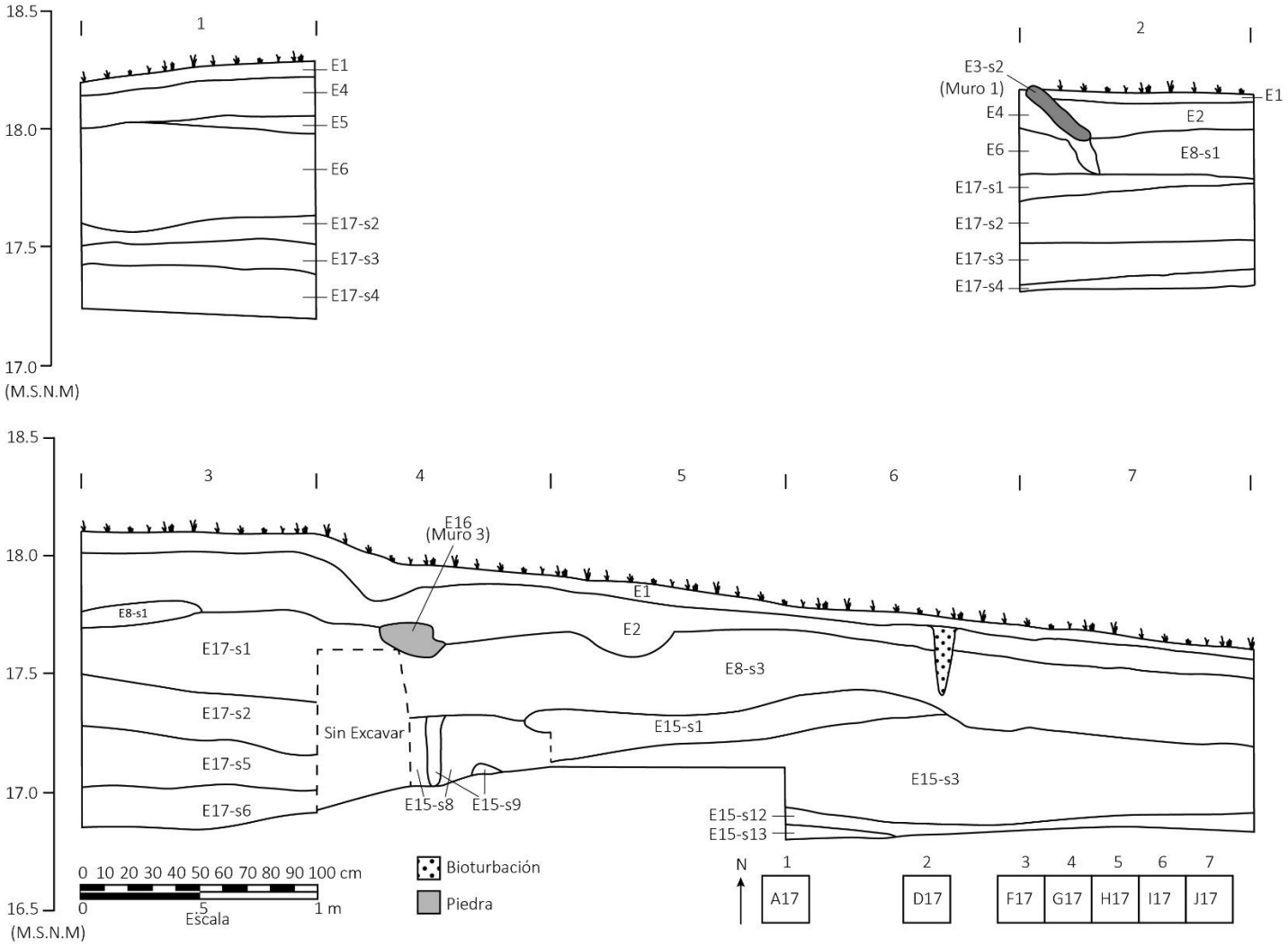



**Figura 3.11. Perfiles de las unidades A17, D17, F17, G17, H17, I17 y J17.**

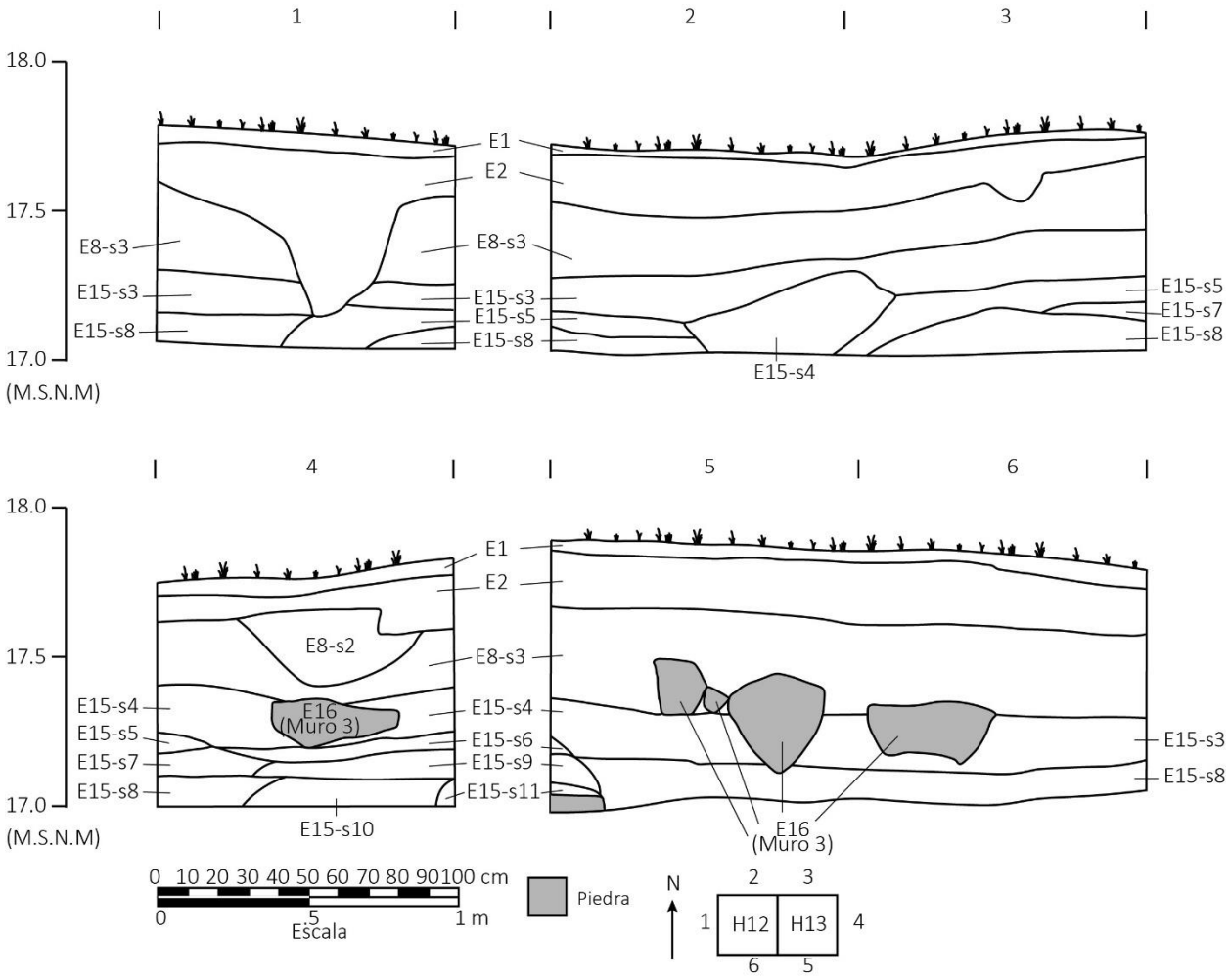



**Figura 3.12. Perfiles de las unidades H12 y H13.**

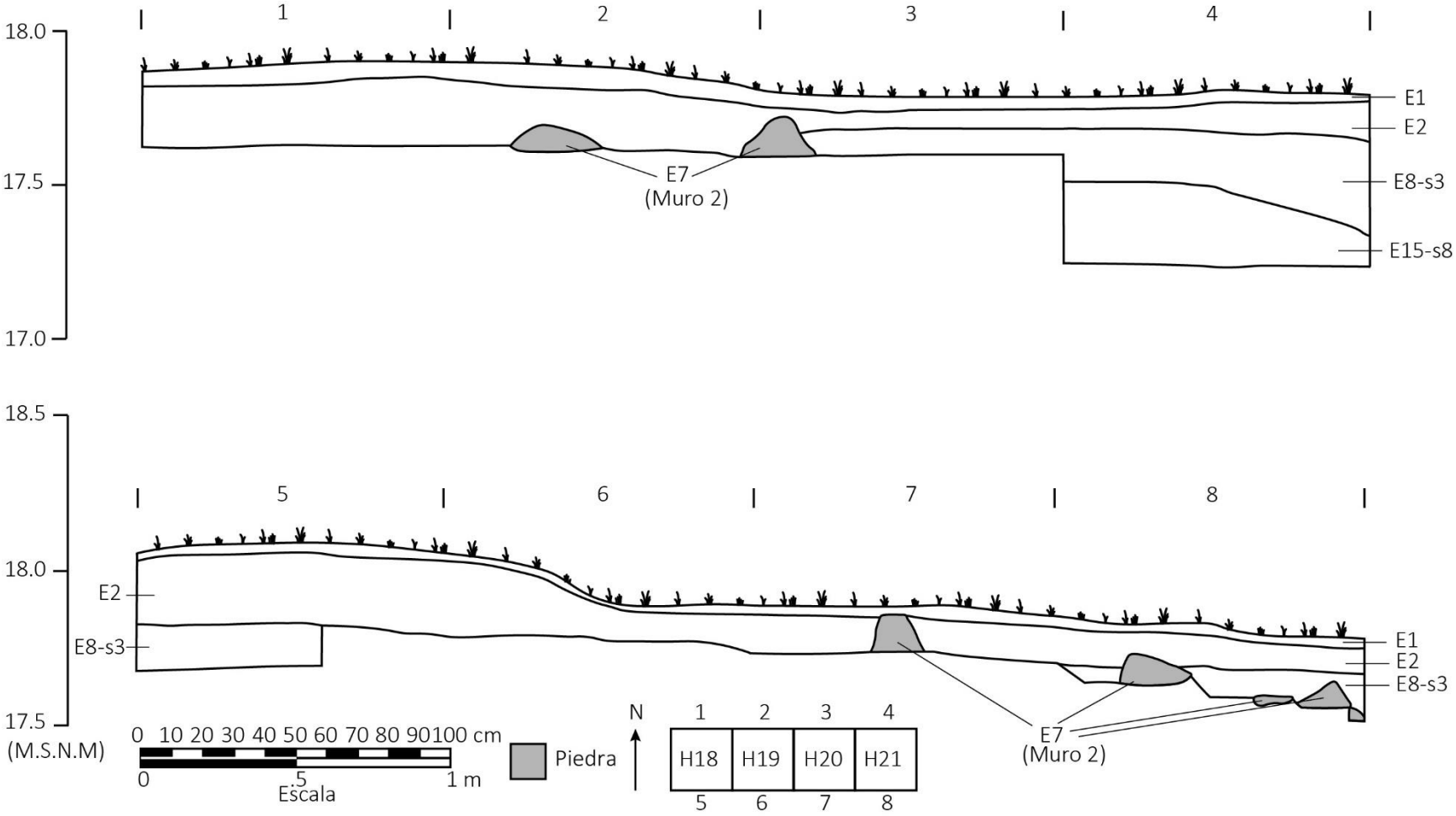



**Figura 3.13. Perfiles de las unidades H18, H19, H20 y H21.**



**Figura 3.14. Fotografía del Muro 1 (E23).**

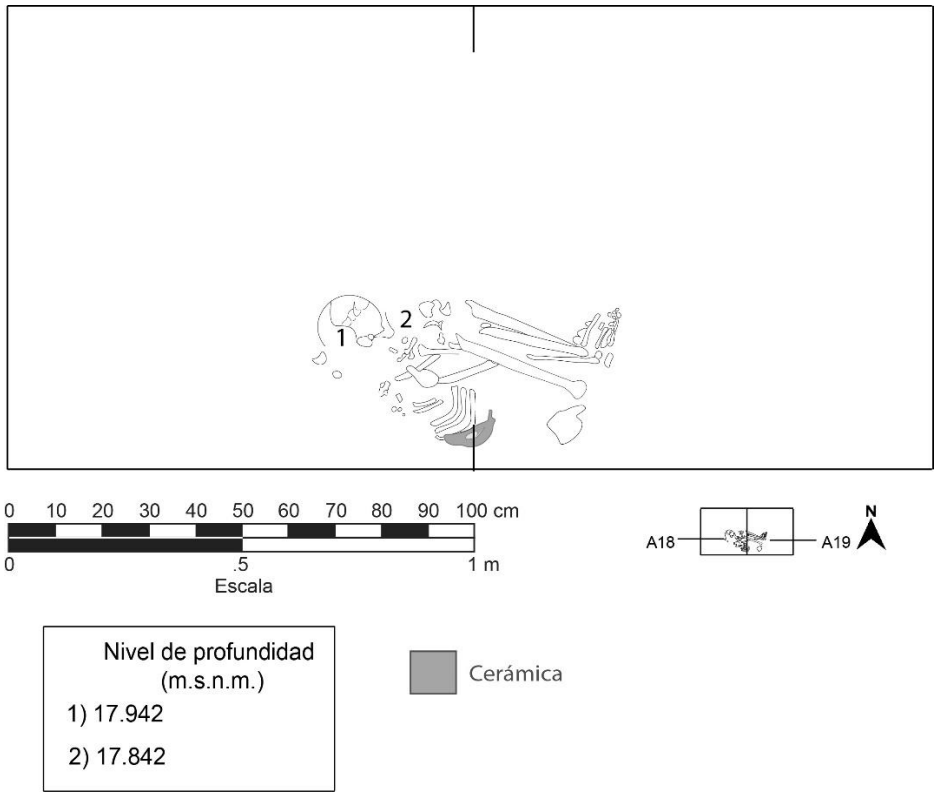



**Figura 3.15. Planta de Ent. 133 I146 (Op. B Sur).**




**Figura 3.16. Fotografía de Ent. 133 I146.**




**Figura 3.17. Planta del círculo de rocas (E3)**



**Figura 3.18. Fotografía del círculo de rocas (E3).**

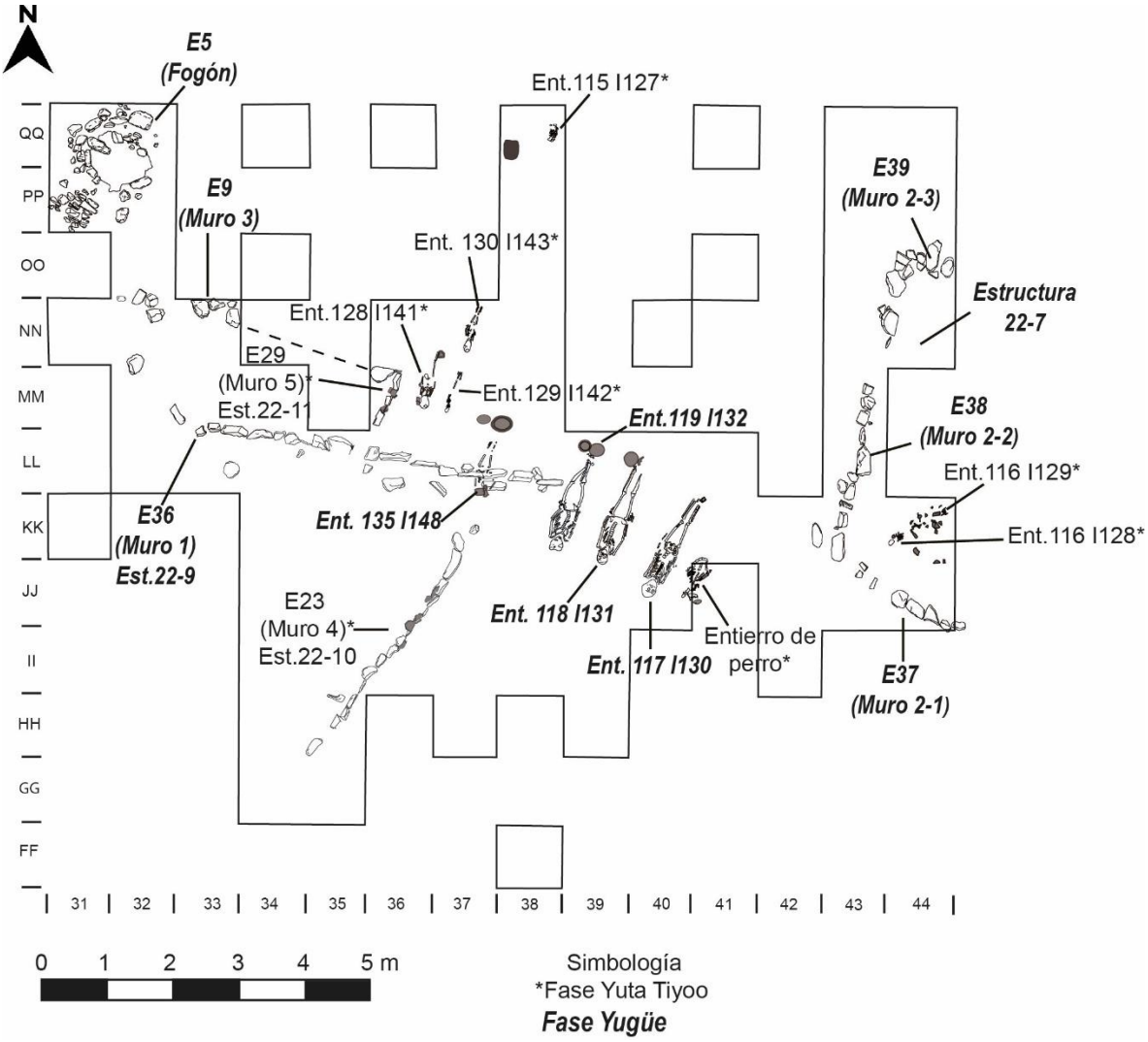
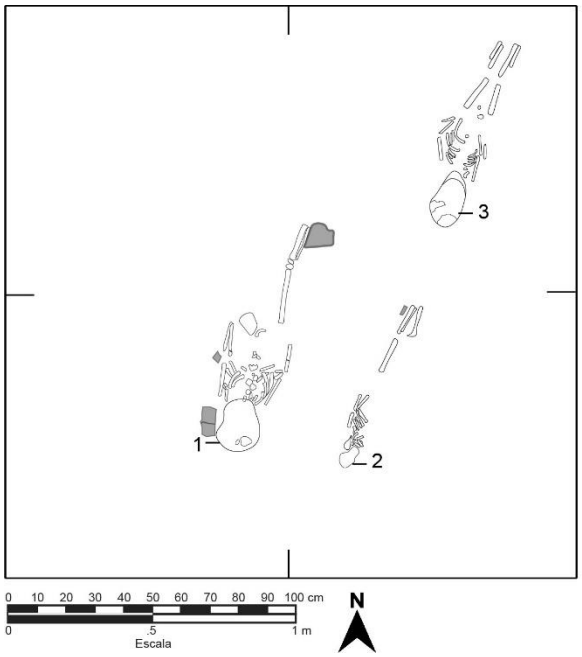
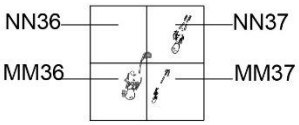



**Figura 3.19 Plano de Op. B Norte (elementos registrados en excavación).**




Cerámica

| Nivel de profundidad (m.s.n.m.) | | |
|---|---|---|
| 1) Ent. 128 I141 | Máx.15.817 | Min.15.717 |
| 2) Ent. 129 I142 | Máx.15.827 | Min.15.787 |
| 3) Ent. 130 I143 | Máx.15.707 | Min.15.577 |

**Figura 3.20. Dibujo de planta de los entierros del Clásico Tardío**




**Figura 3.21. Fotografía de entierros del Clásico Tardío, con correlación a Muro 5 (E29).**

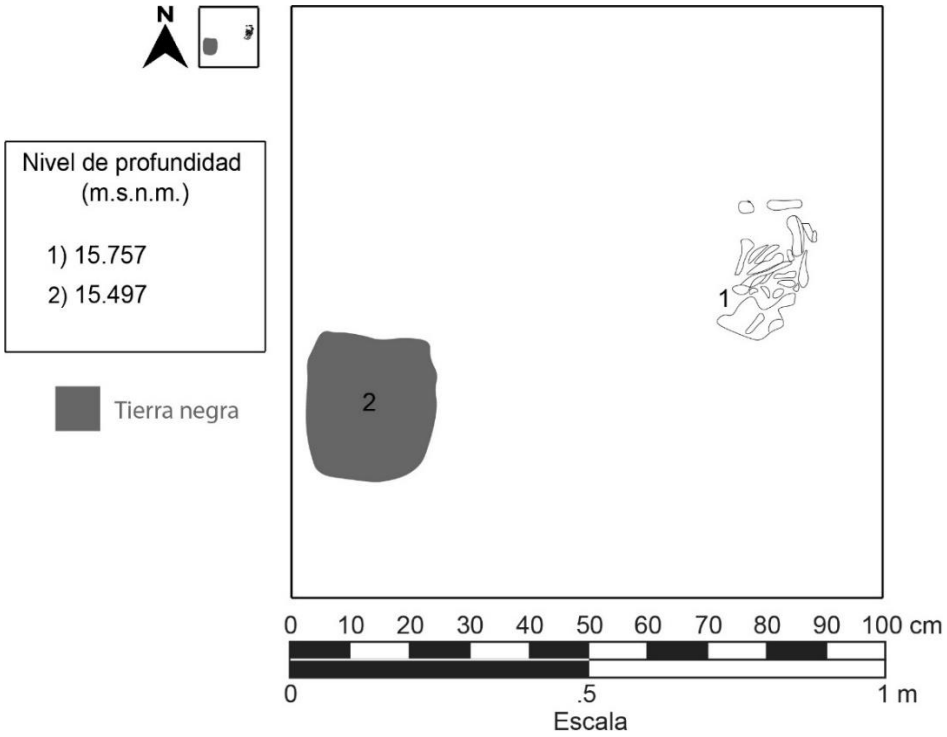



**Figura 3.22. Dibujo de planta Ent. 115 I127.**



**Figura 3.23. Fotografía de Ent. 115 I127.**

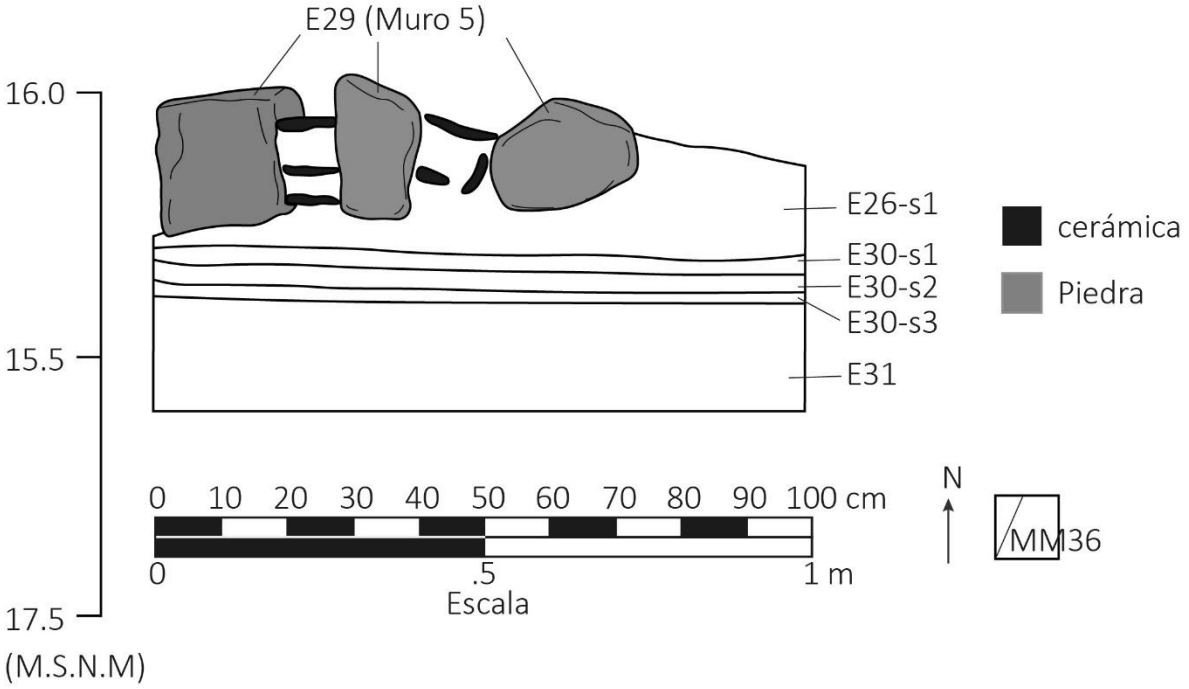



**Figura 3.24. Dibujo de perfil del Muro 5 (E29) de Est. 22-11.**

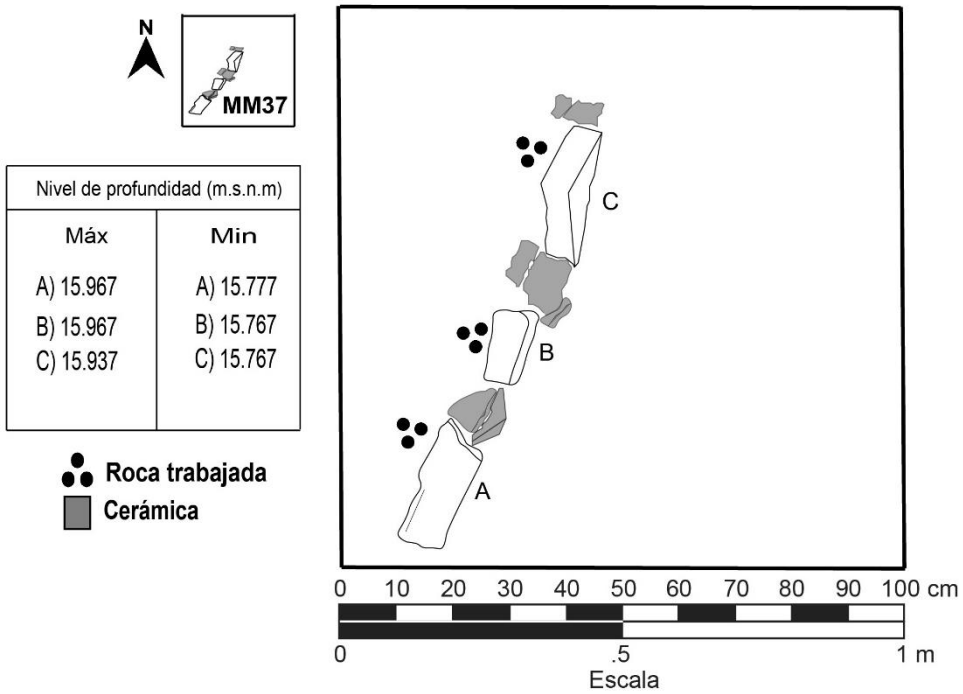



**Figura 3.25. Dibujo de planta del Muro 5 (E29) Est. 22-11.**



**Figura 3.26. Fotografía del Muro 5 (E29) de Est. 22-11.**

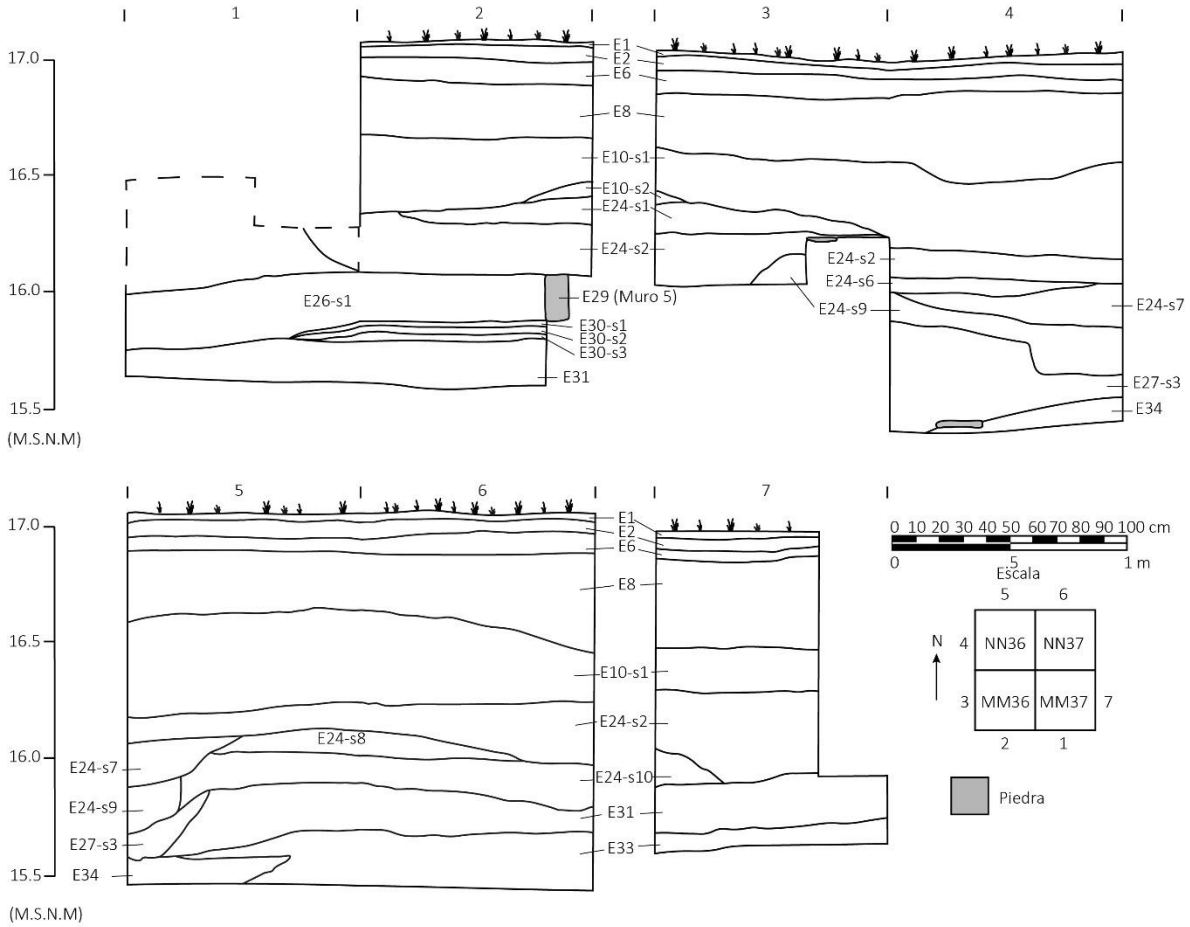



**Figura 3.27. Perfil de las unidades MM36, MM37, NN36 y NN37.**

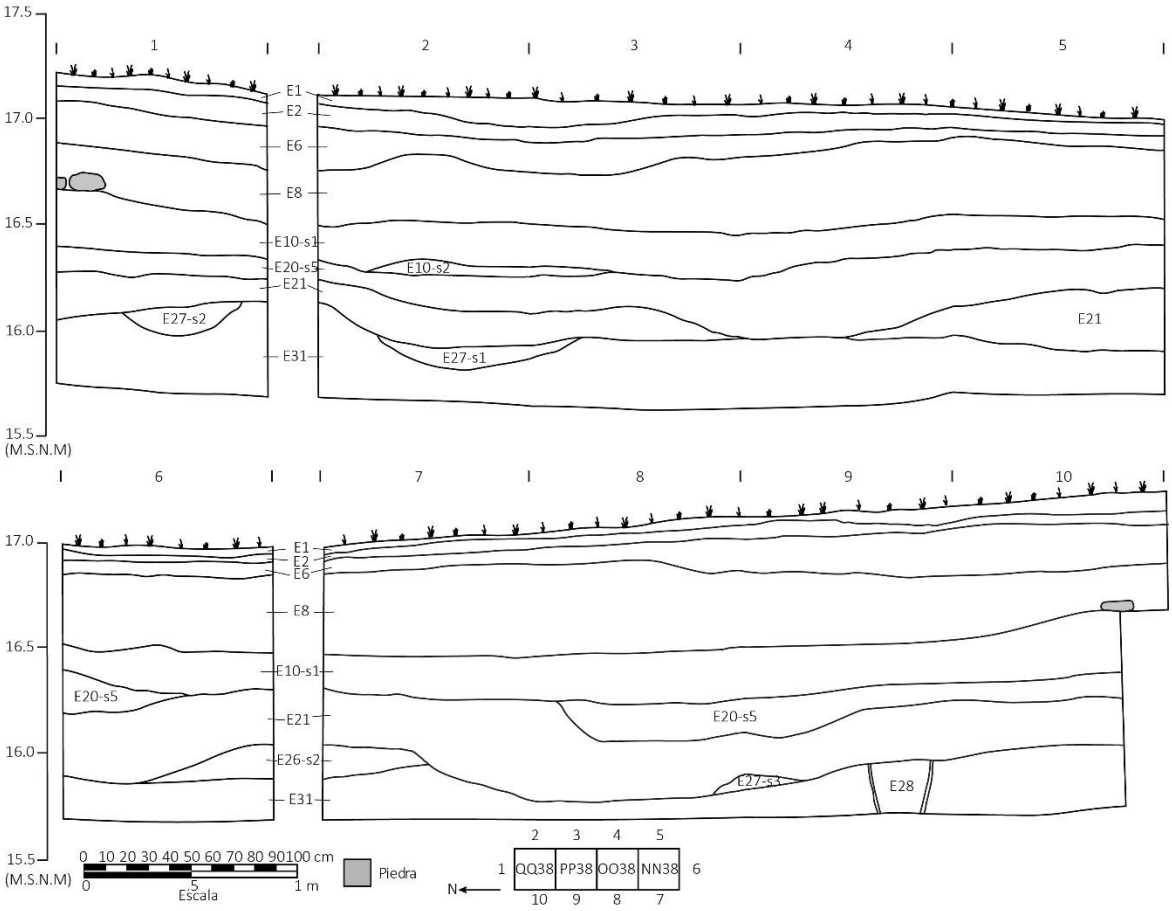



**Figura 3.28. Perfiles de las unidades QQ38, PP38, OO38, y NN38.**




**Figura 3.29. Fotografía de huella de quema (E28).**

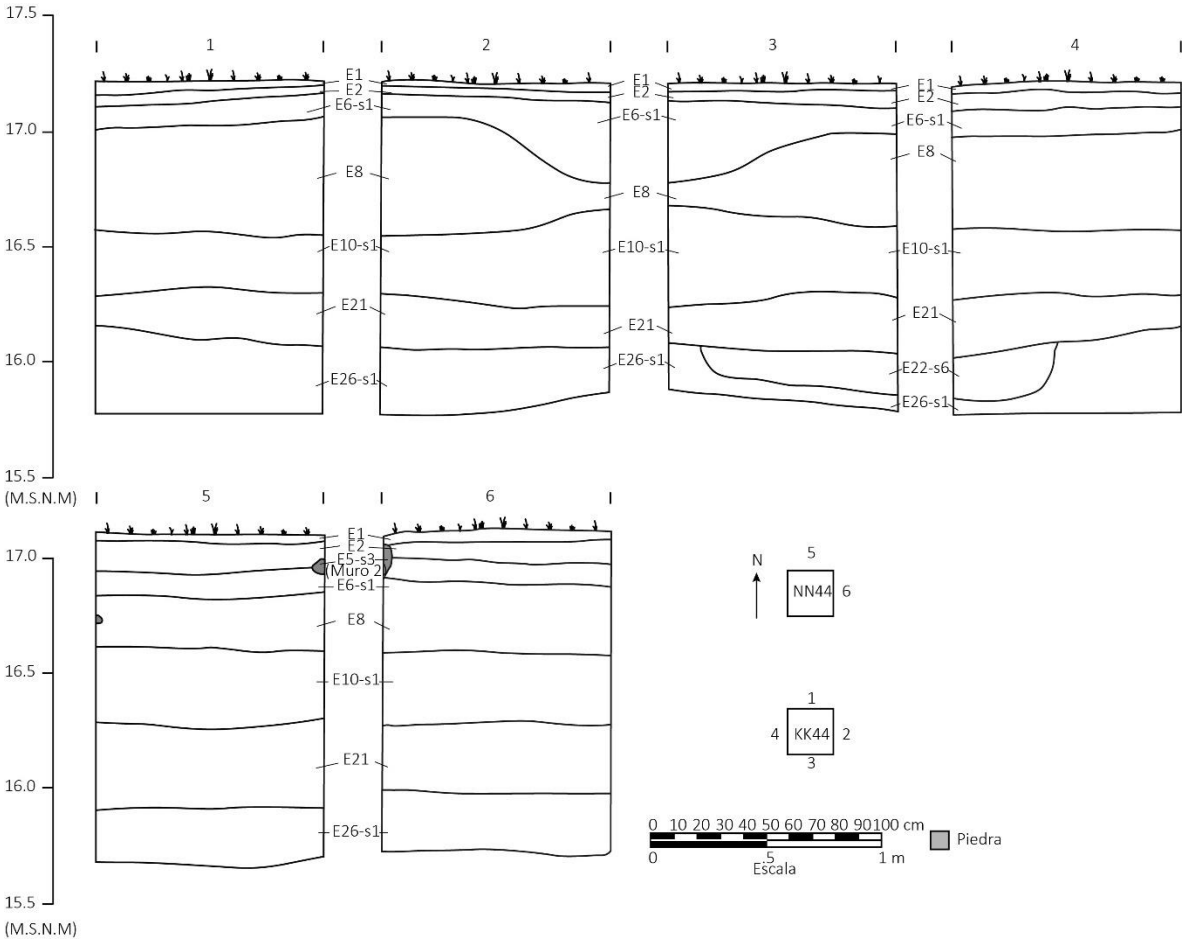



**Figura 3.30. Perfiles de las unidades KK44 y NN44.**

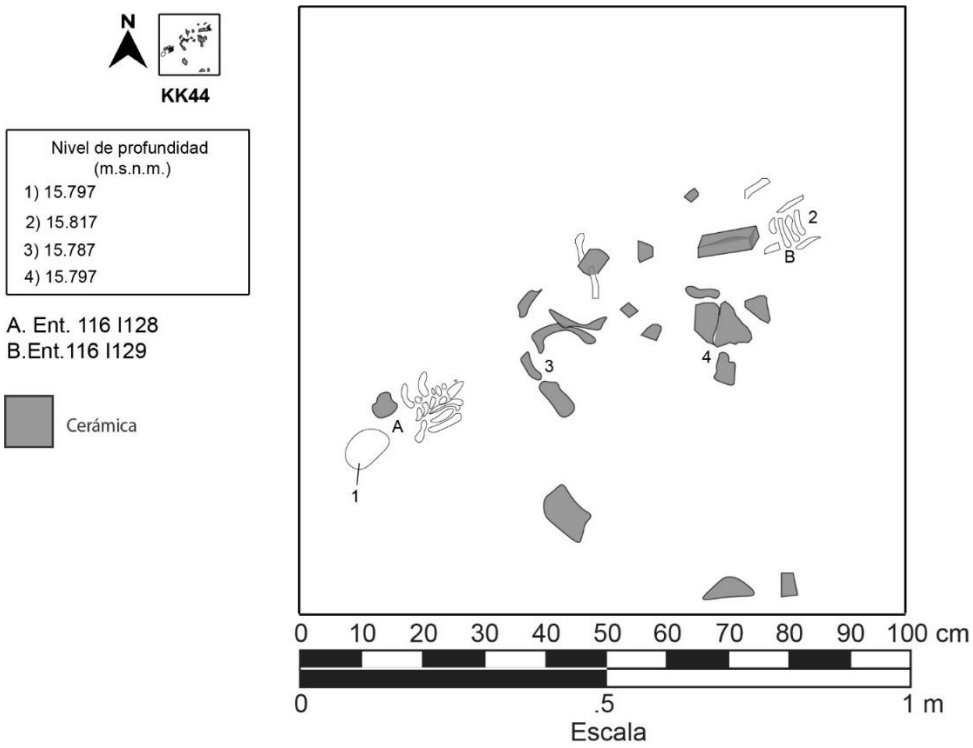



**Figura 3.31. Dibujo de planta de entierro doble en la unidad KK44.**



**Figura 3.32. Fotografía de entierro doble en la unidad KK44.**

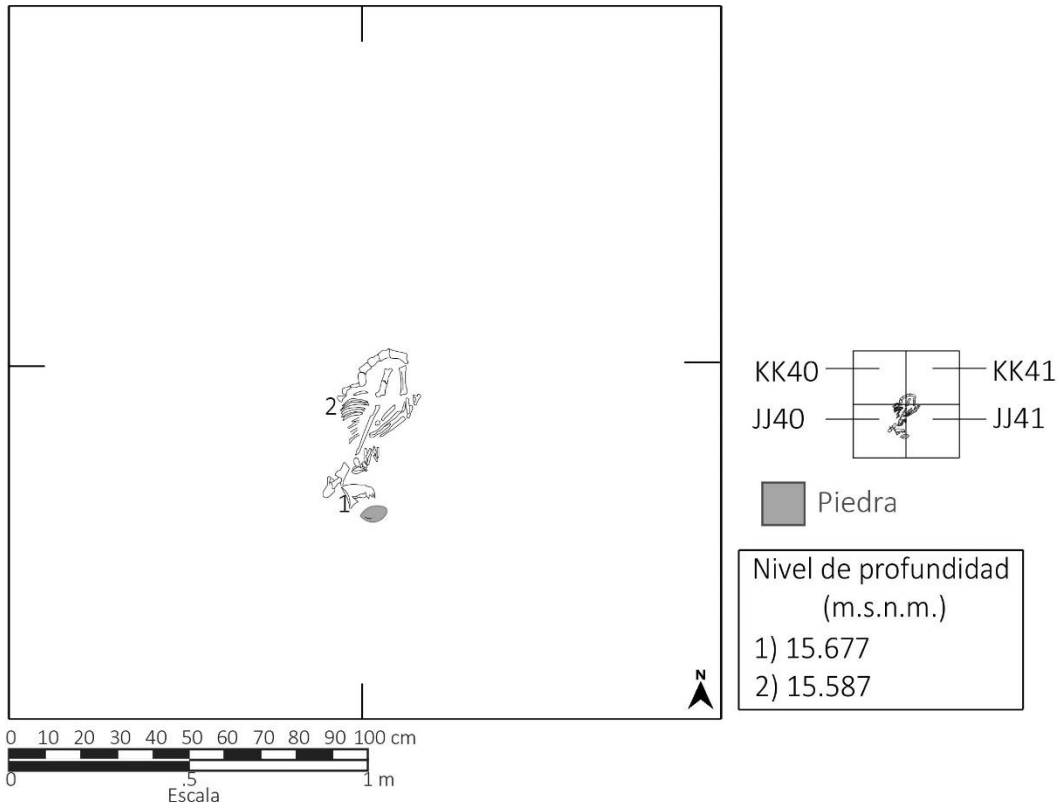



**Figura 3.33. Dibujo de planta de entierro de perro.**




**Figura 3.34. Fotografía de entierro de perro.**

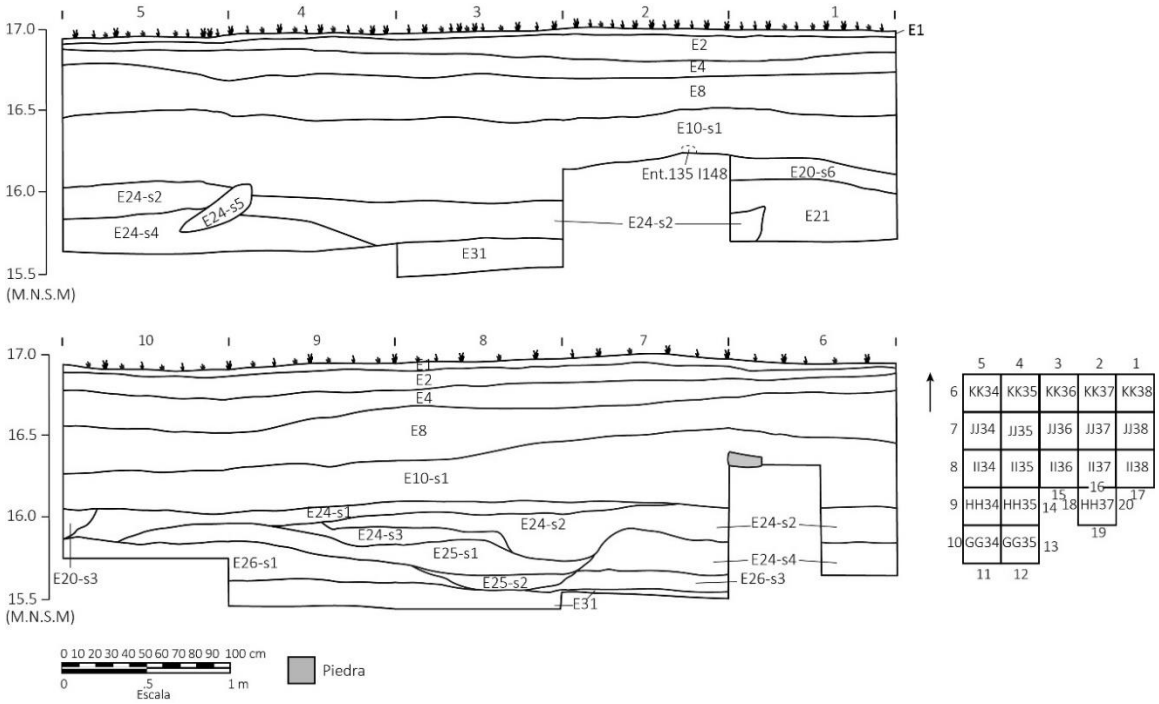



**Figura 3.35. Perfiles de las unidades GG34, HH34, II34, JJ34, KK34, KK35, KK36, KK37 y KK38.**




**Figura 3.36. Fotografía de depósito de materiales E25-s1.**



**Figura 3.37. Fotografía de depósito de materiales E25-s1, el Muro 4 (E23) y E22-s1.**

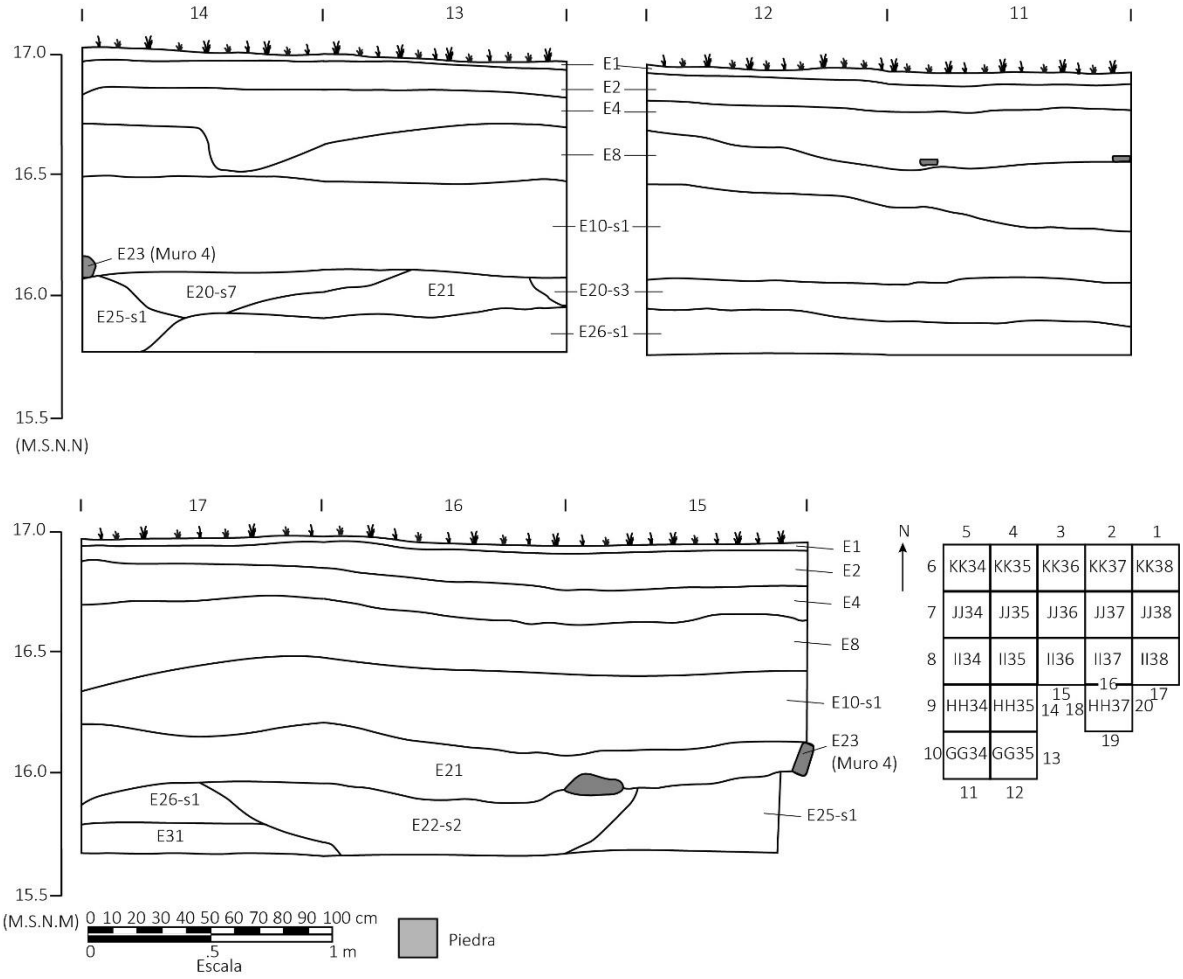



**Figura 3.38. Perfiles de unidades GG34, GG35, HH35, II36, II37, y II38.**

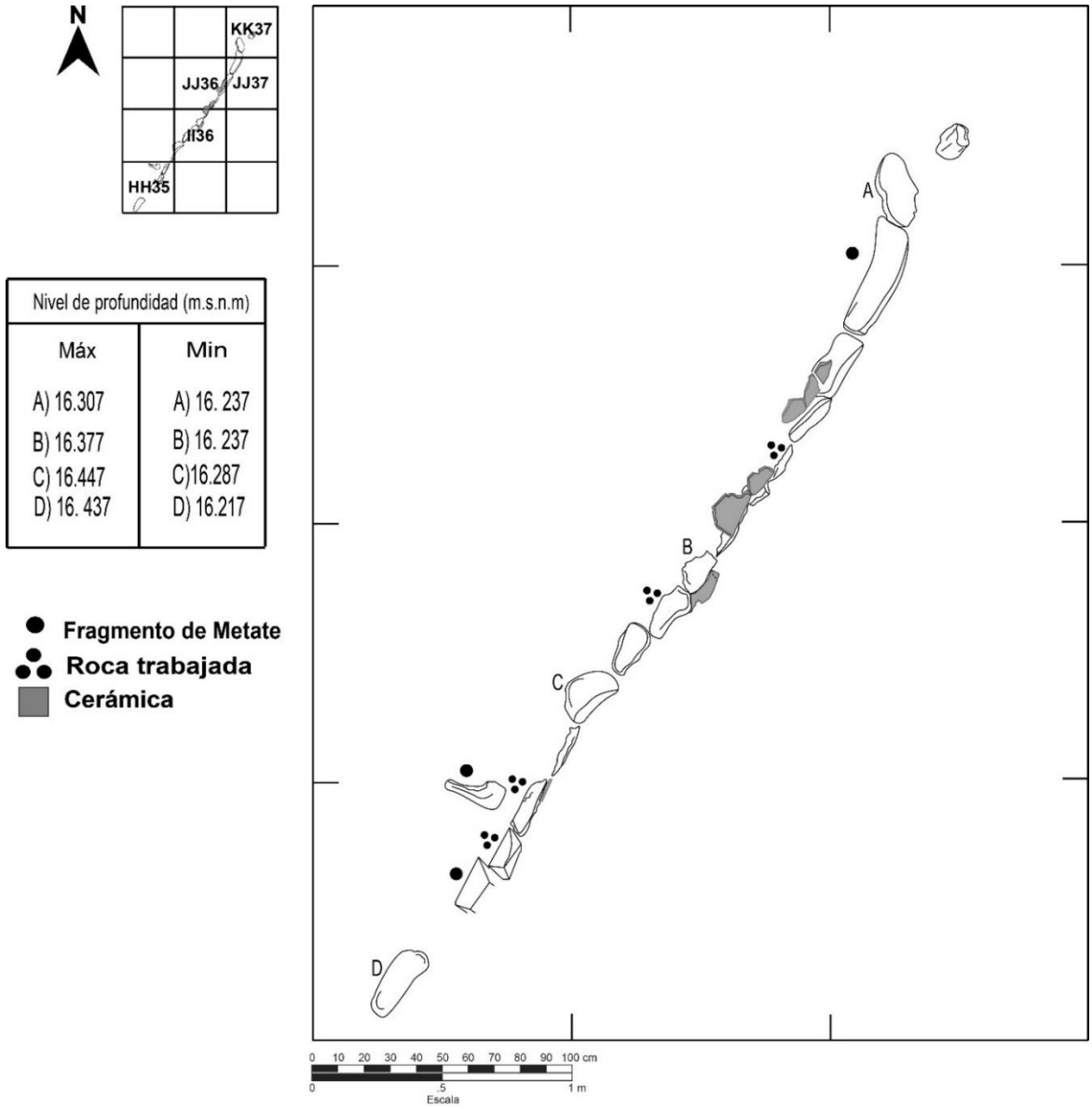



**Figura 3.39. Dibujo de planta del Muro 4 (E23) de Est.22-10.**

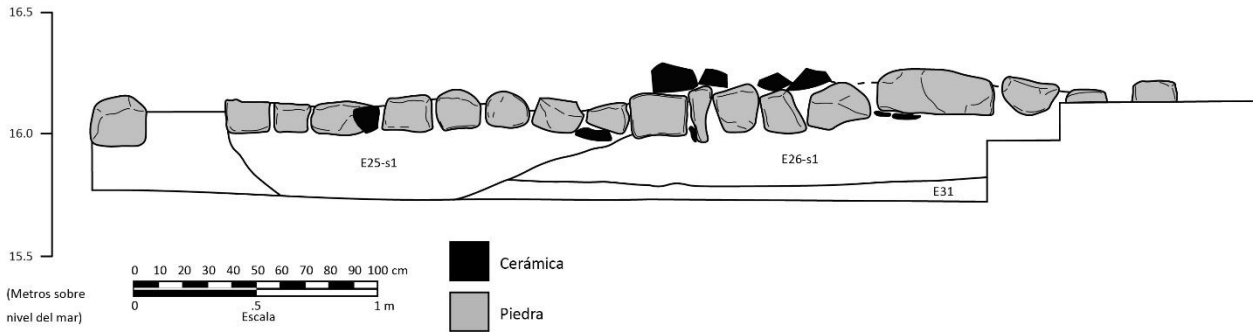



**Figura 3.40 Dibujo de perfil del Muro 4 (E23) de Est.22-10.**



**Figura 3.41. Fotografía del Muro 4 (E23) de Est.22-10.**

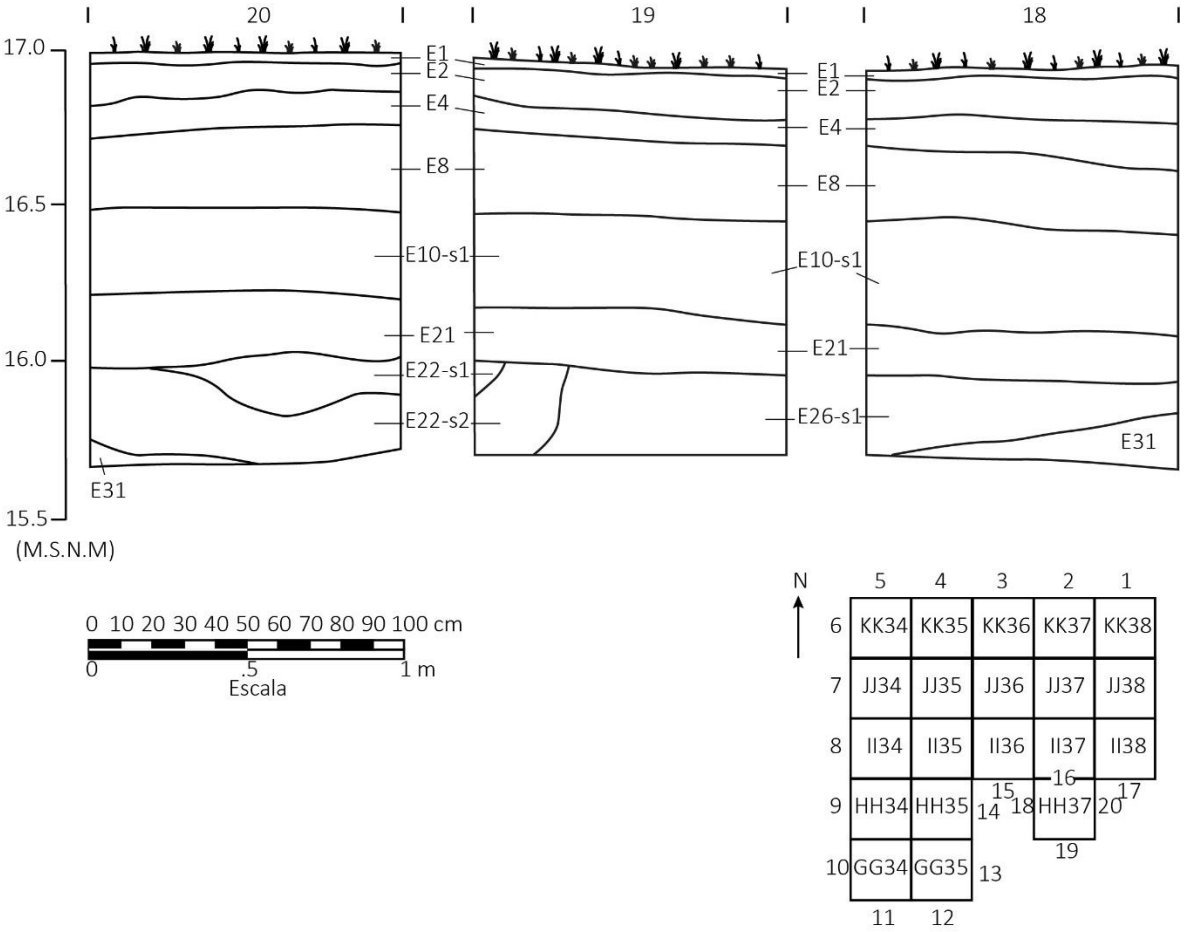



**Figura 3.42. Perfiles de la unidad HH37.**

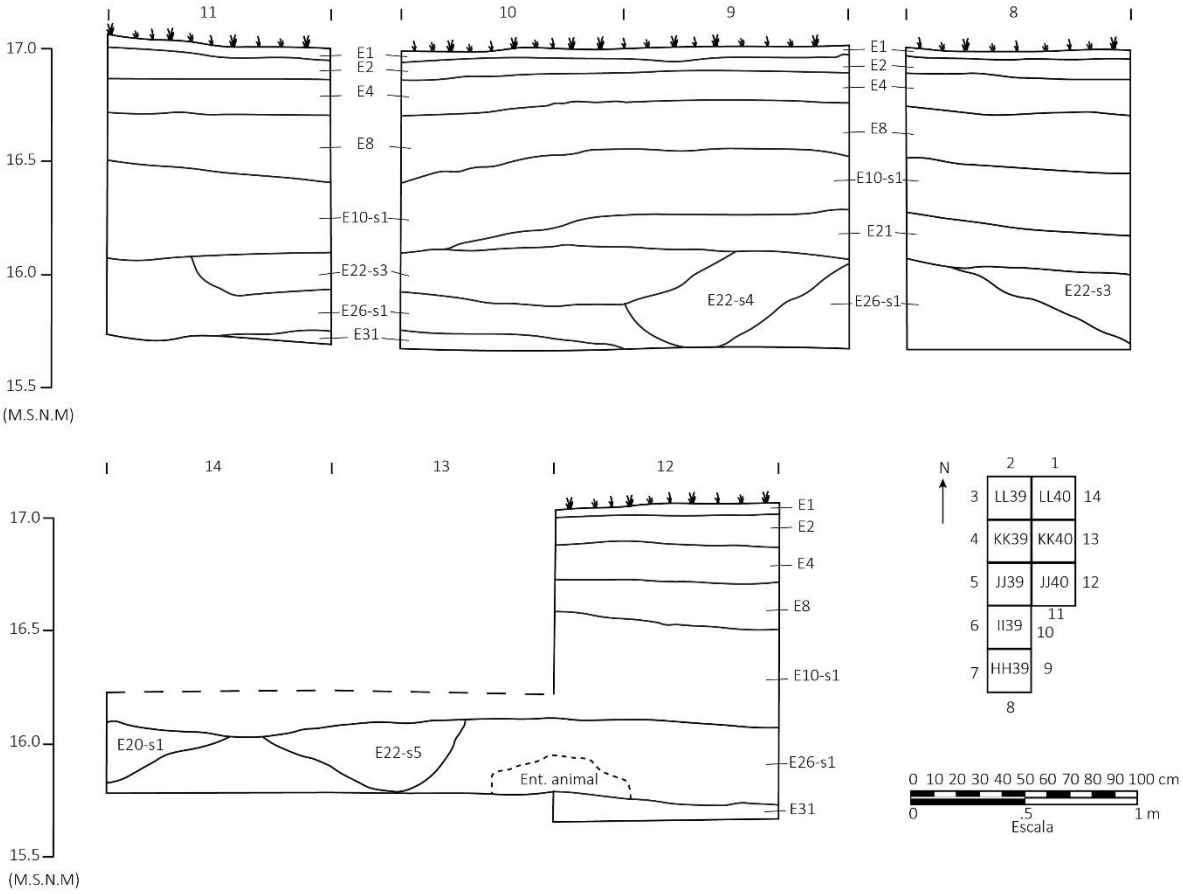



**Figura 3.43. Perfiles de las unidades HH39, II39, JJ39, JJ40, KK40 y LL40.**



**Figura 3.44. Depósito de artefactos en HH37 (E22-s2).**



**Figura 3.45. Mano de metate en pared Oeste de HH37 (E22-s2).**




**Figura 3.46. Punta de proyectil recuperado dentro de E22-s2.**

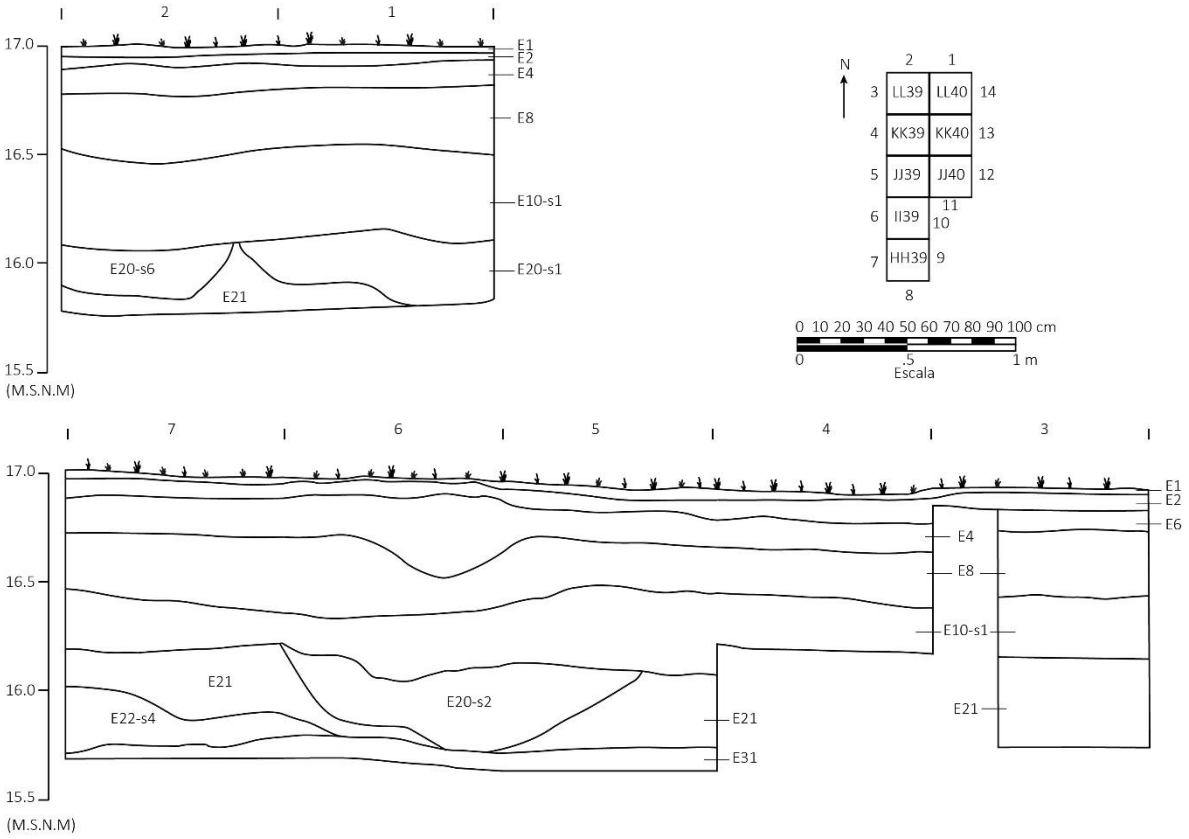



**Figura 3.47. Perfiles de las unidades HH39, II39, JJ39, KK39, LL39 y LL40.**



**Figura 3.48. Ejemplos de depósitos de cerámica (E20-s2).**



**Figura 3.49. Fotografía de E20-s5.**



**Figura 3.50. Fotografía de cajete con soportes zoomorfos encontrado en OO38.**



**Figura 3.51. Fotografía de cajete recuperado en PP38 (E20-s5).**




**Figura 3.52. Fotografía de vasija recuperada de NN38 (E20-s5).**

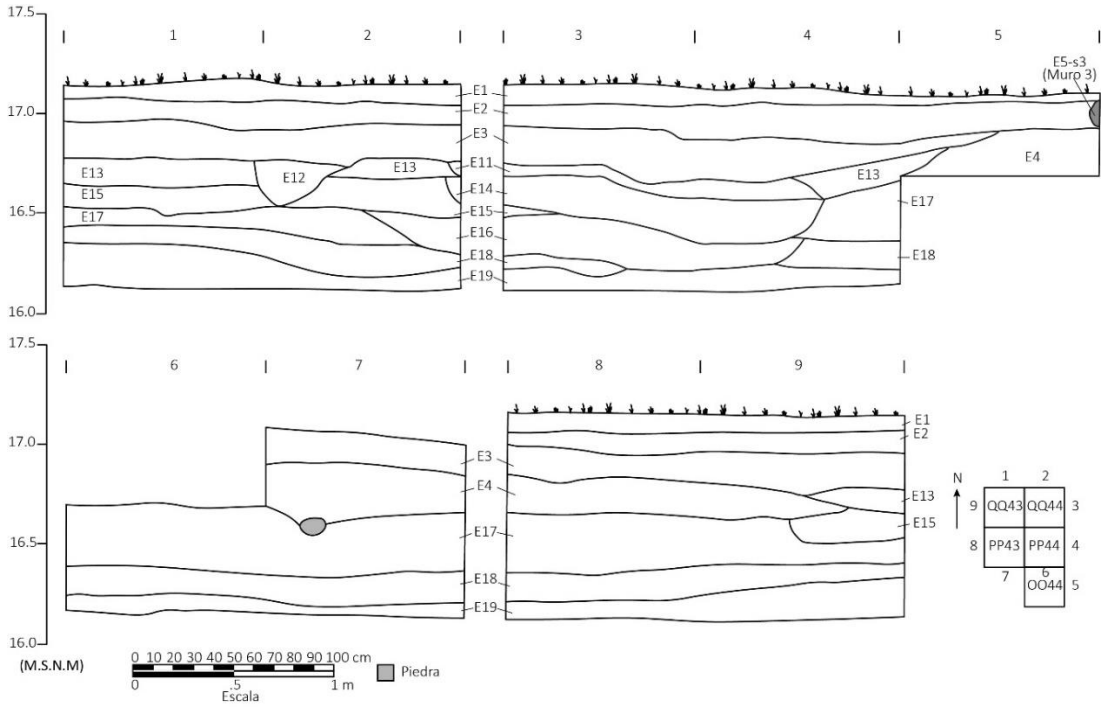



**Figura 3.53. Perfiles de las unidades PP43, PP44, QQ43 y QQ44.**

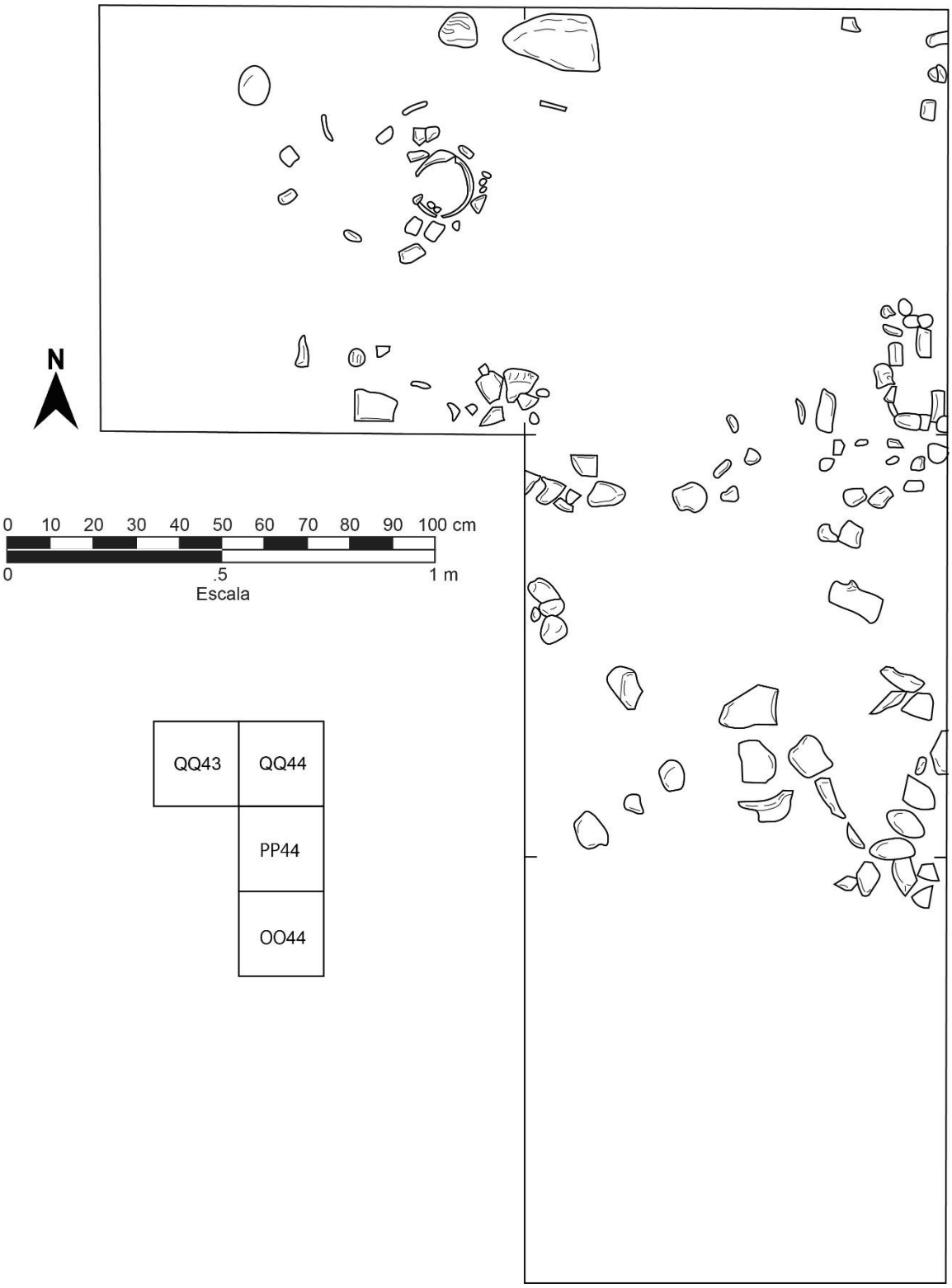



**Figura 3.54. Dibujo de planta de depósito de cerámica (E14-E15).**




**Figura 3.55. Fotografía de depósito de cerámica E14-E15.**

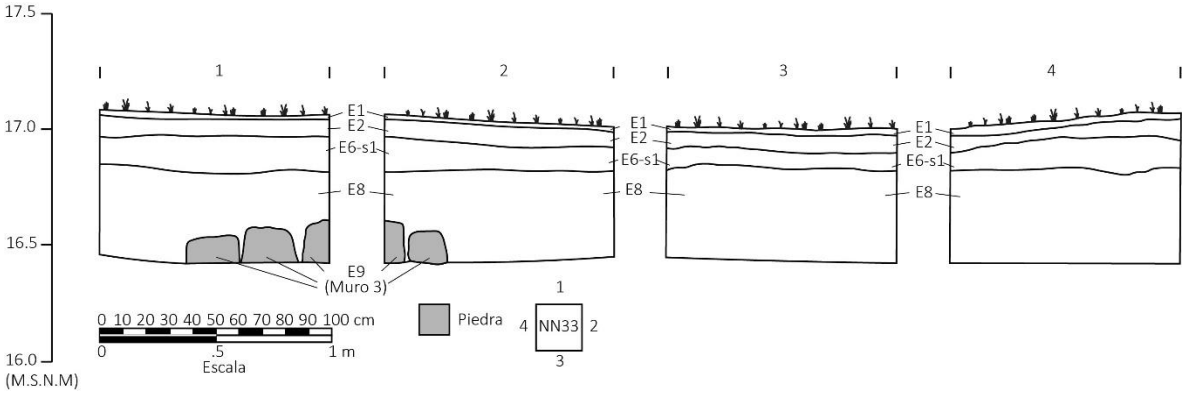



**Figura 3.56. Perfiles de la unidad NN33, Muro 3 (E9).**

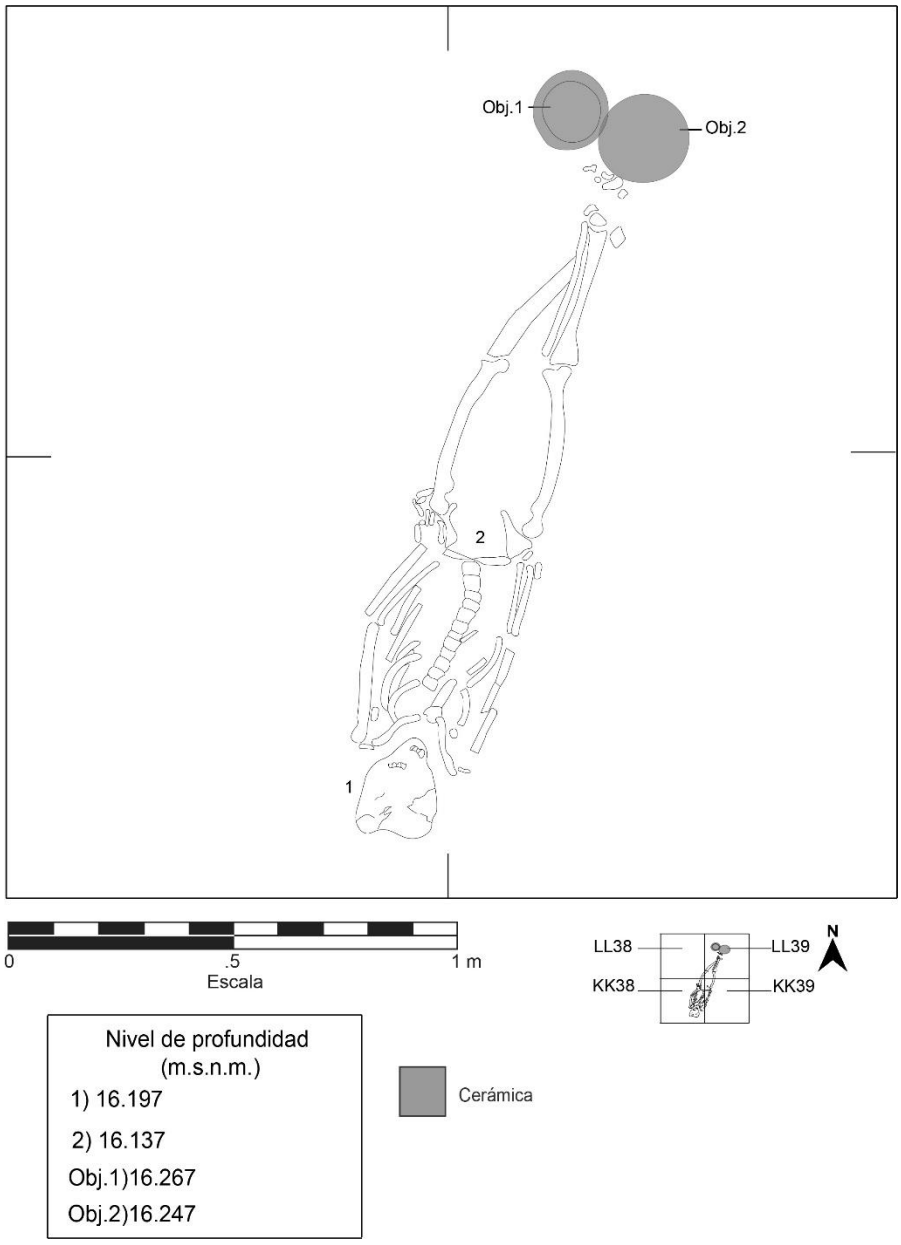



**Figura 3.57. Dibujo de planta Ent. 119 I132.**




**Figura 3.58 Fotografía de planta Ent. 119 I132.**



**Figura 3.59. Fotografía de ofrenda funeraria de Ent. 119 I132-1.**

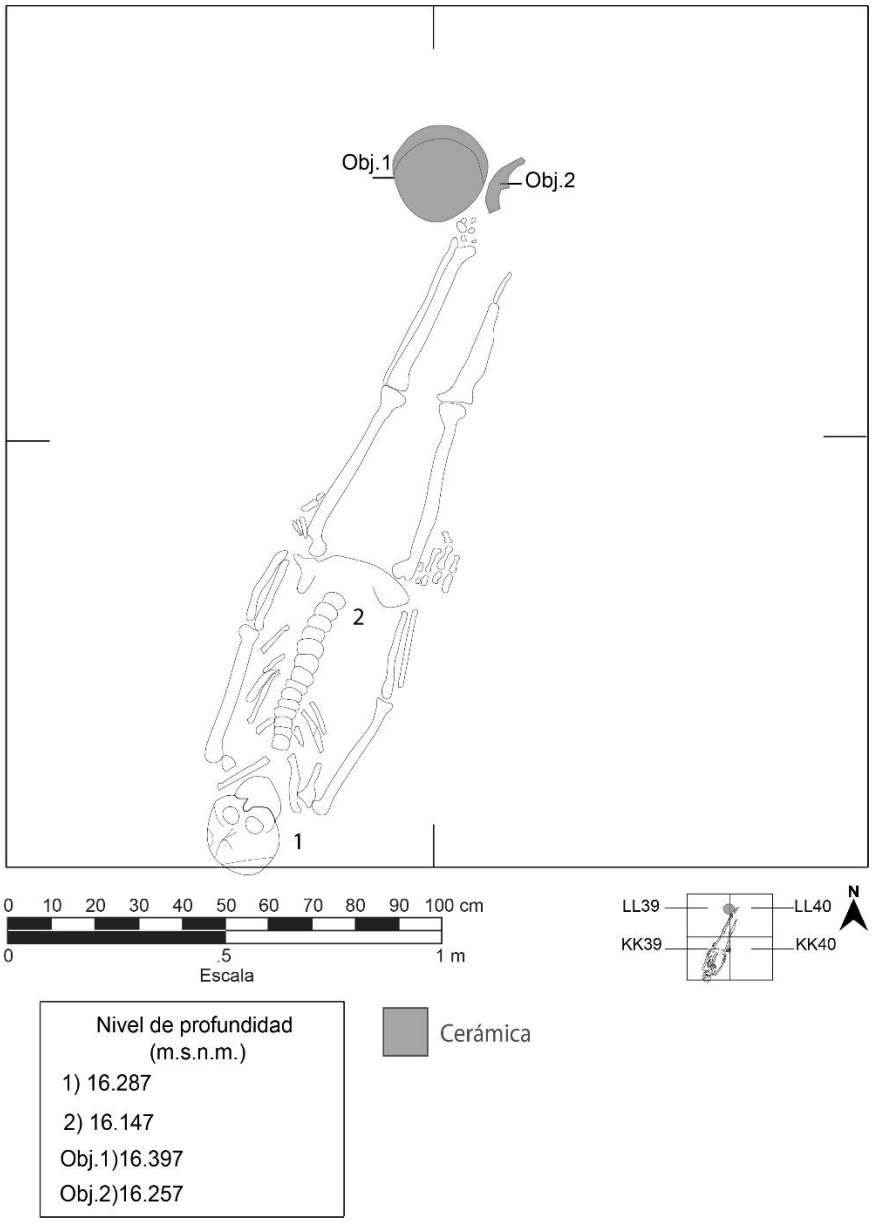



**Figura 3.60. Dibujo de planta Ent. 118 I131.**



**Figura 3.61. Fotografía de planta Ent. 118 I131.**



**Figura 3.62. Fotografía de ofrenda funeraria Ent. 118 I131.**




**Figura 3.63. Fotografía de Ent. 119 I132 y Ent. 118 I131, enterados uno al lado del otro.**

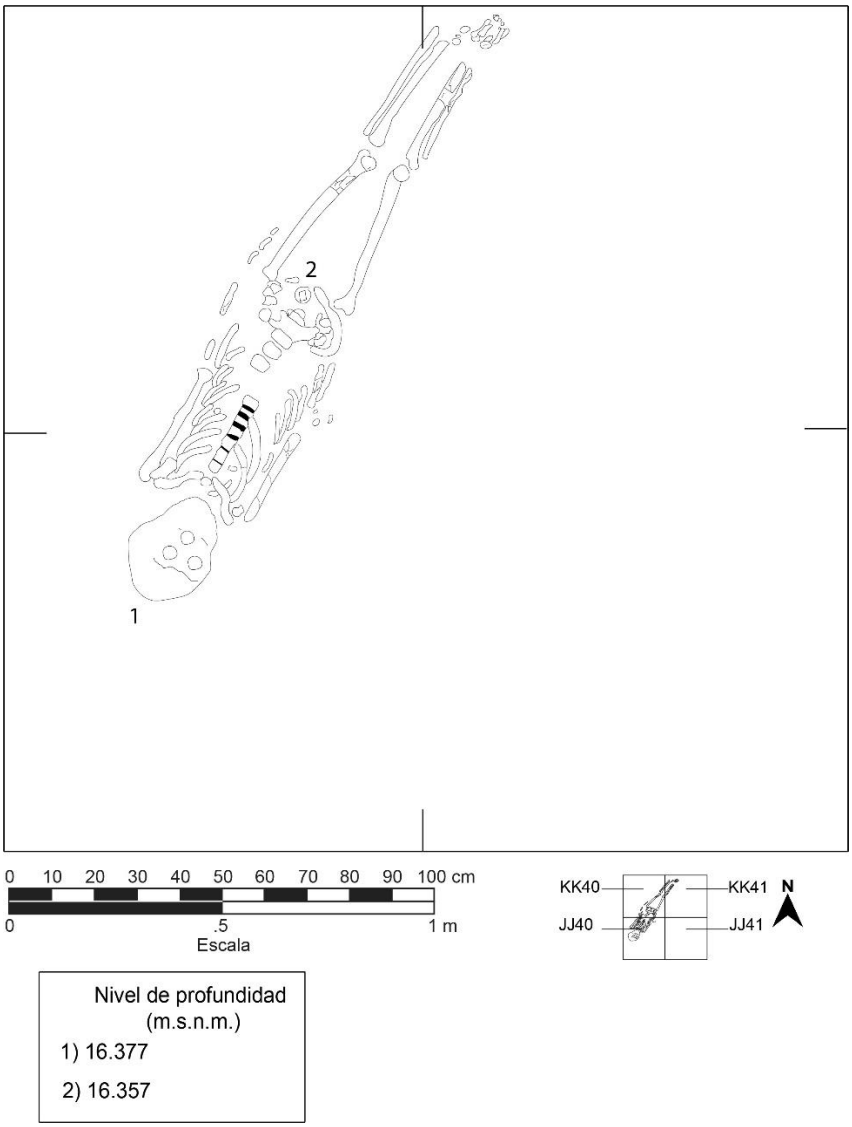



**Figura 3.64. Dibujo de planta Ent. 117 I130.**




**Figura 3.65. Fotografía de Ent. 117 I130.**

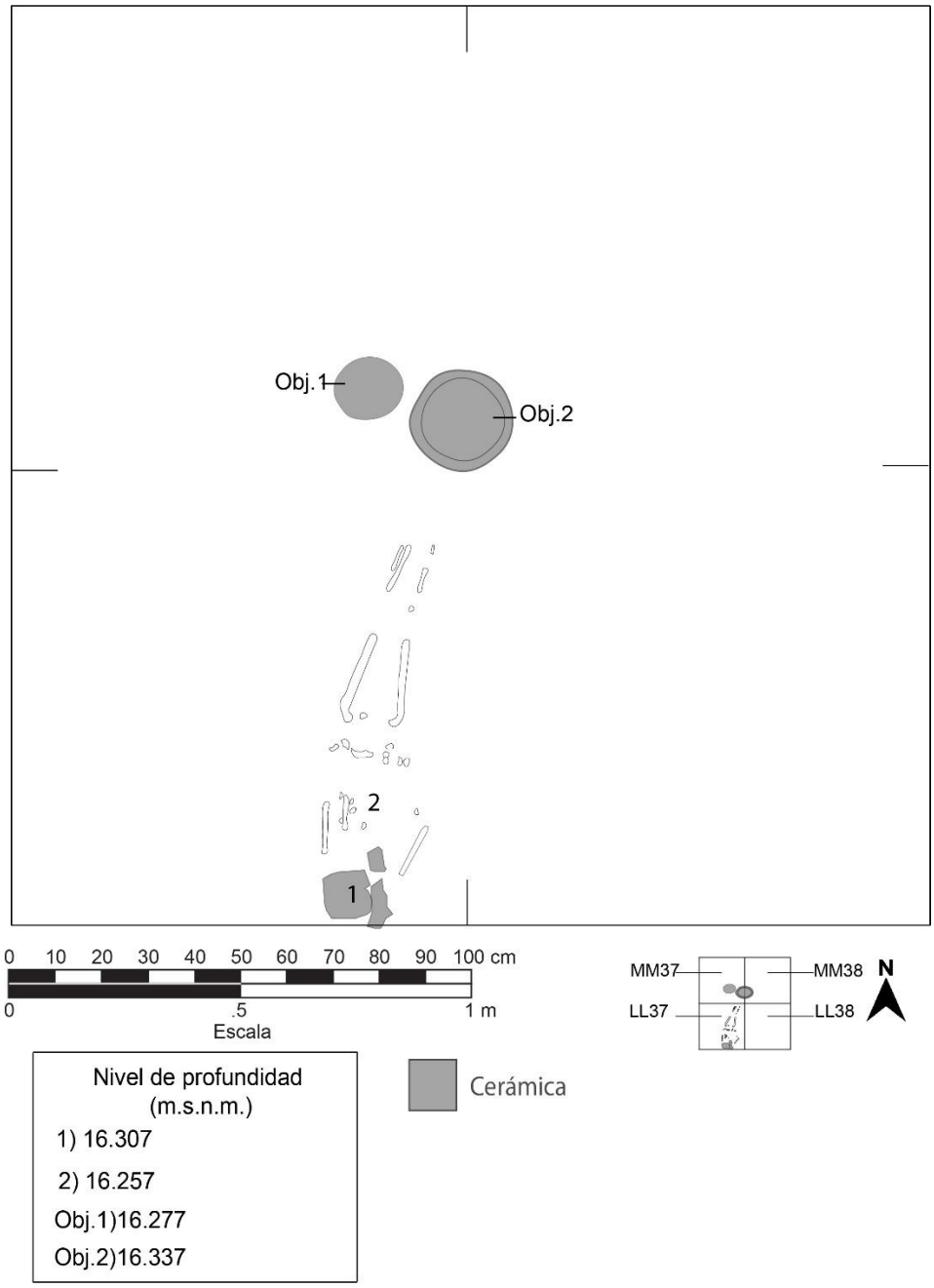



**Figura 3.66. Dibujo de planta Ent. 135 I148.**




**Figura 3.67. Fotografía de planta Ent. 135 I148.**



**Figura 3.68. Fotografía de ofrenda funeraria Ent. 135 I148.**

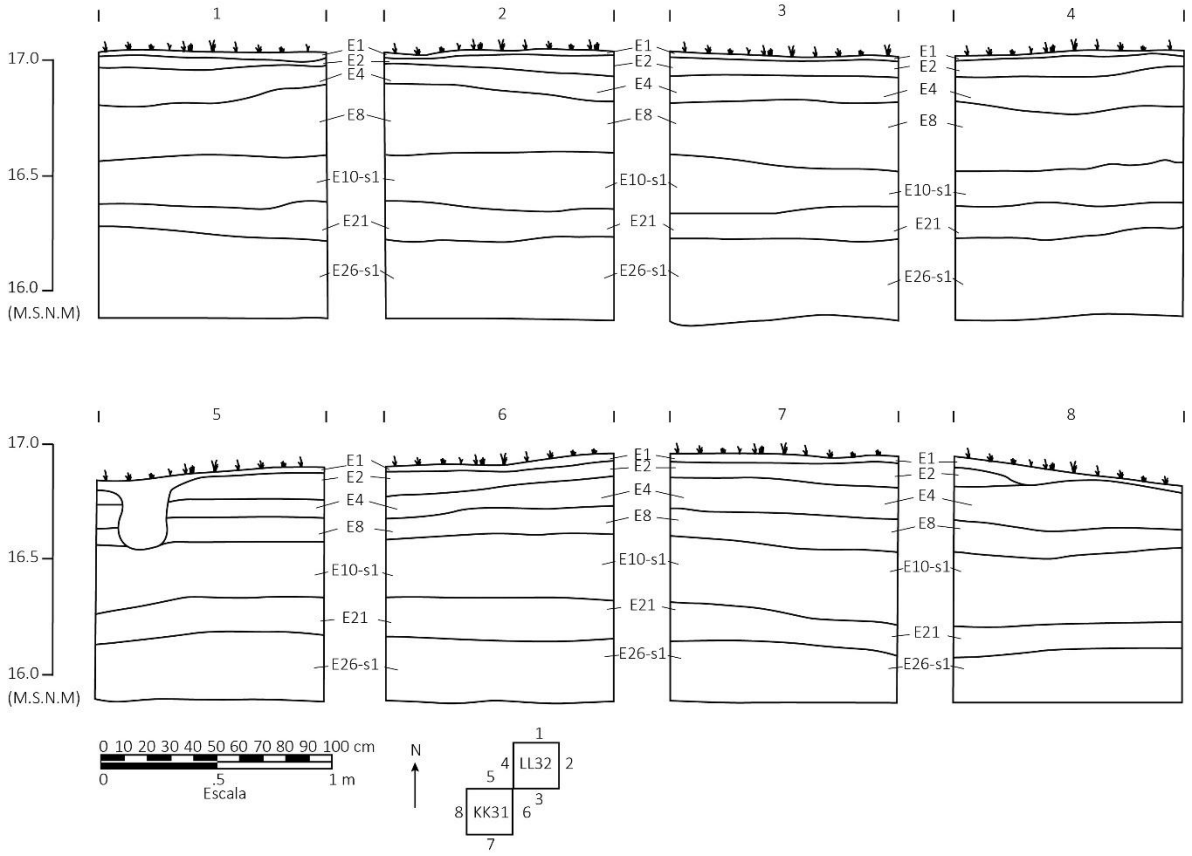



**Figura 3.69 Perfiles de unidades KK31 y LL31.**

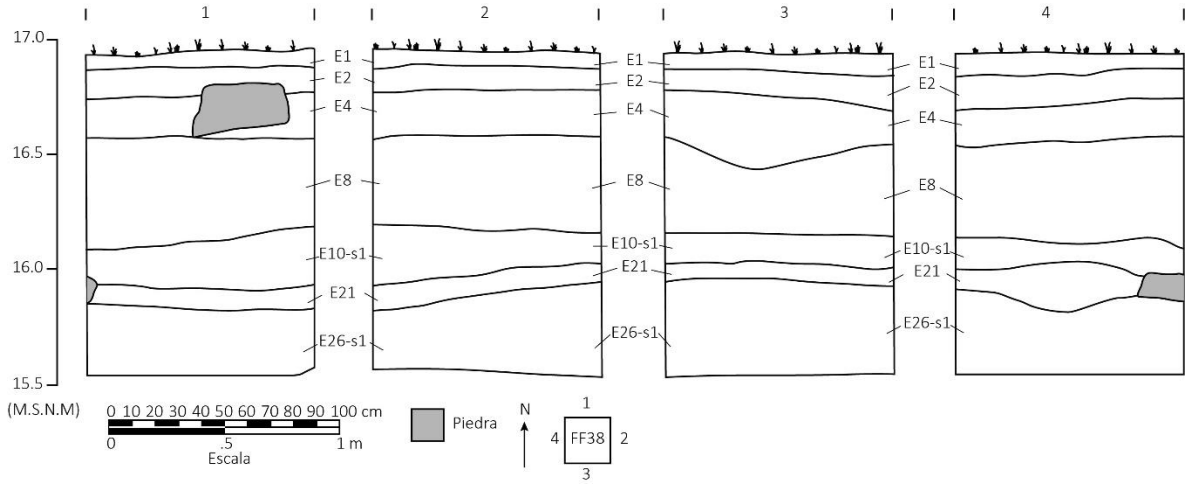



**Figura 3.70. Perfiles de Unidad FF38**

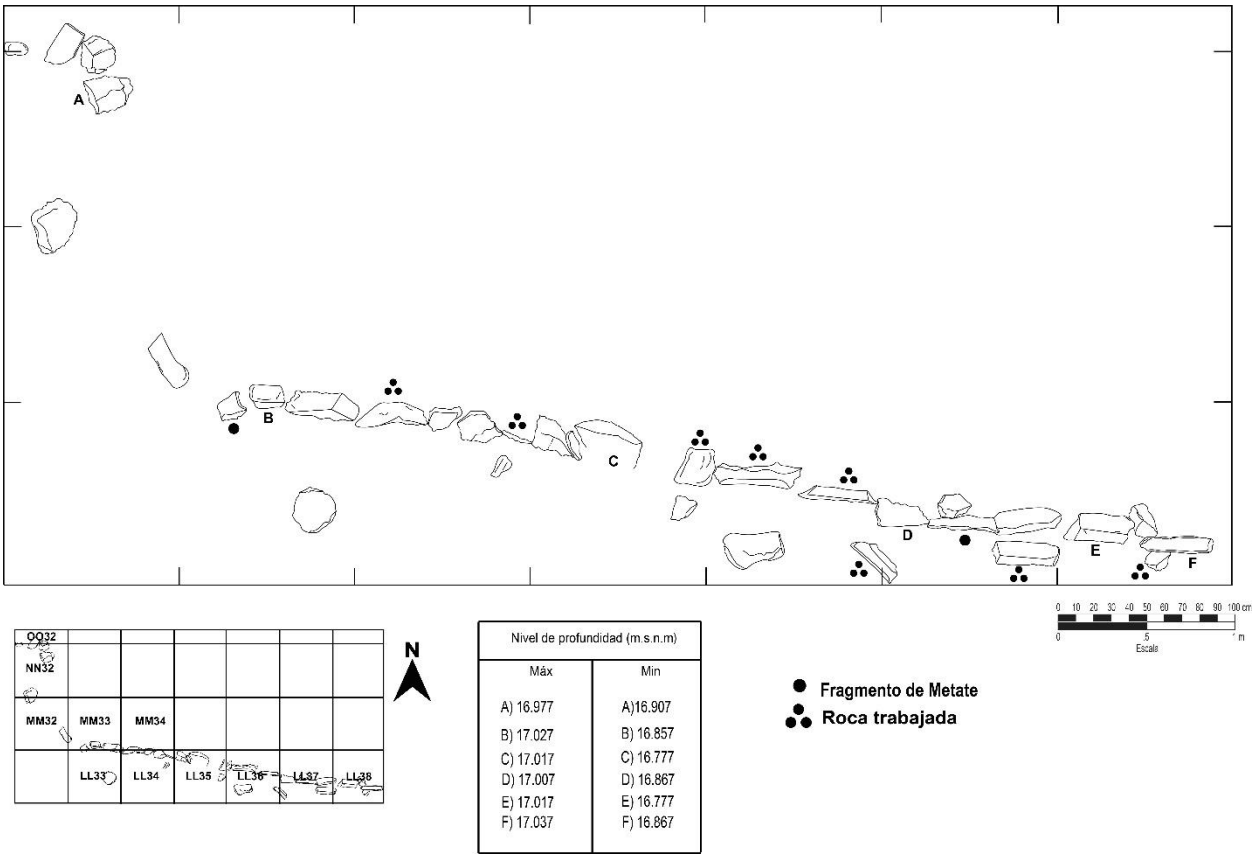



**Figura 3.71. Dibujo de Planta Muro 1 (E36) de Est. 22-9.**

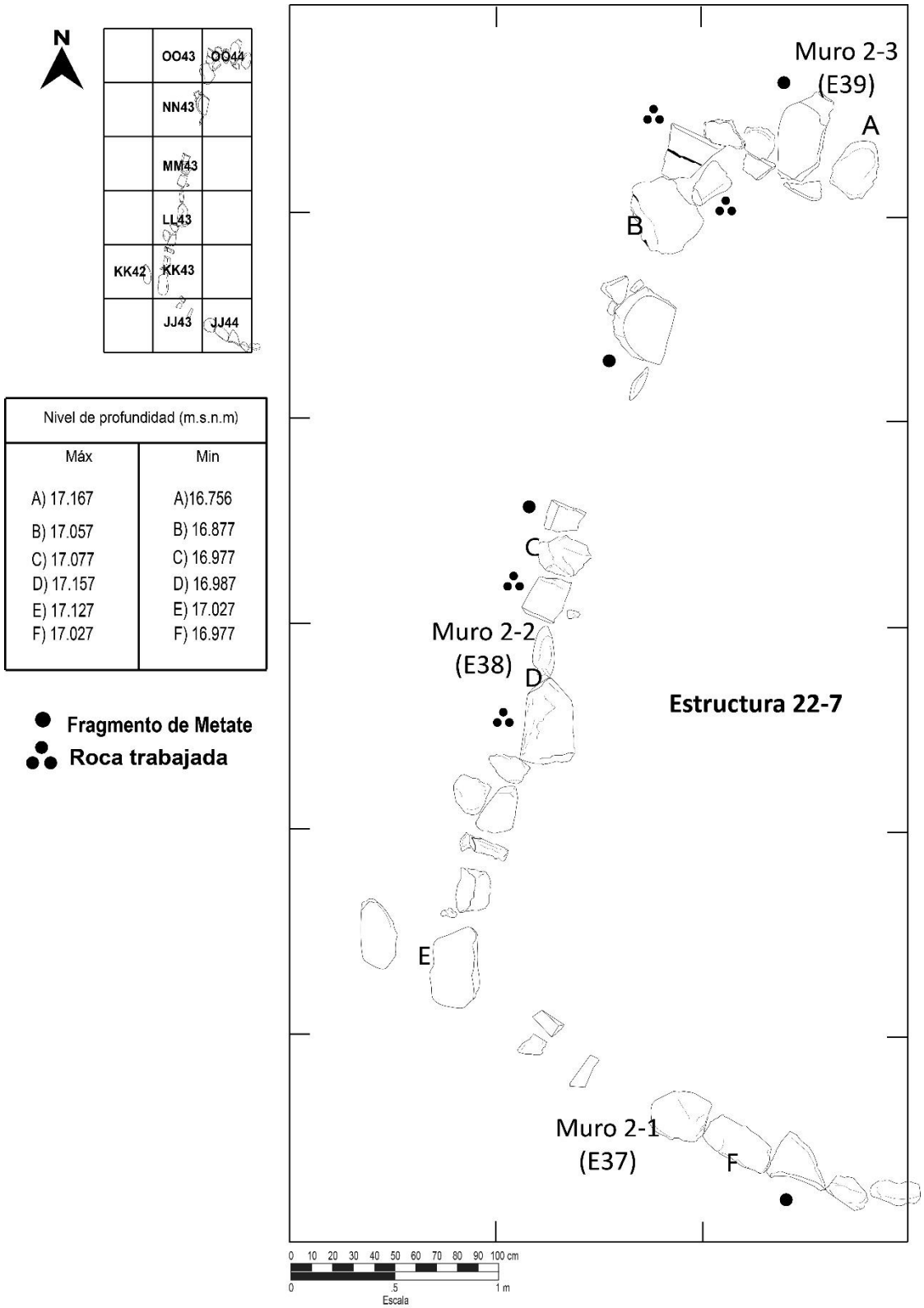



**Figura 3.72 Dibujo de Planta de Estructura 22-7 formado por los Muros 2-1 (E37), 2-2 (E38) y 2-3 (E39).**




**Figura 3.73. Fotografía de Muros 1 (E36).**




**Figura 3.74. Fotografía de Muros 2-1 (E37), 2-2 (E38) y 2-3 (E39).**

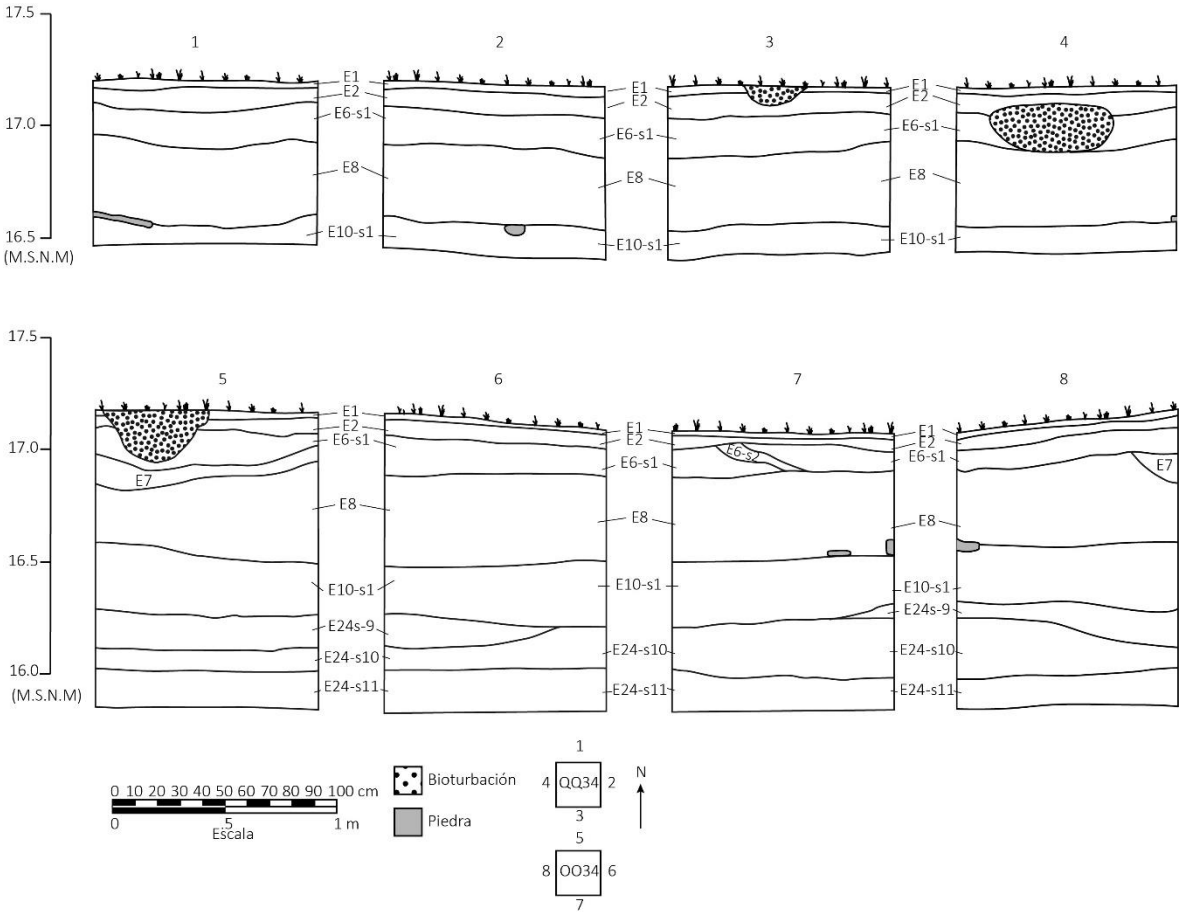



**Figura 3.75. Perfiles de las unidades OO34 y QQ34.**

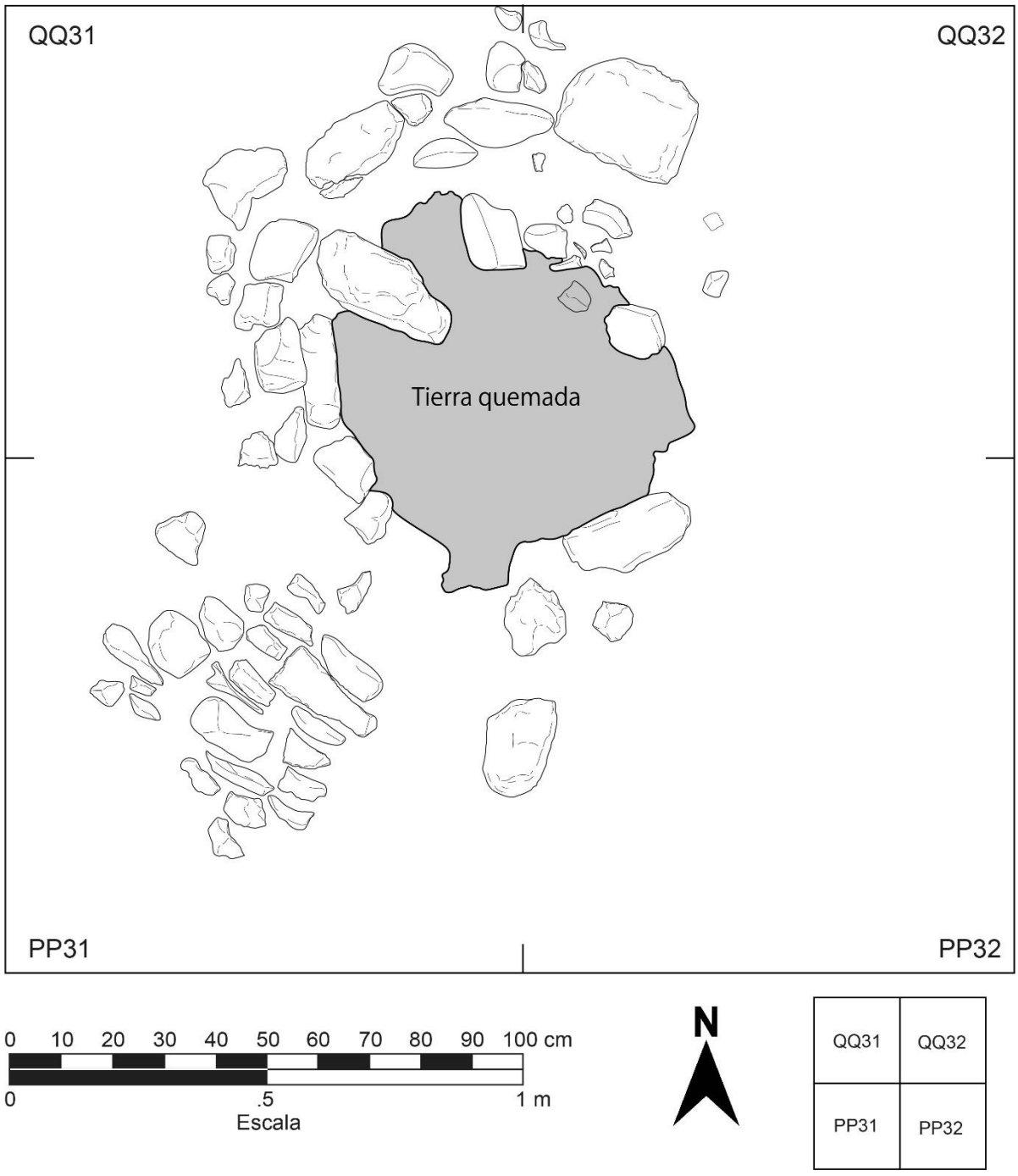



**Figura 3.76. Dibujo de planta de horno (E5).**




**Figura 3.77. Fotografía de horno (E5).**

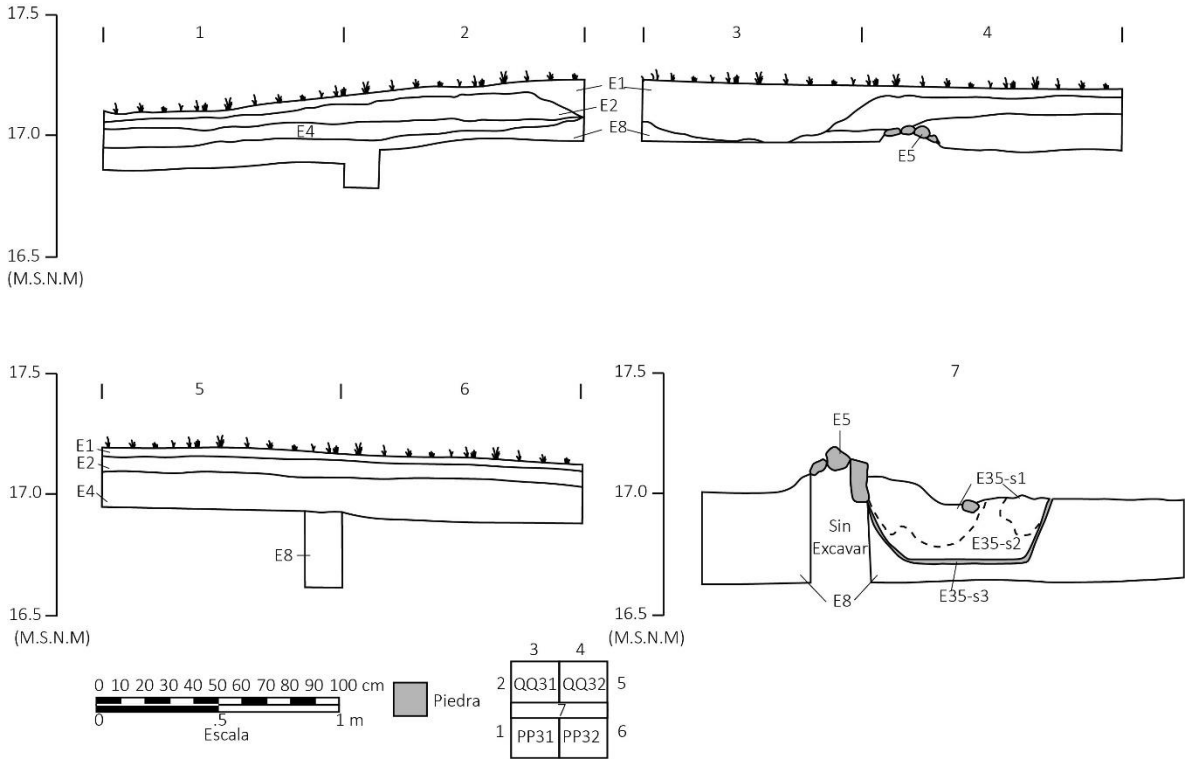



**Figura 3.78. Perfiles de unidades QQ31, QQ32, PP31 y PP32.**

# CAPÍTULO 4 - Estudio Geomorfológico

**Ray Mueller**
**Gabrielle Perry**
**Arthur A. Joyce**

## 4.1 Introducción

La investigación arqueológica en curso en el valle inferior del Río Verde de Oaxaca se ha llevado a cabo para examinar el colapso político del estado de Río Viejo durante la transición entre los períodos Clásico Tardío (500-800 d.C.) y Posclásico Temprano (800-1100 d.C.) (Joyce 2010; Joyce et al. 2001, 2014; Joyce y Forde 2014; King 2003). Río Viejo fue un centro urbano y político durante la mayor parte del período Clásico Tardío, pero para el Posclásico Temprano disminuyó en tamaño de 250 ha a 140 ha y la evidencia indica fuertemente el colapso de las instituciones y dinastías gubernamentales. Hacia el final del Posclásico Temprano, Río Viejo fue abandonado. Los factores que pueden haber contribuido al colapso de Río Viejo incluyen la inestabilidad política y el cambio climático (Goman et al. 2018; Joyce 2008; Joyce y Forde 2014), aunque estamos lejos de desarrollar un modelo integral para las causas del colapso. En este estudio, examinamos los posibles efectos ambientales del colapso político y el despoblamiento de la cuenca de drenaje superior del Río Verde en la planicie aluvial del Río Verde inferior. El enfoque de la investigación geomorfológica durante el PRV-2022 fue investigar cambios hipotéticos en la planicie aluvial del Río Verde inferior durante el tiempo del colapso del período Clásico, entre aproximadamente 700 y 1100 d.C. Esta investigación fue una continuación y mejoramiento de los trabajos realizados durante los últimos 34 años en apoyo de las investigaciones geoarqueológicas y arqueológicas en el valle inferior del Río Verde (Joyce et al. 1998; Joyce and Mueller 1992; Joyce et al. 1998; Mueller et al. 2013). Utilizamos nuevos datos de esta temporada del PRV-2022 con el objetivo de reconstruir la morfología dinámica del río en el contexto de este cambio demográfico sustancial.

En este capítulo, describiremos la planicie aluvial inferior del Río Verde y los principios básicos de geomorfología con respecto a la morfología del río y cómo se relaciona con el área del estudio. Luego explicaremos nuestra estrategia de estudio y proporcionaremos nuestros resultados en una serie de tablas y figuras, con descripciones texturales detalladas de los sedimentos de las planicies aluviales proporcionados por los puntos de estudio considerados más relevantes para el presente estudio. Concluiremos este capítulo con una discusión sobre los significados de hallazgos generales para entender la historia de la dinámica del Río Verde y el contexto ambiental dentro del cual tuvo lugar el abandono de Río Viejo.

## 4.2 El Valle Inferior del Rio Verde

El Río Verde es el segundo río más grande de la Costa del Pacífico de México, tanto en términos de volumen de descarga como de área de drenaje. El valle inferior del Río Verde es una geoforma deposicional, formada con fuertes cargas de sedimentos de los valles superiores de la región montañosa. El clima del valle inferior del Río Verde es cálido (25-28°C) y húmedo (precipitación anual 1000-2000 mm). La mayor parte de la precipitación ocurre durante la época de humedad (mayo-octubre). La cuenca de drenaje superior del Río Verde se ubica en el altiplano de Oaxaca, a elevaciones que van desde los 1500 a los 2500 m sobre el nivel del mar, incluye los valles de Oaxaca, Ejutla y Nochixtlán, así como la región occidental de Putla (Joyce y Mueller 1997). Estos valles son en su mayoría templados con temperaturas medias anuales de 16-20°C y precipitaciones medias anuales de 400 a 1000 mm. Entre las tierras altas y los valles costeros, el Río Verde corre a través de cañones profundos que dejan poco espacio para el almacenamiento de sedimentos, hacia la costa (Joyce et al. 1998).

### 4.2.1 Cambio antropogénico del paisaje y su impacto en el sistema de drenaje del Río Verde

Estudios geomorfológicos previos de perfiles estratigráficos en los valles de las tierras altas de Ejutla, Oaxaca y Nochixtlán, muestran secuencias de depósitos aluviales y paleosuelos (Mueller et al. 2012). Estos perfiles y sus fechas de radiocarbono asociadas indican múltiples períodos de erosión. Dos de estos períodos de erosión datan de mediados del Holoceno y se propone fueron causados por el cambio climático, ya que el impacto humano probablemente fue mínimo dadas las pequeñas poblaciones de cazadores-recolectores móviles que habitaban la región en ese momento. Los episodios de erosión del periodo Holoceno Tardío corresponden a los períodos de cambio de uso de suelo prehispánico, lo que implica una erosión antropogénica (Mueller et al. 2012). La erosión antropogénica en las tierras altas a partir de ca. 2000 a.C. provocó un aumento de la escorrentía y erosión hacia el sistema de drenaje, lo que eventualmente transformaría algunas áreas de las tierras altas en tierras yermas altamente erosionadas. En el valle inferior del Río Verde, la evidencia geomorfológica indica que la mayor carga y descarga de sedimentos resultó en un cambio gradual de un sistema fluvial de meandros a uno trenzado, apareciendo este último alrededor de 400 a.C. (Mueller et al. 2013). Los sedimentos arrastrados por el río y descargados en el Océano Pacífico también pueden haber contribuido a la formación de barreras de bahía y estuarios de barrera trasera (Goman et al. 2005). El aporte de sedimentos aluviales La formación de tierra aluvial aumentó la productividad agrícola del valle inferior, lo que probablemente contribuiría al crecimiento de la población y a una mayor dependencia del maíz al final del período Formativo (Joyce et al. 2014). Para el año 100 d.C., Río Viejo surgió como un centro urbano que eventualmente cubrió 250 ha en la planicie aluvial al oeste del Río Verde. El centro ceremonial del período Formativo Terminal en Río Viejo estaba ubicado en su enorme Acrópolis, designada como Montículo 1. Luego del colapso de las instituciones políticas y una disminución de la población en el año 250 d.C., Río Viejo resurgió como una ciudad y un centro político alrededor de 500 d.C.

Este cambio del período Formativo en la morfología del río fue significativo ya que el Río Verde ha mantenido un grado de morfología de río trenzado hasta hoy en día. Interés particular para nuestra investigación actual es otro período hipotetizado de mayor erosión e inestabilidad geomórfica al final del período Clásico. Si bien las prácticas agrícolas causaron un cambio inicial en el paisaje durante el período Formativo, el desarrollo de prácticas de terrazas en laderas y lama-bordo (cauce transversal) en las tierras altas de Oaxaca logró limitar la erosión y crear un efecto estabilizador para el sistema de drenaje del Río Verde hasta el final del período Clásico (Borejsza y Joyce 2017; Mueller et al. 2012; Pérez Rodríguez et al. 2011). En este momento, la evidencia de los valles del altiplano y de la costa de Oaxaca indica un colapso político y una disminución de la población (Joyce 2010; Joyce y Forde 2014; Pérez Rodríguez 2016; Pérez Rodríguez y Anderson 2013). Río Viejo experimentó un colapso político, aunque el sitio continuó como centro demográfico hasta su abandono ca. 1100 d.C. En las tierras altas de Oaxaca, la población disminuyó incluso más que en la costa, lo que habría reducido la mano de obra disponible requerida para mantener los sistemas de terrazas (Joyce 2010; Kowalewski et al. 1989, 2009; Winter 1989). Además, los datos paleoclimaticos preliminares sugieren un período de precipitaciones reducidas durante este período (Goman et al. 2018).

La evidencia preliminar en las tierras altas nos sugiere que la desorganización política y la disminución de la población podrían haber llevado a la falla de los sistemas de terrazas debido a la falta de mantenimiento y tal vez a un cambio hacia condiciones más secas. La falla a gran escala de los sistemas de terrazas habría liberado grandes cantidades de sedimentos acumulados, lo que habría resultado un aumento tanto en la entrega de sedimentos como en la escorrentía de las laderas con una cubierta vegetal reducida por la sequía y la degradación acumulada de la tierra. La evidencia geomorfológica preliminar del valle de Nochixtlán sugiere la posibilidad de un aumento dramático en la erosión en este momento (Borejsza y Joyce 2017; Mueller et al. 2012). En una segunda etapa, planteamos la hipótesis de que la entrega de sedimentos disminuyó debido al agotamiento relativo de la

distribución de sedimentos y luego fue superada por un aumento en la escorrentía de las superficies erosionadas y pocas vegetadas. Esto podría haber sido empeorado por el aumento de las precipitaciones después de ca. 1000 d.C.

En el valle inferior del Río Verde, planteamos la hipótesis de que el aumento de la erosión y la escorrentía de las tierras altas llego al río y provocó cambios geomórficos en la parte de valle inferior del Río Verde (ver Joyce et al. 1998; Mueller 1991). Si bien el río había exhibido una morfología trenzada desde el período Formativo Tardío, el aumento de la carga de sedimentos habría ocasionado un cambio en la hidrología, provocando un cambio relativamente breve hacia una condición de río aún más trenzado con un aumento de inundaciones y cambio de cauce del rio. Después de este período, la carga de sedimentos disminuyó y el Río Verde volvió a las condiciones más típicas de los períodos antes de llegar a un pico de aridez y colapso. En el registro geomórfico esto debería ser visible como un breve período de inestabilidad acentuada del cauce que involucra una disminución en la sinuosidad del cauce, un aumento en el cambio del cauce y aluviación, y un aumento en la relación entre anchura-profundidad seguido de un retorno a los patrones anteriores de morfología del río.

### 4.2.2 Ambientes deposicionales

En esta sección proporcionaremos una breve descripción de los principios geomorfológicos que se utilizan para estudiar los cambios del paisaje a lo largo del tiempo en el valle inferior del Río Verde. Como con la mayoría de los canales, fue claro que había tres principales tipos de depósitos sedimentarios en la planicie aluvial del Río Verde (Joyce et al. 1998). Estos depósitos de sedimento se formaron en ambientes deposicionales con energía variable disponible para transportar sedimentos. El tamaño de partícula más grande, y por lo tanto el ambiente deposicional de mayor energía, fue textura gruesa de arenas y gravas provenientes del cauce principal del río, clasificado como depósitos de acreción lateral porque se depositaron cuando el cauce del río migro lateralmente a través de la planicie

de inundación. La acumulación lateral deposita el material grueso en el cauce activo como carga de fondo del río y adyacente al cauce como barras de punto. Consecuentemente, depósitos más gruesos de este material ocurren en áreas donde fluyó el cauce alguna vez.

Texturas finas como el limo y la arcilla son los depósitos más comunes en las planicies aluviales. Estos se conocen como depósitos de acreción vertical. Durante una etapa de inundación, la corriente se desborda, la velocidad de la corriente disminuye y estos sedimentos de textura más fina se depositan en la planicie aluvial. Esta afluencia de sedimentos también incluye típicamente algunas capas de arena fina o muy fina, dependiendo de la velocidad de la corriente.

Los depósitos resultantes de procesos de energía baja se encuentran en entornos únicos de depósito. Cuando un arroyo serpentea a través de la planicie aluvial, el cauce puede convertirse en una curva pronunciada. Durante una inundación, esto corta el cauce y forma un lago en herradura. Este lago en forma de herradura es el cauce anterior, bloqueado en ambos extremos por sedimentos que solo permiten flujos de energía extremadamente baja. El depósito lacustre resultante consiste en sedimentos de textura muy fina. Este entorno posee una gran cantidad de vegetación acuática. Los desechos vegetales y los sedimentos minerales se acumulan y forman un depósito muy oscuro, rico en arcilla. El alto contenido orgánico de estos depósitos permite fecharlos por radiocarbono.

Tanto en los depósitos superficiales como en los subterráneos se encuentran generalmente versiones distintas de uno de los tres tipos de depósitos arriba mencionados. Ocasionalmente, sin embargo, hay zonas transicionales donde dos tipos de sedimentos se entrelazan como unidades distintas; o rara vez como mezclas de tipos de sedimentos cercanamente relacionados (por ejemplo, arcillas limosas). La distribución espacial de los tres tipos de depósitos de sedimentos y su ubicación relevante en los perfiles estratigráficos nos permite comprender la morfología de las corrientes (Joyce y Mueller 1992; Mueller et al. 2013). El valle inferior del Río Verde ha experimentado históricamente cauces tanto meandriformes como entrelazados. Los cauces meandricos suelen tener un solo cauce con

una proporción baja entre anchura-profundidad. Son relativamente estables con un bajo abastecimiento de sedimentos y están dominados por la acumulación vertical. El cauce suele formar curvas a gran escala, llamados meandros. Si un meandro se vuelve demasiado pronunciado, el cauce puede saltar a través del cuello. El cauce viejo a menudo se obstruye en ambos extremos y forma un lago (o pantano) en forma de herradura. Los lagos de herradura y su entorno de energía baja permiten la acumulación de sedimentos con alto contenido de materia orgánica que pueden fecharse por radiocarbono, lo que proporciona fechas para algunos cambios arqueológicos y geomórficos importantes.

Los cauces entrelazados por otro lado, suelen tener múltiples cauces con bancos de arena, una proporción alta entre anchura-profundidad y baja sinuosidad. Los cauces entrelazados también cambian su posición de cauce a un ritmo mucho mayor que los meandros. Por lo tanto, tienen un ritmo más alto de migración del cauce a través de la planicie aluvial, de modo que la acumulación lateral es dominante. Los ríos entrelazados son poco profundos, por lo que rara vez se forman lagos en forma de herradura y, si lo hacen, los depósitos lacustres serán poco profundos, lo que refleja la proporción alta entre anchura-profundidad. Por ende, los transectos de barreno que muestran una disminución abrupta en la solidez de los depósitos lacustres con acumulación lateral que domina en el área, proporcionan evidencia de un sistema de canales entrelazados.

Hoy en día, el valle inferior del Río Verde exhibe patrones tanto entrelazados como meandricos debido a la represa Ricardo Flores Magón al otro lado del río en Río Viejo, construida a principios de la década de 1990. Los cambios resultantes en la forma, hidrología y geomorfología del valle inferior del Río Verde son complejos (Espinoza-Ayala 2011). En general, el río ha mantenido un patrón entrelazado al norte de la presa, pero ha cambiado a un patrón meandrico en gran parte del área desde la presa, hasta al sur en la desembocadura del río.

## 4.3 Métodos

El objetivo principal de la investigación geomorfológica durante la temporada de campo 2022 fue investigar los cauces de ríos abandonados que datan probablemente de la época del colapso del período Clásico, los cuales proporcionarían datos para evaluar los cambios geomorfológicos hipotéticos en el valle inferior del Río Verde. Los cambios en la morfología del río se investigaron a través de la extracción con barreno de muestras de los cauces de los ríos abandonados que se datan tentativamente del período Clásico Tardío-Posclásico Temprano. Durante la temporada de campo de 2022, identificamos quince meandros abandonados, que se agregaron a un sistema de notación para la numeración consecutiva de cauces, que se inició en 1988 (Joyce et al. 1998; Mueller 1991). Los cauces identificados durante temporadas de campo anteriores fueron designados C.1 a C.24. Los cauces recién identificados son C.25 a C.39 en nuestro sistema de numeración. Los paleocanales se han mapeados utilizando GPS e imágenes satelitales (Figura 4.1). Más adelante en este capítulo se proporcionan discusiones más específicas sobre su cronología y morfología. La investigación fue enfocada en las áreas al este y al oeste del río. Al oeste del río, un cauce abandonado (C.20) fue el foco de investigación. Estudios geomorfológicos previos sugieren que este cauce fue abandonado alrededor de 1280 d.C., lo que indica que estuvo activo durante el período de interés de este proyecto (Mueller et al. 2013). También se estudiaron una serie de cauces al este del río, que incluyen cauces basados en la morfología de la superficie, que pueden representar un período relativamente reciente de inestabilidad del cauce. También tomamos muestras de cauces en el lado este del río que exhibían una forma serpenteada, según la morfología de la superficie, y probablemente estaban activos antes de los cambios del período Formativo en el río documentados por investigaciones anteriores.

El estudio geomorfológico de 2022 consistió en 82 barrenos de sedimentos distribuidos en aproximadamente 36 km² de la planicie aluvial (Tabla 4.1). Se realizaron barrenaciones a lo largo de

quince transectos en dos áreas distintas: al lado este y al lado oeste del Río Verde. El área del estudio se dividió en dos áreas a fin de organizar bien la investigación, ya que un estudio previo demostró que los lados este y oeste del valle tenían diferentes características de sedimentos. El suelo en el este del Río Verde tiene un tono más rojo, una textura más gruesa y un relieve más bajo que en el lado oeste. Aparecieron diferencias adicionales durante el trabajo de barrenos de sedimentos de esta temporada.

**Tabla 4.1 Registro de datos de núcleos de barreno en la planicie aluvial del Río Verde inferior**

| Nombre | Transecto | barreno | Strata | Profundidad (cm) | Color | Textura |
|---|---|---|---|---|---|---|
| | | | | | | |
| **Lado Este** | 2 | LRV22-ES10A | 1 | 0 – 40 | 10YR 2/2 | arcilla |
| **Lado Este** | 2 | LRV22-ES10A | 2 | 40 – 85 | 10YR 3/3 | arcilla |
| **Lado Este** | 2 | LRV22-ES10A | 3 | 85 – 120 | 10YR 3/4 | arcilla |
| **Lado Este** | 2 | LRV22-ES10A | 4 | 120 – 165 | 10YR 3/3 | arcilla |
| **Lado Este** | 2 | LRV22-ES10A | 5 | 165 – 200 | 10YR 3/6 | arcilla |
| **Lado Este** | 2 | LRV22-ES10A | 6 | 200 – 283 | 10YR 4/4 | arcilla |
| **Lado Este** | 2 | LRV22-ES10A | 7 | 283 – 365 | 10YR 4/3 | arcilla |
| **Lado Este** | 2 | LRV22-ES10A | 8 | 365 – 390 | 10YR 3/3 | arcilla limosa |
| **Lado Este** | 2 | LRV22-ES10A | 9 | 390 – 505+ | 10YR 2/1 | arcilla |
| **Lado Este** | 2 | LRV22-ES10B | 1 | 0-350 | | |
| **Lado Este** | 2 | LRV22-ES10B | 2 | 360-395 | | Franco arcilloso limoso bien seleccionado fino |
| **Lado Este** | 2 | LRV22-ES10B | 3 | 450+ | | |
| **Lado Este** | 2 | LRV22-ES10C | 1 | 355 | | |
| **Lado Este** | 2 | LRV22-ES10C | 2 | 385 | | |
| **Lado Este** | 2 | LRV22-ES10D | 1 | 0 – 195 | 2.5Y 4/2 | arcilla limosa |
| **Lado Este** | 2 | LRV22-ES10D | 2 | 195 – 330 | | arcilla |

| | | | | | | |
|---|---|---|---|---|---|---|
| **Lado Este** | 2 | LRV22-ES10D | 3 | 330 – 400 | Gley 1 5/10Y and 2.5Y 5/4 | arcilla limosa |
| **Lado Este** | 2 | LRV22-ES10D | 4 | 400 – 445 | 10YR 2/1 | arcilla |
| **Lado Este** | 2 | LRV22-ES10D | 5 | 445 – 460 | 10YR 2/1 | Arena fina bien seleccionada |
| **Lado Este** | 2 | LRV22-EST02-01 | 1 | 0 – 160 | 10YR 3/3 | franco arcilloso limoso |
| **Lado Este** | 2 | LRV22-EST02-01 | 2 | 160 – 270 | 2.5Y 3/6 | arcilla limosa |
| **Lado Este** | 2 | LRV22-EST02-01 | 3 | 270 – 280+ | 2.5Y 3/6 | Arena bien seleccionada |
| **Lado Este** | 2 | LRV22-EST02-02 | 1 | 0 – 60 | 10YR 3/3 | franco arcilloso limoso |
| **Lado Este** | 2 | LRV22-EST02-02 | 2 | 60 – 150 | 2.5Y 4/4 | arcilla limosa |
| **Lado Este** | 2 | LRV22-EST02-02 | 3 | 150 – 200 | 2.5Y 4/4 | Fina arcilla arenosa |
| **Lado Este** | 2 | LRV22-EST02-02 | 4 | 200 – 220+ | | Bien seleccionado, arena mediana |
| **Lado Este** | 2 | LRV22-EST2-3 | 1 | 0 – 60 | 10YR 3/3 | franco arcilloso limoso |
| **Lado Este** | 2 | LRV22-EST2-3 | 2 | 60 – 145 | 2.5Y 4/4 | arcilla limosa |
| **Lado Este** | 2 | LRV22-EST2-3 | 3 | 145 – 220 | 2.5Y 4/4 | Fina arcilla arenosa |
| **Lado Este** | 2 | LRV22-EST2-3 | 4 | 220 – 275 | | Arena fina a mediana bien seleccionada; arena más fina. |
| **Lado Este** | 2 | LRV22-EST2-3 | 5 | 275 – 280 | | arcilloso a arena fina |
| **Lado Este** | 2 | LRV22-EST2-3 | 6 | 280 – 295+ | | arena mediana bien seleccionada al final del barreno |
| **Lado Este** | 2 | LRV22-EST2-4 | 1 | 0 – 100 | 10YR 3/2 | arcilla limosa con rizolitos |
| **Lado Este** | 2 | LRV22-EST2-4 | 2 | 100 – 140 | 10YR 5/4 | arcilla limosa |
| **Lado Este** | 2 | LRV22-EST2-4 | 3 | 140 – 155 | | Arena gruesa bien seleccionada |
| **Lado Este** | 2 | LRV22-EST2-5 | 1 | 0 – 130 | 10YR 3/2 | arcilla limosa con algunos rizolitos e incremento de arcilla |
| **Lado Este** | 2 | LRV22-EST2-5 | 2 | 130 – 270 | 10YR 5/4 | arcilla limosa |
| **Lado Este** | 2 | LRV22-EST2-5 | 3 | 270 – 300+ | | Arenas bien seleccionados con mica y minerales pesados. |
| **Lado Este** | 2 | LRV22-EST2-6 | 1 | 0 – 250 | 10YR 3/2 grading into 10YR 5/4, | |

| | | | | | | |
|---|---|---|---|---|---|---|
| | | | | | arcilla limosa. AWT: 210 | |
| **Lado Este** | 2 | LRV22-EST2-6 | 2 | 250 – 347 | 2.5Y 6/4 | arcilla |
| **Lado Este** | 2 | LRV22-EST2-6 | 3 | 347 – 380 | | |
| **Lado Este** | 2 | LRV22-EST2-6 | 4 | 380 – 394 | | Arena mediana bien seleccionada |
| **Lado Este** | 3 | LRV22-ES12A | 1 | 45 – 80 | 10YR 4/4 | arcilla |
| **Lado Este** | 3 | LRV22-ES12A | 2 | 80 – 115 | 7.5YR 3/3 | arcilla |
| **Lado Este** | 3 | LRV22-ES12A | 3 | 115 – 165 | 5YR 3/2 | arcilla |
| **Lado Este** | 3 | LRV22-ES12A | 4 | 165 – 180 | 7.5YR 3/4 | arcilla |
| **Lado Este** | 3 | LRV22-ES12A | 5 | 180 – 198 | 10YR 3/4 | arcilla limosa |
| **Lado Este** | 3 | LRV22-ES12A | 6 | 198 – 213 | 10YR 3/4 | arcilla |
| **Lado Este** | 3 | LRV22-ES12A | 7 | 213 – 220 | 10YR 3/4 | arena |
| **Lado Este** | 3 | LRV22-ES12A | 8 | 220 – 260+ | 2.5Y 4/4 | arena |
| **Lado Este** | 3 | LRV22-EST3-1 | 1 | 0 – 40 | 10YR 5/4 | arena poco gruesa |
| **Lado Este** | 3 | LRV22-EST3-1 | 2 | 40 – 75 | 7.5YR 4/3 | Limo arcilloso |
| **Lado Este** | 3 | LRV22-EST3-1 | 3 | 75 – 190 | 7.5YR 5/4 | franco arcillo-limoso |
| **Lado Este** | 3 | LRV22-EST3-1 | 4 | 190 – 270+ | | |
| **Lado Este** | 3 | LRV22-EST3-2 | 1 | 0 – 55 | 10YR 3/3 | arcilla |
| **Lado Este** | 3 | LRV22-EST3-2 | 2 | 55 – 125 | 10YR 4/4 | arcilla |
| **Lado Este** | 3 | LRV22-EST3-2 | 3 | 125 – 145 | 10YR 4/4 | arcilla limosa |
| **Lado Este** | 3 | LRV22-EST3-2 | 4 | 145 – 210 | 10YR 5/4 | franco arcillo-limoso, muy fino |
| **Lado Este** | 3 | LRV22-EST3-2 | 5 | 210 – 250 | | Arcilla con características reductomórficas |
| **Lado Este** | 3 | LRV22-EST3-2 | 6 | 250 – 355+ | | arena |
| **Lado Este** | 3 | LRV22-EST3-3 | 1 | 0 – 35 | 10YR 3/1, | Arcilla |
| **Lado Este** | 3 | LRV22-EST3-3 | 2 | 35 – 150 | 10YR 4/3, | arcilla |
| **Lado Este** | 3 | LRV22-EST3-3 | 3 | 150 – 185 | | |

| | | | | | | |
|---|---|---|---|---|---|---|
| **Lado Este** | 3 | LRV22-EST3-3 | 4 | 185 – 220 | | |
| **Lado Este** | 3 | LRV22-EST3-3 | 5 | 220 – 275+ | | |
| **Lado Este** | 3 | LRV22-EST3-4 | 1 | 0 – 70 | 10YR 2/2 | arcilla muy pesada |
| **Lado Este** | 3 | LRV22-EST3-4 | 2 | 70 – 180 | | |
| **Lado Este** | 3 | LRV22-EST3-4 | 3 | 180 – 320 | | |
| **Lado Este** | 3 | LRV22-EST3-4 | 4 | 320 – 350+ | | arena muy fina, bien seleccionada |
| **Lado Este** | 3 | LRV22-EST3-5 | 1 | 0-285 | | |
| **Lado Este** | 3 | LRV22-EST3-5 | 2 | 285-310 | | |
| **Lado Este** | 3 | LRV22-EST3-5 | 3 | 310+ | | |
| **Lado Este** | 4 | LRV22-EST4-1 | 1 | 0-150 | 7.5YR 4/3 | |
| **Lado Este** | 4 | LRV22-EST4-1 | 2 | 150-195 | 7.5YR 5/4 | arena muy fina, bien seleccionada |
| **Lado Este** | 4 | LRV22-EST4-1 | 3 | 195-250+ | 10YR 5/4 | Arena basal |
| **Lado Este** | 4 | LRV22-EST4-2 | 1 | 0-90 | 7.5YR 4/3 | arcilla limosa |
| **Lado Este** | 4 | LRV22-EST4-2 | 2 | 90-205 | 7.5YR 5/4 | arcilla |
| **Lado Este** | 4 | LRV22-EST4-2 | 3 | 205-250+ | 10YR 4/3 | Arena basal |
| **Lado Este** | 4 | LRV22-EST4-3 | 1 | 0-160 | 7.5YR 4/3 | arcilla limosa |
| **Lado Este** | 4 | LRV22-EST4-3 | 2 | 160-185 | 7.5YR 5/6 | limo |
| **Lado Este** | 4 | LRV22-EST4-3 | 3 | 185-255+ | 10YR 4/4 | arena muy fina bien seleccionada |
| **Lado Este** | 4 | LRV22-EST4-4 | 1 | 0-30 | 7.5YR 3/3 | arcilla limosa |
| **Lado Este** | 4 | LRV22-EST4-4 | 2 | 30-65 | 7.5YR 5/4 | arcilla limosa |
| **Lado Este** | 4 | LRV22-EST4-4 | 3 | 65-150 | 7.5YR 5/4 | Arena muy fina, bien seleccionada |
| **Lado Este** | 4 | LRV22-EST4-4 | 4 | 150-225 | 10YR 5/4 | limo |
| **Lado Este** | 4 | LRV22-EST4-4 | 5 | 225-245 | 10YR 4/2 | arena gruesa |
| **Lado Este** | 4 | LRV22-EST4-4 | 6 | 245-255+ | 10YR 5/4 | arena |
| **Lado Este** | 4 | LRV22-EST4-5 | 1 | 0-185 | 7.5YR 2.5/3 | Arcilla |

| | | | | | | |
|---|---|---|---|---|---|---|
| **Lado Este** | 4 | LRV22-EST4-5 | 2 | 185-240 | 10YR 5/3 | arcilla limosa |
| **Lado Este** | 4 | LRV22-EST4-5 | 3 | 240-290 | 10YR 5/4 | arcilla limosa |
| **Lado Este** | 4 | LRV22-EST4-5 | 4 | 290-305+ | 10YR 6/2 | arena muy gruesa |
| **Lado Este** | 4 | LRV22-EST4-6 | 1 | 0-100 | 7.5YR 4/3 | arcilla a arcilla limosa |
| **Lado Este** | 4 | LRV22-EST4-6 | 2 | 100-145 | 10YR 5/3 | arcilla limosa |
| **Lado Este** | 4 | LRV22-EST4-6 | 3 | 145-170 | 10YR 5/4 | arena fina, bien seleccionada |
| **Lado Este** | 4 | LRV22-EST4-6 | 4 | 170-185 | 10YR 5/4 | arena mediana, bien seleccionada |
| **Lado Este** | 4 | LRV22-EST4-6 | 5 | 185-250+ | 10YR 6/3 | arena muy gruesa y grava |
| **Lado Este** | 4 | LRV22-EST4-7 | 1 | 0-310 | | |
| **Lado Este** | 4 | LRV22-EST4-7 | 2 | 310+ | | grava |
| **Lado Este** | 4 | LRV22-EST4-8 | 1 | 0-210 | | |
| **Lado Este** | 4 | LRV22-EST4-8 | 2 | 210+ | | grava |
| **Lado Este** | 5 | LRV22-EST5-1 | 1 | 0-70 | 10YR 3/2 | arcilla |
| **Lado Este** | 5 | LRV22-EST5-1 | 2 | 70-125 | 10YR 3/4 | arcilla limosa |
| **Lado Este** | 5 | LRV22-EST5-1 | 3 | 125-145 | 10YR 3/4 | arcilla limosa |
| **Lado Este** | 5 | LRV22-EST5-1 | 4 | 145-165 | 10YR 4/3 | arcilla |
| **Lado Este** | 5 | LRV22-EST5-1 | 5 | 165-185+ | 10YR 4/2 | limo |
| **Lado Este** | 5 | LRV22-EST5-2 | 1 | 0-40 | 10YR 4/3 | arcilla limosa |
| **Lado Este** | 5 | LRV22-EST5-2 | 2 | 40-65 | 10YR 5/4 | arcilla limosa |
| **Lado Este** | 5 | LRV22-EST5-2 | 3 | 65-120 | 10YR 4/4 | Arena, bien seleccionada, a arena fina |
| **Lado Este** | 5 | LRV22-EST5-2 | 4 | 120-190+ | 10YR 6/4 | arena muy gruesa |
| **Lado Este** | 5 | LRV22-EST5-3 | 1 | 0-20 | | arcilla limosa |
| **Lado Este** | 5 | LRV22-EST5-3 | 2 | 20-125 | | arcilla |
| **Lado Este** | 5 | LRV22-EST5-3 | 3 | 125-150 | | arcilla limosa |
| **Lado Este** | 5 | LRV22-EST5-3 | 4 | 150-170 | | arcilla |

| | | | | | | |
|---|---|---|---|---|---|---|
| **Lado Este** | 5 | LRV22-EST5-3 | 5 | 170-190+ | | limo |
| **Lado Este** | 5 | LRV22-EST5-4 | 1 | 0-75 | | limo y arcilla |
| **Lado Este** | 5 | LRV22-EST5-4 | 2 | 75-100 | | arena bien seleccionada |
| **Lado Este** | 5 | LRV22-EST5-4 | 3 | 100-120 | | |
| **Lado Este** | 5 | LRV22-EST5-5 | 1 | 0-125 | | arena |
| **Lado Este** | 5 | LRV22-EST5-5 | 2 | 125 | | grava |
| **Lado Este** | 5 | LRV22-EST5-5 | 3 | 125+ | | arena muy gruesa |
| **Lado Este** | 5 | LRV22-EST5-6 | 1 | 0-75 | | arcilla |
| **Lado Este** | 5 | LRV22-EST5-6 | 2 | 75-100 | | arcilla arenosa |
| **Lado Este** | 5 | LRV22-EST5-6 | 3 | 100-155 | | arena gruesa |
| **Lado Este** | 6 | LRV22-EST6-1 | 1 | 0-35 | 10YR 3/1 | arcilla limosa |
| **Lado Este** | 6 | LRV22-EST6-1 | 2 | 35-160 | 10YR 3/4 | limo al arcilla limosa |
| **Lado Este** | 6 | LRV22-EST6-1 | 3 | 160-210+ | 10YR 3/6 | Arena con grava gruesa |
| **Lado Este** | 6 | LRV22-EST6-2 | 1 | 0-30 | 10YR 3/1 | arcilla limosa al arcilla |
| **Lado Este** | 6 | LRV22-EST6-2 | 2 | 30-70 | 10YR 3/4 | arcilla limosa |
| **Lado Este** | 6 | LRV22-EST6-2 | 3 | 70-120 | 10YR 4/4 | arena muy fina, bien seleccionada |
| **Lado Este** | 6 | LRV22-EST6-2 | 4 | 120-220+ | 10YR 5/2 | arena mediana, bien seleccionada |
| **Lado Este** | 6 | LRV22-EST6-3 | 1 | 0-160 | | Limo y arcilla |
| **Lado Este** | 6 | LRV22-EST6-3 | 2 | 160-180 | | arena muy fina bien seleccionada |
| **Lado Este** | 6 | LRV22-EST6-3 | 3 | 180-200+ | | arena mediana bien seleccionada |
| **Lado Este** | 6 | LRV22-EST6-4 | 1 | 0 – 160 | | |
| **Lado Este** | 6 | LRV22-EST6-4 | 2 | 160 – 190 | | arena mediana bien seleccionada |
| **Lado Este** | 6 | LRV22-EST6-4 | 3 | 190 – 245 | | limo/sic |
| **Lado Este** | 6 | LRV22-EST6-4 | 4 | 245 – 290 | | Arena fina a mediana, bien seleccionada con arcilla |
| **Lado Este** | 6 | LRV22-EST6-4 | 5 | 290 – 340 | | limo intercalada y arcillas |

| | | | | | | |
|---|---|---|---|---|---|---|
| **Lado Este** | 6 | LRV22-EST6-4 | 6 | 340 – 350+ | | arenas |
| **Lado Este** | 6 | LRV22-EST6-5 | 1 | 0 – 160 | | arcilla pesada café obscuro |
| **Lado Este** | 6 | LRV22-EST6-5 | 2 | 160 – 280 | | Arcilla café pesada |
| **Lado Este** | 6 | LRV22-EST6-5 | 3 | 280 – 305 | | arena mediana, bien seleccionada |
| **Lado Este** | 6 | LRV22-EST6-5 | 4 | 305 – 325 | | arena gruesa |
| **Lado Este** | 6 | LRV22-EST6-5 | 5 | 325 – 350 | | limo |
| **Lado Este** | 6 | LRV22-EST6-5 | 6 | 350 – 650 | | arcilla negra pesada |
| **Lado Este** | 6 | LRV22-EST6-6 | 1 | 190 – 200 | | Arena mediana, bien seleccionada |
| **Lado Este** | 6 | LRV22-EST6-6 | 2 | 200 – 215 | | |
| **Lado Este** | 6 | LRV22-EST6-6 | 3 | 215 – 365 | | arcilla negra pesada |
| **Lado Este** | 6 | LRV22-EST6-6 | 4 | 365 – 380 | | arenas |
| **Lado Este** | 6 | LRV22-EST6-6 | 5 | 380 – 800 | | arcilla negra pesada |
| **Lado Este** | 7 | LRV22-EST7-1 | 1 | 0 – 35 | 10YR 4/4 | arcilla limosa |
| **Lado Este** | 7 | LRV22-EST7-1 | 2 | 35 – 85 | 10YR 5/6 | limo |
| **Lado Este** | 7 | LRV22-EST7-1 | 3 | 85 – 120 | 10YR 6/6 | arcilla |
| **Lado Este** | 7 | LRV22-EST7-1 | 4 | 120 – 210 | 10YR 5/3 | arcilla pesada |
| **Lado Este** | 7 | LRV22-EST7-1 | 5 | 210 – 240 | Redox features | arcilla |
| **Lado Este** | 7 | LRV22-EST7-1 | 6 | 240 – 275 | 10YR 4/3 | arcilla |
| **Lado Este** | 7 | LRV22-EST7-1 | 7 | 275 – 330 | 10YR 4/3 | arena fina, bien seleccionada |
| **Lado Este** | 7 | LRV22-EST7-1 | 8 | 330 – 345 | 10YR 4/3 | arcilla limosa |
| **Lado Este** | 7 | LRV22-EST7-1 | 9 | 345 – 365 | 10YR 3/3 | Arena mediana, bien seleccionada |
| **Lado Este** | 7 | LRV22-EST7-1 | 10 | 365 – 385 | 10YR 3/3 | arena gruesa |
| **Lado Este** | 7 | LRV22-EST7-1 | 11 | 385 – 395+ | 10YR 3/3 | arena mediana, bien seleccionada |
| **Lado Este** | 7 | LRV22-EST7-2 | 1 | 0 – 35 | 10YR 3/2 | arcilla |
| **Lado Este** | 7 | LRV22-EST7-2 | 2 | 35 – 80 | 10YR 4/5 | arcilla limosa |

| | | | | | | |
|---|---|---|---|---|---|---|
| **Lado Este** | 7 | LRV22-EST7-2 | 3 | 80 – 115 | 10YR 4/4 | arcilla limosa |
| **Lado Este** | 7 | LRV22-EST7-2 | 4 | 115 – 190 | 10YR 5/4 | limo/arcilla limosa |
| **Lado Este** | 7 | LRV22-EST7-2 | 5 | 190 – 230 | 10YR 5/3 | arcilla limosa |
| **Lado Este** | 7 | LRV22-EST7-2 | 6 | 230 – 250 | 10YR 5/3 | arena muy fina, bien seleccionada |
| **Lado Este** | 7 | LRV22-EST7-2 | 7 | 250 – 265 | 10YR 4/3 | arena muy fina, bien seleccionada |
| **Lado Este** | 7 | LRV22-EST7-2 | 8 | 265 – 295 | 10YR 5/6 | arena muy fina, bien seleccionada |
| **Lado Este** | 7 | LRV22-EST7-2 | 9 | 295 – 340 | 10YR 6/4 | arena mediana |
| **Lado Este** | 7 | LRV22-EST7-2 | 10 | 340 – 410+ | 10YR 6/4 | arena gruesa |
| **Lado Este** | 8 | LRV22-EST8-1 | 1 | 0 – 35 | 10YR 3/3 | arcilla limosa |
| **Lado Este** | 8 | LRV22-EST8-1 | 2 | 35 – 85 | 10YR 6/3 | arcilla limosa |
| **Lado Este** | 8 | LRV22-EST8-1 | 3 | 85 – 140 | 7.5YR 4/4 | arena muy fina, bien seleccionada |
| **Lado Este** | 8 | LRV22-EST8-1 | 4 | 140 – 200+ | 10YR 4/2 | arena gruesa |
| **Lado Este** | 8 | LRV22-EST8-2 | 1 | 0 – 30 | 10YR 3/3 | arcilla limosa |
| **Lado Este** | 8 | LRV22-EST8-2 | 2 | 30 – 115 | 7.5YR 4/5 | arena mediana |
| **Lado Este** | 8 | LRV22-EST8-2 | 3 | 115 – 175 + | 10YR 6/4 | arena muy gruesa con grava |
| **Lado Este** | 8 | LRV22-EST8-3 | 1 | 0 – 100 | 10YR 2/1 | arcilla/arcilla limosa |
| **Lado Este** | 8 | LRV22-EST8-3 | 2 | 100 – 135+ | 10YR 6/3 | arena gruesa |
| **Lado Este** | 9 | LRV22-EST9-1 | 1 | 0 – 40 | 10YR 3/2 | arcilla limosa |
| **Lado Este** | 9 | LRV22-EST9-1 | 2 | 40 – 100 | 10YR 3/4 | arcilla limosa |
| **Lado Este** | 9 | LRV22-EST9-1 | 3 | 100 – 140 | 10YR 5/3.5 | limo |
| **Lado Este** | 9 | LRV22-EST9-1 | 4 | 140 – 200 | 10YR 5/4 | limo/arcilla limosa |
| **Lado Este** | 9 | LRV22-EST9-1 | 5 | 200 – 247 | 10YR 5/3 | limo |
| **Lado Este** | 9 | LRV22-EST9-1 | 6 | 247 – 289 | 10YR 4/4 | arcilla |
| **Lado Este** | 9 | LRV22-EST9-1 | 7 | 289 – 303+ | 10YR 5/3 | Arena fina a mediana, bien clasificada |
| **Lado Este** | 9 | LRV22-EST9-2 | 1 | 0 – 40 | 10YR 3/2 | arcilla limosa/arcilla |

| | | | | | | |
|---|---|---|---|---|---|---|
| **Lado Este** | 9 | LRV22-EST9-2 | 2 | 40 – 60 | 10YR 5/2 | arcilla |
| **Lado Este** | 9 | LRV22-EST9-2 | 3 | 60 – 80 | 10YR 6/2 | arcilla |
| **Lado Este** | 9 | LRV22-EST9-2 | 4 | 80 – 190 | 5/10Y (G1) | arcilla |
| **Lado Este** | 9 | LRV22-EST9-2 | 5 | 190 – 200 | 10YR 5/2 | arcillosa con finas bandas de arena muy fina bien seleccionada |
| **Lado Este** | 9 | LRV22-EST9-2 | 6 | 200 – 225+ | | arena con grava |
| **Lado Este** | 9 | LRV22-EST9-3 | 1 | 0 – 110 | | arena fina a mediana |
| **Lado Este** | 9 | LRV22-EST9-3 | 2 | 110 – 170+ | | arena gruesa y grava |
| **Lado Este** | 9 | LRV22-EST9-4 | 1 | 0 – 20 | 10YR 3/3 | limo |
| **Lado Este** | 9 | LRV22-EST9-4 | 2 | 20 – 85 | 5YR 4/4 | limo |
| **Lado Este** | 9 | LRV22-EST9-4 | 3 | 85 – 150 | 10YR 5/8 | Arena mediana a gruesa, bien seleccionada |
| **Lado Este** | 9 | LRV22-EST9-4 | 4 | 150 – 200 | 10YR 5/4 | Arena mediana a gruesa, bien seleccionada |
| **Lado Este** | 9 | LRV22-EST9-4 | 5 | 200 – 220+ | 10YR 5/3 | |
| **Lado Este** | 9 | LRV22-EST9-5 | 1 | 0 – 20 | 10YR 3/1 | Arcilla |
| **Lado Este** | 9 | LRV22-EST9-5 | 2 | 20 – 75 | 10YR 3/2 | arcilla limosa |
| **Lado Este** | 9 | LRV22-EST9-5 | 3 | 75 – 100 | 10YR 4/2 | Limo |
| **Lado Este** | 9 | LRV22-EST9-5 | 4 | 100 – 135+ | 10YR 5/2 | Limo |
| **Lado Oeste** | 13 | LRV22-09 | 1 | 0 – 30 | 10YR 4/3 | Franco arcillo-limoso |
| **Lado Oeste** | 13 | LRV22-09 | 2 | 30 – 80 | 10YR 4/4 | arcilla limosa |
| **Lado Oeste** | 13 | LRV22-09 | 3 | 80 – 90 | 10YR 4/6 | arcilla limosa |
| **Lado Oeste** | 13 | LRV22-09 | 4 | 90 – 125 | 10YR 4/2 | arcilla/arcilla limosa |
| **Lado Oeste** | 13 | LRV22-09 | 5 | 125 – 310 | 10YR 5/2 | arcilla |
| **Lado Oeste** | 13 | LRV22-09 | 6 | 310 – 320+ | 10YR 4/3 | arena |
| **Lado Oeste** | 13 | LRV22-10 | 1 | 0 – 25 | 10YR 4/4 | franco arcillo-limoso |
| **Lado Oeste** | 13 | LRV22-10 | 2 | 25 – 58 | 10YR 3/4 | franco limoso |
| **Lado Oeste** | 13 | LRV22-10 | 3 | 58 – 140 | 10YR 5/3 | arcilla limosa |

| | | | | | | |
|---|---|---|---|---|---|---|
| **Lado Oeste** | 13 | LRV22-10 | 4 | 140 – 205 | 10YR 4/4 | arcilla |
| **Lado Oeste** | 13 | LRV22-10 | 5 | 205 –335 | 10YR 5/4 | arcilla |
| **Lado Oeste** | 13 | LRV22-10 | 6 | 335 –348+ | muddy | arena |
| **Lado Oeste** | 13 | LRV22-11 | 1 | 0 – 35 | 10YR 4/2 | franco arcillo-limoso/arcilla limosa |
| **Lado Oeste** | 13 | LRV22-11 | 2 | 35 – 95 | 10YR 4/3 | arcilla limosa |
| **Lado Oeste** | 13 | LRV22-11 | 3 | 95 --120 | 10YR 5/3 | arcilla limosa/arcilla |
| **Lado Oeste** | 13 | LRV22-11 | 4 | 120 – 280 | 10YR 4/3 | arcilla |
| **Lado Oeste** | 13 | LRV22-11 | 5 | 280 – 310 | 10YR 4/2 | Franco limoso fino |
| **Lado Oeste** | 13 | LRV22-11 | 6 | 310 – 360 | 10YR 4/2 | arcilla |
| **Lado Oeste** | 13 | LRV22-11 | 7 | 360 – 374+ | 10YR 4/2 | arena |
| **Lado Oeste** | 13 | LRV22-12 | 1 | 0 –10 | 10YR 4/2 | arcilla |
| **Lado Oeste** | 13 | LRV22-12 | 2 | 10 – 95 | 10YR 4/3 | arcilla |
| **Lado Oeste** | 13 | LRV22-12 | 3 | 95 – 150 | 10YR 4/4 | arcilla |
| **Lado Oeste** | 13 | LRV22-12 | 4 | 150 – 225 | 10YR 4/2 | arcilla |
| **Lado Oeste** | 13 | LRV22-12 | 5 | 225 – 275 | 10YR 5/3 | arcilla |
| **Lado Oeste** | 13 | LRV22-12 | 6 | 275 – 290 | 10YR 4/2 | Arcilla y arena fina |
| **Lado Oeste** | 13 | LRV22-12 | 7 | 290 – 430 | 10YR 2/1 | arcilla y arena fina |
| **Lado Oeste** | 13 | LRV22-12 | 8 | 430 – 460+ | 10YR 2/1 | arena |
| **Lado Oeste** | 13 | LRV22-13 | 1 | 0 – 30 | 10YR 4/3 | arcilla limosa |
| **Lado Oeste** | 13 | LRV22-13 | 2 | 30 – 125 | 10YR 3/3 | arcilla |
| **Lado Oeste** | 13 | LRV22-13 | 3 | 125 – 145 | 10YR 3/4 | arcilla |
| **Lado Oeste** | 13 | LRV22-13 | 4 | 145 – 300 | 10YR 4/4 | arcilla |
| **Lado Oeste** | 13 | LRV22-13 | 5 | 300 – 322+ | 10YR 5/4 | arena |
| **Lado Oeste** | 13 | LRV22-14 | 1 | 0 – 40 | 10YR 3/3 | arcilla/arcilla limosa |
| **Lado Oeste** | 13 | LRV22-14 | 2 | 40 – 140 | 10YR 3/4 | arcilla |

| | | | | | | |
|---|---|---|---|---|---|---|
| **Lado Oeste** | 13 | LRV22-14 | 3 | 140 – 195 | 2.5Y 3/3 | arcilla |
| **Lado Oeste** | 13 | LRV22-14 | 4 | 195 – 340 | 10YR 3/4 | arcilla y arena fina |
| **Lado Oeste** | 13 | LRV22-14 | 5 | 340 – 500+ | 10YR 2/2 | arcilla y arena fina |
| **Lado Oeste** | 13 | LRV22-15 | 1 | 0 – 25 | 10YR 3/3 | arcilla limosa |
| **Lado Oeste** | 13 | LRV22-15 | 2 | 25 – 65 | 10YR 4/4 | arcilla limosa |
| **Lado Oeste** | 13 | LRV22-15 | 3 | 65 – 140 | 10YR 4/4 | arcilla |
| **Lado Oeste** | 13 | LRV22-15 | 4 | 140 – 265 | 10YR 3/4 | arcilla |
| **Lado Oeste** | 13 | LRV22-15 | 5 | 265 – 320 | 10YR 3/2 | arcilla |
| **Lado Oeste** | 13 | LRV22-15 | 6 | 320 – 340 | 10YR 3/2 | franco limoso |
| **Lado Oeste** | 13 | LRV22-15 | 7 | 340 - 360+ | 10YR 3/2 | franco limoso |
| **Lado Oeste** | 14 | LRV22-20 | 1 | 0 – 35 | 10YR 3/4 | arcilla limosa |
| **Lado Oeste** | 14 | LRV22-20 | 2 | 35 – 85 | 10YR 4/4 | arcilla |
| **Lado Oeste** | 14 | LRV22-20 | 3 | 85 – 110 | 10YR 5/4 | arcilla |
| **Lado Oeste** | 14 | LRV22-20 | 4 | 110 – 170 | 10YR 4/3 | arcilla |
| **Lado Oeste** | 14 | LRV22-20 | 5 | 170 – 217 | 10YR 5.5/3 | arena |
| **Lado Oeste** | 14 | LRV22-21 | 1 | 0 – 25 | 10YR 3/3 | arcilla limosa |
| **Lado Oeste** | 14 | LRV22-21 | 2 | 25 – 55 | 10YR 3/4 | arcilla |
| **Lado Oeste** | 14 | LRV22-21 | 3 | 55 –110 | 2.5Y 3/3 | arcilla |
| **Lado Oeste** | 14 | LRV22-21 | 4 | 110 – 175 | 2.5Y 4/3 | arcilla |
| **Lado Oeste** | 14 | LRV22-21 | 5 | 175 – 212 | 10YR 4/4 | franco/franco limoso |
| **Lado Oeste** | 14 | LRV22-22 | 1 | 0 – 80 | 10YR 3/3 | arcilla limosa |
| **Lado Oeste** | 14 | LRV22-22 | 2 | 80 – 130 a | 10YR 2/2 | arcilla arenosa |
| **Lado Oeste** | 14 | LRV22-22 | 3 | 80 – 130 b | 7.5YR 4/4 | arcilla limosa |
| **Lado Oeste** | 14 | LRV22-22 | 4 | 80 – 130 c | 10YR 4/3 | arcilla limosa |
| **Lado Oeste** | 14 | LRV22-22 | 5 | 130 – 165 | 7.5YR 4/3 | arcilla limosa |

| | | | | | | |
|---|---|---|---|---|---|---|
| **Lado Oeste** | 14 | LRV22-22 | 6 | 165 – 195 | 7.5YR 3/3 | arcilla |
| **Lado Oeste** | 14 | LRV22-22 | 7 | 195 – 210 | 10YR 3/2 | arcilla |
| **Lado Oeste** | 14 | LRV22-22 | 8 | 210+ | 10YR 4/2 | arena |
| **Lado Oeste** | 15 | LRV22-24 | 1 | 0 – 75 | 10YR 3/4 | arcilla limosa |
| **Lado Oeste** | 15 | LRV22-24 | 2 | 75 – 120 | 10YR 4/3` | arcilla |
| **Lado Oeste** | 15 | LRV22-24 | 3 | 120 – 135 | 10YR 3.5/2 | arcilla |
| **Lado Oeste** | 15 | LRV22-24 | 4 | 135 – 195 | 10YR 4/2 | arcilla arenosa |
| **Lado Oeste** | 15 | LRV22-24 | 5 | 195 – 260 | 10YR 4/4 | arcilla arenosa/franco arenoso arcilloso |
| **Lado Oeste** | 15 | LRV22-24 | 6 | 260 – 310 | 10YR 3/3 | arcilla arenosa/franco arenoso arcilloso |
| **Lado Oeste** | 15 | LRV22-24 | 7 | 310 – 352 | 10YR 3/3 | Arcillo-arenoso |
| **Lado Oeste** | 15 | LRV22-24 | 8 | 352 – 363 | 10YR 2.5/1 | arcilla |
| **Lado Oeste** | 15 | LRV22-24 | 9 | 363 – 405 | 10YR 4/4 | arcilla |
| **Lado Oeste** | 15 | LRV22-24 | 10 | 405 – 450 | 10YR 5/4 | arcilla/arcilla limosa |
| **Lado Oeste** | 15 | LRV22-24 | 11 | 450 – 465 | 2.5Y 4/4 | franco limoso/limo |
| **Lado Oeste** | 15 | LRV22-24B | 1 | 130 | | |
| **Lado Oeste** | 15 | LRV22-25 | 1 | 0 – 35 | 7.5YR 4/3 | arcilla |
| **Lado Oeste** | 15 | LRV22-25 | 2 | 35 – 135 | 10YR 4/4 | arcilla |
| **Lado Oeste** | 15 | LRV22-25 | 3 | 135 – 170 | 10YR 3/3 to 3/2 | |
| **Lado Oeste** | 15 | LRV22-25 | 4 | 170 – 190 | 2.5Y 4/3 | arcilla |
| **Lado Oeste** | 15 | LRV22-25 | 5 | 190 – 240 | 2.5Y 4/3 | franco arcillo-limoso a arena |
| **Lado Oeste** | 15 | LRV22-25 | 6 | 240 – 248+ | 10YR 4/4 | arena |
| **Lado Oeste** | 15 | LRV22-26 | 1 | 0-105 | | arcilla |
| **Lado Oeste** | 15 | LRV22-26 | 2 | 105-130 | | franco areno-arcilloso |
| **Lado Oeste** | 15 | LRV22-26 | 3 | 130-225+ | | arena |
| **Lado Oeste** | 15 | LRV22-27 | 4 | 0-115 | | arcilla |

| | | | | | | |
|---|---|---|---|---|---|---|
| **Lado Oeste** | 15 | LRV22-27 | 5 | 115-155 | | franco areno-arcilloso |
| **Lado Oeste** | 15 | LRV22-27 | 6 | 155-230+ | | arena |
| **Lado Oeste** | 15 | LRV22-28 | 1 | 0 – 25 | 10YR 3/2 | arcilla limosa |
| **Lado Oeste** | 15 | LRV22-28 | 2 | 25 – 80 | 10YR 3/3 | arcilla |
| **Lado Oeste** | 15 | LRV22-28 | 3 | 80 – 130 | 10YR 4/4 | arcilla |
| **Lado Oeste** | 15 | LRV22-28 | 4 | 130 – 160 | 10YR 2/2 TO 3/2 | arcilla |
| **Lado Oeste** | 15 | LRV22-28 | 5 | 160 – 175 | 10YR 4/3 | arcilla fina limosa |
| **Lado Oeste** | 15 | LRV22-28 | 6 | 175 – 230 | 10YR 4/6 | franco limoso |
| **Lado Oeste** | 15 | LRV22-28 | 7 | 230 – 270 | 10YR 4/6 | franco limoso |
| **Lado Oeste** | 15 | LRV22-28 | 8 | 270 – 310 | 7.5YR 3/3 | arena arcillosa |
| **Lado Oeste** | 15 | LRV22-28 | 9 | 310 – 350 | 10YR 3/3 | franco limoso |
| **Lado Oeste** | 15 | LRV22-28 | 10 | 350 – 370 | 10YR 4/3 | arcilla |
| **Lado Oeste** | 15 | LRV22-28 | 11 | 370 – 420 | 2.5Y 4/2 | arcilla |
| **Lado Oeste** | 15 | LRV22-28 | 12 | 420 – 460+ | 10YR 3/4 | arena |
| **Lado Oeste** | 16 | LRV22-17 | 1 | 0 – 25 | 7.5YR 4/3 | arcilla/arcilla limosa |
| **Lado Oeste** | 16 | LRV22-17 | 2 | 25 – 125 | 7.5YR 4/4 | arcilla |
| **Lado Oeste** | 16 | LRV22-17 | 3 | 125 – 175 | 10YR 4/3 | arcilla |
| **Lado Oeste** | 16 | LRV22-17 | 4 | 175 – 200 | 10YR 3/2 | arcilla |
| **Lado Oeste** | 16 | LRV22-17 | 5 | 200 – 290+ | 10YR 3/2 | limo/franco limoso |
| **Lado Oeste** | 16 | LRV22-18 | 1 | 0 – 35 | 10YR 3/3 | arcilla |
| **Lado Oeste** | 16 | LRV22-18 | 2 | 35 –100 | 10YR 4/4 | arcilla |
| **Lado Oeste** | 16 | LRV22-18 | 3 | 100 – 120 | 10YR 3/2 | arcilla |
| **Lado Oeste** | 16 | LRV22-18 | 4 | 120 – 270 | 10YR 5/3 | arcilla |
| **Lado Oeste** | 16 | LRV22-18 | 5 | 270 – 310 | 10YR 4/3 | arena |
| **Lado Oeste** | 16 | LRV22-19 | 1 | 0-270 | 10YR 3/2 | arcilla |

| | | | | | | |
|---|---|---|---|---|---|---|
| **Lado Oeste** | 16 | LRV22-19 | 2 | 270-310 | 10YR 3/2 | limo/franco limoso |

El análisis de textura se realizó a un nivel básico durante la recolección en el campo. Esto fue suficiente para distinguir qué tipos de sedimentos (arenas de canal, limos y arcillas de desborde o arcillas lacustres) se encontraron. Las descripciones estratigráficas de los núcleos de barreno se proporcionan a continuación. Se recolectaron muestras para análisis químicos y datación que se realizarán en estudios futuros. Los horizontes de suelo de interés se analizarán utilizando un Espectrómetro de Fluorescencia de Rayos X (XRF). La datación por Carbono 14 será realizada en el Centro de Investigación Ambiental de las Universidades Escocesas (SUERC) por Espectrometría de Masas con Aceleradores (AMS). Los resultados de estas pruebas aún están pendientes. La datación relativa de las arenas de canal y los depósitos lacustres no es definitiva y se basa en sus posiciones en el perfil estratigráfico. La datación absoluta corroborará los descubrimientos al completar la datación de AMS.

Se utilizaron diferentes estrategias de muestreo con el fin de estudiar los lados este y oeste del río. En el lado oeste colocamos transectos a lo largo de paleocanales previamente identificados, como C.20 y C.21. Estos transectos nos permitieron conocer la migración de estos paleocanales y la datación relativa de los depósitos de arena del cauce. El enfoque de muestreo para el lado este incorporó el uso de imágenes detallados de Google Earth para localizar posibles paleocanales y su posterior prospección para identificar los cauces. En general, esta área tiene una topografía mucho más plana. Como tales, estos cauces tienen características más dominantes en la superficie del suelo y es más evidentes donde se han convertido en zanjas de drenaje o canales de riego. Los 15 cauces relictos potencialmente nuevos que fueron identificados en el lado este son C.25 a C.39 (Figura 4.1). Los transectos se colocaron perpendiculares, pero ocasionalmente paralelos a estos paleocanales sospechosos.

Para ambos lados del área de estudio, los intervalos de muestreo fueron elegidos dependiendo de la topografía local y ajustados si fuese necesario en el campo. Si se observaron cambios drásticos en la estratigrafía con respecto a la presencia o la profundidad de las arenas del cauce, el intervalo de prueba se redujo secuencialmente en un 50 % para identificar el cambio estratigráfico a una escala más fina. La reducción a la mitad de la distancia de la muestra se puede realizar varias veces para acercarse a distancias más finas. Los barrenos se reubicaron para evitar perturbaciones modernas, como zanjas de drenaje o pozos de extracción para obtener tierra.

## 4.4 Resultados de muestreo en el lado oeste del Río Verde

Se realizaron un total de 27 muestreos por barreno en aproximadamente 4 km² del lado oeste de Río Verde, al noroeste del pueblo de Río Viejo (Figura 4.2). Los perfiles de sedimentos típicos consistían en paquetes intercalados de arcilla limosa a marga limosa que se superponen a un depósito de arcilla de energía baja seguido de arenas de canal bien clasificadas. Este perfil indicó una considerable migración de cauce del Río Verde y la presencia de ambientes lacustres más estancados. Tal migración de cauce también es visible en fotografías aéreas modernas de la década de 1980 hasta el presente. La profundidad del nivel freático moderno fluctuó en toda el área de estudio. Las características reductomórficas y los rizolitos eran comunes en y por debajo del nivel freático. Cuatro transectos en esta área se discutirán en detalle a continuación.

Antes del muestreo por barreno que se describe a continuación, comenzamos una investigación en la parte norte del área. Dos barrenos denominados como LRV22-5 y LRV22-6 no mostraron nada más que estratos de arcilla y arcilla limosa que eran representativos de depósitos de acreción vertical asociados con la planicie aluvial de un arroyo meandrico que probablemente data de un período anterior al de interés de este estudio. Al observar características parecidas a bancos de arena y muchas

rocas grandes en la superficie, nos movimos hacia el norte hasta que estuvimos a un kilómetro al este del pueblo de La Boquilla. Había muchas rocas y cantos rodados grandes que median hasta 75 cm de largo, en la superficie, la mayoría con caras limpias y no redondeadas, de roca fresca no meteorizada. La roca se usó para proteger la superficie de los diques de control de inundaciones. Las pláticas con los ganaderos locales revelaron que en algún momento entre 2009 y 2012, el Río Verde rompió el dique de control de inundaciones y lanzó un torrente a través de la planicie aluvial. Debido a toda la perturbación en el área, no se colocaron transectos continuos en este lugar.

### 4.4.1 LRV22-Transecto 13

El transecto 13 (muestras LRV22-09, LRV22-10, LRV-11, LRV22-12, LRV22-13, LRV22-14 y LRV22-15) se realizó aproximadamente a 0.7 km al oeste del cauce actual del Río Verde, cerca de la acrópolis del Montículo 1 en Río Viejo (Figura 4.3). Este transecto constaba de dos líneas aproximadamente paralelas de barrenas colocadas para comprender mejor la morfología de C.20 cerca de la acrópolis. El transecto también se ubicó aquí para investigar la influencia de C.21 en la morfología de C.20. LRV22-09, LRV22-10 y LRV22-13 se colocaron en la posición de pendiente de deslizamiento del meandro C.20, con el resto del transecto moviéndose hacia la mitad del cauce. Los barreños LRV22-09, LRV-10 y LRV22-13 contenían una secuencia descendente de texturas franco arcilloso a limoso/arcillo a limoso a arcillas hasta que se alcanzaron los depósitos de arena del cauce a 310, 335 y 300 cm por debajo de la superficie (“below ground surface” in inglés y abreviado a “bgs”), respectivamente. En contraste, el barreno LRV22-14 no contenía una deposición sustancial de arena, aunque el barreno llegó a 500 cm. LRV22-15 se colocó a medio camino entre LRV22-13 y 14 para delinear la transición de deposición de energía alta a baja. LRV22-15 contenía un depósito franco arenoso de mayor energía a una profundidad similar a las arenas del canal que se encuentran en LRV22-13 (340 cm por debajo de la superficie). Los tamaños de partícula de la arcilla que se muestra en los núcleos de los barrenos no son tan oscuras ni compactas

como las verdaderas arcillas lacustres depositadas en los lagos de meandro. Otro dato que vale la pena mencionar es que C.20 actualmente está recolectando sedimentos durante la temporada de lluvias. Su carácter más joven se demuestra por el hecho de que truncó en C.21.

### 4.4.2 LRV22-Transecto 16

El Transecto 16 (muestras LRV22-17, LRV22-18 y LRV22-19) se orienta de noroeste a sureste y estaba a 0.8 km al noroeste del poblado actual de Río Viejo, cerca del Montículo 1 de la acrópolis y aproximadamente a 50 m al oeste del Transecto 13 (Figura 4.3). LRV22-19 fue el barreno más al norte en este transecto. Los tres barrenos contenían depósitos de arcilla que comenzaban en la superficie del suelo hasta una profundidad de alrededor de 200-300 cm. Los depósitos gruesos de arcilla en la parte superior de estos perfiles indicaban un ambiente de energía baja. En LRV22-18, los depósitos de arcilla estaban debajo de arenas encontradas entre 270 cm a 310 cm de profundidad, donde se terminó el núcleo. Estos depósitos gruesos y poco profundos sugirieron un ecosistema pantanoso moderno que se formó luego del abandono del sistema de cauce entrelazado relicto encontrado en las muestras de barreno del Transecto 13 y en LRV22-18. Desafortunadamente, no se pudieron recolectar muestras de radiocarbono para estos depósitos de arcilla, aunque podría ser más recientes que los períodos de tiempo relevantes para nuestras preguntas de investigación.

### 4.4.3 LRV22-Transecto 14

El Transecto 14 (muestras LRV22-20, LRV22-21, LRV22-22 y LRV22-23) se orienta de noroeste a sureste (Figura 4.4). Fue excavado a unos 1.4 km al noroeste del actual pueblo de Río Viejo y perpendicular al C.20. LRV22-20 fue el barreno más al norte de este transecto y estaba ubicada en la orilla norte de C.20 con el barreno final de este transecto, LRV22-23, ubicado en el punto más bajo del

canal. LRV22-22 se reubicó para evitar un área perturbada con caminos de tierra actual y pozos para sacar tierra.

Las superficies de terreno en las cercanías del Transecto 14 estaban muy perturbadas con muchos caminos agrícolas, excavaciones profundas por debajo del nivel freático y muchas arenas gruesas y gravas que cubrían más de una hectárea, por lo cual asumimos que provenían de excavaciones al crear varios estanques ubicados aproximadamente 60 m al este del transecto. Estas excavaciones se extendieron hasta la carga de fondo del río, de textura gruesa del cauce principal de C.20. También en esta área había una loma aislada con un árbol elevado sobre la superficie del terreno (Figura 4.5). La cual tenía entre 3 y 4 m de altura, y 15 m de diámetro. La tierra circundante, incluida gran parte del transecto, había sido desechada o arrastrada para eliminar los sedimentos. El barreno sobre la loma (LRV22-22) reveló una secuencia estratigráfica diferente a la de las áreas adyacentes. Lejos del árbol, los estratos superiores eran los que habían estado enterrados anteriormente, pero ahora están expuestos debido a la excavación de la superficie.

Depósitos de arcilla poco profundos fueron encontrados en LRV22-21 y LRV22-23 a 25 y 30 cm de profundidad, respectivamente. Al igual que los encontrados en el transecto arriba mencionados, estos depósitos de arcilla se encuentran a poca profundidad por debajo de la superficie, pero tenían más de un metro de grosor, lo cual indica un ambiente pantanoso. Dada la perturbación reciente en el área, esta acumulación de arcillas ricas en materia orgánica es probablemente reciente. Aunque los depósitos de arcilla fueron más profundos en LRV22-22 (165 cm), se observó una secuencia de quema en tres estratos distintos de 80-130 cm (registrados como IIa, IIb y IIc). El estrato IIa mostró evidencia de pastos quemados, sustentado por IIb que tenía un color más rojo (7.5YR 4/4 marrón), que indica una mayor oxidación. A esto subyacía IIc, una arcilla limosa con una coloración más típica y no oxidada (10YR 4/3 marrón). Es posible que este barreno conserve la evidencia de una milpa, ya que en esta área se llevó a

cabo un evento de quema repetido, una vez en ausencia de cobertura de pasto (que se muestra en IIb) y luego nuevamente con pasto presente (IIa).

### 4.4.4 LRV22-Transecto 15

El Transecto 15 (muestras LRV22-24, LRV22-24B, LRV22-25, LRV22-26, LRV22-27 y LRV22-28) contenía evidencia notable de estabilidad del paisaje (Figura 4.4). Este transecto está ubicado a lo largo del paleocanal C.20, 3.1 km arriba desde la conjunción de C.20 y C.21. Dada la distancia de este transecto desde C.21, este transecto debería proporcionar datos sobre C.20 sin las complicaciones creadas por C.21. Las formaciones de terreno en este lugar son tenues. Hay restos del paleocanal C. 20 desde el cual se eleva un talud y una terraza muy bajos que se conectan con una pequeña loma. La diferencia de elevación no es mayor a 4 m desde el punto más bajo del canal hasta la superficie de la terraza (Figura 4.6). El muestreo comenzó cerca del borde del paleocanal. No pudimos muestrear más abajo porque el propietario de terreno recientemente había inundado el área para su irrigación. La longitud total del transecto fue solamente de 36 m con la mayor variación en elevación en el extremo inferior.

El transecto comenzó en el borde del canal con LRV22-24. Se encontró una secuencia de dos horizontes A enterrados en depósitos de desborde a 135 a 195 cm y 352 a 363 cm (vea estratos 4 y 8 en la Figura 4.7). Estos estratos fueron identificados como paleosuelos ya que exhibían características típicas de suelos enterrados, tales como un contenido orgánico notable y una estructura débil en bloques. Se recolectaron muestras de radiocarbono de ambos horizontes. Esto permite tener una fecha por radiocarbono y el cálculo de la tasa de acumulación de sedimentos entre los dos estratos.

El barreno LRV22-28 fue colocado a solo 4 m al oeste de LRV22-24. LRV22-28 reveló un perfil similar al barreno LRV22-24. La parte superior de ambos perfiles representan un ambiente de depósito

similar al ambiente moderno (es decir, depósitos de acreción vertical), aunque indican un relieve mayor que el actual. Había períodos más largos de estabilidad del paisaje y se desarrollaron horizontes de suelos ricos en materia orgánica. En LRV22-28 el horizonte A superior es evidente en el color oscuro (10YR 2/2) del estrato 4 y el horizonte A inferior es mostrado por la arcilla pesada del estrato 10 (Figura 4.7). Las profundidades a las que se encontraron las dos capas de horizontes A enterrados son similares a los de LRV22-24 y 28. Es importante destacar que los depósitos de arena del cauce fueron encontrados a 420 cm en LRV22-28 y continuaron hasta al menos 460 cm de profundidad. En un entorno de tierras altas, un horizonte A rico en materia orgánica generalmente indica un período de estabilidad del paisaje con tasas relativamente bajas de erosión o deposición.

Más al oeste de C.20, los núcleos de barreno LRV22-25, LRV22-26 y LRV22-27 contenían secuencias comparables de texturas de arcilla en los perfiles superiores y texturas de arena en los perfiles inferiores. Mientras que los estratos superiores están compuestos por depósitos de desbordamiento de acreción vertical, los estratos más profundos están dominados por depósitos de acreción horizontal, es decir depósitos de canal de arena. Sospechamos que estos estratos fueron depositados antes de C.20 por un arroyo más cercano a la ubicación de estos núcleos de barreno. Luego, más recientemente, el área inmediatamente al este del Transecto 15 fue erosionada por el paleocanal activo C.20 formando un débil talud bajo, que rellenó el área. Por lo tanto, la evidencia que vemos en las imágenes aéreas modernas del paleocanal está cerca de la ubicación del cauce cuando estaba activo. El más alto de los dos paleosuelos en LRV22-24 y LRV22-28 probablemente se ubicó en la terraza del río con el paleosuelo formándose después del abandono de C.20. La superficie ligeramente elevada de la terraza habría proporcionado suficiente estabilidad para la formación del suelo. Por lo tanto, esperamos que las fechas de radiocarbono de este paleosuelo reflejen el periodo de interés para el proyecto.

## 4.5 Muestreo del Lado Este del Rio Verde

Antes de realizar muestreo de barrenos en el lado este del río, se realizó un recorrido a fin de identificar paleocanales. A diferencia del lado oeste del río, los canales relictos aún no habían sido mapeados antes del trabajo de campo de esta temporada. Mapeamos y numeramos los paleocanales utilizando los datos recopilados durante el recorrido y una revisión cuidadosa de Google Earth (Figura 4.1). Con esos datos, establecimos puntos de muestra individuales (etiquetados como ESC, East Side Core en inglés) y transectos (etiquetados como EST, *East Side Transect* en inglés). 57 núcleos de barreno fueron extraídos en aproximadamente 32 km² del lado este del Río Verde (Figura 4.8). La estrategia de muestreo priorizó paleocanales observables y accesibles, y evitó los canales excavados recientemente en la planicie aluvial. En el lado este del Río Verde fue difícil la recolección de muestras cerca de los paleocanales debido a la intensificación agrícola. El riego a escala local ha existido durante algún tiempo, pero la construcción de la represa a mediados de la década de 1990 resultó en el desarrollo a gran escala de una red de riego.

El terreno al este del Río Verde tenía algunas características que no se pueden observar en el lado oeste. Por ejemplo, en la esquina sureste cerca del pueblo de El Tlacuache había grandes (de gran amplitud) meandros serpenteados. También hubo una tendencia de un terreno mucho más plano hacia el este, especialmente al norte del límite del Parque Nacional Chacahua. Los paleocanales a menudo eran ligeramente más bajos y retenían agua debido al desvío de agua del sistema de riego. Se han dragado y enderezado algunos canales paralelos a la red de carreteras. El dragado se realizó en muchos otros lugares y los restos de dragado se arrojaron cerca. También, se ampliaron algunos canales para eliminar el exceso de agua de riego y/o la escorrentía superficial durante eventos climáticos con precipitación extrema. El mejor ejemplo de esto es el canal que forma el límite norte del Parque Nacional Chacahua. Algunos canales parecen suficientemente grandes y han sido diseñados para

eliminar el agua y la basura de los pueblos pequeños. El canal que conduce al sur desde el pueblo de Benito Juárez es un buen ejemplo.

### 4.5.1 Transecto EST-2

El Transecto 2 fue un transecto de este a oeste ubicado aproximadamente a 2.5 km al este del Río Verde y 2.8 km al suroeste del pueblo de Benito Juárez. Este transecto constaba de un grupo de núcleos de barreno diseñados para muestrear el paleocanal C.27 (LRV22-EST10A, LRV22-EST10B, LRV22-EST10C y LRV22-EST10D), y un transecto de núcleos que se extendía hacia el este desde C. 27 a C.29 (LRV22-EST2-1 a LRV22-EST2-6 -Figura 4.9). LRV22-EST2-1 fue colocado aproximadamente 25 m al oeste de C. 27. Este barreno contenía un depósito franco arcillo-limoso desde la superficie del suelo hasta 160 cm y estaba sustentado por un depósito arcillo-limoso de 160-270 cm de profundidad. Se encontraron arenas de canal bien seleccionadas a 270 cm y continuaron durante 10 cm, momento en el cual se terminó el barreno. Este perfil es sustancialmente diferente que el barreno cercano LRV22-EST10A, el cual también está ubicado en el lado occidental de la expresión superficial de C.27, a unos 17 m al noreste del barreno 2-1. El barreno 10A mantuvo continuamente depósitos de arcilla rica en materia orgánica a una profundidad de 365 cm. LRV22-EST10B fue colocado a 37 m al oeste de LRV22-EST10A y contenía arcilla densa a una profundidad similar, pero con menos materia orgánica (360 cm). Las muestras de barrenos LRV22-EST10C y LRV22-EST10D fueron ubicados entre A y B para determinar los cambios geomórficos a una escala más fina. De igual manera, se encontró arcilla suprayacente en LRV22-EST10C. En contrario, LRV22-EST10D tenía un depósito arcillo-limoso desde el nivel de la superficie hasta una profundidad de 195 cm, sobre un depósito de arcilla de más de 100 cm de grosor (de 195 a 330 cm de profundidad). Esto fue nuevamente sustentado por una secuencia similar de arcilla limosa sobre arcilla. Este perfil diferente, que se encuentra dentro de 10 m de los barrenos cercanos en el transecto, indica un período potencial de deposición de planicie aluvial dentro de un área

relativamente pequeña durante períodos caracterizados por un ambiente lacustre de energía baja. Esta interpretación probablemente indicaría que esta área fue un lago en herradura dentro de un río meándrico.

El resto de los barrenos del Transecto 2 se encuentran hacia el este de 2-1, paralelos a la carretera moderna y se desplazaron hacia el sur unos 15-20 m. EST2-2 estaba ubicado a unos 50 m al este de C.27. 260 m al este de 2-2 era 2-3, y 115 m más al este era 2-4. 2-5 estaba 215 m al este de 2-4 y unos 115 m al oeste de C.29. El barreno 2-6 estaba a unos 100 m al este de C.29. Los barrenos 2-2 a 2-5 contenían perfiles generalmente similares de arcilla limosa a franco arcillo-limosa sobre arenas finas, medias y gruesas bien seleccionadas. Los depósitos de arena bien seleccionados se encontraron a diferentes profundidades a lo largo del transecto, y el depósito más superficial se encontró a 140 cm de profundidad en el barreno 2-4. El barreno 2-6 es diferente que el resto del transecto; este barreno más al este (2-6) contenía el depósito de arena de cauce más profundo a 380 cm de profundidad. El barreno 2-6 también tenía un depósito de arcilla notable sobre la arena del cauce entre 250-380 cm. Este depósito de arcilla contenía características hidromórficas indicativas de un ambiente de energía baja inundado estacionalmente, como se encuentra en la posición de pantano trasero de un cauce meándrico. Estas observaciones de la parte este del Transecto 2, especialmente la secuencia de los barrenos 2-4 a 2-6, sugieren que C.29 también era un cauce meándrico.

### 4.5.2 Transecto EST-4

El Transecto 4 se orienta de este a oeste, 700 m al este del pequeño pueblo de Benito Juárez (Figura 4.10) y aproximadamente 75 m al norte del extremo norte de la sección visible en la superficie del paleocanal C.29. Este transecto tuvo resultados interesantes debido a las diferencias significativas de textura en ambos extremos del transecto (que consta de LRV22-EST4-1,-2,-3,-4,-5, -6, -7 y EST4-8). Comenzando con el extremo occidental del transecto, LRV22-EST4-1, LRV22-EST4-2, LRV22-EST4-3 y

LRV22-EST4-4 consistieron en arcillas limosas sobre arena muy fina y bien seleccionada. En LRV22-EST4-4, las arenas muy finas estaban sustentadas por arenas más gruesas. El barreno LRV22-EST4-5 tenía arena muy gruesa y grava a 290 cm de profundidad. No había arena bien seleccionada entre el estrato de arcilla limosa y las arenas muy gruesas. En LRV22-EST4-6 la estratigrafía fue similar, pero la arena gruesa y grava (2–4 cm) se alcanzó solamente hasta 185 cm de profundidad. También había una capa de 40 cm de espesor de arenas finas a medianas bien seleccionadas sobre ellas (Figura 4.11).

Debido a los estratos de textura gruesa, decidimos realizar dos núcleos de barreno adicionales aproximadamente 40 m al norte de LRV22-EST4-5. Eran LRV22-EST4-7 y LRV22-EST4-8. Se encontró arena muy gruesa y grava a 310 cm y 210 cm de profundidad, respectivamente. La grava varía en tamaño de 2 a 7 cm. Este tamaño sería transportado como carga de fondo del río (rodando o saltando) por una corriente de movimiento relativamente rápido. El transporte de partículas de este tamaño junto con otras características sedimentarias es consistente con una corriente entrelazada. Sospechamos que las condiciones de los arroyos entrelazados en el Transecto 4 son posteriores a C.27 y C.29, que eran arroyos meándricos como lo indican los datos de los Transectos 1 y 2.

### 4.5.3 Transecto EST-5

El transecto 5 se excavó de noroeste a sureste, consta de LRV22-EST5-1, LRV22-EST5-2, LRV22-EST5-3, LRV22-EST5-4 y LRV22-EST5-5, se localiza 2.7 km al este de la ciudad de Benito Juárez (Figura 4.12). El barreno LRV22-EST6 estaba fuera de la línea del transecto unos 100 m hacia el oeste. El transecto EST-5 fue perpendicular a la curva del meandro de C.35. Se observó un cambio abrupto en el perfil del sedimento entre EST5-1, ubicado en el punto más bajo del cauce relicto, y EST5-2, que estaba ubicado en la posición más alta del banco norte. EST5-1 tenía arenas, pero no hasta una profundidad de 165 cm. Fueron establecidos los barrenos de LRV22-EST5-3 y LRV22-EST5-4 entre EST5-1 y EST5-2 para proporcionar una escala más fina de comprensión del cambio en los perfiles. Los depósitos intercalados

de arcilla y arcilla limosa en las porciones superficiales de los perfiles EST5-1, EST5-3 y EST5-4 mostraron un entorno de menor energía, mientras que EST5-2 estuvo dominado por una secuencia descendente de engrosamiento a arenas gruesas. Si bien los barrenos EST5-1 a EST5-4 no estaban separados más de 25 m entre sí, este cambio en la estratigrafía respalda una morfología de río entrelazado en esta área. El barreno EST-5 tenía arenas en la superficie con arenas más gruesas y grava a 125 cm de profundidad, estos depósitos continuaron hasta los 200 cm.

Este transecto fue el más septentrional de los transectos en el lado este del río. Como tal, era el más cercano a las tierras altas y contenía una fuente diferente de arena. Las diversas fuentes de arena se discutirán más en la sección de conclusiones. Parece que C.35 fue establecido por una gran cantidad de arena depositado desde en un período temprano.

### 4.5.4 Transecto EST-6

El Transecto 6 consistía en núcleos de barreno diseñados para examinar dos paleocanales, C.37 y C.38, identificados a partir de imágenes de Google Earth en el extremo noreste del área de estudio (Figura 4.13). Observación en campo reveló que las áreas alrededor de cada paleocanal tenían un bajo micro relieve (alrededor de un metro de relieve). El transecto 6A tomó muestras de C.37 y fue un transecto corto orientado de este a oeste que constaba de LRV22-EST6-1, LRV22-EST6-2 y LRV22-EST6-3. Fue ubicado a 2.7 km al NNE del pueblo de El Tlachuache y se encuentra paralelo a la C.37 (Figura 4.13). El patrón de drenaje que se muestra en las imágenes se debió por una cubierta vegetal de acacia verde en las áreas más bajas rodeadas por pastos secos de color café (Figura 4.14). El barreno mostró que el micro relieve no era una indicación de la topografía subyacente. Estos tres barrenos no mostraron arcillas homogéneas y, en cambio, contenían sedimentos y arcillas intercalados típicos de la acreción vertical y sustentados por arenas de cauce entre 200-220 cm de profundidad. Este transecto es típico de una morfología de río entrelazado.

La continuación del Transecto 6A, denominado como 6B, se orienta de suroeste a noreste (compuesto por LRV22-EST6-4, LRV22-EST6-5 y LRV22-EST6-6) y fue excavado 3.0 km al NNE del pueblo de El Tlacuache. El Transecto 6B se orienta casi perpendicular a C.38. Aunque espacialmente está cerca de los barrenos EST6-1 a EST6-3, estos perfiles eran muy diferentes. El único barreno que encontró arena de cauce fue el EST6-4, y el paquete de textura gruesa se encontró a 340 cm de profundidad. Los otros dos barrenos, que se encuentran más al este en el transecto, nunca llegaron a las arenas del fondo del cauce. En cambio, los barrenos EST6-5 y EST6-6 contenían arcilla negra gruesa y pesada entre 350-650 cm de profundidad y 380-800 cm de profundidad, respectivamente, donde se terminaron los barrenos. En EST6-5, el espesor de las arcillas lacustres era de al menos 300 cm antes de colapsar el pozo perforado. EST6-6 tenía arcillas lacustres densas desde 380 a >800 cm de profundidad. Esto fue al menos 420 cm de espesor de arcilla oscura rica materia orgánica. Al llegar a 8 m de profundidad nos quedamos sin extensiones de barreno y no pudimos continuar el muestreo. Estos depósitos lacustres profundos y espesos indicaron un ambiente persistente de energía baja durante un tiempo muy largo. Este paquete también contenía restos de plantas, los cuales respaldaban aún más que se trataba de agua estancada, potencialmente una laguna o un lago en forma de herradura, fuera del alcance de las inundaciones durante algún tiempo. Actualmente no hay forma de distinguir entre estas alternativas.

Los estratos más profundos del Transecto 6B indican la presencia de un lago en herradura resultado del abandono de un río meándrico o quizás la presencia de un estuario costero en este lugar en algún momento. La profundidad y el espesor de las arcillas lacustres concuerdan con los depósitos en el paleocanal C.1 en el lado oeste del río, que es un gran cauce meándrico del período Holoceno medio del Río Verde. Por el contrario, las probables lagunas relictas se pueden ver en las imágenes de Google Earth a solo 2.5 km al sur del Transecto 6B, lo cual respaldaría la posibilidad de un origen estuarino para la formación de las arcillas gruesas. La evidencia de los sedimentos en las lagunas costeras y de las excavaciones arqueológicas en los sitios de la bahía (Goman et al. 2005) indican una costa regresiva

durante al menos los últimos 2500 años. Este es también el marco de tiempo para el cambio a condiciones de río entrelazado en el valle inferior del Río Verde, lo cual sugiere que la presencia de un estuario o un río meándrico en este lugar probablemente data de hace 2500 años y posiblemente sea mucho más antiguo. Los depósitos de arena de canal superior en los transectos 6A y 6B son de condiciones de río entrelazado más recientes y pueden datarse de la época del colapso del período Clásico. Si estos depósitos eran del Río Verde o de un drenaje secundario como el Río San Francisco se determinará mediante el análisis mineralógico de las arenas (vea también a continuación).

### 4.5.5 Transecto EST-7

Este breve transecto se realizó debido a la identificación tentativa de una posible línea de dunas en las imágenes de Google Earth (Figura 4.15). La observación en campo muestra que el color claro que se ve en las imágenes es un campo estéril con un suelo erosionado que da la impresión de una duna en la imagen. Mientras inspeccionábamos el área de estudio, notamos una caída de unos metros hasta un canal excavado. Realizamos dos núcleos de barreno para investigar este canal (LRV22-EST7-1 y LRV22-EST7-2). Ambos muestreos de barreno mostraron una secuencia típica de depósitos de desbordamiento con capas mixtas de limo, arcilla y arenas finas y bien seleccionadas en unos 2.5 m de espesor. Se superpusieron a una secuencia de arenas cada vez más gruesas que terminó con arenas muy gruesas a aproximadamente 4 m en ambos barrenos. Estos datos son consistentes con el movimiento de las condiciones del río entrelazado a través de la planicie aluvial en esta ubicación.

### 4.5.6 Transecto EST-8

Este fue un transecto excavado perpendicular a C.33 y consistió en LRV22-EST8-1, LRV22-EST8-2 y LRV22-EST8-3 (Figura 4.15). EST8-1 se encuentra en el lado este del canal mientras que los otros dos se

encuentran en el lado oeste. Había una gran brecha entre los lados este y oeste del transecto ya que el canal había sido excavado y el escombro se había depositado en el lado oeste.

El barreno EST8-1 contenía un metro de limo y arcilla, sobre un estrato de 50 cm de espesor de arenas finas y bien seleccionadas que están encima de arenas gruesas. En el terreno alto no perturbado y más al este (EST8-2), había solamente 30 cm de grosor de arcilla limosa sobre arena gruesa y grava. La parte superior de la arena tenía un color rojizo (7.5YR 6/5). Esto indica un período de deteriorización en una posición de paisaje bien aireada. Cerca del canal se estableció el barreno EST8-3, en el cual había 100 cm de grosor de arcilla/arcilla-limosa sobre arena gruesa y grava. Estas pocas profundidades hasta la arena gruesa y grava indican un régimen de flujo poco profundo de un canal entrelazado.

### 4.5.7 Transecto EST-9

Este transecto está ubicado aproximadamente a 1.4 km al este sureste del Transecto 8 y orientado aproximadamente perpendicular a C.33 en un área con relieve notable (LRV22-EST9-1, LRV22-EST9-2, LRV22-EST9-3, LRV22-EST9-4) (Figura 4.16 y Figura 4.17). Este transecto está ubicado a 800 m al norte del pueblo de El Tlacuache. Cerca del pueblo observamos una serie de meandros muy cercanos y de curvas cerradas (Figura 4.17). Este conjunto de meandros apretados se encuentra típicamente donde hay un gradiente extremadamente bajo (por ejemplo, marismas o planicies de marea con sedimento de textura fina). Las investigaciones en campo demostraron que esta hipótesis era incorrecta ya que había varios metros de relieve y los sedimentos eran predominantemente arenas, exactamente lo contrario de lo que esperábamos. Otra posible explicación para los canales relictos es cuando los meandros apretados se heredan de un terreno anteriormente plano, pero la tierra ha sido elevada. Esto es improbable para el área cercana a C.33 dado el intervalo de corto tiempo involucrado y sedimentos fácilmente erosionables. Ninguna explicación parece poder explicar adecuadamente esta formación geográfica.

Los datos sedimentológicos de los núcleos de barreno en el Transecto 9 nos sugieren una variedad de condiciones de depósito que incluyen corrientes entrelazadas junto con corrientes meándricas, ambientes lacustres, estuarinos y quizás marinos. Para elegir una de las posibilidades se requerirá un muestreo adicional. El núcleo de barreno EST9-1 estaba ubicado en la parte más al norte del primer meandro. Se encontraron 2 m de arcillas limosas sobre 50 cm de arena, debajo de los cuales hay 40 cm de arcilla seguidos de más de 30 cm de arena fina a mediana, bien seleccionada, antes de derrumbar el pozo del barreno. El barreno EST9-2 fue realizado 100 m hacia arriba de EST9-1, donde se dragó el canal y se colocaron escombros cerca del canal. En un lugar ubicado a 15 m al sur del escombro se estableció el núcleo de barreno más cercano al cauce del arroyo. Había 40 cm de arcilla limosa sobre 160 cm de arcilla directamente sobre un depósito de arena y grava de 25 cm de grosor antes de derrumbar el pozo. EST9-3 se encuentra a 20 m al sur del canal. En una situación inusual, este barreno tenía arena justamente cerca de la superficie. Había 110 cm de arena fina a media sobre más de 70 cm de arena gruesa y grava antes de colapsar el pozo de barreno. EST9-4 está ubicado cerca de la carretera, en la línea de cresta de la primera gran curva del meandro. La ubicación de este núcleo está varios metros por encima de los puntos de muestreo anteriores. La secuencia estratigráfica tiene 85 cm de arena en la superficie sobre 115 cm de arenas bien seleccionadas, que van de textura fina a media a gruesa, depositadas en una secuencia que se hace más fina hacia la parte superior por un arroyo. Estas capas se encuentran por encima de 200+ cm de arenas gruesas a muy gruesas.

EST9-5 se desplazó hacia el vértice del meandro más al este. Este barreno tenía una de las elevaciones más bajas de este grupo. Hubo una caída de elevación de aproximadamente 2 m en el canal, sin embargo, el canal podría verse influenciado por las mareas. Para la estratigrafía, hubo 20 cm de arcilla negra cambiando a arcilla-arenosa negra por 55 cm, lo cual a su vez se superpone a más de 170 cm de arena gris oscura. El color más oscuro (dado por la materia orgánica) y el mayor contenido de arcilla es probablemente el resultado de la posición topográfica baja. Esta ubicación estaba dentro de la

zona de mareas del canal y sería un área de baja velocidad del agua. Esto permitiría la acumulación de arcilla y material orgánica.

## 4.6 Conclusiones

Los patrones provenientes de agrupar las muestras discutidas anteriormente (clasificadas como arenas de cauce principal, depósitos de inundación por desbordamiento y arcillas lacustres), permitieron una clasificación más amplia de los tipos de paleocanal. Estos tipos de sedimentos y el espesor de sus estratos correspondientes se utilizaron para distinguir los paleocanales asociados a ríos meándricos o entrelazados. Los paleocanales, especialmente aquellos asociados con cauces meándricos, también podrían estar dominados por períodos de deposición lacustre como un meandro cortado o un lago en herradura. Estas son áreas de aguas tranquilas que están frecuentemente llenas de sedimentos ricos en materia orgánica y con un alto contenido de arcilla. Estas interpretaciones han sido tabuladas en la Tabla 4.2.

La profundidad de las arenas (o grava) fue registrado y analizado mediante la prueba t de Welch (Welch's t-test en inglés). Esta prueba determina si existe una diferencia estadísticamente significativa en la profundidad promedio de las arenas encontradas en el lado oeste versus este del Río Verde. La versión de Welch de la prueba t fue utilizada para ajustar la diferencia en el tamaño de la muestra entre las dos áreas del proyecto (Tabla 4.3 Análisis estadístico de los tipos de corrientes para normalizar el tamaño de muestra). El valor p calculado muestra que la profundidad de las arenas es significativamente diferente entre los dos lados. Al rechazar la hipótesis nula, esta prueba muestra que hay un 95% de probabilidad de que diferentes procesos geomorfológicos estén actuando a ambos lados del Río Verde, y que la diferencia de medias observada no es coincidente. Este tema es para investigaciones futuras.

**Tabla 4.2 Tabla de tipos de corriente.**

| Sitio | Ambiente | Paleo-canal associado | Transecto | Barreno |
|---|---|---|---|---|
| Oeste | Posible entrelazado | C.20 | T 13 | LRV22-9,-10,-11,-12,-13,-14,-15 |
| Oeste | Posible entrelazado | C.20 | T 16 | LRV22-17,-18,-19 |
| Oeste | Posible entrelazado | C.20 | T 15 | LRV22-24,-24B,-25,-26,-27,-28 |
| Este | Meándrico | C.27 | EST-2 | EST2-1,-2,-3,-10A,-10B,-10C,-10D |
| Este | Meándrico | C.29 | EST-2 | EST2-4,-5,-6, |
| Este | Entrelazado | Norte de C.29 | EST-4 | EST4-1,-2,-3,-4,-5,-6,-7,-8 |
| Este | Entrelazado | C.35 | EST-5 | EST5-1,-2,-3,-4,-5,-6 |
| Este | Entrelazado | C.37 | EST-6A | EST6A-1,-2,-3 |
| Este | Lacustre o estuario | C.38 | EST-6B | EST6B-4,-5,-6 |
| Este | Entrelazado | C.33 | EST-7 | EST7-1,-2 |
| Este | Entrelazado | C.33 | EST-8 | EST8-1,-2,-3 |

**Tabla 4.3 Análisis estadístico de tipo de corriente para normalizar el tamaño muestreo.**

| **Prueba "t" Welch's** | |
|---|---|
| P value | 0.0081 |
| Sig, Diferencia | Si; (en $P < 0.05$) |
| **Prueba "F" de variaciones** | |
| P valor | 0.0059 |
| Sig, Diferencia | Si; (en $P < 0.05$) |

El estudio de ambos lados del Río Verde reveló una dinámica de planicie aluvial con una morfología de río entremezclada que abarca un espectro de tipologías entrelazada a meándrica. Nuestro estudio identificó paleocanales adicionales y proporcionó información sobre las diferencias

geomorfológicas observadas entre los lados este y oeste del Río Verde. Nuestro análisis sugiere que las condiciones meándricas del río en el lado este fueron seguidas por un cambio a condiciones entrelazadas en tiempos más recientes. No está claro si estos arroyos entrelazados fueron el resultado de la migración del lado este de Río Verde hacia esta área de la planicie aluvial moderna o si se trataba de drenajes cortos que se originaban desde las lomas al norte de la planicie aluvial. Los datos de fluorescencia de rayos X (XRF) para identificar los minerales de las arenas del canal ayudarán a distinguir el origen de los sedimentos.

El cambio del período Formativo en la morfología del río fue el resultado de una gran afluencia de sedimentos debido a la pérdida de la cubierta vegetal y al aumento de la erosión en las tierras altas (Mueller et al. 2013). El cambio de terrazas en las tierras altas desarrolladas y mantenidas antropogénicamente hacia un paisaje de terrazas erosionado probablemente genera otro episodio de aumento de la sedimentación en las tierras bajas al final del Período Clásico. Nuestro análisis sugiere la posibilidad de que el aumento de la descarga y la carga de sedimentos durante la transición del Clásico al Posclásico haya causado que el río migre hacia el este de su posición actual, cambiando la estabilidad del paisaje y la hidrología del entorno de las tierras bajas. Si las fechas de radiocarbono pendientes para las muestras recolectadas de este estudio demuestran que estos cambios en la geomorfología de las tierras bajas corresponden al colapso del período Clásico, entonces surgirá la posibilidad de que el cambio ambiental jugó un papel en los cambios culturales de este período en el valle inferior del Río Verde.

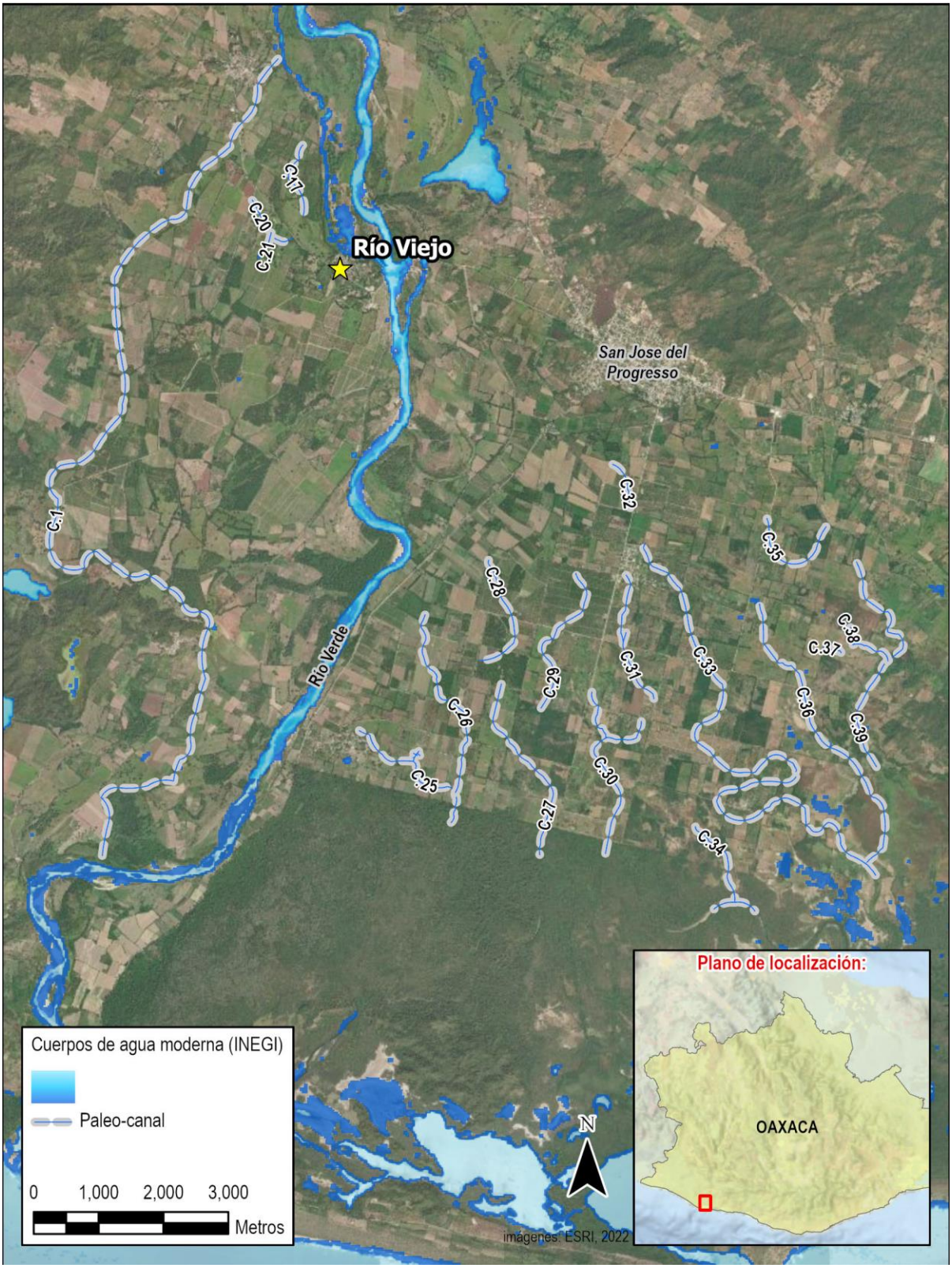



**Figura 4.1. Ubicación de paleocanales identificados.**

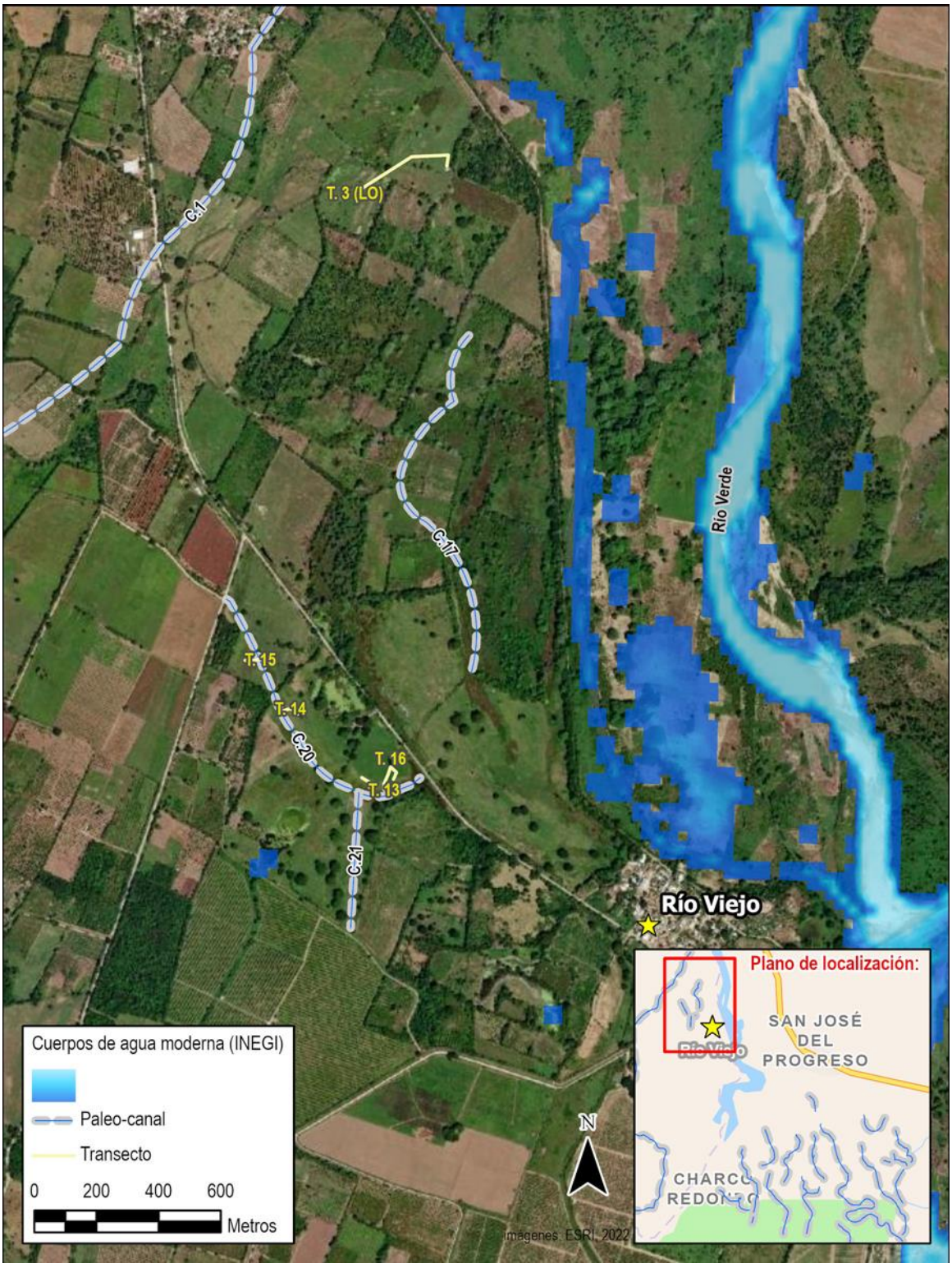



**Figura 4.2. Ubicación de transectos de barreno en el lado oeste del Río Verde con sus núcleos de barreno.**

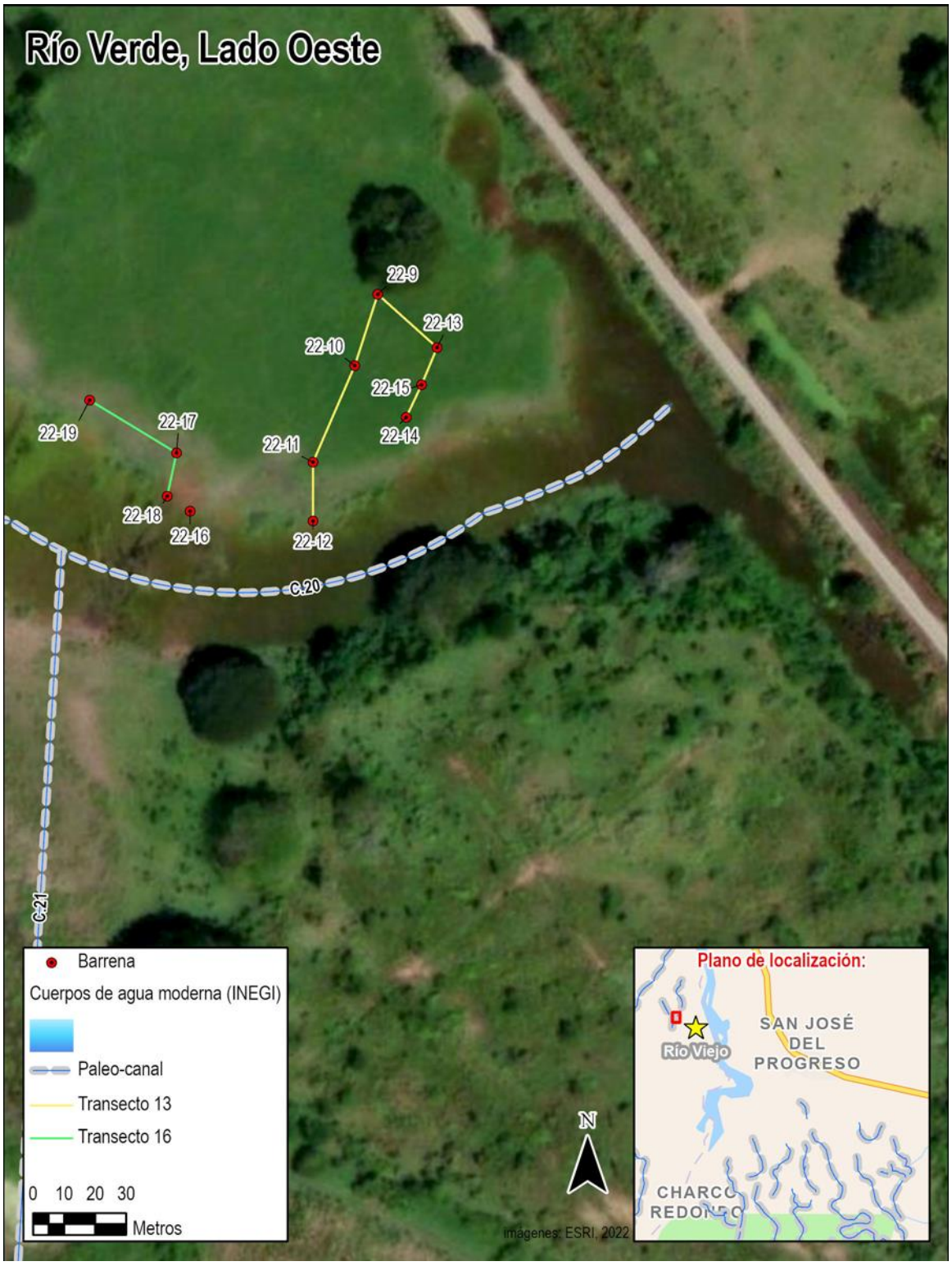



**Figura 4.3. Ubicación de los Transectos 13 y 16 con sus núcleos de barreno.**

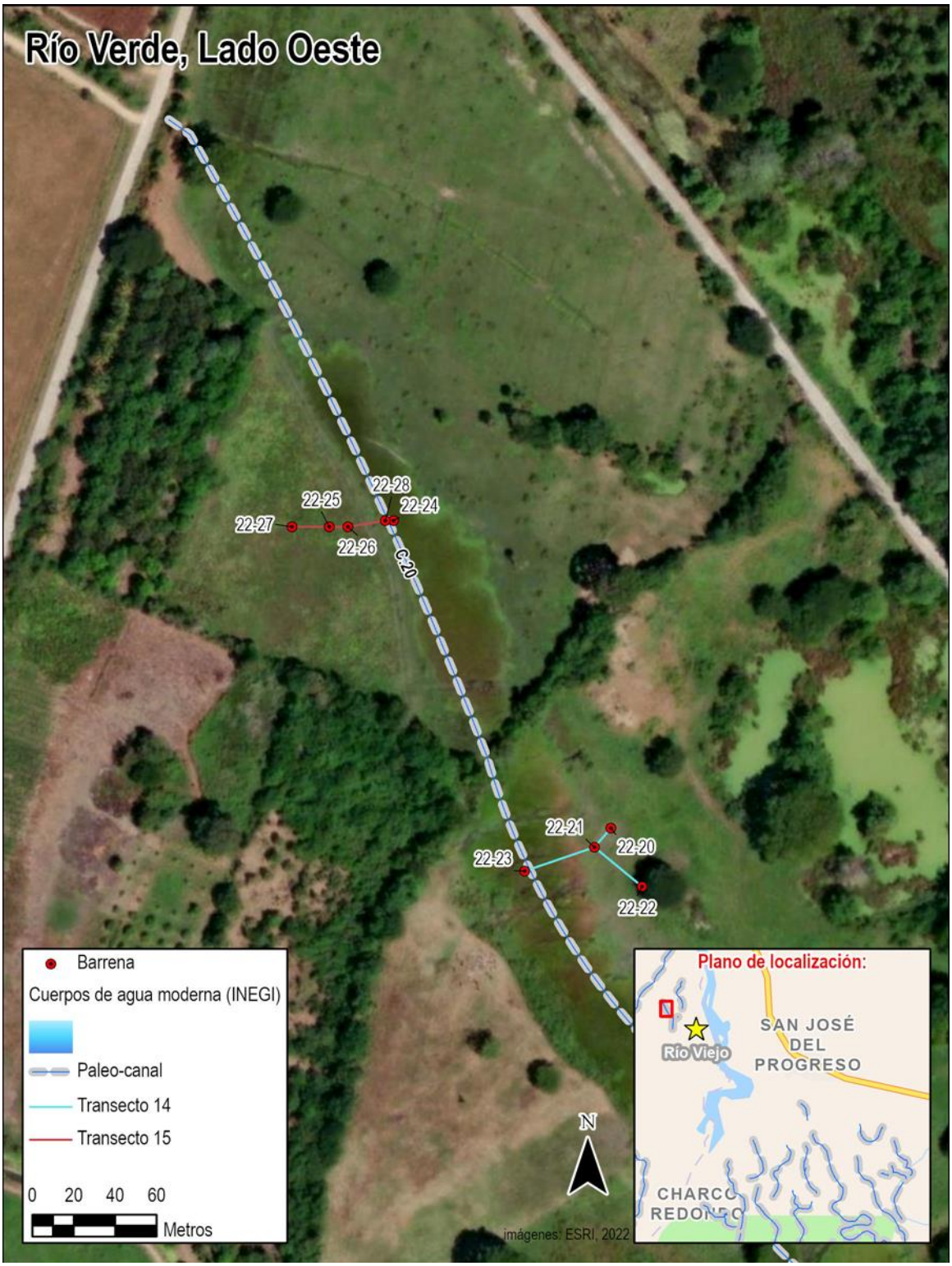



**Figura 4.4. Ubicación de los Transectos 14 y 15 con sus núcleos de barreno.**



**Figura 4.5. Árbol aislado a unos 3 m por encima de la elevación general del área de la planicie de inundación donde las excavaciones habían removido sedimentos superficiales.**



**Figura 4.6. Lado oeste del Transecto 15 con un cambio mínimo en la elevación desde C.20.**

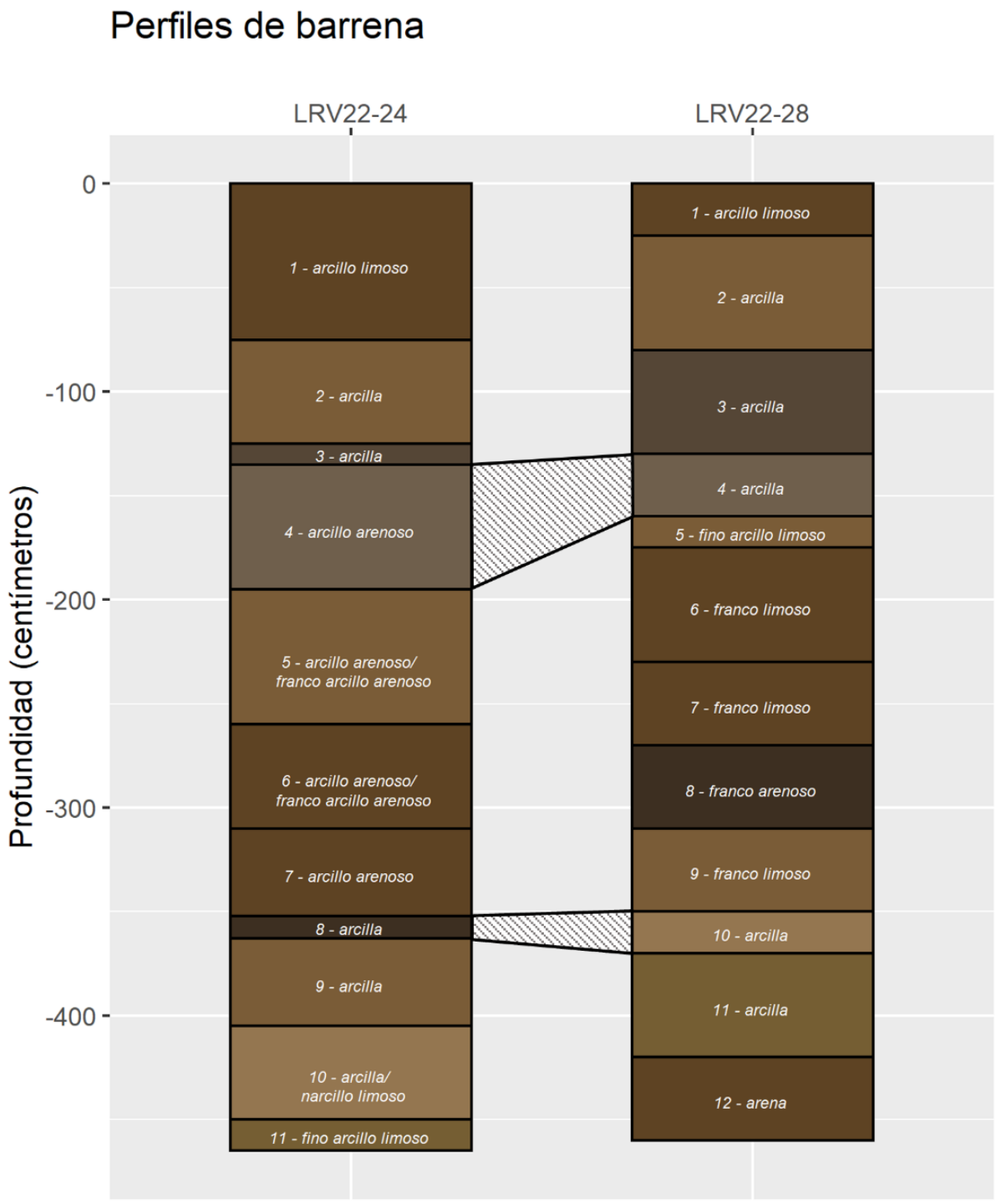



**Figura 4.7. Perfiles de barreno LRV22-24 y LRV22-28. Los estratos están sombreados con el color Munsell identificado y la textura del sedimento listada. Notese la correlación entre la secuencia de horizontes A enterrados (estratos 4 y 8 en LRV22-24 y estratos 4 y 10 en LRV22-28).**

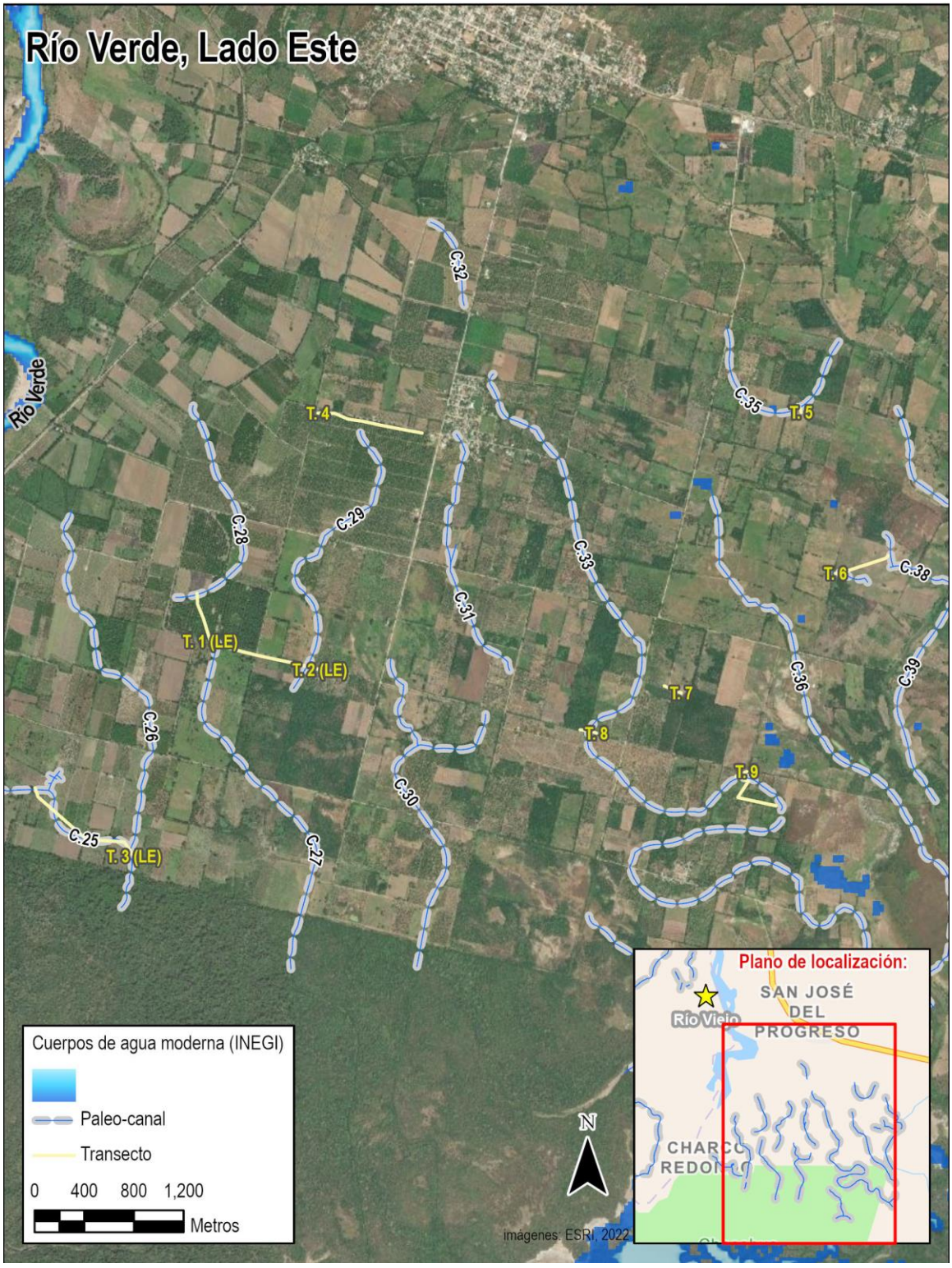



**Figura 4.8. Ubicación de transectos de barreno en el lado este del Río Verde.**

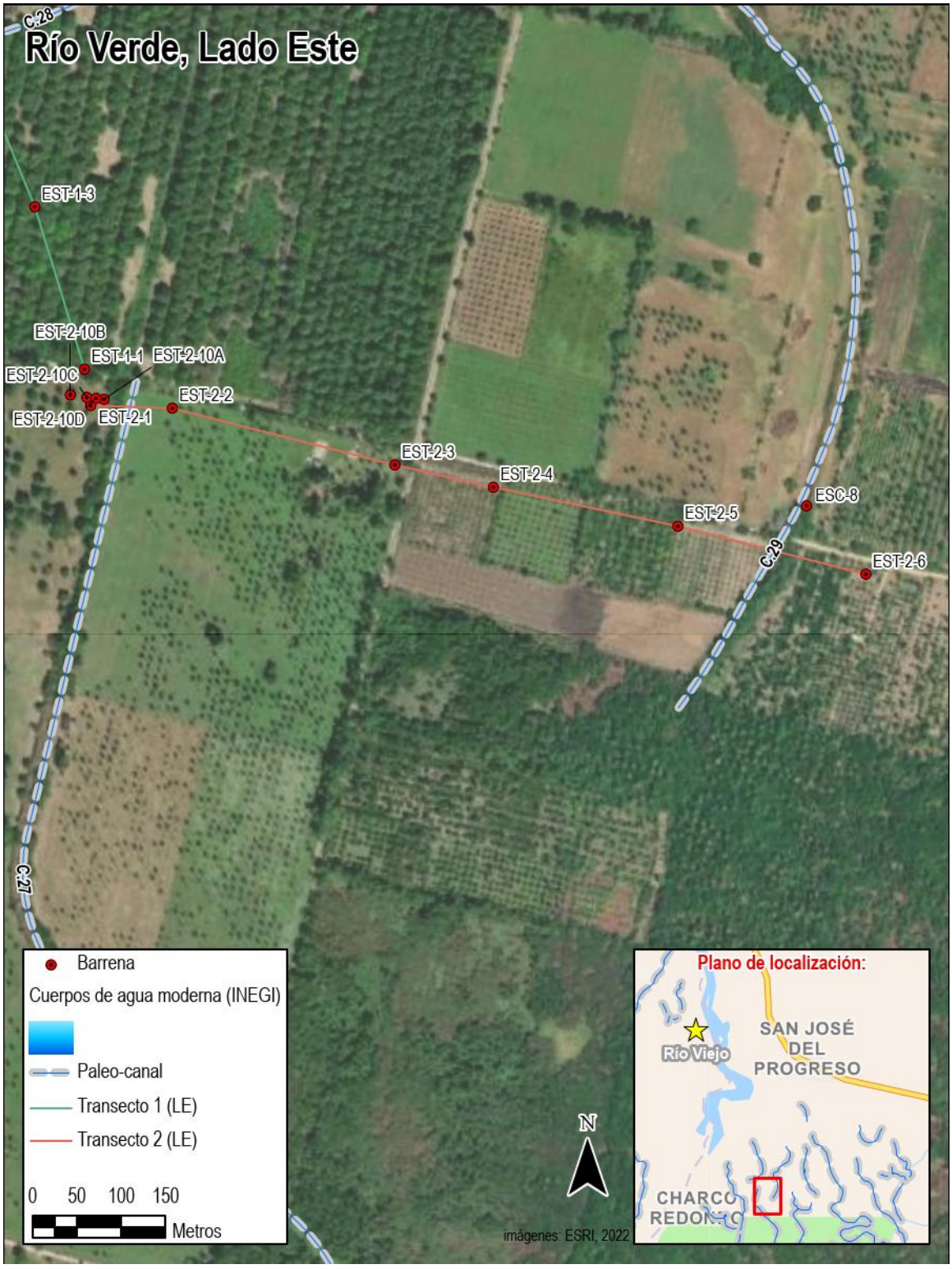



**Figura 4.9. Ubicación del Transecto 2 con sus núcleos de barreno.**

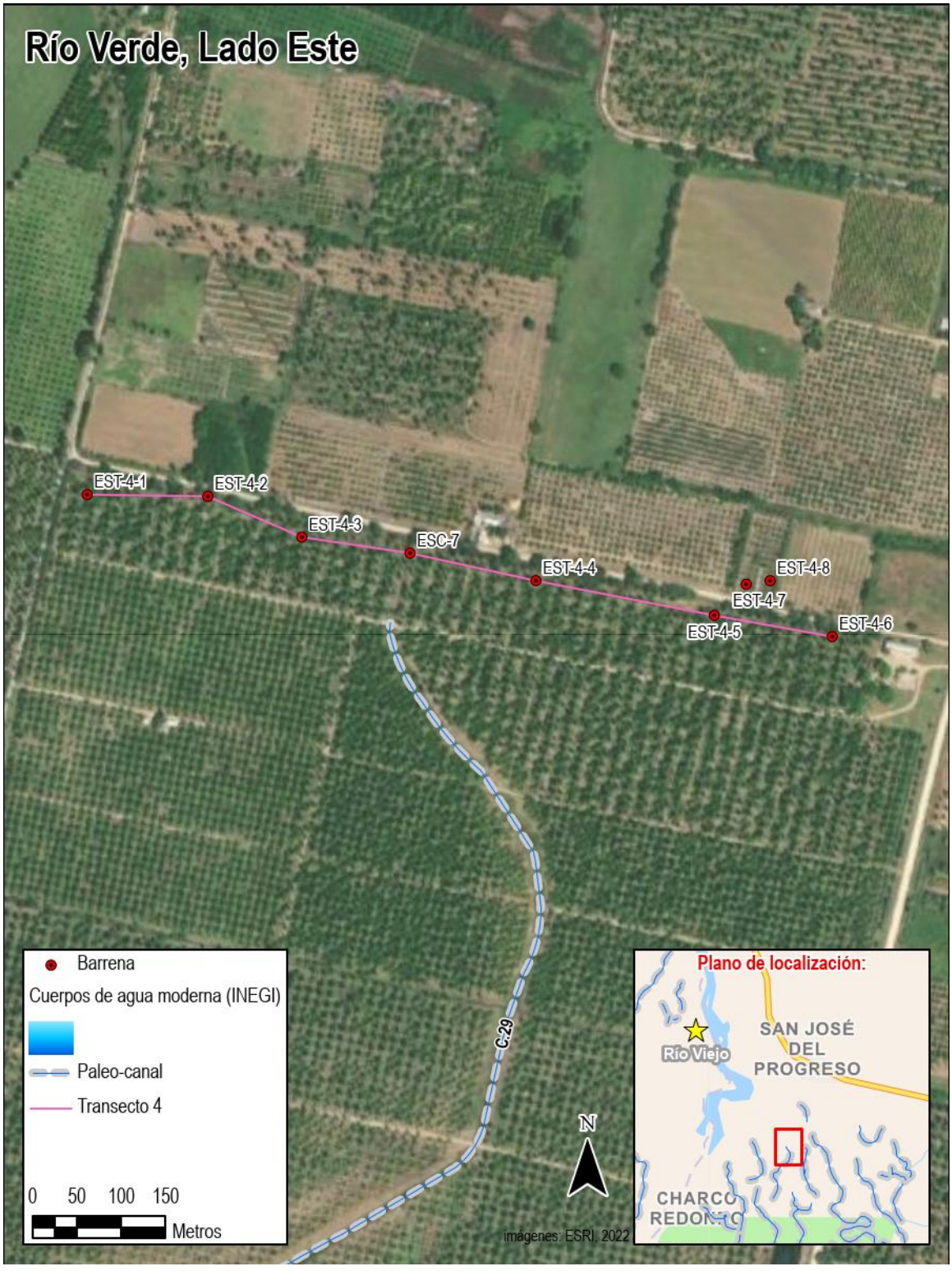



**Figura 4.10. Ubicación del Transecto 4 con sus núcleos de barreno.**

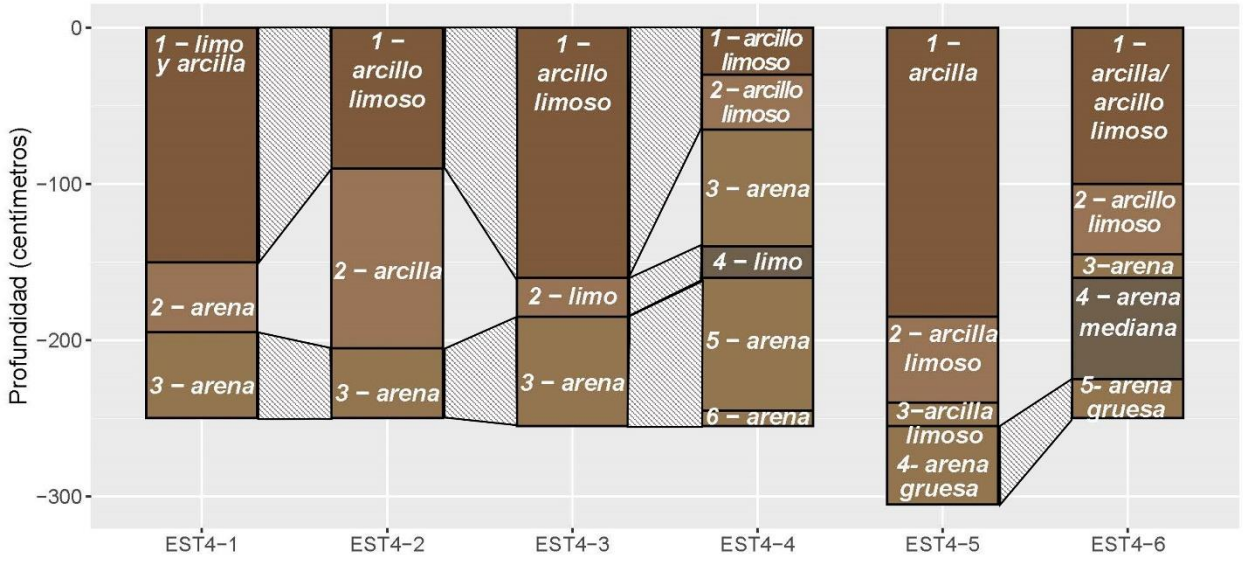



**Figura 4.11. Perfil transversal del Transecto 4. Las áreas sombreadas indican la correlación de estratos de episodios de depósito similares entre barrenos. Es importante mencionar que los barrenos 5 y 6 de los estratos más bajos son arenas más gruesas con una diferente historia de deposición.**

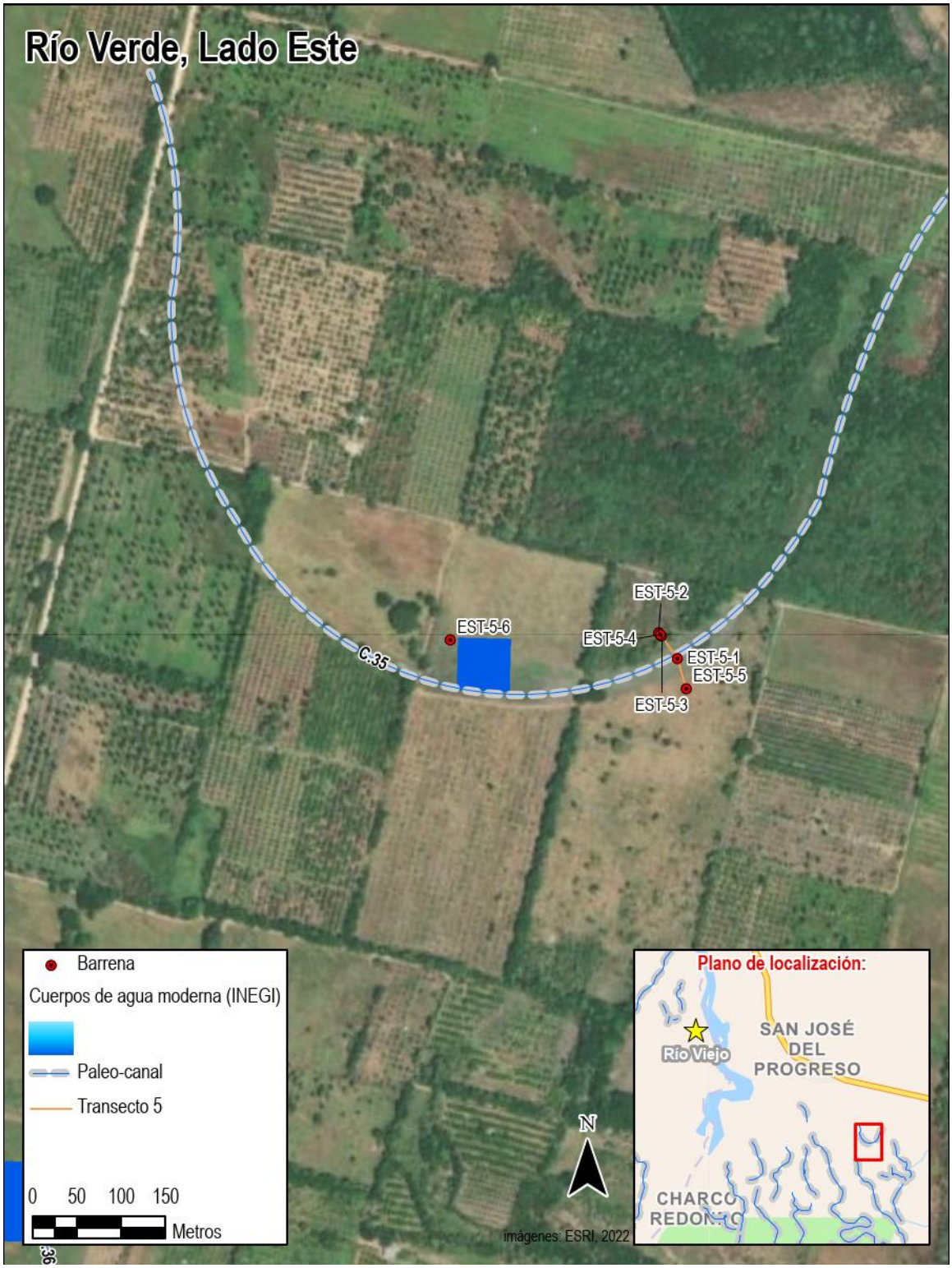



**Figura 4.12. Ubicación del Transecto 5 con sus núcleos de barreno.**

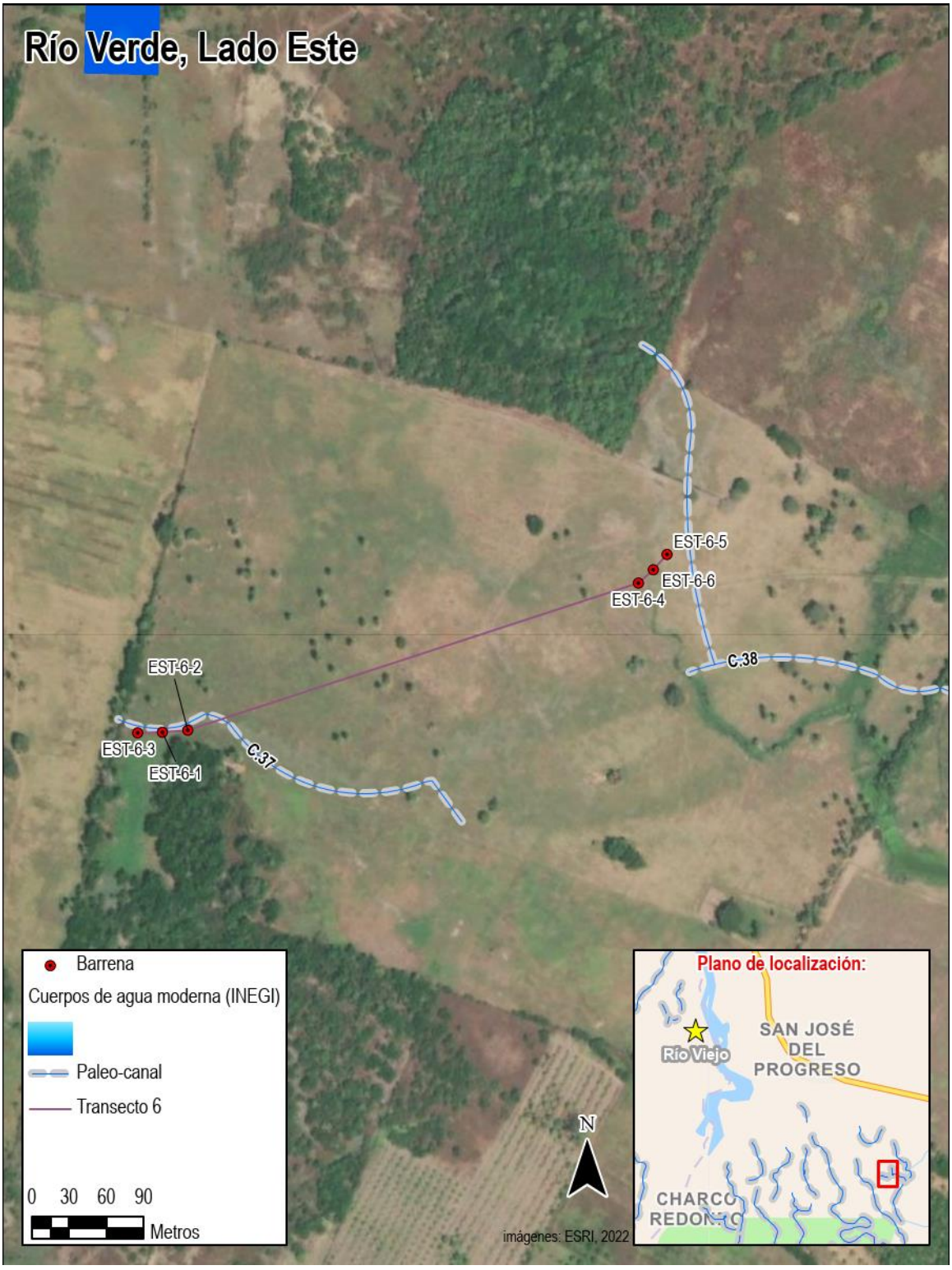



**Figura 4.13 Ubicación del Transecto 6 con sus núcleos de barreno.**



**Figura 4.14 Área de drenaje cerca de C.38 que muestra una diferencia de la vegetación en un área con una diferencia menor en el relieve.**




**Figura 4.15 Ubicación de los Transectos 7 y 8 con sus núcleos de barreno.**





**Figura 4.16 Ubicación de los Transectos 7 y 8 con ubicación de núcleos del barreno en Transecto EST-9 rodeado por vegetación. Nótese la diferencia en la elevación topográfica. Estos son de los estrechos meandros en las cercanías de EL Tlacuache.**

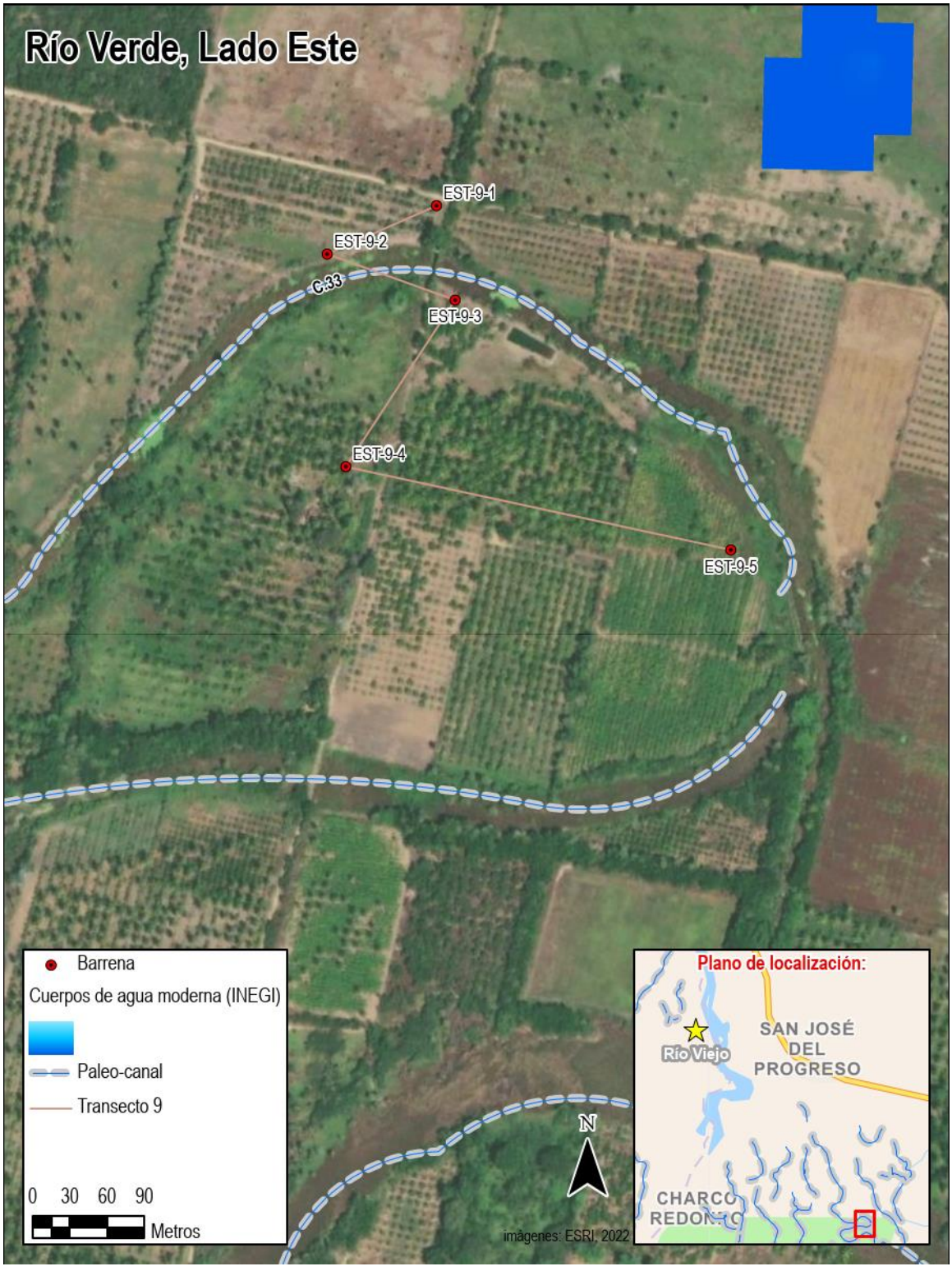



**Figura 4.17 Ubicación del Transecto 9 con sus núcleos de barreno.**

# Capítulo 5 - Análisis cerámico y lítico PRV-2022

Pamela A. García Ramírez

## 5.1 Presentación de Contextos Especiales

Resultado de las excavaciones se identificaron contextos especiales como Basureros y Depósitos de Terminación, los materiales (Cerámica, Lítica, y Figurillas) de los cuales se les realizo un análisis detallado, que se presenta en los siguientes apartados (ver Apéndice C para el análisis de todos los contextos excavados). La siguiente tabla muestra la conformación de estos contextos.

**Tabla 5.1. Contextos análisis detallado.**

| ELEMENTO | OP. | UNIDAD-LOTE | CONTEXTO | FECHA |
|---|---|---|---|---|
| E34, E121, E122 | A | MU29-6 | Cerámica de la tubería | Clásico Tardío |
| E16, E38, E37 | A | M20-10 a 13 | E16-s1, E38-s1, E38-s2, E38-s3=relleno; E37=Pozo rellenado con tiestos, ceniza, y concha. Probablemente un elemento asociado con el horno | Clásico Tardío |
| E9 | A | P17-8 | Piso quemado | Clásico Tardío |
| E6 | A | P16-12-14, 17 | Ofenda de piedras del rio | Clásico Tardío |
| E22-s2 | A | MU23-2 | Desecho ocupacional asociado con Estructura 1 | Clásico Tardío |
| E15, con contribuciones menores de E16, E21, E27 y E38 | A | L13-6 a 11 / M13-2 y 3 / M14-4 a 6 / MU1-9 a 11 / MU21-5 y 6 / MU22-3 / MU8-3 / O10- 4 / O11-3 a 6 / Q11-3 a 7 | Depósito de terminación | Clásico Tardío |
| E54 | A | P10-5 / Q10-5 y 6 | Relleno de un pozo posiblemente relleno con un basurero | Transición entre el Clásico Tardío y el |

| | | | | |
|---|---|---|---|---|
| | | | | Posclásico Temprano |
| E93 | A | U17-12 / MU30-2 y 3 / MU31-1,2,5 a 7 | Horno de tierra chico | Transición entre el Clásico Tardío y el Posclásico Temprano |
| E84 con contribuciones menores de E11 y E85 | A | F24 5-6, 10, 11, 13 a 17, 19 / MU11-1 a 11 | E84=Basurero; E85=relleno | Posclásico Temprano |
| E11 | A | J17-6, 8, 10 / K17-5, 7 / I19-4, 7, 9 / I20-3, 5 / I21-4, 5 / I22-4, 6 / I24-1 / J19-7, 10 / J22-8 / K19-3, 4 / F24 4 | Basurero | Posclásico Temprano |
| E20-s1 | B | LL40-5 | Depósito Terminal | Clásico Tardío |
| E20-s3 | B | GG35-6 | Depósito Terminal | Clásico Tardío |
| E20-s5 | B | NN38-6 a 10 / PP38-8 a 13 / OO38-6 a 13 / QQ38-7 a 10 | Depósito Terminal | Clásico Tardío |
| E22-s1 y s2 | B | HH37-5 / MU13-1 y 2 / II38-11 a 13 | Basurero | Clásico Tardío |
| E22-s4 | B | II38-9 y 10 / HH39-6 a 8 / II39-6 y 7 | Basurero | Clásico Tardío |
| E11/16 | B | QQ44-4 a 7 / QQ43-4 a 7 / PP44-4 a 9 | Basurero | Clásico Tardío |
| E25-s5 | B | MU11-1 a 4 / MU12-1 a 3 | Basurero | Clásico Tardío |
| E3 | B | QQ44-2 a 3 / QQ43-2 a 3 / PP44-2 a 3 / PP43 2 a 4 | Basurero | Posclásico Temprano |

## 5.2 Cerámica

Se presentan los métodos y resultados del análisis de cerámica de las excavaciones del PRV-22.

### 5.2.1 Metodología cerámica

A la cerámica recuperada de los contextos especiales encontrados se le realizo un análisis detallado, registrando distintos atributos de los bordes recuperados. Los atributos registrados fueron: Pasta, Peso, Diámetro (boca y cuello), Forma (general y especifica), Tratamiento de superficie (técnica y ubicación), Decoración (técnica decorativa y ubicación), Nivel de decoración, Función, Periodo y Tipo.

Las claves para el registro de los atributos son las siguientes:

PASTA
**CB**: Café Grueso
**B**: Diferencial
**G:** Gris
**O**: Naranja
**U**: Indeterminado

FORMA PRIMARIA
**BW**: Cajete
**JR**: Olla
**CM**: Comal
**CN**: Incensario
**MJ**: Molcajete
**O**: otro
**NR**: No borde
**U**: Indeterminado

FORMA SECUNDARIA
*CAJETE*
**SM**: Semiesférico
**CN**: Cónico
**CY**: Cilíndrico
**CS**: Silueta compuesta
**CC**: Curvo-convergente
**O**: Otro
**U**: Indeterminado
*OLLA*
**OL**: Olla
**B/C**: Botellón/Cántaro
**M**: Miniatura
**O**: Otra
**U**: Indeterminado

FORMA TERCIARIA
CAJETE
**H**: Asa
**R**: Reborde
**BA**: Borde acanalado
**BE**: Borde evertido
**S**: Soporte
**NR**: Notched rim
OLLA
**SN**: Cuello corto
**TN**: Cuello alto
**BR**: Bolstered rim
**FN**: Flange en cuello
**H**: Asa

DECORACIÓN 1
**Slip**: Engobe
**Wash**: Baño
**Pa**: Pintura
**Bur**: Bruñido

DECORACIÓN 2
**In**: Inciso
**Car**: Excavado
**DG**: Durcos diagonales
**M**: Muescas
**Pu**: Punctuado
**A**: Aplique
**PB**: Bruñido en patrón

SUPERFICIE DECORACIÓN
**I**: Interior
**E**: Exterior
**R**: Rim
**B**: Base

COLOR
**G**: Gris
**R**: Rojo
**Bl**: Blanco
**C**: Crema
**N**: Naranja
**Ca**: Café
**Ng**: Negro

FUNCIÓN
**S**: Serving
**C**: Cooking
**S**: Storage
**M**: Multiple
**U**: Undetermined
**R**: Ritual

Para determinar el Nivel de Decoración se siguió un nivel de puntos de acuerdo con la siguiente tabla, esta evaluación está modificada del "método de paso de producción" (*production step method* en inglés), de Feinman et al. (1981), donde se propone la suma de puntos de acuerdo con el tiempo/habilidad empleada para la producción de la vasija o en este caso de su decoración.

| **Atributo** | | **Punto** |
|---|---|---|
| Soportes | | |
| Planos | | 1 |
| Representacional | | 2 |
| Apliques Elaborados | | 1-2 |
| Bruñido | | 1 |
| incisión, Excavado, Modelado, Bruñido con patrón | | |
| Simple (< 10%) | 1 | |
| Complejo (> 10%) | | 2-3 |
| Representacional | | +1 |
| Engobe | 1 | |
| Pintura | | 1 por color |
| Diseño complejo | | +1 |
| Representacional | | +1 |
| Cocción Diferencial | | 1 |

La tipología cerámica utilizada para el análisis de los materiales del PRV2022 es una modificación de la presentada por Baillie (2012) para el Clásico Tardío y Hedgepeth (2009) para el Posclásico Temprano. La modificación consiste en la agrupación de los tipos propuestos bajo una

misma nomenclatura que agrupa por pasta y forma, y siguiendo un orden cronológico. La agrupación es como se presenta a continuación (para mayor detalle de los tipos ver apartado **5.4**):

- Posclásico Temprano

Pasta Café Gruesa: Cajetes (Tipos 1 a 3), Ollas (Tipos 4 a 6), y Comal (Tipo 7).

Pasta Fina (incluye Diferencial y Anaranjada): Cajetes (Tipos 100 a 106, y 109 a 113), Molcajete (Tipos 107 y 108), Ollas (Tipos 114 a 117), Botellón/Cántaro (Tipos 118 a 121), Bases y Soportes (Tipos 122 a 129).

Pasta Gris: Cajetes (Tipos 200 a 207), Ollas (Tipo 208), Soportes (Tipos 209 a 211).

- Clásico Tardío

Pasta Café Grueso: Cajetes (Tipos 301 a 307), Ollas (Tipos 308 a 310).

Pasta Anaranjada: (Tipos 401 a 427), Ollas (Tipos 428 y 429), Bases y soportes (Tipos 430 a 435).

Pasta Gris: Cajetes (Tipos 501 a 530), Ollas (Tipos 531 a 535), Bases y soportes (Tipos 536 a 542).

### 5.2.2 Resultados análisis cerámica

En total se analizaron 2,285 bordes de los 18 contextos diferentes, estos representan el 3.58% de toda la cerámica recuperada de los mismos contextos. La Tabla 5.2 presenta la cuenta y peso de la muestra de bordes analizados vs la totalidad de bordes en el contexto vs la totalidad de la cerámica en el contexto y sus porcentajes correspondientes.

**Tabla 5.2. Relación Bordes Muestrados vs Bordes Presentes en el contexto, con su Porcentaje (% Bordes analizados). Se presenta la cuenta y peso de la cerámica total del contexto y sus porcentajes comparando con la muestra analizada.**

| Contexto | Bordes muestrados | | Bordes presentes | % Bordes analizados | Cerámica total | | % Analizado del total | |
|---|---|---|---|---|---|---|---|---|
| | Cuenta (#) | Peso (g) | Cuenta (#) | % | Cuenta (#) | Peso (g) | Cuenta (#) | Peso (g) |
| **E34, E121, E122** | 9 | 189 | 13 | 62.23% | 129 | 1,503 | 6.98% | 12.57% |
| **E16, E38, E37** | 18 | 354 | 24 | 75% | 206 | 1,746 | 8.74% | 20.27% |
| **E9** | 4 | 39 | 4 | 100% | 44 | 203 | 9.09% | 19.21% |
| **E6** | 46 | 620 | 46 | 100% | 741 | 5,090 | 6.21% | 12.18% |
| **E22-s2** | 12 | 519 | 14 | 85.74% | 128 | 6,247 | 9.38% | 8.31% |
| **E15 (E16, E21, E27 y E38)** | 342 | 13,394 | 551 | 62.06% | 3884 | 60,156 | 8.81% | 22.27% |
| **E54** | 33 | 527 | 146 | 22.6% | 2170 | 11,308 | 1.52% | 4.66% |
| **E93** | 21 | 256 | 21 | 100% | 504 | 2,255 | 4.17% | 11.35% |
| **E84 (E11 y E85)** | 297 | 4,968 | 412 | 70.08% | 3636 | 27,953 | 8.17% | 17.77% |
| **E11** | 346 | 5,699 | 712 | 48.59% | 5606 | 57,520 | 6.17% | 9.91% |
| **E20-s1** | 24 | 300 | 41 | 58.54% | 362 | 3,416 | 6.63% | 8.78% |
| **E20-s3** | 23 | 499 | 51 | 45.10% | 313 | 3,755 | 7.35% | 13.29% |
| **E20-s5** | 385 | 9,280 | 1830 | 21.04% | 3884 | 60,156 | 9.91% | 15.43% |
| **E22-s1 y s2** | 126 | 5,409 | 1,507 | 8.36% | 10,040 | 117,975 | 1.25% | 4.58% |
| **E22-s4** | 169 | 3,765 | 793 | 21.31% | 5,810 | 60,076 | 2.91% | 6.27% |
| **E11/16** | 176 | 4,109 | 1,399 | 12.58% | 9,483 | 99,916 | 1.86% | 4.11% |
| **E25-s5** | 161 | 3,278 | 1,462 | 11.01% | 10,743 | 96,577 | 1.50% | 3.39% |
| **E3** | 93 | 1,248 | 593 | 15.68% | 6,107 | 42,713 | 1.52% | 2.92% |
| **TOTAL** | **2,285** | **54,453** | **9,619** | **23.76%** | **63,790** | **658,565** | **3.58%** | **8.27%** |

A continuación, se presenta la cerámica de cada contexto de manera detallada: la cuenta y peso de las diferentes pastas, su distribución en las formas cerámicas y su comparativa con la cerámica general de cada contexto, así como información adicional sobre la tipología identificada.

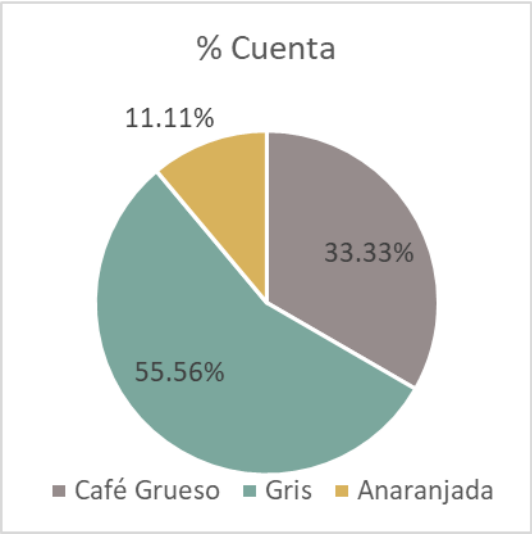
**OPERACIÓN A**

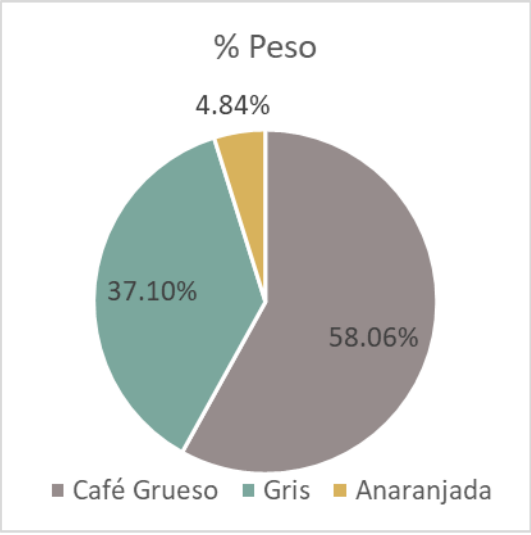
**E34, E121, E122**

Este contexto se localiza en la Operación A, corresponde a cerámica relacionada con la Tubería. El contexto está fechado para el Clásico Tardío. Los materiales analizados fueron: MU29-6 (FS 22-3139). Se analizaron 9 bordes de 13 presentes, lo que representa el 62.23% de los bordes del contexto, y el 6.98% de la totalidad de la cerámica del contexto (Tabla 5.3).

**Tabla 5.3. Porcentaje de cuenta y peso en forma general por pasta (E34, E121, E122).**

| PASTA | FORMA | CUENTA | % CUENTA | PESO | % PESO |
|---|---|---|---|---|---|
| Café Grueso | Olla | 1 | 11.11% | 17 | 9.14% |
| | Cajete | 1 | 11.11% | 20 | 10.75% |
| | Tubería | 1 | 11.11% | 71 | 38.17% |
| Anaranjada | Cajete | 1 | 11.11% | 9 | 4.84% |
| Gris | Olla | 1 | 11.11% | 37 | 19.89% |
| | Cajete | 4 | 44.44% | 32 | 17.20% |
| **Total** | | **9** | **100%** | **186** | **100%** |




Las Ollas representan el 22.22% y los Cajetes 66.67%. La forma predominante son los Cajetes en pasta Gris, representando el 44.44% de toda la cerámica analizada.

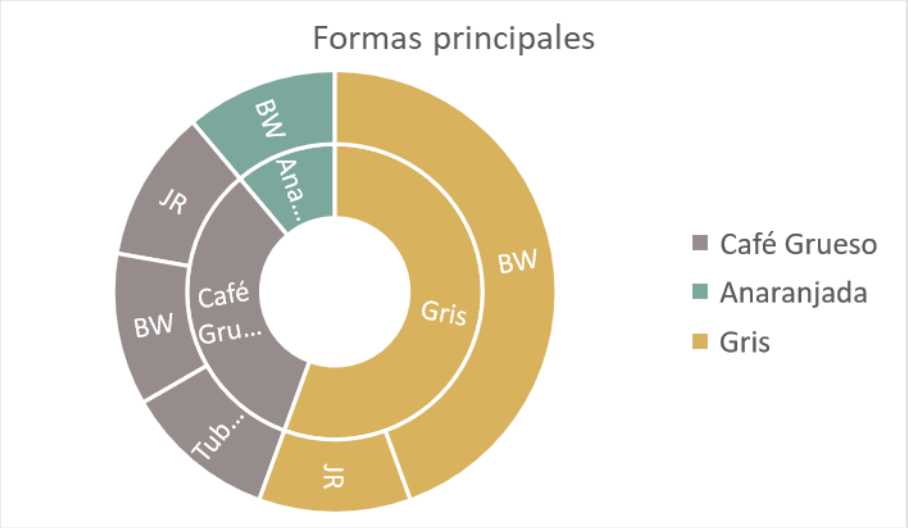



**Figura 5.1. Distribución de las formas primarias en las pastas (E34, E121, E122).**

En la cerámica total predomina la pasta Gris, con el 45.73% de la cerámica total de este contexto, seguida por la Café Gruesa con 43.41%, y la Anaranjada con el 10.85% (Tabla 5.4).

**Tabla 5.4. Porcentaje de cerámica por pastas del contexto (E34, E121, E122).**

| PASTA | ANALIZADOS # | TOTALES # | TOTALES % |
|---|---|---|---|
| Café Grueso | 3 | 56 | 43.41% |
| Anaranjada | 1 | 14 | 10.85% |
| Gris | 5 | 59 | 45.73% |
| **Total** | **9** | **129** | **100%** |

Siguiendo la clasificación de Baillie (2012), los tipos presentes son:

- Café Grueso. Tipo 303 y 308.
- Anaranjado. Sin tipos identificados.
- Gris. Tipo 508.

De estos el 508 aparece dos veces y el resto solo una. Hay un tepalcate sin identificar en pasta Café Grueso y otro en Anaranjada, y tres en pasta Gris (Figura 5.2).

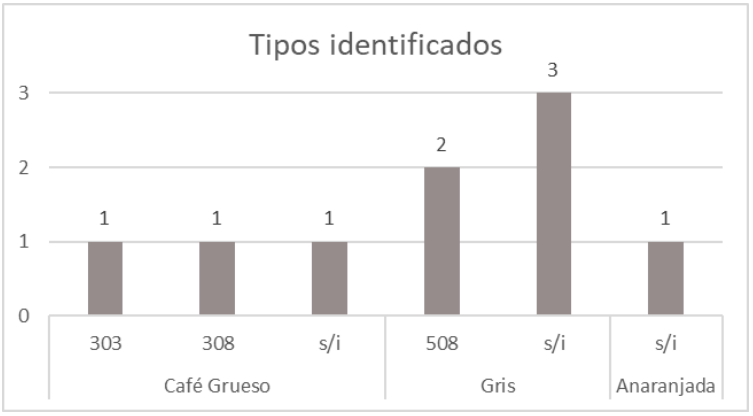



**Figura 5.2. Distribución de los tipos identificados (E34, E121, E122).**

Dentro de las formas, en los cajetes se encuentran en igual proporción los Cónicos (CN) y los semiesféricos (SM) con tres bordes cada uno. En las Ollas hay una de Cuello Alto (TN) y otra sin identificar la forma específica (OL). También hay un posible fragmento de Tubería (Tabla 5.5).

**Tabla 5.5. Cuenta y porcentaje de formas especificas en los cajetes y ollas.**

| PASTA | Cajetes | | | | Ollas | | | | Tubería | |
|---|---|---|---|---|---|---|---|---|---|---|
| | CN | % | SM | % | TN | % | OL | % | Tubería | % |
| Café Grueso | | | 1 | 16.66% | 1 | 50% | | | 1 | 100% |
| Anaranjado | | | 1 | 16.66% | | | | | | |
| Gris | 3 | 50% | 1 | 16.66% | | | 1 | 50% | | |
| **Total** | **6(100%)** | | | | **2(100%)** | | | | **1(100%)** | |

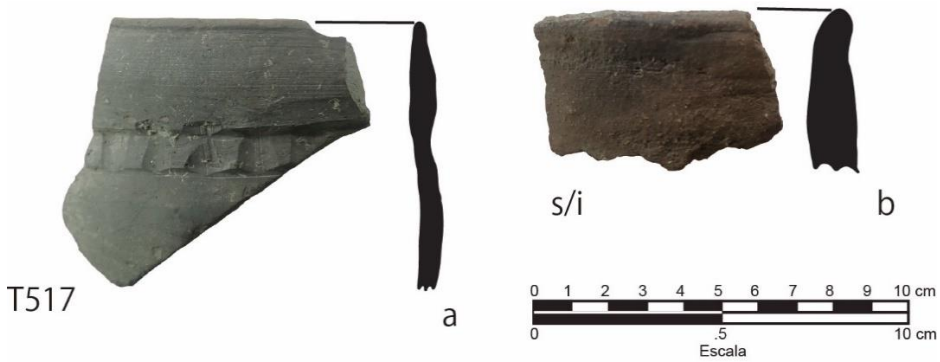


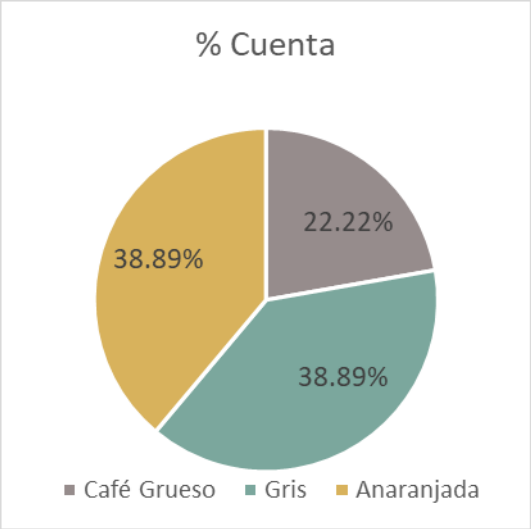

**Figura 5.3. Ejemplo de la cerámica recuperada en el contexto E34, E121, E122: a. T517, b. sin identificado (parte de tubería).**

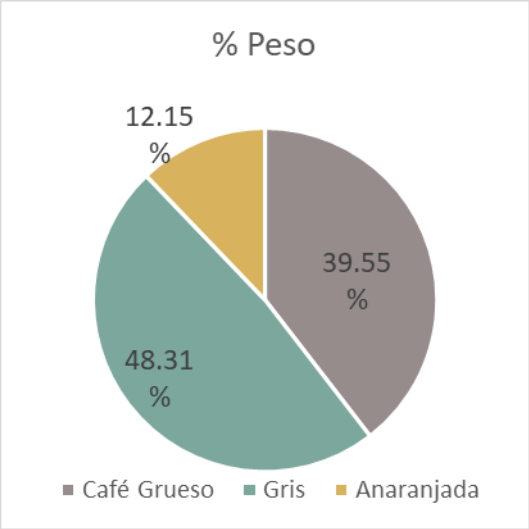
**E16, E38, E37**

Este contexto se localiza en la Operación A, corresponde a cerámica en un pozo asociado con el horno (unidades O/P/Q10-11). El contexto está fechado para el Clásico Tardío. Los materiales analizados fueron: M20-10 (FS 22-3160), M20-11 (FS 22-3163), M20-12 (FS 22-3166), y M20-13 (FS 22-3169). Se analizaron 18 bordes de 24 presentes, lo que representa el 75% de los bordes del contexto, y el 8.14% de la totalidad de la cerámica del contexto (Tabla 5.6).

**Tabla 5.6. Porcentaje de Cuenta y Peso de la Forma General en pastas (E16, E38, E37).**

| PASTA | FORMA | CUENTA | % CUENTA | PESO | % PESO |
|---|---|---|---|---|---|
| Café Grueso | Olla | 3 | 16.67% | 136 | 38.42% |
| | Cajete | 1 | 5.56% | 4 | 1.13% |
| Anaranjada | Cajete | 7 | 38.89% | 43 | 12.15% |
| Gris | Cajete | 7 | 38.89% | 171 | 48.31% |
| **Total** | | **18** | **100%** | **354** | **100%** |




Las Ollas representan el 16.67% y los Cajetes el 83.33%. La forma predominante son los Cajetes en pasta Anaranjada y Gris, representando el 38.89% c/u de toda la cerámica analizada.

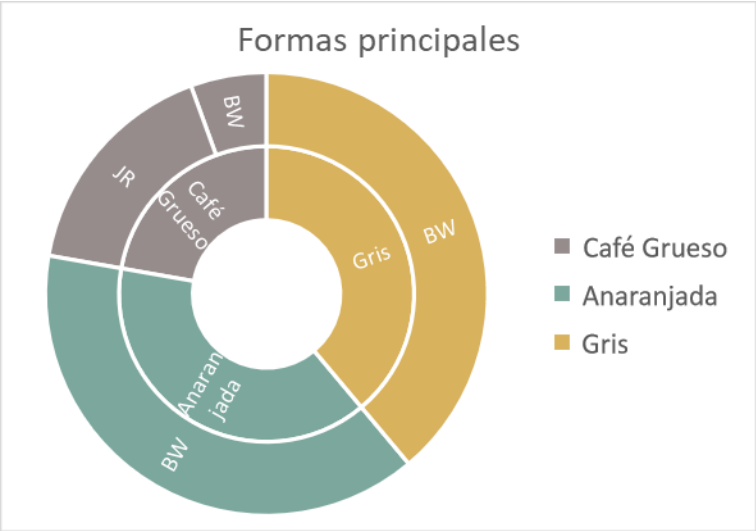



**Figura 5.4. Distribución de las formas primarias en las pastas (E16, E38, E37).**

En la cerámica total predomina la pasta Gris, con el 38.83% de la cerámica total de este contexto, seguida por la Café Grueso con 37.86%, y la Anaranjada con el 23.30% (Tabla 5.7).

**Tabla 5.7. Porcentaje de cerámica por pastas del contexto (E16, E38, E37).**

| PASTA | ANALIZADOS # | TOTALES # | TOTALES % |
|---|---|---|---|
| Café Grueso | 4 | 78 | 37.86% |
| Anaranjada | 7 | 48 | 23.30% |
| Gris | 7 | 80 | 38.83% |
| **Total** | **18** | **206** | **100%** |

Siguiendo la clasificación de Baillie (2012), los tipos presentes son:

- Café Grueso. Tipo 308.
- Anaranjado. Tipo 402, 404, 409, 418, y 422.
- Gris. Tipo 508, 509, y 526.

Todos aparecen una vez y sin identificar se tienen 3 en pasta Café Gruesa, 2 en pasta Anaranjada y 4 en pasta Gris (Figura 5.5).

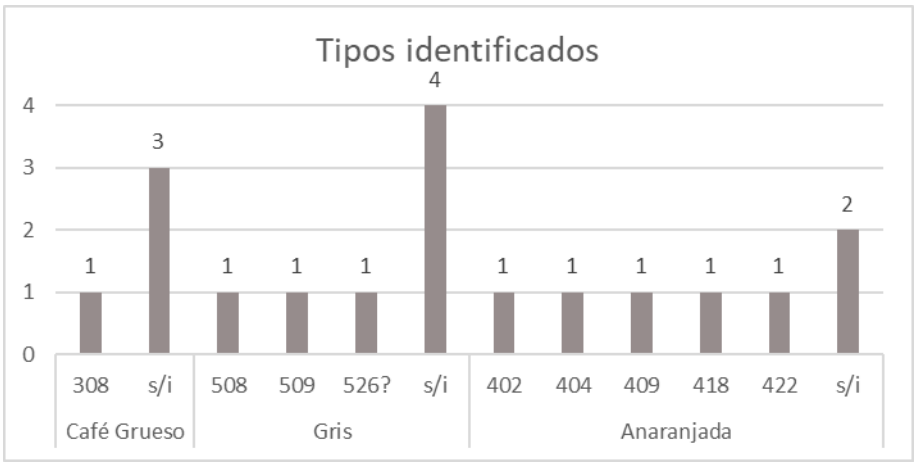



**Figura 5.5. Distribución de los tipos identificados (E16, E38, E37).**

Dentro de las formas generales predominan los Cajetes, en estos los Cónicos (CN), seguidos de los Semiesféricos (SM), y los Cilíndricos (CY) y de Silueta Compuesta (CS) aparecen dos veces; hay un cajete sin identificar la forma específica (s/i). Dentro de las Ollas predominan de Cuello alto (TN) seguida de Cuello Corto (SN) (Tabla 5.8).

**Tabla 5.8. Cuenta y porcentaje de formas especificas en los cajetes y ollas (E16, E38, E37).**

| PASTA | Cajetes | | | | | | | | | |
|---|---|---|---|---|---|---|---|---|---|---|
| | CN | % | CY | % | SM | % | CS | % | s/i | % |
| Café Grueso | 1 | 6.66% | | | | | | | | |
| Anaranjado | 4 | 26.66% | 1 | 6.66% | 1 | 6.66% | 1 | 6.66% | | |
| Gris | 5 | 33.33% | | | 1 | 6.66% | | | 1 | 6.66% |
| **Total** | **15(100%)** | | | | | | | | | |

| PASTA | Ollas | | | |
|---|---|---|---|---|
| | SN | % | TN | % |
| Café Grueso | 1 | 33.33% | 2 | 66.66% |
| Anaranjado | | | | |
| Gris | | | | |
| **Total** | **3(100%)** | | | |



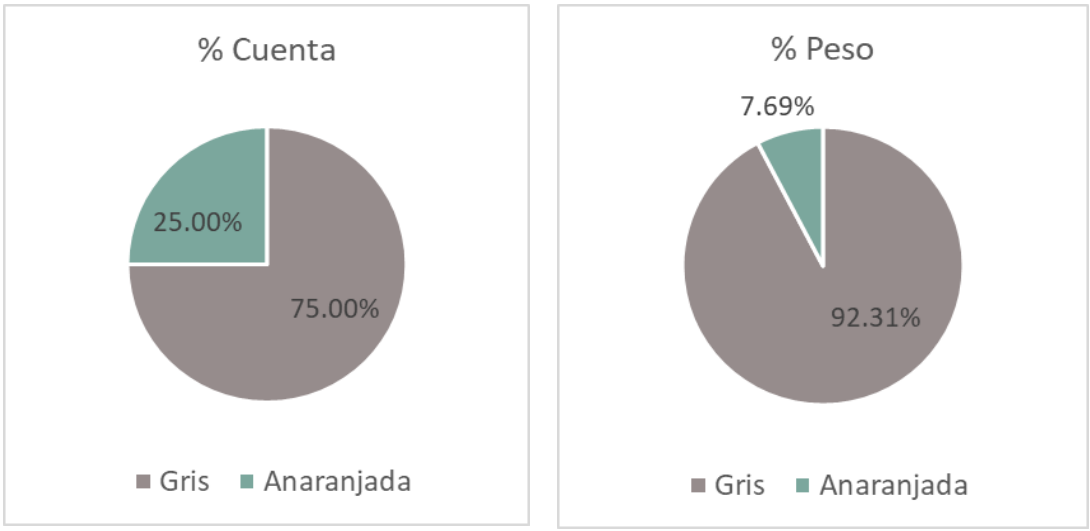

**Figura 5.6. Ejemplo de la cerámica recuperada en el contexto E16, E38, E37: a. T308, b. T422, c. T509.**

**E9**

Este contexto se localiza en la Operación A, corresponde a cerámica asociada con un piso quemado. El contexto está fechado para el Clásico Tardío. Los materiales analizados fueron: P17-8 (FS 22-1623). Se analizaron 4 bordes de 4 presentes, lo que representa el 100% de los bordes del contexto, y el 9.09% de la totalidad de la cerámica del contexto (Tabla 5.9).

**Tabla 5.9. Porcentaje de Cuenta y Peso de la Forma General en pastas (E9).**

| PASTA | FORMA | CUENTA | % CUENTA | PESO | % PESO |
|---|---|---|---|---|---|
| Anaranjada | BW | 1 | 25% | 3 | 7.69% |
| Gris | BW | 3 | 75% | 36 | 92.31% |
| **Total** | | **4** | **100%** | **39** | **100%** |



Los Cajetes representan el 100%, y la pasta predominante es la Gris, representando el 75% de toda la cerámica analizada.

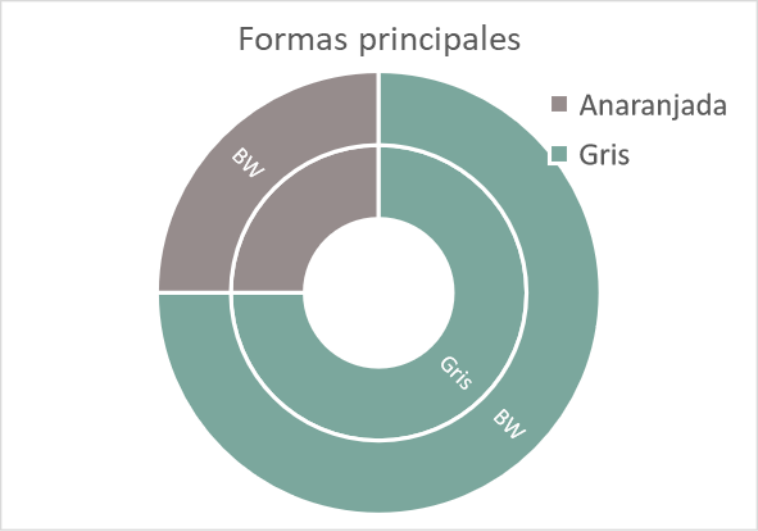



**Figura 5.7. Distribución de las formas primarias en las pastas (E9).**

En la cerámica total predomina la pasta Café Grueso, con el 59.09% de la cerámica total de este contexto, seguida por la Gris con 34.09%, la Anaranjada con el 4.54%, y la Diferencial con 2.27% (Tabla 5.10).

**Tabla 5.10. Porcentaje de cerámica por pastas del contexto (E9).**

| PASTA | ANALIZADOS # | TOTALES # | TOTALES % |
|---|---|---|---|
| Café Gruesa | - | 26 | 59.09% |
| Anaranjada | 1 | 2 | 4.54% |
| Gris | 3 | 15 | 34.09% |
| Diferencial | - | 1 | 2.27% |
| **Total** | **4** | **44** | **100%** |

No se identificaron tipos dentro de la clasificación Baillie (2012).

Dentro de las formas generales se tienen solo Cajetes, dos Cónicos (CN), un Curvo-Convergente (CC) y un Cilíndrico (CY) (Tabla 5.11).

**Tabla 5.11. Cuenta y porcentaje de formas especificas en los cajetes (E9).**

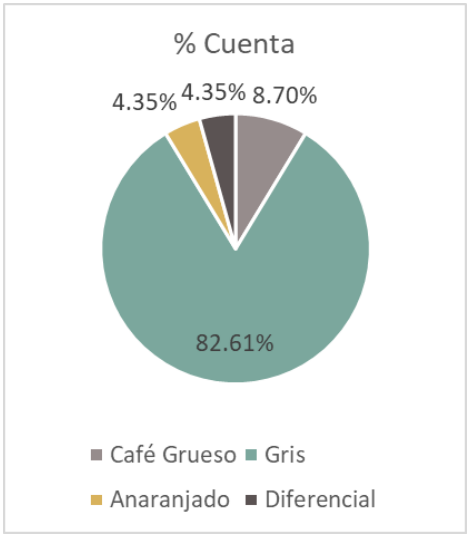
| PASTA | Cajetes | | | | | |
|---|---|---|---|---|---|---|
| | **CN** | **%** | **CC** | **%** | **CY** | **%** |
| Anaranjado | | | | | 1 | 25% |
| Gris | 2 | 50% | 1 | 25% | | |
| **Total** | **4(100%)** | | | | | |

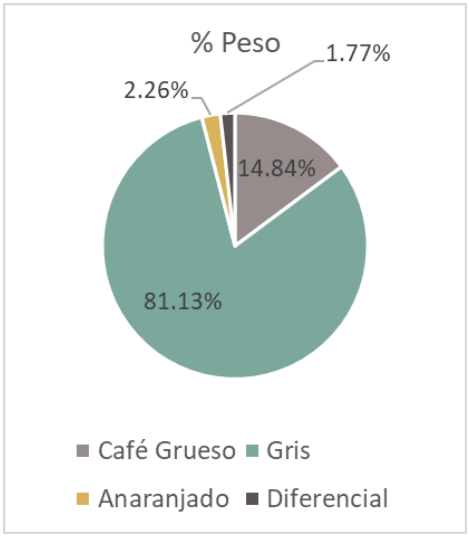
**E6**

Este contexto se localiza en la Operación A, corresponde a una ofrenda cerámica asociada con piedras de río. El contexto está fechado para el Clásico Tardío. Los materiales analizados fueron: P16-12 (FS 22-1302), P16-13 (FS 22-1311), P16-14 (FS 22-1315), y P16-17 (FS 22-1393). Se analizaron 46 bordes de 46 presentes, lo que representa el 100% de los bordes del contexto, y el 6.21% de la totalidad de la cerámica del contexto (Tabla 5.12).

**Tabla 5.12. Porcentaje de Cuenta y Peso de la Forma General en pastas (E6).**

| PASTA | FORMA | CUENTA | % CUENTA | PESO | % PESO |
|---|---|---|---|---|---|
| Café Grueso | JR | 3 | 6.52% | 82 | 13.23% |
| | BW | 1 | 2.17% | 10 | 1.61% |
| Anaranjada | BW | 2 | 4.35% | 14 | 2.26% |
| Gris | JR | 2 | 4.35% | 22 | 3.55% |
| | BW | 36 | 78.35% | 481 | 77.58% |
| Diferencial | BW | 2 | 4.35% | 11 | 1.77% |
| **Total** | | **46** | **100%** | **620** | **100%** |




Las Ollas representan el 10.87% y los Cajetes 89.13%. La forma predominante son los Cajetes en pasta Gris, representando el 78.35% de toda la cerámica analizada.

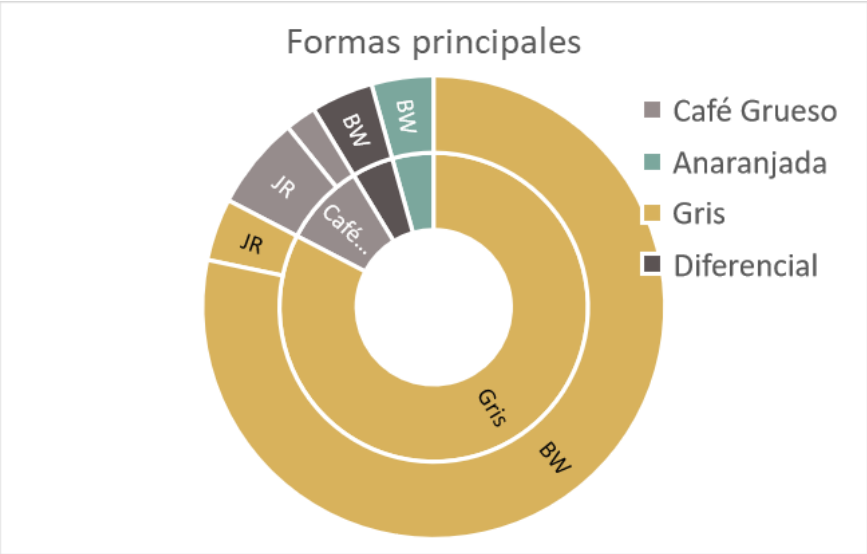



**Figura 5.8. Distribución de las formas primarias en las pastas (E6).**

En la cerámica total predomina la pasta Café Gruesa, con el 49.80% de la cerámica total de este contexto, seguida por la Gris con 44.40%, la Anaranjada con el 5.12%, y la Diferencial con .67% (Tabla 5.13).

**Tabla 5.13. Porcentaje de cerámica por pastas del contexto (E6).**

| PASTA | ANALIZADOS # | TOTALES # | TOTALES % |
|---|---|---|---|
| Café Grueso | 4 | 369 | 49.80% |
| Anaranjada | 2 | 38 | 5.12% |
| Gris | 38 | 329 | 44.40% |
| Diferencial | 2 | 5 | .67% |
| **Total** | **46** | **741** | **100%** |

Siguiendo la clasificación de Baillie (2012) y Hedgepeth (2009), los tipos presentes son:

- Café Grueso. Tipo 301 y 310.
- Anaranjado. Tipo 402.
- Gris. Tipo 204, 501, 502, 508, 513, 514 y 535.
- Diferencial. Tipo 104.

De estos se repiten los siguientes: 104 (#2), 310 (#3), 501(#3), 508 y 513 (#2); el resto solo aparece una vez. Tepalcates no identificados dentro de la clasificación incluyen 27 en pasta Gris y uno en pasta Anaranjada (Figura 5.9).

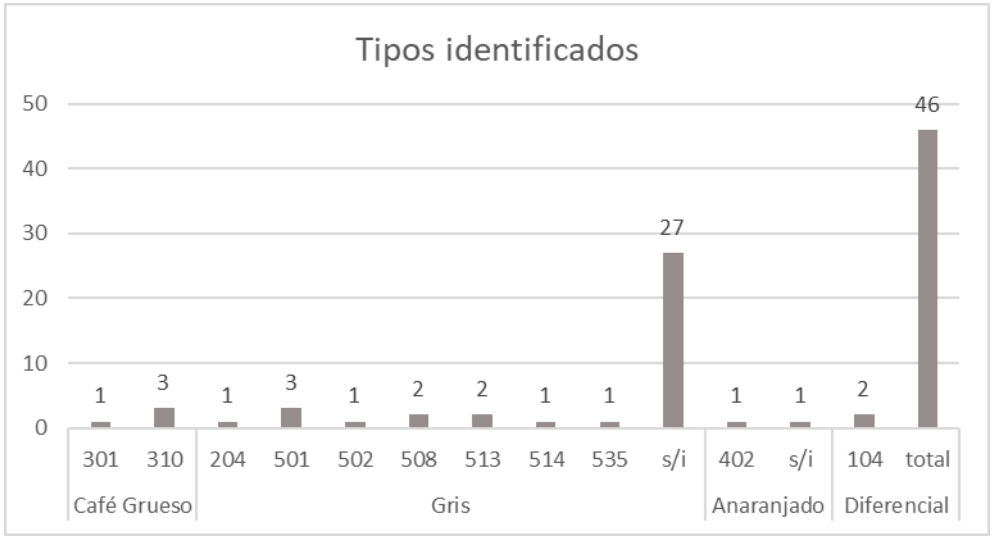



**Figura 5.9. Distribución de los tipos identificados (E6).**

Dentro de las formas generales, en los Cajetes predominan los Cónicos (CN), seguidos de los Semiesféricos (SM), los Curvo-Convergentes (CC), de Silueta compuesta (CS) y Cilíndricos (CY), así como dos bordes sin identificar la forma específica. Dentro de las Ollas hay cuatro de Cuello Corto (SN) y una Miniatura (M) (Tabla 5.14).

**Tabla 5.14. Cuenta y porcentaje de formas especificas en los cajetes y ollas (E6).**

| PASTA | Cajetes | | | | | | | | | | | |
|---|---|---|---|---|---|---|---|---|---|---|---|---|
| | **CN** | **%** | **CC** | **%** | **SM** | **%** | **CY** | **%** | **CS** | **%** | **s/i** | **%** |
| Café Grueso | 1 | 2.43% | | | | | | | | | | |
| Anaranjado | 2 | 4.87% | | | | | | | | | | |
| Gris | 19 | 46.34 % | 3 | 7.31 % | 8 | 19.51 % | 1 | 2.43 % | 3 | 7.31 % | 2 | 4.87 % |
| Diferencial | | | | | 2 | 4.87% | | | | | | |
| **Total** | **41(100%)** | | | | | | | | | | | |

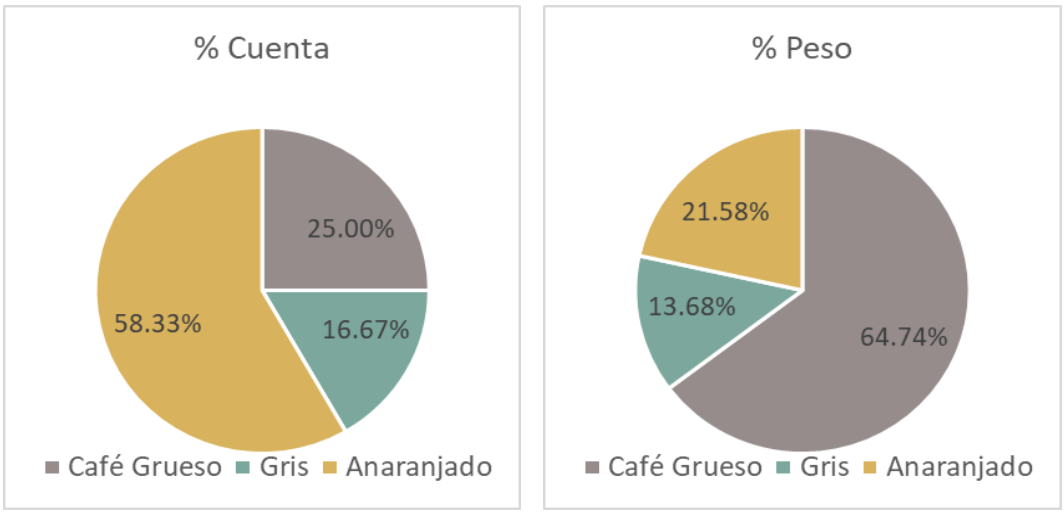
| PASTA | Ollas | | | |
|---|---|---|---|---|
| | **SN** | **%** | **M** | **%** |
| Café Grueso | 3 | 60% | | |
| Anaranjado | | | | |
| Gris | 1 | 20% | 1 | 20% |
| Diferencial | | | | |
| **Total** | **5(100%)** | | | |

**E22-s2**

Este contexto se localiza en la Operación A, corresponde al desecho ocupacional asociado a la Estructura 1. El contexto está fechado para el Clásico Tardío. Los materiales analizados fueron: MU23-2 (FS 22-3646) y MU23-2 (FS 22-3659). Se analizaron 12 bordes de 14 presentes, lo que representa el 85% de los bordes del contexto, y el 9.38% de la totalidad de la cerámica del contexto (Tabla 5.15).

**Tabla 5.15. Porcentaje de Cuenta y Peso de la Forma General en pastas (E22-s2).**

| PASTA | FORMA | CUENTA | % CUENTA | PESO | % PESO |
|---|---|---|---|---|---|
| Café Grueso | Cajete | 2 | 16.67% | 211 | 40.66% |
| | Tubería? | 1 | 8.33% | 125 | 24.08% |
| Anaranjada | Cajete | 7 | 58.33% | 112 | 21.58% |
| Gris | Olla | 1 | 8.33% | 55 | 10.60% |
| | Cajete | 1 | 8.33% | 16 | 3.08% |
| **Total** | | **12** | **100%** | **519** | **100%** |




Las Ollas representan el 8.33% y los Cajetes 83.33%. La forma predominante son los Cajetes en pasta Anaranjada, representando el 58.33% de toda la cerámica analizada.

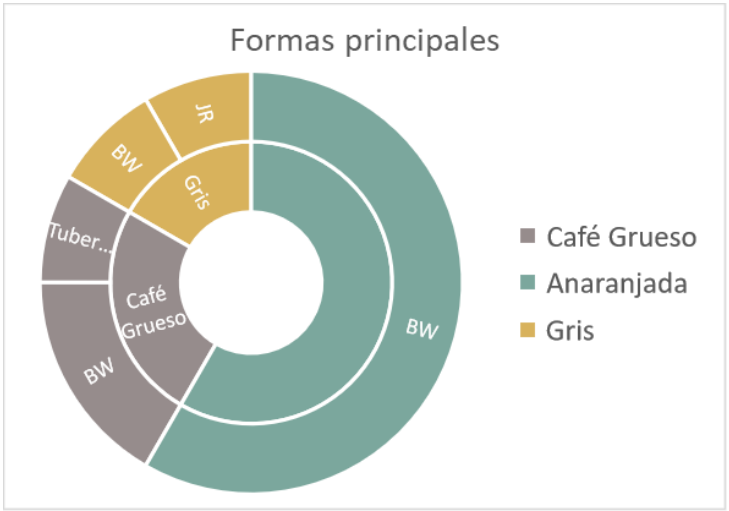



**Figura 5.10. Distribución de las formas primarias en las pastas (E22-s2).**

En la cerámica total predomina la pasta Café Grueso, con el 50.71% de la cerámica total de este contexto, seguida por la Gris con 29.68% y la Anaranjada con 19.53% (Tabla 5.16).

**Tabla 5.16. Porcentaje de cerámica por pastas del contexto (E22-s2).**

| PASTA | ANALIZADOS # | TOTALES # | TOTALES % |
|---|---|---|---|
| Café Grueso | 3 | 65 | 50.71% |
| Anaranjada | 7 | 25 | 19.53% |
| Gris | 2 | 38 | 29.68% |
| **Total** | **12** | **128** | **100%** |

Siguiendo la clasificación de Baillie (2012), los tipos presentes son:

- Café Grueso. Tipo 301.
- Anaranjado. Tipo 402, 409, 412 y 427.
- Gris. Tipo 514.

Estos se presentan solo una vez, salvo los tipos 402 y 409 que se encuentran dos veces cada uno. Dentro de los no identificados se tienen dos en pasta Café Grueso, uno en pasta Gris y uno en pasta Anaranjada (Figura 5.11).

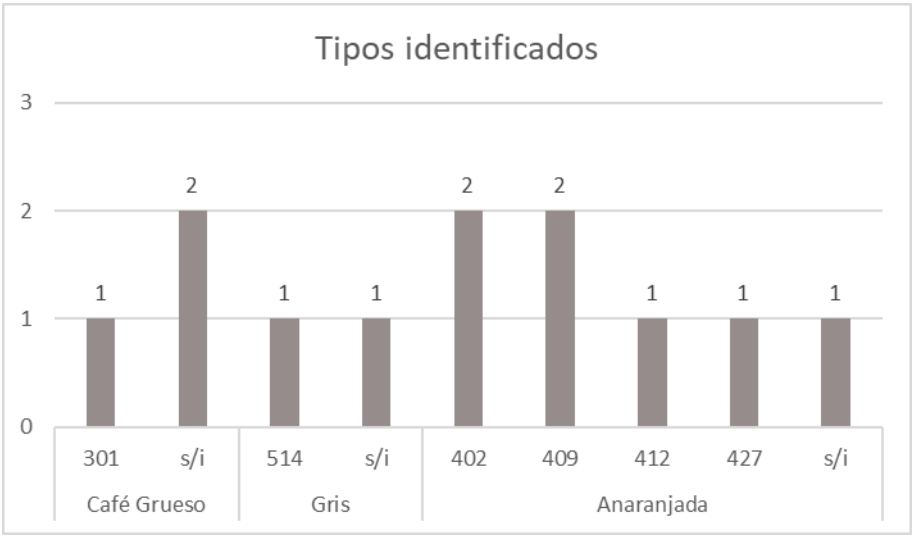



**Figura 5.11. Distribución de los tipos identificados (E22-s2).**

Dentro de las formas generales, en los cajetes se tienen Semiesféricos (SM), Cónicos (CN) y Curvo-Convergentes (CC). En las Ollas se tienen del tipo con Flange (FL) (Tabla 5.17).

**Tabla 5.17. Cuenta y porcentaje de formas especificas en los cajetes y ollas (E22-s2).**

| PASTA | Cajete | | | | | | Olla | |
|---|---|---|---|---|---|---|---|---|
| | CN | % | CC | % | SM | % | FL | % |
| Café Grueso | 1 | 10% | 1 | 10% | | | | |
| Anaranjado | 3 | 30% | 1 | 10% | 3 | 30% | | |
| Gris | | | | | 1 | 10% | 1 | 100 |
| **Total** | **10(100%)** | | | | | | **1(100%)** | |

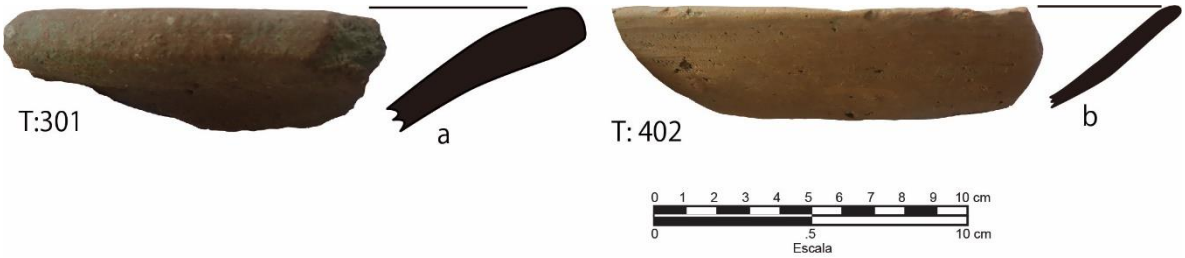



**Figura 5.12. Ejemplo de la cerámica recuperada en el contexto E22-s2: a. T301, b. T402.**

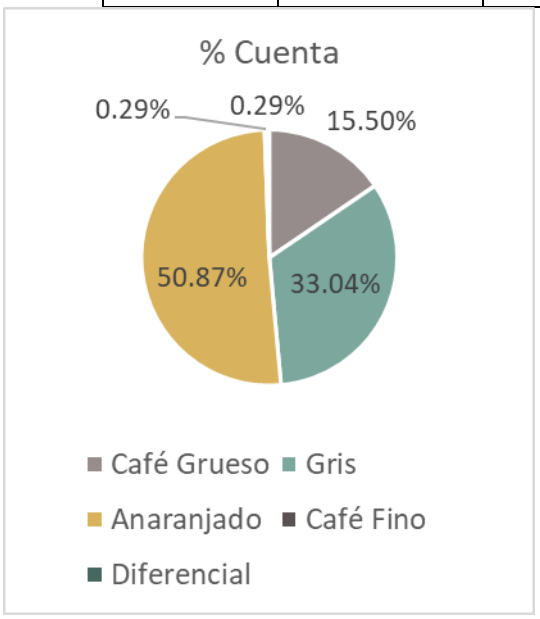
**E15 con contribuciones menores de E16, E21, E27 y E38**

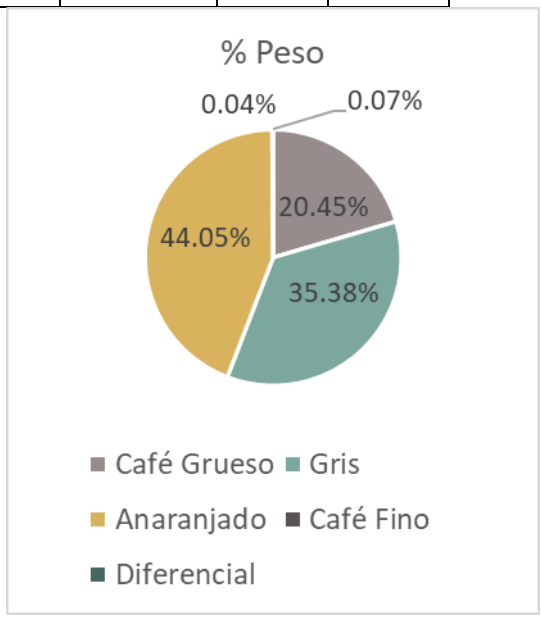
Este contexto se localiza en la Operación A, corresponde a un depósito de terminación. El contexto está fechado para el Clásico Tardío. Los materiales analizados fueron: L13-6 (FS 22-1430), L13-7 (FS 22-1454), L13-8 (FS 22-1557), L13-9 (FS 22-1587), L13-10 (FS 22-1602), L13-11 (FS 22-1629), M13-2 (FS 22-2546), M13-3 (FS 22-2549), M14-4 (FS 22-3557), M14-5 (FS 22-3578), M14-6 (FS 22-3586), MU1-9 (FS 22-1650), MU1-10 (FS 22-1803), MU1-11 (FS 22-1816), MU21-5 (FS 22-3497), MU21-6 (FS 22-3507), MU22-3 (FS 22-3513), O11-3 (FS 22-1935), O11-3 (FS 22-1936), O11- 4 (FS 22-1939), O11-4 (FS 22-1940), O11- 5 (FS 22-1945) y O11-6 (FS 22-1951). Se analizaron 342

bordes de 551 presentes, lo que representa el 62.06% de los bordes del contexto, y el 8.81% de la totalidad de la cerámica del contexto (Tabla 5.18).

**Tabla 5.18. Porcentaje de Cuenta y Peso de la Forma General en pastas (E15 - E16, E21, E27 y E38).**

| PASTA | FORMA | CUENTA | % CUENTA | PESO | % PESO |
|---|---|---|---|---|---|
| Café Grueso | Olla | 29 | 8.48% | 1,515 | 11.31% |
| | Cajete | 21 | 6.14% | 1,074 | 8.01% |
| | Cazuela | 3 | .88% | 150 | 1.12% |
| Anaranjada | Olla | 2 | .58% | 38 | .28% |
| | Cajete | 172 | 50.29% | 5,861 | 43.76% |
| Gris | Olla | 17 | 4.97% | 631 | 4.71% |
| | Cajete | 94 | 27.48% | 4,095 | 30.58% |
| | Soporte | 1 | .29% | 12 | .09% |
| | Indeterminada | 1 | .29% | 2 | .01% |
| Diferencial | Olla | 1 | .29% | 10 | .07% |
| Café Fino | Cajete | 1 | .29% | 6 | .04% |
| **Total** | | **342** | **100%** | **13,394** | **100%** |




Las Ollas representan el 14.33% y los Cajetes 84.21%. La forma predominante son los Cajetes en pasta Anaranjada, representando el 50.29% de toda la cerámica analizada.

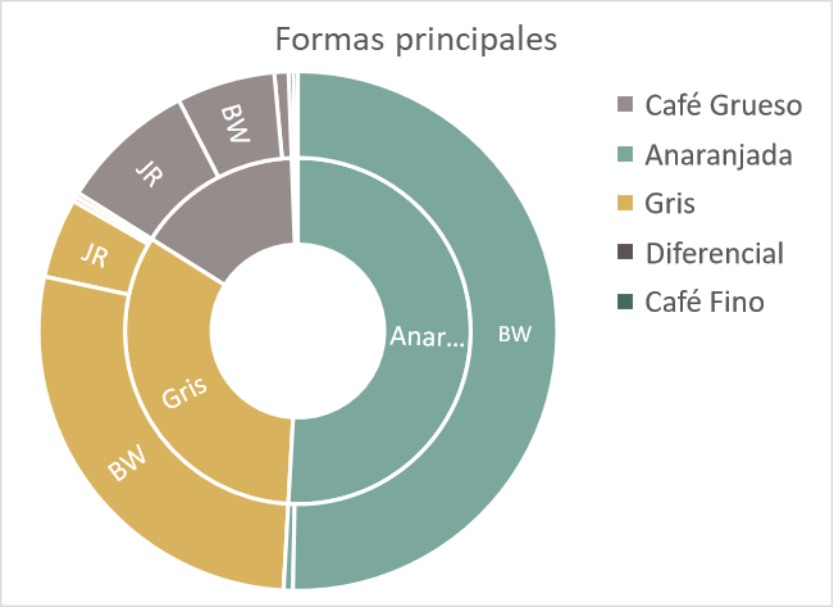



**Figura 5.13. Distribución de las formas primarias en las pastas (E15 - E16, E21, E27 y E38).**

En la cerámica total predomina la pasta Gris, con el 34.11%% de la cerámica total de este contexto, seguida por la Café Grueso con el 32.9%, la Anaranjada con el 32.68%, la Diferencial con el .28% y la Café Fino con .025% (Tabla 5.19).

**Tabla 5.19. Porcentaje de cerámica por pastas del contexto (E15 - E16, E21, E27 y E38).**

| PASTA | ANALIZADOS # | TOTALES # | TOTALES % |
|---|---|---|---|
| Café Grueso | 53 | 1,278 | 32.9% |
| Anaranjada | 174 | 1,270 | 32.68% |
| Gris | 113 | 1,325 | 34.11% |
| Diferencial | 1 | 11 | .28% |
| Café Fino | 1 | 1 | .025% |
| **Total** | **342** | **3,885** | **100%** |

Siguiendo la clasificación de Baillie (2012) y Hedgepeth (2009), los tipos presentes son:

- Café Grueso. Tipo 301, 303, 305, 307, 308, 309 y 310.
- Anaranjado. Tipo 103, 104, 112, 117, 118, 401, 402, 403, 404, 405, 406, 408, 409
- 410, 412, 414, 415, 418, 424, 425, 426, y 427.
- Gris. Tipo 201, 501, 508, 509, 510, 511, 512, 513, 514, 517, 519, 524, 528, 531, 532, 533, 534 y 541.

De estos se repiten los siguientes: 308 (#12), 501 (#15), 514 (#9), 402 (#15), 409 (#26), 410 (#15), 412 (#13), 427 (#15); el resto solo aparece de una a diez veces. Tepalcates no identificados dentro de la clasificación incluyen 20 en pasta Café Grueso, 49 en pasta Gris, y 34 en pasta Anaranjada (Figura 5.14).

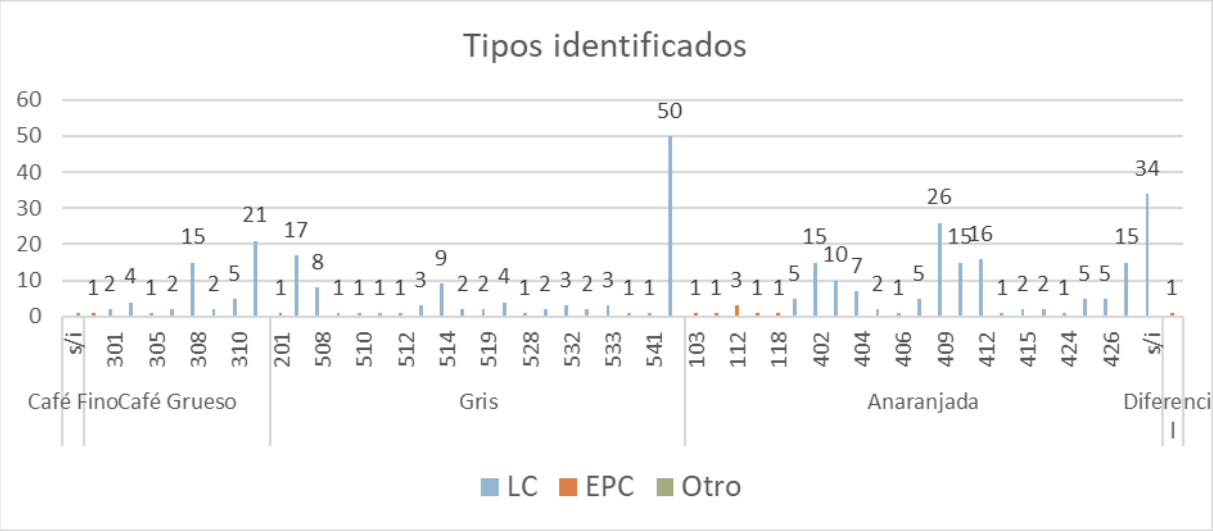



**Figura 5.14. Distribución de los tipos identificados (E15 - E16, E21, E27 y E38).**

Dentro de las formas generales, en los Cajetes predominan los Cónicos (CN) y Semiesféricos (SM), seguidos de los Cilíndricos (CY), los Curvo-Convergentes (CC), y los de Silueta Compuesta (CS), también hay sin identificar. En las Ollas se tienen de Cuello Alto (TN), Cuello Corto (SN), Botellón/Cántaro (B/C), así como Miniaturas (M) y con Flange (FL), y dos bordes sin identificar (Tabla

5.20). Además, se tienen 3 cazuelas en pasta Café Grueso, 1 soporte en Gris, y 1 borde indefinido en pasta Gris.

**Tabla 5.20. Cuenta y porcentaje de formas especificas en los cajetes y ollas (E15 - E16, E21, E27 y E38).**

| PASTA | Cajete | | | | | | | | | | | |
|---|---|---|---|---|---|---|---|---|---|---|---|---|
| | CN | % | CC | % | SM | % | CS | % | CY | % | s/i | % |
| Café Grueso | 6 | 2.08% | 3 | 1.04% | 7 | 2.43% | 1 | .34% | 1 | .34% | 3 | 1.04% |
| Anaranjado | 66 | 22.91% | 6 | 2.08% | 83 | 28.81% | 1 | .34% | 12 | 4.16% | 4 | 1.38% |
| Gris | 49 | 17.01% | 8 | 2.77% | 21 | 7.29% | 3 | 1.04% | 7 | 2.43% | 6 | 2.08% |
| Café fino | | | | | | | | | 1 | .34% | | |
| **Total** | **288(100%)** | | | | | | | | | | | |

| PASTA | Olla | | | | | | | | | | | |
|---|---|---|---|---|---|---|---|---|---|---|---|---|
| | B/C | % | SN | % | TN | % | M | % | FN | % | OL-¿? | % |
| Café Grueso | 2 | 4.08% | 7 | 14.28% | 19 | 38.77% | | | | | 1 | 2.04% |
| Anaranjado | 1 | 2.04% | | | | | 1 | 2.04% | | | | |
| Gris | 2 | 4.08% | 9 | 18.36% | 1 | 2.04% | | | 4 | 8.16% | 1 | 2.04% |
| Diferencial | | | | | | | 1 | 2.04% | | | | |
| Café fino | | | | | | | | | | | | |
| **Total** | **49(100%)** | | | | | | | | | | | |

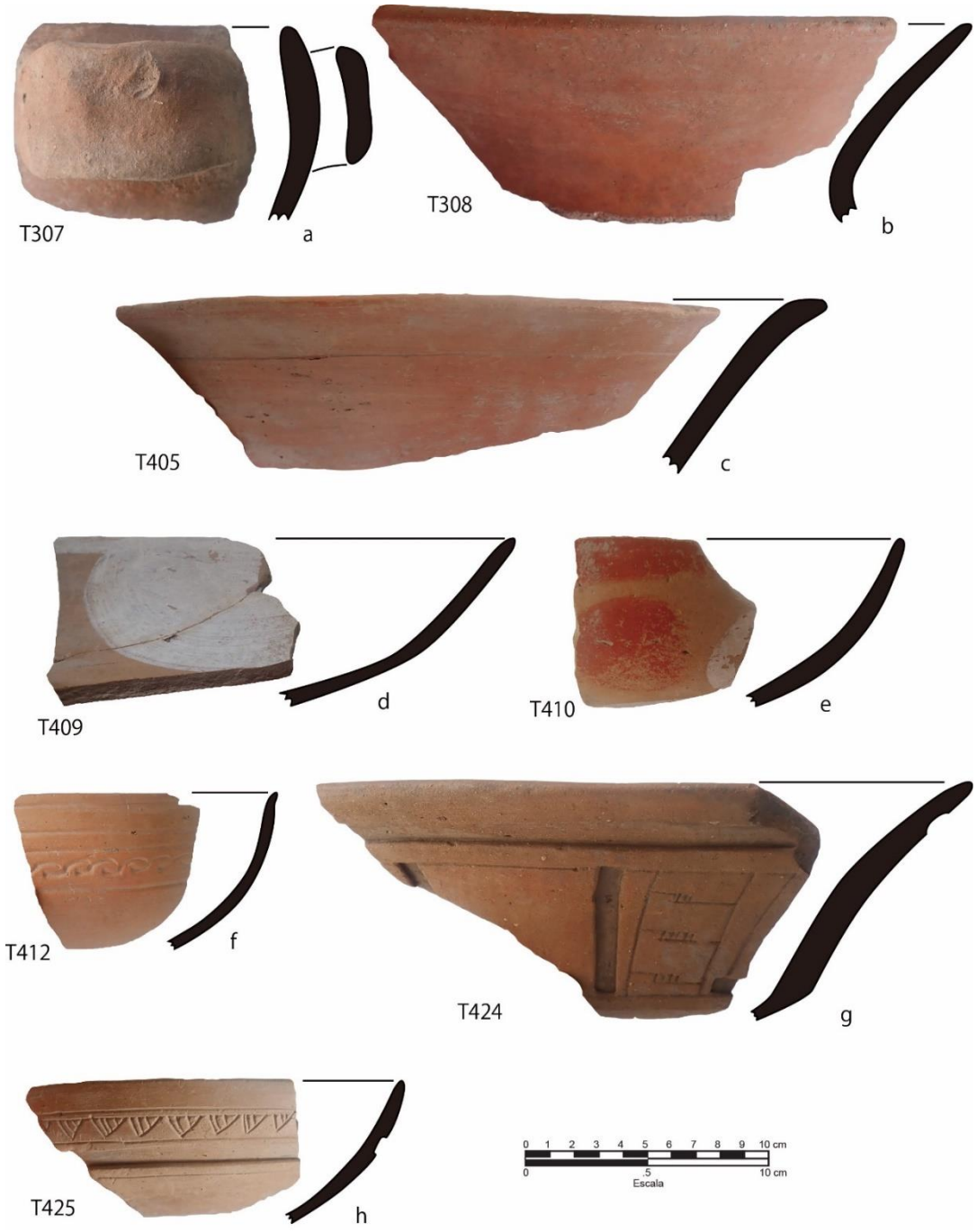



**Figura 5.15. Ejemplo de la cerámica recuperada en el contexto E15 (E16, E21, E27 y E38): a. T307, b. T308, c. T405, d. T409, e. T410, f. T412, g. T424, h. T425.**

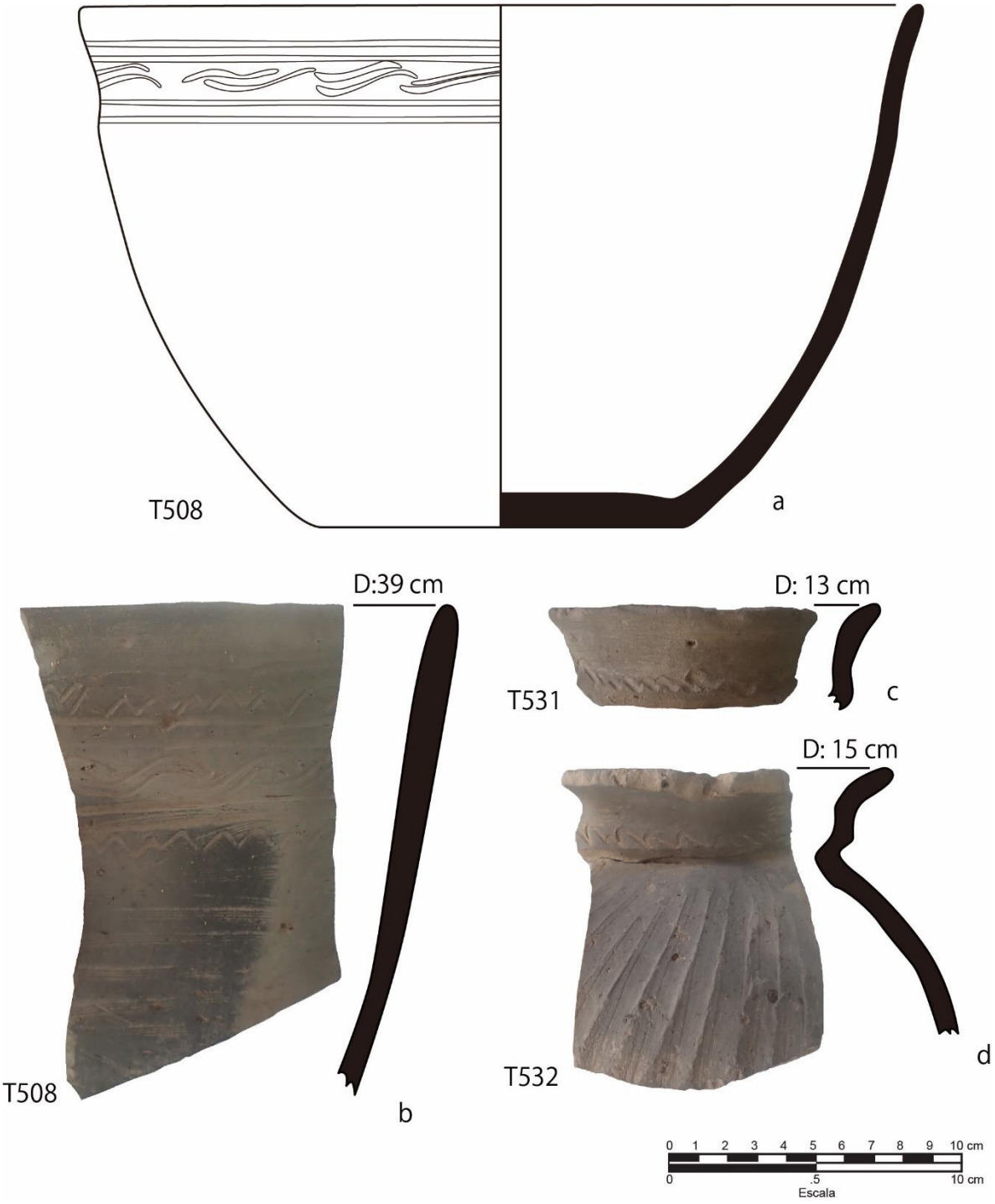


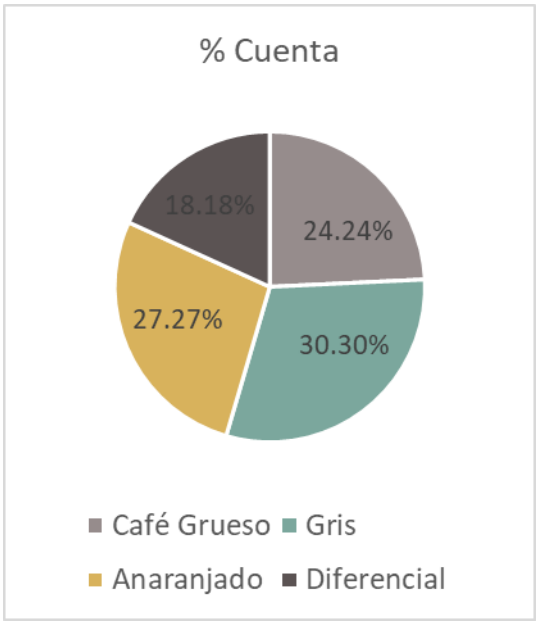

**Figura 5.16. Ejemplo de la cerámica recuperada en el contexto (E15 - E16, E21, E27 y E38): a. T508, b. T508, c. T531, d. T532.**

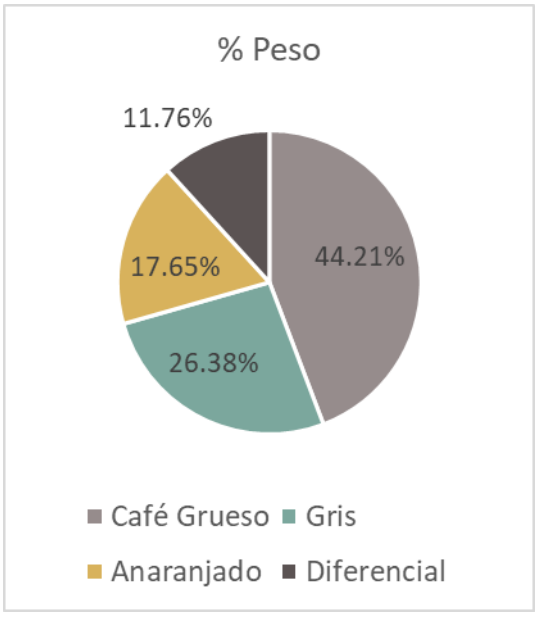
**E54**

Este contexto se localiza en la Operación A, corresponde a un relleno de basurero. El contexto está fechado en la transición entre el Clásico Tardío y el Posclásico Temprano. Los materiales analizados fueron: P10-5 (FS 22-1047), Q10-5 (FS 22-1941) y Q10-6 (FS 22-1947). Se analizaron 33 bordes de 146 presentes, lo que representa el 22.06% de los bordes del contexto, y el 1.52% de la totalidad de la cerámica del contexto (Tabla 5.21).

**Tabla 5.21. Porcentaje de Cuenta y Peso de la Forma General en pastas (E54).**

| PASTA | FORMA | CUENTA | % CUENTA | PESO | % PESO |
|---|---|---|---|---|---|
| Café Grueso | Olla | 4 | 12.12% | 175 | 33.21% |
| | Cajete | 4 | 12.12% | 58 | 11.01% |
| Anaranjada | Olla | 1 | 3.03% | 6 | 1.14% |
| | Cajete | 7 | 21.21% | 71 | 13.47% |
| | Soporte | 1 | 3.03% | 16 | 3.04% |
| Gris | Olla | 2 | 6.06% | 25 | 4.74% |
| | Cajete | 8 | 24.24% | 114 | 21.63% |
| Diferencial | Cajete | 6 | 18.18% | 62 | 11.76% |
| **Total** | | **33** | **100%** | **527** | **100%** |



Las Ollas representan el 21.21% y los Cajetes el 75.76%. La forma predominante son los Cajetes en pasta Gris, representando el 24.24% de toda la cerámica analizada.

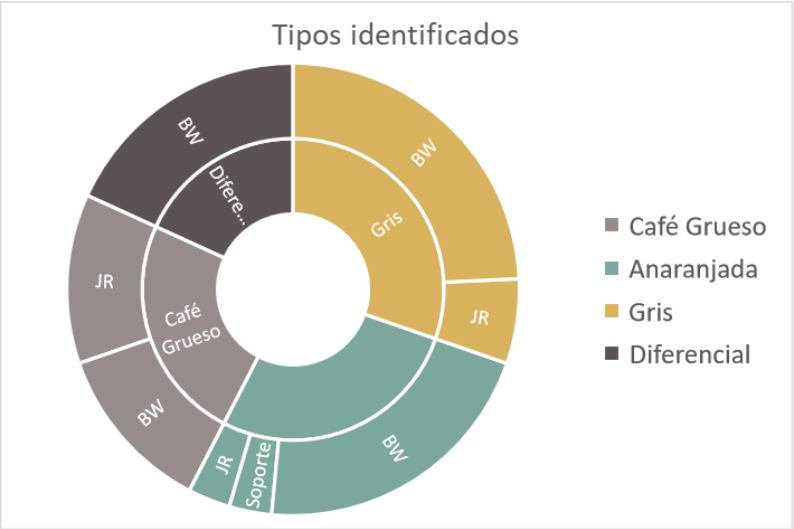



**Figura 5.17. distribución de las formas primarias en las pastas (E54).**

En la cerámica total predomina la pasta Café Grueso, con el 44.79% de la cerámica total de este contexto, seguida por la Gris con 25.71%, la Anaranjada con el 23.82%, y la Diferencial con 5.66% (Tabla 5.22).

**Tabla 5.22. Porcentaje de cerámica por pastas del contexto (E54).**

| PASTA | ANALIZADOS # | TOTALES # | TOTALES % |
|---|---|---|---|
| Café Grueso | 8 | 972 | 44.79% |
| Anaranjada | 9 | 517 | 23.82% |
| Gris | 10 | 558 | 25.71% |
| Diferencial | 6 | 123 | 5.66% |
| **Total** | **33** | **2,170** | **100%** |

Siguiendo la clasificación de Baillie (2012) y Hedgepeth (2009), los tipos presentes son:

- Café Grueso. Tipo 309.
- Anaranjado. Tipo 104, 121, 124, 425 y 419.
- Gris. Tipo 508, 514, 521, 526 y 531.
- Diferencial. Tipo 104 y 112.

De estos se repiten los siguientes: 104 (#3), 112 (#3), 526 (#2) y 531 (#2); el resto solo aparece una vez. Tepalcates no identificados dentro de la clasificación incluyen 7 en pasta Café Gruesa, 3 en Gris, y 4 en Anaranjada (Figura 5.18).

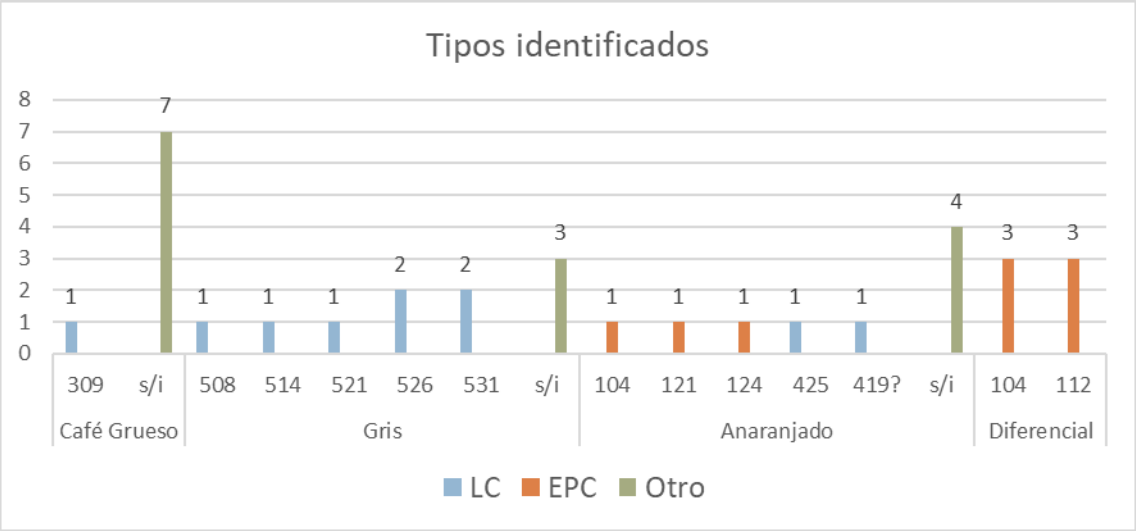



**Figura 5.18. Distribución de los tipos identificados (E54).**

Dentro de las formas generales, en los cajetes se tienen Semiesféricos (SM), Cónicos (CN), Curvo-Convergentes (CC), de Silueta Compuesta (CS) y Cilíndricos (CY). En las Ollas predominan las de Cuello Alto (TN), seguidas de Flange (FN), y Botellón/Cántaro (Tabla 5.23).

**Tabla 5.23. Cuenta y porcentaje de formas especificas en los cajetes y ollas (E54).**

| PASTA | Cajete | | | | | | | | | |
|---|---|---|---|---|---|---|---|---|---|---|
| | CN | % | CC | % | SM | % | CS | % | CY | % |
| Café Grueso | 2 | 8% | 2 | 8% | | | | | | |
| Anaranjado | 1 | 4% | | | 5 | 20% | | | 1 | 4% |
| Gris | 3 | 12% | 1 | 4% | 3 | 12% | 1 | 4% | | |
| Diferencial | | | 3 | 12% | 3 | 12% | | | | |
| **Total** | **25(100%)** | | | | | | | | | |

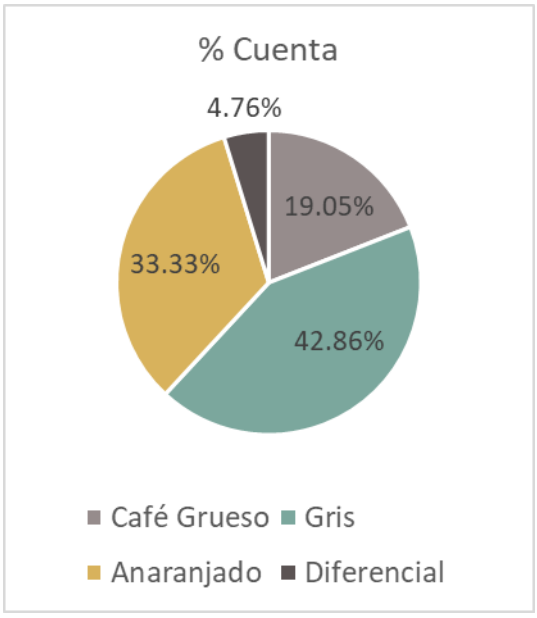
| PASTA | Olla | | | | | |
|---|---|---|---|---|---|---|
| | B/C | % | TN | % | FN | % |
| Café Grueso | | | 4 | 57.14% | | |
| Anaranjado | 1 | 14.28% | | | | |
| Gris | | | | | 2 | 28.57% |
| Diferencial | | | | | | |
| **Total** | **7(100%)** | | | | | |

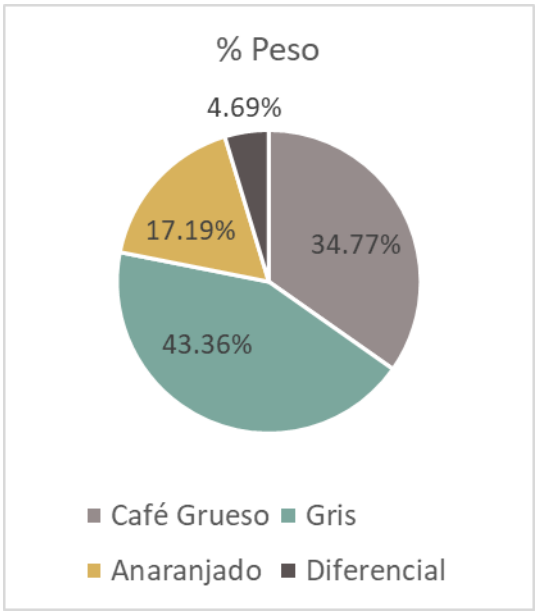
**E93**

Este contexto se localiza en la Operación A, corresponde a la cerámica asociada a un horno de tierra. El contexto está fechado para la transición entre el Clásico Tardío y el Posclásico Temprano. Los materiales analizados fueron: U17-12 (FS 22-0896), MU30-2 (FS 22-3808), MU30-2 (FS 22-6058), MU30-3 (FS 22-3813), MU31-1 (FS 22-3841), MU31-1 (FS 22-6039), MU31-2 (FS 22-3872), MU31-2 (FS 22-0998), MU31-5 (FS 22-3890), MU31-6 (FS 22-6011), y MU31-7 (FS 22-6021). Se analizaron 21 bordes de 21 presentes, lo que representa el 100% de los bordes del contexto, y el 4.17% de la totalidad de la cerámica del contexto (Tabla 5.24).

**Tabla 5.24. Porcentaje de Cuenta y Peso de la Forma General en pastas (E93).**

| PASTA | FORMA | CUENTA | % CUENTA | PESO | % PESO |
|---|---|---|---|---|---|
| Café Grueso | Olla | 1 | 4.76% | 42 | 16.41% |
| | Cajete | 3 | 14.29% | 47 | 18.36% |
| Anaranjada | Cajete | 7 | 33.33% | 44 | 17.19% |
| Gris | Cajete | 9 | 42.86% | 111 | 43.36% |
| Diferencial | Cajete | 1 | 4.76% | 12 | 4.69% |
| **Total** | | **21** | **100%** | **256** | **100%** |




Las Ollas representan el 4.76% y los Cajetes 95.24%. La forma predominante son los Cajetes en pasta Gris, representando el 42.86% de toda la cerámica analizada.

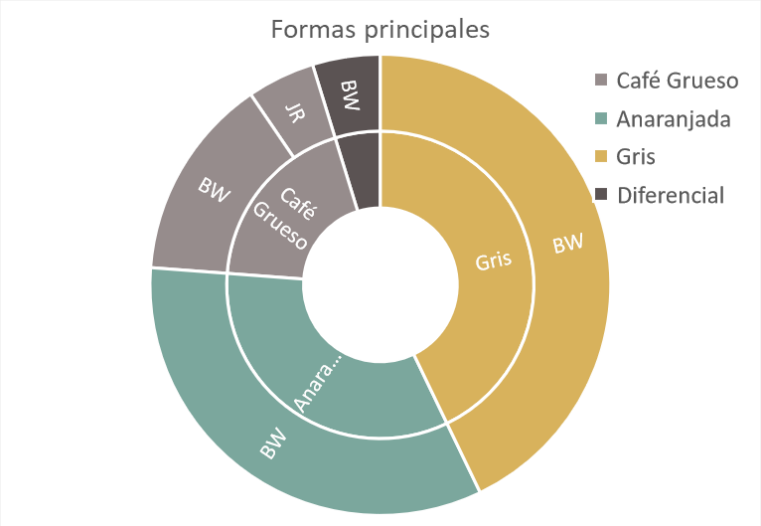



**Figura 5.19. distribución de las formas primarias en las pastas (E93).**

En la cerámica total predomina la pasta Café Gruesa, con el 53.37% de la cerámica total de este contexto, seguida por la Gris con 31.54%, la Anaranjada con el 14.08%, y la Diferencial con .99% (Tabla 5.25).

**Tabla 5.25. Porcentaje de cerámica por pastas del contexto (E93).**

| PASTA | ANALIZADOS # | TOTALES # | TOTALES % |
|---|---|---|---|
| Café Grueso | 4 | 269 | 53.37% |
| Anaranjada | 7 | 71 | 14.08% |
| Gris | 9 | 159 | 31.54% |
| Diferencial | 1 | 5 | .99% |
| **Total** | **21** | **504** | **100%** |

Siguiendo la clasificación de Baillie (2012) y Hedgepeth (2009), los tipos presentes son:

- Café Grueso. Tipo 308.
- Anaranjado. Tipo 104, 402, 404 y 424.
- Gris. Tipo 508 y 516.
- Diferencial. Tipo 112.

Estos solo aparecen una vez. Tepalcates no identificados dentro de la clasificación incluyen 3 en pasta Café Grueso, 7 en pasta Gris y 3 en Anaranjada (Figura 5.20).

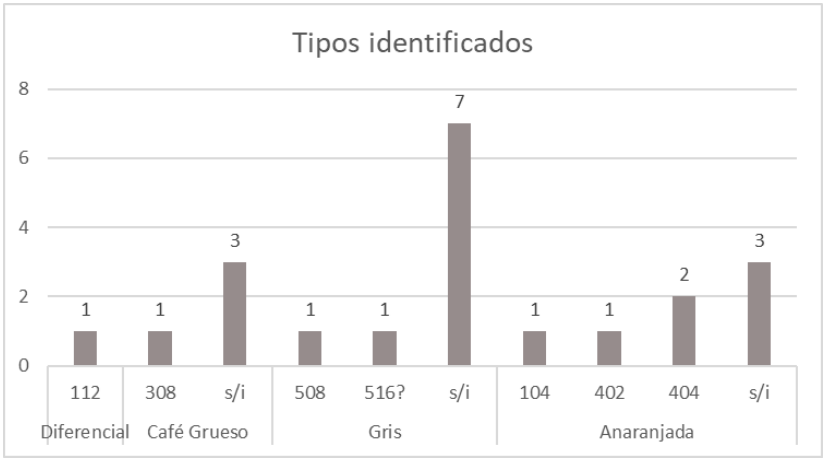



**Figura 5.20. Distribución de los tipos identificados (E93).**

Dentro de las formas generales, en los cajetes predominan los Cónicos (CN), seguido de los Semiesféricos (SM), los Curvo-Convergentes (CC), y los de Silueta Compuesta (CS) y Cilíndricos (CY). En las Ollas, solo se tiene una de tipo Cuello Corto en pasta Café Grueso (Tabla 5.26).

**Tabla 5.26. Cuenta y porcentaje de formas especificas en los cajetes y ollas (E93).**

| PASTA | Cajete | | | | | | | | | |
|---|---|---|---|---|---|---|---|---|---|---|
| | CN | % | CC | % | SM | % | CS | % | CY | % |
| Café Grueso | 1 | 5% | | | 2 | 10% | | | | |
| Anaranjado | 5 | 25% | | | 1 | 5% | 1 | 5% | | |
| Gris | 7 | 35% | 1 | 5% | | | | | 1 | 5% |
| Diferencial | | | 1 | 5% | | | | | | |
| **Total** | **20(100%)** | | | | | | | | | |

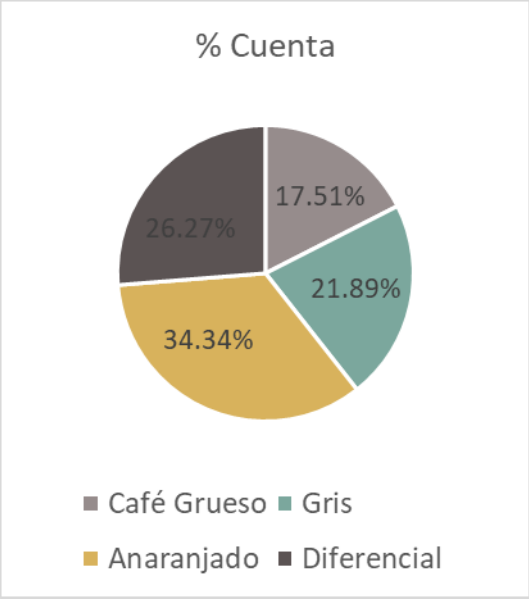
**E84 con contribuciones menores de E11 y E85**

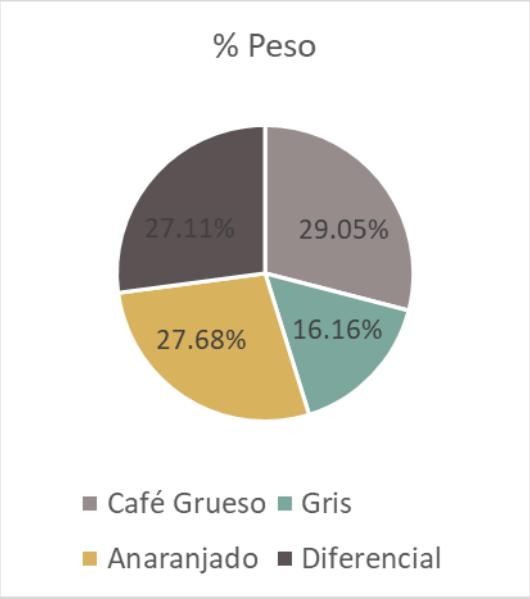
Este contexto se localiza en la Operación A, corresponde a un basurero. El contexto está fechado para el Posclásico Temprano. Los materiales analizados fueron: F24-5 (FS 22-2271) F24-6

(FS 22-2284), F24-10 (FS 22-2457), F24-11 (FS 22-2468), F24-13 (FS 22-2486), F24-14 (FS 22-2491), F24-15 (FS 22-2605), F24-16 (FS 22-2613), F24-17 (FS 22-2623), F24-19 (FS 22-2644), MU11-1 (FS 22-3016), MU11-2 (FS 22-3041), MU11-3 (FS 22-3048), MU11-4 (FS 22-3058), MU11-5 (FS 22-3070), MU11-6 (FS 22-3077), MU11-7 (FS 22-3084), MU11-8 (FS 22-3093), MU11-9 (FS 22-3098), MU11-10 (FS 22-3203), MU11-11 (FS 22-3211). Se analizaron 297 bordes de 412 presentes, lo que representa el 70.08% de los bordes del contexto, y el 8.17% de la totalidad de la cerámica del contexto (Tabla 5.27).

**Tabla 5.27. Porcentaje de Cuenta y Peso de la Forma General en pastas (E84 – E11 y E85).**

| PASTA | FORMA | CUENTA | % CUENTA | PESO | % PESO |
|---|---|---|---|---|---|
| Café Grueso | Olla | 31 | 10.44% | 1,056 | 21.26% |
| | Cajete | 21 | 7.07% | 387 | 7.79% |
| Anaranjada | Olla | 7 | 2.36% | 138 | 2.77% |
| | Cajete | 93 | 31.31% | 1,220 | 24.56% |
| | Molcajete | 2 | .67% | 17 | .34% |
| Gris | Olla | 7 | 2.36% | 87 | 1.75% |
| | Cajete | 58 | 19.53% | 716 | 14.41% |
| Diferencial | Cajete | 78 | 26.27% | 1,347 | 27.11 |
| **Total** | | **297** | **100%** | **4968** | **100%** |



Las Ollas representan el 15.15%, los Cajetes 84.18%, y los Molcajetes el .67%. La forma predominante son los Cajetes en pasta Anaranjada, representando el 31.31% de toda la cerámica analizada.

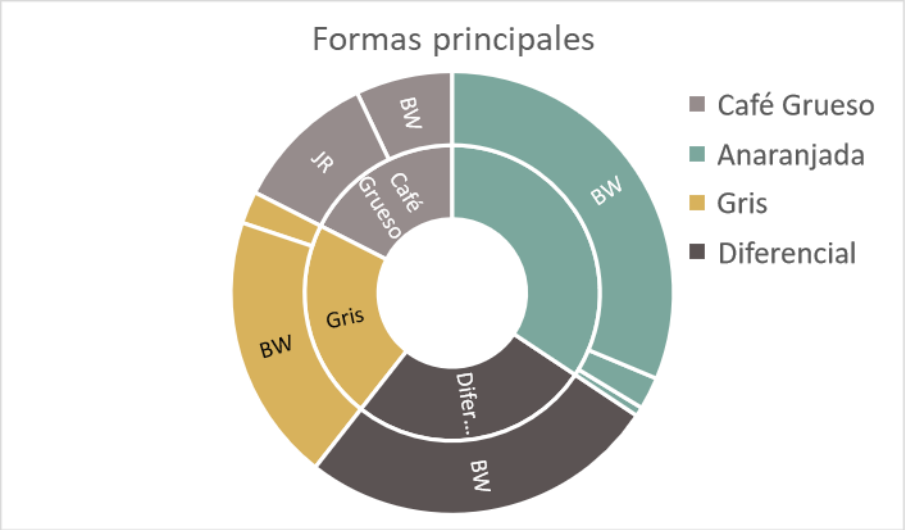



**Figura 5.21. Distribución de las formas primarias en las pastas (E84 – E11 y E85).**

En la cerámica total predomina la pasta Café Grueso, con el 41.99% de la cerámica total de este contexto, seguida por la Anaranjada con 26.23%, la Gris con el 19.99%, y la Diferencial con 11.77% (Tabla 5.28).

**Tabla 5.28. Porcentaje de cerámica por pastas del contexto (E84 – E11 y E85).**

| PASTA | ANALIZADOS # | TOTALES # | TOTALES % |
|---|---|---|---|
| Café Grueso | 52 | 1,527 | 41.99% |
| Anaranjada | 102 | 954 | 26.23% |
| Gris | 65 | 727 | 19.99 |
| Diferencial | 78 | 428 | 11.77% |
| **Total** | **297** | **3,636** | **100%** |

Siguiendo la clasificación de Baillie (2012) y Hedgepeth (2009), los tipos presentes son:

- Café Grueso. Tipo 1, 2, 3, 4, 5, 301, 303, 307, 308 y 309.
- Anaranjado. Tipo 100, 103, 104, 105, 107, 108, 111, 112, 113, 120, 121
- 401, 402, 408, 409, 410, 412, 418, 425 y 427.
- Gris. Tipo 202, 205, 501, 514, 524, 526, 528 y 533.
- Diferencial. Tipo 100, 103, 104, 110, 111 y 112.

De estos, los que más se repiten son los siguientes: 104 (#29 y 25), 112 (#25), 4 (#9), 308 (#6), 409 (#9); el resto solo aparece de una a seis veces. Tepalcates no identificados dentro de la clasificación incluyen 19 en Café Gruesa, 52 en pasta Gris, y 29 en pasta Anaranjada (Figura 5.22).

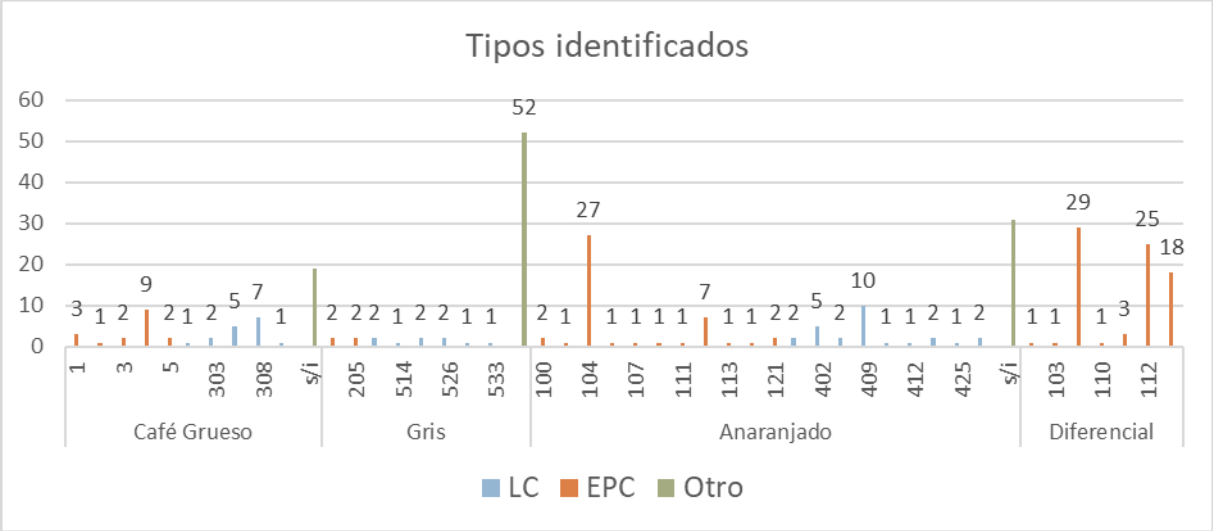



**Figura 5.22. Distribución de los tipos identificados (E84 – E11 y E85).**

Dentro de las formas generales, en los cajetes predominan los Semiesféricos (SM), seguidos de los Cónicos (CN) y los Curvo-Convergentes (CC), los Cilíndricos (CY), de Silueta Compuesta (CS) se presentan en bajas proporciones y también se tienen doce bordes sin identificar forma específica. En las Ollas se tienen de Cuello Largo (TN), Cuello Corto (SN), sin identificar (s/i), Miniaturas (M), Botellón/Cántaro (B/C) y Flange (FL) (Tabla 5.29).

**Tabla 5.29. Cuenta y porcentaje de formas especificas en los cajetes y ollas (E84-E11, E85)**

| PASTA | Cajete | | | | | | | | | | | |
|---|---|---|---|---|---|---|---|---|---|---|---|---|
| | CN | % | CC | % | SM | % | CS | % | CY | % | s/i | % |
| Café Grueso | 8 | 3.2% | 7 | 2.8% | 5 | 2% | | | | | 1 | .4% |
| Anaranjado | 17 | 6.8% | 14 | 5.6% | 57 | 2.28% | | | 2 | .8% | 3 | 1.2% |
| Gris | 23 | 9.2% | 14 | 5.6% | 10 | 4% | 1 | .4% | 3 | 1.2% | 7 | 2.8% |
| Diferencial | 17 | 6.8% | 28 | 11.2% | 32 | 12.8% | | | | | 1 | .4% |
| **Total** | **250(100%)** | | | | | | | | | | | |

| PASTA | Olla | | | | | | | | | | | |
|---|---|---|---|---|---|---|---|---|---|---|---|---|
| | B/C | % | SN | % | TN | % | OL-¿ | % | FL | % | M | % |
| Café Grueso | 1 | 4% | 11 | 44% | 14 | 56% | 4 | 16% | | | 1 | 4% |
| Anaranjado | 4 | 16% | | | | | | | | | 3 | 12% |
| Gris | 1 | 4% | 1 | 4% | | | 2 | 8% | 2 | 8% | 1 | 4% |
| Diferencial | | | | | | | | | | | | |
| **Total** | **45(100%)** | | | | | | | | | | | |

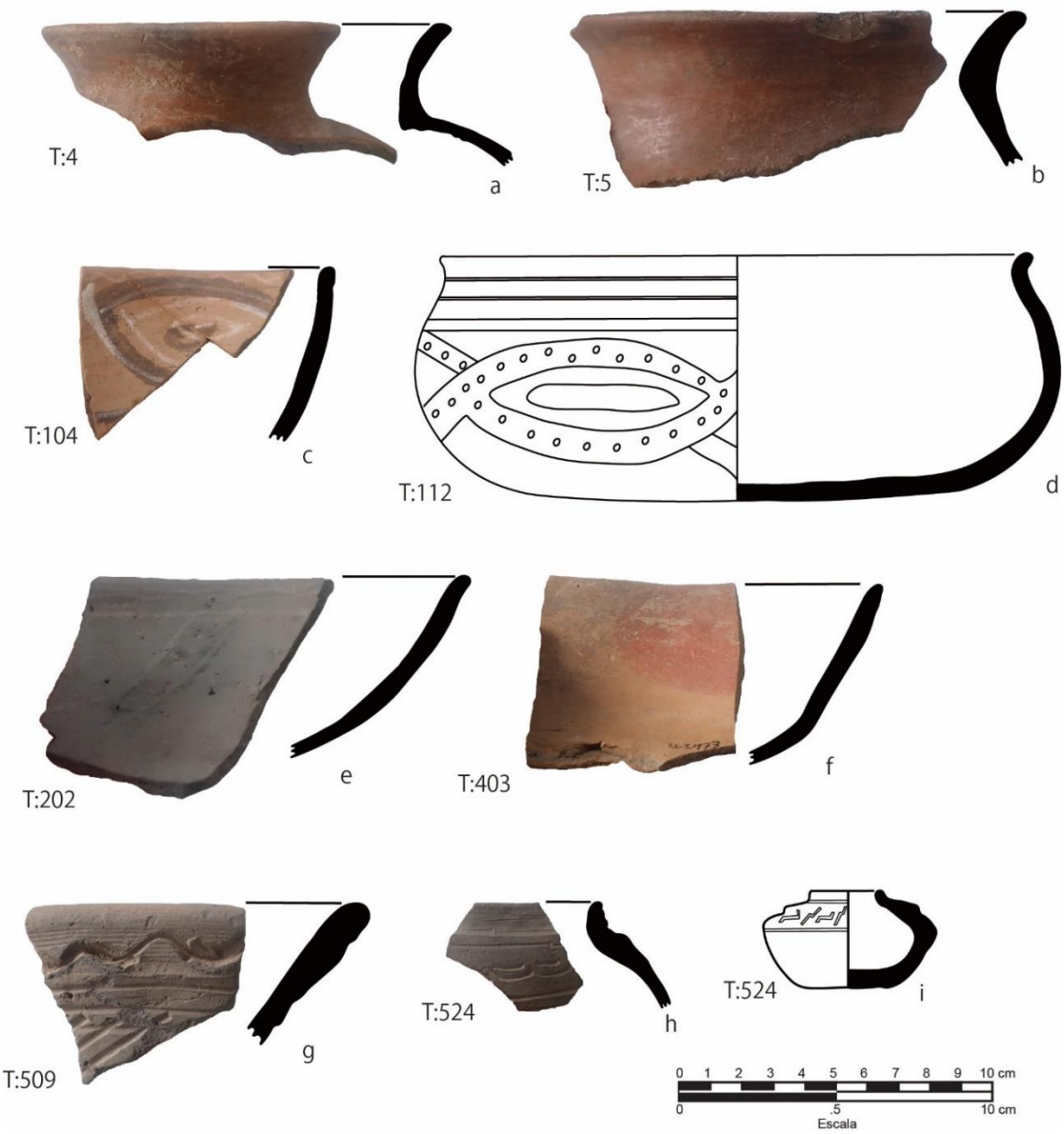



**Figura 5.23. Ejemplo de la cerámica recuperada en el contexto (E84 – E11 y E85): a. T4, b. T5, c. T104, d. T112, e. T202, f. T403, g. T509, h. T524, i. T524.**

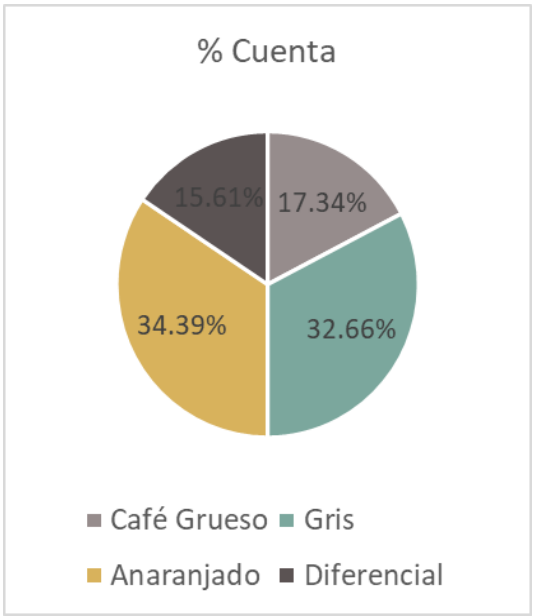
**E11**

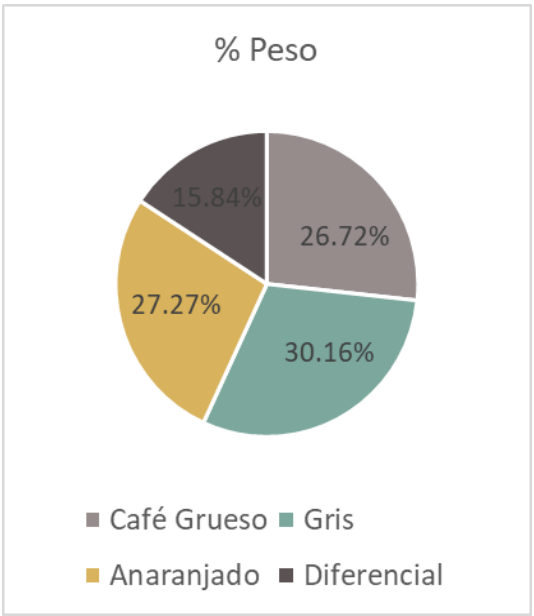
Este contexto se localiza en la Operación A, corresponde a un basurero. El contexto está fechado para el Posclásico Temprano. Los materiales analizados fueron: J17-6 (FS 22-2093), J17-8 (FS 22-2214), J17-10 (FS 22-2232), K17-5 (FS 22-2499), K17-7 (FS 22-2617), I19-4 (FS 22-2080), I19-7 (FS 22-2745), I19-9 (FS 22-2951), I20-3 (FS 22-2039), I20-5 (FS 22-3641), I21-4 (FS 22-1878), I21-5 (FS

22-1881), I22-4 (FS 22-3324), I22-6 (FS 22-3335), I24-1 (FS 22-2768), J19-7 (FS 22-3062), J19-10 (FS 22-3124), J22-8 (FS 22-2742), K19-3 (FS 22-3234), K19-4 (FS 22-3295), y F24-4 (FS 22-2258). Se analizaron 346 bordes de 712 presentes, lo que representa el 48.59% de los bordes del contexto, y el 6.17% de la totalidad de la cerámica del contexto (Tabla 5.30).

**Tabla 5.30. Porcentaje de Cuenta y Peso de la Forma General en pastas (E11).**

| PASTA | FORMA | CUENTA | % CUENTA | PESO | % PESO |
|---|---|---|---|---|---|
| Café Grueso | Olla | 26 | 7.51% | 624 | 10.95% |
| | Cajete | 26 | 7.51% | 539 | 9.46% |
| | Comal | 8 | 2.31% | 360 | 6.32% |
| Anaranjada | Olla | 5 | 1.45% | 73 | 1.28% |
| | Cajete | 114 | 32.95% | 1,481 | 25.99% |
| Gris | Olla | 8 | 2.31% | 104 | 1.82% |
| | Cajete | 105 | 30.35% | 1,615 | 28.34% |
| Diferencial | Cajete | 52 | 15.03% | 802 | 14.07 |
| | Molcajete | 2 | .58% | 101 | 1.77% |
| **Total** | | **346** | **100%** | **5,699** | **100%** |



Las Ollas representan el 11.27%, los Cajetes el 85.84%, los Comales el 2.31% y los Molcajetes el .58%. La forma predominante son los Cajetes en pasta Anaranjada, representando el 32.95% de toda la cerámica analizada.

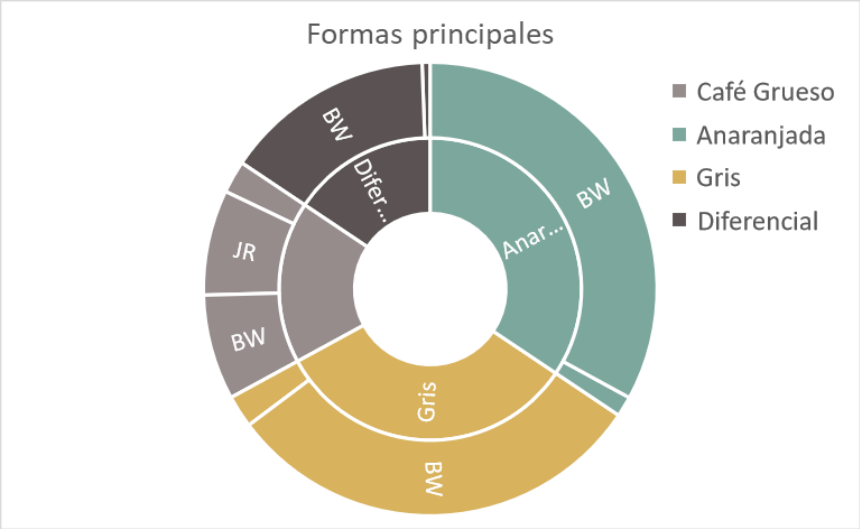



**Figura 5.24. Distribución de las formas primarias en las pastas (E11).**

En la cerámica total predomina la pasta Café Grueso, con el 37.99% de la cerámica total de este contexto, seguida por la Gris con 31.18%, la Anaranjada con el 23.54%, y la Diferencial con 7.27% (Tabla 5.31).

**Tabla 5.31. Porcentaje de cerámica por pastas del contexto (E11).**

| PASTA | ANALIZADOS # | TOTALES # | TOTALES % |
|---|---|---|---|
| Café Grueso | 60 | 2,130 | 37.99% |
| Anaranjada | 119 | 1,320 | 23.54% |
| Gris | 113 | 1,748 | 31.18% |
| Diferencial | 54 | 408 | 7.27% |
| **Total** | **346** | **5,606** | **100%** |

Siguiendo la clasificación de Baillie (2012) y Hedgepeth (2009), los tipos presentes son:

- Café Grueso. Tipo 2, 4, 5, 6, 7, 301, 303, 306, 308 y 310.
- Anaranjado. Tipo 100, 103, 104, 109, 111, 112, 121, 401, 402, 403, 404, 405, 408, 409, 410, 412, 425 y 427.
- Gris. Tipo 201, 202, 205, 501, 508, 509, 511, 514, 517, 522, 523, 524, 525, 526, 528, 530, 532, 533, 534 y 535.
- Diferencial. Tipo 100, 104, 108 y 112.

De estos los que más se repiten son: 308 (#9), 508 (#13), 514 (#9), 104 (#19 y 29), 412 (#9); el resto aparece entre 1 a 8 veces. Tepalcates no identificados dentro de la clasificación incluyen 33 en pasta Café Grueso, 47 en pasta Gris, 27 en pasta Anaranjada y 5 en diferencial (Figura 5.25).

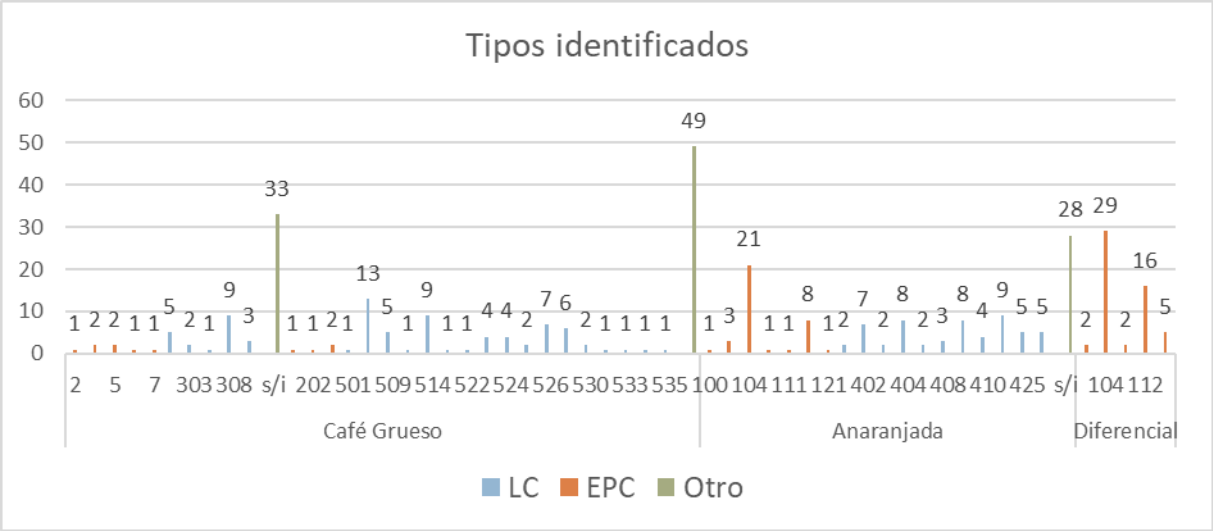



**Figura 5.25. Distribución de los tipos identificados (E11).**

Dentro de las formas generales, en los cajetes predominan los Cónicos (CN), seguidos de los Semiesféricos (SM), los Curvo-Convergentes (CC), los de Silueta Compuesta (CS), y los Cilíndricos (CY), también hay cinco ejemplares sin identificar en la forma específica. En las Ollas, predominan de Cuello Alto (TN), seguidas de Botellón/Cantaro (B/C), de Cuello Corto (SN), Miniaturas (M) y con

Flange (FL), así como un ejemplar sin identificar en la forma específica. También hay ocho comales en pasta Café Grueso, y dos molcajetes en pasta Diferencial.

(Tabla 5.32).

**Tabla 5.32. Cuenta y porcentaje de formas especificas en los cajetes y ollas (E11).**

| PASTA | Cajete | | | | | | | | | | | |
|---|---|---|---|---|---|---|---|---|---|---|---|---|
| | **CN** | **%** | **CC** | **%** | **SM** | **%** | **CS** | **%** | **CY** | **%** | **s/i** | **%** |
| Café Grueso | 16 | 5.38% | | | 9 | 3.03% | 1 | .33% | | | | |
| Anaranjado | 39 | 13.13% | 13 | 4.37% | 60 | 20.20% | | | 1 | .33% | 1 | .33% |
| Gris | 60 | 20.20% | 18 | 6.06% | 20 | 6.73% | 2 | .67% | 3 | 1.01% | 2 | .67% |
| Diferencial | 2 | .67% | 18 | 6.06% | 30 | 10.10% | 1 | .33% | | | 1 | .33% |
| **Total** | **297(100%)** | | | | | | | | | | | |

| PASTA | Olla | | | | | | | | | | | |
|---|---|---|---|---|---|---|---|---|---|---|---|---|
| | **SN** | **%** | **TN** | **%** | **B/C** | **%** | **M** | **%** | **FL** | **%** | **OL-¿** | **%** |
| Café Grueso | 6 | 15.38% | 14 | 35.89% | 5 | 12.82% | | | | | 1 | 2.56% |
| Anaranjado | | | | | 4 | 10.25% | 1 | 2.56% | | | | |
| Gris | 2 | 5.12% | | | 2 | 5.12% | 2 | 5.12% | 2 | 5.12% | | |
| Diferencial | | | | | | | | | | | | |
| **Total** | **39(100%)** | | | | | | | | | | | |

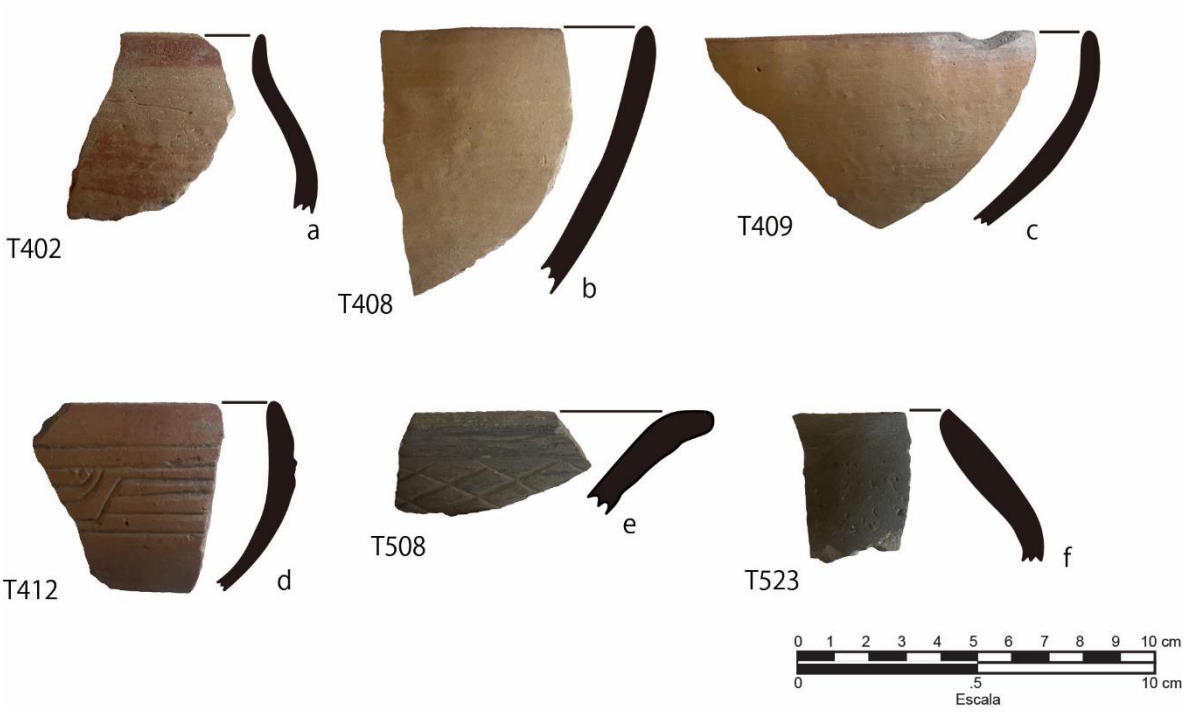



**Figura 5.26. Ejemplo de la cerámica recuperada en el contexto E11: a. T402, b. T408, c. T409, d. T412, e. T508, f. T523.**

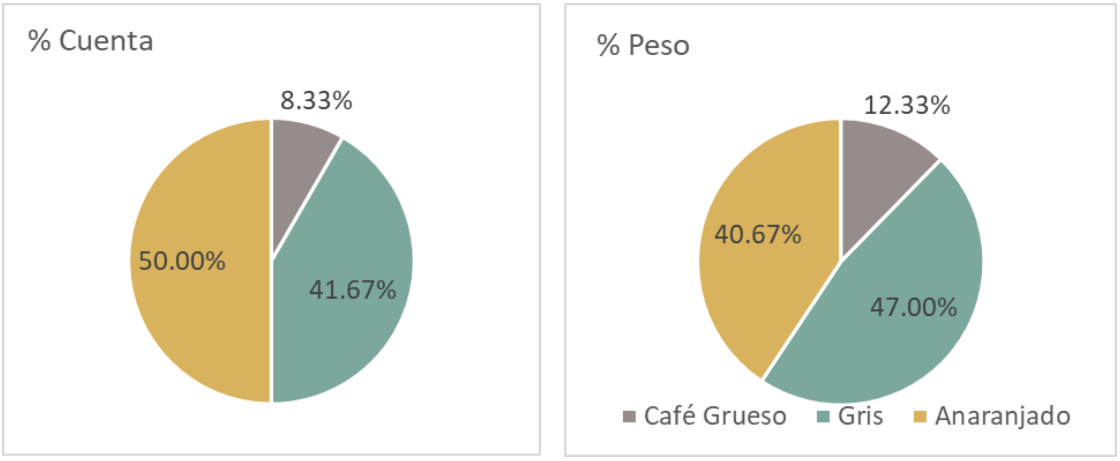
**OPERACIÓN B**

**E20-s1**

Este contexto se localiza en la Operación B Norte, corresponde a un depósito terminal, tal vez contemporáneo a E15 de la Op. A. Las fechas generales del contexto son del Clásico Tardío. Los materiales analizados fueron: LL40-5 (FS 22-8817). Se analizaron 24 bordes de 41 presentes, lo que representa el 58.54% de los bordes del contexto, y el 6.63% de la totalidad de la cerámica del contexto (Tabla 5.33).

**Tabla 5.33. Porcentaje de Cuenta y Peso de la Forma General en pastas (E20-s1).**

| PASTA | FORMA | CUENTA | % CUENTA | PESO | % PESO |
|---|---|---|---|---|---|
| Café Grueso | Olla | 1 | 4.17% | 24 | 8% |
| | Cajete | 1 | 4.17% | 13 | 4.33% |
| Anaranjada | Olla | 1 | 4.17% | 3 | 1% |
| | Cajete | 9 | 37.50% | 138 | 46% |
| Gris | Cajete | 12 | 50% | 122 | 40.67% |
| **Total** | | **24** | **100%** | **300** | **100%** |




Las Ollas representan el 8.34% y los Cajetes 91.67%. La forma predominante son los cajetes en pasta Gris, representando el 50% de toda la cerámica analizada.

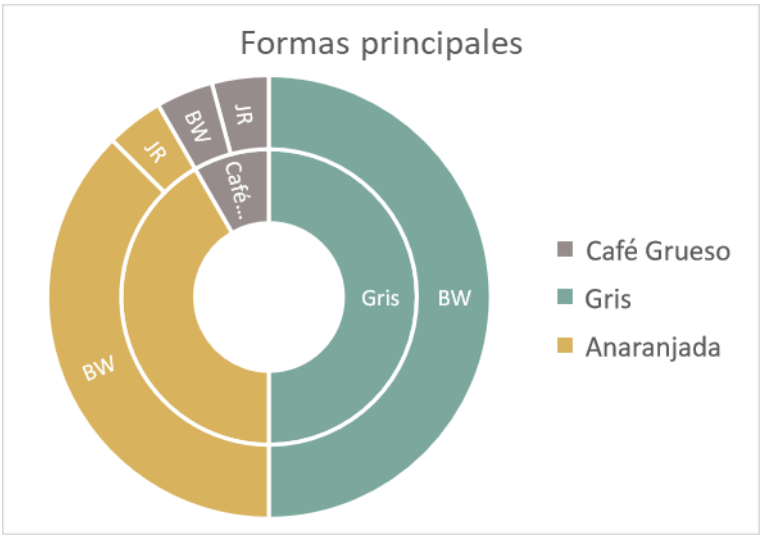



**Figura 5.27. Distribución de las formas primarias en las pastas (E20-s1).**

En la cerámica total también predomina la pasta Gris, con el 47.23% de la cerámica total de este contexto, seguida por la Anaranjada con el 33.42% y la Café Grueso con 19.33% (Tabla 5.34).

**Tabla 5.34. Porcentaje de cerámica por pastas del contexto (E20-s1).**

| PASTA | ANALIZADOS # | TOTALES # | TOTALES % |
|---|---|---|---|
| Café Grueso | 2 | 70 | 19.33% |
| Anaranjada | 10 | 121 | 33.42% |
| Gris | 12 | 171 | 47.23% |
| **Total** | **24** | **362** | **100%** |

Siguiendo la clasificación de Baillie (2012), los tipos presentes son:

- Café Grueso. Tipo 303 y 310.
- Anaranjado. Tipo 401, 402, 404, 408, 409, 412, 418 y 425.
- Gris. Tipo 501, 508, 509, 513 y 514.

De estos se repiten los siguientes: 501 (#3), 508 (#3), 402 (#2), 409 (#3); el resto solo aparece una vez. Tepalcates no identificados dentro de la clasificación incluyen una olla de forma Botellón/Cántaro dentro de la pasta Gris y un cajete Semiesférico de pasta Anaranjada (Figura 5.28).

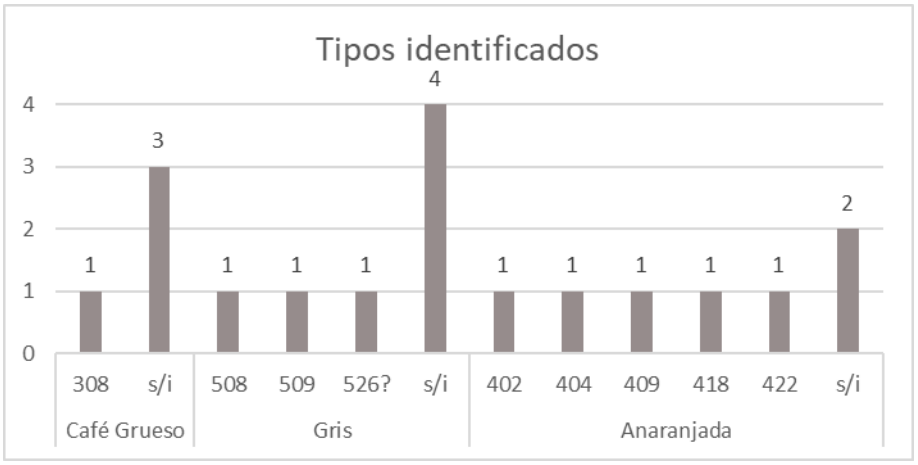



**Figura 5.28. Distribución de los tipos identificados (E20-s1).**

Dentro de la forma general, en los cajetes predominan los Cónicos (CN), seguido de los Semiesféricos (SM) y por ultimo los Cilíndricos (CY). En las Ollas se tiene un ejemplar de Cuello Corto (SN) y un Botellón/Cántaro (B/C) (Tabla 5.35).

**Tabla 5.35. Cuenta y porcentaje de formas especificas en los cajetes y ollas (E20-s1).**

| PASTA | Cajete | | | | | | Olla | | | |
|---|---|---|---|---|---|---|---|---|---|---|
| | CN | % | CY | % | SM | % | SN | % | B/C | % |
| Café Grueso | | | | | 1 | 4.54 | 1 | 50% | | |
| Anaranjado | 4 | 18.18 | 1 | 4.54% | 7 | 31.81 | | | | |
| Gris | 7 | 31.81 | | | 2 | 9.09 | | | 1 | 50% |
| **Total** | **22 (100%)** | | | | | | **2 (100%)** | | | |

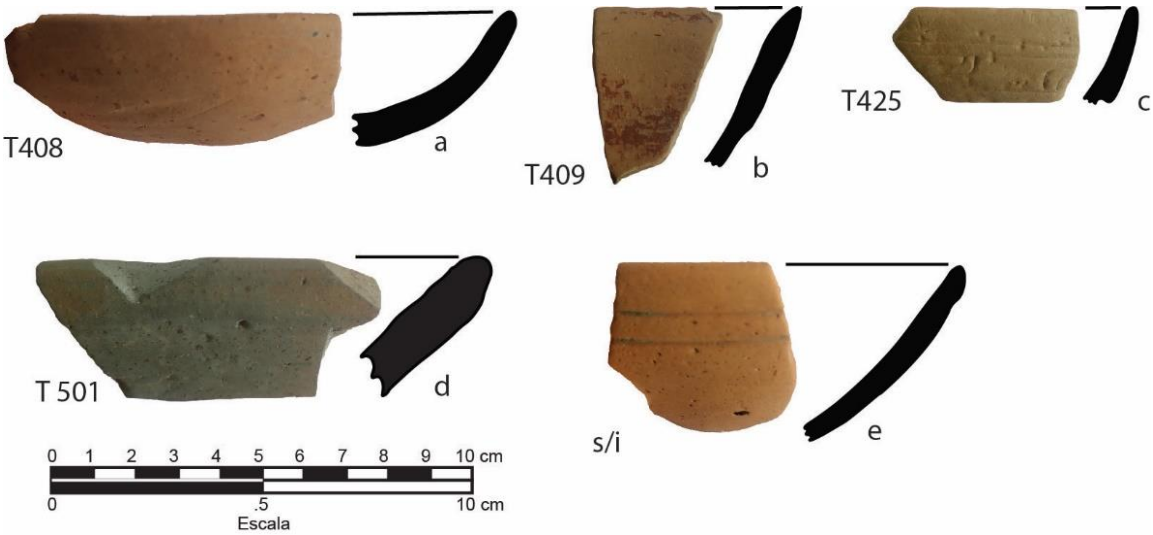


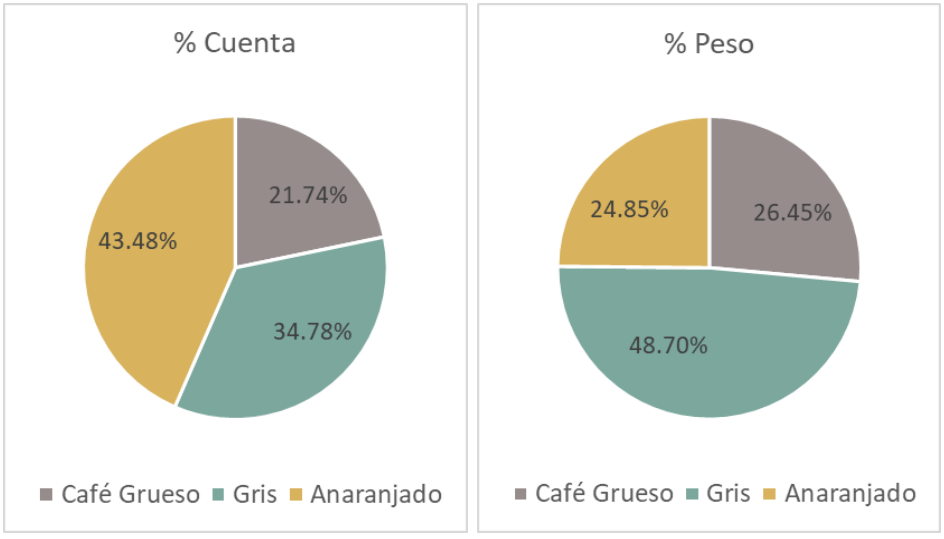

**Figura 5.29. Ejemplo de la cerámica recuperada en el contexto E20-1: a. T408, b. 409, c. T425, d. T501, e. s/i (cajete semiesférico de pasta Anaranjada).**

**E20-s3**

Este contexto se localiza en la Operación B Norte, corresponde a un depósito terminal. Las fechas generales del contexto son del Clásico Tardío. Los materiales analizados fueron: GG35-6 (FS 22-8968). Se analizaron 23 bordes de 51 presentes, lo que representa el 45.10% de los bordes del contexto, y el 7.35% de la totalidad de la cerámica del contexto (Tabla 5.36).

**Tabla 5.36. Porcentaje de Cuenta y Peso de la Forma General en pastas E20-s3.**

| PASTA | FORMA | CUENTA | % CUENTA | PESO | % PESO |
|---|---|---|---|---|---|
| Café Grueso | Olla | 2 | 8.70% | 75 | 15.03% |
| | Cajete | 3 | 13.04% | 57 | 11.42% |
| Anaranjada | Olla | 3 | 13.04% | 131 | 26.25% |
| | Cajete | 5 | 21.74% | 112 | 22.44% |
| Gris | Cajete | 10 | 43.48% | 124 | 24.85% |
| **Total** | | **23** | **100%** | **499** | **100%** |




Las Ollas representan el 21.74% y los Cajetes 78.26%. La forma predominante son los Cajetes en pasta Gris, representando el 43.48% de toda la cerámica analizada.

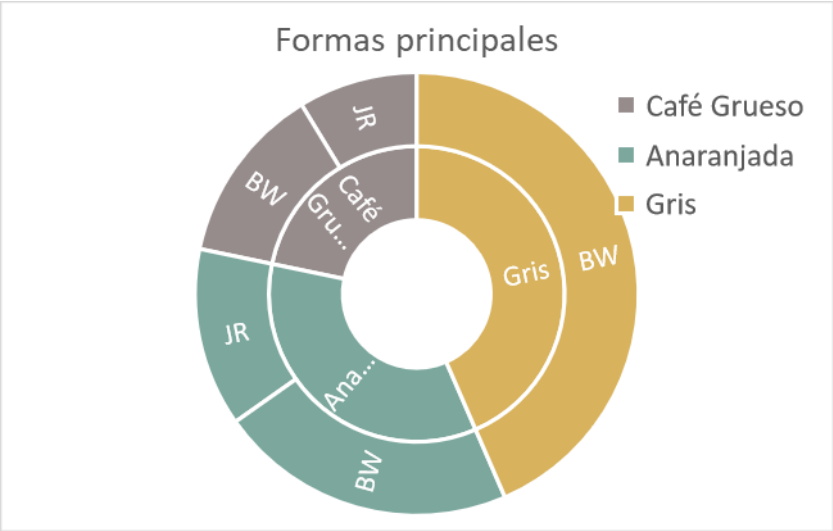



**Figura 5.30. Distribución de las formas primarias en las pastas (E20-s3)**.

En la cerámica total predomina la pasta Anaranjada, con el 34.82% de la cerámica total de este contexto, seguida por la Café Grueso 27.47%, la Gris con el 28.11%, y la Diferencial con 9.58% (Tabla 5.37).

**Tabla 5.37. Porcentaje de cerámica por pastas del contexto (E20-s3).**

| PASTA | ANALIZADOS # | TOTALES # | TOTALES % |
|---|---|---|---|
| Café Grueso | 5 | 86 | 27.47% |
| Anaranjada | 8 | 109 | 34.82% |
| Gris | 10 | 88 | 28.11% |
| Diferencial | - | 30 | 9.58% |
| **Total** | **23** | **313** | **100%** |

Siguiendo la clasificación de Baillie (2012), los tipos presentes son:

- Café Grueso. Tipo 301, 303, 306, 308 y 310.
- Anaranjado. Tipo 402, 404, 408, 409 y 425.
- Gris. Tipo 501, 508, 513, 525 y 533.

De estos se repiten los siguientes: 402 (#2), 409 (#2), 425 (#2); el resto solo aparece una vez. Tepalcates no identificados dentro de la clasificación incluyen dos cajetes cónicos en pasta Anaranjada, un cajete semiesférico en pasta Gris, y dos Ollas en pasta Gris de tipo Botellón/Cántaro (Figura 5.31).

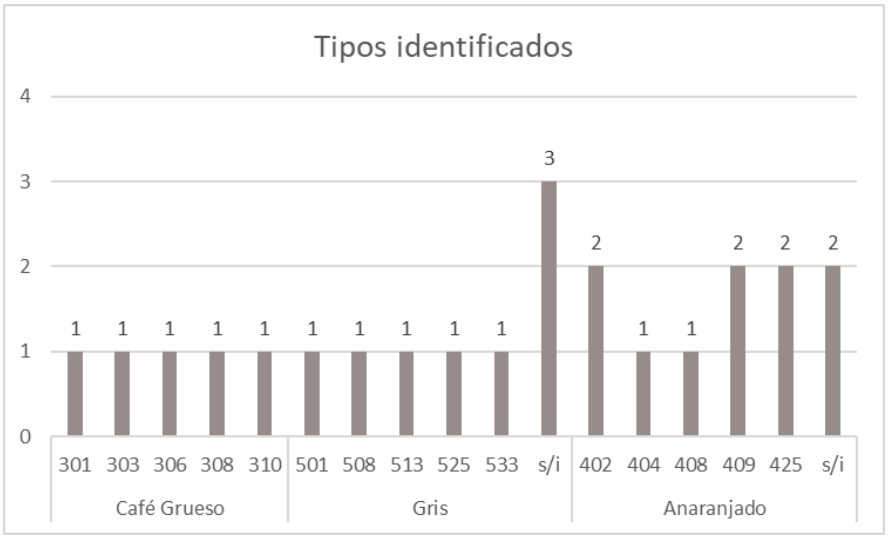



**Figura 5.31. Distribución de los tipos identificados (E20-s3).**

Dentro de las formas generales, en los Cajetes se tienen Cónicos (CN), Semiesféricos (SM), Curvo-Convergentes (CC) y de Silueta Compuesta (CS). En las Ollas se tienen de Cuello Corto (SN) y Largo (TN), así como un Botellón/Cántaro (B/C) (Tabla 5.38).

**Tabla 5.38. Cuenta y porcentaje de formas especificas en los cajetes y ollas (E20-s3).**

| PASTA | Cajete | | | | | | | | Olla | | | | | |
|---|---|---|---|---|---|---|---|---|---|---|---|---|---|---|
| | CN | % | CC | % | SM | % | CS | % | SN | % | TN | % | B/C | % |
| Café Grueso | 1 | 5.55 | | | 1 | 5.55 | 1 | 5.55 | 1 | 20 | 1 | 20 | | |
| Anaranjado | 5 | 27.77 | | | 5 | 27.77 | | | | | | | | |
| Gris | 2 | 11.11 | 1 | 5.55 | 2 | 11.11 | | | 1 | 20 | 1 ¿? | 20 | 1 | 20 |
| **Total** | **18 (100%)** | | | | | | | | **5 (100%)** | | | | | |



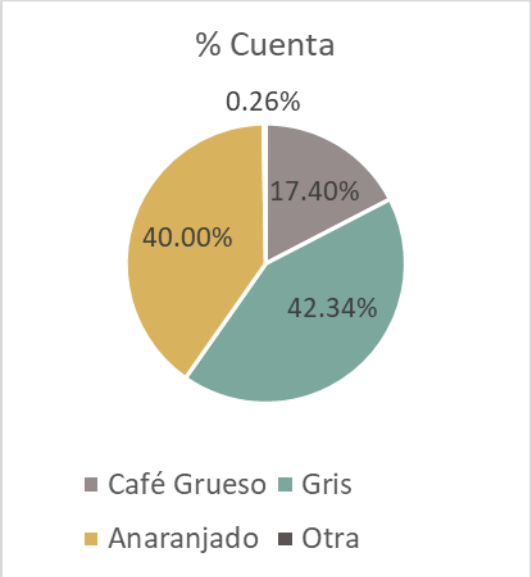

**Figura 5.32. Ejemplo de la cerámica recuperada en el contexto E20-s3: a. T308, b. T402, c. T402, d. T425, e. T525, f. T531, g. s/i (Botellón/Cántaro de pasta gris).**

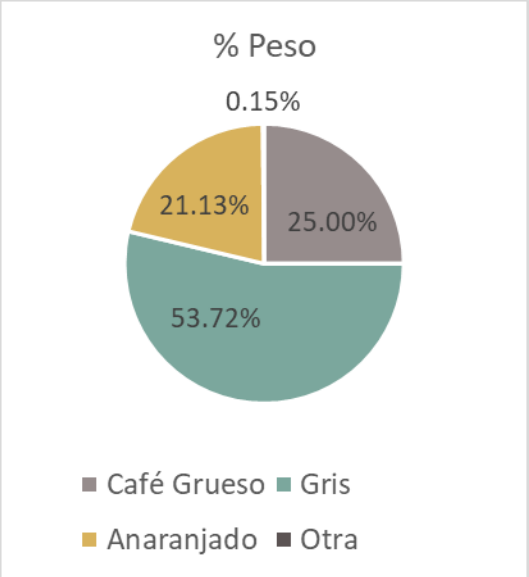
**E20-s5**

Este contexto se localiza en la Operación B Norte, corresponde a un basurero. Las fechas generales del contexto son del Clásico Tardío. Los materiales analizados fueron: NN38-6 (FS 22-8743), NN38-7 (FS 22-8757), NN38-8 (FS 22-8771), NN38-9 (FS 22-9270), NN38-9 (FS 22-9271), NN38-9 (FS 22-8784) y NN38-10 (FS 22-8791), PP38-8 (FS 22-8495), PP38-9 (FS 22-8505), PP38-10 (FS 22-9460), PP38-11 (FS 22-8542), PP38-12 (FS 22-8547), PP38-13 (FS 22-8554), OO38-6 (FS 22-8169), OO38-7 (FS 22-8178), OO38-8 (FS 22-8189), OO38-9 (FS 22-8207), OO38-10 (FS 22-8215), OO38-10 (FS 22-8227), OO38-10 (FS 22-8230), OO38-11 (FS 22-8267), OO38-12 (FS 22-8285), OO38-13 (FS 22-8305), QQ38-7 (FS 22-8176), QQ38-8 (FS 22-8185), QQ38-9 (FS 22-8195) y QQ38-10 (FS 22-8210). Se analizaron 385 bordes de 1,830 presentes, lo que representa el 21.04% de los bordes del contexto, y el 9.91% de la totalidad de la cerámica del contexto (Tabla 5.39).

**Tabla 5.39. Porcentaje de Cuenta y Peso de la Forma General en pastas (E20-s5).**

| PASTA | FORMA | CUENTA | % CUENTA | PESO | % PESO |
|---|---|---|---|---|---|
| **Café Grueso** | Olla | 33 | 8.57% | 1,426 | 15.37% |
| | Cajete | 33 | 8.57% | 848 | 9.14% |
| | Incensario | 1 | 0.26% | 46 | 0.50% |
| **Anaranjada** | Olla | 1 | 0.26% | 14 | 0.15% |
| | Cajete | 153 | 39.74% | 1,947 | 20.98% |
| **Gris** | Olla | 14 | 3.64% | 398 | 4.29% |
| | Cajete | 147 | 38.18% | 4,424 | 47.67% |
| | Soporte | 2 | 0.52% | 163 | 1.76% |
| **Otra** | Cajete | 1 | 0.26% | 14 | 0.15% |
| **Total** | | **385** | **100%** | **9,280** | **100** |




Las Ollas representan el 12.47% y los Cajetes 86.75%, mientras que el Incensario es el .26% y la forma NR representan el .52%. La forma predominante son los Cajetes en pasta Anaranjada, representando el 39.74% de toda la cerámica analizada.

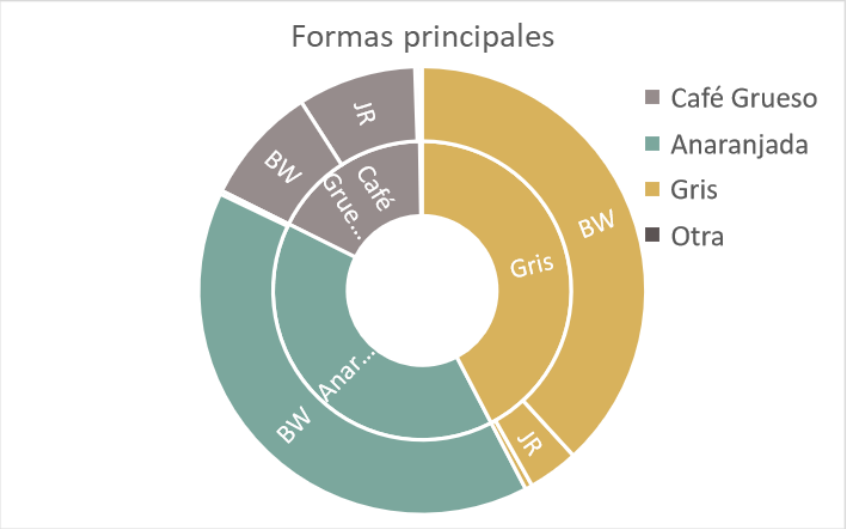



**Figura 5.33. Distribución de las formas primarias en las pastas (E20-s5).**

En la cerámica total predomina la pasta Anaranjada, con el 35.35% de la cerámica total de este contexto, seguida por la Gris con el 33.04%, la Café Grueso con 31.23% y la Diferencia con solo .36% (Tabla 5.40).

**Tabla 5.40. Porcentaje de cerámica por pastas del contexto (E20-s5).**

| PASTA | ANALIZADOS # | TOTALES # | TOTALES % |
|---|---|---|---|
| Café Grueso | 67 | 4,575 | 31.23% |
| Anaranjada | 154 | 5,179 | 35.35% |
| Gris | 163 | 4,841 | 33.04% |
| Diferencial | - | 54 | .36% |
| Otra | 1 | - | - |
| **Total** | **385** | **14,649** | **100%** |

Siguiendo la clasificación de Baillie (2012), los tipos presentes son:

- Café Grueso. Tipo 301, 302, 303, 307, 308, 309 y 310
- Anaranjado. Tipo 401, 402, 403, 404, 405, 408, 409, 410, 412, 414, 415, 416, 418, 419, 422, 424, 425, 426, 427 y 429.
- Gris. Tipo 501, 502, 504, 505, 506, 507, 508, 509, 511, 513, 514, 516, 517, 518, 520, 522, 523, 524, 526, 527, 528, 529, 530, 531, 533, 534 y 539.

De estos los valores más altos son los siguientes: 308(#21), 310 (#8), 501 (#29), 508 (#21), 409 (#17), 412 (#26%); el resto solo aparece con por debajo de 10 veces. Dentro de los no identificados se tienen 17 en pasta Café Grueso, 44 en pasta Gris, y 29 en pasta Anaranjada (Figura 5.34).

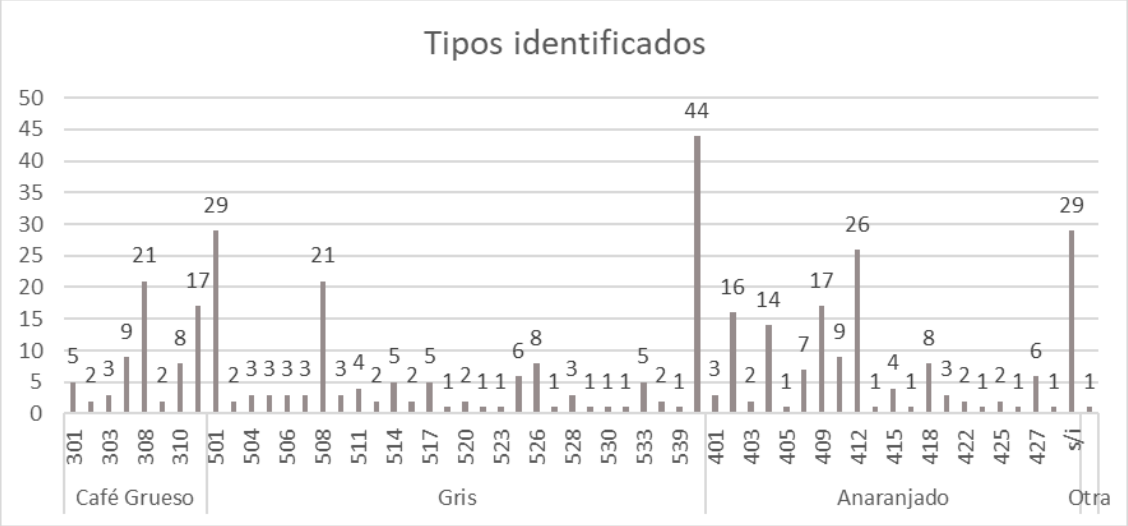



**Figura 5.34. Distribución de los tipos identificados (E20-s5).**

Dentro de las formas generales, en los Cajetes predominan los Cónicos (CN), seguidos por los Semiesféricos (SM), los Cilíndricos (CY), los Curvo-Convergentes (CC), los de Silueta-Compuesta (CS) y otros sin identificar la forma específica (s/i). En las Ollas predominan de Cuello Alto (TN), seguidas de las de Cuello Corto (SN), con dos Botellón/Cántaro (B/C) y dos Flange (FL), así como un ejemplar sin identificar la forma específica (Tabla 5.41).

**Tabla 5.41. Cuenta y porcentaje de formas especificas en los cajetes y ollas (E20-s5).**

| PASTA | Cajete | | | | | | | | | | | |
|---|---|---|---|---|---|---|---|---|---|---|---|---|
| | CN | % | CY | % | SM | % | CC | % | CS | % | - | % |
| Café Grueso | 11 | 3.29% | 2 | 0.60% | 8 | 2.40% | 11 | 3.29% | 1 | 0.30% | | |
| Anaranjado | 55 | 16.47% | 22 | 6.59% | 71 | 21.26% | 1 | 0.30% | 3 | 0.90% | 1 | 0.30% |
| Gris | 96 | 28.74% | 12 | 3.59% | 21 | 6.29% | 7 | 2.10% | 4 | 1.20% | 7 | 2.60% |
| Otra | 1 | 0.30% | | | | | | | | | | |
| **Total** | **334(100%)** | | | | | | | | | | | |

| PASTA | Olla | | | | | | | | | |
|---|---|---|---|---|---|---|---|---|---|---|
| | B/C | % | SN | % | TN | % | FN | % | s/i | % |
| Café Grueso | | | 8 | 16.67% | 25 | 52.08% | | | | |
| Anaranjado | | | 1 | 2.08% | | | | | | |
| Gris | 2 | 4.17% | 8 | 16.67% | 1 | 2.08% | 2 | 4.17% | 1 | 2.08% |
| **Total** | **48(100%)** | | | | | | | | | |

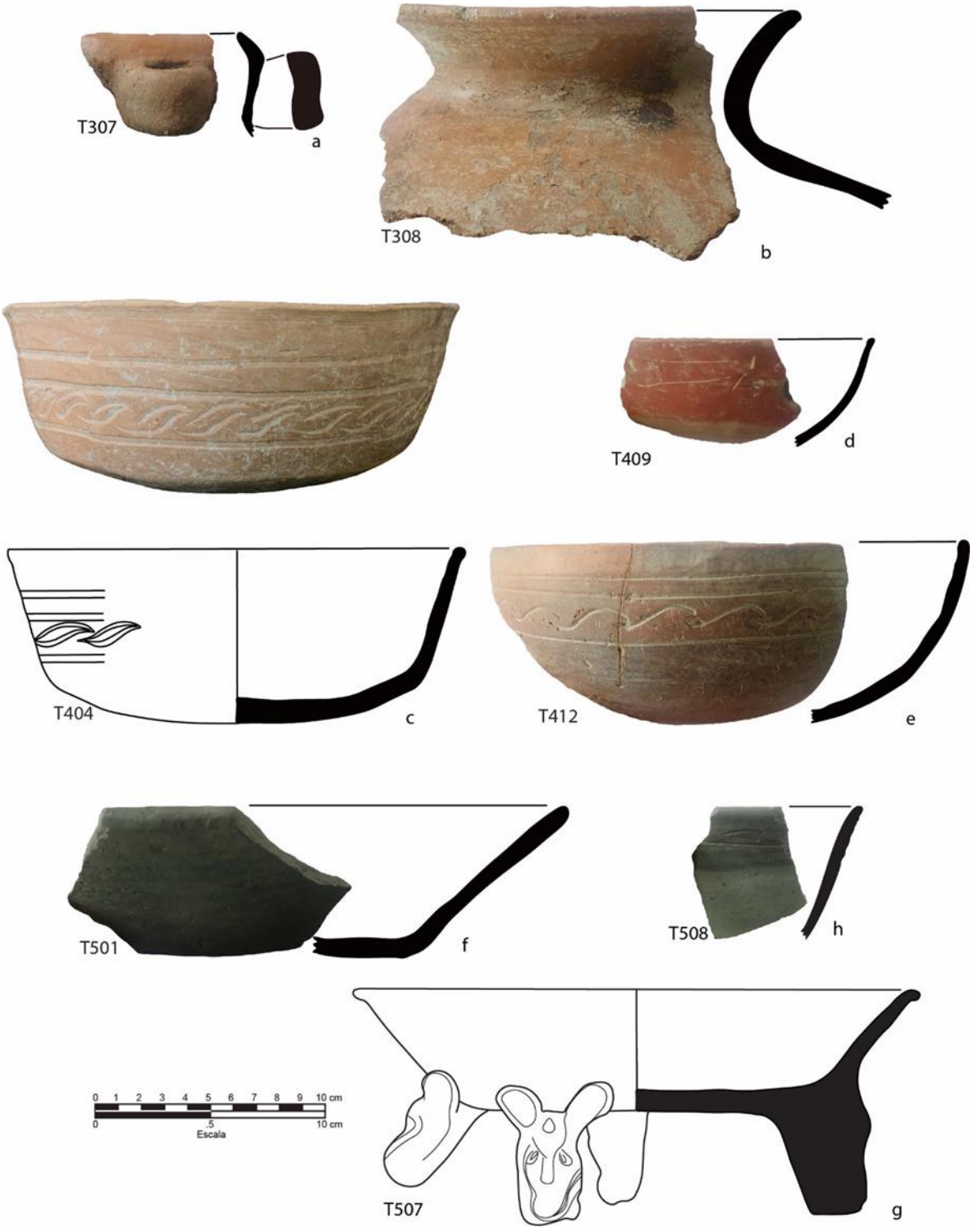


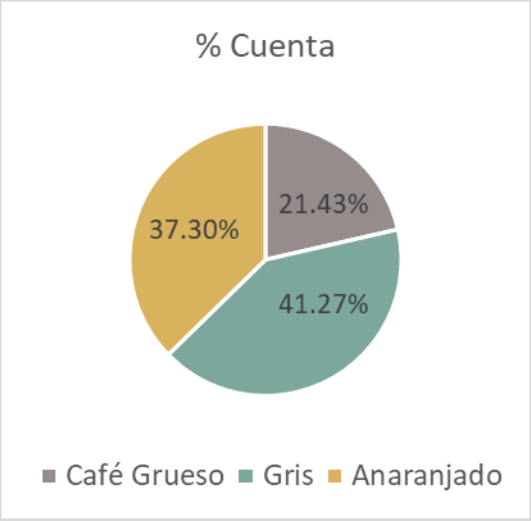

**Figura 5.35. Ejemplo de la cerámica recuperada en el contexto E20-s5: a. T307, b. T308, c. T404, d. T409, e. T412, f. T501, g. T507, h. 508.**

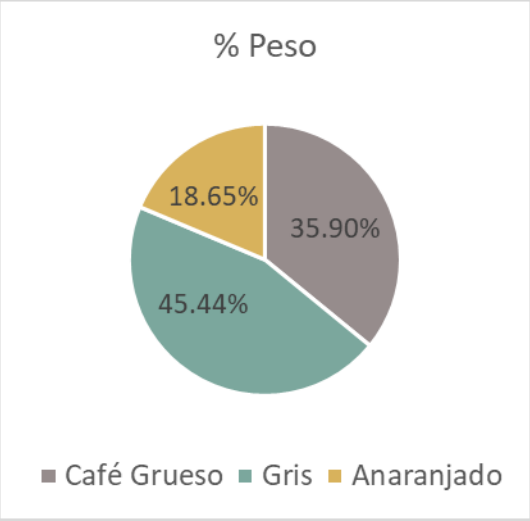
**E22-s1 y s2**

Este contexto se localiza en la Operación B Norte, corresponde a un basurero. Las fechas generales del contexto son del Clásico Tardío. Los materiales analizados fueron: HH37-5 (FS 22-9936), HH37-5 (FS 22-9944), HH37-5 (FS 22-9946), MU13-1 (FS 22-9795), MU13-2 (FS 22-9832), II38-11 (FS 22-8281), II38-12 (FS 22-8309) y II38-13 (FS 22-8320). Se analizaron 126 bordes de 1,507 presentes, lo que representa el 8.36% de los bordes del contexto, y el 1.25% de la totalidad de la cerámica del contexto (Tabla 5.42).

**Tabla 5.42. Porcentaje de Cuenta y Peso de la Forma General en pastas (E22-s1 y s2).**

| PASTA | FORMA | CUENTA | % CUENTA | PESO | % PESO |
|---|---|---|---|---|---|
| Café Grueso | Olla | 12 | 9.52% | 868 | 16.05% |
| | Cajete | 14 | 11.11% | 876 | 16.20% |
| | Cazuela | 1 | .79% | 198 | 3.66% |
| Anaranjada | Olla | 1 | .79% | 8 | .15% |
| | Cajete | 46 | 36.51% | 1,001 | 18.51% |
| Gris | Olla | 7 | 5.56% | 176 | 3.25% |
| | Cajete | 45 | 35.71% | 2,282 | 42.19% |
| **Total** | | **126** | **100%** | **5,409** | **100%** |



Las Ollas representan el 15.87% y los Cajetes 83.33%. La forma predominante son los Cajetes en pasta Anaranjada, representando el 36.51% de toda la cerámica analizada.

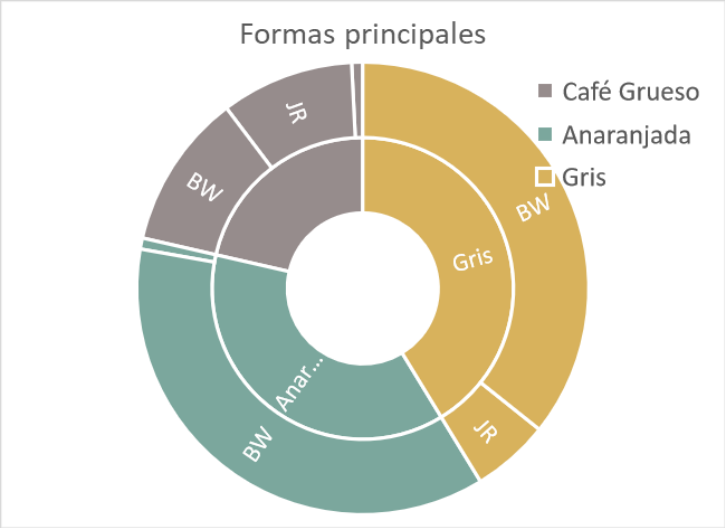



**Figura 5.36. Distribución de las formas primarias en las pastas (E22-s1 y s2).**

En la cerámica total predomina la pasta Gris, con el 40.68% de la cerámica total de este contexto, seguida por la Café Grueso con el 36.92% y la Anaranjada con 22.36% (Tabla 5.43).

**Tabla 5.43. Porcentaje de cerámica por pastas del contexto (E22-s1 y s2).**

| PASTA | ANALIZADOS # | TOTALES # | TOTALES % |
|---|---|---|---|
| Café Grueso | 27 | 3,707 | 36.92% |
| Anaranjada | 47 | 2,245 | 22.36% |
| Gris | 52 | 4,085 | 40.68% |
| Diferencial | - | 3 | .029% |
| **Total** | | **10,040** | **100%** |

Siguiendo la clasificación de Baillie (2012), los tipos presentes son:

- Café Grueso. Tipo 305, 306, 307, 308 y 310.
- Anaranjado. Tipo 402, 403,408, 409, 410, 412, 414, 415, 418, 424, 425 y 427.
- Gris. Tipo 501, 502, 507, 508, 509, 511, 512, 514, 517, 524, 526, 527, 528, 530, 531, 533, 534 y 535.

De estos se repiten los siguientes: 308 (#6), 310 (#5), 307 (#4), 508 (#6), 526 (#7), 509(4), 412 (#6), 410 (#5), 424 (#4), 402 (#4); el resto solo aparece menos de 3 veces. Tepalcates no identificados dentro de la clasificación incluyen 15 en pasta Anaranjada, 9 en pasta Gris, y 8 en Café grueso (Figura 5.37).

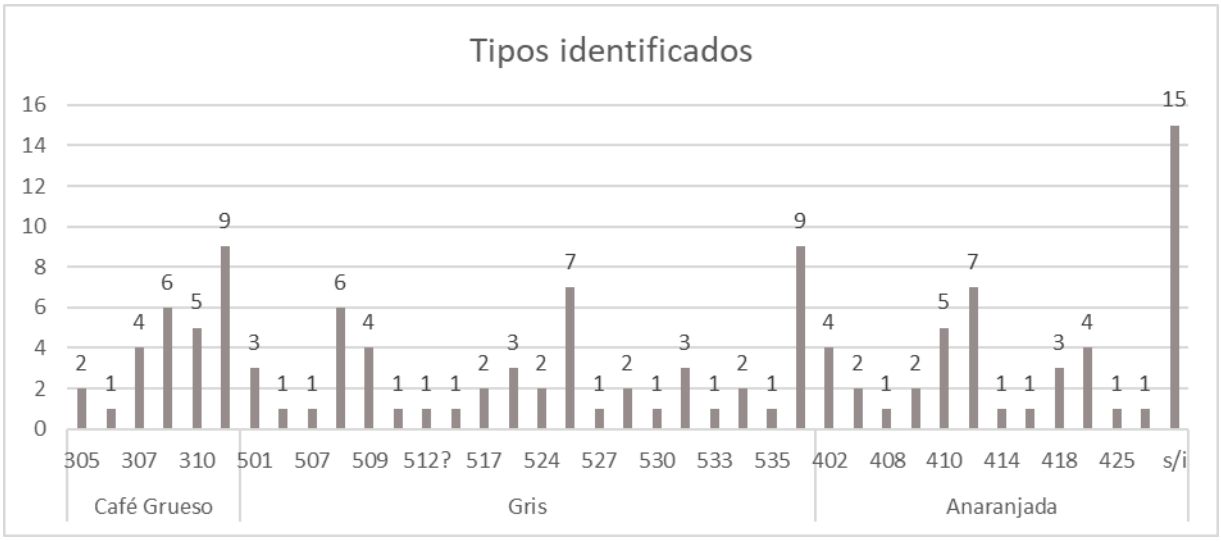



**Figura 5.37. Distribución de los tipos identificados (E22-s1 y s2).**

Dentro de las formas generales, en los Cajetes se tiene Cónicos (CN), Semiesféricos (SM), Cilíndricos (CY), Curvo-Convergentes (CC), de Silueta Compuesta (CS) y un ejemplar sin identificar la forma específica. En las Ollas, las hay de Cuello Corto (SN) y Largo (TN) en igual proporción, seguidas de los Botellón/Cántaro (B/C), Flange (FL), Miniatura (M) y dos ejemplares sin identificar la forma específica. También hay una Cazuela en pasta Café Grueso (Tabla 5.44).

**Tabla 5.44. Cuenta y porcentaje de formas especificas en los cajetes y ollas (E22-s1 y s2).**

| PASTA | Cajete | | | | | | | | | | | |
|---|---|---|---|---|---|---|---|---|---|---|---|---|
| | CN | % | CY | % | SM | % | CC | % | CS | % | s/i | % |
| Café Grueso | 1 | .95% | 4 | 3.80% | 1 | .95% | 7 | 6.66% | 1 | .95% | | |
| Anaranjado | 13 | 12.38% | 7 | 6.66% | 21 | 20% | | | 4 | 3.80% | 1 | .95% |
| Gris | 25 | 23.80% | 4 | 3.80% | 9 | 8.57% | 3 | 2.85% | 4 | 3.80% | | |
| **Total** | **105(100%)** | | | | | | | | | | | |

| PASTA | Olla | | | | | | | | | | | |
|---|---|---|---|---|---|---|---|---|---|---|---|---|
| | B/C | % | TN | % | SN | % | FL | % | M | % | OL-¿ | % |
| Café Grueso | 1 | 5% | 6 | 30% | 5 | 25% | | | | | | |
| Anaranjado | 1 | 5% | | | | | | | | | | |
| Gris | 2 | 10% | | | 1 | 5% | 1 | 5% | 1 | 5% | 2 | 10% |
| **Total** | **20(100%)** | | | | | | | | | | | |

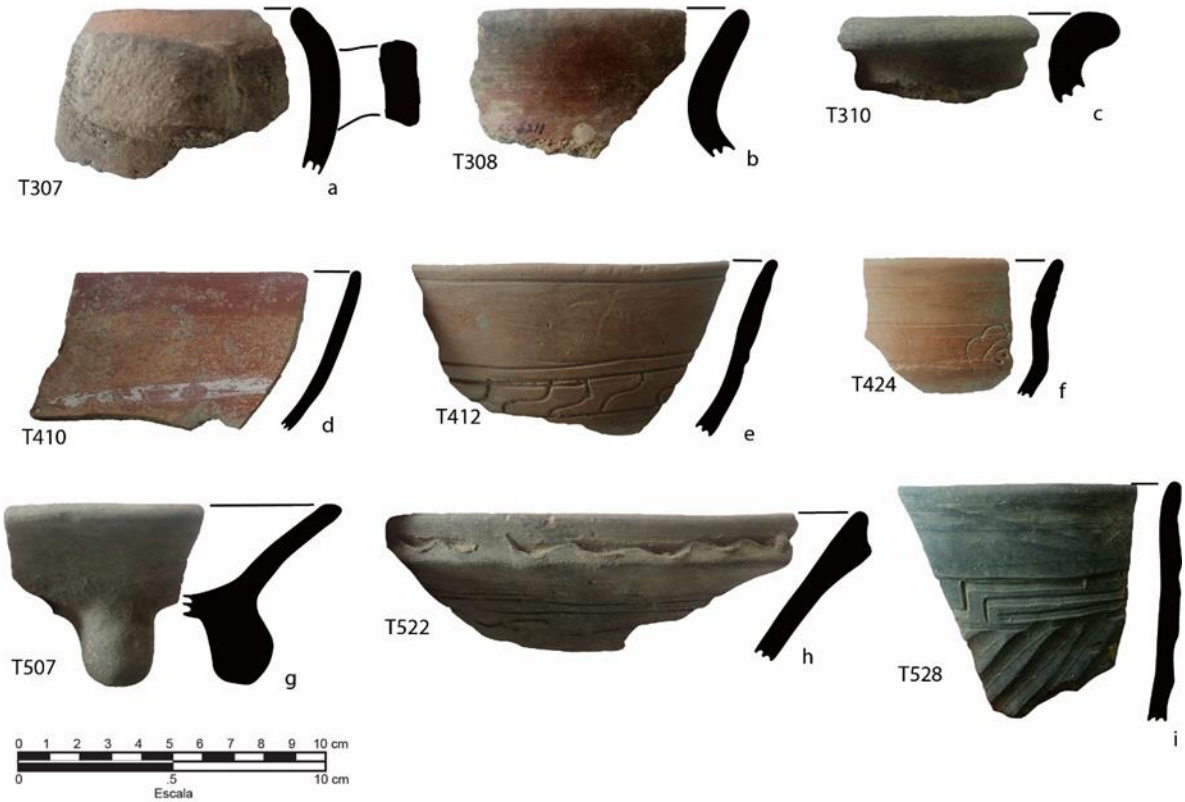


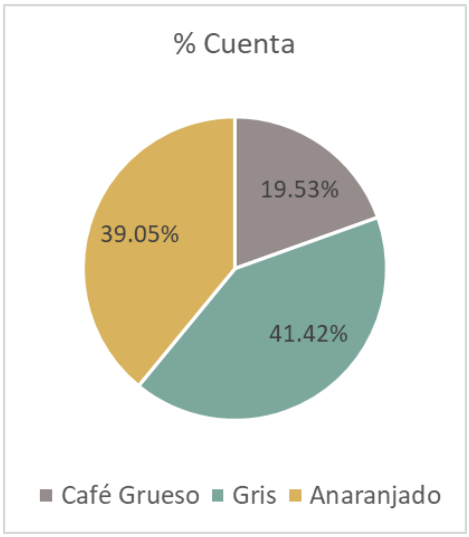

**Figura 5.38. Ejemplo de la cerámica recuperada en el contexto E22-2: a. T307, b. T308, c. T310, d. T410, e. T412, f. T424, g. T507, h. T522, i. T528**

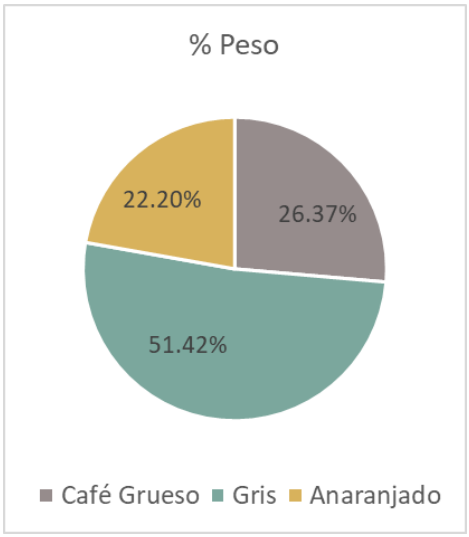
**E22-s4**

Este contexto se localiza en la Operación B Norte, corresponde a un basurero. Las fechas generales del contexto son del Clásico Tardío. Los materiales analizados fueron: II38-9 (FS 22-8258), II38-10 (FS 22-8262), HH39-6 (FS 22-8909), HH39-7 (FS 22-8932), HH39-8 (FS 22-8979), II39-6 (FS 22-9585) y II39-7 (FS 22-9639). Se analizaron 169 bordes de 793 presentes, lo que representa el 21.31% de los bordes del contexto, y el 2.91% de la totalidad de la cerámica del contexto (Tabla 5.45).

**Tabla 5.45. Porcentaje de Cuenta y Peso de la Forma General en pastas (E22-s4).**

| PASTA | FORMA | CUENTA | % CUENTA | PESO | % PESO |
|---|---|---|---|---|---|
| Café Grueso | Olla | 17 | 10.06% | 535 | 14.21% |
| | Cajete | 16 | 9.47% | 458 | 12.16% |
| Anaranjada | Olla | 3 | 1.78% | 37 | .98% |
| | Cajete | 60 | 35.50% | 767 | 20.37% |
| | Copa | 3 | 1.78% | 32 | .85% |
| Gris | Olla | 7 | 4.14% | 147 | 3.90% |
| | Cajete | 62 | 36.69% | 1752 | 46.53% |
| | Soporte | 1 | .59% | 37 | .98% |
| **Total** | | **169** | **100%** | **3,765** | **100%** |



Las Ollas representan el 16.57% y los Cajetes 81.07%. La forma predominante son los Cajetes en pasta Gris, representando el 36.69% de toda la cerámica analizada.

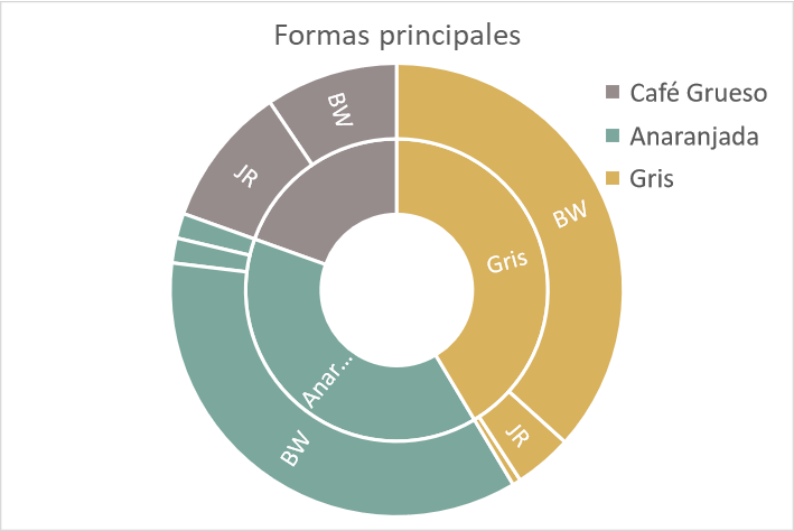



**Figura 5.39. Distribución de las formas primarias en las pastas (E22-s4).**

En la cerámica total predomina la pasta Gris, con el 46.95% de la cerámica total de este contexto, seguida por la Café Grueso con el 34.47% y la Anaranjado con 18.51%, las pastas Diferencial y Café Fino representan menos del 1% (Tabla 5.46).

**Tabla 5.46. Porcentaje de cerámica por pastas del contexto (E22-s4).**

| PASTA | ANALIZADOS # | TOTALES # | TOTALES % |
|---|---|---|---|
| Café Grueso | 33 | 2,003 | 34.47% |
| Anaranjada | 66 | 1,076 | 18.51% |
| Gris | 70 | 2,728 | 46.95% |
| Diferencial | - | 2 | .034% |
| Café Fino | - | 1 | .072% |
| **Total** | **169** | **60,076** | **100%** |

Siguiendo la clasificación de Baillie (2012), los tipos presentes son:

- Café Grueso. Tipo 301, 303, 306, 307, 308, 309, 310.
- Anaranjado. Tipo 401, 402, 403, 404, 406, 408, 409, 410, 412, 415, 419, 429, Y 427.
- Gris. Tipo 501, 507, 508, 509, 513, 514, 520, 521, 524, 526, 528, 529, 530, 532, 533 y 541.

De estos los tres principales en cada pasta son: 308 (#13), 303 (#6), 301 (#5), 501 (#12), 508 (#8), 523 (#7), 409 (#11), 404 (#9), 408 (#7). Sin identificar hay 8 en pasta Anaranjada, 11 en pasta Gris y 2 en Café Grueso (Figura 5.40).

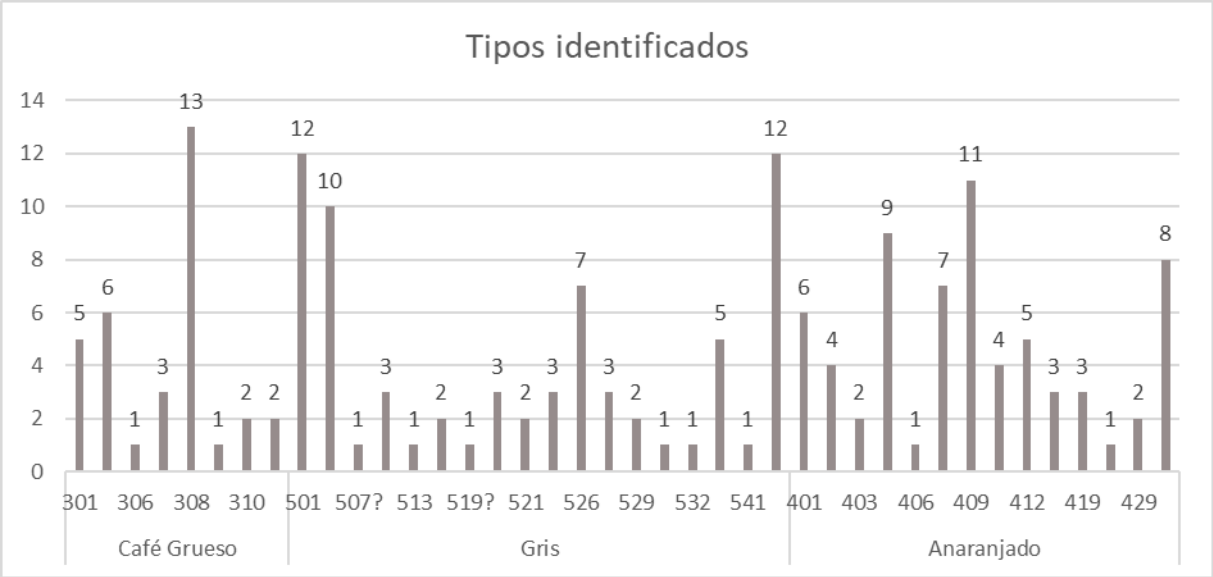



**Figura 5.40. Distribución de los tipos identificados (E22-s4).**

Dentro de las formas generales, en los Cajetes predominan los Cónicos (CN), seguidos de los Semiesféricos (SM), los de Silueta Compuesta (CS), los Curvo-Convergentes (CC), los Cilíndricos (CY) y un ejemplar sin identificar la forma específica (s/i). En las Ollas, predominan de Cuello Alto (TN), seguidas por Cuello Corto (SN) y el Botellón/Cántaro (B/C). Además, se tienen tres copas en pasta Anaranjada y un soporte en pasta Gris (Tabla 5.47).

**Tabla 5.47. Cuenta y porcentaje de formas especificas en los cajetes y ollas (E22-s4).**

| PASTA | Cajete | | | | | | | | | | | |
|---|---|---|---|---|---|---|---|---|---|---|---|---|
| | CN | % | CY | % | SM | % | CC | % | CS | % | s/i | % |
| Café Grueso | 6 | 4.34% | | | 7 | 5.07% | 2 | 1.44% | 1 | .72% | | |
| Anaranjado | 25 | 18.11% | 4 | 2.89 | 28 | 20.28% | 2 | 1.44% | | | 1 | .72% |
| Gris | 41 | 29.71% | 1 | .72% | 10 | 7.24% | 3 | 2.17% | 7 | 5.07% | | |
| **Total** | **138(100%)** | | | | | | | | | | | |

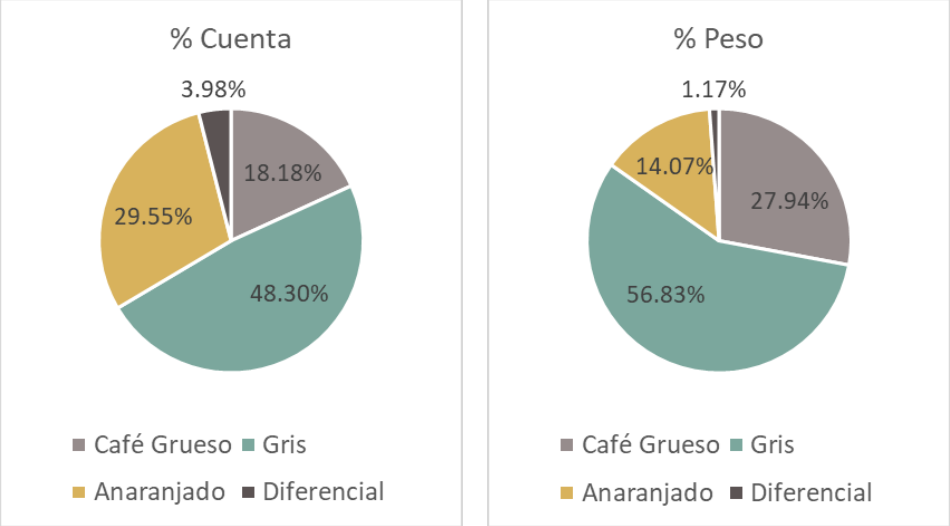
| PASTA | Olla | | | | | |
|---|---|---|---|---|---|---|
| | B/C | % | TN | % | SN | % |
| Café Grueso | | | 15 | 55.55% | 2 | 7.40% |
| Anaranjado | 1 | 3.70% | | | 2 | 7.40% |
| Gris | 1 | 3.70% | | | 6 | 22.22% |
| **Total** | **27(100%** | | | | | |

**E11/16**

Este contexto se localiza en la Operación B Norte, corresponde a un basurero. Las fechas generales del contexto son del Clásico Tardío. Los materiales analizados fueron: QQ44-4 (FS 22-8781), QQ44-5 (FS 22-8853), QQ44-6 (FS 22-9284), QQ44-7 (FS 22-9296), QQ43-4 (FS 22-8889), QQ43-5 (FS 22-8904), QQ43-6 (FS 22-9449), QQ43-6 (FS 22-9456), QQ43-6 (FS 22-9049), QQ43-7 (FS 22-9475), PP44-4 (FS 22-8964), PP44-5 (FS 22-8999), PP44-6 (FS 22-9367), PP44-7 (FS 22-9388), PP44-8 (FS 22-9399) y PP44-9 (FS 22-9386). Se analizaron 176 bordes de 1,399 presentes, lo que representa el 12.58% de los bordes del contexto, y el 1.86% de la totalidad de la cerámica del contexto (Tabla 5.48).

**Tabla 5.48. Porcentaje de Cuenta y Peso de la Forma General en pastas (E11/16).**

| PASTA | FORMA | CUENTA | % CUENTA | PESO | % PESO |
|---|---|---|---|---|---|
| Café Grueso | Olla | 18 | 10.23% | 829 | 20.18% |
| | Cajete | 14 | 7.95% | 319 | 7.76% |
| Anaranjada | Cajete | 52 | 29.55% | 578 | 14.07% |
| Gris | Olla | 4 | 2.27% | 62 | 1.51% |
| | Cajete | 81 | 46.02% | 2,273 | 55.32% |
| Diferencial | Cajete | 7 | 3.98% | 48 | 1.17% |
| **Total** | | **176** | **100%** | **4,109** | **100%** |




Las Ollas representan el 12.50% y los Cajetes 87.5%%. La forma predominante son los Cajetes en pasta Gris, representando el 46.02% de toda la cerámica analizada.

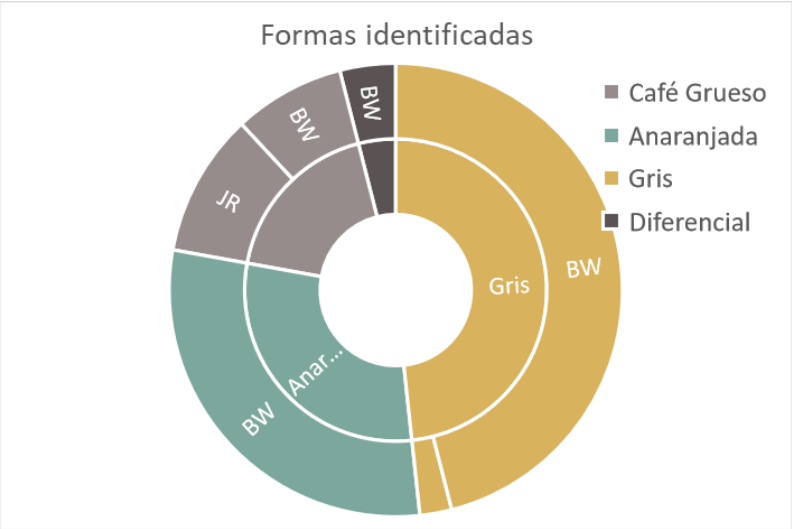



**Figura 5.41. Distribución de las formas primarias en las pastas (E11/16).**

En la cerámica total predomina la pasta Gris, con el 48% de la cerámica total de este contexto, seguida por la Café Grueso con el 31.51%, la Anaranjada con el 18.21% y la Diferencial con 2.28% (Tabla 5.49).

**Tabla 5.49. Porcentaje de cerámica por pastas del contexto (E11/16).**

| PASTA | ANALIZADOS # | TOTALES # | TOTALES % |
|---|---|---|---|
| Café Grueso | 32 | 2,988 | 31.51% |
| Anaranjada | 52 | 1,727 | 18.21% |
| Gris | 85 | 4,551 | 48% |
| Diferencial | 7 | 217 | 2.28% |
| **Total** | **176** | **9,483** | **100%** |

Siguiendo la clasificación de Baillie (2012) y Hedgepeth (2009), los tipos presentes son:

- Café Grueso. Tipo 301, 302, 303, 306, 307, 308 y 310.
- Anaranjado. Tipo 103, 112, 401, 402, 403, 404, 405, 408, 409, 410, 412, 415 y 427.
- Gris. Tipo 501, 503, 508, 509, 511, 513, 514, 517, 519, 520, 521, 522, 523, 524, 525, 526, 527, 528, 529, 530 y 533.
- Diferencial. Tipo 100, 104 y 112.

De estos se repiten los siguientes: 308 (#13), 508 (#8), 526 (#10), 409 (#8), 404 (#7); el resto solo aparece menos de seis veces. Tepalcates no identificados dentro de la clasificación incluyen 3 en pasta Café Grueso, 26 en pasta Gris, y 9 en pasta Anaranjada (Figura 5.42).

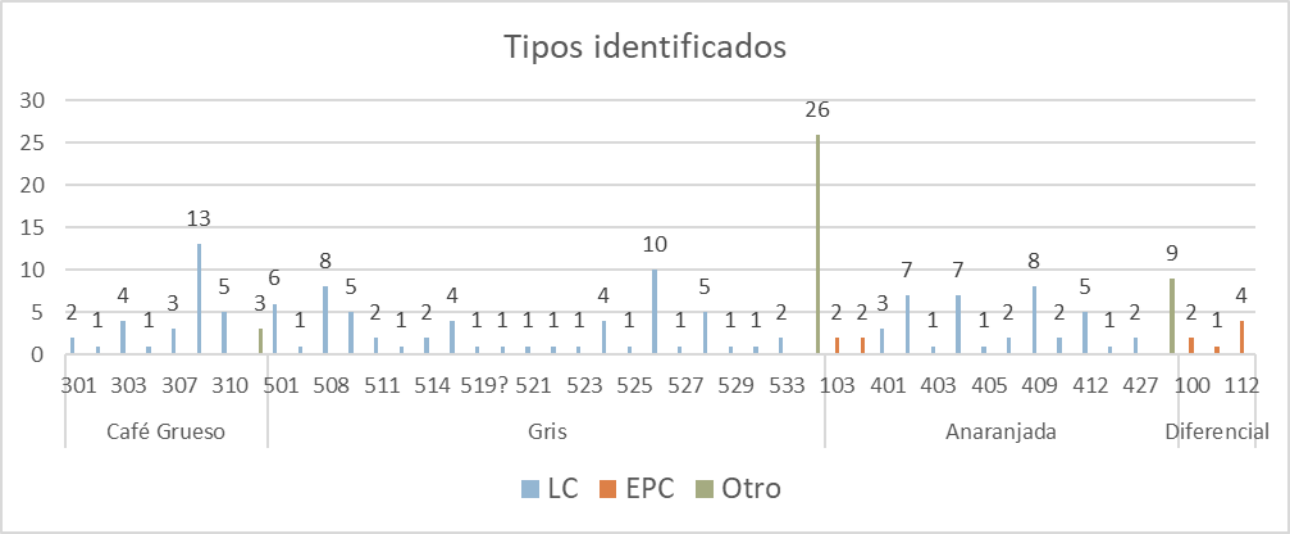



**Figura 5.42. Distribución de los tipos identificados (E11/16).**

Dentro de las formas generales, en los Cajetes predominan los Cónicos (CN), seguidos de los Semiesféricos (SM), los Curvo-Convergentes (CC), los Cilíndricos (CY), los de Silueta Compuesta (CS) y un ejemplar sin identificar su forma específica. En las Ollas predominan del tipo Cuello Alto (TN), seguidas de Cuello Corto (SN) y Botellón/Cántaro (B/C) (Tabla 5.50).

**Tabla 5.50. Cuenta y porcentaje de formas especificas en los cajetes y ollas (E11/16).**

| PASTA | Cajete | | | | | | | | | | | |
|---|---|---|---|---|---|---|---|---|---|---|---|---|
| | CN | % | CY | % | SM | % | CC | % | CS | % | s/i | % |
| Café Grueso | 3 | 1.94% | | | 6 | 3.89% | 4 | 2.59% | 1 | .64% | | |
| Anaranjado | 23 | 14.93% | 3 | 1.94% | 21 | 13.63% | 5 | 3.24% | | | | |
| Gris | 40 | 25.97% | 13 | 8.44% | 11 | 7.14% | 9 | 5.84% | 7 | 4.54% | 1 | .64% |
| Diferencial | 2 | 1.29% | | | 1 | .64% | 4 | 2.59% | | | | |
| **Total** | **154(100%)** | | | | | | | | | | | |

| PASTA | Olla | | | | | |
|---|---|---|---|---|---|---|
| | B/C | % | TN | % | SN | % |
| Café Grueso | | | 13 | 59.09% | 5 | 22.72% |
| Anaranjado | | | | | | |
| Gris | 2 | 9.09% | | | 2 | 9.09% |
| Diferencial | | | | | | |
| **Total** | **22(100%)** | | | | | |

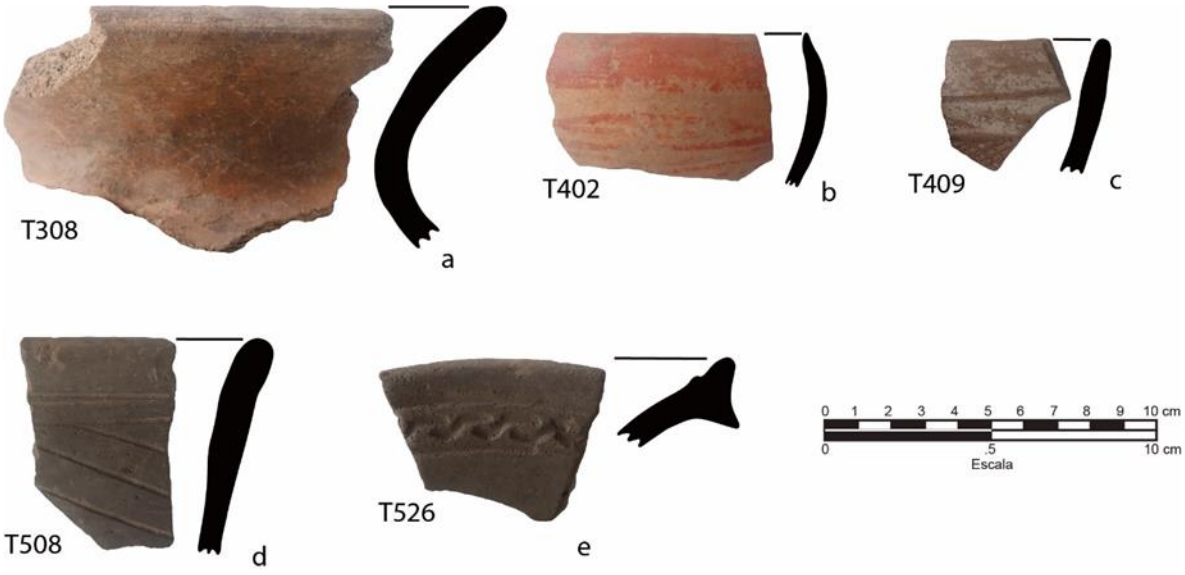


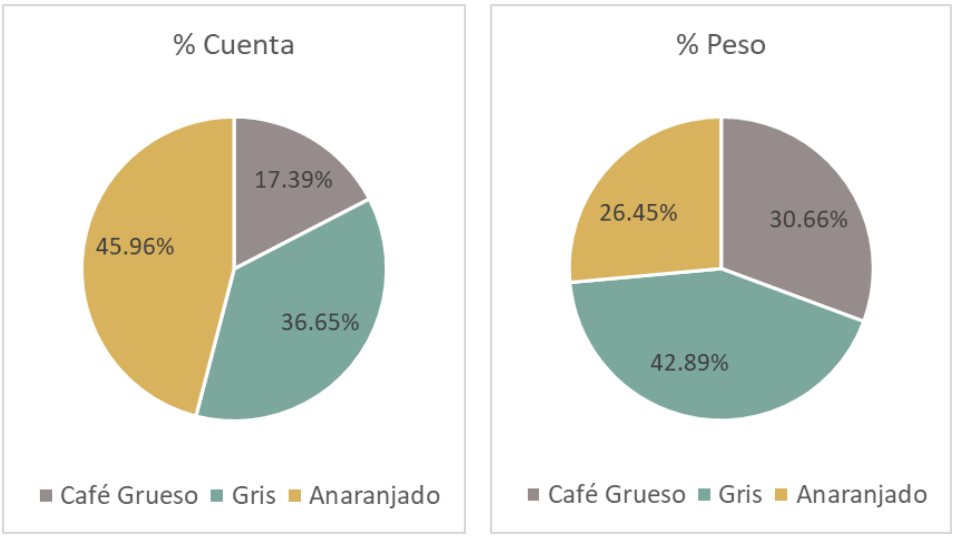

**Figura 5.43. Ejemplo de la cerámica recuperada en el contexto E11/16: a. T308, b. T402, c. T409, d. T508, e. T526.**

**E25-s5**

Este contexto se localiza en la Operación B Norte, corresponde a un basurero. Las fechas generales del contexto son Clásico Tardío. Los materiales analizados fueron: MU11-1 (FS 22-9716), MU11-2 (FS 22-9753), MU11-3 (FS 22-9771), MU11-4 (FS 22-9907), MU12-1 (FS 22-9805), MU12-2 (FS 22-9844) y MU12-3 (FS 22-9870). Se analizaron 161 bordes de 1,462 presentes, lo que representa el 11.01% de los bordes del contexto, y el 1.50% de la totalidad de la cerámica del contexto (Tabla 5.51).

**Tabla 5.51. Porcentaje de Cuenta y Peso de la Forma General en pastas (E25-s5).**

| PASTA | FORMA | CUENTA | % CUENTA | PESO | % PESO |
|---|---|---|---|---|---|
| Café Grueso | Olla | 17 | 10.56% | 577 | 17.60% |
| | Cajete | 11 | 6.83% | 428 | 13.06% |
| Anaranjada | JR | 2 | 1.24% | 15 | 0.46% |
| | BW | 72 | 44.72% | 852 | 25.99% |
| Gris | JR | 12 | 7.45% | 247 | 7.54% |
| | BW | 47 | 29.19% | 1,159 | 35.36% |
| **Total** | | **161** | **100%** | **3,278** | **100%** |



Las Ollas representan el 19.25% y los Cajetes 80.75%. La forma predominante son los Cajetes en pasta Anaranjada, representando el 44.72% de toda la cerámica analizada.

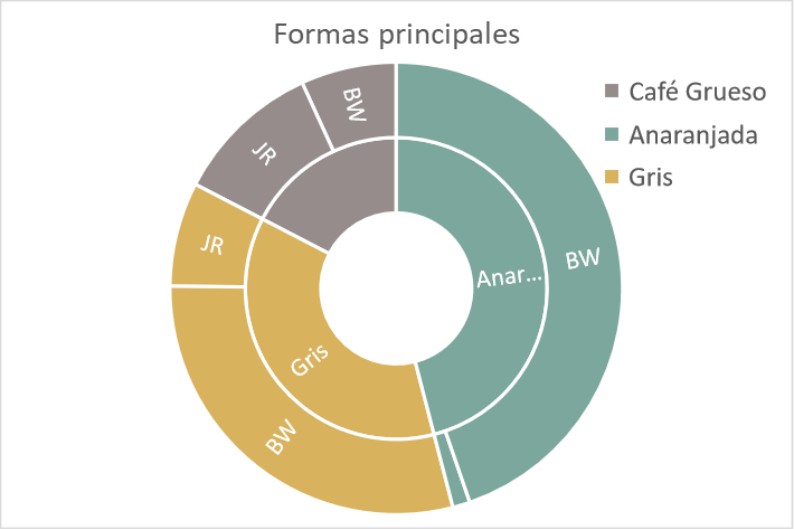



**Figura 5.44. Distribución de las formas primarias en las pastas (E25-s5).**

En la cerámica total predomina la pasta Anaranjada, con el 34.13% de la cerámica total de este contexto, seguida por la Gris con el 33.55% y la Café Grueso con 32.31% (Tabla 5.52).

**Tabla 5.52. Porcentaje de cerámica por pastas del contexto (E25-s5).**

| PASTA | ANALIZADOS # | TOTALES # | TOTALES % |
|---|---|---|---|
| Café Grueso | 28 | 3,471 | 32.31% |
| Anaranjada | 74 | 3,667 | 34.13% |
| Gris | 59 | 3,605 | 33.55% |
| **Total** | **161** | **10,743** | **100%** |

Siguiendo la clasificación de Baillie (2012), los tipos presentes son:

- Café Grueso. Tipo 303, 306, 307, 308, 310
- Anaranjado. Tipo 401, 402, 404, 408, 409, 410, 412, 415, 418, 419, 422, 424, 426, 427 y 429.
- Gris. Tipo 501, 502, 507, 508, 509, 511, 514, 517, 520, 521, 522, 523, 524, 526, 528, 530, 533 y 534.

De estos se repiten los siguientes: 308 (#14), 509 (#7), 526 (#6), 409 (#13), 402 (#11), 412 (#8); el resto solo aparece una vez. Tepalcates no identificados dentro de la clasificación incluyen 2 en pasta Café Grueso, 10 en pasta Anaranjada y 14 en pasta Gris (Figura 5.45).

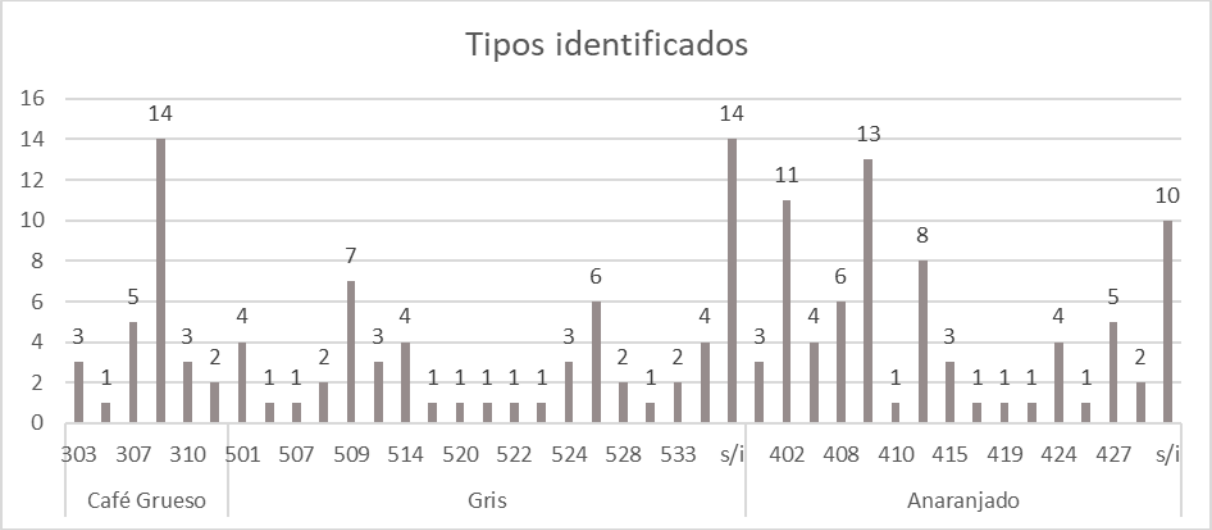



**Figura 5.45. Distribución de los tipos identificados (E25-s5).**

Dentro de las formas generales, en los Cajetes predominan los Cónicos (CN), seguidos de los Semiesféricos (SM), y los Curvo-Convergentes (CC), los de Silueta Compuesta (CS) y Cilíndricos (CY) se presentan en igual proporción, y se tiene un ejemplar sin identificar su forma específica. En las Ollas se tienen de Cuello Alto (TN), de Cuello Corto (SN), Botellón/Cántaro (B/C), y con Flange (FL) (Tabla 5.53).

**Tabla 5.53. Cuenta y porcentaje de formas especificas en los cajetes y ollas (E25-s5).**

| PASTA | Cajetes | | | | | | | | | | | |
|---|---|---|---|---|---|---|---|---|---|---|---|---|
| | CN | % | CY | % | SM | % | CC | % | CS | % | s/i | % |
| Café Grueso | | | | | 3 | 2.30% | 6 | 4.61% | 1 | .76% | 1 | .76% |
| Anaranjado | 27 | 20.76% | 6 | 4.61% | 32 | 24.61% | 2 | 1.53% | 5 | 3.84% | | |
| Gris | 27 | 20.76% | 3 | 2.30% | 9 | 6.92% | 5 | 3.84% | 3 | 2.30% | | |
| **Total** | **130(100%)** | | | | | | | | | | | |

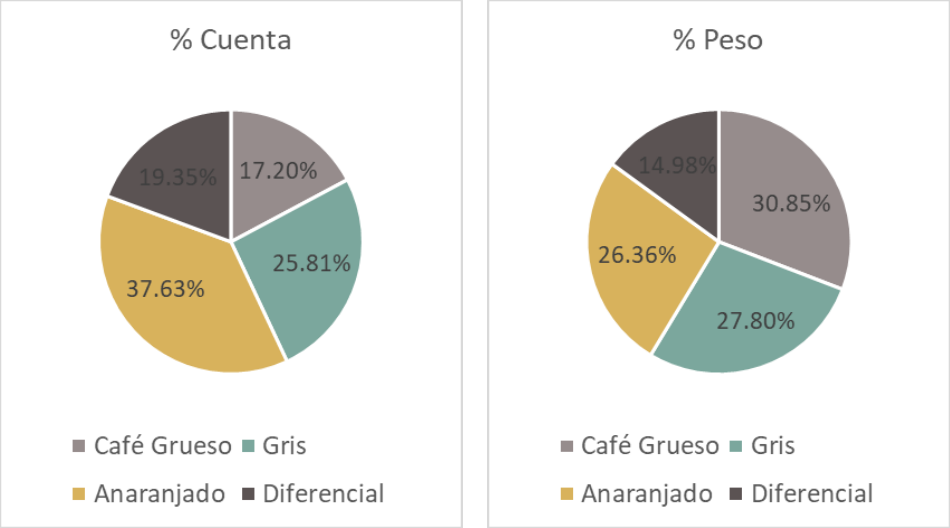
| PASTA | Olla | | | | | | | |
|---|---|---|---|---|---|---|---|---|
| | B/C | % | TN | % | SN | % | FL | % |
| Café Grueso | | | 14 | 41.16% | 3 | 9.67% | | |
| Anaranjado | | | | | 2 | 6.45% | | |
| Gris | 5 | 16.12% | | | 3 | 9.67% | 4 | 12.90% |
| **Total** | **31(100%)** | | | | | | | |

**E3**

Este contexto se localiza en la Operación B Norte, estructura 22-7, corresponde a un basurero. Las fechas generales del contexto son del Posclásico Temprano. Los materiales analizados fueron: QQ44-2 (FS 22-8764), QQ44-3 (FS 22-8769), QQ43-2 (FS 22-8871), QQ43-3 (FS 22-8880), PP44-2 (FS 22-8939), PP44-3 (FS 22-8955), PP43-2 (FS 22-9637), PP43-3 (FS 22-9647) y PP43-4 (FS 22-9649). Se analizaron 93 bordes de 593 presentes, lo que representa el 15.68% de los bordes del contexto, y el 1.52% de la totalidad de la cerámica del contexto (Tabla 5.54).

**Tabla 5.54. Porcentaje de Cuenta y Peso de la Forma General en pastas (E3).**

| PASTA | FORMA | CUENTA | % CUENTA | PESO | % PESO |
|---|---|---|---|---|---|
| Café Grueso | Olla | 11 | 11.83% | 308 | 24.68% |
| | Cajete | 5 | 5.38% | 77 | 6.17% |
| Anaranjada | Olla | 2 | 2.15% | 23 | 1.84% |
| | Molcajete | 2 | 2.15% | 41 | 3.29% |
| | Cajete | 31 | 33.33% | 265 | 21.23% |
| Gris | Olla | 3 | 3.23% | 54 | 3.75% |
| | Cajete | 21 | 22.58% | 293 | 23.48% |
| Diferencial | Molcajete | 1 | 1.08% | 8 | .64% |
| | Cajete | 17 | 18.28% | 179 | 14.34% |
| **Total** | | **93** | **100%** | **1,248** | **100%** |




Las Ollas representan el 17.20% y los Cajetes 79.57%. La forma predominante son los Cajetes en pasta Anaranjada, representando el 33.33% de toda la cerámica analizada.

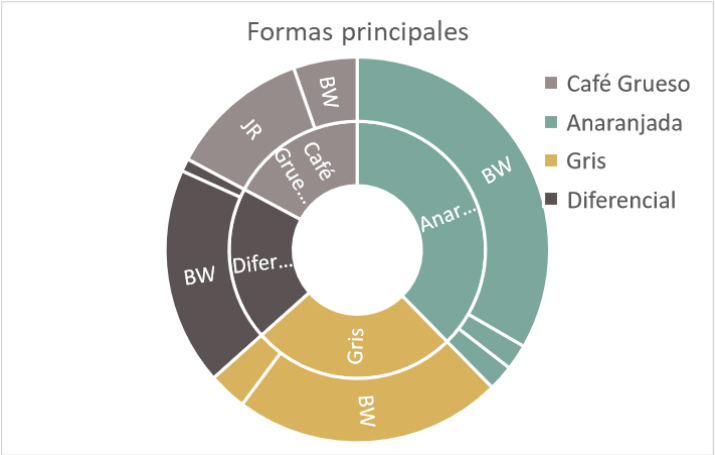



**Figura 5.46. Distribución de las formas primarias en las pastas (E3).**

En la cerámica total predomina la pasta Anaranjada, con el 31.11% de la cerámica total de este contexto, seguida por la Café Grueso con el 30.44% y la Gris con el 25.13 y la Diferencial con 13.31% (Tabla 5.55).

**Tabla 5.55. Porcentaje de cerámica por pastas del contexto (E3).**

| PASTA | ANALIZADOS # | TOTALES # | TOTALES % |
|---|---|---|---|
| Café Grueso | 16 | 1,859 | 30.44% |
| Anaranjada | 35 | 1,900 | 31.11% |
| Gris | 24 | 1,535 | 25.13% |
| Diferencial | 18 | 813 | 13.31 |
| **Total** | **93** | **6,107** | **100%** |

Siguiendo la clasificación de Baillie (2012) y Hedgepeth (2009), los tipos presentes son:

- Café Grueso. Tipo 303, 307, 308, 310.
- Anaranjado. Tipo 100, 103, 104, 107, 111, 112, 121, 402, 409, 412, 425, 405.
- Gris. Tipo 501, 508, 517, 521, 524, 526, 528, 534.
- Diferencial. Tipo 103, 104, 108, 111, 112.

De estos se repiten los siguientes: 112 (#11), 308 (#8), 112 (#5); el resto aparece menos de cuatro veces. Tepalcates no identificados dentro de la clasificación incluyen uno en Café Grueso, cinco en Gris, y dos en Anaranjado (Figura 5.47).

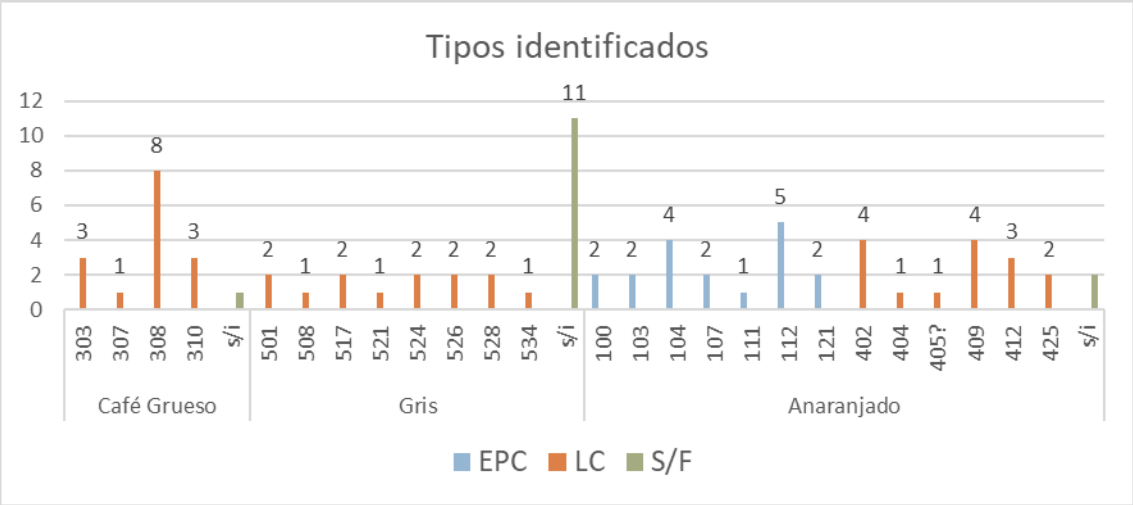



**Figura 5.47. Distribución de los tipos identificados (E3).**

Dentro de las formas generales, en los Cajetes predominan los Curvo-Convergentes (CC), seguidos de los Semiesféricos (SM), los Cónicos (CN), los Cilíndricos (CY), de Silueta Compuesta (CS), y un ejemplar sin identificar la forma específica (s/i). En las Ollas se tienen de Cuello Alto (TN), Cuello Corto (SN), Botellón/Cántaro (B/C), una Miniatura (M) y una con Flange (FL). Además, se tienen tres molcajetes, dos en pasta Anaranjada y uno en pasta Diferencial (Tabla 5.56).

**Tabla 5.56. Cuenta y porcentaje de formas especificas en los cajetes y ollas (E3).**

| PASTA | Cajete | | | | | | | | | | | |
|---|---|---|---|---|---|---|---|---|---|---|---|---|
| | CN | % | CY | % | SM | % | CS | % | CC | % | s/i | % |
| Café Grueso | | | | | 4 | 5.40% | | | 1 | 1.35% | | |
| Anaranjado | 9 | 12.16% | | | 14 | 18.91% | | | 7 | 9.45% | 1 | 1.35% |
| Gris | 12 | 16.21% | 3 | 4.05% | | | 1 | 1.35% | 5 | 6.75% | | |
| Diferencial | | | | | 4 | 5.40% | | | 13 | 17.56% | | |
| **Total** | **74(100%)** | | | | | | | | | | | |

| PASTA | Olla | | | | | | | | | |
|---|---|---|---|---|---|---|---|---|---|---|
| | B/C | % | TN | % | SN | % | M | % | FL | % |
| Café Grueso | | | 7 | 43.75% | 4 | 25% | | | | |
| Anaranjado | 2 | 12.5% | | | | | | | | |
| Gris | 1 | 6.25% | | | | | 1 | 6.25% | 1 | 6.25% |
| Diferencial | | | | | | | | | | |
| **Total** | **16(100%)** | | | | | | | | | |




**Figura 5.48. Ejemplo de la cerámica recuperada en el contexto E3: a. T112, b. T112.**

5.2.3 Comentarios análisis cerámica

El orden de proporción de los contextos en la muestra total se reparte de la siguiente manera: Op. B E20-s5 (385 tiestos - 16.84%), Op. A E11 (346 tiestos - 15.14%), Op. A E15 (342 tiestos

- 14.96%), Op. A E84 (297 tiestos - 12.99%), Op. B E11/16 (176 tiestos - 7.70%), Op. B E22-s4 (169 tiestos - 7.39%), Op. B E25-s5 (161 tiestos - 7.04%), el porcentaje del resto está por debajo del 5%.

De forma general, la pasta predominante en el análisis cerámico es la Anaranjada representando el 37.63% (860 tiestos), seguida de la Gris con 37.5% (855 tiestos), la Café Grueso con 17.54% (401 tiestos) y por último la Diferencial con 7.30% (167 tiestos). Salvo en algunos contextos específicos (como E9, E6 o E22-s2) las pastas se distribuyen de forma similar (Figura 5.49).

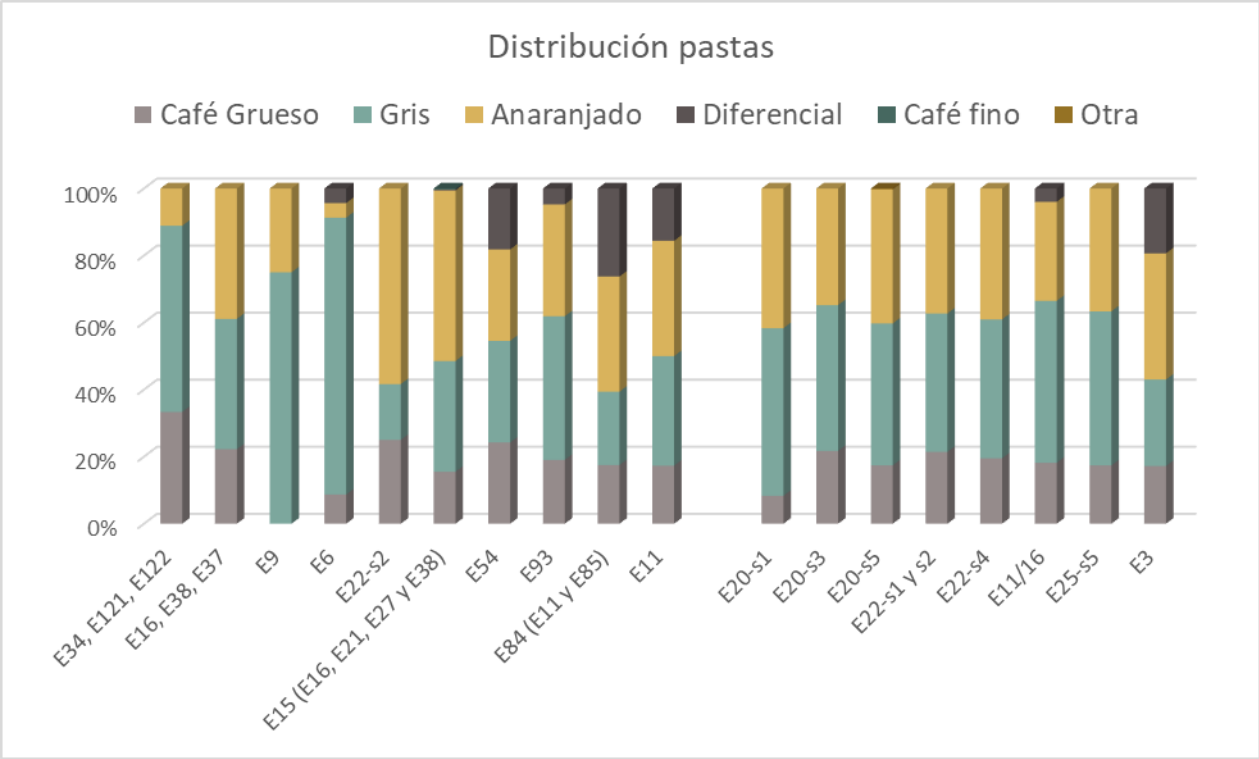



**Figura 5.49. Distribución de las pastas en los diferentes contextos.**

Dentro de las formas predominan los Cajetes con el 84.5% (1,931 tiestos), seguido de las Ollas con el 14.1% (323 tiestos), las otras formas (molcajetes, comales, copas, incensarios, etc.) se encuentran por debajo del 1% de las formas identificadas.

## 5.3 Obsidiana

En esta sección se presentan los métodos y resultados del análisis de la obsidiana recuperada en las operaciones A y B, del PRV-2022.

### 5.3.1 Metodología obsidiana

Para el análisis de la obsidiana se registraron diversos atributos del material: el número de piezas, el material (obsidiana o pedernal), sus medidas (largo, ancho), su peso, el tipo de pieza (lasca, navajilla, debitage, etc.), la parte de la pieza (proximal, medial o distal), su color (negro, verde, gris, etc.), así como si presentaba algún tipo de retoque, cortex, o reutilización.

### 5.3.2 Resultados análisis obsidiana

En total se analizaron 204 piezas de 13 contextos (Fig. 5.50). De la operación A: E34, E121, E122, E6, E15, E54, E93, E84 y E11; y de la operación B: E20-S5, E22-s1ys2, E22-S4, E11/16, E25-S5 y E3. Los contextos E16, E9, E22-s2, E20-s1 y E20-s3, no presentaron obsidiana para su análisis.

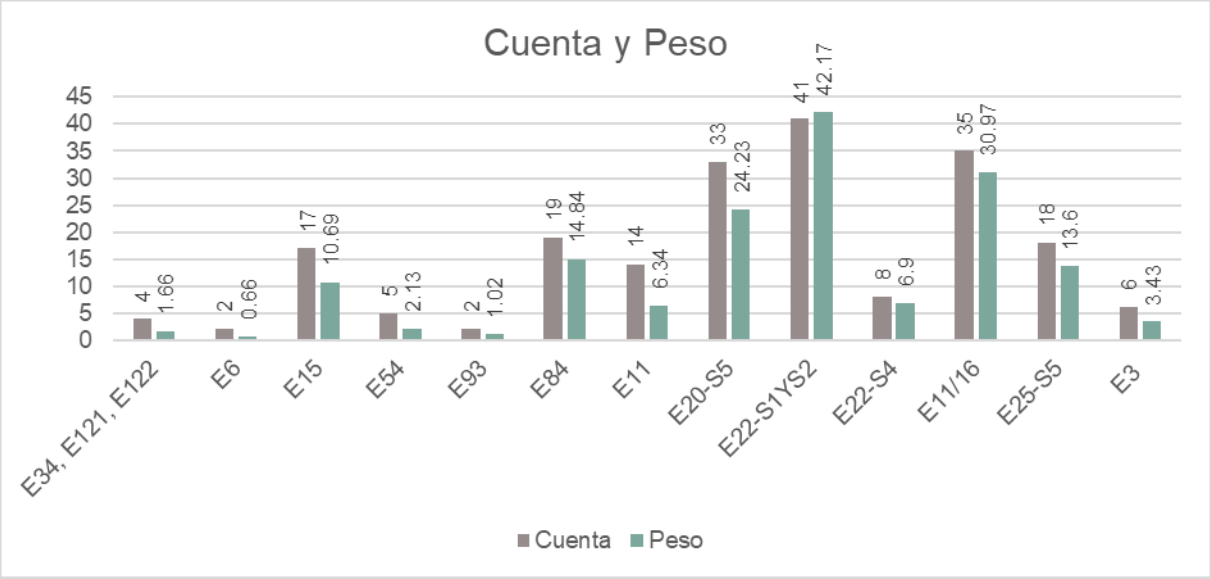



**Figura 5.50. Distribución de Cuenta y Peso de la obsidiana en los contextos.**

**OPERACIÓN A**

**E34, E121, E122**

Contexto asociado a la tubería, en la unidad MU29-6. De este contexto se analizaron 4 piezas: MU29-6 (FS 22-3140). Este contexto representa el 1.96% de la muestra analizada, todos los fragmentos corresponden a Navajillas en su parte medial de color gris opaco (Tabla 5.57).

**Tabla 5.57. Descripción general de obsidiana (E34, E121, E122).**

| Color | Navajilla medial | Cuenta | Peso |
|---|---|---|---|
| Gris opaco | 4 | 4 | 1.66 |
| **Total** | **4** | **4** | **1.66** |

| Pieza | Promedio largo (mm) | Promedio ancho (mm) | Suma de peso (g) |
|---|---|---|---|
| Navajilla medial | 1.75 | .07 | 1.66 |
| **Total** | **1.75** | **.7** | **1.66** |

**E6**

Contexto de ofrenda de piedras del río, en las unidades P16-12 a 14, y 17. De este contexto se analizaron 2 piezas: P16-12 (FS 22-1309) y P16-17 (FS 22-1395). Este contexto representa el 0.98% de la obsidiana analizada, se trata de una navajilla medial y un fragmento de debitage (Tabla 5.58).

**Tabla 5.58. Descripción general de obsidiana (E6).**

| Color | Navajilla medial | Debitage | Cuenta | Peso |
|---|---|---|---|---|
| Gris claro | | 1 | 1 | .29 |
| Gris oscuro | 1 | | 1 | .37 |
| **Total** | **1** | **1** | **2** | **.66** |

| Pieza | Promedio largo (mm) | Promedio ancho (mm) | Suma de peso (g) |
|---|---|---|---|
| Navajilla Medial | 2 | .06 | .37 |
| **Total** | **2** | **.06** | **.37** |

**E15, con contribuciones menores de E16, E21, E27 y E38**

Contexto de depósito de terminación, en las unidades L13-6 a 11, M13-2 y 3, M14-4 a 6, MU1-9 a 11, MU21-5 y 6, MU22-3, MU8-3, O10- 4, O11-3 a 6, y Q11-3 a 7. De este contexto se analizaron 17 piezas: L13-6 (FS 22- 1445), L13-7 (FS 22-2100), L13-7 (22-1463), L13-8 (FS 22-1563), L13-9 (FS 22-1589), M13-3 (FS 22-2550), MU1-9 (FS 22-1652), MU21-6 (FS 22-3510), MU21-5 (FS 22-3448), O11-3 (FS 22-1931) y O11-3 (FS 22-1942). Este contexto representa el 8.33% de la obsidiana analizada, se trata de navajillas en su parte medial y proximal, así como fragmentos de debitage (Tabla 5.59).

**Tabla 5.59. Descripción general de obsidiana (E15).**

| Color | Navajilla medial | Navajilla proximal | Debitage | Cuenta | Peso |
|---|---|---|---|---|---|
| Negro | 6 | 3 | 2 | 11 | 5.85 |
| Verde | 1 | | | 1 | .69 |
| Gris opaco | 2 | 3 | | 5 | 4.15 |
| **Total** | **9** | **6** | **2** | **17** | **10.69** |

| Pieza | Promedio largo (mm) | Promedio ancho (mm) | Suma de peso (g) |
|---|---|---|---|
| Navajilla medial | 2.030 | 1.06 | 5.41 |
| Navajilla proximal | 2.88 | .93 | 4.49 |
| **Total** | **2.37** | **1.01** | **9.9** |

**E54**

Contexto de desecho ocupacional asociado a la Estructura 1, en la unidad P10-5 y Q10-5 y 6. De este contexto se analizaron 5 piezas de Q10-5 (FS 22-1925) y Q10-6 (FS 22-1949). Este contexto representa el 2.45% de la obsidiana analizada, se tienen fragmentos de navajillas (medial y distal), así como debitage y chunk (Tabla 5.60).

**Tabla 5.60. Descripción general de obsidiana (E54).**

| Color | Navajilla medial | Navajilla distal | Debitage | Chunk | Cuenta | Peso |
|---|---|---|---|---|---|---|
| Negro | 1 | | 1 | 1 | 3 | 1.61 |
| Gris opaco | 1 | 1 | | | 2 | .52 |
| **Total** | **2** | **1** | **1** | **1** | **5** | **2.13** |

| Pieza | Promedio largo (mm) | Promedio ancho (mm) | Suma de peso (g) |
|---|---|---|---|
| Navajilla medial | 1.35 | .75 | .55 |
| Navajilla distal | 2.2 | .8 | .34 |
| **Total** | | | **.89** |

**E93**

Contexto asociado al horno de tierra, en las unidades U17-12, MU30-2 y 3, MU31-1,2,5 a 7. De este contexto se analizaron 2 piezas MU30-2 (FS 22-3811) y MU31-1 (FS 22-3846). Este contexto representa el .98% de la obsidiana analizada, es un contexto pequeño solo con navajillas en su parte medial de color verde y gris opaco (Tabla 5.61).

**Tabla 5.61. Descripción general de obsidiana (E93).**

| Color | Navajilla medial | Cuenta | Peso |
|---|---|---|---|
| Verde | 1 | 1 | .48 |
| Gris opaco | 1 | 1 | .54 |
| **Total** | **2** | **2** | **1.02** |

| Pieza | Promedio largo (mm) | Promedio ancho (mm) | Suma de peso (g) |
|---|---|---|---|
| Navajilla medial | 1.7 | 1.1 | 1.02 |

**E84 con contribuciones menores de E11 y E85**

Contexto de basurero en las unidades F24-5, 6, 10, 11, 13 a 17, y 19, MU11-1 a 11. De este contexto se analizaron 19 piezas: F24-8 (FS 22-2629), F24-9 (FS 22-2447), F24-11 (FS 22-128), F24-17 (FS 22-2626), F24-19 (FS 22-2646), MU11-2 (FS 22-3045), MU11-3 (FS 22-3049), MU11-4 (FS 22-3059), MU11-5 (FS 22-3074), MU11-7 (FS 22-3088), MU11-11 (FS 22-3215) y MU11-12 (FS 22-3223). Este contexto representa el 9.31% de la obsidiana analizada, se tienen navajillas (proximal, medial y distal), de las cuales predominan las mediales (11 fragmentos), así como un fragmento de una punta de pedernal (Tabla 5.62).

**Tabla 5.62. Descripción general de obsidiana (E84).**

| Color | Navajilla proximal | Navajilla medial | Navajilla distal | Punta | Debitage | Cuenta | Peso |
|---|---|---|---|---|---|---|---|
| Negro | | 1 | | | 1 | 2 | .95 |
| Verde | | 4 | | | | 4 | 1.63 |
| Gris claro | 2 | 5 | 1 | | | 8 | 3.56 |
| Gris opaco | 2 | 1 | 1 | | | 4 | 4.47 |
| Pedernal Blanco | | | | 1 | | 1 | 4.23 |
| **Total** | **4** | **11** | **2** | **1** | **1** | **19** | **14.84** |

| Pieza | Promedio largo (mm) | Promedio ancho (mm) | Suma de peso (g) |
|---|---|---|---|
| Navajilla proximal | 2.72 | .9 | 4.09 |
| Navajilla medial | 1.65 | .87 | 4.92 |
| Navajilla distal | 2.15 | .95 | 1.35 |
| Punta | 2 | 2.4 | 4.23 |
| **Total** | **1.96** | **.97** | **14.84** |

**E11**

Contexto de basurero en las unidades J17-6, 8 y 10, K17-5 y 7, I19-4, 7 y 9, I20-3 y 5, I21-4 y 5, I22-4 y 6, I24-1, J19-7 y 10, J22-8, K19-3 y 4, y F24-4. De este contexto se analizaron 14 piezas: K17-5 (FS 22-2602), I19-7 (FS 22-2756), I19-9 (FS 22-2974), I20-5 (FS 22-3642), I21-5 (FS 22-1897), J19-10 (FS 22-3128), y J22- 8 (FS 22-2747). Este contexto representa el 6.89% de la obsidiana analizada, se conforma por navajillas (proximal, medial y distal), en las cuales predominan las mediales de color negro, así como fragmentos de debitage (Tabla 5.63).

**Tabla 5.63. Descripción general de obsidiana (E11).**

| Color | Navajilla proximal | Navajilla medial | Navajilla distal | Debitage | Cuenta | Peso |
|---|---|---|---|---|---|---|
| Negro | 1 | 3 | 1 | 2 | 7 | 2.83 |
| Verde | 1 | | | 1 | 2 | 1.07 |
| Gris claro | 1 | | | | 1 | .69 |
| Gris opaco | 1 | 2 | | | 4 | 1.75 |
| **Total** | **4** | **5** | **1** | **3** | **14** | **6.34** |

| Pieza | Promedio largo (mm) | Promedio ancho (mm) | Suma de peso (g) |
|---|---|---|---|
| Navajilla proximal | 2.35 | .8 | 2.24 |
| Navajilla medial | 1.72 | .88 | 2.42 |
| Navajilla distal | 1.9 | .6 | .36 |
| **Total** | **1.99** | **.82** | **5.02** |

**OPERACIÓN B**

**E20-s5**

Contexto de Deposito terminal en las unidades NN38-6 a 10, PP38-8 a 13, OO38-6 a 13, y QQ38-7 a 10. De este contexto se analizaron 33 piezas: NN38-7 (FS 22-8760), NN38-10 (FS 22-8792), NN38-11 (FS 22-8814), PP38-9 (FS 22-8508), PP38-12 (FS 22-8550), OO38-8 (FS 22-8194), OO38-10

(FS 22-8219), OO38-11 (FS 22-8268), OO38-12 (FS 22-8288), QQ38-8 (FS 22-8183), QQ38-9 (FS 22-8199) y QQ38-10 (FS 22-8213). Este contexto corresponde al 16.18% de la obsidiana analizada, predominan las navajillas de color gris opaco, tanto mediales como proximales, también hay lascas y chunks (Tabla 5.64).

**Tabla 5.64. Descripción general de obsidiana (E20-s5).**

| Color | Navajilla proximal | Navajilla medial | Navajilla distal | Chunks | Lasca | Cuenta | Peso |
|---|---|---|---|---|---|---|---|
| Negro | 1 | 2 | | | | 3 | 2.33 |
| Gris | 1 | 1 | | | | 2 | 2.22 |
| Verde | 1 | 2 | 1 | | | 4 | 2.85 |
| Gris opaco | 5 | 16 | | 1 | 2 | 24 | 16.83 |
| **Total** | **8** | **21** | **1** | **1** | **2** | **33** | **24.23** |

| Pieza | Promedio largo (mm) | Promedio ancho (mm) | Suma de peso (g) |
|---|---|---|---|
| Navajilla proximal | 2.28 | 1.01 | 6.68 |
| Navajilla medial | 2.18 | 1.03 | 15.76 |
| Navajilla distal | 1.7 | 1 | .42 |
| **Total** | **2.19** | **1.03** | **22.86** |

**E22-s1 y s2**

Contexto de Basurero en las unidades HH37-5, MU13-1 y 2, y II38-11 a 13. De este contexto se analizaron 41 piezas: HH37-5 (FS 22-9964), HH37-5 (FS 22-812), HH37-5 (FS 22-9940), HH37-5 (FS 22-9945), MU13-1 (FS 22-9804), MU13-2 (FS 22-9837), II38-11 (FS 22-8277), y II38-12 (FS 22-8313). Este contexto representa el 20.10% de la obsidiana analizada, es el más grande. Cuenta con la variedad más grande en cuanto a forma (navajilla, lasca, debitage y chunk) y color (negro, verde, gris claro, y gris opaco); predominan las navajillas mediales seguida de las proximales (Tabla 5.65).

**Tabla 5.65. Descripción general de obsidiana (E22-s1 y s2).**

| Color | Navajilla proximal | Navajilla medial | Navajilla distal | Debitage | Chunks | Lasca | Cuenta | Peso |
|---|---|---|---|---|---|---|---|---|
| Negro | 2 | 6 | | | 1 | 1 | 10 | 11.32 |
| Verde | | 3 | | | | | 3 | 1.69 |
| Gris claro | | 2 | | | | | 2 | 1.58 |
| Gris opaco | 4 | 15 | 1 | 1 | 2 | | 23 | 12.46 |
| Pedernal Blanco | | | | | 3 | | 3 | 15.12 |
| **Total** | **6** | **26** | **1** | **1** | **6** | **1** | **41** | **42.17** |

| Pieza | Promedio largo (mm) | Promedio ancho (mm) | Suma de peso (g) |
|---|---|---|---|
| Navajilla proximal | 2.36 | .83 | 3.45 |
| Navajilla medial | 1.90 | 1.01 | 20.38 |
| Navajilla distal | 2.8 | .9 | .71 |
| Chunk | 2.2 | 1.8 | 16.43 |
| Lasca | 2.1 | 1.7 | 1.08 |
| **Total** | **2.02** | **1.02** | **42.05** |

**E22-s4**

Contexto de basurero, en las unidades II38-9 y 10, HH39-6 a 8, y II39-6 y 7. De este contexto se analizaron 8 piezas: HH39-7 (FS 22-8981) y II39-6 (FS 22-9588). Este contexto representa el 3.92% de la obsidiana analizada, consiste solo de navajillas (proximal, medial y distal) en color negro y gris opaco (Tabla 5.66).

**Tabla 5.66. Descripción general de obsidiana (E22-s4).**

| Color | Navajilla proximal | Navajilla medial | Navajilla distal | Cuenta | Peso |
|---|---|---|---|---|---|
| Negro | 2 | 2 | 1 | 5 | 3.82 |
| Gris opaco | | 2 | 1 | 3 | 3.08 |
| **Total** | **2** | **4** | **2** | **8** | **6.9** |

| Pieza | Promedio largo (mm) | Promedio ancho (mm) | Suma de peso (g) |
|---|---|---|---|
| Navajilla proximal | 2.55 | 1 | 1.86 |
| Navajilla medial | 2.35 | 1.07 | 3.75 |
| Navajilla distal | 2 | .95 | 1.29 |
| **Total** | **2.31** | **1.02** | **6.9** |

**E11/16**

Contexto de Basurero en las unidades: QQ44-4 a 7, QQ43-4 a 7, y PP44-4 a 9. De este contexto se analizaron 35 piezas: QQ44-6 (FS 22-9289), QQ44-7 (FS 22-9299), QQ43-6 (FS 22-9454), PP44-4 (FS 22-8966), PP44-5 (FS 22-9001), PP44-6 (FS 22-9371), PP44-7 (FS 22-9389), PP44-8 (FS 22-9400), y PP44-9 (FS 22-9418). Este contexto representa el 17.16% de la obsidiana analizada, tiene una de las variedades más grandes en cuanto a forma (Navajilla, Lasca, Punta, Chunk, y Debitage). Predominan las navajillas mediales seguidas de las proximales (Tabla 5.67).

**Tabla 5.67. Descripción general de obsidiana (E11/16).**

| Color | Navajilla medial | Navajilla proximal | Chunks | Debitage | Lasca | Punta | Cuenta | Peso |
|---|---|---|---|---|---|---|---|---|
| Negro | 7 | 2 | 1 | | 1 | | 11 | 13.15 |
| Verde | 5 | 2 | 1 | 1 | | | 9 | 4.4 |
| Gris claro | 2 | 1 | | | 1 | 1 | 5 | 6.8 |
| Gris opaco | 6 | 1 | 2 | 1 | | | 10 | 6.62 |
| **Total** | **20** | **6** | **4** | **2** | **2** | **1** | **35** | **30.97** |

| Pieza | Promedio largo (mm) | Promedio ancho (mm) | Suma de peso (g) |
|---|---|---|---|
| Navajilla medial | 1.93 | 1.15 | 16.53 |
| Navajilla proximal | 2.01 | 1.16 | 4.83 |
| Lasca | 2.35 | 2.15 | 7.04 |
| Punta | 1.16 | 1.14 | .65 |
| **Total** | **1.96** | **1.23** | **29.05** |

**E25-s5**

Contexto de Basurero en las unidades: MU11-1 a 4 y MU12-1 a 3. De este contexto se analizaron 18 piezas: MU11-1 (FS 22-9717), MU11-2 (FS 22-9754), MU11-4 (FS 22-9910), MU12-1 (FS 22-9806), MU12-3 (FS 22-9879) y MU12-3 (FS 22-800). Este contexto representa el 8.82% de la muestra de obsidiana, predomina la navajilla medial, y también presenta lasca y debitage (Tabla 5.68).

**Tabla 5.68. Descripción general de obsidiana (E25-s5).**

| Color | Navajilla proximal | Navajilla medial | Lasca | Debitage | Cuenta | Peso |
|---|---|---|---|---|---|---|
| Negro | | 6 | | 2 | 8 | 4.61 |
| Gris | | | 1 | | 1 | 2.41 |
| Gris opaco | 1 | 8 | | | 9 | 6.58 |
| **Total** | **1** | **14** | **1** | **2** | **18** | **13.6** |

| Pieza | Promedio largo (mm) | Promedio ancho (mm) | Suma de peso (g) |
|---|---|---|---|
| Navajilla proximal | 3 | 1.6 | 1.7 |
| Navajilla medial | 2.35 | .97 | 8.93 |
| Lasca | 4 | 2 | 2.41 |
| **Total** | **2.39** | **1.08** | **13.04** |

**E3**

Contexto de Basurero en las unidades: QQ44-2 y 3, QQ43-2 y 3, PP44-2 y 3, y PP43 2 a 4. De este contexto se analizaron 6 piezas: QQ43-2 (FS 22-8872) y PP44-2 (FS 22-8940). Este contexto representa el 2.94% de la obsidiana analizada, se conforma solo de navajillas (proximal, medial y distal) de color negro, gris claro y gris opaco (Tabla 5.69).

**Tabla 5.69. Descripción general de obsidiana (E3).**

| Color | Navajilla proximal | Navajilla medial | Navajilla distal | Cuenta | Peso |
|---|---|---|---|---|---|
| Negro | | 1 | 1 | 2 | 1.31 |
| Gris claro | 1 | 2 | | 3 | 1.57 |
| Gris opaco | | 1 | | 1 | .55 |
| **Total** | **1** | **4** | **1** | **6** | **3.43** |

| Pieza | Promedio largo (mm) | Promedio ancho (mm) | Suma de peso (g) |
|---|---|---|---|
| Navajilla proximal | 2.4 | 1.3 | .96 |
| Navajilla medial | 1.45 | .92 | 1.84 |
| Navajilla distal | 2.2 | 1 | .63 |
| **Total** | **1.73** | **1** | **3.43** |

5.3.3 Comentarios análisis obsidiana

Los contextos con mayor cantidad de material se encuentran en la operación B: E22-s1y2 (20.10%), E11/16 (17.16%) y E20-s5 (16.18%), el resto de los contextos está por debajo del 10% de la muestra. De los 204 fragmentos analizados la forma predominante es la Navajilla (119 fragmentos mediales, 42 proximales, y 9 distales), seguida de 13 fragmentos de Debitage, 12 de chunk y 6 Lascas y 2 Puntas (Tabla 5.70). En cuanto al color (Tabla 5.71), predomina la obsidiana gris opaca (91 fragmentos), seguida de la Negra (62 fragmentos), la Gris clara (25) y la Verde (22 fragmentos).

**Tabla 5.70. Cuenta obsidiana por contexto y forma.**

| Contexto | # Total | g total | Nav. Prox | Nav. Medial | Nav. Distal | Lasca | Debitage | Chunk | Punta |
|---|---|---|---|---|---|---|---|---|---|
| E34, E121, E122 | 4 | 1.66 | 4 | | | | | | |
| E6 | 2 | 0.66 | | 1 | | | 1 | | |
| E15 | 17 | 10.69 | 6 | 9 | | | 2 | | |
| E54 | 5 | 2.13 | | 2 | 1 | | 1 | 1 | |
| E93 | 2 | 1.02 | | 2 | | | 1 | | |
| E84 | 19 | 14.84 | 4 | 11 | 2 | | | | 1 |
| E11 | 14 | 6.34 | 4 | 5 | 1 | | 3 | | |
| E20-S5 | 33 | 24.23 | 8 | 21 | 1 | 2 | | 1 | |
| E22-s1ys2 | 41 | 42.17 | 6 | 26 | 1 | 1 | 1 | 6 | |
| E22-S4 | 8 | 6.9 | 2 | 4 | 2 | | | | |
| E11/16 | 35 | 30.97 | 6 | 20 | | 2 | 2 | 4 | 1 |
| E25-S5 | 18 | 13.6 | 1 | 14 | | 1 | 2 | | |
| E3 | 6 | 3.43 | 1 | 4 | 1 | | | | |
| **Total** | **204** | **158.64** | **42** | **119** | **9** | **6** | **13** | **12** | **2** |

**Tabla 5.71. Cuenta obsidiana por contexto y color.**

| Contexto | Negro | Verde | Gris claro | Gris opaco | Pedernal Blanco | # Total |
|---|---|---|---|---|---|---|
| E34, E121, E122 | | | | 4 | | 4 |
| E6 | | | 1 | 1 | | 2 |
| E15 | 11 | 1 | | 5 | | 17 |
| E54 | 3 | | | 2 | | 5 |
| E93 | | 1 | | 1 | | 2 |
| E84 | 2 | 4 | 8 | 4 | 1 | 19 |
| E11 | 7 | 2 | 1 | 4 | | 14 |
| E20-S5 | 3 | 2 | 4 | 24 | | 33 |
| E22-S1YS2 | 10 | 3 | 2 | 23 | 3 | 41 |
| E22-S4 | 5 | | | 3 | | 8 |
| E11/16 | 11 | 9 | 5 | 10 | | 35 |
| E25-S5 | 8 | | 1 | 9 | | 18 |
| E3 | 2 | | 3 | 1 | | 6 |
| **Total** | **62** | **22** | **25** | **91** | **4** | **204** |

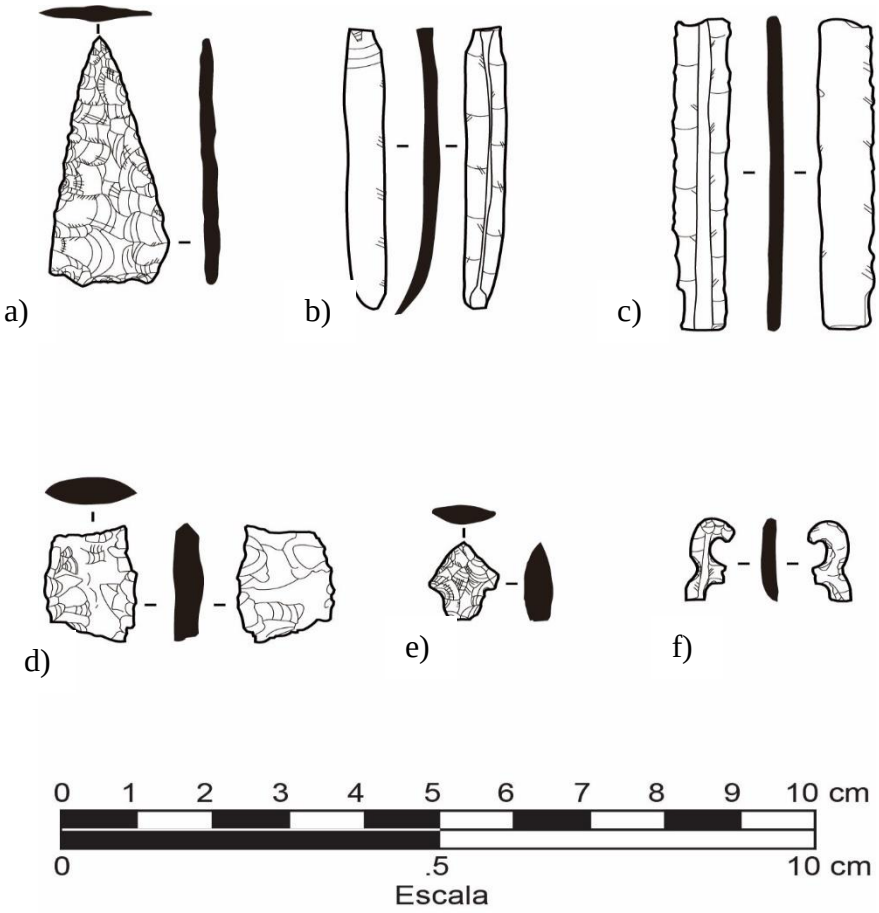



**Figura 5.51. Dibujos de algunos ejemplares de líticas encontradas: a) Op. A MU16-7 (FS 22-3352); b) Op. A. M13-4 (FS 22-2562); c) Op. A. MU9-13 (FS 22-2964); d) Op. B HH37-5 (FS 22-9935); e) Op. B MU11-4 (FS 22-9911); y f) Op. A MU30-1 (FS 22-3804).**

## 5.4 Anexo listado de Tipología

**Diagnósticos de la fase Yugüe (Posclásico temprano)**

Hedgepeth, Jessica D. (2009) *The Domestic Economy of Early Postclassic Río Viejo, Oaxaca, Mexico: Daily Practices and Worldviews of a Commoner Community*. MA Anthropology Thesis, University of Colorado. Capitulo 4, pp 77-126.
(JH=Jessica Hedgepeth)

Pasta Café Gruesa

Cajetes

Tipo 1: Cajete cónico, no decorado (JH, Tipo 3)
Tipo 2: Cajete semiesférico, no decorado (JH, Tipo 1)
Tipo 3: Cajete curvo-convergente, no decorado (JH, Tipo 2)

Ollas

Tipo 4: Olla, cuello corto, engobe en el exterior e interior (JH, Tipo 4)
Tipo 5: Olla, cuello alto, engobe en el exterior e interior (JH, Tipo 5)
Tipo 6: Olla, borde reforzado, engobe en el exterior (JH, Tipo 6)
Tipo 7: Comal (JH, Tipo 7)

Pasta Fina (incluye pasta cocido diferencialmente y pasta anaranjada)

Cajetes

Tipo 100: Cajete cónico, no decorado (JH, Tipo 109)
Tipo 101: Cajete cónico, pintura interior y decoraciones incisas interiores (JH, Tipo 110)
Tipo 102: Cajete cónico, engobe interior (JH, Tipo 111)
Tipo 103: Cajete semiesférico, no decorado (JH, Tipo 100)
Tipo 104: Cajete semiesférico, pintura interior (JH, Tipo 101)
Tipo 105: Cajete semiesférico, pintura exterior (JH, Tipo 102)
Tipo 106: Cajete semiesférico, engobe interior (JH, Tipo 103)
Tipo 107: Molcajete, cajete semiesférico, no decorado (JH, Tipo 104)
Tipo 108: Molcajete, cajete semiesférico, pintura interior (JH, Tipo 105)
Tipo 109: Cajete cilíndrico, no decorado (JH, Tipo 113)
Tipo 110: Cajete cilíndrico, engobe interior (JH, Tipo 112)
Tipo 111: Cajete curvo-convergente, no decorado (JH, Tipo 106)
Tipo 112: Cajete curvo-convergente, pintura exterior (JH, Tipo 107)
Tipo 113: Cajete curvo-convergente, engobe exterior (JH, Tipo 108)

Ollas (Las ollas y botellónes/cántaros de la fase Yugüe se pueden diferenciar fácilmente debido al orificio más ancho, cuerpo más redondo y un ángulo de pared más sutil de la olla. Una comparación del ángulo cuello-cuerpo de botellónes/cántaros y ollas ilustra la distinción entre las dos formas (ver Hedgepeth 2009: figuras 4-18a-c). El diámetro medio del orificio de las ollas es de

11.6 +/- 6.0 cms, y los botellónes/cántaros son ligeramente más pequeños, con un tamaño de orificio medio de 7.1 /- 2.3 cms.).

Tipo 114: Olla, no decorado (JH, Tipo 114)
Tipo 115: Olla, pintura exterior (JH, Tipo 115)
Tipo 116: Olla, engobe interior y exterior (JH, Tipo 117)
Tipo 117: Olla, miniatura, pintura exterior (JH, Tipo 116)
Tipo 118: Botellón/Cántaro, no decorado (JH, Tipo 118)
Tipo 119: Botellón/Cántaro, engobe interior (JH, Tipo 119)
Tipo 120: Botellón/Cántaro, engobe exterior (JH, Tipo 120)
Tipo 121: Botellón/Cántaro, pintura exterior (JH, Tipo 121)

Bases y Soportes

Tipo 122: Base de molcajete (JH, Tipo 122)
Tipo 123: Soporte de molcajete (JH, Tipo 123)
Tipo 124: Soporte zoomórfico de molcajete (JH, Tipo 123)
Tipo 125: Marcador de soporte molcajete (JH, Tipo 124)
Tipo 126: Sonajero de soporte molcajete (JH, Tipo 125)
Tipo 127: Soporte de cajete (JH, Tipo 126)
Tipo 128: Soporte zoomórfico de molcajete (JH, Tipo 126)
Tipo 129: Marcador de soporte cajete (JH, Tipo 127)

<u>Pasta Gris (Algunos pueden ser estilos Clásicos tardíos que continúan en el Posclásico temprano)</u>

Cajetes

Tipo 200: Cajete cónico, decoraciones incisas interiores (JH, Tipo 206)
Tipo 201: Cajete semiesférico, no decorado (JH, Tipo 200)
Tipo 202: Cajete semiesférico, pintura interior (JH, Tipo 201)
Tipo 203: Cajete semiesférico, pintura exterior (JH, Tipo 202)
Tipo 204: Cajete cilíndrico, no decorado (JH, Tipo 207)
Tipo 205: Cajete curvo-convergente, no decorado (JH, Tipo 203)
Tipo 206: Cajete curvo-convergente, pintura exterior y decoraciones incisas exteriores (JH, Tipo 204)
Tipo 207: Cajete curvo-convergente, cocción patrónada y engobe exterior (JH, Tipo 205)

Ollas

Tipo 208: Olla, Botellón/Cántaro

Soportes

Tipo 209: Soporte de cono hueco
Tipo 210: Soporte mamiforme hueco
Tipo 211: Soporte solido

**Diagnósticos de la fase Yuta Tiyoo (Clásico tardío)**

Baillie, Harold Barry (2012) Late Classic Río Viejo Mound 1 Construction and Occupation, Oaxaca, Mexico. MA. Anthropology Thesis. University of Colorado, Capitulo 5, pp 62-130.
(HB=Harold Baillie)

<u>Pasta Café Gruesa</u>

Cajetes

Tipo 301: Cajete cónico, no decorado (HB, CG[Café Gruesa] Tipo 1)
Tipo 302: Cajete cónico, no decorado con reborde (HB, CG Tipo 2)
Tipo 303: Cajete semiesférico, no decorado (HB, CG Tipo 3)
Tipo 304: Cajete semiesférico, no decorado, interior de borde muy engrosada (HB, CG Tipo 4)
Tipo 305: Cajete cilíndrico, no decorado (HB, CG Tipo 5)
Tipo 306: Cajete silueta compuesta, no decorado con boca restringida (HB, CG Tipo 6)
Tipo 307: Cajete curvo-convergente, no decorado, unos ejemplos con asa (HB, CG Tipo 7 & 8)

Ollas

Tipo 308: Olla con cuello alto, no decorado (HB, CG Tipo 9 & 11)
Tipo 309: Olla con cuello alto paredes gruesas, no decorado (HB, CG Tipo 10)
Tipo 310: Olla con cuello corto, no decorado (HB, CG Tipo 12 & 13)

<u>Pasta anaranjada</u>

Cajetes

Tipo 401: Cajete cónico, no decorado (HB A[Anaranjada] Tipo 1)
Tipo 402: Cajete cónico, pintado, un color, típicamente rojo o blanco (HB A Tipos 2 & 3)
Tipo 403: Cajete cónico, pintado, dos colores, típicamente rojo y blanco (HB A Tipo 4)

Tipo 404: Cajete cónico con decoraciones incisas exteriores (HB A Tipo 5)
Tipo 405: Cajete cónico con decoraciones incisas exteriores con engobe, típicamente rojo o anaranjado (HB A Tipo 7)
Tipo 406: Cajete cónico con decoraciones incisas exteriores e interiores, unos ejemplos con reborde (HB A Tipo 6)
Tipo 407: Cajete cónico con reborde; raramente con decoraciones incisas en el exterior (HB A Tipo 8)
Tipo 408: Cajete semiesférico, no decorado (HB A Tipo 9)
Tipo 409: Cajete semiesférico, pintado, un color, típicamente rojo o blanco (HB A Tipos 10, 11, 14
Tipo 410: Cajete semiesférico, con pintado, dos colores, típicamente rojo y blanco o rojo y crema (HB A Tipos 12 & 13)
Tipo 411: Cajete semiesférico, con pintura roja, justo debajo del área pintada en el exterior hay un panel decorativo formado por 2 rebordes con líneas incisas verticales entre los rebordes (HB A Tipo 15)
Tipo 412: Cajete semiesférico con decoraciones exteriores incisas, raramente con reborde exterior (HB A Tipos 16-20)
Tipo 413: Cajete semiesférico con un amplio borde evertido y a menudo decoraciones incisas en el interior y, a veces, en el borde evertido (HB A Tipo 21)
Tipo 414: Cajete cilíndrico, no decorado (HB A Tipo 25)
Tipo 415: Cajete cilíndrico, pintura o engobe, típicamente rojo o blanco (HB A Tipos 26 y 27)
Tipo 416: Cajete cilíndrico, pintura roja sobre engobe crema (HB A Tipo 28)
Tipo 417: Cajete cilíndrico, baño anaranjado (HB A Tipo 29)
Tipo 418: Cajete cilíndrico, decoraciones incisas exteriores (HB A Tipo 30)
Tipo 419: Copa cilíndrico, decoraciones incisas exteriores (HB A Tipo 31)
Tipo 420: Cajete silueta compuesta, no decorado (HB A Tipo 32)
Tipo 421: Cajete silueta compuesta, no decorado con reborde (HB A Tipo 35)
Tipo 422: Cajete silueta compuesta, pintado, un color, típicamente rojo (HB A Tipo 33)
Tipo 423: Cajete silueta compuesta, pintado, dos colores, típicamente rojo y anaranjada o rojo y crema (HB A Tipos 37 & 38)
Tipo 424: Cajete silueta compuesta, decoraciones incisas exteriores, incluye ejemplos con boca restringida y no restringida (HB A Tipos 34 & 36)

Cajetes, exterior tallado y modelado, varias formas

Tipo 425: Cajete semiesférico, exterior tallado y modelado, generalmente con un exterior inciso, raramente con engobe rojo exterior (HB A Tipo 22)
Tipo 426: Cajete cilíndrico, exterior tallado y modelado, generalmente con un exterior inciso, raramente con engobe rojo exterior (HB A Tipo 23)

Tipo 427: Cajete cónico, exterior tallado y modelado, generalmente con un exterior inciso, raramente con engobe rojo exterior (HB A Tipo 24)

Ollas

Tipo 428: Olla, cuello corto, engobe o baño blanco (HB A Tipo 40)
Tipo 429: Olla, cuello corto, decoraciones incisas exteriores (HB A Tipo 39)

Bases, soportes. Etc.

Tipo 430: Base de anillo (HB A Tipo 41)
Tipo 431: Soportes redondeados huecos (HB A Tipo 42)
Tipo 432: Soportes de botón (HB A Tipo 43)
Tipo 433: Pequeño soporte cilíndrico sólido (HB A Tipo 44)
Tipo 434: Pequeño soporte tubular (HB A Tipo 45)
Tipo 435: Asa (HB A Tipo 46)

Pasta Gris

Cajetes

Tipo 501: Cajete cónico, no decorado (HB A Tipo G[Gris] 1)
Tipo 502: Cajete cónico, no decorado, soportes de botón (HB G Tipo 2)
Tipo 503: Cajete cónico, no decorado, soportes tubulares (HB G Tipo 3)
Tipo 504: Cajete cónico, no decorado, con reborde (HB G Tipo 4)
Tipo 505: Cajete cónico, decoraciones incisas interiores (HB G Tipo 5)
Tipo 506: Cajete cónico, borde evertido, decoraciones incisas en el borde (HB G Tipo 6)
Tipo 507: Cajete cónico, decoraciones incisas en la base, soportes huecos (los soportes incluyen ejemplos zoomórficos en forma de murciélago (HB G Tipo 7)
Tipo 508: Cajete cónico, decoraciones incisas exteriores, incluye diseños en paneles (HB G Tipos 8, 10, 11)
Tipo 509: Cajete cónico, decoraciones incisas exteriores con una línea ondulada incisa alrededor del borde exterior (HB G Tipo 9)
Tipo 510: Cajete cónico, decoraciones incisas interiores y exteriores (HB G Tipo 12)
Tipo 511: Cajete cónico, pintado, un color, típicamente rojo (HB G Tipo 13)
Tipo 512: Cajete cónico, borde con muescas y/o borde acanalado a veces con base de anillo o soportes de botón (HB G Tipos 16 & 20)
Tipo 513: Cajete semiesférico, no decorado (HB G Tipo 17)
Tipo 514: Cajete semiesférico, decoraciones incisas exteriores (HB G Tipo 18)
Tipo 515: Cajete semiesférico, decoraciones incisas interiores y exteriores (HB G Tipo 19)

Tipo 516: Cajete cilíndrico, decoraciones incisas en el borde (HB G Tipo 24)
Tipo 517: Cajete cilíndrico, decoraciones incisas exteriores (HB G Tipo 25)
Tipo 518: Cajete cilíndrico, decoraciones incisas exteriores y sobre el borde evertido (HB G Tipo 26)
Tipo 519: Cajete silueta compuesta, no decorado
Tipo 520: Cajete silueta compuesta, no decorado, con reborde exterior a veces con muescas (HB G Tipos 28 y 29)
Tipo 521: Cajete silueta compuesta, decoraciones incisas exteriores (HB G Tipo 30)
Tipo 522: Cajete silueta compuesta, decoraciones incisas exteriores y con un reborde sutil en la pared exterior, boca ligeramente restringida a ligeramente abierta (HB G Tipos 31 y 32)
Tipo 523: Cajete curvo-convergente, no decorado (HB G Tipo 33)
Tipo 524: Cajete curvo-convergente, decoraciones incisas exteriores (HB G Tipos 34-36)
Tipo 525: Cajete curvo-convergente (ligeramente), decoraciones incisas exteriores con Asa (HB G Tipo 37)

Cajetes cónicos y semiesféricos con rebordes en el borde

Tipo 526: no decorado, reborde liso o con muescas (HB G Tipo 14)
Tipo 527: decoraciones incisas interiores, reborde con muescas (HB G Tipo 15)

Cajetes con ranuras diagonales gruesas en la pared exterior con decoraciones incisas en paneles sobre las ranuras

Tipo 528: Cajete cónico (HB G Tipo 21)
Tipo 529: Cajete semiesférico (HB G Tipo 22)
Tipo 530: Cajete cilíndrico (HB G Tipo 23)

Ollas

Tipo 531: Olla, líneas onduladas incisas en el exterior del cuello con una brida o cresta en una protuberancia en la mitad del cuello. La forma del cuello es una silueta compuesta. A veces con decoraciones incisas en el exterior del cuerpo de la vasija (HB G Tipos 38, 39, 41).
Tipo 532: Olla, cuello corto, líneas onduladas incisas en el exterior del cuello con una brida o cresta en una protuberancia en la mitad del cuello. La forma del cuello es una silueta compuesta. Con ranuras diagonales gruesas en la pared exterior similar a tipos 528-530 (HB G Tipo 40)
Tipo 533: Olla, cuello corto, decoraciones incisas en el exterior del cuerpo de la vasija (HB G Tipo 42)

Tipo 534: Cántaro, no decorado o con decoraciones incisas exteriores (HB G Tipo 43)
Tipo 535: Ollita (Olla miniatura), están decorados diferencialmente con un orificio para suspensión y ranuras diagonales en el cuerpo, o un asa y apliqué a lo largo del cuerpo del recipiente (HB G Tipo 44)

Bases y soportes

Tipo 536: Soporte zoomórfico en forma de murciélago
Tipo 537: Soporte redondeado solido
Tipo 538: Soporte de botón
Tipo 539: Soporte tubular hueco
Tipo 540: soporte cilíndrico hueco
Tipo 541: Base de anillo
Tipo 542: Base pedestal

# Capítulo 6 - Descripción del registro de figurilla PRV-2022

Ishbel Michelle Torres López

## 6.1 Introducción

Las figurillas encontradas en el Proyecto Río Verde 2022 se presentan a continuación. Primero se describen las figurillas recuperadas de los contextos más importantes de Operación A, seguido de los contextos más importantes de Operación B. Más adelante se presenta una tipología de figurillas completas y distintivas extraídas de todos los contextos. Finalmente, se presenta una tabla con todas las figurillas recuperadas en la temporada.

Las tablas que enlistan las figurillas provenientes de los contextos más importantes presentan el número de artefacto asignado (Field specimen = FS), la operación, la unidad y el lote; así como la cantidad de figurillas y si hay materiales diferentes, el tipo de pasta, su clasificación, una descripción simple y notas detalladas.

El apartado de la pasta se concentra en los siguientes tipos de pasta: café grueso, anaranjada, gris y desconocido; y el número de figurillas correspondientes a cada tipo de pasta. A estos les sigue el apartado de la clasificación, este apartado se elaboró con base en las clasificaciones realizadas anteriormente en el área de estudio (Hepp 2007; Jennings 2010) y se concentra en figurillas de los siguientes categorías generales: antropomorfa, zoomorfa, transicional (representa entidades en un punto de transformación entre humano y animal), múltiple (donde se representa más de un personaje, por ejemplo: una madre con su bebé) , otro (elementos interesantes pero que no parecen ser parte de una figurilla), amorfas (no identificables o sin detalles), de molde, plana, supernatural (con rasgos

combinados y que cuentan con elementos iconográficos especiales o poco vistos) y motivos fuera del personaje principal. Después, se continúa con la descripción de las figurillas, con claves referentes a las partes de las figurillas (una descripción más detallada se encuentra en el apartado de la tabla completa). Estos códigos se presentan en la tabla 6.1.

**Tabla 6.1. Codigos de descripción de figurillas**

| Pasta | Clasificación | Descripción Motivos Centrales | Descripción Motivos Secundarios |
|---|---|---|---|
| CB: Coarse Brown | A: Antropomorfa | C: Cabeza | AT: Adornos de tocado |
| O: Orange | Z: Zoomorfa | B: Brazo | AV: Adornos de Vestimenta |
| G: Grey | T: Transicional | ES: Extremidad superior | AE: Adorno exterior |
| U: Unknown | M: Múltiple | Cu: Cuerpo | MS: Motivos secundarios (que se uner |
| | O: Otro | EI: Extremidad inferior | |
| | Am: Amorfa | Co: Completa | |
| | Mo: Molde | T: Tocado | |
| | P: Plana | A: Adorno | |
| | S: Supernatural | FCu: Fragmento cuerpo | |
| | MF: Motivos fuera de personaje principal | FC: Fragmento cabeza | |
| | | Ca: Cara | |

Durante la temporada de campo se recuperaron un total de 1102 ejemplares de figurillas. La Tabla 6.2 y la Figura 6.1 presentan las frecuencias en que los ejemplares fueron registrados, de acuerdo con su clasificación. En las siguientes secciones de este apartado, se describen las figurillas recuperadas de los contextos más importantes expuestos en las Operaciones A y B.

**Tabla 6.2: Clasificación de categorías generales de figurillas y su frecuencia**

| Clasificación | Frecuencia de figurillas |
|---|---|
| Antropomorfa | 613 |
| Zoomorfa | 121 |
| Transicional | 9 |
| Múltiple | 14 |
| Otro | 21 |
| Amorfa | 216 |
| Molde | 17 |
| Plana | 74 |
| Supernatural | 6 |
| Motivos Fuera de personaje principal | 11 |

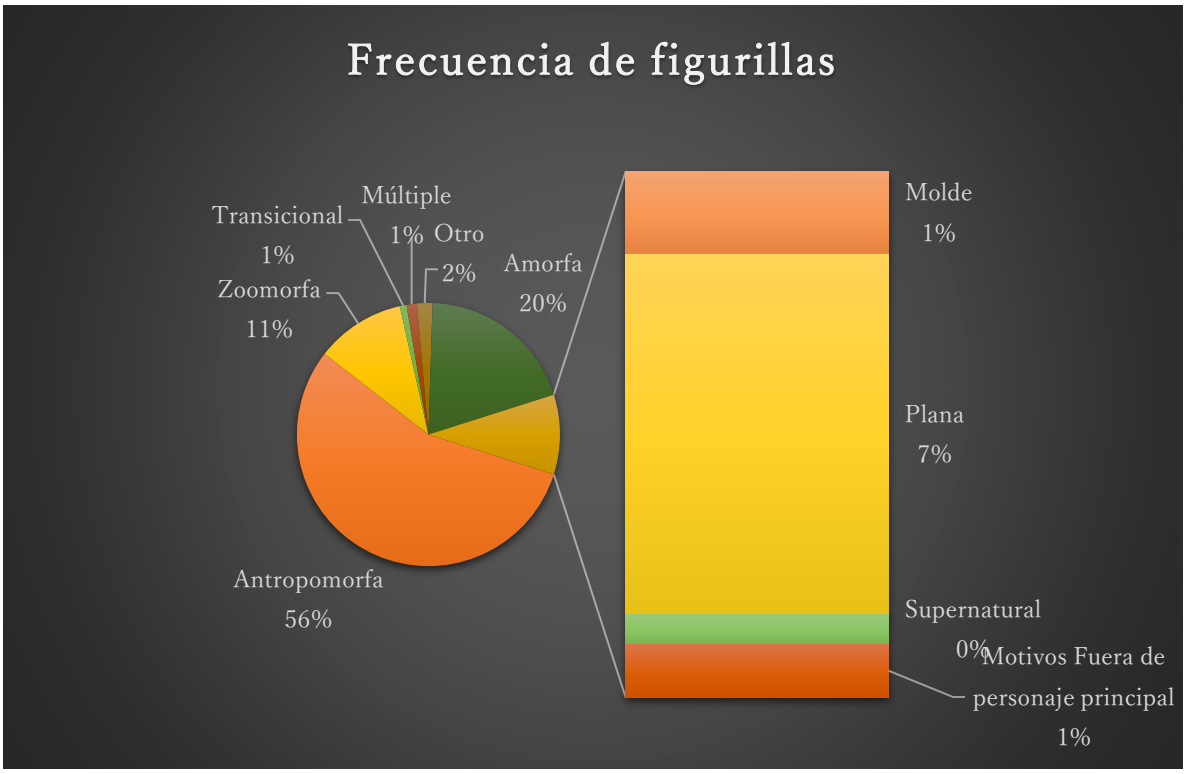



**Figura 6.1. Basado en las cifras de la Tabla 6.1 se presenta la frequencia de las figurillas**

## 6.2 Descripción de las figurillas de contextos destacados de Operación A

Esta sección describe las figurillas recuperadas de contextos destacados de la Op. A. Estas incluyen los elementos más importantes para entender la economía doméstica durante los períodos Clásico Tardío y Posclásico Temprano, incluyendo basureros, hornos y ofrendas.

### 6.2.1 Un drenaje del Clásico Tardío compuesto por segmentos de tubería cerámica y de piedra con depósitos asociados de relleno (E3, E31, y E36)

En los depósitos asociados al drenaje se encontraron nueve figurillas, en su mayoría antropomorfas fragmentadas. Entre estas destacan las figurillas pintadas, con tocado y con cuerpos casi completos (Tabla 6.3). La única figurilla zoomorfa posee características de ave, posiblemente un

guajolote. Una figurilla de la categoría “otro” fue un posible medallón o adorno redondeado con perforaciones, posiblemente para ser utilizado como pendiente. Además, se registraron dos figurillas amorfas.

**Tabla 6.3. Figurillas de E3, E31, y E36**

| # FS | Op | Unidad | Lote | Material | Pasta | Clasificación | Descripción | Notas |
|---|---|---|---|---|---|---|---|---|
| 22-6226 | A | P19 | 7 | 1 Figurilla | 1 O | Am | | |
| 22-6227 | A | P19 | 8 | 1 Figurilla | 1 O | A | EI | Pintura blanca presente |
| 22-6224 | A | P20 | 5 | 1 Figurilla | 1 O | A | B | |
| 22-1957 | A | MU3 | 1 | 1 Figurilla | 1 O | A | EI | |
| 22-803 | A | MU29 | 1 | 1 Figurilla | 1 G | A | T | Tocado elaborado |
| 22-6112 | A | MU29 | 5 | 1 Figurilla | 1 O | Am | Posible EI | |
| 22-3161 | A | M20 | 10 | 1 Figurilla | 1 O | Z | C | Posible guajolote |
| 22-759 | A | MU9 | 8 | 1 Figurilla | 1 O | O | | Medallón decorado con agujeros para colgar |
| 22-2965 | A | MU9 | 13 | 1 Figurilla | 1 G | A | Cu | Cuerpo casi completo, con extremidades superiores e inferiores |

### 6.2.2 Piso quemado del Clásico Tardío (E4, E7, E9) y Entierro 131, Individuo 144 con depósitos de relleno asociado (lotes P17-2 a 8 / Q17-3 a 9)

En este contexto se hallaron tres figurillas: una antropomorfa con las manos frente al cuerpo, vistiendo un *quexquemitl* y un brazalete, por lo que fue identificada como femenina; una figurilla zoomorfa que representa una cabeza de ave y una de la categoría otro, descrita como un fragmento con cuatro picos y pintura blanca (Tabla 6.4).

**Tabla 6.4. Figurillas de E4, E7, E9, y el Entierro 131 (lotes P17-2 a 8 / Q17-3 a 9)**

| # FS | Op | Unidad | Lote | Material | Pasta | Clasificación | Descripción | Notas |
|---|---|---|---|---|---|---|---|---|
| 22-1774 | A | Q17 | 3 | 1 Figurilla | 1 O | A | ES y FCu | Manos frente a cuerpo, con presencia de quexquemitl y un brazalete, por lo que demuestra ser femenina |
| 22-194 | A | Q17 | 3 | 1 Figurilla | 1 O | O | | Fragmento con cuatro picos y pintura blanca, ¿parte de maqueta? |
| 22-1776 | A | Q17 | 3 | 1 Figurilla | 1 O | Z | C | Cabeza de ave |

6.2.3 Ofrenda del Clásico tardío compuesta de piedras del río (E6, E4, E7; lotes P16-11 a 18)

En este contexto se hallaron cuatro figurillas: una pierna antropomorfa, una zoomorfa descrita como una posible cabeza de mono y dos amorfas (Tabla 6.5).

**Tabla 6.5. Figurillas de E6, E4, E7; lotes P16-11 a 18**

| # FS | Op | Unidad | Lote | Material | Pasta | Clasificación | Descripción | Notas |
|---|---|---|---|---|---|---|---|---|
| 22-1307 | A | P16 | 12 | 1 Figurilla | 1 O | A | EI | Pierna |
| 22-116 | A | P16 | 14 | 2 Figurilla | 2 G | 1 Z? / 1 Am | C | Posible cabeza de mono |
| 22-510 | A | P16 | 18 | 1 Figurilla | 1 G | Am | | |

6.2.4 Pozo de la transición Clásico-Posclásico (E54; lotes Q10-5 a 6)

E54 fue un pozo que contenía desechos, probablemente de la transición Clásico Tardío-Posclásico Temprano (Tabla 6.6). En el pozo se encontraron tres figurillas: una zoomorfa que representa lacabeza de un felino, posiblemente un jaguar debido a los rasgos representados; y dos figurillas planas.

**Tabla 6.6. Figurillas de E54; lotes Q10-5 a 6**

| # FS | Op | Unidad | Lote | Material | Pasta | Clasificación | Descripción | Notas |
|---|---|---|---|---|---|---|---|---|
| 22-1955 | A | Q10 | 6 | 1 Figurilla | 1 O | Z | C | Cabeza de felino, ¿jaguar? |
| 22-6233 | A | Q10 | 6 | 2 Figurilla | 2 O | 2 P | | |

6.2.5 Horno de tierra del Clásico tardío (E38, E40, E42, E43, E48, E49, E61, E119, E120; lotes O10-6 / MU8-4 y 5 / MU14-1 a 3 / N10-1 a 9 / MU27-3)

Las unidades representadas en este contexto se conformaron por ocho figurillas de las cuales se encuentran tres antropomorfas, una zoomorfa y cuatro desconocidas (Tabla 6.7). Entre las figurillas antropomorfas se encuentran un pie, un adorno de orejera de una figurilla y el brazo izquierdo de una figurilla, posicionado frente al pecho, con collar y una perforación, posiblemente para utilizarse como pendiente; La figurilla zoomorfa se compone de un ave completa y, finalmente cuatro fragmentos amorfos.

**Tabla 6.7. Figurillas de E38, E40, E42, E43, E48, E49, E61, E119, E120; lotes O10-6 / MU8-4 y 5 / MU14-1 a 3 / N10-1 a 9 / MU27-3**

| # FS | Op | Unidad | Lote | Material | Pasta | Clasificación | Descripción | Notas |
|---|---|---|---|---|---|---|---|---|
| 22-201 | A | MU8 | 4 | 3 Figurilla | 3 O | 1 A / 2 Am | EI | Pie |
| 22-265 | A | MU8 | 5 | 4 Figurilla y Silbato | 4 O | 2 A / 2 Am | A / FCu | Orejera de figurilla / Brazo izquierdo frente a pecho, collar y agujero para colgar presentes |
| 22-2971 | A | N10 | 11 | 1 Figurilla | 1 O | Z | Co | Figurilla completa de ave |

6.2.6 Depósito de terminación del Clásico Tardío (E15-s1 y E15-s2); lotes L13-5 a 11 / MU1-7 a 11 / M13-1 a 3 / M14-4 a 6 / MU20-6 y 9 / MU21-5 y 6 / MU22-3 y 4 / MU8-3 / O10-3 y 4 / O11-3 a 8 / P11-2 a 6 / Q11-3 a 7 / P10-5 / Q10-2 a 4)

Al interior del depósito de terminación (E15-s1, E15-s2, E15-s3) se recuperaron cuatro Silbatos: un silbato antropomorfo con el cuerpo completo; un silbato antropomorfo de pie con parte de vestimenta; un silbato antropomorfo con falda, mano y pies; y finalmente, un silbato zoomorfo de ave (Tabla 6.8).

Además de esto, se encontraron un total de 92 figurillas, de las cuales hay 63 antropomorfas, entre las que destacan: un fragmento derostro con ojos, un mechón de cabello y adorno en forma de "S" en la frente; una cara completa con ojos vacíos, orejera y collar; una cara completa con ojos cerrados y un mechón de cabello cayendo sobre uno de losojos; y un *maxtlatl* con extremidades inferiores de una figurilla masculina.

En estecontexto también se recuperó una figurilla de la categoría múltiple, en la que se aprecian fragmentos del cuerpo de dos individuos. Además, se registró, un posible medallón o adorno circular bajo la categoría de "otro".

Se registraron cinco figurillas zoomorfas: dos cabezas de guajolote, una cabeza de ave con pico largo, una pata de ave y una cabeza de felino, posiblemente un jaguar. Finalmente, se registraron trece figurillas amorfas y nueve de la categoría plana.

**Tabla 6.8. Figurillas de E15-s1 y E15-s2; lotes L13-5 a 11 / MU1-7 a 11 / M13-1 a 3 / M14-4 a 6 / MU20-6 y 9 / MU21-5 y 6 / MU22-3 y 4 / MU8-3 / O10-3 y 4 / O11-3 a 8 / P11-2 a 6 / Q11-3 a 7 / P10-5 / Q10-2 a 4**

| # FS | Op | Unidad | Lote | Material | Pasta | Clasificación | Descripción | Notas |
|---|---|---|---|---|---|---|---|---|
| 22-324 | A | L13 | 5 | 7 Figurilla | 5 O / 2 G | 6 A / 1 M | 1 C / 1 EI / 2 A / 2 FCu / 1 Ca | Cabeza completa con tocado y orejeras / Una pierna / Dos adornos / Orejera de figurilla / Cuerpo de figurilla y parte de la segunda / Fragmento de cara |

| | | | | | | | | |
|---|---|---|---|---|---|---|---|---|
| 22-224 | A | L13 | 7 | 3 Figurilla | 3 O | 1 A / 2 Am | Ca | Fragmento de cara: ojos, mechon de cabello y símbolo en frente |
| 22-250 | A | L13 | 8 | 1 Figurilla y ornamentos | 1 O | Am | | |
| 22-1565 | A | L13 | 8 | 2 Figurilla | 2 O | 1 A / 1 Z | Cu / C | De molde, cuerpo y extremidades completas / Cabeza de guajolote |
| 22-270 | A | L13 | 9 | 1 Figurilla | 1 O | A | A | |
| 22-703 | A | L13 | 10 | 1 Figurilla | 1 O | A | C | Cara completa y cabeza, parte de tocado y orejera |
| 22-328 | A | MU1 | 7 | 2 Figurilla | 2 O | 2 A? | 2 A? | Fragmentos de vestimenta? |
| 22-1591 | A | MU1 | 7 | 1 Figurilla | 1 O | A | C | Cabeza completa con cara, orejas y tocado |
| 22-1614 | A | MU1 | 8 | Silbato/ Figurilla | O | A | Cu | Silbato antropomorfo con cuerpo completo |
| 22-329 | A | MU1 | 8 | 1 Figurilla | 1 O | A | B y FCu | Brazo con brazalete, parte de collar y vestimenta |
| 22-55 | A | MU1 | 8 | 3 Figurilla | 2 O / 1 G | 2 A / 1 Am | B / ES | Brazo doblado con brazalete / Mano extendida y fragmento de falda |
| 22-33 | A | MU1 | 9 | 2 Figurilla | 2 O | 2 A | 2 T | Fragmento de tocado / Dos fragmentos del mismo tocado |
| 22-30 | A | MU1 | 10 | 1 Figurilla | 1 O | A | A | Posible parte de orejera |
| 22-1817 | A | MU1 | 11 | 2 Figurilla | 2 O | 2 A | 2 T | Dos fragmentos de tocado |
| 22-345 | A | M13 | 2 | 1 Figurilla, Silbato y Ornamento | 1 O | A | A | |
| 22-786 | A | M14 | 5 | 1 Figurilla | 1 O | Am | | |
| 22-3588 | A | M14 | 6 | 1 Figurilla | 1 O | A | ES, EI y FCu | De molde, manos, fragmento de cuerpo y pies, falda presente |
| 22-604 | A | M14 | 6 | 2 Figurilla | 2 O | 2 A | 2 FCu | Dos fragmentos de vestimentas |
| 22-3479 | A | MU20 | 9 | 1 Figurilla | 1 O | A | T y Ca | Cara completa y tocado, casco presente |
| 22-735 | A | MU21 | 6 | 1 Figurilla | 1 O | A | T | Fragmento de tocado elaborado |
| 22-774 | A | MU22 | 3 | 1 Figurilla | 1 O | A | EI y FCu | De molde, piernas y vestimenta |
| 22-189 | A | MU8 | 3 | 4 Figurilla y Orejera | 4 O | 3 A / 1 Am | T / FCu / FC | Fragmento de tocado / De molde, pie derecho y parte de vestimenta / Fragmento de cabeza con tocado y cabello |
| 22-2307 | A | MU8 | 3 | 2 Figurilla | 2 O | 1 A / 1 Am | Ca | Fragmento de cara con ojo |
| 22-155 | A | O10 | 4 | 2 Figurilla | 2 O | 1 A / 1 Am | B | Brazo doblado |

| | | | | | | | | |
|---|---|---|---|---|---|---|---|---|
| 22-2150 | A | O10 | 4 | 2 Figurilla | 2 O | 2 A | 2 T | Dos fragmentos de tocados |
| 22-76 | A | O11 | 5 | 2 Figurilla | 2 O | 1 A / 1 Z | T o A? / C | Cabeza de ave con pico largo |
| 22-6232 | A | O11 | 5 | 1 Figurilla | 1 O | O | | Posible medallon |
| 22-1952 | A | O11 | 6 | 2 Figurilla | 2 O | 2 Am | | |
| 22-77 | A | O11 | 6 | 1 Figurilla | 1 O | A | T | Tocado elaborado |
| 22-200 | A | O11 | 7 | 2 Figurilla y Soporte para figurilla | 2 O | 2 A | T / FCu | Cinco fragmentos del mismo tocado / Fragmento de vestimenta |
| 22-1477 | A | P11 | 3 | 1 Figurilla | 1 O | Z | C | Cabeza de guajolote |
| 22-113 | A | P11 | 3 | 3 Figurilla | 3 O | 3 A | 2 T / FCu | Dos fragmentos de tocados / Fragmento de hombro y orejera |
| 22-1447 | A | P11 | 4 | 1 Figurilla | 1 O | Z | EI | Pata de ave |
| 22-180 | A | P11 | 4 | 2 Figurilla | 2 O | 2 A | T / Ca y FCu | Tocado trenzado / Cara completa con ojos vacios, orejera y collar |
| 22-166 | A | P11 | 5 | 1 Figurilla y asa | 1 O | P | | |
| 22-126 | A | P11 | 6 | 4 Figurilla | 4 O | 3 A / 1 P | ES y FCu / T / FCu / EI | Fragmento de mano y vestimenta / Fragmento de tocado / Fragmento de vestimenta / Pie |
| 22-6231 | A | Q10 | 4 | Silbato/ Figurilla y Figurilla | 2 O | 2 A | EI / EI y FCu | Pie / Silbato antropomorfo de pie con parte de vestimenta |
| 22-1955 | A | Q10 | 6 | 1 Figurilla | 1 O | Z | C | Cabeza de felino, jaguar? |
| 22-6233 | A | Q10 | 6 | 2 Figurilla | 2 O | 2 P | | |
| 22-907 | A | Q10 | 9 | 2 Figurilla | 2 O | 2 A | 1ES y 1FCu / 1B | 1 mano con brazalete y parte de cuerpo con adorno / Posible brazo de acrobata |
| 22-891 | A | Q10 | 9 | 2 Figurilla | 1 O / 1 G | 2 A | T / FCu | Tocado / Adorno de vestimenta |
| 22-138 | A | Q10 | 9 | 4 Figurilla | 4 O | 1 A / 1 Am / 2 P | ES | Mano extendida con brazalete |
| 22-2116 | A | Q10 | 9 | Silbato/ Figurilla | 1 O | A | Cu | Silbato antropomorfo con falda, mano y pies |
| 22-2172 | A | Q11 | 4 | 1 Figurilla | 1 O | A | C | Cabeza de figurilla con cara y orejeras, con fragmento de tocado |
| 22-2169 | A | Q11 | 4 | 1 Figurilla | 1 O | A | FCu | Fragmento de collar |
| 22-2168 | A | Q11 | 4 | 1 Figurilla | 1 O | A | Ca | Cara completa con ojos cerrados y mechón cayendo sobre ojo |

| | | | | | | | | |
|---|---|---|---|---|---|---|---|---|
| 22-2171 | A | Q11 | 4 | 1 Figurilla | 1 O | A? | A | Adorno de tocado? |
| 22-2180 | A | Q11 | 5 | 1 Figurilla | 1 O | P | | |
| 22-187 | A | Q11 | 6 | 1 Figurilla | 1 O | A | FC | Mitad de cabeza con ojo izquierdo, tocado y orejera |
| 22-230 | A | Q11 | 7 | 1 Figurilla | 1 O | A | EI y FCu | Extremidades inferiores y maxtlatl |
| 22-212 | A | Q11 | 7 | 6 Figurilla | 6 O | 3 A / 2 Am / 1 P | EI / 2 T | De molde, pie / Dos fragmentos de tocado |
| 22-2335 | A | Q11 | 7 | Silbato/ Figurilla | 1 O | Z | Z | Silbato zoomorfo de ave |
| 22-6171 | A | P10 | 5 | 1 Figurilla | 1 O | A | ES | |
| 22-1079 | A | P10 | 5 | 1 Figurilla | 1 O | P | | |

### 6.2.7 Basureros de la transición entre el Clásico Tardío y el Posclásico Temprano así como depósitos de relleno asociados (E11, E84, E85, E88; lotes F24-8 A 19 / F23-5 A 19 / MU11-1 a 12)

En los basureros E11, E84-s1 y E84-s2 se encontró un silbato zoomorfo con características de ave (Tabla 6.9). Además de esto, se encontraron 26 figurillas: diez con características antropomorfas, entre las que destaca una cabeza de figurilla con tocado (posible casco) y cuatro orificios, posiblemente para ser utilizado como pendiente; tres figurillas zoomorfas, un cuerpo de ave, una cabeza de animal con orejas paradas y un búho; cuatro de la categoría otro identificados como fragmentos de maqueta; tres figurillas amorfas; y seis figurillas planas.

**Tabla 6.9. Figurillas de E11, E84, E85, E88; lotes F24-8 A 19 / F23-5 A 19 / MU11-1 a 12**

| # FS | Op | Unidad | Lote | Material | Pasta | Clasificación | Descripción | Notas |
|---|---|---|---|---|---|---|---|---|
| 22-2811 | A | F23 | 5 | 1 Figurilla | 1 O | A | Ca y T | Fragmento de cara y tocado |
| 22-243 | A | F23 | 6 | 1 Figurilla | 1 O | Z | FCu | Cuerpo de ave |
| 22-2823 | A | F23 | 6 | 1 Figurilla | 1 G | Am | C | Cabeza con ojos, nariz y boca |
| 22-296 | A | F23 | 7 | 1 Figurilla | 1 O | A | ES | Mano extendida con brazalete |
| 22-272 | A | F23 | 10 | 1 Figurilla | 1 G | Am | | |
| 22-293 | A | F23 | 11 | 1 Figurilla | 1 O | A | Ca | Fragmento de cara: ojo |
| 22-887 | A | F23 | 12 | 1 Figurilla | 1 O | A | T | |
| 22-447 | A | F24 | 3 | 2 Figurilla | 2 O | 2 P | | |
| 22-911 | A | F24 | 8 | 1 Figurilla | 1 O | P | | |

| | | | | | | | | |
|---|---|---|---|---|---|---|---|---|
| 22-141 | A | F24 | 8 | 2 Figurilla, Soporte y Bolita de cerámica | 2 O | 2 P | | |
| 22-130 | A | F24 | 10 | 1 Figurilla | 1 O | O | | Maqueta con pintura blanca |
| 22-6087 | A | F24 | 14 | 1 Figurilla | 1 O | A | ES | |
| 22-188 | A | F24 | 15 | 1 Figurilla | 1 O | A? | A? | Adorno de vestimenta? |
| 22-906 | A | F24 | 16 | 1 Figurilla y asa | 1 O | P | | |
| 22-267 | A | F24 | 18 | 1 Figurilla | 1 O | A | FCu | De molde, parte de vestimenta |
| 22-321 | A | MU11 | 1 | 1 Figurilla | 1 O | A | B | Brazo con brazalete |
| 22-303 | A | MU11 | 2 | 1 Figurilla | 1 O | O | | Ornamento tubular con dos picos, parte de maqueta |
| 22-209 | A | MU11 | 3 | Figurilla y asa | 1 G | Z | C | Cabeza de animal con orejas paradas |
| 22-238 | A | MU11 | 4 | Silbato/ Figurilla y 2 figurillas | 1 O / 2 G | 1 A (O) / 1 Z / 1 Am | 1 T / 1 Co | Fragmento de tocado / Silbato zoomorfo de ave |
| 22-336 | A | MU11 | 4 | 1 Figurilla | 1 O | O | | Maqueta con pintura blanca |
| 22-219 | A | MU11 | 5 | 1 Figurilla | 1 O | Z | C y Cu | Búho |
| 22-221 | A | MU11 | 5 | 1 Figurilla | 1 O | O | | Maqueta con pintura blanca |
| 22-3201 | A | MU11 | 9 | 1 Figurilla | 1 O | A | C y T | Cabeza de figurilla con tocado (posible casco) y cuatro orificios para colgar |

### 6.2.8 Basurero de la transición entre el Clásico Tardio y el Posclásico Temprano así como depósitos asociados de relleno (E11, E12, E13, E33; lotes I17-4 / MU2-1 a 18 / J17-4 a 16 / K17-4 a 15 / MU4-1 a 6 / MU16-3 a 17 / I19-3 a 9 / I20-3 a 5 / I21-3 a 5 / I22-3 a 7 / I24-1 y 2 / J19-6 a 10 / J22-4 a 11 / K19-3 y 4 / MU36-1 / MU17-2 a 6 / F23-2 a 4 / F24-2 a 6)

En el basurero E11 y estratos de relleno asociados E12, E13, E33 se encontraron seis silbatos: un silbato zoomorfo con la forma de la cabeza de un ave, dos silbatos antropomorfos con porciones de vestimenta, un silbato antropomorfo moldeado que presenta el pie izquierdo y parte de vestimenta, y dos silbatos antropomorfos de los que sólo se recuperaron fragmentos de cuerpo (Tabla 6.10).

Además de estos, se encontraron 183 figurillas, de las cuales 94 son antropomorfas. Los siguientes ejemplares son los más destacados: (1) un rostro completo con forma extraña y ojos vacíos; (2) una figurilla femenina portando un*quechquemitl* y falda; (3) un rostro completo portando un tocado

puntiagudo; (4) fragmentos de *maxtlatl*; (5) un fragmento de armadura de algodón; (6) un tocado con pintura roja; (7) una mano que sostiene un artefacto tubular; (8) una posible mujer embarazada; (9) el cuerpo de figurilla pequeña con falda; (10) un rostro con pómulos y barbilla muy pronunciados, posiblemente representando a un individuo con sobrepeso o anciano, rostros con ojos vacíos y con ojos rasgados; y (11) una posible cabeza humana que exhibe un estilo distintivo a los demás ejemplares de la región, lo que podría indicar que la figurilla fue importada.

En este contexto también se encontraron 11 figurillas zoomorfas, entre las cuales hay una posible cabeza de perro, dos cabezas de murciélago, un posible cuerpo de ave, una cabeza de felino, dos cabezas con rasgos animal difíciles de identificar, una cabeza de guajolote, una tortuga con glifos, un pico de ave y una cabeza de ave.

Por otro lado, se recuperó una figurilla múltiple que posiblemente representa el brazo de un infante sosteniéndose de un atuendo. Además, de dos figurillas de la categoría con motivos fuera del personaje principal, los cuales consisten en adornos.

También, se registraron tres moldes de figurillas, todos ellos antropomorfos: un posible molde de una mano y parte de un atuendo, un fragmento para mano y brazo, y el molde de un rostro.

Además, se registró una figurilla transicional que consistía en la cabeza de un animal con tocado y una figurilla de la categoría otro con la forma de un medallón o asa plana. Finalmente, se identificaron 34 figurillas amorfas, de las cuales resalta un posible adorno con relieve en zigzag y pintura roja;y 36 figurillas planas.

**Tabla 6.10. Figurillas de E11, E12, E13, E33; lotes I17-4 / MU2-1 a 18 / J17-4 a 16 / K17-4 a 15 / MU4-1 a 6 / MU16-3 a 17 / I19-3 a 9 / I20-3 a 5 / I21-3 a 5 / I22-3 a 7 / I24-1 y 2 / J19-6 a 10 / J22-4 a 11 / K19-3 y 4 / MU36-1 / MU17-2 a 6 / F23-2 a 4 / F24-2 a 6**

| # FS | Op | Unidad | Lote | Material | Pasta | Clasificación | Descripción | Notas |
|---|---|---|---|---|---|---|---|---|
| 22-88 | A | MU2 | 2 | 1 Figurilla | 1 O | A | FCu | Orejera de figurilla |
| 22-1683 | A | MU2 | 6 | 1 Figurilla | 1 O | Z | C | Posible cabeza de perro |
| 22-1688 | A | MU2 | 7 | 1 Figurilla | 1 O | Am | | |
| 22-34 | A | MU2 | 8 | 1 Figurilla y orejera | 1 G | Z | 1C | Cara de murciélago plana |
| 22-1886 | A | MU2 | 10 | 1 Figurilla/ Soporte | 1 G | A | C | Soporte antropomorfo con orejeras |
| 22-111 | A | MU2 | 13 | 2 Figurilla | 2 O | 1 A / 1 Am | FCu | Fragmento de brazo con brazalete y parte de vestimenta |
| 22-110 | A | MU2 | 15 | 2 Figurilla | 1 O / 1 G | M / Z? | ES y FCu / Ca | Posible brazo de bebé agarrando atuendo / Fragmento de cara de animal? |
| 22-117 | A | MU2 | 15 | 1 Figurilla | 1 G | Mo | | Posible molde de mano y parte de vestimenta |
| 22-2046 | A | MU2 | 17 | 1 Figurilla | 1 O | A | C | Cabeza completa con cara, orejeras, tocado y collar |
| 22-74 | A | J17 | 4 | 2 Figurilla | 2 O | 2 A | 2 FCu | Parte de brazo y orejera / Tocado o Vestimenta |
| 22-442 | A | J17 | 5 | Silbato/ Figurilla y 2 figurillas | 3 O | 2 A / 1 Z | C (Z) / T / EI y FCu | Cabeza de ave / Fragmento de tocado / Pie derecho y fragmento de falda |
| 22-423 | A | J17 | 6 | Silbato/ Figurilla y 3 figurillas | 4 O | 4 A | T / A / 2 FCu | Fragmento de tocado / Posible adorno de vestimenta / Fragmento de vestimenta con collar / Silbato antropomorfo con fragmento de vestimenta |
| 22-435 | A | J17 | 7 | 2 Figurilla | 2 O | 1 A / 1 Am | ES | Mano extendida con brazalete |
| 22-310 | A | J17 | 8 | 1 Figurilla y Bolita de cerámica | 1 O | A | T | Fragmento de tocado |
| 22-477 | A | J17 | 8 | 1 Figurilla | 1 O | P | | |
| 22-2234 | A | J17 | 10 | 3 Figurilla | 3 O | 2 A / 1 Z | Ca / FCu / C (Z) | Cara completa, ojos vacíos / Figurilla femenina por cuerpo, quechquemitl y falda / Cabeza de murciélago |

| | | | | | | | | |
|---|---|---|---|---|---|---|---|---|
| 22-473 | A | J17 | 10 | 1 Figurilla y ornamento tubular | 1 G | A | FCu | Orejera de figurilla |
| 22-261 | A | J17 | 13 | 2 Figurilla | 2 O | 1 A / 1 Am | FCu / A | Fragmento de falda / Posible adorno |
| 22-237 | A | J17 | 14 | 3 Figurilla | 3 O | 2 A / 1 Am | FCu / Ca / A? | Cara casi completa y parte de tocado / Orejera de figurilla? / Lado de figurilla |
| 22-2403 | A | J17 | 16 | 3 Figurilla y Cascabel | 3 O | 3 A | 1 C / 2 Ca | Cabeza completa con cara, forma extraña / Fragmento de cara y tocado / Cara completa con tocado puntiagudo |
| 22-363 | A | K17 | 5 | 1 Figurilla y Orejera | 1 O | A | T | Fragmento de tocado con orejera |
| 22-388 | A | K17 | 6 | 2 Figurilla | 2 CB | 1 A / 1 Am | 1 Ca / 1 A? | Figuras planas |
| 22-366 | A | K17 | 7 | 4 Figurilla | 4 O | 1 A / 1 Am / 2 P | FCu | Fragmento de vestimenta con adornos y orificio para colgar |
| 22-2619 | A | K17 | 7 | Silbato/ Figurilla y 2 Figurilla | 2 O / 1 G | 3 A | EI / 2 FCu | Silbato antropomorfo de molde con pie izquierdo y parte de vestimenta / Fragmento de Maxtlatl? / Fragmento de armadura de algodón |
| 22-2634 | A | K17 | 9 | 2 Figurilla | 2 O | 2 A | Ca / T | Fragmento de cara: ojo, nariz y boca / Fragmento de tocado |
| 22-383 | A | K17 | 9 | 2 Figurilla | 2 O | 2 A | 2 T | Dos fragmentos de tocado |
| 22-428 | A | K17 | 10 | 2 Figurilla | 2 O | 2 A | 2 FCu | Collar / Falda? |
| 22-2660 | A | K17 | 11 | 1 Figurilla | 1 O | A | FCu | Orejera de figurilla con fragmento de tocado |
| 22-384 | A | K17 | 11 | 3 Figurilla | 3 O | 2 A / 1 Am | T / FCu | Fragmento de tocado / Orejera de figurilla con adorno exterior |
| 22-456 | A | K17 | 12 | 2 Figurilla | 2 O | 2 Am | | |
| 22-373 | A | MU4 | 1 | Silbato/ Figurilla, 4 Figurilla y 2 Ornamentos tubulares | 5 O | 4 A / 1 Am | B / Cu / 2 T | Brazo con brazalete / Silbato antropomorfo de cuerpo / Dos fragmentos de tocados |
| 22-167 | A | MU4 | 2 | 1 Figurilla y ornamento tubular | 1 O | A | T | |
| 22-146 | A | MU4 | 2 | 2 Figurilla | 2 O | A / P | T | Fragmento de tocado trenzado |
| 22-364 | A | MU4 | 3 | 1 Figurilla y Sello | 1 O | A | T | Tocado con pintura roja |

| | | | | | | | | |
|---|---|---|---|---|---|---|---|---|
| 22-417 | A | MU4 | 3 | 2 Figurilla | 2 O | 2 Am | | |
| 22-362 | A | MU4 | 4 | 2 Figurilla | 2 O | 2 MF | 2 AE | Dos adornos exteriores a motivos principales |
| 22-149 | A | MU4 | 5 | 1 Figurilla | 1 O | A | B y FCu | Fragmento de brazo con brazalete y parte de cuerpo femenino por pecho y collar |
| 22-381 | A | MU16 | 3 | 1 Figurilla | 1 O | Am | | ¿Parte de vestimenta? Decoracion de ambos lados |
| 22-508 | A | MU16 | 4 | 9 Figurilla | 6 O | 3 A / 3 Am | T? / FCu / Ca | Posible tocado / Orejera de figurilla / Fragmento de cara con fragmento de tocado, parte de orejera y agujero para colgar |
| 22-340 | A | MU16 | 5 | Silbato/ Figurilla, 2 Figurilla y Cuenta | 3 O | 2 A / 1 P | T / FCu | Fragmento de tocado / Silbato antropomorfo |
| 22-723 | A | MU16 | 6 | 1 Figurilla | 1 O | P | | |
| 22-401 | A | MU16 | 6 | 1 Figurilla | 1 O | P | | Dos fragmentos de la misma figurilla |
| 22-365 | A | MU16 | 7 | 2 Figurilla y Orejera | 2 O | 1 A / 1 Z | AE / FCu | Decoracion lateral fuera de motivos principales / Posible cuerpo de ave |
| 22-909 | A | MU16 | 9 | 4 Figurilla | 4 O | 2 A / 2 Am | 1 ES / 1 M / 1 A | La mano está sosteniendo un artefacto tubular |
| 22-635 | A | MU16 | 9 | 1 Figurilla | 1 O | A | ES y FCu | Posible embarazada |
| 22-3698 | A | MU16 | 12 | 2 Figurilla | 2 O | 2 A | T y Ca / T | Tocado elaborado y parte de cara / Tocado sólido |
| 22-613 | A | MU16 | 12 | 1 Figurilla | 1 O | A | T | Fragmento de tocado |
| 22-960 | A | MU16 | 13 | 1 Figurilla | 1 O | P | | |
| 22-620 | A | MU16 | 13 | 3 Figurilla | 3 O | 2 A / 1 Am | Cu / T | Cuerpo de figurilla pequeña con falda / Tocado con relieves |
| 22-630 | A | MU16 | 14 | 1 Figurilla | 1 O | A | T | Fragmento de tocado |
| 22-773 | A | MU16 | 15 | 1 Figurilla y ornamento | 1 O | Am | | |
| 22-868 | A | MU16 | 17 | 3 Figurilla | 3 O | 2 A / 1 Am | B / T | Brazo doblado / Tocado |
| 22-3734 | A | MU16 | 17 | Silbato/ Figurilla | 1 O | A | FCu | Silbato antropomorfo con falda, mano y pies |
| 22-151 | A | I19 | 4 | 2 Figurilla y Orejera | 2 O | 1 A / 1 Am | FCu | Fragmento de vestimenta con adornos |
| 22-517 | A | I19 | 5 | 4 Figurilla y Orejera | 4 O | 4 P | | |
| 22-733 | A | I19 | 6 | 1 Figurilla | 1 O | P | | |
| 22-734 | A | I19 | 6 | 1 Figurilla | 1 O | A | ES | Mano |

| | | | | | | | | |
|---|---|---|---|---|---|---|---|---|
| 22-625 | A | I19 | 7 | 1 Figurilla | 1 O | A | Ca | Fragmento de cara: nariz |
| 22-2941 | A | I19 | 8 | 1 Figurilla | 1 O | Z | C | Cabeza de felino |
| 22-795 | A | I19 | 8 | 3 Figurilla | 3 O | 1 Am / 2 P | | |
| 22-278 | A | I21 | 3 | 1 Figurilla | 1 O | P | | |
| 22-1814 | A | I21 | 3 | 1 Figurilla | 1 O | Z? | Co | Animal? |
| 22-600 | A | I22 | 3 | 1 Figurilla y orejera | 1 O | P | | |
| 22-565 | A | I22 | 4 | 1 Figurilla | 1 O | P | | |
| 22-708 | A | I22 | 7 | 4 Figurilla | 3 O / 1 G | 2 A / 1 Am / 1 P | ES / FCu | Pierna larga con pie / Mitad inferior de cuerpo con calzón |
| 22-780 | A | I24 | 1 | 1 Figurilla | 1 O | P? A? | FCu? | Adornos de vestimenta? |
| 22-478 | A | J19 | 6 | 2 Figurilla | 2 G | 1 A / 1 Am | C / FCu | Cara completa y cabeza / Posible fragmento de parte derecha de cuerpo |
| 22-3064 | A | J19 | 7 | 1 Figurilla | 1 O | Z | C | Cabeza de guajolote |
| 22-3219 | A | J19 | 8 | 1 Figurilla | 1 O | A | FCu y EI | De molde, fragmento de cuerpo y pies |
| 22-418 | A | J19 | 8 | 3 Figurilla | 3 O | 2 A / 1 Am | 2 T | Dos fragmentos de tocado |
| 22-3105 | A | J19 | 9 | 2 Figurilla | 2 O | A / Am | C | Cabeza completa con cara, orejas y peinado? Cara gorda |
| 22-792 | A | J19 | 9 | 3 Figurilla y 2 ornamento tubular | 3 O | 1 A / 1 Mo / 1 P | ES | Mano extendida con brazalete / Fragmento de Molde |
| 22-813 | A | J19 | 10 | 4 Figurilla | 2 O / 2 G | 2 P / 2 A | 1 T / 1 FCu | Fragmento de tocado / Fragmento de vestimenta |
| 22-683 | A | J22 | 9 | 3 Figurilla | 3 O | 1 A / 2 Am | Ca | Fragmento de cara con ojo |
| 22-745 | A | J22 | 10 | 3 Figurilla y ornamento tubular | 3 O | 2 A / 1 P | T / FCu | Fragmento de tocado / Orejera de figurilla |
| 22-3838 | A | J22 | 11 | 1 Figurilla | 1 G | T? | C | Cabeza de animal con tocado? |
| 22-531 | A | K19 | 3 | 1 Figurilla | 1 O | P | | |
| 22-397 | A | K19 | 4 | 5 Figurilla | 5 O | 4 A / 1 P | EI / 2 FCu / Ca | Pierna larga con pie / Dos fragmentos laterales con vestimenta / Mitad inferior de cara con nariz y boca |
| 22-3299 | A | K19 | 4 | 1 Figurilla | 1 O | Z | Co | Tortuga con glifos |
| 22-784 | A | MU36 | 1 | 2 Figurilla, Orejera y Ornamento tubular | 2 O | 1 A / 1 Am | FCu | Fragmento de cuerpo con vestimenta |

| | | | | | | | | |
|---|---|---|---|---|---|---|---|---|
| 22-591 | A | MU17 | 2 | 3 Figurilla | 2 O / 1 G | 1 A / 2 P | Ca | Mitad inferior de cara con nariz y boca |
| 22-3251 | A | MU17 | 3 | 2 Figurilla | 2 O | 2 A | C / C | Cara con ojos vacios / Cara con ojos rasgados |
| 22-559 | A | MU17 | 3 | 3 Figurilla, 2 Ornamentos tubulares y Soporte | 3 O | 1 A / 1 Am / 1 P | EI | Mano? |
| 22-469 | A | MU17 | 4 | 2 Figurilla, Mango, 2 orejeras | 2 O | 1 A / 1 Z | B y FCu / FC | Brazo y mano con brazalete, parte de collar y vestimenta / Pico de ave |
| 22-3265 | A | MU17 | 5 | 1 Figurilla | 1 CB | Am | AE | |
| 22-498 | A | MU17 | 5 | 5 Figurilla | 5 O | 3 A / 1 P / 1 Mo | 1 EI / 1 T / 1 Ca | De molde, pie / Fragmento de tocado / Cara completa / Molde de cara |
| 22-530 | A | MU17 | 6 | 5 Figurilla | 5 O | 2 A / 1 O / 2 P | 2 T | Dos fragmentos de tocados elaborados / Posible medallón o asa plana |
| 22-380 | A | F23 | 2 | 1 Figurilla | 1 G | Am | A? | Adorno con relieve en zigzag y pintura roja |
| 22-2669 | A | F23 | 2 | 1 Figurilla | 1 O | A | C | Cabeza de humano; posiblemente importado |
| 22-2684 | A | F23 | 3 | 2 Figurilla | 2 O | Z / P | C / Ca? | Cabeza de ave / Figurilla plana con cara? |
| 22-511 | A | F23 | 4 | 1 Figurilla y Ornamento tubular | 1 O | P | | |
| 22-447 | A | F24 | 3 | 2 Figurilla | 2 O | 2 P | | |
| 22-332 | A | F24 | 4 | 1 Figurilla | 1 O | A | T | Tocado elaborado |

### 6.2.9 Horno de tierra (estratos E93, E115; lotes U17-12 / MU30-2 a 3 / MU31-1,2,5 a 9)

En las unidades del horno de tierra (E93 y E115) en el bloque norte de las excavaciones en la Operación A se encontraron dos fragmentos de figurillas altamente erosionados y difíciles de identificar, sin embargo, podría tratarse de un ojo y parte de la vestimenta de una figurilla.

6.2.10 Concentración cerámica asociada a la Est. 22-1 y depósito de relleno asociado (estratos e16, E22; lotes MU23-1 y 2 / M13-6 y 10 / M14-8)

En la concentración de cerámica encontrada al excavar una esquina de la Est. 22-1 identificada como perteneciente al periodo Clásico Tardío se identificó únicamente una figurilla que mostraba un rostro humano, arrugado y los ojos cerrados.

## 6.3 Descripción de las figurillas de los contextos más importantes de Operación B

Esta sección describe las figurillas recuperadas de los contextos más importantes de la Op. B. Estas incluyen basureros y ofrendas, elementos importantes para entender la economía doméstica durante los períodos Clásico Tardío y Posclásico Temprano.

6.3.1 Depósitos de terminación del Clásico Tardío (E20-s5; lotes PP38-8 a 12 / OO38-6 a 13 / QQ38-7 a 10)

En esta concentración de artefactos correspondiente al final del periodo Clásico Tardío (Yuta tiyoo) se encontraron un total de 75 figurillas (Tabla 6.11), de las cuales 58 figurillas son antropomorfas, los ejemplares más destacados son los siguientes: una cara con ojos vacíos y boca abierta; cara completa con casco y orejeras; una cara completa con tocado de ave; una figurilla con peinado y tocado (diadema), posiblemente femenina; extremidades inferiores y posible *maxtlatl* sosteniendo algo; un rostro arrugado con gesto sonriente; rostro completo, tocado y cabeza con pintura roja; y una figurilla femenina con *quechquemitl* y falda presente.

Por otro lado, se recuperaron siete figurillas zoomorfas: dos cabezas de ave, un cuerpo de tortuga, una cabeza de guajolote con pintura blanca, una cabeza de felino, una cabeza de animal con el cuerpo parecido a un medallón, y una posible cara de mono. Continuando, se encontró una figurilla transicional con un rostro similar al de un ave, pero que porta tocado y orejeras; una figurilla de motivos

fuera del personaje principal que consiste en un adorno exterior lateral; una figurilla de la categoría supernatural que representa un rostro completo con nariz salida y boca partida; y finalmente, se registraron siete figurillas amorfas.

**Tabla 6.11. Figurillas de E20-s5; lotes PP38-8 a 12 / OO38-6 a 13 / QQ38-7 a 10**

| # FS | Op | Unidad | Lote | Material | Pasta | Clasificación | Descripción | Notas |
|---|---|---|---|---|---|---|---|---|
| 22-8496 | B | PP38 | 8 | 1 Figurilla | 1 O? | A | C y T | Cara completa y parte de tocado |
| 22-540 | B | PP38 | 8 | 2 Figurilla | 2 O | A / Am | Ca | Ojo derecho |
| 22-492 | B | PP38 | 9 | 7 Figurilla | 7 O | 7 A | 3 B / 3 T / 1 FCu | Tres fragmentos de brazos / Tres fragmentos de tocados / Orejera de figurilla |
| 22-9462 | B | PP38 | 10 | 1 Figurilla y soporte para figurilla | 1 O | A | Ca | Cara erosionada con casco |
| 22-525 | B | PP38 | 10 | 17 Figurilla y Ornamento tubular | 1 CB / 16 O | 11 A / 2 Z / 4 Am | 1 C / 1 ES / 1 EI / 5 T / 2 A / 2 FCu / 1 Ca | Cabeza de ave / Mano extendida y decoración lateral / Una extremidad inferior / Cinco fragmentos de tocados: dos diademas, pétalos, bolitas en relieve y hojas / Posible tocado hueco triangular / Collar / Cuerpo de tortuga / Cuerpo de molde con piernas / Cara con ojos vacíos y boca abierta |
| 22-254 | B | PP38 | 11 | 2 Figurilla y orejera | 2 O | 2 A | Ca / EI y FCu | Mitad de cara y fragmento de tocado / Pie derecho y vestimenta |
| 22-8549 | B | PP38 | 12 | 5 Figurilla | 3 O / 2 G | 5 A | C / T / FCu / 2 Ca | Cabeza de ave / Tocado elaborado / Orejera y parte de tocado / Cara completa con casco y orejeras / Cara completa con tocado de ave |
| 22-67 | B | PP38 | 12 | 5 Figurilla | 5 O | 5 A | 1 ES / 1 EI / 2 T / 1 FCu | Mano sosteniendo cetro / Pie / Dos tocados / Hombro dcon vestimenta y orejera |

| | | | | | | | | |
|---|---|---|---|---|---|---|---|---|
| 22-8167 | B | OO38 | 6 | 2 Figurilla y soporte | 2 O | 1 A / 1 Z | Ca y T / C | Figurilla femenina por peinado y tocado (diadema) / Cabeza de guajolote, pintura blanca |
| 22-8192 | B | OO38 | 8 | 3 Figurilla | 3 O | 2 A / 1 T | EI y FCu / C / C | Extremidades inferiores y posible maxtlatl sosteniendo algo / Cara arrugada con sonrisa / Posible cara de ave con tocado y orejeras |
| 22-45 | B | OO38 | 8 | 8 Figurilla | 8 O | 6 A / 1 Am / 1 MF | B / ES / EI / 2 FCu / Ca / AE | Brazo doblado / Mano extendida / Pie / Dos fragmentos de la misma falda / Fragmento de falda / Fragmento de cara: ojo / Adorno exterior lateral |
| 22-8208 | B | OO38 | 9 | 2 Figurilla | 1 O / 1 G | 1 A / 1 Z (G) | Ca / C (Z) | Fragmento de cara: nariz y boca / Cabeza de félino? |
| 22-13 | B | OO38 | 9 | 7 Figurilla y 2 Ornamentos tubulares | 7 O | 5 A / 1 Z / 1 Am | C (Z) / B y FCu / 3 A / FCu | Cabeza de animal con inicio de cuerpo, parecido a medallón / Brazo con brazalete y fragmento de vestimenta / Orejera / Dos adornos / Mitad de cuerpo femenino con lado izquierdo: pecho collar y falda |
| 22-6239 | B | OO38 | 9 | 4 Figurilla | 4 O | 4 A | 3 T / 1 FCu | Tres fragmentos de tocados / Fragmento de vestimenta |
| 22-8221 | B | OO38 | 10 | 3 Figurilla | 3 O | 3 A | C y T / Ca y T / Ca | Cara completa, tocado y cabeza, pintura roja / Parte de cara y tocado / Nariz y boca |
| 22-8228 | B | OO38 | 10 | Figurilla | 1 O | 1 A | Ca y T | Cara fragmentada, tocado y orejera |
| 22-48 | B | QQ38 | 8 | 2 Figurilla | 2 O | 2 A | ES / T | Mano extendida con brazalete / Fragmento de tocado elaborado |
| 22-8186 | B | QQ38 | 8 | 1 Figurilla | 1 O | Z | Ca | Cara de mono? |
| 22-8198 | B | QQ38 | 9 | 1 Figurilla | 1 O | A | Cu | Figurilla femenina por quechquemitl y falda presente |
| 22-8214 | B | QQ38 | 10 | 1 Figurilla | 1 O | S | Ca | Cara completa con nariz salida y boca partida |

### 6.3.2 Basurero del Clásico Tardío (E22-s3; lotes II38-9 y 10 / HH39-6 a 8 / II39-6 y 7)

En este depósito de cerámica del Clásico Tardío (Yuta Tiyoo) se encuentra un silbato antropomorfo moldeado con cuerpo completo (Tabla 6.12). Adicionalmente, se encuentran 19 figurillas, de las cuales 14 son antropomorfas. Entre estas destaca una cara completa con fragmento de tocado y pintura blanca y la mitad inferior de un cuerpo con falda presente.

También se encontraron dos figurillas zoomorfas, las cuales consisten en una cabeza de guajolote y una tortuga con soporte en diferentes partes. En adición, se encontró una figurilla de la categoría otro, descrita como un fragmento de medallón o adorno circular; una figurilla de la categoría con motivos fuera de los personajes principales; y una figurilla amorfa descrita como un posible animal sobrepuesto a otra figurilla.

**Tabla 6.12. Figurillas de E22-s3; lotes II38-9 y 10 / HH39-6 a 8 / II39-6 y 7**

| # FS | Op | Unidad | Lote | Material | Pasta | Clasificación | Descripción | Notas |
|---|---|---|---|---|---|---|---|---|
| 22-80 | B | II38 | 9 | 3 Figurilla | 3 O | 3 A | B y ES / EI / Ca | Brazo y mano con brazalete y orejera, agujero para colgar / Pie con pintura blanca / Fragmento de cara: ojo |
| 22-6095 | B | II38 | 10 | 2 Figurilla | 2 O | 2 A | B y ES / T | Brazo y mano brazalete / Posible diadema |
| 22-8264 | B | II38 | 10 | 2 Figurilla | 2 O | 1 A / 1 Z | Ca / C | Cara completa y orejera / Cabeza de guajolote |
| 22-8910 | B | HH39 | 6 | 1 Figurilla | 1 O | A | T y Ca | Cara completa con fragmento de tocado y pintura blanca |
| 22-8985 | B | HH39 | 7 | 1 Figurilla | 1 O | A | FCu | Mitad inferior de cuerpo con pies, falda presente |
| 22-241 | B | HH39 | 7 | 3 Figurilla | 3 O | 2 A / 1 Am | A / FCu | Posible collar / Fragmento de falda |
| 22-9587 | B | II39 | 6 | Silbato/ Figurilla y Figurilla | 2 O | 2 A | 1Cu y 1ES / 1B y 1ES | Silbato antropomorfo con cuerpo completo, de molde / Brazo con mano y brazalete |
| 22-791 | B | II39 | 6 | 3 Figurilla y Orna-mento | 2 O / 1 G | 2 A / 1 O (G) | 2 EI | Pie plano / Pie sólido con pintura blanca / Fragmento de medallón |

| | | | | | | | | |
|---|---|---|---|---|---|---|---|---|
| 22-9640 | B | II39 | 7 | 3 Figurilla | 3 O | 1 A / 1 Z / 1 MS | T / Cu / C y Cu | Tortuga con soporte en diferentes etapas / Posible animal sobrepuesto a otra figurilla |

6.3.3 Depósitos de terminación del Clásico Tardío del período Clásico Tardío (E20-s1; lote LL40-5)

En este depósito de cerámica correspondiente al final de período Clásico Tardío se encuentran cinco fragmentos de figurillas antropomorfas: un tocado de grandes dimensiones, un tocado con adornos, un brazalete, el fragmento de un rostro con un ojo y parte de su tocado, y finalmente, un posible ojo (Tabla 6.13).

**Tabla 6.13. Figurillas de E20-s1; lote LL40-5**

| #FS | Op | Unidad | Lote | Material | Pasta | Clasificación | Descripción | Notas |
|---|---|---|---|---|---|---|---|---|
| 22-179 | B | LL40 | 5 | 5 Figurilla | 5 O | 5 A | 2 T / 1 A / 2 Ca | Tocado muy grande / Tocado con adornos / Brazalete / Fragmento de cara: ojo y parte de tocado / Ojo? |

6.3.4 Depósitos de terminación del Clásico Tardío (E20-s5; lote JJ39-7 y 8 / JJ40-5 y 6 / KK39-5 / MU6-2)

En el depósito de cerámica correspondiente al final del período Clásico tardío se encontraron dos silbatos, ambos modelados y antropomorfos:la parte inferior del cuerpo de un silbato antropomorfo, y otro silbato casi completo (Tabla 6.14).

Adicionalmente se registraron 36 figurillas, de las cuales 25 son antropomorfas. Los ejemplares destacados son: una figurilla completa, un cuerpo casi completo con presencia de vestimenta en una postura peculiar; un fragmento circular de vestimenta, y un posible *maxtlatl*.

En este contexto también se localizó una figurilla zoomorfa, posiblemente la garra de un animal; una figurilla de la categoría supernatural con forma de medallón, el cual es una posible referencia al Dios Gordo; Por último, también se registraron nueve figurillas amorfas.

**Tabla 6.14. Figurillas de E20-s5; lote JJ39-7 y 8 / JJ40-5 y 6 / KK39-5 / MU6-2**

| # FS | Op | Unidad | Lote | Material | Pasta | Clasificación | Descripción | Notas |
|---|---|---|---|---|---|---|---|---|
| 22-8653 | B | JJ39 | 7 | 1 Figurilla | 1 O | A | T | Tocado |
| 22-282 | B | JJ39 | 7 | Silbato/ Figurilla | 1 O | A | EI y FCu | Silbato antropomorfo de molde con pie izquierdo y parte de vestimenta |
| 22-392 | B | JJ39 | 7 | 2 Figurilla | 2 O | 1 A / 1 Am | T | Fragmento de tocado |
| 22-414 | B | JJ39 | 8 | 8 Figurilla | 8 O | 4 A / 1 Z / 2 Am / 1 S | 1 B / 2 ES / 1 EI / 2 FCu | Fragmento de brazo con brazalete / Mano extendida con brazalete / Garra de animal? / Pie / Medallon de vestimenta, posible referencia al Dios Gordo / De molde, vestido |
| 22-8915-1 | B | JJ40 | 5 | 1 Figurilla | 1 O | A | C y T | Cara completa, tocado y collar |
| 22-8900 | B | JJ40 | 5 | 1 Figurilla | 1 O? | A | Co | Figurilla completa |
| 22-8915-3 | B | JJ40 | 5 | 1 Figurilla y soporte | 1 O | A | C y T | Cara completa y tocado con orejera |
| 22-8915-2 | B | JJ40 | 5 | 1 Figurilla | O | A | ES y Cu | Cuerpo casi completo con extremidad superior derecha, presencia de vestido, pose diferente |
| 22-228 | B | JJ40 | 5 | 5 Figurilla | 4 O / 1 G | 2 A / 3 Am | ES / Ca / A? | Mano con pintura / Fragmento de ojo / Posible adorno |
| 22-218 | B | JJ40 | 5 | 5 Figurilla | 5 O | 4 A / 1 Am | 1 ES / 1 FC / 2 FCu | Mano extendida / Fragmento de cara y tocado / Parte de cuerpo y orejera derecha / Fragmento de falda |
| 22-198 | B | JJ40 | 5 | 2 Figurilla | 2 O | 1 A / 1 Am | EI y FCu | Pie derecho con parte de vestimenta |
| 22-6111 | B | KK39 | 5 | 1 Figurilla | 1 O | Am | A | Posible ornamento |
| 22-584 | B | KK39 | 5 | 2 Figurilla | 1 O / 1 G | 2 A | 2 FCu | Hombro, orejera y collar / Fragmento circular de vestimenta |
| 22-9922 | B | MU6 | 2 | 1 Figurilla | 1 O | A | FCu y EI | De molde, falda presente |
| 22-9364 | B | MU6 | 2 | 4 Figurilla | 3 O / 1 G | 4 A | 1 FCu y 1 EI / 1 EI / 1 T / 1 ES o EI (G) | Maxtlatl / Falda |

| | | | | | | | | |
|---|---|---|---|---|---|---|---|---|
| 22-9364 | B | MU6 | 2 | Silbato/ y Figurilla Figurilla | 2 O | 2 A | 1 Cu y 1ES / 1FCu y 1EI | De molde, casi completa / Mitad inferior de cuerpo, de molde |

6.3.5 Depósitos de terminación del Clásico Tardío (E20-s3; lote GG35-6)

En el depósito de cerámica correspondiente al final de Clásico Tardío se encontraron seis figurillas: cuatro antropomorfas, una múltiple y una desconocida (Tabla 6.15). De las figurillas antropomorfas se encuentra una cabeza completa con ojos vacíos, casco y orejeras; una mano sosteniendo un objeto no identificado; un fragmento de un posible tocado o casco; y un fragmento de vestimenta. La figurilla más destacada de la colección de este contexto pertenece a la categoría múltiple y representa a un indivisuo sosteniendo un infante.

**Tabla 6.15. Figurillas de E20-s3; lote GG35-6**

| # FS | Op | Unidad | Lote | Material | Pasta | Clasificación | Descripción | Notas |
|---|---|---|---|---|---|---|---|---|
| 22-8969 | B | GG35 | 6 | 2 Figurilla | 2 O | 1 A / 1 M | 1 C / 1 FCu | Cabeza completa con casco y orejeras, ojos vacios / Figurilla sosteniendo bebe |
| 22-459 | B | GG35 | 6 | 4 Figurilla, 2 Asas planas?, Orejera y Malacate | 4 O | 3 A / 1 D | ES / T / FCu | Mano sosteniendo algo / Posible parte de tocado o casco / Posible parte de vestimenta |

6.3.6 Basurero de Clásico Tardío (E22-s2 lotes HH37-5 / MU13-1 / II38-11 a 13)

En este contexto del Clásico Tardío se identificó se encontraron 59 figurillas y un fragmento de un silbato antropomorfo. De las figurillas, 42 son antropomorfas. Los ejemplares más destacados de las figurillas antropomorfas son los siguientes: un artefacto tubular con adorno, porciones de rostros con ojos vacíos y tocado, un adorno en forma de cono con relieves granulados, un fragmento de una figurilla femenina modelada, con uncollar; y, un fragmento de figurilla portando *maxtlatl*.

Dentro de la colección del contexto también se encuentra una figurilla zoomorfa representando la cabeza de un felino; tres moldes para figurillas donde se encuentra un molde de rostro humano, un molde de vestimenta y un molde de cabeza animal; dos motivos secundarios (que se unen a la descripción de motivos centrales) descritos como un posible tocado sobrepuesto a motivo central y un adorno sobrepuesto a un motivo central; y una figurilla de la categoría otro que que parece ser la esquina de una figura rectangular (Tabla 6.16). También se encuentran dos adornos de tocado, dos motivos fuera del personaje principal y siete figurillas amorfas.

**Tabla 6.16. Figurillas del basurero del clásico tardío (E22-s2; lotes HH37-5 / MU13-1 / II38-11 a 13**

| # FS | Op | Unidad | Lote | Material | Pasta | Clasificación | Descripción | Notas |
|---|---|---|---|---|---|---|---|---|
| 22-9958 | B | HH37 | 5 | Silbato/ Figurilla | 1 O | A | EI | Silbato antropomorfo con pie izquierdo |
| 22-9962 | B | HH37 | 5 | 1 Figurilla | 1 G | Am | | Artefacto tubular con adorno |
| 22-9942 | B | HH37 | 5 | 9 Figurilla | 8 O / 1 G | 9 A | 1 C / 2 EI y FCu / 1 T / 4 Ca / 1 FCu | Soporte antropomorfo ojos rasgados / 2 De molde, extremidades inferiores y vestimenta / Diadema / Cara completa con tocado y orejera / Fragmento de cara con ojos vacios y tocado / Cara con ojos vacios / Cara / Vestimenta de figurilla femenina |
| 22-811 | B | HH37 | 5 | 10 Figurilla y Soporte de figurilla | 10 O | 8 A / 2 Am | 1 ES / 7 T | Mano extendida con brazalete / Siete fragmentos de tocados / Parte desconocida en forma de cono con relieves en forma de bolitas |
| 22-804 | B | HH37 | 5 | 14 Figurilla y 2 Ornamentos tubulares | 14 O | 9 A / 1 Z / 2 Am / 2 Mo | 1 C / 2 ES / 3 EI / 4 T | Cabeza de felino / Dos manos extendidas con brazalete / Tres pies de molde / Cuatro fragmentos de tocados / Molde de cara / Molde de vestimenta |
| 22-6235 | B | HH37 | 5 | 1 Figurilla | 1 G | Mo | | Molde de cara de animal? |
| 22-9965 | B | HH37 | 5 | 1 Figurilla | 1 O | A | Ei | Pierna |

| | | | | | | | | |
|---|---|---|---|---|---|---|---|---|
| 22-8279 | B | II38 | 11 | 2 Figurilla | 2 O | 2 A | FCu / EI | Femenina, parte de hombro izquierdo con pecho y collar / Pie con pintura blanca |
| 22-6238 | B | II38 | 11 | 3 Figurilla | 2 O / 1 G | 3 A | 2 ES / T | Dos pies / Tocado trenzado |
| 22-118 | B | II38 | 12 | 1 Figurilla | 1 O | O | | Esquina de figura cuadrangular o rectangular |
| 22-121 | B | II38 | 12 | 7 Figurilla, Soporte para figurilla y tepalcate | 7 O | 7 A | 1 ES / 2 T / 3 FCu / 1 Ca | Mano extendida con brazalete / 2 Fragmentos de tocado / Falda / Maxtlatl / Hombro derecho con parte de falda y collar / Fragmento de cara |
| 22-153 | B | II38 | 13 | 10 Figurilla | 1 CB / 9 O | 2 A / 2 Am (1 CB / 1 O) / 2 MF / 2 AT / 2 MS | EI y FCu (A) / B (A) / 2 A (MF) / 1 T (MS) / 1 A (MS) | Posible tocado sobrepuesto a motivo central / Adorno sobrepuesto a motivo central |

### 6.3.7 Basurero (E3) y depósito de desechos ocupacionales correspondiente al período Posclásico Temprano (E2, E4; lotes QQ44-2 a 3/ QQ43-2 a 3/ PP44-2 a 3/ PP43 2 a 4)

Este contexto de depósito de cerámica correspondiente al período Posclásico Temprano y cuenta con trece figurillas de las cuales nueve son antropomorfas, tres son amorfas y una es plana (Tabla 6.17).

**Tabla 6.17. Figurillas de E2, E3 y E4; lotes QQ44-2 a 3/ QQ43-2 a 3/ PP44-2 a 3/ PP43 2 a 4**

| # FS | Op | Unidad | Lote | Material | Pasta | Clasificación | Descripción | Notas |
|---|---|---|---|---|---|---|---|---|
| 22-8874 | B | QQ43 | 2 | 1 Figurilla | 1 O | A | T | Tocado elaborado |
| 22-759 | B | PP43 | 2 | 3 Figurilla | 3 O | 2 A / 1 Am | ES / EI | Mano extendida con pintura blanca / Pierna larga |
| 22-794 | B | PP43 | 3 | 1 Figurilla | 1 O | A | FCu | Hombro derecho, orejera y collar |
| 22-699 | B | PP43 | 4 | 1 Figurilla | 1 O | A | FCu | Fragmento de vestimenta |
| 22-347 | B | PP44 | 3 | 7 Figurilla y Orejera | 7 O | 4 A / 2 Am / 1 P | 1 B / 1 EI / 1 T / 1 Ca | Brazo / Pie / Tocado / Nariz |

6.3.8 Basureros correspondiente a la transición entre el Clásico Tardío y Posclásico Temprano (E11, E12, E13, E14, E15, E16; lotes QQ44-4 a 7/ QQ43-4 a 6/ PP44-4 a 9)

Este contexto transicional entre el Clásico Tardío y el Posclásico Temprano se identificaron dos fragmentos de un silbato antropomorfo: la parte superior del cuerpo con brazo en cintura y la parte inferior con *maxtlatl* (Tabla 6.18).

Adicionalmente, se encontraron 28 figurillas. De estas, 17 son antropomorfas y destacan las siguientes: una mano extendida sobre un pecho con orificios para usar como pendiente; un rostro completo, cuya cabeza presentó pintura; y, un rostro completo, con los ojos cerrados, arrugas y un símbolo en la mejilla. También se encontraron dos figurillas zoomorfas que consisten en un fragmento de la cabeza de un animal no identificado y una cabeza de búho con ojos vacíos y presencia de pintura blanca y roja. Tres motivos fuera del personaje principal con dos apliques y un adorno exterior en forma de "S". Finalmente, se recuperó una figurilla de la categoría otro con un posible adorno o aplique; y cinco figurillas amorfas.

**Tabla 6.18. Figurillas de E11, E12, E13, E14, E15, E16; lotes QQ44-4 a 7/ QQ43-4 a 6/ PP44-4 a 9**

| # FS | Op | Unidad | Lote | Material | Pasta | Clasificación | Descripción | Notas |
|---|---|---|---|---|---|---|---|---|
| 22-446 | B | QQ44 | 4 | 1 Figurilla | 1 O | A | FC | Fragmento de orejera y cabello |
| 22-275 | B | QQ44 | 5 | 6 Figurilla | 6 O | 2 A / 1 Z / 1 Am / 2 MF | EI / Ca / FC / 3 A? | Pie / Cara erosionada / Fragmento de cabeza de animal? / Dos apliques |
| 22-729 | B | QQ44 | 5 | 1 Figurilla | 1 O | Am | | Muy erosionada |
| 22-9287 | B | QQ44 | 6 | 1 Figurilla | 1 CB | Am | A? | |
| 22-576 | B | QQ44 | 6 | 4 Figurilla y Orejera | 4 O | 3 A / 1 MF | B y ES / FC / FCu / AE | Mano extendida frente a pecho, agujero para colgar / Fragmento de frente / Fragmento de vestimenta lateral y brazalete / Adorno exterior en S |
| 22-9297 | B | QQ44 | 7 | 2 Figurilla y soporte | 2 O | 2 A | C / A | Cara completa y cabeza, pintura presente / Posible orejera de figurilla |

| | | | | | | | | |
|---|---|---|---|---|---|---|---|---|
| 22-558 | B | QQ43 | 4 | 3 Figurilla | 3 O | 3 A | 1 B y ES / 1 ES / 1 T | Brazo con brazalete y mano extendida, parte de cuerpo y collar / Pie / Fragmento de tocado |
| 22-8907 | B | QQ43 | 5 | 1 Figurilla | 1 O | A | Ca | Fragmento de cara: nariz y boca |
| 22-342 | B | QQ43 | 5 | Silbato/ Figurilla y Figurilla | 2 O | A / Am | B y FCu | Dos fragmentos del silbato antropomorfo pero misma figurilla, parte superior con brazo en cintura y parte inferior con maxtlatl |
| 22-9453 | B | QQ43 | 6 | 1 Figurilla | 1 O | Z | C | Cabeza de búho con pintura blanca y roja, ojos vacíos |
| 22-549 | B | QQ43 | 6 | 1 Figurilla | 1 O | A | T | Posible tocado |
| 22-8967 | B | PP44 | 4 | 2 Figurilla | 2 O | 2 A | Ca / ES o EI | Cara completa, con arrugas y simbolo en mejilla, ojos cerrados |
| 22-9368 | B | PP44 | 6 | 2 Figurilla | 2 O | 2 A | 2 FCu | 1 de molde / Posible parte de brazo |
| 22-9391 | B | PP44 | 7 | 1 Figurilla | 1 G | O | | Aplique? |
| 22-572 | B | PP44 | 9 | 1 Figurilla | 1 O | Am | | |

### 6.3.9 Depósitos de terminación del Clásico Tardío (E20-s5; lotes NN38-6 a 10)

En este depósito correspondiente al final de Clásico Tardío se encontraron 20 figurillas en total, doce de ellas antropomorfas (Tabla 6.19). También se encontró una figurilla de la categoría múltiple, descrita como un fragmento de cuerpo, posiblemente cargando a un infante; así como siete figurillas amorfas.

**Tabla 6.19. Figurillas de E20-s5; lotes NN38-6 a 10**

| # FS | Op | Unidad | Lote | Material | Pasta | Clasificación | Descripción | Notas |
|---|---|---|---|---|---|---|---|---|
| 22-391 | B | NN38 | 6 | 7 Figurilla | 7 O | 3 A / 4 Am | ES / EI / FCu | Mano con brazalete / Pie / Fragmento de vestimenta |
| 22-8744 | B | NN38 | 6 | 2 Figurilla, Orejera y Orna-mento tubular | 2 O | 1 A / 1 M | 2 FCu? | Fragmento de cuerpo femenino con pecho, vestimenta, brazo y mano con brazalete / Fragmento de cuerpo, posiblemente cargando a bebé con rebozo |
| 22-445 | B | NN38 | 7 | 2 Figurilla | 2 O | 1 A / 1 Am | Ca | Muy erosionado |

| | | | | | | | | |
|---|---|---|---|---|---|---|---|---|
| 22-8759 | B | NN38 | 7 | 4 Figurilla y Orejera | 1 CB / 3 O | 3 A / 1 Am (CB) | 1 ES / 1 EI? / 1 T | Mano extendida sobre atuendo / Pie y fragmento de atuendo? / Fragmento de tocado |
| 22-8779 | B | NN38 | 8 | 2 Figurilla y soporte | 2 O | A / Am | FCu y Ca | Cara erosionada, orejeras y collar |
| 22-516 | B | NN38 | 9 | 2 Figurilla | 2 O | 2 A | T y A / T | Fragmento de tocado, cabello y orejera / Fragmento de tocado y un poco de cara |
| 22-798 | B | NN38 | 9 | 1 Figurilla | 1 O | A | FCu | Fragmento de mejilla, orejera y tocado |

### 6.3.10 Basurero del Clásico Tardío (E25-s1; lote MU11-1 a 4 / MU12-1 a 3)

En este contexto correspondiente al período Clásico Tardío se encontró un silbato múltiple representando gemelos (Tabla 6.20). Además, se encontraron un total de 110 figurillas, de estas 88 son antropomorfas y los ejemplares más destacados son las siguientes: una cara completa con tocado de ave elaborado; dos cabezas completas con tocado elaborado y corte de "pageboy"; una cara completa con ojos vacíos; la mitad de una figurilla con vestimenta de posible *quechquemitl* que parece sostener un posible cetro; un fragmento de vestimenta de algodón; y, un rostro arrugado con la boca abierta y un símbolo en la frente que parece representar a un individuo anciano.

Por otra parte, se encontraron siete figurillas zoomorfas que consisten en un guajolote completo; una cabeza y parte del cuerpo de un guajolote; una cabeza de guajolote; una cabeza de otra ave, un fragmento del rostro de un animal no identificado con un ojo vacío, una cabeza de perro; y una cabeza de felino. También se encontró el fragmento de una figurilla múltiple que consiste en un brazo y sosteniendo a un infante;un molde de figurilla con decoraciones fitomorfas; un motivo fuera del personaje principal que consistió en un adorno exterior; y doce figurillas amorfas.

**Tabla 6.20. Figurillas de E25-s1; lote MU11-1 a 4 / MU12-1 a 3**

| # FS | Op | Unidad | Lote | Material | Pasta | Clasificación | Descripción | Notas |
|---|---|---|---|---|---|---|---|---|
| 22-9718 | B | MU11 | 1 | 3 Figurilla y Disco de cerámica | 3 O | 2 A / 1 Am | T / T y Ca | Fragmento de tocado / Cara completa con tocado de ave elaborado |
| 22-770 | B | MU11 | 1 | 3 Figurilla y Orna-mento tubular | 3 O | 3 A | ES / 2 T | Mano extendida con brazalete / Dos fragmentos de tocados |
| 22-693 | B | MU11 | 2 | 5 Figurilla | 5 O | 2 A / 3 Am | 1 T / 2 A | Uno de los adornos es identificable como los que van al lado de brazos |
| 22-9756 | B | MU11 | 2 | 3 Figurilla | 3 O | 3 A | FC / T y Ca / Ca | Cara casi completa con orejera y tocado / Fragmento de tocado y ojo / Cara casi completa |
| 22-752 | B | MU11 | 3 | 2 Figurilla | 1 O / 1 G | 2 A | FCu? / Ca | Fragmento de hombro? / Mitad inferior de cara con boca y orejeras |
| 22-9774 | B | MU11 | 3 | 2 Figurilla | 2 O | 1 A / 1 Z | EI / C y FCu | Pierna / Cabeza y parte de cuerpo de guajolote, posible tocado |
| 22-9913 | B | MU11 | 4 | 2 Figurilla | 2 O | 2 A | 1 B y ES / 1 Ca | Brazo extendido con brazalete y mano agarrando algo / Cara completa con ojos vacíos |
| 22-740 | B | MU11 | 4 | 11 Figurilla y Orejera | 11 O | 9 A / 1 Z / 1 MF | 4 EI / 3 T / 2 FCu / 1 Ca / 1 AE | Dos pies de molde / Dos pies sólidos / Tres fragmentos de tocados / Orejera / Collar / Fragmento de cara de animal con ojo vacío / Adorno exterior a motivo principal |
| 22-796 | B | MU12 | 1 | 16 Figurilla y Silbato | 16 O | 13 A / 3 Am | 1 B / 4 ES / 1 EI / 2 T / 1 FCu / 4 A | Fragmentos de diversas partes de figurillas |
| 22-9807 | B | MU12 | 1 | 16 Figurilla y Miniatura con decor-ación | 14 O / 2 G | 14 A / 2 Z | 3 C / 1 ES / 3 EI / 7 FCu / 2 Ca | Cabeza de guajolote / Cabeza de ave / cabeza completa con tocado elaborado y corte de "pageboy" / Mano extendida con brazalete y parte de cuerpo femenino con collar / Tres pies / Dos figurillas de molde con parte de vestimenta y pie / Dos fragmentos de falda / Tres fragmentos de hombros con orejera y vestimenta / Fragmento de cara con ojo, nariz y boca / Fragmenti de boca y orejera |

| | | | | | | | | |
|---|---|---|---|---|---|---|---|---|
| 22-742 | B | MU12 | 2 | 2 Figurilla | 2 O | 2 A | 1 ES / 1 EI | Parte de cuerpo con mano / 1 de molde |
| 22-9845 | B | MU12 | 2 | 13 Figurilla | 13 O | 10 A / 1 Z / 1 M / 1 Mo | 3 C / 1 ES / 2 EI / 1 ES y EI / 1 Co / 1 T / 3 FCu | Cara completa con fragmento de tocado / Cara completa con fragmento de tocado / Cabeza completa con corte de "pageboy" / Mano extendida hacia arriba con brazalete / Dos piernas / Brazo y mano sosteniendo bebé / Guajolote completo / Fragmento de tocado / Molde de flor |
| 22-6046 | B | MU12 | 3 | 1 Figurilla | 1 O | A | A | Adorno de falda |
| 22-6088 | B | MU12 | 3 | 2 Figurilla | 2 O | 2 Am | 2 A | Posible ornamento |
| 22-799 | B | MU12 | 3 | 20 Figurilla | 20 O | 17 A / 3 Am | 3 EI / 6 T / 6 FCu / 2 Ca | Tres pies de molde / Seis fragmentos de tocados / Tres fragmentos de vestimenta / Fragmento de brazo con adornos de vestimenta / Mitad de figurilla con vestimenta, posible quechquemitl y se muestra sosteniendo posible cetro / Fragmento de vestimenta de algodón por deccoración / Cara "vieja" con arrugas y boca abierta, símbolo en frente / Cara erosionada con boca abierta |
| 22-9877 | B | MU12 | 3 | Silbato/Figurilla y 9 Figurilla | 10 O | 7 A / 2 Z / 1 M | 3 C / 1 Cu / 3 T / 2 FCu / 1 Ca | Cabeza de perro / Cabeza de felino / Cabeza completa con cara, tocado y orejeras / Silbato/figurilla múltiple de gemelos / Tres fragmentos de diferentes tocados elaborados / Dos fragmentos de vestimenta elaborados / Cara completa |

## 6.4 Tipología de figurillas completas y distintivas

Este apartado presenta una tipología de las figurillas más representativas y completas de la temporada 2022 del Proyecto Río Verde en una serie de tablas (Tablas 6.21-6.25). Las tablas se contienen el número de registro dentro de la tipología, las características de la pasta, notas descriptivas, una foto o ilustación y el fechamiento relativo al porcentaje de tiestos de cerámica de cada periodo en los lotes excavados. Las abreviaturas de las fechas de la cerámica son las siguientes: FM=Formativo Medio; FT=Formative Tardío; FTto=Formativo Terminal temprano; FTtd=Formativo Terminal tardío; CTo=Clásico Temprano; CTd=Clásico Tardío; PCTo=Posclásico Temprano; PCtd=Posclásico Tardío).

**Tabla 6.21. Rostros detallados de diferentes tipos**

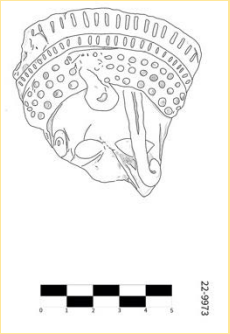
| Datos de las Figurillas | | | | Datación de la cerámica asociada (% de cada periodo) | | | | | | | |
|---|---|---|---|---|---|---|---|---|---|---|---|
| # de tipo | Pasta | Notas | Foto | FM | FT | FTto | FTtd | CTo | CTd | PCTo | PCtd |
| 1 | O | Cabeza completa con cara, forma extraña |  | | | | | | 26 | 74 | |
| 2 | G | Importación Teotihuacán, cara y cabeza completas |  | | | | | | 27 | 73 | |

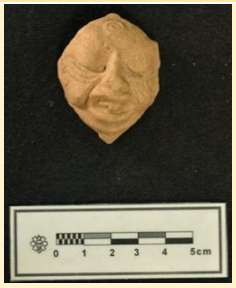
| | | | | | | | | | | | |
|---|---|---|---|---|---|---|---|---|---|---|---|
| 3 | 2 O | Cabeza completa con cara, forma extraña / Cara completa con tocado puntiagudo |   | | | | | | 100 | | |
| 4 | O | Cabeza completa con cara, orejas y peinado: Cara gorda |  | | | | | | 60 | 40 | |
| 5 | O | Fragmento de cara: ojos, mechon de cabello y símbolo en frente |  | | 4 | 2 | | | 92 | 2 | |

| | | | | | | | | | | | |
|---|---|---|---|---|---|---|---|---|---|---|---|
| 6 | O | Cuerpo y mitad de cabeza con armadura de algodón, presencia de maxtlatl |   | | | 8 | 4 | 8 | 80 | | |
| 7 | O | Cara completa con ojos cerrados y mechón cayendo sobre ojo |  | | | | | | 63 | 37 | |
| 8 | O | Cara con ojos rasgados, boca abierta y mejillas llenas |  | | | 29 | | | 57 | 14 | |
| 9 | O | Cabeza redonda completa con ojos y boca vacios |  | | | | | | 19 | 81 | |

| | | | | | | | | | | | |
|---|---|---|---|---|---|---|---|---|---|---|---|
| 10 | O | Cara casi completa, mejillas llenas, cara gorda |  | | | | | | 100 | | |
| 11 | 2 O | Cabeza completa con cara, tocado, cabello, orejeras y collar, erosionada / Cara "enojada" con fragmento de cabello |   | | | | | | | | |
| 12 | O | Cara completa, tocado y orejeras presentes, fragmento al lado de la cabeza, posible bastón de mando |  | | | | | | 100 | | |
| 13 | O | Cara y tocado con cabello ("pageboy"), ojos vacios y orejeras |  | | | | | 3 | 97 | | |
| 14 | U | Cara completa, tocado, orejeras y collar presente, falda, cuerpo femenino, posible importación |  | | | | | | 100 | | |

| | | | | | | | | | | | |
|---|---|---|---|---|---|---|---|---|---|---|---|
| 15 | O | Cabeza completa con tocado elaborado y corte de "pageboy" |  | | | | | | 100 | | |
| 16 | O | Cabeza completa con corte de "pageboy" |  | | | | | | 100 | | |
| 17 | O | Cara "vieja" con arrugas y boca abierta, símbolo en frente |  | | | | 0 | 1 | 99 | | |
| 18 | O | Cara completa con mohawk, collar y orejera |  | | | | | | 100 | | |
| 19 | O | Cara elaborada con orificios en ojos y nariz, decorado en cara y collar, tiene pintura blanca |  | | | | | | 100 | | |

| | | | | | | | | | | | |
|---|---|---|---|---|---|---|---|---|---|---|---|
| 20 | O | Cara completa con expresión sorprendida y orejeras |  | | | | | | 99 | 1 | |
| 21 | O | Fragmento de tocado y cara, ojos cerrados y cabello cayendo |   | | | | | | 100 | | |
| 22 | G | Fragmento de cara: boca abierta con dientes |  | | | | | | 60 | 40 | |
| 23 | O | Cara completa con tocado de ave |  | | | | | | 100 | | |

| | | | | | | | | | | | |
|---|---|---|---|---|---|---|---|---|---|---|---|
| 24 | 1 CB | Cabeza completa con ojos, nariz y boca vacios |  | | | 7 | | | 93 | | |
| 25 | O | Cara completa, con arrugas y simbolo en mejilla, ojos cerrados |  | | | | | | 64 | 36 | |
| 26 | O | Tocado con cabello de "pageboy" y ojo |  | | | | | | 36 | 64 | |
| 27 | O | Tocado con cabello ("pageboy") |  | | | | | | 5 | 95 | |

| | | | | | | | | | | | |
|---|---|---|---|---|---|---|---|---|---|---|---|
| 28 | O | Figurilla completa |   | | | | | | 56 | 44 | |
| 29 | O | Cabeza de animal con tocado |  | | | 3 | | | 36 | 61 | |
| 30 | O | Cabeza de figurilla con tocado (posible casco) y cuatro orificios para colgar |  | | | | | | 13 | 87 | |
| 31 | G | Fragmento de cara: nariz y boca |  | | | | | 11 | 89 | | |

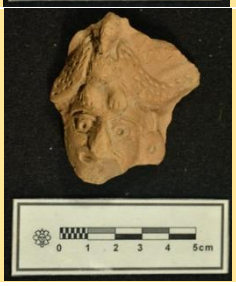
| | | | | | | | | | | | | |
|---|---|---|---|---|---|---|---|---|---|---|---|---|
| 32 | O | Cara completa, cabeza y tocado, arrugas y posibles ojos cerrados |  | | | 11 | | | 45 | 44 | |
| 33 | O | Cara completa, tocado y cabeza, pintura roja |  | | | | | | 100 | | |
| 34 | O | Cara completa con tocado de ave elaborado |  | | 1 | | | 99 | | | |

**Tabla 6.22. Maquetas**

| Datos de las Figurillas | | | | Datación de la cerámica asociada (% de cada periodo) | | | | | | | |
|---|---|---|---|---|---|---|---|---|---|---|---|
| # de tipo | Pasta | Notas | Foto | LF | TFto | TFdo | TF | EC | LC | EPC | LPC |
| 35 | O | Maqueta con pintura roja y blanca |  | | | | | 3 | 43 | 54 | |

| | | | | | | | | | | | |
|---|---|---|---|---|---|---|---|---|---|---|---|
| 36 | O | Ornamento tubular con dos picos, parte de maqueta |  | | | | | | 13 | 87 | |
| 37 | O | Maqueta con pintura roja |  | | | | | | 19 | 81 | |
| 38 | O | Maqueta con pintura blanca |  | | | | | | 24 | 76 | |
| 39 | O | ¿Posible pieza de maqueta? |  | | | 12 | | 6 | 88 | | |
| 40 | O | Fragmento con cuatro picos y pintura blanca, parte de maqueta? |  | | | 3 | | | 10 | 89 | |

**Tabla 6.23. Instrumentos musicales**

| Datos de las Figurillas | | | | Datación de la cerámica asociada (% de cada periodo) | | | | | | | |
|---|---|---|---|---|---|---|---|---|---|---|---|
| # de tipo | Pasta | Notas | Foto | FM | FT | FTto | FTtd | CTo | CTd | PCTo | PCtd |
| 41 | O | Flauta antropomorfa de cara extraña con lengua salida y erosiones intensionales |  | | 3 | | | | 95 | 3 | |
| 42 | O | Flauta antropomorfa de pie |  | | | | | | 96 | 4 | |
| 43 | O | Flauta transicional, posible guajolote |  | | | 1 | | | 99 | | |
| 44 | O | Silbato de posible oruga |  | 5 | | | | 1 | 37 | 57 | |

| | | | | | | | | | | | |
|---|---|---|---|---|---|---|---|---|---|---|---|
| 45 | O | Silbato antropomorfo de pie derecho y fragmento de falda |  | | | | | | 60 | 40 | |
| 46 | O | Silbato antropomorfo con fragmento de vestimenta |  | | | | | | 63 | 37 | |
| 47 | O | Silbato antropomorfo de molde con pie izquierdo y parte de vestimenta |  | | | | | | 70 | 30 | |
| 48 | O | Silbato antropomorfo múltiple de gemelos |  | | | | | | 100 | | |
| 49 | O | Silbato antropomorfo con cuerpo completo |  | | 2 | | | | 98 | | |
| 50 | O | Silbato antropomorfo de pie y fragmento de falda |  | | | | | | | | |

| | | | | | | | | | | | |
|---|---|---|---|---|---|---|---|---|---|---|---|
| 51 | O | Silbato zoomorfo, posible codorniz |  | | | | | 1 | 60 | 39 | |
| 52 | G | Silbato zoomorfo de ave |  | | | | | | 19 | 81 | |
| 53 | O | Silbato antropomorfo de pie y fragmento de falda |  | | | | 2 | 2 | 45 | 51 | |
| 54 | O | Silbato antropomorfo con falda, mano y pies |  | | | 13 | | | 87 | | |
| 55 | O | Silbato antropomorfo de cuerpo |  | | | | | | 100 | | |
| 56 | O | Silbato antropomorfo con extremidades superiores e inferiores, parece estar sentado |  | | | | | | 27 | 73 | |

| | | | | | | | | | | | |
|---|---|---|---|---|---|---|---|---|---|---|---|
| 57 | O | Silbato antropomorfo de pie con parte de vestimenta |  | | | 8 | | | 79 | 13 | |
| 58 | O | Silbato antropomorfo con falda, mano y pies |  | | | 1 | | 1 | 58 | 40 | |
| 59 | O | Silbato zoomorfo de ave |  | | | | | | 100 | | |
| 60 | O | Silbato zoomorfo, posible ave |  | | | | | | 23 | 77 | |
| 61 | O | Silbato antropomorfo con pie izquierdo |  | | 0 | | | 1 | 99 | | |

| | | | | | | | | | | | |
|---|---|---|---|---|---|---|---|---|---|---|---|
| 62 | O | Silbato antropomorfo con cuerpo completo, de molde |  | | | | | 2 | 98 | | |
| 63 | O | Silbato antropomorfo con falda |  | | | | | 1 | 99 | | |
| 64 | O | Silbato antropomorfo fragmentado, de molde, pie izquierdo y parte de vestimenta |  | | | | | | 100 | | |
| 65 | O | Silbato antropomorfo de molde con pie izquierdo y parte de vestimenta |  | | | 6 | | 6 | 88 | | |
| 66 | O | Silbato antropomorfo con la mitad inferior de cuerpo |  | | | | | | 100 | | |
| 67 | O | Silbato antropomorfo con fragmento de vestimenta |  | | | | | 2 | 98 | | |

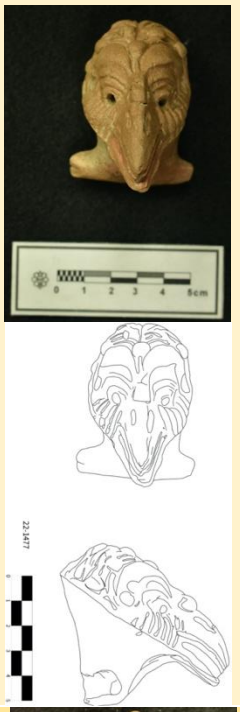
| | | | | | | | | | | | |
|---|---|---|---|---|---|---|---|---|---|---|---|
| 68 | O | Silbato antropomorfo de gemelos |  | | | | 0 | 1 | 99 | | |
| 69 | O | Silbato antropomorfo con vestimenta y pie |  | | | | | | 100 | | |
| 70 | 2 O | Silbato antropomorfo de pie? / Silbato de cuerpo de animal con orificios para colgar |   | | | | | | 100 | | |
| 71 | O | Silbato antropomorfo con la mitad inferior de cuerpo, de molde |  | | | | | | 100 | | |
| 72 | O | Silbato antropomorfo con cuerpo con una extremidad superior y una inferior, presencia de pintura blanca |  | | | | | | 100 | | |

| | | | | | | | | | | | |
|---|---|---|---|---|---|---|---|---|---|---|---|
| 73 | O | Dos fragmentos del silbato antropomorfo pero misma figurilla, parte superior con brazo en cintura y parte inferior con maxtlatl |  | | | | 3 | | 97 | | |

**Tabla 6.24. Figurillas con forma de Guajolote**

| Datos de las Figurillas | | | | Datación de la cerámica asociada (% de cada periodo) | | | | | | | |
|---|---|---|---|---|---|---|---|---|---|---|---|
| # de tipo | Pasta | Notas | Foto | FM | FT | FTto | FTtd | CTo | CTd | PCTo | PCtd |
| 74 | O | Cabeza de guajolote |  | | | | | | 53 | 47 | |
| 75 | O | Cabeza de guajolote |  | | 3 | | | | 58 | 40 | |
| 76 | O | Cabeza de guajolote |  | | | | | | 100 | | |

| | | | | | | | | | | | |
|---|---|---|---|---|---|---|---|---|---|---|---|
| 77 | O | Cabeza de guajolote |  | | | | 8 | | 92 | | |
| 78 | O | Cabeza de guajolote |  | | | | | | 64 | 36 | |
| 79 | O | Cabeza de guajolote |  | | | 4 | | | 96 | | |
| 80 | O | Cabeza de guajolote, quemada lado izquierdo |  | | | | 86 | | 14 | | |

| | | | | | | | | | | | |
|---|---|---|---|---|---|---|---|---|---|---|---|
| 81 | O | Cabeza de guajolote |  | | | | 3 | | 57 | 41 | |
| 82 | O | Cabeza de guajolote |  | | | | | | 35 | 65 | |
| 83 | O | Cabeza de guajolote |  | 1 | | | | | 99 | | |
| 84 | O | Cabeza de guajolote |  | | 10 | | | 10 | 80 | | |

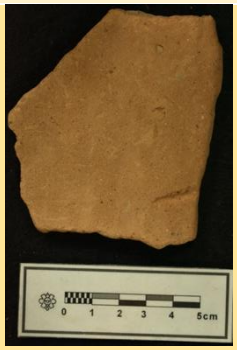
| | | | | | | | | | | | |
|---|---|---|---|---|---|---|---|---|---|---|---|
| 85 | O | Cabeza de guajolote |  | | | | | | 100 | | |
| 86 | O | Dos fragmentos de cabeza de guajolote |  | | | | | | 100 | | |
| 87 | O | Cara completa de guajolote y cabeza, ojos vacíos |  | | | | | 2 | 98 | | |
| 88 | O | Cabeza de guajolote |  | | | | | | 50 | 50 | |
| 89 | O | Cabeza y parte de cuerpo de guajolote, posible tocado |  | | | | | | 100 | | |

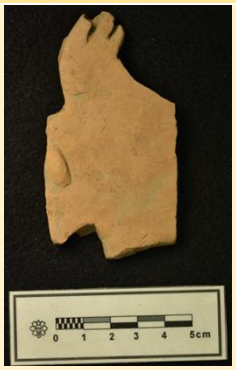
| | | | | | | | | | | | |
|---|---|---|---|---|---|---|---|---|---|---|---|
| 90 | O | Cabeza de guajolote |  | | | | | | 100 | | |
| 91 | O | Cabeza de guajolote |  | | | | | | 100 | | |
| 92 | O | Guajolote completo |  | | | | | | 100 | | |
| 93 | O | Fragmento de cabeza de guajolote |  | | | | | | 100 | | |
| 94 | O | Cabeza de guajolote |  | | | | | | 88 | 12 | |
| 95 | O | Cabeza de guajolote |  | | | | | | 23 | 77 | |

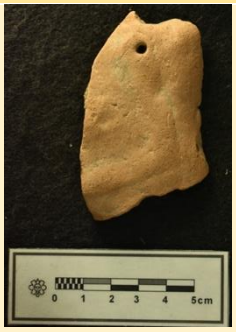
Este tipo de figurilla fue un descubrimiento relevante de la temporada debido a la diversidad de tamaños y formas registradas. Estas pueden presentar rostros o cuerpos de diversos tamaños con relieves o completamente planas (Tabla 6.25).

Otro aspecto relevante de este tipo de artefactos es que a pesar del tamaño que presente, ya sea grande o pequeño, siempre cuenta con orificios que podrían haberse utilizado para colgarlas a modo de pendientes.

**Tabla 6.25. Figurillas planas**

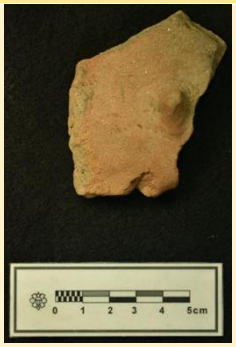
| Datos de las Figurillas | | | | Datación de la cerámica asociada (% de cada periodo) | | | | | | | |
|---|---|---|---|---|---|---|---|---|---|---|---|
| # de tipo | Pasta | Notas | Foto | FM | FT | FTto | FTtd | CTo | CTd | PCTo | PCtd |
| 96 | O | Figurilla plana |  | 5 | | | | 1 | 37 | 57 | |
| 97 | O | Figurilla plana con cara |  | | | | | | 14 | 86 | |
| 98 | O | Figurilla plana |  | | 2 | 2 | 6 | 4 | 20 | 67 | |

| | | | | | | | | | | | |
|---|---|---|---|---|---|---|---|---|---|---|---|
| 99 | O | Figurilla plana |  | | | | | | 30 | 70 | |
| 100 | O | Figurilla plana |  | | | 1 | | 1 | 39 | 59 | |
| 101 | 2 O | 2 Figurilla plana |  | | | 1 | | 1 | 39 | 59 | |
| 102 | O | Figurilla plana |  | | | | | | 14 | 46 | |
| 103 | O | Figurilla plana |  | | | | | | 53 | 47 | |

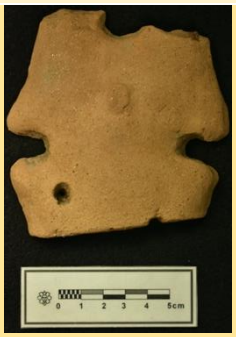
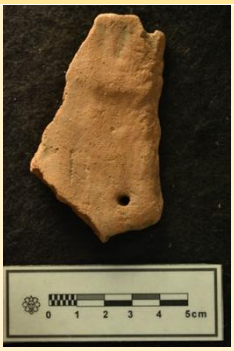
| | | | | | | | | | | | | |
|---|---|---|---|---|---|---|---|---|---|---|---|---|
| 104 | O | Figurilla plana |  | | | 6 | | | 29 | 65 | | |
| 105 | 3 O | 3 Figurilla plana |  | | | | | 5 | 20 | 75 | | |
| 106 | O | Figurilla plana |  | | | | | | 30 | 70 | | |
| 107 | O | Figurilla plana |  | | | | | | 18 | 82 | | |
| 108 | O | Figurilla plana |  | | | | | 3 | 53 | 44 | | |

| | | | | | | | | | | | |
|---|---|---|---|---|---|---|---|---|---|---|---|
| 109 | 2 O | 2 Figurilla plana |  | | | | | | 27 | 73 | |
| 110 | O | Figurilla plana |  | | | | | | 16 | 84 | |
| 111 | O | Figurilla plana |  | | | | | | 11 | 89 | |
| 112 | O | Figurilla plana |  | | | 4 | | 2 | 44 | 51 | |

| | | | | | | | | | | | |
|---|---|---|---|---|---|---|---|---|---|---|---|
| 113 | O | Figurilla plana |  | | | | | | 50 | 50 | |
| 114 | O | Figurilla plana |  | | | 4 | | | 28 | 68 | |
| 115 | O | Figurilla plana |  | | | | 2 | | 45 | 53 | |
| 116 | O | Figurilla plana |  | | | | | | 50 | 50 | |
| 117 | O | Figurilla plana |  | | | | | | 50 | 50 | |
| 118 | O | Figurilla plana |  | | | | | | 60 | 40 | |

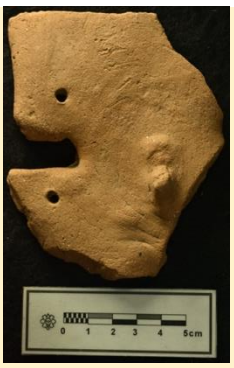
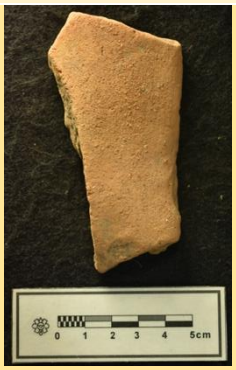
| | | | | | | | | | | | |
|---|---|---|---|---|---|---|---|---|---|---|---|
| 119 | O | Figurilla plana |  | | | 1 | | | 55 | 44 | |
| 120 | O | Figurilla plana |  | | | | | | 23 | 77 | |
| 121 | 2 O | Figurilla plana |  | | | | | | 70 | 30 | |
| 122 | O | Figurilla plana |  | | | | | | | | |
| 123 | O | Figurilla plana |  | | | | | | 67 | 33 | |

| | | | | | | | | | | | |
|---|---|---|---|---|---|---|---|---|---|---|---|
| 124 | O | Figurilla plana |  | | | | | 3 | 43 | 54 | |
| 125 | O | Figurilla plana |  | | | | | | 57 | 43 | |
| 126 | O | Figurilla plana |  | | | | | | 46 | 54 | |
| 127 | O | Figurilla plana |  | | | | | | 47 | 53 | |
| 128 | O | Figurilla plana |  | | | | | 2 | 71 | 27 | |

| | | | | | | | | | | | |
|---|---|---|---|---|---|---|---|---|---|---|---|
| 129 | O | Figurilla plana |  | | | | | | 23 | 77 | |
| 130 | O | Figurilla plana |  | | | | 2 | 2 | 45 | 51 | |
| 131 | O | Figurilla plana |  | | | | | | 44 | 56 | |
| 132 | O | Figurilla plana |  | | | | | | 44 | 56 | |
| 133 | O | Figurilla plana |  | | | | | | 39 | 61 | |

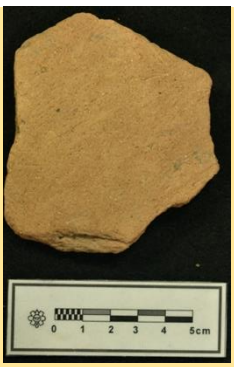
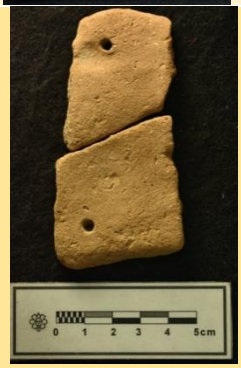
| | | | | | | | | | | | | |
|---|---|---|---|---|---|---|---|---|---|---|---|---|
| 134 | 2 O | Figurilla plana |  | | | | | | 32 | 68 | |
| 135 | O | Figurilla plana |  | | | | 1 | 2 | 26 | 71 | |
| 136 | O | Figurilla plana |  | | | | | | 12 | 88 | |
| 137 | O | Figurilla plana |  | | | | | | 35 | 65 | |
| 138 | O | Figurilla plana |  | | | | | | 33 | 67 | |

| | | | | | | | | | | | |
|---|---|---|---|---|---|---|---|---|---|---|---|
| 139 | O | Figurilla plana |  | | | | | | 50 | 50 | |
| 140 | O | Figurilla plana |  | | | 5 | | 2 | 93 | | |
| 141 | O | Figurilla plana |  | | | | | | 60 | 40 | |
| 142 | O | Figurilla plana |  | | | | | | 42 | 58 | |

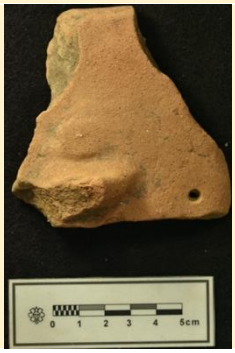
| | | | | | | | | | | | |
|---|---|---|---|---|---|---|---|---|---|---|---|
| 143 | O | Figurilla plana |  | | | 5 | | 5 | 41 | 49 | |
| 144 | O | Figurilla plana |  | | | 5 | | | 77 | 18 | |
| 145 | O | Figurilla plana |  | | | 3 | | | 73 | 24 | |
| 146 | O | Figurilla plana |  | | | | | | 78 | 22 | |
| 147 | O | Figurilla plana |  | | | 1 | | 1 | 58 | 40 | |

| | | | | | | | | | | | |
|---|---|---|---|---|---|---|---|---|---|---|---|
| 148 | O | Figurilla plana |  | | | | | 1 | 85 | 14 | |
| 149 | O | Figurilla plana |  | | | 7 | | | 93 | | |
| 150 | O | Figurilla plana |  | | | | 13 | | 40 | 47 | |
| 151 | O | Figurilla plana |  | | | | | | 2 | 76 | |
| 152 | O | Figurilla plana |  | | | | | | 17 | 83 | |

| | | | | | | | | | | | |
|---|---|---|---|---|---|---|---|---|---|---|---|
| 153 | O | Figurilla plana |  | | | | | | 33 | 67 | |
| 154 | O | Figurilla plana |  | | | | | | 37 | 63 | |
| 155 | O | Figurilla plana |  | | | | | | 12 | 88 | |
| 156 | O | Figurilla plana |  | | | | | | 18 | 82 | |
| 157 | O | Figurilla plana con cara |  | | | | | | 25 | 75 | |

| | | | | | | | | | | | |
|---|---|---|---|---|---|---|---|---|---|---|---|
| 158 | O | Figurilla plana |  | | | | | | 16 | 84 | |
| 159 | 2 O | 2 Figurilla plana |  | | | 1 | | | 23 | 76 | |
| 160 | O | Figurilla plana |  | | | | | | 20 | 80 | |

| | | | | | | | | | | | | |
|---|---|---|---|---|---|---|---|---|---|---|---|---|
| 161 | O | Figurilla plana |  | | | 4 | | | 92 | 4 | |
| 162 | O | Figurilla plana |  | | 2 | | | | 20 | 79 | |
| 163 | O | Figurilla plana |  | | | | | | 32 | 68 | |
| 164 | O | Figurilla plana |  | | | | | | 23 | 77 | |
| 165 | O | Figurilla plana |  | | | | | | 34 | 66 | |

| | | | | | | | | | | | |
|---|---|---|---|---|---|---|---|---|---|---|---|
| 166 | O | Figurilla plana |  | | | | | | 30 | 70 | |
| 167 | O | Figurilla plana de superficie |  | | | | | | | | |
| 168 | O | Figurilla plana |  | | | | | | 8 | 92 | |

## 6.5 Descripción de la muestra total de figurillas

La siguiente clasificación de las figurillas del Proyecto Río Verde 2022 se organizó bajo las siguientes categorías: el número FS del contexto, la operación, la unidad y el lote, el material (figurillas u otros materiales diferentes), la pasta de la que están hechos los artefactos, la clasificación, unadescripción simple y notas más detalladas (Tabla 6.26).

En el apartado del material se detalla la cantidad de las figurillas. El numero del artefacto, notas sobre su embolsado o si existen más bolsas con el mismo número. El apartado de la pasta se concentra en los siguientes tipos de pasta: Café Gruesa, Anaranjada, Gris y Desconocido; En este apartado también

se incluyen el número de figurillas correspondientes a cada tipo de pasta. A estos les sigue el apartado de la clasificación, este se concentra en figurillas de los siguientes tipos: Antropomorfa (A), Zoomorfa (Z), Transicional (T), Múltiple (M), Otro (O), Desconocido (D), Molde (Mo), Plana (P), Supernatural (S) y Motivos fuera del personaje principal (MF). Después, se continúa con la descripción ”simple” de las figurillas, esta describe las porciones presentes de la figurilla con base en una Descripción de Motivos Centrales,con el objetivo de abreviar, se utilizan las siguientes claves : Cabeza (C), Brazo (B), Extremidad Superior (ES), Cuerpo (Cu), Extremidad Inferior (EI), Completa (Co), Tocado (T), Adorno (A), Fragmento de cuerpo (FCu), Fragmento de cabeza (FC) y Cara (Ca). Tomando en cuenta los elementos exteriores se decide incluir a la descripción anterior la Descripción de Motivos Secundarios utilizando las siguientes claves: Adornos de tocado (AT), Adornos de vestimenta (AV), Adorno exterior (AE), Motivos secundarios que se unen a la descripción de motivos centrales (MS); En esta descripción también se incluye el número de figurillas que cae en cada categoría. Finalmente, en el apartado de Notas se incluye la descripción detallada de cada elemento..

**Tabla 6.26. Tabla completa de figurillas**

| # FS | Op. | Unidad | Lote | Material | Pasta | Clasificación | Descripción | Notas |
|---|---|---|---|---|---|---|---|---|
| **22-6236** | A | F16 | 8 | 1 Figurilla | 1 G | Z | FC | Fragmento de cabeza de ave |
| **22-1098** | A | F16 | 10 | 3 Figurilla | 3 O | 1 A / 2 Z | FCu y Ca / 2 C | Cara casi completa, parte de tocado, orejera y collar / Cabeza de guajolote / Cabeza de ave |
| **22-1123** | A | F16 | 11 | Silbato/ Figurilla, Figurilla | 1 O / 1 G | 1 Z / 1 A | 1C y 1Cu / 1C y 1T | Posible oruga / Cabeza y cara presente con tocado |
| **22-92** | A | F16 | 11 | 2 Figurilla | 2 O | Am / P | | |
| **22-95** | A | F16 | 12 | 3 Figurilla | 3 O | 1 A / 1 Z / 1 M | C / FC / B, ES y C | Cabeza completa con cara, orejeras y tocado, presenta pintura roja / Cabeza de búho / Brazo con brazalete sosteniendo a bebé |

| | | | | | | | | |
|---|---|---|---|---|---|---|---|---|
| **22-1168** | A | F16 | 15 | 1 Figurilla | 1 O | A | C | Cara completa con posible cabello y tocado |
| **22-380** | A | F23 | 2 | 1 Figurilla | 1 G | Am | A? | Adorno con relieve en zigzag y pintura roja |
| **22-2669** | A | F23 | 2 | 1 Figurilla | 1 O | A | C | Cabeza de humano? Importación? |
| **22-2684** | A | F23 | 3 | 2 Figurilla | 2 O | Z / P | C / Ca? | Cabeza de ave / Figurilla plana con cara? |
| **22-511** | A | F23 | 4 | 1 Figurilla y Ornamento tubular | 1 O | P | | |
| **22-2811** | A | F23 | 5 | 1 Figurilla | 1 O | A | Ca y T | Fragmento de cara y tocado |
| **22-243** | A | F23 | 6 | 1 Figurilla | 1 O | Z | FCu | Cuerpo de ave |
| **22-2823** | A | F23 | 6 | 1 Figurilla | 1 G | Am | C | Cabeza con ojos, nariz y boca |
| **22-296** | A | F23 | 7 | 1 Figurilla | 1 O | A | ES | Mano extendida con brazalete |
| **22-272** | A | F23 | 10 | 1 Figurilla | 1 G | Am | | |
| **22-293** | A | F23 | 11 | 1 Figurilla | 1 O | A | Ca | Fragmento de cara: ojo |
| **22-887** | A | F23 | 12 | 1 Figurilla | 1 O | A | T | |
| **22-447** | A | F24 | 3 | 2 Figurilla | 2 O | 2 P | | |
| **22-332** | A | F24 | 4 | 1 Figurilla | 1 O | A | T | Tocado elaborado |
| **22-360** | A | F24 | 7 | 1 Figurilla | 1 O | A | C | Cabeza completa con cara, forma extraña |
| **22-911** | A | F24 | 8 | 1 Figurilla | 1 O | P | | |
| **22-141** | A | F24 | 8 | 2 Figurilla, Soporte y Bolita de cerámica | 2 O | 2 P | | |

| | | | | | | | | |
|---|---|---|---|---|---|---|---|---|
| **22-130** | A | F24 | 10 | 1 Figurilla | 1 O | O | | Maqueta con pintura blanca |
| **22-6087** | A | F24 | 14 | 1 Figurilla | 1 O | A | ES | |
| **22-188** | A | F24 | 15 | 1 Figurilla | 1 O | A? | A? | Adorno de vestimenta? |
| **22-906** | A | F24 | 16 | 1 Figurilla y asa | 1 O | P | | |
| **22-267** | A | F24 | 18 | 1 Figurilla | 1 O | A | FCu | De molde, parte de vestimenta |
| **22-96** | A | I16 | 11 | 1 Figurilla | 1 O | A | T | Fragmento de tocado |
| **22-1131** | A | I16 | 11 | 1 Figurilla | 1 O | Z | C | Cabeza de ave |
| **22-1114** | A | I16 | 12 | 1 Figurilla y soporte | 1 O | A | C y T | Cara completa |
| **22-648** | A | I16 | 13 | 2 Figurilla y Silbato | 1 O / 1 G | P / A | ES | Mano extendida |
| **22-751** | A | I16 | 16 | 3 Figurilla | 3 O | 2 A / 1 Am | 2 T | Dos fragmentos de tocados |
| **22-3861** | A | I16 | 17 | 1 Figurilla | 1 O | Z | C | Cabeza de coyote? |
| **22-63** | A | I17 | 4 | 1 Figurilla | 1 G | Z | C | Cabeza de ave |
| **22-619** | A | I19 | 1 | 1 Figurilla | 1 O | P | EI | |
| **22-129** | A | I19 | 2 | 1 Figurilla | 1 O | A | Ca | Fragmento de cara: nariz y boca |
| **22-151** | A | I19 | 4 | 2 Figurilla y Orejera | 2 O | 1 A / 1 Am | FCu | Fragmento de vestimenta con adornos |
| **22-517** | A | I19 | 5 | 4 Figurilla y Orejera | 4 O | 4 P | | |
| **22-733** | A | I19 | 6 | 1 Figurilla | 1 O | P | | |
| **22-734** | A | I19 | 6 | 1 Figurilla | 1 O | A | ES | Mano |
| **22-625** | A | I19 | 7 | 1 Figurilla | 1 O | A | Ca | Fragmento de cara: nariz |

| | | | | | | | | |
|---|---|---|---|---|---|---|---|---|
| **22-2941** | A | I19 | 8 | 1 Figurilla | 1 O | Z | C | Cabeza de felino |
| **22-795** | A | I19 | 8 | 3 Figurilla | 3 O | 1 Am / 2 P | | |
| **22-2011** | A | I20 | 1 | 1 Figurilla | 1 O | Z | EI | Pata de ave? |
| **22-1699** | A | I21 | 2 | 1 Figurilla | 1 O | A | T y Ca | Fragmento de cara y tocado |
| **22-278** | A | I21 | 3 | 1 Figurilla | 1 O | P | | |
| **22-1814** | A | I21 | 3 | 1 Figurilla | 1 O | Z? | Co | Animal? |
| **22-3301** | A | I22 | 2 | 1 Figurilla | 1 G | A | C | Importación Teotihuacán, cara y cabeza completas |
| **22-569** | A | I22 | 2 | 3 Figurilla | 3 O | 3 P | | |
| **22-600** | A | I22 | 3 | 1 Figurilla y orejera | 1 O | P | | |
| **22-565** | A | I22 | 4 | 1 Figurilla | 1 O | P | | |
| **22-708** | A | I22 | 7 | 4 Figurilla | 3 O / 1 G | 2 A / 1 Am / 1 P | ES / FCu | Pierna larga con pie / Mitad inferior de cuerpo con calzón |
| **22-308** | A | I23 | 1 | 2 Figurilla | 2 O | 2 A? | 2 B? | |
| **22-1839** | A | I23 | 3 | 1 Figurilla | 1 O | P | | |
| **22-780** | A | I24 | 1 | 1 Figurilla | 1 O | P? A? | FCu? | Adornos de vestimenta? |
| **22-467** | A | J13 | 2 | 1 Figurilla | 1 O | A | T | Tocado |
| **22-2278** | A | J13 | 2 | 2 Figurilla | 2 O | 2 A | C / Ca | Cabeza completa con cara, orejas y peinado / Fragmento de cara con ojo, nariz, boca y orejera |
| **22-253** | A | J13 | 3 | 4 Figurilla | 4 O | 4 A | 1 B / 2 FCu / 1 A | Brazo con adorno / Parte de vestimenta / Parte de collar / Orejera de figurilla |
| **22-74** | A | J17 | 4 | 2 Figurilla | 2 O | 2 A | 2 FCu | Parte de brazo y orejera / Tocado o Vestimenta |

| | | | | | | | | |
|---|---|---|---|---|---|---|---|---|
| **22-442** | A | J17 | 5 | Silbato/ Figurilla y 2 figurillas | 3 O | 2 A / 1 Z | C (Z) / T / EI y FCu | Cabeza de ave / Fragmento de tocado / Pie erecho y fragmento de falda |
| **22-423** | A | J17 | 6 | Silbato/ Figurilla y 3 figurillas | 4 O | 4 A | T / A / 2 FCu | Fragmento de tocado / Posible adorno de vestimenta / Fragmento de vestimenta con collar / Silbato antropomorfo con fragmento de vestimenta |
| **22-435** | A | J17 | 7 | 2 Figurilla | 2 O | 1 A / 1 Am | ES | Mano extendida con brazalete |
| **22-310** | A | J17 | 8 | 1 Figurilla y Bolita de cerámica | 1 O | A | T | Fragmento de tocado |
| **22-477** | A | J17 | 8 | 1 Figurilla | 1 O | P | | |
| **22-2234** | A | J17 | 10 | 3 Figurilla | 3 O | 2 A / 1 Z | Ca / FCu / C (Z) | Cara completa, ojos vacíos / Figurilla femenina por cuerpo, quechquemitl y falda / Cabeza de murciélago |
| **22-473** | A | J17 | 10 | 1 Figurilla y ornamento tubular | 1 G | A | FCu | Orejera de figurilla |
| **22-261** | A | J17 | 13 | 2 Figurilla | 2 O | 1 A / 1 Am | FCu / A | Fragmento de falda / Posible adorno |
| **22-237** | A | J17 | 14 | 3 Figurilla | 3 O | 2 A / 1 Am | FCu / Ca / A? | Cara casi completa y parte de tocado / Orejera de figurilla? / Lado de figurilla |
| **22-2403** | A | J17 | 16 | 3 Figurilla y Cascabel | 3 O | 3 A | 1 C / 2 Ca | Cabeza completa con cara, forma extraña / Fragmento de cara y tocado / Cara completa con tocado puntiagudo |
| **22-195** | A | J19 | 4 | 1 Figurilla | 1 G | Z | C | Cabeza de tortuga |
| **22-556** | A | J19 | 5 | 1 Figurilla | 1 O | P | | |
| **22-485** | A | J19 | 5 | 2 Figurilla | 2 O | 1 A / 1 P | FCu | Orejera de figurilla |
| **22-478** | A | J19 | 6 | 2 Figurilla | 2 G | 1 A / 1 Am | C / FCu | Cara completa y cabeza / Posible fragmento de parte derecha de cuerpo |
| **22-3064** | A | J19 | 7 | 1 Figurilla | 1 O | Z | C | Cabeza de guajolote |
| **22-3219** | A | J19 | 8 | 1 Figurilla | 1 O | A | FCu y EI | De molde, fragmento de cuerpo y pies |

| | | | | | | | | |
|---|---|---|---|---|---|---|---|---|
| **22-418** | A | J19 | 8 | 3 Figurilla | 3 O | 2 A / 1 Am | 2 T | Dos fragmentos de tocado |
| **22-3105** | A | J19 | 9 | 2 Figurilla | 2 O | A / Am | C | Cabeza completa con cara, orejas y peinado? Cara gorda |
| **22-792** | A | J19 | 9 | 3 Figurilla y 2 Ornamento tubular | 3 O | 1 A / 1 Mo / 1 P | ES | Mano extendida con brazalete / Fragmento de Molde |
| **22-813** | A | J19 | 10 | 4 Figurilla | 2 O / 2 G | 2 P / 2 A | 1 T / 1 FCu | Fragmento de tocado / Fragmento de vestimenta |
| **22-234** | A | J20 | 2 | 1 Figurilla | 1 O | A | B | Brazo con brazalete |
| **22-3012** | A | J21 | 2 | 1 Figurilla | 1 O | A | C y T | Expresión gritando |
| **22-486** | A | J22 | 3 | 1 Figurilla | 1 O | Am | EI? | |
| **22-683** | A | J22 | 9 | 3 Figurilla | 3 O | 1 A / 2 Am | Ca | Fragmento de cara con ojo |
| **22-745** | A | J22 | 10 | 3 Figurilla y Ornamento tubular | 3 O | 2 A / 1 P | T / FCu | Fragmento de tocado / Orejera de figurilla |
| **22-3838** | A | J22 | 11 | 1 Figurilla | 1 G | T? | C | Cabeza de animal con tocado? |
| **22-769** | A | J22 | 13 | 1 Figurilla | 1 O | A | EI | Pie con parte de vestimenta |
| **22-368** | A | K17 | 3 | 4 Figurilla | 4 O | 1 A o S / 1 Mo / 2 Am | B y FCu / 2 A | Dios gordo? Fragmento de brazo y cuerpo con vestimenta particular / Posible adorno / Adorno como flor |
| **22-363** | A | K17 | 5 | 1 Figurilla y Orejera | 1 O | A | T | Fragmento de tocado con orejera |
| **22-388** | A | K17 | 6 | 2 Figurilla | 2 CB | 1 A / 1 Am | 1 Ca / 1 A? | Figuras planas |
| **22-366** | A | K17 | 7 | 4 Figurilla | 4 O | 1 A / 1 Am / 2 P | FCu | Fragmento de vestimenta con adornos y orificio para colgar |
| **22-2619** | A | K17 | 7 | Silbato/ Figurilla y 2 Figurilla | 2 O / 1 G | 3 A | EI / 2 FCu | Silbato antropomorfo de molde con pie izquierdo y parte de vestimenta / Fragmento de Maxtlatl? / Fragmento de armadura de algodón |
| **22-2634** | A | K17 | 9 | 2 Figurilla | 2 O | 2 A | Ca / T | Fragmento de cara: ojo, nariz y boca / Fragmento de tocado |

| | | | | | | | | |
|---|---|---|---|---|---|---|---|---|
| **22-383** | A | K17 | 9 | 2 Figurilla | 2 O | 2 A | 2 T | Dos fragmentos de tocado |
| **22-428** | A | K17 | 10 | 2 Figurilla | 2 O | 2 A | 2 FCu | Collar / Falda? |
| **22-2660** | A | K17 | 11 | 1 Figurilla | 1 O | A | FCu | Orejera de figurilla con fragmento de tocado |
| **22-384** | A | K17 | 11 | 3 Figurilla | 3 O | 2 A / 1 Am | T / FCu | Fragmento de tocado / Orejera de figurilla con adorno exterior |
| **22-456** | A | K17 | 12 | 2 Figurilla | 2 O | 2 Am | | |
| **22-2679** | A | K17 | 16 | 1 Figurilla | 1 O | Z | C | Cabeza de guajolote |
| **22-387** | A | K17 | 17 | 2 Figurilla | 2 O | 2 A | 1 T / 1 FCu | Fragmento de tocado / Pie con vestimenta |
| **22-182** | A | K17 | 21 | 4 Figurilla | 4 O | 1 A / 1 Z / 1 AE? / 1 P | ES / C | Mano extendida / Cabeza de ave / Posible adorno exterior |
| **22-402** | A | K19 | 2 | 2 Figurilla | 2 O | 1 A / 1 Am | T | Tocado elaborado |
| **22-531** | A | K19 | 3 | 1 Figurilla | 1 O | P | | |
| **22-397** | A | K19 | 4 | 5 Figurilla | 5 O | 4 A / 1 P | EI / 2 FCu / Ca | Pierna larga con pie / Dos fragmentos laterales con vestimenta / Mitad inferior de cara con nariz y boca |
| **22-3299** | A | K19 | 4 | 1 Figurilla | 1 O | Z | Co | Tortuga con glifos |
| **22-3870** | A | K22 | 2 | 1 Figurilla | 1 O | A | Ca | Cara completa |
| **22-810** | A | K22 | 4 | 1 Figurilla | 1 CB | A | C | Soporte antropomorfo, muy erosionado |
| **22-809** | A | K22 | 4 | 1 Figurilla | 1 O | AM | | |
| **22-3878** | A | K22 | 4 | 1 Figurilla | 1 O | A | C | Tres fragmentos de cabeza con cara completa y parte del tocado |
| **22-808** | A | K22 | 5 | 1 Figurilla y 2 Ornamento tubular | 1 O | Z? | Ca? | Ojo de animal? |
| **22-349** | A | K23 | 5 | 1 Figurilla | 1 O | A | T | Tocado |

| | | | | | | | | |
|---|---|---|---|---|---|---|---|---|
| **22-756** | A | K24 | 2 | 2 Figurilla | 2 O | 2 P | | |
| **22-789** | A | K24 | 3 | 1 Figurilla | 1 O | P | | |
| **22-782** | A | K24 | 3 | 1 Figurilla | 1 O | A | FC | Mitad de cabeza con cara, tocado y orejera, muy erosionada |
| **22-327** | A | L13 | 4 | 1 Figurilla | 1 O | Am | | |
| **22-324** | A | L13 | 5 | 7 Figurilla | 5 O / 2 G | 6 A / 1 M | 1 C / 1 EI / 2 A / 2 FCu / 1 Ca | Cabeza completa con tocado y orejeras / Una pierna / Dos adornos / Orejera de figurilla / Cuerpo de figurilla y parte de la segunda / Fragmento de cara |
| **22-224** | A | L13 | 7 | 3 Figurilla | 3 O | 1 A / 2 Am | Ca | Fragmento de cara: ojos, mechón de cabello y símbolo en frente |
| **22-250** | A | L13 | 8 | 1 Figurilla y ornamentos | 1 O | Am | | |
| **22-1565** | A | L13 | 8 | 2 Figurilla | 2 O | 1 A / 1 Z | Cu / C | De molde, cuerpo y extremidades completas / Cabeza de guajolote |
| **22-270** | A | L13 | 9 | 1 Figurilla | 1 O | A | A | |
| **22-703** | A | L13 | 10 | 1 Figurilla | 1 O | A | C | Cara completa y cabeza, parte de tocado y orejera |
| **22-222** | A | L13 | 16 | 2 Figurilla | 2 O | 1 Am / 1 MF | AE | Adorno exterior a motivos principales |
| **22-100** | A | L15 | 2 | 1 Figurilla | 1 O | A | T | Dos fragmentos del mismo tocado |
| **22-1842** | A | L17 | 1 | 1 Figurilla | 1 G | A | Ca | Fragmento de cara: nariz y boca |
| **22-190** | A | L18 | 2 | Figurilla | 1 O | P | | |
| **22-169** | A | L20 | 2 | 2 Figurilla | 2 O | 2 A | B y FCu / EI | Hombro derecho / Pierna y fragmento de vestimenta |
| **22-3611** | A | M10 | 2 | 1 Figurilla | 1 O | Z | C | Cabeza de murciélago |
| **22-214** | A | M11 | 1 | 1 Figurilla | 1 O | Am | | |
| **22-3413** | A | M11 | 2 | 1 Figurilla | 1 O | 1 Z | FC | Fragmento de cabeza de búho?, pintura presente |

| | | | | | | | | |
|---|---|---|---|---|---|---|---|---|
| **22-345** | A | M13 | 2 | 1 Figurilla, Silbato y Ornamento | 1 O | A | A | |
| **22-355** | A | M13 | 5 | 1 Figurilla | 1 O | A | FCu | Fragmento de vestimenta? |
| **22-2705** | A | M13 | 7 | 1 Figurilla | 1 O | Z | C | Felino |
| **22-583** | A | M14 | 3 | 2 Figurilla | 2 O | 2 A | T / Ca | Fragmento de tocado con líneas / Cara completa |
| **22-786** | A | M14 | 5 | 1 Figurilla | 1 O | Am | | |
| **22-3588** | A | M14 | 6 | 1 Figurilla | 1 O | A | ES, EI y FCu | De molde, manos, fragmento de cuerpo y pies, falda presente |
| **22-604** | A | M14 | 6 | 2 Figurilla | 2 O | 2 A | 2 FCu | Dos fragmentos de vestimentas |
| **22-3593** | A | M14 | 7 | Silbato/Figurilla | 1 O | M | C y Cu | Silbato antropomorfo múltiple de gemelos |
| **22-606** | A | M14 | 7 | 1 Figurilla | 1 O | Am | | |
| **22-6205** | A | M14 | 9 | 1 Figurilla | 1 G | A | B y ES | Brazo y mano |
| **22-2142** | A | M20 | 3 | 2 Figurilla | 2 O | 1 A / 1 Am | FCu | Fragmento de vestimenta |
| **22-203** | A | M20 | 4 | 1 Figurilla | 1 O | P | | |
| **22-3161** | A | M20 | 10 | 1 Figurilla | 1 O | Z | C | Posible guajolote |
| **22-1496** | A | MU1 | 1 | 1 Figurilla | 1 O | Z | C | Cabeza de guajolote |
| **22-69** | A | MU1 | 6 | 1 Figurilla | 1 O | A | EI | De molde: pie derecho |
| **22-328** | A | MU1 | 7 | 2 Figurilla | 2 O | 2 A? | 2 A? | Fragmentos de vestimenta? |
| **22-1591** | A | MU1 | 7 | 1 Figurilla | 1 O | A | C | Cabeza completa con cara, orejas y tocado |
| **22-1614** | A | MU1 | 8 | Silbato/Figurilla | O | A | Cu | Silbato antropomorfo con cuerpo completo |

| | | | | | | | | |
|---|---|---|---|---|---|---|---|---|
| **22-329** | A | MU1 | 8 | 1 Figurilla | 1 O | A | B y FCu | Brazo con brazalete, parte de collar y vestimenta |
| **22-55** | A | MU1 | 8 | 3 Figurilla | 2 O / 1 G | 2 A / 1 Am | B / ES | Brazo doblado con brazalete / Mano extendida y fragmento de falda |
| **22-33** | A | MU1 | 9 | 2 Figurilla | 2 O | 2 A | 2 T | Fragmento de tocado / Dos fragmentos del mismo tocado |
| **22-30** | A | MU1 | 10 | 1 Figurilla | 1 O | A | A | Posible parte de orejera |
| **22-1817** | A | MU1 | 11 | 2 Figurilla | 2 O | 2 A | 2 T | Dos fragmentos de tocado |
| **22-108** | A | MU1 | 20 | 1 Figurilla | 1 O | A | T | Fragmento de tocado, posible casco |
| **22-120** | A | MU1 | 23 | 1 Figurilla | 1 O | A | FCu | Fragmento de cuerpo con vestimenta |
| **22-154** | A | MU1 | 24 | Silbato/ Figurilla | 1 O | A | Posible Fcu y EI | |
| **22-2311** | A | MU10 | 1 | 1 Figurilla | 1 O | A | FCu | Hombro y orejera derecha |
| **22-2310** | A | MU10 | 1 | Silbato/ Figurilla | 1 O | Z | Co | Silbato zoomorfo, posible codorniz |
| **22-245** | A | MU10 | 1 | 2 Figurilla | 2 G | 2 A | FCu / EI | Parte de cuerpo con armadura de algodón, presencia de maxtlatl / Pie izquierdo, de molde |
| **22-321** | A | MU11 | 1 | 1 Figurilla | 1 O | A | B | Brazo con brazalete |
| **22-303** | A | MU11 | 2 | 1 Figurilla | 1 O | O | | Ornamento tubular con dos picos, parte de maqueta |
| **22-209** | A | MU11 | 3 | Figurilla y asa | 1 G | Z | C | Cabeza de animal con orejas paradas |
| **22-238** | A | MU11 | 4 | Silbato/ Figurilla y 2 figurillas | 1 O / 2 G | 1 A (O) / 1 Z / 1 Am | 1 T / 1 Co | Fragmento de tocado / Silbato zoomorfo de ave |
| **22-336** | A | MU11 | 4 | 1 Figurilla | 1 O | O | | Maqueta con pintura blanca |
| **22-219** | A | MU11 | 5 | 1 Figurilla | 1 O | Z | C y Cu | Búho |
| **22-221** | A | MU11 | 5 | 1 Figurilla | 1 O | O | | Maqueta con pintura blanca |

| | | | | | | | | |
|---|---|---|---|---|---|---|---|---|
| **22-3201** | A | MU11 | 9 | 1 Figurilla | 1 O | A | C y T | Cabeza de figurilla con tocado (posible casco) y cuatro orificios para colgar |
| **22-407** | A | MU12 | 1 | 1 Figurilla | 1 O | A | EI | Pie |
| **22-626** | A | MU12 | 2 | 1 Figurilla | 1 G | A | C | Cabeza completa con casco y collar |
| **22-726** | A | MU12 | 3 | 1 Figurilla | 1 O | P | | |
| **22-330** | A | MU13 | 5 | 1 Figurilla | 1 CB | A | B | Brazo curvo |
| **22-910** | A | MU13 | 6 | 1 Figurilla | 1 O | A | EI | Pintura blanca presente |
| **22-3314** | A | MU13 | 6 | 1 Figurilla | 1 O | A | C | Cara completa, cabeza y tocado, arrugas y posibles ojos cerrados |
| **22-515** | A | MU13 | 6 | 1 Figurilla y orejera | 1 O | A | AE | Adorno exterior a cuerpo |
| **22-3323** | A | MU13 | 7 | 2 Figurilla | 2 O | 2 Z | C y Co | Cabeza de ave / Figurilla de roedor |
| **22-571** | A | MU13 | 7 | 1 Figurilla | 1 O | A | FCu | Falda |
| **22-279** | A | MU15 | 1 | Figurilla | 1 O | A | B? | |
| **22-381** | A | MU16 | 3 | 1 Figurilla | 1 O | Am | | Parte de vestimenta? Decoración de ambos lados |
| **22-508** | A | MU16 | 4 | 9 Figurilla | 6 O | 3 A / 3 Am | T? / FCu / Ca | Posible tocado / Orejera de figurilla / Fragmento de cara con fragmento de tocado, parte de orejera y agujero para colgar |
| **22-340** | A | MU16 | 5 | Silbato/ Figurilla, 2 Figurilla y Cuenta | 3 O | 2 A / 1 P | T / FCu | Fragmento de tocado / Silbato antropomorfo |
| **22-723** | A | MU16 | 6 | 1 Figurilla | 1 O | P | | |
| **22-401** | A | MU16 | 6 | 1 Figurilla | 1 O | P | | Dos fragmentos de la misma figurilla |
| **22-365** | A | MU16 | 7 | 2 Figurilla y Orejera | 2 O | 1 A / 1 Z | AE / FCu | Decoración lateral fuera de motivos principales / Posible cuerpo de ave |

| | | | | | | | | |
|---|---|---|---|---|---|---|---|---|
| **22-909** | A | MU16 | 9 | 4 Figurilla | 4 O | 2 A / 2 Am | 1 ES / 1 M / 1 A | La mano está sosteniendo un artefacto tubular |
| **22-635** | A | MU16 | 9 | 1 Figurilla | 1 O | A | ES y FCu | Posible embarazada |
| **22-3698** | A | MU16 | 12 | 2 Figurilla | 2 O | 2 A | T y Ca / T | Tocado elaborado y parte de cara / Tocado sólido |
| **22-613** | A | MU16 | 12 | 1 Figurilla | 1 O | A | T | Fragmento de tocado |
| **22-960** | A | MU16 | 13 | 1 Figurilla | 1 O | P | | |
| **22-620** | A | MU16 | 13 | 3 Figurilla | 3 O | 2 A / 1 Am | Cu / T | Cuerpo de figurilla pequeña con falda / Tocado con relieves |
| **22-630** | A | MU16 | 14 | 1 Figurilla | 1 O | A | T | Fragmento de tocado |
| **22-773** | A | MU16 | 15 | 1 Figurilla y ornamento | 1 O | Am | | |
| **22-868** | A | MU16 | 17 | 3 Figurilla | 3 O | 2 A / 1 Am | B / T | Brazo doblado / Tocado |
| **22-3734** | A | MU16 | 17 | Silbato/Figurilla | 1 O | A | FCu | Silbato antropomorfo con falda, mano y pies |
| **22-647** | A | MU16 | 18 | 1 Figurilla | 1 O | A | FCu | Tres fragmentos de cuerpo femenino con vestimenta y mano |
| **22-644** | A | MU16 | 19 | 1 Figurilla | 1 O | A | FCu | Hombro derecho, orejera y collar |
| **22-591** | A | MU17 | 2 | 3 Figurilla | 2 O / 1 G | 1 A / 2 P | Ca | Mitad inferior de cara con nariz y boca |
| **22-3251** | A | MU17 | 3 | 2 Figurilla | 2 O | 2 A | C / C | Cara con ojos vacios / Cara con ojos rasgados |
| **22-559** | A | MU17 | 3 | 3 Figurilla, 2 Ornamentos tubulares y Soporte | 3 O | 1 A / 1 Am / 1 P | EI | Mano? |
| **22-469** | A | MU17 | 4 | 2 Figurilla, Mango, 2 orejeras | 2 O | 1 A / 1 Z | B y FCu / FC | Brazo y mano con brazalete, parte de collar y vestimenta / Pico de ave |
| **22-3265** | A | MU17 | 5 | 1 Figurilla | 1 CB | Am | AE | |

| | | | | | | | | |
|---|---|---|---|---|---|---|---|---|
| **22-498** | A | MU17 | 5 | 5 Figurilla | 5 O | 3 A / 1 P / 1 Mo | 1 EI / 1 T / 1 Ca | De molde, pie / Fragmento de tocado / Cara completa / Molde de cara |
| **22-530** | A | MU17 | 6 | 5 Figurilla | 5 O | 2 A / 1 O / 2 P | 2 T | Dos fragmentos de tocados elaborados / Posible medallón o asa plana |
| **22-568** | A | MU17 | 8 | 1 Figurilla | 1 G | Z | C | Cara de murciélago, parte posterior plana y con agujeros para colgar |
| **22-578** | A | MU17 | 10 | 1 Figurilla | 1 O | A | FCu | Orejera de figurilla |
| **22-589** | A | MU17 | 11 | 2 Figurilla | 2 O | A? / Mo? | FCu | Fragmento de orejera? / Posible molde |
| **22-493** | A | MU18 | 2 | 1 Figurilla | 1 O | A | EI | Pie |
| **22-533** | A | MU18 | 3 | 1 Figurilla | 1 O | A | FCu | Hombro derecho, orejera y collar |
| **22-3574** | A | MU19 | 6 | 1 Figurilla | 1 O | A | C y T | Pintura blanca presente |
| **22-797** | A | MU19 | 15 | 1 Figurilla | 1 O | A | T | Diadema con cabello |
| **22-88** | A | MU2 | 2 | 1 Figurilla | 1 O | A | FCu | Orejera de figurilla |
| **22-1683** | A | MU2 | 6 | 1 Figurilla | 1 O | Z | C | Posible cabeza de perro |
| **22-1688** | A | MU2 | 7 | 1 Figurilla | 1 O | Am | | |
| **22-34** | A | MU2 | 8 | 1 Figurilla y orejera | 1 G | Z | 1C | Cara de murciélago plana |
| **22-1886** | A | MU2 | 10 | 1 Figurilla /Soporte | 1 G | A | C | Soporte antropomorfo con orejeras |
| **22-111** | A | MU2 | 13 | 2 Figurilla | 2 O | 1 A / 1 Am | FCu | Fragmento de brazo con brazalete y parte de vestimenta |
| **22-110** | A | MU2 | 15 | 2 Figurilla | 1 O / 1 G | M / Z? | ES y FCu / Ca | Posible brazo de bebé agarrando atuendo / Fragmento de cara de animal? |
| **22-117** | A | MU2 | 15 | 1 Figurilla | 1 G | Mo | | Posible molde de mano y parte de vestimenta |
| **22-2046** | A | MU2 | 17 | 1 Figurilla | 1 O | A | C | Cabeza completa con cara, orejeras, tocado y collar |
| **22-3420** | A | MU20 | 1 | Flauta/ Figurilla | 1 O | A | C | Posible relación con Xipe Totec |

| | | | | | | | | |
|---|---|---|---|---|---|---|---|---|
| **22-528** | A | MU20 | 1 | 2 Figurilla, Orejera y 2 Ornamentos tubulares | 2 O | 2 A | FCu / Ca | Fragmento de vestimenta / Media cara con ojo, boca y orejera |
| **22-3445** | A | MU20 | 3 | Flauta/ Figurilla | O | A | EI | Flauta antropomorfa de pie |
| **22-3479** | A | MU20 | 9 | 1 Figurilla | 1 O | A | T y Ca | Cara completa y tocado, casco presente |
| **22-3590** | A | MU20 | 10 | 2 Figurilla | 2 O | 1 A / 1 Z | 1 FC / 1 C | Fragmento de cara, tocado y orejera / Cabeza de guajolote |
| **22-6237** | A | MU20 | 10 | 1 Figurilla y Asa plana | 1 O | A | FCu | Panza de figurilla con ombligo y falda |
| **22-538** | A | MU20 | 11 | 1 Figurilla | 1 O | A | A | |
| **22-732** | A | MU20 | 12 | 2 Figurilla | 2 O | 2 Am | | Extremos de figurilla hueca |
| **22-3453** | A | MU21 | 2 | 1 Figurilla | 1 G | A | Ca | Fragmento de cara: nariz y boca |
| **22-730** | A | MU21 | 3 | 1 Figurilla | 1 O | A | EI | Pie |
| **22-592** | A | MU21 | 4 | 4 Figurilla | 4 O | 3 A / 1 Am | B / ES / A | Brazo / Brazo con mano extendida y brazalete / Posible adorno de tocado |
| **22-735** | A | MU21 | 6 | 1 Figurilla | 1 O | A | T | Fragmento de tocado elaborado |
| **22-774** | A | MU22 | 3 | 1 Figurilla | 1 O | A | EI y FCu | De molde, piernas y vestimenta |
| **22-779** | A | MU22 | 6 | 2 Figurilla | 2 O | 1 A / 1 Am | T | Fragmento de tocado |
| **22-3649** | A | MU23 | 2 | 1 Figurilla | 1 O | A | C y T | Ojos cerrados y cara arrugada |
| **22-687** | A | MU24 | 1 | 1 Figurilla | 1 O | P | | |
| **22-775** | A | MU25 | 3 | 3 Figurilla | 2 O / 1 G | 2 A / 1 P | EI / ES y FCu | Pie con parte de cuerpo / Mano extendida con brazalete y mitad de vestimenta elaborada en forma de medallón |
| **22-2731** | A | MU27 | 1 | 1 Figurilla | 1 O | Z | C | Parecido a malacate pero con cara presente |

| | | | | | | | | |
|---|---|---|---|---|---|---|---|---|
| **22-628** | A | MU27 | 1 | 4 Figurilla | 4 O | 3 A / 1 P | 1 T / 2 FCu | Fragmento de tocado? / Femenina, parte de pecho, collar y falda / Posible orejera |
| **22-771** | A | MU28 | 2 | 1 Figurilla | 1 O | A | T | Fragmento de tocado |
| **22-718** | A | MU28 | 4 | 2 Figurilla | 2 O | 2 A | EI / T | Pie / Tocado con cabello de "pageboy" y ojo |
| **22-803** | A | MU29 | 1 | 1 Figurilla | 1 G | A | T | Tocado elaborado |
| **22-6112** | A | MU29 | 5 | 1 Figurilla | 1 O | Am | Posible EI | |
| **22-1957** | A | MU3 | 1 | 1 Figurilla | 1 O | A | EI | |
| **22-715** | A | MU30 | 3 | 2 Figurilla | 2 O | 2 Am | 1 Ca / 1 A? | Ojo? / Parte de vestimenta? |
| **22-3922** | A | MU32 | 1 | 2 Figurilla | 1 O / 1 G | 1 A? / 1 P | FCu | Posible fragmento de vestimenta / Figurilla plana casi completa |
| **22-784** | A | MU36 | 1 | 2 Figurilla, Orejera y Ornamento tubular | 2 O | 1 A / 1 Am | FCu | Fragmento de cuerpo con vestimenta |
| **22-373** | A | MU4 | 1 | Silbato/ Figurilla, 4 Figurilla y 2 Ornamentos tubulares | 5 O | 4 A / 1 Am | B / Cu / 2 T | Brazo con brazalete / Silbato antropomorfo de cuerpo / Dos fragmentos de tocados |
| **22-167** | A | MU4 | 2 | 1 Figurilla y ornamento tubular | 1 O | A | T | |
| **22-146** | A | MU4 | 2 | 2 Figurilla | 2 O | A / P | T | Fragmento de tocado trenzado |
| **22-364** | A | MU4 | 3 | 1 Figurilla y Sello | 1 O | A | T | Tocado con pintura roja |
| **22-417** | A | MU4 | 3 | 2 Figurilla | 2 O | 2 Am | | |
| **22-362** | A | MU4 | 4 | 2 Figurilla | 2 O | 2 MF | 2 AE | Dos adornos exteriores a motivos principales |
| **22-149** | A | MU4 | 5 | 1 Figurilla | 1 O | A | B y FCu | Fragmento de brazo con brazalete y parte de cuerpo femenino por pecho y collar |

| | | | | | | | | |
|---|---|---|---|---|---|---|---|---|
| **22-158** | A | MU4 | 8 | 1 Figurilla | 1 O | O | | Parte de vestimenta? Asa plana? |
| **22-371** | A | MU5 | 3 | 1 Figurilla | 1 O | A | ES | Mano |
| **22-139** | A | MU5 | 5 | 1 Figurilla y Sello | 1 O | A | FCu | Fragmento de vestimenta |
| **22-162** | A | MU6 | 2 | 1 Figurilla y ornamento tubular | 1 O | Am | | Muy erosionado |
| **22-439** | A | MU6 | 3 | 1 Figurilla | 1 O | Am | | Fragmento plano con borde cortado |
| **22-2377** | A | MU6 | 4 | 1 Figurilla | 1 O | A | Ca y T | Cara completa y tocado |
| **22-295** | A | MU6 | 4 | 1 Figurilla | 1 O | A | ES | Mano extendida con brazalete |
| **22-249** | A | MU6 | 4 | 1 Figurilla | 1 O | Am | | |
| **22-325** | A | MU7 | 2 | 1 Figurilla y 2 Orejeras | 1 O | A | T | Fragmento de tocado |
| **22-506** | A | MU7 | 3 | 1 Figurilla y 2 Soportes | 1 O | A | A | Adorno lateral? |
| **22-2801** | A | MU7 | 3 | 1 Figurilla | 1 O | A | C | Cabeza completa con cara y tocado, pintura blanca presente |
| **22-396** | A | MU7 | 5 | 1 Figurilla | 1 O | A | Ca | Fragmento de cara: ojo? |
| **22-501** | A | MU7 | 7 | 3 Figurilla | 3 O | A / Z / P | ES / C | Mano / Cabeza de ave |
| **22-541** | A | MU7 | 13 | 2 Figurilla y Orejera | 2 O | 2 Am | | |
| **22-288** | A | MU7 | 15 | 1 Figurilla | 1 O | A? | EI | Pie? |
| **22-242** | A | MU7 | 16 | 2 Figurilla | 2 O | 2 A | EI y FCu / EI | Pie izquierdo y parte de vestimenta / de molde, pie |
| **22-3020** | A | MU7 | 17 | 1 Figurilla | 1 O | Z | C | Cabeza de guajolote, quemada lado izquierdo |
| **22-3036** | A | MU7 | 19 | 1 Figurilla | 1 G | Am | ES, EI y Cu | Cuerpo con extremidades |

| | | | | | | | | |
|---|---|---|---|---|---|---|---|---|
| **22-3047** | A | MU7 | 20 | 1 Figurilla | 1 O | A | C y Cu | Cuerpo y mitad de cabeza con armadura de algodón, presencia de maxtlatl |
| **22-3069** | A | MU7 | 21 | 1 Figurilla | 1 O | Am | Co? | Posible pieza de maqueta? |
| **22-309** | A | MU7 | 26 | 1 Figurilla | 1 O | Z | C | Cabeza de ave |
| **22-339** | A | MU7 | 27 | 1 Figurilla | 1 G | Am | | |
| **22-333** | A | MU7 | 29 | 1 Figurilla | 1 O | A | EI | Pierna |
| **22-463** | A | MU8 | 1 | 1 Figurilla | 1 O | A | ES | Fragmento de mano con brazalete |
| **22-189** | A | MU8 | 3 | 4 Figurilla y Orejera | 4 O | 3 A / 1 Am | T / FCu / FC | Fragmento de tocado / De molde, pie derecho y parte de vestimenta / Fragmento de cabeza con tocado y cabello |
| **22-2307** | A | MU8 | 3 | 2 Figurilla | 2 O | 1 A / 1 Am | Ca | Fragmento de cara con ojo |
| **22-201** | A | MU8 | 4 | 3 Figurilla | 3 O | 1 A / 2 Am | EI | Pie |
| **22-265** | A | MU8 | 5 | 4 Figurilla y Silbato | 4 O | 2 A / 2 Am | A / FCu | Orejera de figurilla? / Brazo izquierdo frente a pecho, collar y agujero para colgar presentes |
| **22-759** | A | MU9 | 8 | 1 Figurilla | 1 O | O | | Medallón decorado con agujeros para colgar |
| **22-2965** | A | MU9 | 13 | 1 Figurilla | 1 G | A | Cu | Cuerpo casi completo, con extremidades superiores e inferiores |
| **22-2971** | A | N10 | 11 | 1 Figurilla | 1 O | Z | Co | Figurilla completa de ave |
| **22-244** | A | N11 | 1 | 3 Figurilla | 3 O | 2 A / 1 Am | FCu / B, ES y FCu | Orejera de figurilla / Tronco superior con brazo y mano derecha, collar y vestimenta |
| **22-155** | A | O10 | 4 | 2 Figurilla | 2 O | 1 A / 1 Am | B | Brazo doblado |
| **22-2150** | A | O10 | 4 | 2 Figurilla | 2 O | 2 A | 2 T | Dos fragmentos de tocados |
| **22-157** | A | O10 | 5 | 1 Figurilla | 1 G | A | ES | Mano |
| **22-152** | A | O10 | 5 | 2 Figurilla | 2 O | 1 M / 1 P | FCu | Fragmento de los cuerpos de figurilla múltiple |

| | | | | | | | | |
|---|---|---|---|---|---|---|---|---|
| **22-76** | A | O11 | 5 | 2 Figurilla | 2 O | 1 A / 1 Z | T o A? / C | Cabeza de ave con pico largo |
| **22-6232** | A | O11 | 5 | 1 Figurilla | 1 O | O | | Posible medallón |
| **22-1952** | A | O11 | 6 | 2 Figurilla | 2 O | 2 Am | | |
| **22-77** | A | O11 | 6 | 1 Figurilla | 1 O | A | T | Tocado elaborado |
| **22-200** | A | O11 | 7 | 2 Figurilla y Soporte para figurilla | 2 O | 2 A | T / FCu | Cinco fragmentos del mismo tocado / Fragmento de vestimenta |
| **22-277** | A | O11 | 9 | 1 Figurilla | 1 O | A | EI | Figurilla pequeña, pie y pierna pequeña |
| **22-269** | A | O11 | 9 | 5 Figurilla | 5 O | 4 A / 1 Am | 1 B / 3 T | Brazo con brazalete / Tres fragmentos de tocados |
| **22-1967** | A | O11 | 9 | 1 Figurilla | 1 O | Mo | | Molde de decoración |
| **22-211** | A | O11 | 11 | 2 Figurilla | 1 O / 1 G | Am / A? | Ca? / A? | Ojo? / Parte de vestimenta? |
| **22-1988** | A | O11 | 12 | 1 Figurilla | 1 O | T | C y ES | Cara de ave, con brazos humanos |
| **22-3111** | A | O11 | 13 | 1 Figurilla | 1 O | S | T, Ca, ES, FCu | Figurilla compleja con tocado, cara, mano y vestimenta, posible deidad |
| **22-52** | A | O16 | 7 | 1 Figurilla | 1 O | A | T | Tocado? Casco? con pintura |
| **22-6230** | A | P10 | 3 | 1 Figurilla | 1 O | A | EI y FCu | De molde, extremidades inferiores y vestimenta |
| **22-6171** | A | P10 | 5 | 1 Figurilla | 1 O | A | ES | |
| **22-1079** | A | P10 | 5 | 1 Figurilla | 1 O | P | | |
| **22-1102** | A | P10 | 7 | 1 Figurilla | 1 G | Z | C, ES y FCu | Aplique de cerámica, posible rana o perro? |
| **22-1477** | A | P11 | 3 | 1 Figurilla | 1 O | Z | C | Cabeza de guajolote |
| **22-113** | A | P11 | 3 | Figurilla | 3 O | 3 A | 2 T / FCu | Dos fragmentos de tocados / Fragmento de hombro y orejera |

| | | | | | | | | |
|---|---|---|---|---|---|---|---|---|
| **22-1447** | A | P11 | 4 | 1 Figurilla | 1 O | Z | EI | Pata de ave |
| **22-180** | A | P11 | 4 | 2 Figurilla | 2 O | 2 A | T / Ca y FCu | Tocado trenzado / Cara completa con ojos vacíos, orejera y collar |
| **22-166** | A | P11 | 5 | 1 Figurilla y asa | 1 O | P | | |
| **22-126** | A | P11 | 6 | 4 Figurilla | 4 O | 3 A / 1 P | ES y FCu / T / FCu / EI | Fragmento de mano y vestimenta / Fragmento de tocado / Fragmento de vestimenta / Pie |
| **22-1538** | A | P11 | 7 | 1 Figurilla | 1 O | A | EI y FCu | De molde, pie derecho y parte de vestimenta |
| **22-1066** | A | P13 | 6 | 1 Figurilla | 1 O | A | C | Cabeza completa con tocado y orejeras |
| **22-1099** | A | P13 | 8 | 1 Figurilla | 1 O | A | ES o EI | |
| **22-1307** | A | P16 | 12 | 1 Figurilla | 1 O | A | EI | Pierna |
| **22-116** | A | P16 | 14 | 2 Figurilla | 2 G | 1 Z? / 1 Am | C | Cabeza de mono? |
| **22-510** | A | P16 | 18 | 1 Figurilla | 1 G | Am | | |
| **22-4** | A | P19 | 3 | 1 Figurilla | 1 O | A | FCu | Fragmento de hombro izquierdo y collar, con orificio para colgar |
| **22-6226** | A | P19 | 7 | 1 Figurilla | 1 O | Am | | |
| **22-6227** | A | P19 | 8 | 1 Figurilla | 1 O | A | EI | Pintura blanca presente |
| **22-6224** | A | P20 | 5 | 1 Figurilla | 1 O | A | B | |
| **22-1718** | A | P21 | 2 | Silbato/Figurilla | O | A | ES y EI | Silbato antropomorfo con extremidades superiores e inferiores, parece estar sentado |
| **22-1257** | A | P22 | 4 | 1 Figurilla | 1 O | Z | C | Cabeza de ave |
| **22-161** | A | P24 | 3 | 1 Figurilla | 1 O | M | FCu y C | Figurilla sosteniendo bebé |
| **22-6231** | A | Q10 | 4 | Silbato/ Figurilla y Figurilla | 2 O | 2 A | EI / EI y FCu | Pie / Silbato antropomorfo de pie con parte de vestimenta |

| | | | | | | | | |
|---|---|---|---|---|---|---|---|---|
| **22-1955** | A | Q10 | 6 | 1 Figurilla | 1 O | Z | C | Cabeza de felino, jaguar? |
| **22-6233** | A | Q10 | 6 | 2 Figurilla | 2 O | 2 P | | |
| **22-907** | A | Q10 | 9 | 2 Figurilla | 2 O | 2 A | 1ES y 1FCu / 1B | 1 mano con brazalete y parte de cuerpo con adorno / Posible brazo de acróbata |
| **22-891** | A | Q10 | 9 | 2 Figurilla | 1 O / 1 G | 2 A | T / FCu | Tocado / Adorno de vestimenta |
| **22-138** | A | Q10 | 9 | 4 Figurilla | 4 O | 1 A / 1 Am / 2 P | ES | Mano extendida con brazalete |
| **22-2116** | A | Q10 | 9 | Silbato/ Figurilla | 1 O | A | Cu | Silbato antropomorfo con falda, mano y pies |
| **22-2172** | A | Q11 | 4 | 1 Figurilla | 1 O | A | C | Cabeza de figurilla con cara y orejeras, con fragmento de tocado |
| **22-2169** | A | Q11 | 4 | 1 Figurilla | 1 O | A | FCu | Fragmento de collar |
| **22-2168** | A | Q11 | 4 | 1 Figurilla | 1 O | A | Ca | Cara completa con ojos cerrados y mechón cayendo sobre ojo |
| **22-2171** | A | Q11 | 4 | 1 Figurilla | 1 O | A? | A | Adorno de tocado? |
| **22-2180** | A | Q11 | 5 | 1 Figurilla | 1 O | P | | |
| **22-187** | A | Q11 | 6 | 1 Figurilla | 1 O | A | FC | Mitad de cabeza con ojo izquierdo, tocado y orejera |
| **22-230** | A | Q11 | 7 | 1 Figurilla | 1 O | A | EI y FCu | Extremidades inferiores y maxtlatl |
| **22-212** | A | Q11 | 7 | 6 Figurilla | 6 O | 3 A / 2 Am / 1 P | EI / 2 T | De molde, pie / Dos fragmentos de tocado |
| **22-2335** | A | Q11 | 7 | Silbato/Figurilla | 1 O | Z | Z | Silbato zoomorfo de ave |
| **22-229** | A | Q11 | 8 | 1 Figurilla | 1 O | A | FCu | Fragmento de mano alzada con brazo y vestimenta decorada |
| **22-1774** | A | Q17 | 3 | 1 Figurilla | 1 O | A | ES y FCu | Manos frente a cuerpo, quexquemitl y brazalete, femenina |
| **22-194** | A | Q17 | 3 | 1 Figurilla | 1 O | O | | Fragmento con cuatro picos y pintura blanca, parte de maqueta? |
| **22-1776** | A | Q17 | 3 | 1 Figurilla | 1 O | Z | C | Cabeza de ave |

| | | | | | | | | |
|---|---|---|---|---|---|---|---|---|
| **22-6093** | A | Q19 | 3 | 1 Figurilla | 1 O | A | B y ES | |
| **22-165** | A | Q21 | 2 | Silbato/ Figurilla y Orejera | 1 O | Z? | C | Silbato zoomorfo, posible ave |
| **22-208** | A | Q21 | 4 | 1 Figurilla | 1 O | Z | C | Búho |
| **22-192** | A | Q22 | 2 | 1 Figurilla | 1 O | P | | Dos fragmentos de figurilla plana |
| **22-185** | A | Q24 | 2 | 1 Figurilla | 1 G | Z | C | Cabeza de guajolote |
| **22-778** | A | R17 | 2 | 1 Figurilla | 1 O | A | EI | Pie en punta |
| **22-3628** | A | R17 | 3 | 1 Figurilla | 1 G | Am | | Mano? Cabeza? |
| **22-696** | A | R17 | 5 | 1 Figurilla | 1 G | A | Ca | Fragmento de cara: nariz y boca |
| **22-611** | A | T16 | 3 | 1 Figurilla | 1 O | P | | |
| **22-554** | A | T16 | 5 | 1 Figurilla | 1 G | Mo | | Posible sello |
| **22-522** | A | T17 | 3 | 1 Figurilla | 1 O | P | | |
| **22-738** | A | U12 | 3 | 1 Figurilla | 1 O | P | | |
| **22-705** | A | U12 | 3 | 1 Figurilla | 1 O | Am | | |
| **22-3402** | A | U12 | 4 | 1 Figurilla | 1 O | A | EI | Pierna derecha |
| **22-681** | A | U12 | 5 | 2 Figurilla | 2 O | 1 A / 1 Am | FCu | Fragmento de vestimenta con adornos |
| **22-91** | A | U16 | 5 | 1 Figurilla | 1 G | Am | Posible ES o EI | |
| **22-54** | A | U16 | 13 | 1 Figurilla | 1 O | A | Ca | Cara con ojos rasgados, boca abierta y mejillas llenas |
| **22-3719** | A | U16 | 19 | 1 Figurilla | 1 O | A | EI | De molde, pie |

| | | | | | | | | |
|---|---|---|---|---|---|---|---|---|
| **22-760** | A | U17 | 3 | 1 Figurilla | 1 O | Am | | |
| **22-3386** | A | U17 | 6 | 1 Figurilla | 1 O | A | FCu | Fragmento de cuerpo y orejera |
| **22-259** | A | X11 | 1 | 1 Figurilla | 1 O | A | T | Tocado |
| **22-354** | A | X15 | 2 | 3 Figurilla y Soporte | 3 O | 2 A / 1 Am | 2 ES o EI | |
| **22-351** | A | X15 | 3 | 2 Figurilla | 2 O | 1 Am / 1 P | | |
| **22-2264** | A | X15 | 4 | 1 Figurilla y soporte | 1 O | A | FCu, C y B | Mitad superior de cuerpo y parte de cabeza con orejera y brazo |
| **22-2281** | A | X15 | 5 | 1 Figurilla | 1 O | A | T | Tocado con cabello ("pageboy") |
| **22-408** | A | X15 | 5 | 1 Figurilla | 1 O | Am | | Posible soporte de ave |
| **22-61** | A | X16 | 6 | 1 Figurilla | 1 G | Z | C | Cabeza de búho |
| **22-361** | A | Y11 | 1 | 2 Figurilla | 1 O / 1 G | 2A | Ca / FCu | Fragmento de cara: ojo / Collar? |
| **22-2386** | A | Y11 | 2 | 3 Figurilla | 2 O / 1 G | 2 A? / 1 Z (G) | 1 T? / 1 B? / 1 FC | Posible tocado? / Posible brazo? / Fragmento cabeza de murciélago |
| **22-294** | A | Y11 | 2 | 1 Figurilla | 1 O | A | EI | Fragmento de pierna |
| **22-5300** | B | A15 | 1 | 1 Figurilla y asa | 1 O | Am | | |
| **22-5021** | B | A17 | 2 | 1 Figurilla | 1 O | A | T | Tocado completo |
| **22-5025** | B | A17 | 10 | 1 Figurilla | 1 O | A | T | Tocado con cabello |
| **22-136** | B | A21 | 2 | 1 Figurilla y orejera | 1 O | A | FC | Posible orejera |
| **22-216** | B | B17 | 1 | 1 Figurilla | 1 O | M? | FCu | Dos cuerpos juntos? Muy erosionada |
| **22-280** | B | B18 | 1 | 2 Figurilla y Soporte | 2 O | 1 A / 1 P | Ca | Mitad de cara |
| **22-273** | B | B18 | 2 | 1 Figurilla | 1 O | P | | |

| | | | | | | | | |
|---|---|---|---|---|---|---|---|---|
| **22-5307** | B | B19 | 1 | 2 Figurilla | 2 O | 1 Z / 1 A | C / FCu | Posible murciélago / Maxtlatl |
| **22-415** | B | B19 | 1 | 1 Figurilla | 1 O | A | ES | Brazo con mano |
| **22-104** | B | C15 | 2 | 2 Figurilla | 2 O | 2 A | FC y FCu / FCu | Fragmento de cabeza y cuerpo con manos extendidas al frente, agujeros para colgar / Fragmento de vestimenta centro |
| **22-191** | B | C18 | 1 | 2 Figurilla | 2 O | A / Am | Ca? y T | Fragmento de cara y tocado |
| **22-306** | B | D10 | 2 | 1 Figurilla | 1 O | A | ES | Mano extendida con brazalete |
| **22-350** | B | D11 | 1 | 3 Figurilla | 2 O / 1 G | 2 A / 1 Am | 2 C | Fragmento de cara: nariz / Fragmento de cara: nariz y boca |
| **22-441** | B | D11 | 2 | 2 Figurilla | 2 O | 2 A | T / Ca | Fragmento de tocado / Fragmento de cara: nariz, boca y mejillas con arrugas |
| **22-440** | B | D11 | 3 | 1 Figurilla | 1 O | Z | C | Cabeza de animal |
| **22-461** | B | D12 | 1 | 2 Figurilla | 2 O | 2 A | FCu / Ca | Orejera de figurilla / Boca |
| **22-181** | B | D12 | 4 | 1 Figurilla | 1 O | A | T | Tocado |
| **22-298** | B | D14 | 1 | 4 Figurilla | 2 O / 1 G (Fragmentado en 2) | 1 A / 1 Am / 1 A | Ca / Posible A / Ca | Ojo / Posible adorno / Cara fragmentada ojo y boca |
| **22-5341** | B | D14 | 1 | 1 Figurilla | 1 O | A | Ca | Fragmento de cara: nariz y boca |
| **22-374** | B | D14 | 3 | 3 Figurilla | 3 O | 2 A / 1 MF? | EI / FCu / AT? | Pie / Orejera / Casco? |
| **22-5297** | B | D15 | 1 | 3 Figurilla | 3 O | 3 A | 2 C / 1 Cu | Cabeza redonda completa con ojos y boca vacios / Cabeza redonda con cara, posiblemente hecha por niños / Fragmento de cuerpo con mano y maxtlatl |
| **22-5049** | B | D17 | 1 | 1 Figurilla | 1 O | 1 A | ES, EI y Cu | De molde, falda, mano y pie |

| | | | | | | | | |
|---|---|---|---|---|---|---|---|---|
| **22-9768** | B | D18 | 2 | 2 Figurilla | 2 O | 1 A / 1 S? | EI y FCu / FC | De molde, pies y fragmento de falda / Cara con orejeras y rasgos humanos pero inicio de cuerpo extraño |
| **22-5187** | B | F17 | 3 | 1 Figurilla | 1 O | A | FCu | Orejera de figurilla |
| **22-8359** | B | FF38 | 5 | 1 Figurilla | 1 O | Z? | Ca | Posible ave? |
| **22-131** | B | FF38 | 5 | 1 Figurilla | 1 O | A | T | Fragmento de tocado |
| **22-8374** | B | FF38 | 8 | 1 Figurilla | 1 O | Mo? | | Posible molde |
| **22-8417** | B | FF38 | 13 | 1 Figurilla | 1 O | T | C | Cabeza con cara sonriente sin nariz |
| **22-5090** | B | G17 | 7 | 1 Figurilla | 1 O | A? | FCu? | |
| **22-8787** | B | GG34 | 4 | 1 Figurilla | 1 O | 1 A | T | Tocado elaborado con cabello? |
| **22-495** | B | GG34 | 5 | 2 Figurilla | 2 O | 2 A | EI / T | De molde, pie derecho y parte de vestimenta / Fragmento de tocado |
| **22-8808** | B | GG34 | 6 | 1 Figurilla | 1 O | A | C | Cara y cabeza completas con orejera |
| **22-8870** | B | GG34 | 7 | Flauta/ Figurilla | 1 O | T | C | Flauta transicional, posible guajolote |
| **22-580** | B | GG34 | 7 | 4 Figurilla | 4 O | 2 A / 2 Am | FC / Ca | Mitad de cabeza con frente y tocado / Cara completa con orejera y fragmento de tocado |
| **22-503** | B | GG34 | 8 | 2 Figurilla | 2 O | 2 A | 2 ES | Dos manos extendidas con brazalete |
| **22-494** | B | GG35 | 3 | 1 Figurilla | 1 O | Am | A? | |
| **22-520** | B | GG35 | 4 | 2 Figurilla | 2 O | 1 A / 1 Am | FCu | Fragmento de hombro y orejera |
| **22-8953** | B | GG35 | 5 | 1 Figurilla | 1 O | A | T | Fragmento de tocado |
| **22-8969** | B | GG35 | 6 | 2 Figurilla | 2 O | 1 A / 1 M | 1 C / 1 FCu | Cabeza completa con casco y orejeras, ojos vacíos / Figurilla sosteniendo bebe |
| **22-459** | B | GG35 | 6 | 4 Figurilla, 2 Asas planas?, | 4 O | 3 A / 1 Am | ES / T / FCu | Mano sosteniendo algo / Posible parte de tocado o casco / Posible parte de vestimenta |

| | | | | | | | | |
|---|---|---|---|---|---|---|---|---|
| | | | | Orejera y Malacate | | | | |
| **22-5156** | B | H12 | 2 | 1 Figurilla | 1 O | O | | Posible medallón |
| **22-5163** | B | H12 | 3 | 2 Figurilla | 2 O? | 1 A / 1 Am | Ca y T | Cara completa y tocado, ojos vacíos |
| **22-50** | B | H12 | 4 | 2 Figurilla | 2 G | A / Am | EI | |
| **22-70** | B | H13 | 1 | 1 Figurilla | 1 O | A | Ca | Fragmento de cara |
| **22-57** | B | H13 | 6 | 1 Figurilla | 1 O | Z | C y ES | Posible perro con patas abajo de cabeza |
| **22-9010** | B | HH34 | 2 | 1 Figurilla | 1 O | Am | FC | Posible animal? |
| **22-318** | B | HH34 | 2 | 1 Figurilla | 1 G | A? | T? | Tocado gris? |
| **22-335** | B | HH34 | 3 | 1 Figurilla | 1 O | A | FCu | Orejera de figurilla |
| **22-9034** | B | HH34 | 4 | 1 Figurilla | 1 O | A | ES | Mano con brazalete |
| **22-375** | B | HH35 | 5 | 4 Figurilla, Silbato y Ornamento tubular | 4 O | 4 A | 1 T / 1 A / 1 FCu / 1 Ca | Fragmento de tocado / Adorno exterior? / Fragmento de vestimenta / Mitad de cara con orejera, collar y tocado |
| **22-9902** | B | HH37 | 4 | 3 Figurilla | 3 O | 1 A / 2 Z? | Cu / 2 C | Parte de cuerpo con armadura de algodón, presencia de maxtlatl / 2 Cabezas de ave |
| **22-727** | B | HH37 | 4 | 7 Figurilla | 7 O | 7 A | 1 ES / 3 T / 1 FCu / 2 Ca | Mano sosteniendo algo / Tres tocados elaborados / Orejera de figurilla / Fragmento de cara con ojo, nariz y boca / Posible cara erosionada |
| **22-9958** | B | HH37 | 5 | Silbato/Figurilla | 1 O | A | EI | Silbato antropomorfo con pie izquierdo |
| **22-9962** | B | HH37 | 5 | 1 Figurilla | 1 G | Am | | Artefacto tubular con adorno |
| **22-9942** | B | HH37 | 5 | 9 Figurilla | 8 O / 1 G | 9 A | 1 C / 2 EI y FCu / 1 T / 4 Ca / 1 FCu | Soporte antropomorfo ojos rasgados / 2 De molde, extremidades inferiores y vestimenta / Diadema / Cara completa con tocado y orejera / Fragmento de cara con ojos vacíos y tocado / Cara con ojos vacíos / Cara / Vestimenta de figurilla femenina |

| | | | | | | | | |
|---|---|---|---|---|---|---|---|---|
| **22-811** | B | HH37 | 5 | 10 Figurilla y Soporte de figurilla | 10 O | 8 A / 2 Am | 1 ES / 7 T | Mano extendida con brazalete / Siete fragmentos de tocados / Parte desconocida en forma de cono con relieves en forma de bolitas |
| **22-804** | B | HH37 | 5 | 14 Figurilla y 2 Ornamentos tubulares | 14 O | 9 A / 1 Z / 2 Am / 2 Mo | 1 C / 2 ES / 3 EI / 4 T | Cabeza de felino / Dos manos extendidas con brazalete / Tres pies de molde / Cuatro fragmentos de tocados / Molde de cara / Molde de vestimenta |
| **22-6235** | B | HH37 | 5 | 1 Figurilla | 1 G | Mo | | Molde de cara de animal? |
| **22-9965** | B | HH37 | 5 | 1 Figurilla | 1 O | A | Ei | Pierna |
| **22-457** | B | HH39 | 3 | 1 Figurilla | 1 O | Am | | |
| **22-581** | B | HH39 | 4 | 4 Figurilla | 4 O | 4 A | 2 EI / 1 T / 1 FCu | Pie / Pie de bebe? / Fragmento de tocado / Fragmento de vestimenta |
| **22-8892** | B | HH39 | 5 | 1 Figurilla | 1 O | A | Ca | 2/2; Cara casi completa, mejillas llenas, cara gorda |
| **22-8892** | B | HH39 | 5 | 1 Figurilla | 1 O | Z | C | 1/2; Cabeza de guajolote |
| **22-8985** | B | HH39 | 7 | 1 Figurilla | 1 O | A | FCu | Mitad inferior de cuerpo con pies, falda presente |
| **22-241** | B | HH39 | 7 | 3 Figurilla | 3 O | 2 A / 1 Am | A / FCu | Posible collar / Fragmento de falda |
| **22-8879** | B | HH39 | 4 | 1 Figurilla y Miniatura | 1 O | A | T | Fragmento de tocado |
| **22-406** | B | HH39 | 5 | 1 Figurilla | 1 O | A | T | Fragmento de tocado |
| **22-8910** | B | HH39 | 6 | 1 Figurilla | 1 O | A | T y Ca | Cara completa con fragmento de tocado y pintura blanca |
| **22-5192** | B | I17 | 1 | 1 Figurilla | 1 O | Z | C | Cabeza de perro con pintura blanca |
| **22-122** | B | I17 | 1 | 1 Figurilla | 1 O | A | B y ES | Brazo doblado, parece sostener algo |
| **22-127** | B | I17 | 3 | 1 Figurilla | 1 O | Am | AE? | |
| **22-573** | B | II34 | 3 | 2 Figurilla | 2 O | 2 A | T y FCu | Fragmento de tocado en escalera / Brazalete o decoración en brazo |

| | | | | | | | | |
|---|---|---|---|---|---|---|---|---|
| **22-645** | B | II34 | 4 | 1 Figurilla | 1 O | Mo | | Molde |
| **22-8639** | B | II34 | 5 | 2 Figurilla | 2 O | 2 A | 1 C / 1 Ca | Cabeza completa con cara, tocado, cabello, orejeras y collar, erosionada / Cara "enojada" con fragmento de cabello |
| **22-9139** | B | II35 | 5 | 2 Figurilla | 2 O | 2 A | ES / Ca | Extremidad superior / Cara |
| **22-599** | B | II35 | 5 | 1 Figurilla | 1 O | A | T | Fragmento de tocado con pintura blanca |
| **22-451** | B | II36 | 3 | 2 Figurilla | 2 O | 1 A / 1 Am | T | Tocado elaborado |
| **22-587** | B | II37 | 2 | 1 Figurilla | 1 O | A | T | Tocado |
| **22-588** | B | II37 | 5 | 5 Figurilla | 5 O | 4 A / 1 Am | ES / T / 2 A | Mano extendida con brazalete / Fragmento de tocado / Adornos de vestimenta |
| **22-9279** | B | II37 | 6 | 1 Figurilla | 1 G | Am | A? | |
| **22-642** | B | II37 | 6 | 3 Figurilla | 3 O | 2 A / 1 Am | EI / Ca | Pie / Mitad de cara con orejera |
| **22-84** | B | II38 | 3 | 1 Figurilla | 1 O | P | | Figurilla plana con cara |
| **22-59** | B | II38 | 8 | 1 Figurilla | 1 O | A | T | Tres fragmentos del mismo tocado elaborado |
| **22-80** | B | II38 | 9 | 3 Figurilla | 3 O | 3 A | B y ES / EI / Ca | Brazo y mano con brazalete y orejera , agujero para colgar / Pie con pintura blanca / Fragmento de cara: ojo |
| **22-6095** | B | II38 | 10 | 2 Figurilla | 2 O | 2 A | B y ES / T | Brazo y mano brazalete / Posible diadema |
| **22-8264** | B | II38 | 10 | 2 Figurilla | 2 O | 1 A / 1 Z | Ca / C | Cara completa y orejera / Cabeza de guajolote |
| **22-8279** | B | II38 | 11 | 2 Figurilla | 2 O | 2 A | FCu / EI | Femenina, parte de hombro izquierdo con pecho y collar / Pie con pintura blanca |
| **22-6238** | B | II38 | 11 | 3 Figurilla | 2 O / 1 G | 3 A | 2 ES / T | Dos pies / Tocado trenzado |
| **22-118** | B | II38 | 12 | 1 Figurilla | 1 O | O | | Esquina de figura cuadrangular o rectangular |

| | | | | | | | | |
|---|---|---|---|---|---|---|---|---|
| **22-121** | B | II38 | 12 | 7 Figurilla, Soporte para figurilla y tepalcate | 7 O | 7 A | 1 ES / 2 T / 3 FCu / 1 Ca | Mano extendida con brazalete / 2 Fragmentos de tocado / Falda / Maxtlatl / Hombro derecho con parte de falda y collar / Fragmento de cara |
| **22-153** | B | II38 | 13 | 10 Figurilla | 1 CB / 9 O | 2 A / 2 Am (1 CB / 1 O) / 2 MF / 2 AT / 2 MS | EI y FCu (A) / B (A) / 2 A (MF) / 1 T (MS) / 1 A (MS) | Posible tocado sobrepuesto a motivo central / Adorno sobrepuesto a motivo central |
| **22-9397** | B | II39 | 2 | 2 Figurilla y 4 Soportes diferencial | 2 O | 2 A | 1 B / 1 FCu | Collar con parte de cuerpo |
| **22-9408** | B | II39 | 3 | 1 Figurilla | 1 O | Z? | C | Cabeza de animal? |
| **22-9429** | B | II39 | 4 | 1 Figurilla | 1 O | Z | Ca | Cara de animal, rana? Mamífero? |
| **22-704** | B | II39 | 4 | 3 Figurilla | 3 O | 4 Am | AT? / A? | Posible tocado con relieves / Decorado en forma de S |
| **22-650** | B | II39 | 5 | 1 Figurilla | 1 O | A | T | Dos fragmentos de tocado |
| **22-9587** | B | II39 | 6 | Silbato/ Figurilla y Figurilla | 2 O | 2 A | 1Cu y 1ES / 1B y 1ES | Silbato antropomorfo con cuerpo completo, de molde / Brazo con mano y brazalete |
| **22-791** | B | II39 | 6 | 3 Figurilla y Ornamento | 2 O / 1 G | 2 A / 1 O (G) | 2 EI | Pie plano / Pie sólido con pintura blanca / Fragmento de medallón |
| **22-9640** | B | II39 | 7 | 3 Figurilla | 3 O | 1 A / 1 Z / 1 MS | T / Cu / C y Cu | Tortuga con soporte en diferentes etapas / Posible animal sobrepuesto a otra figurilla |
| **22-430** | B | II42 | 2 | 1 Figurilla | 1 O | A | B | Pedazo de brazo con brazalete |
| **22-47** | B | J17 | 1 | 3 Figurilla | 2 O / 1 G | 1 A / 1 T / 1 Am | T / C | Fragmento de tocado / Fragmento de cabeza con cara animal? Presenta casco |
| **22-575** | B | JJ34 | 2 | 1 Figurilla | 1 O | Mo | | Molde de decoraciones |
| **22-590** | B | JJ34 | 3 | 1 Figurilla | 1 O | P | | |
| **22-555** | B | JJ34 | 4 | 2 Figurilla | 2 O | 2 A | T / Ca | Fragmento de tocado / Fragmento de cara: frente y ojos vacíos |
| **22-9183** | B | JJ34 | 5 | 1 Figurilla | 1 O | A | Ca y FCu | Figurilla femenina posible embarazada |

| | | | | | | | | |
|---|---|---|---|---|---|---|---|---|
| **22-593** | B | JJ34 | 6 | 1 Figurilla | 1 O | A | T | Fragmento de tocado y orejera |
| **22-9193** | B | JJ34 | 6 | 1 Figurilla | 1 O | A | T y Ca | Fragmento de tocado y cara, orejera presente |
| **22-465** | B | JJ34 | 7 | 3 Figurilla y Ornamento tubular | 3 O | 3 A | EI / 2 T | Pie / Tocado elaborado / Tocado con cabello y pintura blanca |
| **22-9209** | B | JJ34 | 7 | 2 Figurilla | 2 O | 2 A | B / ES y EI | Brazo con brazalete / Parte de figurilla con pie y mano |
| **22-9735** | B | JJ34 | 9 | Silbato/ Figurilla | O | B | FCu | 2/2; Silbato antropomorfo con falda |
| **22-722** | B | JJ35 | 2 | 5 Figurilla | 5 O | 3 A / 2 Am | 2 T / 1 FCu | Dos fragmentos de tocado / Orejera de figurilla |
| **22-646** | B | JJ35 | 3 | 2 Figurilla | 2 O | 1 A / 1 Am | A | Posible tocado o casco o vestimenta |
| **22-9378** | B | JJ35 | 5 | 1 Figurilla | 1 O | Z | C | Cabeza de ave |
| **22-640** | B | JJ35 | 5 | 1 Figurilla | 1 O | Am | | Muy erosionado |
| **22-9787** | B | JJ35 | 7 | 2 Figurilla | 2 O | 2 A | 1 C y T / 1 FCu | Cara parcial con tocado / Posible embarazada |
| **22-781** | B | JJ35 | 7 | 6 Figurilla | 6 O | 4 A / 2 Am | 2 A / 2 FCu / 1 AE | |
| **22-875** | B | JJ35 | 8 | 1 Figurilla | 1 O | A | B y FCu | Brazo y mano con brazalete, parte de collar y vestimenta |
| **22-763** | B | JJ35 | 8 | 1 Figurilla | 1 O | A | EI | De molde, pie / Pierna y pie |
| **22-255** | B | JJ36 | 2 | 9 Figurilla y Sello | 9 O | 5 A / 2 P / 2 Am | 2 EI / 3 A | Dos pies / Dos collares / Adorno de falda |
| **22-79** | B | JJ36 | 3 | 3 Figurilla y Cerámica | 3 O | 1 A / 2 Am | 2 A? / 1 Ca | Cara con ojos vacíos |
| **22-412** | B | JJ36 | 4 | 1 Figurilla | 1 O | A | EI | De molde, pie |

| | | | | | | | | |
|---|---|---|---|---|---|---|---|---|
| **22-405** | B | JJ36 | 4 | 1 Figurilla | 1 O | A | C | Cabeza completa con cara, tocado y collar, erosionada |
| **22-89** | B | JJ36 | 5 | 3 Figurilla | 3 O | 3 A | ES / T / A | Mano extendida / Tocado |
| **22-8574** | B | JJ36 | 5 | 1 Figurilla | 1 O | A | Ca | Cara completa con sonrisa |
| **22-720** | B | JJ36 | 6 | 3 Figurilla | 3 O | 3 A | EI / T / A | Pie / Tocado tipo casco / Orejera? |
| **22-731** | B | JJ36 | 7 | 3 Figurilla | 3 O | 1 A / 1 Z / 1 Am | ES y FCu / C y FCu | Mano extendida y vestimenta en medallón / Tortuga con glifos y orificios para colgar |
| **22-119** | B | JJ37 | 4 | 1 Figurilla | 1 O | A | FCu | Fragmento de cara y collar |
| **22-8460** | B | JJ37 | 5 | 2 Figurilla | 2 O | 2 Am | | |
| **22-8469** | B | JJ37 | 7 | 1 Figurilla | 1 O | Am | A | 1/2; Figurilla hueca, con adornos, posible caracol |
| **22-8469** | B | JJ37 | 7 | 1 Figurilla | 1 O | Z | C | 2/2; Cabeza de guajolote |
| **22-765** | B | JJ37 | 9 | 2 Figurilla | 2 O | 2 A | T / B y ES | Tocado con relieves / Mano extendida con brazalete y brazo derecho, agujero para colgar |
| **22-615** | B | JJ38 | 2 | 2 Figurilla | 1 O / 1 G | 2 A | B y ES / FCu | Mano extendida con brazalete / Hombro izquierdo, pecho y collar, agujero para colgar presente |
| **22-9093** | B | JJ38 | 4 | 2 Figurilla | 2 O | 1 A / 1 Am | A | Orejera y parte de collar |
| **22-548** | B | JJ38 | 4 | 1 Figurilla y Ornamento tubular | 1 O | A | FCu | Brazalete |
| **22-9111** | B | JJ38 | 5 | 1 Figurilla | 1 O | A | C, T y A | Cara completa, tocado y orejeras presentes, fragmento al lado de la cabeza, posible bastón de mando |
| **22-9725** | B | JJ38 | 6 | Silbato/ Figurilla, 2 Figurilla y 2 Soportes | 3 O | 3 A | ES / T / FCu | Mano extendida con brazalete / Fragmento de tocado / Silbato antropomorfo fragmentado, de molde, pie izquierdo y parte de vestimenta |
| **22-757** | B | JJ38 | 6 | 5 Figurilla | 5 O | 5 A | 2 B y ES / 2 T / FCu | Dos brazos y manos extendidos con brazalete / Dos fragmentos de tocados / Fragmento de vestimenta central |
| **22-714** | B | JJ38 | 7 | 2 Figurilla | 2 O | 2 A | Ca / FC | Boca? / Fragmento de tocado y mechón de cabello cayendo |

| | | | | | | | | |
|---|---|---|---|---|---|---|---|---|
| **22-233** | B | JJ39 | 4 | 1 Figurilla | 1 G | A | T | |
| **22-356** | B | JJ39 | 5 | 4 Figurilla y posible Asa plana | 4 O | 4 A | 2 T / 2 FCu | Dos fragmentos de tocados / Fragmento de falda y pie |
| **22-452** | B | JJ39 | 6 | 1 Figurilla | 1 O | A | T | Fragmento de tocado y orejera |
| **22-8653** | B | JJ39 | 7 | 1 Figurilla | 1 O | A | T | Tocado |
| **22-282** | B | JJ39 | 7 | Silbato/ Figurilla | 1 O | A | EI y FCu | Silbato antropomorfo de molde con pie izquierdo y parte de vestimenta |
| **22-392** | B | JJ39 | 7 | 2 Figurilla | 2 O | 1 A / 1 Am | T | Fragmento de tocado |
| **22-414** | B | JJ39 | 8 | 8 Figurilla | 8 O | 4 A / 1 Z / 2 Am / 1 S | 1 B / 2 ES / 1 EI / 2 FCu | Fragmento de brazo con brazalete / Mano extendida con brazalete / Garra de animal? / Pie / Medallón de vestimenta, posible referencia al Dios Gordo / De molde, vestido |
| **22-8740** | B | JJ39 | 9 | 1 Figurilla | 1 O | A | C | Cara y tocado con cabello ("pageboy"), ojos vacíos y orejeras |
| **22-427** | B | JJ39 | 9 | 2 Figurilla | 2 O | 1 A / 1 O | FCu | Hombro derecho / Posible medallón |
| **22-271** | B | JJ40 | 3 | 1 Figurilla y Cuenta | 1 O | A | T | Fragmento de tocado |
| **22-458** | B | JJ40 | 3 | 2 Figurilla | 1 O | 1 A / 1 Am | EI | Pie |
| **22-256** | B | JJ40 | 4 | 1 Figurilla | 1 O | O | C y Cu | Posible aplique, tiene cara |
| **22-197** | B | JJ40 | 4 | 2 Figurilla | 2 O | 2 A | EI / B y FCu | De molde, pie izquierdo / Fragmento de brazo, brazalete y vestimenta elaborada con collar |
| **22-8915** | B | JJ40 | 5 | 1 Figurilla | 1 O | A | C y T | 1/3; Cara completa, tocado y collar |
| **22-8900** | B | JJ40 | 5 | 1 Figurilla | 1 O? | A | Co | Figurilla completa |
| **22-8915** | B | JJ40 | 5 | 1 Figurilla y soporte | 1 O | A | C y T | 3/3; Cara completa y tocado con orejera |
| **22-8915** | B | JJ40 | 5 | 1 Figurilla | O | A | ES y Cu | 2/3; Cuerpo casi completo con extremidad superior derecha, presencia de vestido, pose diferente |

| | | | | | | | | |
|---|---|---|---|---|---|---|---|---|
| **22-228** | B | JJ40 | 5 | 5 Figurilla | 4 O / 1 G | 2 A / 3 Am | ES / Ca / A? | Mano con pintura / Fragmento de ojo / Posible adorno |
| **22-218** | B | JJ40 | 5 | 5 Figurilla | 5 O | 4 A / 1 Am | 1 ES / 1 FC / 2 FCu | Mano extendida / Fragmento de cara y tocado / Parte de cuerpo y orejera derecha / Fragmento de falda |
| **22-198** | B | JJ40 | 5 | 2 Figurilla | 2 O | 1 A / 1 Am | EI y FCu | Pie derecho con parte de vestimenta |
| **22-8017** | B | KK31 | 5 | 1 Figurilla | 1 O | A | B | Brazo y mano con pedazo de cuerpo |
| **22-8027** | B | KK31 | 7 | 1 Figurilla | 1 O | Z | Co | Figurilla de roedor? |
| **22-8036** | B | KK31 | 9 | 1 Figurilla | 1 O | A | Posible FCu | Posible maxtlatl |
| **22-8067** | B | KK31 | 10 | 1 Figurilla | 1 O | A | T | Fragmento de tocado |
| **22-8055** | B | KK31 | 12 | 1 Figurilla | 1 O | A | Ca | Cara erosionada con ojos vacíos |
| **22-8033** | B | KK34 | 1 | 2 Figurilla | 1 O / 1 G | 1 A / 1 Am (G) | FCu | Parte de cuerpo con armadura de algodón, presencia de maxtlatl |
| **22-8081** | B | KK34 | 7 | 3 Figurilla | 3 O | 2 A / 1 Z | EI / A / C | De molde, pie izquierdo / Adorno / Cabeza de guajolote |
| **22-762** | B | KK34 | 9 | 4 Figurilla | 4 O | 3 A / 1 Am | 1 ES / 1 EI / 1 T / 1A | |
| **22-9433** | B | KK35 | 2 | 1 Figurilla | 1 O | M | Cu | Casi completa, parece sostener un bebé, falda y collar presentes, hay agujeros para colgar |
| **22-697** | B | KK35 | 2 | 1 Figurilla | 1 O | A | EI | Pie |
| **22-690** | B | KK35 | 3 | 3 Figurilla | 3 O | 2 A / 1 Am | ES / FCu | Mano extendida con brazalete / Orejera y parte de tocado |
| **22-689** | B | KK35 | 5 | 4 Figurilla | 4 O | 3 A / 1 Z | EI / Ca / FCo / C (Z) | Pie? / Cara vieja con mechón cubriendo ojo / Hombro izquierdo con parte de pecho, collar orejera y agujero para colgar / Cabeza de animal |
| **22-9486** | B | KK35 | 5 | 1 Figurilla | 1 O | A | Ca | Fragmento de cara: ojos y nariz |
| **22-649** | B | KK35 | 6 | 1 Figurilla | 1 O | A | EI | Pie |
| **22-9551** | B | KK35 | 7 | 1 Figurilla | 1 G | A | C | Cara con ojos vacíos |

| | | | | | | | | |
|---|---|---|---|---|---|---|---|---|
| **22-686** | B | KK35 | 7 | 4 Figurilla | 3 O / 1 G | 4 A | 1 Ca / 2 FCu / 1 FCu y AE | Cara con pintura blanca y roja / Vestimenta con pie / Hombro derecho con orejera y adornos exteriores |
| **22-523** | B | KK36 | 5 | 1 Figurilla | 1 O | A | FCu | Fragmento de hombro izquierdo y collar, con orificio para colgar |
| **22-8903** | B | KK36 | 6 | 1 Figurilla | 1 O | A | T | Fragmento de tocado |
| **22-474** | B | KK36 | 6 | 3 Figurilla | 3 O | 2 A / 1 Am | T / Ca | Tocado / Fragmento de cara: ojo izquierdo, nariz y boca |
| **22-8948** | B | KK36 | 8 | 1 Figurilla | 1 O | Z | C | Cabeza de felino |
| **22-489** | B | KK36 | 9 | 1 Figurilla y ornamento tubular | 1 O | A | FCu | Fragmento de cuerpo, muy erosionado |
| **22-8960** | B | KK36 | 9 | 1 Figurilla | 1 O | A | Ca | Cara completa, parte de tocado y orejera |
| **22-524** | B | KK36 | 11 | 1 Figurilla | 1 G | A | FCu | Fragmento de cuerpo y orejera |
| **22-9007** | B | KK36 | 12 | 1 Figurilla | U | A | C, T y FCu | Cara completa, tocado, orejeras y collar presente, falda, cuerpo femenino, posible importación |
| **22-490** | B | KK36 | 12 | 1 Figurilla | 1 O | A | EI | De molde, pie |
| **22-878** | B | KK36 | 13 | 1 Figurilla | 1 O | A? | A | |
| **22-429** | B | KK36 | 13 | 2 Figurilla | 2 O | 1 A / 1 Am | C | Cara completa con fragmento de tocado y pintura blanca |
| **22-90** | B | KK37 | 5 | 1 Figurilla | 1 O | A | EI | De molde, Pie derecho |
| **22-81** | B | KK37 | 5 | 2 Figurilla | 2 O | 2 A | ES / T | Mano extendida / Tocado |
| **22-8326** | B | KK37 | 6 | 1 Figurilla | 1 O | Z? | FCu | Cuerpo de tortuga? |
| **22-8345** | B | KK37 | 7 | 3 Figurilla | 3 O | 1 A / 2 Z | 2 C / 1 Ca | Dos fragmentos de cabeza de guajolote / Cabeza de felino / Mitad superior de cara con adorno en frente |
| **22-438** | B | KK38 | 3 | 1 Figurilla | 1 O | A | FCu | Collar |
| **22-8963** | B | KK38 | 7 | Silbato/ Figurilla | 1 O | A | EI y FCu | Mitad inferior de cuerpo con pies, maxtlatl presente |

| | | | | | | | | |
|---|---|---|---|---|---|---|---|---|
| **22-431** | B | KK38 | 7 | 1 Figurilla y ornamento tubular | 1 O | Am | | |
| **22-8978** | B | KK38 | 8 | 1 Figurilla | 1 O | Z | C | Cara completa de guajolote y cabeza, ojos vacíos |
| **22-532** | B | KK38 | 8 | 2 Silbato/ Figurilla y 1 figurilla | 3 O | 3 A | ES y FCu / T / FCu | Mano extendida con brazalete y parte de vestimenta / Tocado / Fragmento de vestimenta |
| **22-499** | B | KK38 | 9 | 5 Figurilla | 5 O | 4 A / 1 Am | Cu / T / Ca / FCu | Femenina, muestra collar y pechos, posible embarazada / Fragmento de tocado y cabello / Cara con ojos hundidos / Hombro derecho |
| **22-595** | B | KK38 | 10 | 6 Figurilla | 6 O | 2 A / 3 Am / 1 O | ES / EI / A? / A | Mano extendida / De molde, pie / Medallón |
| **22-393** | B | KK38 | 5 | 1 Figurilla | 1 O | A? | B y ES | Brazo con mano extendida y brazalete |
| **22-547** | B | KK39 | 3 | 3 Figurilla | 3 O | 3 A | 1 ES / 2 A | Mano sosteniendo algo / Posible parte de tocado / Posible parte de vestimenta |
| **22-471** | B | KK39 | 4 | 1 Figurilla | 1 O | A | FCu | Fragmento de vestimenta? |
| **22-6111** | B | KK39 | 5 | 1 Figurilla | 1 O | Am | A | Posible ornamento |
| **22-584** | B | KK39 | 5 | 2 Figurilla | 1 O / 1 G | 2 A | 2 FCu | Hombro, orejera y collar / Fragmento circular de vestimenta |
| **22-497** | B | KK40 | 5 | 1 Figurilla | 1 O | M | B y Cu | Brazo sosteniendo bebé |
| **22-41** | B | KK41 | 4 | 4 Figurilla | 4 O | 3 A / 1 Am | 2 EI / 1 T | |
| **22-464** | B | KK41 | 6 | 5 Figurilla | 5 O | 4 A / 1 Am | 1 FCu / 1 EI / 1 T / 1 A | Fragmento de vestimenta / Un pie? / Fragmento de tocado / Adorno |
| **22-370** | B | KK42 | 5 | 2 Figurilla | 2 O | 2 Am | | |
| **22-8257** | B | KK44 | 2 | 1 Figurilla | 1 O | A | EI | Pierna larga con pie |
| **22-64** | B | KK44 | 3 | 1 Figurilla | 1 O | A | EI y FCu | De molde, pie derecho y parte de vestimenta |
| **22-87** | B | KK44 | 4 | 3 Figurilla | 3 O | 3 A | 2 T / 1 Ca | Tocado con cabello casi completo / Fragmento de tocado / Fragmento de cara |

| | | | | | | | | |
|---|---|---|---|---|---|---|---|---|
| **22-8339** | B | KK44 | 5 | 1 Figurilla | 1 O | Z | C | Cabeza de guajolote |
| **22-8388** | B | KK44 | 9 | 1 Figurilla | 1 O | Z | C | Cabeza de ave |
| **22-160** | B | KK44 | 10 | 2 Figurilla | 2 O | 1 A / 1 MF | FCu / AE | Fragmento de pie y vestimenta / Adorno a los lados de figurilla principal |
| **22-142** | B | KK44 | 11 | 2 Figurilla | 2 O | 1 A / 1 MF | T / AE | Fragmento de tocado / Decoración lateral a motivos principales |
| **22-8715** | B | LL32 | 2 | 1 Figurilla | 1 O | Z | C | Cabeza de búho |
| **22-394** | B | LL32 | 7 | 1 Figurilla | 1 O | Am | | |
| **22-29** | B | LL34 | 4 | 2 Figurilla y Asa plana | 2 O | 2 A | T / FCu | Fragmento de tocado / Fragmento de vestimenta: collar |
| **22-505** | B | LL35 | 2 | 3 Figurilla | 3 O | 1 A / 2 Am | ES / 2 A? | Mano extendida con brazalete |
| **22-8803** | B | LL35 | 3 | 1 Figurilla | 1 O | A | Cu | Casi completa, femenina por cuerpo |
| **22-8827** | B | LL35 | 7 | 3 Figurilla | 3 O | 1 A / 2 Z | FCu / C / C | Fragmento de falda y extremidad superior derecha / Cabeza de mono / Posible aplique de murciélago |
| **22-8832** | B | LL35 | 8 | 1 Figurilla | 1 O | A | FCu | Fragmento de vestimenta, falda |
| **22-443** | B | LL35 | 12 | 1 Figurilla | 1 O | A? | Ca | |
| **22-8850** | B | LL35 | 12 | 1 Figurilla | 1 O | A | FCu | Fragmento de hombro, orejera y collar con pecho y adorno exterior, presenta agujero para colgar |
| **22-721** | B | LL35 | 14 | 2 Figurilla | 2 O | A / Am | B | Dos fragmentos de la misma figurilla, brazo con brazalete y parte de vestimenta |
| **22-8428** | B | LL37 | 3 | 1 Figurilla | 1 O | A | EI | Pierna doblada y pie |
| **22-186** | B | LL37 | 10 | 1 Figurilla | 1 O | A | FCu | Fragmento de hombro derecho y collar |
| **22-8470** | B | LL37 | 11 | 1 Figurilla | 1 O | Z | FCu | Fragmento de cuerpo de cocodrilo? |
| **22-8098** | B | LL38 | 4 | 1 Figurilla | 1 O | A | C | Cabeza de figurilla pequeña con cara completa, tocado y orejera |
| **22-8104** | B | LL38 | 5 | 3 Figurilla | 3 O | 1 A / 2 Am | T | Muy erosionado |

| | | | | | | | | |
|---|---|---|---|---|---|---|---|---|
| **22-8107** | B | LL38 | 5 | 1 Figurilla | 1 O | A | Ca | Fragmento de cara: ojos y nariz |
| **22-8114** | B | LL38 | 7 | 2 Figurilla | 2 O | 2 A | T / FCu | Posible casco con orejera / |
| **22-709** | B | LL38 | 8 | 2 Figurilla | 2 O | 1 A / 1 Z | C / ES | Cabeza de ave con decoración y pintura blanca / De molde, pie |
| **22-787** | B | LL38 | 9 | 2 Figurilla | 2 O | 2 A | T o FCu / Ca | Tocado o vestimenta decorados / Fragmento de cara con ojo vacío |
| **22-8987** | B | LL39 | 2 | 1 Figurilla | 1 O | A | FC | Media cabeza con tocado y cara |
| **22-460** | B | LL39 | 3 | 1 Figurilla | 1 O | A | B, ES y FCu | Dos fragmentos de la misma figurilla, brazo con brazalete y mayoría de vestimenta inferior, maxtlatl presente |
| **22-814** | B | LL39 | 6 | 2 Figurilla y Silbato | 2 O | 2 A | B / T | Brazo doblado y mano con brazalete / Fragmento de tocado |
| **22-543** | B | LL40 | 1 | 1 Figurilla | 1 O | Am | | Muy erosionado |
| **22-8503** | B | LL40 | 2 | 1 Figurilla | 1 O | A | T | Fragmento de tocado |
| **22-179** | B | LL40 | 5 | 5 Figurilla | 5 O | 5 A | 2 T / 1 A / 2 Ca | Tocado muy grande / Tocado con adornos / Brazalete / Fragmento de cara: ojo y parte de tocado / Ojo? |
| **22-9470** | B | LL41 | 4 | 1 Figurilla | 1 G | A | B y FCu | Brazo y mano con brazalete, parte de collar y vestimenta |
| **22-545** | B | LL41 | 5 | 1 Figurilla | 1 O | A | T | Fragmento de tocado |
| **22-8796** | B | LL41 | 6 | 1 Figurilla | 1 O | Mo | | Molde de tocado? |
| **22-500** | B | LL41 | 6 | 2 Figurilla | 2 O | A / Am | EI / A? | Pierna / Adorno? |
| **22-60** | B | M16 | 3 | 1 Figurilla | 1 O | A | ES y FCu | Mano extendida con brazalete y fragmento de vestimenta elaborada |
| **22-86** | B | M16 | 4 | 1 Figurilla | 1 O | A | ES | Manos agarrandose |
| **22-135** | B | M16 | 6 | 1 Figurilla | 1 O | A | T | Tocado fragmentado |
| **22-132** | B | M16 | 10 | 1 Figurilla | 1 O | A | EI | De molde, Pie izquierdo |

| | | | | | | | | |
|---|---|---|---|---|---|---|---|---|
| **22-5130** | B | M17 | 5 | 1 Figurilla | 1 G | A | FCu | Femenina, muestra collar y pechos |
| **22-5147** | B | M17 | 8 | 1 Figurilla | 1 O | A | T | |
| **22-491** | B | MM36 | 4 | 2 Figurilla | 2 O | 1 A / 1 Am | ES | Mano? |
| **22-698** | B | MM36 | 5 | 1 Figurilla y orejera | 1 O | Am | | |
| **22-537** | B | MM36 | 6 | 1 Figurilla | 1 O | A | FCu | Fragmento de cuerpo con pie |
| **22-767** | B | MM36 | 8 | 1 Figurilla y orejera | 1 O | A | EI | Pie |
| **22-694** | B | MM36 | 10 | 4 Figurilla | 3 O / 1 G | 2 A / 1 Z / 1 Am | 1 Co / 1 T / 1 FCu (G) | Escorpión / Fragmento de tocado / Hombro, collar y orejera |
| **22-637** | B | MM36 | 11 | 1 Figurilla | 1 O | A | FCu | Lado de vestimenta |
| **22-8517** | B | MM37 | 2 | 2 Figurilla y Soporte | 2 O | 2 A | ES / EI | Mano extendida con brazalete / Pierna larga con pie |
| **22-268** | B | MM37 | 3 | 2 Figurilla | 2 O | 2 A | B? / Ca | Fragmento de brazo? / Fragmento de cara con ojo y ceja, ojo vacío |
| **22-264** | B | MM37 | 4 | 3 Figurilla | 3 O | 2 A / 1 Mo | T / Ca | Fragmento de tocado / Ojo / Molde |
| **22-343** | B | MM37 | 6 | 3 Figurilla | 3 O | 3 Am | | |
| **22-8533** | B | MM37 | 6 | 1 Figurilla | 1 O | A | FCu | Fragmento de vestimenta con adornos |
| **22-633** | B | MM37 | 7 | 4 Figurilla | 4 O | 2 A / 2 Am | B y ES / T | Brazo y mano con brazalete y orejera / Fragmento de tocado |
| **22-9197** | B | MM37 | 7 | 1 Figurilla | 1 O | T? | C | Cabeza de mono? Con tocado |
| **22-636** | B | MM37 | 8 | 2 Figurilla | 2 O | 1 A / 1 Am | FCu | De molde, manos extendidas frente a cuerpo, falda y collar presentes |
| **22-9224** | B | MM37 | 8 | 2 Figurilla | 2 O | 2 A | T / FCu | Tocado elaborado / Dos fragmentos de falda con piernas |
| **22-6094** | B | MM38 | 1 | 2 Figurilla | 2 O | 1 A / 1 Am | 1 EI | 1 de molde |
| **22-8828** | B | MU1 | Entierro | Figurilla | 2 G | Z / Am | C / AE? | Cabeza de animal con orejas paradas / Adorno sobrepuesto? |

| | | | | | | | | |
|---|---|---|---|---|---|---|---|---|
| **22-9740** | B | MU10 | 1 | 1 Figurilla | 1 O | Am | | |
| **22-788** | B | MU10 | 1 | 1 Figurilla | 1 G | A | T o A | |
| **22-9739** | B | MU10 | 1 | 1 Figurilla | 1 G | Z | C | 1/2; Cara de murciélago, parte posterior plana y con agujeros para colgar |
| **22-9718** | B | MU11 | 1 | 3 Figurilla y Disco de cerámica | 3 O | 2 A / 1 Am | T / T y Ca | Fragmento de tocado / Cara completa con tocado de ave elaborado |
| **22-770** | B | MU11 | 1 | 3 Figurilla y Ornamento tubular | 3 O | 3 A | ES / 2 T | Mano extendida con brazalete / Dos fragmentos de tocados |
| **22-693** | B | MU11 | 2 | 5 Figurilla | 5 O | 2 A / 3 Am | 1 T / 2 A | Uno de los adornos es identificable como los que van al lado de brazos |
| **22-9756** | B | MU11 | 2 | 3 Figurilla | 3 O | 3 A | FC / T y Ca / Ca | Cara casi completa con orejera y tocado / Fragmento de tocado y ojo / Cara casi completa |
| **22-752** | B | MU11 | 3 | 2 Figurilla | 1 O / 1 G | 2 A | FCu? / Ca | Fragmento de hombro? / Mitad inferior de cara con boca y orejeras |
| **22-9774** | B | MU11 | 3 | 2 Figurilla | 2 O | 1 A / 1 Z | EI / C y FCu | Pierna / Cabeza y parte de cuerpo de guajolote, posible tocado |
| **22-9913** | B | MU11 | 4 | 2 Figurilla | 2 O | 2 A | 1 B y ES / 1 Ca | Brazo extendido con brazalete y mano agarrando algo / Cara completa con ojos vacíos |
| **22-740** | B | MU11 | 4 | 11 Figurilla y Orejera | 11 O | 9 A / 1 Z / 1 MF | 4 EI / 3 T / 2 FCu / 1 Ca / 1 AE | Dos pies de molde / Dos pies sólidos / Tres fragmentos de tocados / Orejera / Collar / Fragmento de cara de animal con ojo vacío / Adorno exterior a motivo principal |
| **22-796** | B | MU12 | 1 | 16 Figurilla y Silbato | 16 O | 13 A / 3 Am | 1 B / 4 ES / 1 EI / 2 T / 1 FCu / 4 A | Fragmentos de diversas partes de figurillas |
| **22-9807** | B | MU12 | 1 | 16 Figurilla y Miniatura con decoración | 14 O / 2 G | 14 A / 2 Z | 3 C / 1 ES / 3 EI / 7 FCu / 2 Ca | Cabeza de guajolote / Cabeza de ave / cabeza completa con tocado elaborado y corte de "pageboy" / Mano extendida con brazalete y parte de cuerpo femenino con collar / Tres pies / Dos figurillas de molde con parte de vestimenta y pie / Dos fragmentos de falda / Tres fragmentos de hombros con orejera y vestimenta / Fragmento de cara con ojo, nariz y boca / Fragmento de boca y orejera |
| **22-742** | B | MU12 | 2 | 2 Figurilla | 2 O | 2 A | 1 ES / 1 EI | Parte de cuerpo con mano / 1 de molde |

| | | | | | | | | |
|---|---|---|---|---|---|---|---|---|
| **22-9845** | B | MU12 | 2 | 13 Figurilla | 13 O | 10 A / 1 Z / 1 M / 1 Mo | 3 C / 1 ES / 2 EI / 1 ES y EI / 1 Co / 1 T / 3 FCu | Cara completa con fragmento de tocado / Cara completa con fragmento de tocado / Cabeza completa con corte de "pageboy" / Mano extendida hacia arriba con brazalete / Dos piernas / Brazo y mano sosteniendo bebé / Guajolote completo / Fragmento de tocado / Molde de flor |
| **22-6046** | B | MU12 | 3 | 1 Figurilla | 1 O | A | A | Adorno de falda |
| **22-6088** | B | MU12 | 3 | 2 Figurilla | 2 O | 2 Am | 2 A | Posible ornamento |
| **22-799** | B | MU12 | 3 | 20 Figurilla | 20 O | 17 A / 3 Am | 3 EI / 6 T / 6 FCu / 2 Ca | Tres pies de molde / Seis fragmentos de tocados / Tres fragmentos de vestimenta / Fragmento de brazo con adornos de vestimenta / Mitad de figurilla con vestimenta, posible quechquemitl y se muestra sosteniendo posible cetro / Fragmento de vestimenta de algodón por decoración / Cara "vieja" con arrugas y boca abierta, símbolo en frente / Cara erosionada con boca abierta |
| **22-9877** | B | MU12 | 3 | Silbato/ Figurilla y 9 Figurilla | 10 O | 7 A / 2 Z / 1 M | 3 C / 1 Cu / 3 T / 2 FCu / 1 Ca | Cabeza de perro / Cabeza de felino / Cabeza completa con cara, tocado y orejeras / Figurilla múltiple de gemelos / Tres fragmentos de diferentes tocados elaborados / Dos fragmentos de vestimenta elaborados / Cara completa |
| **22-9801** | B | MU13 | 1 | 11 Figurilla, ornamento tubular | 10 O / 1 G | 8 A / 2 Z / 1 Am (G) | 4 C / 1 B / 1 Cu / 1 EI / 3 T / 1 A | 1/2; Cara completa con mohawk, collar y orejera / Cabeza completa sin cabello / Nariz y boca, barba? / Ojos, orejera y tocado / Ojo y tocado/ Hocico de animal / Panza de embarazada? / De molde, cuerpo con extremidades / Brazo con adornos exteriores al lado |
| **22-601** | B | MU13 | 1 | 17 Figurilla | 17 O | 13 A / 3 Am / 1 Mo | 2 ES / 4 EI / 1 T / 2 A / 4 FCu | 4 pies de molde / 2 manos extendidas / Tocado elaborado / Parte de falda / 3 pecho (femeninas) / Molde de murciélago |
| **22-9801** | B | MU13 | 1 | 1 Figurilla | 1 O | Z | C | 2/2; Cabeza de guajolote |
| **22-9841** | B | MU13 | 2 | 2 Figurilla, Mango, Soporte | 2 O | 2 Z | C / Co | Cabeza de búho con pintura blanca / Tortuga completa |

| | | | | | | | | |
|---|---|---|---|---|---|---|---|---|
| **22-605** | B | MU13 | 2 | 2 Figurilla y Ornamento tubular | 2 O | 2 A | T / FCu | Fragmento de tocado / Fragmento de vestimenta |
| **22-9929** | B | MU14 | 1 | 2 Figurilla | 2 O | 2 Z | C / C, ES, FCu | Cabeza de ave / Fragmento de tortuga |
| **22-805** | B | MU14 | 1 | 3 Figurilla | 3 O | 3 A | 2 EI / 1 FCu | De molde, pie / Pierna y pie / Fragmento de oreja, orejera y tocado |
| **22-9969** | B | MU15 | 1 | 2 Figurilla | 2 O | 2 A | 2 Ca | Cara completa, parte de tocado, collar y orejera / Cara completa y parte de tocado de ave? |
| **22-869** | B | MU15 | 1 | 4 Figurilla | 4 O | 2 A / 2 Am | B y ES / FCu | Brazo doblado con mano extendida frente a pecho, orificio para colgar / Orejera de figurilla |
| **22-9041** | B | MU2 | 1 | 1 Figurilla | 1 O | A | C | 1/2; Cara fragmentada y collar |
| **22-9041** | B | MU2 | 1 | 1 Figurilla | 1 O | Z | C | 2/2; Cabeza de liebre? |
| **22-422** | B | MU2 | 1 | 12 Figurilla, Mango y Soporte para figurilla | 12 O | 9 A / 3 Am | 1 ES / 3 EI / 1 Ca / 1 FCu / 3 A | Mano extendida/ 3 Pies / Cara / Orejera / 3 adornos o tocados |
| **22-793** | B | MU2 | 1 | 1 Figurilla | 1 O | P? | | |
| **22-5396** | B | MU2 | 1 | 3 Figurilla | 3 O | 3 A | 2 T / 1 FC | Dos fragmentos de tocados / Fragmento de cabeza con cara, orejera y cabello |
| **22-711** | B | MU2 | 2 | 3 Figurilla | 3 O | 2 A / 1 Am | 2 ES | Mano extendida con brazalete / Mano extendida |
| **22-712** | B | MU2 | 4 | 3 Figurilla | 3 O | 2 A / 1 Am | 1 B / 1 T | Posible brazo doblado / Tocado |
| **22-761** | B | MU2 | 4 | 1 Figurilla | 1 O | MF? | AE? | Parte exterior? |
| **22-713** | B | MU2 | 6 | Silbato/ Figurilla y 2 Figurilla | 3 O | 3 A | B / ES / EI y FCu | Brazo extendido / Mano extendida con brazalete / Silbato antropomorfo con vestimenta y pie |
| **22-737** | B | MU2 | 7 | 3 Figurilla | 3 O | 2 A / 1 Am | 1 B / 1 T | Brazo con brazalete / Fragmento de tocado |
| **22-6228** | B | MU2 | 8 | 1 Figurilla | 1 G | Am | A | Posible ornamento |
| **22-5437** | B | MU2 | 8 | 1 Figurilla | 1 O | A | T y Ca | Cara completa y tocado |

| | | | | | | | | |
|---|---|---|---|---|---|---|---|---|
| **22-777** | B | MU2 | 8 | 1 Figurilla | 1 O | A | T | Tocado |
| **22-9071** | B | MU3 | 1 | 1 Figurilla | 1 O | A | FCu | Figurilla femenina por cuerpo y falda presente |
| **22-462** | B | MU3 | 1 | 1 Figurilla y ornamento tubular | 1 O | A | T | Tocado elaborado |
| **22-9266** | B | MU4 | 2 | 2 Figurilla | 2 O | 2 A | 1 ES / 1 T | Molde y peinado |
| **22-9312** | B | MU4 | 2 | 1 Figurilla | 1 O | Am | | |
| **22-564** | B | MU4 | 2 | 6 Figurilla | 6 O | 5 A / 1 Am | ES / EI / 2 T / FCu | Mano con brazalete / Pie / Dos fragmentos de tocados / Orejera de figurilla |
| **22-535** | B | MU5 | 1 | 15 Figurilla y 4 Ornamentos tubulares | 15 O | 14 A / 1 Am | 1 B / 1 ES / 4 T / 7 FCu / 1 FC | Brazo doblado / Mano con brazo doblado / Cuatro fragmentos de tocados / Tres orejeras / Tres fragmentos de vestimenta / Un collar con pecho femenino / Cabeza con tocado y cabello, hay agujeros para colgar |
| **22-610** | B | MU6 | 1 | 1 Figurilla | 1 CB | Am | | Pedazo de cerámica con glifos |
| **22-561** | B | MU6 | 1 | 2 Silbato/ Figurilla, 2 Figurillas, Soporte y Orejera | 4 O | 2 A / 2 Z | 1 EI / 1 T / 1 FCu | Silbato antropomorfo de pie? / Fragmento de tocado con orejera / Silbato de cuerpo de animal con orificios para colgar / Fragmento de cabeza de guajolote |
| **22-9219** | B | MU6 | 1 | 5 Figurilla, Posible Aplicación con motivo trenzado y 2 Soportes | 5 O | 4 A / 1 Am | 2 ES y FCu / 1 EI / Ca | Dos manos extendidas con brazalete y parte de vestimenta / Pie sólido / Cara elaborada con orificios en ojos y nariz, decorado en cara y collar, tiene pintura plana |
| **22-9922** | B | MU6 | 2 | 1 Figurilla | 1 O | A | FCu y EI | De molde, falda presente |
| **22-9364** | B | MU6 | 2 | 4 Figurilla | 3 O / 1 G | 4 A | 1 FCu y 1 EI / 1 EI / 1 T / 1 ES o EI (G) | 1/2; Maxtlatl / Falda |
| **22-9364** | B | MU6 | 2 | Silbato/ Figurilla y Figurilla | 2 O | 2 A | 1 Cu y 1ES / 1FCu y 1EI | 2/2; De molde, casi completa / Mitad inferior de cuerpo, de molde |

| | | | | | | | | |
|---|---|---|---|---|---|---|---|---|
| **22-758** | B | MU7 | 4 | 1 Figurilla | 1 O | A | T | Fragmento de tocado |
| **22-9506** | B | MU8 | 1 | 4 Figurilla | 4 O | 4 A | T / FCu / 2 Ca | Fragmento de tocado / Fragmento de vestimenta con pie / Cara completa con expresión sorprendida y orejeras / Cara completa |
| **22-566** | B | MU8 | 1 | 19 Figurilla y 3 Silbatos | 19 O | 19 O | 2 ES / 3 EI / 7 T / 7 FCu | Dos manos extendidas con brazalete / Dos pies de molde / Pie sólido / Siete fragmentos de tocados / Tres orejeras con fragmentos de tocados / Hombro / Brazalete / Decoración de vestimenta / Collar y pecho |
| **22-9600** | B | MU9 | 1 | Silbato/ Figurilla y Soporte | O | A | Cu, ES y EI | Cuerpo con una extremidad superior y una inferior, presencia de pintura blanca |
| **22-9603** | B | MU9 | 1 | 1 Figurilla | 1 O | A | C y Ca | 1/2; Cara completa y cabeza, tocado y orejera |
| **22-9603** | B | MU9 | 1 | 1 Figurilla | 1 O | Z | C | 2/2; Cabeza de murciélago? |
| **22-724** | B | MU9 | 1 | 12 Figurilla y 2 Orejeras | 12 O | 4 A / 8 Am | 1 EI / 2 T / 1 FCu / 2 A / 3 AE | Pie / Dos fragmentos de tocado / Orejera de figurilla / Dos adornos de vestimenta o tocado? / Tres adornos exteriores? |
| **22-9829** | B | MU9 | 2 | 3 Figurilla | 3 O | 2 A / 1 Z | 1Cu y 1ES / 1T / 1C (Z) | Falda, collar, cuerpo femenino / Tocado y orejera / Cabeza de ave |
| **22-9973** | B | Muro CT | | 1 Figurilla | 1 O | A | FC | Fragmento de tocado y cara, ojos cerrados y cabello cayendo? |
| **22-240** | B | NN31 | 2 | 5 Figurilla y ornamento | 4 O / 1 G | 5 A | 1 T y Ca / 2 EI / 2 AT | Cara parcial con tocado / Par de piernas / Una pierna / Dos adornos de tocado |
| **22-297** | B | NN31 | 2 | 1 Figurilla | 1 O | O | | Decoración de ornamento tubular |
| **22-8588** | B | NN31 | 2 | 1 Figurilla | 1 G | Z | Co | Posible armadillo |
| **22-357** | B | NN31 | 4 | 5 Figurilla | 4 O / 1 G | 4 A / 1 Am | 1 ES / 1 EI / 1 T / 1 Ca (G) | Mano extendida / De molde, pie / Fragmento de tocado / Fragmento de cara: boca abierta con dientes |
| **22-597** | B | NN33 | 3 | 1 Figurilla y ornamento tubular | 1 O | Am | | |
| **22-9118** | B | NN33 | 4 | 4 Figurilla | 4 O | 3 A / 1 Am | EI / 2 A | De molde, Pie izquierdo |
| **22-204** | B | NN36 | 2 | 3 Figurilla | 3 O | 1 A / 2 Am | T | Tocado |

| | | | | | | | | |
|---|---|---|---|---|---|---|---|---|
| **22-223** | B | NN36 | 3 | 3 Figurilla y Orejera | 3 O | 3 Am | 1 A? | |
| **22-232** | B | NN36 | 4 | 5 Figurilla y silbato | 5 O | 4 A / 1 Am | C / B / ES / T | Cabeza con orejera y ojos salidos / Brazo izquierdo con brazalete / Mano derecha / Tocado removible |
| **22-251** | B | NN36 | 6 | 4 Figurilla | 4 O | 4 A | B / T / A / Ca | Brazo con brazalete / Fragmento de tocado / Adorno / Fragmento de cara |
| **22-337** | B | NN36 | 8 | 8 Figurilla y orejera | 7 O / 1 G | 5 A / 3 Am (G) | C / Ca / 5 A / 1 AE | Cara completa y tocado, casco presente / Ojo / Posible medallón |
| **22-311** | B | NN36 | 9 | 4 Figurilla | 4 O | 3 A / 1 Am | B y ES / T / FCu | Brazo y mano con brazalete y collar / Fragmento de tocado / Orejera de figurilla |
| **22-320** | B | NN36 | 10 | 4 Figurilla | 4 O | 3 A / 1 Am | T / FCu / Ca | Fragmento de tocado alto / Orejera de figurilla / Fragmento de cara con ojo normal y ojo salido |
| **22-695** | B | NN37 | 1 | 1 Figurilla | 1 O | A | Ca | Cabeza completa, muy erosionada |
| **22-9494** | B | NN37 | 3 | 2 Figurilla | 2 O | 2 A | 2 T | Fragmento de tocado plano / Casco decorado o chongo |
| **22-776** | B | NN37 | 4 | 3 Figurilla | 3 O | 3 A | 1 ES / 2 FCu | Mano extendida con brazalete / Fragmento de cuerpo con estómago / Posible parte de vestimenta |
| **22-579** | B | NN37 | 7 | 4 Figurilla | 4 O | 4 A | 1 Co / 1 Ca / 2 T | Figurilla completa pequeña / Cara / Tocado con pintura / Diadema |
| **22-9607** | B | NN37 | 8 | 1 Soporte para figurilla | 1 O | O | | 1/2 |
| **22-9607** | B | NN37 | 8 | 2 Figurilla | 2 O | 2 A | 1 C / 1 Ca | 2/2; Cabeza erosionada / Cara |
| **22-807** | B | NN37 | 8 | 1 Figurilla | 1 O | A | Ca | Fragmento de cara: nariz y boca |
| **22-617** | B | NN37 | 8 | 5 Figurilla | 5 O | 3 A / 2 Am | 1 EI / 2 T | Pie con pintura blanca / Dos fragmentos de tocado |
| **22-304** | B | NN38 | 1 | 9 Figurilla y Malacate | 9 O | 5 A / 4 Am | 2 EI / 2 FCu / 1 Ca | Muy erosionado: Dos pies / Dos fragmentos de vestimenta / Fragmento de cara: ojo |
| **22-171** | B | NN38 | 2 | 3 Figurilla | 3 O | 3 Am | 3 A? | |
| **22-8724** | B | NN38 | 4 | 3 Figurilla y Flauta | 3 O | 3 Z | 3 C | Cabeza de ave / Cabeza de felino? / Cabeza de iguana? Ave? |
| **22-206** | B | NN38 | 4 | 4 Figurilla y Orejera | 4 O | 3 A / 1 Am | T / 2 FCu | Fragmento de tocado / Adorno de vestimenta / Medallón de vestimenta? |
| **22-391** | B | NN38 | 6 | 7 Figurilla | 7 O | 3 A / 4 Am | ES / EI / FCu | Mano con brazalete / Pie / Fragmento de vestimenta |

| | | | | | | | | |
|---|---|---|---|---|---|---|---|---|
| **22-8744** | B | NN38 | 6 | 2 Figurilla, Orejera y Ornamento tubular | 2 O | 1 A / 1 M | 2 FCu? | Fragmento de cuerpo femenino con pecho, vestimenta, brazo y mano con brazalete / Fragmento de cuerpo, posiblemente cargando a bebé con rebozo |
| **22-445** | B | NN38 | 7 | 2 Figurilla | 2 O | 1 A / 1 Am | Ca | Muy erosionado |
| **22-8759** | B | NN38 | 7 | 4 Figurilla y Orejera | 1 CB / 3 O | 3 A / 1 Am (CB) | 1 ES / 1 EI? / 1 T | Mano extendida sobre atuendo / Pie y fragmento de atuendo? / Fragmento de tocado |
| **22-8779** | B | NN38 | 8 | 2 Figurilla y soporte | 2 O | A / Am | FCu y Ca | Cara erosionada, orejeras y collar |
| **22-516** | B | NN38 | 9 | 2 Figurilla | 2 O | 2 A | T y A / T | Fragmento de tocado, cabello y orejera / Fragmento de tocado y un poco de cara |
| **22-798** | B | NN38 | 9 | 1 Figurilla | 1 O | A | FCu | Fragmento de mejilla, orejera y tocado |
| **22-9119** | B | NN40 | 3 | 1 Figurilla | 1 O | Am | | Posible tocado |
| **22-9145** | B | NN40 | 4 | 1 Figurilla | 1 O | M | FCu y ES | Figurilla sosteniendo bebé |
| **22-550** | B | NN40 | 4 | 2 Figurilla | 2 O | A / P | FC | Fragmento de cabeza con tocado |
| **22-299** | B | NN44 | 3 | 1 Figurilla y ornamento tubular | 1 O | Am | | |
| **22-8614** | B | NN44 | 4 | 1 Figurilla | 1 O | A | Ca | Cara completa y cabeza, posible casco |
| **22-235** | B | NN44 | 4 | 3 Figurilla | 3 O | 1 A / 2 Am | ES | Mano extendida con brazalete |
| **22-8647** | B | NN44 | 8 | 1 Figurilla | 1 O | A | FC | Fragmento de cara, tocado y orejera |
| **22-411** | B | NN44 | 9 | 2 Figurilla | 2 O | 2 A | 1 C y FCu / 1 FCu | Muy erosionada, cabeza con decoraciones y manos frente a pecho / Fragmento de vestimenta |
| **22-316** | B | NN44 | 11 | 1 Figurilla | 1 G | Am | | |
| **22-292** | B | O14 | 2 | 4 Figurilla | 3 O / 1 G | 2 A / 2 Am | 2 FCu | Fragmento de orejera / Fragmento de falda y pie derecho |
| **22-432** | B | O14 | 4 | 1 Figurilla | 1 O | A | A | Muy erosionado |

| | | | | | | | | |
|---|---|---|---|---|---|---|---|---|
| **22-574** | B | OO32 | 2 | 3 Figurilla | 2 O / 1 G | 1 Am / 1 P / 1 A | EI | Pie derecho con parte de vestimenta |
| **22-9133** | B | OO32 | 3 | 2 Figurilla y Ornamento tubular | 2 O | 2 A | EI / T | Pierna / Fragmento de tocado |
| **22-908** | B | OO34 | 2 | 1 Figurilla | 1 O | A | ES | Pintura blanca presente |
| **22-9017** | B | OO34 | 2 | 1 Figurilla | 1 G | Z | C | Cabeza de animal, lagarto? Posible aplicación |
| **22-9166** | B | OO34 | 3 | 1 Figurilla | 1 O | A | FCu | Femenina, parte derecha con pecho, collar y brazalete |
| **22-609** | B | OO34 | 3 | 2 Figurilla | 2 O | 1 Am / 1 P | | |
| **22-607** | B | OO34 | 4 | 1 Figurilla | 1 O | A | A | Orejera de figurilla |
| **22-9177** | B | OO34 | 5 | 1 Figurilla | 1 O | Z | C | Cabeza de animal, posible reptil? |
| **22-9189** | B | OO34 | 6 | 1 Figurilla | 1 O | Z | FCu | Fragmento de cuerpo de tortuga con cabeza y pata |
| **22-701** | B | OO34 | 7 | 4 Figurilla | 4 O | 4 A | 3 FCu / 1 Ca | Fragmento de quechquemitl y brazalete / Orejera de figurilla / Fragmento de vestimenta / Fragmento de boca con adorno al lado |
| **22-9481** | B | OO34 | 8 | 1 Figurilla | 1 O | A | FC y Ca | Cara completa y cabeza, parte de tocado y orejera |
| **22-685** | B | OO34 | 8 | 3 Figurilla | 3 O | 2 A / 1 Am | T / FCu | Fragmento de tocado / Orejera de figurilla |
| **22-743** | B | OO34 | 11 | 4 Figurilla | 4 O | 3 A / 1 Am | ES o EI / 2 T? | Parte de extremidad con decorado / Posible casco / Fragmento de diadema |
| **22-8119** | B | OO38 | 1 | 1 Figurilla | 1 O | O | C y Cu | Figurilla pequeña con cara |
| **22-8139** | B | OO38 | 2 | 1 Figurilla y soporte | 1 O | Z | C | Cabeza de ave |
| **22-25** | B | OO38 | 4 | 2 Figurilla y orejera | 2 O | 2 A | B y FCu / FCu | Brazo con brazalete y parte de cuerpo / Posible orejera |
| **22-39** | B | OO38 | 5 | 2 Figurilla y orejera | 2 O | 2 A | T / FCu | Fragmento de tocado / Fragmento de vestimenta? Parte hundida |
| **22-8167** | B | OO38 | 6 | 2 Figurilla y soporte | 2 O | 1 A / 1 Z | Ca y T / C | Figurilla femenina por peinado y tocado (diadema) / Cabeza de guajolote, pintura blanca |

| | | | | | | | | |
|---|---|---|---|---|---|---|---|---|
| **22-8192** | B | OO38 | 8 | 3 Figurilla | 3 O | 2 A / 1 T | EI y FCu / C / C | Extremidades inferiores y posible maxtlatl sosteniendo algo / Cara arrugada con sonrisa / Posible cara de ave con tocado y orejeras |
| **22-45** | B | OO38 | 8 | 8 Figurilla | 8 O | 6 A / 1 Am / 1 MF | B / ES / EI / 2 FCu / Ca / AE | Brazo doblado / Mano extendida / Pie / Dos fragmentos de la misma falda / Fragmento de falda / Fragmento de cara: ojo / Adorno exterior lateral |
| **22-8208** | B | OO38 | 9 | 2 Figurilla | 1 O / 1 G | 1 A / 1 Z (G) | Ca / C (Z) | Fragmento de cara: nariz y boca / Cabeza de felino? |
| **22-13** | B | OO38 | 9 | 7 Figurilla y 2 Ornamentos tubulares | 7 O | 5 A / 1 Z / 1 Am | C (Z) / B y FCu / 3 A / FCu | Cabeza de animal con inicio de cuerpo, parecido a medallón / Brazo con brazalete y fragmento de vestimenta / Orejera / Dos adornos / Mitad de cuerpo femenino con lado izquierdo: pecho collar y falda |
| **22-6239** | B | OO38 | 9 | 4 Figurilla | 4 O | 4 A | 3 T / 1 FCu | Tres fragmentos de tocados / Fragmento de vestimenta |
| **22-8221** | B | OO38 | 10 | 3 Figurilla | 3 O | 3 A | C y T / Ca y T / Ca | Cara completa, tocado y cabeza, pintura roja / Parte de cara y tocado / Nariz y boca |
| **22-8228** | B | OO38 | 10 | Figurilla | 1 O | 1 A | Ca y T | Cara fragmentada, tocado y orejera |
| **22-557** | B | OO41 | 2 | 2 Figurilla | 2 O | 2 A | C / FCu | Cabeza muy erosionada / Hombro con collar y orejera |
| **22-546** | B | OO41 | 3 | 6 Figurilla y Orejera | 6 O | 6 A | 4 T / 2 FCu | Cuatro fragmentos de tocados / Fragmento de cuerpo femenino con pecho, collar y falda / Fragmento de falda |
| **22-9102** | B | OO41 | 4 | 1 Figurilla | 1 O | Z | C | 1/2; Cabeza de guajolote |
| **22-9102** | B | OO41 | 4 | 1 Figurilla | 1 O | A | Ca | 2/2; Cara completa |
| **22-534** | B | OO44 | 2 | 1 Figurilla | 1 O | A | Ca | Fragmento de cara: ojo? |
| **22-616** | B | PP31 | 2 | 1 Figurilla y soporte | 1 O | Am | | |
| **22-702** | B | PP32 | 2 | 1 Figurilla | 1 O | P | | |
| **22-8436** | B | PP38 | 2 | 1 Figurilla | 1 O | A | Posible T | Fragmento con adornos |
| **22-8432** | B | PP38 | 2 | 1 Figurilla | 1 G | A | C | Cabeza con cara, importación? |

| | | | | | | | | |
|---|---|---|---|---|---|---|---|---|
| **22-173** | B | PP38 | 4 | 2 Figurilla | 2 O | 2 A | ES / FCu | Pie / Fragmento de hombro y pecho |
| **22-8476** | B | PP38 | 5 | 2 Figurilla | 2 O | 2 A | C? / Ca | Cara completa y casco? / Cara |
| **22-150** | B | PP38 | 6 | 4 Figurilla | 4 O | 3 A / 1 Am | B / Cu / T | Brazo con brazalete / Cuerpo de figurilla con mano extendido vestimenta, masculina debido a maxtlatl / Fragmento de tocado |
| **22-8496** | B | PP38 | 8 | 1 Figurilla | 1 O? | A | C y T | Cara completa y parte de tocado |
| **22-540** | B | PP38 | 8 | 2 Figurilla | 2 O | A / Am | Ca | Ojo derecho |
| **22-492** | B | PP38 | 9 | 7 Figurilla | 7 O | 7 A | 3 B / 3 T / 1 FCu | Tres fragmentos de brazos / Tres fragmentos de tocados / Orejera de figurilla |
| **22-9462** | B | PP38 | 10 | 1 Figurilla y soporte para figurilla | 1 O | A | Ca | Cara erosionada con casco |
| **22-525** | B | PP38 | 10 | 17 Figurilla y Ornamento tubular | 1 CB / 16 O | 11 A / 2 Z / 4 Am | 1 C / 1 ES / 1 EI / 5 T / 2 A / 2 FCu / 1 Ca | Cabeza de ave / Mano extendida y decoración lateral / Una extremidad inferior / Cinco fragmentos de tocados: dos diademas, pétalos, bolitas en relieve y hojas / Posible tocado hueco triangular / Collar / Cuerpo de tortuga / Cuerpo de molde con piernas / Cara con ojos vacíos y boca abierta |
| **22-254** | B | PP38 | 11 | 2 Figurilla y orejera | 2 O | 2 A | Ca / EI y FCu | Mitad de cara y fragmento de tocado / Pie derecho y vestimenta |
| **22-8549** | B | PP38 | 12 | 5 Figurilla | 3 O / 2 G | 4 A / 1 Z | C / T / FCu / 2 Ca | Cabeza de ave / Tocado elaborado / Orejera y parte de tocado / Cara completa con casco y orejeras / Cara completa con tocado de ave |
| **22-67** | B | PP38 | 12 | 5 Figurilla | 5 O | 5 A | 1 ES / 1 EI / 2 T / 1 FCu | Mano sosteniendo cetro / Pie / Dos tocados / Hombro con vestimenta y orejera |
| **22-8556** | B | PP38 | 13 | 2 Figurilla | 1 CB / 1 O | 2 A | C / Ca | Cabeza completa con ojos, nariz y boca vacíos / Media cara con ojos, orejera y tocado |
| **22-8564** | B | PP38 | 14 | 1 Figurilla y ornamento tubular | 1 O | A | C | Cabeza completa con cara, orejas y peinado? |
| **22-794** | B | PP43 | 3 | 1 Figurilla | 1 O | A | FCu | Hombro derecho, orejera y collar |
| **22-699** | B | PP43 | 4 | 1 Figurilla | 1 O | A | FCu | Fragmento de vestimenta |

| | | | | | | | | |
|---|---|---|---|---|---|---|---|---|
| **22-9674** | B | PP43 | 6 | 1 Figurilla | 1 O | A | Ca y T | Cara casi completa y parte de tocado, el tocado sobresale con un aplique en el centro |
| **22-9685** | B | PP43 | 7 | 2 Figurilla | 1 O / 1 G | 1 A / 1 Am | T / A | Tocado y fragmento de cara / Fragmento decorado |
| **22-739** | B | PP43 | 7 | 1 Figurilla | 1 O | A | FCu | Fragmento de vestimenta? |
| **22-9707** | B | PP43 | 8 | 3 Figurilla | 3 O | 3 A | 1 FCu / 2 EI | Vestido / de molde / pie sólido |
| **22-612** | B | PP43 | 8 | 2 Figurilla | 2 O | 2 Am | A? | |
| **22-759** | B | PP43 | 2 | 3 Figurilla | 3 O | 2 A / 1 Am | ES / EI | Mano extendida con pintura blanca / Pierna larga |
| **22-347** | B | PP44 | 3 | 7 Figurilla y Orejera | 7 O | 4 A / 2 Am / 1 P | 1 B / 1 EI / 1 T / 1 Ca | Brazo / Pie / Tocado / Nariz |
| **22-8967** | B | PP44 | 4 | 2 Figurilla | 2 O | 2 A | Ca / ES o EI | Cara completa, con arrugas y símbolo en mejilla, ojos cerrados |
| **22-9368** | B | PP44 | 6 | 2 Figurilla | 2 O | 2 A | 2 FCu | 1 de molde / Posible parte de brazo |
| **22-9391** | B | PP44 | 7 | 1 Figurilla | 1 G | O | | Aplique? |
| **22-572** | B | PP44 | 9 | 1 Figurilla | 1 O | Am | | |
| **22-596** | B | QQ32 | 3 | 1 Figurilla | 1 O | P | | |
| **22-768** | B | QQ34 | 2 | 3 Figurilla | 3 O | 2 A / 1 Am | EI / FCu | Pie / Orejera |
| **22-9616** | B | QQ34 | 3 | 1 Figurilla | 1 O | T o Z | C | Cabeza de animal, posible reptil? Con tocado? |
| **22-766** | B | QQ34 | 3 | 1 Figurilla | 1 O | A | T | Fragmento de tocado |
| **22-9630** | B | QQ34 | 4 | 1 Figurilla | 1 O | Mo | | Posible para soportes |
| **22-736** | B | QQ34 | 4 | 3 Figurilla | 3 O | 3 A | 1 ES / 1 T / 1 FCu | Parte de brazo y mano con brazalete / Tocado de figurilla pequeño / Collar |
| **22-9662** | B | QQ34 | 7 | 1 Figurilla | 1 O | Z | C | Cabeza de guajolote? |
| **22-9679** | B | QQ34 | 8 | 1 Figurilla | 1 O | A | ES y FCu | Brazo y mano con brazalete, parte de collar y vestimenta |

| | | | | | | | | |
|---|---|---|---|---|---|---|---|---|
| **22-9655** | B | QQ36 | 5 | 1 Figurilla | 1 O | Am | | Presenta orificio para colgar |
| **22-27** | B | QQ38 | 2 | 9 Figurilla | 9 O | 5 A / 4 Am | 3 T / 2 FCu | Tres fragmentos de tocados / Fragmento de falda? / Fragmento de hombro y adorno exterior |
| **22-26** | B | QQ38 | 3 | 7 Figurilla | 7 O | 2 A / 5 Am | T / FCu | Posible tocado / Parte de falda |
| **22-8145** | B | QQ38 | 4 | 1 Figurilla | 1 O | A | EI | Pierna larga con pie |
| **22-48** | B | QQ38 | 8 | 2 Figurilla | 2 O | 2 A | ES / T | Mano extendida con brazalete / Fragmento de tocado elaborado |
| **22-8186** | B | QQ38 | 8 | 1 Figurilla | 1 O | Z | Ca | Cara de mono? |
| **22-8198** | B | QQ38 | 9 | 1 Figurilla | 1 O | A | Cu | Figurilla femenina por quechquemitl y falda presente |
| **22-8214** | B | QQ38 | 10 | 1 Figurilla | 1 O | S | Ca | Cara completa con nariz salida y boca partida |
| **22-97** | B | QQ38 | 11 | 1 Figurilla | 1 O | Z | C y FCu | Cabeza y mitad de cuerpo de tortuga |
| **22-106** | B | QQ38 | 12 | 5 Figurilla | 5 O | 5 A | B y ES / T / FCu / 2 Ca | Mano extendida frente a pecho / Fragmento de tocado / Parte de tronco superior con falda y pie derecho / Dos caras |
| **22-879** | B | QQ38 | 13 | 1 Figurilla y ornamento tubular | 1 O | A? | A | Adorno de vestimenta? |
| **22-28** | B | QQ38 | 4 | 2 Figurilla | 2 O | 1 A / 1 Am | A | Adornos de tocado |
| **22-40** | B | QQ38 | 6 | 3 Figurilla y Orejera | 3 O | 3 A | C / 2 FCu | Cabeza pequeña con cara y orejeras / Dos orejeras de figurilla |
| **22-6240** | B | QQ38 | 9 | 29 Figurilla, 2 asas planas y 7 ornamentos tubulares | 29 O | 19 A / 10 Am | 4 EI / 7 T / 7 FCu / 1 Ca | Tres pies / Pie de figurilla de molde / Siete fragmentos de tocados / Tres orejeras de figurilla / Orejera y parte de vestimenta / Tres fragmentos de vestimenta / Fragmento de cara: nariz y boca |
| **22-719** | B | QQ41 | 4 | 1 Figurilla | 1 O | Am | | |
| **22-9579** | B | QQ41 | 5 | 1 Figurilla y soporte | 1 O | Am | | |

| | | | | | | | | |
|---|---|---|---|---|---|---|---|---|
| **22-9593** | B | QQ41 | 6 | 2 Figurilla | 2 O | 1 A / 1 Am | Ca / Posible A | Mitad de cara / Adornos (vestimenta?) |
| **22-641** | B | QQ41 | 6 | 1 Figurilla | 1 O | A | ES | Mano extendida con brazalete y decoración externa |
| **22-9622** | B | QQ41 | 7 | 2 Figurilla | 1 CB / 1 O | S / A (O) | 1 C / 1 FCu (O) | Cabeza completa con cara, cuernos y ojos vacíos / Vestimenta con pintura blanca |
| **22-728** | B | QQ41 | 7 | 1 Figurilla | 1 O | A | T | Fragmento de casco |
| **22-629** | B | QQ41 | 8 | 1 Figurilla | 1 O | A | FCu | Fragmento de vestimenta |
| **22-8874** | B | QQ43 | 2 | 1 Figurilla | 1 O | A | T | Tocado elaborado |
| **22-558** | B | QQ43 | 4 | 3 Figurilla | 3 O | 3 A | 1 B y ES / 1 ES / 1 T | Brazo con brazalete y mano extendida, parte de cuerpo y collar / Pie / Fragmento de tocado |
| **22-8907** | B | QQ43 | 5 | 1 Figurilla | 1 O | A | Ca | Fragmento de cara: nariz y boca |
| **22-342** | B | QQ43 | 5 | Silbato/ Figurilla y Figurilla | 2 O | A / Am | B y FCu | Dos fragmentos del silbato antropomorfo pero misma figurilla, parte superior con brazo en cintura y parte inferior con maxtlatl |
| **22-9453** | B | QQ43 | 6 | 1 Figurilla | 1 O | Z | C | Cabeza de búho con pintura blanca y roja, ojos vacíos |
| **22-549** | B | QQ43 | 6 | 1 Figurilla | 1 O | A | T | Posible tocado |
| **22-9492** | B | QQ43 | 8 | 2 Figurilla | 1 O / 1 G | 2 A | 1 ES / 1 EI | Brazo doblado / Pie |
| **22-700** | B | QQ43 | 9 | 1 Figurilla | 1 O | A | FCu | Parte de vestimenta? |
| **22-9534** | B | QQ43 | 10 | 1 Figurilla | 1 O | A | C | Cara completa y cabeza, ojos vacíos |
| **22-638** | B | QQ43 | 10 | 1 Figurilla | 1 O | A | T | Tocado elaborado |
| **22-446** | B | QQ44 | 4 | 1 Figurilla | 1 O | A | FC | Fragmento de orejera y cabello |
| **22-275** | B | QQ44 | 5 | 6 Figurilla | 6 O | 2 A / 1 Z / 1 Am / 2 MF | EI / Ca / FC / 3 A? | Pie / Cara erosionada / Fragmento de cabeza de animal? / Dos apliques |
| **22-729** | B | QQ44 | 5 | 1 Figurilla | 1 O | Am | | Muy erosionada |

| | | | | | | | | |
|---|---|---|---|---|---|---|---|---|
| **22-9287** | B | QQ44 | 6 | 1 Figurilla | 1 CB | Am | A? | |
| **22-576** | B | QQ44 | 6 | 4 Figurilla y Orejera | 4 O | 3 A / 1 MF | B y ES / FC / FCu / AE | Mano extendida frente a pecho, agujero para colgar / Fragmento de frente / Fragmento de vestimenta lateral y brazalete / Adorno exterior en S |
| **22-9297** | B | QQ44 | 7 | 2 Figurilla y soporte | 2 O | 2 A | C / A | Cara completa y cabeza, pintura presente / Posible orejera de figurilla |
| **22-9305** | B | QQ44 | 8 | 1 Figurilla | 1 O | Z | C | Cabeza de perro? |
| **22-6242** | B | QQ44 | 8 | 1 Figurilla | 1 G | A? | T? | Fragmento de tocado hueco? |
| **22-693** | B | QQ44 | 10 | 2 Figurilla | 2 O | 2 A | 2 ES | Mano extendida con brazalete / Mano con dedo extendido |
| **22-9982** | B | Superficie | | 1 Figurilla | 1 G | A | Cu | Cuerpo con extremidades |
| **22-5004** | B | Superficie | | 2 Figurilla | 2 O | 1 Z / 1 Am | Co | Tortuga con glifos / Yugo |
| **22-5005** | B | Superficie | | 1 Figurilla | 1 O | P | | |

# CAPÍTULO 7 - Análisis Bioarqueológico de Entierros

**Arion T. Mayes**
**Elaine M. Aguayo Ortiz**
**Abilene Ayala**
**Zachery Clow**

## 7.1 Introducción

El componente bioarqueológico de este estudio permitirá la evaluación de la salud de la población y su papel o impacto en el colapso del período Clásico en el valle inferior del Río Verde. La temporada de laboratorio y campo de 2022 permitió la excavación, el inventario y el análisis preliminar de veinte entierros, con observaciones más extensas en tres entierros adicionales: E120-I133, E127-I140, E134-I147 (ver sección 7.3, abajo). El análisis osteológico incluyó la documentación de la información demográfica, la edad al momento de la muerte y la estimación del sexo. Se describieron procesos patológicos esqueléticos y dentales. Estos incluyen firmas nutricionales, evidencia de tipo de subsistencia, enfermedades infecciosas, osteoartritis y osteofitosis, cambios debido a comportamientos repetitivos (es decir, estrés ocupacional) y trauma. Se tomaron medidas antropométricas y se estimó la estatura cuando la tafonomía lo permitía. Se recolectó la morfología dental para medir la variación de la población y el análisis de distancia. También se describió la modificación cultural del esqueleto y la dentición cuando estaba presente. Se propone un análisis completo de los veintitrés individuos para el verano de 2023.

La siguiente sección provee información básica de los entierros recuperados durante el PRV2022. Se proporcionan datos sobre edad, sexo, y patología si era posible discernirlos.

## 7.2 Entierros de Río Viejo, PRV 2022

**Entierro 115, Individuo 127**
Ubicación: Op. B norte, unidad QQ38
Clase de entierro: primario
Cronología: Clásico Tardío
Número de individuos: 1
Sexo: no determinado
Edad: fetal/infante (34 semanas)
Posición: flexionado, al lado derecho
Orientación: S-N (de cabeza a pies)
Conservación: buena condición
Patología ósea: no determinado
Patología dental: no determinado
Notas: 75% completo
Ofrendas: N/A

**Entierro 116, Individuo 128**
Ubicación: Op. B norte, unidad KK44
Clase de entierro: primario
Cronología: Clásico Tardío
Número de individuos: 1
Sexo: no determinado
Edad: infante
Posición: flexionado
Orientación: 44°NE (de cabeza a pies)
Conservación: buena condición
Patología ósea: no determinado
Patología dental: no determinado
Notas: fue enterrado con otro infante E116-I128; 25% completo; estuvieron presentes la columna vertebral, las costillas derechas y el brazo derecho; posibles fragmentos de cráneo al oeste de la columna
Ofrendas: N/A

**Entierro 116, Individuo 129**
Ubicación: Op. B norte, unidad KK44
Clase de entierro: primario
Cronología: Clásico Tardío
Número de individuos: 1
Sexo: no determinado
Edad: infante (36-40 semanas)
Posición: flexionado, al lado derecho
Orientación: 44°NE (de cabeza a pies)
Conservación: buena condición
Patología ósea: no determinado
Patología dental: no determinado

Notas: fue enterrado con otro infante E116-I128; este individuo estaba 50% completo desde el cráneo hasta el final de la columna vertebral; donde deberían estar los pies hay una acumulación de huesos planos posiblemente del cráneo de E116-I128
Ofrendas: N/A

**Entierro 117, Individuo 130**
Ubicación: Op. B norte, MU1
Clase de entierro: primario
Cronología: Posclásico temprano
Número de individuos: 1
Sexo: Posiblemente masculino
Edad: no determinada
Posición: extendido en decúbito dorsal
Orientación: 29°NE (de cabeza a pies)
Conservación: mala condición
Patología ósea: no determinado
Patología dental: no determinado
Notas: la palma de la mano izquierda era medial; la mano derecha pasa por debajo del os coxa
Ofrendas: N/A

**Entierro 118, Individuo 131**
Ubicación: Op. B norte, MU4
Clase de entierro: primario
Cronología: Posclásico temprano
Número de individuos: 1
Sexo: Masculino
Edad: no determinada
Posición: extendido
Orientación: 45°NE (de cabeza a pies)
Conservación: mala condición
Patología ósea: no determinado
Patología dental: no determinado
Notas: la tibia derecha estaba al revés; mano derecha era dorsal; la palma de la mano izquierda era medial
Ofrendas: 2 vasijas; una a cada lado de los pies

**Entierro 119, Individuo 132**
Ubicación: Op. B norte, MU5
Clase de entierro: primario
Cronología: Posclásico temprano
Número de individuos: 1
Sexo: Posiblemente masculino
Edad: no determinada
Posición: extendido
Orientación: 42°NE (de cabeza a pies)
Conservación: mala condición
Patología ósea: osteoartritis

Patología dental: desgaste dental moderado; múltiples caries en la mandíbula; cálculo moderado; absceso en el molar inferior derecho 2; hipoplasias lineales del esmalte en incisivos superiores, caninos superiores, premolares superiores 1, premolar superior izquierdo 2, molares superiores derechos 1-3, molares superiores izquierdos 1 y 2, incisivo inferior derecho 1 y caninos inferiores
Notas: astillado antemortem en premolares superiores derechos; el brazo izquierdo estaba ligeramente doblado a la altura del codo; manos contra el os coxa y debajo del área de la cabeza femoral; las piernas estaban giradas: la superficie medial de los fémures estaba hacia arriba, la superficie de tibias y peronés estaba hacia arriba; la parte inferior de las piernas también se cruzó, incluidos los pies
Ofrendas: 2 vasijas una a cada lado de los pies

**Entierro 120, Individuo 133**
Ubicación: Op. A, MU19
Clase de entierro: primario
Cronología: Clásico Tardío
Número de individuos: 1
Sexo: Femenino
Edad: adulto (30-39 años)
Posición: flexionado, al lado derecho
Orientación: no determinado
Conservación: buena condición
Patología ósea: osteoartritis; osteofitosis
Patología dental: hipoplasias lineales del esmalte en los incisivos superiores, caninos superiores, molares superiores 1 y 2, caninos inferiores, y premolar inferior 1
Notas: modificación craneal con aplanamiento anteroposterior; pérdida de dientes antemortem;
Ofrendas: 4 vasijas, peine de hueso, aguja de hueso, y malacates; el cráneo se encontró separado del resto del esqueleto y orientado al NE; 4 vasijas fueron encontradas en hilera de oeste a este, y norte de los pies; el peine de hueso y la aguja de hueso se encontraron al oeste del os coxa; se encontraron malacates cerca de las costillas; había algunas piedras cortadas colocadas encima del entierro

**Entierro 121, Individuo 134**
Ubicación: Op. A, MU24
Clase de entierro: primario
Cronología: Posclásico temprano
Número de individuos: 1
Sexo: posiblemente femenino
Edad: no determinada
Posición: extendido
Orientación: 261°SO (de cabeza a pies)
Conservación: muy mala condición
Patología ósea: no determinado
Patología dental: no determinada
Notas: S a N (pies a cabeza); el único cardinalmente dirigido desde los pies (sur) a la cabeza (norte); fémures girados lateralmente
Ofrendas: 1 vasija

**Entierro 122, Individuo 135**
Ubicación: Op. A, MU34
Clase de entierro: primario

Cronología: Posclásico temprano
Número de individuos: 1
Sexo: Posiblemente femenino
Edad: no determinada
Posición: extendido
Orientación: 2°NE (de cabeza a pies)
Conservación: muy mala condición
Patología ósea:
Patología dental: desgaste dental moderado oclusalmente en los molares superiores; cálculo en la cara bucal de los molares superiores, caries en el molar superior izquierdo 2; hipoplasias lineales del esmalte en los premolares superiores derechos, molares superiores derechos, premolar superior izquierdo 2, molares superiores izquierdos, premolar inferior izquierdo 2 y molar inferior 3
Notas: el peroné derecho tiene una fractura antemortem bien curada ubicada en la superficie lateral de la diáfisis
Ofrendas: 2 vasijas una a cada lado de los pies

**Entierro 123, Individuo 136**
Ubicación: Op. A, MU34
Clase de entierro: primario
Cronología: Posclásico temprano
Número de individuos: 1
Sexo: no determinado
Edad: no determinada
Posición: extendido
Orientación: 2°NE (de cabeza a pies)
Conservación: muy mala condición
Patología ósea: no determinada
Patología dental: no determinada
Notas: el cráneo estaba increíblemente dañado debido a la tafonomía; faltaba la parte inferior del brazo izquierdo; la parte inferior de las piernas estaba cruzada; los pies estaban directamente debajo de la vasija
Ofrendas: 1 vasija a lado de los pies

**Entierro 124, Individuo 137**
Ubicación: Op. A, MU35
Clase de entierro: primario
Cronología: Posclásico temprano
Número de individuos: 1
Sexo: Posiblemente femenino
Edad: Posiblemente adulto
Posición: extendido
Orientación: 9°NE (de cabeza a pies)
Conservación: muy mala condición
Patología ósea: no determinada
Patología dental: no determinada
Notas: se encontraron huesos de dedos alrededor del área de la cabeza femoral; el antebrazo derecho pasaba por debajo del os coxa; la tibia derecha tiene estaba del revés
Ofrendas: 2 vasijas una a cada lado de los pies

**Entierro 125, Individuo 138**
Ubicación: Op. A, MU28
Clase de entierro: primario
Cronología: Posclásico temprano
Número de individuos: 1
Sexo: Posiblemente femenino
Edad: adulto joven (20-35 años)
Posición: extendido
Orientación: 40°NE (de cabeza a pies)
Conservación: muy mala condición
Patología ósea: acumulación anormal de hueso por uso excesivo de inserciones musculares en la tibia izquierda (relacionado con la actividad)
Patología dental: el desgaste dental es muy leve/moderado; gran caries presente en el molar inferior izquierdo 1; incisivos laterales en forma de clavija con pala severa; hipoplasias lineales del esmalte presentes en los incisivos superiores, caninos superiores, premolares superiores izquierdos, molares superiores izquierdos, molares superiores derechos 2 y 3, caninos inferiores, premolar inferior izquierdo 1, premolares inferiores derechos, molares inferiores derechos, molar inferior izquierdo 2. Se identificaron fosas en el molar 1 superior derecho y el molar 1 inferior izquierdo.
Notas: El cráneo tiene distorsión plástica por la tafonomía; manos al lado del os coxa; la cara posterior de la tibia y el peroné derechos estaba con la superficie hacia arriba; los pies estaban presionados contra un muro posclásico temprano; se encontraron 2 malacates directamente debajo del entierro durante el análisis de laboratorio
Ofrendas: 2 vasijas, uno atrás del muro y el otro a lado del brazo derecho

**Entierro 126, Individuo 139**
Ubicación: Op. A, MU37
Clase de entierro: primario
Cronología: Posclásico temprano
Número de individuos: 1
Sexo: no determinado
Edad: subadulto (15-20 años)
Posición: extendido
Orientación: 21°NE (de cabeza a pies)
Conservación: muy mala condición
Patología ósea: no determinada
Patología dental: no determinada
Notas: no estaba presente el cráneo, pero sí la mandíbula y algunos dientes; la parte inferior de las piernas y los pies tampoco están presentes; aproximadamente menos del 50% del esqueleto debido a que muchos ejes estaban rotos o faltaban; huesos de los dedos identificados junto al os coxa con el lado lateral en la superficie
Ofrendas: N/A

**Entierro 127, Individuo 140**
Ubicación: Op. A, MU19
Clase de entierro: primario
Cronología: de transición del Clásico Temprano al Clásico Tardío
Número de individuos: 1
Sexo: no determinado

Edad: no determinada
Posición: extendido
Orientación: 5°N (de cabeza a pies)
Conservación: muy mala condición
Patología ósea: no determinado
Patología dental: desgaste dental moderado; el molar inferior izquierdo 2 tiene un absceso periapical; hipoplasias lineales del esmalte presentes en los incisivos superiores, canino superior izquierdo, premolares superiores izquierdos, molares superiores 1 y 2, molar inferior izquierdo 1 y 2, canino inferior derecho y premolar 1
Notas: la distorsión plástica de algunos huesos dificultó el análisis; daño tafonómico a la superficie del hueso; se modificaron los incisivos maxilares centrales; tenía bajareque a los lados de los brazos izquierdo y derecho; también piedras cortadas con algún indicio de quemadura
Ofrendas: 3 vasijas; 2 en la parte superior del brazo derecho

**Entierro 128, Individuo 141**
Ubicación: Op. B norte, MU10
Clase de entierro: primario
Cronología: Clásico Tardío
Número de individuos: 1
Sexo: no determinado
Edad: juvenil (3.5 años ± 12 meses)
Posición: extendido
Orientación: 43°NE (de cabeza a pies)
Conservación: buena condición
Patología ósea: no determinada
Patología dental: no determinada
Notas: la pierna izquierda no estaba presente; 27 cm al este de E129-I141; posible asociación con E129-I142 y E130-I143
Ofrendas: N/A

**Entierro 129, Individuo 142**
Ubicación: Op. B norte, MU10
Clase de entierro: primario
Cronología: Clásico Tardío
Número de individuos: 1
Sexo: no determinado
Edad: juvenil
Posición: extendido
Orientación: 44°NE (de cabeza a pies)
Conservación: buena condición
Patología ósea: no determinada
Patología dental: no determinada
Notas: aproximadamente menos del 50% del esqueleto; sólo estaba presente la porción lateral izquierda del cráneo; el lado izquierdo de la apendicular estaba completo/presente; sólo estaba presente la tibia derecha; posible asociación con E128-I141 y E130-I143; 27 cm al oeste estaba E128-I141; 31 cm al norte y ~10-15 cm por debajo estaba E130-I143
Ofrendas: N/A

**Entierro 130, Individuo 143**
Ubicación: Op. B norte, MU10
Clase de entierro: primario
Cronología: Clásico Tardío
Número de individuos: 1
Sexo: no determinado
Edad: no determinada
Posición: extendido
Orientación: 43°NE (de cabeza a pies)
Conservación: buena condición
Patología ósea: no determinada
Patología dental: no determinada
Notas: posible asociación con E128-I141 y E129-I142; más pequeño y completo en comparación con E128-I141 y E129-I142
Ofrendas: N/A

**Entierro 131, Individuo 144**
Ubicación: Op. A, unidad Q17
Clase de entierro: primario
Cronología: Clásico Tardío
Número de individuos: 1
Sexo: no determinado
Edad: juvenil (1.5 años ± 4 meses)
Posición: no determinado
Orientación: 37°NE (de cabeza)
Conservación: muy mala condición
Patología ósea: no determinada
Patología dental: no determinada
Notas: un cráneo con algunos fragmentos de costillas encontrados debajo y ejes óseos en el área norte del cráneo
Ofrendas: 1 vasija al noroeste del cuerpo

**Entierro 132, Individuo 145**
Ubicación: Op. A, unidad R17
Clase de entierro: primario
Cronología: Clásico Tardío
Número de individuos: 1
Sexo: no determinado
Edad: infante (2 años ± 6 meses)
Posición: no determinado
Orientación: 74° (de cabeza)
Conservación: mala condición
Patología ósea: no determinada
Patología dental: no determinada
Notas: no completamente excavado; solo se extrajo el cráneo junto con la mandíbula; aproximante 80 cm norte de E131-I144
Ofrendas: 1 vasija al lado oeste del cráneo

**Entierro 133, Individuo 146**
Ubicación: Op. B sur, MU2
Clase de entierro: primario
Cronología: Posclásico temprano
Número de individuos: 1
Sexo: no determinado
Edad: subadulto (14-16 años)
Posición: flexionado, al lado izquierda
Orientación: 76°NE (de cabeza a pies)
Conservación: mala condición
Patología ósea: no determinado
Patología dental: 6 caries presentes; hipoplasia lineal del esmalte en incisivos superiores izquierdos, canino izquierdo, premolar 1 izquierdo, molar 3 izquierdo y derecho
Notas: el entierro estaba en una posición apretada y flexionada; se encontró un fragmento de cerámica en la parte superior de las costillas
Ofrendas: N/A

**Entierro 134, Individuo 147**
Ubicación: Op. A, MU33
Clase de entierro: primario
Cronología: Clásico Tardío
Número de individuos: 1
Sexo: Posiblemente femenino
Edad: adulto (20-23 años)
Posición: flexionado, al lado derecho
Orientación: 41°NE (de pies a cabeza)
Conservación: buena condición
Patología ósea: no determinado
Patología dental: múltiples caries en premolares y molares de ambos lados; desgaste dental moderado en incisivos superiores, caninos y molares superiores e inferiores; hipoplasias lineales del esmalte registradas en incisivos superiores, caninos, molar superior 1, premolar inferior izquierdo 1, premolar inferior derecho 1 y 2
Notas: las piernas estuvieron separadas; el cráneo se localizó cerca de los rodillas, pero se excavaron dientes encima del cráneo – tal vez el cráneo se movió hacia el norte; los incisivos superiores tienen modificación estética (limado)
Ofrendas: 1 vasija

**Entierro 135, Individuo 148**
Ubicación: Op. B norte, MU16
Clase de entierro: primario
Cronología: Posclásico temprano
Número de individuos: 1
Sexo: no determinado
Edad: juvenil (3.5-4 años)
Posición: extendido
Orientación: 11°NE (de cabeza a pies)
Conservación: muy mal condición
Patología ósea: no determinada

Patología dental: no determinada
Notas: el individuo estaba debajo de un muro posclásico temprano; había cerámica sobre el cráneo; faltaban los pies
Ofrendas: 2 vasijas, uno al norte del cuerpo

**Entierro 136, Individuo 149**
Ubicación: Op. A, unidad M20
Clase de entierro: no determinado
Cronología: Posclásico temprano
Número de individuos: 1
Sexo: no determinado
Edad: no determinada
Posición: no determinado
Orientación: no determinado
Conservación: no determinado
Patología ósea: no determinado
Patología dental: no determinado
Notas: entierro no fue excavado
Ofrendas: 2 vasijas

## 7.3 Observaciones adicionales de E120-I133, E127-I140 y E134-I147

Según la morfología del esqueleto del entierro 120-I133 (Clásico Tardío) encontrado en la Op.A era una mujer adulta, de 30 a 39 años al momento de su muerte. Este individuo tenía varias características notables, incluida su posición de entierro, flexionada lateralmente, y modificación craneal anterior/posterior. Además, se registró astillado antemortem en los incisivos centrales, indicativos de estrés laboral, además de un patrón interesante y robustez en los huesos de las manos y los brazos. En suma, tenía varios objetos funerarios asociados: cuatro vasijas, un peine de hueso, una aguja de hueso, y malacates.

Debido a la tafonomía, el entierro 127-I140 (de transición del Clásico Temprano al Clásico Tardío) encontrado en la Op. A es un adulto cuyo sexo no fue determinado. Este individuo presenta diseños de modificación dental en los incisivos centrales maxilares. Además, hay alteraciones en los molares (surcos interproximales distales) indicativos de una actividad repetitiva que los involucraba. Los procesos tafonómicos afectaron muchas regiones articulares. Sin embargo, la cintura escapular presenta

indicadores de entesopatía por estrés ocupacional en la clavícula izquierda, robustez de las clavículas derecha e izquierda y osteoartritis de la fosa glenoidea de la escápula. Por último, el estrés fisiológico durante el crecimiento y el desarrollo está indicado por la presencia de hipoplasia lineal del esmalte en los dientes. Este entierro primario tenía tres vasijas, de las cuales dos se encontraron en la parte superior del brazo derecho.

El entierro 134-I147 encontrado en la Op.A fue una adulta enterrada en una posición flexionada durante Clásico Tardío, posiblemente de sexo femenino y 20-23 años de edad en el momento de la muerte. Este individuo tiene un patrón intrincado de modificación dental diseñada que involucra los primeros y segundos incisivos superiores derecho e izquierdo. Los diseños central y lateral coinciden bilateralmente. La evidencia de alguna interrupción en el crecimiento y desarrollo es evidente a través de la hipoplasia lineal del esmalte en la dentición.

# CAPÍTULO 8 - Análisis de los vestigios faunísticos excavados en contextos de basurero

**Saúl Rancaño Castillo**
**José Chessil Dohvehnain Martínez Moreno**
**Gilberto Pérez Roldán**
**Jacklyn D. Rumberger**

## 8.1 Introducción

Este capítulo presenta la identificación de los restos faunísticos *cribados*, que fueron recuperados durante las excavaciones arqueológicas en el sitio Rio Viejo, como parte de la temporada 2022 del Proyecto Rio Verde (PRV) y que fueron exportados, con los permisos correspondientes del Consejo de Arqueología del INAH, al Laboratorio de Arqueozoología de la Universidad Autónoma de San Luis Potosí (UASLP) en Julio de 2022. Los poco más de 5,000 materiales analizados consisten en vestigios de vertebrados e invertebrados recuperados en contextos de basureros. Se describe la metodología utilizada para la identificación taxonómica de los restos, así como los resultados del análisis sobre las frecuencias taxonómicas correspondientes a cada periodo. Los resultados preliminares del presente estudio contribuyen a la examinación de la hipótesis actual del PRV, en relación con la comprensión de cambios potenciales en la economía doméstica y dieta de los habitantes de Rio Viejo durante la transición del periodo Clásico Tardío (Fase Yuta Tiyoo, ca. 500-800 d.C.), al Posclásico Temprano (Fase Yugüe, ca. 800-1,100 d.C.), en aras de contribuir al entendimiento de los procesos de colapso del estado de Rio Viejo en el Valle del Bajo Río Verde.

## 8.2 Procedencia de la colección examinada

Los materiales incluidos en la colección descrita en este capítulo pertenecen a contextos de basureros excavados en dos áreas del sitio Río Viejo (Op. A y Op. B, véase Capítulo 2 y 3; Figuras 2.91 y 3.19), los cuales datan de los periodos Clásico Tardío (Fase Yuta Tiyoo, ca. 500-800 d.C.), y Posclásico Temprano (Fase Yugüe, ca. 800-1,100 d.C.). Si bien, durante la temporada de excavaciones se identificaron múltiples contextos con vestigios de fauna, este estudio priorizó el análisis de los restos provenientes de basureros, pues se considera que este tipo de contextos es generalmente representativo y eficaz para la identificación de patrones de riqueza taxonómica en el conjunto de la fauna aprovechada por la gente común. Las Tablas 8.1 y 8.2 presentan la procedencia de las muestras osteológicas y malacológicas, respectivamente.

Los contextos se describen a continuación.

**Operación A**:

1. **Elemento E11**: Corresponde a un basurero del periodo Posclásico Temprano. Se ubica en el Bloque Central del área de excavaciones de la Operación A (ver Fig. 2. 90). Se describe como un depósito extenso, conformado por múltiples subcapas que representan distintos eventos de deposición de desechos. Incluye cerámica de diversos tamaños y estados de preservación, rocas pequeñas, sedimento quemado, carbón, escasos trozos de concha y la mayor concentración de hueso animal en Op. A (la descripción proviene de la Tabla 2.2).
2. **Elementos E84-s1 y E84-s2**: Corresponden a un basurero del Posclásico Temprano, aunque es posible que los niveles más antiguos de E84-s2 se remonten a la transición entre el Clásico Tardío y el Posclásico Temprano. Se ubica en el Bloque Sur del área de excavaciones de la Operación A (ver Fig. 2. 90). Se describe como un depósito con alto contenido de ceniza y materia orgánica. Posee inclusiones de tiestos, hueso, rocas y la

mayor concentración de concha pulverizada en Op. A (la descripción proviene de la Tabla 2.2).

**Operación B**:

1. **Elemento E3**: Se trata de un depósito de basurero correspondiente al Posclásico Temprano que fue localizado al noreste de la Operación B-Norte. Se describe como un depósito con gran densidad de tiestos cerámicos (la descripción proviene de la Tabla 3.5).
2. **Elementos E22-s2, E22-s3, E22-s4, E22-s5:** Los elementos consisten en un depósito de basurero del Clásico Tardío que se describe como un estrato con alta densidad de cerámica que contiene una amplia variedad de materiales (figurillas, artefactos líticos, conchas y cantos rodados los cuales miden alrededor de 10 cm de diámetro) y posee subcapas que se distinguen por la densidad y el tamaño de los tiestos cerámicos que incluyen. Los elementos se encuentran a lo largo de toda el área de excavaciones de la Operación B-Norte (la descripción proviene de la Tabla 3.5).
3. **Elemento E25-s1 y E25-s2:** Los elementos consisten en un depósito de basurero del Clásico Tardío que se describe como un estrato con una alta densidad de cerámica que contiene una amplia variedad de artefactos y materiales, incluyendo figurillas antropomorfas y zoomorfas, huesos de fauna, cantos rodados, lascas de obsidiana, conchas y caracoles. Los elementos se encuentran a lo largo de toda el área de excavaciones de Operación B-Norte.

**Tabla 8.1 Procedencia de la muestra osteológica examinada.**

| Op. | # FS | Unidad | Lote | Procedencia | Elemento | Fase |
|---|---|---|---|---|---|---|
| A | 22-3308 | I22 | 3 | Cribado | E10/E11 | Yugue |
| A | 22-1647 | MU2 | 1 | Cribado | E10/E11 | Yugue |
| A | 22-2661 | F23 | 2 | Cribado | E11 | Yugue |
| A | 22-2667 | F23 | 2 | Cribado | E11 | Yugue |
| A | 22-2681 | F23 | 3 | Cribado | E11 | Yugue |
| A | 22-2695 | F23 | 4 | Cribado | E11 | Yugue |
| A | 22-2260 | F24 | 4 | Cribado | E11 | Yugue |
| A | 22-2273 | F24 | 5 | Cribado | E11 | Yugue |
| A | 22-2074 | I19 | 3 | Cribado | E11 | Yugue |
| A | 22-2074 | I19 | 3 | Cribado | E11 | Yugue |
| A | 22-2081 | I19 | 4 | Cribado | E11 | Yugue |
| A | 22-0518 | I19 | 5 | Cribado | E11 | Yugue |
| A | 22-3233 | I19 | 5 | Cribado | E11 | Yugue |
| A | 22-2740 | I19 | 6 | Cribado | E11 | Yugue |
| A | 22-2755 | I19 | 7 | Cribado | E11 | Yugue |
| A | 22-2958 | I19 | 9 | Cribado | E11 | Yugue |
| A | 22-2040 | I20 | 3 | Cribado | E11 | Yugue |
| A | 22-2055 | I20 | 4 | Cribado | E11 | Yugue |
| A | 22-1811 | I21 | 3 | Cribado | E11 | Yugue |
| A | 22-1879 | I21 | 4 | Cribado | E11 | Yugue |
| A | 22-1882 | I21 | 5 | Cribado | E11 | Yugue |
| A | 22-3325 | I22 | 4 | Cribado | E11 | Yugue |
| A | 22-3336 | I22 | 6 | Cribado | E11 | Yugue |
| A | 22-3341 | I22 | 7 | Cribado | E11 | Yugue |
| A | 22-2770 | I24 | 1 | Cribado | E11 | Yugue |
| A | 22-3903 | I24 | 2 | Cribado | E11 | Yugue |
| A | 22-2086 | J17 | 5 | Cribado | E11 | Yugue |
| A | 22-0425 | J17 | 6 | Cribado | E11 | Yugue |

| | | | | | | |
|---|---|---|---|---|---|---|
| A | 22-2095 | J17 | 6 | Cribado | E11 | Yugue |
| A | 22-0434 | J17 | 7 | Cribado | E11 | Yugue |
| A | 22-2205 | J17 | 7 | Cribado | E11 | Yugue |
| A | 22-2215 | J17 | 8 | Cribado | E11 | Yugue |
| A | 22-2225 | J17 | 9 | Cribado | E11 | Yugue |
| A | 22-2233 | J17 | 10 | Cribado | E11 | Yugue |
| A | 22-2244 | J17 | 11 | Cribado | E11 | Yugue |
| A | 22-0479 | J19 | 6 | Cribado | E11 | Yugue |
| A | 22-2853 | J19 | 6 | Cribado | E11 | Yugue |
| A | 22-3065 | J19 | 7 | Cribado | E11 | Yugue |
| A | 22-3218 | J19 | 8 | Cribado | E11 | Yugue |
| A | 22-3104 | J19 | 9 | Cribado | E11 | Yugue |
| A | 22-3127 | J19 | 10 | Cribado | E11 | Yugue |
| A | 22-2885 | J22 | 4 | Cribado | E11 | Yugue |
| A | 22-2895 | J22 | 5 | Cribado | E11 | Yugue |
| A | 22-2754 | J22 | 7 | Cribado | E11 | Yugue |
| A | 22-2748 | J22 | 8 | Cribado | E11 | Yugue |
| A | 22-2749 | J22 | 8 | Cribado | E11 | Yugue |
| A | 22-2750 | J22 | 8 | Cribado | E11 | Yugue |
| A | 22-0684 | J22 | 9 | Cribado | E11 | Yugue |
| A | 22-3789 | J22 | 9 | Cribado | E11 | Yugue |
| A | 22-0746 | J22 | 10 | Cribado | E11 | Yugue |
| A | 22-3825 | J22 | 10 | Cribado | E11 | Yugue |
| A | 22-3827 | J22 | 10 | Cribado | E11 | Yugue |
| A | 22-3833 | J22 | 11 | Cribado | E11 | Yugue |
| A | 22-3907 | J24 | 1 | Cribado | E11 | Yugue |
| A | 22-2489 | K17 | 4 | Cribado | E11 | Yugue |
| A | 22-2601 | K17 | 5 | Cribado | E11 | Yugue |
| A | 22-2620 | K17 | 7 | Cribado | E11 | Yugue |
| A | 22-3235 | K19 | 3 | Cribado | E11 | Yugue |
| A | 22-0398 | K19 | 4 | Cribado | E11 | Yugue |

| | | | | | | |
|---|---|---|---|---|---|---|
| A | 22-3297 | K19 | 4 | Cribado | E11 | Yugue |
| A | 22-0341 | MU16 | 5 | Cribado | E11 | Yugue |
| A | 22-3273 | MU16 | 5 | Cribado | E11 | Yugue |
| A | 22-0399 | MU16 | 6 | Cribado | E11 | Yugue |
| A | 22-3283 | MU16 | 6 | Cribado | E11 | Yugue |
| A | 22-3353 | MU16 | 7 | Cribado | E11 | Yugue |
| A | 22-3692 | MU16 | 12 | Cribado | E11 | Yugue |
| A | 22-3708 | MU16 | 13 | Cribado | E11 | Yugue |
| A | 22-3243 | MU17 | 2 | Cribado | E11 | Yugue |
| A | 22-3249 | MU17 | 3 | Cribado | E11 | Yugue |
| A | 22-0470 | MU17 | 4 | Cribado | E11 | Yugue |
| A | 22-3254 | MU17 | 4 | Cribado | E11 | Yugue |
| A | 22-3264 | MU17 | 5 | Cribado | E11 | Yugue |
| A | 22-3276 | MU17 | 6 | Cribado | E11 | Yugue |
| A | 22-1657 | MU2 | 2 | Cribado | E11 | Yugue |
| A | 22-1660 | MU2 | 3 | Cribado | E11 | Yugue |
| A | 22-1666 | MU2 | 4 | Cribado | E11 | Yugue |
| A | 22-1671 | MU2 | 5 | Cribado | E11 | Yugue |
| A | 22-1673 | MU2 | 5 | Cribado | E11 | Yugue |
| A | 22-1682 | MU2 | 6 | Cribado | E11 | Yugue |
| A | 22-1686 | MU2 | 7 | Cribado | E11 | Yugue |
| A | 22-1695 | MU2 | 8 | Cribado | E11 | Yugue |
| A | 22-1808 | MU2 | 9 | Cribado | E11 | Yugue |
| A | 22-1858 | MU2 | 10 | Cribado | E11 | Yugue |
| A | 22-1896 | MU2 | 11 | Cribado | E11 | Yugue |
| A | 22-2796 | MU28 | 2 | Cribado | E11 | Yugue |
| A | 22-3899 | MU36 | 1 | Cribado | E11 | Yugue |
| A | 22-2240 | F24 | 2 | Cribado | E11/E1 | Yugue |
| A | 22-0449 | F24 | 3 | Cribado | E11/E1 | Yugue |
| A | 22-2250 | F24 | 3 | Cribado | E11/E1 | Yugue |
| A | 22-2269 | J17 | 12 | Cribado | E11/E12 | Yugue/Yuta Tiyoo |

| | | | | | | |
|---|---|---|---|---|---|---|
| A | 22-2635 | K17 | 9 | Cribado | E11/E12 | Yugue/Yuta Tiyoo |
| A | 22-2002 | MU2 | 13 | Cribado | E11/E12 | Yugue/Yuta Tiyoo |
| A | 22-2014 | MU2 | 14 | Cribado | E11/E12 | Yugue/Yuta Tiyoo |
| A | 22-1615 | MU1 | 8 | Cribado | E11/E15-s1 | Yugue/Yuta Tiyoo |
| A | 22-3270 | MU16 | 4 | Cribado | E11/E33-s1 | Yugue |
| A | 22-2810 | F23 | 5 | Cribado | E11/E84-s1 | Yugue |
| A | 22-2822 | F23 | 6 | Cribado | E11/E84-s1 | Yugue |
| A | 22-2286 | F24 | 6 | Cribado | E11/E84-s1/E84-s2 | Yugue |
| A | 22-2412 | F24 | 7 | Cribado | E11/E84-s1/E84-s2 | Yugue |
| A | 22-2427 | F24 | 8 | Cribado | E11/E84-s1/E84-s2/E85 | Yugue |
| A | 22-3061 | MU11 | 4 | Cribado | E84-s1 | Yugue |
| A | 22-2470 | F24 | 11 | Cribado | E84-s1/E84-s2 | Yugue |
| A | 22-2445 | F24 | 9 | Cribado | E84-s1/E84-s2/E85 | Yugue |
| A | 22-2459 | F24 | 10 | Cribado | E84-s1/E84-s2/E85 | Yugue |
| A | 22-2484 | F24 | 13 | Cribado | E84-s1/E84-s2/E85 | Yugue |
| A | 22-2834 | F23 | 7 | Cribado | E84-s2 | Yugue |
| A | 22-2841 | F23 | 8 | Cribado | E84-s2 | Yugue |
| A | 22-2859 | F23 | 10 | Cribado | E84-s2 | Yugue |
| A | 22-2861 | F23 | 11 | Cribado | E84-s2 | Yugue |
| A | 22-2888 | F23 | 14 | Cribado | E84-s2 | Yugue |
| A | 22-2893 | F23 | 15 | Cribado | E84-s2 | Yugue |
| A | 22-2899 | F23 | 16 | Cribado | E84-s2 | Yugue |
| A | 22-3005 | F23 | 17 | Cribado | E84-s2 | Yugue |
| A | 22-3033 | F23 | 19 | Cribado | E84-s2 | Yugue |
| A | 22-3034 | F23 | 19 | Cribado | E84-s2 | Yugue |
| A | 22-2493 | F24 | 14 | Cribado | E84-s2 | Yugue |
| A | 22-2494 | F24 | 14 | Cribado | E84-s2 | Yugue |
| A | 22-2606 | F24 | 15 | Cribado | E84-s2 | Yugue |
| A | 22-2899 | F24 | 16 | Cribado | E84-s2 | Yugue |
| A | 22-2624 | F24 | 17 | Cribado | E84-s2 | Yugue |
| A | 22-3033 | F24 | 19 | Cribado | E84-s2 | Yugue |
| A | 22-3018 | MU11 | 1 | Cribado | E84-s2 | Yugue |
| A | 22-3044 | MU11 | 2 | Cribado | E84-s2 | Yugue |
| A | 22-3050 | MU11 | 3 | Cribado | E84-s2 | Yugue |
| A | 22-3060 | MU11 | 4 | Cribado | E84-s2 | Yugue |

| | | | | | | |
|---|---|---|---|---|---|---|
| A | 22-3072 | MU11 | 5 | Cribado | E84-s2 | Transición Yuta Tiyoo-Yugue |
| A | 22-3080 | MU11 | 6 | Cribado | E84-s2 | Transición Yuta Tiyoo-Yugue |
| A | 22-3085 | MU11 | 7 | Cribado | E84-s2 | Transición Yuta Tiyoo-Yugue |
| A | 22-3202 | MU11 | 9 | Cribado | E84-s2 | Yugue |
| A | 22-3216 | MU11 | 11 | Cribado | E84-s2 | Transición Yuta Tiyoo-Yugue |
| A | 22-2869 | F23 | 12 | Cribado | E84-s2/E85 | Yugue |
| A | 22-2882 | F23 | 13 | Cribado | E84-s2/E85 | Yugue |
| B | 22-9941 | HH37 | 5 | Cribado | E22-s2 | Yuta Tiyoo |
| B | 22-9961 | HH37 | 5 | Cribado | E22-s2 | Yuta Tiyoo |
| B | 22-8259 | II38 | 9 | Cribado | E22-s2 | Yuta Tiyoo |
| B | 22-8263 | II38 | 10 | Cribado | E22-s2 | Yuta Tiyoo |
| B | 22-0022 | II38 | 11 | Cribado | E22-s2 | Yuta Tiyoo |
| B | 22-8276 | II38 | 11 | Cribado | E22-s2 | Yuta Tiyoo |
| B | 22-8312 | II38 | 12 | Cribado | E22-s2 | Yuta Tiyoo |
| B | 22-8322 | II38 | 13 | Cribado | E22-s2 | Yuta Tiyoo |
| B | 22-8935 | HH39 | 7 | Cribado | E22-s4 | Yuta Tiyoo |
| B | 22-8982 | HH39 | 7 | Cribado | E22-s4 | Yuta Tiyoo |
| B | 22-9347 | MU6 | 2 | Cribado | E22-s5 | Yuta Tiyoo |
| B | 22-9920 | MU6 | 2 | Cribado | E22-s5 | Yuta Tiyoo |
| B | 22-9755 | MU11 | 2 | Cribado | E25-s1 | Yuta Tiyoo |
| B | 22-9775 | MU11 | 3 | Cribado | E25-s1 | Yuta Tiyoo |
| B | 22-9908 | MU11 | 4 | Cribado | E25-s1 | Yuta Tiyoo |
| B | 22-9839 | MU13 | 2 | Cribado | E25-s1 | Yuta Tiyoo |
| B | 22-8941 | PP44 | 2 | Cribado | E3 | Yugue |
| B | 22-8956 | PP44 | 3 | Cribado | E3 | Yugue |

**Tabla 8.2 Procedencia de la muestra malacológica examinada.**

| Op. | # FS | Unidad | Lote | Procedencia | Elemento | Fase |
|---|---|---|---|---|---|---|
| A | 22-2955 | I19 | 9 | Cribado | E11 | Yugue |

| | | | | | | |
|---|---|---|---|---|---|---|
| A | 22-3343 | 122 | 7 | Cribado | E11 | Yugue |
| A | 22-0421 | J19 | 8 | Cribado | E11 | Yugue |
| A | 22-3791 | J22 | 9 | Cribado | E11 | Yugue |
| A | 22-3827 | J22 | 10 | Cribado | E11 | Yugue |
| A | 22-3834 | J22 | 11 | Cribado | E11 | Yugue |
| A | 22-0367 | K17 | 7 | Cribado | E11 | Yugue |
| A | 22-0220 | MU11 | 5 | Cribado | E84-s2 | Transición Yuta Tiyoo-Yugue |
| A | 22-3071 | MU11 | 5 | Cribado | E84-s2 | Transición Yuta Tiyoo-Yugue |
| A | 22-3079 | MU11 | 6 | Cribado | E84-s2 | Transición Yuta Tiyoo-Yugue |
| A | 22-3086 | MU11 | 7 | Cribado | E84-s2 | Transición Yuta Tiyoo-Yugue |
| A | 22-3094 | MU11 | 8 | Cribado | E84-s2 | Transición Yuta Tiyoo-Yugue |
| A | 22-3099 | MU11 | 9 | Cribado | E84-s2 | Yugue |
| A | 22-3204 | MU11 | 10 | Cribado | E84-s2 | Transición Yuta Tiyoo-Yugue |
| A | 22-3213 | MU11 | 11 | Cribado | E84-s2 | Transición Yuta Tiyoo-Yugue |
| A | 22-3225 | MU11 | 12 | Cribado | E84-s2 | Yuta Tiyoo |
| A | 22-2870 | F23 | 12 | Cribado | E84-s1/E84-s2/E85 | Yugue |
| A | 22-2835 | F23 | 7 | Cribado | E84-s1/E85 | Yugue |
| A | 22-2842 | F23 | 8 | Cribado | E84-s1/E85 | Yugue |
| A | 22-2849 | F23 | 9 | Cribado | E84-s1/E85 | Yugue |
| A | 22-2882 | F23 | 13 | Cribado | E84-s2/E85 | Yugue |
| B | 22-9938 | HH37 | 5 | Cribado | E22-s1 | Yuta Tiyoo |
| B | 22-8278 | II38 | 11 | Cribado | E22-s2 | Yuta Tiyoo |
| B | 22-8310 | II38 | 12 | Cribado | E22-s2 | Yuta Tiyoo |
| B | 22-8908 | HH39 | 6 | Cribado | E22-s3 | Yuta Tiyoo |
| B | 22-8933 | HH39 | 7 | Cribado | E22-s4 | Yuta Tiyoo |
| B | 22-8983 | HH39 | 7 | Cribado | E22-s4 | Yuta Tiyoo |
| B | 22-9349 | MU6 | 2 | Cribado | E22-s5 | Yuta Tiyoo |

| | | | | | | |
|---|---|---|---|---|---|---|
| B | 22-9921 | MU6 | 2 | Cribado | E22-s5 | Yuta Tiyoo |
| B | 22-9757 | MU11 | 2 | Cribado | E25-s1 | Yuta Tiyoo |
| B | 22-9808 | MU12 | 1 | Cribado | E25-s1 | Yuta Tiyoo |
| B | 22-9846 | MU12 | 2 | Cribado | E25-s1 | Yuta Tiyoo |
| B | 22-9849 | MU12 | 2 | Cribado | E25-s1 | Yuta Tiyoo |
| B | 22-0801 | MU12 | 3 | Cribado | E25-s1 | Yuta Tiyoo |
| B | 22-9874 | MU12 | 3 | Cribado | E25-s1 | Yuta Tiyoo |
| B | 22-9836 | MU13 | 2 | Cribado | E25-s1 | Yuta Tiyoo |
| B | 22-9932 | MU14 | 1 | Cribado | E25-s1 | Yuta Tiyoo |
| B | 22-9776 | MU11 | 3 | Cribado | E25-s2 y E26-s1 | Yuta Tiyoo |
| B | 22-9772 | MU11 | 3 | Cribado | E25-s2 y E26-s1 | Yuta Tiyoo |
| B | 22-0741 | MU11 | 4 | Cribado | E25-s2 y E26-s1 | Yuta Tiyoo |
| B | 22-9912 | MU11 | 4 | Cribado | E25-s2 y E26-s1 | Yuta Tiyoo |

## 8.3 Metodología de análisis

Durante las excavaciones en Operación A y Operación B se recuperó material faunístico de dos maneras. La primera, que aportó la mayor cantidad de especímenes, consistió en el *cribado* con mallas de 5mm y embalaje de hueso animal directamente en campo. La segunda consistió en la obtención del material tras el procesamiento de muestras por *flotación* (muestras de 10lt de sedimento) en el laboratorio de campo. Debido a limitantes de tiempo, este informe preliminar sólo presenta los resultados del análisis efectuado sobre las muestras de cribado.

Durante su procesamiento en el Laboratorio de Arqueozoología de la Universidad Autónoma de San Luis Potosí (UASLP), el sedimento adherido al material óseo fue removido en seco utilizando pinceles de férula redonda en tamaños 2, 4, 8 y 10mm. Se analizó el conjunto

utilizando la colección comparativa del laboratorio, consultando bibliografía pertinente para la identificación de restos osteológicos (Gilbert 1990; Gilbert et al. 1996; Lawrence 1951; Olsen 1996, 2015a, 2015b), y malacológicos (Abbott, 1974; García Cubas y Reguero 2004, 2007). Las identificaciones iniciaron en el laboratorio de campo gracias a las contribuciones de la MA. Jacklyn Rumberger, y continuaron en el Laboratorio de Arqueozoología de la UASLP, por el estudiante de licenciatura Saúl Rancaño Castillo y el arqueólogo José Chessil Dohvehnain Martínez Moreno, apoyados por un equipo de siete auxiliares coordinados por el Dr. Gilberto Pérez Roldán, especialista en arqueozoología de la UASLP.

El análisis general se basó en una metodología que parte de dos tipos de identificaciones: una taxonómica y otra anatómica. La *identificación taxonómica* implicó la separación del material faunístico en dos grupos, identificados como *invertebrados* (gasterópodos, pelecípodos, crustáceos), o *vertebrados* (peces, anfibios, reptiles, aves y mamíferos). En ocasiones sólo se consiguió identificar los restos a nivel de *clase* (e.g. bivalvos, gasterópodos, anfibio, reptil, ave o mamífero). Por otro lado, la *identificación anatómica* consideró la información de cada pieza analizada a partir de su *estado de conservación*, *porción* identificada (zonas anatómicas presentes en restos óseos) o *segmentos* (para restos malacológicos), y *lateralización* de piezas identificadas cuando su estado de conservación así lo permitió.

La cuantificación de los restos faunísticos se presenta aquí como Número de Restos Identificados (NRI), tal como se describe en Chaix y Meniel (2005:162), tratándose, en términos generales, de la cantidad de fragmentos atribuibles a un taxón; y como Número Mínimo de Individuos (NMI) , que se determina a partir de la lateralización de las piezas, pues cada individuo consta de un número determinado de huesos pares e impares; también se toma en cuenta el contexto arqueológico excavado, es decir, conchas o huesos de una misma especie que aparecen en una misma capa y en cuadros cercanos, así compartan atributos semejantes como coloración,

edad, tratamiento térmico y tamaño (Reitz y Wing 1999). En ocasiones, existe la posibilidad de que los rasgos presentes del resto óseo sean insuficientes para asignarle una clasificación taxonómica, en tales casos la identificación se acompañará con la abreviatura *cfr.* (compárese con), esto indica que existen atributos que se pueden referir a una clasificación pero que no se puede afirmar.

Un tercer nivel de análisis incluyó la *identificación de agentes tafonómicos* y búsqueda de *marcas de manipulación*. Los procesos tafonómicos se clasificaron de acuerdo con sus agentes causales (biológicos, fisicoquímicos y antropogénicos). Entre los agentes biológicos (relacionados con la intervención de animales) se tomaron en cuenta las marcas efectuadas por roedores (roído) y carnívoros (masticado). Los agentes fisicoquímicos incluyeron los procesos de intemperismo, así como la búsqueda de exposición de materiales al calor y al fuego, donde el color de la concha o hueso, su consistencia o textura, varían cuando estos han sido expuestos al calor directo o indirecto (Binford 1981; Behrensmeyer 1984; Fisher 1995; Lyman 1994; Barba y Rodríguez 1990; Pérez Roldán 2013). En cuanto a la evidencia antropogénica, se consideraron las huellas de corte y los tipos de fracturas (Gifford-Gonzalez 2018: 203-204). La información obtenida de los procesos de identificación se vació en una base de datos especialmente adaptada de Shaffer y Baker (1992).

Esta se compone de tres secciones dedicadas al registro de datos analíticos de primer orden (contexto, identificación taxonómica, confianza de las identificaciones y cuantificación), y múltiples campos analíticos de segundo orden (edad, sexo, intemperización, entre otras), según se describe en Reitz y Wing (1999). El *contexto* de cada vestigio animal es señalado en los siguientes campos: *Número de Espécimen de Campo (*FS por sus siglas en inglés), *Sitio*, *Unidad* y *Lote* de procedencia. A continuación, cada hueso o fragmentos de hueso que formaran parte de una sola pieza fueron analizados para determinar su *identificación* taxonómica y la pieza anatómica a la que correspondían.

La *confianza* en ambas identificaciones se registró de manera adicional en una escala de valores con rango de 1 a 4, en el que 1 representa la mínima confianza, y 4 la máxima.

La *cuantificación* de los restos óseos se abordó utilizando campos adicionales, los cuales se enlistan a continuación: *Número de Restos Identificados* (NRI), *Número Mínimo de Individuos* (NMI), *porción de pieza anatómica*, *completitud de la pieza* o porción de la pieza anatómica y *lateralización*. El campo de *porción de pieza anatómica* describe si un elemento está completo, y en caso de que no, se consideran las partes de este que se encuentran presentes. El campo de *completitud* indica si la porción del elemento está íntegra, independientemente de si la estructura anatómica está completa o no. Por ejemplo, si se determinó que sólo la epífisis distal de un fémur está presente, y se encuentra en un estado íntegro, la *porción* de esta pieza anatómica sería "epífisis distal" y la *completitud* sería "100%". En el caso de los restos de bivalvos, la estimación del NMI se obtuvo a través del conteo de NRI diagnósticos y su división entre dos (Pérez Roldán, 2010).

Datos analíticos de segundo orden como *edad*, *criterio de determinación de edad*, *sexo*, *criterio de determinación de sexo*, *grado de intemperización*, *de exposición al fuego*, *presencia de hueso modificado*, *tipo de artefacto* identificado, presencia de *marcas de corte* y *comentarios*, fueron registrados en campos individuales para facilitar el manejo de la información complementaria que puede guiar estudios futuros. El sistema de registro utilizado para estos datos incluye cinco categorías de edad, que incluyen: *indeterminada* (0), *feto o infante* (3), *subadulto* (5), *adulto* (6) y *adulto viejo* (8); tres categorías de intemperización que incluyen: *ausente* (0), *ligera* (1), *marcada* (2); cinco categorías de grado de exposición al fuego que incluyen: *ausente* (0), *presente* (1), *carbonizado* (3), *calcinado* (7) e *indeterminado* (9); tres categorías de marcas de corte: *ausente* (0), *presente* (1) e *indeterminado* (99).

Si bien, este informe sólo presenta la descripción de resultados del análisis en las categorías de primer orden, nuestra base de datos establece los cimientos sobre los que se pueden desarrollar estudios futuros sobre la arqueofauna recuperada en Río Viejo. Aunado a esto, la flexibilidad de nuestro sistema de registro permitirá introducir nuevos campos a medida que avance el análisis de materiales osteológicos y malacológicos (entre otros) recuperados durante los trabajos de campo.

## 8.4 Resultados preliminares

El análisis del material faunístico examinó 2532 restos osteológicos de los contextos de basurero. Los restos fueron identificados al orden taxonómico más bajo posible dependiendo de su estado de conservación, con un total de 103 mínimos individuos contabilizados (NMI). La Tabla 8.3 presenta las frecuencias de los taxones identificados en el conjunto osteológico recuperado de todos los contextos analizados. Por otro lado, se identificaron 2,487 restos malacológicos (NRI), agrupados en tres clases (Bivalvia, Gasterópoda y Thecostraca), separados a su vez en sus respectivos géneros y especies cuando sus estados de conservación permitieron hacerlo. De esta colección lograron identificarse 1,272 individuos mínimos. La Tabla 8.4 presenta las frecuencias de los taxones identificados en el conjunto malacológico recuperado de todos los contextos analizados.

Los siguientes apartados describen los patrones de riqueza taxonómica identificados para los contextos de los periodos Clásico Tardío y Posclásico Temprano. Adicionalmente, se reporta la procedencia del hueso humano desarticulado y los restos de fauna trabajada que fueron identificados durante el análisis.

**Tabla 8.3 Frecuencia de los taxones identificados en la muestra osteológica recuperada de los basureros excavados en las Operaciones A y B del PRV-2022, en Rio Viejo, Oaxaca.**

| Taxa | NRI | % NRI | NMI | % NMI |
|---|---|---|---|---|
| **Amphibia** | **6** | **0.24%** | **4** | **3.88%** |
| Amphibia indeterminado | 3 | 0.12% | 1 | 0.97% |
| Anura | 3 | 0.12% | 3 | 2.91% |
| **Artiodactyla** | **59** | **2.34%** | **9** | **8.73%** |
| Artiodactyla indeterminado | 8 | 0.32% | 4 | 3.88% |
| Cervidae | 3 | 0.12% | 2 | 1.94% |
| *Odocoileus sp.* | 1 | 0.04% | 1 | 0.97% |
| *Odocoileus virginianus* | 47 | 1.86% | 2 | 1.94% |
| **Ave** | **32** | **1.26%** | **14** | **13.59%** |
| Ave indeterminada | 14 | 0.55% | 6 | 5.83% |
| Anatidae | 3 | 0.12% | 3 | 2.91% |
| Galliforme | 2 | 0.08% | 2 | 1.94% |
| *Meleagris gallopavo* | 12 | 0.47% | 2 | 1.94% |
| *Rallus longirostris* | 1 | 0.04% | 1 | 0.97% |
| **Brachyura** | **45** | **1.77%** | **5** | **4.85%** |
| Brachyura indeterminado | 35 | 1.38% | 4 | 3.88% |
| *Pseudothelphusa sp.* | 10 | 0.39% | 1 | 0.97% |
| **Carnivora** | **1147** | **45.3%** | **28** | **27.18%** |
| Carnivora indeterminado | 86 | 3.40% | 2 | 1.94% |
| **Canidae** | **1059** | **41.82%** | **24** | **23.3%** |
| *Canis familiaris* | 373 | 14.73% | 6 | 5.83% |
| Canis lupus | 12 | 0.47% | 1 | 0.97% |
| Canis sp. | 674 | 26.62% | 17 | 16.50% |
| *Mephitis sp.* | 1 | 0.04% | 1 | 0.97% |
| *Procyon lotor* | 1 | 0.04% | 1 | 0.97% |
| **Cingulata** | **1** | **0.04%** | **1** | **0.97%** |
| *Dasypus novemcinctus* | 1 | 0.04% | 1 | 0.97% |
| **Didelphimorphia** | **13** | **0.51%** | **6** | **5.83%** |
| *Didelphis virginiana* | 13 | 0.51% | 6 | 5.83% |
| **Lagomorpha** | **10** | **0.40%** | **4** | **3.88%** |
| *Lepus sp.* | 3 | 0.12% | 2 | 1.94% |
| *Sylvilagus floridanus* | 7 | 0.28% | 2 | 1.94% |
| Mamífero Grande indeterminado | 9 | 0.36% | 1 | 0.97% |
| Mamífero Mediano Indeterminado | 1073 | 42.38% | 3 | 2.91% |
| Mamífero Pequeño Indeterminado | 14 | 0.55% | 2 | 1.94% |
| **Osteichthyes** | **89** | **3.52%** | **9** | **8.74%** |
| Osteichthyes indeterminado | 86 | 3.40% | 6 | 5.83% |

| | | | | |
|---|---|---|---|---|
| Anarhichadidae | 1 | 0.04% | 1 | 0.97% |
| *Bagre sp.* | 1 | 0.04% | 1 | 0.97% |
| Siluriforme | 1 | 0.04% | 1 | 0.97% |
| **Reptilia** | **25** | **1%** | **12** | **11.64%** |
| Iguanidae indeterminado | 1 | 0.04% | 1 | 0.97% |
| *Iguana iguana* | 9 | 0.36% | 2 | 1.94% |
| *Ctenosaura pectinata* | 2 | 0.08% | 2 | 1.94% |
| Reptilia indeterminado | 2 | 0.08% | 1 | 0.97% |
| Serpentes | 2 | 0.08% | 1 | 0.97% |
| Cocodrylidae | 3 | 0.12% | 2 | 1.94% |
| Testudines | 5 | 0.20% | 2 | 1.94% |
| *Trachemys scripta* | 1 | 0.04% | 1 | 0.97% |
| **Rodentia** | **9** | **0.36%** | **5** | **4.85%** |
| Cricetidae | 4 | 0.16% | 3 | 2.91% |
| Geomyidae | 2 | 0.08% | 1 | 0.97% |
| *Pappogeomys sp.* | 3 | 0.12% | 1 | 0.97% |
| **Total general** | **2532** | **100.00%** | **103** | **100.00%** |

**Tabla 8.4 Frecuencia de los taxones identificados en la muestra malacológica recuperada de los basureros excavados en las Operaciones A y B del PRV-2022, en Rio Viejo, Oaxaca.**

| Taxa | NRI | % NRI | NMI | % NMI |
|---|---|---|---|---|
| **Bivalvia** | **2388** | **96.02%** | **1183** | **93.00%** |
| **Arcidae** | **25** | **1.01%** | **17** | **1.34%** |
| *Anadara sp.* | 23 | 0.92% | 15 | 1.18% |
| Arcidae indeterminado | 2 | 0.08% | 2 | 0.16% |
| **Mytellidae** | **2130** | **85.65%** | **1057** | **83.10%** |
| Mytella | 2124 | 85.40% | 1053 | 82.78% |
| *Mytella strigata* | 2123 | 85.36% | 1052 | 82.70% |
| *Mytella sp.* | 1 | 0.04% | 1 | 0.08% |
| Mytellidae indeterminado | 6 | 0.24% | 4 | 0.31% |
| **Ostreidae** | **148** | **5.95%** | **41** | **3.22%** |
| Ostrea | 1 | 0.04% | 1 | 0.08% |
| *Ostrea conchaphila* | 1 | 0.04% | 1 | 0.08% |
| Saccostrea | 40 | 1.61% | 26 | 2.04% |
| *Saccostrea palmula* | 40 | 1.61% | 26 | 2.04% |
| Ostreidae indeterminado | 107 | 4.30% | 14 | 1.10% |
| **Pteridae** | **6** | **0.24%** | **2** | **0.16%** |
| Pinctada | 6 | 0.24% | 2 | 0.16% |
| *Pinctada mazatlanica* | 6 | 0.24% | 2 | 0.16% |
| **Spondylidae** | **3** | **0.12%** | **3** | **0.24%** |

| | | | | |
|---|---|---|---|---|
| Spondylus | 2 | 0.08% | 2 | 0.16% |
| *Spondylus calcifer* | 2 | 0.08% | 2 | 0.16% |
| *Spondylidae indeterminado* | 1 | 0.04% | 1 | 0.08% |
| **Unionidae** | **12** | **0.48%** | **5** | **0.39%** |
| Anodontoides | 11 | 0.44% | 4 | 0.31% |
| *Anodontoides feussacianus* | 11 | 0.44% | 4 | 0.31% |
| Unionidae indeterminado | 1 | 0.04% | 1 | 0.08% |
| **Veneridae** | **55** | **2.21%** | **49** | **3.85%** |
| *Chione sp.* | 4 | 0.16% | 4 | 0.31% |
| *Dosinia sp.* | 4 | 0.16% | 4 | 0.31% |
| Iliochione | 31 | 1.25% | 30 | 2.36% |
| *Iliochine subrugosa* | 31 | 1.25% | 30 | 2.36% |
| Mercenaria | 2 | 0.08% | 2 | 0.16% |
| *Mercenaria mercenaria* | 2 | 0.08% | 2 | 0.16% |
| Veneridae indeterminado | 14 | 0.56% | 9 | 0.71% |
| **Bivalvia Indeterminado** | **9** | **0.36%** | **9** | **0.71%** |
| **Gasterópoda** | **90** | **3.62%** | **82** | **6.45%** |
| **Cerithiidae** | **1** | **0.04%** | **1** | **0.08%** |
| *Cerithium sp.* | 1 | 0.04% | 1 | 0.08% |
| **Cerithiinae** | **1** | **0.04%** | **1** | **0.08%** |
| **Fasciolariidae** | **1** | **0.04%** | **1** | **0.08%** |
| *Pleuroploca sp.* | 1 | 0.04% | 1 | 0.08% |
| **Naticidae** | **5** | **0.20%** | **4** | **0.31%** |
| **Neritidae** | **9** | **0.36%** | **7** | **0.55%** |
| Vitta | 6 | 0.24% | 6 | 0.47% |
| *Vitta luteofasciata* | 6 | 0.24% | 6 | 0.47% |
| Neritidae indeterminado | 3 | 0.12% | 1 | 0.08% |
| **Olividae** | **3** | **0.12%** | **3** | **0.24%** |
| *Oliva sp.* | 3 | 0.12% | 3 | 0.24% |
| **Potamididae** | **52** | **2.09%** | **49** | **3.85%** |
| Cerithideopsis | 52 | 2.09% | 49 | 3.85% |
| *Cerithideopsis californica* | 52 | 2.09% | 49 | 3.85% |
| **Thaididae** | **6** | **0.24%** | **4** | **0.31%** |
| Stramonita (Thai) | 6 | 0.24% | 4 | 0.31% |
| *Stramonita biseralis* | 5 | 0.20% | 3 | 0.24% |
| *Stramonita haemastoma* | 1 | 0.04% | 1 | 0.08% |
| **Turritelidae** | **3** | **0.12%** | **3** | **0.24%** |
| **Gasterópoda indeterminado** | **4** | **0.16%** | **4** | **0.31%** |
| **Gasterópoda Terrestre Indeterminado** | **5** | **0.20%** | **5** | **0.39%** |
| **Thecostraca** | **9** | **0.36%** | **7** | **0.55%** |
| **Cirriperidae** | **9** | **0.36%** | **7** | **0.55%** |

| | | | | |
|---|---|---|---|---|
| *Balanus sp.* | 9 | 0.36% | 7 | 0.55% |
| **Total general** | **2487** | **100.00%** | **1272** | **100.00%** |

8.4.1 El material osteológico de la Fase Yuta Tiyoo (ca. 500-800 d.C)

Los restos que se describen en este apartado provienen de los Elementos E22-s2, E22-s3, E22-s4, E22-s5, E25-s1 y E25-s2, todos ellos contextos de la Operación B-Norte que han sido fechados para la Fase Yuta Tiyoo (ca. 500-800 d.C.), correspondiente al periodo Clásico Tardío. Los vestigios osteológicos de este periodo acumulan un total de 214 NRI y 33 NMI, representando la muestra más limitada de este estudio (Tabla 8.5).

De mayor a menor concentración, los restos identificados corresponden a mamíferos carnívoros de los que sobresalen los cánidos de distintos tipos, entre ellos perros comunes (*Carnivora,* 40.19%), mamíferos artiodáctilos como los venados (*Artiodactyla*, 12.14%), peces con estructura ósea (*Osteichtyes*, 9.82%), marsupiales como el tlacuache (*Didelphimorphia*, 2.80%), restos de reptiles como iguanas, tortugas y cocodrilos (*Reptilia*, 2.35%), aves como el guajolote (*Aves*, 2.34%), mamíferos placentarios como la liebre y el conejo (*Lagomorpha*, 2.33%), ratones y tuzas (*Rodentia*, 2.8%), ranas (*Amphibia*, 0.93%), crustáceos (*Brachyura*, 0.93%), y mamíferos placentarios como los armadillos (*Cingulata*, 0.47%). A pesar del destacado porcentaje de NRI del orden Carnivora, la representatividad de este grupo decae severamente en el cálculo de NMI.

**Tabla 8.5 Frecuencia de los taxones identificados en la muestra osteológica recuperada de los basureros de la Fase Yuta Tiyoo excavados en la Operación B del PRV-2022, en Rio Viejo, Oaxaca.**

| Taxa | NRI | % NRI | NMI | % NMI |
|---|---|---|---|---|
| **Amphibia** | **2** | **0.93%** | **2** | **6.06%** |
| Anura | 2 | 0.93% | 2 | 6.06% |
| **Artiodactyla** | **26** | **12.14%** | **3** | **9.09%** |
| Artiodactyla indeterminado | 2 | 0.93% | 2 | 6.06% |

| | | | | |
|---|---|---|---|---|
| *Odocoileus virginianus* | 24 | 11.21% | 1 | 3.03% |
| **Ave** | **13** | **6.08%** | **3** | **9.09%** |
| Ave indeterminada | 5 | 2.34% | 2 | 6.06% |
| *Meleagris gallopavo* | 8 | 3.74% | 1 | 3.03% |
| **Brachyura** | **2** | **0.93%** | **2** | **6.06%** |
| Brachyura indeterminado | 2 | 0.93% | 2 | 6.06% |
| **Carnivora** | **83** | **40.19%** | **4** | **12.12%** |
| Carnivora indeterminada | 1 | 0.47% | 1 | 3.03% |
| **Canidae** | **82** | **39.72%** | **3** | **9.09%** |
| *Canis familiaris* | 69 | 32.24% | 1 | 3.03% |
| *Canis lupus* | 12 | 5.61% | 1 | 3.03% |
| *Canis sp.* | 4 | 1.87% | 1 | 3.03% |
| **Cingulata** | **1** | **0.47%** | **1** | **3.03%** |
| *Dasypus novemcinctus* | 1 | 0.47% | 1 | 3.03% |
| **Didelphimorphia** | **6** | **2.80%** | **3** | **9.09%** |
| *Didelphis virginiana* | 6 | 2.80% | 3 | 9.09% |
| **Lagomorpha** | **5** | **2.33%** | **2** | **6.06%** |
| *Lepus sp.* | 2 | 0.93% | 1 | 3.03% |
| *Sylvilagus floridanus* | 3 | 1.40% | 1 | 3.03% |
| Mamífero Mediano Indeterminado | 39 | 18.22% | 1 | 3.03% |
| Mamífero Pequeño Indeterminado | 2 | 0.93% | 1 | 3.03% |
| **Osteichthyes** | **21** | **9.82%** | **3** | **9.09%** |
| Osteichthyes indeterminado | 20 | 9.35% | 2 | 6.06% |
| *Bagre sp.* | 1 | 0.47% | 1 | 3.03% |
| **Reptilia** | **5** | **2.35%** | **5** | **15.15%** |
| Cocodrylidae | 1 | 0.47% | 1 | 3.03% |
| Iguanidae indeterminado | 1 | 0.47% | 1 | 3.03% |
| *Ctenosaura pectinata* | 1 | 0.47% | 1 | 3.03% |
| Testudines | 1 | 0.47% | 1 | 3.03% |
| *Trachemys scripta* | 1 | 0.47% | 1 | 3.03% |
| **Rodentia** | **6** | **2.8%** | **3** | **9.09%** |
| Cricetidae | 1 | 0.47% | 1 | 3.03% |
| Geomyidae | 2 | 0.93% | 1 | 3.03% |
| *Pappogeomys sp.* | 3 | 1.40% | 1 | 3.03% |
| **Total general** | **214** | **100.00%** | **33** | **100.00%** |

8.4.2 El material osteológico de la Fase Yugüe (ca. 800-1100 d.C)

Los restos que se describen en este apartado provienen de los Elementos E11, E84-s1 y E84-s2 de la Operación A, así como del Elemento E3 de la Operación B. La mayoría han sido fechados a la Fase Yugüe (ca. 800-1100 d.C.), correspondiente al periodo Posclásico Temprano; y en algunos casos a la transición entre las fases Yuta Tiyoo y Yugüe. Los vestigios osteológicos de este conjunto acumulan un total de 2318 NRI y 73 NMI, tratándose de la muestra más sólida de este estudio (Tabla 8.6).

De mayor a menor concentración, los vestigios identificados y clasificados (NRI) corresponden a carnivoros (*Carnivora,* 45.76%) como mapaches, zorrillos y una alta densidad de huesos de cánidos (*Canidae*, 42.01%), peces con estructura ósea (*Osteichtyes*, 2.93%), crustáceos como los cangrejos (*Brachyura*, 1.85%), cérvidos, de los que sobresalen restos de venado cola blanca (*Artiodactyla*, 1.42%), restos de reptiles como iguanas, tortugas y cocodrilos, además de serpientes (*Reptilia*, 0.86%), aves como el guajolote, además de aves acuáticas migratorias (*Aves*, 0.82%), marsupiales como el tlacuache (*Didelphimorphia*, 0.30%), liebres y conejos (*Lagomorpha*, 0.21%), ranas (*Amphibia*, 0.17%), ratones y tuzas (*Rodentia*, 0.13%). En términos generales, los porcentajes de NRI son equiparables a los de NMI, con la excepción de la clase Reptilia, en cuyo caso tiene mayor representatividad en mínimo número de individuos.

**Tabla 8.6 Frecuencia de los taxones identificados en la muestra osteológica recuperada de los basureros de la Fase Yugüe excavados en las Operaciones A y B del PRV-2022 en Rio Viejo, Oaxaca.**

| Taxa | NRI | % NRI | NMI | % NMI |
|---|---|---|---|---|
| **Amphibia** | **4** | **0.17%** | **2** | **2.74%** |
| Amphibia indeterminado | 3 | 0.13% | 1 | 1.37% |
| Anura | 1 | 0.04% | 1 | 1.37% |
| **Artiodactyla** | **33** | **1.42%** | **6** | **8.22%** |
| Artiodactyla indeterminado | 6 | 0.26% | 2 | 2.74% |
| Cervidae | 3 | 0.13% | 2 | 2.74% |

| | | | | |
|---|---|---|---|---|
| *Odocoileus sp.* | 1 | 0.04% | 1 | 1.37% |
| *Odocoileus virginianus* | 23 | 0.99% | 1 | 1.37% |
| **Ave** | **19** | **0.82%** | **11** | **15.07%** |
| Anatidae | 3 | 0.13% | 3 | 4.11% |
| Ave indeterminada | 9 | 0.39% | 4 | 5.48% |
| Galliforme indeterminado | 2 | 0.09% | 2 | 2.74% |
| *Meleagris gallopavo* | 4 | 0.17% | 1 | 1.37% |
| *Rallus longirostris* | 1 | 0.04% | 1 | 1.37% |
| **Brachyura** | **43** | **1.85%** | **3** | **4.11%** |
| Brachyura indeterminado | 33 | 1.42% | 2 | 2.74% |
| *Pseudothelphusa sp.* | 10 | 0.43% | 1 | 1.37% |
| **Carnivora** | **1061** | **45.76%** | **26** | **35.62%** |
| **Canidae** | **974** | **42.01%** | **22** | **30.14%** |
| *Canis familiaris* | 304 | 13.11% | 5 | 6.85% |
| *Canis sp.* | 670 | 28.90% | 17 | 23.29% |
| Carnivora indeterminado | 85 | 3.67% | 2 | 2.74% |
| *Mephitis sp.* | 1 | 0.04% | 1 | 1.37% |
| *Procyon lotor* | 1 | 0.04% | 1 | 1.37% |
| **Didelphimophia** | **7** | **0.30%** | **3** | **4.11%** |
| *Didelphis virginiana* | 7 | 0.30% | 3 | 4.11% |
| **Lagomorpha** | **5** | **0.21%** | **2** | **2.74%** |
| *Lepus sp.* | 1 | 0.04% | 1 | 1.37% |
| *Sylvilagus floridanus* | 4 | 0.17% | 1 | 1.37% |
| Mamífero Grande Indeterminado | 9 | 0.39% | 1 | 1.37% |
| Mamífero Mediano Indeterminado | 1034 | 44.61% | 3 | 4.11% |
| Mamífero Pequeño Indeterminado | 12 | 0.52% | 1 | 1.37% |
| **Osteichthyes** | **68** | **2.93%** | **6** | **8.22%** |
| Anarhichadidae | 1 | 0.04% | 1 | 1.37% |
| Osteichthyes indeterminado | 66 | 2.85% | 4 | 5.48% |
| Siluriforme | 1 | 0.04% | 1 | 1.37% |
| **Reptilia** | **20** | **0.86%** | **7** | **9.59%** |
| *Iguana iguana* | 9 | 0.39% | 2 | 2.74% |
| Cocodrylidae | 2 | 0.09% | 1 | 1.37% |
| *Ctenosaura pectinata* | 1 | 0.04% | 1 | 1.37% |
| Reptil indeterminado | 2 | 0.09% | 1 | 1.37% |
| Serpentes | 2 | 0.09% | 1 | 1.37% |
| Testudines | 4 | 0.17% | 1 | 1.37% |
| **Rodentia** | **3** | **0.13%** | **2** | **2.74%** |
| Cricetidae | 3 | 0.13% | 2 | 2.74% |
| **Total general** | **2318** | **100.00%** | **73** | **100.00%** |

### 8.4.3 El material malacológico de la Fase Yuta Tiyoo (ca. 500-800 d.C)

Los restos que se describen en este apartado provienen de los Elementos E22-s2, E22-s3, E22-s4, E22-s5, E25-s1 y E25-s2, todos ellos contextos de la Operación B-Norte que han sido fechados para la Fase Yuta Tiyoo (ca. 500-800 d.C.), correspondiente al periodo Clásico Tardío. Los vestigios malacológicos de este periodo acumulan un total de 288 NRI y 134 NMI, representando una de las muestras más limitadas de este estudio (Tabla 8.7).

Los restos fueron identificados y organizados en tres clases, con sus respectivos géneros y especies. Para el caso de los bivalvos, en orden de mayor a menor concentración, se identificaron ostras marinas del Pacífico y ostión de mangle (*Ostreidae*, 40.97%), mitílidos o mejillones (*Mytellidae*, 22.92%), almejas de Venus, almejas duras, o almejas diosinias de agua salada (*Veneridae*, 10.76%), mejillones de agua dulce (*Unionidae*, 2.78%), almejas de agua salada (*Pteridae*, 2.08%), moluscos *anadara* de agua salada (*Arcidae*, 1.74%), y concha o almeja burra (*Spondylidae*, 0.35%). Con respecto a los gasterópodos, se identificaron, en orden de mayor a menor concentración, caracoles de barro o de cuerno (*Potamididae*, 9.03%), caracoles vita (*Neritidae*, 2.78%), así como concha *stramonita* de aguas poco profundas (*Thaididae*, 1. 39%), caracoles oliva (*Olividae*, 0.69%), caracoles de aguas poco profundas (*Cerithiidae*, 0.35%), y caracoles de mar (*Fasciolariidae*, 0.35%). Por último, se identificaron restos de crustáceos cirrípedos, también conocidos como percebes (*Thecostraca*, 1.74%). En términos generales, las estimaciones porcentuales de NRI concuerdan con las de NMI en la mayoría de los casos, con las excepciones de los restos de la familia Ostreidae, en el que el porcentaje de NMI disminuye considerablemente frente al de NRI; el de los restos de la familia Veneridae, en el que el porcentaje de NMI aumenta a más del doble en comparación con el de NRI; y el de los caracoles del género *Cerithideopsis*, cuya representación también se duplica en términos de NMI.

**Tabla 8.7 Frecuencia de los taxones identificados en la muestra malacológica recuperada de los basureros de la Fase Yuta Tiyoo excavados en la Operación B del PRV-2022 en Rio Viejo, Oaxaca.**

| Taxa | NRI | % NRI | NMI | % NMI |
|---|---|---|---|---|
| **Bivalvia** | **238** | **82.64%** | **91** | **67.91%** |
| **Arcidae** | **5** | **1.74%** | **5** | **3.73%** |
| *Anadara sp.* | 5 | 1.74% | 5 | 3.73% |
| **Mytellidae** | **66** | **22.92%** | **27** | **20.15%** |
| Mytella | 61 | 21.18% | 24 | 17.91% |
| *Mytella strigata* | 60 | 20.83% | 23 | 17.16% |
| *Mytella sp.* | 1 | 0.35% | 1 | 0.75% |
| Mytellidae indeterminado | 5 | 1.74% | 3 | 2.24% |
| **Ostreidae** | **118** | **40.97%** | **20** | **14.93%** |
| Ostrea | 1 | 0.35% | 1 | 0.75% |
| *Ostrea conchaphila* | 1 | 0.35% | 1 | 0.75% |
| Saccostrea | 14 | 4.86% | 9 | 6.72% |
| *Saccostrea palmula* | 14 | 4.86% | 9 | 6.72% |
| Ostreidae indeterminado | 103 | 35.76% | 10 | 7.46% |
| **Pteridae** | **6** | **2.08%** | **2** | **1.49%** |
| Pinctada | 6 | 2.08% | 2 | 1.49% |
| *Pinctada mazatlanica* | 6 | 2.08% | 2 | 1.49% |
| **Spondylidae** | **1** | **0.35%** | **1** | **0.75%** |
| Spondylus | 1 | 0.35% | 1 | 0.75% |
| *Spondylus calcifer* | 1 | 0.35% | 1 | 0.75% |
| **Unionidae** | **8** | **2.78%** | **3** | **2.24%** |
| Anodontoides | 7 | 2.43% | 2 | 1.49% |
| *Anodontoides feussacianus* | 7 | 2.43% | 2 | 1.49% |
| Unionidae indeterminado | 1 | 0.35% | 1 | 0.75% |
| **Veneridae** | **31** | **10.76%** | **30** | **22.39%** |
| *Chione sp.* | 1 | 0.35% | 1 | 0.75% |
| *Dosinia sp.* | 4 | 1.39% | 4 | 2.99% |
| Iliochione | 24 | 8.33% | 23 | 17.16% |
| *Iliochine subrugosa* | 24 | 8.33% | 23 | 17.16% |
| Mercenaria | 1 | 0.35% | 1 | 0.75% |
| *Mercenaria mercenaria* | 1 | 0.35% | 1 | 0.75% |
| Veneridae Indeterminado | 1 | 0.35% | 1 | 0.75% |
| **Bivalvia Indeterminado** | **3** | **1.04%** | **3** | **2.24%** |
| **Gasterópoda** | **45** | **15.63%** | **39** | **29.10%** |
| **Cerithiidae** | **1** | **0.35%** | **1** | **0.75%** |
| *Cerithium sp.* | 1 | 0.35% | 1 | 0.75% |
| **Cerithiinae** | **1** | **0.35%** | **1** | **0.75%** |

| | | | | |
|---|---|---|---|---|
| **Fasciolariidae** | **1** | **0.35%** | **1** | **0.75%** |
| *Pleuroploca sp.* | 1 | 0.35% | 1 | 0.75% |
| **Neritidae** | **8** | **2.78%** | **6** | **4.48%** |
| Vitta | 5 | 1.74% | 5 | 3.73% |
| *Vitta luteofasciata* | 5 | 1.74% | 5 | 3.73% |
| Neritidae indeterminado | 3 | 1.04% | 1 | 0.75% |
| **Olividae** | **2** | **0.69%** | **2** | **1.49%** |
| *Oliva sp.* | 2 | 0.69% | 2 | 1.49% |
| **Potamididae** | **26** | **9.03%** | **23** | **17.16%** |
| Cerithideopsis | 26 | 9.03% | 23 | 17.16% |
| *Cerithideopsis californica* | 26 | 9.03% | 23 | 17.16% |
| **Thaididae** | **4** | **1.39%** | **3** | **2.24%** |
| Stramonita (Thai) | 4 | 1.39% | 3 | 2.24% |
| *Stramonita biseralis* | 3 | 1.04% | 2 | 1.49% |
| *Stramonita haemastoma* | 1 | 0.35% | 1 | 0.75% |
| **Gasterópoda Indeterminado** | **2** | **0.69%** | **2** | **1.49%** |
| **Thecostraca** | **5** | **1.74%** | **4** | **2.99%** |
| **Cirriperidae** | **5** | **1.74%** | **4** | **2.99%** |
| *Balanus sp.* | 5 | 1.74% | 4 | 2.99% |
| **Total general** | **288** | **100.00%** | **134** | **100.00%** |

### 8.4.4 El material malacológico de la Fase Yugüe (ca. 800-1100 d.C)

Los restos que se describen en este apartado provienen de los Elementos E11, E84-s1 y E84-s2 de la Operación A. La mayoría han sido fechados a la Fase Yugüe (ca. 800-1100 d.C.), correspondiente al periodo Posclásico Temprano, y en algunos casos a la transición entre las fases Yuta Tiyoo y Yugüe. Los vestigios osteológicos de este conjunto acumulan un total de 2199 NRI y 1138 NMI, tratándose de la muestra más sólida de este estudio (Tabla 8.6).

Los restos malacológicos fueron identificados y clasificados en tres familias, con sus respectivos géneros y especies. Para el caso de los bivalvos, en orden de mayor a menor concentración, se identificaron mejillones charrúas (*Mytellidae*, 93.86%), grupo en el que dominan los restos de *tichinda* (*Mytella strigata*, 93.82%), ostras marinas del Pacífico y ostión de mangle (*Ostreidae*, 1.36%), almejas de Venus, almejas duras, o almejas diosinias de agua salada (*Veneridae*, 1.09%), moluscos *anadara* de agua salada (*Arcidae*, 0.91%), mejillones de agua dulce

(*Unionidae*, 0.18%), y concha o almeja burra (*Spondylidae*, 0.09%). Con respecto a los gasterópodos, se identificaron de mayor a menor concentración, caracoles de barro o de cuerno (*Potamididae*, 1.18%), gasterópodos indeterminados debido a su estado de conservación (*Gasteropoda*, 0.32%), caracoles de luna o de collar, propios de sustratos arenosos (*Naticidae*, 0.23%), caracoles *de torre* (*Turritellidae*, 0.14%), así como concha e*stramonita* de aguas poco profundas (*Thaididae*, 0.09%), caracoles vita (*Neritidae*, 0.05%), y caracoles oliva (*Olividae*, 0.05%). Por último, se identificaron restos de crustáceos cirrípedos, o percebes (*Thecostraca*, 0.18%).

En términos generales, todos los porcentajes de NRI corresponde con los de NMI sin grandes variaciones. La gran cantidad de restos de *tichindas* en los contextos de este periodo opaca considerablemente las frecuencias de cualquier otro taxón.

**Tabla 8.8 Frecuencia de los taxones identificados en la muestra malacológica recuperada de los basureros de la Fase Yugüe excavados en la Operación A del PRV-2022 en Rio Viejo, Oaxaca.**

| Taxa | NRI | % NRI | NMI | % NMI |
|---|---|---|---|---|
| **Bivalvia** | **2150** | **97.77%** | **1092** | **95.96%** |
| **Arcidae** | **20** | **0.91%** | **12** | **1.05%** |
| *Anadara sp.* | 18 | 0.82% | 10 | 0.88% |
| Arcidae indeterminado | 2 | 0.09% | 2 | 0.18% |
| **Mytellidae** | **2064** | **93.86%** | **1030** | **90.51%** |
| Mytella | 2063 | 93.82% | 1029 | 90.42% |
| *Mytella strigata* | 2063 | 93.82% | 1029 | 90.42% |
| Mytellidae indeterminado | 1 | 0.05% | 1 | 0.09% |
| **Ostreidae** | **30** | **1.36%** | **21** | **1.85%** |
| Saccostrea | 26 | 1.18% | 17 | 1.49% |
| *Saccostrea palmula* | 26 | 1.18% | 17 | 1.49% |
| Ostreidae indeterminado | 4 | 0.18% | 4 | 0.35% |
| **Spondylidae** | **2** | **0.09%** | **2** | **0.18%** |
| Spondylus | 1 | 0.05% | 1 | 0.09% |
| *Spondylus calcifer* | 1 | 0.05% | 1 | 0.09% |
| Spondylidae indeterminado | 1 | 0.05% | 1 | 0.09% |
| **Unionidae** | **4** | **0.18%** | **2** | **0.18%** |
| Anodontoides | 4 | 0.18% | 2 | 0.18% |

| | | | | |
|---|---|---|---|---|
| *Anodontoides feussacianus* | 4 | 0.18% | 2 | 0.18% |
| **Veneridae** | **24** | **1.09%** | **19** | **1.67%** |
| *Chione sp.* | 3 | 0.14% | 3 | 0.26% |
| Iliochione | 7 | 0.32% | 7 | 0.62% |
| *Iliochine subrugosa* | 7 | 0.32% | 7 | 0.62% |
| Mercenaria | 1 | 0.05% | 1 | 0.09% |
| *Mercenaria mercenaria* | 1 | 0.05% | 1 | 0.09% |
| Veneridae indeterminado | 13 | 0.59% | 8 | 0.70% |
| **Bivalvia Indeterminado** | **6** | **0.27%** | **6** | **0.53%** |
| **Gasterópoda** | **45** | **2.05%** | **43** | **3.78%** |
| **Naticidae** | **5** | **0.23%** | **4** | **0.35%** |
| **Neritidae** | **1** | **0.05%** | **1** | **0.09%** |
| Vitta | 1 | 0.05% | 1 | 0.09% |
| *Vitta luteofasciata* | 1 | 0.05% | 1 | 0.09% |
| **Olividae** | **1** | **0.05%** | **1** | **0.09%** |
| *Oliva sp.* | *1* | *0.05%* | *1* | *0.09%* |
| **Potamididae** | **26** | **1.18%** | **26** | **2.28%** |
| Cerithideopsis | 26 | 1.18% | 26 | 2.28% |
| *Cerithideopsis californica* | 26 | 1.18% | 26 | 2.28% |
| **Thaididae** | **2** | **0.09%** | **1** | **0.09%** |
| Stramonita (Thai) | 2 | 0.09% | 1 | 0.09% |
| *Stramonita biseralis* | 2 | 0.09% | 1 | 0.09% |
| **Turritellidae** | **3** | **0.14%** | **3** | **0.26%** |
| **Gasterópoda Indeterminado** | **2** | **0.09%** | **2** | **0.18%** |
| **Gasterópoda Terrestre Indeterminado** | **5** | **0.23%** | **5** | **0.44%** |
| **Thecostraca** | **4** | **0.18%** | **3** | **0.26%** |
| **Cirriperidae** | **4** | **0.18%** | **3** | **0.26%** |
| *Balanus sp.* | *4* | *0.18%* | *3* | *0.26%* |
| **Total general** | **2199** | **100.00%** | **1138** | **100.00%** |

### 8.4.5 Hueso humano y materiales trabajados

Durante los análisis osteológicos se identificaron fragmentos de huesos de humanos desarticulados, provenientes de ambas operaciones, aunque la mayoría provinieron de los contextos fechados para el Clásico Tardío, y en menor medida de los contextos del Posclásico Temprano. La Tabla 8.9 presenta con precisión la procedencia de cada uno de los restos de hueso humano identificado, así como una identificación preliminar del elemento anatómico al que

corresponden, en aras de facilitar la interpretación de la relación que estos restos podrían tener con los Entierros estudiados por el equipo de bioarqueología del PRV-2022.

**Tabla 8.9 Procedencia del hueso humano desarticulado recuperado en las operaciones A y B del PRV-2022 en Rio Viejo, Oaxaca, e identificada por el Laboratorio de Arqueozoología de la UASLP.**

| Op. | # FS | Procedencia | Unidad | Lote | Elemento | Periodo | Pieza anatómica | NRI |
|---|---|---|---|---|---|---|---|---|
| A | 22-2681 | Cribado | F23 | 3 | E11 | Yugue | Cúbito | 1 |
| A | 22-0449 | Cribado | F24 | 3 | E11/E1 | Yugue | Fémur | 1 |
| A | 22-3033 | Cribado | F23 | 19 | E84-s2 | Yugue | Radio | 1 |
| A | 22-0518 | Cribado | I19 | 5 | E11 | Yugue | Hueso plano | 1 |
| A | 22-3903 | Cribado | I24 | 2 | E11 | Yugue | Dentición | 1 |
| A | 22-2796 | Cribado | MU28 | 2 | E11 | Yugue | Cráneo | 2 |
| A | 22-3018 | Cribado | MU11 | 1 | E84-s2 | Yugue | Costilla | 1 |
| A | 22-1666 | Cribado | MU2 | 4 | E11 | Yugue | Cúbito | 2 |
| B | 22-8322 | Cribado | II38 | 13 | E22-s2 | Yuta Tiyoo | Dentición | 1 |
| B | 22-9755 | Cribado | MU11 | 2 | E25-s1 | Yuta Tiyoo | Tibia | 4 |
| B | 22-9809 | Cribado | MU12 | 1 | E25-s1 | Yuta Tiyoo | Metápodo | 1 |
| B | 22-9797 | Cribado | MU13 | 1 | E25-s1 | Yuta Tiyoo | Tibia | 1 |
| B | 22-9941 | Cribado | HH37 | 5 | E22-s2 | Yuta Tiyoo | Dentición | 1 |
| B | 22-9941 | Cribado | HH37 | 5 | E22-s2 | Yuta Tiyoo | Esternón | 1 |
| B | 22-9941 | Cribado | HH37 | 5 | E22-s2 | Yuta Tiyoo | Cúbito | 1 |
| B | 22-9941 | Cribado | HH37 | 5 | E22-s2 | Yuta Tiyoo | Falange medial | 1 |
| B | 22-9941 | Cribado | HH37 | 5 | E22-s2 | Yuta Tiyoo | Cráneo | 1 |

De manera similar, durante el análisis de los materiales, tanto osteológicos como malacológicos, se identificaron algunos restos con evidencias de modificación cultural más allá de marcas de destazamiento, como pulimiento, perforaciones y cortes finamente ejecutados. En algunos casos fue posible determinar porciones de diferentes tipos de artefactos, tales como punzones, un posible brazalete y un elemento *excéntrico* hechos en restos de material

malacológico, así como un posible pendiente, un retocador, un mango, un cincel, un probable pendiente, y un posible instrumento musical de viento. La Tabla 8.10 presenta la procedencia de los restos de fauna con modificaciones culturales que fueron recuperados en los contextos de basurero de ambas operaciones.

**Tabla 8.10 Procedencia de la fauna con modificaciones culturales recuperada en las operaciones A y B del PRV-2022 en Rio Viejo, Oaxaca, e identificada por el Laboratorio de Arqueozoología de la UASLP.**

| Op. | # FS | Procedencia | Unidad | Lote | Elemento | Fase | Taxa | Artefacto |
|---|---|---|---|---|---|---|---|---|
| A | 22-2842 | Cribado | F23 | 8 | E84-s1/E85 | Yugue | *Arcidae* | Indeterminado |
| A | 22-2849 | Cribado | F23 | 9 | E84-s1/E85 | Yugue | *Bivalvia* | Posible brazalete |
| A | 22-2796 | Cribado | MU28 | 2 | E11 | Yugue | *Canis familiaris* | Indeterminado |
| A | 22-1615 | Cribado | MU1 | 8 | E11/E15-s1 | Yuta Tiyoo | *Canis familiaris* | Pendiente |
| A | 22-2695 | Cribado | F23 | 4 | E11 | Yugue | *Canis sp.* | Indeterminado |
| A | 22-2796 | Cribado | MU28 | 2 | E11 | Yugue | *Homo sapiens* | Indeterminado |
| A | 22-2796 | Cribado | MU28 | 2 | E11 | Yugue | *Mamífero Mediano Indeterminado* | Indeterminado |
| A | 22-2661 | Cribado | F23 | 2 | E11 | Yugue | *Odocoileus sp.* | Retocador |
| A | 22-3276 | Cribado | MU17 | 6 | E11 | Yugue | *Odocoileus virginianus* | Mango |
| B | 22-9797 | Cribado | MU13 | 1 | E25-s1 | Yuta Tiyoo | *Canis familiaris* | Indeterminado |
| B | 22-8312 | Cribado | II38 | 12 | E22-s2 | Yuta Tiyoo | *Canis sp.* | Punzón |
| B | 22-9347 | Cribado | MU6 | 2 | E22-s5 | Yuta Tiyoo | *Homo sapiens* | Punzón |
| B | 22-9347 | Cribado | MU6 | 2 | E22-s5 | Yuta Tiyoo | *Meleagris gallopavo* | Instrumento musical de viento |
| B | 22-9920 | Cribado | MU6 | 2 | E22-s5 | Yuta Tiyoo | *Odocoileus virginianus* | Cincel |
| B | 22-9812 | Cribado | MU12 | 1 | E25-s1 | Yuta Tiyoo | *Odocoileus virginianus* | Punzón |
| B | 22-0801 | Cribado | MU12 | 3 | E25-s1 | Yuta Tiyoo | *Oliva sp.* | Indeterminado |
| B | 22-9347 | Cribado | MU6 | 2 | E22-s5 | Yuta Tiyoo | *Osteichthyes* | Posible pendiente |
| B | 22-9797 | Cribado | MU13 | 1 | E25-s1 | Yuta Tiyoo | *Osteichthyes* | Indeterminado |
| B | 22-9849 | Cribado | MU12 | 2 | E25-s1 | Yuta Tiyoo | *Pinctada mazatlanica* | Excéntrico |
| B | 22-9836 | Cribado | MU13 | 2 | E25-s1 | Yuta Tiyoo | *Pinctada mazatlanica* | Indeterminado |
| B | 22-9921 | Cribado | MU6 | 2 | E22-s5 | Yuta Tiyoo | *Pleuroploca sp.* | Indeterminado |

| | | | | | | | | |
|---|---|---|---|---|---|---|---|---|
| B | 22-8310 | Cribado | II38 | 12 | E22-s2 | Yuta Tiyoo | *Spondylus calcifer* | Indeterminado |

## 8.5 Consideraciones y futuras direcciones de investigación

Los resultados preliminares del análisis arqueofaunístico indican que durante los periodos Clásico Tardío (ca. 500-800 d.C.) y Posclásico Temprano (ca. 800-1100 d.C.), los residentes del estado de Río Viejo hicieron partícipes de sus dinámicas culturales a un complejo y amplio ensamblaje de entidades faunísticas vertebradas e invertebradas, comúnmente localizadas en la planicie inundable y las serranías cercanas, incluyendo reptiles, anfibios, peces, moluscos, crustáceos, aves y mamíferos diversos como cánidos, roedores, liebres, cérvidos y marsupiales. Esta interacción y aprovechamiento dietético no es homogénea entre ambos periodos. Las diferencias podrían estar ligadas a cambios en las estrategias de procuración de recursos, propias de las lógicas de la economía doméstica de la región, quizá en probable respuesta a transformaciones sociales, políticas e ideológicas experimentadas a partir de las dinámicas de transición entre el Clásico Tardío y el Posclásico Temprano al final del segundo ciclo de auge cultural en el valle del bajo Río Verde. Sin embargo, no puede descartarse que los cambios identificados en el aprovechamiento de la fauna regional no hayan obedecido también, de forma paralela, a cambios medioambientales de origen multifactorial, donde las dinámicas de la vida no humana hayan respondido a otras presiones concatenadas a los efectos de las dinámicas humanas que alteraron el paisaje cultural, y el medio ambiente, en formas que aún quedan pendientes de explorar.

Las tendencias más notorias se presentaron en la intensificación de los restos de *tichindas* (*Mytella strigata*) en los contextos del Posclásico Temprano, particularmente en los Elementos E84-s1 y E84-2 de la Op. A; así como en la intensificación de restos de cánidos, muy posiblemente de perros domésticos en específico (*Canis familiaris*) durante el mismo periodo, siendo el Elemento E11 (Op. A) el contexto el que albergó la mayor densidad de estos restos. A pesar de que los restos

de tichindas dominan la colección faunística, es poco probable que esta especie constituyera la principal fuente de alimento animal, dejando por aparte los recursos vegetales a los que tenían acceso los habitantes de Rio Viejo. Resulta más lógico atribuir la alta densidad de restos de tichindas a la facilidad con que puede adquirirse en grandes cantidades, incluso en la actualidad, pues sólo basta con acercarse a los manglares de la región y dedicarle unos cuantos minutos a la recolección de decenas o incluso cientos de estos mejillones. Otro factor que ayuda a explicar la cantidad de restos de este taxón radica en su preservación, pues a diferencia de ciertos huesos (de peces, por ejemplo), la concha tiende a perdurar en buenas condiciones en las capas de sedimento de Rio Viejo. Los datos del NMI, sin embargo, sobrerepresentan la contribución dietética de los tichindas dada su tamaño pequeño.

En cambio, la cantidad de huesos de cánidos resulta un dato anómalo al comparar las frecuencias que este taxón ha presentado en otros estudios zooarqueológicos de la región (Fernández 2004; Quitmyer 1988). A pesar de que tales estudios previos se concentraron en el análisis de la fauna del periodo Formativo, la considerablemente alta presencia de este taxón en los contextos del Posclásico Temprano genera un mayor interés por entender la dinámica humano-perro en la región a través de los distintos periodos.

Como suele suceder en este tipo de estudios, existen distintos factores que suponen potenciales fuentes error o sesgo para los datos presentados. Los más importantes y evidentes en el caso de este informe son el tamaño de la muestra, particularmente la correspondiente al periodo Clásico Tardío, y el hecho de que sólo se analizaron las muestras procedentes de cribado. Existe una gran probabilidad de que algunas clases de vertebrados, tales como reptiles, anfibios, roedores y peces estén subrepresentados sencillamente por las características del proceso de recuperación por cribado en campo.

En este sentido, futuros estudios zooarqueológicos complementarios sobre el conjunto de materiales obtenidos durante las excavaciones arqueológicas en Rio Viejo, podrán aportar mayor profundidad y solidez a las interpretaciones respecto a los cambios en la dieta y de economía doméstica de la región durante la transición entre los periodos estudiados. En específico, se considera que la identificación taxonómica de los restos de fauna recuperados por flotación podrán afinar las estimaciones de riqueza taxonómica para cada periodo. Mientras que análisis más detallados sobre los restos de cánidos y peces profundizarán en su identificación taxonómica, así como en la comprensión de las estrategias de crianza o pesca, así como en los patrones de consumo. Por otro lado, se considera que el estudio detallado de la concha y el hueso trabajado de todos los contextos excavados (no sólo de los basureros) debe priorizarse como un indicador más de la variación de la economía doméstica entre Clásico Tardío y Posclásico Temprano. Finalmente, es de interés para el proyecto expandir los alcances del análisis zooarqueológico a los contextos de drenaje (Elementos A-E34, A-E35, A-E121, A-E122, A-E125), hornos de tierra (A-120, A-E40-s2, A-E42-s2, A-E43-s1, A-E43-s2; A-E93, A-E115, A-E51), fogones (B-E5-s1-2 y B-E5-s1-3), depósitos de terminación (A-E15-s1, A-E15-s2), pozos rellenados con desecho (A-E54) y concentraciones cerámicas (A-E22-s1, A-E22-s2; B-E11, B-E12-s1, B-E13, B-E14, B-E15, B-E16, B-E20-s2, B-E20-s3, B-E20-s5, B-E26-s1).

# CAPITULO 9. Análisis de Macrorestos Paleobotánicos

## Éloi Bérubé

## 9.1 Introducción

Este capítulo presenta los resultados preliminares de análisis de macrorestos paleoetnobotánicos. En total 41 muestras de sedimentos fueron analizadas (Tabla 9.1). Dichas muestras provienen de diferentes contextos, incluyendo basureros y hornos, lugares dónde se podría encontrar restos de plantas antiguas. Presentamos aquí los métodos elaborados durante la flotación de las muestras de sedimentos, el análisis de los macrorestos botánicos y los resultados de este estudio. La investigación paleoetnobotánica es importante para realizar un estudio más completo de los pueblos antiguos. Los análisis paleoetnobotánicos nos permiten saberla dieta (McCafferty 2008; VanDerwarker y Kruger 2012), el consumo de plantas (Morell-Hart et al. 2014) y la esfera política, a través de la economía y de las relaciones sociales (Dietler 2007; Hastorf y Weismantel 2007; Morehart y Morell-Hart 2015). Por lo anterior, el objetivo de esta investigación es obtener una mejor comprensión de las plantas consumidas por los habitantes antiguos de Río Viejo.

**Tabla 9.1. Muestras examinadas**

| Operación | Unidad | Lote | Contexto | FS | Elemento |
|---|---|---|---|---|---|
| A | F23 | 5 | Basureros | 2812 | E11, E84-s1 |
| A | F23 | 12 | Relleno, Basurero | 2871 | E85, E84-s2 |
| A | F23 | 13 | Relleno, Basurero | 2883 | E85, E84-s2 |
| A | F24 | 4 | Basurero | 2259 | E11 |
| A | F24 | 8 | Relleno, Basureros | 2430 | E85, E11, E84-s1, E84-s2 |

| | | | | | |
|---|---|---|---|---|---|
| A | F24 | 10 | Relleno, Basurero | 2458 | E85, E84-s1, E84-s2 |
| A | F24 | 14 | Basurero | 2492 | E84-s2 |
| A | F24 | 16 | Basurero | 2616 | E84-s2 |
| A | MU8 | 5 | Relleno asociado con el canal de ventilación | 2356 | E38-s1 |
| A | MU11 | 1 | Basurero | 3057 | E84-s2 |
| A | MU11 | 3 | Basurero | 3054 | E84-s2 |
| A | MU11 | 5 | Basurero | 3075 | E84-s2 |
| A | MU11 | 7 | Basurero | 3087 | E84-s2 |
| A | Q17 | 6 | Relleno (control) | 2509 | E4 |
| A | Q11 | 8 | Horno | 2354 | E42-s1, E43-s1 |
| A | Q10 | 9 | Basurero posible | 2105 | E54 |
| A | Q10 | 9 | Basurero posible | 2108 | E54 |
| A | Q10 | 9 | Basurero posible | 2117 | E54 |
| A | Q10 | 9 | Basurero posible | 2111 | E54 |
| A | O10 | 7 | Relleno en el canal de ventilación | 2908 | E38-s1 |
| A | MU27 | 1 | Horno | 2724 | E42-s1 |
| A | MU27 | 1 | Horno | 2727 | E43-s1 |
| A | MU27 | 4 | Horno | 2784 | E43-s2 |
| A | MU27 | 8 | Horno | 2909 | E43-s3 |
| A | MU27 | 9 | Horno | 2916 | E40-s2 |
| A | MU27 | 11 | Relleno (control) | 2928 | E13 |
| A | MU31 | 7 | Horno | 3901 | E93 |
| A | MU31 | 8 | Horno | 3905 | E93 |
| B | HH39 | 7 | Basurero | 8938 | E22-s5 |
| B | JJ39 | 9 | depósito de terminación | 8726 | E20-s2 |
| B | JJ40 | 5 | Desecho ocupacional | 8898 | E31 |
| B | KK36 | 13 | Relleno | 9022 | E24-s2 |
| B | KK36 | 14 | Desecho ocupacional | 9032 | E31 |
| B | MU7 | 1 | horno | 9424 | E35-s1 |
| B | OO32 | 4 | Desecho ocupacional o relleno | 9168 | E7 |
| B | OO34 | 2 | Relleno | 9157 | E6-s2 |
| B | QQ38 | 13 | Posible fogón | 8335 | E28 |
| B | QQ43 | 6 | Basurero | 9455 | E15 |
| B | QQ44 | 5 | Basurero | 8854 | E14 y E15 |
| B | JJ35 | 8 | Relleno | 9793 | E24-s2 |
| B | PP38 | 14 | Posible fogón | 9917 | E28 |

En resumen, se identificaron restos de varias plantas de las fracciones ligeras de flotación y algunos restos obtenidos en las fracciones pesantes. Estos restos incluyen semillas carbonizadas, fragmentos de madera quemada (carbón), tejidos y fragmentos de frutas secas. En general, la mayoría de los restos de plantas son muy fragmentados y erosionados. Por lo tanto, muchos taxones no se pudieron identificar o se pudieron identificar hasta el nivel de la familia de las especies. A través de los análisis de las 41 muestras de sedimentos, se lograron identificar un mínimo de 15 especies diferentes, demostrando un buen nivel de diversidad taxonómica.

## 9.2 Métodos

Las muestras analizadas en este estudio se provienen del Proyecto Río Verde 2022. Las muestras de sedimentos fueron extraídas desde contextos especiales tales como basureros, hornos, y sedimentos que se podrían encontrar restos de plantas. A fin de tener suficiente cantidad de muestra, se tomaron una muestra de sedimentos de 10 litros. Luego, dichos sedimentos fueron separados por flotación en dos fracciones: ligera (semillas y otros restos botánicos que flotan) y pesadas (piedras, artefactos y grandes restos botánicos pesados). Con el objeto de separar dos fracciones, se utilizó una máquina de flotación, diseñada por Rob Cuthrell, a partir del modelo SMAP de Deborah Pearsall y modificado por Shanti Morell-Hart (Morell-Hart 2015; Figura 9.1).

Al final, se examinaron las fracciones pesadas para recuperar los artefactos y los ecofactos (huesos y grandes restos de plantas). Por las fracciones ligeras, se utilizó un microscopio AmScope 7-45 x con una lámpara separada por la iluminación. Se tomaron fotos de los restos mediante una cámara digital de 3 MP y el programa de AmScope, AmLite.

## 9.3 Resultados

Solamente unas plantas se encuentran en más que una muestra (Tabla 9.2). Por ejemplo, cactus, se recuperaron en tres distintos contextos: en un horno (FS 2354), en el relleno adentro de un canal de ventilación de un horno (FS 2908) y en un basurero (FS 8938). La presencia de cactus en un horno podría demonstrar que los habitantes antiguos de este pueblo consumieron cactus y potencialmente tuna (cf. *Opuntia* sp.). Se identificaron restos de dos plantas similares: quelite y pazote (Cheno/Am). La presencia de sus semillas en dos muestras de basureros (FS 2616 y 2871) es un índice fuerte sobre la utilización de esta planta en la dieta antigua. Se podrían comer las hojas o las semillas (Bérubé y Forde en prensa; Dressler 1953:128-129; Ebeling 1986:682, 776; Feinman y Nicholas en prensa; King y Morell-Hart en prensa; Lentz y Dickau 2005:66-67; Morell-Hart y Bérubé en prensa; Pérez Rodríguez en prensa).

Dos plantas se destacan de las otras en este estudio: maíz (*Zea mays*) y verdolagas (*Portulaca* sp.). Se identificaron en total 112 restos de maíz que provinieron de cinco muestras: uno de horno (FS 2784) y cuatro de basureros (FS 2111, 2812, 3054 y 3075; Figura 9.2). La presencia de maíz en contextos domésticos no es una gran sorpresa considerando su importancia en la vida cuotidiana (Bérubé 2017; de Ávila 2010:209; Fussell 1992; León Avendaño y Vásquez Dávila 2003:62) y su asociación al concepto de fertilidad (Joyce 2020). La presencia de verdolagas en 19 muestras es sobresaliente (Figura 9.3). Esta planta se ha encontrado en otros sitios en Oaxaca, incluyendo en Monte Albán (Houston 1983:68-76). Normalmente, se comen las hojas de esta planta (Houston 1983:68–76; Morell-Hart y Bérubé en prensa). Considerando que los restos de esta planta se encontraron en muchos contextos domésticos: fogones y hornos (FS 9424 y 9917), basureros (FS 2105, 2108, 2111, 2430, 2458, 2492, 2812, 3054 y 3057), hornos (FS 2354, 2724, 2727 y 2784), y en el relleno asociado con un canal de ventilación de un horno (FS 2356) es posible de creer que esta planta fue consumido al sitio en diferentes ocasiones.

**Tabla 9.2. Resultados del estudio (cf. significa potencial identificación)**

| FS de Muestras | Contexto | Taxon | Nombre | Typo de resto | Total residuos | Total residuos en la muestra |
|---|---|---|---|---|---|---|
| 8726 | depósito de terminación | Semilla desconocida | Semilla desconocida | Semilla | 1 | 1 |
| 8854 | Basurero | cf. Malvaceae | cf. familia del jamaica | Semilla | 1 | 1 |
| 9157 | Relleno | *Portulaca* sp. | Verdolagas | Semilla | 85 | 93 |
| 9157 | Relleno | *Verbena* sp. | Verbena | Semilla | 1 | 93 |
| 9157 | Relleno | Semilla desconocida | Semilla desconocida | Semilla | 6 | 93 |
| 9157 | Relleno | Vitaceae spp. | familia de las uvas | Semilla | 1 | 93 |
| 9168 | Desecho ocupacional o relleno | *Portulaca* sp. | Verdolagas | Semilla | 3 | 4 |
| 9168 | Desecho ocupacional o relleno | Poaceae spp. | Hierbas | Semilla | 1 | 4 |
| 9424 | Horno | *Portulaca* sp. | Verdolagas | Semilla | 8 | 9 |
| 9424 | Horno | Semilla desconocida | Semilla desconocida | Semilla | 1 | 9 |
| 2105 | Basurero posible | Semilla desconocida | Semilla desconocida | Semilla | 1 | 2 |
| 2105 | Basurero posible | *Portulaca* sp. | Verdolagas | Semilla | 1 | 2 |
| 2108 | Basurero posible | *Portulaca* sp. | Verdolagas | Semilla | 1 | 1 |
| 2111 | Basurero posible | *Portulaca* sp. | Verdolagas | Semilla | 8 | 13 |
| 2111 | Basurero posible | *Zea mays* | Maíz | Grano | 5 | 13 |
| 2354 | Horno | Cactaceae spp. | Cactus | Semilla | 2 | 13 |
| 2354 | Horno | *Portulaca* sp. | Verdolagas | Semilla | 9 | 13 |
| 2354 | Horno | cf. Phoradendron sp. | cf. allobium | Semilla | 1 | 13 |
| 2356 | Relleno asociado con el canal de ventilación | *Portulaca* sp. | Verdolagas | Semilla | 1 | 1 |

| | | | | | | |
|---|---|---|---|---|---|---|
| 2430 | Relleno, Basureros | *Portulaca* sp. | Verdolagas | Semilla | 4 | 4 |
| 2458 | Relleno, Basurero | *Portulaca* sp. | Verdolagas | Semilla | 3 | 3 |
| 2492 | Basurero | *Portulaca* sp. | Verdolagas | Semilla | 2 | 2 |
| 2616 | Basurero | Cheno/Am | Cheno/Am | Semilla | 7 | 10 |
| 2616 | Basurero | cf. Fabaceae spp. | cf. frijoles | Tejido | 3 | 10 |
| 2724 | Horno | *Portulaca* sp. | Verdolagas | Semilla | 2 | 2 |
| 2727 | Horno | Semilla desconocida | Semilla desconocida | Semilla | 1 | 2 |
| 2727 | Horno | *Portulaca* sp. | Verdolagas | Semilla | 1 | 2 |
| 2784 | Horno | *Zea mays* | Maíz | Grano | 98 | 100 |
| 2784 | Horno | *Portulaca* sp. | Verdolagas | Semilla | 2 | 100 |
| 2812 | Basurero | *Zea mays* | Maíz | Grano | 1 | 4 |
| 2812 | Basurero | *Portulaca* sp. | Verdolagas | Semilla | 2 | 4 |
| 2812 | Basurero | Semilla desconocida | Semilla desconocida | Semilla | 1 | 4 |
| 2871 | Relleno, Basurero | Cheno/Am | Cheno/Am | Semilla | 3 | 3 |
| 2908 | Relleno en el canal de ventilación | Semilla desconocida | Semilla desconocida | Semilla | 2 | 3 |
| 2908 | Relleno en el canal de ventilación | cf. Cactacea spp. | cf. cactus | Seed | 1 | 3 |
| 3054 | Basurero | Portulaca sp. | Verdolagas | Semilla | 1 | 6 |
| 3054 | Basurero | *Zea mays* | Maíz | Tazas | 2 | 6 |
| 3054 | Basurero | Semilla desconocida | Semilla desconocida | Semilla | 2 | 6 |
| 3054 | Basurero | cf. Rubiaceae | cf. familia del café | Semilla | 1 | 6 |
| 3057 | Basurero | Portulaca sp. | Verdolagas | Semilla | 1 | 4 |
| 3057 | Basurero | cf. Rubiaceae | cf. familia del café | Semilla | 1 | 4 |
| 3057 | Basurero | Solanaceae spp. | Familia del chile | Semilla | 1 | 4 |
| 3057 | Basurero | Semilla desconocida | Semilla desconocida | Semilla | 1 | 4 |
| 3075 | Basurero | Zea mays | Maíz | Tazas | 6 | 9 |
| 3075 | Basurero | Euphorbiaceae spp. | Familia del euphorbia | Semilla | 2 | 9 |
| 3075 | Basurero | cf. Brassicaceae spp. | cf. familia del nabo | Semilla | 1 | 9 |

| | | | | | | |
|---|---|---|---|---|---|---|
| 3087 | Basurero | Semilla desconocida | Semilla desconocida | Semilla | 1 | 1 |
| 8898 | Desecho ocupacional | Portulaca sp. | Verdolagas | Semilla | 1 | 1 |
| 8938 | Basurero | cf. Opuntia sp. | cf. tuna | Semilla | 3 | 3 |
| 9793 | Relleno | Semilla desconocida | Semilla desconocida | Semilla | 1 | 1 |
| 9917 | Posible fogón | Portulaca sp. | Verdolagas | Semilla | 1 | 1 |

## 9.4 Estudios futuros

En la temporada PRV2022, se tomaron más muestras de suelo este año que las 41 presentadas en este estudio. La preservación de macrorestos es difícil, pero los resultados obtenidos en este estudio demuestran que futuros estudios paleoetnobotánicos tienen un buen potencial para obtener un buen éxito. Más resultados podrían ayudar interpretar la presencia de algunas plantas raras al sitio por el momento como residuos de la familia de las uvas (Vitaceae spp.) o de la familia de los frijoles (cf. Fabaceae spp.). Por el momento, los resultados obtenidos demuestran la importancia de maíz y de verdolagas en la dieta antigua, con la adición de quelite y de pazote.

Para contrapesar el malo nivel de preservación de macrorestos, también se ha tomado muestras de residuos microbotánicos. El análisis de esas muestras en los años próximos podría ayudar a identificar la presencia de otras plantas importantes que producen granos de almidón o fitolitos como chile, calabaza o frijoles (Bérubé 2017; Bérubé y Forde en prensa; Bérubé et al. 2020; Morell-Hart y Bérubé en prensa).



**Figura 9.1. Maquina de flotación**



**Figura 9.2. Grano de maíz**

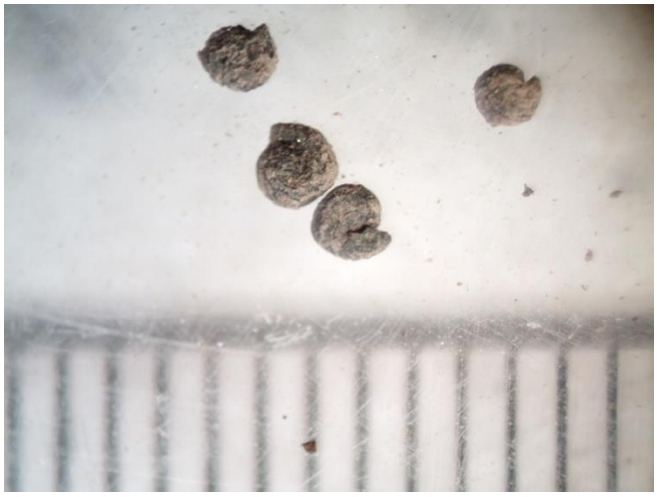


**Figura 9.3. Semillas de verdolagas**

# CAPÍTULO 10- Conclusiones

**Arthur A. Joyce**
**Akira Ichikawa**

## 10.1 Introducción

El PRV-2022 provee una contribción importante a la arqueología de México, así como Mesoamérica, al examinar el colapso de una sociedad compleja durante Clásico Tardío (500-800 d.C.) y la transformación social hacia el período Posclásico Temprano (800-1000 d.C.) en la parte inferior del Valle de Río Verde, en la costa del Pacífico de Oaxaca. Esta temporada se enfocó en la excavación de dos áreas residenciales en Río Viejo, ubicado aproximadamente 150-250 m al este de la acrópolis del mismo sitio. El PRV-2022 fue diseñado como la sexta fase de un proyecto multi-anual, el cual investiga de manera más completa las hipótesis referentes a la origen, desarrollo, y colapso del estado en el valle del Río Verde. El objetivo general del PRV-2022 se ha enfocado en examinar la hipótesis del colapso de la unidad política de Rio Viejo, ocurrido entre los períodos Clásico Tardío y el Posclásico Temprano, a través de los estudios de los cambios en la economía doméstica, la dieta y la salud humana durante los periodos mencionados. Para abarcar el objetivo general, se siguieron cinco objetivos especificos: 1) examinar cambios en la economía doméstica a través del Clásico Tardío al Posclásico Temprano; 2) examinar cambios en la salud humana a través del Clásico Tardío al Posclásico Temprano; 3) examinar cambios en la dieta humana a través del Clásico Tardío al Posclásico Temprano; 4) examinar cambios en la geomorfología del valle del bajo Rio Verde a través del Clásico Tardío al Posclásico Temprano; 5) Análisis de artefactos líticos y cerámicos recuperados en PRV-2019. Los objetivos 1 a 3 se llevarona cabo mediante excavaciones arqueológicas en dos unidades domésticas localizadas al este de la acrópolis del Rio Viejo, los cuales fueron designados como Operación A y B. El objetivo 4 se llevó a cabo mediante la excavación de núcleos de barreno y pozos sedimentológicos en la planicie aluvial fuera de los sitios

arqueológicos. El objetivo 5 se llevó a cabo mediante análisis visual de materiales arqueológicos obtenidos en el PRV-2019 en la bodega del Centro INAH Oaxaca, Cuilapan.

## 10.2 Objetivo 1: Examinar cambios en la economía doméstica a través del Clásico Tardío al Posclásico Temprano

El RVP-2022 dio como resultado datos importantes relacionados con todas las actividades y objetivos del proyecto. El proyecto llevó a cabo amplias excavaciones horizontales en dos zonas residenciales de Río Viejo (Operaciones A y B). En ambas áreas, las excavaciones se trasladaron desde el espacio doméstico del Posclásico Temprano cerca de la superficie del sitio a las áreas residenciales del Clásico Tardío en niveles más profundos, aunque Op. A fue el foco de las actividades supra-domésticas al final del Clásico Tardío. Un total de 232 $m^2$ de superficie excavada de las dos operaciones (Operación A y B) registraron 11 casas dómesticas, de las cuales tres corresponden al Clásico Tardío y ocho al Posclásico Temprano. A pesar de que hay pequeñas diferecias entre ambos períodos, dichas casas son modestas, estas consitían en plataformas bajas, retenidas por paredes de piedra. Estas características sugieren que en las áreas excavadas por el PRV-2022 fueron ocupadas por las gentes comunes al menos desde el período Clásico Tardío hasta el Posclásscio Temprano. En ambas operaciones se logró recuperar evidencias de actividades domésticas, así como indicadores de riqueza correspondientes a ambos periodos.

Durante el Clásico Tardío el área de Op. A puede haber sido inicialmente la ubicación de las residencias según lo acusado por Est. 22-1 y tres entierros incluyendo un adulto (Ent. 134-I147) y dos niños (Ent. 132-I145, Ent. 131-I144). Cada entierro incluía una sola vasija de cerámica como ofrenda. Más tarde, en el Clásico Tardío, sin embargo, esta zona se convirtió en un espacio para actividades supra-domésticas. La evidencia de la cocina supra-doméstica se encontró en la forma de dos grandes

hornos de tierra en Op. A. Dado el gran tamaño de estos hornos, probablemente se utilizaron para la preparación de allimentos que involucraron a múltiples familias. Estas evidencias nos envocan a fiestas rituales del Formativo Tardio y Terminal registrados en Rio Viejo y otros sitios de la región (Barber 2011; Barber y Joyce 2012; Brzezinski 2019; Joyce et al. 1998, 2016). Otra potencial actividad de supra-doméstica fue la construcción y uso de un drenaje compuesto por piezas de barro y piedra que se encontró en la Op. A. En vista de que está asociado con ofrendas tales como icensarios rotos de diseño antropomorfo, existe la posibilidad de que este drenaje haya estado involucrado en las ceremonias rituales del final de Clásico Tardío, probablemente relacionadas con el agua.

En la Op. B norte, las excavaciones expusieron dos probables plataformas residenciales del Clásico Tardío (Est. 22-10 y Est. 22-11), así como evidencia de actividades domésticas recuperadas de basureros. Cinco entierros que datan del Clásico Tardío fueron recuperados en Op. B (Ent. 115-I127, Ent. 116-I128, Ent. 116-I129, Ent. 128-I141, Ent. 129-I142, Ent. 130-I143), todos eran niños, y uno era un entierro múltiple que incluía a dos individuos. No se encontraron ofrendas con estos entierros. Las terrazas expuestas en Op. B sur podrían haber tenido un uso agrícola, aunque la alta calidad de la arquitectura de mampostería de algunas de estas paredes sugiere la posibilidad de que estos pudieron haber sido elementos de una plataforma en terrazas.

Las excavaciones de ambas operaciones revelaron que los habitantes del Rio Viejo depósitaron artefactos en el final de Clásico Tardío con una intención significativa. Dichos depósitos consistieron en muchas variedades de artefactos incluyendo cerámica, figurillas, lítica, artefactos de barro, conchas y hueso trabajado. Algunas de las cerámicas eran vasijas enteras que se habían roto *in situ*. Esto significa que los habitantes destruyeron intencionalmente artefactos cerámicos y posiblemente otros materiales en un momento, indicando una ceremonia de terminación al final del período Clásico Tardío. Se han encontrado pruebas de ceremonias de terminación similares al final del Período Formativo en la

acrópolis de Río Viejo (Joyce y Barber 2015b; Joyce et al. 2016) y en otros sitios de la región (Barber 2005; Brzezinski 2019; Workinger 2002). Por la amplia dimensión espacial y variedad de materiales esta ceremonia de terminación indica que los habitantes de esta parte de Río Viejo reconocieron esta época como una transición importante.

Otro descubrimiento excepcional a la transición entre el Clásico Tardío y el Posclásico Temprano fue un entierro de una mujer adulta con modificación craneal (Ent. 120, I133). Este individuo fue acompañado con cuatro vasijas muy elaboradas y implementos utilizados en el hilado y tejido de texitles a base de algódon. Las vasijas incluidas como ofrendas en Ent. 120 fueron algunos de los pocos ejemplos de cerámica encontrado por el PRV-2022 que exhibieron una mezcla de elementos decorativos y formales de los períodos Clásico Tardío y Posclásico Temprano.

Otros elementos que probablemente datan de la transición entre el Clásico Tardío y el Posclásico Temprano son dos grandes basureros (E11, E84), los cuales exhibieron densas concentraciones de tiestos cerámicos, ceniza, y huesos animales. Estos basureros fueron depositados secuencialmente en la Op. A con E11 que se encuentra directamente sobre E84. La cerámica dentro de estos elementos incluye una mezcla de ejemplos datados estilísticamente a la fase Yuta Tiyoo del Clásico Tardío y la fase Yugüe del Posclásico Temprano. Sorprendentemente, hay pocos ejemplos de tiestos de cerámica que parecen representar híbridos con una mezcla de elementos formales y decorativos de ambas fases, como se podría esperar en un contexto de transición. Estos basureros fueron probablemente el resultado de desechos depositados por personas que vivían cerca, tal vez en el área de las excavaciones de King (2003) o las residencias asociadas con las actividades supra-domésticas que datan del Clásico Tardío en Op. A.

Durante el Posclásico Temprano la zona de Op. A y Op. B fueron espacios domésticos dominados por casas construidas sobre plataformas residenciales bajas. La evidencia de la arquitectura doméstica y

las prácticas mortuorias encontradas en 2022 se asemejan mucho a los patrones encontrados por King (2003). En Op. A, las excavaciones expusieron cinco plataformas residenciales del Posclásico Temprano, mientras que tres fueron encontradas en Op. B. En Op. B-norte, las excavaciones tambien encontraron un horno de tierra que tenía un tamaño más reducido que los anteriores encontrados en Op. A. Dado el pequeño tamaño de este horno, probablemente fue utilizado para la cocina doméstica de rutina por las personas que vivieron en las casas cercanas.

Al igual que los datos de King (2003), los entierros se concentraron en sólo unas pocas residencias, mientras que la mayoría de las estructuras carecían de entierros. En Op. A, seis de los siete entierros Posclásicos fueron encontrados en Est. 22-5. En Op. B-norte, los cuatro entierros Posclásicos fueron encontrados juntos. Aunque estos entierros no pudieron ser asociados con una plataforma residencial, la evidencia indica que las piedras fueron removidas con frecuencia en esta área durante períodos posteriores, de manera que la plataforma puede no haber sido preservada. Sólo se recuperó un entierro en la plataforma residencial mal conservada expuesta en Op. B-sur (Est. 22-8). Aunque dos de los entierros Posclásicos Tempranos no tienen ninguna ofrenda, los otros fueron asociados con una o dos vasijas de cerámica y en un caso, dos malacates. Este patrón funerario es consistente con los encontrados durante excavaciones previas en residencias del Posclásico Temprano (King 2003).

Las excavaciones de la PRV-2022 en Río Viejo recuperaron evidencia de la economía doméstica que involucraba la agricultura, la caza, la pesca y la recolección de plantas silvestres y mariscos (ver sección sobre dieta humana, más abajo). La gente de Río Viejo también importó obsidiana y cerámica a través de intercambio a larga distancia durante el Clásico Tardío y el Posclásico Temprano, así como cobre en el Posclásico Temprano (también ver Joyce et al. 2014; Levine y Joyce 2014). Una de las actividades económicas más importantes durante el período Posclásico Temprano, según lo demonstrado por las excavaciones PRV-2022 y las investigaciones anteriores, fue el hilado y tejido de

algodón (King 2003, 2011; Joyce et al. 2014). Evidencia de herramientas para elaborar textiles como malacates, agujas de hueso y cobre, y peines óseos se encontraron en el período Posclásico Temprano. El algodón era un recurso muy valorado en Mesoamérica postclásica y su producción por los residentes de Río Viejo les habría dado acceso a bienes obtenidos a través de intercambios a larga distancia como el cobre y la obsidiana. Aunque las imágenes de las figurillas del Clásico Tardío indican la presencia de textiles de algodón (ver Capítulo 6; Jennings 2010), aún no hemos descubierto herramientas utilizadas en el hilado y tejido de algodón que datan del Clásico Tardío. Esto dificulta la evaluación de los patrones de producción textil durante el Clásico Tardío.

## 10.3 Objetivo 2: Examinar cambios en la salud humana a través del Clásico Tardío al Posclásico Temprano

Para conocer la salud humana, los restos de un total de 23 individuos enterrados fueron encontrados por las excavaciones de Op. A y B (los restos de un individuo no fueron retirados; ver Capítulo 7). Los entierros incluyen un adulto de la transición entre Clásico Temprano y Clásico Tardío, un adulto y ocho niños del Clásico Tardío, un adulto de transición entre Clásico Tardío al Posclásico, y 12 adultos correspondientes al Posclásico Temprano. Estudios bioarqueológicos de huesos humanos están en el proceso y se esperarán algunas indicaciones de salud humana. Análisis osteológicos preliminares encontraron evidencia de desgaste dental, caries, hipoplasias lineales del esmalte, abscesos periapicales, osteoartritis, osteofitosis, y en un caso una fractura antemortem y en otro caso una acumulación anormal de hueso por uso excesivo de inserciones musculares en la tibia (relacionado con la actividad). Los estudios isotópicos de los individuos adultos que se someterán en el futuro cercano también nos ayudarán entender cambios en la salud humana a través de tiempo. Con el permiso del Consejo de Arqueología INAH, la bioarqueóloga Dra. Arion Mayes planea análisis osteológicos más

detallados en el verano de 2023.

## 10.4 Objetivo 3: Examinar cambios en la dieta humana a través del Clásico Tardío al Posclásico Temprano

Las excavaciones de Op. A y B recuperon materiales de fauna y flora en differentes contextos domesticos. Los huesos animales y conchas fueron traslados al laboratorio de la Universidad Autónoma de San Luis Potosí (ver Capítulo 8). Los huesos animales incluyen perros, conejos, guajolotes, venados, codornices, ranas, peces, iguanas, cangrejos, y moluscos. Los restos de perros constituyeron una proporción inusualmente alta de la muestra faunística. En el futuro algunas muestras de huesos humanos y de animales se someterán en los análisis isotópicos a fin de establecer una base de datos locales para el estudio de dieta prehispánica.

Estudios arqueobotánicos de flotación de sedimentos sacados durante las excavaciones nos proporcionan interesantes datos sobre la dieta humana (ver Capítulo 9). Las presencias más destacadas son maíz (*Zea mays*) y verdolagas (*Portulaca sp.*), los cuales fueron recuperados en los contextos de hornos y basureros. Otros datos interesantes son las presencias de cactus y tunas en un horno del Clásico Tardío. Además, las plantas de quelite y epazote también podrían ser una parte importante de la dieta prehispánica.

## 10.5 Objetivo 4: Examinar cambios en la geomorfología del valle del bajo Rio Verde a través del Clásico Tardío al PosclásicoTemprano

La investigación geomorfológica del PRV-2022 (ver Capítulo 4) se enfocó en probar la hipótesis de que los cambios en el sistema de drenaje del Río Verde resultantes de la falla de los sistemas de terrazas en el altiplano de Oaxaca después del colapso del período Clásico desencadenaron cambios en

la planicie aluvial del valle bajo de Río Verde. Los cambios en la planicie de inundación del valle inferior podrían haber afectado a los sistemas agrícolas. Los resultados preliminares sugieren que cambios significativos en la planicie aluvial del valle bajo del Río Verde pueden haber ocurrido aproximadamente a los 800 d.C. Esto incluye un aumento en las tasas de migración del cauce y un cambio importante de la posición del río hacia el este. Estos cambios en la planicie aluvial de tierras bajas podrían haber afectado negativamente la productividad agrícola al despojar los campos y depositar arenas de cauces menos fértiles en un área más amplia.

## 10.6 Objetivo 5: Análisis de artefactos líticos y cerámicos recuperados en PRV-2019

El análisis detallado de los artefactos cerámicos y líticos del PRV-2019 se enfocó en los basureros y las ofrendas. Los basuereros incluían uno de la fase Miniyua del período Formativo Terminal temprano de Op. C (E3) y otro de la fase Chacahua del período Formativo Terminal tardío de Op. D (E21). Los resultados demostraron que la mayoría de las vasijas eran cajetes para servir de cerámica gris, así como ollas y comales de cerámica cafe gruesa**.** El análisis de los depósitos resultantes de rituales de terminación en Ops. A (E34), B (E37/38, E44, E49, E56) y C (E7/E8) produjo resultados similares, siendo los cajetes de cerámica gris los más frecuentes. Los artefactos de obsidiana incluían navajillas y lascas de colores gris, gris bandeado, gris veteado, gris/negro, y verde.

## 10.7 Conclusiones

El PRV-2022 fue la sexta fase de un programa de investigación arqueológico plurianual diseñado con el propósito de examinar los procesos de formación, organización, y colapso del estado de Río Viejo en el valle del bajo Río Verde en la costa oeste de Oaxaca. Los resultados del PRV-22 han provisto información invaluable, la cual permitirá refinar la hipótesis acerca de la antigua ocupación de la región.

Los descubrimientos más importantes del proyecto incluyen:

1. Excavaciones realizadas durante el PRV-2022 han confirmado las áreas residenciales para la gente de bajo estatus social correspondiente el Clásico Tardío y Posclásico Temprano al lado este del acrópolis de Rio Viejo.
2. Los hornos de tierra de gran tamaño y el drenaje de cerámica encontrados en la Op. A nos indicarían que el espacio de Op. A posiblemente fue utilizado para actividades supra-domesticas y luego, en el período Posclásico Temprano, se convirtió en un área doméstica.
3. En ambas operaciones A y B se determinaron varios depósitos de artefactos rotos que se sugieren ceremonias de terminación en el final de Clásico Tardío. Dichos depósitos nos sugieren que algún evento especial ocurrió durante el tiempo de colapso.
4. Excavaciones de ambas operaciones recuperaron en total 23 entierros. Si bien la mayoría de los entierros de Clásico Tardío son niños, los de Posclásico Temprano son adultos. Hay un entierro excepcional del tiempo de transición Clásico al Posclásico, el cual se trata de una mujer adulta con modificación craneal asociada a vasijas muy elaboradas y implementos para hacer textiles.
5. Se recuperaron muchas variedades de huesos animales, conchas, y plantas para conocer la dieta humana del período Clásico Tardío y Poslásico Temprano.
6. Los resultados del estudio geomorfológico sugieren que cambios significativos en la planicie aluvial del valle bajo del Río Verde podría haber afectado negativamente la fertilidad agrícola de la región.
7. El análisis detallado de los artefactos del PRV-2019 registró que los basureros y las ofrendas fueron dominados por vasijas de servicio de cerámica gris.

Las investigaciones futuras intentarán refinar aún más nuestro entendimiento del colapso de la entidad política de Rio Viejo durante los períodos Clásico Tardío y Posclásico Temprano. El trabajo futuro deberá enfocarse en lo siguiente:

1. Seguir la exploración de las áreas domésticas correspondientes a los períodos Clásico Tardío y Posclásico Temprano con el objeto de obtener más datos de las actividades domésticas, salud y dieta humanas. Excavaciones adicionales cerca de operación A y B serían buen cadidatos para siguiente temporada de campo ya que se albergan áreas de ocupación del Clásico Tardío, del cual se necesita más datos en comparación al Posclásico Temprano. Otro candidato de área de excavación será cerca del Montículo 2 ubicado al oeste de la acrópolis ya que las investigaciones previas registraron entierros y materiales correspondientes al Clásico Tardío (Joyce 1999; Joyce y Barber 2021). El área al sur de la acrópolis es otro candidato para futuras excavaciones porque el estudio de superficie ha registrado restos de plataformas residenciales y cerámica del Clásico Tardío y el Posclásico Temprano.
2. Establacer una cronología con alta precisión a través de análisis de radiocarbono, secuencia estratigráfica y arquitectónica, así como cerámica para corroborar con los datos paleoambientales (ej., Goman et al. 2010).
3. Seguir realizando estudios bioarqueológicos más detallados de los entierros para comprender el cambio de la salud humana a través del tiempo.
4. Realizar los estudios isotópicos de huesos animales y humanos encontrados en diferentes contextos y periodos para entender la dieta antigua durante los períodos Clásico Tardío y Posclásico Temprano.

# BIBLIOGRAFÍA:

Abbott, R. T.
1974 *American Seashells*. Van Nostrand Reinhold.

Abrams, E. y D. Rue
1988 The Causes and Consequences of Deforestation among the Prehistoric Maya. *Human Ecology* 16(4): 377–95.

Aimers, J. J.
2007 What Maya collapse? Terminal Classic Variation in the Maya Lowlands" *Journal of Archaeological Research* 15:329–377.

Armillas, P.
1964 Condiciones ambientales y movimientos de pueblos en la frontera septentrional de Mesoamérica. En *Homenaje a Fernando Márquez Miranda*, pp. 62-82. Madrid: Universidad de Madrid y Universidad de Sevilla.

Arnaud, L., A. A. Joyce, y M. N. Levine
2009 Río Viejo, Operación A, Excavaciones Horizontales. En *El Proyecto Río Verde*, editado por A. A. Joyce y M. N. Levine, pp. 20–80. Informe entregado al Consejo de Arqueología, Instituto Nacional de Antropología e Historia, México, D. F.

Baillie, H. B. A.
2012 *Late Classic Río Viejo Mound 1 Construction and Occupation, Oaxaca, Mexico*. Tesis de Maestría, University of Colorado Boulder.

Barba, L. y R. Rodríguez
1990 Acerca del color de huesos quemados. *Antropológicas* 5:94-95.

Barber, S. B.
2005 *Identity, Tradition, and Complexity: Negotiating Status and Authority in Pacific Coastal Mexico*. Tesis Doctoral, Department of Anthropology, University of Colorado, Boulder.

Barber, S. B.
2009 *Estudio geofisico del bajo Rio Verde: Informe final*. Informe Final entregado al Consejo Nacional de Arqueología. Informe entregado al Consejo Nacional de Arqueología, INAH, México, D.F.

Barber, S. B.
2011 Complejidad política de la perspectiva local: Comunidades durante el período Preclásico Terminal en el bajo Río Verde. En *Memorias de la V$^a$ Mesa Redonda de Monte Albán*, editado por N.M. Robles García y A.I. Rivera Guzmán, pp. 375 – 390. Centro INAH-Oaxaca, Oaxaca.

Barber, S. B. y A. A. Joyce
2007 Polity Produced y Community Consumed: Negotiating Political Centralization in the Lower Rio Verde Valley, Oaxaca. En *Mesoamerican Ritual Economy: Archaeological y Ethnological Perspectives*, editado por E. C. Wells y K. L. Davis-Salazar, pp. 221-244. University of Colorado Press, Boulder.

Barber, S. B. y A. A. Joyce (eds.)
2011 *El Proyecto Río Verde, informe técnico de la temporada de 2009*. Informe entregado al Consejo Nacional de Arqueología, INAH, México, D.F.

Barber, S. B. y A. A. Joyce (eds.)
2012 *El Proyecto Río Verde, informe técnico de la temporada de 2012*. Informe entregado al Consejo Nacional de Arqueología, INAH, México, D.F.

Beach, T., S. Luzzadder-Beach, D. Cook, N. Dunning, D. J. Kennett, S. Krause, R. Terry, D. Trein, y F. Valdez
2015 Ancient Maya Impacts of the Earth's Surface: An Early Anthropocene Analog. *Quaternary Science Reviews* 124:1-30.

Beekman, C. S.
2010 Recent Research in Western Mexican Archaeology. *Journal of Archaeological Research* 18:41-109.

Behrensmeyer, A. K.
1984 Taphonomy and the fossil record: the complex processes that preserve organic remains in rocks also leave their own traces, adding another dimension of information to fossil samples. *American Scientist* 72(6):558-566.

Berrío, J. C., H. Hooghiemstra, B. van Geel y B. Ludlow-Wiechers
2006 Environmental History of the Dry Forest Biome of Guerrero, Mexico, and Human Impact during the Last c. 2700 Years. *The Holocene* 16(1):63-80.

Bérubé, É.
2017 *Mixtec Foodways in Achiutla: Continuity Through Time. A Paleoethnobotanical Study Comparing the Postclassic and Early Colonial Diet*. Tesis de maestría. McMaster University.

Bérubé, É., y J. E. Forde
En prensa Oaxacan Cuisine at Achiutla during the Early Colonial Period: A Story of Resilience. En *Mesquite Pods to Mezcal: 10,000 Years of Oaxacan Cuisines*, editado por V. Pérez Rodríguez, S. Morell-Hart, y S. M. King, University of Texas Press, Austin.

Bérubé, E., G. D. Hepp, y Shanti Morell-Hart
2020 Paleoethnobotanical evidence of Early Formative period diet in coastal Oaxaca, Mexico. *Journal of Archaeological Science: Reports* 29:102047.

Bhattacharya, T., R. Byrne., H. Böhnel, K. Wogau, U. Kienel, B. L. Ingram y S. Zimmerman
2015 Cultural Implications of Late Holocene Climate Change in the Cuenca Oriental, Mexico. *Proceedings of the National Academy of Sciences*, *112*(6), 1693-1698.

Binford, L. R.
1981 *Bones: ancient men and modern myths*. Academic Press, Inc.

Borejsza, A. y A. A. Joyce

2017 Convergence and Divergence as Problems of Explanation in Land Use Histories. En *The Archaeology of Human-Environment Interactions*, editado por D. A. Contreras, pp. 25-57. Routledge, New York y London.

Brenner, M., M. F. Rosenmeier, D. A. Hodell, y J. H. Curtis
2002 Paleolimnology of the Maya Lowlands: Long-Term Perspectives on Interactions among Climate, Environment, and Humans. *Ancient Mesoamerica* 13:141-157.

Brzezinski, J. S.
2019 Terminal Formative Religion and Political Organization on the Coast of Oaxaca, Mexico: The Perspective from Cerro de La Virgen. Tesis doctoral. University of Colorado Boulder.

Chaix, L. y P. Méniel
2005 *Manual de Arqueozoología*. Editorial Arial, España.

Chase, A. F., L. J. Lucero, V. L. Scarborough, D. Z. Chase, R. Cobos, N. P. Dunning, S. L. Fedick, V. Fialko, J. D. Gunn, M. Hegmon, G. Iannone, D. L. Lentz, R. Liendo, K. Prufer, J. A. Sabloff, J. A. Tainter, F. Valdez, Jr., y S. E. van der Leeuw
2014 Tropical Landscapes and the Ancient Maya: Diversity in Time and Space. *Archeological Papers of the American Anthropological Association* 24:11-29.

Curtis, J. H., D. A. Hodell, y M. Brenner
1996 Climate Variability on the Yucatan Peninsula (Mexico) during the Past 3500 years, and Implications for Maya Cultural Evolution. *Quaternary Research* 46(1):37–47.

de Ávila, A.
2010 *Mixtec plant nomenclature and classification*. Tesis doctoral. University of California, Berkeley.

Deevey, E. S., D. S. Rice, P. M. Rice, H. H. Vaughan, M. Brenner y M. S. Flannery
1979 Maya Urbanism: Impact on a Tropical Karst Environment. *Science* 206:298-306.

Dietler, M.
2007 Culinary Encounters: Food, Identity, and Colonialism. En *The Archaeology of Food and Identity*, editado por K. C. Twiss, pp. 218–242. Center for Archaeological Investigations Press, University of Southern Illinois, Carbondale.

Douglas, P. M. J., M. Pagani, M. A. Canuto, M. Brenner, D. A. Hodell, T. I. Eglinton, y J. H. Curtis
2015 Drought, Agricultural Adaptation, and Sociopolitical Collapse in the Maya Lowlands. *Proceedings of the National Academy of Sciences* 112: 5607–5612.

Dressler, R.
1953 The Pre-Columbian Cultivated Plants of Mexico. *Botanical Museum Leaflets, Harvard University 16*(6):115–173.

Dunning, N. P., T. Beach, L. Grasiozo Sierra, J. G. Jones, D. L. Lentz, S. Luzzadder-Beach, V. L. Scarborough, y M. P. Smyth
2013 A Tale of Two Collapses: Environmental Variability and Cultural Disruption in the Maya Lowlands. *Diálogo Andino* 41:171-183.

Ebeling, W.
1986 *Handbook of Indian Foods and Fibers of Arid America*. University of California Press.

Espinoza-Ayala, J., J. A. González, H. Rocchicioli, X. Li, M. Á. Mejía, L. González-Hita
2011 El Río Verde, Oaxaca: estudio de sus cambios de morfología. *Tecnología y Ciencias del Agua* 2(4):131-147.

Faulseit, R. K.
2012 State Collapse and Household Resilience in the Oaxaca Valley of Mexico. *Latin American Antiquity* 23:401–425.

Faulseit, R. K. (editor)
2016 *Beyond Collapse: Archaeological Perspectives on Resilience, Revitalization, and Transformation in Complex Societies*. Carbondale: Southern Illinois University Press.

Feinman, G. M. y L. M. Nicholas
2016 After Monte Albán in the Central Valleys of Oaxaca: A Reassessment. En *Beyond Collapse: Archaeological Perspectives on Resilience, Revitalization, and Transformation in Complex Societies*, editado por R. K. Faulseit, pp. 43–69. Center for Archaeological Investigations, Southern Illinois University, Carbondale.

Feinman, G. M., y L. M. Nicholas
En prensa. Perspectives on Dietary Variability in the Classic Period Valley of Oaxaca. En *Mesquite Pods to Mezcal: 10,000 Years of Oaxacan Cuisines*, editado por V. Pérez Rodríguez, S. Morell-Hart, y S. M. King. University of Texas Press, Austin.

Feinman, G. M., S. Upham y K. G. Lightfoot
1981 The Production Step Measure: An Ordinal Index of Labor Input in Ceramic Manufacture. *American Antiquity* 46(4):871-884.

Fernández, D.
2004 *Subsistence in the lower Rio Verde, Oaxaca, Mexico: A Zooarchaeological Analysis*. Tesis de Maestría en Artes. University of Calgary, Canadá.

Fisher, J. W.
1995 Bone surface modifications in zooarchaeology. Journal of Archaeological method and theory 2(1):7-68.

Ford, A. y R. Nigh
2014 Climate Change in the Ancient Maya Forest: Resilience and Adaptive Management across Millennia. En *The Great Maya Droughts in Cultural Context*, editado por G. Iannone, pp. 87-106. University Press of Colorado, Boulder.

Fussell, B. (1992). *The Story of Corn*. University of New Mexico Press, Albuquerque.

García-Cubas, A. y M. Reguero
2004 *Catálogo ilustrado de moluscos gasterópodos del Golfo de México y Mar Caribe*. UNAM, México.

García-Cubas, A. y M. Reguero.
2007 *Catálogo ilustrado de moluscos bivalvos del Golfo de México y Mar Caribe*. UNAM, México.

García Ramírez, P., A. A. Joyce y S. B. Barber
2021 Apéndice B: Análisis de Artefacto**s**. En *El Proyecto Río Verde: informe técnico de la temporada de 2019*, editado por A. A. Joyce y S. B. Barber, pp. 200-241. Informe Técnico entregado al Consejo de Arqueología, Instituto Nacional de Antropología e Historia, México, D.F.

Gifford-Gonzalez, D.
2018 *An Introduction to Zooarchaeology*. Springer.

Gilbert, B. M.
1990 *Mammalian osteology*. Missouri Archaeological Society Columbia, Missouri.

Gilbert, B. M., L. y D. Martin y H. G. Savage
1996 *Avian osteology*. Missouri Archaeological Society, Missouri.

Goman, M., A. A. Joyce y R. G. Mueller
2005 Stratigraphic Evidence for Anthropogenically Induced Coastal Environmental Change from Oaxaca, Mexico. *Quaternary Research* 63:250-260.

Goman, M., A. Joyce, R. Mueller, y L. Passchyn
2010 Multi-Proxy Paleoecological Reconstruction of Prehistoric Land Use History in the Western Region of the Lower Río Verde Valley, Oaxaca, Mexico. *The Holocene* 20:761-772.

Goman, M., A.A. Joyce, R. Mueller, y W. Middleton
2014 Reconstructing the Formation and Land Use History of the Mound 2 U2-Feature Depression at Río Viejo, Oaxaca, Mexico. *Quaternary International* 342:33-44.

Goman, M., A. Joyce, S. Lund, C. Pearson, W. Guerra, D. Dale, D. E. Hammond, y A. J. Celestian
2018 Preliminary Results from Laguna Minucúa a Potentially Annually Resolved Record of Climate and Environmental Change for the Past ~5000 years in the Mixteca Alta of Oaxaca, Mexico. *Quaternary International* 469:85-95.

Hastorf, C. A., y M. Weismantel
2007 Food: Where opposites meet. En *The Archaeology of Food and Identity*, Editado por K. C. Twiss, pp. 308–331. Center for Archaeological Investigations Press, University of Southern Illinois, Carbondale.

Hedgepeth, J.
2009 *The Domestic Economy of Early Postclassic Río Viejo, Oaxaca, Mexico: Daily Practices and Worldviews of a Commoner Community*. Tesis de maestría, Department of Anthropology, University of Colorado, Boulder.

Hedgepeth Balkin, J.

2020 *Human-Environment Interactions in the Lower Río Verde Valley, Oaxaca, Mexico: The Impact of Ecological Change on Settlement Patterning (1800 BCE-CE 1522)*. Tesis Doctoral, Department of Anthropology, University of Colorado Boulder.

Hendon, J. A.
2010 *Houses in a Landscape: Memory and Everyday Life in Mesoamerica*. Duke University Press, Durham.

Hepp, G. D.
2007 *Formative Period Ceramic Figurines from the Lower Río Verde Valley, Coastal Oaxaca, Mexico*. Tesis de maestría. Department of Anthropology, Florida State University.

Hodell, D. A., J. H. Curtis, y M. Brenner
1995 Possible Role of Climate in the Collapse of Classic Maya civilization. *Nature* 375:391-94.

Houston, M. S.
1983 *The Paleoethnobotany of Oaxaca, Mexico*. Tesis doctoral. Department of Anthropology, University of North Carolina, Chapel Hill.

Iannone G. (editor)
2014 *The Great Maya Droughts in Cultural Context*. University Press of Colorado, Boulder.

Jennings, S. L.
2010 *Mold-Made Figurines of the Lower Rio Verde Valley, Oaxaca, Mexico: Insights into Popular Ideology in the Classic and Early Postclassic*. Tesis de maestría. Department of Anthropology, University of Colorado, Boulder.

Joyce, A. A.
1991 Formative Period Social Change in the Lower Rio Verde Valley, Oaxaca Mexico. *Latin American Antiquity* 2(2):126-150. Joyce, A. A.

Joyce, A. A.
1999 (editor) *El Proyecto patrones de asentamiento del Rio Verde*. Informe Final entregado al Instituto Nacional de Antropologia e Historia, México, D.F.

Joyce, A. A.
2005 La arqueologia del Bajo Rio Verde. *Acervos: Boletin de los Archivos y Bibliotecas de Oaxaca* 7 (Otono-Invierno de 2005):16-36.

Joyce, A. A.
2008 Domination, Negotiation, y Collapse: A History of Centralized Authority on the Oaxaca Coast. En *After Monte Alban: Transformation y Negotiation in Oaxaca, Mexico*, editado por J. Blomster, pp. 219-254. University of Colorado Press, Boulder, CO.

Joyce, A. A.
2009 La acrópolis de Río Viejo: Una biografía de lugar. En *Bases de la complejidad social en Oaxaca, Memoria de la cuarta mesa redonda de Monte Albán*, editado por N. Robles García, pp. 529-554. INAH, México, D.F.

Joyce, A. A.
2011 *El Proyecto Río Verde*. Informe global entregado al Consejo de Arqueología, Instituto Nacional de Antropología e Historia, México, D.F.

Joyce, A. A.
2010 *Mixtecs, Zapotecs, and Chatinos: Ancient Peoples of Southern Mexico*. Wiley-Blackwell Press, Malden.

Joyce, A. A.
2013 (editor) *Polity and Ecology in Formative Period Coastal Oaxaca*. University Press of Colorado, Boulder.

Joyce, A. A.
2020 Assembling the City: Monte Albán as a mountain of creation and sustenance. En *New Materialisms Ancient Urbanisms*, Editado por S. M. Alt y T. R. Pauketat, pp. 65-93. Routledge, London.

Joyce, A. A., y S. B. Barber
2011 Excavating the Acropolis at Río Viejo, Oaxaca, Mexico. *Mexicon* 23(1):15-20.

Joyce, A. A., y S. B. Barber (editores)
2015a *El Proyecto Río Verde: Informe técnico de la temporada de 2013*. Informe Técnico entregado al Consejo de Arqueología, Instituto Nacional de Antropología e Historia, México, D.F.

Joyce, A. A., y S. B. Barber
2015b Ensoulment, Entrapment, and Political Centralization: A Comparative Study of Religion and Politics in Later Formative Oaxaca. *Current Anthropology* 56(6):819-847.

Joyce, A. A., y S. B. Barber
2017. Proyecto Río Verde: Costa de Oaxaca. *Arqueología Mexicana* 25(147):46-51.

Joyce, A. A., y S. B. Barber (editores)
2021 *El Proyecto Río Verde: Informe técnico de la temporada de 2019*. Informe Técnico entregado al Consejo de Arqueología, Instituto Nacional de Antropología e Historia, México, D.F.

Joyce, A.A., S.B. Barber, J. Brzezinski, C.J. Lucido, y V. Salazar Chávez
2016 Negotiating Political Authority and Community in Terminal Formative Coastal Oaxaca. En *Political Strategies in Pre-Columbian Mesoamerica*, editado por S. Kurnick y J. Baron, pp. 61-96. University Press of Colorado, Boulder.

Joyce, A. A. A. Borejsza, J. Koukopoulos, W. D. Middleton, J. A. Ortiz Hernández y I. Rodríguez López
2012 *Agricultura temprana en la cuenca Superior del Río Verde*. Informe Técnico entregado al Consejo de Arqueología, Instituto Nacional de Antropología e Historia, México, D.F.

Joyce, A. A., L. A. Bustamente y M. N. Levine
2001 Commoner Power: A Case Study from the Classic Period Collapse on the Oaxaca Coast. *Journal of Archaeological Method y Theory* 8(4):343 - 385.

Joyce, A. A. y J. Forde
2014 *El Pueblo de la Tierra del Cielo: Arqueología de la Mixteca de la Costa,* Centro INAH Oaxaca, México.

Joyce, A.A. y M. Goman
2012 Bridging the Theoretical Divide in Holocene Landscape Studies: Social and Ecological Approaches to Ancient Oaxacan Landscapes *Quaternary Science Reviews* 55:1-22.

Joyce, A. A. y M. N. Levine
2008 La arqueología e historia de Tututepec (*Yucu Dzaa*): Un imperio del Posclásico en la Mixteca de la Costa. *Arqueología Mexicana* 15(90):44-47.

Joyce, A. A. y M. N. Levine (editores)
2009 *Informe final del Proyecto Ecologico Rio Verde*. Informe final entregado al Consejo Nacional de Arqueología. Instituto Nacional de Antropología e Historia, México, D.F.
.
Joyce, A. A., M. N. Levine, S. M. King, J. Hedgepeth Balkin, y S. B. Barber
2014. Political Transformations and the Everyday in Postclassic Oaxaca. *Ancient Mesoamerica* 25(2):389-410.

Joyce, A. A. y R. G. Mueller
1992 The Social Impact of Anthropogenic Landscape Modification in the Río Verde Drainage Basin, Oaxaca, Mexico. *Geoarchaeology* 7(6):503-526.

Joyce, A. A. y R. G. Mueller
1997 Prehispanic human ecology of the Río Verde drainage basin, Mexico. *World Archaeology*. 29:75-94.

Joyce, A. A., M. Winter y R. G. Mueller
1998 *Arqueologia de la Costa de Oaxaca*. Estudios de Antropología e Historia 40. Centro INAH-Oaxaca, Oaxaca.

Joyce, A. A., A. Workinger, y B. Hamann
2004. Tututepec: Un centro imperial del Postclásico en la costa de Oaxaca. En *Estructuras políticas en el Oaxaca antiguo, Memoria de la tercera mesa redonda de Monte Albán*, editado por N. M. Robles García, pp. 205-230. México, DF: INAH.

Kennett, D. J. y D. A. Hodell
2017 AD 750–1100 Climate Change and Critical Transitions in Classic Maya Sociopolitical Networks. En *Megadrought and Collapse: From Early Agriculture to Angkor*, editado por H. Weiss, pp. 205-230. Oxford University Press, Oxford.

King, S. M.
2003 *Social Practices and Social Organization in Ancient Coastal Oaxacan Households (Mexico)*. Tesis Doctoral, Department of Anthropology, University of California, Berkeley.

King, S. M.

2011 Thread Production in Early Postclassic Coastal Oaxaca, Mexico: Technology, Intensity, and Gender. *Ancient Mesoamerica* 22(2):323-343.

King, S. M. y S. Morell-Hart
En prensa. Preserving Oaxacan Foodways in the Face of Conquest: The Seed Bank at Cerro del Convento. En *Mesquite Pods to Mezcal: 10,000 Years of Oaxacan Cuisines*, editado por V. Pérez Rodríguez, S. Morell-Hart, y S. M. King. University of Texas Press, Austin.

Kowalewski, S. A., G. M. Feinman, L. Finsten, R. Blanton, y L. M. Nicholas
1989 *Monte Albán's Hinterland, part 2: Prehispanic Settlement Patterns in Tlacolula, Etla, and Ocotlán, the Valley of Oaxaca, Mexico*. Memoirs of the University of Michigan Museum of Anthropology No. 23, Ann Arbor.

Kowalewski, S. A., A. K. Balkansky, L. R. Stiver Walsh, T. J. Pluckhahn, J. F. Chamblee, V. Pérez Rodríguez, V. Y. Heredia Espinoza y C. A. Smith
2009 *Origins of the Ñuu: Archaeology in the Mixteca Alta, Mexico*. University Press of Colorado, Boulder.

Lachniet, M. S. y J. P. Bernal-Uruchurtu
2017 AD 550–600 Collapse at Teotihuacan: Testing Climatic Forcing from a 2400-Year Mesoamerican Rainfall Reconstruction. En *Megadrought and Collapse: From Early Agriculture to Angkor*, editado por H. Weiss, pp. 183-204. Oxford University Press, Oxford.

Lachiniet, M. S., J. P. Bernal, Y. Asmeron, V. Polyak, y D. Piperno
2012 A 2400 yr Mesoamerican Rainfall Reconstruction links Climate and Cultural Change. *Geology* 40: 259–262.

Lawrence, B.
1951 *Mammals found at the Awatovi Site (Part I) and Postcranial skeletal characters of Deer, Pronghorn, and Sheep-Goat with notes on Bos and Bison (Part II*). Papers of the Peabody Museum of American Archaeology and Ethnology Vol. XXXV, No. 3. Harvard University, Cambridge, Massachusetts.

Lentz, D. L. y R. Dickau
2005 *Seeds of Central America and Southern Mexico: The Economic Species*. The New York Botanical Garden, New York.

León Avendaño, H. y M. A. Vásquez Dávila
2003 *Plantas útiles de San Juan Cacahuatepec, Costa de Oaxaca, México*. Conaculta.

Levine, M.N.
2007 *Linking Household and Polity in at Late Postclassic Yucu Dzaa (Tututepec), a Mixtec Capital on the Coast of Oaxaca*. Tesis doctoral. University of Colorado, Boulder.

Levine, M.N.
2011 Negotiating Political Economy at Late Postclassic Tututepec (Yucu Dzaa). *American Anthropologist* 113(1):22-39.

Levine, M. N. y A. A. Joyce
2014 Las evidencias arqueológicas de la antigua capital de Tututepec. En *Panorama Arqueológico: Dos Oaxacas*, editado por M. Winter y G. Sánchez Santiago, pp. 135-151. Centro INAH Oaxaca, Oaxaca.

Lyman, R. L.
1994 *Vertebrate taphonomy*. Cambridge University Press, Cambridge.

Manzanilla, L. R.
2003 The Abandonment of Teotihuacan. En *The Archaeology of Settlement Abandonment in Middle America*, editado por T. Inomata y R. W. Webb, pp. 91-102. University of Utah Press, Salt Lake City.

Matadamas Díaz, R. y S. L. Ramírez Barrera
2010 *Antes de 8 Venado y después de los piratas. Arqueología e historia de Huatulco*. Proveedora Gráfica de Oaxaca, Oaxaca.

Matadamas Díaz, R. y S. L. Ramírez Barrera
2011 Copalita, Huatulco. La transición al período Clásico en la costa de Oaxaca. En *Monte Albán en la encrucijada regional y disciplinaria*, *Memoria de la quinta mesa redonda de Monte Albán*, editado por N. Robles y A. I. Rivera Gúzman, pp. 391-428. INAH, México, D.F.

McCafferty, G. G.
2008 Domestic Practice in Postclassic Santa Isabel, Nicaragua. *Latin American Antiquity 19*(1):64–82.

McClung de Tapia, E.
2012 Silent Hazards, Invisible Risks: Prehispanic Erosion in the Teotihuacan Valley, Central Mexico. En *Surviving Sudden Environmental Change: Understanding Hazards, Mitigating Impacts, Avoiding Disasters*, editado por J. Cooper y P. Sheets, P., pp. 143–165. University Press of Colorado, Boulder.

McNeil, C.L., D. A. Burney, y L. P. Burney
2010 Evidence Disputing Deforestation as the Cause for the Collapse of the Ancient Maya Polity of Copan. Honduras. *Proceedings of the National Academy of Sciences* 107:1017-1022.

Meehan, P.
2019 Rural Responses following Collapse: Insights from Monte El Santo, Oaxaca, Mexico. *World Archaeology* 51(2):328-345.

Meehan, P.
2020 Collapse as Constrained Possibility: Rural Action at Early Postclassic Monte El Santo Following the Río Viejo Political Collapse. Tesis doctoral. University of Colorado Boulder.

Metcalfe, S.E. y S. Davies
2007 Deciphering Recent Climate Change in Central Mexican Lake Records. *Climate Change* 83:169-186.

Middleton, G. D.
2017a *Understanding Collapse: Ancient History and Modern Myths*. Cambridge University Press, Cambridge.

Middleton, G. D.
2017b The Show must go on: Collapse, Resilience, and Transformation in 21st-Century Archaeology. *Reviews in Anthropology* 46(2-3):78-105.

Middleton, G. D.
2018 This is the End of the World as we Know it: Narratives of Collapse and Transformation. En *The Discourses of Environmental Collapse*, editado por A. E. Vogelaar, B. W. Hale, y A. Peat, pp. 91-113. Routledge, London.

Morehart, C. T. y S. Morell-Hart.
2015 Beyond the Ecofact: Toward a Social Paleoethnobotany in Mesoamerica. *Journal of Archaeological Method and Theory 22:*483–511.

Morell-Hart, S.
2015 *Río Amarillo: 2015 Microbotanical extractions from artifacts*. Protocolos MPERF inéditos.

Morell-Hart, S., y E. Bérubé
En prensa. Archaic Period MRG-6 and the Deep Culinary Roots of Oaxacan Cuisine. En *Mesquite Pods to Mezcal: 10,000 Years of Oaxacan Cuisines*, editado por V. Pérez Rodríguez, S. Morell-Hart, y S. M. King. University of Texas Press, Austin.

Morell-Hart, S., R. A. Joyce y J. S. Henderson
2014 Multi-Proxy Analysis of Plant Use at Formative Period Los Naranjos, Honduras. *Latin American Antiquity 25*(1):65–81.

Mueller, R. G.
1991 Appendix 2: Technical Report on the Geomorphological Research of the Río Verde Formative Project. En *Formative Period Occupation in the Lower Río Verde Valley, Oaxaca, Mexico: Interregional Interaction and Social Change*, por A. A. Joyce. Tesis doctoral, Department of Anthropology, Rutgers University. University Microfilms, Ann Arbor, Michigan.

Mueller, R. G., A. A. Joyce, y A. Borejsza
2012 Alluvial Archives of the Nochixtlán Valley, Oaxaca, Mexico: Age and Significance for Reconstructions of Environmental Change. *Palaeogeography, Palaeoclimatology, Palaeoecology* 321–322:121–136.

Mueller, R. G., A.A. Joyce, A. Borejsza, y M. Goman
2013 Anthropogenic Landscape Change and the Human Ecology of the Lower Río Verde Valley. En *Polity and Ecology in Formative Period Coastal Oaxaca*, editado por A. A. Joyce, pp. 65-96. University Press of Colorado Boulder, Boulder.

Olsen, S. J
1996 *Osteology for the Archaeologist American Mastadon and the Woolly Mammoth; North American Birds: Skulls and Mandibles; North American Birds: Postcranial Skeletons* Vol. 56, No. 3–5. The Peabody Museum Press, Massachusetts.

Olsen, S. J

2015a *Fish, Amphibian and Reptile Remains from Archaeological Sites: Southeastern and Southwestern United States, Appendix: The Osteology of the Wild Turkey*. Papers of the Peabody Museum of Archaeology and Ethnology, Harvard University Vol. 56, No. 2. The Peabody Museum Press, Massachusetts.

Olsen, S. J
2015b *Mammal Remains from Archaeological Sites. Part 1 Southeastern and Southwestern United States.* Vol. 56, No. 1. Papers of the Peabody Museum of Archaeology and Ethnology, Harvard University, Massachusetts.

Park, J., R. Byrne, y H. Böhnel
2018 Late Holocene Climate Change in Central Mexico and the Decline of Teotihuacan. *Annals of the American Association of Geographers* 109(1):104-120.

Pérez Rodríguez, V.
2013 Recent Advances in Mixtec Archaeology. *Journal of Archaeological Research* 21(1): 75- 121.

Pérez Rodríguez, V.
2016 Terrace Agriculture in the Mixteca Alta Region, Oaxaca, Mexico: Ethnographic and Archaeological Insights on Terrace Construction and Labor Organization. *Culture, Agriculture, Food and Environment*. 38:18-27.

Pérez Rodríguez, V.
En prensa. Eating in the City: Investigating the Dietary Impact of Urban Life in Ancient Oaxaca. En *Mesquite Pods to Mezcal: 10,000 Years of Oaxacan Cuisines*, editado por V. Pérez Rodríguez, S. Morell-Hart, y S. M. King. University of Texas Press, Austin.

Pérez Rodríguez, V. y K. C. Anderson
2013 Terracing in the Mixteca Alta, Mexico: cycles of resilience of an ancient land-use strategy. *Human Ecology*. 41:335-49.

Pérez Rodríguez, V., K. C. Anderson y M. K. Neff
2011 The Cerro Jazmín Archaeological Project: investigating pre-Hispanic urbanism and its environmental impact in the Mixteca Alta, Oaxaca, Mexico. *Journal of Field Archaeology* 36(2):83-99.

Pérez Roldán, G.
2010 *La Arqueozoología: Presente y Futuro*. Tesis de Maestría en Antropología, FFyL-IIA, UNAM, México.

Pérez Roldán, G.
2013 *La producción artesanal vista a través de los objetos de hueso en Teotihuacan (100 dC al 650 dC)*. Tesis de Doctorado en Antropología, FFyL-IIA, UNAM, México.

Quitmyer, I. R.
1988 *Zooarchaeological Analysis of Invertebrate and Vertebrate Faunal Resources Excavated from Cerro de la Cruz, Mexico*. Zooarchaeology Laboratory, Florida Museum of Natural History, Florida.

Reitz, E. J. y E. S. Wing

1999 *Zooarchaeology*, 1ª ed. Cambridge University Press, Cambridge.

Robles García, N.M. (editora)
2009 *Bases de la Complejidad Social en Oaxaca, Memoria de la Cuarta Mesa Redonda de Monte Albán*. INAH, México, D.F.

Robles García, N. y A. I. Rivera (editores)
2011 *Monte Albán en la encrucijada regional y disciplinaria*, *Memoria de la quinta mesa redonda de Monte Albán*. INAH, México, D.F.

Rodríguez-Ramírez, A., M. Caballero, P. Roy, B. Ortega, G. Vázquez-Castro, y S. Lozano-García
2015 Climatic Variability and Human Impact during the Last 2000 Years in Western Mesoamerica: Evidence of Late Classic (AD 600–900) and Little Ice Age Drought Events. *Climate of the Past* 11(9):1239-1248.

Shaffer, B. S. y B. W. Baker
1992 *A Vertebrate Faunal Analysis Coding System with North American Taxonomy and dBase Support Programs and Procedures*. University of Michigan Museum of Anthropology, Technical Report 23, Ann Arbor, Michigan.

Urcid, J y A. A. Joyce
1999 Monumentos grabados y nombres calendáricos: Los antiguos gobernantes de Río Viejo, Oaxaca. *Arqueología* 22:17-39.

VanDerwarker, A. M., y R. P. Kruger
2012 Regional variation in the importance and uses of maize in the Early and Middle Formative Olmec heartland: New archaeobotanical data from the San Carlos Homestead, southern Veracruz. *Latin American Antiquity 23*(4):509–532.

Vargas Pacheco, E.
2012 Crisis y cambio climático en la región del Río Candelaria. Ofrendas a los dioses. *Revista de Arqueología Americana* 30:7-41.

Webster, D.
2002 *The Fall of the Ancient Maya: Solving the Mystery of the Maya Collapse*. Thames and Hudson, London.

Weigand, P. C.
1990 Discontinuity: The Collapse of the Teuchitla´n Tradition and the Early Postclassic Cultures of Western Mesoamerica. En *Mesoamérica y norte de México, siglo IX–XII*, Vol. 1, editado por M. F. Sodi, pp. 215–222. Instituto Nacional de Antropología e Historia, Mexico City.

Winter, M.
1989 From Classic to Post-Classic in Pre-Hispanic Oaxaca. En *Mesoamerica After the Decline of Teotihuacan, A.D. 700-900*, editado por R. A. Diehl y J. C. Berlo, pp. 123–130. Dumbarton Oaks, Washington D.C.

Workinger, A.
2002 *Coastal/Highly Interaction in Prehispanic Oaxaca, Mexico: The perspective from San Francisco de Arriba.* Tesis Doctoral, Vanderbilt University.

# APÉNDICE A – Oficios Relevantes

1) Aprobacion Centro INAH Oaxaca PRV-2022 (Oficio numero 401.F(4)82.2022/D-0034)

2) Carta de presentación y aprobación de la Universidad de Colorado Boulder

3) Acta Entrega-Recepción, INAH Oaxaca (con inventarios)

4) Autorización para transportar muestras óseas, Consejo de Arqueólogia INAH (Oficio 401.3S.16-2022/1180)

5) Autorización para transportar muestras de suelo para análisis micromorfológico, Consejo de Arqueólogia INAH (Oficio 401.3S.16-2022/1181)

6) Acta Entrega-Recepción, Acta Segundo para transportar muestras; INAH Oaxaca (con inventarios)

CULTURA
SECRETARÍA DE CULTURA

INAH

**Oficio número 401.F(4)82.2022/D-0034**
Oaxaca de Juárez, Oaxaca, a 17 de enero de 2021

**C. CECILIA RIVAS MÁRQUEZ**
**PRESIDENTE MUNICIPAL CONSTITUCIONAL DE**
**RIO VERDE, SANTIAGO JAMILTEPEC, OAXACA.**
**P R E S E N T E**

El Instituto Nacional de Antropología e Historia (INAH), de conformidad con lo dispuesto por el Artículo 2° de su Ley Orgánica vigente, tiene entre sus objetivos principales la investigación científica sobre antropología e historia, ambas relacionadas principalmente con la población del país, y con la conservación y restauración del patrimonio cultural, arqueológico e histórico, así como el paleontológico, la protección, conservación, restauración y recuperación de ese patrimonio, la promoción y la difusión de las materias que son de su competencia.

En éste sentido, me permito hacer de su conocimiento que al Dr. Arthur Joyce y la Dra. Akira Ichikawa de la Universidad de Colorado Boulder están autorizados por este Instituto realizar los trabajos arqueológicos relativos al "Proyecto Rio Verde 2022" en la localidad de Rio Verde, Santiago Jamiltepec, Oaxaca, del 25 de enero al 30 de junio del año en curso, en compañía de sus colaboradores Dr. Raymond Mueller (Universidad de Stockton), Dra. Arion Mayes (Universidad Estatal de San Diego), Dr. Mathew Sponheimer (Universidad de Colorado Boulder), Mtra. Pamela Aide García Ramírez (UNAM), Mtra. Jackie Rumberger (Washington State University), Mtro. Éloi Bérubé (Universidad de McMaster), Mtra. Christina Ryder (Universidad de Colorado Boulder), Lic. Nicolás Puente (Universidad de Colorado Boulder), Lic. Nobuhiko Aiba (Universidad de Nagoya), Lic. Alvin S. Rosa-Figueroa (Universidad de Sonoma Estatal), Lic. Elaine Aguayo (Universidad Estatal de San Diego), Sr. Saúl Rancaño Castillo (Universidad Autónoma de San Luis Potosí), Srta. Andrea Nava Esparza (Universidad Autónoma de San Luis Potosí) y la Srta. Ishbel Torres López (Universidad de las Américas Puebla).

Por lo que le solicito a ustedes tengan a bien brindarles las atenciones y facilidades necesarias para el buen desempeño de sus actividades en beneficio de la conservación del Patrimonio Cultural de la Nación.

Lo anterior, con fundamento en los artículos 1, 2, 3 Fracción IV, 4, 5, 6, 12, 19, 28, 28 Bis, 29, 30, 39, 42, 43, 44, 47, 52 y 54 de la Ley Federal sobre Monumentos y Zonas

CULTURA
SECRETARÍA DE CULTURA

INAH

Arqueológicos, Artísticos e Históricos, donde se establece que el INAH es competente en materia de monumentos arqueológicos y que corresponde a ésta Institución su investigación, conservación y resguardo.

Para cualquier aclaración dirigirse a las oficinas que ocupa ésta Delegación del Instituto Nacional de Antropología e Historia en Oaxaca, sito en la calle Pino Suárez número 715, colonia Centro, Oaxaca de Juárez, Oaxaca, y/o a los teléfonos 5150400, 515002, ext. 288006, con la Sección de Arqueología de este Instituto.

Sin otro particular, agradezco su atención.

**ATENTAMENTE**

**JOEL OMAR VÁZQUEZ HERRERA**
**DELEGADO DEL CENTRO INAH OAXACA.**

C.c.p. Lic. José María Muñoz Bonilla. Coordinador Nacional de Centros INAH.
Dr. Pedro Francisco Sánchez Nava. Coordinador Nacional de Arqueología del INAH.
Lic. Jesús Elías Santiago Soriano. Jefe del Departamento de Trámites y Servicios Legales del Centro INAH Oaxaca.
Expediente y Minutario.
JOVH/JESS/MW/jaco.

University of Colorado at Boulder

**Department of Anthropology**

Hale Science 350 / 233 UCB
Boulder, Colorado 80309-0233 USA
303-492-2547 FAX 303-492-1871
anthro@Colorado.edu
www.colorado.edu/Anthropology



10. de enero de 2022

A QUIEN CORRESPONDA,

Por medio de la presente, quisiera introducirle al portador de esta carta, el Dr. Arthur A. Joyce, Profesor en el Depto. de Antropología en la Universidad de Colorado Boulder. El Dr. Joyce es el director del *Proyecto Río Verde 2022,* un proyecto arqueológico que se realizará en los municipios de Santiago Jamiltepec y Villa de Tututepec de Melchor Ocampo, Oaxaca, México.

Este proyecto se llevará a cabo bajo los auspicios del Instituto Nacional de Antropología e Historia, México (INAH), durante los meses de enero a julio de 2022. El proyecto consiste en excavaciones arqueológicas en el sitio de Río Viejo y estudios geomorfológicos en la región del bajo Rio Verde. El Dr. Joyce estará acompañado por varios compañeros incluyendo los Drs. Akira Ichikawa (co-director del proyecto), Raymond Mueller, Arion Mayes, y Mathew Sponheimer; los estudiantes posgraduados Pamela Aide García Ramírez, Jackie Rumberger, Éloi Bérubé, Christina Ryder, Nicolás Puente, Nobuhiko Aiba, Alvin Rosa-Figueroa, y Elaine Aguayo así como los estudiantes de licenciatura Saúl Rancaño Castillo, Andrea Nava Esparza, y Ishbel Torres López. Ellos transportan equipos técnicos necesarios para las actividades del proyecto y dichos equipos se devolverán a la Universidad de Colorado Boulder después de la temporada de campo.

Agradecemos a las autoridades competentes toda ayuda que puedan brindar al Dr. Joyce y sus compañeros para facilitar sus labores en este proyecto.

Atentamente,

Dr. Jerry Jacka
Jefe del Departamento de Antropología
Universidad de Colorado Boulder, EUA

CULTURA
SECRETARÍA DE CULTURA
INAH

# ACTA ENTREGA-RECEPCIÓN

ACTA DE ENTREGA-RECEPCIÓN DE MATERIALES ARQUEOLÓGICOS QUE ENTREGA LOS DRS. ARTHUR JOYCE Y AKIRA ICHIKAWA, UNIVERSIDAD DE COLORADO BOULDER. SE FORMALIZA LA ENTREGA DE LOS MATERIALES ARQUEOLÓGICOS DEL PROYECTO RÍO VERDE: TEMPORADA 2022 PARA SER RESGUARDADOS EN LA CERAMOTECA DEL CENTRO INAH OAXACA, ACERVO DE MATERIALES ARQUEOLÓGICOS DE OAXACA UBICADA EN EL EXCONVENTO DE CUILAPAN DE GUERRERO, OAXACA.----------

SIENDO LAS DIEZ HORAS DEL DÍA VEINTINUEVE DE JUNIO DEL AÑO DOS MIL VEINTIDOS, EN LAS INSTALACIONES UBICADAS EN EL EXCONVENTO DE CUILAPAN DE GUERRERO CON DOMICILIO CONOCIDO EN EL MUNICIPIO DE CUILAPAN DE GUERERO, SE REUNIERON POR UNA PARTE LA ARQLGA. CIRA A. MARTÍNEZ LÓPEZ, INVESTIGADORA ADSCRITA AL CENTRO INAH OAXACA Y POR OTRA PARTE LOS DRS. ARTHUR JOYCE Y AKIRA ICHIKAWA DIRECTORES DEL PROYECTO RÍO VERDE: TEMPORADA 2022. LO ANTERIOR PARA EFECTO DE HACER ENTREGA FORMAL DE LA COLECCIÓN ARQUEOLÓGICA DERIVADA DE SU PROYECTO. POR PARTE DE LA ARQLGA. CIRA A. MARTÍNEZ LÓPEZ, DIRECTORA DEL PROYECTO CERAMOTECA DEL CENTRO INAH OAXACA. ACERVO DE MATERIALES ARQUEOLÓGICOS DE OAXACA: EXCONVENTO DE CUILAPAN DE GUERRERO, EN SEGUIMIENTO AL OFICIO 401.4S.3-2021/1286 CON FECHA DEL QUINCE DE SEPTIEMBRE DE DOS MIL VEINTIDOS EMITIDO POR LA DRA. LAURA LEDESMA GALLEGOS PRESIDENTA DEL CONSEJO DE ARQUEOLOGÍA Y DEL OFICIO 401.3S.17-2022/D-519 CON FECHA DE 14 DE JUNIO POR PARTE DEL ANTROPOLOGO JOEL OMAR VAZQUEZ HERRERA, DIRECTOR DEL CENTRO INAH OAXACA.----------

ACTO SEGUIDO, AMBAS PARTES PROCEDIERON A EFECTUAR LA REVISIÓN Y EL CONTEO DEL MATERIAL, RESULTANDO UN TOTAL DE:

- 66 CAJAS CON MATERIALES ARQUEOLÓGICOS PARA RESGIARDO.
- 11 CAJAS CON RESTOS OSEOS PARA RESGUARDAR.
- 99 COSTALES CON MATERIALES ARQUEOLÓGICOS (CERÁMICA, LÍTICA, CONCHA, HUESO, CARBÓN, BAJAREQUE) PARA CONFINAMIENTO.
  LA DESCRIPCIÓN DE LOS MATERIALES SE PUNTUALIZA EN EL DOCUMENTO ANEXADO A LA PRESENTE.----------

POR LO QUE NO HABIENDO OTRO ASUNTO QUE TRATAR SE DA POR TERMINADA LA PRESENTE ACTA, SIENDO LAS DOCE HORAS CON TREINTA MINUTOS DEL DÍA DE SU INSTRUMENTACIÓN, PREVIA LECTURA DE SU CONTENIDO, FIRMAN AL MARGEN LOS QUE EN ELLA INTERVINIERON, HACIENDO CONSTAR LA ENTREGA DE UNA COPIA DE LA MISMA AL QUE RECIBE.----------

CULTURA
SECRETARÍA DE CULTURA
INAH

ENTREGA

DR. ARTHUR JOYCE
UNIVERSIDAD DE COLORADO
BOULDER

RECIBE

ARQLGA. CIRA A. MARTÍNEZ LÓPEZ
INVESTIGADORA ADSCRITA A LA
SECCIÓN DE ARQUEOLOGÍA CENTRO
INAH OAXACA

TESTIGOS

DR. AKIRA ICHIKAWA
UNIVERSIDAD DE COLORADO
BOULDER

ARGLGO. ISAI R. FLORES RUÍZ
PROYECTO CERAMOTECA DEL CENTRO
INAH OAXACA. ACERVO DE
MATERIALES ARQUEOLÓGICOS DE
OAXACA: EXCONVENTO DE CUILAPAN.

C. DIEGO LÓPEZ GARCÍA
ENCARGADO DEL EXCONVENTO DE
CUILAPAN DE GUERRERO, OAXACA.

CULTURA
SECRETARÍA DE CULTURA
DIRECCION
CENTRO INAH OAXACA

Vo.bo.

ANTROP. JOEL OMAR VÁZQUEZ HERRERA
DIRECTOR DEL CENTRO INAH OAXACA

MANUEL RUFINO AGUILAR MARTÍNEZ
RESPONSABLE DEL DEPARTAMENTO DE
RESGUARDO DE BIENES CULTURALES
INAH OAXACA

## INVENTARIO CAJAS PRV 22

1. Hueso Op A
2. Hueso Op B
3. Varios (Cazuela, Comales, Asas Planas, Poss importado, Cerámica varía, kilnwaster, Random, Cascabel, Sello, Miniatura)
4. Obsidiana Op A, Obsidiana flotación (Op. A y B)
5. Obsidiana Op B
6. Concha Op A y Op B, Concha trabajada
7. Carbón Op A y Op B
8. Op A (Tubería)
9. Op A (Tubería)
10. Op A (Tubería)
11. Op A (Tubería)
12. Op A (Piedras de Rio y Pozo Q10)
13. Op A (Piso Quemado)
14. Op A (Piso Quemado y Venta Horno)
15. Op A (Midden #2)
16. Op A (TD)
17. Op A (TD)
18. Op A (TD)
19. Op A (TD)
20. Op A (TD)
21. Op A (TD)
22. Op A (TD)
23. Op A (Midden #1)
24. Op A (Midden #1)
25. Op A (Midden #1)
26. Op A (Midden #1)
27. Op A (Midden #1) (MU23 y M13 – LC Residence)
28. Op A (MU7/MU19 – Contexto guardar)
29. Op A (MU7/MU19) (Horno tierra) (NN38) (GG35-6) (LL40-5)
30. Op B (Poss Basurero #1)
31. Op B (Poss Basurero #1)
32. Op B (Poss Basurero #1)
33. Op B (Poss Basurero #1)
34. Op B (Poss Basurero #1)
35. Op B (Poss Basurero #1) (Concentración #1)
36. Op B (Concentración #1)
37. Op B (Concentración #1)
38. Op B (Concentración #3)

39. Op B (Concentración #3) (Poss Basurero #2)
40. Op B (Poss Basurero #2)
41. Op B (Poss Basurero #2) (Concentración #2)
42. Op B (Concentración #2)
43. Op B (Concentración #2)
44. Op B (Concentración #2)
45. Op B (Concentración #2)
46. Op B (Concentración #2)
47. Op B (Concentración #2)
48. Op B (Concentración #2) (Deposito Clásico Tardío)
49. Op B (Depósito Clásico tardío)
50. Op B (Depósito Clásico Tardío)
51. Op B (Depósito Clásico tardío)
52. Ladrillos y Bajareque
53. Bajareque y Azotadores
54. Varios (Malacates, Ornamento tubular, Orejera, Cuentas, Boton, Disco cerámico, Pigmento, Hueso trabajado, Esfera de cerámica, Instrumento musical)
55. Lítica Op A
56. Lítica Op B
57. Instrumentos musicales y moldes Op A y B, Figurillas contextos importantes Op B
58. Figurillas contextos no importantes Op B
59. Op A Figurillas contextos importantes y no importantes
60. Vasijas (Op. B)
61. Vasijas (Op. A)
62. Vasijas (Op. A)
63. Vasijas (Op. A y B)
64. Vasijas (Op. A y B)
65. Vasijas (Op. A y B)
66. Materiales frágiles (Op.A y B)

Department of Anthropology
College of Arts and Letters
San Diego State University
5500 Campanile Drive
San Diego CA 92182 - 4443
Tel: 619 - 594 - 5527
Fax: 619 - 594 - 1150
Email: anthro@mail.sdsu.edu
http://anthropology.sdsu.edu

SAN DIEGO STATE UNIVERSITY

**Entrega-Prv2022 Entierros** **Mayes, Arion 6/289/22**

Se adjunta una lista de entierros y cajas de viaje asociadas para Prv2022. Dos individuos permanecen parcialmente en la matriz del suelo con el propósito de preservarlos durante el viaje y se terminarán de excavar durante el análisis en Cuilapam.

| Entierros # Ind # | FS # | Caja | Periodo de Tiempo |
|---|---|---|---|
| E 115 I 127 | 8385 | 1 | Late Classic |
| E 116 I 128 | 8477 | 1 | Late Classic |
| E 116 I 129 | 8478 | 1 | Late Classic |
| E 117 I 130 | 8838 | 1,2 | Early Post Classic |
| E 118 I 131 | 9252 | 2,3, 11 | Early Post Classic |
| E 119 I 132 | 9254 | 3 | Early Post Classic |
| E 120 I 133 | 3461 | 11 | Late Classic |
| E 121 I 134 | 3595 | 4 | Early Post Classic |
| E 122 I 135 | 3131 | 4 | Early Post Classic |
| E 123 I 136 | 3145 | 5 | Early Post Classic |
| E 124 I 137 | 3144 | 5,6 | Early Post Classic |
| E 125 I 138 | 3812 | 7 | Early Post Classic |
| E 126 I 139 | 3917 | 7 | Early Post Classic |
| E 127 I 140 | 3752 | 8 | Early Classic?? |
| E 128 I 141 | 9821 | 8 | Late Classic |
| E 129 I 142 | 9820 | 9 | Late Classic |
| E 130 I 143 | 9822 | 9 | Late Classic |
| E 131 I 144 | 2790 | 9 | Late Classic |
| E 132 I 145 | 3798 | 9 | Late Classic |
| E 133 I 146 | 5430 | 11 | Early Post Classic |
| E 134 I 147 | 3123 | 10 | Late Classic?? |
| E 135 I 146 | 9975 | 10 | Late Classic |
| Pero | 9974 | 10 | |

| Número de costa | Tipo de material | OP. |
|---|---|---|
| 1 | Ceramica | A |
| 2 | Ceramica | A |
| 3 | Ceramica | B |
| 4 | Ceramica | B |
| 5 | Ceramica | B |
| 6 | Ceramica | B |
| 7 | Ceramica | B |
| 8 | Ceramica | B |
| 9 | Ceramica | B |
| 10 | Ceramica | B |
| 11 | Ceramica | B |
| 12 | Ceramica | B |
| 13 | Ceramica | B |
| 14 | Ceramica | B |
| 15 | Ceramica | B |
| 16 | Ceramica | B |
| 17 | Ceramica | B |
| 18 | Ceramica | B |
| 19 | Ceramica | B |
| 20 | Ceramica | B |
| 21 | Ceramica | B |
| 22 | Ceramica | B |
| 23 | Ceramica | B |
| 24 | Ceramica | B |
| 25 | Ceramica | B |
| 26 | Ceramica | B |
| 27 | Ceramica | B |
| 28 | Ceramica | B |
| 29 | Ceramica | B |
| 30 | Ceramica | B |
| 31 | Ceramica | B |
| 32 | Ceramica | B |
| 33 | Ceramica | B |
| 34 | Ceramica | A |
| 35 | Ceramica | A |
| 36 | Ceramica | A |
| 37 | Ceramica | A |
| 38 | Ceramica | A |
| 39 | Ceramica | A |
| 40 | Ceramica | A |
| 41 | Ceramica | A |
| 42 | Ceramica | A |
| 43 | Ceramica | A |
| 44 | Ceramica | A |
| 45 | Ceramica | A |
| 46 | Ceramica | A |

| | |
|---|---|
| 47 Ceramica | A |
| 48 Ceramica | A |
| 49 Ceramica | A |
| 50 Ceramica | A |
| 51 Ceramica | A |
| 52 Ceramica | A |
| 53 Ceramica | A |
| 54 Ceramica | A |
| 55 Ceramica | A |
| 56 Ceramica | A |
| 57 Ceramica | A |
| 58 Ceramica | A |
| 59 Ceramica | A |
| 60 Ceramica | A |
| 61 Ceramica | A |
| 62 Ceramica | A |
| 63 Ceramica | A |
| 64 Ceramica | A |
| 65 Ceramica | A |
| 66 Ceramica | A y B |
| 67 Ceramica | A |
| 68 Ceramica | A |
| 69 Ceramica | A |
| 70 Ceramica | A |
| 71 Ceramica | A |
| 72 Ceramica | B |
| 73 Ceramica | B |
| 74 Ceramica | B |
| 75 Ceramica | B |
| 76 Ceramica | B |
| 77 Ceramica | B |
| 78 Ceramica | B |
| 79 Ceramica | B |
| 80 Ceramica | B |
| 81 Ceramica | B |
| 82 Ceramica | A y B |
| 83 Ceramica | B |
| 84 Ceramica | B |
| 85 Ceramica | A y B |
| 86 Ceramica | B |
| 87 Ceramica | A |
| 88 Ceramica | B |
| 89 Ceramica | B |
| 90 Ceramica | B |
| 91 Ceramica | B |
| 92 Ceramica | B |
| 93 Ceramica | B |

| | | |
|---|---|---|
| | 94 Ceramica | B |
| | 95 Ceramica | B |
| | 96 Ceramica | B |
| | 97 Ceramica | A y B |
| | 98 Ceramica | A y B |
| | 99 Ceramica | A y B |

CULTURA
SECRETARÍA DE CULTURA
INAH

**Consejo de Arqueología**

Ciudad de México a 21 de junio de 2022
No. de Oficio 401.3S.16-2022/1180

**Dr. Arthur A. Joyce**
**Universidad de Colorado Boulder**
**Presente**

En atención a su solicitud recibida vía correo electrónico, en la que requiere autorización para realizar el traslado de **408 bolsas con hueso y 231 bolsas con concha arqueológicos**, como parte del **Proyecto Arqueológico Río Verde 2022**, le informo que este Consejo de Arqueología no tiene inconveniente en autorizar lo solicitado.

El traslado se llevará a cabo el próximo 22 de julio de 2022, a través de FedEx con destino al Laboratorio de Arqueozoología. Dr. Gilberto Pérez Roldan de la Facultad de Ciencias Sociales y Humanidades. Universidad Autónoma de San Luis Potosí en Av. De las Industrias #101-A Fracc. Talleres CP 78399 San Luis Potosí, S.L.P. México.

Sin otro particular.

**Dra. Laura Ledesma Gallegos**
**Presidente**

C.c.p. Diego Prieto Hernández. – Director General del INAH.
José Luis Perea González. – Secretario Técnico del INAH
Martha Lorenza López Mestas Camberos. – Coordinadora Nacional de Arqueología
Archivo
LLG/aos

CULTURA
SECRETARÍA DE CULTURA
INAH

**Consejo de Arqueología**

Ciudad de México a 21 de junio de 2022
No. de Oficio 401.3S.16-2022/1181

**Dr. Arthur A. Joyce**
**Universidad de Colorado Boulder**
**Presente**

En atención a su solicitud recibida vía correo electrónico, en la que requiere autorización para realizar el traslado de **25 muestras de suelo para análisis micromorfológico**, como parte del **Proyecto Arqueológico Río Verde 2022**, le informo que este Consejo de Arqueología no tiene inconveniente en autorizar lo solicitado.

El traslado se llevará a cabo el próximo 22 de julio de 2022, a través de FedEx con destino al Laboratorio de Suelos y Sedimentos de la Escuela Nacional de Antropología e Historia, ENAH en Periférico Sur y Zapote s/n. Colonia Isidro Fabela. CP 14030, México, CDMX.

Sin otro particular.

**Dra. Laura Ledesma Gallegos**
**Presidente**

C.c.p. Diego Prieto Hernández. – Director General del INAH.
José Luis Perea González. – Secretario Técnico del INAH
Martha Lorenza López Mestas Camberos. – Coordinadora Nacional de Arqueología
Archivo
LLG/aos

CULTURA
SECRETARÍA DE CULTURA

INAH

# ACTA ENTREGA-RECEPCIÓN

ACTA DE ENTREGA-RECEPCIÓN DE MATERIALES ARQUEOLÓGICOS QUE ENTREGA LA ARQLGA. CIRA A. MARTÍNEZ LÓPEZ, INVESTIGADORA ADSCRITA AL CENTRO INAH OAXACA AL DR. ARTHUR A. JOYCE DE LA UNIVERSIDAD DE COLORADO BOULDER. SE FORMALIZA LA ENTREGA DE MUESTRAS DE HUESO, CONCHA Y SUELO DEL PROYECTO ARQUEOLÓGICO RÍO VERDE: TEMPORADA 2022 PARA SER ENVIADOS A TRAVÉS DE FEDEX A LA UNIVERISDAD AUTONÓMA DE SAN LUIS POTOSÍ Y A LA ESCUELA NACIONAL DE ANTROPOLOGÍA E HISTORIA RESPECTIVAMENTE.----------

SIENDO LAS DOCE HORAS DEL DÍA VEINTE DE JULIO DEL AÑO DOS MIL VEINTIDOS, EN LAS INSTALACIONES UBICADAS EN EL EXCONVENTO DE CUILAPAN DE GUERRERO CON DOMICILIO CONOCIDO EN EL MUNICIPIO DE CUILAPAN DE GUERRERO, SE REUNIERON POR UNA PARTE LA ARQLGA. CIRA A. MARTÍNEZ LÓPEZ, INVESTIGADORA ADSCRITA AL CENTRO INAH OAXACA Y POR OTRA PARTE EL DR. ARTHUR JOYCE DIRECTOR DEL PROYECTO ARQUEOLÓGICO RÍO VERDE: TEMPORADA 2022. LO ANTERIOR PARA EFECTO DE HACER ENTREGA FORMAL DE LAS MUESTRAS DE HUESO, CONCHA Y SUELO, DERIVADOS DE SU PROYECTO. POR PARTE DE LA ARQLGA. CIRA A. MARTÍNEZ LÓPEZ, DIRECTORA DEL PROYECTO CERAMOTECA DEL CENTRO INAH OAXACA. ACERVO DE MATERIALES ARQUEOLÓGICOS DE OAXACA: EXCONVENTO DE CUILAPAN DE GUERRERO, EN SEGUIMIENTO A LOS OFICIOS 401.3S.16-2022/1180 Y 401.3S.16-2022/1181 CON FECHA DEL VEINTIUNO DE JUNIO DE DOS MIL VEINTIDOS EMITIDOS POR LA DRA. LAURA LEDESMA GALLEGOS PRESIDENTA DEL CONSEJO DE ARQUEOLOGÍA AUTORIZANDO EL TRASLADO DE LOS MATERIALES ARQUEOLÓGICOS Y DEL OFICIO 401.3S.17-2022/D-519 CON FECHA DE 14 DE JUNIO POR PARTE DEL ANTROPOLOGO JOEL OMAR VAZQUEZ HERRERA, DIRECTOR DEL CENTRO INAH OAXACA.----------

ACTO SEGUIDO, AMBAS PARTES PROCEDIERON A EFECTUAR LA REVISIÓN Y EL CONTEO DEL MATERIAL, RESULTANDO UN TOTAL DE:

- 408 BOLSAS CON HUESOS Y 231 DE CONCHA CON DESTINO AL LABORATORIO DE ARQUEOLOGÍA CON EL DR. GILBERTO PÉREZ ROLDAN, FACULTAD DE CIENCIAS SOCIALES Y HUMANIDADES, UNIVERSIDAD AUTÓNOMA DE SAN LUIS POTOSÍ, SAN LUIS POTOSÍ.
- 25 MUESTRAS DE SUELO PARA ANÁLISIS MICROMORFOLÓGICO CON DESTINO AL LABORATORIO DE SUELOS Y SEDIMIENTOS DE LA ESCUELA NACIONAL DE ANTROPOLOGÍA E HISTORIA, CIUDAD DE MÉXICO.
  LA DESCRIPCIÓN DE LOS MATERIALES SE PUNTUALIZA EN EL DOCUMENTO ANEXADO A LA PRESENTE.----------

CULTURA | INAH

POR LO QUE NO HABIENDO OTRO ASUNTO QUE TRATAR SE DA POR TERMINADA LA PRESENTE ACTA, SIENDO LAS TRECE HORAS CON TREINTA MINUTOS DEL DÍA DE SU INSTRUMENTACIÓN, PREVIA LECTURA DE SU CONTENIDO, FIRMAN AL MARGEN LOS QUE EN ELLA INTERVINIERON, HACIENDO CONSTAR LA ENTREGA DE UNA COPIA DE LA MISMA AL QUE RECIBE.----------

ENTREGA

ARQLGA. CIRA A. MARTÍNEZ LÓPEZ
INVESTIGADORA ADSCRITA A LA SECCIÓN DE ARQUEOLOGÍA CENTRO INAH OAXACA

RECIBE

P. I. Pamela Garcia Ramirez
DR. ARTHUR JOYCE
UNIVERSIDAD DE COLORADO BOULDER

TESTIGOS

ARQLGA. MARIEL R. MATÍAS GARCÍA
PROYECTO CERAMOTECA DEL CENTRO INAH OAXACA. ACERVO DE MATERIALES ARQUEOLÓGICOS DE OAXACA: EXCONVENTO DE CUILAPAN.

C. DIEGO LÓPEZ GARCÍA
ENCARGADO DEL EXCONVENTO DE CUILAPAN DE GUERRERO, OAXACA.

CULTURA
SECRETARÍA DE CULTURA
DIRECCIÓN
CENTRO INAH OAXACA

Vo.bo.

ANTROP. JOEL OMAR VÁZQUEZ HERRERA
DIRECTOR DEL CENTRO INAH OAXACA

MANUEL RUFINO AGUILAR MARTÍNEZ
RESPONSABLE DEL DEPARTAMENTO DE RESGUARDO DE BIENES CULTURALES
INAH OAXACA

CULTURA | INAH

**Consejo de Arqueología**

Ciudad de México a 21 de junio de 2022
No. de Oficio 401.3S.16-2022/1181

**Dr. Arthur A. Joyce**
**Universidad de Colorado Boulder**
**Presente**

En atención a su solicitud recibida vía correo electrónico, en la que requiere autorización para realizar el traslado de **25 muestras de suelo para análisis micromorfológico**, como parte del **Proyecto Arqueológico Río Verde 2022**, le informo que este Consejo de Arqueología no tiene inconveniente en autorizar lo solicitado.

El traslado se llevará a cabo el próximo 22 de julio de 2022, a través de FedEx con destino al Laboratorio de Suelos y Sedimentos de la Escuela Nacional de Antropología e Historia, ENAH en Periférico Sur y Zapote s/n. Colonia Isidro Fabela. CP 14030, México, CDMX.

Sin otro particular.

**Dra. Laura Ledesma Gallegos**
**Presidente**

C.c.p. Diego Prieto Hernández. – Director General del INAH.
José Luis Perea González. – Secretario Técnico del INAH
Martha Lorenza López Mestas Camberos. – Coordinadora Nacional de Arqueología
Archivo

LLG/aos

CULTURA | INAH

**Consejo de Arqueología**

Ciudad de México a 21 de junio de 2022
No. de Oficio 401.3S.16-2022/1180

**Dr. Arthur A. Joyce**
**Universidad de Colorado Boulder**
**Presente**

En atención a su solicitud recibida vía correo electrónico, en la que requiere autorización para realizar el traslado de **408 bolsas con hueso y 231 bolsas con concha arqueológicos**, como parte del **Proyecto Arqueológico Río Verde 2022**, le informo que este Consejo de Arqueología no tiene inconveniente en autorizar lo solicitado.

El traslado se llevará a cabo el próximo 22 de julio de 2022, a través de FedEx con destino al Laboratorio de Arqueozoología. Dr. Gilberto Pérez Roldan de la Facultad de Ciencias Sociales y Humanidades. Universidad Autónoma de San Luis Potosí en Av. De las Industrias #101-A Fracc. Talleres CP 78399 San Luis Potosí, S.L.P. México.

Sin otro particular.

**Dra. Laura Ledesma Gallegos**
**Presidente**

C.c.p. Diego Prieto Hernández. – Director General del INAH.
José Luis Perea González. – Secretario Técnico del INAH
Martha Lorenza López Mestas Camberos. – Coordinadora Nacional de Arqueología
Archivo
LLG/acs

**Proyecto Río Verde 2022**

**Inventario de muestras de huesos de animales y concha para análisis**

Hueso y Concha recuperados de excavación y de análisis de flotación de las excavaciones del Proyecto Río Verde-Temporada 2022 en el sitio de Río Viejo. Para ser traslado al Laboratorio de Arqueozoología del Dr. Gilberto Pérez Roldan, Facultad de Ciencias Sociales y Humanidades, Universidad Autónoma de San Luis Potosí.

- 93 bolsas de hueso de muestras de flotación de Operación A
- 29 bolsas de hueso de muestras de flotación de Operación B
- 200 bolsas de hueso de excavación de Operación A
- 86 bolsas de hueso de excavación de Operación B

TOTAL 408 bolsas de hueso

- 49 bolsas de concha de muestras de flotación de Operación A
- 22 bolsas de concha de muestras de flotación de Operación B
- 114 bolsas de concha de excavación de Operación A
- 46 bolsas de concha de excavación de Operación B

TOTAL 231 bolsas de concha.

## Proyecto Río Verde 2022

### Inventario de muestras de sedimento para análisis micromorfológico

Muestras de sedimentos que serán enviados al Laboratorio de Suelos y Sedimentos, Escuela Nacional de Antropología e Historia (ENAH), Ciudad de México.

M1. Op. A Unidad P17-8. Anillo en el suelo (1).
M2. Op. A Unidad P17-8. Superficie quemada y abajo (2)
M3. Op. A Unidad P17-8. Superficie quemada y arriba (3)
M4. Op. A Unidad P17-8. Superficie quemada y arriba (3)
M5. Op. A Unidad P17-8. Muestra costra sin orientación
M6. Op. A Unidad L16.
M7. Op. A Unidad O11. Límite quemado y adentro
M8. Op. A Unidad O11. Límite quemado y afuera
M9. Op. A O11. Fragmentos quemados.
M10. Op. A Unidad P21. Límite plataforma.
M11. Op. B Unidad MM38. Material quemado en matriz de suelo.
M12. Op. B Unidad MM38. Zona quemada en superficie.
M13. Op. A Unidad P17-8. Costra quemada contacto Q17/P17.
M14. Op. B Unidad KK34. Contacto E24-S2 y arriba (E10-S1).
M15. Op. B Unidad KK34. Contacto E24-S2 y abajo (E24-S4).
M16. Op. B Unidad MM36. Estrato laminado.
M17. Op. B Unidad KK37. "Costra" blanca superficial.
M18. Op. B Unidad KK37. Contacto "costra" con estrato inferior.
M19. Op. B Unidad F17. Capa agley.
M20. Op. A Unidad L13. Estrato 23-S1.
M21. Op. A Unidad K17. Possible Midden.
M22. Op. A Unidad N20/MU9. Suelo negro tubería, capa 31.
M23. Op. A Unidad MU29-6. Tubería negra.
M24. Op. A Unidad MU29-6. Suelo negro y otro.
M25. Op. A Unidad M20. Bloque bajareque.

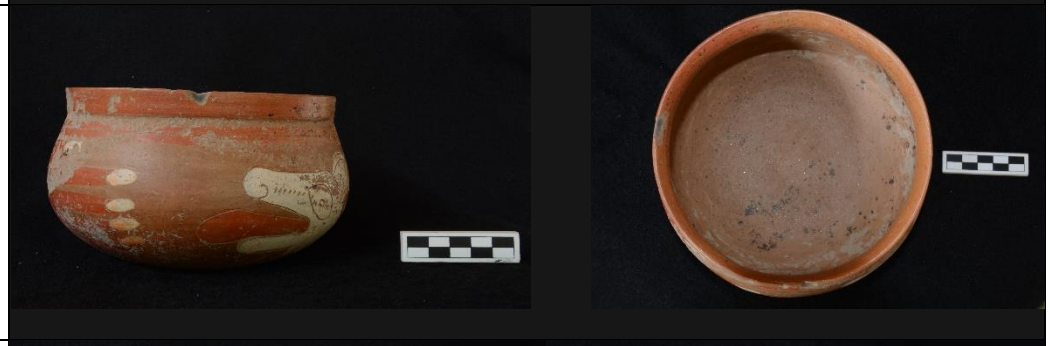
# APÉNDICE B – Vasijas Enteras Recuperadas por el PRV-2022

Pamela Aide García Ramírez

## B.1 Introducción

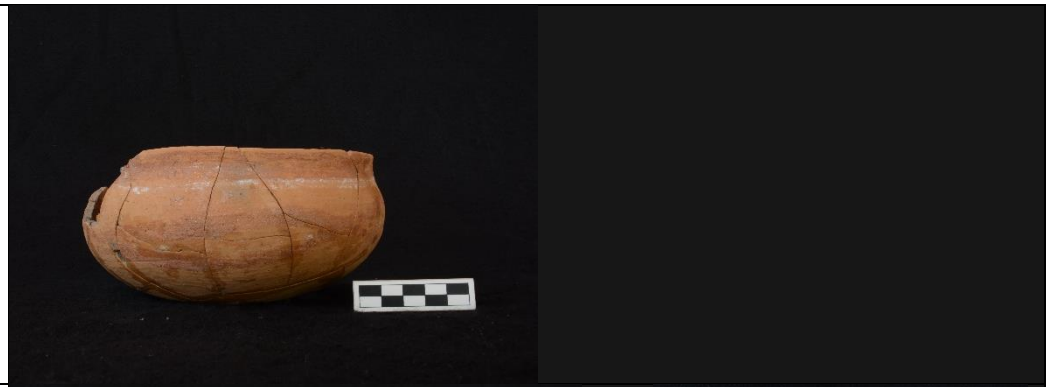
Las excavaciones del Proyecto Rio Verde 2022 descubrieron 32 vasijas de cerámica completas o casi completas. A mayoría de los hallazgos salieron de los entierros del Clásico Tardío y Posclásico Temprano en Ops. A y B (ver Capitulos 7). También se recuperaron vasijas enteras de las ofrendas de terminación del período Clásico Tardío en Op. A (E15, E99) y en Op. B (E20), así como en un basurero del Posclásico Temprano en Op. A (E11; ver Capítulos 2 y 3). La tabla B.1 provee imágenes e información acerca del contexto para las vasijas enteras o casi enteras encontradas durante el PRV13.

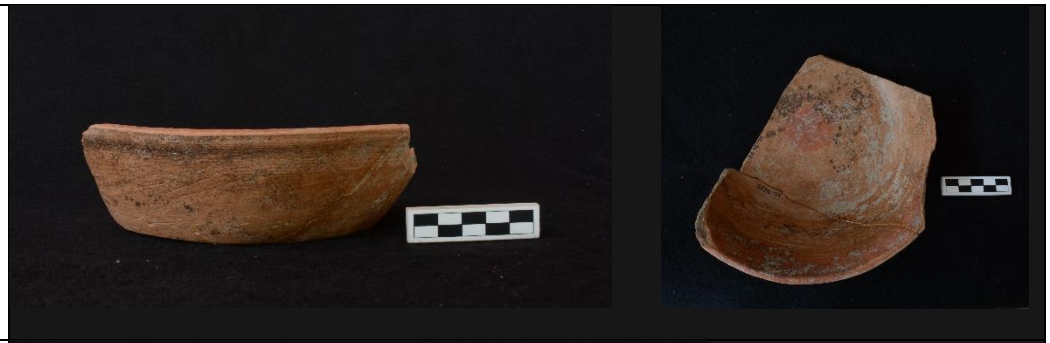
## Tabla B.1 Vasijas Enteras de Proyecto Rio Verde-2022

| FS | Op. | Unidad-Lote | No. Vasija | Periodo | Contexto | Imagen |
|---|---|---|---|---|---|---|
| 22-3289-1 | A | MU7-27 | 1 | Transicional entre el Clásico tardío y el Posclásico temprano | Pasta naranaja Ent. 120-I133 Ofrenda (Objeto 1) |  |
| 22-3289-2 | A | MU7-27 | 2 | Transicional entre el Clásico tardío y el Posclásico temprano | Pasta naranja Ent. 120-I133 Ofrenda (Objeto 2) |  |
| 22-3289-3 | A | MU7-27 | 3 | Transicional entre el Clásico tardío y el Posclásico temprano | Pasta naranja Ent. 120-I133 Ofrenda (Objeto 3) |  |

| | | | | | | |
|---|---|---|---|---|---|---|
| 22-3289-4 | A | MU7-27 | 4 | Transicional entre el Clásico tardío y el Posclásico temprano | Pasta naranja<br>Ent. 120-I133<br>Ofrenda<br>(Objeto 4) |  |
| 22-3237 | A | MU13-3 | 5 | Posclásico temprano | Pasta naranja<br>Ent. 121-I134<br>Ofrenda<br>(Objeto 1) |  |
| 22-2975 | A | MU32-1 | 6 | Posclásico temprano | Pasta naranja<br>Ent. 122-I135<br>Ofrenda<br>(Objeto 1) |  |

| | | | | | | |
|---|---|---|---|---|---|---|
| 22-2982 | A | MU32-1 | 7 | Posclásico temprano | Pasta naranja<br>Ent. 122-I135<br>Ofrenda<br>(Objeto 2) |  |
| 22-3633 | A | MU34-1 | 8 | Posclásico temprano | Pasta naranja<br>Ent. 123-I136<br>Ofrenda<br>(Objeto 1) |  |
| 22-3625 | A | MU35-1 | 9 | Posclásico temprano | Pasta naranaja<br>Ent. 124-I137<br>Ofrenda<br>(Objeto 1) |  |

| | | | | | | |
|---|---|---|---|---|---|---|
| 22-3142 | A | MU35-1 | 10 | Posclásico temprano | Pasta diferencial<br>Ent. 124-I137<br>Ofrenda<br>(Objeto 2) |  |
| 22-2203 | A | K23-5 | 11 | Posclásico temprano | Pasta naranja<br>Ent. 125-I138<br>Ofrenda<br>(Objeto 1) |  |
| 22-3672 | A | MU19-11 | 12 | Transicional entre el Clásico temprano y el Clásico tardío | Pasta gris<br>Ent. 127-I140<br>Ofrenda<br>(Objeto 1) |  |

| | | | | | | |
|---|---|---|---|---|---|---|
| 22-3672 | A | MU19-11 | 13 | Transicional entre el Clásico temprano y el Clásico tardío | Pasta naranja<br>Ent. 127-I140<br>Ofrenda<br>(Objeto 2) |  |
| 22-3923 | A | MU19-11 | 14 | Transicional entre el Clásico temprano y el Clásico tardío | Pasta naranja<br>Ent. 127-I140<br>Ofrenda<br>(Objeto 3) |  |
| 22-2717 | A | Q17-8 | 15 | Clásico tardío | Pasta gris<br>Ent. 131-I144<br>Ofrenda<br>(Objeto 1) |  |

| | | | | | | |
|---|---|---|---|---|---|---|
| 22-3929 | A | R17-10 | 16 | Clásico tardío | Pasta naranja<br>Ent. 132-I145<br>Ofrenda<br>(Objeto 1) |  |
| 22-2521 | A | MU14-3 | 17 | Clásico tardío | Pasta naranja<br>Ent. 134-I147<br>Ofrenda<br>(Objeto 1) |  |
| 22-3157 | A | M20-9 | 18 | Posclásico temprano | Pasta diferencial<br>Ent. 136-I149<br>Ofrenda<br>(Objeto 1) |  |

| | | | | | | |
|---|---|---|---|---|---|---|
| 22-3159 | A | M20-9 | 19 | Posclásico temprano | Pasta naranja<br>Ent. 136-I149<br>Ofrenda<br>(Objeto 2) |  |
| 22-9253 | B | MU4-1 | 20 | Posclásico temprano | Pasta naranja<br>Ent. 118-I131<br>Ofrenda<br>(Objeto 1) |  |
| 22-8821 | B | MU4-1 | 21 | Posclásico temprano | Pasta naranja<br>Ent. 118-I131<br>Ofrenda<br>(Objeto 2) |  |

| | | | | | | |
|---|---|---|---|---|---|---|
| 22-9255-1 | B | MU5-1 | 22 | Posclásico temprano | Pasta naranja<br>Ent. 119-I132<br>Ofrenda<br>(Objeto 1) |  |
| 22-9255-2 | B | MU5-1 | 23 | Posclásico temprano | Pasta naranja<br>Ent. 119-I132<br>Ofrenda<br>(Objeto 2) |  |
| 22-8538 | B | MM37-6 | 24 | Posclásico temprano | Pasta naranja<br>Ent. 135-I148<br>Ofrenda<br>(Objeto 1) |  |

| | | | | | | |
|---|---|---|---|---|---|---|
| 22-8203 | B | MM37-7 | 25 | Posclásico temprano | Pasta naranja<br>Ent. 135-I148<br>Ofrenda<br>(Objeto 2) |  |
| 22-1454 | A | L13-7 | 26 | Clásico tardío | Pasta naranja<br>Ofrenda (E15) |  |
| 22-1816 | A | MU1-11 | 27 | Clásico tardío | Pasta gris<br>Ofrenda (E15) |  |

| | | | | | | |
|---|---|---|---|---|---|---|
| 22-8230 | B | OO38-10 | 28 | Clásico tardío | Pasta gris<br>Ofrenda (E20) |  |
| 22-8553 | B | PP38-12 | 29 | Clásico tardío | Pasta naranja<br>Ofrenda (E20) |  |
| 22-1646 | A | MU2-1 | 30 | Probable<br>Clásico tardío | Pasta gris<br>Basurero (E11) |  |

| | | | | | | |
|---|---|---|---|---|---|---|
| 22-1895 | A | MU2-11 | 31 | Posclásico temprano | Pasta naranja Basurero (E11) |  |
| 22-1391 | A | P19-12 | 32 | Clásico tardIo | Pasta naranja (posible incensario) Ofrenda (E99) |  |

# APÉNDICE C – Datos Básicos de los Artefactos del PRV-2022

**Pamela Aide García Ramírez**
**Arthur A. Joyce**
**Akira Ichikawa**

## C.1 Introducción

El laboratorio de campo fue organizado para procesar y catalogar el material arqueológico proveniente de las dos operaciones llevadas a cabo en el sitio de Río Viejo por el PRV-2022 (Op. A y B). El trabajo en el laboratorio de campo empezó el 31 de enero y terminó el 28 de junio de 2022. Los procesos y métodos principales del laboratorio incluían:

1. Organizar el material excavado de cada operación para mantener la integridad de las colecciones a lo largo del análisis en el laboratorio.
2. Lavar el material excavado para facilitar los análisis futuros y la identificación del material.
3. Contar, pesar, y dividir el material de acuerdo con su materia prima y de las necesidades de análisis futuros.
4. Preparar material para ser analizado en el laboratorio de campo (identificación, determinación de fecha, dibujo, análisis formal y funcional detallado) o preparar material para análisis futuros.
5. Preparar el material excavado para ser guardado en las bodegas del INAH en el ex-Convento de Cuilapan.

El laboratorio fue estructurado para mantener la integridad del material proveniente de las excavaciones en las operaciones diferentes. Cuando el material fue llevado al laboratorio, fue depositado en un área central hasta que los elementos fueron registrados en las hojas

correspondientes en carpetas dedicadas a cada operación. Esto permitía saber rápidamente en que parte del proceso analítico el material excavado se encontraba en cualquier momento específico.

Después de ser registrado, el material excavado fue lavado y secado, y regresado a su lugar en el laboratorio hasta ser fechado o necesitado para otro análisis. El proceso de fechado incluía la construcción de bases de datos que incluían la información siguiente (ver Tablas C.3-C.4): la operación, el número de la unidad, el lote, el número de campo del elemento (en inglés *field specimen number, FS*), las fechas (basado en el análisis de los Drs. Arthur Joyce y Akira Ichikawa), la cantidad de tiestos de cerámica diagnostica, y si la cerámica en los lotes correspondientes estaba erosionada o no.

Después de haber sido fechado, el material cerámico fue numerado con tinta china como precaución para asegurar que la información acerca del contexto no se perdiera si se removiera un tiesto del área de almacenamiento. Las vasijas completas o reconstruidas también fueron marcadas con tinta china. Algunas vasijas completas no fueron lavadas ni marcadas con tina para poderlas analizar de manera más profunda en el futuro. Artefactos de cerámica de elementos seleccionados (pj. basureros, ofrendas, hornos) fueron analizados más a fondo, lo que incluyó un análisis formal y funcional por Mtra. Pamela García Ramírez (ver Capítulo 5). Un análisis de las figurillas de cerámica fue realizado por Ishbel Michelle Torres López (Capítulo 6).

El material excavado que no era cerámica incluía lítica, hueso, restos botánicos, concha, y bajareque. Todos los artefactos líticos fueron lavados y secados. Los artefactos líticos de elementos seleccionados (pj. basureros, ofrendas, hornos) fueron analizados más a fondo, lo que incluyó un análisis descriptivo y funcional (ver Capítulo 5). El hueso animal fue trasladado al laboratorio arqueozoología del Dr. Gilberto Pérez Roldan de la Universidad Autónomo de San Luís Potosí para identificación y análisis (ver Capítulo 8). Muestras de los macrorestos botánicos se recuperaron mediante flotación y fueron identificadas por Mtro. Éloi Bérubé en el laboratorio de campo (Capítulo

9). El material óseo de los entierros humanos excavados por el PRV-2022 fue analizado por la Dra. Arion Mayes y su equipo de estudiantes en bioarqueología (ver Capítulo 7*).* Las muestras micromorfológicas fueron transportadas al Laboratorio de Suelos y Sedimentos, Escuela Nacional de Antropología e Historia para su análisis (ver Apéndice E). Después de los análisis, todo el material no trasladado a otras instituciones en México fue guardado y organizado para facilitar análisis futuros en la bodega del INAH (ver Apéndice 1). Las Tablas C.2 a C.6 presentan datos básicos de los análisis realizados en el laboratorio de campo del PRV-2022. En los capítulos 5, 6, 7, 8 y 9 se presentan análisis más detallados.

El material arqueológico recuperado durante las excavaciones arqueológicas fue registrado y resguardado en el laboratorio de campo. Los materiales recuperados y procesados fueron: cerámica, lítica tallada, lítica pulida, concha, hueso, bajareque, 14C, figurillas, materiales especiales (ej. orejeras, malacates, cuentas), y muestras para flotación. Para realizar el seguimiento del material dentro del laboratorio se empleó un *Formato de Registro por Operación*, en este se registró la Unidad, el Lote, y de número FS de cada bolsa de material, así como el número de caja en que se resguardo; adicionalmente, para la cerámica se registró su fecha de lavado, sorteo o clasificación, y datación para controlar mejor su procesamiento en el laboratorio. Cada material contó con un lugar (número de caja) especial para su resguardo y posterior consulta al momento de los análisis.

Los materiales recuperados fueron procesados de distintas formas según se muestra en la Tabla C.1. Debido a la gran cantidad de material, durante el trabajo de campo solo se realizó el análisis de la cerámica, las figurillas, la obsidiana y el bajareque; del resto de los materiales, algunos se encuentran en análisis por parte de especialistas (Hueso humano, hueso animal, concha, y fracciones de flotación).

**Tabla C.1. Formato de registro de material en laboratorio de campo.**

| MATERIAL | PROCESAMIENTO | RESULTADOS |
|---|---|---|
| Cerámica | Lavado, clasificado y fechado. Análisis detallado de ciertos contextos | Tabla C.2 cuenta y peso (abajo)<br>Tabla C.3 y C.4 datación (abajo)<br>Apartado análisis detallado (Capítulo 5) |
| Figurillas | Lavado y análisis | Apartado análisis figurillas (Capítulo 6) |
| Lítica | Análisis detallado según contexto | Apartado análisis detallado (Capítulo 5) |
| Materiales especiales | Lavado y registro según el tipo de material | Tabla C.5 Materiales especiales (abajo) |
| Bajareque | Cuenta y peso | Tabla C.6 cuenta y peso bajareque |
| Concha | Registro y análisis externo | Análisis UASLP (Capítulo 8) |
| Hueso humano | Análisis bioarqueológico | Apartado análisis bioarqueológico (Capítulo 7) |
| Hueso animal | Registro y análisis externo | Análisis UASLP (Capítulo 8) |
| Muestras flotación | Flotación, separación fracción gruesa y análisis. | Apartado análisis paleobotánico (Capítulo 9) |

**Tabla C.2. Cantidad y peso por categoría de pasta cerámica, PRV-2022**
**(*CF=Café Fino; PI=Posible Importación; C/M=Colonial o Moderno)**

| | | | | Café Gruesa | | Anaranjada | | Gris | | Gris/ Anaranjada | | Otra Pasta* |
|---|---|---|---|---|---|---|---|---|---|---|---|---|
| **Op.** | **Unidad** | **Lote** | **#FS** | **Total** | **Peso** | **Total** | **Peso** | **Total** | **Peso** | **Total** | **Peso** | **Tipo Total/peso** |
| B | A15 | 1 | 5899 | 67 | 571 | 35 | 255 | 15 | 114 | 16 | 101 | |
| B | A15 | 2 | 5303 | 72 | 625 | 38 | 275 | 11 | 95 | 37 | 290 | |
| B | A16 | 1 | 5262 | 392 | 1881 | 211 | 713 | 172 | 636 | 157 | 640 | |
| B | A16 | 2 | 5267 | 23 | 118 | 16 | 51 | 11 | 45 | 6 | 19 | |
| B | A17 | 2 | 5003 | 73 | 482 | 54 | 218 | 40 | 158 | 49 | 192 | |
| B | A17 | 15 | 5045 | 117 | 790 | 64 | 200 | 78 | 341 | | | |
| B | A17 | 13 | 5035 | 117 | 758 | 80 | 250 | 139 | 728 | 3 | 10 | |
| B | A17 | 12 | 5032 | 60 | 272 | 72 | 236 | 87 | 350 | | | |
| B | A17 | 11 | 5028 | 97 | 570 | 90 | 275 | 125 | 624 | 3 | 7 | |
| B | A17 | 10 | 5024 | 56 | 304 | 40 | 138 | 58 | 274 | 2 | 3 | |
| B | A17 | 9 | 5022 | 20 | 168 | 23 | 90 | 63 | 395 | 3 | 5 | |
| B | A17 | 14 | 5042 | 37 | 286 | 32 | 98 | 34 | 120 | | | |
| B | A17 | 1 | 5001 | 42 | 311 | 43 | 231 | 32 | 110 | 15 | 94 | |
| B | A17 | 3 | 5006 | 209 | 899 | 122 | 319 | 67 | 164 | 40 | 107 | |
| B | A17 | 8 | 5018 | 54 | 389 | 60 | 286 | 104 | 622 | 1 | 2 | |
| B | A17 | 6 | 5011 | 103 | 515 | 57 | 170 | 26 | 105 | 13 | 37 | |
| B | A17 | 7 | 5015 | 26 | 177 | 22 | 54 | 15 | 73 | 10 | 39 | |
| B | A17 | 4 | 5008 | 77 | 488 | 68 | 236 | 23 | 81 | 35 | 90 | |
| B | A17 | 6 | 5013 | 67 | 306 | 81 | 345 | 16 | 79 | 16 | 43 | |
| B | A18 | 2 | 5276 | 67 | 421 | 49 | 252 | 24 | 118 | 47 | 263 | |
| B | A18 | 1 | 5268 | 278 | 2165 | 135 | 754 | 80 | 493 | 103 | 458 | |
| B | A19 | 2 | 5331 | 142 | 860 | 97 | 499 | 40 | 197 | 36 | 157 | |
| B | A19 | 1 | 5321 | 462 | 3496 | 223 | 1238 | 111 | 849 | 94 | 473 | |
| B | A21 | 2 | 5322 | 70 | 489 | 95 | 543 | 54 | 324 | 45 | 255 | |
| B | A21 | 1 | 5317 | 152 | 1227 | 87 | 639 | 42 | 321 | 60 | 385 | |
| B | B16 | 2 | 5323 | 77 | 805 | 103 | 456 | 62 | 291 | 88 | 406 | |
| B | B16 | 3 | 5330 | 88 | 343 | 54 | 204 | 38 | 99 | 22 | 69 | |
| B | B16 | 1 | 5315 | 219 | 1049 | 64 | 839 | 99 | 656 | 72 | 350 | |
| A | B17 | 2 | 2472 | 92 | 769 | 46 | 271 | 44 | 395 | 20 | 102 | |
| B | B17 | 2 | 5245 | 53 | 725 | 44 | 417 | 21 | 167 | 39 | 280 | |
| B | B17 | 1 | 5247 | 317 | 1325 | 97 | 294 | 81 | 252 | 128 | 450 | |
| B | B18 | 3 | 5294 | 24 | 136 | 33 | 245 | 18 | 101 | 14 | 99 | |
| B | B18 | 2 | 5290 | 166 | 1198 | 72 | 466 | 78 | 439 | 40 | 362 | |
| B | B18 | 1 | 5283 | 372 | 2921 | 167 | 930 | 110 | 715 | 128 | 731 | |
| B | B19 | 2 | 5313 | 68 | 530 | 43 | 196 | 15 | 100 | 30 | 149 | |

| | | | | Café Gruesa | | Anaranjada | | Gris | | Gris/ Anaranjada | | Otra Pasta* |
|---|---|---|---|---|---|---|---|---|---|---|---|---|
| **Op.** | **Unidad** | **Lote** | **#FS** | **Total** | **Peso** | **Total** | **Peso** | **Total** | **Peso** | **Total** | **Peso** | **Tipo Total/peso** |
| B | B19 | 3 | 5316 | 58 | 329 | 69 | 292 | 38 | 173 | 38 | 165 | |
| B | B19 | 1 | 5296 | 409 | 3407 | 240 | 1477 | 105 | 575 | 181 | 990 | |
| B | B20 | 1 | 5285 | 163 | 661 | 139 | 346 | 99 | 292 | 109 | 284 | |
| B | B20 | 2 | 5291 | 33 | 523 | 8 | 49 | 12 | 53 | 17 | 107 | |
| B | B21 | 1 | 5335 | 64 | 606 | 50 | 279 | 49 | 241 | 29 | 172 | |
| B | C15 | 2 | 5273 | 81 | 625 | 53 | 377 | 36 | 207 | 50 | 268 | |
| B | C15 | 3 | 5284 | 95 | 725 | 56 | 325 | 34 | 241 | 27 | 155 | |
| B | C16 | 3 | 5272 | 12 | 96 | 19 | 83 | 13 | 96 | 8 | 25 | |
| B | C16 | 2 | 5266 | 141 | 809 | 89 | 484 | 62 | 214 | 37 | 215 | |
| B | C16 | 1 | 5261 | 200 | 1288 | 111 | 487 | 73 | 406 | 112 | 553 | |
| B | C17 | 1 | 5259 | 97 | 1279 | 105 | 684 | 49 | 297 | 67 | 390 | |
| B | C17 | 2 | 5260 | 158 | 1039 | 94 | 423 | 65 | 324 | 53 | 275 | |
| B | C18 | 1 | 5271 | 17 | 682 | 66 | 246 | 47 | 313 | 24 | 137 | |
| B | C18 | 2 | 5279 | 21 | 270 | 7 | 73 | 9 | 130 | 12 | 95 | |
| B | D10 | 1 | 5338 | 230 | 1451 | 143 | 528 | 184 | 801 | 40 | 176 | |
| B | D10 | 2 | 5345 | 31 | 340 | 23 | 173 | 30 | 204 | 12 | 108 | |
| B | D10 | 3 | 5350 | 23 | 173 | 17 | 127 | 17 | 138 | 8 | 58 | |
| B | D11 | 6 | 5373 | 14 | 71 | 13 | 51 | 39 | 200 | | | |
| B | D11 | 1 | 5353 | 177 | 968 | 56 | 371 | 150 | 880 | 41 | 164 | |
| B | D11 | 2 | 5357 | 49 | 186 | 44 | 157 | 90 | 418 | 12 | 45 | |
| B | D11 | 3 | 5361 | 31 | 212 | 34 | 98 | 46 | 218 | | | |
| B | D11 | 5 | 5368 | 16 | 97 | 13 | 55 | 49 | 273 | | | |
| B | D11 | 4 | 5365 | 17 | 99 | 37 | 148 | 41 | 194 | | | |
| B | D12 | 2 | 5374 | 17 | 191 | 18 | 97 | 20 | 134 | 3 | 4 | |
| B | D12 | 6 | 5391 | 25 | 337 | 18 | 100 | 25 | 235 | 1 | 2 | |
| B | D12 | 4 | 5386 | 16 | 216 | 28 | 175 | 20 | 142 | | | |
| B | D12 | 3 | 5381 | 15 | 122 | 15 | 66 | 43 | 310 | | | |
| B | D12 | 5 | 5389 | 10 | 85 | 8 | 34 | 19 | 145 | | | |
| B | D12 | 7 | 5394 | 21 | 241 | 10 | 53 | 65 | 812 | | | |
| B | D12 | 1 | 5367 | 40 | 381 | 47 | 246 | 70 | 469 | 16 | 87 | |
| B | D13 | 3 | 5362 | 23 | 312 | 21 | 102 | 44 | 390 | 3 | 6 | |
| B | D13 | 2 | 5358 | 22 | 136 | 29 | 145 | 53 | 322 | 9 | 43 | |
| B | D13 | 1 | 5354 | 56 | 444 | 57 | 312 | 59 | 410 | 21 | 115 | |
| B | D14 | 2 | 5344 | 58 | 486 | 47 | 236 | 44 | 263 | 14 | 57 | |
| B | D14 | 3 | 5351 | 74 | 583 | 57 | 289 | 93 | 568 | 7 | 56 | |
| B | D14 | 1 | 5337 | 161 | 983 | 119 | 471 | 81 | 373 | 46 | 184 | |
| B | D14 | 3 | 5347 | 46 | 354 | 39 | 159 | 73 | 442 | 2 | 5 | |

| | | | | Café Gruesa | | Anaranjada | | Gris | | Gris/ Anaranjada | | Otra Pasta* |
|---|---|---|---|---|---|---|---|---|---|---|---|---|
| **Op.** | **Unidad** | **Lote** | **#FS** | **Total** | **Peso** | **Total** | **Peso** | **Total** | **Peso** | **Total** | **Peso** | **Tipo Total/peso** |
| B | D15 | 1 | 5289 | 84 | 1027 | 51 | 299 | 26 | 159 | 41 | 232 | |
| B | D15 | 2 | 5298 | 55 | 801 | 38 | 177 | 55 | 317 | 9 | 56 | |
| B | D17 | 4 | 5057 | 132 | 920 | 27 | 164 | 79 | 418 | 2 | 14 | |
| B | D17 | 3 | 5055 | 97 | 430 | 55 | 205 | 64 | 286 | 4 | 7 | |
| B | D17 | 5 | 5060 | 44 | 266 | 11 | 59 | 26 | 162 | | | |
| B | D17 | 6 | 5063 | 16 | 85 | 5 | 43 | 11 | 75 | | | |
| B | D17 | 8 | 5068 | 2 | 11 | 1 | 5 | 11 | 112 | | | |
| B | D17 | 2 | 5052 | 158 | 756 | 71 | 255 | 62 | 300 | 35 | 127 | |
| B | D17 | 1 | 5050 | 106 | 1619 | 129 | 556 | 183 | 1019 | 52 | 256 | |
| B | D18 | 2 | 5404 | 27 | 341 | 17 | 94 | 50 | 546 | | | |
| B | D18 | 2 | 5399 | 36 | 477 | 24 | 322 | 39 | 578 | 3 | 22 | |
| B | D19 | 1 | 5382 | 13 | 120 | 13 | 57 | 9 | 93 | 4 | 32 | |
| B | D21 | 1 | 5387 | 37 | 664 | 22 | 198 | 46 | 548 | 4 | 29 | |
| B | D21 | 3 | 5392 | 45 | 447 | 11 | 65 | 72 | 497 | | | |
| B | D23 | 2 | 5390 | 17 | 195 | 7 | 44 | 21 | 168 | 3 | 11 | |
| B | D23 | 1 | 5388 | 33 | 369 | 33 | 222 | 52 | 406 | 10 | 81 | |
| B | D23 | 3 | 5393 | 20 | 279 | 11 | 55 | 47 | 323 | 4 | 21 | |
| B | E17 | 1 | 5258 | 160 | 994 | 80 | 324 | 125 | 713 | 28 | 115 | |
| A | F16 | 6 | 1052 | 325 | 1178 | 218 | 770 | 86 | 682 | 48 | 162 | |
| A | F16 | 2 | 1020 | 361 | 1537 | 293 | 1001 | 190 | 588 | 87 | 275 | PI 2/3 |
| A | F16 | 1 | 1007 | 455 | 1654 | 311 | 1081 | 254 | 937 | 127 | 270 | |
| A | F16 | 5 | 1043 | 278 | 929 | 175 | 536 | 169 | 519 | 64 | 196 | |
| A | F16 | 4 | 1042 | 316 | 1025 | 228 | 549 | 148 | 526 | 66 | 227 | |
| A | F16 | 3 | 1025 | 151 | 433 | 171 | 314 | 219 | 270 | 37 | 82 | PI 1/11 |
| A | F16 | 7 | 1059 | 360 | 1907 | 211 | 755 | 141 | 672 | 50 | 185 | |
| A | F16 | 9 | 1089 | 332 | 1607 | 176 | 665 | 140 | 679 | 99 | 423 | |
| A | F16 | 10 | 1111 | 668 | 3052 | 428 | 1471 | 355 | 1512 | 85 | 275 | |
| A | F16 | 8 | 1068 | 237 | 1203 | 201 | 285 | 134 | 681 | 45 | 276 | |
| A | F16 | 8 | 1120 | 63 | 344 | 23 | 100 | 29 | 104 | 5 | 12 | |
| A | F16 | 16 | 1190 | 35 | 361 | 30 | 218 | 32 | 577 | | | |
| A | F16 | 15 | 1166 | 125 | 1370 | 133 | 647 | 141 | 917 | 2 | 1 | |
| A | F16 | 16 | 1177 | 127 | 1107 | 97 | 488 | 137 | 1122 | 1 | 7 | CF 1/8 |
| A | F16 | 14 | 1160 | 122 | 1047 | 125 | 827 | 175 | 1188 | 1 | 26 | |
| A | F16 | 13 | 1152 | 225 | 2044 | 73 | 844 | 212 | 1361 | 1 | 8 | |
| A | F16 | 11 | 1122 | 704 | 4153 | 300 | 1265 | 476 | 2904 | 60 | 316 | |
| A | F16 | 12 | 1136 | 354 | 2578 | 227 | 1075 | 335 | 2141 | 9 | 78 | PI 1/3 |
| B | F17 | 7 | 5203 | 55 | 1543 | 9 | 153 | 80 | 1850 | | | |

| | | | | Café Gruesa | | Anaranjada | | Gris | | Gris/ Anaranjada | | Otra Pasta* |
|---|---|---|---|---|---|---|---|---|---|---|---|---|
| **Op.** | **Unidad** | **Lote** | **#FS** | **Total** | **Peso** | **Total** | **Peso** | **Total** | **Peso** | **Total** | **Peso** | **Tipo Total/peso** |
| B | F17 | 8 | 5213 | 32 | 408 | 6 | 50 | 28 | 380 | | | |
| B | F17 | 5 | 5194 | 132 | 850 | 27 | 135 | 191 | 1056 | | | |
| B | F17 | 1 | 5173 | 84 | 431 | 70 | 220 | 106 | 514 | 22 | 101 | |
| B | F17 | 2 | 5184 | 48 | 294 | 19 | 62 | 35 | 185 | 7 | 17 | |
| B | F17 | 3 | 5185 | 40 | 181 | 12 | 71 | 33 | 208 | 1 | 4 | |
| B | F17 | 6 | 5201 | 47 | 737 | 4 | 24 | 11 | 123 | | | |
| B | F17 | 4 | 5189 | 10 | 233 | 2 | 18 | 9 | 180 | | | |
| A | F23 | 8 | 2840 | 64 | 462 | 45 | 301 | 86 | 666 | 2 | 27 | |
| A | F23 | 7 | 2833 | 130 | 1248 | 93 | 604 | 97 | 788 | 18 | 160 | |
| A | F23 | 9 | 2848 | 37 | 226 | 21 | 122 | 42 | 358 | 3 | 16 | |
| A | F23 | 6 | 2821 | 292 | 2287 | 173 | 1306 | 173 | 1304 | 29 | 255 | |
| A | F23 | 5 | 2809 | 175 | 1291 | 100 | 524 | 149 | 822 | 42 | 268 | |
| A | F23 | 19 | 3032 | 28 | 273 | 14 | 208 | 7 | 48 | 7 | 67 | |
| A | F23 | 11 | 2860 | 31 | 222 | 22 | 109 | 37 | 235 | 10 | 58 | |
| A | F23 | 13 | 2881 | 12 | 144 | 7 | 89 | 5 | 30 | 3 | 27 | |
| A | F23 | 10 | 2857 | 47 | 369 | 33 | 163 | 31 | 187 | 7 | 109 | |
| A | F23 | 18 | 3021 | 29 | 143 | 12 | 50 | 9 | 54 | | | |
| A | F23 | 14 | 2886 | 5 | 34 | 10 | 71 | 3 | 35 | 4 | 36 | |
| A | F23 | 15 | 2891 | 17 | 180 | 11 | 52 | 6 | 33 | 7 | 61 | |
| A | F23 | 12 | 2868 | 10 | 102 | 10 | 139 | 4 | 21 | 1 | 5 | |
| A | F23 | 17 | 3004 | 21 | 254 | 14 | 125 | 12 | 202 | 8 | 301 | |
| A | F23 | 2 | 2666 | 414 | 2725 | 217 | 1166 | 200 | 1310 | 92 | 718 | |
| A | F23 | 16 | 2897 | 37 | 366 | 13 | 85 | 5 | 61 | 9 | 93 | |
| A | F23 | 4 | 2694 | 520 | 3500 | 250 | 1524 | 301 | 1610 | 73 | 689 | |
| A | F23 | 1 | 2663 | | | 4 | 91 | | | | | |
| A | F23 | 3 | 2680 | 56 | 777 | 37 | 337 | 27 | 341 | 12 | 169 | |
| A | F24 | 11 | 2468 | 190 | 1364 | 123 | 807 | 88 | 497 | 49 | 303 | |
| A | F24 | 10 | 2457 | 149 | 974 | 93 | 440 | 60 | 312 | 26 | 216 | |
| A | F24 | 9 | 2444 | 173 | 1271 | 107 | 658 | 78 | 539 | 35 | 200 | |
| A | F24 | 12 | 2473 | 47 | 331 | 39 | 243 | 51 | 394 | 6 | 45 | |
| A | F24 | 8 | 2426 | 313 | 3092 | 196 | 1278 | 95 | 1349 | 65 | 451 | |
| A | F24 | 15 | 2605 | 82 | 561 | 39 | 266 | 34 | 270 | 15 | 119 | |
| A | F24 | 17 | 2623 | 91 | 650 | 53 | 249 | 45 | 248 | 21 | 137 | PI 1/4 |
| A | F24 | 13 | 2486 | 186 | 1287 | 179 | 907 | 117 | 662 | 25 | 189 | |
| A | F24 | 14 | 2491 | 96 | 732 | 55 | 299 | 42 | 215 | 27 | 127 | |
| A | F24 | 6 | 2284 | 72 | 730 | 45 | 352 | 40 | 414 | 11 | 222 | |
| A | F24 | 16 | 2613 | 24 | 312 | 21 | 124 | 22 | 165 | 14 | 88 | |

| | | | | Café Gruesa | | Anaranjada | | Gris | | Gris/ Anaranjada | | Otra Pasta* |
|---|---|---|---|---|---|---|---|---|---|---|---|---|
| **Op.** | **Unidad** | **Lote** | **#FS** | **Total** | **Peso** | **Total** | **Peso** | **Total** | **Peso** | **Total** | **Peso** | **Tipo Total/peso** |
| A | F24 | 18 | 2631 | 32 | 154 | 20 | 71 | 25 | 88 | 2 | 5 | |
| A | F24 | 5 | 2271 | 85 | 863 | 23 | 225 | 40 | 288 | 15 | 100 | |
| A | F24 | 2 | 2339 | 144 | 1049 | 83 | 403 | 59 | 651 | 34 | 194 | |
| A | F24 | 4 | 2258 | 173 | 1848 | 74 | 481 | 60 | 456 | 53 | 425 | |
| A | F24 | 7 | 2411 | 86 | 854 | 50 | 380 | 56 | 568 | 26 | 183 | |
| A | F24 | 20 | 2654 | 26 | 190 | 17 | 95 | 19 | 132 | 3 | 8 | |
| A | F24 | 3 | 2247 | 149 | 1116 | 76 | 441 | 58 | 345 | 31 | 196 | |
| A | F24 | 19 | 2644 | 11 | 81 | 3 | 8 | 2 | 15 | 4 | 26 | |
| B | FF38 | 4 | 8351 | 59 | 339 | 55 | 486 | 29 | 240 | 17 | 105 | |
| B | FF38 | 2 | 8332 | 60 | 612 | 71 | 468 | 49 | 317 | 27 | 177 | |
| B | FF38 | 1 | 8329 | 20 | 186 | 16 | 96 | 11 | 80 | 8 | 21 | |
| B | FF38 | 7 | 8363 | 63 | 565 | 65 | 387 | 63 | 479 | 11 | 37 | |
| B | FF38 | 3 | 8342 | 113 | 911 | 76 | 580 | 54 | 405 | 52 | 324 | |
| B | FF38 | 13 | 8414 | 292 | 2454 | 65 | 345 | 320 | 2715 | | | |
| B | FF38 | 9 | 8375 | 63 | 519 | 71 | 353 | 80 | 649 | 18 | 69 | |
| B | FF38 | 5 | 8357 | 34 | 541 | 31 | 235 | 35 | 247 | 11 | 115 | |
| B | FF38 | 8 | 8369 | 56 | 586 | 56 | 315 | 34 | 248 | 14 | 62 | |
| B | FF38 | 10 | 8390 | 59 | 411 | 44 | 209 | 89 | 844 | 1 | 4 | |
| B | FF38 | 12 | 8407 | 286 | 2084 | 85 | 450 | 395 | 3368 | | | |
| B | FF38 | 11 | 8401 | 123 | 936 | 54 | 292 | 128 | 1128 | 1 | 1 | |
| B | G17 | 8 | 5094 | 37 | 345 | 5 | 41 | 24 | 176 | | | |
| B | G17 | 6 | 5088 | 42 | 271 | 1 | 3 | 42 | 242 | | | |
| B | G17 | 7 | 5089 | 37 | 271 | 3 | 11 | 35 | 141 | | | |
| B | G17 | 5 | 5085 | 12 | 105 | | | 14 | 96 | | | |
| B | G17 | 1 | 5072 | 86 | 490 | 55 | 197 | 74 | 351 | 13 | 48 | |
| B | G17 | 5 | 5081 | 9 | 105 | 1 | 9 | 16 | 127 | | | |
| B | G17 | 3 | 5077 | 7 | 85 | 3 | 20 | 8 | 94 | | | |
| B | G17 | 2 | 5074 | 40 | 276 | 18 | 88 | 34 | 261 | 3 | 6 | |
| B | GG34 | 1 | 8748 | 113 | 1091 | 65 | 413 | 57 | 377 | 32 | 204 | |
| B | GG34 | 4 | 8786 | 35 | 347 | 31 | 302 | 48 | 304 | 5 | 44 | |
| B | GG34 | 5 | 8800 | 43 | 571 | 68 | 513 | 63 | 635 | | | |
| B | GG34 | 8 | 8883 | 33 | 196 | 31 | 135 | 53 | 549 | 1 | 3 | |
| B | GG34 | 3 | 8772 | 46 | 403 | 79 | 554 | 53 | 422 | 25 | 229 | |
| B | GG34 | 2 | 8753 | 63 | 518 | 68 | 406 | 39 | 288 | 44 | 217 | |
| B | GG34 | 6 | 8804 | 108 | 1257 | 108 | 862 | 68 | 814 | 1 | 2 | |
| B | GG34 | 7 | 8869 | 117 | 1284 | 196 | 1339 | 189 | 1898 | | | |
| B | GG35 | 6 | 8968 | 86 | 1217 | 109 | 869 | 88 | 1202 | 30 | 467 | |

| | | | | Café Gruesa | | Anaranjada | | Gris | | Gris/ Anaranjada | | Otra Pasta* |
|---|---|---|---|---|---|---|---|---|---|---|---|---|
| **Op.** | **Unidad** | **Lote** | **#FS** | **Total** | **Peso** | **Total** | **Peso** | **Total** | **Peso** | **Total** | **Peso** | **Tipo Total/peso** |
| B | GG35 | 3 | 8930 | 9 | 104 | 18 | 121 | 19 | 175 | 16 | 76 | |
| B | GG35 | 5 | 8954 | 72 | 819 | 56 | 330 | 89 | 816 | 2 | 18 | |
| B | GG35 | 4 | 8950 | 30 | 318 | 57 | 478 | 70 | 744 | 1 | 10 | |
| B | GG35 | 2 | 8924 | 30 | 246 | 18 | 140 | 9 | 52 | 11 | 62 | |
| B | H10 | 9 | 5033 | 22 | 144 | 1 | 3 | 13 | 73 | | | |
| B | H10 | 10 | 5036 | 83 | 356 | 3 | 14 | 36 | 222 | | | |
| B | H10 | 8 | 5023 | 20 | 194 | 1 | 2 | 32 | 162 | | | |
| B | H10 | 8 | 5029 | | | 3 | 7 | | | 1 | 3 | |
| B | H10 | 3 | 5012 | 37 | 224 | 24 | 116 | 17 | 67 | 2 | 5 | |
| B | H10 | 2 | 5009 | 193 | 1169 | 95 | 324 | 76 | 292 | 38 | 108 | |
| B | H10 | 1 | 5007 | 30 | 122 | 39 | 90 | 32 | 128 | 10 | 21 | |
| B | H10 | 5 | 5017 | 4 | 49 | 2 | 18 | 11 | 89 | | | |
| B | H10 | 4 | 5014 | 7 | 31 | 6 | 31 | 8 | 45 | 1 | 11 | |
| B | H10 | 6 | 5019 | 6 | 37 | 5 | 15 | 11 | 50 | | | |
| B | H10 | 11 | 5048 | 68 | 349 | 13 | 33 | 53 | 160 | | | |
| B | H10 | 12 | 5051 | 38 | 262 | 8 | 30 | 46 | 360 | | | |
| B | H12 | 4 | 5166 | 91 | 515 | 9 | 58 | 88 | 420 | 1 | 1 | |
| B | H12 | 2 | 5154 | 45 | 394 | 14 | 64 | 45 | 375 | 4 | 18 | |
| B | H12 | 3 | 5161 | 68 | 723 | 15 | 76 | 47 | 299 | | | |
| B | H12 | 1 | 5151 | 80 | 561 | 46 | 231 | 93 | 472 | 12 | 26 | |
| B | H12 | 6 | 5176 | 29 | 301 | 4 | 7 | 40 | 199 | | | |
| B | H12 | 5 | 5172 | 50 | 267 | 11 | 35 | 69 | 227 | | | |
| B | H12 | Limpieza | 5177 | 17 | 74 | 6 | 23 | 8 | 98 | 3 | 9 | |
| B | H13 | 4 | 5064 | 36 | 162 | 15 | 63 | 37 | 381 | | | |
| B | H13 | 3 | 5059 | 13 | 173 | 7 | 43 | 30 | 314 | | | |
| B | H13 | 2 | 5056 | 28 | 302 | 7 | 27 | 28 | 241 | | | |
| B | H13 | 8 | 5078 | 40 | 470 | 11 | 68 | 25 | 241 | | | |
| B | H13 | 5 | 5066 | 38 | 262 | 5 | 17 | 38 | 211 | | | |
| B | H13 | 7 | 5073 | 52 | 458 | 7 | 31 | 40 | 222 | | | |
| B | H13 | 1 | 5053 | 74 | 502 | 45 | 210 | 69 | 353 | 29 | 115 | |
| B | H13 | 6 | 5069 | 33 | 166 | 8 | 59 | 43 | 269 | | | |
| B | H14 | 1 | 5257 | 15 | 121 | 20 | 145 | 34 | 214 | 10 | 54 | |
| B | H16 | 6 | 5174 | 46 | 441 | 7 | 32 | 33 | 212 | | | |
| B | H16 | 7 | 5182 | 19 | 193 | 2 | 6 | 19 | 168 | | | |
| B | H16 | 5 | 5165 | 46 | 952 | 9 | 29 | 58 | 527 | | | |
| B | H16 | 1 | 5142 | 9 | 78 | 3 | 11 | 28 | 192 | 5 | 14 | |
| B | H16 | 2 | 5149 | 27 | 276 | 11 | 60 | 25 | 182 | 5 | 14 | |

| | | | | Café Gruesa | | Anaranjada | | Gris | | Gris/ Anaranjada | | Otra Pasta* |
|---|---|---|---|---|---|---|---|---|---|---|---|---|
| **Op.** | **Unidad** | **Lote** | **#FS** | **Total** | **Peso** | **Total** | **Peso** | **Total** | **Peso** | **Total** | **Peso** | **Tipo Total/peso** |
| B | H16 | 3 | 5155 | 17 | 138 | 3 | 25 | 27 | 199 | 2 | 6 | |
| B | H16 | 4 | 5162 | 14 | 102 | 4 | 27 | 18 | 111 | | | |
| B | H18 | 1 | 5223 | 85 | 448 | 32 | 97 | 73 | 255 | 8 | 35 | |
| B | H18 | 2 | 5229 | 136 | 647 | 65 | 159 | 117 | 398 | 23 | 57 | |
| B | H18 | 3 | 5236 | 23 | 191 | 10 | 39 | 13 | 100 | 3 | 17 | |
| B | H19 | 3 | 5099 | 9 | 52 | 4 | 12 | 14 | 69 | | | |
| B | H19 | 4 | 5102 | 7 | 29 | 6 | 19 | 4 | 22 | | | |
| B | H19 | 1 | 5084 | 21 | 158 | 11 | 34 | 23 | 167 | 2 | 11 | |
| B | H19 | 2 | 5091 | 32 | 198 | 15 | 48 | 53 | 275 | 6 | 11 | |
| B | H20 | 2 | 5255 | 56 | 375 | 37 | 128 | 40 | 183 | 9 | 35 | |
| B | H20 | 1 | 5248 | 133 | 1026 | 64 | 222 | 97 | 542 | 19 | 94 | |
| B | H21 | 3 | 5133 | 146 | 838 | 50 | 255 | 36 | 208 | 19 | 81 | |
| B | H21 | 2 | 5131 | 105 | 1332 | 95 | 486 | 71 | 398 | 39 | 212 | |
| B | H21 | 1 | 5124 | 123 | 845 | 54 | 231 | 97 | 550 | 16 | 51 | |
| B | H21 | 5 | 5145 | 83 | 494 | 24 | 197 | 32 | 185 | 13 | 71 | |
| B | H21 | 5 | 5146 | 24 | 126 | 2 | 2 | 13 | 44 | 1 | 2 | |
| B | H22 | 1 | 5103 | 45 | 337 | 34 | 159 | 50 | 452 | 10 | 38 | |
| B | H22 | 3 | 5112 | 214 | 1334 | 51 | 195 | 36 | 203 | 26 | 90 | |
| B | H22 | 2 | 5139 | 324 | 1966 | 145 | 780 | 102 | 603 | 46 | 242 | |
| B | H22 | 4 | 5119 | 78 | 354 | 15 | 99 | 17 | 74 | 10 | 52 | |
| B | H22 | 5 | 5123 | 11 | 69 | | | 9 | 30 | | | |
| B | HH34 | 2 | 9009 | 79 | 1679 | 120 | 800 | 63 | 473 | 59 | 417 | |
| B | HH34 | 3 | 9027 | 76 | 770 | 97 | 668 | 110 | 967 | 11 | 77 | |
| B | HH34 | 5 | 9046 | 59 | 578 | 68 | 398 | 42 | 292 | | | |
| B | HH34 | 4 | 9033 | 67 | 889 | 64 | 438 | 88 | 808 | | | |
| B | HH35 | 4 | 8688 | 81 | 914 | 110 | 740 | 97 | 810 | 2 | 20 | |
| B | HH35 | 2 | 8668 | 151 | 1374 | 53 | 985 | 69 | 720 | 64 | 453 | |
| B | HH35 | 5 | 8717 | 146 | 1093 | 167 | 938 | 137 | 1000 | 3 | 11 | |
| B | HH35 | 3 | 8682 | 20 | 161 | 13 | 56 | 6 | 44 | 14 | 58 | |
| B | HH37 | 3 | 9882 | 33 | 986 | 41 | 371 | 32 | 415 | | | |
| B | HH37 | 4 | 9900 | 167 | 2340 | 142 | 1198 | 117 | 3186 | | | PI 6/36 |
| B | HH37 | 5 | 9944 | 1585 | 18945 | 765 | 5534 | 1372 | 15051 | | | |
| B | HH37 | 5 | 9936 | 623 | 5118 | 353 | 1728 | 647 | 5001 | | | |
| B | HH37 | 5 | 9946 | 36 | 313 | 1 | 5 | 3 | 34 | | | |
| B | HH39 | 7 | 8979 | 498 | 5429 | 179 | 1497 | 782 | 7844 | 2 | 9 | |
| B | HH39 | 5 | 8891 | 60 | 548 | 50 | 266 | 70 | 709 | | | |
| B | HH39 | 7 | 8932 | 432 | 3779 | 222 | 1537 | 687 | 7541 | | | |

| | | | | Café Gruesa | | Anaranjada | | Gris | | Gris/ Anaranjada | | Otra Pasta* |
|---|---|---|---|---|---|---|---|---|---|---|---|---|
| **Op.** | **Unidad** | **Lote** | **#FS** | **Total** | **Peso** | **Total** | **Peso** | **Total** | **Peso** | **Total** | **Peso** | **Tipo Total/peso** |
| B | HH39 | 3 | 8859 | 41 | 298 | 43 | 203 | 74 | 465 | 3 | 8 | |
| B | HH39 | 6 | 8909 | 119 | 1053 | 80 | 502 | 151 | 1436 | | | |
| B | HH39 | 2 | 8774 | 40 | 1241 | 114 | 752 | 61 | 399 | 44 | 235 | |
| B | HH39 | 1 | 8762 | 104 | 629 | 72 | 351 | 74 | 450 | 54 | 283 | |
| B | HH39 | 4 | 8878 | 132 | 1085 | 118 | 634 | 120 | 706 | 2 | 8 | |
| B | HH39 | 7 | 8980 | 6 | 97 | | | | | | | |
| B | HH39 | 7 | 8936 | 5 | 28 | | | | | | | |
| A | I15 | 2 | 1460 | 20 | 45 | 9 | 23 | 10 | 11 | 5 | 9 | |
| A | I15 | 5 | 1487 | 14 | 156 | 14 | 66 | 8 | 61 | 8 | 45 | |
| A | I15 | 4 | 1481 | 22 | 35 | 13 | 25 | 16 | 40 | 4 | 12 | |
| A | I15 | 1 | 1453 | 7 | 45 | 11 | 28 | 14 | 42 | 6 | 16 | |
| A | I15 | 7 | 1508 | 18 | 160 | 4 | 33 | 13 | 105 | 9 | 83 | |
| A | I15 | 3 | 1470 | 36 | 113 | 12 | 36 | 33 | 76 | 6 | 10 | |
| A | I15 | 6 | 1500 | 9 | 83 | 2 | 12 | 10 | 80 | 3 | 8 | |
| A | I16 | 1 | 1006 | 160 | 497 | 84 | 195 | 73 | 188 | 28 | 74 | |
| A | I16 | 4 | 1048 | 96 | 555 | 91 | 232 | 71 | 220 | 38 | 104 | |
| A | I16 | 2 | 1015 | 48 | 186 | 39 | 147 | 25 | 90 | 6 | 32 | |
| A | I16 | 5 | 1057 | 118 | 480 | 65 | 198 | 47 | 146 | 32 | 75 | |
| A | I16 | 6 | 1062 | 37 | 182 | 18 | 79 | 27 | 127 | 4 | 16 | |
| A | I16 | 10 | 1108 | 90 | 436 | 45 | 191 | 27 | 126 | 12 | 47 | |
| A | I16 | 7 | 1074 | 85 | 293 | 44 | 155 | 60 | 186 | 6 | 19 | |
| A | I16 | 9 | 1094 | 102 | 649 | 57 | 209 | 56 | 207 | 5 | 12 | |
| A | I16 | 12 | 1142 | 150 | 957 | 124 | 622 | 156 | 1034 | 18 | 95 | |
| A | I16 | 11 | 1119 | 145 | 942 | 101 | 594 | 132 | 727 | 11 | 63 | |
| A | I16 | 13 | 3801 | 150 | 1445 | 188 | 1291 | 183 | 1692 | 50 | 279 | |
| A | I16 | 15 | 3816 | 57 | 535 | 56 | 381 | 44 | 376 | 1 | 5 | |
| A | I16 | 17 | 3860 | 34 | 437 | 52 | 626 | 59 | 1044 | | | |
| A | I16 | 16 | 3823 | 49 | 529 | 59 | 657 | 52 | 863 | | | |
| A | I16 | 14 | 3807 | 22 | 406 | 15 | 132 | 20 | 221 | 5 | 36 | |
| A | I16 | 18 | 3863 | 25 | 395 | 59 | 661 | 65 | 1236 | | | |
| A | I17 | 4 | 1626 | 32 | 266 | 21 | 106 | 27 | 313 | 13 | 86 | |
| A | I17 | 2 | 1594 | 43 | 211 | 27 | 168 | 18 | 112 | 9 | 56 | |
| A | I17 | 3 | 1606 | 40 | 422 | 41 | 248 | 38 | 304 | 7 | 24 | |
| B | I17 | 6 | 5230 | 22 | 188 | 4 | 20 | 21 | 137 | 3 | 7 | |
| B | I17 | 1 | 5188 | 32 | 155 | 18 | 82 | 45 | 333 | 17 | 95 | |
| B | I17 | 9 | 5246 | 13 | 112 | 3 | 14 | 11 | 68 | 2 | 135 | |
| B | I17 | 2 | 5199 | 28 | 260 | 25 | 131 | 38 | 276 | 12 | 89 | |

| | | | | Café Gruesa | | Anaranjada | | Gris | | Gris/ Anaranjada | | Otra Pasta* |
|---|---|---|---|---|---|---|---|---|---|---|---|---|
| **Op.** | **Unidad** | **Lote** | **#FS** | **Total** | **Peso** | **Total** | **Peso** | **Total** | **Peso** | **Total** | **Peso** | **Tipo Total/peso** |
| B | I17 | 7 | 5237 | 9 | 92 | 1 | 16 | 7 | 38 | | | |
| B | I17 | 5 | 5222 | 8 | 88 | | | 6 | 41 | | | |
| B | I17 | 3 | 5208 | 51 | 442 | 23 | 119 | 26 | 156 | 17 | 83 | |
| B | I17 | 4 | 5214 | 28 | 324 | 8 | 23 | 24 | 166 | 14 | 96 | |
| B | I17 | 8 | 5243 | 7 | 78 | 1 | 2 | 19 | 135 | 2 | 13 | |
| A | I17 | 1 | 1583 | 10 | 64 | 15 | 103 | 14 | 91 | 1 | 5 | |
| A | I17 | 15 | 2297 | 46 | 753 | 61 | 668 | 89 | 1211 | | | |
| A | I19 | 1 | 1679 | 78 | 864 | 45 | 302 | 64 | 461 | 22 | 136 | |
| A | I19 | 2 | 2062 | 69 | 448 | 40 | 139 | 47 | 214 | 16 | 112 | |
| A | I19 | 4 | 2080 | 45 | 231 | 51 | 205 | 50 | 206 | 9 | 80 | |
| A | I19 | 3 | 2073 | 58 | 337 | 24 | 102 | 33 | 149 | 11 | 43 | |
| A | I19 | 5 | 3232 | 67 | 704 | 35 | 187 | 45 | 277 | 18 | 96 | |
| A | I19 | 7 | 2745 | 38 | 433 | 20 | 220 | 14 | 86 | 3 | 80 | PI 1/5 |
| A | I19 | 6 | 2730 | 17 | 284 | 21 | 219 | 15 | 189 | 8 | 64 | |
| A | I19 | 8 | 2939 | 57 | 556 | 53 | 466 | 35 | 405 | 18 | 171 | |
| A | I19 | 9 | 2951 | 127 | 1302 | 104 | 1032 | 70 | 1043 | 20 | 224 | |
| A | I20 | 2 | 2025 | 180 | 1418 | 113 | 476 | 91 | 527 | 36 | 200 | |
| A | I20 | 4 | 2054 | 105 | 628 | 61 | 293 | 81 | 513 | 32 | 155 | |
| A | I20 | 3 | 2039 | 137 | 1002 | 86 | 341 | 123 | 597 | 32 | 164 | |
| A | I20 | 5 | 3641 | 21 | 286 | 14 | 78 | 24 | 226 | 9 | 76 | |
| A | I21 | 5 | 1881 | 103 | 891 | 45 | 332 | 56 | 491 | 17 | 177 | |
| A | I21 | 4 | 1878 | 24 | 183 | 9 | 77 | 17 | 50 | 13 | 71 | |
| A | I21 | 2 | 1696 | 288 | 1598 | 186 | 664 | 141 | 631 | 54 | 252 | |
| A | I21 | 3 | 1809 | 164 | 1058 | 98 | 529 | 129 | 709 | 32 | 169 | |
| A | I21 | 1 | 1689 | 27 | 168 | 20 | 104 | 25 | 112 | 13 | 52 | |
| A | I22 | 5 | 3330 | 112 | 1186 | 24 | 227 | 64 | 461 | 20 | 186 | |
| A | I22 | 3 | 3307 | 105 | 1826 | 77 | 870 | 58 | 811 | 41 | 601 | |
| A | I22 | 4 | 3324 | 61 | 996 | 41 | 605 | 48 | 848 | 21 | 317 | |
| A | I22 | 2 | 3300 | 55 | 832 | 48 | 403 | 52 | 572 | 20 | 155 | |
| A | I22 | 6 | 3335 | 101 | 1072 | 40 | 351 | 71 | 678 | 10 | 146 | |
| A | I22 | 7 | 3340 | 96 | 1167 | 63 | 607 | 88 | 1218 | 35 | 304 | |
| A | I23 | 2 | 1827 | 114 | 1243 | 68 | 478 | 77 | 572 | 19 | 198 | |
| A | I23 | 5 | 2032 | 50 | 370 | 45 | 241 | 35 | 218 | 16 | 87 | |
| A | I23 | 3 | 1837 | 71 | 170 | 44 | 207 | 53 | 535 | 10 | 37 | |
| A | I23 | 1 | 1820 | 158 | 1448 | 100 | 695 | 89 | 1041 | 33 | 226 | |
| A | I24 | 1 | 2768 | 68 | 1066 | 48 | 350 | 54 | 437 | 24 | 200 | |
| A | I24 | 2 | 3902 | 149 | 1797 | 114 | 1060 | 116 | 1150 | 44 | 400 | |

| | | | | Café Gruesa | | Anaranjada | | Gris | | Gris/ Anaranjada | | Otra Pasta* |
|---|---|---|---|---|---|---|---|---|---|---|---|---|
| **Op.** | **Unidad** | **Lote** | **#FS** | **Total** | **Peso** | **Total** | **Peso** | **Total** | **Peso** | **Total** | **Peso** | **Tipo Total/peso** |
| B | II34 | 2 | 9230 | 105 | 1708 | 64 | 540 | 49 | 512 | 50 | 392 | |
| B | II34 | 3 | 9241 | 80 | 1048 | 82 | 769 | 80 | 1042 | 21 | 123 | |
| B | II34 | 4 | 9280 | 49 | 371 | 52 | 177 | 39 | 212 | | | |
| B | II35 | 3 | 9085 | 74 | 660 | 98 | 604 | 120 | 904 | 18 | 84 | |
| B | II35 | 2 | 9064 | 195 | 1490 | 146 | 953 | 64 | 593 | 94 | 542 | |
| B | II35 | 5 | 9138 | 87 | 1060 | 90 | 121 | 76 | 82 | | | |
| B | II35 | 4 | 9107 | 62 | 674 | 71 | 401 | 62 | 566 | | | |
| B | II36 | 5 | 8637 | 135 | 1974 | 140 | 905 | 126 | 1072 | 1 | 2 | |
| B | II36 | 3 | 8602 | 130 | 1002 | 115 | 764 | 134 | 910 | 17 | 87 | |
| B | II36 | 4 | 8611 | 67 | 569 | 86 | 573 | 110 | 648 | | | |
| B | II37 | 3 | 9229 | 71 | 759 | 94 | 702 | 62 | 569 | 60 | 345 | |
| B | II37 | 2 | 9202 | 81 | 787 | 85 | 611 | 50 | 517 | 32 | 187 | |
| B | II37 | 2 | 9202 | 154 | 1323 | 137 | 679 | 140 | 834 | 36 | 189 | |
| B | II37 | 4 | 9232 | 155 | 1307 | 133 | 752 | 122 | 1122 | 12 | 42 | |
| B | II37 | 5 | 9249 | 176 | 1534 | 169 | 758 | 180 | 1224 | 5 | 22 | |
| B | II37 | 6 | 9274 | 147 | 1944 | 166 | 1111 | 123 | 1208 | | | |
| B | II38 | 10 | 8262 | 218 | 2436 | 153 | 1148 | 159 | 1686 | | | CF 1/142 |
| B | II38 | 11 | 8281 | 316 | 3793 | 172 | 1112 | 301 | 5311 | | | |
| B | II38 | 2 | 8205 | 73 | 1334 | 88 | 448 | 105 | 602 | 37 | 173 | |
| B | II38 | 3 | 8222 | 114 | 900 | 84 | 455 | 159 | 466 | 52 | 260 | |
| B | II38 | 7 | 8245 | 26 | 323 | 30 | 197 | 31 | 59 | | | |
| B | II38 | 5 | 8234 | 40 | 336 | 52 | 539 | 76 | 584 | | | |
| B | II38 | 4 | 8232 | 31 | 155 | 36 | 176 | 37 | 134 | 16 | 52 | |
| B | II38 | 6 | 8239 | 35 | 299 | 38 | 192 | 46 | 356 | 1 | 2 | |
| B | II38 | 8 | 8246 | 50 | 511 | 51 | 291 | 65 | 782 | | | |
| B | II38 | 9 | 8258 | 88 | 1456 | 56 | 540 | 56 | 874 | | | |
| B | II38 | 12 | 8309 | 17 | 700 | 17 | 232 | 30 | 3074 | | | |
| B | II38 | 12 | 8311 | 289 | 3977 | 203 | 1147 | 407 | 5348 | 2 | 13 | |
| B | II38 | 13 | 8320 | 135 | 1562 | 73 | 492 | 286 | 2748 | 1 | 12 | |
| B | II39 | 2 | 9394 | 146 | 1235 | 89 | 671 | 48 | 389 | 72 | 335 | |
| B | II39 | 3 | 9407 | 57 | 617 | 48 | 320 | 41 | 354 | 21 | 200 | |
| B | II39 | 6 | 9585 | 266 | 3600 | 203 | 1294 | 385 | 4276 | | | |
| B | II39 | 5 | 9442 | 189 | 1807 | 136 | 841 | 197 | 2031 | | | |
| B | II39 | 7 | 9639 | 382 | 4351 | 183 | 1489 | 508 | 6157 | | | |
| B | II39 | 4 | 9427 | 163 | 1518 | 52 | 851 | 147 | 980 | 8 | 38 | |
| B | II40 | 2 | 8501 | 38 | 831 | 148 | 631 | 99 | 400 | | | |
| B | II42 | 2 | 8616 | 82 | 691 | 66 | 398 | 59 | 543 | 19 | 134 | |

| | | | | Café Gruesa | | Anaranjada | | Gris | | Gris/ Anaranjada | | Otra Pasta* |
|---|---|---|---|---|---|---|---|---|---|---|---|---|
| **Op.** | **Unidad** | **Lote** | **#FS** | **Total** | **Peso** | **Total** | **Peso** | **Total** | **Peso** | **Total** | **Peso** | **Tipo Total/peso** |
| A | J13 | 4 | 2300 | 79 | 550 | 75 | 390 | 80 | 775 | | | |
| A | J13 | 3 | 2288 | 168 | 1488 | 133 | 613 | 181 | 1137 | 11 | 58 | |
| A | J13 | 5 | 2651 | 60 | 373 | 26 | 202 | 55 | 264 | | | |
| A | J13 | 5 | 2651 | 40 | 208 | 36 | 150 | 40 | 309 | | | |
| A | J13 | 6 | 2661 | 47 | 404 | 23 | 89 | 43 | 197 | | | |
| A | J13 | 2 | 2275 | 228 | 1993 | 174 | 1072 | 196 | 1526 | 37 | 244 | |
| B | J17 | 2 | 5093 | 54 | 1089 | 82 | 365 | 71 | 379 | 22 | 108 | |
| B | J17 | 4 | 5107 | 29 | 290 | 12 | 50 | 16 | 99 | 7 | 28 | |
| B | J17 | 1 | 5087 | 146 | 785 | 54 | 213 | 118 | 554 | 30 | 97 | |
| B | J17 | 3 | 5100 | 25 | 139 | 15 | 72 | 20 | 129 | 4 | 10 | |
| B | J17 | 5 | 5113 | 55 | 426 | 8 | 27 | 44 | 269 | 4 | 45 | |
| B | J17 | 6 | 5120 | 46 | 444 | 13 | 47 | 39 | 231 | | | |
| A | J17 | 3 | 2075 | 64 | 612 | 43 | 194 | 87 | 513 | 6 | 51 | |
| A | J17 | 4 | 2082 | 60 | 689 | 43 | 279 | 54 | 515 | 13 | 128 | |
| A | J17 | 2 | 2068 | 113 | 804 | 92 | 639 | 122 | 931 | 30 | 198 | |
| B | J17 | 7 | 5127 | 34 | 256 | 9 | 55 | 62 | 474 | 7 | 41 | |
| B | J17 | 8 | 5131 | 16 | 167 | 5 | 23 | 28 | 243 | | | |
| A | J17 | 14 | 2287 | 73 | 1326 | 43 | 346 | 56 | 738 | | | |
| A | J17 | 13 | 2282 | 53 | 892 | 42 | 696 | 37 | 530 | | | |
| A | J17 | 16 | 2402 | 40 | 843 | 53 | 497 | 62 | 893 | | | |
| A | J17 | 9 | 2224 | 74 | 1203 | 62 | 595 | 72 | 824 | 13 | 123 | |
| A | J17 | 12 | 2268 | 47 | 679 | 36 | 472 | 65 | 1248 | 9 | 116 | |
| A | J17 | 8 | 2214 | 114 | 1197 | 71 | 519 | 116 | 1119 | 25 | 207 | |
| A | J17 | 10 | 2232 | 126 | 1209 | 86 | 501 | 110 | 1199 | 20 | 197 | |
| A | J17 | 7 | 2204 | 153 | 1393 | 92 | 607 | 156 | 1596 | 16 | 169 | |
| A | J17 | 5 | 2085 | 99 | 662 | 61 | 367 | 73 | 463 | 11 | 70 | |
| A | J17 | 6 | 2093 | 123 | 1186 | 77 | 632 | 121 | 1032 | 20 | 161 | |
| A | J17 | 11 | 2243 | 114 | 2221 | 63 | 654 | 100 | 1231 | 33 | 571 | |
| A | J19 | 3 | 2824 | 128 | 1236 | 81 | 372 | 132 | 775 | 15 | 112 | |
| A | J19 | 4 | 2839 | 126 | 848 | 63 | 242 | 91 | 471 | 11 | 75 | |
| A | J19 | 2 | 2816 | 64 | 480 | 52 | 277 | 55 | 286 | 15 | 124 | |
| A | J19 | 8 | 3217 | 144 | 1547 | 123 | 880 | 178 | 2135 | 24 | 166 | |
| A | J19 | 6 | 2851 | 106 | 843 | 84 | 450 | 114 | 1036 | 21 | 116 | |
| A | J19 | 5 | 2847 | 116 | 871 | 69 | 405 | 99 | 581 | 15 | 88 | |
| A | J19 | 7 | 3062 | 69 | 1128 | 37 | 401 | 91 | 1123 | 16 | 176 | |
| A | J19 | 9 | 3102 | 201 | 2184 | 172 | 1419 | 234 | 2478 | 22 | 241 | |
| A | J19 | 10 | 3124 | 362 | 2958 | 200 | 1840 | 251 | 2595 | 32 | 433 | |

| | | | | Café Gruesa | | Anaranjada | | Gris | | Gris/ Anaranjada | | Otra Pasta* |
|---|---|---|---|---|---|---|---|---|---|---|---|---|
| **Op.** | **Unidad** | **Lote** | **#FS** | **Total** | **Peso** | **Total** | **Peso** | **Total** | **Peso** | **Total** | **Peso** | **Tipo Total/peso** |
| A | J20 | 2 | 2803 | 85 | 680 | 47 | 197 | 65 | 500 | 12 | 55 | |
| A | J21 | 2 | 3011 | 70 | 656 | 25 | 158 | 57 | 465 | 13 | 121 | |
| A | J21 | 2 | 3011 | 6 | 54 | 4 | 175 | 6 | 62 | 1 | 4 | |
| A | J22 | 4 | 2884 | 64 | 513 | 19 | 109 | 45 | 316 | 7 | 30 | |
| A | J22 | 3 | 2879 | 73 | 718 | 38 | 171 | 47 | 319 | 17 | 41 | |
| A | J22 | 2 | 2872 | 94 | 614 | 36 | 105 | 63 | 264 | 13 | 114 | |
| A | J22 | 5 | 2894 | 33 | 233 | 13 | 76 | 29 | 127 | 3 | 8 | |
| A | J22 | 6 | 3001 | 39 | 259 | 15 | 69 | 21 | 104 | 11 | 190 | |
| A | J22 | 7 | 2726 | 30 | 280 | 12 | 62 | 19 | 248 | 9 | 41 | |
| A | J22 | 8 | 2742 | 22 | 260 | 18 | 91 | 18 | 187 | 8 | 41 | |
| A | J22 | 9 | 3785 | 420 | 2425 | 267 | 1587 | 327 | 2228 | 48 | 371 | |
| A | J22 | 12 | 3842 | 180 | 1430 | 99 | 644 | 137 | 991 | 11 | 65 | |
| A | J22 | 10 | 3824 | 54 | 1220 | 97 | 577 | 60 | 1267 | 45 | 371 | |
| A | J22 | 11 | 3832 | 139 | 1255 | 83 | 542 | 128 | 1469 | 14 | 103 | |
| A | J22 | 13 | 3857 | 212 | 2088 | 118 | 552 | 152 | 2091 | 8 | 109 | |
| A | J23 | 2 | 1899 | 169 | 940 | 68 | 193 | 99 | 613 | 21 | 87 | |
| A | J23 | 1 | 1887 | 187 | 715 | 95 | 275 | 18 | 384 | 24 | 60 | |
| A | J23 | 3 | 2009 | 76 | 728 | 62 | 294 | 56 | 235 | 28 | 65 | |
| A | J23 | 4 | 2023 | 44 | 187 | 13 | 67 | 17 | 78 | 3 | 9 | |
| A | J24 | 1 | 3906 | 56 | 568 | 38 | 236 | 48 | 305 | 9 | 89 | |
| B | JJ34 | 7 | 9206 | 131 | 1951 | 74 | 628 | 49 | 669 | | | |
| B | JJ34 | 4 | 9172 | 82 | 926 | 80 | 805 | 142 | 1416 | | | |
| B | JJ34 | 5 | 9181 | 22 | 302 | 29 | 202 | 35 | 330 | | | |
| B | JJ34 | 2 | 9149 | 197 | 1441 | 45 | 1115 | 93 | 997 | 65 | 496 | |
| B | JJ34 | 6 | 9192 | 27 | 292 | 43 | 312 | 58 | 580 | | | |
| B | JJ34 | 3 | 9159 | 60 | 717 | 77 | 549 | 46 | 353 | 32 | 234 | |
| B | JJ34 | 8 | 9712 | 94 | 2338 | 72 | 619 | 98 | 1154 | | | |
| B | JJ34 | 9 | 9731 | 149 | 1681 | 139 | 902 | 177 | 1695 | | | |
| B | JJ35 | 5 | 9374 | 76 | 1136 | 69 | 474 | 45 | 645 | 1 | 4 | |
| B | JJ35 | 3 | 9325 | 41 | 654 | 36 | 243 | 63 | 814 | | | |
| B | JJ35 | 2 | 9293 | 215 | 2091 | 191 | 1423 | 80 | 934 | 92 | 515 | |
| B | JJ35 | 6 | 9761 | 43 | 560 | 47 | 402 | 39 | 491 | | | |
| B | JJ35 | 7 | 9783 | 131 | 1311 | 120 | 658 | 149 | 1595 | | | |
| B | JJ35 | 8 | 9789 | 52 | 888 | 34 | 202 | 81 | 878 | | | |
| B | JJ36 | 5 | 8570 | 140 | 1982 | 221 | 1457 | 134 | 1465 | 11 | 80 | |
| B | JJ36 | 2 | 8546 | 494 | 3339 | 246 | 1313 | 224 | 1451 | 112 | 1084 | |
| B | JJ36 | 4 | 8558 | 36 | 629 | 48 | 245 | 47 | 673 | | | |

| | | | | Café Gruesa | | Anaranjada | | Gris | | Gris/ Anaranjada | | Otra Pasta* |
|---|---|---|---|---|---|---|---|---|---|---|---|---|
| **Op.** | **Unidad** | **Lote** | **#FS** | **Total** | **Peso** | **Total** | **Peso** | **Total** | **Peso** | **Total** | **Peso** | **Tipo Total/peso** |
| B | JJ36 | 8 | 9858 | 58 | 560 | 67 | 468 | 59 | 418 | 2 | 9 | PI 1/9 |
| B | JJ36 | 7 | 9843 | 24 | 416 | 21 | 214 | 48 | 611 | | | |
| B | JJ36 | 6 | 9824 | 61 | 657 | 52 | 332 | 56 | 530 | 2 | 5 | |
| B | JJ37 | 2 | 8424 | 90 | 1270 | 53 | 476 | 46 | 539 | 60 | 510 | |
| B | JJ37 | 7 | 8467 | 47 | 620 | 50 | 237 | 52 | 453 | | | |
| B | JJ37 | 3 | 8438 | 98 | 1000 | 96 | 749 | 68 | 793 | 43 | 435 | |
| B | JJ37 | 4 | 8448 | 115 | 1008 | 98 | 725 | 135 | 1069 | 20 | 72 | |
| B | JJ37 | 8 | 8480 | 91 | 948 | 164 | 1175 | 124 | 1301 | | | |
| B | JJ37 | 1 | 8420 | 16 | 172 | 22 | 114 | 15 | 69 | 10 | 50 | |
| B | JJ37 | 5 | 8459 | 74 | 837 | 58 | 414 | 99 | 1054 | 2 | 17 | |
| B | JJ37 | 6 | 8263 | 51 | 504 | 52 | 408 | 52 | 453 | | | |
| B | JJ37 | 10 | 9778 | 129 | 1534 | 87 | 569 | 166 | 1830 | | | |
| B | JJ37 | 9 | 9763 | 156 | 1819 | 110 | 903 | 159 | 2184 | | | |
| B | JJ38 | 3 | 9077 | 195 | 1584 | 186 | 105 | 238 | 1871 | 22 | 102 | |
| B | JJ38 | 4 | 9092 | 159 | 1445 | 119 | 602 | 155 | 1904 | | | |
| B | JJ38 | 5 | 9109 | 83 | 810 | 87 | 371 | 71 | 484 | | | |
| B | JJ38 | 2 | 9057 | 456 | 2897 | 215 | 1303 | 164 | 1090 | 104 | 558 | |
| B | JJ38 | 7 | 9747 | 68 | 725 | 44 | 270 | 121 | 1288 | | | |
| B | JJ38 | 6 | 9723 | 418 | 6362 | 243 | 2017 | 472 | 7463 | | | |
| B | JJ39 | 3 | 8596 | 71 | 876 | 44 | 306 | 30 | 234 | 42 | 268 | |
| B | JJ39 | 2 | 8590 | 98 | 919 | 102 | 691 | 75 | 588 | 25 | 142 | |
| B | JJ39 | 4 | 8607 | 48 | 461 | 53 | 320 | 78 | 729 | 10 | 47 | |
| B | JJ39 | 7 | 8694 | 9 | 94 | 37 | 456 | 21 | 640 | | | |
| B | JJ39 | 1 | 8656 | 1 | 263 | | | 12 | 589 | | | |
| B | JJ39 | 5 | 8623 | 56 | 818 | 110 | 749 | 153 | 1463 | 1 | 14 | |
| B | JJ39 | 7 | 8652 | 110 | 1572 | 117 | 910 | 265 | 3482 | 4 | 15 | |
| B | JJ39 | 9 | 8734 | 143 | 1946 | 111 | 954 | 285 | 3388 | | | |
| B | JJ39 | 8 | 8705 | 230 | 3157 | 190 | 1795 | 471 | 6814 | | | |
| B | JJ39 | 6 | 8643 | 39 | 621 | 34 | 258 | 74 | 1168 | | | |
| B | JJ40 | 4 | 8893 | 240 | 2477 | 98 | 755 | 270 | 3364 | | | |
| B | JJ40 | 5 | 8916 | 781 | 9088 | 242 | 1742 | 900 | 12168 | | | |
| B | JJ40 | 4 | 8522 | 262 | 2078 | 165 | 1105 | 137 | 1274 | 65 | 324 | |
| B | JJ40 | 3 | 8518 | 92 | 735 | 54 | 257 | 43 | 344 | 23 | 153 | |
| B | JJ40 | 2 | 8512 | 51 | 343 | 42 | 222 | 37 | 166 | 20 | 78 | |
| B | JJ40 | 6 | 8531 | 77 | 675 | 44 | 165 | 64 | 400 | 2 | 18 | |
| B | JJ40 | 5 | 8528 | 55 | 449 | 53 | 271 | 38 | 299 | 19 | 87 | |
| B | JJ40 | 3 | 8856 | 116 | 938 | 132 | 630 | 191 | 1368 | | | |

| | | | | Café Gruesa | | Anaranjada | | Gris | | Gris/ Anaranjada | | Otra Pasta* |
|---|---|---|---|---|---|---|---|---|---|---|---|---|
| **Op.** | **Unidad** | **Lote** | **#FS** | **Total** | **Peso** | **Total** | **Peso** | **Total** | **Peso** | **Total** | **Peso** | **Tipo Total/peso** |
| B | JJ40 | 6 | 9862 | 89 | 1186 | 34 | 259 | 147 | 2002 | | | |
| B | JJ40 | 5 | 8927 | 24 | 357 | | | 1 | >1 | | | |
| A | K15 | 2 | 1872 | 72 | 498 | 56 | 247 | 45 | 308 | 23 | 141 | |
| A | K15 | 1 | 1862 | 108 | 742 | 79 | 400 | 77 | 462 | 47 | 198 | |
| A | K17 | 16 | 2677 | 38 | 641 | 23 | 249 | 69 | 742 | | | |
| A | K17 | 4 | 2488 | 167 | 2076 | 80 | 711 | 98 | 1447 | 11 | 92 | |
| A | K17 | 5 | 2499 | 86 | 1610 | 59 | 799 | 66 | 1058 | 19 | 205 | |
| A | K17 | 7 | 2617 | 77 | 1272 | 65 | 750 | 78 | 1144 | 9 | 72 | |
| A | K17 | 3 | 2479 | 103 | 908 | 80 | 398 | 84 | 660 | 22 | 110 | |
| A | K17 | 6 | 2610 | 95 | 2004 | 64 | 718 | 101 | 1577 | 22 | 356 | |
| A | K17 | 11 | 2658 | 53 | 984 | 44 | 340 | 76 | 932 | 3 | 23 | |
| A | K17 | 17 | 2685 | 53 | 567 | 31 | 223 | 51 | 481 | | | |
| A | K17 | 8 | 2628 | 69 | 954 | 56 | 619 | 68 | 1038 | 8 | 159 | |
| A | K17 | 14 | 2670 | 60 | 723 | 32 | 221 | 56 | 501 | 2 | 25 | |
| A | K17 | 10 | 2647 | 68 | 109 | 77 | 606 | 77 | 807 | 7 | 41 | |
| A | K17 | 13 | 2665 | 68 | 765 | 47 | 442 | 73 | 770 | | | |
| A | K17 | 12 | 2664 | 40 | 546 | 46 | 541 | 53 | 870 | | | |
| A | K17 | 15 | 2674 | 42 | 782 | 44 | 819 | 46 | 835 | | | |
| A | K19 | 9 | 2633 | 55 | 865 | 41 | 419 | 59 | 798 | 1 | 15 | |
| A | K19 | 4 | 3295 | 127 | 2405 | 86 | 914 | 176 | 2895 | 31 | 476 | |
| A | K19 | 2 | 2836 | 294 | 2278 | 167 | 957 | 267 | 1684 | 28 | 189 | |
| A | K19 | 3 | 3234 | 126 | 1068 | 89 | 569 | 134 | 1275 | 17 | 156 | |
| A | K22 | 2 | 3867 | 48 | 521 | 47 | 320 | 51 | 622 | 16 | 81 | |
| A | K22 | 4 | 3875 | 81 | 811 | 56 | 388 | 65 | 551 | 25 | 210 | |
| A | K22 | 5 | 3884 | 62 | 1069 | 55 | 413 | 63 | 782 | 16 | 139 | |
| A | K22 | 3 | 3871 | 66 | 378 | 56 | 265 | 72 | 381 | 11 | 51 | |
| A | K23 | 4 | 2071 | 21 | 253 | 20 | 140 | 22 | 254 | 2 | 18 | |
| A | K23 | 3 | 2060 | 29 | 243 | 21 | 146 | 40 | 295 | 7 | 120 | |
| A | K23 | 2 | 2058 | 15 | 202 | 11 | 84 | 17 | 208 | 2 | 9 | |
| A | K23 | 5 | 2087 | 37 | 503 | 22 | 161 | 56 | 756 | 8 | 109 | |
| A | K23 | 6 | 2202 | 12 | 48 | 3 | 105 | 1 | 6 | | | |
| A | K23 | 7 | 2208 | 10 | 105 | 4 | 32 | 3 | 15 | 1 | 9 | |
| A | K23 | 5 | 2203 | 1 | 3 | 5 | 14 | 3 | 11 | 1 | 2 | |
| A | K24 | 3 | 3650 | 274 | 1853 | 119 | 730 | 146 | 707 | 46 | 235 | |
| B | KK30 | 1 | 8000 | 76 | 241 | 68 | 146 | 42 | 165 | 33 | 80 | |
| B | KK31 | 6 | 8020 | 144 | 871 | 121 | 592 | 58 | 393 | 58 | 245 | |
| B | KK31 | 4 | 8010 | 285 | 1309 | 179 | 597 | 69 | 263 | 60 | 328 | |

| | | | | Café Gruesa | | Anaranjada | | Gris | | Gris/ Anaranjada | | Otra Pasta* |
|---|---|---|---|---|---|---|---|---|---|---|---|---|
| **Op.** | **Unidad** | **Lote** | **#FS** | **Total** | **Peso** | **Total** | **Peso** | **Total** | **Peso** | **Total** | **Peso** | **Tipo Total/peso** |
| B | KK31 | 3 | 8006 | 482 | 2084 | 354 | 1113 | 210 | 822 | 173 | 475 | |
| B | KK31 | 5 | 8015 | 338 | 2258 | 258 | 1150 | 115 | 759 | 130 | 569 | |
| B | KK31 | 7 | 8024 | 96 | 667 | 108 | 527 | 50 | 266 | 45 | 163 | |
| B | KK31 | 2 | 8005 | 177 | 705 | 154 | 375 | 72 | 178 | 29 | 67 | |
| B | KK31 | 10 | 8066 | 29 | 189 | 51 | 184 | 63 | 280 | | | |
| B | KK31 | 8 | 8029 | 281 | 1479 | 259 | 961 | 164 | 892 | 35 | 229 | |
| B | KK31 | 9 | 8034 | 88 | 654 | 105 | 451 | 118 | 570 | 4 | 18 | |
| B | KK31 | 12 | 8054 | 58 | 202 | 48 | 97 | 82 | 252 | | | |
| B | KK31 | 13 | 8063 | 25 | 145 | 29 | 77 | 22 | 78 | 1 | 1 | |
| B | KK31 | 11 | 8047 | 37 | 328 | 44 | 184 | 70 | 368 | | | |
| B | KK31 | 1 | 8068 | 70 | 299 | 63 | 134 | 40 | 330 | 1 | 2 | |
| B | KK34 | 3 | 8052 | 37 | 307 | 40 | 245 | 34 | 261 | 11 | 76 | |
| B | KK34 | Sup | 8021 | 22 | 107 | 24 | 55 | 6 | 19 | 15 | 35 | |
| B | KK34 | 4 | 8059 | 51 | 620 | 49 | 366 | 57 | 565 | 10 | 86 | |
| B | KK34 | 2 | 8040 | 184 | 2508 | 94 | 890 | 70 | 684 | 66 | 465 | |
| B | KK34 | 1 | 8032 | 151 | 794 | 130 | 580 | 101 | 700 | 34 | 188 | |
| B | KK34 | 7 | 8080 | 23 | 293 | 24 | 251 | 45 | 972 | 307* | | |
| B | KK34 | 8 | 8100 | 13 | 99 | 19 | 72 | 23 | 397 | | | |
| B | KK34 | 6 | 8072 | 52 | 424 | 41 | 197 | 60 | 384 | | | |
| B | KK34 | 5 | 8071 | 36 | 431 | 36 | 208 | 31 | 261 | 1 | 3 | |
| B | KK34 | 10 | 9664 | 75 | 902 | 43 | 280 | 73 | 859 | 3 | 24 | |
| B | KK34 | 9 | 9656 | 138 | 1406 | 81 | 632 | 69 | 852 | | | |
| B | KK35 | 8 | 9569 | 28 | 259 | 22 | 149 | 43 | 384 | | | |
| B | KK35 | 4 | 9474 | 22 | 354 | 24 | 201 | 39 | 755 | | | |
| B | KK35 | 5 | 9485 | 76 | 1128 | 101 | 785 | 71 | 977 | | | |
| B | KK35 | 7 | 9549 | 152 | 2454 | 90 | 858 | 66 | 798 | 4 | 76 | |
| B | KK35 | 3 | 9446 | 55 | 956 | 53 | 356 | 77 | 984 | 6 | 40 | |
| B | KK35 | 6 | 9525 | 202 | 2295 | 120 | 920 | 91 | 1262 | 1 | 3 | |
| B | KK35 | 2 | 9431 | 173 | 1739 | 91 | 718 | 75 | 685 | 60 | 411 | |
| B | KK36 | 3 | 8865 | 210 | 400 | 110 | 260 | 97 | 332 | 69 | 114 | |
| B | KK36 | 2 | 8862 | 242 | 1181 | 208 | 817 | 115 | 504 | 150 | 595 | |
| B | KK36 | 13 | 9023 | 50 | 652 | 23 | 257 | 46 | 732 | | | |
| B | KK36 | 9 | 8957 | 190 | 1495 | 114 | 584 | 86 | 556 | 1 | 4 | |
| B | KK36 | 6 | 8902 | 151 | 940 | 88 | 496 | 181 | 1026 | 5 | 10 | |
| B | KK36 | 4 | 8875 | 108 | 558 | 57 | 191 | 86 | 386 | 31 | 117 | |
| B | KK36 | 12 | 9003 | 74 | 1138 | 13 | 186 | 43 | 647 | | | |
| B | KK36 | 7 | 8918 | 87 | 397 | 57 | 178 | 55 | 528 | | | |

| | | | | Café Gruesa | | Anaranjada | | Gris | | Gris/ Anaranjada | | Otra Pasta* |
|---|---|---|---|---|---|---|---|---|---|---|---|---|
| **Op.** | **Unidad** | **Lote** | **#FS** | **Total** | **Peso** | **Total** | **Peso** | **Total** | **Peso** | **Total** | **Peso** | **Tipo Total/peso** |
| B | KK36 | 10 | 8971 | 165 | 1206 | 137 | 1022 | 80 | 673 | 1 | 2 | |
| B | KK36 | 11 | 8992 | 45 | 875 | 37 | 198 | 71 | 1085 | | | |
| B | KK36 | 5 | 8884 | 164 | 944 | 107 | 412 | 158 | 739 | 9 | 31 | |
| B | KK36 | 8 | 8986 | 65 | 399 | 54 | 245 | 55 | 263 | | | |
| B | KK36 | 6 | 8888 | 134 | 1061 | 90 | 397 | 137 | 911 | 4 | 24 | |
| B | KK36 | 14 | 9030 | 22 | 168 | 10 | 84 | 31 | 339 | | | |
| B | KK36 | 15 | 9035 | 9 | 161 | 1 | 24 | 8 | 56 | | | |
| B | KK37 | 3 | 8243 | 185 | 1144 | 155 | 831 | 96 | 623 | 81 | 353 | |
| B | KK37 | 1 | 8231 | 19 | 158 | 31 | 140 | 22 | 172 | 19 | 115 | |
| B | KK37 | 4 | 8250 | 69 | 558 | 58 | 309 | 102 | 668 | 11 | 75 | |
| B | KK37 | 2 | 8236 | 236 | 1556 | 176 | 986 | 96 | 820 | 70 | 325 | |
| B | KK37 | 5 | 8316 | 121 | 826 | 91 | 265 | 99 | 572 | | | |
| B | KK37 | 5 | 8261 | 149 | 1450 | 112 | 719 | 156 | 1187 | 8 | 39 | |
| B | KK37 | 7 | 8344 | 80 | 531 | 154 | 795 | 80 | 834 | | | |
| B | KK37 | 6 | 8325 | 96 | 577 | 74 | 268 | 66 | 264 | | | |
| B | KK37 | 7 | 9934 | 19 | 287 | 46 | 707 | 39 | 980 | | | |
| B | KK38 | 4 | 8897 | 33 | 344 | 34 | 204 | 60 | 645 | 8 | 64 | |
| B | KK38 | 5 | 8911 | 40 | 530 | 52 | 407 | 65 | 605 | 3 | 22 | |
| B | KK38 | 6 | 8943 | 23 | 309 | 40 | 290 | 56 | 475 | 1 | 2 | |
| B | KK38 | 3 | 8886 | 50 | 439 | 49 | 303 | 37 | 259 | 32 | 186 | |
| B | KK38 | 7 | 8961 | 55 | 825 | 73 | 590 | 87 | 1270 | | | |
| B | KK38 | 9 | 8996 | 97 | 1446 | 35 | 273 | 45 | 779 | | | |
| B | KK38 | 2 | 8861 | 117 | 1039 | 76 | 533 | 68 | 588 | 46 | 222 | |
| B | KK38 | 8 | 8974 | 92 | 1207 | 134 | 1010 | 147 | 1985 | | | |
| B | KK38 | 10 | 9691 | 308 | 3592 | 242 | 1682 | 409 | 5365 | 3 | 8 | |
| B | KK39 | 4 | 9098 | 124 | 1104 | 140 | 805 | 146 | 1108 | | | |
| B | KK39 | 3 | 9080 | 177 | 1368 | 149 | 941 | 181 | 1272 | 10 | 77 | |
| B | KK39 | 4 | 9053 | 263 | 1958 | 127 | 573 | 105 | 802 | 43 | 265 | |
| B | KK39 | 5 | 9436 | 349 | 4054 | 272 | 1634 | 498 | 6586 | 1 | 9 | |
| B | KK40 | 1 | 8382 | 38 | 435 | 37 | 214 | 38 | 340 | 16 | 90 | |
| B | KK40 | 3 | 8404 | 92 | 570 | 56 | 195 | 58 | 357 | 24 | 171 | |
| B | KK40 | 1 | 8394 | 141 | 903 | 103 | 443 | 56 | 289 | 29 | 127 | |
| B | KK40 | 4 | 8410 | 91 | 691 | 81 | 366 | 89 | 667 | 6 | 19 | |
| B | KK40 | 6 | 8834 | 45 | 567 | 52 | 308 | 70 | 529 | | | |
| B | KK40 | 5 | 8823 | 25 | 332 | 34 | 211 | 41 | 402 | | | |
| B | KK40 | 5 | 9981 | 32 | 344 | 28 | 159 | 33 | 341 | 3 | 25 | |
| B | KK41 | 5 | 8128 | 57 | 539 | 64 | 353 | 72 | 577 | 2 | 7 | |

| | | | | Café Gruesa | | Anaranjada | | Gris | | Gris/ Anaranjada | | Otra Pasta* |
|---|---|---|---|---|---|---|---|---|---|---|---|---|
| **Op.** | **Unidad** | **Lote** | **#FS** | **Total** | **Peso** | **Total** | **Peso** | **Total** | **Peso** | **Total** | **Peso** | **Tipo Total/peso** |
| B | KK41 | 3 | 8111 | 178 | 1121 | 86 | 488 | 71 | 420 | 47 | 195 | |
| B | KK41 | 4 | 8124 | 90 | 781 | 93 | 598 | 101 | 701 | 2 | 3 | |
| B | KK41 | 1 | 8094 | 36 | 229 | 23 | 116 | 19 | 115 | 22 | 76 | |
| B | KK41 | 2 | 8102 | 108 | 687 | 74 | 376 | 61 | 331 | 38 | 179 | |
| B | KK41 | 6 | 8844 | 119 | 1484 | 118 | 821 | 145 | 1454 | | | |
| B | KK42 | 4 | 8585 | 13 | 187 | 25 | 130 | 17 | 232 | | | |
| B | KK42 | 2 | 8571 | 46 | 439 | 34 | 250 | 23 | 138 | 19 | 92 | |
| B | KK42 | 5 | 8595 | 22 | 194 | 36 | 164 | 36 | 245 | | | |
| B | KK44 | 1 | 8241 | 156 | 1031 | 164 | 537 | 116 | 645 | 95 | 462 | |
| B | KK44 | 3 | 8314 | 70 | 509 | 97 | 469 | 92 | 698 | 4 | 15 | |
| B | KK44 | 4 | 8323 | 104 | 1109 | 119 | 529 | 134 | 969 | 4 | 9 | |
| B | KK44 | 5 | 8341 | 43 | 441 | | | 45 | 307 | 1 | 3 | |
| B | KK44 | 7 | 8362 | 30 | 609 | 28 | 224 | 18 | 1300 | 2 | 49 | |
| B | KK44 | 9 | 8386 | 70 | 371 | 18 | 71 | 40 | 183 | | | |
| B | KK44 | 2 | 8253 | 145 | 1655 | 152 | 886 | 102 | 883 | 50 | 225 | |
| B | KK44 | 6 | 8354 | 42 | 331 | 41 | 253 | 59 | 467 | | | |
| B | KK44 | 8 | 8367 | 11 | 90 | | | 16 | 156 | 9 | 81 | |
| B | KK44 | 11 | 8411 | 515 | 3887 | 248 | 1361 | 215 | 2342 | 145 | 675 | |
| B | KK44 | 10 | 8398 | 87 | 1045 | 96 | 441 | 91 | 733 | 8 | 46 | PI 1/4 |
| B | KK44 | 11 | 8479 | 32 | 257 | 7 | 28 | 36 | 520 | | | |
| B | KK44 | 11 | 8491 | 28 | 108 | 4 | 21 | 31 | 138 | | | |
| A | L13 | 6 | 1430 | 65 | 349 | 46 | 235 | 39 | 249 | 2 | 7 | |
| A | L13 | 8 | 1557 | 151 | 2791 | 125 | 1902 | 143 | 1435 | | | CF 1/21 |
| A | L13 | 5 | 1408 | 105 | 1338 | 120 | 1127 | 81 | 851 | | | |
| A | L13 | 7 | 1454 | 106 | 1939 | 91 | 2422 | 84 | 1937 | 1 | 25 | |
| A | L13 | 3 | 1381 | 14 | 796 | 54 | 296 | 52 | 363 | 10 | 25 | |
| A | L13 | 4 | 1386 | 91 | 735 | 90 | 566 | 53 | 215 | 4 | 6 | |
| A | L13 | 2 | 1352 | 84 | 473 | 88 | 338 | 66 | 303 | 7 | 28 | |
| A | L13 | 1 | 1333 | 49 | 155 | 33 | 108 | 60 | 210 | 7 | 17 | |
| A | L13 | 10 | 1602 | 82 | 517 | 44 | 188 | 88 | 455 | | | |
| A | L13 | 15 | 1675 | 55 | 569 | 39 | 226 | 93 | 606 | | | |
| A | L13 | 11 | 1629 | 86 | 675 | 56 | 258 | 98 | 532 | | | |
| A | L13 | 14 | 1668 | 64 | 530 | 25 | 100 | 97 | 722 | | | |
| A | L13 | 13 | 1665 | 46 | 245 | 17 | 85 | 65 | 367 | | | |
| A | L13 | 9 | 1587 | 9 | 247 | 13 | 177 | 1 | 14 | | | |
| A | L13 | 18 | 2210 | 160 | 910 | 65 | 223 | 130 | 594 | | | |
| A | L13 | 12 | 1645 | 36 | 247 | 26 | 80 | 51 | 256 | | | |

| | | | | Café Gruesa | | Anaranjada | | Gris | | Gris/ Anaranjada | | Otra Pasta* |
|---|---|---|---|---|---|---|---|---|---|---|---|---|
| **Op.** | **Unidad** | **Lote** | **#FS** | **Total** | **Peso** | **Total** | **Peso** | **Total** | **Peso** | **Total** | **Peso** | **Tipo Total/peso** |
| A | L13 | 17 | 2090 | 90 | 776 | 26 | 135 | 90 | 744 | 1 | 3 | |
| A | L13 | 6 | 2088 | 63 | 741 | 30 | 157 | 118 | 756 | | | |
| A | L13 | 20 | 2228 | 109 | 2125 | 5 | 48 | 105 | 1342 | | | |
| A | L13 | 21 | 2241 | 31 | 373 | 7 | 56 | 36 | 274 | | | |
| A | L13 | 19 | 2218 | 90 | 696 | 48 | 133 | 145 | 853 | | | |
| A | L15 | 3 | 1458 | 48 | 302 | 51 | 227 | 42 | 230 | 8 | 21 | |
| A | L15 | 5 | 1479 | 21 | 370 | 35 | 235 | 19 | 186 | 7 | 37 | |
| A | L15 | 4 | 1469 | 7 | 34 | | | 9 | 38 | 5 | 22 | |
| A | L15 | 2 | 1450 | 46 | 358 | 30 | 159 | 43 | 278 | 11 | 58 | |
| A | L15 | 1 | 1442 | 16 | 94 | 8 | 23 | 18 | 88 | | | |
| A | L16 | 5 | 1208 | 30 | 138 | 21 | 62 | 12 | 47 | 6 | 50 | |
| A | L16 | 3 | 1191 | 21 | 102 | 16 | 55 | 12 | 113 | 6 | 24 | |
| A | L16 | 4 | 1193 | 49 | 315 | 30 | 100 | 17 | 81 | 9 | 30 | |
| A | L16 | 2 | 1185 | 60 | 501 | 47 | 220 | 51 | 275 | 6 | 28 | |
| A | L16 | 7 | 1227 | 20 | 142 | 12 | 61 | 12 | 83 | 10 | 73 | |
| A | L16 | 6 | 1218 | 25 | 194 | 13 | 75 | 7 | 49 | 6 | 20 | |
| A | L16 | 8 | 1235 | 24 | 147 | 23 | 87 | 22 | 113 | 4 | 14 | |
| A | L16 | 1 | 1173 | 176 | 905 | 109 | 449 | 103 | 565 | 18 | 60 | |
| A | L17 | 2 | 1846 | 272 | 1109 | 159 | 558 | 202 | 868 | 26 | 67 | |
| A | L17 | 1 | 1841 | 49 | 218 | 40 | 169 | 55 | 259 | 15 | 31 | |
| A | L17 | 3 | 1848 | 131 | 614 | 63 | 277 | 109 | 569 | 32 | 162 | |
| A | L18 | 2 | 1870 | 230 | 1089 | 80 | 274 | 120 | 497 | 30 | 156 | |
| A | L18 | 1 | 1866 | 54 | 315 | 32 | 148 | 50 | 294 | 5 | 30 | |
| A | L19 | 2 | 2299 | 54 | 595 | 32 | 104 | 38 | 239 | 13 | 105 | |
| A | L19 | 3 | 2671 | 65 | 394 | 33 | 236 | 52 | 212 | 7 | 32 | |
| A | L19 | 4 | 2672 | 33 | 273 | 23 | 113 | 32 | 132 | 11 | 25 | |
| A | L20 | 2 | 2157 | 359 | 1897 | 168 | 656 | 231 | 1337 | 53 | 215 | |
| B | LL31 | 1 | 8421 | 43 | 391 | 41 | 241 | 33 | 232 | 16 | 94 | |
| B | LL32 | 5 | 8750 | 68 | 554 | 78 | 452 | 75 | 635 | 2 | 24 | |
| B | LL32 | 3 | 8727 | 221 | 1585 | 154 | 711 | 94 | 666 | 94 | 466 | |
| B | LL32 | 1 | 8702 | 42 | 443 | 37 | 141 | 25 | 165 | 45 | 162 | |
| B | LL32 | 10 | 8839 | 42 | 505 | 60 | 211 | 36 | 203 | | | |
| B | LL32 | 4 | 8741 | 101 | 848 | 87 | 460 | 81 | 651 | 51 | 323 | |
| B | LL32 | 2 | 8712 | 166 | 1149 | 131 | 626 | 99 | 464 | 86 | 369 | |
| B | LL32 | 7 | 8766 | 95 | 624 | 82 | 371 | 105 | 464 | | | |
| B | LL32 | 6 | 8751 | 112 | 742 | 121 | 532 | 140 | 776 | 4 | 13 | |
| B | LL32 | 11 | 8852 | 27 | 330 | 28 | 165 | 11 | 47 | 1 | 4 | |

| | | | | Café Gruesa | | Anaranjada | | Gris | | Gris/ Anaranjada | | Otra Pasta* |
|---|---|---|---|---|---|---|---|---|---|---|---|---|
| **Op.** | **Unidad** | **Lote** | **#FS** | **Total** | **Peso** | **Total** | **Peso** | **Total** | **Peso** | **Total** | **Peso** | **Tipo Total/peso** |
| B | LL32 | 8 | 8770 | 4 | 30 | 1 | 11 | 8 | 31 | | | |
| B | LL32 | 9 | 8783 | 2 | 4 | | | 2 | 31 | 1 | 13 | |
| B | LL34 | 2 | 8042 | 1 | 117 | | | | | | | |
| B | LL35 | 12 | 8849 | 61 | 587 | 31 | 199 | 35 | 377 | 2 | 15 | |
| B | LL35 | 11 | 8846 | 29 | 441 | 12 | 92 | 11 | 177 | | | |
| B | LL35 | 4 | 8806 | 87 | 423 | 62 | 172 | 65 | 272 | 12 | 28 | |
| B | LL35 | 5 | 8812 | 73 | 457 | 78 | 258 | 74 | 372 | 7 | 28 | |
| B | LL35 | 7 | 8826 | 25 | 102 | 20 | 98 | 48 | 181 | | | |
| B | LL35 | 13 | 8851 | 23 | 282 | 12 | 114 | 22 | 231 | | | |
| B | LL35 | 1 | 8785 | 27 | 220 | 21 | 62 | 30 | 199 | 17 | 127 | |
| B | LL35 | 3 | 8802 | 19 | 275 | 11 | 91 | 10 | 103 | 11 | 85 | |
| B | LL35 | 2 | 8798 | 22 | 267 | 12 | 88 | 8 | 67 | 13 | 85 | |
| B | LL35 | 10 | 8843 | 12 | 102 | 7 | 62 | 6 | 41 | | | |
| B | LL35 | 6 | 8822 | 33 | 303 | 38 | 192 | 31 | 205 | | | |
| B | LL35 | 8 | 8831 | 32 | 254 | 35 | 163 | 41 | 248 | | | |
| B | LL35 | 9 | 8837 | 7 | 129 | 14 | 293 | 5 | 90 | | | |
| B | LL35 | 14 | 9700 | 120 | 774 | 43 | 194 | 86 | 541 | | | |
| B | LL37 | 4 | 8430 | 69 | 404 | 34 | 186 | 32 | 212 | 35 | 180 | |
| B | LL37 | 5 | 8442 | 33 | 346 | 38 | 154 | 35 | 184 | 11 | 38 | |
| B | LL37 | 9 | 8461 | 33 | 357 | 27 | 108 | 34 | 363 | | | |
| B | LL37 | 3 | 8427 | 154 | 1160 | 123 | 554 | | | 66 | 322 | |
| B | LL37 | 6 | 8446 | 49 | 285 | 30 | 120 | 22 | 132 | 9 | 40 | |
| B | LL37 | 11 | 8471 | 34 | 268 | 40 | 191 | 30 | 233 | | | |
| B | LL37 | 7 | 8451 | 46 | 413 | 43 | 233 | 80 | 681 | | | |
| B | LL37 | 8 | 8453 | 9 | 50 | 9 | 25 | 16 | 79 | | | |
| B | LL37 | 2 | 8422 | 9 | 47 | 8 | 29 | 5 | 62 | | | |
| B | LL37 | 12 | 8472 | 19 | 105 | 25 | 199 | 21 | 173 | | | |
| B | LL37 | 10 | 8462 | 30 | 194 | 18 | 77 | 18 | 110 | 1 | 15 | |
| B | LL38 | 1 | 8170 | 57 | 470 | 41 | 147 | 41 | 297 | 42 | 222 | |
| B | LL38 | 7 | 8113 | 193 | 1805 | 226 | 846 | 167 | 936 | | | |
| B | LL38 | 1 | 8083 | 153 | 921 | 117 | 463 | 70 | 485 | 75 | 306 | |
| B | LL38 | 6 | 8105 | 43 | 281 | 23 | 115 | 43 | 340 | | | |
| B | LL38 | 4 | 8097 | 53 | 577 | 58 | 196 | 67 | 431 | | | |
| B | LL38 | 5 | 8103 | 40 | 261 | 66 | 199 | 50 | 355 | | | |
| B | LL38 | Sup | 8075 | 127 | 844 | 123 | 490 | 82 | 446 | 58 | 268 | |
| B | LL38 | 3 | 8090 | 76 | 530 | 91 | 329 | 109 | 583 | 10 | 24 | |
| B | LL38 | 2 | 8086 | 91 | 496 | 78 | 212 | 84 | 378 | 19 | 45 | |

| | | | | Café Gruesa | | Anaranjada | | Gris | | Gris/ Anaranjada | | Otra Pasta* |
|---|---|---|---|---|---|---|---|---|---|---|---|---|
| **Op.** | **Unidad** | **Lote** | **#FS** | **Total** | **Peso** | **Total** | **Peso** | **Total** | **Peso** | **Total** | **Peso** | **Tipo Total/peso** |
| B | LL38 | 8 | 8995 | 81 | 812 | 67 | 363 | 114 | 1150 | 2 | 5 | |
| B | LL38 | 9 | 9924 | 128 | 1592 | 83 | 445 | 174 | 2080 | 4 | 22 | |
| B | LL39 | 5 | 9029 | 61 | 470 | 96 | 504 | 91 | 816 | | | |
| B | LL39 | 3 | 9013 | 176 | 1355 | 170 | 790 | 208 | 1214 | 19 | 103 | |
| B | LL39 | 5 | 9043 | 24 | 261 | 25 | 156 | 63 | 443 | | | |
| B | LL39 | 2 | 8986 | 352 | 2421 | 209 | 1960 | 150 | 842 | 88 | 455 | |
| B | LL39 | 6 | 9884 | 186 | 3077 | 105 | 773 | 186 | 4181 | | | |
| B | LL40 | 5 | 8817 | 70 | 889 | 121 | 827 | 171 | 1700 | | | |
| B | LL40 | 1 | 8494 | 67 | 535 | 79 | 372 | 48 | 352 | 37 | 202 | |
| B | LL40 | 3 | 8509 | 90 | 484 | 105 | 416 | 94 | 511 | 5 | 19 | |
| B | LL41 | 1 | 8487 | 55 | 532 | 47 | 401 | 32 | 296 | 19 | 136 | |
| B | LL41 | 5 | 8535 | 97 | 899 | 93 | 673 | 107 | 893 | 1 | 1 | |
| B | LL41 | 3 | 8497 | 110 | 847 | 89 | 478 | 136 | 1059 | 20 | 106 | |
| B | LL41 | 4 | 9466 | 130 | 1008 | 161 | 704 | 172 | 992 | 8 | 57 | |
| B | LL41 | 2 | 8493 | 63 | 522 | 56 | 384 | 23 | 154 | 20 | 115 | |
| B | LL41 | 6 | 8794 | 93 | 1684 | 143 | 1057 | 173 | 1921 | | | |
| A | M10 | 2 | 3610 | 25 | 183 | 20 | 153 | 14 | 109 | | | |
| A | M11 | 1 | 2190 | 126 | 797 | 121 | 455 | 159 | 722 | 12 | 31 | |
| A | M11 | 2 | 3412 | 57 | 1013 | 58 | 635 | 51 | 824 | | | |
| A | M13 | 1 | 2531 | 41 | 644 | 43 | 757 | 41 | 506 | | | |
| A | M13 | 1 | 2543 | 15 | 778 | 23 | 484 | 22 | 1313 | | | |
| A | M13 | 4 | 2556 | 37 | 466 | 40 | 233 | 23 | 682 | | | |
| A | M13 | 2 | 2546 | 83 | 937 | 82 | 740 | 63 | 596 | 1 | 4 | |
| A | M13 | 5 | 2533 | 42 | 591 | 36 | 327 | 69 | 924 | 1 | 12 | |
| A | M13 | 3 | 2549 | 77 | 1047 | 62 | 730 | 51 | 672 | 3 | 32 | |
| A | M13 | 6 | 2566 | 10 | 159 | 11 | 118 | 19 | 128 | | | |
| A | M13 | 6 | 2590 | 2 | 119 | 1 | 42 | 4 | 655 | | | |
| A | M13 | 10 | 2722 | 1 | 120 | | | | | | | |
| A | M13 | 7 | 2592 | 60 | 1180 | 56 | 457 | 76 | 783 | | | |
| A | M13 | 8 | 2573 | 20 | 212 | 13 | 68 | 36 | 269 | | | |
| A | M13 | 10 | 2719 | 13 | 261 | 15 | 146 | | | 18 | 416 | |
| A | M13 | 9 | 2715 | 11 | 101 | 4 | 5 | 11 | 35 | | | |
| A | M14 | 2 | 3449 | 47 | 631 | 42 | 409 | 40 | 505 | 16 | 114 | |
| A | M14 | 3 | 3544 | 40 | 1051 | 31 | 205 | 60 | 1108 | 2 | 35 | |
| A | M14 | 4 | 3557 | 15 | 724 | 22 | 507 | 32 | 918 | 2 | 47 | |
| A | M14 | 7 | 3592 | 18 | 253 | 21 | 158 | 19 | 199 | | | |
| A | M14 | 6 | 3586 | 73 | 2540 | 52 | 1107 | 57 | 1533 | 1 | 8 | |

| | | | | Café Gruesa | | Anaranjada | | Gris | | Gris/ Anaranjada | | Otra Pasta* |
|---|---|---|---|---|---|---|---|---|---|---|---|---|
| **Op.** | **Unidad** | **Lote** | **#FS** | **Total** | **Peso** | **Total** | **Peso** | **Total** | **Peso** | **Total** | **Peso** | **Tipo Total/peso** |
| A | M14 | 9 | 3612 | 6 | 151 | 4 | 59 | 12 | 233 | | | |
| A | M14 | 10 | 3618 | 7 | 122 | 6 | 76 | 18 | 453 | 1 | 7 | |
| A | M14 | 5 | 3578 | 56 | 2117 | 77 | 1309 | 77 | 2013 | | | |
| B | M16 | 1 | 5186 | 94 | 680 | 107 | 680 | 61 | 498 | | | |
| B | M16 | 3 | 5200 | 127 | 1030 | 69 | 269 | 62 | 816 | 5 | 17 | |
| B | M16 | 6 | 5219 | 101 | 836 | 50 | 220 | 183 | 1130 | 13 | 81 | |
| B | M16 | 7 | 5231 | 108 | 778 | 44 | 203 | 124 | 745 | | | |
| B | M16 | 2 | 5193 | 188 | 1252 | 101 | 421 | 114 | 675 | 31 | 142 | |
| B | M16 | 8 | 5234 | 78 | 620 | 31 | 188 | 86 | 536 | | | |
| B | M16 | 9 | 5240 | 26 | 280 | 13 | 92 | 49 | 322 | 1 | 7 | |
| B | M16 | 5 | 5215 | 129 | 981 | 74 | 343 | 143 | 940 | 17 | 177 | |
| B | M16 | 10 | 5242 | 8 | 71 | 8 | 64 | 26 | 125 | | | |
| B | M16 | 11 | 5244 | 20 | 126 | 4 | 19 | 32 | 158 | | | |
| B | M17 | 2 | 5105 | 35 | 479 | 19 | 145 | 35 | 466 | 8 | 51 | |
| B | M17 | 1 | 5101 | 37 | 156 | 8 | 12 | 26 | 88 | 8 | 43 | |
| B | M17 | 11 | 5158 | 10 | 100 | 9 | 60 | 26 | 168 | | | |
| B | M17 | 9 | 5150 | 28 | 677 | 23 | 147 | 41 | 501 | | | |
| B | M17 | 3 | 5111 | 107 | 542 | 68 | 242 | 103 | 385 | 25 | 93 | |
| B | M17 | 6 | 5137 | 50 | 281 | 66 | 281 | 76 | 568 | 18 | 238 | |
| B | M17 | 4 | 5116 | 59 | 395 | 55 | 259 | 122 | 634 | 8 | 41 | |
| B | M17 | 5 | 5125 | 37 | 362 | 27 | 227 | 59 | 654 | 11 | 82 | |
| B | M17 | 7 | 5140 | 48 | 202 | 43 | 178 | 63 | 297 | 16 | 86 | |
| B | M17 | 13 | 5168 | 2 | 25 | 7 | 37 | 7 | 64 | 1 | 8 | |
| B | M17 | 8 | 5143 | 2 | 8 | 2 | 160 | 1 | 2 | 4 | 40 | |
| B | M17 | 10 | 5157 | 22 | 279 | 12 | 145 | 44 | 573 | 1 | 1 | |
| B | M17 | 8 | 5148 | 36 | 200 | 50 | 201 | 85 | 445 | 1 | 4 | |
| B | M17 | 12 | 5167 | 4 | 521 | | | 2 | 357 | | | |
| A | M20 | 2 | 2123 | 161 | 1274 | 69 | 404 | 99 | 624 | 35 | 204 | |
| A | M20 | 2 | 2132 | 17 | 101 | 9 | 31 | 11 | 131 | | | |
| A | M20 | 3 | 2135 | 247 | 2077 | 159 | 924 | 222 | 1681 | 18 | 120 | |
| A | M20 | 4 | 2312 | 65 | 597 | 61 | 352 | 100 | 744 | 9 | 64 | |
| A | M20 | 5 | 2396 | 18 | 138 | 9 | 41 | 21 | 109 | | | |
| A | M20 | 5 | 2505 | 2 | 13 | 2 | 9 | 1 | 18 | | | |
| A | M20 | 6 | 3585 | 5 | 25 | | | 10 | 56 | | | |
| A | M20 | 8 | 3609 | 19 | 134 | 6 | 18 | 22 | 141 | 1 | 2 | |
| A | M20 | 7 | 3591 | 4 | 222 | 4 | 29 | 7 | 118 | | | |
| A | M20 | 10 | 3160 | 34 | 483 | 23 | 128 | 27 | 213 | | | |

| | | | | Café Gruesa | | Anaranjada | | Gris | | Gris/ Anaranjada | | Otra Pasta* |
|---|---|---|---|---|---|---|---|---|---|---|---|---|
| **Op.** | **Unidad** | **Lote** | **#FS** | **Total** | **Peso** | **Total** | **Peso** | **Total** | **Peso** | **Total** | **Peso** | **Tipo Total/peso** |
| A | M20 | 12 | 3166 | 14 | 151 | 4 | 15 | 20 | 153 | | | |
| A | M20 | 9 | 3156 | 9 | 104 | 4 | 13 | 9 | 52 | | | |
| A | M20 | 11 | 3163 | 13 | 71 | 8 | 37 | 20 | 145 | | | |
| A | M20 | 13 | 3169 | 17 | 205 | 13 | 44 | 13 | 101 | | | |
| B | MM36 | 4 | 9282 | 155 | 1180 | 108 | 598 | 158 | 1178 | 5 | 19 | |
| B | MM36 | 6 | 9309 | 34 | 213 | 36 | 142 | 42 | 298 | 2 | 8 | |
| B | MM36 | 2 | 9246 | 235 | 1624 | 161 | 733 | 113 | 873 | 91 | 454 | |
| B | MM36 | 11 | 9402 | 65 | 1144 | 35 | 190 | 48 | 606 | 1 | 5 | |
| B | MM36 | 10 | 9383 | 189 | 1611 | 103 | 484 | 120 | 948 | 6 | 67 | |
| B | MM36 | 5 | 9290 | 60 | 562 | 82 | 477 | 66 | 612 | | | |
| B | MM36 | 8 | 9342 | 35 | 315 | 32 | 99 | 48 | 210 | 2 | 10 | |
| B | MM36 | 7 | 9332 | 27 | 288 | 35 | 154 | 38 | 357 | 1 | 4 | |
| B | MM36 | 9 | 9358 | 335 | 3011 | 107 | 567 | 63 | 508 | 3 | 12 | |
| B | MM37 | 4 | 8525 | 153 | 1047 | 152 | 825 | 188 | 1354 | 15 | 93 | |
| B | MM37 | 3 | 8520 | 88 | 590 | 58 | 308 | 76 | 497 | 34 | 269 | |
| B | MM37 | 6 | 8532 | 33 | 416 | 36 | 265 | 53 | 384 | | | |
| B | MM37 | 5 | 8529 | 56 | 511 | 77 | 455 | 87 | 665 | 3 | 13 | |
| B | MM37 | 2 | 8513 | 210 | 2148 | 133 | 864 | 113 | 938 | 79 | 443 | |
| B | MM37 | 8 | 9222 | 192 | 1880 | 111 | 669 | 209 | 2026 | | | |
| B | MM37 | 7 | 9195 | 204 | 2416 | 90 | 736 | 124 | 1566 | | | |
| B | MM38 | 1 | 8148 | 203 | 1318 | 191 | 786 | 105 | 560 | 35 | 146 | |
| B | MM38 | 3 | 8173 | 82 | 658 | 58 | 302 | 78 | 491 | 36 | 168 | |
| B | MM38 | 7 | 8200 | 123 | 1444 | 150 | 834 | 115 | 814 | 4 | 25 | |
| B | MM38 | 6 | 8187 | 14 | 115 | 27 | 106 | 18 | 116 | | | |
| B | MM38 | 5 | 8180 | 32 | 284 | 32 | 134 | 39 | 278 | | | |
| B | MM38 | 4 | 8179 | 39 | 350 | 35 | 239 | 30 | 273 | | | |
| B | MM38 | 2 | 8152 | 238 | 1742 | 184 | 972 | 129 | 725 | 97 | 525 | |
| B | MU | 1 | 8829 | 177 | 1988 | 148 | 727 | 195 | 1711 | 10 | 52 | |
| A | MU1 | 9 | 1650 | 72 | 1380 | 53 | 1028 | 75 | 2248 | | | |
| A | MU1 | 10 | 1803 | 40 | 629 | 41 | 477 | 42 | 632 | | | |
| A | MU1 | 11 | 1816 | 65 | 961 | 56 | 792 | 82 | 2790 | | | |
| A | MU1 | 12 | 1825 | 43 | 863 | 27 | 325 | 37 | 528 | | | |
| A | MU1 | 16 | 1852 | 44 | 492 | 21 | 159 | 52 | 339 | | | |
| A | MU1 | 13 | 1829 | 61 | 1097 | 31 | 268 | 57 | 639 | 1 | 3 | |
| A | MU1 | 18 | 1869 | 14 | 208 | 9 | 63 | 8 | 26 | | | |
| A | MU1 | 19 | 1874 | 66 | 645 | 28 | 163 | 59 | 277 | | | |
| A | MU1 | 7 | 1590 | 69 | 8272 | 81 | 8079 | 66 | 581 | 3 | 24 | |

| | | | | Café Gruesa | | Anaranjada | | Gris | | Gris/ Anaranjada | | Otra Pasta* |
|---|---|---|---|---|---|---|---|---|---|---|---|---|
| **Op.** | **Unidad** | **Lote** | **#FS** | **Total** | **Peso** | **Total** | **Peso** | **Total** | **Peso** | **Total** | **Peso** | **Tipo Total/peso** |
| A | MU1 | 2 | 1511 | 23 | 243 | 8 | 80 | 10 | 61 | 6 | 38 | |
| A | MU1 | 3 | 1524 | 37 | 113 | 9 | 118 | 12 | 69 | 12 | 88 | |
| A | MU1 | 5 | 1567 | 147 | 1220 | 98 | 675 | 111 | 1030 | 6 | 27 | |
| A | MU1 | 16 | 1495 | 22 | 197 | 33 | 221 | 15 | 109 | 12 | 75 | |
| A | MU1 | 15 | 1843 | 34 | 507 | 19 | 291 | 37 | 1120 | 2 | 71 | |
| A | MU1 | 17 | 1855 | 38 | 489 | 14 | 124 | 41 | 258 | | | |
| A | MU1 | 14 | 1834 | 25 | 318 | 18 | 143 | 37 | 339 | | | |
| A | MU1 | 8 | 1612 | 54 | 1420 | 66 | 974 | 60 | 1130 | | | |
| A | MU1 | 6 | 1576 | 205 | 1124 | 65 | 215 | 120 | 553 | 7 | 80 | |
| A | MU1 | 4 | 1552 | 31 | 381 | 16 | 260 | 22 | 400 | 9 | 74 | |
| A | MU1 | 20 | 2004 | 96 | 580 | 70 | 185 | 90 | 487 | | | |
| A | MU1 | 21 | 2018 | 68 | 603 | 34 | 166 | 46 | 230 | | | |
| A | MU1 | 22 | 2035 | 31 | 189 | 26 | 108 | 20 | 97 | | | |
| A | MU1 | 23 | 2048 | 70 | 484 | 45 | 214 | 66 | 355 | 5 | 8 | |
| A | MU1 | 25 | 2078 | 5 | 48 | 4 | 40 | 2 | 15 | | | |
| A | MU1 | 24 | 2064 | 27 | 149 | 7 | 16 | 27 | 115 | | | |
| A | MU10 | 1 | 2189 | 1085 | 7174 | 687 | 3252 | 965 | 6641 | 91 | 589 | |
| B | MU10 | 1 | 9738 | 667 | 6599 | 247 | 2100 | 828 | 7764 | | | |
| A | MU11 | 5 | 3070 | 38 | 386 | 29 | 238 | 21 | 186 | 22 | 239 | |
| A | MU11 | 8 | 3093 | 27 | 271 | 12 | 99 | 11 | 46 | 5 | 70 | |
| A | MU11 | 3 | 3048 | 93 | 830 | 52 | 293 | 36 | 271 | 26 | 369 | |
| A | MU11 | 7 | 3084 | 25 | 394 | 18 | 315 | 9 | 124 | 27 | 442 | |
| A | MU11 | 9 | 3098 | 12 | 213 | 12 | 166 | 14 | 197 | 26 | 238 | |
| A | MU11 | 6 | 3077 | 27 | 287 | 20 | 146 | 14 | 128 | 12 | 93 | |
| A | MU11 | 4 | 3058 | 104 | 175 | 47 | 482 | 25 | 304 | 25 | 344 | |
| A | MU11 | 2 | 3041 | 89 | 618 | 53 | 487 | 31 | 199 | 29 | 150 | |
| A | MU11 | 12 | 3222 | 4 | 38 | 7 | 120 | 3 | 50 | 3 | 24 | |
| A | MU11 | 11 | 3211 | 27 | 197 | 18 | 258 | 17 | 158 | 3 | 9 | |
| A | MU11 | 1 | 3016 | 87 | 1084 | 55 | 475 | 57 | 438 | 41 | 437 | |
| A | MU11 | 10 | 3203 | 12 | 123 | 4 | 72 | 2 | 30 | 5 | 28 | |
| B | MU11 | 4 | 9907 | 324 | 4461 | 324 | 1799 | 628 | 8070 | | | |
| B | MU11 | 3 | 9771 | 145 | 1408 | 151 | 1072 | 172 | 1851 | | | |
| B | MU11 | 1 | 9716 | 248 | 2186 | 279 | 1638 | 208 | 1534 | | | |
| B | MU11 | 2 | 9753 | 422 | 3584 | 540 | 2652 | 496 | 3727 | | | |
| A | MU11 | 6 | 3081 | 2 | 21 | | | | | | | |
| A | MU11 | 7 | 3089 | | | | | 2 | 85 | 1 | 21 | |
| A | MU12 | 1 | 3028 | 88 | 664 | 49 | 274 | 96 | 592 | 12 | 95 | |

| | | | | Café Gruesa | | Anaranjada | | Gris | | Gris/ Anaranjada | | Otra Pasta* |
|---|---|---|---|---|---|---|---|---|---|---|---|---|
| **Op.** | **Unidad** | **Lote** | **#FS** | **Total** | **Peso** | **Total** | **Peso** | **Total** | **Peso** | **Total** | **Peso** | **Tipo Total/peso** |
| A | MU12 | 2 | 3039 | 92 | 700 | 59 | 270 | 82 | 554 | 9 | 122 | |
| B | MU12 | 2 | 9844 | 363 | 6113 | 478 | 3344 | 444 | 5963 | | | |
| A | MU12 | 3 | 3055 | 87 | 665 | 54 | 297 | 90 | 815 | 21 | 138 | |
| B | MU12 | 1 | 9805 | 752 | 6018 | 857 | 4783 | 619 | 5671 | | | |
| B | MU12 | 3 | 9870 | 1217 | 12539 | 1038 | 6044 | 1038 | 12120 | | | |
| A | MU13 | 5 | 3304 | 70 | 696 | 86 | 641 | 104 | 1083 | 15 | 145 | |
| A | MU13 | 6 | 3312 | 22 | 420 | 31 | 284 | 36 | 378 | 5 | 22 | |
| A | MU13 | 3 | 3097 | 74 | 821 | 66 | 443 | 76 | 624 | 4 | 26 | |
| A | MU13 | 2 | 3090 | 183 | 1572 | 103 | 722 | 129 | 1504 | 22 | 167 | |
| A | MU13 | 7 | 3321 | 55 | 854 | 58 | 447 | 61 | 577 | 10 | 150 | |
| A | MU13 | 4 | 3205 | 20 | 113 | 20 | 68 | 13 | 72 | | | |
| B | MU13 | 1 | 9795 | 493 | 8064 | 442 | 3717 | 676 | 11946 | | | |
| B | MU13 | 2 | 9832 | 213 | 4249 | 219 | 2203 | 363 | 6546 | | | |
| A | MU13 | 3 | 3674 | 13 | 194 | 11 | 92 | 26 | 191 | | | |
| A | MU14 | 1 | 2379 | 1 | 67 | | | 2 | 337 | | | |
| A | MU14 | 2 | 2384 | 161 | 1755 | 42 | 398 | 150 | 1514 | | | |
| A | MU14 | 1 | 2371 | 95 | 945 | 20 | 81 | 11 | 1050 | | | |
| A | MU14 | 2 | 2397 | | | | | 1 | 499 | | | |
| A | MU14 | 3 | 2524 | 2 | 623 | | | 1 | 46 | | | |
| A | MU14 | 3 | 2399 | 49 | 551 | 12 | 106 | 47 | 376 | | | |
| A | MU14 | 3 | 2522 | 1 | 151 | | | | | | | |
| A | MU14 | 3 | 2523 | 7 | 50 | 1 | 1 | 3 | 15 | | | |
| A | MU14 | 8 | 3607 | 4 | 71 | 5 | 50 | 7 | 338 | | | |
| B | MU14 | 1 | 9953 | 626 | 4502 | 196 | 887 | 426 | 4220 | | | |
| B | MU14 | 1 | 9928 | 63 | 564 | 22 | 104 | 63 | 600 | 1 | 1 | |
| A | MU15 | 1 | 2393 | 252 | 1904 | 97 | 607 | 147 | 1021 | 56 | 288 | |
| A | MU15 | 2 | 2512 | 394 | 3013 | 200 | 1070 | 230 | 1372 | 85 | 487 | |
| B | MU15 | 1 | 9967 | 211 | 2530 | 97 | 771 | 344 | 3749 | | | |
| A | MU16 | 5 | 3272 | 293 | 2019 | 199 | 1051 | 321 | 1799 | 25 | 197 | |
| A | MU16 | 3 | 3246 | 95 | 837 | 39 | 239 | 60 | 407 | 15 | 73 | |
| A | MU16 | 7 | 3350 | 98 | 1149 | 60 | 575 | 100 | 1315 | 11 | 109 | |
| A | MU16 | 6 | 3282 | 321 | 3037 | 212 | 1389 | 273 | 2667 | 65 | 506 | |
| A | MU16 | 4 | 3269 | 337 | 2292 | 163 | 768 | 293 | 1761 | 35 | 183 | |
| A | MU16 | 2 | 3244 | 80 | 589 | 45 | 291 | 56 | 441 | 16 | 115 | |
| A | MU16 | 12 | 3695 | 51 | 1370 | 46 | 601 | 65 | 1150 | 26 | 454 | |
| A | MU16 | 13 | 3705 | 128 | 1831 | 88 | 984 | 156 | 2336 | 25 | 344 | |
| A | MU16 | 9 | 3361 | 37 | 484 | 14 | 122 | 43 | 378 | 4 | 30 | |

| | | | | Café Gruesa | | Anaranjada | | Gris | | Gris/ Anaranjada | | Otra Pasta* |
|---|---|---|---|---|---|---|---|---|---|---|---|---|
| **Op.** | **Unidad** | **Lote** | **#FS** | **Total** | **Peso** | **Total** | **Peso** | **Total** | **Peso** | **Total** | **Peso** | **Tipo Total/peso** |
| A | MU16 | 14 | 3715 | 18 | 411 | 13 | 144 | 24 | 390 | | | |
| A | MU16 | 19 | 3551 | 49 | 2901 | 1 | 6 | 2 | 22 | | | |
| A | MU16 | 11 | 3409 | 66 | 569 | 30 | 189 | 65 | 396 | | | |
| A | MU16 | 20 | 3755 | 7 | 135 | 1 | 3 | 6 | 124 | | | |
| A | MU16 | 19 | 3749 | 29 | 619 | 3 | 20 | 11 | 75 | | | |
| A | MU16 | 8 | 3358 | 100 | 1561 | 92 | 791 | 135 | 1648 | 8 | 111 | |
| A | MU16 | 10 | 3366 | 48 | 587 | 38 | 315 | 53 | 448 | | | |
| A | MU16 | 18 | 3746 | 28 | 352 | 16 | 146 | 34 | 318 | | | |
| A | MU16 | 16 | 3728 | 47 | 1359 | 20 | 176 | 55 | 952 | | | |
| A | MU16 | 15 | 3721 | 49 | 583 | 29 | 214 | 66 | 616 | 2 | 16 | |
| A | MU16 | 17 | 3733 | 52 | 985 | 33 | 398 | 80 | 1110 | | | |
| B | MU16 | 1 | 9978 | 12 | 365 | 16 | 356 | 26 | 962 | | | |
| B | MU16 | 1 | 9977 | 6 | 27 | 14 | 79 | 6 | 43 | | | |
| A | MU17 | 6 | 2818 | 111 | 701 | 13 | 43 | 28 | 176 | 4 | 38 | |
| A | MU17 | 14 | 3357 | 1 | 95 | | | 1 | 445 | | | |
| A | MU17 | 4 | 3252 | 155 | 2468 | 145 | 1520 | 105 | 1373 | 57 | 770 | |
| A | MU17 | 5 | 3263 | 103 | 1521 | 97 | 817 | 78 | 1013 | 86 | 1097 | |
| A | MU17 | 7 | 3278 | 104 | 1549 | 99 | 1092 | 149 | 2419 | 21 | 212 | |
| A | MU17 | 17 | 3365 | 21 | 215 | 8 | 43 | 8 | 91 | | | |
| A | MU17 | 6 | 2275 | 107 | 1815 | 120 | 1174 | 84 | 1229 | 47 | 500 | |
| A | MU17 | 16 | 3359 | 13 | 67 | 4 | 19 | 3 | 17 | 1 | 7 | |
| A | MU17 | 3 | 3248 | 270 | 3680 | 151 | 1500 | 148 | 1670 | 109 | 1010 | |
| A | MU17 | 9 | 3334 | 43 | 267 | 40 | 210 | 49 | 379 | | | |
| A | MU17 | 10 | 3338 | 38 | 392 | 13 | 100 | 30 | 225 | | | |
| A | MU17 | 8 | 3332 | 110 | 965 | 118 | 703 | 150 | 1442 | 4 | 70 | |
| A | MU17 | 2 | 3242 | 64 | 2132 | 126 | 1096 | 81 | 1124 | 80 | 876 | |
| A | MU17 | 11 | 3345 | 26 | 157 | 23 | 170 | 33 | 257 | 2 | 12 | |
| A | MU17 | 12 | 3348 | 18 | 124 | 8 | 28 | 10 | 59 | 1 | 23 | |
| A | MU17 | 13 | 3349 | 7 | 46 | 2 | 12 | 8 | 35 | | | |
| A | MU18 | 1 | 2507 | 19 | 227 | 12 | 98 | 22 | 178 | 1 | 7 | |
| A | MU18 | 2 | 2510 | 119 | 1340 | 93 | 762 | 70 | 1051 | 33 | 199 | |
| A | MU18 | 3 | 2527 | 150 | 2618 | 96 | 973 | 106 | 1806 | 10 | 56 | |
| A | MU18 | 2 | 2792 | 189 | 2388 | 112 | 1050 | 123 | 1221 | 36 | 604 | |
| A | MU19 | 2 | 3463 | 387 | 7403 | 92 | 1429 | 596 | 8911 | 3 | 29 | |
| A | MU19 | 5 | 3553 | 23 | 366 | 2 | 58 | 32 | 585 | | | |
| A | MU19 | 3 | 3494 | 123 | 1842 | 15 | 381 | 107 | 2479 | | | |
| A | MU19 | 1 | 3460 | 26 | 485 | 8 | 126 | 29 | 257 | | | |

| | | | | Café Gruesa | | Anaranjada | | Gris | | Gris/ Anaranjada | | Otra Pasta* |
|---|---|---|---|---|---|---|---|---|---|---|---|---|
| **Op.** | **Unidad** | **Lote** | **#FS** | **Total** | **Peso** | **Total** | **Peso** | **Total** | **Peso** | **Total** | **Peso** | **Tipo Total/peso** |
| A | MU19 | 12 | 3682 | 3 | 22 | | | 6 | 38 | | | |
| A | MU19 | 11 | 3678 | 6 | 36 | 1 | 3 | 8 | 108 | | | |
| A | MU19 | 4 | 3533 | 133 | 1723 | 30 | 247 | 159 | 2052 | | | |
| A | MU19 | 6 | 3572 | 160 | 1774 | 19 | 150 | 111 | 1159 | | | |
| A | MU19 | 9 | 3630 | 17 | 166 | 3 | 12 | 12 | 91 | | | |
| A | MU19 | 8 | 3614 | 85 | 2017 | 7 | 156 | 90 | 1872 | | | |
| A | MU19 | 10 | 3664 | 117 | 1862 | 17 | 263 | 149 | 2126 | | | |
| A | MU19 | 7 | 3597 | 140 | 3780 | 16 | 360 | 125 | 2261 | | | |
| A | MU19 | 13 | 3724 | 123 | 1356 | 24 | 193 | 131 | 1215 | | | |
| A | MU19 | 15 | 3764 | 301 | 3371 | 48 | 563 | 383 | 4757 | | | |
| A | MU19 | 15 | 3770 | 1 | 6 | | | | | | | |
| A | MU19 | 11 | 3673 | 1 | 3 | | | | | | | |
| A | MU2 | 1 | 1649 | 21 | 139 | 14 | 77 | 27 | 153 | 3 | 7 | |
| A | MU2 | 2 | 1656 | 25 | 165 | 8 | 36 | 23 | 108 | 3 | 10 | |
| A | MU2 | 4 | 1667 | 28 | 175 | 20 | 63 | 32 | 183 | 3 | 17 | |
| A | MU2 | 5 | 1672 | 130 | 693 | 49 | 208 | 87 | 330 | 9 | 88 | |
| A | MU2 | 7 | 1687 | 66 | 524 | 47 | 312 | 57 | 446 | 4 | 27 | |
| A | MU2 | 8 | 1693 | 291 | 1414 | 135 | 665 | 154 | 640 | 5 | 27 | |
| A | MU2 | 9 | 1807 | 82 | 319 | 42 | 133 | 40 | 155 | 3 | 15 | |
| A | MU2 | 10 | 1857 | 75 | 624 | 55 | 245 | 57 | 395 | 4 | 142 | |
| A | MU2 | 11 | 1894 | 71 | 704 | 48 | 444 | 74 | 768 | 15 | 299 | |
| A | MU2 | 12 | 2001 | 47 | 303 | 45 | 230 | 50 | 416 | 7 | 72 | |
| A | MU2 | 13 | 2008 | 76 | 645 | 71 | 425 | 88 | 728 | 16 | 197 | |
| A | MU2 | 14 | 2013 | 57 | 730 | 43 | 327 | 55 | 533 | 4 | 72 | |
| A | MU2 | 16 | 2041 | 52 | 503 | 30 | 206 | 31 | 269 | 1 | 6 | |
| A | MU2 | 17 | 2044 | 49 | 571 | 55 | 440 | 50 | 367 | | | |
| A | MU2 | 18 | 2052 | 54 | 769 | 54 | 411 | 53 | 493 | | | |
| B | MU2 | 1 | 9037 | 597 | 5143 | 681 | 3875 | 627 | 5583 | 7 | 64 | |
| B | MU2 | 7 | 5425 | 153 | 2655 | 99 | 828 | 199 | 2515 | | | |
| B | MU2 | 4 | 5417 | 92 | 1059 | 85 | 695 | 187 | 1908 | 3 | 19 | |
| B | MU2 | 3 | 5414 | 60 | 669 | 42 | 304 | 92 | 923 | 4 | 25 | |
| B | MU2 | 6 | 5420 | 23 | 319 | 31 | 205 | 67 | 775 | 1 | 10 | |
| B | MU2 | 2 | 5407 | 64 | 672 | 68 | 475 | 113 | 1136 | 17 | 151 | |
| B | MU2 | 8 | 5433 | 55 | 720 | 11 | 94 | 49 | 562 | | | |
| B | MU2 | 1 | 5395 | 95 | 841 | 163 | 1083 | 95 | 723 | 53 | 395 | |
| B | MU2 | 9 | 5445 | 77 | 2068 | 33 | 381 | 92 | 1095 | | | |
| B | MU2 | 5 | 5431 | 15 | 352 | 5 | 42 | 13 | 222 | | | |

| | | | | Café Gruesa | | Anaranjada | | Gris | | Gris/ Anaranjada | | Otra Pasta* |
|---|---|---|---|---|---|---|---|---|---|---|---|---|
| **Op.** | **Unidad** | **Lote** | **#FS** | **Total** | **Peso** | **Total** | **Peso** | **Total** | **Peso** | **Total** | **Peso** | **Tipo Total/peso** |
| A | MU20 | 4 | 3451 | 53 | 945 | 45 | 428 | 94 | 1069 | | | |
| A | MU20 | 3 | 3444 | 27 | 591 | 31 | 353 | 75 | 651 | 2 | 11 | |
| A | MU20 | 6 | 3458 | 13 | 422 | 15 | 267 | 14 | 443 | | | |
| A | MU20 | 2 | 3433 | 16 | 194 | 17 | 252 | 28 | 335 | | | |
| A | MU20 | 1 | 3419 | 71 | 1275 | 108 | 1132 | 81 | 1165 | 2 | 24 | |
| A | MU20 | 9 | 3477 | 45 | | | | | | | | |
| A | MU20 | 11 | 3504 | 16 | 130 | 7 | 86 | 25 | 446 | | | |
| A | MU20 | 5 | 3454 | 13 | 202 | 2 | 8 | 13 | 235 | | | |
| A | MU20 | 10 | 3585 | 98 | 1638 | 47 | 518 | 76 | 1667 | | | |
| A | MU20 | 8 | 3471 | 15 | 290 | 8 | 59 | 6 | 59 | 1 | 3 | |
| A | MU20 | 12 | 3515 | 20 | 365 | 3 | 21 | 11 | 197 | | | |
| A | MU21 | 5 | 3497 | 28 | 657 | 57 | 606 | 41 | 705 | | | |
| A | MU21 | 4 | 3483 | 75 | 1193 | 53 | 362 | 80 | 1255 | 8 | 35 | |
| A | MU21 | 9 | 3545 | 25 | 225 | 39 | 245 | 58 | 463 | 3 | 17 | |
| A | MU21 | 3 | 3468 | 29 | 412 | 19 | 187 | 39 | 412 | 8 | 50 | |
| A | MU21 | 6 | 3507 | 80 | 1161 | 73 | 716 | 82 | 999 | 1 | 2 | |
| A | MU21 | 7 | 3521 | 27 | 333 | 39 | 306 | 49 | 482 | 1 | 7 | |
| A | MU21 | 10 | 3568 | 21 | 197 | 18 | 132 | 58 | 434 | | | |
| A | MU21 | 8 | 3539 | 19 | 172 | 23 | 163 | 22 | 221 | | | |
| A | MU22 | 7 | 3619 | 37 | 369 | 38 | 196 | 167 | 953 | | | |
| A | MU22 | 3 | 3513 | 92 | 1296 | 136 | 1592 | 120 | 1857 | | | |
| A | MU22 | 6 | 3550 | 23 | 450 | 11 | 89 | 78 | 703 | | | |
| A | MU22 | 5 | 3542 | 35 | 404 | 41 | 270 | 54 | 487 | | | |
| A | MU22 | 4 | 3525 | 25 | 332 | 28 | 234 | 37 | 354 | | | |
| A | MU23 | 4 | 3680 | 11 | 120 | 2 | 21 | 11 | 109 | | | |
| A | MU23 | 2 | 3659 | 38 | 3618 | 1 | 9 | 8 | 105 | | | |
| A | MU23 | 5 | 3689 | 12 | 109 | 4 | 37 | 12 | 97 | 1 | 3 | |
| A | MU23 | 2 | 3646 | 27 | 1588 | 24 | 368 | 30 | 559 | | | |
| A | MU23 | 7 | 3840 | 17 | 108 | 2 | 5 | 3 | 19 | | | |
| A | MU23 | 6 | 3831 | 31 | 239 | 8 | 28 | 15 | 65 | | | |
| A | MU23 | 1 | 3634 | 22 | 431 | 32 | 253 | 42 | 467 | | | |
| A | MU23 | 8 | 3855 | 1 | 33 | 2 | 1 | 1 | 2 | | | |
| A | MU24 | 2 | 3623 | 87 | 877 | 55 | 454 | 68 | 615 | 5 | 18 | |
| A | MU24 | 1 | 3594 | 106 | 713 | 66 | 382 | 75 | 458 | 5 | 57 | |
| A | MU25 | 4 | 3643 | 196 | 1603 | 135 | 868 | 112 | 912 | 17 | 124 | |
| A | MU25 | 3 | 3602 | 152 | 1761 | 73 | 638 | 78 | 727 | 33 | 361 | |
| A | MU25 | 2 | 3561 | 90 | 1558 | 88 | 529 | 120 | 847 | 32 | 268 | |

| | | | | Café Gruesa | | Anaranjada | | Gris | | Gris/ Anaranjada | | Otra Pasta* |
|---|---|---|---|---|---|---|---|---|---|---|---|---|
| **Op.** | **Unidad** | **Lote** | **#FS** | **Total** | **Peso** | **Total** | **Peso** | **Total** | **Peso** | **Total** | **Peso** | **Tipo Total/peso** |
| A | MU26 | 1 | 3736 | 8 | 93 | 2 | 16 | 13 | 186 | | | |
| A | MU26 | 2 | 3738 | 6 | 82 | 1 | 18 | 5 | 14 | | | |
| A | MU26 | 2 | 3739 | 2 | 38 | | | | | | | |
| A | MU27 | 1 | 2744 | 12 | 108 | 11 | 78 | 11 | 68 | | | |
| A | MU27 | 1 | 2725 | 101 | 1013 | 58 | 359 | 48 | 487 | 11 | 166 | |
| A | MU27 | 1 | 2723 | 6 | 108 | 3 | 12 | 8 | 39 | | | |
| A | MU27 | 4 | 2785 | 1 | 9 | | | 7 | 59 | | | |
| A | MU27 | 2 | 2761 | 26 | 414 | 7 | 46 | 16 | 100 | 3 | 74 | |
| A | MU27 | 9 | 2915 | 2 | 36 | | | 3 | 43 | | | |
| A | MU27 | 12 | 2921 | 1 | 9 | 1 | 5 | 1 | 7 | | | |
| A | MU27 | 2 | 2760 | 2 | 14 | | | 12 | 89 | | | |
| A | MU27 | 5 | 2789 | 2 | 10 | 2 | 13 | 2 | 34 | | | |
| A | MU27 | 6 | 2794 | 1 | 23 | | | 1 | 21 | | | |
| A | MU27 | 4 | 2783 | 1 | 8 | | | 5 | 64 | 1 | 5 | |
| A | MU27 | 3 | 2775 | 8 | 142 | 2 | 7 | 10 | 144 | | | |
| A | MU27 | 3 | 2778 | 12 | 168 | 11 | 82 | 11 | 146 | | | |
| A | MU28 | 4 | 3817 | 330 | 2388 | 195 | 1280 | 230 | 1389 | 29 | 259 | |
| A | MU28 | 1 | 2735 | 95 | 1190 | 52 | 353 | 61 | 653 | 21 | 287 | |
| A | MU28 | 3 | 2913 | 102 | 1471 | 54 | 560 | 54 | 572 | 24 | 351 | |
| A | MU29 | 5 | 3119 | | | 1 | 6 | 2 | 135 | | | |
| A | MU29 | 2 | 2987 | 49 | 532 | 11 | 105 | 79 | 742 | | | |
| A | MU29 | 4 | 3114 | 5 | 497 | | | 6 | 197 | | | |
| A | MU29 | 1 | 2759 | 59 | 2949 | 10 | 74 | 75 | 888 | | | |
| A | MU29 | 5 | 3132 | 40 | 1001 | 9 | 126 | 57 | 2492 | | | |
| A | MU29 | 7 | 3146 | 89 | 1066 | 20 | 190 | 97 | 937 | | | |
| A | MU29 | 7 | 3153 | 2 | 52 | | | | | | | |
| A | MU29 | 6 | 3137 | 7 | 333 | | | | | | | |
| A | MU29 | 3 | 2999 | 48 | 472 | 11 | 86 | 58 | 474 | | | |
| A | MU29 | 8 | 3152 | 50 | 681 | 22 | 211 | 86 | 1342 | | | |
| A | MU29 | 6 | 3139 | 56 | 982 | 14 | 96 | 59 | 425 | | | |
| A | MU29 | 6 | 3138 | 6 | 99 | | | 4 | 115 | | | |
| A | MU29 | 6 | 3136 | | | | | 2 | 24 | | | |
| A | MU3 | 1 | 1784 | 109 | 1084 | 27 | 165 | 102 | 809 | 3 | 42 | |
| A | MU3 | 2 | 1961 | 228 | 2460 | 43 | 298 | 199 | 1711 | 1 | 3 | |
| A | MU3 | 2 | 1977 | 15 | 221 | 3 | 100 | 21 | 223 | | | |
| A | MU3 | 2 | 1996 | 8 | 492 | | | | | | | |
| B | MU3 | 1 | 9070 | 131 | 2132 | 84 | 674 | 106 | 1410 | | | |

| | | | | Café Gruesa | | Anaranjada | | Gris | | Gris/ Anaranjada | | Otra Pasta* |
|---|---|---|---|---|---|---|---|---|---|---|---|---|
| **Op.** | **Unidad** | **Lote** | **#FS** | **Total** | **Peso** | **Total** | **Peso** | **Total** | **Peso** | **Total** | **Peso** | **Tipo Total/peso** |
| A | MU30 | 3 | 3813 | 9 | 351 | 2 | 21 | 8 | 54 | | | |
| A | MU30 | 1 | 3802 | 18 | 151 | 14 | 81 | 20 | 180 | 3 | 18 | |
| A | MU30 | 2 | 3808 | 10 | 104 | 5 | 21 | 9 | 101 | | | |
| A | MU31 | 1 | 3841 | 7 | 62 | 3 | 21 | 3 | 52 | | | |
| A | MU31 | 5 | 3840 | 3 | 22 | | | 5 | 37 | | | |
| A | MU31 | 2 | 3872 | 7 | 94 | 2 | 17 | 8 | 52 | 1 | 4 | |
| A | MU31 | 4 | 3882 | 5 | 114 | 2 | 4 | 8 | 92 | | | |
| A | MU31 | 3 | 3879 | 9 | 82 | 1 | 3 | 14 | 119 | 1 | 10 | |
| A | MU31 | 6 | 3896 | 1 | 17 | | | | | | | |
| A | MU32 | 1 | 2983 | 3 | 14 | 1 | 7 | 4 | 15 | 7 | 46 | |
| A | MU32 | 1 | 2976 | | | 1 | 79 | | | | | |
| A | MU32 | 1 | 6089 | 21 | 104 | 11 | 4 | 9 | 30 | | | |
| A | MU32 | 1 | 6084 | 65 | 229 | 35 | 116 | 59 | 286 | 6 | 86 | |
| A | MU33 | 2 | 2984 | 46 | 830 | 4 | 16 | 48 | 579 | | | |
| A | MU33 | 1 | 2979 | 7 | 114 | 4 | 47 | 2 | 32 | | | |
| A | MU33 | 3 | 3101 | 2 | 132 | 1 | 12 | 5 | 51 | | | |
| A | MU33 | 3 | 2995 | | | 1 | 2 | 4 | 305 | | | |
| A | MU35 | 1 | 3143 | 1 | 1 | 1 | 1 | 1 | 1 | 2 | 13 | |
| A | MU36 | 1 | 3898 | 72 | 955 | 60 | 516 | 56 | 509 | 9 | 132 | |
| A | MU37 | 1 | 3919 | 16 | 131 | 6 | 34 | 6 | 18 | | | |
| A | MU4 | 8 | 2461 | 33 | 283 | 16 | 57 | 19 | 100 | | | |
| A | MU4 | 2 | 2413 | 108 | 1496 | 90 | 734 | 84 | 733 | | | |
| A | MU4 | 5 | 2441 | 67 | 815 | 45 | 448 | 37 | 288 | | | |
| A | MU4 | 6 | 2448 | 13 | 137 | 25 | 130 | 20 | 167 | | | |
| A | MU4 | 7 | 2454 | 18 | 68 | 12 | 46 | 21 | 132 | | | |
| A | MU4 | 3 | 2421 | 74 | 1282 | 79 | 807 | 125 | 1868 | 1 | 7 | |
| A | MU4 | 4 | 2431 | 55 | 825 | 67 | 632 | 47 | 460 | | | |
| A | MU4 | 1 | 2408 | 61 | 1020 | 85 | 709 | 89 | 877 | 1 | 23 | |
| B | MU4 | 1 | 9184 | 26 | 221 | 23 | 205 | 40 | 440 | | | |
| B | MU4 | 2 | 9265 | 394 | 4857 | 256 | 1786 | 587 | 7680 | 2 | 8 | |
| A | MU5 | 4 | 2464 | 133 | 1073 | 21 | 192 | 141 | 915 | | | |
| A | MU5 | 5 | 2465 | 107 | 903 | 18 | 79 | 85 | 848 | | | |
| A | MU5 | 6 | 2475 | 114 | 1494 | 17 | 267 | 166 | 1942 | 2 | 37 | |
| A | MU5 | 2 | 2437 | 327 | 1793 | 66 | 339 | 262 | 1771 | | | |
| A | MU5 | 10 | 2637 | 24 | 745 | 1 | 83 | 27 | 915 | | | |
| A | MU5 | 9 | 2609 | 16 | 278 | 5 | 66 | 25 | 249 | | | |
| A | MU5 | 8 | 2608 | 26 | 487 | 3 | 28 | 20 | 156 | | | |

| | | | | Café Gruesa | | Anaranjada | | Gris | | Gris/ Anaranjada | | Otra Pasta* |
|---|---|---|---|---|---|---|---|---|---|---|---|---|
| **Op.** | **Unidad** | **Lote** | **#FS** | **Total** | **Peso** | **Total** | **Peso** | **Total** | **Peso** | **Total** | **Peso** | **Tipo Total/peso** |
| A | MU5 | 3 | 2449 | 207 | 1343 | 14 | 71 | 286 | 1418 | | | |
| A | MU5 | 1 | 2417 | 94 | 1025 | 47 | 182 | 137 | 812 | 3 | 8 | |
| A | MU5 | 7 | 2495 | 364 | 3667 | 54 | 375 | 391 | 4041 | 3 | 24 | |
| B | MU5 | 1 | 9267 | 801 | 8697 | 670 | 4233 | 692 | 9116 | 4 | 37 | |
| A | MU6 | 2 | 2145 | 173 | 1227 | 61 | 294 | 85 | 540 | 31 | 139 | |
| A | MU6 | 4 | 2367 | 126 | 1156 | 73 | 486 | 75 | 449 | 25 | 138 | |
| A | MU6 | 3 | 2360 | 164 | 1219 | 76 | 465 | 61 | 399 | 49 | 291 | |
| B | MU6 | 1 | 9210 | 314 | 3652 | 288 | 1769 | 665 | 8192 | 5 | 62 | |
| B | MU6 | 2 | 9346 | 2 | 620 | | | 2 | 23 | | | |
| B | MU6 | 2 | 9345 | 526 | 8132 | 301 | 2589 | 756 | 11497 | 4 | 37 | |
| B | MU6 | 2 | 9919 | 59 | 568 | 6 | 37 | 37 | 437 | | | |
| B | MU6 | 1 | 9218 | 21 | 111 | | | 3 | 29 | | | |
| A | MU7 | 8 | 2828 | 87 | 667 | 9 | 28 | 71 | 353 | | | |
| A | MU7 | 7 | 2827 | 24 | 187 | 4 | 16 | 20 | 124 | | | |
| A | MU7 | 11 | 2862 | 104 | 714 | 7 | 20 | 73 | 316 | | | |
| A | MU7 | 10 | 2854 | 51 | 347 | 4 | 33 | 36 | 220 | | | |
| A | MU7 | 9 | 2843 | 16 | 703 | 10 | 41 | 83 | 424 | 2 | 3 | |
| A | MU7 | 20 | 3046 | 114 | 1168 | 33 | 259 | 119 | 1136 | 1 | 13 | |
| A | MU7 | 12 | 2874 | 59 | 822 | | | 64 | 1158 | 8 | 193 | |
| A | MU7 | 16 | 3009 | 55 | 445 | 9 | 56 | 47 | 276 | | | |
| A | MU7 | 4 | 2805 | 81 | 515 | 24 | 148 | 35 | 258 | 10 | 47 | |
| A | MU7 | 22 | 3095 | 17 | 142 | 4 | 29 | 17 | 86 | | | |
| A | MU7 | 17 | 3019 | 89 | 1066 | 10 | 50 | 78 | 275 | 2 | 9 | |
| A | MU7 | 14 | 3003 | 141 | 1176 | 47 | 599 | 42 | 539 | 8 | 131 | |
| A | MU7 | 15 | 3007 | 102 | 997 | 21 | 112 | 69 | 343 | 6 | 23 | |
| A | MU7 | 21 | 3066 | 39 | 761 | 9 | 74 | 47 | 763 | | | |
| A | MU7 | 26 | 3257 | 120 | 1209 | 17 | 120 | 116 | 1656 | 4 | 12 | |
| A | MU7 | 27 | 3285 | 107 | 1393 | 18 | 347 | 103 | 1410 | | | CF 1/20 |
| A | MU7 | 28 | 3315 | 79 | 1639 | 11 | 131 | 88 | 1251 | | | |
| A | MU7 | 2 | 2688 | 621 | 4227 | 175 | 886 | 188 | 981 | 91 | 573 | |
| A | MU7 | 29 | 3327 | 68 | 818 | 3 | 40 | 91 | 719 | | | |
| A | MU7 | 19 | 3035 | 243 | 2389 | 65 | 513 | 160 | 1401 | 20 | 365 | |
| A | MU7 | 25 | 3238 | 92 | 907 | 21 | 143 | 88 | 843 | 1 | 5 | |
| A | MU7 | 24 | 3227 | 109 | 906 | 18 | 169 | 90 | 873 | 1 | 2 | |
| A | MU7 | 5 | 2813 | 49 | 360 | 15 | 171 | 23 | 195 | 6 | 17 | |
| A | MU7 | 23 | 3206 | 47 | 697 | 14 | 87 | 36 | 404 | | | |
| A | MU7 | 3 | 2697 | 796 | 5061 | 280 | 1761 | 224 | 1737 | 141 | 818 | |

| | | | | Café Gruesa | | Anaranjada | | Gris | | Gris/ Anaranjada | | Otra Pasta* |
|---|---|---|---|---|---|---|---|---|---|---|---|---|
| **Op.** | **Unidad** | **Lote** | **#FS** | **Total** | **Peso** | **Total** | **Peso** | **Total** | **Peso** | **Total** | **Peso** | **Tipo Total/peso** |
| A | MU7 | 13 | 2889 | 271 | 2082 | 76 | 500 | 98 | 536 | 38 | 329 | |
| B | MU7 | 1 | 9425 | 27 | 226 | 27 | 135 | 29 | 169 | 6 | 44 | |
| B | MU7 | 2 | 9440 | 7 | 268 | 8 | 51 | 8 | 69 | 3 | 21 | |
| B | MU7 | 3 | 9458 | 17 | 150 | 30 | 204 | 30 | 253 | 5 | 28 | |
| B | MU7 | 5 | 9888 | 51 | 485 | 53 | 411 | 52 | 497 | 16 | 183 | |
| A | MU7 | 18 | 3025 | 329 | 4021 | 113 | 1095 | 80 | 848 | 47 | 546 | |
| B | MU7 | 4 | 9869 | 24 | 250 | 21 | 127 | 44 | 352 | 9 | 47 | |
| A | MU7 | 12 | 3006 | 1 | 25 | | | | | | | |
| A | MU8 | 3 | 2197 | 562 | 5139 | 588 | 2907 | 586 | 4489 | 22 | 132 | |
| A | MU8 | 3 | 2326 | 1 | 165 | | | | | | | |
| A | MU8 | 4 | 2332 | 259 | 1622 | 297 | 1177 | 229 | 1238 | 7 | 11 | |
| A | MU8 | 5 | 2349 | 242 | 2175 | 188 | 849 | 305 | 2048 | | | |
| A | MU8 | 2 | 2182 | 87 | 646 | 55 | 220 | 99 | 572 | 10 | 45 | |
| A | MU8 | 1 | 2166 | 133 | 597 | 107 | 297 | 163 | 640 | 17 | 37 | |
| B | MU8 | 1 | 9501 | 422 | 6137 | 774 | 6010 | 627 | 7580 | 11 | 133 | |
| A | MU9 | 2 | 2328 | 112 | 1160 | 69 | 560 | 76 | 605 | 42 | 261 | |
| A | MU9 | 5 | 2703 | 56 | 724 | 11 | 53 | 50 | 386 | | | |
| A | MU9 | 1 | 2165 | 64 | 323 | 28 | 57 | 26 | 88 | 7 | 11 | |
| A | MU9 | 4 | 2591 | 112 | 728 | 51 | 283 | 93 | 859 | 28 | 112 | |
| A | MU9 | 3 | 2341 | 69 | 448 | 42 | 253 | 39 | 291 | 27 | 182 | |
| A | MU9 | 6 | 3622 | 19 | 133 | 1 | 4 | 14 | 126 | | | |
| B | MU9 | 1 | 9596 | 710 | 6201 | 1043 | 5614 | 614 | 4863 | | | |
| A | MU9 | 9 | 2926 | 2 | 2311 | | | | | | | |
| B | MU9 | 3 | 9852 | 34 | 1203 | 41 | 315 | 59 | 812 | | | |
| A | MU9 | 7 | 2902 | 39 | 575 | 18 | 89 | 41 | 213 | | | |
| A | MU9 | 12 | 2935 | 8 | 62 | 4 | 28 | 14 | 239 | | | |
| A | MU9 | 11 | 2930 | 12 | 127 | 5 | 33 | 20 | 206 | | | |
| A | MU9 | 9 | 2925 | 20 | 177 | 2 | 7 | 25 | 116 | | | |
| A | MU9 | 10 | 2929 | 5 | 40 | 6 | 30 | 10 | 69 | 1 | 2 | |
| A | MU9 | 13 | 2946 | 30 | 346 | 7 | 55 | 36 | 486 | | | |
| A | MU9 | 8 | 2905 | 31 | 367 | 12 | 71 | 35 | 479 | | | |
| B | MU9 | 2 | 9826 | 57 | 896 | 79 | 691 | 89 | 1091 | | | |
| A | MU9 | 8 | 2918 | 20 | 6779 | | | | | | | |
| B | MuroLC | | 9972 | 9 | 215 | 10 | 103 | 12 | 1014 | | | |
| A | N/A | Sup | 1002 | 6 | 67 | 3 | 43 | 2 | 50 | | | |
| A | N/A | Sup | 1001 | 1 | 7 | | | 7 | 170 | | | |
| A | N/A | Sup | 1004 | | | 2 | 3 | 1 | 6 | 1 | 94 | |

| | | | | Café Gruesa | | Anaranjada | | Gris | | Gris/ Anaranjada | | Otra Pasta* |
|---|---|---|---|---|---|---|---|---|---|---|---|---|
| **Op.** | **Unidad** | **Lote** | **#FS** | **Total** | **Peso** | **Total** | **Peso** | **Total** | **Peso** | **Total** | **Peso** | **Tipo Total/peso** |
| B | N/A | Sup | 5009 | | | 1 | 29 | | | | | |
| B | N/A | Sup | 8004 | | | | | 3 | 242 | 2 | 26 | |
| A | N10 | 4 | 2572 | 16 | 230 | 6 | 23 | 24 | 196 | | | |
| A | N10 | 2 | 2589 | 9 | 140 | 7 | 58 | 14 | 173 | | | |
| A | N10 | 5 | 2713 | | | | | 6 | 885 | | | |
| A | N10 | 6 | 2718 | 8 | 177 | 4 | 27 | 4 | 69 | | | |
| A | N10 | 3 | 2704 | 7 | 29 | 1 | 3 | 8 | 44 | | | |
| A | N10 | 5 | 2708 | 6 | 103 | 2 | 19 | 5 | 49 | | | |
| A | N10 | 1 | 2564 | 9 | 88 | 2 | 16 | 9 | 132 | | | |
| A | N10 | 8 | 3582 | 8 | 67 | 2 | 5 | 13 | 145 | | | |
| A | N10 | 7 | 3570 | 6 | 27 | 2 | 12 | 8 | 112 | | | |
| A | N10 | 9 | 2938 | 7 | 184 | | | 4 | 446 | | | |
| A | N10 | 10 | 2954 | 63 | 1998 | 7 | 50 | 72 | 1734 | | | |
| A | N10 | 12 | 2976 | 8 | 142 | | | 12 | 301 | | | |
| A | N10 | 9 | 2952 | 8 | 165 | 1 | 7 | 12 | 213 | | | |
| A | N10 | 11 | 2970 | 22 | 191 | 26 | 129 | 49 | 254 | | | |
| A | N11 | 1 | 2364 | 160 | 1108 | 56 | 257 | 147 | 1361 | 1 | 6 | |
| A | N11 | 2 | 2534 | 7 | 94 | 3 | 9 | 9 | 57 | | | |
| A | N20 | 5 | 1779 | 76 | 592 | 18 | 86 | 55 | 543 | 18 | 57 | |
| A | N20 | 1 | 1752 | 44 | 217 | 24 | 93 | 33 | 133 | 3 | 11 | |
| A | N20 | 2 | 1759 | 77 | 459 | 51 | 284 | 65 | 529 | 17 | 82 | |
| A | N20 | 4 | 1771 | 67 | 399 | 32 | 153 | 18 | 78 | 24 | 77 | |
| A | N20 | 3 | 1763 | 121 | 668 | 43 | 139 | 60 | 384 | 20 | 79 | |
| A | N24 | 2 | 3530 | 276 | 2342 | 171 | 1014 | 117 | 735 | 56 | 470 | |
| B | NN31 | 2 | 8587 | 673 | 5823 | 418 | 2948 | 337 | 2035 | 217 | 1242 | |
| B | NN31 | 3 | 8598 | 238 | 1572 | 180 | 832 | 116 | 648 | 61 | 288 | |
| B | NN31 | 4 | 8625 | 297 | 2805 | 355 | 1885 | 427 | 2864 | 62 | 297 | |
| B | NN33 | 3 | 9148 | 32 | 332 | 29 | 286 | 34 | 300 | 16 | 130 | |
| B | NN33 | 2 | 9135 | 86 | 1371 | 109 | 632 | 90 | 742 | 55 | 328 | |
| B | NN33 | 4 | 9151 | 329 | 2084 | 205 | 1076 | 323 | 1703 | 12 | 39 | |
| B | NN34 | 8 | 9061 | 202 | 2135 | 111 | 689 | 84 | 718 | | | |
| B | NN36 | 3 | 8591 | 85 | 774 | 86 | 511 | 119 | 830 | 13 | 134 | |
| B | NN36 | 4 | 8601 | 107 | 1040 | 131 | 830 | 161 | 1330 | 3 | 27 | |
| B | NN36 | 6 | 8615 | 35 | 249 | 27 | 133 | 22 | 160 | | | |
| B | NN36 | 5 | 8608 | 90 | 1273 | 107 | 885 | 120 | 1234 | | | |
| B | NN36 | 11 | 8676 | 108 | 904 | 24 | 167 | 96 | 804 | | | |
| B | NN36 | 9 | 8657 | 423 | 3509 | 190 | 898 | 368 | 3496 | 2 | 8 | |

| | | | | Café Gruesa | | Anaranjada | | Gris | | Gris/ Anaranjada | | Otra Pasta* |
|---|---|---|---|---|---|---|---|---|---|---|---|---|
| **Op.** | **Unidad** | **Lote** | **#FS** | **Total** | **Peso** | **Total** | **Peso** | **Total** | **Peso** | **Total** | **Peso** | **Tipo Total/peso** |
| B | NN36 | 10 | 8670 | 328 | 2305 | 78 | 403 | 298 | 2175 | | | |
| B | NN36 | 8 | 8632 | 470 | 3103 | 367 | 1609 | 367 | 2371 | 4 | 21 | |
| B | NN36 | 7 | 8621 | 23 | 154 | 35 | 137 | 37 | 232 | | | |
| B | NN37 | 7 | 9572 | 226 | 2417 | 147 | 950 | 198 | 1882 | | | |
| B | NN37 | 8 | 9606 | 208 | 2331 | 135 | 888 | 215 | 2663 | | | |
| B | NN37 | 6 | 9560 | 95 | 951 | 132 | 753 | 144 | 1148 | | | |
| B | NN37 | 1 | 9459 | 94 | 770 | 90 | 536 | 90 | 765 | 48 | 236 | |
| B | NN37 | 2 | 9477 | 101 | 1112 | 110 | 761 | 120 | 1330 | 42 | 230 | |
| B | NN37 | 4 | 9518 | 38 | 452 | 66 | 572 | 64 | 915 | | | |
| B | NN37 | 3 | 9493 | 41 | 555 | 63 | 560 | 91 | 1056 | 7 | 61 | |
| B | NN37 | 5 | 9546 | 29 | 351 | 32 | 224 | 31 | 355 | 3 | 26 | |
| B | NN38 | 2 | 8697 | 157 | 1399 | 184 | 1150 | 181 | 1397 | 28 | 197 | |
| B | NN38 | 3 | 8708 | 54 | 713 | 69 | 460 | 58 | 481 | 1 | 6 | |
| B | NN38 | 2 | 8579 | 192 | 2085 | 187 | 1291 | 144 | 1502 | 101 | 780 | |
| B | NN38 | 4 | 8722 | 53 | 605 | 48 | 283 | 69 | 502 | | | |
| B | NN38 | 1 | 8689 | 300 | 3005 | 295 | 1624 | 383 | 2732 | 172 | 628 | C/M 1/247 |
| B | NN38 | 8 | 8771 | 179 | 1340 | 78 | 356 | 139 | 1528 | | | |
| B | NN38 | 5 | 8730 | 125 | 1375 | 120 | 728 | 133 | 1126 | 2 | 5 | |
| B | NN38 | 6 | 8743 | 199 | 1808 | 396 | 2225 | 247 | 1811 | 7 | 23 | |
| B | NN38 | 11 | 8813 | 106 | 1540 | 53 | 355 | 252 | 2975 | 1 | 5 | |
| B | NN38 | 7 | 8757 | 202 | 1775 | 144 | 581 | 187 | 1378 | 2 | 10 | |
| B | NN38 | 10 | 8791 | 62 | 782 | 31 | 188 | 122 | 1549 | 2 | 9 | |
| B | NN38 | 9 | 8784 | 88 | 1128 | 49 | 323 | 135 | 1511 | | | |
| B | NN38 | 9 | 9270 | 11 | 68 | 5 | 9 | 12 | 375 | | | |
| B | NN38 | 9 | 9271 | 20 | 266 | 5 | 11 | 14 | 104 | | | |
| B | NN40 | 4 | 9142 | 58 | 1100 | 90 | 662 | 106 | 962 | 4 | 39 | |
| B | NN40 | 2 | 9104 | 139 | 1562 | 168 | 1061 | 102 | 930 | 70 | 480 | |
| B | NN40 | 3 | 9118 | 114 | 1290 | 194 | 1180 | 165 | 1436 | 71 | 479 | |
| B | NN44 | 5 | 8618 | 93 | 1258 | 58 | 189 | 101 | 665 | 2 | 4 | |
| B | NN44 | 4 | 8612 | 114 | 1455 | 109 | 473 | 130 | 761 | | | |
| B | NN44 | 12 | 8692 | 56 | 775 | 13 | 231 | 112 | 1631 | | | |
| B | NN44 | 3 | 8604 | 234 | 1985 | 189 | 1119 | 175 | 1127 | 18 | 89 | |
| B | NN44 | 2 | 8582 | 166 | 933 | 166 | 689 | 107 | 489 | 85 | 292 | |
| B | NN44 | 11 | 8683 | 553 | 4848 | 88 | 828 | 422 | 3680 | 8 | 60 | |
| B | NN44 | 8 | 8646 | 138 | 1064 | 75 | 350 | 172 | 1093 | | | |
| B | NN44 | 10 | 8674 | 164 | 2076 | 31 | 366 | 269 | 4056 | 2 | 22 | |
| B | NN44 | 8 | 8651 | 20 | 241 | 5 | 71 | 13 | 247 | | | |

| | | | | Café Gruesa | | Anaranjada | | Gris | | Gris/ Anaranjada | | Otra Pasta* |
|---|---|---|---|---|---|---|---|---|---|---|---|---|
| **Op.** | **Unidad** | **Lote** | **#FS** | **Total** | **Peso** | **Total** | **Peso** | **Total** | **Peso** | **Total** | **Peso** | **Tipo Total/peso** |
| B | NN44 | 7 | 8631 | 97 | 568 | 43 | 272 | 50 | 229 | | | |
| B | NN44 | 9 | 8664 | 139 | 2087 | 41 | 354 | 252 | 3577 | | | |
| A | O10 | 3 | 2143 | 61 | 902 | 47 | 268 | 46 | 332 | 1 | 5 | |
| A | O10 | 2 | 2128 | 31 | 175 | 12 | 46 | 31 | 262 | | | |
| A | O10 | 5 | 2156 | 112 | 927 | 64 | 265 | 101 | 647 | 4 | 21 | |
| A | O10 | 4 | 2149 | 262 | 1852 | 80 | 478 | 268 | 2112 | 2 | 6 | |
| A | O10 | 1 | 2122 | 42 | 335 | 48 | 334 | 87 | 533 | 3 | 26 | |
| A | O10 | 6 | 2906 | | | | | 11 | 649 | | | |
| A | O10 | 6 | 2901 | 4 | 117 | | | 11 | 223 | | | |
| A | O10 | 8 | 2907 | 5 | 45 | 4 | 59 | 1 | 3 | | | |
| A | O11 | 4 | 1939 | 15 | 168 | 36 | 424 | 38 | 388 | | | |
| A | O11 | 5 | 1945 | 54 | 1086 | 99 | 964 | 63 | 1099 | | | |
| A | O11 | 3 | 1935 | | | 10 | 141 | | | | | |
| A | O11 | 3 | 1936 | | | 6 | 250 | | | | | |
| A | O11 | 2 | 1924 | 160 | 1358 | 159 | 634 | 120 | 1651 | 28 | 93 | I 1/2 |
| A | O11 | 4 | 1940 | 1 | 2 | 10 | 19 | 7 | 126 | | | |
| A | O11 | 6 | 1951 | 28 | 306 | 23 | 113 | 42 | 607 | | | |
| A | O11 | 12 | 1983 | 199 | 1362 | 55 | 330 | 186 | 1191 | 3 | 11 | |
| A | O11 | 11 | 1975 | 103 | 770 | 39 | 188 | 104 | 849 | | | |
| A | O11 | 10 | 1968 | 166 | 1001 | 118 | 434 | 206 | 1253 | 5 | 20 | |
| A | O11 | 7 | 1956 | 98 | 516 | 100 | 300 | 105 | 512 | 2 | 12 | |
| A | O11 | 8 | 1960 | 43 | 266 | 40 | 158 | 34 | 197 | | | |
| A | O11 | 9 | 1965 | 190 | 1351 | 118 | 426 | 177 | 1008 | 1 | 5 | |
| A | O11 | 13 | 3110 | 28 | 547 | 4 | 149 | 5 | 46 | | | |
| A | O11 | 14 | 3116 | 30 | 185 | 7 | 155 | 11 | 39 | | | |
| B | O14 | 1 | 5342 | 271 | 1661 | 126 | 642 | 104 | 564 | 57 | 291 | |
| B | O14 | 2 | 5346 | 130 | 1129 | 96 | 628 | 101 | 887 | 15 | 84 | |
| B | O14 | 5 | 5359 | 33 | 353 | 52 | 387 | 64 | 551 | 1 | 3 | |
| B | O14 | 4 | 5355 | 41 | 418 | 54 | 304 | 87 | 753 | 14 | 20 | |
| A | O16 | 7 | 1720 | 113 | 995 | | | 85 | 661 | 17 | 98 | |
| A | O16 | 5 | 1634 | 334 | 1971 | 59 | 255 | 43 | 888 | 1 | 3 | |
| A | O16 | 2 | 1585 | 241 | 911 | 123 | 390 | 128 | 448 | 51 | 198 | |
| A | O16 | 6 | 1709 | 220 | 1324 | 30 | 135 | 187 | 107 | 4 | 8 | |
| A | O16 | 3 | 1607 | 162 | 733 | 78 | 267 | 97 | 556 | 46 | 201 | |
| A | O16 | 1 | 1572 | 116 | 1112 | 70 | 475 | 87 | 771 | 45 | 285 | |
| A | O16 | 8 | 1730 | 80 | 783 | 10 | 65 | 74 | 575 | | | |
| A | O16 | 4 | 1620 | 291 | 1509 | 98 | 427 | 141 | 797 | 26 | 73 | |

| | | | | Café Gruesa | | Anaranjada | | Gris | | Gris/ Anaranjada | | Otra Pasta* |
|---|---|---|---|---|---|---|---|---|---|---|---|---|
| **Op.** | **Unidad** | **Lote** | **#FS** | **Total** | **Peso** | **Total** | **Peso** | **Total** | **Peso** | **Total** | **Peso** | **Tipo Total/peso** |
| A | O16 | 8 | 1732 | | | 2 | 33 | 7 | 507 | | | |
| A | O16 | 8 | 2359 | | | | | 1 | 28 | | | |
| B | O19 | 3 | 5377 | 40 | 322 | 57 | 340 | 43 | 314 | 17 | 120 | |
| B | O19 | 5 | 5384 | 37 | 458 | 29 | 158 | 44 | 399 | | | |
| B | O19 | 4 | 5380 | 48 | 512 | 41 | 241 | 56 | 412 | | | |
| B | O19 | 2 | 5369 | 98 | 882 | 46 | 233 | 52 | 551 | 40 | 298 | |
| B | O19 | 1 | 5366 | 35 | 336 | 22 | 117 | 21 | 148 | 16 | 114 | |
| A | O20 | 1 | 1530 | 10 | 66 | 3 | 8 | 6 | 53 | | | |
| A | O20 | 3 | 1636 | 219 | 1107 | 66 | 337 | 49 | 170 | 37 | 134 | |
| A | O20 | 4 | 1711 | 140 | 1424 | 34 | 118 | 148 | 771 | 3 | 8 | |
| A | O20 | 2 | 1618 | 131 | 705 | 78 | 375 | 74 | 536 | 39 | 188 | |
| B | OO32 | 2 | 9113 | 86 | 1843 | 127 | 1053 | 72 | 702 | 57 | 340 | |
| B | OO32 | 3 | 9127 | 98 | 1063 | 106 | 932 | 60 | 436 | 49 | 375 | |
| B | OO34 | 5 | 9175 | 88 | 940 | 110 | 735 | 113 | 968 | 4 | 37 | |
| B | OO34 | 6 | 9188 | 48 | 774 | 60 | 460 | 66 | 714 | 1 | 2 | |
| B | OO34 | 2 | 9153 | 107 | 1320 | 96 | 1091 | 27 | 477 | 33 | 325 | |
| B | OO34 | 4 | 9169 | 40 | 415 | 43 | 320 | 37 | 351 | 34 | 262 | |
| B | OO34 | 3 | 9163 | 80 | 921 | 80 | 662 | 69 | 745 | 45 | 377 | |
| B | OO34 | 13 | 9553 | 56 | 543 | 38 | 181 | 49 | 260 | | | |
| B | OO34 | 9 | 9497 | 12 | 248 | 5 | 32 | 10 | 123 | | | |
| B | OO34 | 12 | 9540 | 67 | 455 | 70 | 360 | 45 | 298 | | | |
| B | OO34 | 8 | 9480 | 49 | 528 | 87 | 491 | 48 | 475 | | | |
| B | OO34 | 11 | 9516 | 6 | 103 | 6 | 21 | 3 | 19 | | | |
| B | OO34 | 7 | 9471 | 39 | 565 | 76 | 413 | 88 | 888 | | | |
| B | OO34 | 10 | 9499 | 9 | 87 | 6 | 33 | 6 | 63 | | | |
| B | OO38 | 9 | 8207 | 249 | 2245 | 252 | 1300 | 244 | 2507 | 2 | 4 | PI 1/10 |
| B | OO38 | 9 | 8215 | 379 | 4022 | 245 | 1710 | 222 | 2597 | 5 | 56 | |
| B | OO38 | 1 | 8118 | 401 | 1885 | 323 | 963 | 218 | 965 | 134 | 358 | C/M 14/57 |
| B | OO38 | 12 | 8285 | 251 | 2872 | 111 | 570 | 250 | 2466 | | | |
| B | OO38 | 4 | 8157 | 191 | 1391 | 218 | 873 | 202 | 1125 | 23 | 70 | |
| B | OO38 | 10 | 8230 | 11 | 129 | 16 | 288 | 35 | 2347 | | | |
| B | OO38 | 3 | 8144 | 94 | 639 | 139 | 722 | 109 | 729 | 60 | 251 | |
| B | OO38 | 2 | 8134 | 632 | 3386 | 526 | 1828 | 410 | 1822 | 198 | 698 | |
| B | OO38 | 8 | 8189 | 325 | 2470 | 552 | 2453 | 328 | 2855 | 6 | 22 | |
| B | OO38 | 6 | 8169 | 117 | 1465 | 128 | 849 | 152 | 1783 | | | |
| B | OO38 | 5 | 8162 | 112 | 932 | 154 | 735 | 107 | 654 | 2 | 9 | |
| B | OO38 | 7 | 8178 | 94 | 1007 | 104 | 496 | 92 | 492 | | | |

| | | | | Café Gruesa | | Anaranjada | | Gris | | Gris/ Anaranjada | | Otra Pasta* |
|---|---|---|---|---|---|---|---|---|---|---|---|---|
| **Op.** | **Unidad** | **Lote** | **#FS** | **Total** | **Peso** | **Total** | **Peso** | **Total** | **Peso** | **Total** | **Peso** | **Tipo Total/peso** |
| B | OO38 | 10 | 8227 | 42 | 876 | 42 | 254 | 33 | 419 | 1 | 1 | |
| B | OO38 | 13 | 8305 | 120 | 1351 | 35 | 197 | 155 | 1650 | 3 | 29 | |
| B | OO38 | 11 | 8267 | 211 | 2582 | 94 | 1004 | 212 | 2346 | | | |
| B | OO41 | 4 | 9101 | 68 | 647 | 85 | 596 | 75 | 540 | 1 | 1 | |
| B | OO41 | 3 | 9051 | 127 | 909 | 111 | 465 | 97 | 636 | 39 | 241 | |
| B | OO41 | 2 | 9067 | 198 | 2005 | 163 | 945 | 128 | 975 | 77 | 422 | |
| B | OO41 | 3 | 9088 | 180 | 2030 | 182 | 1054 | 173 | 1863 | 21 | 88 | |
| B | OO42 | 4 | 9146 | 87 | 961 | 95 | 745 | 80 | 797 | 14 | 127 | |
| B | OO44 | 3 | 9019 | 132 | 1071 | 92 | 409 | 65 | 470 | 28 | 157 | |
| B | OO44 | 2 | 9015 | 169 | 1498 | 115 | 636 | 121 | 915 | 87 | 428 | |
| B | OO44 | 1 | 9002 | 97 | 632 | 69 | 380 | 63 | 431 | 28 | 124 | |
| B | OO44 | 4 | 9044 | 38 | 279 | 35 | 167 | 27 | 166 | 2 | 3 | |
| B | OO44 | 5 | 9045 | 47 | 515 | 34 | 177 | 46 | 316 | 2 | 5 | |
| A | P10 | 2 | 1010 | 183 | 785 | 95 | 354 | 131 | 462 | 22 | 80 | |
| A | P10 | 5 | 1047 | 670 | 3000 | 367 | 1360 | 377 | 1672 | 72 | 236 | |
| A | P10 | 6 | 1083 | 360 | 2570 | 154 | 682 | 150 | 985 | 19 | 130 | |
| A | P10 | 4 | 1034 | 48 | 192 | 30 | 82 | 29 | 132 | 4 | 6 | |
| A | P10 | 3 | 1033 | 111 | 894 | 139 | 650 | 113 | 470 | 12 | 84 | |
| A | P10 | 8 | 1113 | 318 | 2016 | 191 | 790 | 216 | 1374 | 30 | 164 | |
| A | P10 | 7 | 1096 | 454 | 3197 | 261 | 1188 | 147 | 1127 | 24 | 163 | |
| A | P10 | 9 | 1127 | 470 | 2392 | 228 | 894 | 121 | 1070 | 42 | 167 | |
| A | P10 | 1 | 1008 | 39 | 200 | 31 | 85 | 55 | 246 | 9 | 25 | |
| A | P10 | 10 | 1150 | 253 | 1556 | 115 | 699 | 142 | 969 | 24 | 148 | |
| A | P11 | 7 | 1515 | 111 | 987 | 51 | 396 | 85 | 672 | 12 | 128 | |
| A | P11 | 2 | 1337 | 28 | 168 | 28 | 114 | 30 | 155 | 1 | 4 | |
| A | P11 | 3 | 1357 | 227 | 2151 | 183 | 937 | 203 | 1830 | 38 | 165 | |
| A | P11 | 1 | 1322 | 11 | 52 | 12 | 38 | 24 | 100 | 4 | 21 | |
| A | P11 | 6 | 1403 | 205 | 1712 | 153 | 954 | 212 | 2111 | 24 | 244 | |
| A | P11 | 5 | 1455 | 71 | 627 | 93 | 774 | 111 | 190 | 12 | 92 | |
| A | P11 | 4 | 1429 | 146 | 1287 | 133 | 825 | 138 | 1308 | 19 | 175 | |
| A | P13 | 4 | 1037 | 67 | 329 | 29 | 63 | 74 | 365 | 19 | 60 | |
| A | P13 | 6 | 1061 | 148 | 881 | 106 | 503 | 169 | 887 | 12 | 57 | |
| A | P13 | 2 | 1018 | 162 | 669 | 67 | 241 | 124 | 451 | 33 | 154 | |
| A | P13 | 8 | 1086 | 118 | 842 | 103 | 409 | 110 | 812 | | | |
| A | P13 | 3 | 1029 | 118 | 421 | 68 | 278 | 73 | 341 | 8 | 30 | |
| A | P13 | 5 | 1051 | 68 | 277 | 50 | 114 | 78 | 257 | 12 | 37 | |
| A | P13 | 7 | 1075 | 208 | 1123 | 199 | 881 | 157 | 948 | 10 | 63 | |

| | | | | Café Gruesa | | Anaranjada | | Gris | | Gris/ Anaranjada | | Otra Pasta* |
|---|---|---|---|---|---|---|---|---|---|---|---|---|
| **Op.** | **Unidad** | **Lote** | **#FS** | **Total** | **Peso** | **Total** | **Peso** | **Total** | **Peso** | **Total** | **Peso** | **Tipo Total/peso** |
| A | P13 | 12 | 1169 | 96 | 382 | 18 | 103 | 79 | 342 | | | |
| A | P13 | 9 | 1114 | 63 | 472 | 59 | 296 | 164 | 894 | | | |
| A | P13 | 1 | 1009 | 212 | 675 | 153 | 320 | 94 | 410 | 64 | 158 | |
| A | P13 | 11 | 1148 | 47 | 346 | 34 | 176 | 92 | 640 | | | |
| A | P13 | 10 | 1134 | 113 | 666 | 44 | 131 | 247 | 1064 | 1 | 8 | |
| A | P13 | 13 | 1183 | 14 | 115 | 5 | 19 | 30 | 164 | | | |
| A | P13 | 14 | 1197 | 14 | 97 | 3 | 18 | 11 | 44 | 1 | >1 | |
| A | P16 | 18 | 1400 | 74 | 1122 | 15 | 99 | 67 | 1103 | | | |
| A | P16 | 16 | 1378 | 43 | 603 | 8 | 70 | 39 | 497 | | | |
| A | P16 | 19 | 1423 | 20 | 198 | 8 | 53 | 43 | 327 | 2 | 6 | |
| A | P16 | 20 | 1434 | 18 | 91 | 1 | 10 | 18 | 131 | | | |
| A | P16 | 8 | 1249 | 25 | 314 | 10 | 58 | 7 | 46 | 10 | 64 | |
| A | P16 | 10 | 1277 | 105 | 764 | 23 | 93 | 85 | 390 | 1 | 1 | |
| A | P16 | 7 | 1240 | 42 | 205 | 17 | 104 | 26 | 130 | 20 | 92 | |
| A | P16 | 9 | 1258 | 164 | 884 | 44 | 294 | 97 | 548 | | | |
| A | P16 | 3 | 1187 | 89 | 444 | 36 | 131 | 49 | 185 | 16 | 40 | |
| A | P16 | 1 | 1572 | 27 | 139 | 31 | 158 | 24 | 167 | 8 | 61 | |
| A | P16 | 19 | 1410 | 41 | 640 | 13 | 71 | 31 | 195 | | | |
| A | P16 | 12 | 1302 | 222 | 1671 | 22 | 60 | 200 | 1222 | 3 | 12 | |
| A | P16 | 4 | 1207 | 70 | 513 | 30 | 146 | 33 | 148 | 21 | 93 | |
| A | P16 | 17 | 1393 | 23 | 136 | | | 18 | 69 | 2 | 7 | |
| A | P16 | 1 | 1171 | 10 | 121 | 8 | 39 | 4 | 19 | 4 | 12 | |
| A | P16 | 2 | 1184 | 16 | 206 | 6 | 22 | 11 | 58 | 4 | 11 | |
| A | P16 | 6 | 1229 | 111 | 469 | 63 | 230 | 69 | 334 | 31 | 82 | |
| A | P16 | 11 | 1286 | 142 | 980 | 37 | 196 | 105 | 523 | 5 | 10 | |
| A | P16 | 14 | 1315 | 80 | 794 | 8 | 36 | 72 | 500 | | | |
| A | P16 | 5 | 1222 | 30 | 147 | 21 | 72 | 18 | 106 | 16 | 96 | |
| A | P16 | 13 | 1311 | 44 | 309 | 8 | 30 | 39 | 244 | | | |
| A | P16 | 15 | 1354 | 42 | 330 | 1 | 10 | 18 | 108 | | | |
| A | P17 | 2 | 1449 | 329 | 1440 | 226 | 782 | 205 | 1035 | 73 | 202 | |
| A | P17 | 4 | 1514 | 107 | 631 | 14 | 33 | 107 | 439 | 3 | 17 | |
| A | P17 | 5 | 1539 | 68 | 455 | 12 | 89 | 56 | 257 | | | CF 1/5 |
| A | P17 | 1 | 1440 | 28 | 116 | 15 | 53 | 28 | 144 | 9 | 15 | |
| B | P17 | 7 | 5065 | 6 | 76 | 3 | 15 | 13 | 140 | | | |
| A | P17 | 8 | 1623 | 26 | 79 | 2 | 9 | 15 | 103 | 1 | 12 | |
| A | P17 | 7 | 1621 | 79 | 685 | 11 | 37 | 66 | 467 | 7 | 42 | |
| A | P17 | 6 | 1547 | 191 | 1597 | 25 | 68 | 181 | 1108 | 1 | 1 | |

| | | | | Café Gruesa | | Anaranjada | | Gris | | Gris/ Anaranjada | | Otra Pasta* |
|---|---|---|---|---|---|---|---|---|---|---|---|---|
| **Op.** | **Unidad** | **Lote** | **#FS** | **Total** | **Peso** | **Total** | **Peso** | **Total** | **Peso** | **Total** | **Peso** | **Tipo Total/peso** |
| A | P17 | 3 | 1494 | 177 | 831 | 72 | 244 | 87 | 368 | 39 | 178 | |
| A | P19 | 7 | 1264 | 59 | 257 | 30 | 129 | 16 | 83 | 11 | 24 | |
| A | P19 | 4 | 1228 | 66 | 300 | 26 | 60 | 16 | 33 | 14 | 59 | |
| A | P19 | 3 | 1216 | 50 | 278 | 40 | 130 | 32 | 171 | 16 | 56 | |
| A | P19 | 9 | 1295 | 69 | 430 | 45 | 203 | 41 | 191 | 6 | 9 | |
| A | P19 | 8 | 1272 | 43 | 172 | 15 | 64 | 31 | 107 | 6 | 9 | |
| A | P19 | 6 | 1245 | 102 | 460 | 38 | 166 | 54 | 234 | 31 | 82 | |
| A | P19 | 17 | 1527 | 81 | 387 | 10 | 33 | 94 | 439 | | | |
| A | P19 | 18 | 1537 | 60 | 484 | 2 | 37 | 40 | 250 | | | |
| A | P19 | 15 | 1491 | 48 | 674 | 3 | 141 | 42 | 1414 | | | |
| A | P19 | 15 | 1452 | 180 | 1304 | | | 142 | 659 | 30 | 109 | |
| A | P19 | 16 | 1499 | 335 | 3235 | 48 | 274 | 260 | 2026 | | | |
| A | P19 | 14 | 1437 | 76 | 619 | 12 | 47 | 111 | 1031 | | | |
| A | P19 | 10 | 1306 | 12 | 47 | 16 | 147 | 7 | 31 | | | |
| A | P19 | 12 | 1369 | 28 | 188 | 6 | 12 | 29 | 179 | | | |
| A | P19 | 13 | 1418 | 38 | 333 | 15 | 107 | 58 | 323 | 1 | 13 | |
| A | P19 | 12 | 1391 | 4 | 21 | 1 | 179 | 1 | 8 | | | |
| A | P19 | 11 | 1340 | 23 | 188 | 5 | 17 | 20 | 93 | | | |
| A | P19 | 12 | 1392 | 13 | 97 | 17 | 54 | 6 | 13 | 2 | 8 | |
| A | P20 | 5 | 1722 | 32 | 390 | 30 | 359 | 53 | 145 | | | |
| A | P20 | 2 | 1546 | 205 | 1069 | 93 | 410 | 102 | 598 | 30 | 184 | |
| A | P20 | 4 | 1584 | 159 | 150 | 76 | 370 | 76 | 388 | 51 | 224 | |
| A | P20 | 3 | 1578 | 55 | 361 | 19 | 90 | 38 | 185 | 9 | 110 | |
| A | P20 | 1 | 1529 | 10 | 40 | 3 | 13 | 15 | 92 | 5 | 13 | |
| A | P21 | 1 | 1641 | 54 | 264 | 20 | 86 | 53 | 233 | 13 | 36 | |
| A | P21 | 3 | 1719 | 97 | 698 | 48 | 285 | 45 | 292 | 16 | 94 | |
| A | P22 | 1 | 1211 | 15 | 152 | 16 | 62 | 7 | 29 | 3 | 15 | |
| A | P22 | 5 | 1270 | 21 | 149 | 11 | 41 | 16 | 94 | 4 | 21 | |
| A | P22 | 6 | 1298 | 49 | 285 | 24 | 127 | 34 | 123 | 5 | 24 | |
| A | P22 | 4 | 1254 | 40 | 185 | 27 | 106 | 22 | 142 | 7 | 29 | |
| A | P22 | 3 | 1237 | 18 | 94 | 12 | 56 | 21 | 140 | 10 | 46 | |
| A | P22 | 7 | 1317 | 10 | 42 | | | | | | | |
| A | P22 | 2 | 1224 | 21 | 152 | 10 | 31 | 30 | 119 | 5 | 12 | |
| A | P23 | 2 | 1551 | 17 | 84 | 13 | 59 | 17 | 152 | 8 | 29 | |
| A | P23 | 1 | 1545 | 11 | 69 | 3 | 6 | 7 | 23 | 3 | 8 | |
| A | P23 | 4 | 1635 | 33 | 196 | 7 | 30 | 10 | 47 | 3 | 31 | |
| A | P23 | 3 | 1571 | 77 | 508 | 43 | 237 | 49 | 299 | 16 | 59 | |

| | | | | Café Gruesa | | Anaranjada | | Gris | | Gris/ Anaranjada | | Otra Pasta* |
|---|---|---|---|---|---|---|---|---|---|---|---|---|
| **Op.** | **Unidad** | **Lote** | **#FS** | **Total** | **Peso** | **Total** | **Peso** | **Total** | **Peso** | **Total** | **Peso** | **Tipo Total/peso** |
| A | P24 | 2 | 1800 | 158 | 954 | 62 | 248 | 99 | 564 | 36 | 121 | |
| A | P24 | 3 | 1905 | 134 | 641 | 58 | 160 | 72 | 273 | 19 | 61 | |
| B | PP30 | 13 | 8554 | 75 | 2223 | 77 | 656 | 88 | 1659 | 2 | 33 | |
| B | PP31 | 2 | 9233 | 171 | 1860 | 108 | 725 | 78 | 817 | 67 | 523 | |
| B | PP32 | 3 | 9392 | 49 | 683 | 54 | 501 | 43 | 409 | 32 | 225 | |
| B | PP32 | 2 | 9379 | 131 | 1693 | 156 | 1318 | 86 | 964 | 70 | 515 | |
| B | PP38 | 12 | 8547 | 163 | 4441 | 193 | 1668 | 191 | 3188 | | | |
| B | PP38 | 1 | 8418 | 126 | 884 | 114 | 536 | 90 | 568 | 72 | 300 | |
| B | PP38 | 6 | 8360 | 51 | 438 | 45 | 160 | 49 | 311 | 13 | 60 | |
| B | PP38 | 6 | 8484 | 89 | 949 | 102 | 551 | 100 | 647 | | | |
| B | PP38 | 3 | 8454 | 262 | 2391 | 242 | 1627 | 222 | 1898 | 93 | 562 | |
| B | PP38 | 2 | 8431 | 254 | 1750 | 50 | 246 | 203 | 1610 | | | |
| B | PP38 | 4 | 8465 | 93 | 827 | 132 | 692 | 151 | 1108 | 11 | 36 | |
| B | PP38 | 5 | 8475 | 100 | 973 | 140 | 798 | 114 | 960 | 3 | 6 | |
| B | PP38 | 7 | 8488 | 88 | 760 | 129 | 639 | 114 | 1063 | | | |
| B | PP38 | 11 | 8542 | 133 | 1940 | 170 | 1314 | 188 | 2750 | | | |
| B | PP38 | 4 | 8563 | 13 | 228 | 7 | 138 | 32 | 730 | | | |
| B | PP38 | 9 | 8505 | 158 | 1343 | 307 | 1589 | 240 | 2136 | | | |
| B | PP38 | 10 | 9460 | 291 | 2770 | 516 | 2805 | 386 | 3733 | 11 | 80 | |
| B | PP38 | 8 | 8495 | 70 | 541 | 60 | 218 | 54 | 293 | | | |
| B | PP43 | 8 | 9704 | 298 | 3736 | 81 | 802 | 412 | 5068 | | | |
| B | PP43 | 6 | 9668 | 127 | 2381 | 118 | 793 | 205 | 2343 | 2 | 21 | |
| B | PP43 | 5 | 9659 | 34 | 149 | 49 | 138 | 46 | 107 | | | |
| B | PP43 | 4 | 9649 | 152 | 1140 | 167 | 905 | 145 | 1361 | 36 | 234 | |
| B | PP43 | 7 | 9684 | 177 | 2544 | 70 | 597 | 116 | 1355 | | | |
| B | PP43 | 3 | 9647 | 216 | 1919 | 244 | 1392 | 186 | 1407 | 96 | 502 | |
| B | PP43 | 2 | 9637 | 163 | 1383 | 148 | 780 | 121 | 674 | 71 | 339 | |
| B | PP44 | 3 | 8955 | 426 | 3872 | 401 | 2518 | 365 | 3055 | 192 | 1130 | |
| B | PP44 | 5 | 8999 | 47 | 593 | 37 | 246 | 81 | 793 | | | |
| B | PP44 | 1 | 8925 | 40 | 319 | 30 | 184 | 30 | 243 | 24 | 163 | |
| B | PP44 | 4 | 8964 | 143 | 1360 | 143 | 806 | 151 | 1398 | 25 | 146 | |
| B | PP44 | 9 | 9386 | 219 | 2823 | 69 | 662 | 370 | 4361 | 2 | 35 | |
| B | PP44 | 2 | 8939 | 155 | 1649 | 202 | 978 | 129 | 859 | 71 | 304 | |
| B | PP44 | 6 | 9367 | 146 | 3776 | 90 | 1122 | 425 | 6172 | | | |
| B | PP44 | 8 | 9399 | 223 | 3066 | 92 | 795 | 329 | 4782 | | | |
| B | PP44 | 7 | 9388 | 115 | 1540 | 44 | 375 | 183 | 2460 | 3 | 19 | |
| B | PP44 | 10 | 9419 | 126 | 1771 | 32 | 495 | 178 | 2428 | | | |

| | | | | Café Gruesa | | Anaranjada | | Gris | | Gris/ Anaranjada | | Otra Pasta* |
|---|---|---|---|---|---|---|---|---|---|---|---|---|
| **Op.** | **Unidad** | **Lote** | **#FS** | **Total** | **Peso** | **Total** | **Peso** | **Total** | **Peso** | **Total** | **Peso** | **Tipo Total/peso** |
| A | Q10 | 6 | 1947 | 200 | 1585 | 99 | 562 | 133 | 945 | 34 | 190 | |
| A | Q10 | 5 | 1941 | 102 | 904 | 51 | 256 | 48 | 443 | 17 | 155 | |
| A | Q10 | 4 | 1926 | 168 | 1212 | 114 | 864 | 94 | 531 | 11 | 65 | |
| A | Q10 | 3 | 1922 | 135 | 140 | 46 | 130 | 73 | 340 | 20 | 78 | |
| A | Q10 | 8 | 1998 | 67 | 417 | 65 | 254 | 56 | 412 | 4 | 13 | |
| A | Q10 | 7 | 1995 | 36 | 295 | 13 | 115 | 15 | 107 | 2 | 16 | |
| A | Q10 | 9 | 2104 | 585 | 5998 | 289 | 2429 | 355 | 4410 | 76 | 739 | |
| A | Q11 | 2 | 1932 | 93 | 879 | 110 | 512 | 121 | 660 | 16 | 77 | |
| A | Q11 | 6 | 2200 | 193 | 2536 | 138 | 1613 | 133 | 1929 | 5 | 54 | |
| A | Q11 | 4 | 2164 | 58 | 365 | 59 | 318 | 68 | 588 | 4 | 24 | |
| A | Q11 | 5 | 2173 | 176 | 1718 | 206 | 1578 | 157 | 1424 | 6 | 31 | |
| A | Q11 | 7 | 2345 | 9 | 209 | 8 | 136 | 4 | 227 | | | |
| A | Q11 | 7 | 2327 | 402 | 4402 | 266 | 2703 | 319 | 3408 | 33 | 360 | |
| A | Q11 | 7 | 2344 | 20 | 907 | 19 | 587 | 11 | 298 | | | |
| A | Q11 | 8 | 2353 | 68 | 522 | 28 | 208 | 32 | 113 | 3 | 19 | |
| A | Q17 | 4 | 1778 | 194 | 990 | 63 | 229 | 119 | 705 | 17 | 51 | |
| A | Q17 | 5 | 1791 | 92 | 640 | 13 | 45 | 81 | 371 | 4 | 2 | |
| A | Q17 | 1 | 1740 | 57 | 317 | 29 | 77 | 34 | 150 | 6 | 19 | |
| A | Q17 | 2 | 1757 | 227 | 990 | 103 | 335 | 119 | 440 | 40 | 135 | |
| A | Q17 | 3 | 1767 | 105 | 828 | 79 | 438 | 59 | 317 | 85 | 395 | |
| A | Q17 | 6 | 2508 | 150 | 1476 | 21 | 265 | 104 | 763 | | | |
| A | Q17 | 7 | 2514 | 106 | 1098 | 9 | 61 | 80 | 718 | 1 | 2 | |
| A | Q17 | 7 | 2515 | 63 | 1452 | 4 | 28 | 38 | 479 | 2 | 9 | |
| A | Q17 | 9 | 2568 | 27 | 240 | 3 | 38 | 27 | 260 | | | |
| A | Q17 | 8 | 2547 | 26 | 253 | 7 | 36 | 24 | 128 | | | |
| A | Q19 | 3 | 1746 | 94 | 523 | 62 | 211 | 60 | 222 | 27 | 105 | |
| A | Q19 | 1 | 1727 | 22 | 107 | 6 | 17 | 24 | 116 | 9 | 30 | |
| A | Q19 | 4 | 1751 | 33 | 185 | 13 | 96 | 18 | 150 | 2 | 8 | |
| A | Q19 | 2 | 1738 | 291 | 1780 | 84 | 329 | 92 | 513 | 39 | 163 | |
| A | Q20 | 5 | 1793 | 161 | 952 | 75 | 306 | 60 | 302 | 13 | 36 | |
| A | Q20 | 3 | 1772 | 72 | 313 | 37 | 187 | 45 | 117 | 12 | 34 | |
| A | Q20 | 2 | 1764 | 37 | 265 | 24 | 85 | 35 | 263 | 13 | 53 | |
| A | Q20 | 4 | 1783 | 98 | 617 | 29 | 138 | 51 | 351 | 26 | 111 | |
| A | Q20 | 1 | 1758 | 1 | 7 | 1 | 3 | 1 | >1 | | | |
| A | Q21 | 2 | 1799 | 165 | 920 | 71 | 265 | 81 | 466 | 27 | 121 | |
| A | Q21 | 3 | 1904 | 66 | 362 | 27 | 113 | 33 | 139 | 14 | 64 | |
| A | Q21 | 6 | 1979 | 19 | 92 | 6 | 17 | 12 | 41 | 5 | 7 | |

| | | | | Café Gruesa | | Anaranjada | | Gris | | Gris/ Anaranjada | | Otra Pasta* |
|---|---|---|---|---|---|---|---|---|---|---|---|---|
| **Op.** | **Unidad** | **Lote** | **#FS** | **Total** | **Peso** | **Total** | **Peso** | **Total** | **Peso** | **Total** | **Peso** | **Tipo Total/peso** |
| A | Q21 | 7 | 1987 | 86 | 462 | 42 | 185 | 56 | 312 | 13 | 52 | |
| A | Q21 | 5 | 1969 | 32 | 221 | 9 | 43 | 12 | 76 | 8 | 43 | |
| A | Q21 | 4 | 1962 | 110 | 443 | 33 | 117 | 36 | 163 | 18 | 51 | |
| A | Q22 | 3 | 1913 | 36 | 266 | 28 | 153 | 22 | 113 | 9 | 84 | |
| A | Q22 | 2 | 1908 | 102 | 771 | 31 | 229 | 66 | 416 | 22 | 113 | |
| A | Q23 | 3 | 1918 | 72 | 510 | 31 | 176 | 54 | 389 | 19 | 121 | |
| A | Q23 | 2 | 1916 | 86 | 521 | 34 | 156 | 66 | 368 | 17 | 66 | |
| A | Q24 | 3 | 1914 | 35 | 302 | 21 | 140 | 26 | 144 | 5 | 23 | |
| A | Q24 | 2 | 1910 | 151 | 838 | 64 | 330 | 88 | 529 | 35 | 157 | |
| B | QQ31 | 1 | 9256 | 288 | 3377 | 229 | 1850 | 120 | 1351 | 93 | 688 | |
| B | QQ32 | 3 | 9322 | 57 | 666 | 58 | 468 | 41 | 503 | 33 | 189 | |
| B | QQ32 | 2 | 9300 | 114 | 1322 | 111 | 817 | 63 | 603 | 42 | 245 | |
| B | QQ34 | 4 | 8147 | 242 | 1530 | 277 | 1025 | 193 | 1059 | 51 | 212 | |
| B | QQ34 | 8 | 9676 | 232 | 2190 | 217 | 1506 | 218 | 1985 | | | |
| B | QQ34 | 7 | 9475 | 114 | 1873 | 45 | 361 | 155 | 2414 | | | |
| B | QQ34 | 6 | 9651 | 102 | 593 | 82 | 351 | 116 | 626 | 3 | 7 | |
| B | QQ34 | 6 | 9456 | 4 | 29 | 1 | 26 | 2 | 448 | | | |
| B | QQ34 | 7 | 9661 | 62 | 694 | 77 | 613 | 58 | 577 | 56 | 406 | |
| B | QQ34 | 4 | 9629 | 95 | 938 | 100 | 645 | 80 | 567 | 40 | 380 | |
| B | QQ34 | 2 | 9582 | 169 | 1414 | 164 | 891 | 131 | 1003 | 91 | 469 | |
| B | QQ34 | 5 | 9644 | 68 | 653 | 69 | 414 | 71 | 556 | 6 | 32 | |
| B | QQ34 | 3 | 9613 | 85 | 1340 | 61 | 807 | 140 | 957 | 88 | 493 | |
| B | QQ36 | 2 | 9589 | 49 | 461 | 74 | 526 | 54 | 441 | 25 | 200 | |
| B | QQ36 | 3 | 9624 | 36 | 380 | 31 | 178 | 71 | 967 | 6 | 56 | |
| B | QQ36 | 6 | 9667 | 33 | 393 | 78 | 498 | 80 | 476 | 2 | 13 | |
| B | QQ36 | 4 | 9633 | 60 | 653 | 65 | 457 | 73 | 641 | 27 | 163 | |
| B | QQ36 | 5 | 9652 | 35 | 314 | 75 | 616 | 55 | 530 | 20 | 159 | |
| B | QQ36 | 7 | 9696 | 121 | 1092 | 136 | 578 | 134 | 909 | 4 | 11 | |
| B | QQ38 | 9 | 8195 | 651 | 5731 | 987 | 5225 | 676 | 5427 | 5 | 23 | |
| B | QQ38 | 10 | 8210 | 110 | 1264 | 97 | 535 | 124 | 1364 | | | |
| B | QQ38 | 3 | 8140 | 232 | 1607 | 145 | 645 | 118 | 805 | 73 | 290 | |
| B | QQ38 | 5 | 8160 | 176 | 1274 | 257 | 1081 | 189 | 1072 | 3 | 13 | |
| B | QQ38 | 2 | 8132 | 375 | 2025 | 209 | 874 | 204 | 1080 | 101 | 448 | |
| B | QQ38 | 1 | 8125 | 386 | 2124 | 253 | 940 | 226 | 1202 | 110 | 426 | |
| B | QQ38 | 6 | 8165 | 115 | 742 | 176 | 762 | 103 | 656 | | | |
| B | QQ38 | 7 | 8177 | 2 | 1902 | | | | | | | |
| B | QQ38 | 7 | 8176 | 91 | 675 | 114 | 540 | 106 | 825 | 4 | 9 | |

| | | | | Café Gruesa | | Anaranjada | | Gris | | Gris/ Anaranjada | | Otra Pasta* |
|---|---|---|---|---|---|---|---|---|---|---|---|---|
| **Op.** | **Unidad** | **Lote** | **#FS** | **Total** | **Peso** | **Total** | **Peso** | **Total** | **Peso** | **Total** | **Peso** | **Tipo Total/peso** |
| B | QQ38 | 8 | 8185 | 271 | 2414 | 371 | 2753 | 209 | 1444 | 4 | 6 | |
| B | QQ38 | 13 | 8336 | 22 | 125 | 10 | 51 | 25 | 192 | | | |
| B | QQ38 | 13 | 8306 | 70 | 662 | 37 | 212 | 94 | 771 | | | |
| B | QQ38 | 11 | 8274 | 261 | 1900 | 212 | 940 | 273 | 2431 | | | |
| B | QQ38 | 12 | 8292 | 276 | 2297 | 195 | 867 | 291 | 2021 | 4 | 9 | |
| B | QQ41 | 3 | 9566 | 121 | 1840 | 96 | 990 | 74 | 766 | 39 | 320 | |
| B | QQ41 | 8 | 9626 | 37 | 433 | 44 | 338 | 63 | 770 | | | |
| B | QQ41 | 6 | 9592 | 35 | 511 | 44 | 375 | 57 | 650 | | | |
| B | QQ41 | 2 | 9559 | 65 | 890 | 40 | 377 | 49 | 740 | 23 | 146 | |
| B | QQ41 | 7 | 9620 | 81 | 1194 | 50 | 322 | 93 | 1237 | 2 | 13 | |
| B | QQ41 | 4 | 9575 | 94 | 1312 | 85 | 800 | 103 | 1103 | 22 | 162 | |
| B | QQ42 | 5 | 9578 | 68 | 1024 | 67 | 738 | 89 | 1299 | 3 | 15 | |
| B | QQ43 | 1 | 8864 | 39 | 321 | 32 | 239 | 40 | 331 | 10 | 108 | |
| B | QQ43 | 5 | 8904 | 183 | 1760 | 100 | 584 | 353 | 3055 | 2 | 6 | |
| B | QQ43 | 6 | 9049 | 26 | 314 | 24 | 124 | 51 | 425 | | | |
| B | QQ43 | 2 | 8871 | 175 | 1495 | 136 | 801 | 27 | 1124 | 62 | 318 | |
| B | QQ43 | 3 | 8880 | 111 | 1862 | 157 | 731 | 144 | 901 | 113 | 490 | |
| B | QQ43 | 4 | 8889 | 315 | 2466 | 268 | 1390 | 303 | 1978 | 86 | 416 | |
| B | QQ43 | 10 | 9532 | 105 | 1626 | 44 | 440 | 197 | 2467 | | | |
| B | QQ43 | 8 | 9488 | 142 | 1190 | 58 | 487 | 191 | 2254 | 8 | 62 | |
| B | QQ43 | 9 | 9510 | 160 | 314 | 63 | 544 | 247 | 3546 | | | |
| B | QQ43 | 6 | 9449 | 168 | 3204 | 49 | 477 | 190 | 3264 | | | |
| B | QQ44 | 5 | 8353 | 469 | 4337 | 240 | 1339 | 682 | 6394 | 9 | 35 | |
| B | QQ44 | 3 | 8769 | 305 | 2218 | 338 | 1474 | 302 | 1290 | 108 | 494 | |
| B | QQ44 | 2 | 8764 | 156 | 1329 | 107 | 525 | 116 | 935 | 64 | 325 | |
| B | QQ44 | 4 | 8781 | 257 | 1959 | 231 | 1666 | 289 | 1754 | 85 | 390 | |
| B | QQ44 | 1 | 8752 | 90 | 495 | 64 | 236 | 62 | 301 | 38 | 137 | |
| B | QQ44 | 6 | 9284 | 352 | 4210 | 181 | 1380 | 540 | 6413 | 5 | 24 | |
| B | QQ44 | 8 | 9303 | 125 | 1649 | 38 | 392 | 226 | 2900 | | | |
| B | QQ44 | 9 | 9327 | 153 | 2068 | 33 | 394 | 229 | 3091 | | | |
| B | QQ44 | 10 | 9352 | 99 | 1289 | 33 | 287 | 131 | 1572 | 2 | 13 | |
| B | QQ44 | 7 | 9296 | 211 | 3011 | 114 | 938 | 449 | 4625 | | | |
| A | R16 | 7 | 1273 | 37 | 256 | 6 | 16 | 10 | 60 | 2 | 8 | |
| A | R16 | 1 | 1194 | 68 | 285 | 36 | 150 | 43 | 140 | 17 | 50 | |
| A | R16 | 8 | 1290 | 30 | 150 | 5 | 26 | 16 | 79 | 2 | 24 | |
| A | R16 | 6 | 1267 | 60 | 461 | 29 | 121 | 17 | 136 | 14 | 93 | |
| A | R16 | 4 | 1232 | 100 | 650 | 68 | 271 | 79 | 328 | 24 | 72 | |

| | | | | Café Gruesa | | Anaranjada | | Gris | | Gris/ Anaranjada | | Otra Pasta* |
|---|---|---|---|---|---|---|---|---|---|---|---|---|
| **Op.** | **Unidad** | **Lote** | **#FS** | **Total** | **Peso** | **Total** | **Peso** | **Total** | **Peso** | **Total** | **Peso** | **Tipo Total/peso** |
| A | R16 | 3 | 1219 | 104 | 612 | 72 | 268 | 71 | 388 | 28 | 92 | |
| A | R16 | 2 | 1212 | 91 | 490 | 53 | 229 | 54 | 246 | 26 | 69 | |
| A | R16 | 5 | 1248 | 69 | 292 | 36 | 281 | 39 | 296 | 18 | 71 | |
| A | R17 | 6 | 3675 | 42 | 1819 | 2 | 13 | 36 | 1016 | | | |
| A | R17 | 7 | 3685 | 27 | 274 | 4 | 38 | 15 | 131 | | | |
| A | R17 | 8 | 3712 | 41 | 472 | 5 | 54 | 28 | 285 | | | |
| A | R17 | 4 | 3654 | 57 | 591 | 12 | 130 | 56 | 954 | | | |
| A | R17 | 3 | 3626 | 52 | 640 | 20 | 158 | 41 | 313 | 11 | 78 | |
| A | R17 | 5 | 3660 | 83 | 959 | 13 | 137 | 98 | 840 | | | |
| A | R17 | 11 | 3799 | 50 | 1079 | 6 | 61 | 48 | 808 | | | |
| A | R17 | 9 | 3753 | 106 | 1162 | 16 | 109 | 96 | 1258 | | | |
| A | R17 | 2 | 3404 | 74 | 665 | 52 | 327 | 43 | 268 | 15 | 89 | |
| A | R17 | 6 | 3677 | 3 | 18 | | | | | | | |
| A | R17 | 5 | 3663 | 3 | 54 | | | | | | | |
| A | T16 | 5 | 3491 | 39 | 385 | 8 | 51 | 17 | 185 | 4 | 29 | |
| A | T16 | 4 | 3480 | 38 | 324 | 14 | 144 | 12 | 137 | 9 | 58 | |
| A | T16 | 3 | 3473 | 398 | 2656 | 170 | 917 | 162 | 1050 | 62 | 357 | |
| A | T17 | 2 | 3414 | 143 | 1065 | 64 | 360 | 67 | 240 | 49 | 293 | |
| A | T17 | 3 | 2424 | 47 | 411 | 25 | 147 | 23 | 173 | 14 | 61 | |
| A | T17 | 5 | 3441 | 94 | 601 | 33 | 200 | 42 | 225 | 15 | 166 | |
| A | T17 | 4 | 3437 | 56 | 484 | 21 | 266 | 24 | 252 | 9 | 71 | |
| A | U12 | 5 | 3411 | 63 | 798 | 59 | 359 | 78 | 635 | 2 | 8 | |
| A | U12 | 4 | 3400 | 36 | 391 | 23 | 220 | 44 | 386 | | | |
| A | U12 | 3 | 3397 | 104 | 913 | 36 | 301 | 62 | 387 | 10 | 47 | |
| A | U16 | 1 | 1195 | 80 | 362 | 51 | 134 | 38 | 149 | 31 | 85 | |
| A | U16 | 15 | 1370 | 62 | 314 | 12 | 56 | 38 | 360 | | | |
| A | U16 | 9 | 1294 | 24 | 271 | 12 | 71 | 15 | 113 | 4 | 87 | |
| A | U16 | 8 | 1268 | 26 | 237 | 28 | 270 | 17 | 233 | 8 | 84 | |
| A | U16 | 7 | 1259 | 50 | 822 | 43 | 430 | 22 | 315 | 52 | 560 | |
| A | U16 | 11 | 1304 | 20 | 122 | 8 | 67 | 25 | 266 | 1 | 5 | |
| A | U16 | 4 | 1225 | 89 | 741 | 41 | 212 | 24 | 197 | 21 | 104 | |
| A | U16 | 10 | 1299 | 22 | 132 | 5 | 20 | 13 | 54 | 3 | 13 | |
| A | U16 | 13 | 1332 | 49 | 288 | 7 | 55 | 31 | 229 | 1 | 8 | |
| A | U16 | 14 | 1344 | 47 | 208 | 9 | 71 | 24 | 37 | | | |
| A | U16 | 6 | 1247 | 65 | 523 | 32 | 207 | 26 | 202 | 12 | 70 | |
| A | U16 | 5 | 1234 | 134 | 595 | 78 | 260 | 93 | 327 | 17 | 53 | |
| A | U16 | 2 | 1214 | 19 | 157 | 16 | 61 | 30 | 174 | 14 | 81 | |

| | | | | Café Gruesa | | Anaranjada | | Gris | | Gris/ Anaranjada | | Otra Pasta* |
|---|---|---|---|---|---|---|---|---|---|---|---|---|
| **Op.** | **Unidad** | **Lote** | **#FS** | **Total** | **Peso** | **Total** | **Peso** | **Total** | **Peso** | **Total** | **Peso** | **Tipo Total/peso** |
| A | U16 | 3 | 1217 | 49 | 293 | 23 | 67 | 27 | 140 | 10 | 56 | |
| A | U16 | 16 | 3502 | 19 | 124 | 8 | 30 | 7 | 25 | 2 | 20 | |
| A | U16 | 18 | 3699 | 52 | 362 | 20 | 138 | 27 | 174 | 2 | 12 | |
| A | U16 | 17 | 3691 | 26 | 193 | 7 | 23 | 28 | 204 | | | |
| A | U16 | 19 | 3716 | 33 | 144 | 19 | 105 | 28 | 138 | | | |
| A | U16 | 20 | 3730 | 9 | 48 | 1 | 2 | 6 | 12 | | | |
| A | U17 | 4 | 3373 | 185 | 1587 | 124 | 609 | 76 | 396 | 30 | 254 | |
| A | U17 | 5 | 3379 | 219 | 1143 | 102 | 377 | 68 | 366 | 59 | 268 | |
| A | U17 | 7 | 3389 | 16 | 95 | 11 | 57 | 9 | 53 | 5 | 17 | |
| A | U17 | 6 | 3383 | 161 | 1016 | 48 | 231 | 77 | 324 | 15 | 72 | |
| A | U17 | 15 | 3796 | 36 | 343 | 3 | 14 | 12 | 130 | 2 | 9 | |
| A | U17 | 14 | 3784 | 15 | 187 | 4 | 26 | 7 | 67 | | | |
| A | U17 | 13 | 3779 | 12 | 216 | 12 | 102 | 13 | 105 | 2 | 9 | |
| A | U17 | 9 | 3757 | 6 | 39 | 4 | 36 | 2 | 8 | 1 | 9 | |
| A | U17 | 8 | 3740 | 36 | 267 | 16 | 75 | 24 | 88 | 1 | 11 | |
| A | U17 | 3 | 3367 | 92 | 457 | 84 | 962 | 120 | 833 | 52 | 298 | |
| A | U17 | 10 | 3760 | 7 | 79 | 2 | 6 | 10 | 86 | 2 | 40 | |
| A | U17 | 11 | 3775 | 12 | 132 | 5 | 50 | 17 | 132 | | | |
| A | U17 | 12 | 3776 | 2 | 9 | 3 | 41 | 3 | 15 | | | |
| A | U19 | 12 | 1319 | 49 | 425 | 11 | 147 | 25 | 229 | | | |
| B | UU35 | 4 | 9340 | 71 | 812 | 79 | 459 | 82 | 800 | | | |
| A | W19 | 4 | 3416 | 57 | 548 | 37 | 196 | 33 | 254 | 16 | 123 | |
| A | W19 | 2 | 3391 | 230 | 1953 | 117 | 586 | 72 | 439 | 58 | 356 | |
| A | W19 | 3 | 3407 | 190 | 1317 | 134 | 784 | 50 | 395 | 56 | 371 | |
| A | W19 | 5 | 3429 | 54 | 621 | 21 | 177 | 50 | 450 | 13 | 91 | |
| A | X10 | 1 | 2148 | 149 | 1093 | 85 | 364 | 53 | 856 | 11 | 37 | |
| A | X11 | 1 | 2389 | 82 | 852 | 35 | 226 | 71 | 480 | 18 | 99 | |
| A | X15 | 6 | 2292 | 145 | 1873 | 56 | 496 | 35 | 329 | 34 | 374 | |
| A | X15 | 4 | 2263 | 135 | 1585 | 56 | 448 | 33 | 351 | 27 | 217 | |
| A | X15 | 3 | 2251 | 225 | 2105 | 93 | 602 | 67 | 421 | 36 | 226 | |
| A | X15 | 2 | 2236 | 297 | 2182 | 110 | 638 | 110 | 803 | 37 | 218 | |
| A | X15 | 7 | 2404 | 208 | 1286 | 62 | 236 | 95 | 649 | 32 | 351 | |
| A | X15 | 5 | 2279 | 166 | 1866 | 78 | 916 | 66 | 610 | 47 | 489 | |
| A | X16 | 8 | 1374 | 209 | 2231 | 103 | 893 | 53 | 432 | 63 | 515 | |
| A | X16 | 7 | 1346 | 115 | 1075 | 60 | 449 | 44 | 509 | 21 | 149 | |
| A | X16 | 2 | 1289 | 219 | 1219 | 74 | 316 | 97 | 435 | 39 | 163 | |
| A | X16 | 3 | 1313 | 138 | 888 | 103 | 530 | 52 | 262 | 22 | 104 | |

| | | | | Café Gruesa | | Anaranjada | | Gris | | Gris/ Anaranjada | | Otra Pasta* |
|---|---|---|---|---|---|---|---|---|---|---|---|---|
| **Op.** | **Unidad** | **Lote** | **#FS** | **Total** | **Peso** | **Total** | **Peso** | **Total** | **Peso** | **Total** | **Peso** | **Tipo Total/peso** |
| A | X16 | 6 | 1341 | 147 | 980 | 62 | 341 | | | 32 | 193 | |
| A | X16 | 5 | 1328 | 104 | 812 | 29 | 112 | 43 | 438 | 31 | 201 | |
| A | X16 | 9 | 1396 | 93 | 1392 | 40 | 520 | 33 | 254 | 28 | 211 | |
| A | X16 | 10 | 1411 | 64 | 672 | 24 | 194 | 28 | 309 | 12 | 124 | |
| A | X16 | 11 | 1420 | 35 | 256 | 11 | 74 | 29 | 295 | 2 | 23 | |
| A | X16 | 4 | 1324 | 101 | 546 | 37 | 133 | 43 | 229 | 23 | 121 | |
| A | X16 | 1 | 1287 | 32 | 206 | 16 | 53 | 20 | 116 | 14 | 52 | |
| A | Y10 | 1 | 2118 | 38 | 111 | 14 | 21 | 48 | 134 | 8 | 13 | |
| A | Y10 | 2 | 2121 | 50 | 636 | 89 | 290 | 143 | 512 | 31 | 94 | |
| A | Y10 | 3 | 2136 | 69 | 321 | 37 | 108 | 56 | 151 | 10 | 29 | |
| A | Y11 | 2 | 2373 | 150 | 1280 | 70 | 441 | 107 | 797 | 32 | 245 | |
| A | Y11 | 1 | 2372 | 27 | 228 | 12 | 48 | 27 | 226 | 9 | 55 | |

**Tabla C.3. Porcentaje de cerámica diagnóstica por período para cada contexto (LF=Formativo Tardío; ETF=Formativo Terminal temprano; LTF=Formativo Terminal temprano; TF=Formativo Terminal general; EC=Clásico Temprano; LC=Clásico Tardío; EPC=Posclásico Temprano; LPC=Posclásico Tardío. Núm. Diag.=número de tiestos diagnósticos**

| Unidad | Lote | FS | LF | ETF | LTF | TF | EC | LC | EPC | LPC | Núm. Diag. | Erosión |
|---|---|---|---|---|---|---|---|---|---|---|---|---|
| F16 | 1 | 22-1007 | | | 3 | | | 22 | 75 | | 36 | muy erosionado |
| F16 | 2 | 22-1020 | | | | | 3 | 35 | 62 | | 34 | muy erosionado |
| F16 | 4 | 22-1042 | | | 5 | | 5 | 23 | 68 | | 22 | muy erosionado |
| F16 | 6 | 22-1052 | | | 3 | | | 24 | 73 | | 37 | |
| F16 | 7 | 22-1059 | | | | | | 26 | 74 | | 70 | muy erosionado |
| F16 | 8 | 22-1068 | | | | | | 48 | 52 | | 29 | erosionado |
| F16 | 9 | 22-1089 | | | | | | 38 | 62 | | 53 | muy erosionado |
| F16 | 10 | 22-1111 | | | | | | 53 | 47 | | 58 | erosionado |
| F16 | 11 | 22-1122 | 5 | | | | 1 | 37 | 57 | | 141 | erosionado |
| F16 | 12 | 22-1136 | | | 8 | | | 54 | 38 | | 37 | muy erosionado |
| F16 | 13 | 22-1152 | | 5 | | | | 93 | 2 | | 42 | muy erosionado |
| F16 | 14 | 22-1160 | | 5 | | | | 89 | 5 | | 55 | erosionado |
| F16 | 15 | 22-1166 | | | | | | 97 | 3 | | 39 | muy erosionado |
| F16 | 16 | 22-1177 | | | 2 | | | 98 | | | 43 | muy erosionado |
| F16 | 16 | 22-1190 | | | 9 | | | 91 | | | 11 | muy erosionado |
| F23 | 1 | 22-2663 | | | | | | | | | 0 | muy erosionado |
| F23 | 2 | 22-2666 | | | | | | 16 | 84 | | 55 | muy erosionado |
| F23 | 3 | 22-2680 | | | | | | 14 | 86 | | 7 | muy erosionado |
| F23 | 4 | 22-2694 | | 2 | 2 | 6 | 4 | 20 | 67 | | 51 | erosionado |
| F23 | 5 | 22-2809 | | | 3 | | | 38 | 59 | | 40 | muy erosionado |
| F23 | 6 | 22-2821 | | | | | | 34 | 66 | | 47 | muy erosionado |
| F23 | 7 | 22-2833 | | | | | | 70 | 30 | | 38 | muy erosionado |
| F23 | 8 | 22-2840 | | | | | | 88 | 12 | | 25 | muy erosionado |
| F23 | 9 | 22-2848 | | | | | | 71 | 29 | | 14 | muy erosionado |
| F23 | 10 | 22-2857 | | | | | | 36 | 64 | | 11 | muy erosionado |
| F23 | 11 | 22-2860 | | | | | | 72 | 28 | | 14 | muy erosionado |

| Unidad | Lote | FS | LF | ETF | LTF | TF | EC | LC | EPC | LPC | Núm. Diag. | Erosión |
|---|---|---|---|---|---|---|---|---|---|---|---|---|
| F23 | 12 | 22-2868 | | | | | | 44 | 56 | | 9 | muy erosionado |
| F23 | 13 | 22-2881 | | | | | | | 100 | | 4 | muy erosionado |
| F23 | 14 | 22-2886 | | | | | | | 100 | | 8 | muy erosionado |
| F23 | 15 | 22-2891 | | | | | | 15 | 85 | | 13 | muy erosionado |
| F23 | 16 | 22-2897 | | | | | | 14 | 86 | | 14 | muy erosionado |
| F23 | 17 | 22-3004 | | | 27 | | | 18 | 55 | | 11 | |
| F23 | 18 | 22-3021 | | | | | | 100 | | | 2 | muy erosionado |
| F23 | 19 | 22-3032 | | | | | | | 100 | | 8 | erosionado |
| F24 | 2 | 22-2239 | | | | | | 22 | 78 | | 9 | muy erosionado |
| F24 | 3 | 22-2247 | | | | | | 30 | 70 | | 22 | muy erosionado |
| F24 | 4 | 22-2258 | | | | | | 28 | 72 | | 23 | muy erosionado |
| F24 | 5 | 22-2271 | | | | | | 33 | 67 | | 9 | muy erosionado |
| F24 | 6 | 22-2284 | | | 4 | | | 26 | 70 | | 23 | |
| F24 | 7 | 22-2411 | | | | | | 26 | 74 | | 23 | muy erosionado |
| F24 | 8 | 22-2426 | | | 1 | | 1 | 39 | 59 | | 99 | muy erosionado |
| F24 | 9 | 22-2444 | | | | | | 22 | 78 | | 46 | |
| F24 | 10 | 22-2457 | | | | | 3 | 43 | 54 | | 28 | erosionado |
| F24 | 11 | 22-2468 | | | | | | 39 | 61 | | 49 | |
| F24 | 12 | 22-2473 | | | | | | 68 | 32 | | 22 | muy erosionado |
| F24 | 13 | 22-2486 | | | 2 | | | 45 | 53 | | 53 | erosionado |
| F24 | 14 | 22-2491 | | | | | | 38 | 62 | | 29 | muy erosionado |
| F24 | 15 | 22-2605 | | | | | | 20 | 80 | | 30 | muy erosionado |
| F24 | 16 | 22-2613 | | | | | | 14 | 46 | | 13 | muy erosionado |
| F24 | 17 | 22-2623 | | | | | | 40 | 60 | | 20 | muy erosionado |
| F24 | 18 | 22-2631 | | | | | | 67 | 33 | | 6 | muy erosionado |
| F24 | 19 | 22-2644 | | | | | | | 100 | | 4 | muy erosionado |
| F24 | 20 | 22-2654 | | | | | | 20 | 80 | | 5 | muy erosionado |
| I15 | 1 | 22-1453 | | | | | | | 100 | | 7 | muy erosionado |
| I15 | 2 | 22-1460 | | | | | | | 100 | | 6 | muy erosionado |

| Unidad | Lote | FS | LF | ETF | LTF | TF | EC | LC | EPC | LPC | Núm. Diag. | Erosión |
|---|---|---|---|---|---|---|---|---|---|---|---|---|
| I15 | 3 | 22-1470 | | | | | | 33 | 67 | | 6 | muy erosionado |
| I15 | 4 | 22-1481 | | | | | | | 100 | | 4 | muy erosionado |
| I15 | 5 | 22-1487 | | | | | | 20 | 80 | | 10 | muy erosionado |
| I15 | 6 | 22-1500 | | | | | | 25 | 75 | | 9 | muy erosionado |
| I15 | 7 | 22-1508 | | | | | | 35 | 65 | | 14 | |
| I16 | 1 | 22-1006 | | | | | | 40 | 60 | | 20 | muy erosionado |
| I16 | 2 | 22-1015 | | | | | | 40 | 60 | | 8 | muy erosionado |
| I16 | 3 | 22-1025 | | | | | | 20 | 80 | | 44 | muy erosionado |
| I16 | 4 | 22-1048 | | | | | | 50 | 50 | | 8 | muy erosionado |
| I16 | 5 | 22-1057 | | | | | | 13 | 87 | | 8 | muy erosionado |
| I16 | 6 | 22-1062 | | | | | | 50 | 50 | | 10 | muy erosionado |
| I16 | 7 | 22-1074 | | | 5 | | | 45 | 50 | | 20 | muy erosionado |
| I16 | 8 | 22-1120 | | | | | | 43 | 57 | | 7 | muy erosionado |
| I16 | 9 | 22-1094 | | | | | | 18 | 82 | | 11 | muy erosionado |
| I16 | 10 | 22-1108 | | | 4 | | | 24 | 74 | | 25 | muy erosionado |
| I16 | 11 | 22-1119 | | | | | | 58 | 42 | | 31 | muy erosionado |
| I16 | 12 | 22-1142 | | | | | | 88 | 12 | | 65 | muy erosionado |
| I16 | 13 | 22-3801 | | | | | | 53 | 47 | | 30 | muy erosionado |
| I16 | 15 | 22-3816 | | | | | | 87 | 13 | | 18 | muy erosionado |
| I16 | 16 | 22-3823 | | | | 8 | | 92 | | | 12 | muy erosionado |
| I16 | 17 | 22-3860 | | 3 | | | | 97 | | | 31 | erosionado |
| I16 | 14 | 22-3807 | | | | | | 62 | 38 | | 8 | muy erosionado |
| I16 | 18 | 22-3863 | | | 3 | | | 97 | | | 29 | muy erosionado |
| I17 | 1 | 22-1583 | | | | | | 44 | 56 | | 9 | muy erosionado |
| I17 | 2 | 22-1594 | | | | | | 30 | 70 | | 10 | muy erosionado |
| I17 | 3 | 22-1606 | | | | | | 43 | 57 | | 19 | muy erosionado |
| I17 | 4 | 22-1626 | | | | | | 36 | 64 | | 11 | muy erosionado |
| I19 | 1 | 22-1679 | | | 6 | | | 29 | 65 | | 17 | muy erosionado |

| Unidad | Lote | FS | LF | ETF | LTF | TF | EC | LC | EPC | LPC | Núm. Diag. | Erosión |
|---|---|---|---|---|---|---|---|---|---|---|---|---|
| I19 | 2 | 22-2062 | | | | | | 37 | 63 | | 11 | muy erosionado |
| | | | | | | | | | | | | |
| I19 | 3 | 22-2073 | | | | | | 24 | 76 | | 17 | muy erosionado |
| I19 | 4 | 22-2080 | | | 6 | | | 24 | 71 | | 17 | muy erosionado |
| I19 | 5 | 22-3232 | | | | | 5 | 20 | 75 | | 20 | muy erosionado |
| I19 | 6 | 22-2730 | | | | | | 30 | 70 | | 10 | muy erosionado |
| I19 | 8 | 22-2939 | | | | | | 18 | 82 | | 22 | muy erosionado |
| I19 | 7 | 22-2745 | | | | | | 22 | 78 | | 9 | muy erosionado |
| I19 | 9 | 22-2951 | | | | | | 33 | 67 | | 36 | muy erosionado |
| I20 | 2 | 22-2025 | | | | | 3 | 33 | 64 | | 39 | muy erosionado |
| I20 | 3 | 22-2039 | | | | | | 59 | 41 | | 39 | muy erosionado |
| I20 | 4 | 22-2054 | | 5 | | | | 9 | 86 | | 22 | muy erosionado |
| I20 | 5 | 22-3641 | | | | | | 18 | 82 | | 11 | muy erosionado |
| I21 | 1 | 22-1689 | | | | | | | 100 | | 6 | muy erosionado |
| I21 | 2 | 22-1696 | | | | | | 37 | 63 | | 27 | muy erosionado |
| I21 | 3 | 22-1809 | | | | | 3 | 53 | 44 | | 36 | muy erosionado |
| I21 | 4 | 22-1878 | | | | | | 12 | 88 | | 8 | muy erosionado |
| I21 | 5 | 22-1881 | | | | | | 47 | 53 | | 17 | muy erosionado |
| I22 | 2 | 22-3300 | | | | | | 27 | 73 | | 18 | muy erosionado |
| I22 | 3 | 22-3307 | | | | | | 16 | 84 | | 48 | muy erosionado |
| I22 | 4 | 22-3324 | | | | | | 11 | 89 | | 36 | muy erosionado |
| I22 | 5 | 22-3330 | | | 6 | | | 31 | 63 | | 16 | muy erosionado |
| I22 | 6 | 22-3335 | | | 7 | 7 | | 41 | 44 | | 27 | muy erosionado |
| I22 | 7 | 22-3340 | | | 4 | | 2 | 44 | 51 | | 57 | muy erosionado |
| I23 | 1 | 22-1820 | | | | | | 25 | 75 | | 16 | muy erosionado |
| I23 | 2 | 22-1827 | | | | | | 48 | 52 | | 23 | muy erosionado |
| I23 | 3 | 22-1837 | | | | | | 50 | 50 | | 6 | muy erosionado |
| I24 | 1 | 22-2768 | | | 4 | | | 28 | 68 | | 25 | muy erosionado |

| Unidad | Lote | FS | LF | ETF | LTF | TF | EC | LC | EPC | LPC | Núm. Diag. | Erosión |
|---|---|---|---|---|---|---|---|---|---|---|---|---|
| I24 | 2 | 22-3902 | | | | 2 | | 42 | 50 | | 57 | erosionado |
| J13 | 2 | 22-2275 | | | | | 1 | 56 | 43 | | 66 | muy erosionado |
| J13 | 3 | 22-2288 | | | | 3 | | 69 | 28 | | 39 | muy erosionado |
| J13 | 4 | 22-2300 | | | | | | 90 | 10 | | 21 | muy erosionado |
| J13 | 5 | 22-2651 | | | | | | 66 | 34 | | 6 | muy erosionado |
| J13 | 6 | 22-2661 | | | | | | 100 | | | 3 | muy erosionado |
| J17 | 2 | 22-2068 | | | 3 | | | 43 | 54 | | 35 | muy erosionado |
| J17 | 3 | 22-2075 | | | | | | 62 | 38 | | 13 | muy erosionado |
| J17 | 4 | 22-2082 | | | | | | 77 | 23 | | 22 | erosionado |
| J17 | 5 | 22-2085 | | | | | | 60 | 40 | | 25 | muy erosionado |
| J17 | 6 | 22-2093 | | | | | | 63 | 37 | | 19 | muy erosionado |
| J17 | 7 | 22-2204 | | | 3 | | | 36 | 61 | | 39 | muy erosionado |
| J17 | 8 | 22-2214 | | | | 2 | | 45 | 53 | | 40 | muy erosionado |
| J17 | 9 | 22-2224 | | | | | | 27 | 73 | | 26 | muy erosionado |
| J17 | 10 | 22-2232 | | | 7 | | | 40 | 53 | | 30 | muy erosionado |
| J17 | 11 | 22-2243 | | | | | | 45 | 55 | | 48 | muy erosionado |
| J17 | 12 | 22-2268 | | | | | | 82 | 18 | | 27 | muy erosionado |
| J17 | 13 | 22-2282 | | | | | | 95 | 5 | | 19 | muy erosionado |
| J17 | 14 | 22-2287 | | | | | | 100 | | | 23 | muy erosionado |
| J17 | 15 | 22-2297 | | | | | | 100 | | | 38 | erosionado |
| J17 | 16 | 22-2402 | | | | | | 100 | | | 32 | muy erosionado |
| J19 | 2 | 22-2816 | | | | | | 25 | 75 | | 8 | muy erosionado |
| J19 | 3 | 22-2824 | | | | 4 | 8 | 60 | 28 | | 25 | muy erosionado |
| J19 | 4 | 22-2839 | | | | | 6 | 44 | 50 | | 16 | muy erosionado |
| J19 | 5 | 22-2847 | | | | | | 50 | 50 | | 12 | muy erosionado |
| J19 | 7 | 22-3062 | | 3 | | | | 58 | 40 | | 40 | erosionado |
| J19 | 8 | 22-3217 | | | 3 | | | 34 | 63 | | 30 | muy erosionado |
| J19 | 9 | 22-2851 | | | 6 | | | 52 | 42 | | 33 | muy erosionado |

| Unidad | Lote | FS | LF | ETF | LTF | TF | EC | LC | EPC | LPC | Núm. Diag. | Erosión |
|---|---|---|---|---|---|---|---|---|---|---|---|---|
| J19 | 9 | 22-3102 | | | | | | 60 | 40 | | 47 | muy erosionado |
| J19 | 10 | 22-3124 | | | 1 | | | 55 | 44 | | 72 | muy erosionado |
| J20 | 2 | 22-2803 | | | | | | 33 | 67 | | 12 | muy erosionado |
| J21 | 2 | 22-3011 | | | | | | 30 | 70 | | 13 | muy erosionado |
| J22 | 2 | 22-2872 | | | | | | 33 | 67 | | 12 | muy erosionado |
| J22 | 3 | 22-2879 | | | | | | 13 | 87 | | 15 | muy erosionado |
| J22 | 4 | 22-2884 | | | | | | 100 | | | 3 | muy erosionado |
| J22 | 5 | 22-2894 | | | | | | 40 | 60 | | 5 | muy erosionado |
| J22 | 6 | 22-3001 | | | | | 8 | 17 | 75 | | 12 | muy erosionado |
| J22 | 9 | 22-3785 | | | | 2 | 2 | 50 | 45 | | 82 | muy erosionado |
| J22 | 10 | 22-3824 | | | | | | 23 | 77 | | 47 | muy erosionado |
| J22 | 11 | 22-3832 | | | 3 | | | 36 | 61 | | 36 | muy erosionado |
| J22 | 12 | 22-3847 | | 2 | | | | 76 | 22 | | 41 | muy erosionado |
| J22 | 7 | 22-2726 | | | | | | 108 | | | 3 | muy erosionado |
| J22 | 8 | 22-2742 | | | | | | 14 | 86 | | 7 | muy erosionado |
| J22 | 13 | 22-3857 | | | 6 | | 6 | 82 | 6 | | 26 | muy erosionado |
| J23 | 1 | 22-1887 | | | | | 6 | 28 | 67 | | 18 | muy erosionado |
| J23 | 2 | 22-1899 | | | | | | 50 | 50 | | 16 | muy erosionado |
| J23 | 3 | 22-2009 | | | | | | | 100 | | 9 | muy erosionado |
| J23 | 4 | 22-2023 | | | | | | 33 | 67 | | 6 | muy erosionado |
| J23 | 5 | 22-2032 | | | | | | 58 | 42 | | 19 | muy erosionado |
| J24 | 1 | 22-3906 | | | | | | 40 | 60 | | 20 | muy erosionado |
| JJ39 | 2 | 22-8590 | | | | | 3 | 31 | 66 | | 28 | muy erosionado |
| K15 | 1 | 22-1862 | | | | 5 | | 19 | 76 | | 21 | muy erosionado |
| K15 | 2 | 22-1872 | | | | | | 47 | 53 | | 15 | muy erosionado |
| K17 | 2 | 22-2472 | | | | | | 30 | 70 | | 10 | muy erosionado |
| K17 | 3 | 22-2479 | | | | 17 | | 33 | 50 | | 6 | muy erosionado |

| Unidad | Lote | FS | LF | ETF | LTF | TF | EC | LC | EPC | LPC | Núm. Diag. | Erosión |
|---|---|---|---|---|---|---|---|---|---|---|---|---|
| K17 | 4 | 22-2488 | | | 5 | | | 43 | 52 | | 44 | muy erosionado |
| K17 | 5 | 22-2499 | | | | | | 45 | 55 | | 27 | muy erosionado |
| K17 | 6 | 22-2610 | | | | | | 48 | 52 | | 38 | muy erosionado |
| K17 | 7 | 22-2617 | | | | | | 70 | 30 | | 33 | muy erosionado |
| K17 | 8 | 22-2628 | | | | | | 59 | 41 | | 39 | muy erosionado |
| K17 | 9 | 22-2633 | | | | 4 | | 88 | 8 | | 25 | muy erosionado |
| K17 | 10 | 22-2647 | | | | | | 85 | 15 | | 32 | muy erosionado |
| K17 | 11 | 22-2658 | | | 4 | | | 89 | 7 | | 28 | |
| K17 | 12 | 22-2664 | | | | | | 100 | | | 11 | muy erosionado |
| K17 | 13 | 22-2665 | | | | | | 100 | | | 16 | muy erosionado |
| K17 | 14 | 22-2670 | | | | | | 84 | 16 | | 6 | muy erosionado |
| K17 | 15 | 22-2674 | | | | | | 100 | | | 21 | erosionado |
| K17 | 16 | 22-2677 | | | | | | 100 | | | 11 | muy erosionado |
| K17 | 17 | 22-2685 | | | | | 4 | 96 | | | 23 | erosionado |
| K19 | 2 | 22-2836 | | | | | | 60 | 40 | | 20 | muy erosionado |
| K19 | 3 | 22-3234 | | | | | | 67 | 33 | | 42 | muy erosionado |
| K19 | 4 | 22-3295 | | | | | 3 | 43 | 54 | | 60 | muy erosionado |
| K22 | 2 | 22-3867 | | | | | | 61 | 31 | | 22 | muy erosionado |
| K22 | 4 | 22-3875 | | | 3 | | | 13 | 84 | | 31 | muy erosionado |
| K22 | 5 | 22-3884 | | | 3 | | | 55 | 42 | | 31 | muy erosionado |
| K22 | 3 | 22-3871 | | | | | | 18 | 82 | | 11 | muy erosionado |
| K23 | 2 | 22-2058 | | | | | | 57 | 43 | | 7 | muy erosionado |
| K23 | 3 | 22-2060 | | | | | | 46 | 54 | | 13 | muy erosionado |
| K23 | 4 | 22-2071 | | | | | | 100 | | | 6 | muy erosionado |
| K23 | 5 | 22-2087 | | | | | | 53 | 47 | | 17 | muy erosionado |
| K23 | 6 | 22-2202 | | | | | | | | | 0 | muy erosionado |
| K23 | 7 | 22-2208 | | | | | | 100 | | | 1 | muy erosionado |
| K24 | 2 | 22-3530 | | | | | | 32 | 68 | | 28 | muy erosionado |

| Unidad | Lote | FS | LF | ETF | LTF | TF | EC | LC | EPC | LPC | Núm. Diag. | Erosión |
|---|---|---|---|---|---|---|---|---|---|---|---|---|
| K24 | 3 | 22-3650 | | | | | | 35 | 65 | | 20 | muy erosionado |
| L13 | 1 | 22-1333 | | | | | | 30 | 70 | | 10 | muy erosionado |
| L13 | 3 | 22-1381 | | | | | | 35 | 65 | | 31 | muy erosionado |
| L13 | 4 | 22-1386 | | | | | | 76 | 24 | | 21 | muy erosionado |
| L13 | 5 | 22-1408 | | | | | | 97 | 3 | | 36 | |
| L13 | 6 | 22-1430 | | | 8 | | | 67 | 25 | | 12 | muy erosionado |
| L13 | 7 | 22-1454 | | 4 | 2 | | | 92 | 2 | | 49 | good |
| L13 | 8 | 22-1557 | | 4 | 6 | | | 87 | 2 | | 47 | |
| L13 | 8 | 22-2210 | | | | 8 | | 92 | | | 13 | muy erosionado |
| L13 | 9 | 22-1587 | | | | | | 100 | | | 2 | muy erosionado |
| L13 | 10 | 22-1602 | | | | | | 100 | | | 10 | muy erosionado |
| L13 | 11 | 22-1629 | | | | | 3 | 97 | | | 29 | muy erosionado |
| L13 | 12 | 22-1645 | | | | | | 100 | | | 13 | muy erosionado |
| L13 | 13 | 22-1665 | | | | 50 | | 50 | | | 6 | muy erosionado |
| L13 | 14 | 22-1668 | | | | | | 100 | | | 19 | muy erosionado |
| L13 | 15 | 22-1675 | | | | 5 | | 95 | | | 19 | muy erosionado |
| L13 | 16 | 22-2088 | | | | | | 100 | | | 11 | muy erosionado |
| L13 | 17 | 22-2090 | | | | | | 100 | | | 16 | muy erosionado |
| L13 | 19 | 22-2218 | | | | 40 | | 60 | | | 5 | muy erosionado |
| L13 | 20 | 22-2228 | | | 13 | | 17 | 74 | | | 8 | muy erosionado |
| L13 | 21 | 22-2241 | | | | | 14 | 71 | 15 | | 7 | muy erosionado |
| L15 | 1 | 22-1442 | | | | | | 67 | 33 | | 3 | muy erosionado |
| L15 | 2 | 22-1450 | | | | | 5 | 15 | 80 | | 20 | muy erosionado |
| L15 | 3 | 22-1458 | | | | | | 73 | 27 | | 15 | muy erosionado |
| L15 | 4 | 22-1469 | | | | | | | 100 | | 5 | muy erosionado |
| L15 | 5 | 22-1479 | | | | | | 57 | 43 | | 23 | muy erosionado |
| L16 | 1 | 22-1173 | | | | | | 23 | 77 | | 30 | muy erosionado |
| L16 | 3 | 22-1191 | | | | | | 22 | 78 | | 9 | muy erosionado |

| Unidad | Lote | FS | LF | ETF | LTF | TF | EC | LC | EPC | LPC | Núm. Diag. | Erosión |
|---|---|---|---|---|---|---|---|---|---|---|---|---|
| L16 | 4 | 22-1193 | | | | | | 40 | 60 | | 15 | muy erosionado |
| L16 | 5 | 22-1208 | | | | | | 33 | 67 | | 6 | muy erosionado |
| L16 | 6 | 22-1218 | | | | | | 13 | 87 | | 15 | muy erosionado |
| L16 | 7 | 22-1227 | | | | | | 31 | 69 | | 16 | muy erosionado |
| L16 | 8 | 22-1235 | | 9 | | | | 18 | 73 | | 11 | muy erosionado |
| L17 | 1 | 22-1841 | 25 | | | | | | 75 | | 20 | muy erosionado |
| L17 | 2 | 22-1846 | | | | 9 | | 36 | 55 | | 22 | muy erosionado |
| L17 | 3 | 22-1848 | | | 4 | | | 28 | 68 | | 25 | muy erosionado |
| L18 | 2 | 22-1870 | | | | | | 47 | 53 | | 17 | muy erosionado |
| L19 | 2 | 22-2299 | | | | 11 | | 22 | 67 | | 9 | muy erosionado |
| L19 | 3 | 22-2671 | | | 25 | | | 25 | 50 | | 4 | muy erosionado |
| L19 | 4 | 22-2672 | | | | | | | 100 | | 3 | muy erosionado |
| L20 | 2 | 22-2157 | | | | 4 | 4 | 27 | 65 | | 26 | muy erosionado |
| M10 | 2 | 22-3610 | | | | | | 100 | | | 2 | muy erosionado |
| M11 | 1 | 22-2190 | | | | 8 | | 54 | 38 | | 13 | muy erosionado |
| M11 | 2 | 22-3412 | | | | | | 93 | 7 | | 15 | muy erosionado |
| M13 | 1 | 22-2531 | | | | | | 92 | 8 | | 26 | muy erosionado |
| M13 | 1 | 22-2543 | | | | | | 100 | | | 16 | muy erosionado |
| M13 | 2 | 22-2546 | | | 3 | | | 97 | | | 31 | muy erosionado |
| M13 | 3 | 22-2549 | | | | | | 94 | 6 | | 16 | muy erosionado |
| M13 | 4 | 22-2556 | | | | 8 | | 92 | | | 12 | muy erosionado |
| M13 | 5 | 22-2533 | | | | 5 | 5 | 85 | 5 | | 19 | muy erosionado |
| M13 | 6 | 22-2566 | | | | | | 100 | | | 7 | muy erosionado |
| M13 | 6 | 22-2590 | | | | | | 100 | | | 1 | muy erosionado |
| M13 | 7 | 22-2592 | | | | | 6 | 94 | | | 32 | erosionado |
| M13 | 8 | 22-2573 | | | | | | 100 | | | 4 | muy erosionado |
| M13 | 9 | 22-2715 | | | | | | | | | 0 | muy erosionado |
| M13 | 10 | 22-2722 | | | | | | | | | 0 | muy erosionado |

| Unidad | Lote | FS | LF | ETF | LTF | TF | EC | LC | EPC | LPC | Núm. Diag. | Erosión |
|---|---|---|---|---|---|---|---|---|---|---|---|---|
| M13 | 10 | 22-2719 | | | | | | 100 | | | 13 | muy erosionado |
| M14 | 2 | 22-3449 | | | | | | 56 | 44 | | 23 | muy erosionado |
| M14 | 4 | 22-3557 | | | 4 | | | 85 | 11 | | 28 | muy erosionado |
| M14 | 5 | 22-3578 | | | 3 | | | 97 | | | 31 | erosionado |
| M14 | 6 | 22-3586 | | | | | 2 | 96 | 2 | | 39 | muy erosionado |
| M14 | 7 | 22-3592 | | | | | | 100 | | | 9 | muy erosionado |
| M14 | 8 | 22-3607 | | | | | | 100 | | | 3 | muy erosionado |
| M14 | 10 | 22-3618 | | | | 50 | | 50 | | | 4 | muy erosionado |
| M14 | 9 | 22-3612 | | | 33 | | | 67 | | | 3 | muy erosionado |
| M14 | 3 | 22-3544 | | | | | | 77 | 23 | | 26 | muy erosionado |
| M20 | 2 | 22-2123 | | | | | | 36 | 64 | | 22 | muy erosionado |
| M20 | 2 | 22-2132 | | | | | | | 100 | | 4 | muy erosionado |
| M20 | 3 | 22-2135 | | | 3 | | | 80 | 17 | | 66 | muy erosionado |
| M20 | 4 | 22-2312 | | | | | 2 | 71 | 27 | | 41 | muy erosionado |
| M20 | 5 | 22-2396 | | | | | | 50 | 50 | | 2 | muy erosionado |
| M20 | 5 | 22-2505 | | | | | | | | | 0 | muy erosionado |
| M20 | 7 | 22-3591 | | | | | | 100 | | | 2 | muy erosionado |
| M20 | 6 | 22-3585 | | | | | | | | | 0 | muy erosionado |
| M20 | 8 | 22-3609 | | | | | | | | | 0 | muy erosionado |
| M20 | 12 | 22-3166 | | 33 | | | | 67 | | | 3 | muy erosionado |
| M20 | 9 | 22-3156 | | | | | | 100 | | | 1 | muy erosionado |
| M20 | 11 | 22-3163 | | | | 25 | | 75 | | | 4 | muy erosionado |
| M20 | 13 | 22-3169 | | | | | | | | | 0 | muy erosionado |
| M20 | 10 | 22-3160 | | | | | | 91 | 9 | | 11 | muy erosionado |
| M22 | 7 | 22-3619 | | | | | | 100 | | | 8 | muy erosionado |
| MU1 | 1 | 22-1495 | | | | | | 64 | 36 | | 11 | muy erosionado |
| MU1 | 2 | 22-1511 | | 11 | | | | 56 | 33 | | 9 | muy erosionado |
| MU1 | 3 | 22-1524 | | | | | | 25 | 75 | | 8 | muy erosionado |

| Unidad | Lote | FS | LF | ETF | LTF | TF | EC | LC | EPC | LPC | Núm. Diag. | Erosión |
|---|---|---|---|---|---|---|---|---|---|---|---|---|
| MU1 | 4 | 22-1552 | | | | | | 50 | 50 | | 18 | erosionado |
| MU1 | 5 | 22-1567 | | 5 | 5 | | 3 | 75 | 13 | | 40 | erosionado |
| MU1 | 6 | 22-1576 | | | | | | 40 | 60 | | 10 | muy erosionado |
| MU1 | 7 | 22-1590 | | | 3 | | | 89 | 8 | | 36 | erosionado |
| MU1 | 8 | 22-1612 | | 2 | | | | 98 | | | 40 | |
| MU1 | 9 | 22-1650 | | 2 | | | | 98 | | | 46 | good |
| MU1 | 10 | 22-1803 | | 4 | | | | 96 | | | 23 | erosionado |
| MU1 | 11 | 22-1816 | | 3 | 6 | | | 91 | | | 34 | good |
| MU1 | 12 | 22-1825 | | 6 | 6 | | | 88 | | | 16 | |
| MU1 | 13 | 22-1829 | | | | | | 100 | | | 16 | erosionado |
| MU1 | 14 | 22-1834 | | | 20 | | | 80 | | | 10 | muy erosionado |
| MU1 | 15 | 22-1843 | | | | | | 100 | | | 9 | erosionado |
| MU1 | 16 | 22-1852 | | 8 | 8 | | | 83 | | | 12 | erosionado |
| MU1 | 17 | 22-1855 | | | | | | 100 | | | 6 | muy erosionado |
| MU1 | 18 | 22-1869 | | | | | | 100 | | | 2 | erosionado |
| MU1 | 19 | 22-1874 | | | | | | 100 | | | 12 | erosionado |
| MU1 | 20 | 22-2004 | | | | | | 100 | | | 20 | muy erosionado |
| MU1 | 21 | 22-2018 | | | | | | 100 | | | 15 | muy erosionado |
| MU1 | 22 | 22-2035 | | | | | | 100 | | | 9 | muy erosionado |
| MU1 | 23 | 22-2048 | | | | | | 96 | 4 | | 23 | muy erosionado |
| MU1 | 25 | 22-2078 | | 100 | | | | | | | 3 | muy erosionado |
| MU10 | 1 | 22-2189 | | | | | 1 | 60 | 39 | | 95 | muy erosionado |
| MU11 | 1 | 22-3016 | | | | | | 12 | 88 | | 34 | muy erosionado |
| MU11 | 2 | 22-3041 | | | | | | 13 | 87 | | 23 | muy erosionado |
| MU11 | 3 | 22-3048 | | | | | | 20 | 80 | | 30 | muy erosionado |
| MU11 | 4 | 22-3058 | | | | | | 19 | 81 | | 26 | muy erosionado |
| MU11 | 5 | 22-3070 | | | | | | 24 | 76 | | 17 | erosionado |
| MU11 | 6 | 22-3077 | | | 6 | | | 11 | 87 | | 18 | muy erosionado |
| MU11 | 7 | 22-3084 | | | | | | 9 | 91 | | 23 | |
| MU11 | 8 | 22-3093 | | | | | | 14 | 86 | | 7 | |
| MU11 | 9 | 22-3098 | | | | | | 13 | 87 | | 15 | muy erosionado |
| MU11 | 10 | 22-3203 | | | | | | | 100 | | 6 | muy erosionado |

| Unidad | Lote | FS | LF | ETF | LTF | TF | EC | LC | EPC | LPC | Núm. Diag. | Erosión |
|---|---|---|---|---|---|---|---|---|---|---|---|---|
| MU11 | 11 | 22-3211 | | | | 14 | | | 86 | | 7 | muy erosionado |
| MU11 | 12 | 22-3222 | | | | | | 100 | | | 5 | muy erosionado |
| MU11 | 7 | 22-3089 | | | | | | 100 | | | 1 | muy erosionado |
| MU11 | 6 | 22-3081 | | | | | | | | | 0 | muy erosionado |
| MU12 | 1 | 22-3028 | | | | | | 47 | 53 | | 17 | muy erosionado |
| MU12 | 3 | 22-3055 | | | | | | 23 | 77 | | 17 | muy erosionado |
| MU12 | 2 | 22-3039 | | | | | | 40 | 60 | | 15 | muy erosionado |
| MU13 | 2 | 22-3090 | | | | | | 63 | 37 | | 17 | muy erosionado |
| MU13 | 3 | 22-3097 | | | | | | 50 | 50 | | 18 | muy erosionado |
| MU13 | 5 | 22-3304 | | | | | 3 | 61 | 36 | | 31 | muy erosionado |
| MU13 | 6 | 22-3312 | | | 11 | | | 45 | 44 | | 9 | muy erosionado |
| MU13 | 7 | 22-3321 | | | | | | 26 | 74 | | 15 | muy erosionado |
| MU13 | 4 | 22-3205 | | | | | | 100 | | | 2 | muy erosionado |
| MU14 | 1 | 22-2371 | | | 22 | | | 78 | | | 8 | muy erosionado |
| MU14 | 1 | 22-2379 | | | | | | | | | 0 | muy erosionado |
| MU14 | 2 | 22-2397 | | | | | | | | | 0 | |
| MU14 | 2 | 22-2384 | | | 8 | | 8 | 84 | | | 24 | muy erosionado |
| MU14 | 3 | 22-2399 | | | | | | 100 | | | 2 | muy erosionado |
| MU14 | 3 | 22-2522 | | | | | | | | | 0 | muy erosionado |
| MU14 | 3 | 22-2523 | | | | | | | | | 0 | |
| MU14 | 3 | 22-2524 | | | | | | 100 | | | 1 | muy erosionado |
| MU15 | 1 | 22-2393 | | | | | | 44 | 56 | | 34 | muy erosionado |
| MU15 | 2 | 22-2512 | | | | | | 30 | 70 | | 43 | muy erosionado |
| MU16 | 2 | 22-3244 | | | | | 8 | 50 | 42 | | 12 | muy erosionado |
| MU16 | 3 | 22-3246 | | | | | | 45 | 55 | | 9 | muy erosionado |
| MU16 | 4 | 22-3269 | | 5 | | | | 61 | 35 | | 43 | muy erosionado |
| MU16 | 5 | 22-3272 | | | | 2 | 2 | 45 | 51 | | 40 | muy erosionado |
| MU16 | 6 | 22-3282 | | | | | | 44 | 56 | | 83 | muy erosionado |

| Unidad | Lote | FS | LF | ETF | LTF | TF | EC | LC | EPC | LPC | Núm. Diag. | Erosión |
|---|---|---|---|---|---|---|---|---|---|---|---|---|
| MU16 | 7 | 22-3350 | | | 5 | | | 45 | 50 | | 18 | muy erosionado |
| MU16 | 8 | 22-3358 | | 3 | 5 | | | 65 | 28 | | 40 | muy erosionado |
| MU16 | 9 | 22-3361 | | 13 | | | | 50 | 38 | | 8 | muy erosionado |
| MU16 | 10 | 22-3366 | | | | | | 77 | 23 | | 13 | muy erosionado |
| MU16 | 11 | 22-3409 | | | | | | 75 | 25 | | 5 | muy erosionado |
| MU16 | 12 | 22-3695 | | | | 3 | | 34 | 63 | | 32 | muy erosionado |
| MU16 | 13 | 22-3705 | | | | | | 39 | 61 | | 59 | muy erosionado |
| MU16 | 18 | 22-3746 | | | | | | 100 | | | 8 | muy erosionado |
| MU16 | 19 | 22-3751 | | | | | | 100 | | | 1 | erosionado |
| MU16 | 19 | 22-3749 | | | | | | | | | 0 | muy erosionado |
| MU16 | 20 | 22-3755 | | | | | | | | | 0 | muy erosionado |
| MU16 | 14 | 22-3715 | | | 20 | | | 80 | | | 5 | muy erosionado |
| MU16 | 15 | 22-3721 | | | | | | 90 | 10 | | 10 | muy erosionado |
| MU16 | 16 | 22-3728 | | | | | | 100 | | | 16 | muy erosionado |
| MU16 | 17 | 22-3733 | | | 13 | | | 87 | | | 22 | muy erosionado |
| MU17 | 2 | 22-3242 | | | | | | 32 | 68 | | 56 | muy erosionado |
| MU17 | 4 | 22-3252 | | | | | | 20 | 80 | | 54 | erosionado |
| MU17 | 5 | 22-3263 | | | | | | 12 | 88 | | 82 | muy erosionado |
| MU17 | 6 | 22-3275 | | | | | | 35 | 65 | | 62 | muy erosionado |
| MU17 | 7 | 22-3278 | | | 5 | | | 57 | 38 | | 58 | muy erosionado |
| MU17 | 9 | 22-3334 | | | 13 | | | 63 | 25 | | 8 | muy erosionado |
| MU17 | 10 | 22-3338 | | | | | | 100 | | | 7 | muy erosionado |
| MU17 | 11 | 22-3345 | | | | | | 72 | 28 | | 7 | muy erosionado |
| MU17 | 12 | 22-3348 | | | 25 | | | 50 | 25 | | 4 | muy erosionado |
| MU17 | 14 | 22-3357 | | | 50 | | | 50 | | | 2 | muy erosionado |
| MU17 | 16 | 22-3359 | | | | | | | | | 0 | muy erosionado |
| MU17 | 17 | 22-3365 | | | | | | 50 | 50 | | 2 | erosionado |
| MU17 | 13 | 22-3349 | | | | | | 50 | 50 | | 2 | muy erosionado |

| Unidad | Lote | FS | LF | ETF | LTF | TF | EC | LC | EPC | LPC | Núm. Diag. | Erosión |
|---|---|---|---|---|---|---|---|---|---|---|---|---|
| MU17 | 8 | 22-3332 | | | | | | 85 | 15 | | 20 | muy erosionado |
| MU17 | 6 | 22-3275 | | | | | | 35 | 63 | | 62 | muy erosionado |
| MU17 | 3 | 22-3248 | | | | 1 | 2 | 26 | 71 | | 105 | muy erosionado |
| MU18 | 1 | 22-2507 | | | | | | 66 | 34 | | 6 | muy erosionado |
| MU18 | 2 | 22-2510 | | | | | | 58 | 42 | | 26 | muy erosionado |
| MU18 | 3 | 22-2527 | | | | | | 77 | 23 | | 65 | erosionado |
| MU19 | 1 | 22-3460 | | | | | | 100 | | | 4 | muy erosionado |
| MU19 | 2 | 22-3463 | | | 4 | | 64 | 32 | | | 95 | erosionado |
| MU19 | 3 | 22-3494 | | 4 | 17 | | 65 | 13 | | | 23 | muy erosionado |
| MU19 | 4 | 22-3533 | | 10 | | | 71 | 19 | | | 21 | muy erosionado |
| MU19 | 5 | 22-3553 | | | 33 | | | 67 | | | 3 | muy erosionado |
| MU19 | 6 | 22-3572 | | 10 | 20 | | 70 | | | | 10 | muy erosionado |
| MU19 | 7 | 22-3597 | | 4 | 12 | | 84 | | | | 25 | erosionado |
| MU19 | 8 | 22-3614 | | 4 | 9 | | 87 | | | | 23 | muy erosionado |
| MU19 | 9 | 22-3630 | | 50 | 50 | | | | | | 2 | muy erosionado |
| MU19 | 10 | 22-3664 | 17 | 3 | | | 79 | | | | 29 | erosionado |
| MU19 | 11 | 22-3678 | | | 50 | | | 50 | | | 2 | muy erosionado |
| MU19 | 12 | 22-3682 | | | | | | | | | 0 | muy erosionado |
| MU19 | 13 | 22-3724 | | 21 | 14 | | 50 | 14 | | | 14 | muy erosionado |
| MU19 | 15 | 22-3764 | | | 33 | | 59 | 7 | | | 27 | muy erosionado |
| MU19 | 11 | 22-3673 | | | | | | | | | 0 | muy erosionado |
| MU19 | 15 | 22-3770 | | | | | | | | | 0 | muy erosionado |
| MU2 | 1 | 22-1649 | | | | | | 40 | 60 | | 5 | muy erosionado |
| MU2 | 2 | 22-1656 | | | | | | | 100 | | 4 | muy erosionado |
| MU2 | 3 | 22-1659 | | | | | | | | | 0 | muy erosionado |
| MU2 | 4 | 22-1667 | | | | | | 57 | 43 | | 7 | muy erosionado |
| MU2 | 5 | 22-1672 | | | | | | 33 | 67 | | 12 | muy erosionado |
| MU2 | 6 | 22-1681 | | | | | | 50 | 50 | | 14 | muy erosionado |

| Unidad | Lote | FS | LF | ETF | LTF | TF | EC | LC | EPC | LPC | Núm. Diag. | Erosión |
|---|---|---|---|---|---|---|---|---|---|---|---|---|
| MU2 | 7 | 22-1687 | | | | | | 47 | 53 | 53 | 15 | muy erosionado |
| MU2 | 8 | 22-1693 | | | | | | 29 | 71 | | 21 | erosionado |
| MU2 | 9 | 22-1807 | | | | | | 25 | 75 | | 12 | muy erosionado |
| MU2 | 10 | 22-1857 | | | 8 | | | 42 | 50 | | 12 | |
| MU2 | 11 | 22-1894 | | 5 | 3 | | 5 | 41 | 46 | | 37 | |
| MU2 | 11 | 22-1895 | | | | | | | 100 | | 1 | |
| MU2 | 12 | 22-2001 | | | | | | 58 | 42 | | 28 | erosionado |
| MU2 | 13 | 22-2008 | | | 3 | | | 67 | 30 | | 40 | muy erosionado |
| MU2 | 14 | 22-2013 | | | | | 5 | 68 | 27 | | 22 | muy erosionado |
| MU2 | 15 | 22-2028 | | | | | 3 | 91 | 6 | | 33 | erosionado |
| MU2 | 16 | 22-2041 | | | | | | 94 | 6 | | 17 | muy erosionado |
| MU2 | 17 | 22-2044 | | | | 5 | 5 | 90 | | | 21 | muy erosionado |
| MU2 | 18 | 22-2052 | | | | | | 100 | | | 24 | muy erosionado |
| MU20 | 1 | 22-3419 | | 3 | | | | 95 | 3 | | 39 | erosionado |
| MU20 | 2 | 22-3433 | | | | | | 100 | | | 14 | muy erosionado |
| MU20 | 3 | 22-3444 | | | | | | 96 | 4 | | 25 | muy erosionado |
| MU20 | 4 | 22-3451 | | | | | | 100 | | | 20 | muy erosionado |
| MU20 | 5 | 22-3454 | | | | | | 100 | | | 1 | muy erosionado |
| MU20 | 6 | 22-3458 | | | | | | 100 | | | 10 | muy erosionado |
| MU20 | 8 | 22-3471 | | | | | | 100 | | | 3 | muy erosionado |
| MU20 | 9 | 22-3477 | | | | | | 100 | | | 20 | erosionado |
| MU20 | 10 | 22-3485 | | | 4 | | | 96 | | | 28 | erosionado |
| MU20 | 11 | 22-3504 | | | | | | 100 | | | 11 | muy erosionado |
| MU20 | 12 | 22-3515 | | | | | | 100 | | | 3 | muy erosionado |
| MU21 | 3 | 22-3468 | | | | | | 72 | 28 | | 7 | muy erosionado |
| MU21 | 4 | 22-3483 | | | | | | 90 | 10 | | 19 | muy erosionado |
| MU21 | 5 | 22-3497 | | | | | | 94 | 6 | | 16 | muy erosionado |
| MU21 | 6 | 22-3507 | | | | | | 100 | | | 25 | muy erosionado |
| MU21 | 7 | 22-3521 | | | | | | 100 | | | 9 | muy erosionado |
| MU21 | 8 | 22-3539 | | | | | | 100 | | | 8 | muy erosionado |

| Unidad | Lote | FS | LF | ETF | LTF | TF | EC | LC | EPC | LPC | Núm. Diag. | Erosión |
|---|---|---|---|---|---|---|---|---|---|---|---|---|
| MU21 | 9 | 22-3545 | | | | | | 100 | | | 6 | muy erosionado |
| MU21 | 10 | 22-3568 | | | | | | 100 | | | 5 | muy erosionado |
| MU22 | 5 | 22-3542 | | | | | | 84 | 16 | | 12 | muy erosionado |
| MU22 | 4 | 22-3525 | | | | | | 100 | | | 11 | muy erosionado |
| MU22 | 6 | 22-3550 | | | | | | 100 | | | 15 | muy erosionado |
| MU22 | 3 | 22-3513 | | | | 2 | | 96 | 2 | | 40 | muy erosionado |
| MU23 | 1 | 22-3634 | | | 5 | | | 95 | | | 19 | muy erosionado |
| MU23 | 3 | 22-3674 | | | | | | 100 | | | 5 | muy erosionado |
| MU23 | 6 | 22-3831 | | | | | | 100 | | | 4 | muy erosionado |
| MU23 | 7 | 22-3840 | | | | | | | | | 0 | muy erosionado |
| MU23 | 8 | 22-3855 | | | | | | | | | 0 | muy erosionado |
| MU23 | 4 | 22-3680 | | | | | | 100 | | | 2 | muy erosionado |
| MU23 | 5 | 22-3689 | | | | | | 100 | | | 4 | muy erosionado |
| MU23 | 2 | 22-3646 | | | | | | 100 | | | 22 | muy erosionado |
| MU23 | 2 | 22-3659 | | | | | | 100 | | | 4 | muy erosionado |
| MU24 | 2 | 22-3623 | | | | | | 67 | 33 | | 15 | muy erosionado |
| MU24 | 1 | 22-3594 | | | | | | 30 | 70 | | 10 | muy erosionado |
| MU25 | 2 | 22-3561 | | | | | | 8 | 92 | | 26 | muy erosionado |
| MU25 | 3 | 22-3602 | | | | | | 15 | 85 | | 26 | muy erosionado |
| MU25 | 4 | 22-3643 | | 4 | | | 11 | 21 | 64 | | 28 | muy erosionado |
| MU26 | 2 | 22-3738 | | | | | | | | | 0 | muy erosionado |
| MU26 | 1 | 22-3736 | | 33 | | | 67 | | | | 3 | muy erosionado |
| MU26 | 2 | 22-3739 | | | | | | | | | 0 | muy erosionado |
| MU27 | 1 | 22-2725 | | | | | | 42 | 58 | | 26 | muy erosionado |
| MU27 | 2 | 22-2760 | | | | | | | | | 0 | muy erosionado |
| MU27 | 2 | 22-2761 | | | | | | 33 | 67 | | 6 | muy erosionado |
| MU27 | 3 | 22-2775 | | | | | 50 | 50 | | | 2 | muy erosionado |

| Unidad | Lote | FS | LF | ETF | LTF | TF | EC | LC | EPC | LPC | Núm. Diag. | Erosión |
|---|---|---|---|---|---|---|---|---|---|---|---|---|
| MU27 | 3 | 22-2778 | | | | | | 100 | | | 2 | muy erosionado |
| MU27 | 4 | 22-2785 | | | | | | | | | 0 | muy erosionado |
| MU27 | 4 | 22-2783 | | | | | | | 100 | | 1 | muy erosionado |
| MU27 | 5 | 22-2789 | | | | | | 100 | | | 2 | muy erosionado |
| MU27 | 6 | 22-2794 | | | | | | | | | 0 | muy erosionado |
| MU27 | 12 | 22-2921 | | | | | | | | | 0 | muy erosionado |
| MU27 | 1 | 22-2723 | | | | | | | | | 0 | muy erosionado |
| MU27 | 1 | 22-2744 | | | | | | 33 | 67 | | 3 | muy erosionado |
| MU27 | 9 | 22-2915 | | | | | | | | | 0 | muy erosionado |
| MU28 | 1 | 22-2735 | | | | | | 36 | 64 | | 11 | muy erosionado |
| MU28 | 4 | 22-3817 | | | | | | 36 | 64 | | 33 | muy erosionado |
| MU28 | 2 | 22-2792 | | | | | | 1 | 99 | | 34 | muy erosionado |
| MU28 | 3 | 22-2913 | | | | | | 32 | 68 | | 31 | muy erosionado |
| MU28 | 1 | 22-2735 | | | | | | 37 | 63 | | 27 | muy erosionado |
| MU29 | 2 | 22-2987 | | | | | | 100 | | | 6 | muy erosionado |
| MU29 | 1 | 22-2759 | | | | | 50 | 50 | | | 6 | muy erosionado |
| MU29 | 4 | 22-3114 | | | | | | | | | 0 | erosionado |
| MU29 | 3 | 22-2999 | | 33 | | 17 | 33 | 17 | | | 6 | muy erosionado |
| MU29 | 8 | 22-3152 | | | 8 | | | 92 | | | 13 | muy erosionado |
| MU29 | 6 | 22-3139 | | | | | | 100 | | | 2 | muy erosionado |
| MU29 | 7 | 22-3146 | | | 22 | | 11 | 67 | | | 9 | muy erosionado |
| MU29 | 5 | 22-3119 | | | | | | | | | 0 | muy erosionado |
| MU29 | 7 | 22-3153 | | | | | | | | | 0 | muy erosionado |
| MU29 | 5 | 22-3132 | | | | | | 100 | | | 9 | muy erosionado |
| MU3 | 1 | 22-1784 | | 10 | 10 | 10 | | 30 | 40 | | 10 | muy erosionado |
| MU3 | 2 | 22-1961 | | 3 | 5 | | 14 | 78 | | | 37 | muy erosionado |
| MU3 | 2 | 22-1977 | | | | | 34 | 66 | | | 3 | muy erosionado |
| MU3 | 2 | 22-1996 | | | | | | | | | 0 | |

| Unidad | Lote | FS | LF | ETF | LTF | TF | EC | LC | EPC | LPC | Núm. Diag. | Erosión |
|---|---|---|---|---|---|---|---|---|---|---|---|---|
| MU30 | 2 | 22-3808 | | | | | | 100 | | | 2 | muy erosionado |
| MU30 | 3 | 22-3813 | | | | | | | | | 0 | erosionado |
| MU30 | 1 | 22-3802 | | | | | | 50 | 50 | | 6 | muy erosionado |
| MU31 | 1 | 22-3841 | | | | | | | 100 | | 1 | muy erosionado |
| MU31 | 4 | 22-3882 | | | | | | 100 | | | 1 | muy erosionado |
| MU31 | 3 | 22-3879 | | | | | | 50 | 50 | | 4 | muy erosionado |
| MU31 | 2 | 22-3872 | | | | | | 100 | | | 1 | muy erosionado |
| MU31 | 6 | 22-3896 | | | | | | | | | 0 | muy erosionado |
| MU31 | 5 | 22-3890 | | | | | | | | | 0 | muy erosionado |
| MU32 | 1 | 22-6084 | | | | | | 50 | 50 | | 16 | |
| MU32 | 1 | 22-2976 | | | | | | | 100 | | 1 | |
| MU32 | 1 | 22-6089 | | | | | | 100 | | | 2 | muy erosionado |
| MU32 | 1 | 22-2983 | | | | | | | 100 | | 6 | muy erosionado |
| MU33 | 2 | 22-2984 | | | | | 80 | 20 | | | 5 | muy erosionado |
| MU33 | 3 | 22-2995 | | | | | | 100 | | | 2 | |
| MU33 | 1 | 22-2979 | | | | | | 100 | | | 1 | muy erosionado |
| MU33 | 3 | 22-3101 | | | | | | | | | 0 | muy erosionado |
| MU35 | 1 | 22-3143 | | | | | | | 100 | | 3 | muy erosionado |
| MU36 | 1 | 22-3898 | | | | | | 33 | 67 | | 33 | muy erosionado |
| MU37 | 1 | 22-3919 | | | | | | 100 | | | 2 | muy erosionado |
| MU4 | 1 | 22-2408 | | | | | | 100 | | | 23 | muy erosionado |
| MU4 | 2 | 22-2413 | | | 5 | | 2 | 93 | | | 42 | muy erosionado |
| MU4 | 3 | 22-2421 | | | | 6 | | 93 | 1 | | 33 | muy erosionado |
| MU4 | 4 | 22-2431 | | | | | | 100 | | | 23 | muy erosionado |
| MU4 | 5 | 22-2441 | | | | | | 96 | 4 | | 24 | erosionado |
| MU4 | 6 | 22-2448 | | | | | | 100 | | | 3 | muy erosionado |
| MU4 | 7 | 22-2454 | | | | | | 100 | | | 2 | muy erosionado |
| MU4 | 8 | 22-2461 | | | | | | 100 | | | 1 | muy erosionado |
| MU5 | 1 | 22-2417 | | | | 15 | 6 | 64 | 15 | | 19 | muy erosionado |

| Unidad | Lote | FS | LF | ETF | LTF | TF | EC | LC | EPC | LPC | Núm. Diag. | Erosión |
|---|---|---|---|---|---|---|---|---|---|---|---|---|
| MU5 | 2 | 22-2437 | | | 10 | 3 | | 87 | | | 30 | muy erosionado |
| MU5 | 3 | 22-2449 | | | | 55 | | 45 | | | 11 | muy erosionado |
| MU5 | 4 | 22-2464 | | 12 | 25 | | 38 | 25 | | | 16 | muy erosionado |
| MU5 | 5 | 22-2465 | | | 44 | | | 56 | | | 9 | muy erosionado |
| MU5 | 6 | 22-2475 | | | 16 | 8 | 4 | 72 | | | 50 | muy erosionado |
| MU5 | 7 | 22-2495 | | | | 30 | 13 | 57 | | | 47 | muy erosionado |
| MU5 | 8 | 22-2608 | | | 100 | | | | | | 2 | muy erosionado |
| MU5 | 9 | 22-2609 | | | | | | 100 | | | 5 | muy erosionado |
| MU5 | 10 | 22-2637 | | | | 37 | | 63 | | | 8 | muy erosionado |
| MU6 | 2 | 22-2145 | | | | | | 30 | 70 | | 46 | muy erosionado |
| MU6 | 3 | 22-2360 | | | | | | 32 | 68 | | 22 | muy erosionado |
| MU6 | 4 | 22-2367 | | | | 5 | | 15 | 80 | | 19 | muy erosionado |
| MU7 | 2 | 22-2688 | | | 4 | | | 6 | 90 | | 47 | muy erosionado |
| MU7 | 3 | 22-2697 | | | | | 2 | 21 | 76 | | 84 | erosionado |
| MU7 | 4 | 22-2805 | | | | | | 46 | 54 | | 13 | muy erosionado |
| MU7 | 5 | 22-2813 | | | | | | | 100 | | 10 | muy erosionado |
| MU7 | 6 | 22-2818 | | | | | | 30 | 70 | | 10 | muy erosionado |
| MU7 | 7 | 22-2827 | | | | | | 60 | 40 | | 5 | muy erosionado |
| MU7 | 8 | 22-2828 | | | 28 | | | 72 | | | 7 | muy erosionado |
| MU7 | 9 | 22-2843 | | | 22 | | 22 | 53 | | | 9 | muy erosionado |
| MU7 | 10 | 22-2854 | | | | | | 100 | | | 2 | muy erosionado |
| MU7 | 11 | 22-2862 | | | 40 | | 40 | 20 | | | 5 | muy erosionado |
| MU7 | 12 | 22-2874 | | 6 | 38 | | 44 | 13 | | | 16 | erosionado |
| MU7 | 13 | 22-2889 | | | | | 6 | 19 | 75 | | 32 | erosionado |
| MU7 | 14 | 22-3003 | | | | | 14 | 43 | 43 | | 21 | muy erosionado |
| MU7 | 15 | 22-3007 | | | | 55 | | 34 | 11 | | 9 | muy erosionado |
| MU7 | 16 | 22-3009 | | | | 75 | | | 25 | | 4 | muy erosionado |
| MU7 | 17 | 22-3019 | | | | 86 | | 14 | | | 7 | muy erosionado |

| Unidad | Lote | FS | LF | ETF | LTF | TF | EC | LC | EPC | LPC | Núm. Diag. | Erosión |
|---|---|---|---|---|---|---|---|---|---|---|---|---|
| MU7 | 18 | 22-3025 | | | | | | 15 | 85 | | 41 | muy erosionado |
| MU7 | 19 | 22-3035 | | | | | | 56 | 44 | | 37 | muy erosionado |
| MU7 | 20 | 22-3046 | | | 8 | 4 | 8 | 80 | | | 25 | erosionado |
| MU7 | 21 | 22-3066 | | | 12 | | 6 | 88 | | | 17 | erosionado |
| MU7 | 22 | 22-3095 | | | | | | 100 | | | 6 | muy erosionado |
| MU7 | 23 | 22-3206 | | | | | | 100 | | | 5 | muy erosionado |
| MU7 | 24 | 22-3227 | | 25 | 37 | | | 48 | | | 8 | muy erosionado |
| MU7 | 25 | 22-3238 | | | 25 | | | 17 | 8 | | 12 | muy erosionado |
| MU7 | 26 | 22-3257 | | | 8 | | 8 | 84 | | | 12 | muy erosionado |
| MU7 | 27 | 22-3285 | | 4 | 21 | | 58 | 17 | | | 24 | muy erosionado |
| MU7 | 28 | 22-3315 | | | | 64 | 18 | 18 | | | 11 | muy erosionado |
| MU7 | 29 | 22-3327 | | | 58 | | | 42 | | | 12 | muy erosionado |
| MU7 | 12 | 22-3006 | | | | | | | | | 0 | muy erosionado |
| MU8 | 1 | 22-2166 | | | | | | 5 | 95 | | 20 | muy my erosionado |
| MU8 | 2 | 22-2182 | | | | | 75 | 25 | | | 4 | muy erosionado |
| MU8 | 3 | 22-2197 | | | | | 1 | 92 | 7 | | 116 | muy erosionado |
| MU8 | 3 | 22-2326 | | | | | | | | | 0 | muy erosionado |
| MU8 | 4 | 22-2332 | | | | | | 96 | 4 | | 80 | erosionado |
| MU8 | 5 | 22-2349 | | | | | 2 | 98 | | | 43 | muy erosionado |
| MU9 | 1 | 22-2165 | | | | | | | | | 0 | muy erosionado |
| MU9 | 2 | 22-2328 | | | | | | 35 | 65 | | 17 | muy erosionado |
| MU9 | 3 | 22-2341 | | | 13 | | | 13 | 74 | | 16 | muy erosionado |
| MU9 | 4 | 22-2591 | | | | | 8 | 46 | 46 | | 13 | muy erosionado |
| MU9 | 5 | 22-2703 | | | | | | 100 | | | 1 | muy erosionado |
| MU9 | 7 | 22-2902 | | | | | | 100 | | | 1 | muy erosionado |
| MU9 | 8 | 22-2905 | | | | | | 100 | | | 1 | muy erosionado |
| MU9 | 9 | 22-2926 | | | | | | | | | 0 | muy erosionado |
| MU9 | 9 | 22-2925 | | | | | | | | | 0 | muy erosionado |

| Unidad | Lote | FS | LF | ETF | LTF | TF | EC | LC | EPC | LPC | Núm. Diag. | Erosión |
|---|---|---|---|---|---|---|---|---|---|---|---|---|
| MU9 | 10 | 22-2929 | | | | | | | | | 0 | muy erosionado |
| MU9 | 11 | 22-2930 | | 100 | | | | | | | 1 | muy erosionado |
| MU9 | 12 | 22-2935 | | | | | | 100 | | | 2 | muy erosionado |
| MU9 | 13 | 22-2946 | | | 100 | | | | | | 1 | muy erosionado |
| MU9 | 6 | 22-3622 | | | | | | | | | 0 | muy erosionado |
| MUI | 24 | 22-2064 | | | | | | 100 | | | 2 | muy erosionado |
| N10 | 1 | 22-2564 | | | | | | 100 | | | 2 | muy erosionado |
| N10 | 2 | 22-2589 | | | | | | 100 | | | 4 | muy erosionado |
| N10 | 3 | 22-2704 | | | | | | | | | 0 | |
| N10 | 4 | 22-2572 | | | | | | | | | 0 | muy erosionado |
| N10 | 5 | 22-2708 | | | | | | | | | 0 | muy erosionado |
| N10 | 5 | 22-2713 | | | | | | 100 | | | 8 | muy erosionado |
| N10 | 6 | 22-2718 | | | | | 100 | | | | 1 | muy erosionado |
| N10 | 7 | 22-3570 | | | | | | 100 | | | 1 | muy erosionado |
| N10 | 8 | 22-3582 | | | | 25 | 25 | 50 | | | 4 | muy erosionado |
| N10 | 9 | 22-2952 | | | | | | | | | 0 | muy erosionado |
| N10 | 9 | 22-2938 | | | | | | 100 | | | 2 | muy erosionado |
| N10 | 10 | 22-2954 | | | 67 | | 33 | | | | 3 | muy erosionado |
| N10 | 11 | 22-2970 | | | | | | 50 | 50 | | 2 | muy erosionado |
| N10 | 12 | 22-2978 | | | | | 50 | 50 | | | 2 | muy erosionado |
| N11 | 1 | 22-2364 | | | | 10 | | 90 | | | 10 | muy erosionado |
| N11 | 2 | 22-2534 | | | | 100 | | | | | 1 | muy erosionado |
| N20 | 1 | 22-1752 | | | | | | 43 | 57 | | 7 | muy erosionado |
| N20 | 2 | 22-1759 | | | | | | 40 | 60 | | 10 | muy erosionado |
| N20 | 3 | 22-1763 | | | | | | 20 | 80 | | 25 | muy erosionado |
| N20 | 4 | 22-1771 | | | | | | | 100 | | 8 | muy erosionado |
| N20 | 5 | 22-1779 | | 7 | | | | 64 | 29 | | 14 | muy erosionado |
| O10 | 1 | 22-2122 | | | 14 | | 7 | 57 | 21 | | 14 | muy erosionado |

| Unidad | Lote | FS | LF | ETF | LTF | TF | EC | LC | EPC | LPC | Núm. Diag. | Erosión |
|---|---|---|---|---|---|---|---|---|---|---|---|---|
| O10 | 2 | 22-2128 | | | | | | 100 | | | 12 | muy erosionado |
| O10 | 3 | 22-2143 | | | | | | 86 | 14 | | 7 | muy erosionado |
| O10 | 4 | 22-2149 | | | 4 | 4 | | 91 | | | 45 | muy erosionado |
| O10 | 5 | 22-2156 | | | | | | 42 | 58 | | 19 | muy erosionado |
| O10 | 6 | 22-2906 | | | | | | 100 | | | 5 | muy erosionado |
| O10 | 6 | 22-2901 | | | | | | 100 | | | 3 | muy erosionado |
| O10 | 8 | 22-2907 | | | | | | 100 | | | 2 | muy erosionado |
| O11 | 2 | 22-1924 | | | 9 | | | 59 | 29 | | 24 | muy erosionado |
| O11 | 3 | 22-1930 | | | 3 | | | 92 | 5 | | 63 | muy erosionado |
| O11 | 3 | 22-1935 | | | | | | 100 | | | 4 | |
| O11 | 3 | 22-1936 | | | | | | 100 | | | 1 | |
| O11 | 4 | 22-1939 | | | 15 | | | 77 | 8 | | 13 | muy erosionado |
| O11 | 4 | 22-1940 | | | | | | 100 | | | 8 | erosionado |
| O11 | 5 | 22-1945 | | | | | | 100 | | | 48 | |
| O11 | 6 | 22-1951 | | | | | | 100 | | | 10 | muy erosionado |
| O11 | 7 | 22-1956 | | | | | 5 | 95 | | | 20 | muy erosionado |
| O11 | 8 | 22-1960 | | | | | | 100 | | | 13 | muy erosionado |
| O11 | 9 | 22-1965 | | | | | | 100 | | | 39 | muy erosionado |
| O11 | 10 | 22-1968 | | | 4 | | | 88 | 8 | | 48 | muy erosionado |
| O11 | 11 | 22-1975 | | 7 | 7 | | 7 | 80 | | | 15 | muy erosionado |
| O11 | 12 | 22-1983 | | | | | 2 | 98 | | | 41 | muy erosionado |
| O11 | 13 | 22-3110 | | | | | 100 | | | | 1 | erosionado |
| O11 | 14 | 22-3116 | | | | | 20 | 80 | | | 5 | muy erosionado |
| O16 | 1 | 22-1572 | | | | 6 | 4 | 51 | 35 | | 51 | muy erosionado |
| O16 | 2 | 22-1585 | | | 4 | | | 50 | 46 | | 26 | muy erosionado |
| O16 | 2 | 22-2359 | | | | | | | | | 0 | |
| O16 | 3 | 22-1607 | | 8 | | | | 23 | 69 | | 13 | muy erosionado |
| O16 | 4 | 22-1620 | | | | 5 | | 50 | 45 | | 44 | muy erosionado |
| O16 | 5 | 22-1634 | | | 15 | | 5 | 80 | | | 20 | erosionado |

| Unidad | Lote | FS | LF | ETF | LTF | TF | EC | LC | EPC | LPC | Núm. Diag. | Erosión |
|---|---|---|---|---|---|---|---|---|---|---|---|---|
| O16 | 6 | 22-1709 | | 7 | 4 | | 11 | 64 | 14 | | 28 | muy erosionado |
| O16 | 7 | 22-1720 | | | 7 | | 7 | 87 | | | 15 | muy erosionado |
| O16 | 8 | 22-1730 | | | 10 | | | 90 | | | 10 | muy erosionado |
| O16 | 8 | 22-1732 | | | | | | | | | 0 | |
| O20 | 1 | 22-1530 | | | | | | | | | 0 | muy erosionado |
| O20 | 2 | 22-1618 | | | 5 | | | 41 | 55 | | 22 | muy erosionado |
| O20 | 3 | 22-1636 | | | | | | 27 | 73 | | 15 | muy erosionado |
| O20 | 4 | 22-1711 | | | 10 | | | 60 | 30 | | 10 | muy erosionado |
| P10 | 1 | 22-1008 | | | 8 | | 8 | 23 | 62 | | 14 | |
| P10 | 2 | 22-1010 | | | | | | 50 | 50 | | 40 | muy erosionado |
| P10 | 3 | 22-1033 | | | | | | 42 | 58 | | 26 | muy erosionado |
| P10 | 4 | 22-1034 | | | | | 11 | 33 | 56 | | 9 | muy erosionado |
| P10 | 5 | 22-1047 | | | 5 | | 5 | 41 | 49 | | 41 | muy erosionado |
| P10 | 6 | 22-1083 | | | 2 | | 5 | 46 | 46 | | 41 | muy erosionado |
| P10 | 7 | 22-1096 | | 5 | | | 2 | 32 | 61 | | 44 | muy erosionado |
| P10 | 8 | 22-1113 | | | | | 5 | 62 | 33 | | 69 | muy erosionado |
| P10 | 9 | 22-1127 | | 1 | 1 | | 1 | 32 | 64 | | 81 | muy erosionado |
| P10 | 10 | 22-1150 | | | | | | 61 | 39 | | 41 | erosionado |
| P11 | 1 | 22-1322 | | | | | | 64 | 33 | | 6 | muy erosionado |
| P11 | 2 | 22-1337 | | | | | | 86 | 14 | | 7 | muy erosionado |
| P11 | 3 | 22-1357 | | | | 3 | | 57 | 41 | | 37 | muy erosionado |
| P11 | 4 | 22-1429 | | | | | | 68 | 32 | | 25 | muy erosionado |
| P11 | 5 | 22-1455 | | | 5 | | | 77 | 18 | | 39 | muy erosionado |
| P11 | 6 | 22-1483 | | | 3 | | | 73 | 24 | | 74 | erosionado |
| P11 | 7 | 22-1515 | | | | | | 69 | 31 | | 26 | erosionado |
| P13 | 1 | 22-1009 | | | 2 | | | 10 | 88 | | 51 | muy erosionado |
| P13 | 2 | 22-1018 | | | | | | 65 | 35 | | 100 | muy erosionado |
| P13 | 3 | 22-1029 | | | | | | 41 | 59 | | 17 | muy erosionado |
| P13 | 4 | 22-1037 | | | | | | 64 | 36 | | 55 | muy erosionado |

| Unidad | Lote | FS | LF | ETF | LTF | TF | EC | LC | EPC | LPC | Núm. Diag. | Erosión |
|---|---|---|---|---|---|---|---|---|---|---|---|---|
| P13 | 5 | 22-1051 | | | | | | 33 | 67 | | 18 | muy erosionado |
| P13 | 6 | 22-1061 | | | | | | 93 | 7 | | 142 | muy erosionado |
| P13 | 7 | 22-1075 | | | | | | 87 | 13 | | 60 | muy erosionado |
| P13 | 8 | 22-1086 | | 3 | 3 | | | 94 | | | 34 | muy erosionado |
| P13 | 9 | 22-1114 | | 5 | | | | 95 | | | 21 | muy erosionado |
| P13 | 10 | 22-1134 | | | | | | 100 | | | 20 | muy erosionado |
| P13 | 11 | 22-1148 | | | | | | 100 | | | 22 | muy erosionado |
| P13 | 12 | 22-1169 | | | | 37 | | 63 | | | 8 | muy erosionado |
| P13 | 13 | 22-1183 | | | | 16 | 16 | 64 | | | 6 | muy erosionado |
| P13 | 14 | 22-1197 | | | | | | | | | 0 | muy erosionado |
| P16 | 1 | 22-1171 | | | | | | | 100 | | 3 | muy erosionado |
| P16 | 2 | 22-1184 | | | | | | 20 | 80 | | 10 | muy erosionado |
| P16 | 3 | 22-1187 | | | | | | 33 | 67 | | 9 | muy erosionado |
| P16 | 4 | 22-1207 | | | | | | 10 | 90 | | 10 | muy erosionado |
| P16 | 5 | 22-1222 | | | | | | 33 | 67 | | 12 | muy erosionado |
| P16 | 6 | 22-1229 | | | | | | 24 | 76 | | 38 | muy erosionado |
| P16 | 7 | 22-1240 | | 10 | | | | 40 | 50 | | 10 | muy erosionado |
| P16 | 8 | 22-1249 | | | | | | | 100 | | 6 | muy erosionado |
| P16 | 9 | 22-1258 | | | 30 | | | 60 | 10 | | 10 | muy erosionado |
| P16 | 10 | 22-1277 | | | | | 33 | 56 | 11 | | 9 | muy erosionado |
| P16 | 11 | 22-1286 | | | | | 13 | 75 | 12 | | 8 | muy erosionado |
| P16 | 12 | 22-1302 | | | 4 | | 16 | 68 | 12 | | 25 | muy erosionado |
| P16 | 13 | 22-1311 | | | | 12 | | 88 | | | 8 | muy erosionado |
| P16 | 14 | 22-1315 | | | 50 | | 10 | 40 | | | 10 | muy erosionado |
| P16 | 15 | 22-1354 | | | | | | | | | 0 | muy erosionado |
| P16 | 16 | 22-1378 | | | | | | 100 | | | 10 | muy erosionado |
| P16 | 17 | 22-1393 | | | | | | 40 | 60 | | 5 | muy erosionado |
| P16 | 18 | 22-1400 | | | | | 25 | 75 | | | 12 | erosionado |

| Unidad | Lote | FS | LF | ETF | LTF | TF | EC | LC | EPC | LPC | Núm. Diag. | Erosión |
|---|---|---|---|---|---|---|---|---|---|---|---|---|
| P16 | 20 | 22-1434 | | | | | 100 | | | | 2 | muy erosionado |
| P16-B | 19 | 22-1423 | | | | | | 83 | 17 | | 6 | muy erosionado |
| P17 | 1 | 22-1440 | | | | | | 100 | | | 1 | muy erosionado |
| P17 | 2 | 22-1449 | | | | | | 42 | 58 | | 31 | muy erosionado |
| P17 | 3 | 22-1494 | | | 10 | | | 33 | 57 | | 21 | muy erosionado |
| P17 | 4 | 22-1514 | | | | | | 67 | 33 | | 12 | muy erosionado |
| P17 | 5 | 22-1539 | | 14 | 29 | | | 57 | | | 7 | muy erosionado |
| P17 | 6 | 22-1547 | | | | | 12 | 88 | | | 9 | muy erosionado |
| P17 | 7 | 22-1621 | | | | | | 43 | 57 | | 14 | muy erosionado |
| P17 | 8 | 22-1623 | | | 33 | | | | 67 | | 3 | muy erosionado |
| P19 | 1 | 22-1192 | | | | | | 10 | 90 | | 10 | muy erosionado |
| P19 | 3 | 22-1216 | | | | | | 10 | 90 | | 20 | muy erosionado |
| P19 | 4 | 22-1228 | | | | | | | 100 | | 16 | muy erosionado |
| P19 | 6 | 22-1245 | | | | | | 30 | 70 | | 10 | muy erosionado |
| P19 | 7 | 22-1264 | | | | | | | 100 | | 14 | muy erosionado |
| P19 | 8 | 22-1272 | | | 33 | | | 77 | | | 3 | muy erosionado |
| P19 | 9 | 22-1295 | | 25 | 25 | | | 50 | | | 4 | |
| P19 | 15 | 22-1452 | | 25 | | | | 75 | | | 8 | muy erosionado |
| P19 | 15 | 22-1491 | | | | | 33 | 67 | | | 6 | erosionado |
| P19 | 16 | 22-1499 | | 5 | | | 88 | 7 | | | 43 | muy erosionado |
| P19 | 17 | 22-1527 | | | | | | 100 | | | 5 | muy erosionado |
| P19 | 18 | 22-1537 | | 25 | | | | 75 | | | 4 | erosionado |
| P20 | 1 | 22-1529 | | | | | | 29 | 71 | | 7 | muy erosionado |
| P20 | 2 | 22-1546 | | | | 7 | | 43 | 50 | | 14 | muy erosionado |
| P20 | 3 | 22-1578 | | | | | | 17 | 53 | | 12 | muy erosionado |
| P20 | 4 | 22-1584 | | | 3 | | | 9 | 88 | | 33 | muy erosionado |
| P20 | 5 | 22-1722 | | | 6 | | | 94 | | | 18 | erosionado |
| P21 | 1 | 22-1641 | | | | | | 20 | 80 | | 12 | muy erosionado |

| Unidad | Lote | FS | LF | ETF | LTF | TF | EC | LC | EPC | LPC | Núm. Diag. | Erosión |
|---|---|---|---|---|---|---|---|---|---|---|---|---|
| P21 | 3 | 22-1719 | | | | | | 50 | 50 | | 18 | muy erosionado |
| P22 | 1 | 22-1211 | | | | | | 50 | 50 | | 2 | muy erosionado |
| P22 | 2 | 22-1224 | | | | | | 100 | | | 1 | muy erosionado |
| P22 | 3 | 22-1237 | | | 9 | | | 18 | 73 | | 10 | muy erosionado |
| P22 | 4 | 22-1254 | | | | | | 38 | 62 | | 13 | muy erosionado |
| P22 | 5 | 22-1270 | | | | | | | 100 | | 4 | muy erosionado |
| P22 | 6 | 22-1298 | | | | | | 17 | 83 | | 6 | muy erosionado |
| P22 | 7 | 22-1317 | | | | | | | | | 0 | muy erosionado |
| P23 | 1 | 22-1545 | | | | | | 100 | | | 1 | muy erosionado |
| P23 | 2 | 22-1551 | | | | | | 36 | 64 | | 11 | muy erosionado |
| P23 | 3 | 22-1571 | | | | | | 60 | 40 | | 10 | muy erosionado |
| P23 | 3 | 22-1571 | | | | | | 60 | 40 | | 10 | muy erosionado |
| P23 | 4 | 22-1635 | | | | | | 50 | 50 | | 6 | muy erosionado |
| P24 | 2 | 22-1800 | | | | | | 47 | 53 | | 15 | muy erosionado |
| P24 | 3 | 22-1905 | | | | | | 24 | 76 | | 29 | muy erosionado |
| Q10 | 2 | 22-1917 | | | | | | 45 | 55 | | 66 | muy erosionado |
| Q10 | 3 | 22-1922 | | | | | 5 | 35 | 60 | | 20 | muy erosionado |
| Q10 | 4 | 22-1926 | | | 8 | | | 79 | 13 | | 24 | muy erosionado |
| Q10 | 5 | 22-1941 | | 6 | | | | 65 | 29 | | 17 | muy erosionado |
| Q10 | 6 | 22-1947 | | | | | | 78 | 22 | | 51 | erosionado |
| Q10 | 7 | 22-1995 | | | | | | 82 | 18 | | 11 | muy erosionado |
| Q10 | 8 | 22-1998 | | | | | | 62 | 38 | | 13 | muy erosionado |
| Q10 | 9 | 22-2104 | | | 1 | | 1 | 58 | 40 | | 159 | erosionado |
| Q11 | 2 | 22-1932 | | | | | | 87 | 13 | | 23 | muy erosionado |
| Q11 | 3 | 22-1934 | | | 3 | | 3 | 97 | 17 | | 35 | muy erosionado |
| Q11 | 4 | 22-2164 | | | | | | 63 | 37 | | 11 | muy erosionado |
| Q11 | 5 | 22-2173 | | | | | 1 | 85 | 14 | | 68 | muy erosionado |
| Q11 | 6 | 22-2200 | | 1 | 3 | | | 89 | 7 | | 76 | |

| Unidad | Lote | FS | LF | ETF | LTF | TF | EC | LC | EPC | LPC | Núm. Diag. | Erosión |
|---|---|---|---|---|---|---|---|---|---|---|---|---|
| Q11 | 7 | 22-2344 | | | 7 | | | 93 | | | 15 | |
| Q11 | 7 | 22-2345 | | | | | | 100 | | | 7 | |
| Q11 | 8 | 22-2353 | | | | | | 64 | 36 | | 14 | muy erosionado |
| Q17 | 1 | 22-1740 | | | | | | 11 | 89 | | 17 | muy erosionado |
| Q17 | 2 | 22-1757 | | | | | | 27 | 73 | | 22 | muy erosionado |
| Q17 | 3 | 22-1767 | | | 3 | | | 10 | 89 | | 30 | muy erosionado |
| Q17 | 4 | 22-1778 | | | 27 | | 9 | 9 | 54 | | 11 | muy erosionado |
| Q17 | 5 | 22-1791 | | 13 | 25 | | | 50 | 13 | | 19 | muy erosionado |
| Q17 | 6 | 22-2508 | | | | 6 | 29 | 65 | | | 17 | muy erosionado |
| Q17 | 7 | 22-2514 | | | | | 34 | 66 | | | 3 | muy erosionado |
| Q17 | 7 | 22-2515 | | | | | | 50 | 50 | | 2 | muy erosionado |
| Q17 | 9 | 22-2568 | | | | | | | | | 0 | muy erosionado |
| Q17 | 8 | 22-2547 | | | | | | 100 | | | 1 | muy erosionado |
| Q19 | 1 | 22-1727 | | | | 12 | | | 88 | | 8 | muy erosionado |
| Q19 | 2 | 22-1738 | | | | | | 41 | 59 | | 17 | muy erosionado |
| Q19 | 3 | 22-1746 | | | 20 | | | 80 | | | 5 | muy erosionado |
| Q19 | 4 | 22-1751 | | | | | | | 100 | | 3 | muy erosionado |
| Q20 | 1 | 22-1758 | | | | | | | | | 0 | muy erosionado |
| Q20 | 2 | 22-1764 | | | | | | 73 | 27 | | 11 | muy erosionado |
| Q20 | 3 | 22-1772 | | | 6 | | | 6 | 88 | | 16 | muy erosionado |
| Q20 | 4 | 22-1783 | | | 5 | | | 30 | 65 | | 20 | muy erosionado |
| Q20 | 5 | 22-1793 | | | | | | 22 | 78 | | 23 | muy erosionado |
| Q21 | 3 | 22-1904 | | | | | | | 100 | | 9 | muy erosionado |
| Q21 | 4 | 22-1962 | | | | | 5 | 25 | 70 | | 20 | muy erosionado |
| Q21 | 5 | 22-1969 | | | | | | 14 | 86 | | 7 | muy erosionado |
| Q21 | 6 | 22-1979 | | | | | | 14 | 86 | | 7 | muy erosionado |
| Q21 | 2 | 22-1799 | | | | | | 23 | 77 | | 13 | muy erosionado |
| Q21 | 7 | 22-1987 | | | | | | 64 | 36 | | 11 | muy erosionado |

| Unidad | Lote | FS | LF | ETF | LTF | TF | EC | LC | EPC | LPC | Núm. Diag. | Erosión |
|---|---|---|---|---|---|---|---|---|---|---|---|---|
| Q22 | 3 | 22-1913 | | | | | | 21 | 79 | | 14 | muy erosionado |
| Q23 | 2 | 22-1916 | | | | | 5 | 20 | 75 | | 20 | muy erosionado |
| Q23 | 3 | 22-1918 | | | 7 | | 14 | 21 | 57 | | 14 | muy erosionado |
| Q24 | 2 | 22-1910 | | | | | | 35 | 65 | | 20 | muy erosionado |
| Q24 | 3 | 22-1914 | | | 14 | | | 14 | 71 | | 7 | muy erosionado |
| R16 | 1 | 22-1194 | | | | | | 14 | 86 | | 22 | muy erosionado |
| R16 | 2 | 22-1212 | | | 13 | | | 13 | 75 | | 8 | muy erosionado |
| R16 | 3 | 22-1219 | | | | | | 14 | 86 | | 35 | muy erosionado |
| R16 | 4 | 22-1232 | | | | | | 50 | 50 | | 20 | muy erosionado |
| R16 | 5 | 22-1248 | | | | 7 | | 29 | 64 | | 14 | muy erosionado |
| R16 | 6 | 22-1267 | | | | | | 27 | 73 | | 11 | muy erosionado |
| R16 | 7 | 22-1273 | | | 25 | | | 25 | 50 | | 4 | muy erosionado |
| R16 | 8 | 22-1290 | | | | | | 71 | 29 | | 7 | muy erosionado |
| R17 | 3 | 22-3626 | | | 10 | | 30 | 40 | 20 | | 10 | muy erosionado |
| R17 | 5 | 22-3660 | | | | | 11 | 89 | | | 9 | muy erosionado |
| R17 | 9 | 22-3753 | | | | 5 | 33 | 16 | | | 6 | muy erosionado |
| R17 | 11 | 22-3799 | | | 20 | | 20 | 40 | | | 5 | muy erosionado |
| R17 | 8 | 22-3712 | | | | | | | | | 0 | muy erosionado |
| R17 | 7 | 22-3685 | | | 33 | | 33 | 34 | | | 3 | muy erosionado |
| R17 | 2 | 22-3404 | | | | | | 21 | 79 | | 14 | muy erosionado |
| R17 | 4 | 22-3654 | | | | | | 100 | | | 5 | muy erosionado |
| R17 | 6 | 22-3675 | | | | | 71 | 29 | | | 7 | erosionado |
| R17 | 6 | 22-3677 | | | | | | | | | 0 | muy erosionado |
| R17 | 5 | 22-3663 | | | | | | | | | 0 | muy erosionado |
| Superficie | | 22-1001 | | | | | | 100 | | | 1 | muy erosionado |
| Superficie | | 22-1002 | | | | | | 100 | | | 2 | muy erosionado |
| superficie | | 22-1004 | | | | | | 90 | 10 | | 10 | erosionado |
| T16 | 3 | 22-3473 | | | | | | 2 | 76 | | 33 | muy erosionado |

| Unidad | Lote | FS | LF | ETF | LTF | TF | EC | LC | EPC | LPC | Núm. Diag. | Erosión |
|---|---|---|---|---|---|---|---|---|---|---|---|---|
| T16 | 5 | 22-3491 | | | 25 | | | 25 | 50 | | 6 | muy erosionado |
| T17 | 2 | 22-3414 | | | | | | 4 | 96 | | 23 | muy erosionado |
| T17 | 3 | 22-3424 | | | | | | 17 | 83 | | 12 | muy erosionado |
| T17 | 4 | 22-3437 | | | | | | 10 | 90 | | 10 | muy erosionado |
| T17 | 5 | 22-3441 | | | | | | 18 | 82 | | 22 | muy erosionado |
| U12 | 3 | 22-3397 | | | | | | 33 | 67 | | 6 | muy erosionado |
| U12 | 4 | 22-3400 | | | | | | 100 | | | 10 | muy erosionado |
| U12 | 5 | 22-3411 | | | | | | 100 | | | 15 | muy erosionado |
| U16 | 1 | 22-1195 | | | | | | 3 | 97 | | 36 | muy erosionado |
| U16 | 2 | 22-1185 | | | 6 | | 6 | 29 | 59 | | 17 | muy erosionado |
| U16 | 2 | 22-1214 | | | | | | 17 | 83 | | 12 | muy erosionado |
| U16 | 3 | 22-1217 | | | | | | 25 | 75 | | 8 | muy erosionado |
| U16 | 4 | 22-1225 | | | | | | 18 | 82 | | 11 | muy erosionado |
| U16 | 5 | 22-1234 | | | 5 | | | 62 | 38 | | 18 | muy erosionado |
| U16 | 6 | 22-1247 | | | | | | 38 | 62 | | 8 | muy erosionado |
| U16 | 7 | 22-1259 | | | | | | 5 | 95 | | 41 | |
| U16 | 8 | 22-1268 | | | | | | | 100 | | 14 | erosionado |
| U16 | 9 | 22-1294 | | | | | | 11 | 89 | | 9 | muy erosionado |
| U16 | 10 | 22-1299 | | | | | | | 100 | | 3 | muy erosionado |
| U16 | 11 | 22-1304 | | | | | | 100 | | | 6 | muy erosionado |
| U16 | 13 | 22-1332 | | | 29 | | | 57 | 14 | | 7 | muy erosionado |
| U16 | 14 | 22-1344 | | | 20 | | | 80 | | | 5 | muy erosionado |
| U16 | 15 | 22-1370 | | | | | | 100 | | | 6 | muy erosionado |
| U16 | 16 | 22-3502 | | | | | | 50 | 50 | | 2 | muy erosionado |
| U16 | 19 | 22-3716 | | | | | | | | | 0 | muy erosionado |
| U16 | 18 | 22-3699 | | | | | | 100 | | | 3 | muy erosionado |
| U16 | 17 | 22-3691 | | | | | | 100 | | | 1 | muy erosionado |
| U16 | 20 | 22-3730 | | | | | | | | | 0 | muy erosionado |

| Unidad | Lote | FS | LF | ETF | LTF | TF | EC | LC | EPC | LPC | Núm. Diag. | Erosión |
|---|---|---|---|---|---|---|---|---|---|---|---|---|
| U17 | 4 | 22-3373 | | | | | | 29 | 71 | | 34 | muy erosionado |
| U17 | 5 | 22-3379 | | 5 | | | 9 | 32 | 55 | | 22 | muy erosionado |
| U17 | 7 | 22-3389 | | | | | | 100 | | | 4 | muy erosionado |
| U17 | 8 | 22-3740 | | | | | | 16 | 34 | | 3 | muy erosionado |
| U17 | 9 | 22-3757 | | | | | | 100 | | | 2 | muy erosionado |
| U17 | 10 | 22-3760 | | | 33 | | | | 67 | | 3 | muy erosionado |
| U17 | 11 | 22-3775 | | | 33 | | | 33 | 34 | | 3 | muy erosionado |
| U17 | 12 | 22-3776 | | | | | | | 100 | | 1 | muy erosionado |
| U17 | 13 | 22-3779 | | | | | | 50 | 50 | | 4 | muy erosionado |
| U17 | 14 | 22-3784 | | | 33 | | | 33 | 34 | | 3 | muy erosionado |
| U17 | 15 | 22-3796 | | | | | | 63 | 38 | | 8 | muy erosionado |
| U17 | 6 | 22-3383 | | | | | | 28 | 72 | | 7 | muy erosionado |
| U19 | 12 | 22-1319 | | | | | | 100 | | | 2 | muy erosionado |
| UL13 | 2 | 22-1352 | | | | | | 46 | 54 | | 13 | muy erosionado |
| W19 | 2 | 22-3391 | | | 3 | | | 10 | 87 | | 29 | muy erosionado |
| W19 | 3 | 22-3407 | | | | | | 7 | 93 | | 28 | muy erosionado |
| W19 | 4 | 22-3416 | | | | | | 11 | 89 | | 18 | muy erosionado |
| W19 | 5 | 22-3429 | | | | | | 33 | 67 | | 21 | muy erosionado |
| X10 | 1 | 22-2148 | | | | | | 54 | 46 | | 13 | muy erosionado |
| X11 | 1 | 22-2389 | | | | | | 75 | 25 | | 20 | muy erosionado |
| X15 | 2 | 22-2236 | | | | | | 25 | 75 | | 20 | muy erosionado |
| X15 | 3 | 22-2251 | | | | | | 37 | 63 | | 32 | muy erosionado |
| X15 | 4 | 22-2263 | | | | | | 12 | 88 | | 24 | muy erosionado |
| X15 | 5 | 22-2279 | | | | | | 5 | 95 | | 54 | muy erosionado |
| X15 | 6 | 22-2292 | | | | | | 27 | 73 | | 41 | muy erosionado |
| X15 | 7 | 22-2404 | | | | | | 37 | 63 | | 19 | muy erosionado |
| X16 | 1 | 22-1287 | | | 20 | | | 20 | 60 | | 5 | muy erosionado |

| Unidad | Lote | FS | LF | ETF | LTF | TF | EC | LC | EPC | LPC | Núm. Diag. | Erosión |
|---|---|---|---|---|---|---|---|---|---|---|---|---|
| X16 | 3 | 22-1313 | | | 5 | | | 26 | 68 | | 19 | muy erosionado |
| X16 | 4 | 22-1324 | | | | | | 46 | 54 | | 13 | muy erosionado |
| X16 | 5 | 22-1328 | | | | | | 26 | 74 | | 19 | muy erosionado |
| X16 | 6 | 22-1341 | | | 4 | | | 28 | 68 | | 25 | muy erosionado |
| X16 | 7 | 22-1346 | | | | | 4 | 50 | 46 | | 28 | muy erosionado |
| X16 | 8 | 22-1374 | | | | | | 6 | 94 | | 48 | |
| X16 | 9 | 22-1396 | | | | | | 14 | 86 | | 35 | erosionado |
| X16 | 10 | 22-1411 | | | 5 | | | 32 | 63 | | 19 | muy erosionado |
| X16 | 11 | 22-1420 | | | | | | 73 | 27 | | 11 | erosionado |
| Y10 | 1 | 22-2118 | | | | | | 22 | 78 | | 9 | muy erosionado |
| Y10 | 2 | 22-2121 | | | | | | 45 | 55 | | 9 | muy erosionado |
| Y10 | 3 | 22-2136 | | | | | | 25 | 75 | | 4 | muy erosionado |
| Y11 | 1 | 22-2372 | | | | | | | 100 | | 9 | muy erosionado |
| Y11 | 2 | 22-2373 | | | | | 5 | 15 | 80 | | 20 | muy erosionado |
| A15 | 1 | 22-5299 | | | | | | 40 | 60 | | 10 | muy erosionado |
| A16 | 1 | 22-5262 | | | | | | 14 | 86 | | 50 | muy erosionado |
| A16 | 2 | 22-5267 | | | | | | 30 | 70 | | 10 | muy erosionado |
| A17 | 1 | 22-5001 | | | | | | | 100 | | 30 | muy erosionado |
| A17 | 2 | 22-5003 | | | | | | 2 | 98 | | 54 | muy erosionado |
| A17 | 3 | 22-5006 | | | | | | 12 | 88 | | 16 | muy erosionado |
| A17 | 4 | 22-5008 | | | | | | 5 | 95 | | 42 | muy erosionado |
| A17 | 5 | 22-5011 | | | | | | | 100 | | 13 | muy erosionado |
| A17 | 6 | 22-5013 | | | | | | | 100 | | 32 | muy erosionado |
| A17 | 7 | 22-5015 | | | | | | 13 | 87 | | 15 | muy erosionado |
| A17 | 8 | 22-5018 | | | | | | 88 | 12 | | 8 | muy erosionado |
| A17 | 9 | 22-5022 | | | | | | 90 | 10 | | 10 | muy erosionado |
| A17 | 10 | 22-5024 | | | | 7 | | 77 | 15 | | 13 | muy erosionado |
| A17 | 11 | 22-5028 | | | | 19 | | 75 | 6 | | 16 | muy erosionado |

| Unidad | Lote | FS | LF | ETF | LTF | TF | EC | LC | EPC | LPC | Núm. Diag. | Erosión |
|---|---|---|---|---|---|---|---|---|---|---|---|---|
| A17 | 13 | 22-5035 | | | | | | 94 | 6 | | 35 | muy erosionado |
| A17 | 14 | 22-5042 | | | | | | 100 | | | 9 | muy erosionado |
| A17 | 15 | 22-5045 | | | | | | 94 | 6 | | 16 | muy erosionado |
| A18 | 1 | 22-5268 | | | | | | 12 | 88 | | 40 | muy erosionado |
| A18 | 2 | 22-5276 | | | | | | 12 | 88 | | 39 | muy erosionado |
| A19 | 1 | 22-5321 | | | | | | 29 | 71 | | 35 | muy erosionado |
| A19 | 2 | 22-5331 | | | | | | 42 | 58 | | 36 | muy erosionado |
| A21 | 1 | 22-5317 | | | | | | 30 | 70 | | 27 | muy erosionado |
| A21 | 2 | 22-5322 | | | | | | 17 | 83 | | 23 | muy erosionado |
| B16 | 1 | 22-5315 | | | | | | 21 | 79 | | 24 | muy erosionado |
| B16 | 2 | 22-5323 | | | | | 4 | 13 | 83 | | 23 | muy erosionado |
| B16 | 3 | 22-5330 | | | | | | | 100 | | 6 | muy erosionado |
| B17 | 1 | 22-5247 | | | | | | | 100 | | 16 | muy erosionado |
| B17 | 2 | 22-5245 | | | | | | 6 | 94 | | 34 | erosionado |
| B18 | 1 | 22-5283 | | | | | | 12 | 88 | | 55 | muy erosionado |
| B18 | 2 | 22-5290 | | | | | | 18 | 82 | | 28 | muy erosionado |
| B18 | 3 | 22-5294 | | | | | | 12 | 88 | | 17 | muy erosionado |
| B19 | 1 | 22-5296 | | | | | | | 100 | | 38 | muy erosionado |
| B19 | 2 | 22-5313 | | | | | | 32 | 68 | | 25 | muy erosionado |
| B19 | 3 | 22-5316 | | | | | | 16 | 89 | | 31 | muy erosionado |
| B20 | 1 | 22-5285 | | | | | | 62 | 38 | | 26 | muy erosionado |
| B20 | 2 | 22-5291 | | | | | | | 100 | | 6 | muy erosionado |
| B21 | 1 | 22-5335 | | | | | | 23 | 77 | | 22 | muy erosionado |
| C15 | 3 | 22-5284 | | | | | | 10 | 90 | | 19 | muy erosionado |
| C16 | 1 | 22-5261 | | | | | | 9 | 91 | | 32 | muy erosionado |
| C16 | 2 | 22-5266 | | | | | | 6 | 94 | | 17 | muy erosionado |
| C16 | 3 | 22-5272 | | | | | | 37 | 63 | | 8 | muy erosionado |
| C17 | 1 | 22-5259 | | | | | | 10 | 90 | | 41 | muy erosionado |

| Unidad | Lote | FS | LF | ETF | LTF | TF | EC | LC | EPC | LPC | Núm. Diag. | Erosión |
|---|---|---|---|---|---|---|---|---|---|---|---|---|
| C18 | 1 | 22-5271 | | | | | | 17 | 83 | | 12 | muy erosionado |
| C18 | 2 | 22-5279 | | | | | | 22 | 78 | | 9 | muy erosionado |
| D10 | 1 | 22-5338 | | | | | | 11 | 89 | | 46 | muy erosionado |
| D10 | 2 | 22-5345 | | | | | | 12 | 88 | | 8 | muy erosionado |
| D10 | 3 | 22-5350 | | | | | | 17 | 83 | | 6 | muy erosionado |
| D11 | 1 | 22-5353 | | | | | | 14 | 86 | | 14 | muy erosionado |
| D11 | 2 | 22-5357 | | | | | | | 100 | | 11 | muy erosionado |
| D11 | 3 | 22-5361 | | | | | | 100 | | | 3 | muy erosionado |
| D11 | 4 | 22-5365 | | | | | | 100 | | | 1 | muy erosionado |
| D11 | 5 | 22-5368 | | | | | | 100 | | | 2 | muy erosionado |
| D11 | 6 | 22-5373 | | | | | | 100 | | | 3 | muy erosionado |
| D12 | 1 | 22-5367 | | | | | | 50 | 50 | | 8 | muy erosionado |
| D12 | 2 | 22-5374 | | | | | | 57 | 43 | | 7 | muy erosionado |
| D12 | 3 | 22-5381 | | | | | | 100 | | | 14 | muy erosionado |
| D12 | 4 | 22-5386 | | | | | | 100 | | | 13 | muy erosionado |
| D12 | 5 | 22-5389 | | 25 | | | | 75 | | | 4 | muy erosionado |
| D12 | 6 | 22-5391 | | | | | 8 | 83 | 8 | | 12 | muy erosionado |
| D12 | 7 | 22-5394 | | | | | | 100 | | | 7 | muy erosionado |
| D13 | 1 | 22-5354 | | | | | | 20 | 80 | | 10 | muy erosionado |
| D13 | 2 | 22-5358 | | | | | | | 100 | | 4 | muy erosionado |
| D13 | 3 | 22-5362 | | | | | | 50 | 50 | | 6 | muy erosionado |
| D14 | 1 | 22-5337 | | | | | | 34 | 66 | | 12 | muy erosionado |
| D14 | 2 | 22-5344 | | | | | | 63 | 37 | | 8 | muy erosionado |
| D14 | 3 | 22-5347 | | | | | | | 100 | | 2 | muy erosionado |
| D14 | 3 | 22-5351 | | | | | | 40 | 60 | | 15 | muy erosionado |
| D15 | 1 | 22-5289 | | | | | | 19 | 81 | | 21 | muy erosionado |
| D15 | 2 | 22-5298 | | | | | | 40 | 60 | | 5 | muy erosionado |

| Unidad | Lote | FS | LF | ETF | LTF | TF | EC | LC | EPC | LPC | Núm. Diag. | Erosión |
|---|---|---|---|---|---|---|---|---|---|---|---|---|
| D17 | 2 | 22-5052 | | 7 | | | | 29 | 64 | | 14 | muy erosionado |
| D17 | 3 | 22-5055 | | | | | | 50 | 50 | | 8 | muy erosionado |
| D17 | 4 | 22-5057 | | | | | | 78 | 22 | | 11 | muy erosionado |
| D17 | 5 | 22-5060 | | | | | | 100 | | | 5 | muy erosionado |
| D17 | 6 | 22-5063 | | | | | | 100 | | | 1 | muy erosionado |
| D17 | 7 | 22-5065 | | | | | | 100 | | | 4 | muy erosionado |
| D17 | 8 | 22-5068 | | | | | | 100 | | | 3 | muy erosionado |
| D18 | 2 | 22-5404 | | | | | 17 | 83 | | | 6 | muy erosionado |
| D18 | 2 | 22-5399 | | | | | 25 | 50 | 25 | | 4 | muy erosionado |
| D19 | 1 | 22-5382 | | | | | | | 100 | | 2 | muy erosionado |
| D21 | 1 | 22-5387 | | | | | | 88 | 12 | | 16 | muy erosionado |
| D21 | 3 | 22-5392 | | | | | 10 | 90 | | | 10 | muy erosionado |
| D23 | 1 | 22-5388 | | | | | | 26 | 74 | | 15 | muy erosionado |
| D23 | 2 | 22-5390 | | | | | | | 100 | | 4 | muy erosionado |
| D23 | 3 | 22-5393 | | | | | | 31 | 69 | | 16 | muy erosionado |
| E17 | 1 | 22-5258 | | | | | | 25 | 75 | | 20 | muy erosionado |
| F17 | 1 | 22-5173 | | | | | | 75 | 25 | | 16 | muy erosionado |
| F17 | 2 | 22-5184 | | | | | | 40 | 60 | | 10 | muy erosionado |
| F17 | 3 | 22-5185 | | | | | | 100 | | | 6 | muy erosionado |
| F17 | 4 | 22-5189 | | | | | | 100 | | | 3 | muy erosionado |
| F17 | 5 | 22-5194 | | | | | | 100 | | | 14 | muy erosionado |
| F17 | 6 | 22-5201 | | | | | | 100 | | | 2 | muy erosionado |
| F17 | 7 | 22-5203 | | | | | 11 | 89 | | | 28 | |
| F17 | 8 | 22-5213 | | | 13 | | 25 | 63 | | | 8 | muy erosionado |
| FF38 | 1 | 22-8329 | | | | | | 45 | 55 | | 11 | muy erosionado |
| FF38 | 2 | 22-8332 | | | | | | 44 | 56 | | 18 | muy erosionado |
| FF38 | 3 | 22-8342 | | | | | | 7 | 93 | | 22 | muy erosionado |
| FF38 | 4 | 22-8351 | | | | | | 35 | 65 | | 17 | muy erosionado |

| Unidad | Lote | FS | LF | ETF | LTF | TF | EC | LC | EPC | LPC | Núm. Diag. | Erosión |
|---|---|---|---|---|---|---|---|---|---|---|---|---|
| FF38 | 6 | 22-8360 | | | | | | 11 | 89 | | 15 | muy erosionado |
| FF38 | 7 | 22-8363 | | | | | | 91 | 9 | | 22 | muy erosionado |
| FF38 | 8 | 22-8369 | | | | | | 54 | 46 | | 15 | muy erosionado |
| FF38 | 9 | 22-8375 | | | | | | 72 | 28 | | 32 | muy erosionado |
| FF38 | 10 | 22-8390 | | | | | | 100 | | | 18 | muy erosionado |
| FF38 | 11 | 22-8401 | | | | | | 100 | | | 18 | muy erosionado |
| FF38 | 12 | 22-8407 | | 2 | | | | 98 | | | 65 | muy erosionado |
| FF38 | 13 | 22-8414 | | | | | 5 | 93 | 2 | | 60 | erosionado |
| G17 | 1 | 22-5072 | | | | | | | 100 | | 8 | muy erosionado |
| G17 | 2 | 22-5074 | | | | | | 67 | 33 | | 9 | muy erosionado |
| G17 | 3 | 22-5077 | | | | | | 100 | | | 5 | muy erosionado |
| G17 | 4 | 22-5081 | | | | | | | | | 0 | muy erosionado |
| G17 | 5 | 22-5085 | | | | | | 100 | | | 1 | muy erosionado |
| G17 | 6 | 22-5088 | | | 25 | | | 75 | | | 4 | muy erosionado |
| G17 | 7 | 22-5089 | | | 25 | | | 75 | | | 4 | muy erosionado |
| G17 | 8 | 22-5094 | | | | | 34 | 66 | | | 3 | muy erosionado |
| GG34 | 1 | 22-8748 | | | | | | 15 | 85 | | 19 | muy erosionado |
| GG34 | 2 | 22-8753 | | | | | | 12 | 88 | | 16 | muy erosionado |
| GG34 | 3 | 22-8772 | | | | | | | 100 | | 13 | muy erosionado |
| GG34 | 4 | 22-8786 | | | | | | 88 | 12 | | 8 | muy erosionado |
| GG34 | 5 | 22-8800 | | | | | | 100 | | | 15 | muy erosionado |
| GG34 | 6 | 22-8804 | | | | | | 97 | 3 | | 38 | muy erosionado |
| GG34 | 7 | 22-8869 | | | 1 | | | 99 | | | 81 | muy erosionado |
| GG34 | 8 | 22-8883 | 8 | | | | | 92 | | | 12 | muy erosionado |
| GG35 | 2 | 22-8924 | | | | | | | | | 0 | muy erosionado |
| GG35 | 3 | 22-8930 | | | | | | 40 | 60 | | 10 | muy erosionado |
| GG35 | 4 | 22-8950 | | | | | | 100 | | | 13 | muy erosionado |
| GG35 | 5 | 22-8954 | | | | | | 82 | 18 | | 11 | muy erosionado |

| Unidad | Lote | FS | LF | ETF | LTF | TF | EC | LC | EPC | LPC | Núm. Diag. | Erosión |
|---|---|---|---|---|---|---|---|---|---|---|---|---|
| H10 | 1 | 22-5007 | | | | | | | 100 | | 11 | muy erosionado |
| H10 | 2 | 22-5009 | | | | | | 14 | 86 | | 7 | muy erosionado |
| H10 | 2 | 22-5051 | | | | | | 100 | | | 4 | muy erosionado |
| H10 | 3 | 22-5012 | | | | | | | 100 | | 2 | muy erosionado |
| H10 | 4 | 22-5014 | | | 17 | | | 33 | 50 | | 6 | muy erosionado |
| H10 | 5 | 22-5017 | | | | | | | | | 0 | muy erosionado |
| H10 | 6 | 22-5019 | | | | | | 100 | | | 1 | muy erosionado |
| H10 | 7 | 22-5023 | | | | 33 | | 67 | | | 3 | muy erosionado |
| H10 | 8 | 22-5029 | | | | | | 50 | 50 | | 2 | muy erosionado |
| H10 | 9 | 22-5033 | | | | | | | | | 0 | muy erosionado |
| H10 | 10 | 22-5036 | | | | | | | | | 0 | muy erosionado |
| H10 | 11 | 22-5048 | | | | | | 100 | | | 2 | muy erosionado |
| H12 | 1 | 22-5151 | | 8 | | | 8 | 8 | 77 | | 13 | muy erosionado |
| H12 | 2 | 22-5154 | | | | | | 50 | 50 | | 8 | muy erosionado |
| H12 | 3 | 22-5161 | | | | | 50 | 50 | | | 6 | muy erosionado |
| H12 | 4 | 22-5166 | | | | | 57 | 93 | | | 7 | muy erosionado |
| H12 | 5 | 22-5172 | | | | | | 100 | | | 9 | muy erosionado |
| H12 | 6 | 22-5176 | | | | | 25 | 75 | | | 4 | muy erosionado |
| H12 | limpieza | 22-5177 | | | | | | | 100 | | 2 | muy erosionado |
| H13 | 1 | 22-5053 | | 10 | | | | 20 | 70 | | 10 | muy erosionado |
| H13 | 2 | 22-5056 | | | 33 | | | 67 | | | 3 | muy erosionado |
| H13 | 3 | 22-5059 | | | | | 50 | | 50 | | 2 | muy erosionado |
| H13 | 4 | 22-5064 | | | 20 | | | 50 | | | 5 | muy erosionado |
| H13 | 5 | 22-5066 | | | 20 | | | 80 | | | 5 | muy erosionado |
| H13 | 6 | 22-5069 | | | 25 | | 25 | 50 | | | 4 | muy erosionado |
| H13 | 7 | 22-5073 | | | 17 | | | 83 | | | 6 | muy erosionado |
| H13 | 8 | 22-5078 | | | | | 33 | 67 | | | 3 | muy erosionado |

| Unidad | Lote | FS | LF | ETF | LTF | TF | EC | LC | EPC | LPC | Núm. Diag. | Erosión |
|---|---|---|---|---|---|---|---|---|---|---|---|---|
| H16 | 1 | 22-5142 | | | | | | 50 | 50 | | 4 | muy erosionado |
| H16 | 2 | 22-5149 | | | 25 | | | 38 | 38 | | 8 | muy erosionado |
| H16 | 3 | 22-5155 | | | | | | 37 | 63 | | 8 | muy erosionado |
| H16 | 4 | 22-5162 | | | 50 | | | | 50 | | 2 | muy erosionado |
| H16 | 5 | 22-5165 | | | | | | 100 | | | 11 | muy erosionado |
| H16 | 6 | 22-5174 | | | | | 33 | 67 | | | 6 | muy erosionado |
| H16 | 7 | 22-5182 | | 25 | 25 | | | 50 | | | 4 | muy erosionado |
| H18 | 1 | 22-5223 | | | | | | 36 | 64 | | 11 | muy erosionado |
| H18 | 2 | 22-5229 | | | | | 4 | 42 | 54 | | 26 | muy erosionado |
| H18 | 3 | 22-5236 | | | | | | 33 | 67 | | 3 | muy erosionado |
| H19 | 1 | 22-5084 | | | | | | 40 | 20 | | 5 | muy erosionado |
| H19 | 2 | 22-5091 | | | | | | 22 | 78 | | 9 | muy erosionado |
| H19 | 3 | 22-5099 | | | | | | | | | 0 | muy erosionado |
| H19 | 4 | 22-5102 | | | | | | | 100 | | 3 | muy erosionado |
| H20 | 1 | 22-5248 | | 5 | | | 14 | 33 | 47 | | 21 | muy erosionado |
| H20 | 2 | 22-5255 | | | | | | 27 | 73 | | 11 | muy erosionado |
| H21 | 1 | 22-5124 | | | 8 | | | 77 | 15 | | 13 | muy erosionado |
| H21 | 2 | 22-5131 | | | | | 5 | 42 | 53 | | 19 | muy erosionado |
| H21 | 3 | 22-5133 | | | | | | 37 | 63 | | 16 | muy erosionado |
| H21 | 5 | 22-5145 | | | | | | 40 | 60 | | 10 | muy erosionado |
| H21 | 5 | 22-5146 | | | | | | 50 | 50 | | 2 | muy erosionado |
| H22 | 1 | 22-5103 | | | | | | | 100 | | 12 | muy erosionado |
| H22 | 2 | 22-5139 | | | | | | 37 | 63 | | 30 | muy erosionado |
| H22 | 3 | 22-5112 | | | | | | 25 | 75 | | 8 | muy erosionado |
| H22 | 4 | 22-5119 | | | | | | | 100 | | 12 | muy erosionado |
| H22 | 5 | 22-5123 | | | | | | | | | 0 | muy erosionado |
| HH34 | 2 | 22-9009 | | | | | | 13 | 87 | | 23 | muy erosionado |

| Unidad | Lote | FS | LF | ETF | LTF | TF | EC | LC | EPC | LPC | Núm. Diag. | Erosión |
|---|---|---|---|---|---|---|---|---|---|---|---|---|
| HH34 | 4 | 22-9033 | | | | | | 100 | | | 9 | muy erosionado |
| HH34 | 5 | 22-9046 | | | | | | 100 | | | 17 | muy erosionado |
| HH35 | 2 | 22-8668 | | | | | | 27 | 73 | | 37 | muy erosionado |
| HH35 | 3 | 22-8682 | | | | | | | 100 | | 6 | muy erosionado |
| HH35 | 4 | 22-8688 | | | | | | 86 | 14 | | 14 | muy erosionado |
| HH35 | 5 | 22-8717 | | | | | | 91 | 9 | | 34 | muy erosionado |
| HH37 | 3 | 22-9882 | | | | | | 100 | | | 6 | muy erosionado |
| HH37 | 4 | 22-9900 | | | | | | 100 | | | 44 | muy erosionado |
| HH37 | 5 | 22-9944 | | 0 | | | 1 | 99 | | | 505 | erosionado |
| HH37 | 5 | 22-9946 | | | | | | 100 | | | 1 | |
| HH37 | 5 | 22-9936 | | | | | | 100 | | | 89 | muy erosionado |
| HH39 | 1 | 22-8762 | | | | | | 44 | 56 | | 18 | muy erosionado |
| HH39 | 2 | 22-8774 | | | | | | 18 | 82 | | 11 | muy erosionado |
| HH39 | 3 | 22-8859 | | | | | | 100 | | | 5 | muy erosionado |
| HH39 | 4 | 22-8878 | | | 6 | | | 94 | | | 17 | muy erosionado |
| HH39 | 5 | 22-8891 | | | | | | 100 | | | 3 | muy erosionado |
| HH39 | 6 | 22-8909 | | | | | | 100 | | | 22 | muy erosionado |
| HH39 | 7 | 22-8932 | | | | 2 | 1 | 97 | | | 101 | muy erosionado |
| HH39 | 8 | 22-8979 | | | | 3 | 2 | 95 | | | 107 | muy erosionado |
| HH39 | 7 | 22-8980 | | | | | | | | | 0 | muy erosionado |
| HH39 | 7 | 22-8936 | | | | | | | | | 0 | muy erosionado |
| I17 | 1 | 22-5188 | | | | | | 72 | 28 | | 19 | muy erosionado |
| I17 | 2 | 22-5199 | | | | | | 44 | 56 | | 9 | muy erosionado |
| I17 | 3 | 22-5208 | | | | | | 10 | 90 | | 10 | muy erosionado |
| I17 | 4 | 22-5214 | | | 17 | | | 83 | | | 6 | muy erosionado |
| I17 | 5 | 22-5222 | | | | | | | | | 0 | muy erosionado |
| I17 | 6 | 22-5230 | | | | | | 25 | 75 | | 4 | muy erosionado |
| I17 | 7 | 22-5237 | | | | | | 100 | | | 2 | muy erosionado |

| Unidad | Lote | FS | LF | ETF | LTF | TF | EC | LC | EPC | LPC | Núm. Diag. | Erosión |
|---|---|---|---|---|---|---|---|---|---|---|---|---|
| I17 | 9 | 22-5246 | | | | | | 50 | 50 | | 4 | erosionado |
| II34 | 2 | 22-9230 | | | | | 3 | 10 | 87 | | 30 | muy erosionado |
| II34 | 3 | 22-9241 | | | | | | 33 | 67 | | 27 | muy erosionado |
| II34 | 4 | 22-9280 | | | | | | 62 | 38 | | 8 | muy erosionado |
| II35 | 3 | 22-9085 | | | | | | 53 | 47 | | 23 | muy erosionado |
| II35 | 4 | 22-9107 | | | | | | 80 | 20 | | 10 | muy erosionado |
| II35 | 5 | 22-9138 | | | | | | 100 | | | 19 | muy erosionado |
| II35 | 2 | 22-9064 | | | | | | 10 | 90 | | 39 | muy erosionado |
| II36 | 2 | 22-8584 | | | | | | 23 | 77 | | 30 | muy erosionado |
| II36 | 3 | 22-8602 | | | | | | 78 | 22 | | 18 | muy erosionado |
| II36 | 4 | 22-8611 | | | | | | 100 | | | 19 | muy erosiondo |
| II36 | 5 | 22-8637 | | | | | 2 | 2 | 96 | | 52 | muy erosionado |
| II37 | 2 | 22-9202 | | | | | | 30 | 70 | | 33 | muy erosionado |
| II37 | 3 | 22-9229 | | | | | | 10 | 90 | | 41 | muy erosionado |
| II37 | 4 | 22-9232 | | 4 | | | | 70 | 26 | | 27 | muy erosionado |
| II37 | 6 | 22-9274 | | | | | | 100 | | | 21 | muy erosionado |
| II37 | 5 | 22-9249 | | | | | 3 | 82 | 16 | | 38 | muy erosionado |
| II38 | 1 | 22-8170 | | | | | | 14 | 86 | | 14 | muy erosionado |
| II38 | 2 | 22-8205 | | | | | | 19 | 81 | | 26 | muy erosionado |
| II38 | 3 | 22-8222 | | | | | | 25 | 75 | | 36 | muy erosionado |
| II38 | 4 | 22-8232 | | | | | | 25 | 75 | | 20 | muy erosionado |
| II38 | 5 | 22-8234 | | 6 | | | 11 | 83 | | | 18 | muy erosionado |
| II38 | 6 | 22-8239 | | | | | | 80 | 20 | | 15 | muy erosionado |
| II38 | 7 | 22-8245 | | | | | | 100 | | | 10 | muy erosionado |
| II38 | 8 | 22-8246 | | | | | | 100 | | | 26 | erosionado |
| II38 | 9 | 22-8258 | | | | | | 100 | | | 34 | erosionado |
| II38 | 10 | 22-8262 | 1 | | | | | 99 | | | 72 | erosionado |
| II38 | 11 | 22-8281 | | | 2 | | | 98 | | | 95 | |
| II38 | 12 | 22-8309 | | | | | | 100 | | | 20 | |

| Unidad | Lote | FS | LF | ETF | LTF | TF | EC | LC | EPC | LPC | Núm. Diag. | Erosión |
|---|---|---|---|---|---|---|---|---|---|---|---|---|
| II38 | 13 | 22-8320 | | | | | 3 | 97 | | | 63 | muy erosionado |
| II39 | 3 | 22-9407 | | | | | | 26 | 74 | | 19 | muy erosionado |
| II39 | 4 | 22-9427 | | | 7 | | 7 | 33 | 53 | | 15 | muy erosionado |
| II39 | 5 | 22-9442 | | | | | | 100 | | | 28 | muy erosionado |
| II39 | 7 | 22-9639 | | 1 | 6 | | 14 | 79 | | | 86 | erosionado |
| II39 | 2 | 22-9394 | | | | | | 8 | 92 | | 35 | muy erosionado |
| II39 | 6 | 22-9585 | | | | | 2 | 98 | | | 55 | muy erosionado |
| II42 | 2 | 22-8616 | | | | | | 31 | 69 | | 16 | muy erosionado |
| J17 | 1 | 22-5087 | | | | | 13 | 53 | 33 | | 15 | muy erosionado |
| J17 | 2 | 22-5093 | | | | | | 8 | 92 | | 25 | muy erosionado |
| J17 | 3 | 22-5100 | | | | | | 20 | 50 | | 6 | muy erosionado |
| J17 | 4 | 22-5107 | | | 5 | | 5 | 10 | 81 | | 21 | muy erosionado |
| J17 | 5 | 22-5113 | | | | | | 67 | 33 | | 12 | muy erosionado |
| J17 | 6 | 22-5120 | | | | | | 100 | | | 4 | muy erosionado |
| J17 | 7 | 22-5127 | | | | | | 25 | 75 | | 8 | muy erosionado |
| J17 | 8 | 22-5132 | | | | | | 100 | | | 4 | muy erosionado |
| JJ34 | 2 | 22-9149 | | 3 | 3 | | | 23 | 72 | | 39 | muy erosionado |
| JJ34 | 3 | 22-9159 | | | | | | 16 | 84 | | 25 | muy erosionado |
| JJ34 | 4 | 22-9172 | | | | | 4 | 82 | 14 | | 28 | muy erosionado |
| JJ34 | 6 | 22-9192 | | | | | | 100 | | | 16 | muy erosionado |
| JJ34 | 7 | 22-9206 | | | | | | 100 | | | 21 | muy erosionado |
| JJ34 | 5 | 22-9181 | | | | | | 100 | | | 7 | muy erosionado |
| JJ34 | 8 | 22-9712 | | | | | | 100 | | | 23 | muy erosionado |
| JJ34 | 9 | 22-9731 | | | | | 1 | 99 | | | 73 | muy erosionado |
| JJ35 | 2 | 22-9293 | | | | | | 28 | 72 | | 57 | muy erosionado |
| JJ35 | 3 | 22-9325 | | | | | | 100 | | | 10 | muy erosionado |
| JJ35 | 4 | 22-9340 | | | | | 8 | 92 | | | 12 | muy erosionado |
| JJ35 | 6 | 22-9761 | | | | | | 100 | | | 23 | muy erosionado |

| Unidad | Lote | FS | LF | ETF | LTF | TF | EC | LC | EPC | LPC | Núm. Diag. | Erosión |
|---|---|---|---|---|---|---|---|---|---|---|---|---|
| JJ35 | 5 | 22-9374 | | | | | | 100 | | | 19 | muy erosionado |
| JJ35 | 7 | 22-9783 | | | 2 | | | 98 | | | 42 | muy erosionado |
| JJ36 | 2 | 22-8546 | | | 1 | | | 23 | 76 | | 83 | muy erosionado |
| JJ36 | 3 | 22-8548 | | | | | | 100 | | | 37 | muy erosionado |
| JJ36 | 4 | 22-8558 | | | | | | 100 | | | 8 | muy erosionado |
| JJ36 | 5 | 22-8570 | | | 1 | | | 98 | 1 | | 82 | erosionado |
| JJ36 | 6 | 22-9824 | | | | | | 100 | | | 19 | muy erosionado |
| JJ36 | 7 | 22-9843 | | | | | | 100 | | | 9 | erosionado |
| JJ36 | 8 | 22-9858 | | | | | | 92 | 8 | | 24 | muy erosionado |
| JJ37 | 1 | 22-8420 | | | | | | 33 | 67 | | 6 | muy erosionado |
| JJ37 | 2 | 22-8424 | | | | | | 32 | 68 | | 19 | muy erosionado |
| JJ37 | 3 | 22-8438 | | | | | | 41 | 59 | | 46 | muy erosionado |
| JJ37 | 4 | 22-8448 | | | | | | 70 | 30 | | 44 | muy erosionado |
| JJ37 | 5 | 22-8459 | | | | | | 95 | 5 | | 20 | muy erosionado |
| JJ37 | 6 | 22-8263 | | | | | | 100 | | | 18 | muy erosionado |
| JJ37 | 7 | 22-8467 | | 10 | | | 10 | 80 | | | 10 | muy erosionado |
| JJ37 | 8 | 22-8480 | | | | | | 100 | | | 71 | erosionado |
| JJ37 | 9 | 22-9763 | | | | | | 100 | | | 37 | muy erosionado |
| JJ37 | 10 | 22-9778 | | | | | | 100 | | | 42 | muy erosionado |
| JJ38 | 3 | 22-9077 | | | | | | 67 | 33 | | 21 | muy erosionado |
| JJ38 | 4 | 22-9092 | | | | | | 92 | 8 | | 13 | muy erosionado |
| JJ38 | 5 | 22-9109 | | | | | | 100 | | | 14 | muy erosionado |
| JJ38 | 6 | 22-9723 | | | | | | 100 | | | 97 | muy erosionado |
| JJ38 | 7 | 22-9747 | | | | | | 100 | | | 23 | muy erosionado |
| JJ38 | 2 | 22-9057 | | | | | | 12 | 78 | | 40 | muy erosionado |
| JJ39 | 7 | 22-8656 | | | | | | 100 | | | 3 | muy erosionado |
| JJ39 | 3 | 22-8596 | | | | | | 17 | 83 | | 23 | muy erosionado |
| JJ39 | 4 | 22-8607 | | | | | | 54 | 46 | | 24 | muy erosionado |

| Unidad | Lote | FS | LF | ETF | LTF | TF | EC | LC | EPC | LPC | Núm. Diag. | Erosión |
|---|---|---|---|---|---|---|---|---|---|---|---|---|
| JJ39 | 6 | 22-8643 | | | | | | 100 | | | 20 | muy erosionado |
| JJ39 | 7 | 22-8694 | | | 6 | | 6 | 88 | | | 16 | muy erosionado |
| JJ39 | 7 | 22-8652 | | | | 1 | 2 | 97 | | | 90 | erosionado |
| JJ39 | 8 | 22-8705 | | | | | | 100 | | | 150 | muy erosionado |
| JJ39 | 9 | 22-8734 | | | | | 3 | 97 | | | 67 | muy erosionado |
| JJ40 | 2 | 22-8512 | | | | | | 20 | 80 | | 5 | muy erosionado |
| JJ40 | 3 | 22-8518 | | | | | | 46 | 54 | | 13 | muy erosionado |
| JJ40 | 3 | 22-8856 | | | | | 6 | 88 | 6 | | 16 | muy erosionado |
| JJ40 | 4 | 22-8522 | | | | | | 35 | 65 | | 62 | muy erosionado |
| JJ40 | 4 | 22-8893 | | 1 | | 1 | 3 | 95 | | | 77 | erosionado |
| JJ40 | 5 | 22-8916 | | | | | 3 | 97 | | | 258 | erosionado |
| JJ40 | 5 | 22-8528 | | | | | | 56 | 44 | | 18 | muy erosionado |
| JJ40 | 6 | 22-8531 | | | | | | 75 | 25 | | 4 | muy erosionado |
| JJ40 | 6 | 22-9862 | | | 7 | | | 93 | | | 27 | muy erosionado |
| JJ40 | 5 | 22-8927 | | | | | | | | | 0 | muy erosionado |
| KK31 | 1 | 22-8000 | | | | | | 14 | 86 | | 2 | muy erosionado |
| KK31 | 2 | 22-8005 | | | | | 2 | | 98 | | 49 | muy erosionado |
| KK31 | 3 | 22-8006 | | | | | | 19 | 81 | | 36 | muy erosionado |
| KK31 | 4 | 22-8010 | | | | | | 7 | 93 | | 30 | muy erosionado |
| KK31 | 5 | 22-8015 | | | | 3 | 27 | | 70 | | 37 | muy erosionado |
| KK31 | 6 | 22-8020 | | | | | | 20 | 80 | | 25 | muy erosionado |
| KK31 | 7 | 22-8024 | | | | | | 27 | 73 | | 15 | muy erosionado |
| KK31 | 8 | 22-8029 | | | | | | 41 | 59 | | 17 | erosionado |
| KK31 | 9 | 22-8034 | | | | | | 77 | 23 | | 13 | muy erosionado |
| KK31 | 10 | 22-8066 | | | | | | 100 | | | 7 | muy erosionado |
| KK31 | 11 | 22-8047 | | | | | | 100 | | | 11 | muy erosionado |
| KK31 | 12 | 22-8054 | | | | | | 100 | | | 12 | muy erosionado |
| KK31 | 13 | 22-8063 | | | | | | 67 | 33 | | 3 | muy erosionado |

| Unidad | Lote | FS | LF | ETF | LTF | TF | EC | LC | EPC | LPC | Núm. Diag. | Erosión |
|---|---|---|---|---|---|---|---|---|---|---|---|---|
| KK34 | superficie | 22-8021 | | | | | | | 100 | | 12 | muy erosionado |
| KK34 | 1 | 22-8032 | | | | | 7 | 4 | 89 | | 27 | muy erosionado |
| KK34 | 2 | 22-8040 | | | | | | 12 | 88 | | 25 | muy erosionado |
| KK34 | 3 | 22-8052 | | | | | | 44 | 56 | | 16 | muy erosionado |
| KK34 | 4 | 22-8059 | | | | | | 58 | 42 | | 19 | muy erosionado |
| KK34 | 5 | 22-8071 | | | | | | 90 | 10 | | 10 | muy erosionado |
| KK44 | 5 | 22-8341 | | | | | | 50 | 50 | | 2 | muy erosionado |
| KK34 | 6 | 22-8072 | | | | | | 100 | | | 14 | muy erosionado |
| KK34 | 7 | 22-8080 | | | | | | 100 | | | 16 | erosionado |
| KK34 | 8 | 22-8100 | | | | | | 100 | | | 5 | muy erosionado |
| KK34 | 8 | 22-9061 | | | | 2 | | 98 | | | 48 | muy erosionado |
| KK34 | 10 | 22-9664 | | | | | | 100 | | | 18 | muy erosionado |
| KK34 | 9 | 22-9656 | | | | | | 100 | | | 37 | muy erosionado |
| KK35 | 2 | 22-9431 | | | | | | 14 | 86 | | 28 | muy erosionado |
| KK35 | 3 | 22-9446 | | | | | | 78 | 22 | | 22 | muy erosionado |
| KK35 | 5 | 22-9485 | | | | | | 100 | | | 22 | muy erosionado |
| KK35 | 6 | 22-9525 | | | 5 | | | 95 | | | 40 | muy erosionado |
| KK35 | 4 | 22-9474 | | | | | | 100 | | | 5 | muy erosionado |
| KK35 | 8 | 22-9569 | | | | | | 100 | | | 3 | muy erosionado |
| KK35 | 7 | 22-9549 | | | | | 4 | 96 | | | 24 | muy erosionado |
| KK36 | 2 | 22-8862 | | | | | | 21 | 79 | | 23 | muy erosionado |
| KK36 | 3 | 22-8865 | | | | | | 27 | 73 | | 26 | muy erosionado |
| KK36 | 4 | 22-8875 | | | | | | 20 | 80 | | 10 | muy erosionado |
| KK36 | 5 | 22-8884 | | | | | | 34 | 66 | | 6 | muy erosionado |
| KK36 | 6 | 22-8902 | | | | | | 99 | 6 | | 17 | muy erosionado |
| KK36 | 6 | 22-8888 | | | | | | 80 | 20 | | 5 | muy erosionado |
| KK36 | 7 | 22-8918 | | | | | | 100 | | | 9 | muy erosionado |
| KK36 | 8 | 22-8946 | | | | | | 100 | | | 9 | muy erosionado |

| Unidad | Lote | FS | LF | ETF | LTF | TF | EC | LC | EPC | LPC | Núm. Diag. | Erosión |
|---|---|---|---|---|---|---|---|---|---|---|---|---|
| KK36 | 10 | 22-8971 | | | | | | 100 | | | 55 | |
| KK36 | 11 | 22-8992 | | | 7 | | | 93 | | | 14 | muy erosionado |
| KK36 | 12 | 22-9003 | | | | | | 100 | | | 19 | erosionado |
| KK36 | 13 | 22-9023 | | | | | 20 | 80 | | | 15 | muy erosionado |
| KK36 | 14 | 22-9030 | | | | | | 100 | | | 3 | muy erosionado |
| KK36 | 15 | 22-9035 | | | 100 | | | | | | 1 | muy erosionado |
| KK37 | 1 | 22-8231 | | | | | | 14 | 86 | | 7 | muy erosionado |
| KK37 | 2 | 22-8236 | | | | | | 30 | 70 | | 30 | muy erosionado |
| KK37 | 3 | 22-8243 | | | | | 3 | 38 | 59 | | 34 | muy erosionado |
| KK37 | 4 | 22-8250 | 3 | | | | | 60 | 37 | | 32 | muy erosionado |
| KK37 | 5 | 22-8261 | | | | | | 13 | 87 | | 46 | muy erosionado |
| KK37 | 5 | 22-8316 | | | | | | 100 | | | 5 | muy erosionado |
| KK37 | 6 | 22-8325 | | | | | | 100 | | | 6 | muy erosionado |
| KK37 | 7 | 22-8344 | | | | | | 100 | | | 45 | erosionado |
| KK37 | 7 | 22-9934 | | | | | | 100 | | | 13 | muy erosionado |
| KK38 | 2 | 22-8861 | | | | | | 15 | 85 | | 20 | muy erosionado |
| KK38 | 3 | 22-8886 | | | 5 | | | 10 | 86 | | 21 | muy erosionado |
| KK38 | 4 | 22-8897 | | | | 6 | | 50 | 44 | | 18 | muy erosionado |
| KK38 | 5 | 22-8911 | | | | | | 85 | 15 | | 20 | muy erosionado |
| KK38 | 6 | 22-8943 | | | | | | 92 | 8 | | 12 | muy erosionado |
| KK38 | 7 | 22-8961 | | | | | | 100 | | | 28 | muy erosionado |
| KK38 | 8 | 22-8974 | | | | | 2 | 98 | | | 42 | erosionado |
| KK38 | 9 | 22-8996 | | | | | | 100 | | | 20 | muy erosionado |
| KK38 | 10 | 22-9691 | | | 2 | | 5 | 93 | | | 140 | muy erosionado |
| KK39 | 2 | 22-9053 | | | | | | 10 | 90 | | 20 | muy erosionado |
| KK39 | 3 | 22-9080 | | | | | | 68 | 32 | | 22 | muy erosionado |
| KK39 | 4 | 22-9098 | | | 7 | | | 93 | | | 15 | muy erosionado |
| KK39 | 5 | 22-9436 | | | | | 5 | 94 | 1 | | 135 | muy erosionado |

| Unidad | Lote | FS | LF | ETF | LTF | TF | EC | LC | EPC | LPC | Núm. Diag. | Erosión |
|---|---|---|---|---|---|---|---|---|---|---|---|---|
| KK40 | 2 | 22-8394 | | | | | | 38 | 62 | | 26 | muy erosionado |
| KK40 | 3 | 22-8404 | | | | | | 72 | 28 | | 25 | muy erosionado |
| KK40 | 4 | 22-8410 | | | | | | 60 | 40 | | 25 | muy erosionado |
| KK40 | 5 | 22-8823 | | | | | | 100 | | | 1 | muy erosionado |
| KK40 | 6 | 22-8834 | | | | | | 100 | | | 12 | muy erosionado |
| KK40 | 5 | 22-9981 | | | | | | 70 | 30 | | 10 | muy erosionado |
| KK41 | 1 | 22-8094 | | | | | | 25 | 75 | | 4 | muy erosionado |
| KK41 | 2 | 22-8102 | | | | | | 50 | 50 | | 22 | muy erosionado |
| KK41 | 3 | 22-8111 | | | | | | 40 | 60 | | 2 | muy erosionado |
| KK41 | 4 | 22-8124 | | | | | | 92 | 8 | | 25 | muy erosionado |
| KK41 | 5 | 22-8128 | | | | | 5 | 85 | 10 | | 21 | muy erosionado |
| KK41 | 6 | 22-8844 | | | | | 13 | 87 | | | 30 | muy erosionado |
| KK42 | 2 | 22-8571 | | | | | | | 100 | | 6 | muy erosionado |
| KK42 | 3 | 22-8576 | | | | | | 90 | 10 | | 32 | muy erosionado |
| KK42 | 4 | 22-8585 | | | | | | | | | 0 | muy erosionado |
| KK42 | 5 | 22-8595 | | | | | | 100 | | | 1 | muy erosionado |
| KK44 | 1 | 22-8241 | | | | | 3 | 35 | 61 | | 31 | muy erosionado |
| KK44 | 2 | 22-8253 | | | | 2 | | 69 | 29 | | 58 | muy erosionado |
| KK44 | 3 | 22-8314 | | | | | | 88 | 12 | | 24 | muy erosionado |
| KK44 | 4 | 22-8323 | | | | 7 | | 83 | 10 | | 30 | muy erosionado |
| KK44 | 6 | 22-8354 | | | | | | 100 | | | 15 | muy erosionado |
| KK44 | 7 | 22-8362 | | | 3 | | | 97 | | | 39 | erosionado |
| KK44 | 8 | 22-8367 | | | | | | | | | 0 | muy erosionado |
| KK44 | 9 | 22-8386 | | | | | | 100 | | | 5 | muy erosionado |
| KK44 | 10 | 22-8398 | | | | 2 | | 93 | 5 | | 42 | muy erosionado |
| KK44 | 11 | 22-8411 | | | 1 | | | 47 | 51 | | 83 | muy erosionado |
| KK44 | 11 | 22-8479 | | | | | | 100 | | | 1 | muy erosionado |
| KK44 | 11 | 22-8491 | | | | | | 100 | | | 1 | muy erosionado |

| Unidad | Lote | FS | LF | ETF | LTF | TF | EC | LC | EPC | LPC | Núm. Diag. | Erosión |
|---|---|---|---|---|---|---|---|---|---|---|---|---|
| LL32 | 1 | 22-8702 | | | | | | 20 | 80 | | 5 | |
| LL32 | 2 | 22-8712 | | | | | | 95 | 5 | | 19 | muy erosionado |
| LL32 | 3 | 22-8727 | | | | | | 17 | 83 | | 47 | muy erosionado |
| LL32 | 4 | 22-8741 | | | | | | 10 | 90 | | 38 | muy erosionado |
| LL32 | 5 | 22-8750 | | | | | | 75 | 25 | | 20 | muy erosionado |
| LL32 | 6 | 22-8751 | | | | | | 85 | 15 | | 20 | muy erosionado |
| LL32 | 7 | 22-8766 | | | | | | 100 | | | 4 | muy erosionado |
| LL32 | 8 | 22-8770 | | | | | | 100 | | | 3 | muy erosionado |
| LL32 | 9 | 22-8783 | | | | | | 50 | 50 | | 2 | muy erosionado |
| LL32 | 10 | 22-8839 | | | | | | 100 | | | 7 | muy erosionado |
| LL32 | 11 | 22-8852 | | | | | | 86 | 14 | | 9 | muy erosionado |
| LL34 | 2 | 22-8042 | | | | | | | 100 | | 1 | muy erosionado |
| LL35 | 1 | 22-8785 | | | | | | 25 | 75 | | 4 | muy erosionado |
| LL35 | 2 | 22-8798 | | | | | | | 100 | | 10 | muy erosionado |
| LL35 | 3 | 22-8802 | | | | | | 22 | 78 | | 9 | muy erosionado |
| LL35 | 4 | 22-8806 | | | | | | 8 | 92 | | 13 | muy erosionado |
| LL35 | 5 | 22-8812 | | | | | | 45 | 55 | | 11 | muy erosionado |
| LL35 | 6 | 22-8822 | | | | | | 100 | | | 3 | muy erosionado |
| LL35 | 7 | 22-8826 | | | | | | | | | 0 | muy erosionado |
| LL35 | 8 | 22-8831 | | | | | | 100 | | | 12 | muy erosionado |
| LL35 | 9 | 22-8837 | | | | | | 100 | | | 6 | erosionado |
| LL35 | 10 | 22-8843 | | | | | | 100 | | | 2 | muy erosionado |
| LL35 | 11 | 22-8846 | | | | | | 100 | | | 4 | muy erosionado |
| LL35 | 12 | 22-8849 | | | | | | 100 | | | 13 | muy erosionado |
| LL35 | 13 | 22-8851 | | | | | | 100 | | | 9 | muy erosionado |
| LL35 | 14 | 22-9700 | | | | | | 100 | | | 21 | muy erosionado |
| LL37 | 2 | 22-8422 | | | | | | | 100 | | 1 | muy erosionado |
| LL37 | 3 | 22-8427 | | | 2 | | 2 | 26 | 70 | | 43 | muy erosionado |

| Unidad | Lote | FS | LF | ETF | LTF | TF | EC | LC | EPC | LPC | Núm. Diag. | Erosión |
|---|---|---|---|---|---|---|---|---|---|---|---|---|
| LL37 | 5 | 22-8442 | | | | | | 22 | 78 | | 18 | muy erosionado |
| LL37 | 6 | 22-8446 | | | | | | 20 | 80 | | 15 | muy erosionado |
| LL37 | 7 | 22-8451 | | | | | | 100 | | | 14 | muy erosionado |
| LL37 | 8 | 22-8453 | | | | | | 100 | | | 3 | muy erosionado |
| LL37 | 9 | 22-8461 | | | 33 | | | 67 | | | 6 | muy erosionado |
| LL37 | 10 | 22-8462 | | | | | | 14 | 86 | | 7 | muy erosionado |
| LL37 | 11 | 22-8471 | | | | | | 100 | | | 12 | muy erosionado |
| LL37 | 12 | 22-8472 | | | | | | 100 | | | 10 | muy erosionado |
| LL38 | 1 | 22-8083 | | | | | | 38 | 62 | | 26 | muy erosionado |
| LL38 | 2 | 22-8086 | | | | | | 56 | 44 | | 9 | muy erosionado |
| LL38 | 3 | 22-8090 | | | | | | 43 | 57 | | 14 | muy erosionado |
| LL38 | 4 | 22-8097 | | 7 | | | | 93 | | | 14 | muy erosionado |
| LL38 | 5 | 22-8103 | | | | | | 100 | | | 11 | muy erosionado |
| LL38 | 6 | 22-8105 | | | | | | 100 | | | 7 | muy erosionado |
| LL38 | 7 | 22-8113 | | | | | | 100 | | | 55 | erosionado |
| LL38 | 8 | 22-9895 | | | | | | 100 | | | 31 | muy erosionado |
| LL38 | superficie | 22-8075 | | | | | 3 | 42 | 55 | | 31 | muy erosionado |
| LL38 | 9 | 22-9924 | | | | | 2 | 96 | 2 | | 44 | muy erosionado |
| LL39 | 2 | 22-8986 | | | | | | 39 | 61 | | 46 | muy erosionado |
| LL39 | 3 | 22-9013 | | | | | | 61 | 39 | | 26 | muy erosionado |
| LL39 | 4 | 22-9029 | | | | | | 94 | 6 | | 16 | muy erosionado |
| LL39 | 5 | 22-9043 | | | | | | 100 | | | 8 | muy erosionado |
| LL39 | 6 | 22-9884 | | | | | 1 | 99 | | | 90 | muy erosionado |
| LL40 | 1 | 22-8494 | | | | | | 23 | 77 | | 13 | muy erosionado |
| LL40 | 2 | 22-8501 | | | | | | 33 | 67 | | 30 | muy erosionado |
| LL40 | 3 | 22-8509 | | | | | | 38 | 62 | | 8 | muy erosionado |
| LL40 | 5 | 22-8817 | | | | | | 100 | | | 29 | muy erosionado |
| LL41 | 1 | 22-8487 | | | | | | 14 | 86 | | 14 | muy erosionado |

| Unidad | Lote | FS | LF | ETF | LTF | TF | EC | LC | EPC | LPC | Núm. Diag. | Erosión |
|---|---|---|---|---|---|---|---|---|---|---|---|---|
| LL41 | 3 | 22-8497 | | | | | | 62 | 38 | | 24 | muy erosionado |
| LL41 | 4 | 22-9466 | | | | | | 70 | 30 | | 20 | muy erosionado |
| LL41 | 5 | 22-8535 | | | | | | 100 | | | 29 | muy erosionado |
| LL41 | 6 | 22-8794 | | | | | | 100 | | | 40 | muy erosionado |
| M16 | 1 | 22-5186 | | | | | | 23 | 77 | | 22 | muy erosionado |
| M16 | 2 | 22-5193 | | | | | | 65 | 32 | | 22 | muy erosionado |
| M16 | 3 | 22-5200 | | | | | | 43 | 57 | | 30 | muy erosionado |
| M16 | 4 | 22-5207 | | | | 9 | | 39 | 52 | | 33 | erosionado |
| M16 | 5 | 22-5215 | | 3 | 7 | | | 33 | 58 | | 33 | erosionado |
| M16 | 6 | 22-5219 | | 4 | 27 | | | 52 | 37 | | 27 | erosionado |
| M16 | 7 | 22-5231 | | 17 | 17 | | | 66 | | | 18 | muy erosionado |
| M16 | 8 | 22-5234 | | | | 21 | | 79 | | | 14 | muy erosionado |
| M16 | 9 | 22-5240 | | | | | | 92 | 8 | | 13 | muy erosionado |
| M16 | 10 | 22-5242 | | | | 25 | | 75 | | | 4 | muy erosionado |
| M16 | 11 | 22-5244 | | | | | | 100 | | | 1 | muy erosionado |
| M17 | 1 | 22-5101 | | | | | | 100 | | | 1 | muy erosionado |
| M17 | 2 | 22-5105 | | | | | | 11 | 89 | | 9 | muy erosionado |
| M17 | 3 | 22-5111 | | | | | | 20 | 80 | | 20 | muy erosionado |
| M17 | 4 | 22-5116 | | | | | | 57 | 43 | | 23 | muy erosionado |
| M17 | 5 | 22-5125 | | | 3 | | | 11 | 87 | | 38 | erosionado |
| M17 | 6 | 22-5137 | | | | | | 29 | 71 | | 14 | muy erosionado |
| M17 | 7 | 22-5140 | | | | | | 25 | 75 | | 20 | muy erosionado |
| M17 | 8 | 22-5143 | | | | | | | 100 | | 3 | |
| M17 | 8 | 22-5148 | | | | | | 75 | 25 | | 12 | erosionado |
| M17 | 9 | 22-5150 | | | | | | 100 | | | 7 | muy erosionado |
| M17 | 10 | 22-5157 | | | | | | 100 | | | 5 | erosionado |
| M17 | 11 | 22-5158 | | | 25 | | | 75 | | | 4 | muy erosionado |
| M17 | 12 | 22-5167 | | | | | | | | | 0 | |
| M17 | 13 | 22-5168 | | | | | | | | | 0 | muy erosionado |
| MM36 | 3 | 22-9256 | | | | | | 64 | 36 | | 36 | muy erosionado |

| Unidad | Lote | FS | LF | ETF | LTF | TF | EC | LC | EPC | LPC | Núm. Diag. | Erosión |
|---|---|---|---|---|---|---|---|---|---|---|---|---|
| MM36 | 5 | 22-9290 | | | 8 | | | 84 | 8 | | 12 | muy erosionado |
| MM36 | 6 | 22-9309 | | | | | | 69 | 31 | | 16 | muy erosionado |
| MM36 | 7 | 22-9332 | | | | | | 100 | | | 7 | muy erosionado |
| MM36 | 8 | 22-9342 | | | | | | 84 | 16 | | 6 | muy erosionado |
| MM36 | 10 | 22-9383 | | | | | | 100 | | | 23 | muy erosionado |
| MM36 | 11 | 22-9402 | | | | | | 82 | 18 | | 11 | muy erosionado |
| MM36 | 2 | 22-9246 | | | | | | 14 | 86 | | 50 | muy erosionado |
| MM37 | 2 | 22-8513 | | | | | | 17 | 83 | | 46 | muy erosionado |
| MM37 | 3 | 22-8520 | | | | | | 11 | 89 | | 26 | muy erosionado |
| MM37 | 4 | 22-8525 | | | | | | 92 | 8 | | 36 | muy erosionado |
| MM37 | 5 | 22-8529 | | | | | | 100 | | | 11 | muy erosionado |
| MM37 | 6 | 22-8532 | | | | | | 100 | | | 13 | muy erosionado |
| MM37 | 8 | 22-9222 | | | | | 3 | 97 | | | 34 | muy erosionado |
| MM37 | 7 | 22-9195 | | 2 | | | | 98 | | | 48 | muy erosionado |
| MM38 | 1 | 22-8148 | | | | | | 37 | 63 | | 27 | muy erosionado |
| MM38 | 2 | 22-8152 | | | | | | 46 | 54 | | 39 | muy erosionado |
| MM38 | 3 | 22-8173 | | | | | | 60 | 40 | | 20 | muy erosionado |
| MM38 | 4 | 22-8179 | | | | | | 70 | | 30 | 10 | muy erosionado |
| MM38 | 5 | 22-8180 | | 20 | | | | 80 | | | 5 | muy erosionado |
| MM38 | 6 | 22-8187 | | | | | | 100 | | | 12 | muy erosionado |
| MM38 | 7 | 22-8200 | | | 2 | | | 89 | 9 | | 46 | erosionado |
| MU | 1 | 22-8829 | | | | 2 | 4 | 75 | 20 | | 51 | muy erosionado |
| MU11 | 3 | 22-9771 | | | | | | 100 | | | 28 | muy erosionado |
| MU11 | 4 | 22-9907 | | | 2 | | 2 | 96 | | | 92 | muy erosionado |
| MU11 | 1 | 22-9716 | | | 1 | | | 99 | | | 67 | muy erosionado |
| MU11 | 2 | 22-9753 | | | | | | 100 | | | 167 | muy erosionado |
| MU12 | 2 | 22-9844 | | | | | | 100 | | | 134 | muy erosionado |
| MU12 | 1 | 22-9805 | | | | | 0 | 100 | | | 295 | erosionado |

| Unidad | Lote | FS | LF | ETF | LTF | TF | EC | LC | EPC | LPC | Núm. Diag. | Erosión |
|---|---|---|---|---|---|---|---|---|---|---|---|---|
| MU13 | 1 | 22-9795 | | | | | | 100 | | | 246 | muy erosionado |
| MU13 | 2 | 22-9832 | | | | | 3 | 97 | | | 103 | muy erosionado |
| MU14 | 1 | 22-9928 | | | | | | 100 | | | 8 | muy erosionado |
| MU14 | 1 | 22-9953 | | 1 | 1 | | 4 | 93 | | | 90 | muy erosionado |
| MU15 | 1 | 22-9967 | | | | | 1 | 99 | | | 76 | muy erosionado |
| MU16 | 1 | 22-9978 | | | | | | 100 | | | 7 | muy erosionado |
| MU16 | 1 | 22-9977 | | | | | | 100 | | | 5 | muy erosionado |
| MU2 | 1 | 22-9037 | | | 1 | | | 99 | | | 160 | muy erosionado |
| MU2 | 1 | 22-5395 | | | | | | 20 | 80 | | 50 | muy erosionado |
| MU2 | 2 | 22-5407 | | | 6 | | | 60 | 34 | | 15 | muy erosionado |
| MU2 | 3 | 22-5414 | | | | | | 85 | 15 | | 13 | muy erosionado |
| MU2 | 4 | 22-5417 | | | | | | 72 | 28 | | 21 | muy erosionado |
| MU2 | 6 | 22-5420 | | | | | | 100 | | | 13 | muy erosionado |
| MU2 | 7 | 22-5425 | | | | | 3 | 97 | | | 37 | erosionado |
| MU2 | 8 | 22-5433 | | | 20 | | | 80 | | | 5 | muy erosionado |
| MU2 | 5 | 22-5431 | | | | | | 100 | | | 2 | muy erosionado |
| MU20 | 9 | 22-5445 | | | 20 | | | 80 | | | 20 | muy erosionado |
| MU3 | 1 | 22-9070 | | | | | | 100 | | | 19 | muy erosionado |
| MU4 | 1 | 22-9184 | | | | | | 100 | | | 1 | muy erosionado |
| MU4 | 2 | 22-9265 | | | 2 | 1 | 1 | 96 | | | 122 | muy erosionado |
| MU5 | 1 | 22-9267 | | | | | 1 | 99 | | | 341 | erosionado |
| MU6 | 1 | 22-9210 | | | | | | 98 | 2 | | 113 | muy erosionado |
| MU6 | 2 | 22-9346 | | | | | | | | | 0 | muy erosionado |
| MU6 | 2 | 22-9345 | | 1 | | | 1 | 98 | | | 154 | muy erosionado |
| MU6 | 2 | 22-9919 | | | | | | 100 | | | 5 | muy erosionado |
| MU6 | 1 | 22-9218 | | | | | | 100 | | | 1 | muy erosionado |
| MU7 | 3 | 22-9458 | | | | | | 38 | 62 | | 8 | muy erosionado |
| MU7 | 4 | 22-9869 | | | | | | 28 | 72 | | 14 | muy erosionado |

| Unidad | Lote | FS | LF | ETF | LTF | TF | EC | LC | EPC | LPC | Núm. Diag. | Erosión |
|---|---|---|---|---|---|---|---|---|---|---|---|---|
| MU7 | 1 | 22-9425 | | | | | | 16 | 84 | | 7 | muy erosionado |
| MU7 | 2 | 22-9440 | | | | | | | 100 | | 2 | muy erosionado |
| MU8 | 1 | 22-9501 | | | | | 0 | 99 | 1 | | 396 | erosionado |
| MU9 | 1 | 22-9596 | | | 0 | | | 100 | | | 260 | muy erosionado |
| MU9 | 2 | 22-9826 | | | | | | 100 | | | 25 | muy erosionado |
| MU9 | 3 | 22-9852 | | | | | | 100 | | | 10 | muy erosionado |
| Muro | | 22-9972 | | | | | | 100 | | | 8 | |
| NN31 | 2 | 22-8587 | | | | | | 22 | 78 | | 85 | muy erosionado |
| NN31 | 3 | 22-8598 | | | | | | 23 | 77 | | 31 | muy erosionado |
| NN31 | 4 | 22-8625 | | | | | | 60 | 40 | | 54 | muy erosionado |
| NN33 | 3 | 22-9148 | | | | | | 26 | 74 | | 19 | muy erosionado |
| NN33 | 4 | 22-9151 | | | | | | 84 | 16 | | 25 | muy erosionado |
| NN33 | 2 | 22-9135 | | | | | | 20 | 80 | | 40 | muy erosionado |
| NN36 | 2 | 22-8579 | | | | | | 43 | 57 | | 94 | muy erosionado |
| NN36 | 3 | 22-8591 | | | | | | 63 | 37 | | 35 | muy erosionado |
| NN36 | 4 | 22-8601 | | | 3 | | | 82 | 15 | | 33 | muy erosionado |
| NN36 | 5 | 22-8608 | | | | | | 100 | | | 30 | muy erosionado |
| NN36 | 6 | 22-8615 | | | | | | 100 | | | 5 | muy erosionado |
| NN36 | 7 | 22-8621 | | | | | | 100 | | | 5 | muy erosionado |
| NN36 | 8 | 22-8632 | | | | | | 100 | | | 65 | muy erosionado |
| NN36 | 9 | 22-8657 | | | 1 | | 1 | 98 | | | 63 | muy erosionado |
| NN36 | 10 | 22-8670 | | | | 5 | 7 | 88 | | | 40 | muy erosionado |
| NN36 | 11 | 22-8676 | | | | | | 100 | | | 15 | muy erosionado |
| NN37 | 1 | 22-9459 | | | | | | 34 | 66 | | 9 | muy erosionado |
| NN37 | 2 | 22-9477 | | | | | | 41 | 59 | | 27 | muy erosionado |
| NN37 | 5 | 22-9546 | | | 8 | | | 67 | 25 | | 12 | muy erosionado |
| NN37 | 7 | 22-9572 | | | | | | 100 | | | 79 | muy erosionado |
| NN37 | 6 | 22-9560 | | | | | | 100 | | | 27 | muy erosionado |

| Unidad | Lote | FS | LF | ETF | LTF | TF | EC | LC | EPC | LPC | Núm. Diag. | Erosión |
|---|---|---|---|---|---|---|---|---|---|---|---|---|
| NN37 | 4 | 22-9518 | | | | | | 92 | 8 | | 26 | muy erosionado |
| NN37 | 8 | 22-9606 | | | 2 | | | 98 | | | 52 | erosionado |
| NN38 | 1 | 22-8689 | | 2 | | | | 43 | 55 | | 60 | muy erosionado |
| NN38 | 2 | 22-8697 | | | | | 4 | 58 | 38 | | 53 | muy erosionado |
| NN38 | 3 | 22-8708 | | | | | 5 | 85 | 10 | | 22 | muy erosionado |
| NN38 | 4 | 22-8722 | | | | | | 100 | | | 10 | muy erosionado |
| NN38 | 5 | 22-8730 | | | | 3 | | 97 | | | 34 | muy erosionado |
| NN38 | 6 | 22-8743 | | | | | | 100 | | | 78 | muy erosionado |
| NN38 | 7 | 22-8757 | | | | | | 100 | | | 25 | muy erosionado |
| NN38 | 8 | 22-8771 | | | 5 | | | 95 | | | 39 | muy erosionado |
| NN38 | 9 | 22-8784 | | | 6 | | | 94 | | | 32 | muy erosionado |
| NN38 | 11 | 22-8813 | | | 6 | | 2 | 92 | | | 62 | muy erosionado |
| NN38 | 10 | 22-8791 | | | 5 | | | 95 | | | 20 | muy erosionado |
| NN38 | 9 | 22-9271 | | | | | | 100 | | | 2 | muy erosionado |
| NN38 | 9 | 22-9270 | | | | | | 100 | | | 5 | |
| NN40 | 3 | 22-9118 | | | | | | 29 | 71 | | 51 | muy erosionado |
| NN40 | 4 | 22-9142 | | | 4 | | | 92 | 4 | | 27 | muy erosionado |
| NN40 | 2 | 22-9104 | | 4 | | | | 33 | 63 | | 43 | muy erosionado |
| NN44 | 2 | 22-8582 | | | | | | 33 | 67 | | 15 | muy erosionado |
| NN44 | 3 | 22-8604 | | | | | | 96 | 4 | | 46 | muy erosionado |
| NN44 | 4 | 22-8612 | | | | | | 100 | | | 20 | muy erosionado |
| NN44 | 5 | 22-8618 | | | | | | 90 | 10 | | 10 | muy erosionado |
| NN44 | 7 | 22-8631 | | | | | | 100 | | | 15 | muy erosionado |
| NN44 | 8 | 22-8646 | | | | | | 100 | | | 16 | muy erosionado |
| NN44 | 8 | 22-8651 | | | | | | 100 | | | 2 | muy erosionado |
| NN44 | 9 | 22-8664 | | | | 4 | | 96 | | | 25 | muy erosionado |
| NN44 | 10 | 22-8674 | | | 12 | | | 88 | | | 17 | muy erosionado |
| NN44 | 11 | 22-8683 | | 2 | 12 | | 5 | 81 | | | 42 | muy erosionado |

| Unidad | Lote | FS | LF | ETF | LTF | TF | EC | LC | EPC | LPC | Núm. Diag. | Erosión |
|---|---|---|---|---|---|---|---|---|---|---|---|---|
| O14 | 1 | 22-5342 | | | | | | 20 | 80 | | 24 | muy erosionado |
| O14 | 2 | 22-5346 | | | | | | 46 | 54 | | 13 | muy erosionado |
| O14 | 4 | 22-5355 | | | | | | 62 | 38 | | 21 | muy erosionado |
| O14 | 5 | 22-5359 | | | | | | 100 | | | 10 | muy erosionado |
| O19 | 1 | 22-5366 | | | | | | 33 | 67 | | 12 | muy erosionado |
| O19 | 2 | 22-5369 | | | | | | 13 | 87 | | 22 | muy erosionado |
| O19 | 3 | 22-5377 | | | | | | 35 | 65 | | 31 | muy erosionado |
| O19 | 4 | 22-5380 | | | | | | 100 | | | 9 | muy erosionado |
| O19 | 5 | 22-5384 | | | | | | 100 | | | 17 | muy erosionado |
| OO32 | 2 | 22-9113 | | 2 | | | | 20 | 79 | | 56 | muy erosionado |
| OO32 | 3 | 22-9127 | | | | | | 3 | 97 | | 31 | muy erosionado |
| OO34 | 3 | 22-9163 | | | | | | 32 | 68 | | 50 | muy erosionado |
| OO34 | 4 | 22-9169 | | | | | | 19 | 81 | | 26 | muy erosionado |
| OO34 | 5 | 22-9175 | | | | | | 70 | 30 | | 44 | muy erosionado |
| OO34 | 6 | 22-9188 | | | | | | 97 | 3 | | 29 | muy erosionado |
| OO34 | 7 | 22-9471 | | | | | | 100 | | | 13 | muy erosionado |
| OO34 | 10 | 22-9499 | | | | | | 100 | | | 3 | muy erosionado |
| OO34 | 11 | 22-9516 | | | | | | | | | 0 | muy erosionado |
| OO34 | 9 | 22-9497 | | | | | | 100 | | | 1 | muy erosionado |
| OO34 | 2 | 22-9153 | | | | | | 21 | 79 | | 23 | muy erosionado |
| OO34 | 8 | 22-9480 | | | | | | 100 | | | 9 | muy erosionado |
| OO34 | 13 | 22-9553 | | | | | | 100 | | | 13 | muy erosionado |
| OO34 | 12 | 22-9540 | | | | | | 100 | | | 8 | muy erosionado |
| OO38 | 1 | 22-8118 | | | | | | 33 | 43 | | 40 | muy erosionado |
| OO38 | 3 | 22-8144 | | | | | | 43 | 57 | | 28 | muy erosionado |
| OO38 | 4 | 22-8157 | | | | | | 29 | 71 | | 34 | muy erosionado |
| OO38 | 5 | 22-8162 | | | | | 3 | 90 | 7 | | 29 | muy erosionado |

| Unidad | Lote | FS | LF | ETF | LTF | TF | EC | LC | EPC | LPC | Núm. Diag. | Erosión |
|---|---|---|---|---|---|---|---|---|---|---|---|---|
| OO38 | 7 | 22-8178 | | | | | | 100 | | | 30 | muy erosionado |
| OO38 | 8 | 22-8189 | | | | | | 100 | | | 153 | erosionado |
| OO38 | 9 | 22-8207 | | | | | | 100 | | | 109 | muy erosionado |
| OO38 | 10 | 22-8215 | | | | | | 100 | | | 87 | |
| OO38 | 10 | 22-8227 | | | | | | 95 | 5 | | 20 | muy erosionado |
| OO38 | 10 | 22-8230 | | | | | | 100 | | | 12 | good |
| OO38 | 11 | 22-8267 | | 2 | 2 | | | 97 | | | 58 | erosionado |
| OO38 | 12 | 22-8285 | | | 1 | | | 99 | | | 75 | |
| OO38 | 13 | 22-8305 | | 3 | 3 | | 3 | 91 | | | 33 | muy erosionado |
| OO41 | 2 | 22-9051 | | | | | | 19 | 81 | | 21 | muy erosionado |
| OO41 | 2 | 22-9067 | | | | | | 49 | 51 | | 37 | |
| OO41 | 3 | 22-9088 | | 2 | | | 4 | 57 | 37 | | 51 | muy erosionado |
| OO41 | 4 | 22-9101 | | | | | | 88 | 12 | | 8 | muy erosionado |
| OO32 | 4 | 22-9146 | | | | | | 48 | 52 | | 44 | muy erosionado |
| OO44 | 1 | 22-9002 | | | | | | 50 | 50 | | 18 | muy erosionado |
| OO44 | 2 | 22-9015 | | 3 | | | 3 | 36 | 59 | | 39 | muy erosionado |
| OO44 | 3 | 22-9019 | | | | | | 44 | 56 | | 9 | muy erosionado |
| OO44 | 4 | 22-9044 | | | | | | | | | 0 | muy erosionado |
| OO44 | 5 | 22-9045 | | | | | | 100 | | | 5 | muy erosionado |
| PP38 | 13 | 22-8554 | | | 7 | | | 93 | | | 59 | good |
| PP31 | 2 | 22-9233 | | | | | | 10 | 90 | | 42 | muy erosionado |
| PP32 | 2 | 22-9379 | | | | | | 23 | 77 | | 30 | muy erosionado |
| PP32 | 3 | 22-9392 | | | | | | 12 | 88 | | 24 | muy erosionado |
| PP38 | 1 | 22-8418 | | | | | | 25 | 75 | | 35 | muy erosionado |
| PP38 | 2 | 22-8431 | | | 7 | | 13 | 80 | | | 15 | muy erosionado |
| PP38 | 3 | 22-8454 | | | 1 | | 1 | 34 | 64 | | 85 | muy erosionado |
| PP38 | 4 | 22-8465 | | | | | | 73 | 27 | | 48 | muy erosionado |
| PP38 | 5 | 22-8475 | | | 5 | | | 91 | 5 | | 44 | muy erosionado |
| PP38 | 6 | 22-8484 | | | | | | 100 | | | 36 | muy erosionado |

| Unidad | Lote | FS | LF | ETF | LTF | TF | EC | LC | EPC | LPC | Núm. Diag. | Erosión |
|---|---|---|---|---|---|---|---|---|---|---|---|---|
| PP38 | 8 | 22-8495 | | | | | | 100 | | | 10 | muy erosionado |
| PP38 | 9 | 22-8505 | | | 3 | | | 97 | | | 38 | muy erosionado |
| PP38 | 10 | 22-9460 | | | | | | 100 | | | 135 | muy erosionado |
| PP38 | 11 | 22-8542 | | | | | | 100 | | | 109 | muy erosionado |
| PP38 | 12 | 22-8547 | | | | | | 100 | | | 118 | excellent |
| PP38 | 14 | 22-8563 | | | | | | 100 | | | 6 | erosionado |
| PP43 | 2 | 22-9637 | | | | | | 28 | 72 | | 25 | muy erosionado |
| PP43 | 3 | 22-9647 | | | | | | 41 | 59 | | 22 | muy erosionado |
| PP43 | 4 | 22-9649 | | | | | | 23 | 77 | | 17 | muy erosionado |
| PP43 | 5 | 22-9659 | | | | | | 80 | 20 | | 5 | muy erosionado |
| PP43 | 6 | 22-9668 | | 3 | 3 | | 3 | 88 | 3 | | 33 | muy erosionado |
| PP43 | 7 | 22-9684 | | | 6 | | 6 | 88 | | | 17 | muy erosionado |
| PP43 | 8 | 22-9704 | | | | | 6 | 94 | | | 50 | muy erosionado |
| PP44 | 1 | 22-8925 | | | | | | | 100 | | 8 | muy erosionado |
| PP44 | 2 | 22-8939 | | | | | | 20 | 80 | | 24 | muy erosionado |
| PP44 | 3 | 22-8955 | | | | | | 34 | 66 | | 112 | muy erosionado |
| PP44 | 4 | 22-8964 | | | | | | 64 | 36 | | 25 | muy erosionado |
| PP44 | 5 | 22-8999 | | | | | | 100 | | | 12 | muy erosionado |
| PP44 | 6 | 22-9367 | | | | | | 100 | | | 37 | muy erosionado |
| PP44 | 7 | 22-9388 | | | | | | 94 | 6 | | 16 | muy erosionado |
| PP44 | 8 | 22-9399 | | | 9 | | 5 | 86 | | | 43 | muy erosionado |
| PP44 | 9 | 22-9386 | | 17 | | | 25 | 58 | | | 24 | muy erosionado |
| PP44 | 10 | 22-9419 | | | | | 26 | 74 | | | 27 | muy erosionado |
| QQ31 | 1 | 22-9256 | | | | 2 | 2 | 27 | 70 | | 64 | muy erosionado |
| QQ32 | 3 | 22-9322 | | | | | | 30 | 70 | | 26 | muy erosionado |
| QQ32 | 2 | 22-9300 | | | | | | 10 | 90 | | 29 | muy erosionado |
| QQ34 | 4 | 22-9629 | | | | | | 12 | 88 | | 41 | muy erosionado |
| QQ34 | 7 | 22-9661 | | | | | | 23 | 77 | | 17 | muy erosionado |

| Unidad | Lote | FS | LF | ETF | LTF | TF | EC | LC | EPC | LPC | Núm. Diag. | Erosión |
|---|---|---|---|---|---|---|---|---|---|---|---|---|
| QQ34 | 3 | 22-9613 | | | | | | 15 | 85 | | 53 | muy erosionado |
| QQ34 | 8 | 22-9676 | | | | | | 100 | | | 40 | muy erosionado |
| QQ34 | 2 | 22-9582 | | | | | | 40 | 60 | | 30 | muy erosionado |
| QQ34 | 5 | 22-9644 | | | | | | 60 | 40 | | 20 | muy erosionado |
| QQ36 | 2 | 22-9589 | | | | | | 13 | 87 | | 15 | muy erosionado |
| QQ36 | 3 | 22-9624 | | | | | | 100 | | | 17 | muy erosionado |
| QQ36 | 5 | 22-9652 | | | | | | 18 | 82 | | 27 | muy erosionado |
| QQ36 | 6 | 22-9667 | | | | | | 73 | 27 | | 11 | muy erosionado |
| QQ36 | 7 | 22-9696 | | | | | | 81 | 19 | | 21 | muy erosionado |
| QQ36 | 4 | 22-9633 | | | | | | 30 | 70 | | 26 | muy erosionado |
| QQ38 | 1 | 22-8125 | | | | | | 44 | 56 | | 45 | muy erosionado |
| QQ38 | 2 | 22-8132 | | | | | | 35 | 65 | | 34 | muy erosionado |
| OO38 | 2 | 22-8134 | | 1 | | | | 36 | 63 | | 78 | muy erosionado |
| QQ38 | 3 | 22-8140 | | | | | | 43 | 57 | | 44 | muy erosionado |
| QQ38 | 4 | 22-8147 | | | | | | 74 | 26 | | 46 | muy erosionado |
| QQ38 | 5 | 22-8160 | | | 2 | | 2 | 92 | 4 | | 51 | erosionado |
| QQ38 | 6 | 22-8165 | | | | | 7 | 93 | | | 14 | muy erosionado |
| QQ38 | 7 | 22-8176 | | 3 | | | | 86 | 11 | | 36 | erosionado |
| QQ38 | 7 | 22-8177 | | | | | | | | | 0 | muy erosionado |
| QQ38 | 8 | 22-8185 | | 1 | | | 1 | 98 | | | 90 | erosionado |
| QQ38 | 9 | 22-8195 | | | | | | 100 | | | 720 | erosionado |
| QQ38 | 10 | 22-8210 | | | | | | 100 | | | 34 | erosionado |
| QQ38 | 11 | 22-8274 | | 1 | | | 1 | 98 | | | 78 | erosionado |
| QQ38 | 12 | 22-8292 | | | 3 | | | 97 | | | 66 | erosionado |
| QQ38 | 13 | 22-8306 | | 10 | 19 | | | 71 | | | 21 | muy erosionado |
| QQ38 | 13 | 22-8336 | | | | | | 100 | | | 5 | muy erosionado |
| QQ41 | 4 | 22-9575 | | | | | 2 | 60 | 38 | | 40 | muy erosionado |
| QQ41 | 6 | 22-9592 | | | | | | 100 | | | 9 | muy erosionado |
| QQ41 | 7 | 22-9620 | | | | 4 | | 88 | 8 | | 24 | muy erosionado |

| Unidad | Lote | FS | LF | ETF | LTF | TF | EC | LC | EPC | LPC | Núm. Diag. | Erosión |
|---|---|---|---|---|---|---|---|---|---|---|---|---|
| QQ41 | 2 | 22-9559 | | | | | | 22 | 78 | | 9 | muy erosionado |
| QQ41 | 3 | 22-9566 | | | | | | 25 | 75 | | 25 | muy erosionado |
| QQ43 | 1 | 22-8864 | | | | | | 67 | 33 | | 6 | muy erosionado |
| QQ43 | 2 | 22-8871 | | | | | | 24 | 76 | | 25 | muy erosionado |
| QQ43 | 3 | 22-8880 | | | | | | 10 | 90 | | 28 | muy erosionado |
| QQ43 | 4 | 22-8889 | | | | | | 45 | 55 | | 46 | muy erosionado |
| QQ43 | 5 | 22-8904 | | | | 3 | | 97 | | | 39 | muy erosionado |
| QQ43 | 6 | 22-9049 | | | | | | 100 | | | 12 | muy erosionado |
| QQ43 | 6 | 22-9456 | | | | | | 100 | | | 1 | muy erosionado |
| QQ43 | 6 | 22-9449 | | | 2 | | | 98 | | | 38 | muy erosionado |
| QQ43 | 7 | 22-9475 | | | | | 3 | 97 | | | 30 | muy erosionado |
| QQ43 | 8 | 22-9488 | | | | 6 | | 94 | | | 30 | muy erosionado |
| QQ43 | 9 | 22-9510 | | | | | 2 | 98 | | | 47 | muy erosionado |
| QQ43 | 10 | 22-9532 | | | 11 | | | 89 | | | 9 | muy erosionado |
| QQ44 | 1 | 22-8752 | | | | | | 40 | 60 | | 10 | muy erosionado |
| QQ44 | 2 | 22-8764 | | | | | | 25 | 75 | | 24 | muy erosionado |
| QQ44 | 3 | 22-8769 | | | | | | 35 | 65 | | 37 | muy erosionado |
| QQ44 | 4 | 22-8781 | | | | | | 60 | 40 | | 60 | muy erosionado |
| QQ44 | 5 | 22-8853 | | | | | | 91 | 9 | | 140 | muy erosionado |
| QQ44 | 5 | 22-9578 | | | | | | 62 | 38 | | 8 | muy erosionado |
| QQ44 | 6 | 22-9284 | | | | | 2 | 98 | | | 95 | erosionado |
| QQ44 | 7 | 22-9296 | | | | | 3 | 97 | | | 61 | muy erosionado |
| QQ44 | 8 | 22-9303 | | | 12 | | 3 | 85 | | | 33 | muy erosionado |
| QQ44 | 9 | 22-9327 | | | 6 | | 6 | 88 | | | 16 | muy erosionado |
| QQ44 | 10 | 22-9353 | | | 20 | | 30 | 50 | | | 10 | muy erosionado |
| superficie | | 22-5005 | | | | | | | | | 0 | |
| Superficie | | 22-8004 | | | | | | 50 | 50 | | 4 | muy erosionado |
| C15 | 2 | 22-5273 | | | | | | 11 | 89 | | 28 | muy erosionado |

| Unidad | Lote | FS | LF | ETF | LTF | TF | EC | LC | EPC | LPC | Núm. Diag. | Erosión |
|---|---|---|---|---|---|---|---|---|---|---|---|---|
| P19 | 11 | 22-1340 | | | | | | | | | 0 | muy erosionado |
| P19 | 14 | 22-1437 | | | 35 | 2 | 28 | 35 | | | 14 | muy erosionado |
| P19 | 12 | 22-1369 | | | | | | 100 | | | 1 | muy erosionado |
| P19 | 12 | 22-1392 | | | | | | | 100 | | 1 | muy erosionado |
| P19 | 12 | 22-1394 | | | | | | | | | 0 | |
| P19 | 10 | 22-1306 | | | | | | | | | 0 | |
| MU10 | 1 | 22-9738 | | | | | 2 | 98 | | | 98 | muy erosionado |
| MU28 | 1 | 22-2735 | | | | | | 27 | 73 | | 26 | |
| B127-140 | | 22-3752 | | | 20 | | 70 | 10 | | | 10 | muy erosionado |
| B127-140 | | 22-3752 | | | | | 86 | 14 | | | 7 | muy erosionado |
| B134-147 | | 22-3123 | | | | | 10 | 90 | | | 10 | muy erosionado |
| B120-133 | | 22-3461 | | 13 | 21 | | 46 | 21 | | | 24 | muy erosionado |

**Tabla C.4. Porcentaje de cerámica diagnóstica por período para cada contexto de las muestras de flotación (LF=Formativo Tardío; ETF=Formativo Terminal temprano; LTF=Formativo Terminal temprano; Formativo Terminal general; EC=Clásico Temprano; LC=Clásico Tardío; EPC=Posclásico Temprano; LPC=Posclásico Tardío. Núm. Diag.=número de tiestos diagnósticos**

| Op. | Unidad | Lote | FS | LF | ETF | LTF | TF | EC | LC | EPC | LPC | Núm. Diag. | Erosión |
|---|---|---|---|---|---|---|---|---|---|---|---|---|---|
| A | MU29 | 6 | 22-6122 | | | | | | | | | 0 | muy erosionado |
| B | MM38 | 7 | 22-6175 | | | | | | 100 | | | 1 | muy erosionado |
| B | B15 | 2 | 22-6110 | | | | | | | 100 | | 9 | muy erosionado |
| A | J17 | 13 | 22-6160 | | | | | | 100 | | | 5 | muy erosionado |
| A | MU7 | 27 | 22-6177 | | | | | | | | | 0 | muy erosionado |
| A | O10 | 5 | 22-6056 | | | | | | 100 | | | 5 | muy erosionado |
| A | MU29 | 6 | 22-6103 | | | | | | | | | 0 | muy erosionado |
| B | MU6 | 2 | 22-6212 | | | | | | 100 | | | 6 | muy erosionado |
| A | F24 | 8 | 22-0867 | | | | | | 20 | 80 | | 10 | muy erosionado |
| A | J17 | 8 | 22-0860 | | | | | | 56 | 44 | | 9 | muy erosionado |
| B | NN38 | 9 | 22-6185 | | | | | | | | | 0 | muy erosionado |
| A | MU20 | 12 | 22-6137 | | | | | | | | | 0 | muy erosionado |
| A | N10 | 2 | 22-6131 | | | | | | | | | 0 | muy erosionado |
| A | MU7 | 27 | 22-6120 | | | | | | | | | 0 | muy erosionado |
| A | T17 | 9 | 22-6126 | | | | | | | 100 | | 3 | muy erosionado |
| A | O10 | 8 | 22-6188 | | | | | | | | | 0 | muy erosionado |
| A | U17 | 10 | 22-6221 | | | | | | | 100 | | 1 | muy erosionado |
| A | MU7 | 27 | 22-6116 | | | | | | | | | 0 | muy erosionado |
| B | MU4 | 1 | 22-6130 | | | | | | | | | 0 | muy erosionado |
| B | I17 | 5 | 22-6142 | | | | | | | | | 0 | muy erosionado |
| A | MU29 | 6 | 22-6097 | | | | | | | | | 0 | muy erosionado |
| A | M20 | 9 | 22-6182 | | | | | | | | | 0 | muy erosionado |
| A | J17 | 7 | 22-0900 | | | | | | 33 | 67 | | 3 | muy erosionado |
| B | NN36 | 10 | 22-0837 | | | | | | 100 | | | 2 | muy erosionado |
| B | M17 | 8 | 22-0822 | | | | | | | | | 0 | muy erosionado |
| A | MU27 | 3 | 22-6044 | | | | | | 100 | | | 1 | muy erosionado |
| A | MU11 | 7 | 22-0835 | | | | | | 20 | 80 | | 10 | muy erosionado |
| A | F24 | 16 | 22-0831 | | | | | 8 | 15 | 77 | | 13 | muy erosionado |
| A | K17 | 6 | 22-6216 | | | | | | 30 | 70 | | 10 | muy erosionado |
| A | U17 | 9 | 22-0888 | | | | | | 100 | | | 3 | muy erosionado |
| A | MU2 | 10 | 22-6153 | | 10 | 10 | | | 30 | 50 | | 10 | muy erosionado |
| B | UU32 | 4 | 22-0827 | | | | | | | 100 | | 4 | muy erosionado |
| A | N10 | 1 | 22-0842 | | | | | | 100 | | | 2 | muy erosionado |
| B | JJ35 | 8 | 22-0873 | | | | | | 100 | | | 5 | muy erosionado |
| B | KK36 | 14 | 22-0825 | | | | | | 100 | | | 3 | muy erosionado |

| | | | | | | | | | | | | | |
|---|---|---|---|---|---|---|---|---|---|---|---|---|---|
| B | JJ39 | 9 | 22-0865 | | | | | | 100 | | | 16 | muy erosionado |
| B | QQ38 | 13 | 22-0816 | | | | | | 100 | | | 5 | muy erosionado |
| A | MU27 | 2 | 22-0892 | | | | | | 17 | 83 | | 6 | muy erosionado |
| A | F24 | 10 | 22-0823 | | | | | | 40 | 60 | | 5 | muy erosionado |
| A | F23 | 12 | 22-0819 | | | | | | 50 | 50 | | 2 | muy erosionado |
| A | Q17 | 8 | 22-6173 | | | 50 | | | 50 | | | 2 | muy erosionado |
| A | X15 | 4 | 22-6148 | | | | | | 20 | 80 | | 5 | muy erosionado |
| B | MU5 | 1 | 22-6121 | | | | | | 100 | | | 1 | muy erosionado |
| A | L13 | 19 | 22-6200 | | | | | | 100 | | | 1 | muy erosionado |
| B | MU2 | 8 | 22-6077 | | | | | | 100 | | | 11 | muy erosionado |
| A | MU9 | 5 | 22-0853 | | | | | | 100 | | | 1 | muy erosionado |
| B | PP38 | 14 | 22-6004 | | | | | | 100 | | | 1 | muy erosionado |
| A | Q10 | 9 | 22-0829 | | | | | | 48 | 60 | | 10 | muy erosionado |
| B | JJ40 | 5 | 22-0866 | | | | | | 100 | | | 8 | muy erosionado |
| B | OO34 | 2 | 22-0832 | | | | | | 40 | 60 | | 10 | muy erosionado |
| B | KK36 | 13 | 22-0820 | | | | | | 100 | | | 4 | muy erosionado |
| A | MU11 | 5 | 22-0851 | | | | | | 100 | | | 1 | |
| A | O10 | 5 | 22-0818 | | | | | | 33 | 67 | | 3 | muy erosionado |
| B | NN36 | 9 | 22-0863 | | | | | | 100 | | | 2 | muy erosionado |
| A | MU30 | 1 | 22-0880 | | | | | | 100 | | | 1 | muy erosionado |
| A | MU11 | 1 | 22-0833 | | | | | | 11 | 89 | | 9 | muy erosionado |
| A | MU1 | 21 | 22-0850 | | | | | | 100 | | | 4 | muy erosionado |
| A | Q10 | 9 | 22-0838 | | | | | | 67 | 33 | | 6 | muy erosionado |
| A | MU20 | 12 | 22-6154 | | | | | | 100 | | | 3 | muy erosionado |
| A | MU1 | 25 | 22-0980 | | | | | | 100 | | | 1 | muy erosionado |
| A | MU8 | 5 | 22-0854 | | | | | | 100 | | | 1 | muy erosionado |
| A | F24 | 14 | 22-0830 | | | | | | 67 | 33 | | 3 | muy erosionado |
| A | Q11 | 8 | 22-0861 | | | | | | 67 | 33 | | 3 | muy erosionado |
| B | MU14 | 1 | 22-6032 | | | | | | 100 | | | 2 | muy erosionado |
| B | QQ43 | 6 | 22-0864 | | | | | | 100 | | | 2 | muy erosionado |
| A | U17 | 7 | 22-6194 | | | | | | 75 | 25 | | 4 | muy erosionado |
| A | MU11 | 3 | 22-0817 | | | | | | 20 | 80 | | 5 | muy erosionado |
| A | F23 | 5 | 22-0859 | | | | | | 6 | 94 | | 17 | muy erosionado |
| A | N10 | 5 | 22-0841 | | | | | | 100 | | | 6 | muy erosionado |
| A | M13 | 4 | 22-0826 | | | | | | 50 | 50 | | 2 | muy erosionado |
| B | HH39 | 7 | 22-0862 | | | | | 25 | 75 | | | 4 | muy erosionado |
| A | Q10 | 9 | 22-0840 | | | | | | 50 | 50 | | 2 | muy erosionado |
| A | F23 | 13 | 22-0843 | | | | | | 50 | 50 | | 2 | muy erosionado |
| B | QQ44 | 5 | 22-0839 | | | | | | 100 | | | 9 | muy erosionado |
| A | MU27 | 1 | 22-0824 | | | | | | 100 | | | 2 | muy erosionado |
| A | MU28 | 1 | 22-0885 | | | | | | 40 | 60 | | 5 | muy erosionado |
| B | MU12 | 3 | 22-6048 | | | | | | 100 | | | 13 | muy erosionado |
| A | F24 | 4 | 22-0857 | | | | | | | 100 | | 3 | muy erosionado |

| | | | | | | | | | | | | | |
|---|---|---|---|---|---|---|---|---|---|---|---|---|---|
| A | MU16 | 13 | 22-0905 | | | | | | 79 | 21 | | 14 | muy erosionado |
| A | MU16 | 9 | 22-0834 | | | | | 6 | 94 | | | 16 | muy erosionado |
| A | MU20 | 12 | 22-0821 | | | | | | | | | 0 | muy erosionado |
| A | MU3 | 22 | 22-0856 | | | | | | | | | 0 | muy erosionado |
| A | MU29 | 6 | 22-6100 | | | | | | | | | 0 | muy erosionado |
| A | MU17 | 16 | 22-0836 | | | | | | | | | 0 | muy erosionado |
| A | MU29 | 5 | 22-6138 | | | | | | | | | 0 | muy erosionado |
| A | M20 | 3 | 22-0844 | | | | | | | | | 0 | muy erosionado |
| A | MU20 | 11 | 22-6069 | | | | | | | | | 0 | muy erosionado |
| A | MU32 | 1 | 22-6169 | | | | | | | | | 0 | muy erosionado |
| B | MU7 | 1 | 22-6222 | | | | | | | | | 0 | muy erosionado |
| A | MU32 | 1 | 22-6166 | | | | | | | | | 0 | muy erosionado |
| B | MU5 | 1 | 22-6209 | | | | | | | | | 0 | muy erosionado |
| A | P20 | 4 | 22-0847 | | | | | | | | | 0 | muy erosionado |
| A | MU27 | 10 | 22-6031 | | | | | | | | | 0 | muy erosionado |
| A | MU29 | 4 | 22-6141 | | | | | | | | | 0 | muy erosionado |
| A | MU9 | 13 | 22-0897 | | | | | | | | | 0 | muy erosionado |
| A | MU29 | 4 | 22-6106 | | | | | | | | | 0 | muy erosionado |
| B | H12 | E2-3 | 22-6064 | | | | | | | | | 0 | muy erosionado |
| A | MU27 | 8 | 22-0852 | | | | | | | | | 0 | muy erosionado |
| A | MU27 | 9 | 22-0855 | | | | | | | | | 0 | muy erosionado |
| A | MU27 | 1 | 22-0849 | | | | | | | | | 0 | muy erosionado |
| A | MU27 | 27 | 22-6117 | | | | | | | | | 0 | muy erosionado |
| A | M14 | 9 | 22-6201 | | | | | | | | | 0 | muy erosionado |
| A | MU3 | 3 | 22-6181 | | | | | | | | | 0 | muy erosionado |
| A | MU20 | 11 | 22-6161 | | | | | | | | | 0 | muy erosionado |
| A | Q17 | 6 | 22-0846 | | | | | | | | | 0 | muy erosionado |
| A | MU13 | 6 | 22-0858 | | | | | | | | | 0 | muy erosionado |
| A | MU31 | 10 | 22-6018 | | | | | | | | | 0 | muy erosionado |
| B | H13 | E6 | 22-6079 | | | | | | | | | 0 | muy erosionado |
| A | MU27 | 4 | 22-0845 | | | | | | | | | 0 | muy erosionado |
| B | F17 | E5 | 22-6025 | | | | | | | | | 0 | muy erosionado |
| A | MU35 | 1 | 22-6165 | | | | | | | | | 0 | muy erosionado |
| A | O10 | 17 | 22-0848 | | | | | | | | | 0 | muy erosionado |
| A | Q10 | 9 | 22-0828 | | | | | | | | | 0 | muy erosionado |
| A | M13 | 10 | 22-6125 | | | | | | | | | 0 | muy erosionado |

**Tabla C.5. Materiales especiales excavados por el PRV-2022**

| Op. | Unidad | #FS | Lote | Material | Notas |
|---|---|---|---|---|---|
| A | MU16 | 22-400 | 6 | Ornamento tubular | |
| A | MU27 | 22-2753 | 1 | Orejera | |
| A | X15 | 22-2255 | 3 | Ornamento | |
| B | II38 | 22-8265 | 10 | Ornamento | |
| B | MU12 | 22-9814 | 1 | Ornamento | |
| B | HH37 | 22-9903 | 4 | Ornamento | |
| B | JJ34 | 22-9221 | 7 | Ornamento | |
| B | PP44 | 22-9372 | 6 | Orejera | |
| A | MU27 | 22-2774 | 2 | Orejera | |
| A | J13 | 22-231 | 4 | Ornamento tubular | |
| B | MU13 | 22-9835 | 2 | Ornamento | Bolsa 1/2 |
| B | NN37 | 22-9520 | 4 | Ornamento | |
| B | OO32 | 22-9134 | 3 | Ornamento | |
| B | LL35 | 22-476 | 11 | Orejera | |
| B | MU9 | 22-9602 | 1 | Orejera | Bolsa 1/2 |
| B | MU11 | 22-9722 | 1 | Ornamento | |
| B | MU12 | 22-9813 | 1 | Ornamento | |
| A | K17 | 22-480 | 13 | Ornamento tubular | |
| A | J17 | 22-306 | 9 | Ornamento tubular, Bolita de ceramica | |
| A | MU7 | 22-507 | 3 | Orejera, Ornamento tubular | |
| B | LL32 | 22-468 | 6 | Ornamento tubular | |
| B | MU13 | 22-9802 | 1 | Ornamento | |
| B | HH34 | 22-521 | 4 | Orejera | |
| B | MU2 | 22-5418 | 4 | Orejera | |
| B | OO38 | 22-8137 | 2 | Ornamento tubular | |
| B | LL38 | 22-8099 | 4 | Orejera | |
| A | X15 | 22-409 | 5 | Orejera | |
| B | PP38 | 22-290 | 11 | Ornamento | |
| A | P10 | 22-1041 | 3 | Ornamento tubular | |
| B | KK44 | 22-133 | 2 | Ornamento tubular | |
| A | Q10 | 22-1948 | 6 | Ornamento tubular | |
| A | MU20 | 22-3455 | 5 | Orejera | |
| A | MU8 | 22-193 | 3 | Ornamento | |
| B | NN37 | 22-9608 | 8 | Ornamento | |
| A | MU2 | 22-65 | 1 | Orejera | |
| A | MU1 | 22-107 | 20 | Orejera | |
| A | MU7 | 22-502 | 7 | Ornamento tubular | |

| | | | | | |
|---|---|---|---|---|---|
| A | K17 | 22-416 | 8 | Orejera | |
| A | L13 | 22-36 | 7 | Orejera | |
| B | MU5 | 22-9334 | 1 | Ornamento | |
| A | F16 | 22-93 | 11 | Orejera, Malacate | |
| B | PP38 | 22-8458 | 3 | Ornamento | |
| A | O11 | 22-1973 | 10 | Orejera | |
| B | MU8 | 22-9505 | 1 | Ornamento | |
| B | PP38 | 22-8434 | 2 | Ornamento tubular | |
| B | NN36 | 22-262 | 5 | Ornamento | |
| B | PP30 | 22-66 | 13 | Orejera, Figurilla | |
| B | II34 | 22-9243 | 3 | Ornamento | |
| B | KK34 | 22-8050 | 3 | Ornamento | |
| A | T17 | 22-3425 | 3 | Ornamento | |
| B | KK36 | 22-504 | 10 | Ornamento tubular, Figurilla | |
| B | JJ40 | 22-9868 | 6 | Ornamento | |
| B | PP38 | 22-9463 | 10 | Ornamento | |
| B | FF38 | 22-114 | 1 | Orejera, Figurilla | |
| A | I19 | 22-2967 | 9 | Orejera | |
| A | MU2 | 22-112 | 13 | Orejera | |
| B | JJ37 | 22-8439 | 3 | Ornamento tubular | |
| A | N10 | 22-2567 | 1 | Orejera | |
| B | GG34 | 22-8807 | 6 | Ornamento | |
| B | KK36 | 22-484 | 4 | Ornamento tubular | |
| B | MU10 | 22-9739 | 1 | Ornamento | Bolsa 2/2 |
| A | MU8 | 22-199 | 3 | Ornamento | |
| B | MU2 | 22-9040 | 1 | Ornamento tubular | |
| B | MU3 | 22-9072 | 1 | Ornamento | |
| B | KK34 | 22-8060 | 4 | Ornamento tubular | |
| B | MU9 | 22-9599 | 1 | Ornamento | |
| B | II38 | 22-8284 | 11 | Ornamento | |
| B | A15 | 22-359 | 2 | Ornamento | |
| B | LL34 | 22-8042 | 2 | Azotador | |
| A | J19 | 22-3106 | 9 | Azotador | |
| A | M14 | 22-3579 | 5 | Azotador | |
| B | QQ41 | 22-9568 | 3 | Azotador | |
| B | OO38 | 22-8220 | 10 | Azotador | |
| B | II39 | 22-9444 | 5 | Azotador | |
| B | HH37 | 22-9948 | 5 | Azotador | |
| B | HH37 | 22-9904 | 4 | Azotador | |
| B | MU8 | 22-9508 | 1 | Azotador | |

| | | | | | |
|---|---|---|---|---|---|
| B | H20 | 22-5249 | 1 | Azotador | |
| B | MU13 | 22-9840 | 2 | Azotador | |
| B | MU6 | 22-9363 | 2 | Azotador | |
| A | I22 | 22-3337 | 6 | Azotador | |
| B | NN40 | 22-9123 | 3 | Azotador | |
| B | KK34 | 22-8023 | Superficie | Cuenta concha | |
| B | II37 | 22-9276 | 6 | Cuenta litica | |
| B | MU8 | 22-9507 | 1 | Cuenta roca "caliza" | |
| B | JJ34 | 22-9736 | 9 | Disco cerámico | |
| B | QQ43 | 22-551 | 2 | Disco cerámico | |
| B | JJ34 | 22-608 | 3 | Disco cerámico | |
| B | JJ34 | 22-9174 | 4 | Cuenta cerámica | |
| B | D10 | 22-291 | 1 | Disco cerámico, Silbato | |
| A | Q20 | 22-1790 | 4 | Disco cerámico | |
| A | F16 | 22-1145 | 13 | Disco | |
| A | J19 | 22-419 | 8 | Disco cerámico | |
| B | FF38 | 22-8366 | 7 | Disco cerámico | |
| A | K24 | 22-755 | 2 | Disco cerámico | |
| B | HH37 | 22-9952 | 5 | Disco | |
| A | J22 | 22-3839 | 11 | Disco arcilla | |
| A | I21 | 22-1884 | 5 | Cuenta desconocido | |
| A | X15 | 22-413 | 7 | Disco cerámico | |
| A | K17 | 22-481 | 10 | Disco cerámico | |
| B | MU2 | 22-5411 | 2 | Cascabel | |
| A | T17 | 22-3438 | 4 | Cuenta cerámica | |
| A | F23 | 22-2696 | 4 | Disco cerámico | |
| B | KK31 | 22-8062 | 13 | Cuenta concha | |
| B | NN40 | 22-9120 | 3 | Cuenta cerámica | |
| A | Q17 | 22-2561 | 8 | Cuenta | |
| B | MU12 | 22-9878 | 3 | Flauta | |
| B | JJ34 | 22-9735 | 9 | Silbato | |
| A | M13 | 22-2701 | 7 | Flauta | |
| B | II39 | 22-9643 | 7 | Silbato | |
| B | NN37 | 22-9563 | 6 | Silbato | |
| B | D11 | 22-482 | 4 | Silbato | |
| B | OO34 | 22-9484 | 8 | Silbato | |
| B | KK39 | 22-9100 | 4 | Silbato | |
| A | K19 | 22-403 | 2 | Flauta, Orejera | |
| A | P21 | 22-1718 | 2 | Silbato/Figurilla | |
| A | MU19 | 22-3671 | 10 | Bolita de cerámica | |

| | | | | | |
|---|---|---|---|---|---|
| A | MU5 | 22-2639 | 10 | Malacates | |
| B | GG34 | 22-519 | 2 | Flauta | |
| B | MU11 | 22-9773 | 3 | Flauta | |
| B | QQ34 | 22-9683 | 8 | Flauta | |
| B | QQ41 | 22-9580 | 5 | Silbato | |
| B | MU4 | 22-9313 | 2 | Silbato | |
| B | QQ36 | 22-9698 | 7 | Flauta | |
| A | MU20 | 22-3445 | 3 | Flauta | |
| A | MU7 | 22-475 | 25 | Flauta | |
| B | OO41 | 22-9103 | 4 | Flauta | |
| B | MU11 | 22-9759 | 2 | Flauta | |
| B | MU6 | 22-9366 | 2 | Orejera | |
| A | M14 | 22-3589 | 6 | Flauta | |
| B | JJ38 | 22-9729 | 6 | Silbato | |
| B | JJ37 | 22-9782 | 10 | Flauta | |
| B | MU12 | 22-9848 | 2 | Silbato | |
| B | MU9 | 22-9600 | 1 | Silbato/Figurilla | |
| A | MU1 | 22-1614 | 8 | Silbato/Figurilla | |
| A | MU1 | 22-1592 | 7 | Silbato | |
| B | HH37 | 22-9958 | 5 | Silbato | |
| B | C17 | 22-172 | 1 | Cascabel, Figurilla | |
| B | JJ34 | 22-9735 | 9 | Silbato/Figurilla | Bolsa 2/2 |
| A | F16 | 22-1123 | 11 | Silbato/Figurilla, Figurilla | |
| B | QQ34 | 22-9682 | 8 | Silbato | |
| B | QQ43 | 22-9537 | 10 | Silbato | |
| B | MU8 | 22-9539 | 1 | Silbato | |
| A | K23 | 22-6036 | 5 | Malacate | |
| A | MU28 | 22-2786 | 1 | Malacate | |
| B | NN31 | 22-8599 | 3 | Malacate | |
| A | MU28 | 22-3819 | 4 | Malacates | |
| A | MU25 | 22-622 | 4 | Malacate, Figurilla | |
| B | MU13 | 22-9800 | 1 | Cuenta (Posible malacate) | |
| A | MU5 | 22-140 | 5 | Malacate | |
| A | J13 | 22-2257 | 1 | Malacate | |
| A | I23 | 22-72 | 2 | Malacate, Orejera, Badajo | |
| A | Q22 | 22-1909 | 2 | Malacate | |
| A | W19 | 22-3393 | 2 | Malacate, Orejera | |
| A | I22 | 22-3344 | 7 | Malacate | |
| A | MU21 | 22-3511 | 6 | Malacate | |
| A | MU28 | 22-2911 | 2 | Malacate | |

| | | | | | |
|---|---|---|---|---|---|
| A | F23 | 22-323 | 17 | Malacates | |
| A | K19 | 22-3298 | 4 | Malacate | |
| B | MM36 | 22-9260 | 3 | Malacates | |
| A | K17 | 22-2481 | 3 | Malacate | |
| B | KK35 | 22-9434 | 2 | Malacates | |
| B | PP43 | 22-9638 | 2 | Malacate | |
| B | QQ36 | 22-9590 | 2 | Malacate | |
| A | U17 | 22-3368 | 3 | Malacate | |
| A | K17 | 22-2622 | 7 | Malacate | |
| A | U16 | 22-103 | 2 | Malacate | |
| B | II39 | 22-9411 | 3 | Malacate | |
| A | I22 | 22-570 | 2 | Malacate | |
| A | MU20 | 22-3422 | 1 | Malacate | |
| A | MU1 | 22-6105 | 21 | Silbato | |
| A | MU21 | 22-3500 | 5 | Malacate | |
| A | U16 | 22-1203 | 1 | Malacate | |
| A | X16 | 22-99 | 10 | Malacate | |
| A | F24 | 22-2627 | 17 | Malacate | |
| A | P13 | 22-1013 | 1 | Malacate | |
| A | K17 | 22-2490 | 4 | Malacate | |
| A | I16 | 22-8 | 4 | Malacate | |
| A | I24 | 22-3904 | 2 | Malacate | |
| B | M16 | 22-5186 | 2 | Malacate | |
| A | K17 | 22-2636 | 9 | Malacate | |
| B | MU11 | 22-9758 | 2 | Malacate | |
| B | KK35 | 22-9529 | 6 | Malacate | |
| A | L15 | 22-56 | 3 | Malacate | |
| A | MU1 | 22-6105 | 21 | Silbato | |
| B | NN37 | 22-9479 | 2 | Malacate | |
| A | MU11 | 22-3100 | 9 | Malacate | |
| A | MU16 | 22-3707 | 13 | Malacate | |
| A | J19 | 22-3129 | 10 | Malacate | |
| B | NN37 | 22-9561 | 6 | Malacate | |
| A | MU25 | 22-3566 | 2 | Malacate | |
| B | QQ34 | 22-9617 | 3 | Malacate | |
| A | N/A | 22-1003 | Superficie | Malacate | |
| B | JJ34 | 22-9150 | 2 | Malacate | |
| A | X15 | 22-2267 | 4 | Malacate | |
| A | Q10 | 22-1928 | 4 | Malacate | |
| A | MU16 | 22-3355 | 7 | Malacate | |

| | | | | | |
|---|---|---|---|---|---|
| B | PP38 | 22-8456 | 3 | Malacate | |
| A | MU2 | 22-35 | 8 | Malacate | |
| A | F16 | 22-1103 | 10 | Malacate | |
| B | OO38 | 22-8138 | 2 | Malacate | |
| B | I17 | 22-5211 | 3 | Malacate | |
| A | J17 | 22-2256 | 11 | Malacates | |
| A | Q23 | 22-101 | 2 | Malacate | |
| B | KK38 | 22-8867 | 2 | Malacate | |
| A | X15 | 22-315 | 4 | Malacate | |
| A | K22 | 22-3886 | 5 | Malacate | |
| B | B16 | 22-5324 | 2 | Malacate | |
| B | FF38 | 22-8333 | 2 | Malacate | |
| A | K17 | 22-2500 | 5 | Malacate | |
| A | J19 | 22-3107 | 9 | Malacate | |
| A | I22 | 22-3310 | 3 | Malacate | |
| B | KK34 | 22-8046 | 3 | Malacates | |
| A | MU2 | 22-62 | 5 | Malacate | |
| A | L20 | 22-2163 | 1 | Malacate | |
| A | P13 | 22-1065 | 6 | Malacate | |
| A | K19 | 22-3235 | 3 | Malacate | |
| B | II39 | 22-9398 | 2 | Malacate | |
| A | K17 | 22-2211 | 6 | Malacate | |
| A | J22 | 22-2867 | 1 | Malacate | |
| B | JJ34 | 22-9162 | 3 | Malacate | |
| A | M20 | 22-2139 | 3 | Malacate | |
| B | OO32 | 22-9117 | 2 | Malacate | |
| A | MU17 | 22-3277 | 6 | Malacate | |
| A | MU10 | 22-246 | 1 | Malacate | |
| A | MU7 | 22-3037 | 19 | Malacate | |
| B | NN40 | 22-9125 | 3 | Malacate | |
| A | MU6 | 22-217 | 3 | Malacates | |
| A | MU17 | 22-3254 | 4 | Malacate | |
| A | F23 | 22-2668 | 2 | Malacate | |
| A | I21 | 22-1810 | 3 | Malacate | |
| B | MU12 | 22-6096 | 3 | Disco cerámico | |
| B | II39 | 22-9409 | 3 | Sello | |
| A | MU16 | 22-3709 | 13 | Sello | |
| A | O16 | 22-115 | 8 | Sello | |
| B | H13 | 22-5059 | 3 | Sello | |
| B | MU14 | 22-806 | 1 | Sello | |

| | | | | | |
|---|---|---|---|---|---|
| A | P16 | 22-692 | 10 | Sello | |
| B | MU9 | 22-9602 | 1 | Sello | Bolsa 2/2 |
| A | P19 | 22-1425 | 13 | Sello | |
| A | T17 | 22-3396 | 1 | Sello | |
| A | MU11 | 22-877 | 3 | Cascabel | |
| B | OO32 | 22-9132 | 3 | Cascabel | |
| B | PP31 | 22-9234 | 2 | Cascabel | |
| B | OO34 | 22-9155 | 2 | Cascabel | |
| B | MU9 | 22-9601 | 1 | Cascabel | |
| B | MU13 | 22-9835 | 2 | Orejera | Bolsa 2/2 |
| A | MU11 | 22-876 | 3 | Orejera | |
| A | F24 | 22-886 | 10 | Orejera | |
| A | K24 | 22-783 | 3 | Orejera | |
| B | PP43 | 22-9675 | 6 | Orejera | |
| A | MU2 | 22-34 | 8 | Orejera, Figurilla | |
| A | MU7 | 22-544 | 13 | Orejera | |
| A | F16 | 22-1014 | 1 | Orejera | |
| A | MU7 | 22-753 | 18 | Orejera | |
| A | J23 | 22-134 | 3 | Orejera | |
| A | X16 | 22-42 | 8 | Orejera | |
| A | J22 | 22-3835 | 11 | Orejera | |
| B | A17 | 22-5026 | 10 | Orejera | |
| A | J22 | 22-3828 | 10 | Orejera | |
| B | II39 | 22-9413 | 3 | Orejera | |
| A | F16 | 22-10 | | Orejera | |
| B | H21 | 22-78 | 1 | Orejera | |
| A | P11 | 22-1523 | 7 | Orejera | |
| A | I21 | 22-44 | 5 | Orejera | |
| B | II31 | 22-16 | 3 | Orejera | |
| A | L13 | 22-2201 | 17 | Orejera | |
| A | F16 | 22-7 | 2 | Orejera | |
| B | KK34 | 22-68 | 5 | Orejera | |
| B | JJ38 | 22-9112 | 5 | Orejera | |
| A | L13 | 22-125 | 18 | Orejera | |
| A | J19 | 22-163 | 3 | Orejera | |
| A | J23 | 22-51 | 2 | Orejera | |
| B | H21 | 22-71 | 3 | Orejera | |
| A | I16 | 22-15 | 3 | Orejera | |
| A | F16 | 22-14 | 2 | Orejera | |
| A | F16 | 22-12 | 4 | Orejera | |

| | | | | | |
|---|---|---|---|---|---|
| B | II38 | 22-8249 | 8 | Orejera | |
| A | P10 | 22-1 | 2 | Orejera | |
| A | I20 | 22-124 | 3 | Orejera | |
| A | F16 | 22-24 | 8 | Orejera | |
| A | P17 | 22-82 | 6 | Orejera | |
| A | P17 | 22-43 | 2 | Orejera | |
| A | F16 | 22-11 | 5 | Orejera | |
| B | A21 | 22-136 | 2 | Orejera, Figurilla | |
| B | LL31 | 22-31 | 8 | Orejera | |
| A | X16 | 22-85 | 9 | Orejera | |
| A | MU7 | 22-3262 | 26 | Orejera | |
| B | KK36 | 22-226 | 3 | Orejera | |
| A | MU1 | 22-112 | 22 | Orejera, Badajo | |
| A | P19 | 22-3 | 7 | Orejera | |
| A | MU19 | 22-3773 | 15 | Orejera | |
| B | O19 | 22-174 | 5 | Orejera | |
| A | F23 | 22-512 | 4 | Orejera, Sello | |
| B | MM36 | 22-586 | 3 | Orejera | |
| A | MU11 | 22-3043 | 2 | Orejera, borde, figurilla | |
| A | MU13 | 22-552 | 2 | Orejera | |
| B | MM37 | 22-632 | 7 | Orejera | |
| B | MM36 | 22-9362 | 9 | Orejera | |
| A | MU7 | 22-239 | 4 | Orejera | |
| A | F24 | 22-175 | 13 | Orejera | |
| A | F16 | 22-19 | 10 | Orejera | |
| A | P13 | 22-2 | 3 | Orejera | |
| A | MU7 | 22-3288 | 27 | Orejera | |
| B | QQ34 | 22-621 | 8 | Orejera | |
| B | MU4 | 22-9314 | 2 | Orejera | |
| A | L20 | 22-170 | 2 | Orejera | |
| A | Q24 | 22-184 | 2 | Orejera | |
| A | J22 | 22-487 | 2 | Orejera | |
| A | MU19 | 22-3577 | 6 | Orejera | |
| A | X15 | 22-539 | 3 | Orejera | |
| A | F24 | 22-448 | 3 | Orejera | |
| A | J22 | 22-631 | 8 | Orejera | |
| A | Q10 | 22-137 | 9 | Orejera | |
| A | J22 | 22-3786 | 9 | Orejera | |
| A | MU7 | 22-2866 | 11 | Orejera | |
| A | J23 | 22-145 | 5 | Orejera, Figurilla | |

| | | | | | |
|---|---|---|---|---|---|
| A | MU7 | 22-390 | 19 | Orejera, Figurilla | |
| A | J22 | 22-598 | 4 | Orejera | |
| A | MU28 | 22-3821 | 4 | Orejera | |
| A | I21 | 22-252 | 3 | Orejera | |
| B | OO38 | 22-46 | 8 | Orejera | |
| A | F23 | 22-379 | 2 | Orejera | |
| A | MU24 | 22-624 | 2 | Orejera | |
| B | NN37 | 22-9496 | 3 | Orejera | |
| B | JJ36 | 22-257 | 2 | Orejera | |
| A | MU11 | 22-3043 | 2 | Orejera | |
| B | OO38 | 22-8191 | 8 | Preforma? | |
| A | M13 | 22-2569 | 5 | Bolita de cerámica | |
| A | MU10 | 22-2311 | 1 | Figurilla | |
| B | MU2 | 22-5448 | 9 | Cemento | |
| A | M20 | 22-2140 | 3 | Carrete? | |
| A | M13 | 22-2722 | 10 | Azotador | |
| A | MU10 | 22-2310 | 1 | Silbato/Figurilla | |
| A | MU27 | 22-2910 | 8 | Bolita de cerámica | |
| B | KK31 | 22-8039 | 9 | Soporte | |
| B | HH37 | 22-9959 | 5 | Chapopote? | |
| B | QQ38 | 22-8175 | 7 | Artefacto tubular | |
| A | I16 | 22-1144 | 12 | Figurilla/ Soporte | |
| A | U16 | 22-1226 | 4 | Miniatura | |
| A | MU7 | 22-3026 | 18 | Miniatura | |
| A | J21 | 22-3013 | 2 | Miniatura | |
| B | HH37 | 22-9947 | 5 | Miniatura | |
| A | MU2 | 22-1646 | 1 | Miniatura | |
| B | JJ37 | 22-8441 | 3 | Botón | |
| B | LL41 | 22-8536 | 5 | Botón | |
| B | LL38 | 22-8092 | 3 | Botón | |
| B | KK42 | 22-8578 | 3 | Botón | |
| B | HH39 | 22-8937 | 7 | Botón | |
| B | FF38 | 22-8372 | 8 | Botón | |
| B | HH37 | 22-9963 | 5 | Botón | |
| B | QQ38 | 22-8299 | 12 | Botón | |
| B | MU4 | 22-9320 | 2 | Botón | |
| B | LL40 | 22-8504 | 2 | Botón | |
| B | MU2 | 22-6078 | 8 | Botón | |
| B | OO38 | 22-8217 | 10 | Botón | |
| B | HH34 | 22-9048 | 5 | Botón | |

| | | | | | |
|---|---|---|---|---|---|
| B | QQ34 | 22-9646 | 5 | Botón | |
| B | QQ34 | 22-9680 | 8 | Botón | |
| A | MU16 | 22-509 | 4 | Botón, Bolita de cerámica | |
| B | KK37 | 22-8347 | 7 | Botón | |
| B | KK41 | 22-8110 | 3 | Botón | |
| B | MU2 | 22-5398 | 1 | Botón | |
| B | KK35 | 22-9526 | 6 | Botón | |
| A | I19 | 22-2942 | 8 | Botón | |
| B | PP44 | 22-9373 | 6 | Botón | |
| B | II34 | 22-9245 | 3 | Botón | |
| B | JJ38 | 22-9060 | 2 | Botón | |
| B | MU6 | 22-9212 | 1 | Botón | |
| B | PP38 | 22-8507 | 9 | Botón | |
| B | MU11 | 22-9721 | 1 | Botón | |
| B | JJ38 | 22-9095 | 4 | Botón | |
| B | KK39 | 22-9084 | 3 | Botón | |
| B | NN44 | 22-8606 | 3 | Botón | |
| B | II37 | 22-9231 | 5 | Botón | |
| B | MU12 | 22-9811 | 1 | Botón | |
| A | MU15 | 22-2532 | 2 | Botón | |
| B | KK44 | 22-8340 | 5 | Botón | |
| B | JJ34 | 22-9208 | 7 | Botón | |
| A | J17 | 22-424 | 6 | Botón, Bolita de cerámica | |
| B | HH37 | 22-9966 | 5 | Bolita de cerámica | |
| A | MU16 | 22-643 | 11 | Bolita de cerámica | |
| B | HH37 | 22-9939 | 5 | Bolita de cerámica | Bolsa 2/2 |
| B | PP38 | 22-8455 | 3 | Bolita de cerámica | |
| A | U12 | 22-682 | 5 | Bolita de cerámica | |
| B | QQ43 | 22-9451 | 6 | Bolita de cerámica | |
| B | LL32 | 22-8729 | 3 | Bolita de cerámica | |
| B | MM37 | 22-8519 | 2 | Bolita de cerámica | |
| B | LL32 | 22-8713 | 2 | Bolita de cerámica | |
| B | HH35 | 22-8720 | 5 | Botón | |
| B | MU2 | 22-5439 | 8 | Bolita de cerámica | |
| B | NN36 | 22-8636 | 8 | Bolita de cerámica | |
| B | KK44 | 22-8256 | 2 | Bolita de cerámica | |
| B | II38 | 22-8280 | 11 | Bolita de cerámica | |
| B | KK35 | 22-9448 | 3 | Bolita de cerámica | |
| B | NN38 | 22-8691 | 1 | Bolita de cerámica | |
| B | MU2 | 22-5427 | 7 | Bolita de cerámica | |

| | | | | | |
|---|---|---|---|---|---|
| A | I19 | 22-2957 | 9 | Bolita de cerámica | |
| B | OO38 | 22-8120 | 1 | Bolita de cerámica | |
| B | NN36 | 22-8659 | 9 | Bolita de cerámica | |
| B | NN38 | 22-8746 | 6 | Bolita de cerámica | |
| B | JJ37 | 22-8426 | 2 | Bolita de cerámica | |
| B | OO38 | 22-8289 | 12 | Bolita de cerámica | |
| B | LL32 | 22-8767 | 7 | Bolita de cerámica | |
| B | NN38 | 22-8711 | 3 | Bolita de cerámica | |
| B | MU4 | 22-9319 | 2 | Bolita de cerámica | |
| B | MU9 | 22-9831 | 2 | Bolita de cerámica | |
| A | X10 | 22-2155 | 1 | Bolita de cerámica | |
| A | J22 | 22-560 | 4 | Bolita de cerámica | |
| B | GG34 | 22-8809 | 6 | Bolita de cerámica | |
| B | OO34 | 22-9558 | 13 | Bolita de cerámica | |
| B | QQ38 | 22-8296 | 12 | Bolita de cerámica | |
| B | NN31 | 22-8629 | 4 | Bolita de cerámica | |
| B | MM36 | 22-9262 | 3 | Bolita de cerámica | |
| A | MU1 | 22-1654 | 9 | Bolita de cerámica | |
| B | MU9 | 22-9605 | 1 | Bolita de cerámica | |
| A | O11 | 22-1971 | 10 | Bolita de cerámica | |
| A | P17 | 22-1535 | 4 | Bolita de cerámica | |
| A | P17 | 22-1465 | 2 | Bolita de cerámica | |
| B | GG34 | 22-8755 | 2 | Bolita de cerámica | |
| B | MM37 | 22-9201 | 7 | Bolita de cerámica | |
| B | KK37 | 22-8251 | 4 | Bolita de cerámica | |
| B | HH37 | 22-9939 | 5 | Bolita de cerámica | |
| B | JJ38 | 22-9079 | 3 | Bolita de cerámica | |
| B | OO34 | 22-9179 | 5 | Bolita de cerámica | |
| B | MU12 | 22-9810 | 1 | Bolita de cerámica | |
| B | II35 | 22-9086 | 3 | Bolita de cerámica | |
| B | HH34 | 22-9011 | 2 | Bolita de cerámica | |
| B | MU6 | 22-9365 | 2 | Bolita de cerámica | |
| B | MU2 | 22-5413 | 2 | Bolita de cerámica | |
| B | NN37 | 22-9523 | 4 | Bolita de cerámica | |
| B | JJ35 | 22-9295 | 2 | Bolita de cerámica | |
| B | MU13 | 22-9833 | 2 | Bolita de cerámica | |
| B | JJ38 | 22-9096 | 4 | Bolita de cerámica | |
| B | KK35 | 22-9531 | 6 | Bolita de cerámica | |
| B | MU11 | 22-9909 | 4 | Bolita de cerámica | |
| B | MU11 | 22-9760 | 2 | Bolita de cerámica | |

| | | | | | |
|---|---|---|---|---|---|
| B | QQ34 | 22-9645 | 5 | Bolita de cerámica | |
| B | MU8 | 22-9509 | 1 | Bolita de cerámica | |
| B | MU12 | 22-9875 | 3 | Bolita de cerámica | |
| B | JJ35 | 22-9341 | 4 | Bolita de cerámica | |
| A | MU31 | 22-3913 | 9 | Concha trabajada | |
| A | F24 | 22-2471 | 11 | Concha trabajada | |
| B | KK34 | 22-9063 | 8 | Concha trabajada | |
| B | JJ39 | 22-8739 | 9 | Concha trabajada | |
| B | MU6 | 22-9350 | 2 | Concha trabajada | |
| B | MU6 | 22-9213 | 1 | Concha trabajada | |
| B | HH39 | 22-8934 | 7 | Concha trabajada | |
| B | PP38 | 22-9464 | 10 | Concha trabajada | |
| B | MM36 | 22-9405 | 11 | Concha trabajada | |
| B | MU4 | 22-9318 | 2 | Concha trabajada | |
| B | MU10 | 22-9745 | 1 | Concha trabajada | |
| A | MU10 | 22-2303 | 1 | Pigmento | |
| A | R16 | 22-1250 | 5 | Pigmento | |
| B | LL39 | 22-8991 | 7 | Pigmento | |
| A | K17 | 22-2621 | 7 | Pigmento | |
| B | II35 | 22-9066 | 2 | Pigmento | |
| B | QQ38 | 22-8142 | 3 | Roca roja | |
| A | MU21 | 22-3549 | 9 | Pigmento | |
| B | HH35 | 22-8721 | 5 | Pigmento | |
| B | MM38 | 22-8151 | 1 | Piedra roja | |
| B | PP38 | 22-8435 | 2 | Piedra roja | |
| B | LL38 | 22-8079 | Sup | Piedra roja | |
| B | MM38 | 22-8153 | 2 | Piedra roja | |
| A | MU16 | 22-3363 | 9 | Pigmento | |
| A | L16 | 22-1242 | 8 | Pigmento | |
| A | U17 | 22-747 | 13 | Cuenta cerámica | |
| A | P13 | 22-1012 | 1 | Aplique | |
| A | M20 | 22-2141 | 3 | Cuenta cerámica | |
| B | OO38 | 22-8301 | 13 | Posible molde | |
| A | M14 | 22-6206 | 9 | Cuenta piedra | |
| A | P17 | 22-6210 | 2 | Sello | |
| B | B15 | 22-6225 | 2-3 | Orejera | |
| B | QQ41 | 22-9627 | 8 | Silbato, Figurilla | |
| B | II39 | 22-9587 | 6 | Silbato/Figurilla | |
| B | HH37 | 22-9958 | 5 | Silbato/Figurilla | |
| B | GG34 | 22-8870 | 7 | Flauta/Figurilla | |

| | | | | | |
|---|---|---|---|---|---|
| A | MU20 | 22-3420 | 1 | Flauta/Figurilla | |
| B | KK38 | 22-8963 | 7 | Silbato/Figurilla | |
| A | MU1 | 22-154 | 24 | Silbato/Figurilla | |
| A | Q11 | 22-2342 | 7 | Flauta | |
| A | MU11 | 22-238 | 4 | Silbato/Figurilla y 2 figurillas | |
| A | M13 | 22-345 | 2 | Silbato, Figurilla y Ornamento | |
| B | NN40 | 22-602 | 3 | Silbato, Figurilla y Soporte | |
| A | I16 | 22-648 | 13 | 2 Figurillas y Silbato | |
| A | MU8 | 22-265 | 5 | 4 Figurillas y Silbato | |
| B | PP44 | 22-9415 | 9 | Soporte | |
| A | J17 | 22-310 | 8 | Figurilla y Bolita de cerámica | |
| A | MU5 | 22-139 | 5 | Figurilla y Sello | |
| B | MU12 | 22-796 | 1 | 16 Figurillas y Silbato | |
| B | KK38 | 22-532 | 8 | 2 Silbato/Figurilla y 1 figurilla | |
| B | HH35 | 22-334 | 4 | 2 Ornamentos tubulares | |
| A | Q10 | 22-6231 | 4 | Silbato/Figurilla y Figurilla | |
| A | MU4 | 22-364 | 3 | Figurilla y Sello | |
| B | NN38 | 22-8724 | 4 | 3 Figurilla y Flauta | |
| B | QQ38 | 22-8275 | 11 | Posible orejera | |
| A | MU14 | 22-274 | 2 | Sello | |
| B | QQ43 | 22-342 | 5 | Silbato/Figurilla y Figurilla | |
| B | JJ38 | 22-9725 | 6 | Silbato/Figurilla, 2 Figurillas y 2 Soportes | |
| A | J17 | 22-423 | 6 | Silbato/Figurilla y 3 figurillas | |
| A | J17 | 22-442 | 5 | Silbato/Figurilla y 2 figurillas | |
| A | Q21 | 22-165 | 2 | Silbato/Figurilla y Orejera | |
| A | MU6 | 22-295 | 4 | Dije y Figurilla | Dije similar a concha FS: 22-9505 |
| B | NN38 | 22-8733 | 5 | Ornamento tubular | |
| B | LL39 | 22-814 | 6 | 2 Figurilla y Silbato | |
| B | MU12 | 22-9807 | 1 | 16 Figurilla y Miniatura con decoración | |
| A | K17 | 22-2619 | 7 | Silbato/Figurilla y 2 Figurilla | |
| A | J17 | 22-2403 | 16 | 3 Figurilla y Cascabel | |
| B | HH35 | 22-375 | 5 | 4 Figurilla, Silbato y Ornamento tubular | |
| A | MU16 | 22-340 | 5 | Silbato/Figurilla, 2 Figurilla y Cuenta | |
| B | HH39 | 22-8879 | 4 | 1 Figurilla y Miniatura | |
| A | MU4 | 22-373 | 1 | Silbato/Figurilla, 4 Figurilla y 2 Ornamentos tubulares | |
| A | O16 | 22-1638 | 5 | Orejera | |

| | | | | | |
|---|---|---|---|---|---|
| A | MU8 | 22-2304 | 3 | Orejera | |
| A | MU8 | 22-2355 | 5 | Malacate | |
| A | MU27 | 22-2743 | 1 | Bolita de cerámica | |
| A | Q11 | 22-2335 | 7 | Silbato/Figurilla | |
| A | Q11 | 22-2174 | 5 | Orejera | |
| A | Q11 | 22-2346 | 7 | Orejera | |
| A | Q11 | 22-2170 | 4 | Botón | |
| B | MU6 | 22-9364 | 2 | Silbato/Figurilla y Figurilla | Bolsa 2/2 |
| A | MU32 | 22-6241 | 1 | Disco | |
| A | P13 | 22-1202 | 14 | Cuenta verde | |
| B | D12 | 22-5370 | 1 | Cuenta verde | |
| B | FF38 | 22-8358 | 5 | Pigmento | |
| A | P22 | 22-1316 | 7 | Azotador | |
| B | MU13 | 22-9796 | 1 | Cuenta hueso | |
| A | MU32 | 22-3924 | 1 | Botón y orejera | |
| A | MU5 | 22-2495 | 7 | Miniatura | |
| A | MU28 | 22-3927 | 1 | Botón y bolita de cerámica | Ent. 125 I138 |
| A | MU28 | 22-2786 | 1 | Malacate | Ent. 125 I138 2/2 |
| A | R17 | 22-3932 | 9 | Orejera | Ent. 132 I145 |
| B | MU1 | 22-9984 | 1 | Botón | Ent. 117 I130 |
| A | MU34 | 22-3175 | 1 | Orejera | |
| B | M17 | 22-5125 | 5 | Vasija diferencial | |
| A | F16 | 22-1092 | 9 | Mica | |
| A | Q10 | 22-1944 | 5 | Mica | |
| A | MU23 | 22-3640 | 1 | Aguja | |
| A | Q10 | 22-1950 | 6 | Aguja de cobre | |
| A | U17 | 22-3378 | 4 | Cuenta cerámica | |
| B | JJ39 | 22-8655 | 7 | Piedra trabajada | |
| A | M11 | 22-2192 | 1 | Alisador | |
| A | MU7 | 22-3931 | 27 | Peine | Ent.120 I133 |
| A | W19 | 22-3395 | 2 | Disco | |
| A | MU27 | 22-2739 | 1 | Vidrio? | |
| A | MU5 | 22-2641 | 10 | Peine | Ent. 120 I133 |
| A | MU5 | 22-2639 | 10 | Malacate | Ent. 120 I133 |
| A | X15 | 22-2407 | 7 | Orejera | |
| B | MU10 | 22-9988 | 1 | Bolita de cerámica | |
| A | L13 | 22-1352 | 2 | Malacate | |
| A | L16 | 22-1235 | 8 | Malacate | |
| A | MU2 | 22-1672 | 5 | Malacate | |
| A | MU29 | 22-3132 | 5 | Tubería | 1/5186 g |

| | | | | | |
|---|---|---|---|---|---|
| A | MU29 | 22-3138 | 6 | Tubería | 47/7403 g |
| A | MU29 | 22-3136 | 6 | Tubería | 56/2419 g |
| A | I16 | 22-1119 | 11 | Orejera | |
| B | H21 | 22-5124 | 1 | Orejera | |
| A | F16 | 22-1136 | 12 | Orejera | |
| A | MU2 | 22-1649 | 1 | Orejera | |
| A | MU2 | 22-1672 | 5 | Orejera | |
| A | O16 | 22-1709 | 6 | Orejera | |
| A | P10 | 22-1150 | 10 | Orejera | |
| A | P16 | 22-1187 | 3 | Orejera | 2 ejemplos |
| A | X16 | 22-1346 | 7 | Orejera | |
| A | X16 | 22-1341 | 6 | Orejera | |
| A | MU9 | 22-2902 | 7 | Incensario | 2/134 g |
| A | P19 | 22-1306 | 10 | Incensario | 1/342 g |
| A | P19 | 22-1418 | 13 | Incensario | 1/50 g |
| A | P19 | 22-1391 | 12 | Incensario | 1/1 g |
| A | P19 | 22-1392 | 12 | Incensario | 1/546 g |

**Tabla C.6. Bajareque recuperado por el PRV-2022**

| A | F16 | 14 | 22-1162 | 2 | 72 | |
|---|---|---|---|---|---|---|
| A | F16 | 11 | 22-1128 | 2 | 182 | |
| A | F23 | 10 | 22-2858 | 4 | 292 | |
| A | F23 | 16 | 22-2900 | 1 | 36 | |
| A | F24 | 5 | 22-2274 | 1 | 32 | |
| A | F24 | 4 | 22-2261 | 3 | 42 | |
| A | I15 | 5 | 22-1489 | 1 | 3 | |
| A | I21 | 2 | 22-1802 | 5 | 20 | |
| A | I21 | 3 | 22-1812 | 1 | 8 | |
| A | I21 | 3 | 22-1812 | 3 | 8 | |
| A | I22 | 3 | 22-3309 | 2 | 76 | |
| A | I23 | 2 | 22-1833 | 2 | 14 | |
| A | I23 | 3 | 22-1845 | 1 | 3 | |
| A | J13 | 2 | 22-2276 | 1 | 12 | |
| A | J13 | 3 | 22-2290 | 1 | 2 | |
| A | J13 | 4 | 22-2401 | 2 | 16 | |
| A | J16 | 18 | 22-3865 | 6 | 60 | |
| A | J17 | 3 | 22-2077 | 6 | 170 | |
| A | J17 | 2 | 22-2069 | 5 | 524 | |
| A | J17 | 4 | 22-2083 | 2 | 6 | |
| A | J17 | 6 | 22-2096 | 3 | 48 | |
| A | J19 | 8 | 22-3220 | 2 | 8 | |
| A | J19 | 6 | 22-2852 | 1 | 10 | |
| A | J19 | 10 | 22-3130 | 1 | 22 | |
| A | J22 | 12 | 22-3852 | 4 | 32 | |
| A | J22 | 9 | 22-3792 | 3 | 22 | |
| A | J22 | 13 | 22-3859 | 1 | 8 | |
| A | J23 | 1 | 22-1888 | 1 | 10 | |
| A | J23 | 2 | 22-1900 | 1 | 10 | |
| A | K15 | 1 | 22-1863 | 4 | 26 | |
| A | K17 | 17 | 22-2687 | 5 | 24 | |
| A | K17 | 10 | 22-2650 | 4 | 34 | |
| A | K17 | 15 | 22-2676 | 5 | 14 | |
| A | K17 | 3 | 22-2480 | 1 | 16 | |
| A | K17 | 5 | 22-2603 | 1 | 28 | |
| A | K17 | 8 | 22-2630 | 4 | 74 | |
| A | K17 | 7 | 22-2623 | 1 | 6 | |
| A | K17 | 9 | 22-3783 | 1 | 30 | |
| A | K17 | 6 | 22-6217 | 8 | 26 | |

| | | | | | | |
|---|---|---|---|---|---|---|
| A | K24 | 2 | 22-3532 | 3 | 36 | |
| A | L13 | 16 | 22-2089 | 1 | 12 | |
| A | L13 | 17 | 22-2098 | 2 | 6 | |
| A | L13 | 11 | 22-1630 | 6 | 86 | |
| A | L13 | 18 | 22-2213 | 1 | 10 | |
| A | L13 | 8 | 22-1575 | 5 | 68 | |
| A | L13 | 12 | 22-1642 | 2 | 6 | |
| A | L13 | 10 | 22-1604 | 1 | 2 | |
| A | L13 | 7 | 22-1526 | 1 | 4 | |
| A | L13 | 15 | 22-1678 | 1 | 2 | |
| A | L13 | 13 | 22-1661 | 2 | 10 | |
| A | L15 | 5 | 22-1480 | 2 | 20 | |
| A | L17 | 3 | 22-1849 | 3 | 40 | |
| A | L18 | 1 | 22-1867 | 1 | 6 | |
| A | L2 | 2 | 22-2188 | 25 | 14 | |
| A | M13 | 3 | 22-2552 | 1 | 6 | |
| A | M13 | 6 | 22-2579 | 1 | 6 | |
| A | M14 | 5 | 22-3581 | 1 | 10 | |
| A | M14 | 9 | 22-6202 | 4 | 23 | |
| A | M20 | 2 | 22-2130 | 1 | 16 | |
| A | MU1 | 24 | 22-2067 | 1 | 4 | |
| A | MU1 | 11 | 22-2931 | 3 | 4 | |
| A | MU1 | 15 | 22-1844 | 1 | 16 | |
| A | MU1 | 9 | 22-1953 | 1 | 10 | |
| A | MU1 | 14 | 22-1836 | 2 | 6 | |
| A | MU1 | 10 | 22-1805 | 2 | 26 | |
| A | MU1 | 9 | 22-1653 | 2 | 14 | |
| A | MU1 | 17 | 22-1856 | 1 | 8 | |
| A | MU1 | 13 | 22-1831 | 2 | 12 | |
| A | MU1 | 16 | 22-1853 | 4 | 1 | |
| A | MU1 | 5 | 22-1569 | 2 | 10 | |
| A | MU1 | 11 | 22-1818 | 3 | 28 | |
| A | MU10 | 1 | 22-2194 | 32 | 208 | |
| A | MU11 | 3 | 22-3053 | 1 | 6 | |
| A | MU11 | 5 | 22-3073 | 1 | 40 | |
| A | MU11 | 11 | 22-3014 | 1 | 74 | |
| A | MU11 | 6 | 22-3078 | 1 | 6 | |
| A | MU11 | 12 | 22-3226 | 1 | 2 | |
| A | MU12 | 1 | 22-3031 | 3 | 10 | |
| A | MU14 | 3 | 22-2528 | 1 | 10 | |
| A | MU15 | 2 | 22-2525 | 2 | 12 | |

| | | | | | | |
|---|---|---|---|---|---|---|
| A | MU16 | 17 | 22-3735 | 4 | 10 | |
| A | MU16 | 15 | 22-3722 | 1 | 6 | |
| A | MU16 | 7 | 22-3356 | 4 | 56 | |
| A | MU16 | 16 | 22-3729 | 1 | 6 | |
| A | MU16 | 13 | 22-3710 | 1 | 88 | |
| A | MU17 | 7 | 22-3280 | 1 | 6 | |
| A | MU17 | 4 | 22-3253 | 2 | 14 | |
| A | MU17 | 11 | 22-3347 | 2 | 8 | |
| A | MU19 | 10 | 22-3676 | 3 | 16 | |
| A | MU19 | 11 | 22-3679 | 3 | 4 | |
| A | MU19 | 4 | 22-3537 | 2 | 206 | |
| A | MU19 | 10 | 22-3670 | 9 | 22 | |
| A | MU19 | 15 | 22-3766 | 15 | 94 | con ceramica |
| A | MU19 | 15 | 22-3769 | 5 | 19 | |
| A | MU19 | 7 | 22-3599 | 1 | 8 | |
| A | MU19 | 6 | 22-3575 | 1 | 4 | |
| A | MU2 | 18 | 22-2053 | 1 | 14 | |
| A | MU2 | 17 | 22-2047 | 1 | 8 | |
| A | MU2 | 15 | 22-2031 | 2 | 22 | |
| A | MU2 | 2 | 22-1658 | 2 | 6 | |
| A | MU2 | 14 | 22-2015 | 1 | 15 | |
| A | MU2 | 13 | 22-2003 | 4 | 108 | |
| A | MU2 | 1 | 22-1655 | 2 | 6 | |
| A | MU2 | 10 | 22-6152 | 7 | 21 | |
| A | MU20 | 2 | 22-3435 | 1 | 10 | |
| A | MU20 | 10 | 22-3589 | 2 | 20 | |
| A | MU20 | 9 | 22-3478 | 3 | 60 | |
| A | MU20 | 4 | 22-3452 | 1 | 24 | |
| A | MU20 | 8 | 22-3472 | 2 | 12 | |
| A | MU20 | 1 | 22-3423 | 2 | 18 | |
| A | MU20 | 12 | 22-3520 | 6 | 74 | |
| A | MU20 | 12 | 22-6136 | 8 | 17 | |
| A | MU20 | 12 | 22-6157 | 9 | 15 | |
| A | MU21 | 6 | 22-3512 | 1 | 18 | |
| A | MU21 | 9 | 22-3548 | 3 | 5 | |
| A | MU21 | 7 | 22-3524 | 3 | 6 | |
| A | MU23 | 2 | 22-3648 | 1 | 4 | |
| A | MU23 | 1 | 22-3638 | 2 | 14 | |
| A | MU23 | 8 | 22-3856 | 2 | 6 | |
| A | MU25 | 3 | 22-3606 | 6 | 36 | |
| A | MU25 | 2 | 22-3564 | 1 | 10 | |

| | | | | | | |
|---|---|---|---|---|---|---|
| A | MU25 | 4 | 22-3644 | 7 | 8 | |
| A | MU27 | 12 | 22-2933 | 1 | 8 | |
| A | MU27 | 2 | 22-2769 | 17 | 50 | |
| A | MU27 | 10 | 22-6030 | 3 | 2 | |
| A | MU27 | 3 | 22-6045 | 74 | 114 | |
| A | MU28 | 2 | 22-2797 | 1 | 6 | |
| A | MU28 | 4 | 22-3822 | 4 | 40 | |
| A | MU28 | 1 | 22-2787 | 2 | 38 | |
| A | MU29 | 8 | 22-3154 | 1 | 370 | |
| A | MU29 | 8 | 22-3155 | 13 | 326 | |
| A | MU29 | 5 | 22-3121 | 7 | 48 | |
| A | MU3 | 1 | 22-1786 | 5 | 38 | |
| A | MU3 | 2 | 22-1982 | 1 | 28 | |
| A | MU3 | 2 | 22-6180 | 3 | 4 | |
| A | MU30 | 2 | 22-6061 | 3 | 1 | |
| A | MU31 | 1 | 22-3845 | 3 | 32 | |
| A | MU31 | 3 | 22-3881 | 5 | 42 | |
| A | MU31 | 5 | 22-3892 | 13 | 98 | |
| A | MU31 | 9 | 22-6002 | 39 | 165 | |
| A | MU31 | 1 | 22-6040 | 8 | 12 | |
| A | MU31 | 7 | 22-6020 | 59 | 117 | |
| A | MU31 | 6 | 22-6012 | 52 | 116 | |
| A | MU31 | 10 | 22-6019 | 24 | 26 | |
| A | MU32 | 1 | 22-6170 | 2 | 5 | |
| A | MU4 | 3 | 22-2425 | 5 | 26 | |
| A | MU4 | 2 | 22-2416 | 6 | 36 | |
| A | MU4 | 4 | 22-2235 | 2 | 30 | |
| A | MU4 | 1 | 22-2410 | 1 | 6 | |
| A | MU5 | 3 | 22-2452 | 1 | 24 | |
| A | MU5 | 6 | 22-2477 | 1 | 26 | |
| A | MU6 | 2 | 22-2159 | 1 | 114 | |
| A | MU6 | 4 | 22-2376 | 1 | 12 | |
| A | MU6 | 3 | 22-2366 | 12 | 22 | |
| A | MU7 | 2 | 22-2693 | 1 | 10 | |
| A | MU7 | 8 | 22-2829 | 1 | 18 | |
| A | MU7 | 23 | 22-3209 | 2 | 46 | |
| A | MU7 | 3 | 22-2699 | 1 | 12 | |
| A | MU7 | 28 | 22-3318 | 2 | 70 | |
| A | MU8 | 2 | 22-2196 | 1 | 26 | |
| A | MU9 | 3 | 22-2351 | 6 | 20 | |
| A | MU9 | 2 | 22-2340 | 3 | 6 | |

| | | | | | | |
|---|---|---|---|---|---|---|
| A | MU9 | 5 | 22-2711 | 1 | 16 | |
| A | MU9 | 12 | 22-2937 | 1 | 2 | |
| A | MU9 | 13 | 22-2966 | 1 | 54 | |
| A | N10 | 1 | 22-2588 | 1 | 28 | |
| A | N20 | 5 | 22-1782 | 4 | 40 | |
| A | N24 | 3 | 22-3653 | 25 | 350 | |
| A | O10 | 7 | 22-1997 | 3 | 8 | |
| A | O10 | 9 | 22-2112 | 3 | 64 | |
| A | O10 | 8 | 22-6187 | 25 | 102 | |
| A | O10 | 5 | 22-6052 | 16 | 16 | |
| A | O11 | 12 | 22-1994 | 7 | 26 | |
| A | O16 | 5 | 22-1709 | 2 | 44 | |
| A | O17 | 9 | 22-2585 | 3 | 6 | |
| A | P10 | 10 | 22-1151 | 1 | 52 | |
| A | P10 | 9 | 22-1147 | 5 | 32 | |
| A | P10 | 7 | 22-1112 | 1 | 5 | |
| A | P13 | 11 | 22-1163 | 1 | 194 | |
| A | P16 | 15 | 22-0123 | 1 | 32 | |
| A | P16 | 15 | 22-1363 | 1 | 4 | |
| A | P17 | 2 | 22-1476 | 2 | 96 | |
| A | P17 | 2 | 22-1476 | 1 | 1 | |
| A | P19 | 16 | 22-1516 | 1 | 32 | |
| A | P19 | 9 | 22-1310 | 6 | 30 | |
| A | P22 | 4 | 22-1263 | 1 | 74 | |
| A | P22 | 5 | 22-1281 | 3 | 8 | |
| A | P24 | 2 | 22-1902 | 2 | 116 | |
| A | PP38 | 10 | 22-9461 | 1 | 106 | |
| A | Q11 | 5 | 22-2195 | 2 | 30 | |
| A | Q17 | 4 | 22-1788 | 6 | 264 | |
| A | Q17 | 3 | 22-1770 | 5 | 28 | |
| A | Q19 | 4 | 22-1754 | 1 | 14 | |
| A | Q20 | 5 | 22-1798 | 2 | 8 | |
| A | Q21 | 4 | 22-1966 | 1 | 14 | |
| A | Q21 | 5 | 22-1978 | 3 | 44 | |
| A | Q23 | 3 | 22-1621 | 4 | 30 | |
| A | R17 | 4 | 22-3658 | 2 | 16 | |
| A | U12 | 3 | 22-3398 | 2 | 18 | |
| A | U12 | 11 | 22-3403 | 3 | 48 | |
| A | U16 | 16 | 22-3503 | 40 | 136 | |
| A | U16 | 20 | 22-3732 | 1 | 18 | |
| A | U16 | 17 | 22-3694 | 1 | 2 | |

| | | | | | | |
|---|---|---|---|---|---|---|
| A | U17 | 4 | 22-3377 | 1 | 6 | |
| A | U17 | 6 | 22-3388 | 1 | 1 | |
| A | U17 | 7 | 22-3390 | 1 | 28 | |
| A | U17 | 3 | 22-3372 | 3 | 22 | |
| A | U17 | 13 | 22-3782 | 1 | 18 | |
| A | U17 | 5 | 22-3382 | 4 | 18 | |
| A | U17 | 10 | 22-6218 | 3 | 5 | |
| A | U17 | 7 | 22-6195 | 7 | 9 | |
| A | W19 | 2 | 22-3394 | 2 | 12 | |
| A | X15 | 4 | 22-6147 | 3 | 6 | |
| A | X16 | 7 | 22-1350 | 3 | 138 | |
| A | X16 | 8 | 22-1376 | 3 | 388 | |
| A | X16 | 8 | 22-1376 | 4 | 68 | |
| A | X16 | 11 | 22-1424 | 1 | 200 | |
| A | X16 | 9 | 22-1399 | 1 | 18 | |
| A | X16 | 10 | 22-1414 | 2 | 24 | |
| A | Y11 | 2 | 22-2387 | 2 | 150 | |
| B | A17 | 2 | 22-5020 | 1 | 16 | |
| B | A17 | 13 | 22-5040 | 1 | 21 | |
| B | B16 | 1 | 22-5319 | 1 | 548 | |
| B | B19 | 1 | 22-5306 | 11 | 50 | |
| B | D12 | 3 | 22-0275 | 1 | 8 | |
| B | D15 | 2 | 22-5308 | 5 | 48 | |
| B | F17 | 7 | 22-5212 | 8 | 1716 | |
| B | F17 | 8 | 22-5220 | 7 | 1774 | |
| B | F17 | E 5 | 22-6026 | 4 | 1 | |
| B | FF38 | 4 | 22-8352 | 1 | 24 | |
| B | FF38 | 8 | 22-8370 | 7 | 12 | |
| B | FF38 | 7 | 22-8365 | 2 | 8 | |
| B | H13 | E 6 | 22-6080 | 2 | 6 | |
| B | I17 | 5 | 22-6143 | 3 | 4 | |
| B | II38 | 14 | 22-6003 | 51 | 83 | |
| B | J17 | 4 | 22-5108 | 2 | 296 | |
| B | J17 | 6 | 22-5122 | 13 | 5190 | |
| B | JJ34 | 9 | 22-9734 | 2 | 34 | |
| B | JJ35 | 7 | 22-9788 | 1 | 14 | |
| B | JJ36 | 2 | 22-8541 | 13 | 72 | |
| B | JJ37 | 2 | 22-8425 | 1 | 88 | |
| B | JJ37 | 4 | 22-8449 | 2 | 10 | |
| B | JJ38 | 2 | 22-9059 | 8 | 164 | |
| B | JJ39 | 9 | 22-8738 | 1 | 10 | |

| | | | | | | |
|---|---|---|---|---|---|---|
| B | JJ40 | 4 | 22-8896 | 3 | 60 | |
| B | KK36 | 12 | 22-9005 | 5 | 10 | |
| B | KK36 | 13 | 22-9026 | 2 | 66 | |
| B | KK37 | 5 | 22-8317 | 1 | 8 | |
| B | KK37 | 3 | 22-8244 | 10 | 108 | |
| B | KK39 | 2 | 22-9055 | 5 | 82 | |
| B | KK39 | 2 | 22-9082 | 2 | 6 | |
| B | KK40 | 5 | 22-8825 | 2 | 36 | |
| B | KK40 | 2 | 22-8397 | 1 | 20 | |
| B | KK40 | 3 | 22-8406 | 4 | 8 | |
| B | LL31 | 12 | 22-8056 | 8 | 40 | |
| B | LL31 | 9 | 22-8038 | 5 | 28 | |
| B | LL34 | 2 | 22-8043 | 20 | 256 | |
| B | LL35 | 14 | 22-9715 | 2 | 36 | |
| B | LL35 | 11 | 22-8847 | 1 | 2 | |
| B | LL37 | 12 | 22-8474 | 1 | 6 | |
| B | LL37 | 7 | 22-8452 | 1 | 22 | |
| B | LL37 | 5 | 22-8445 | 3 | 24 | |
| B | LL38 | 1 | 22-0853 | 1 | 44 | |
| B | LL39 | 2 | 22-8990 | 2 | 14 | |
| B | LL39 | 6 | 22-9886 | 1 | 152 | |
| B | LL40 | 5 | 22-8819 | 1 | 42 | |
| B | LL41 | 5 | 22-8537 | 2 | 20 | |
| B | LL41 | 6 | 22-8797 | 5 | 48 | |
| B | MM36 | 10 | 22-9385 | 1 | 18 | |
| B | MM36 | 3 | 22-9263 | 2 | 18 | |
| B | MU11 | 4 | 22-9914 | 1 | 18 | |
| B | MU12 | 1 | 22-9815 | 1 | 6 | |
| B | MU12 | 2 | 22-9547 | 3 | 136 | |
| B | MU12 | 3 | 22-6047 | 6 | 12 | |
| B | MU14 | 1 | 22-6033 | 68 | 133 | |
| B | MU2 | 8 | 22-6076 | 28 | 81 | |
| B | MU3 | 1 | 22-9074 | 1 | 22 | |
| B | MU4 | 1 | 22-6129 | 3 | 4 | |
| B | MU6 | 2 | 22-9352 | 2 | 12 | |
| B | MU6 | 2 | 22-9923 | 1 | 14 | |
| B | MU6 | 2 | 22-6211 | 2 | 29 | |
| B | MU7 | 2 | 22-9441 | 58 | 368 | |
| B | MU7 | 1 | 22-6229 | 175 | 1059 | |
| B | NN31 | 4 | 22-8627 | 2 | 194 | |
| B | NN33 | 4 | 22-9152 | 2 | 36 | |

| | | | | | | |
|---|---|---|---|---|---|---|
| B | NN36 | 11 | 22-8681 | 1 | 116 | |
| B | NN36 | 5 | 22-8610 | 1 | 134 | |
| B | NN36 | 11 | 22-8895 | 4 | 20 | |
| B | NN38 | 2 | 22-8898 | 6 | 52 | |
| B | NN38 | 5 | 22-8732 | 3 | 18 | |
| B | NN38 | 4 | 22-8723 | 2 | 16 | |
| B | NN38 | 7 | 22-8962 | 1 | 58 | |
| B | NN40 | 2 | 22-9105 | 1 | 14 | |
| B | NN44 | 11 | 22-8686 | 1 | 10 | |
| B | OO32 | 3 | 22-9128 | 20 | 66 | |
| B | OO32 | 2 | 22-9114 | 17 | 52 | |
| B | OO34 | 6 | 22-9191 | 5 | 176 | |
| B | OO34 | 3 | 22-9165 | 5 | 40 | |
| B | OO34 | 12 | 22-9545 | 1 | 18 | |
| B | OO34 | 4 | 22-9171 | 9 | 68 | |
| B | OO41 | 3 | 22-9089 | 11 | 46 | |
| B | OO42 | 4 | 22-9147 | 20 | 132 | |
| B | OO44 | 2 | 22-9016 | 3 | 6 | |
| B | PP31 | 2 | 22-9239 | 14 | 70 | |
| B | PP38 | 2 | 22-8437 | 7 | 12 | |
| B | PP43 | 7 | 22-9690 | 2 | 38 | |
| B | PP43 | 6 | 22-9670 | 2 | 102 | |
| B | PP44 | 5 | 22-9000 | 5 | 58 | |
| B | PP44 | 2 | 22-8942 | 9 | 68 | |
| B | QQ31 | 1 | 22-9257 | 2280 | | |
| B | QQ31 | 1 | 22-9257 | 270 | 2236 | |
| B | QQ32 | 3 | 22-9324 | 14 | 98 | |
| B | QQ34 | 7 | 22-9663 | 6 | 46 | |
| B | QQ34 | 3 | 22-9616 | 1 | 24 | |
| B | QQ34 | 8 | 22-9678 | 10 | 144 | con ceramica |
| B | QQ34 | 15 | 22-9556 | 5 | 122 | |
| B | QQ36 | 7 | 22-9699 | 2 | 22 | |
| B | QQ38 | 2 | 22-8131 | 5 | 50 | |
| B | QQ43 | 3 | 22-8881 | 2 | 20 | |
| B | QQ43 | 2 | 22-8873 | 7 | 34 | con ceramica |
| B | QQ44 | 3 | 22-9020 | 4 | 30 | |
| B | QQ44 | 6 | 22-9286 | 13 | 178 | |
| B | QQ44 | 2 | 22-8765 | 5 | 36 | |

# Apéndice D - Análisis cerámico y lítico PRV-2019

Pamela Aide García Ramírez

## D.1 Presentación de Contextos

Uno de los objetos del PRV-2022 fue un análisis ampliado de artefactos recuperados durante el PRV-2019. El análisis incluirá un estudio de la forma y función de los artefactos de obsidiana recuperados en 2019, así como un estudio más detallado de la cerámica a partir de elementos selectos. El informe del PRV-2019 incluyó un análisis de la cerámica de cada lote excavado, incluyendo cantidades y pesos por categoría de pasta, fechamientos de la cerámica para todos los contextos, y un inventario de vasijas enteras con fotos (Joyce y Barber 2021). Para 2022, llevamos a cabo un análisis más detallado sobre la cerámica asociada con ofrendas y basureros, donde los artefactos proporcionarán evidencia directa de la naturaleza del elemento y las actividades que representa.

Se analizó la cerámica y la obsidiana procedente de nueve elementos incluyendo siete ofrendas y dos basureros encontrados durante las excavaciones de la temporada 2019; estos contextos provienen de 4 operaciones diferentes que se distribuyen dentro de la acrópolis (Ops. A y B), el Montículo 5 (Op. C) y el Montículo 2 (Op. D) de Río Viejo (Figura D.1). Detalles sobre las excavaciones, las operaciones, y los elementos se encuentran en el informe técnico (Joyce y Barber 2021). La Tabla D.1 muestra los diferentes contextos estudiados y su conformación (operación, unidad-lote, y tipo de contexto.

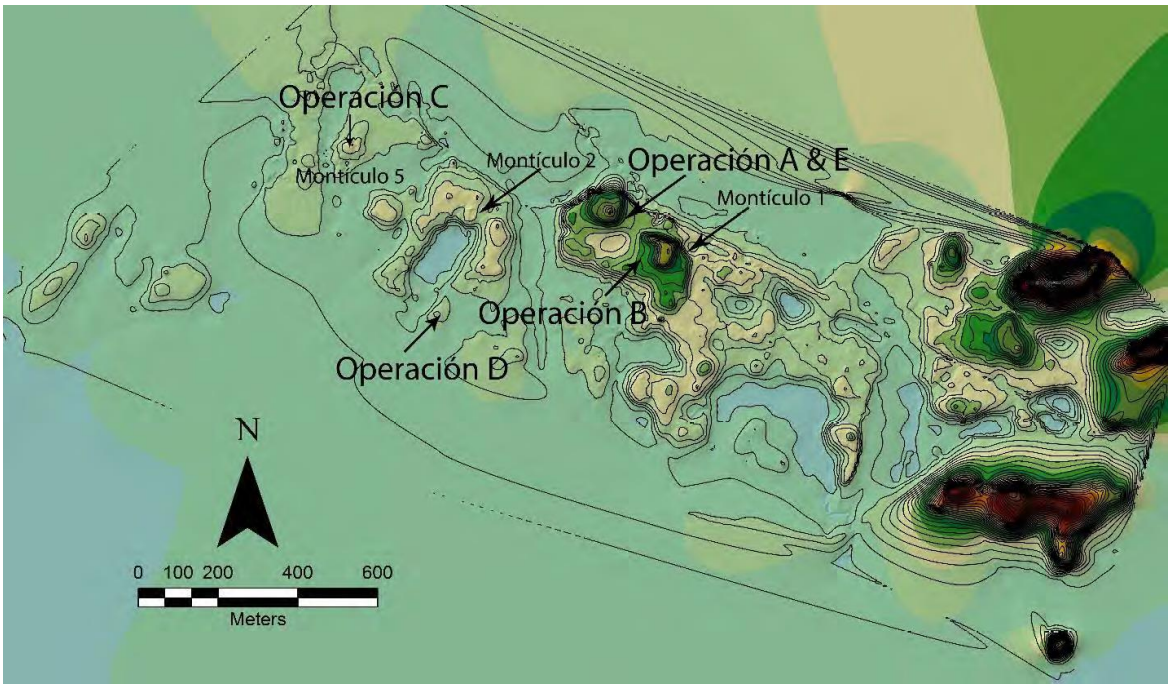



**Figura D.1. Mapa topográfico de Rio Viejo con la ubicación de las distintas operaciones (Tomado de Joyce y Barber 2021).**

**Tabla D.1. Contextos analizados del PRV-2019.**

| OPERACIÓN | ELEMENTO | UNIDAD-LOTE | CONTEXTO |
|---|---|---|---|
| Op. A | E34 | 2D50-11 y 12, 2D51-7 | Ofrenda |
| Op. A | E35 | 5D50-14 | Ofrenda |
| Op. B | E37 & E38 | MU1(5L75 & 5L76)-1, 3 a 7 | Ofrenda |
| Op. B | E44 | MU3(6L73)-1 a 3 | Ofrenda |
| Op. B | E49 | 5L99-25 a 31 | Ofrenda |
| Op. B | E56 | 5L74-15 | Ofrenda |
| Op. C | E7 & E8 | 1F50-4 a 6, 0F50-8 a 12 | Ofrenda |
| Op. C | E3 | 0G31-4 y 5, 0G32-11 a 22 | Basurero |
| Op. D | E21 | 5I55-17 a 24 | Basurero |

## D.2 Cerámica

En esta sección se presentan los métodos y resultados del análisis de cerámica del PRV-2019.

D.2.1 Metodología cerámica

Para el análisis detallado de la cerámica se registraron distintos atributos de cada borde de los diferentes lotes; cabe mencionar que durante la temporada 2019 se realizó la clasificación por pasta, y el conteo y peso de cada una de estas, así como su datación (ver Joyce y Barber, 2021). La Figura D.2 muestra un ejemplo del material analizado del Basurero E21. Los atributos registrados



**Figura D.2. Ejemplo de la cerámica analizada (FS 19-4422).**

para el análisis detallado fueron: Pasta, Peso, Diámetro (boca y cuello), Forma (general y especifica), Descripción de la forma (pared, borde y labio), Decoración (técnica decorativa, ubicación y diseño), y Tratamiento de superficie (técnica y ubicación). Los atributos fueron registrados en una base de datos, como es visible en la Figura D.3, empleando los códigos que se presentan abajo junto con su significado.

| FS | Op | Unidad | Lote | Pasta | Peso | Ø Borde | Ø Cuello | F. General | F. Especifica | F. Pared | F. Borde | F. Labio | Dec 1 | Superficie | Ubicación | Motivo | Dec 2 | Superficie2 | Color | Dec 3 | Superficie3 |
|---|---|---|---|---|---|---|---|---|---|---|---|---|---|---|---|---|---|---|---|---|---|
| 19-1069 | A | 2D50 | 11 | G | 213 | 26 | | BW | CY | VERT | DIR | BEV INT | In | Ext | en cuerpo | lazy z, horizontal, greca "m" | | | | Bur | Int/Ext |
| 19-1094 | A | 2D50 | 12 | G | 275 | 12 | 9 | JR | OL | NA | OUTL | RED | | | | | | | | Bur | Ext |
| 19-1094 | A | 2D50 | 12 | G | 13 | 12 | | JR? | OL? | NA | OUTL | RED | | | | | | | | Bur | Ext |
| 19-1094 | A | 2D50 | 12 | G | 18 | 12 | | BW | CY | VERT | EVER | RED | | | | | | | | Bur | Ext |
| 19-1094 | A | 2D50 | 12 | G | 17 | 14 | | BW | CY | VERT | DIR | PLA | In | Ext | bajo borde/pa | escena | Slip | Int/Ext | BL | Bur | Int/Ext |
| 19-1094 | A | 2D50 | 12 | G | 44 | 22 | | BW | CS | CS/INC | DIR | RED | In | Ext | ruptura siluet | horizontal | | | | Bur | Int/Ext |
| 19-1162 | A | 2D51 | 7 | G | 822 | 26 | | BW | CN | OUTL | DIR | RED | In | Ext | bajo borde/pa | lazy Z, horizontal, "espinas" | | | | Bur | Int/Ext |
| 19-1162 | A | 2D51 | 7 | G | 20 | 20 | | BW | CN | OUTL | DIR | RED | Car | Ext | pared | horizontal | | | | Bur | Int/Ext |
| 19-7001 | A | 2D51 | 7 | O | 31 | 20 | | BW | SM | INC | OUTL | RED | | | | | Slip | Int/Ext | O | Bur | Int/Ext |

**Figura D.3. Ejemplo de registro de atributos cerámicos.**

PASTA
**CB**: Café Grueso
**CF**: Café Fino
**G:** Gris
**N**: Naranja
**O**: Otro
**I:** Importado

FORMA GENERAL
**BW**: Cajete
**JR**: Olla
**CM**: Comal
**¿?**: Sin determinar

FORMA ESPECIFICA
CAJETE:
**CN**: cónico
**SM**: Semiesférico
**CC:** Curvo-convergente
**CY**: Cilíndrico
**CS**: Silueta compuesta
**PL**: Plato
**¿?**: Sin determinar

OLLA:
**OL-SN**: Cuello Corto
**OL-SN-LE**: Tecomate
**OL-TN**: Cuello Alto
**OL-TN-LE**:

**B/C**: Botellón/Cántaro
**¿?**: Sin determinar

FORMA PARED
**OUTL**: Inclinada al exterior
**OUTC**: Curveada al exterior
**INC**: curveada al interior
**INL**: inclinada al interior
**INC CONV**: Curvo convergente boca restringida
**INC DIV**: Curvo convergente boca ancha
**VERT**: Vertical

FORMA BORDE
**DIR**: Directo
**EVER**: Evertido
**OUTC**: Curveada al exterior
**OUTL**: Inclinada al exterior

FORMA LABIO
**RED**: Redondeado
**PLA**: Plano
**BEV INT**: Bisel interior
**BEV EXT**: Bisel exterior
**BEV INT-EXT**: Bisel int y ext

DECORACIÓN 1
**In**: Inciso
**Car**: Excavado
**Mu**: Muescas
**A**: Aplicación
**Comb**: Fondo Cepillado
**Pu**: Punzado
**Int Step**: Escalón interior

DECORACIÓN 2
**Slip**: Engobe
**Wash**: Baño
**Pa**: Pintura

DECORACIÓN 3
**Bur**: Bruñido

COLOR
**BL**: Negro
**O**: Naranja
**R**: Rojo
**Br**: Café

D.2.2. Resultados análisis cerámica

En total se analizaron 910 bordes de los nueve contextos diferentes, estos representan el 8.74% de toda la cerámica recuperada de los mismos contextos. La Tabla D.2 presenta la cuenta y peso de bordes analizados vs la totalidad de la cerámica de cada contexto, así como el porcentaje representativo del material analizado.

Cabe mencionar que cuatro de los nueve contextos analizados fueron muestreados como se indica a continuación: 1) E37 y E38. Se analizaron 177 de 205 bordes presentes, es decir, una muestra del 86%; 2) E49. Se analizaron 280 de 294 bordes presentes, es decir, una muestra del 95%; 3) E7 y E8. Se analizaron 147 de 162 bordes presentes, es decir, una muestra del 90%; y 4) E3. Se analizaron 157 de 212 bordes presentes, es decir, una muestra del 74%.

**Tabla D.2. Bordes analizados vs Total cerámica de cada contexto y su porcentaje representativo. O = Ofrenda, B = Basurero. La cuenta y peso total se obtuvieron del Informe PRV2019. El porcentaje de la cuenta y peso de los bordes analizados es a partir del total de la cerámica del contexto.**

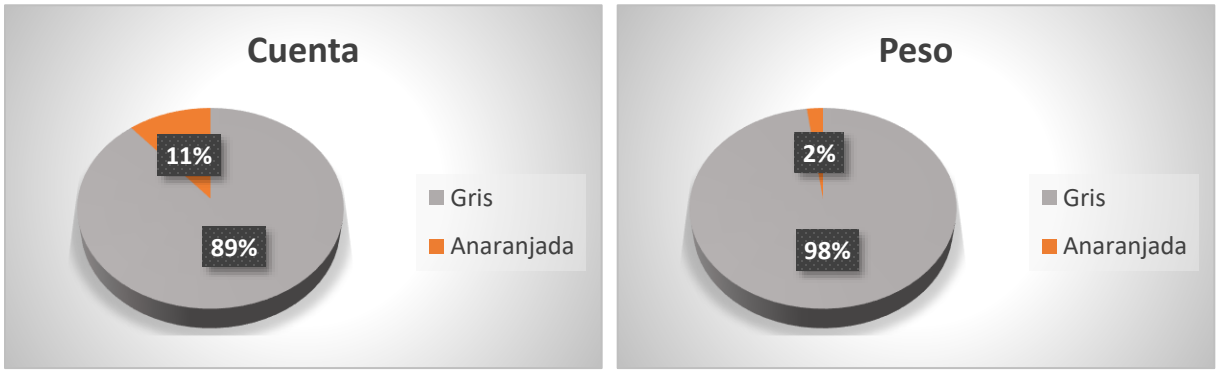
| ELEMENTO | BORDES ANALIZADOS | | CERÁMICA TOTAL | | % ANALIZADO | |
|---|---|---|---|---|---|---|
| | CUENTA (#) | PESO (G) | CUENTA (#) | PESO (G) | % CUENTA | % PESO |
| O - E34 | 9 | 1,453 | 214 | 3,473 | 4.21% | 41.84% |
| O - E35 | 1 | 1,613 | 1 | 1,613 | 100% | 100% |
| O - E37 y E38 | 177 | 3,678 | 2,648 | 19,619 | 6.68% | 18.75% |
| O - E44 | 41 | 841 | 332 | 3,460 | 12.35% | 24.31% |
| O - E49 | 280 | 13,026 | 2,219 | 42,032 | 12.62% | 30.99% |
| O - E56 | 8 | 214 | 45 | 934 | 17.78% | 22.91% |
| O - E7 & E8 | 156 | 13,275 | 2,076 | 58,185 | 7.51% | 22.82% |
| B - E3 | 159 | 8,076 | 2,349 | 32,872 | 6.77% | 24.57% |
| B - E21 | 79 | 3,880 | 524 | 11,947 | 15.08% | 32.48% |
| **total** | **910** | **46,056** | **10,408** | **174,135** | 8.74% | 26.45% |

A continuación, se presenta la conformación de la muestra cerámica estudiada para cada contexto: la cuenta y peso de las diferentes pastas, así como su distribución en las formas cerámicas generales y específicas.

**Ofrenda E34**

Esta ofrenda se localiza en la Operación A, unidad 2D50 lotes 11 y 12, y unidad 2D51 lote 7. Se encuentra dentro de la Estructura 1 en la acrópolis, posiblemente asociada a la clausura de la estructura. La ofrenda esta sobre una concentración de restos óseos, posiblemente un cráneo, y data de la primera parte de la fase Coyuche.

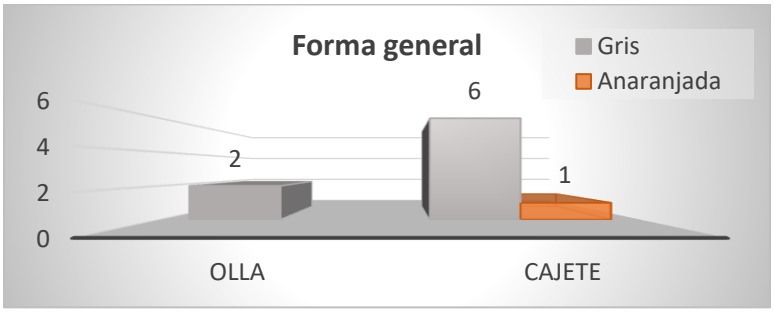
Los materiales analizados fueron: 2D50-11 (FS 19-1069), 2D50-12 (FS 19-1094), 2D51-7 (FS 19-1162), y 2D51-7 (FS 19-7001). Se analizó el 100% de los bordes recuperados. Se trata de un contexto pequeño con solo 9 bordes analizados de 214 fragmentos de la cerámica recuperada de ese contexto, esto representa el 4.21% de la muestra total de cerámica (Tabla D.2). De los bordes analizados, 11% corresponden a pasta anaranjada y 89% a pasta gris (Figura D.4).




| PASTA | CUENTA | % CUENTA | PESO | % PESO |
|---|---|---|---|---|
| Gris | 8 | 88.88% | 1422 | 97.87% |
| Anaranjada | 1 | 11.11% | 31 | 2.134% |
| **total** | **9** | **100%** | **1453** | **100%** |

**Figura D.4. Porcentajes de cuenta y peso de los bordes analizados en Ofrenda E34.**

La forma predominante son los Cajetes, dentro de las Ollas (2 bordes) no se pudo determinar la forma específica porque su tamaño era muy pequeño (Figura D.5). Dentro de los cajetes se tienen cilíndricos [CY] (3 bordes), cónicos [CN] (2 bordes), de silueta compuesta [CS] (1 borde) y semiesféricos [SM] (1 borde) (Tabla D.3).




| PASTA | % OLLA | % CAJETE |
|---|---|---|
| Gris | 22.22% | 66.66% |
| Anaranjada | | 11.11% |
| **total** | **22.22%** | **77.77%** |

**Figura D.5. Cuenta y porcentaje de forma general en Ofrenda E34.**

**Tabla D.3. Cuenta y porcentaje de formas especificas en los cajetes ofrenda E34.**

| | CAJETES | | | | | | | |
|---|---|---|---|---|---|---|---|---|
| **PASTA** | **CN** | **%CN** | **SM** | **%SM** | **CY** | **%CY** | **CS** | **%CS** |
| Gris | 2 | 28.57% | | | 3 | 42.85% | 1 | 14.28% |
| Anaranjada | | | 1 | 14.28% | | | | |
| **total** | **7 (100%)** | | | | | | | |




**Figura D.6. Ejemplo de la cerámica recuperada en Ofrenda E34. 19-1069: cajete cilíndrico pasta gris; 19-1162 cajete cónico pasta gris; 19-1094: 1) olla pasta gris, 2) cajete cilíndrico pasta gris, 3) cajete cilíndrico pasta gris, 4) cajete silueta compuesta pasta gris.**

**Ofrenda E35**

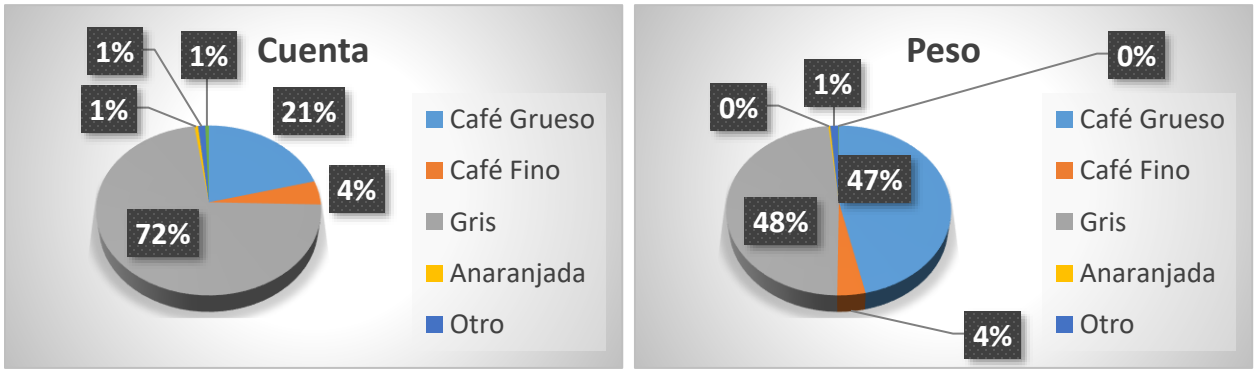
Se localiza en la Operación A, unidad 5D50, lote 14. Esta es una ofrenda de una sola vasija de pasta café gruesa asociada a un piso (E15), asociado a la Estructura 1, que data hasta el final de la fase Chacahua. Los materiales analizados fueron: 5D50-4 (FS 19-1122). Es un cajete cilíndrico [CY], de pasta café gruesa, que pesa 1,613 g (Figura D.7).



**Figura D.7. Cajete cilíndrico pasta café grueso (FS-19-1122).**

**Ofrenda E37 y E38**

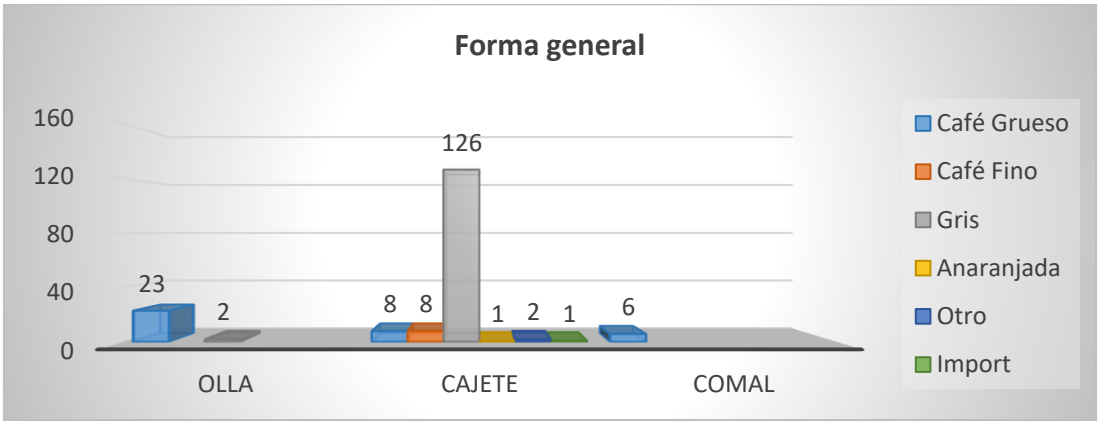
Se localiza en la Operación B, unidades 5LMU1, lotes 1 y 3 a 7; al oeste de la Estructura 2, en un área de la acrópolis abandonada entre la fase Chacahua y Coyuche. Se trata de un depósito de clausura sobre una posible escalera. La ofrenda es del final de la fase Chacahua. Los materiales analizados fueron: 5LMU1-1 (FS 19-269), 5LMU1-3 (FS 19-281), 5LMU1-4 (FS 19-286), 5LMU1-5 (FS 19-296), 5LMU1-6 (FS 19-308), y 5LMU1-7 (FS 19-314). Se analizaron 177 bordes de 205 recuperados, es decir el 86.34% de los bordes recuperados. Se analizaron 177 bordes de 2,648 fragmentos, lo que corresponde al 6.68% de la muestra total de cerámica (Tabla D.2). De estos el 72% es pasta gris, el 21% café grueso, el 4% café fino, y 3% la suma de pasta anaranjada, importada y otro (Figura D.8).




| PASTA | CUENTA | % CUENTA | PESO | % PESO |
|---|---|---|---|---|
| Café Grueso | 37 | 20.90% | 1,711 | 46.52% |
| Café Fino | 8 | 4.52% | 136 | 3.69% |
| Gris | 128 | 72.31% | 1,771 | 48.15% |
| Anaranjado | 1 | 0.56% | 10 | 0.27% |
| Otro | 2 | 1.12% | 46 | 1.25% |
| Importado | 1 | 0.56% | 4 | 0.11% |
| **total** | **177** | **100%** | **3,678** | **100%** |

**Figura D.8. Porcentajes de cuenta y peso de los bordes analizados en Ofrenda E37 y E38.**

La forma predominante va de acuerdo con la pasta, en la pasta gris predomina el cajete con 126 bordes, mientras que la café gruesa son las ollas con 23 bordes y los comales con 6 (Figura D.9). Dentro de los cajetes predomina el cónico [CN] (92 bordes), seguido del semiesférico [SM] (25 bordes) y el curvo-convergente [CC] (21 bordes), en menor medida hay cilíndrico [CY] (4 bordes) y tipo plato extendido (2 bordes) (Tabla D.4). Las ollas son predominantemente del tipo cuello corto [SN] (19 bordes), tanto en pasta café grueso como gris (Tabla D.5).




| PASTA | % OLLA | % CAJETE | % COMAL |
|---|---|---|---|
| Café Grueso | 12.99% | 4.52% | 3.39% |
| Café Fino | | 4.52% | |
| Gris | 1.13% | 71.18% | |
| Anaranjado | | 0.56% | |
| Otro | | 1.13% | |
| Importado | | 0.56% | |
| **total** | **14.12%** | **82.49%** | **3.39%** |

**Figura D.9. Cuenta y porcentaje de forma general en Ofrenda E37 y E38.**

**Tabla D.4. Cuenta y porcentaje de formas específicas en cajetes en Ofrenda E37 y E38.**

| | CAJETES | | | | | | | | | | | |
|---|---|---|---|---|---|---|---|---|---|---|---|---|
| **PASTA** | **CN** | **% CN** | **SM** | **% SM** | **CY** | **% CY** | **CC** | **% CC** | **¿?** | **% ¿?** | **PLATO** | **% PLATO** |
| Café Grueso | 7 | 4.79% | | | 1 | 0.68% | | | | | | |
| Café Fino | 7 | 4.79% | 1 | 0.68% | | | | | | | | |
| Gris | 77 | 52.74% | 21 | 14.38% | 3 | 2.05% | 22 | 14.38% | 2 | 1.37% | 2 | 1.37% |
| Anaranjado | 1 | 0.68% | | | | | | | | | | |
| Otro | | | 2 | 1.37% | | | | | | | | |
| Importado | | | 1 | 0.68% | | | | | | | | |
| **total** | 146 (100%) | | | | | | | | | | | |

**Tabla D.5. Cuenta y porcentaje de formas específicas en ollas en Ofrenda E37 y E38.**

| | OLLAS | | | | | | | |
|---|---|---|---|---|---|---|---|---|
| **PASTA** | **TN** | **% TN** | **SN** | **% SN** | **SN-LE** | **% SN-LE** | **B/C** | **% B/C** |
| Café Grueso | 2 | 8% | 19 | 76% | 1 | 4% | 1 | 4% |
| Café Fino | | | | | | | | |
| Gris | | | 1 | 4% | | | 1 | 4% |
| Anaranjado | | | | | | | | |
| Otro | | | | | | | | |
| Importado | | | | | | | | |
| **total** | **25 (100%)** | | | | | | | |

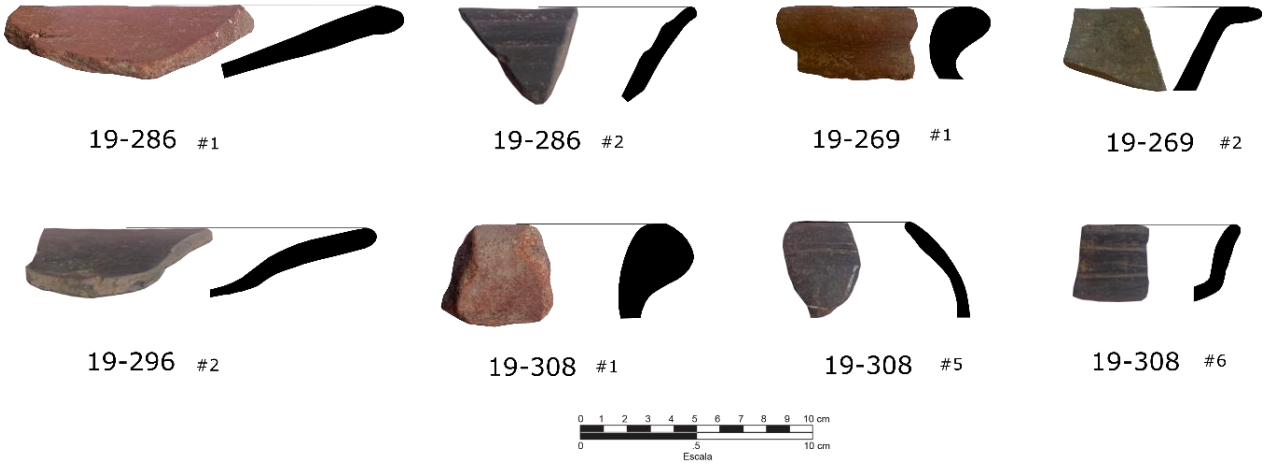
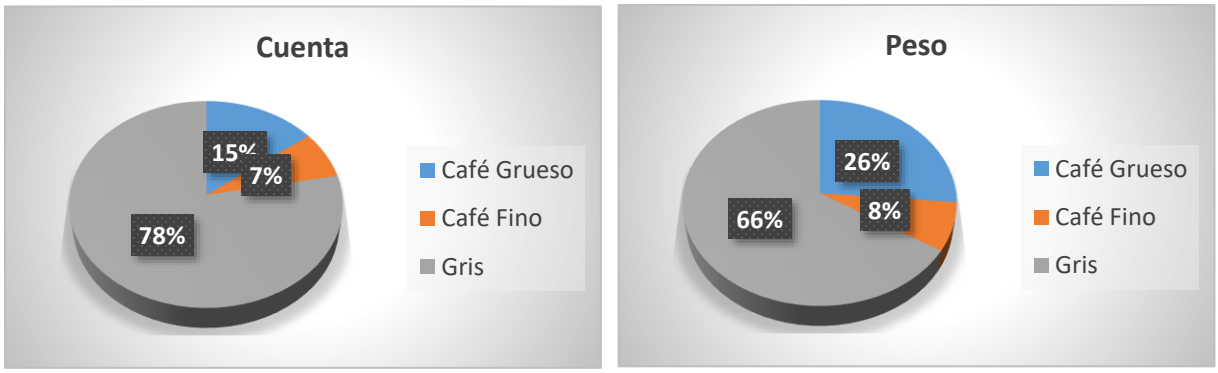



**Figura D.10. Ejemplo de la cerámica recuperada en Ofrenda E37 y E38: 19-286: 1) comal pasta café grueso, 2) cajete cónico pasta gris; 19-269: 1) olla cuello corto pasta café grueso, 2) cajete cónico pasta gris; 19-296: 2) cajete cónico pasta gris; 19-308: 1) olla cuello corto pasta café grueso, 5) cajete curvo-convergente pasta gris, 6) cajete cónico pasta gris.**

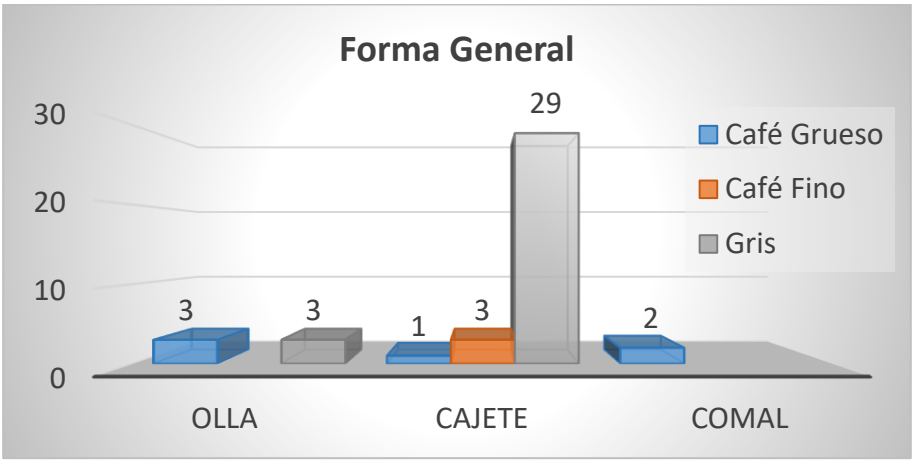
**Ofrenda E44**

Se localiza en la Operación B, unidades MU3 (6L73), lotes 1 a 3. Se trata de un pozo del final de la fase Chacahua, que contine un depósito de clausura. Se encuentra sobre una plataforma asociada al Elemento E37 y E38 (Joyce y Barber, 2021). Los materiales analizados fueron: MU3-1 (FS 19-698), MU3-2 (FS 19-732), y MU3-3 (FS 19-739). Se analizó el 100% de los bordes recuperados. Se analizaron 31 bordes de 332 fragmentos, lo que corresponde al 12.35% (Tabla D.2). De los bordes analizados el 78% es pasta gris, el 15% café grueso, y el 7% café fino (Figura D.11). La forma predominante es el cajete, seguido de la olla y el comal (Figura D.12). Dentro de los cajetes predomina el cónico [CN] (21 bordes), seguido del semiesférico [SM] (9 bordes) y el curvo convergente [CC] (2 bordes). Dentro de las ollas se tienen de tipo cuello corto [SN] y botellón/cantaro [B/C] (Tabla D.6).




| PASTA | CUENTA | % CUENTA | PESO | % PESO |
|---|---|---|---|---|
| Café Grueso | 6 | 14.63% | 222 | 26.4% |
| Café Fino | 3 | 7.31% | 64 | 7.61% |
| Gris | 32 | 78.04% | 555 | 65.99% |
| **total** | **41** | **100%** | **841** | **100%** |

**Figura D.11. Porcentajes de cuenta y peso de los bordes analizados en Ofrenda E44.**




| PASTA | % OLLA | % CAJETE | % COMAL |
|---|---|---|---|
| Café Grueso | 7.32% | 2.44% | 4.87% |
| Café Fino | | 7.32% | |
| Gris | 7.32% | 70.73% | |
| **total** | **14.64%** | **80.49%** | **4.87%** |

**Figura D.12. Cuenta y porcentaje de forma general en Ofrenda E44.**

**Tabla D.6. Cuenta y porcentaje de formas específicas en cajetes y ollas en Ofrenda E44.**

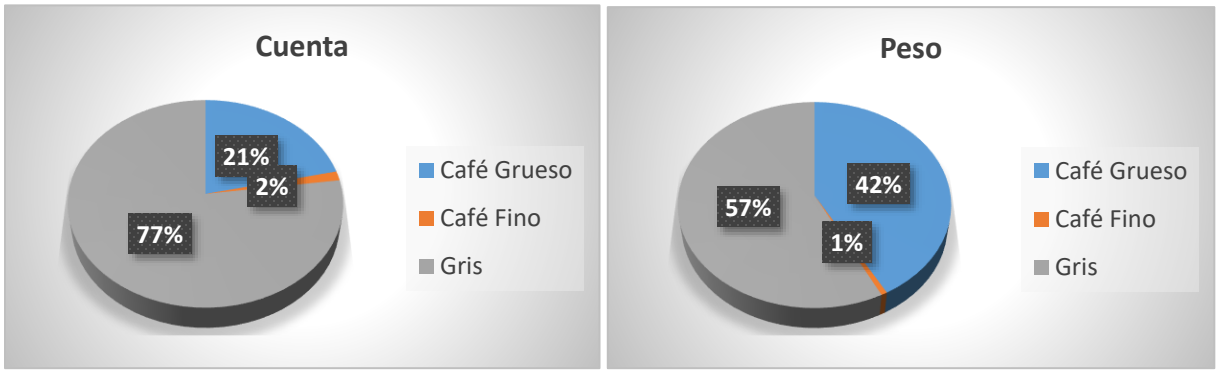
| | CAJETE | | | | | | | | OLLA | | | |
|---|---|---|---|---|---|---|---|---|---|---|---|---|
| **PASTA** | **CN** | **%CN** | **SM** | **%SM** | **CC** | **%CC** | **¿?** | **%¿?** | **SN** | **%SN** | **B/C** | **% B/C** |
| Café Grueso | 1 | 3.03% | | | | | | | 3 | 50% | | |
| Café Fino | 2 | 6.06% | 1 | 3.03% | | | | | | | | |
| Gris | 18 | 54.54% | 8 | 24.24% | 2 | 6.06% | 1 | 3.03% | | | 3 | 50% |
| **total** | **33 (100%)** | | | | | | | | **6 (100%)** | | | |




**Figura D.13. Cerámica recuperada. 19-698: 1) botellón/cántaro pasta gris, 2) cajete cónico pasta gris con un escalón en la pared interior, 3) cajete cónico pasta gris; 19-732: 1) cajete cónico pasta gris (borde evertido), 2) cajete cónico pasta gris con un escalón en la pared interior; 19-739: 1) olla cuello corto pasta café grueso, 2) cajete cónico pasta gris, 3) cajete cónico pasta gris con un escalón en la pared interior.**

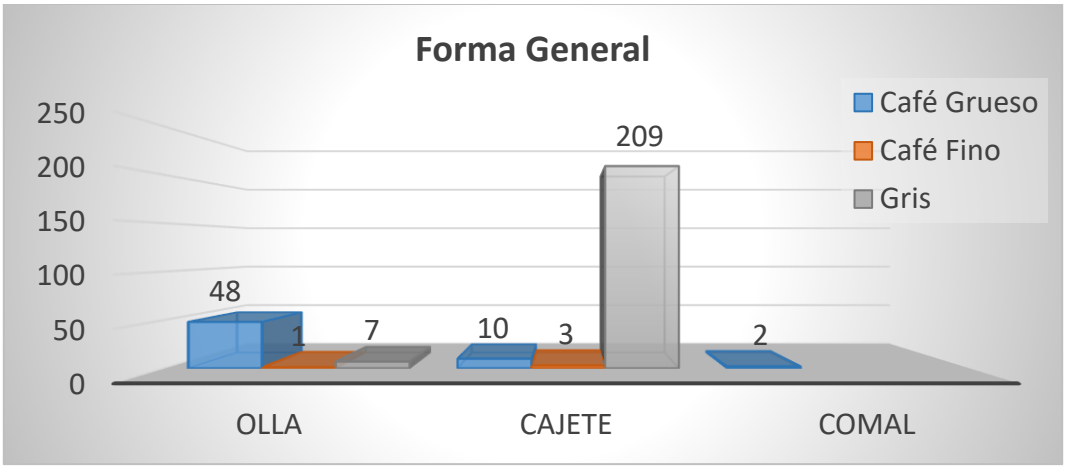
**Ofrenda E49**

Se localiza en la Operación B, unidad 5L99, lotes 25 a 31. Asociado a una superficie de tierra y adobe apisonada (E50), se trata de un posible depósito de clausura con alta densidad de materiales (cerámica, bajareque), y poco material orgánico. Es de la fase Chacahua. Los materiales analizados fueron: 5L99-25 (FS 19-213), 5L99-26 (FS 19-228), 5L99-26 (FS 19-220), 5L99-27 (FS 19-231), 5L99-28 (FS 19-237), 5L99-29 (FS 19-258), 5L99-30 (FS 19-293), 5L99-30 (FS 19-295), y 5L99-31 (FS 19-300). Se analizaron 280 bordes de 295 recuperados, es decir el 95.23% de los bordes recuperados. Se analizaron 280 bordes de 2,219 fragmentos, lo que corresponde al 12.62% (Tabla D.2). La distribución de las pastas es la siguiente, 77.14% pasta gris, 21.42% pasta café grueso, y 1.42% café fino (Figura D.14). En las formas generales abundan los cajetes, principalmente en pasta gris, seguido de las ollas en pasta café grueso, y en mucho menor medida los comales también en pasta café grueso (Figura D.15).




| PASTA | CUENTA | % CUENTA | PESO | % PESO |
|---|---|---|---|---|
| Café Grueso | 60 | 21.42% | 5,458 | 41.9% |
| Café Fino | 4 | 1.42% | 85 | 0.65% |
| Gris | 216 | 77.14% | 7,483 | 57.45% |
| **total** | **280** | **100%** | **13,026** | **100%** |

**Figura D.14. Porcentajes de cuenta y peso de los bordes analizados en Ofrenda E49.**




| PASTA | % OLLA | % CAJETE | % COMAL |
|---|---|---|---|
| Café Grueso | 17.14% | 3.57% | 0.71% |
| Café Fino | 0.35% | 1.071% | |
| Gris | 2.5% | 74.64% | |
| **total** | **20%** | **79.29%** | **0.71%%** |

**Figura D.15. Cuenta y porcentaje de forma general en Ofrenda E49.**

Dentro de los cajetes el de mayor representación es el cónico [CN] (134 bordes), semiesférico [SM] (56 bordes), curvo convergente [CC] (24 bordes), mientras que cilíndrico [CY] (1 bordes), silueta compuesta [CS] (2 bordes) y sin definir [¿?] (5 bordes) se encuentran en pocas cantidades. Dentro de las ollas la de mayor presencia es del tipo cuello corto [SN] (35 bordes) (Tabla D.7).

**Tabla D.7. Cuenta y porcentaje de formas específicas en Ofrenda E49.**

| | CAJETES | | | | | | | | | | | |
|---|---|---|---|---|---|---|---|---|---|---|---|---|
| **PASTA** | **CN** | **% CN** | **SM** | **% SM** | **CY** | **% CY** | **CS** | **% CS** | **CC** | **% CC** | **¿?** | **% ¿?** |
| Café Grueso | 4 | 1.80% | 4 | 1.80% | | | | | 1 | 0.45% | 1 | 0.45% |
| Café Fino | 2 | 0.90% | 1 | 0.45% | | | | | | | | |
| Gris | 128 | 57.65% | 51 | 22.97% | 1 | 0.45% | 2 | 0.90% | 23 | 10.36% | 4 | 1.80% |
| **total** | **222 (100%)** | | | | | | | | | | | |

| | OLLAS | | | | | | | | | |
|---|---|---|---|---|---|---|---|---|---|---|
| **PASTA** | **TN** | **% TN** | **SN** | **% SN** | **SN-LE** | **% SN-LE** | **B/C** | **% B/C** | **¿?** | **% ¿?** |
| Café Grueso | 2 | 3.57% | 34 | 60.71% | 7 | 12.5% | | | 5 | 8.92% |
| Café Fino | | | | | | | 1 | 1.78% | | |
| Gris | | | 1 | 1.78% | 1 | 1.78% | 3 | 5.35% | 2 | 3.57% |
| **total** | **56 (100%)** | | | | | | | | | |

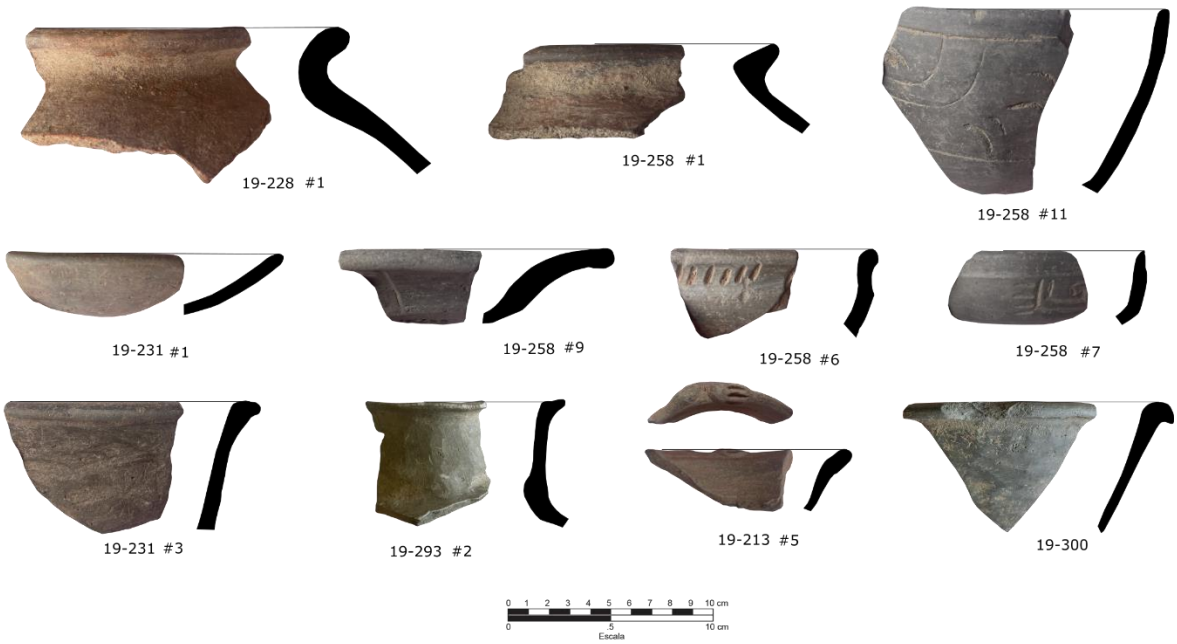



**Figura D.16. Ilustración de las principales formas en Ofrenda E49. 19-228: 1) Olla cuello corto pasta café grueso; 19-258: 1) Ollas cuello corto pasta café grueso, 6) Cajete silueta compuesta pasta gris 7) Cajete semiesférico pasta gris, 9) Cajete cónico pasta gris, 11) Cajete semiesférico pasta gris; 19-231: 1) Cajete semiesférico pasta gris, 3) Cajete cónico pasta gris; 19-293: 2) Olla Botellón/Cántaro pasta gris; 19-300: Cajete cónico pasta gris**

**Ofrenda E56**

Se localiza en la Operación B, unidad 5L74, lote 15. Es un depósito de cerámica dentro de la plataforma de adobe, y que data de la fase Chacahua. Los materiales analizados fueron: El74-15 (FS 19-684). Se analizo el 100% de los bordes recuperados. Este es un contexto pequeño, se analizaron 8 bordes de 45 tiestos totales, lo que corresponde al 17% de la cerámica total del contexto (Tabla D.2). Los bordes analizados fueron cajetes de pasta gris, 6 cónicos [CN] y 2 semiesféricos [SM] (Figura D.17).

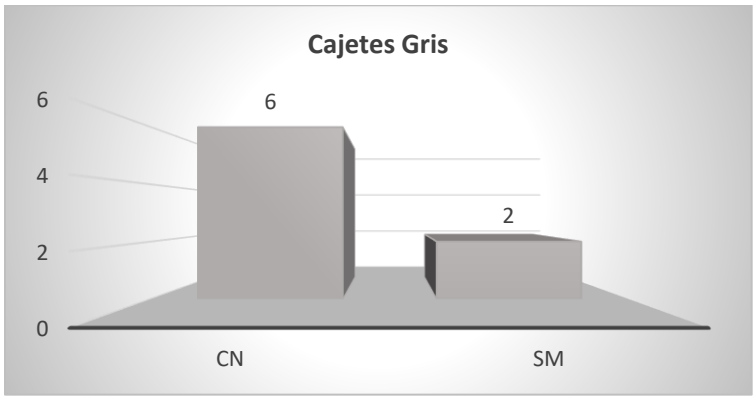


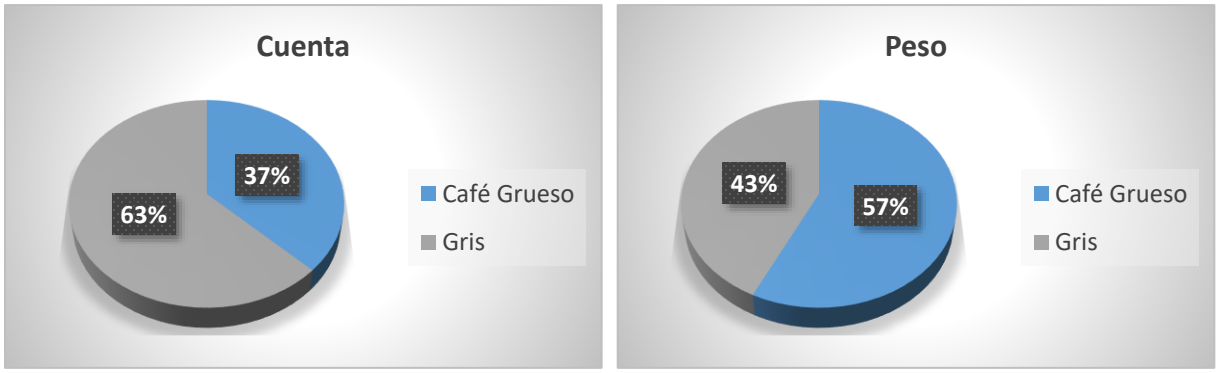

**Figura D.17. Distribución de forma general en Ofrenda E56.**




**Figura D.18. Cerámica del contexto E56.**

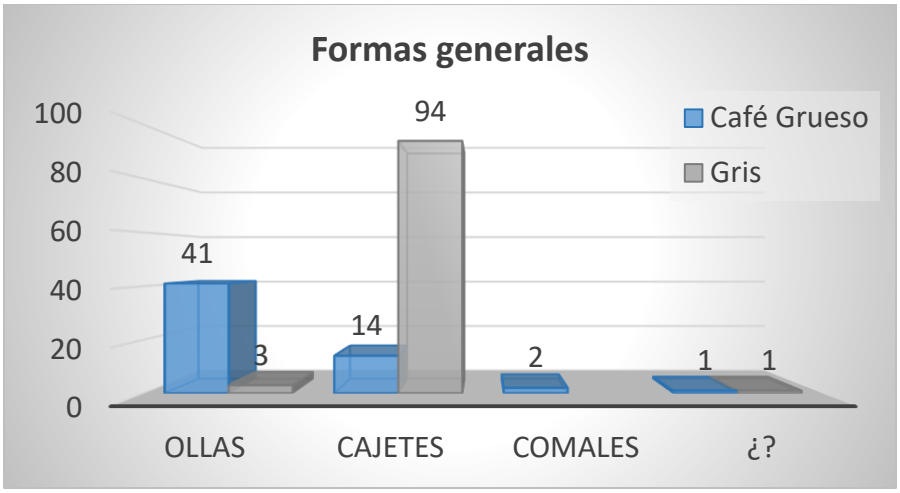
**Ofrenda E7 y E8**

Se localiza en la Operación C, unidad 1F50, lotes 4 a 6 y 0F50 lotes 8 a 12. Se trata de un depósito ceremonial asociado a la clausura del Montículo 5, que data de la fase Chacahua. Los materiales analizados fueron: 1F50-4 (FS 19-3038), 1F50-5 (FS 19-3043), 1F50-6 (FS 19-3059), 1F50-6 (FS 19-3066), 0F50-8 (FS 19-3081), 0F50-9 (FS 19-3093), 0F50-10 (FS 19-3102), 0F50-11 (FS 19-3106), 0F50-11 (FS 19-3120), 0F50-11 (FS 19-3118), 0F50-11 (FS 19-3119), y 0F50-12 (FS 19-3124). Se analizaron 147 bordes de 162 recuperados, es decir el 90.74% de los bordes recuperados. Se analizaron 156 bordes de 2,076, lo que corresponde al 7.51% del total de la cerámica (Tabla D.2). El 63% de la muestra es pasta gris, y el 37% es pasta café grueso (Figura D.19). Se mantiene la distribución de formas asociadas a pastas, con las ollas predominando en la pasta café grueso, seguidas de los cajetes y los comales, mientras que en la pasta gris se tiene mayor presencia de cajetes seguidos de algunas ollas (Figura D.20).




| PASTA | CUENTA | % CUENTA | PESO | % PESO |
|---|---|---|---|---|
| Café Grueso | 58 | 37.18% | 7602 | 57.27% |
| Gris | 98 | 62.82% | 5673 | 42.73% |
| **total** | **156** | **100%** | **13275** | **100%** |

**Figura D.19. Porcentaje de pastas y distribución en forma general en Ofrenda E7 y E8.**




| PASTA | % OLLAS | % CAJETES | % COMALES | % ¿? |
|---|---|---|---|---|
| Café Grueso | 26.28% | 8.97% | 1.28% | 0.64% |
| Gris | 1.923% | 60.25% | | 0.64% |
| **total** | **28.20%** | **69.23%** | **1.28%** | **1.28%** |

**Figura D.20. Cuenta y porcentaje de Forma General en Ofrenda E7 y E8.**

Dentro de las formas específicas, para los cajetes se tiene una mayor proporción de cónicos [CN] (62 bordes) seguidos del curvo convergente [CC] (19 bordes), semiesféricos [SM] (8 bordes), cilíndricos [CY] (5 bordes), silueta compuesta [CS] (1 borde) y sin definir [¿?] (7 bordes); mientras que en las ollas predominan las de tipo cuello alto [TN] (Tablas D.8 y D.9).

**Tabla D.8. Cuenta y porcentaje de formas específicas en cajetes en Ofrenda E7 y E8.**

| | CAJETES | | | | | | | | | | | |
|---|---|---|---|---|---|---|---|---|---|---|---|---|
| **PASTA** | **CN** | **% CN** | **SM** | **% SM** | **CY** | **% CY** | **CS** | **% CS** | **CC** | **% CC** | **¿?** | **% ¿?** |
| Café Grueso | 8 | 7.84% | 3 | 2.94% | | | | | | | 1 | 0.98% |
| Gris | 54 | 52.94% | 5 | 4.90% | 5 | 4.90% | 1 | 0.98% | 19 | 18.62% | 6 | 5.88% |
| **total** | **102 (100%)** | | | | | | | | | | | |

**Tabla D9. Cuenta y porcentaje de formas específicas en ollas en Ofrenda E7 y E8.**

| | OLLAS | | | | | | | | | | | |
|---|---|---|---|---|---|---|---|---|---|---|---|---|
| **PASTA** | **TN** | **% TN** | **TN-LE** | **% TN-LE** | **SN** | **% SN** | **SN-LE** | **% SN-LE** | **B/C** | **% B/C** | **¿?** | **% ¿?** |
| Café Grueso | 34 | 77.27% | 2 | 4.54% | 4 | 9.09% | 1 | 2.27% | | | | |
| Gris | | | | | | | | | 2 | 4.54% | 1 | 2.27% |
| **total** | **44 (100%)** | | | | | | | | | | | |

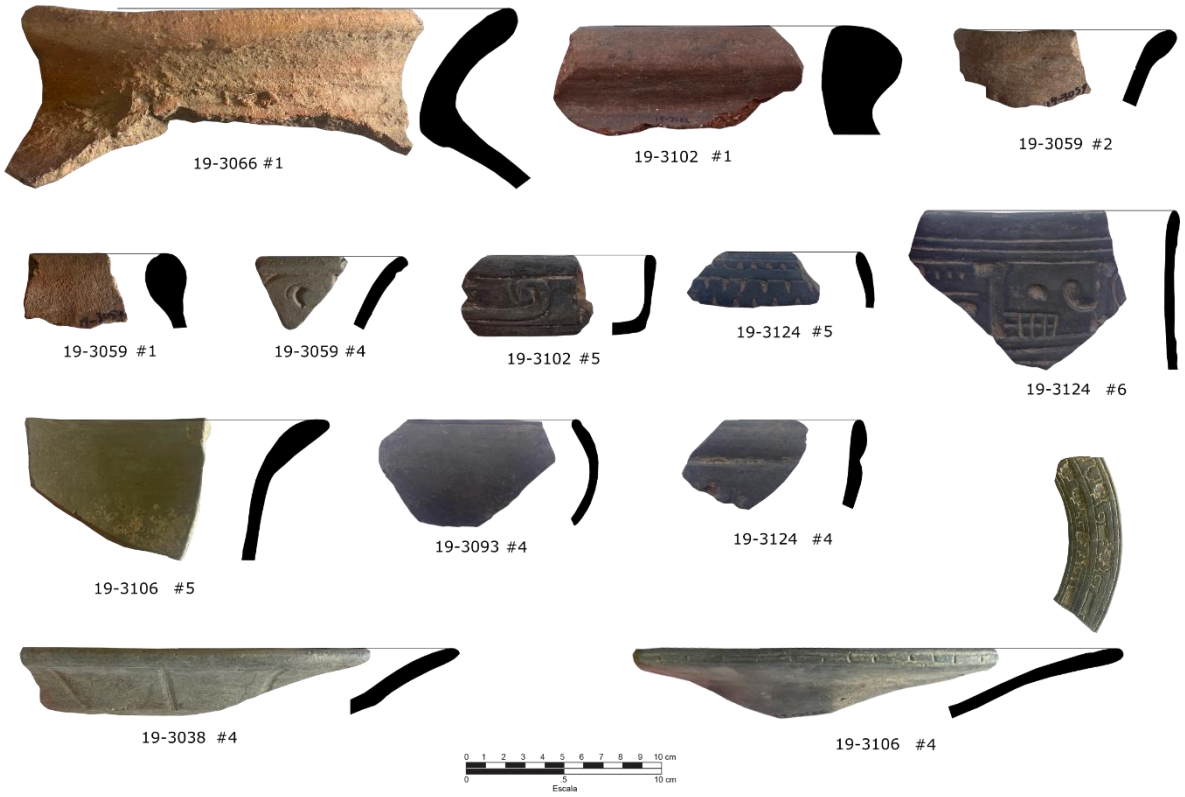
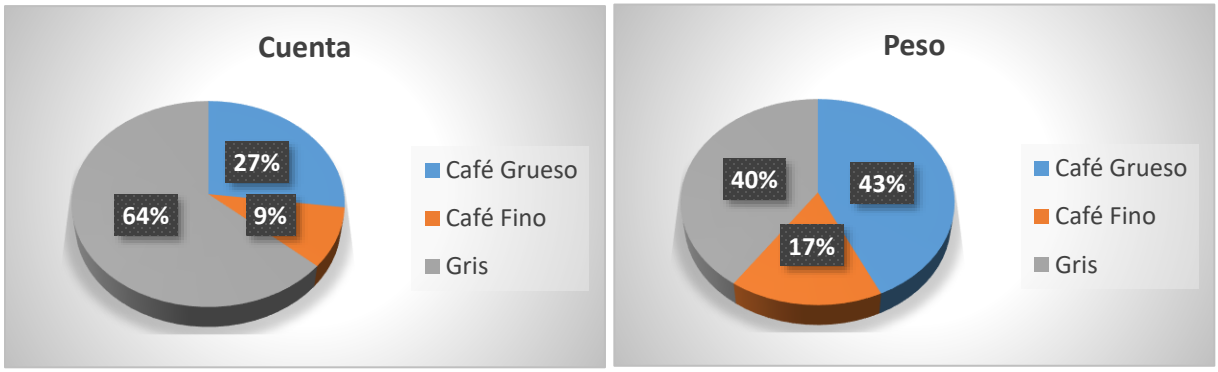



**Figura D.21. Ilustración de las principales formas en ofrenda E7 y E8. 19-3066: 1) Olla cuello alto pasta café grueso; 19-3102: 1) Olla cuello corto pasta café grueso, 5) Cajete cilíndrico pasta gris; 19-3059: 1) Olla cuello corto pasta café grueso, 2) Cajete cónico pasta café grueso, 4) Cajete cónico pasta gris; 19-3124: 4) Cajete semiesférico pasta gris, 5) Cajete curvo-convergente pasta gris, 6) Cajete cónico pasta gris; 19-3106: 4) Cajete cónico pasta gris, 5) Cajete cilíndrico pasta gris; 19-3093: 4) Cajete curvo-convergente pasta gris; 19-3038: 4) Cajete cónico pasta gris.**

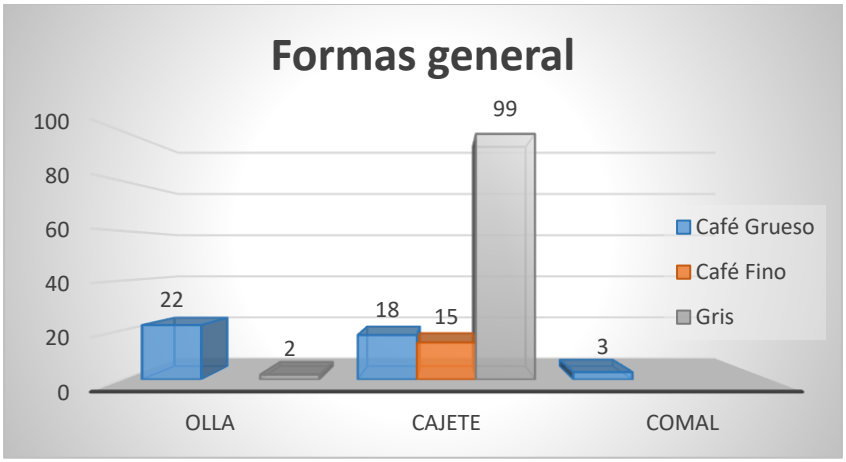
**Basurero E3**

Se localiza en la Operación C, unidad 0G31, lotes 4 y 5 y 0G32 lotes 11 a 22. Es un basurero sobre una plataforma domestica de la fase Miniyua. Los materiales analizados fueron: 0G31-4 (FS 19-3110), 0G31-4 (FS 19-3114), 0G31-5 (FS 19-3116), 0G32-11 (FS 19-3125), 0G32-12 (FS 19-3132), 0G32-13 (FS 19-3135), 0G32-14 (FS 19-3142), 0G32-15 (FS 19-3147), 0G32-16 (FS 19-3159), 0G32-17 (FS 19-3168), 0G32-18 (FS 19-3187), 0G32-19 (FS 19-3190), 0G32-20 (FS 19-3198), 0G32-21 (FS 19-3203), 0G32-22 (FS 19-3214). Se analizaron 157 bordes de 212 recuperados, es decir el 74.05% de los bordes recuperados. Se analizaron 159 bordes de 2,349 fragmentos totales, lo que corresponde al 6.77% de la cerámica del contexto (Tabla D.2). De la cerámica analizada 64% es pasta gris, 27% café grueso y 9% café fino (Figura D.22). Las formas predominantes varían según la pasta, para la café grueso predominan las ollas, seguidas de los cajetes y los comales, en la pasta gris predominan los cajetes, con solo dos ejemplos de ollas, y la pasta café fina solo aparece en los cajetes (Figura D.23).




| PASTA | CUENTA | % CUENTA | PESO | % PESO |
|---|---|---|---|---|
| Café Grueso | 43 | 27.04% | 3,475 | 43.03% |
| Café Fino | 15 | 9.43% | 1,339 | 16.58% |
| Gris | 101 | 63.52% | 3,262 | 40.39% |
| **total** | **159** | **100%** | **8,076** | **100%** |

**Figura D.22. Porcentaje de pastas y distribución en forma general en Basurero E3.**




| PASTA | % OLLAS | % CAJETES | % COMAL |
|---|---|---|---|
| Café Grueso | 13.83% | 11.32% | 1.88% |
| Café Fino | | 9.43% | |
| Gris | 1.25% | 62.26% | |
| **total** | **15.09%** | **83.02%** | **1.88%** |

**Figura D.23. Cuenta y porcentaje de forma general en Basurero E3.**

Dentro de las formas especificas en los cajetes se distribuyen de mayor a menor en: cónico [CN] (56 bordes), semiesférico [SM] (41 bordes), curvo convergente [CC] (13 bordes), sin definir [¿?] (13 bordes), cilíndrico [CY] (7 bordes), silueta compuesta [CS] (2 bordes). Mientras que las ollas predominan las de tipo cuello corto tipo tecomate [SN-LE] (Tabla D.10).

**Tabla D.10. Cuenta y porcentaje de formas específicas en Basurero E3.**

| | CAJETES | | | | | | | | | | | |
|---|---|---|---|---|---|---|---|---|---|---|---|---|
| **PASTA** | **CN** | **% CN** | **SM** | **% SM** | **CY** | **% CY** | **CS** | **% CS** | **CC** | **% CC** | **¿?** | **% ¿?** |
| Café Grueso | 4 | 3.03% | 11 | 8.33% | 2 | 1.51% | | | 1 | 0.75% | | |
| Café Fino | 12 | 9.09% | | | | | | | | | 3 | 2.27% |
| Gris | 40 | 30.30% | 30 | 22.72% | 5 | 3.78% | 2 | 1.51% | 12 | 9.09% | 10 | 7.57% |
| **total** | **132 (100%)** | | | | | | | | | | | |

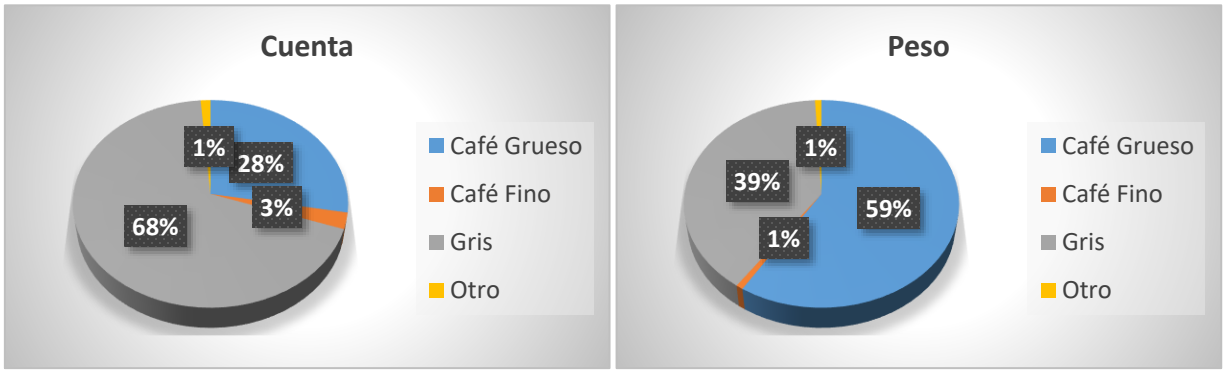
| | OLLAS | | | | | | | |
|---|---|---|---|---|---|---|---|---|
| **PASTA** | **TN** | **% TN** | **SN** | **% SN** | **SN-LE** | **% SN-LE** | **B/C** | **% B/C** |
| Café Grueso | 4 | 17.39% | 1 | 4.34% | 17 | 73.91% | | |
| Café Fino | | | | | | | | |
| Gris | | | | | | | 1 | 4.34% |
| **total** | **23 (100%)** | | | | | | | |




**Figura D.24. Ilustración de las principales formas en Basurero E3. 19-3110: 1) Olla cuello alto pasta café grueso, 2) Cajete cónico pasta café grueso ; 19-3116: 2) Cajete semiesférico pasta café grueso, 3) Olla Tecomate pasta café grueso, 8) Cajete silueta compuesta pasta gris, 9) Cajete silueta compuesta pasta gris; 19-3159: 2) Cajete semiesférico pasta gris; 19-3125: 7) Cajete semiesférico pasta gris (boca restringida); 19-3142: Cajete semiesférico pasta gris; 19-3187: Olla Botellón/Cántaro pasta gris; 19-3168: Cajete semiesférico pasta gris; 19-3190: 1) Cajete cónico pasta gris (fondo peinado).**

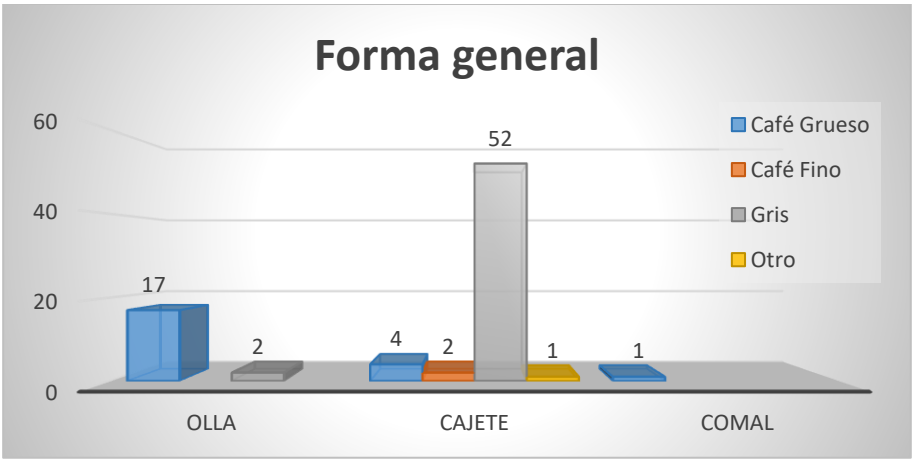
**Basurero E21**

Se localiza en la Operación D, unidad 5I55, lotes 17 a 24. Es un Basurero domestico de la fase Chacahua, se localiza en la base del brazo este del montículo 2. Los materiales analizados fueron: 5I55-17 (FS 19-4369), 5I55-18 (FS 19-4374), 5I55-19 (FS 19-4387), 5I55-20 (FS 19-4405), 5I55-21 (FS 19-4416), 5I55-22 (FS 19-4422), 5I55-23 (FS 19-4430), 5I55-24 (FS 19-4435). Se analizó el 100% de los bordes recuperados. Se analizaron 79 bordes de 524 fragmentos totales, lo que corresponde al 15% del total de la cerámica del contexto (Tabla D.2). De la cerámica estudiada 68% es pasta gris, 28% café grueso, 3% café fino y 1% Otro (Figura D.25). Como se ha visto en contextos anteriores, la distribución de las formas está asociada al tipo de pasta, las ollas son la forma principal para la pasta café grueso, mientras que los cajetes lo son para la gris; la pasta café fino y otro solo se presentan en cajetes (Figura D.26).




| PASTA | CUENTA | % CUENTA | PESO | % PESO |
|---|---|---|---|---|
| Café Grueso | 22 | 27.84% | 2,285 | 58.89% |
| Café Fino | 2 | 2.53% | 30 | 0.77% |
| Gris | 54 | 68.35% | 1,533 | 39.51% |
| Otro | 1 | 1.26% | 32 | 0.82% |
| **total** | **79** | **100%** | **3,880** | **100%** |

**Figura D.25. Porcentaje de pastas y distribución en forma general en Basurero E21.**




| PASTA | % OLLA | % CAJETE | % COMAL |
|---|---|---|---|
| Café Grueso | 21.52% | 5.06% | 1.26% |
| Café Fino | | 2.53% | |
| Gris | 2.53% | 65.82% | |
| Otro | | 1.26% | |
| **total** | **24.05%** | **74.68%** | **1.26%** |

**Figura D.26. Cuenta y porcentaje de Forma General en Basurero E21.**

Dentro de las formas especificas los cajetes son cónico [CN] (38 bordes), curvo convergente [CC] (14 bordes), semiesférico [SM] (2 bordes), cilíndrico [CY] (2 bordes) y sin definir [¿?] (3 bordes); mientras que las ollas son cuello alto [TN] (12 bordes), cuello corto [SN] (5 bordes), botellón/cántaro [B/C] (2 bordes) (Tabla D.11).

**Tabla D.11. Cuenta y porcentaje de formas específicas en cajetes y ollas en Basurero E21.**

| | CAJETES | | | | | | | | | |
|---|---|---|---|---|---|---|---|---|---|---|
| **PASTA** | **CN** | **% CN** | **SM** | **% SM** | **CY** | **% CY** | **CC** | **% CC** | **¿?** | **% ¿?** |
| Café Grueso | 4 | 6.78% | | | | | | | | |
| Café Fino | 2 | 3.39% | | | | | | | | |
| Gris | 31 | 52.54% | 2 | 3.39% | 2 | 3.39% | 14 | 23.72% | 3 | 5.08% |
| Otro | 1 | 1.69% | | | | | | | | |
| **total** | **59 (100%)** | | | | | | | | | |

| | OLLA | | | | | |
|---|---|---|---|---|---|---|
| **PASTA** | **TN** | **% TN** | **SN** | **% SN** | **B/C** | **% B/C** |
| Café Grueso | 12 | 63.15% | 5 | 26.31% | | |
| Café Fino | | | | | | |
| Gris | | | | | 2 | 10.52% |
| Otro | | | | | | |
| **total** | **19 (100%)** | | | | | |




**Figura D.27. Ilustración de las principales formas en Basurero E21. 19-4369: 1) Olla cuello corto pasta café grueso, 3) Cajete cónico pasta gris; 19-4422: 1) Olla cuello corto pasta café grueso; 19-4387: 2) Cajete curvo convergente pasta gris, 3) Cajete cónico pasta gris, 4) Cajete cilíndrico pasta gris; 19-4430: 3) Cajete cónico pasta gris; 19-4416: 1) Olla Botellón/Cántaro pasta gris; 19-4335: 1) Cajete cónico pasta gris; 19-4405: Cajete cónico pasta gris; 19-4374: 4) Cajete cilíndrico pasta gris**

D.2.3. Comentarios cerámica

No hay una clara diferencia entre las ofrendas (E34, E35, E37/38, E44, E49, E56, E7/8) y los basureros (E3, E21) en cuanto a la distribución del tipo de pasta y forma cerámica. En todos los contextos estudiados la pasta predominante es la gris con porcentajes por arriba del 60% y hasta 100%, seguido de café grueso con porcentajes de entre 14 al 100, y por ultimo la café fino con porcentajes menores al 10% (Figura D.28).

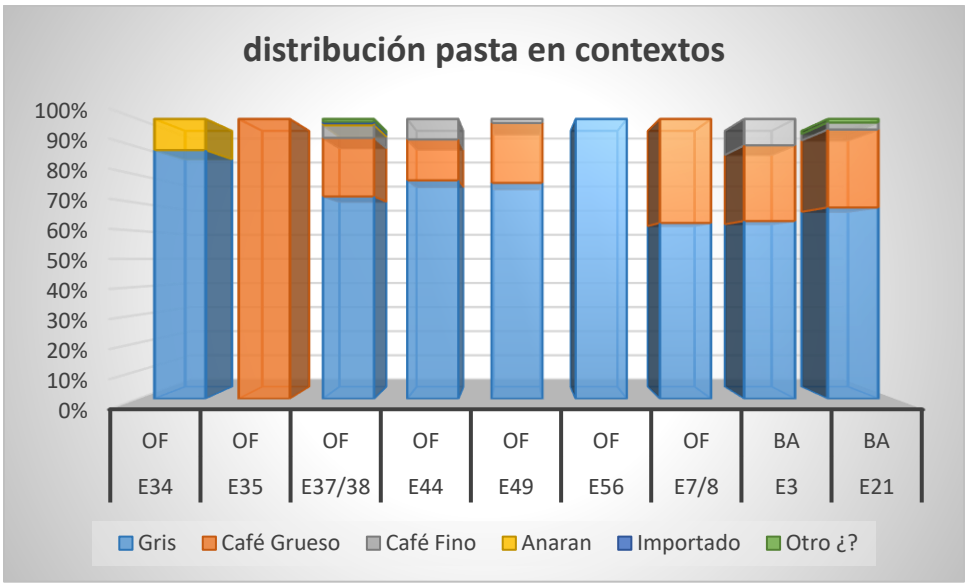



**Figura D.28. Distribución de las pastas en los diferentes contextos. Las siglas OF indican que el contexto es una ofrenda y BA que es un basurero.**

Dentro de las formas predominan los cajetes con 709 bordes, seguido de las ollas con 176 bordes y los comales solo con 16 ejemplares. La forma predominante dentro de los cajetes fueron los cajetes conicos (411), seguidos de los semiesfericos (144), los curvo convergentes (93), cilindricos (23) y silueta compuesta (6); y dentro de las ollas la forma predominante fue de cuello corto (68), seguida de cuello alto (54), tecomate (27) y botellon (14).

## D.3. Obsidiana

En esta sección se presentan los métodos y resultados del análisis de la obsidian del PRV-2019.

### D.3.1. Metodología obsidiana

Para el análisis de la obsidiana se registró el número de piezas con sus medidas (largo, ancho y el grosor), su peso, el tipo de pieza (lasca, navaja prismática) y la parte de la pieza (distal, medial o proximal), y su color (verde, transparente, gris, negro) (Figura D.29).

| Elemento | Op. | Unidad-Lote | FS# | Pieza # | Tipo | Color | Largo | Ancho | Grueso | Peso |
|---|---|---|---|---|---|---|---|---|---|---|
| E37/38 | B | 5L76-5 | 19-102 | 1 | navajilla medial | verde | 19.29 | 8.64 | 1.96 | 0.58 |
| E37/38 | B | 5L76-5 | 19-102 | 2 | lasca | gris/claro | 14.31 | 13.95 | 1.78 | 0.52 |
| E37/38 | B | 5L76-5 | 19-102 | 3 | navajilla medial | gris | 17.51 | 6.22 | 2.89 | 0.42 |
| E37/38 | B | 5L76-5 | 19-102 | 4 | navajilla medial | verde | 12.14 | 7.68 | 1.81 | 0.22 |
| E37/38 | B | 5L76-5 | 19-102 | 5 | navajilla medial | verde | 8.14 | 10.66 | 2.32 | 0.21 |
| E37/38 | B | 5L76-2 | 19-75 | 1 | navajilla distal | transparente | 14.16 | 7.7 | 2.55 | 0.31 |
| E37/38 | B | 5L76-2 | 19-75 | 2 | navajilla medial | verde | 19.72 | 8.83 | 2 | 0.42 |
| E37/38 | B | 5L76-2 | 19-75 | 3 | navajilla distal | transparente | 19.35 | 8.35 | 2.25 | 0.38 |
| E37/38 | B | 5L76-2 | 19-75 | 4 | navajilla medial | verde | 14.06 | 8.57 | 1.95 | 34 |

**Figura D.29. Ejemplo de registro atributos obsidiana.**

### D.3.2. Resultados análisis obsidiana

En total se analizaron 57 piezas de cinco ofrendas: E34, E37/38, E44, E49, y E7/8 (Figura D.30). Los contextos E35, E56, E3, y E21, no presentaron obsidiana para su análisis.

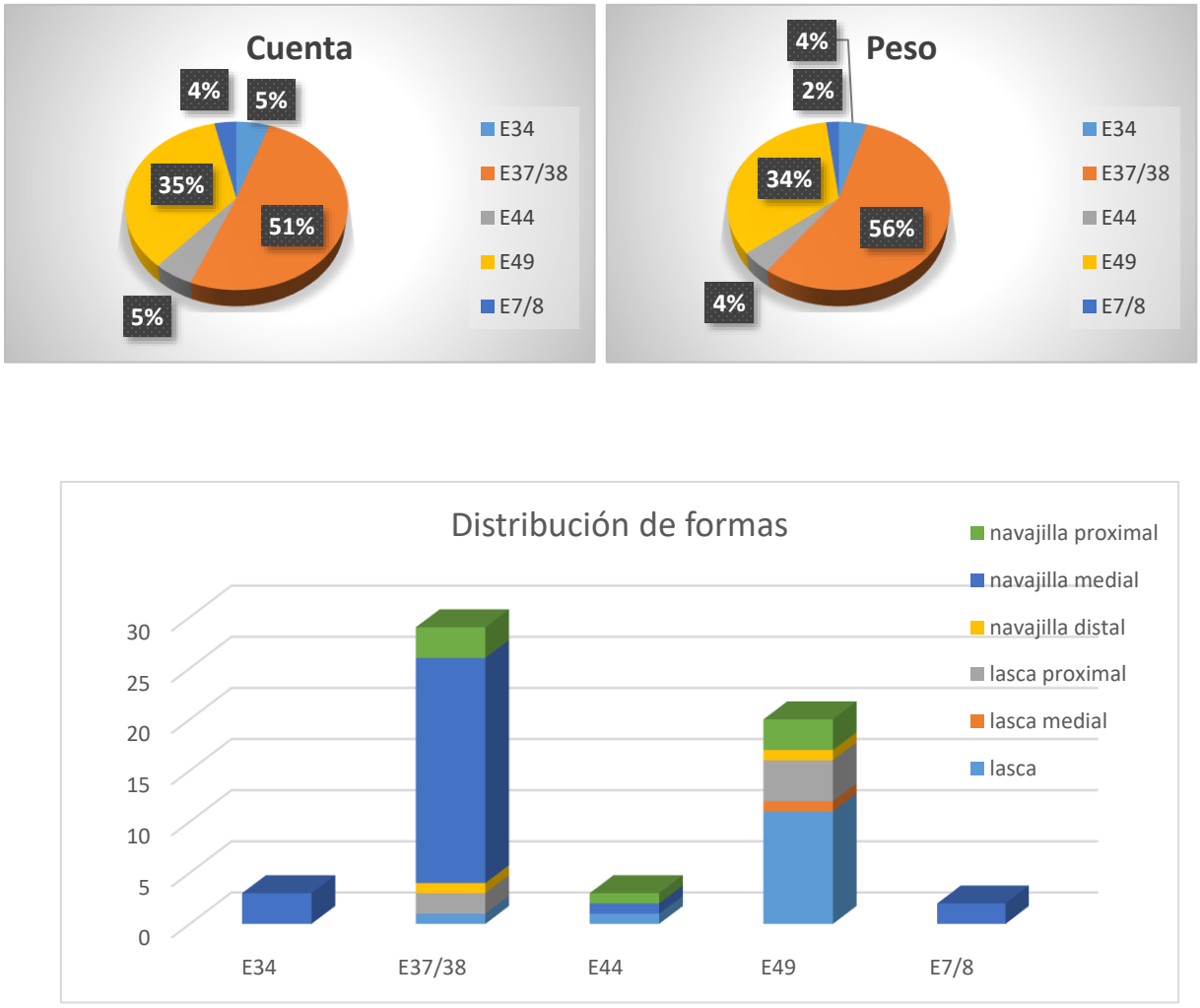



**Figura D.30. Cuenta, peso y distribución de la obsidiana analizada en los contextos.**

**Ofrenda E34**

Operación A, Unidades: 2D50-11 y 12, 2D51-7. De este contexto se analizaron 3 piezas procedentes de: 2D50-11 (19-1066), 2D51-7 (19-1153), 2D50-12 (19-1078). Este contexto representa el 5% del material analizado. Las piezas son de diferente color, pero todas corresponden a fragmentos de navajillas prismáticas en su parte medial (Tabla D.12).

**Tabla D.12. Descripción general de obsidiana contexto E34.**

| Color | navajilla medial | Cuenta | Peso (g) |
|---|---|---|---|
| gris/negro | 1 | 1 | 0.28 |
| negro | 1 | 1 | 0.37 |
| verde | 1 | 1 | 0.23 |
| **TOTAL** | **3** | **3** | **0.88** |

| Pieza | Promedio de Largo (mm) | Promedio de Ancho (mm) | Promedio de Grueso (mm) | Suma de Peso (g) |
|---|---|---|---|---|
| navajilla medial | 12.07 | 8.7 | 2.12 | 0.88 |
| **TOTAL** | **12.07** | **8.7** | **2.12** | **0.88** |

**Ofrenda E37 & E38**

E37 y E38 son de Operación B, Unidades MU1(5L75 & 5L76)-1 a 7. Se analizaron 29 piezas procedentes de: 5LMU1-2 (19-277), 5LMU1-4 (19-288) x 2 bolsas, 5LMU1-5 (19-301), 5LMU1-6 (19-312), y 5LMU1-7 (19-317). Es el contexto con mayor cantidad de obsidiana, corresponde a un 51% del material analizado. Solo hay una lasca de color gris, el resto de la obsidiana es de coloración verde. La forma más característica fueron fragmentos de navajillas prismáticas de color verde (22 piezas; Tabla D.13 y Figura D.31).

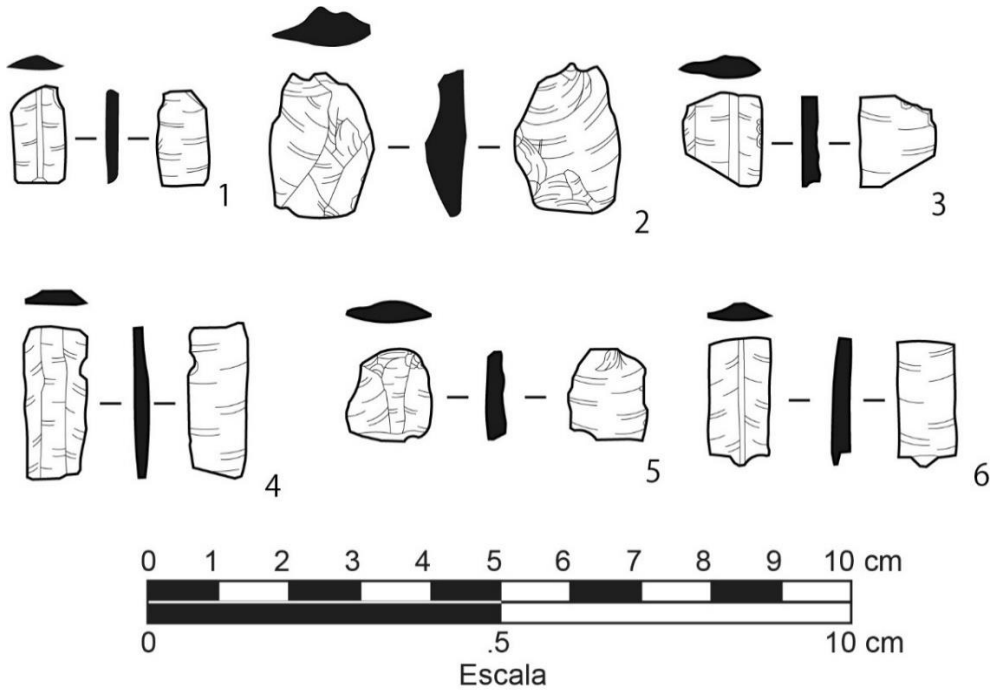



**Figura D.31. Ejemplos de Obsidiana analizada de la unidad 5LMU1: 1) Navajilla prismática proximal verde (5LMU1-4, 19-288); 2) Lasca verde (5LMU1-4, 19-288); 3) Navajilla prismática verde (5LMU1-5, 19-301); 4) Navajilla prismática verde (5LMU1-5, 19-301); 5) Navajilla prismática proximal verde, con desgaste (5LMU1-6, 19-312); 6) Navajilla prismática medial verde (5LMU1-6, 19-312).**

**Tabla D.13. Descripción general de obsidiana contexto E37/38.**

| Color | lasca | lasca proximal | navajilla distal | navajilla medial | navajilla proximal | Cuenta | Peso (g) |
|---|---|---|---|---|---|---|---|
| gris | | 1 | | | | 1 | 0.43 |
| verde | 1 | 1 | 1 | 22 | 3 | 28 | 10.56 |
| **TOTAL** | **1** | **2** | **1** | **22** | **3** | **29** | **10.99** |

| Pieza | Promedio Largo (mm) | Promedio Ancho (mm) | Promedio Grosor (mm) | Suma de Peso (g) |
|---|---|---|---|---|
| lasca | 15.55 | 14.27 | 3.62 | 1 |
| lasca proximal | 13.71 | 16 | 4.545 | 1.9 |
| navajilla distal | 6.57 | 8.48 | 2.14 | 0.15 |
| navajilla medial | 12.43 | 8.8 | 1.94 | 6.55 |
| navajilla proximal | 14.17 | 11.17 | 2.26 | 1.39 |
| **TOTAL** | **12.6** | **9.72** | **2.22** | **10.99** |

**Ofrenda E44**

E44 es de Operación B, Unidades MU3(6L73)-1 a 3. Se analizaron 3 piezas procedentes de: MU3-1 (19-704), y MU3-3 (19-740). Este contexto representa 5% de la muestra analizada, solo cuenta de 3 piezas, dos de ellas de color verde y 1 de color gris bandeado. Las formas son heterogéneas presentando lascas, navajilla prismática medial y proximal (Tabla D.14; Figura D.32).

**Tabla D.14. Descripción general de obsidiana contexto E44.**

| Color | lasca | navajilla medial | navajilla proximal | Cuenta | Peso (g) |
|---|---|---|---|---|---|
| gris bandeado | 1 | | | 1 | 0.12 |
| verde | | 1 | 1 | 2 | 0.69 |
| TOTAL | 1 | 1 | 1 | 3 | 0.81 |

| Pieza | Promedio Largo (mm) | Promedio Ancho (mm) | Promedio Grosor (mm) | Suma de Peso (g) |
|---|---|---|---|---|
| lasca | 11.26 | 9.28 | 1.37 | 0.12 |
| navajilla medial | 14.52 | 7.79 | 1.87 | 0.3 |
| navajilla proximal | 14.3 | 10.39 | 1.72 | 0.39 |
| **TOTAL** | **13.36** | **9.15** | **1.65** | **0.81** |

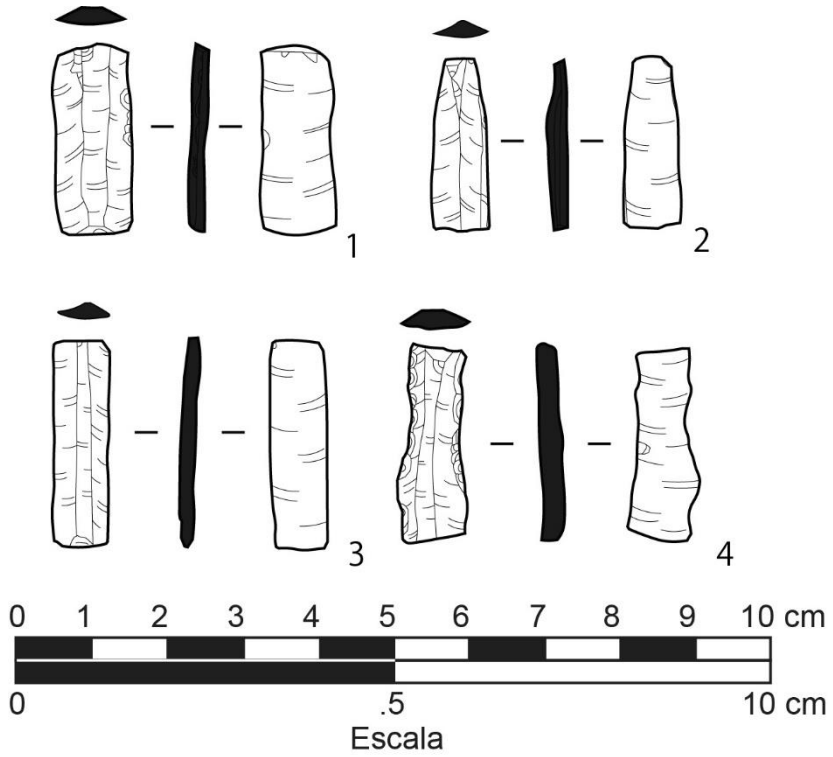



**Figura D.32. Ejemplos de Obsidiana analizada de la unidad MU3: 1) Navajilla prismática gris (MU3-1, 19-373); 2) Navajilla prismática proximal, gris (MU3-1, 19-373); 3) Navajilla prismática gris (MU3-3, 19-390); 4) Navajilla prismática gris (MU3-3, 19-390).**

**Ofrenda E49**

E48 es de Operación B, Unidades 5L99-24 a 31. Se analizaron 20 piezas procedentes de: 5L99-25 (19-215), 5L99-26 (19-224), 5L99-27 (19-233), 5L99-28 (19-245), 5L99-29 (19-260), 5L99-30 (19-297), y 5L99-31 (19-303). Este es el segundo contexto más grande, corresponde al 35% de la muestra analizada. A diferencia de los otros contextos en este predominan las lascas (12 fragmentos), mientras que las navajillas prismáticas quedan en segundo lugar (8 fragmentos; Tabla D.15 y Figura D.33).

**Tabla D.15. Descripción general de obsidiana contexto E49.**

| Color | lasca | lasca medial | lasca proximal | navajilla distal | navajilla proximal | Cuenta | Pes (g) |
|---|---|---|---|---|---|---|---|
| gris | 3 | 1 | 4 | 1 | 2 | 11 | 4.51 |
| gris bandeado | 1 | | | | | 1 | 0.45 |
| gris veteado | 5 | | | | | 5 | 0.79 |
| gris/negro | | | | | 1 | 1 | 0.63 |
| transparente | 2 | | | | | 2 | 0.27 |
| **TOTAL** | **11** | **1** | **4** | **1** | **3** | **20** | **6.65** |

| Pieza | Promedio Largo (mm) | Promedio Ancho (mm) | Promedio Grosor (mm) | Suma de Peso (g) |
|---|---|---|---|---|
| lasca | 11.7 | 10.23 | 1.34 | 1.81 |
| lasca medial | 18.53 | 10.25 | 5.89 | 1 |
| lasca proximal | 13.27 | 14.25 | 1.83 | 1.67 |
| navajilla distal | 11.9 | 6.35 | 1.32 | 0.1 |
| navajilla proximal | 18.14 | 10.4 | 2.41 | 2.07 |
| **TOTAL** | **13.33** | **10.86** | **1.83** | **6.65** |

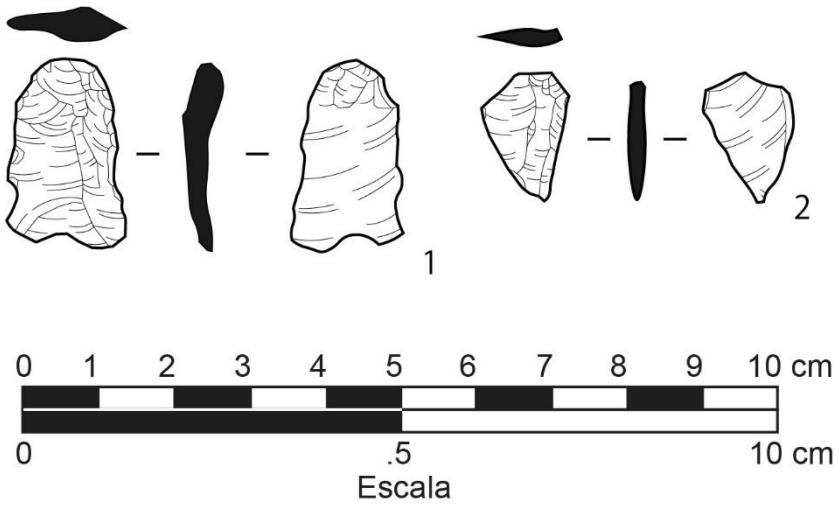



**Figura D.33. Ejemplos de Obsidiana analizada de la unidad 5L99-27 (19-233): 1) Navajilla retocada a raspador; 2) Lasca gris.**

**Ofrenda E7 & E8**

E7 y E8 son de Operación C, Unidades 1F50-4 a 6, 0F50-8 a 12. Se analizaron 2 piezas procedentes de: 1F50-4 (19-3041) y 0F50-9 (19-3100). Este es un contexto pequeño con solo dos fragmentos correspondientes al 4% de la muestra analizada. Ambos fragmentos son de color gris y navajillas prismáticas mediales (Tabla D.16).

**Tabla D.16. Descripción general de obsidiana contexto E7 y E8.**

| Color | navajilla medial | Cuenta | Peso (g) |
|---|---|---|---|
| gris bandeado | 1 | 1 | 0.14 |
| gris veteado | 1 | 1 | 0.26 |
| **TOTAL** | **2** | **2** | **0.4** |

| Pieza | Promedio Largo (mm) | Promedio Ancho (mm) | Promedio Grosor (mm) | Suma de Peso (g) |
|---|---|---|---|---|
| navajilla medial | 8.685 | 9.545 | 1.915 | 0.4 |
| **TOTAL** | **8.685** | **9.545** | **1.915** | **0.4** |

D.3.3. Comentarios obsidian

Los contextos con mayor cantidad de material fueron E37/38 (51%) y E49 (35%), ambos en la Operación B; el resto de los contextos de Operación A, B y C, no contaron con más de 5% de la muestra cada uno. Es importante mencionar que los contextos correspondientes a basureros no presentaron obsidiana para su análisis (E3-Op. C y E21-Op. D). De los 57 fragmentos analizados predominan las navajillas prismáticas (37 fragmentos), de estas la parte medial fue la más reconocida (28 fragmentos), seguida de la proximal (7 fragmentos) y la distal al final (2 fragmentos); las lascas fueron la segunda forma reconocida (20 fragmentos; Tabla D.17). En cuanto al color de la obsidiana predomina la verde (31

fragmentos), seguida de la gris (12 fragmentos) y la gris con otros tonos (gris bandeado, gris veteado y gris/negro) (11 fragmentos) (Tabla D.18).

**Tabla D.17. Cuenta obsidiana por contexto y forma.**

| Contexto | Cuenta total | Peso total | lasca | lasca medial | lasca proximal | navajilla distal | navajilla medial | navajilla proximal |
|---|---|---|---|---|---|---|---|---|
| E34 | 3 | 0.88 | | | | | 3 | |
| E37/38 | 29 | 10.99 | 1 | | 2 | 1 | 22 | 3 |
| E44 | 3 | 0.81 | 1 | | | | 1 | 1 |
| E49 | 20 | 6.65 | 11 | 1 | 4 | 1 | | 3 |
| E7/8 | 2 | 0.4 | | | | | 2 | |
| **TOTAL** | **57** | **19.73** | **13** | **1** | **6** | **2** | **28** | **7** |

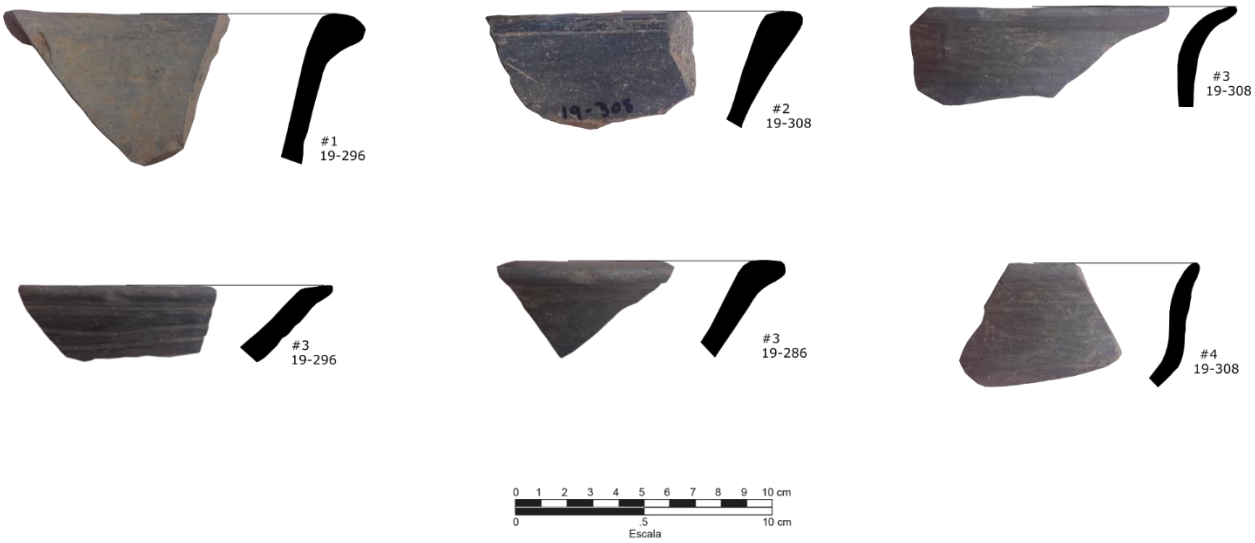
**Tabla D.18. Cuenta obsidiana por contexto y color.**

| Contexto | gris | gris bandeado | gris veteado | gris/negro | negro | transparente | verde | Total |
|---|---|---|---|---|---|---|---|---|
| E34 | | | | 1 | 1 | | 1 | 3 |
| E37/38 | 1 | | | | | | 28 | 29 |
| E44 | | 1 | | | | | 2 | 3 |
| E49 | 11 | 1 | 5 | 1 | | 2 | | 20 |
| E7/8 | | 1 | 1 | | | | | 2 |
| **TOTAL** | **12** | **3** | **6** | **2** | **1** | **2** | **31** | **57** |

## D.4 Ilustraciones Cerámica

Como parte de los trabajos de análisis cerámico se realizaron ilustraciones de la cerámica encontrada en los diversos contextos, así como de las vasijas completas recuperadas durante el PRV2019. Aquí se presentan estas ilustraciones.

**E37 y E38**


#1
19-296
19-305
#2
19-308
#3
19-308
#3
19-296
#3
19-286
#4
19-308
0 1 2 3 4 5 6 7 8 9 10 cm
0 .5 10 cm
Escala

**E49**


#1
19-213
#2
19-213
#3
19-213
19-213 #4
19-228 #2
#3
19-228
19-231 #4
19-237 #1
19-237 #3
19-237 #4
19-293 #1
19-293 #3
19-293 #4
0 1 2 3 4 5 6 7 8 9 10 cm
0 .5 10 cm
Escala


#1
19-213
#2
19-213
#3
19-213
19-213 #4
19-228 #2
#3
19-228
19-231 #4
19-237 #1
19-237 #3
19-237 #4
19-293 #1
19-293 #3
19-293 #4
0 1 2 3 4 5 6 7 8 9 10 cm
0 .5 10 cm
Escala

## E7 y E8


19-3081
19-3081 #2
19-3081 #5
19-3081 #4
19-3081 #6
19-3081 #7
19-3081 #9
19-3081 #10
#11
19-3081
19-3093 #1
19-3093 #2
19-3093 #5
19-3093
19-3093 #8
19-3093 #6
0 1 2 3 4 5 6 7 8 9 10 cm
0 5 10 cm
Escala



19-3106 #1



19-3106 #2



19-3106 #3



19-3106 #8



19-3106 #6



19-3106 #7



19-3106 #9



19-3106 #10



19-3043 #4



19-3043 #1



19-3043 #2



19-3043 #5







19-3066 #2



19-3038 #1



19-3038 #3




19-3124 #1



19-3124 #3




19-3102 #1


19-3102 #4

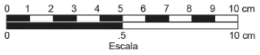

19-3102 #6


19-3102 #3


19-3102 #2


19-3059 #6


19-3059 #5




**E3**


19-3110 #3


19-3110 #4


19-3110 #5


19-3110 #6


19-3116 #4


19-3116 #5

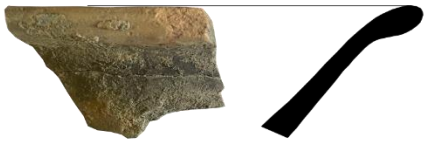

19-3116 #7


19-3116 #6


19-3116 #1


19-3116 #11


19-3116 #10

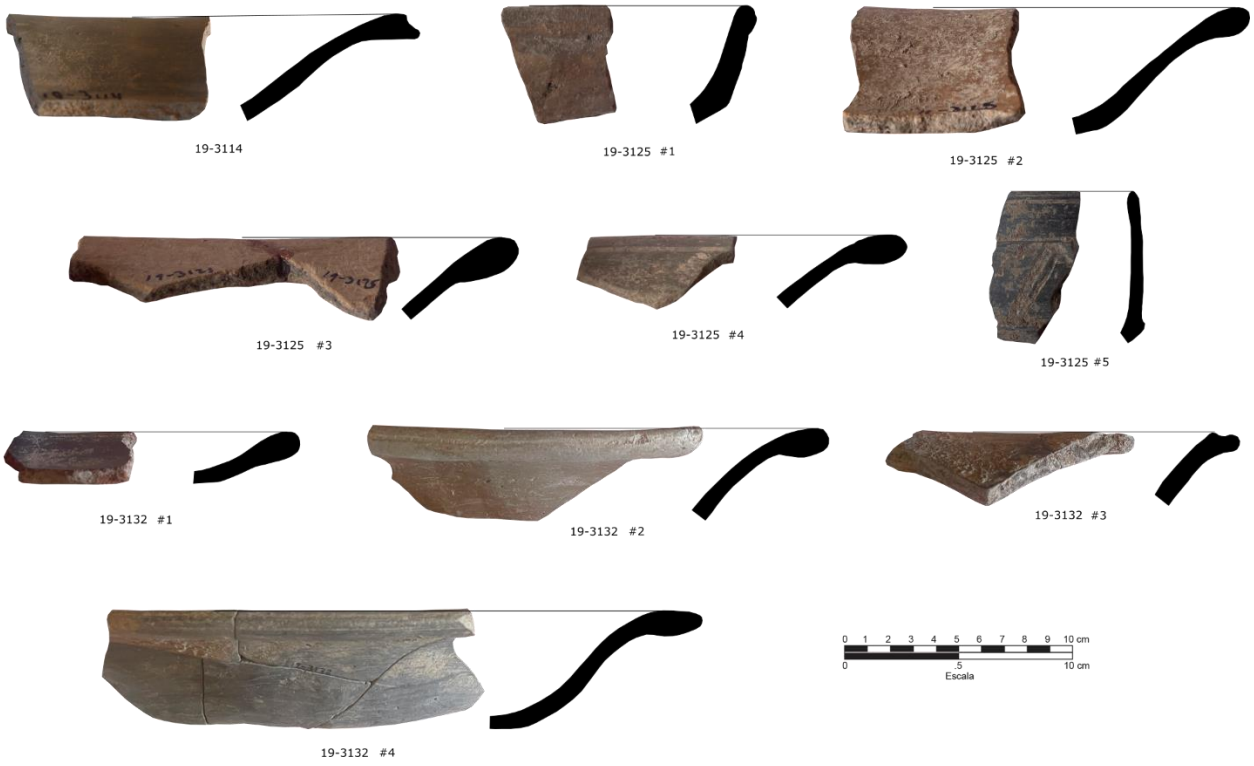

19-3147


19-3159 #1





19-3203


19-3114
19-3125 #1
19-3125 #2
19-3125 #3
19-3125 #4
19-3125 #5
19-3132 #1
19-3132 #2
19-3132 #3
19-3132 #4
0 1 2 3 4 5 6 7 8 9 10 cm
0 .5 10 cm
Escala

**E21**


19-4374 #1
19-4374 #2b
19-4374 #3
19-4387 #6
19-4374 #5
19-4387 #1
19-4387 #5
19-4430 #1
19-4430 #2
19-4430 #4
19-4435 #2
19-4422 #2
19-4422 #3
19-4422 #4
19-4369 #2
19-4369 #4
19-4416 #2
0 1 2 3 4 5 6 7 8 9 10 cm
0 .5 10 cm
Escala



19-616






19-3120





19-1122






19-4272





19-4429






19-4271





19-4349






19-4521





19-4348






19-4522





19-4524






19-4523





19-4270



# APÉNDICE E - Análisis Micromorfológico

Pamela A. García Ramírez

## E.1 Introducción

La micromorfología es una técnica derivada del estudio edafológico, perteneciente a la batería de estudios de la geoarqueología. Mediante esta, es posible identificar rasgos a pequeña escala que ayuden a la comprensión de los eventos de formación de los contextos arqueológicos.

Como parte de los análisis complementarios del PRV-22 se decidió incluir un análisis micromorfológico de ciertos contextos interesantes, particularmente aquellos donde la génesis de los estratos no es clara y por lo tanto la aplicación de esta técnica es de ayuda a su entendimiento.

## E.2 Toma de muestras

La toma de muestras en campo comienza con la delimitación del bloque a muestrear, este debe comprender la totalidad de la zona de interés o al menos una parte de la misma (Figura E.1 a). El bloque puede ser de diferentes dimensiones, pero se recomienda no sea menos a un cubo de 5 $cm^2$ y no mayor a 15 $cm^2$ pues la lámina final es de 7 x 5 cm.

Debido a la naturaleza de los contextos arqueológicos, la inclusión de diferentes materiales dentro de la matriz de tierra (Figura. E.1 b y c), la toma de muestras puede ser tardada y difícil, es por eso que se decidió comenzar con la toma de bloques de tamaño grande por si se fracturaban durante el momento del muestreo o de su posterior traslado al laboratorio.

Una vez que se tiene el bloque se debe envolver para su protección, en este caso se empleo papel aluminio y masking tape (Figura E.1 d), se debe marcar debidamente su procedencia, así como

las orientaciones de interés (arriba/abajo, adentro/afuera, zonas de contacto, etc.), esto para facilitar la elaboración de las láminas delgadas y su posterior análisis.




**Figura E.1. Ejemplo de toma de muestra en campo: a) Área general de interés, en este caso se trata de la Unidad KK37 en la Operación B donde se identificó una superficie blanca más dura, que pudiese ser un piso; b) excavación del bloque, nótese la alineación de tepalcates horizontales en la zona, posiblemente marcando una preparación para la superficie blanca; c) Área después de la toma de muestra; y d) Bloques finales con información de orientación y procedencia marcada sobre el bloque.**

## E.3 Análisis

El análisis se está realizando en el Laboratorio de Suelos y Sedimentos, de la Escuela Nacional de Antropología e Historia, en colaboración con él encargado del Laboratorio, el Dr. Serafín Sánchez Pérez.

El proceso de análisis incluye los siguientes pasos:

1.- secado de las muestras (Figura E.2 a)
2.- impregnación en resina en una cámara de vacío
3.- secado de muestras impregnadas (Figura E.2 b)
4.- cortes primarios de los bloques (Figura E.2 c)
5.- desbaste de los bloques y primer acercamiento a la mesomorfología (Figura E.2 d)
6.- elección de ubicación de lámina y corte de bloques a medida
7.- pulido bloques y pegado en láminas de vidrio
8.- desbaste de láminas hasta un grosor de 30 micras
9.- análisis de las muestras bajo un microscopio petrográfico

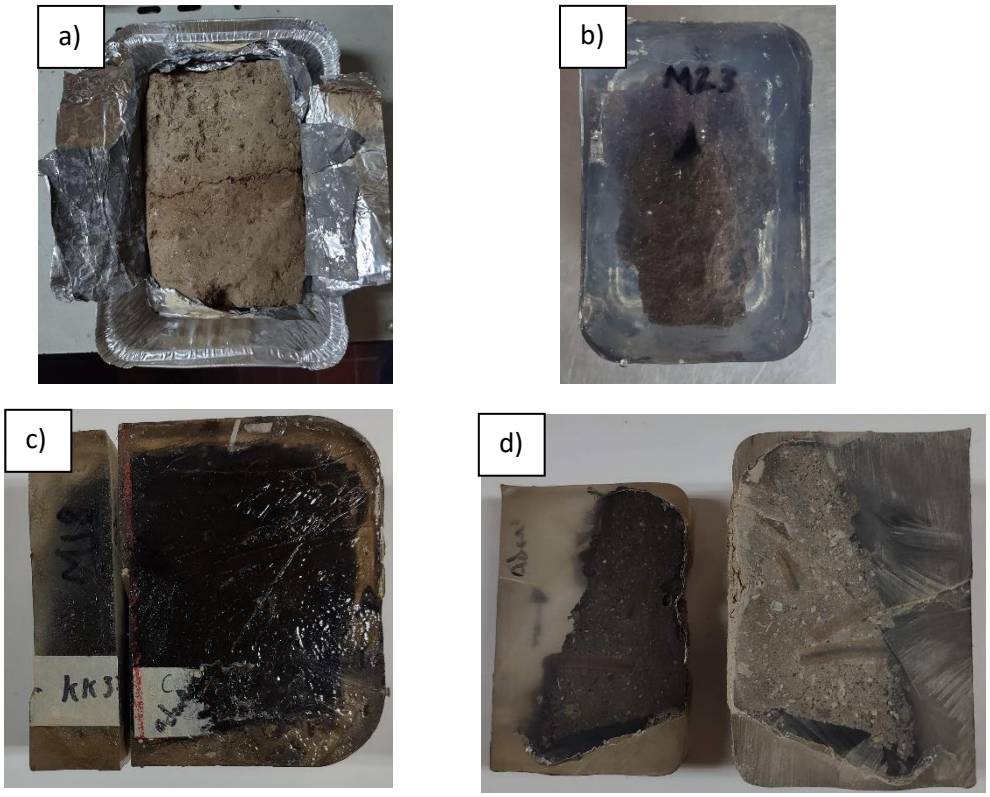



**Figura E.2. Ejemplo del procedimiento de elaboración de láminas delgadas: a) secado de las muestras; b) secado de bloques impregnados; c) Corte de los bloques impregnados; y d) desbaste de los bloques y primer acercamiento a la mesomorfología.**

## E.4 Listado de muestras

A continuación, se presenta el listado de muestras tomadas durante el PRV 2022.

**Tabla E.1. Listado de muestras tomadas para el análisis micromorfológico.**

| # Muestra | Operación | Unidad-Lote | Descripción |
|---|---|---|---|
| **M1.** | A | P17-8 | Anillo en el suelo (1) (E9) |
| **M2.** | A | P17-8 | Superficie quemada y abajo (2) (E9 & E7) |
| **M3.** | A | P17-8 | Superficie quemada y arriba (3) (E9 & E4) |
| **M4.** | A | P17-8 | Superficie quemada y arriba (3) (E9 & E4) |
| **M5.** | A | P17-8 | Muestra costra sin orientación (E9) |
| **M6.** | A | L16 | |
| **M7.** | A | P11 | Limite quemado y adentro (E38-s4 & E42-s1) |
| **M8.** | A | P11 | Limite quemado y afuera (E38-s4 & E38-s1) |
| **M9.** | A | P11 | Fragmentos quemados (pos. E40-s2) |
| **M10.** | A | P21 | Límite plataforma. (pos. E3-s1-E4) |
| **M11.** | B | MM38 | Material quemado en matriz de suelo. |
| **M12.** | B | MM38 | Zona quemada en superficie. |
| **M13.** | A | P17-8 | Costra quemada contacto Q17/P17 (E9). |
| **M14.** | B | KK34 | Contacto E24-S2 y arriba (E10-S1). |
| **M15.** | B | KK34 | Contacto E24-S2 y abajo (E24-S4). |
| **M16.** | B | MM36 | Estrato laminado. |
| **M17.** | B | KK37 | “Costra” blanca superficial. |
| **M18.** | B | KK37 | Contacto costra con estrato inferior. |
| **M19.** | B | F17 | Capa gley. |
| **M20.** | A | L13 | Relleno (E23) y desecho ocupacional (E117-s2) |
| **M21.** | A | K17 | Basurero (E11) y relleno (E12) |
| **M22.** | A | N20/MU9 | Suelo negro redepositado tubería (E31-s1) |
| **M23.** | A | MU29-6 | Tubería suelo negro (E31-s1) |
| **M24.** | A | MU29-6 | Suelo negro y otro (E31-s2) |
| **M25.** | A | M20 | Bloque bajareque (pos. E31-s2 y E70) |

Actualmente las muestras se encuentran entre el paso 4 y 5; se espera que en el primer trimestre del 2023 se tengan las láminas delgadas para su observación y análisis en el microscopio petrográfico.

## E.5 Primeros resultados

Con los primeros cortes de los bloques impregnados se da una primera aproximación a su estudio a una escala meso. Este paso es importante pues el tamaño de la lámina final es de 7 x 5cm y muchas veces las áreas de interés muestreadas en los bloques son de mayor tamaño, por lo que contar con una primera imagen de la morfología presente en las muestras puede ayudar a entender la deposición de los materiales que lo conforman así como a decidir sobre el área de la lámina final. Es importante mencionar que en este momento de análisis no es posible identificar ciertos rasgos de manera certera, pues las propiedades mismas del bloque no permiten su análisis bajo un microscopio como una lámina delgada.

Se presentan algunos de los cortes que se han realizado al momento y una breve descripción.

M1 Op. A P17-8 Anillo en el suelo

| | |
|---|---|
|  | Esta muestra presenta una matriz de coloración clara, arenosa y masiva; posiblemente es un sedimento arenoso redepositado culturalmente pues no presenta laminaciones visibles. No es visible ningún material arqueológico en la matriz. |

M4 Op. A P17-8 Superficie quemada

| | |
|---|---|
|  | En este bloque es visible dos agregados de coloración rojiza y negra, que no son una superficie continua (2 y 3). Por debajo de estos agregados, es visible una segunda zona de coloración rojiza (4), que parece tiene mayor continuidad a lo ancho de la muestra. Hacia la parte superior son visibles pequeños fragmentos redondeados de coloración rojiza (1), posiblemente “desprendimientos” de los agregados (2 y 3), redepositados al momento de formación del estrato superior. La zona inferior (5) es arenosa y no presenta estructura ni material arqueológico, es el mismo material presente en la muestra M1. |

M6 Op. A L16

| | |
|---|---|
|  | En este bloque presenta una matriz oscura con cierta estructura y porosidad. Son visibles depósitos de distintos materiales culturales, en la parte superior un probable fragmento de pedernal (a), con una coloración blanca rosácea, y en la parte media lo que parece ser un fragmento de cerámica (b). |

M11 Op. B MM38 Material quemado en matriz de suelo.

| | |
|---|---|
|  | La matriz es de coloración oscura, con algo de porosidad. Se identifican diferentes agregados redondeados de coloración rojiza en la matriz, principalmente en la zona superior (1). Estos son probablemente fragmentos quemados, que parecen no estar *in situ*, pues no hay otras evidencias de afectación por quema en la matriz, sino más bien integrados dentro del estrato. |

M18 Op. B KK37 Contacto costra con estrato inferior.

| | |
|---|---|
|  | Este bloque presenta fragmentos cerámicos en su matriz (1), uno de ellos orientados horizontalmente, mientras que el otro se presenta casi verticalmente. En la zona inferior (2) son visibles partículas alargadas que pudieran ser fragmentos de bivalvos o lascas de obsidiana.<br><br>Esta muestra pertenece a la zona ilustrada en la Figura E.1, y es el bloque inferior de la imagen d. |

M23 Op. A M29-6 Suelo asociado a la tubería

| | |
|---|---|
|  | Esta muestra presenta una matriz de coloración oscura, con estructura en bloques subangulares, y lo que parecen algunas pápulas de arcilla. No presenta materiales culturales en su matriz. De las muestras revisadas es la que asemeja mas a un estrato natural de suelo. |

## E.6 Comentarios preliminares

Con los resultados preliminares es visible como a partir del estudio del corte de los bloques, aún a una escala meso, es posible comprender mejor la génesis de los estratos estudiados, sus evidencias culturales y sus rasgos naturales que ayudaran a comprender mejor los depósitos estudiados en estos contextos.

También es clara la importancia de realizar estos cortes de primarios para tener una mejor idea de la distribución de los elementos presentes en el bloque antes de elaborar las láminas delgadas.